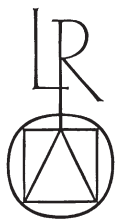


MACCHIABATE I

Martin A. Guggisberg – Camilla Colombi (Hrsg.)

Ausgrabungen in der Nekropole von
Francavilla Marittima, Kalabrien, 2009–2016:
Die Areale Strada und De Leo







MACCHIABATE

Band I

Herausgegeben von
Martin A. Guggisberg und Camilla Colombi

Reichert Verlag Wiesbaden 2021

Ausgrabungen in der Nekropole von
Francavilla Marittima, Kalabrien, 2009–2016:
Die Areale Strada und De Leo

Martin A. Guggisberg – Camilla Colombi (Hrsg.)

unter Mitarbeit von Marta Billo-Imbach

Reichert Verlag Wiesbaden 2021

Gedruckt mit Unterstützung der Berta Hess-Cohn Stiftung, Basel.

Die Publikation wurde weiter durch den Fonds zur Förderung der Studien auf dem Gebiete der ägyptologischen, orientalischen und klassischen Altertumskunde, Basel gefördert.

Die Druckvorstufe dieser Publikation wurde vom Schweizerischen Nationalfonds zur Förderung der wissenschaftlichen Forschung unterstützt.



SCHWEIZERISCHER NATIONALFONDS
ZUR FÖRDERUNG DER WISSENSCHAFTLICHEN FORSCHUNG

Umschlagabbildung:

Das Areal der Macchiabate-Nekropole mit Timpone Motta und Flussbett des Raganello (Foto: Sven Billo).

Bibliografische Information der Deutschen Nationalbibliothek

Die Deutsche Nationalbibliothek verzeichnet diese Publikation
in der Deutschen Nationalbibliografie; detaillierte bibliografische Daten
sind im Internet über <http://dnb.dnb.de> abrufbar.

Gedruckt auf säurefreiem Papier
(alterungsbeständig – pH7, neutral)
ISBN: 978-3-7520-0018-4 (Print)
eISBN: 978-3-7520-0028-3 (E-Book)
<https://doi.org/10.29091/9783752000283>
www.reichert-verlag.de

Open Access: Wo nicht anders festgehalten, ist diese Publikation lizenziert unter der
Creative-Commons-Lizenz Namensnennung-Nicht kommerziell-Keine Bearbeitungen CC BY-NC-ND 4.0
Printed in Germany

Inhaltsverzeichnis

Vorwort (Martin A. Guggisberg, Camilla Colombi)	9
Preliminari per una storia della ricerca sulla protostoria della Calabria: a mo' di prefazione (Pier Giovanni Guzzo)	11
1 Forschungsgeschichte und Fragestellung (Martin A. Guggisberg, Camilla Colombi)	15
2 Tomba Strada 1 (Francesco Quondam)	19
2.1 La scoperta	19
2.2 La sepoltura	22
2.3 Il corredo	24
2.3.1 Fibule e ornamenti in bronzo, ferro, ambra e vetro	24
2.3.2 Corredo ceramico	32
2.3.3 La coppa bronzea	33
2.4 Conclusioni	42
Appendix: Archaeometric investigation (Valentina Cannavò)	42
3 Basler Ausgrabungen 2009–2016: Die Gräber der Areale Strada und De Leo (Camilla Colombi, Corinne Juon, Sven Billo, Martin A. Guggisberg)	46
3.1 Befunde	46
3.1.1 Methodisches	46
3.1.2 Grab Strada 2	48
3.1.3 Grab Strada 3	49
3.1.4 Grab Strada 4	50
3.1.5 Grab Strada 5	53
3.1.6 Grab Strada 6	57
3.1.7 Grab Strada 7	60
3.1.8 Grab Strada 8	63
3.1.9 Grab Strada 9	65
3.1.10 Grab Strada 10	66
3.1.11 Grab Strada 11	67
3.1.12 Grab Strada 12	70
3.1.13 Grab Strada 13	72
3.1.14 Grab Strada 14	74
3.1.15 Grab Strada 15	77
3.1.16 Grab Strada 16	81
3.1.17 Grab Strada 17	84
3.1.18 Grab Strada 18	90
3.1.19 Grab Strada 19	91
3.1.20 Areal De Leo	93
3.1.21 Grab De Leo 1	93
3.1.22 Grab De Leo 2	98
3.2 Funde	99
3.2.1 Gefässe aus Feinkeramik	99
3.2.2 Gefässe aus Grobkeramik	113
3.2.3 Geräte aus Keramik/Ton	115
3.2.4 Bronzegefässe	117
3.2.5 Bronzefibeln	123

3.2.6	Weitere Trachtbestandteile und Schmuck aus Bronze	126
3.2.7	Waffen und Geräte aus Bronze	138
3.2.8	Eisenfibeln	139
3.2.9	Weitere Trachtbestandteile und Schmuck aus Eisen	142
3.2.10	Waffen und Geräte aus Eisen	143
3.2.11	Gefäß aus Silber	146
3.2.12	Bernstein	147
3.2.13	Glasperlen	149
3.2.14	Stein	151
4	Bestattungssitten	152
4.1	Geschlechtsindikatoren und Bestattungssitten (Camilla Colombi)	152
4.2	Männergräber (Camilla Colombi)	154
4.2.1	Waffengräber in der Macchiabate-Nekropole	154
4.2.2	Waffengräber im oinotrischen Kulturkreis	158
4.2.3	Gräber mit Werkzeugen	162
4.2.4	Fazit	164
4.3	Frauengräber (Sven Billo)	165
4.3.1	Methodologische Überlegungen	165
4.3.2	Ausstattungskombinationen	166
4.3.3	Geräte zur Textilherstellung in Frauengräbern der Macchiabate-Nekropole	168
4.3.4	Fazit	169
4.4	Kindergräber (Corinne Juon)	170
4.4.1	Altersbegriff in der Archäologie	170
4.4.2	Kinderbestattungen in der Macchiabate-Nekropole	170
4.4.3	Kinderbestattungen der Basler Ausgrabungen	171
4.4.4	Enchytrismoï	173
4.4.5	Fazit	176
5	Die Gräber der Areale Strada und De Leo im Kontext	178
5.1	Die Architektur (Marta Billo-Imbach)	178
5.1.1	Grabbau	180
5.1.2	Grabmarkierungen	181
5.1.3	Holzkammer oder Holzkiste?	181
5.1.4	Vergleiche	182
5.2	Raumbezüge (Martin A. Guggisberg, Camilla Colombi)	184
5.2.1	Lage und Ausdehnung der Nekropole	184
5.2.2	Raumbezug und Organisation der Nekropole	185
5.2.3	Ausdehnung der Areale Strada und De Leo	187
5.3	Chronologie (Camilla Colombi)	188
5.3.1	Relative Chronologie	188
5.3.2	Absolute Chronologie	189
5.4	Die Bestattungsgruppen: Soziale Stratifizierung und Identität (Camilla Colombi, Martin A. Guggisberg)	190
5.4.1	Die Gruppe Strada: Struktur und Gesellschaft	190
5.4.2	Deutung der Bestattungsgruppen	191
5.4.3	Belegungsphasen und die Frage nach der Kontinuität	193
5.5	Die Macchiabate-Nekropole im Kontext der Archäologie der Sibaritide (Camilla Colombi, Martin A. Guggisberg)	196
5.5.1	Die Macchiabate-Nekropole im Kontext des oinotrischen Kulturkreises	196
5.5.2	Die Macchiabate-Nekropole und die Hinterlassenschaften in Francavilla Marittima zwischen Eisenzeit und Archaik	199
5.5.3	Fazit	203
5.6	Kulturaustausch und Perspektiven (Martin A. Guggisberg)	204

6	Die anthropologischen Untersuchungen (Cornelia Alder)	207
6.1	Einleitung	207
6.2	Methoden	207
6.3	Kurzbestimmungen der Gräber Strada 2 bis Strada 19 sowie De Leo 1 und 2	208
6.3.1	Grab Strada 2	208
6.3.2	Grab Strada 3	208
6.3.3	Grab Strada 4	209
6.3.4	Grab Strada 5	209
6.3.5	Grab Strada 6	210
6.3.6	Grab Strada 7	210
6.3.7	Grab Strada 8	211
6.3.8	Grab Strada 9	212
6.3.9	Grab Strada 10	212
6.3.10	Grab Strada 11	212
6.3.11	Grab Strada 12	212
6.3.12	Grab Strada 13	213
6.3.13	Grab Strada 14	213
6.3.14	Grab Strada 15	214
6.3.15	Grab Strada 16	214
6.3.16	Grab Strada 17	215
6.3.17	Grab Strada 18	215
6.3.18	Grab Strada 19	215
6.3.19	Grab De Leo 1	216
6.3.20	Grab De Leo 2	216
6.4	Resultate und Diskussion	217
6.4.1	Erhaltung	217
6.4.2	Geschlechterverhältnis	217
6.4.3	Altersaufbau	218
6.4.4	Geschlechteraufbau	219
6.4.5	Körperhöhenschätzung	220
6.4.6	Gesundheitszustand	221
6.5	Zusammenfassung	221
7	Naturwissenschaftliche Analysen	225
7.1	Einführung (Camilla Colombi)	225
7.2	Indagini archeobotaniche (Donatella Novellis)	227
7.2.1	Osservazioni preliminari	227
7.2.2	Materiali e metodi	228
7.2.3	Risultati	228
7.2.4	Discussione dei dati	229
7.3	Isotope analyses of Strontium (Sr) and Lead (Pb) (Igor M. Villa)	232
7.3.1	Introduction	232
7.3.2	Analytical techniques	232
7.3.3	Results and discussion	232
7.4	Analysis of Amber Beads from the Macchiabate Necropolis of the Timpone Motta settlement in South Italy (Sarjit Kaur, Edith Stout, Tianyi Li, Kryzel Bonifacio, Lucy Morse)	235
7.4.1	Introduction	235
7.4.2	Experimental	235
7.4.3	Results and Discussion	236
7.4.4	Conclusion	239
	Acknowledgements	240

8	La foggatura della ceramica: aspetti tecnologici e culturali (Marianna Fasanella Masci)	241
8.1	Introduzione	241
8.2	Le tecniche di foggatura	241
8.2.1	La foggatura a mano (ad incavo e percussore e incudine)	241
8.2.2	La foggatura a cercine/colombino	242
8.2.3	La foggatura con la tecnica mista: a mano con l'ausilio di un supporto	243
8.2.4	La foggatura con la base rotante	243
8.2.5	La foggatura con il tornio	244
8.3	Metodologia	245
8.4	Analisi dei vasi	245
8.4.1	Tipo A: vasi enotri tradizionali foggati a mano	245
8.4.2	Tipo B: vasi enotrio-euboici foggati con il tornio o rifiniti con la base rotante	252
8.4.3	Tipo C: vasi con influenze da altri centri indigeni dell'Italia meridionale foggati a mano o a cercine	253
8.5	Conclusioni	254
9	Zusammenfassung (Martin A. Guggisberg, Camilla Colombi)	255
10	English summary (Martin A. Guggisberg, Camilla Colombi; translation Naomi L. Monch)	266
11	Riassunto italiano (Martin A. Guggisberg, Camilla Colombi; traduzione Ilaria Gullo, Francesco Quondam)	276
	Literaturverzeichnis	285
	Abbildungsnachweise	311
	Kontaktdaten der Autorinnen und Autoren	313
	Katalog	315
	Index	417
	Tafeln 1–83	

Vorwort

Die Forschungen des Fachbereichs Klassische Archäologie der Universität Basel in Francavilla Marittima verdanken ihren Ursprung der erfolgreichen Rückführung von illegal nach Bern, Malibu und andere Orte transferierten Funden aus Francavilla Marittima an den Ort ihrer Herkunft. Das aus Raubgrabungen vom Timpone Motta in Francavilla Marittima stammende Material gelangte in den 1970er-Jahren in verschiedene europäische und aussereuropäische Privatsammlungen und Museen sowie in den Besitz des Archäologischen Instituts der Universität Bern (heute: Institut für Archäologische Wissenschaften, Abteilung Archäologie des Mittelmeerraumes). Seine Provenienz liess sich erst in den 1990er-Jahren eruieren, als in den von Marianne Kleibrink geleiteten Ausgrabungen der Universität Groningen auf dem Timpone Motta in Francavilla Marittima anpassende Scherben gefunden wurden¹. Ihre Rückgabe nach Italien und ein damit verbundenes internationales Publikationsprojekt unter der Leitung von Dietrich Willers, Frederike van der Wielen-van Ommeren und Lucilla de Lachenal² führten zu Kontakten mit holländischen, dänischen und italienischen Kolleginnen und Kollegen, die 2009 in einem internationalen Kooperationsprojekt zur Erforschung des antiken Francavilla Marittima mündeten. Dem Fachbereich Klassische Archäologie der Universität Basel fiel dabei die Erforschung der Nekropole auf dem Macchiabate-Plateau zu.

Das Projekt war in einer ersten Phase gemeinschaftlich unter der Leitung des Archäologischen Instituts der Universität Groningen konzipiert und wurde von Peter Attema verantwortet. Jan Kindberg Jacobsen wurde die Leitung der Ausgrabungen im Feld übertragen. Ihnen beiden sei an dieser Stelle für ihre Initiative und Hilfe in der Startphase sehr herzlich gedankt.

Seit 2010 erfolgen die Basler Forschungen im Rahmen eines unabhängigen Projektes mit Unterstützung der *Soprintendenza Archeologia, Belle Arti e Paesaggio per le Province di Catanzaro, Cosenza e Crotona* (ehemals *Soprintendenza per i Beni Archeologici della Calabria* bzw. *Soprintendenza Archeologia della Calabria*), der Gemeinde von Francavilla Marittima sowie der ebenda beheimateten *Associazione Lagaria Onlus*.

Allen Mitarbeiterinnen und Mitarbeitern der drei genannten Institutionen sowie den Bürgerinnen und Bürgern von Francavilla Marittima sind wir von ganzem Herzen für ihre fortdauernde Hilfe und Unterstützung dankbar. Insbesondere geht unser Dank an die ehemaligen und aktuellen Direktorinnen und Direktoren der Soprintendenza, Caterina Greco,

Simonetta Bonomi, Francesco di Gennaro, Mario Pagano und Francesca Casule, die Inspektoren und Inspektorinnen Alessandro d'Alessio, Simone Marino, Carmelo Colelli und Francesca Spadolini, die Direktorinnen des *Museo Nazionale Archeologico della Sibaritide*, Silvana Luppino (†) und Adele Bonofiglio, an die ehemaligen und an den aktuellen Bürgermeister der Gemeinde von Francavilla Marittima, Paolo Munno, Leonardo Valente und Franco Bettarini sowie an den Präsidenten der *Associazione Lagaria Onlus*, Pino Altieri. Ohne ihre Sympathie und freundschaftliche Unterstützung wäre es nicht möglich gewesen, das Projekt über die vielen Jahre kontinuierlich mit Erfolg umzusetzen.

Dankbar sind wir auch für die Unterstützung, die wir im *Museo Nazionale Archeologico della Sibaritide*, wo die Funde aufbewahrt werden, erfahren durften. Insbesondere die Restauratorinnen und Restauratoren des Museums – Antonio Adduci, Vincenzo Costantino, Salvatore Gaetani, Vincenzo Marino, Angela Palopoli, Vincenzo Pitrelli und Pietro Salmena – haben uns bei der Konservierung der Funde grosse Dienste erwiesen. Allen Mitarbeitenden des Museums sei für ihre freundschaftliche Hilfe herzlich gedankt. Einschliessen in unseren Dank möchten wir auch Francesco Odoguardi vom *Ospedale Guido Chidichimo* in Trebisacce für die Röntgenaufnahmen und Computertomografien von im Block geborgenen Metallfunden sowie Giovanni Riccardi, der uns bei der Bewältigung zahlreicher praktischer Probleme auf der Ausgrabung behilflich war. Pietro Cerchiara, Mario Cerchiara und ihr Vater Antonio Cerchiara (†) bilden den Anker des Projektes im Dorf von Francavilla Marittima. Allen dreien sei für ihre Hilfe und Freundschaft ganz herzlich gedankt.

Dankbar erwähnen möchten wir ausserdem die Firma Eastern Atlas GmbH & Co. KG, die in den Jahren 2009, 2012 und 2015 geophysikalische Untersuchungen des Grabungsareals und der angrenzenden Bereiche der Nekropole durchgeführt hat (Ronald Freibothe, Sandra Hauff, Rudolf Kniess, Wieke de Neef, Burkart Ullrich).

Ein ganz besonderer Dank gilt schliesslich der Familie De Leo, die sich seit vielen Jahren um den Schutz der archäologischen Zone von Francavilla Marittima kümmert. Für die herzliche Gastfreundschaft, die wir auf ihrem Hof während der Ausgrabungen empfangen durften, und den legendären Kaffee, der an heissen Nachmittagen für einen letzten Kräfteschub sorgte, möchten wir uns an dieser Stelle ganz herzlich bei Signora Anna Francomano in De Leo und ihrem Sohn Saverio De Leo bedanken. In unseren Dank schliessen wir auch Antonio De Leo mit ein, den Bruder von Saverio, der 2010 unerwartet und viel zu früh verstorben ist.

1 Zusammenfassend zu den Grabungsergebnissen: Kleibrink 2000; Kleibrink 2003; Kleibrink 2006b.

2 Papadopoulos 2003; Van der Wielen-van Ommeren – De Lachenal 2006; Van der Wielen-van Ommeren – De Lachenal 2008.

Seit Beginn des Projektes haben zahlreiche Studierende und Mitarbeitende des Departements Altertumswissenschaften der Universität Basel an den Ausgrabungen vor Ort teilgenommen. Für ihre tatkräftige und oft entbehrungsreiche Mitarbeit möchten wir uns bei allen nachfolgend genannten 'Francavillesi' herzlich bedanken: Annina Banderet, Martin Benz, Timo Bertschin, Marta Billo-Imbach, Sven Billo, Domenico Brunacci, Andrea Casoli, Stephanie Chamberlain, Adrienne Cornut, Christina Falcigno, Daniele Furlan, Lea Furrer, Jared Hevi, Charlotte Hunkeler, Corinne Juon, Stephanie Krebs, Marianne Mathys, Lukas Meili, Kaan Memik, Melinda Meuwly, Anna Müller, Werner Muñoz, Cheyenne Peverelli, Enrico Regazzoni, Salome Ruf, Semira Ryser, Florian Setz, Delia Sieber, Fabiola Stabellini, Jasmine Tanner, Simeon Tzonev, Céline Zaugg sowie bei den Anthropologinnen Cornelia Alder, Amélie Alterauge, Negahnaz Hossein Moghaddam und der wissenschaftlichen Zeichnerin Brigitte Gubler. Den 'Grabungs-Hilfsassistenten' Marta Billo-Imbach, Sven Billo, Christina Falcigno, Lea Furrer, Jared Hevi, Corinne Juon, Melinda Meuwly, Werner Muñoz und Enrico Regazzoni sei für ihre Hilfe bei der Aufarbeitung der Dokumentation und der Proben im Anschluss an die Grabungskampagnen gedankt.

Die Grabungsassistenz hatten nach Camilla Colombi (2009–2015) Corinne Juon (2016/2017) und Marta Billo-Imbach (seit 2017) inne. Für ihre unermüdliche, verantwortungsreiche Mitarbeit sei ihnen herzlich gedankt. Für ihre Hilfe und Unterstützung bei der redaktionellen Überarbeitung und bei der Gestaltung der Tafeln bedanken wir uns herzlich bei Marta Billo-Imbach, Sven Billo und Christoph Buser. Für die wunderbaren Zeichnungen ist Brigitte Gubler verantwortlich. Ein letztes grosses Dankeschön geht an den technischen Co-Leiter der Ausgrabung, Norbert Spichtig, der das Grabungsprojekt von Anfang an begleitet und mit seiner langjährigen Felderfahrung nicht nur sämtliche technischen Probleme gelöst, sondern uns auch inhaltlich vor manchen Irrtümern bewahrt hat.

In den vergangenen zehn Jahren durften wir auf die wissenschaftliche Unterstützung zahlreicher Kolleginnen und Kollegen zählen. Unser besonderer Dank geht an: Peter Attema, Lucilla Barresi, Carmelo Colelli, Alessandro D'Alessio, Maria D'Andrea, Lucilla de Lachenal, Wieke de Neef, Mariana Fasanella Masci, Francesca Ippolito, Jan Kindberg Jacobsen, Marianne Kleibrink, Silvana Luppino (†), Simone Marino, Gloria Mittica, Alessandro Naso, Donatella Novellis, Marco Pacciarelli, Rossella Pace, Maurizio Paoletti, Francesco Quondam, Lilian Raselli, Frederieke van der Wielen-van Ommeren, Martijn van Leusen, Alessandro Vanzetti, Stéphane Verger, Elly Weistra und Dietrich Willers.

Seit Beginn der Ausgrabungen sind zahlreiche Publikationen und Grabungsberichte erschienen. Sie bilden die Grundlage der hier präsentierten Ergebnisse. Ausserdem wurden an der Universität Basel zwei Masterarbeiten zu Teilaspekten der Grabung geschrieben, die – in überarbeiteter Form – in die

vorliegende Studie integriert sind³. Die Beiträge von Camilla Colombi wurden im Rahmen einer Kooperation mit der Abteilung Rom des Deutschen Archäologischen Instituts verfasst, wofür wir uns bedanken möchten.

Dem Schweizerischen Nationalfonds zur Förderung der wissenschaftlichen Forschung, dem Forschungsfonds der Universität Basel, der Max Geldner-Stiftung Basel, der Basler Stiftung für Klassische Archäologie sowie der Freiwilligen Akademischen Gesellschaft Basel danken wir für die finanzielle Unterstützung des Projektes.

Der vorliegende Band konnte mit finanzieller Unterstützung des Schweizerischen Nationalfonds zur Förderung der wissenschaftlichen Forschung, der Berta Hess-Cohn Stiftung, Basel, sowie des Fonds zur Förderung der Studien auf dem Gebiete der ägyptologischen, orientalischen und klassischen Altertumskunde, Basel gedruckt werden. Wir danken den drei Institutionen sehr herzlich für ihre grosszügige Hilfe.

Der vorliegende Band wird als gedruckte Monographie sowie digital unter der Creative Commons Lizenz CC-BY-NC-ND veröffentlicht⁴.

Martin A. Guggisberg, Camilla Colombi

3 Corinne Juon, Kinderbestattungen der frühen Eisenzeit in Francavilla Marittima. Befunde und Funde der Basler Ausgrabungen 2009–2014 im Kontext. Masterarbeit Universität Basel 2015; Sven Billo, Frauenbestattungen der frühen Eisenzeit in Francavilla Marittima. Befunde und Funde der Basler Ausgrabungen 2009–2014 im Kontext. Masterarbeit Universität Basel 2016.

4 <<https://creativecommons.org/licenses/by-nc-nd/4.0/>> (zuletzt aufgerufen am 20.11.2020). Für Ausnahmen betreffend einzelne Bilder wird auf die Abbildungsnachweise (Kapitel 13) verwiesen.

Preliminari per una storia della ricerca sulla protostoria della Calabria: a mo' di prefazione

All'inizio era il miraggio di Lagaria: il mito dell'artefice Epeo occhieggia dietro la scoperta di oggetti in bronzo, che non si riesce a descrivere compiutamente. Il ritrovamento casuale, avvenuto a seguito dei lavori per la costruzione della strada per Castrovillari, consegna per la prima volta il nome di Franca-villa Marittima alla letteratura archeologica nel 1879⁵. E occorrerà attendere quasi ancora un secolo per vedere riconnesso a Franca-villa, grazie al ritrovamento di un ulteriore esemplare ricavato dalla stessa matrice⁶, uno splendido frammento da una statuette fittile della collezione Santangelo in essa confluito in tempo non precisato ma di sicuro anteriore al 1864, quando se ne procedette all'acquisto da parte del Museo di Napoli⁷.

Il 1879 è lo stesso anno nel quale si ha una prima notizia edita dei ritrovamenti effettuati a Spezzano Albanese, nel quadro delle ricerche rivolte all'identificazione dell'antica Sibari⁸, mentre dieci anni più tardi saranno effettuate le ricerche nella necropoli dell'età del Ferro situata presso la masseria De Rosis, sulla pendice orientale della collina di Torre Mordillo⁹. La scoperta e lo scavo delle sepolture si devono a Luigi Viola, che condusse nella pianura del Crati e sulle colline che la circondano un'ampia campagna di ricognizione e di sondaggi alla ricerca, vana, del sito nel quale si trovava l'antica città di Sibari¹⁰. La successiva pubblicazione dei corredi, completata per cura di Angelo Pasqui¹¹, non fu particolarmente apprezzata da Paolo Orsi¹², che l'avrebbe desiderata più completa e con un maggior numero di illustrazioni. L'auspicio di Orsi, più di un secolo più tardi, non sembra essere stato ancora soddisfatto, come chiaramente denuncia Alessandro Vanzetti¹³. Un ritardo del genere è anche dovuto alle turbinate vicende attraversate dalle collezioni ora depositate nel Museo Civico di Cosenza ed in specie da quelle relative a Torre Mordillo¹⁴.

Nel 1880 Giuseppe Foderaro raccoglie, e due anni più tardi pubblica, reperti dell'età del Ferro provenienti da Simeri Cricchi¹⁵, oggi conservati nel Museo Provinciale di Catanzaro insieme agli scarabei egizi che componevano quei corredi, purtroppo non più ricostruibili nella propria completa interezza¹⁶.

Da qualche anno si era avuta la prima notizia pubblicata sul sito di Castiglione di Paludi¹⁷: ma nulla ancora ne emerge a proposito della consistenza e della pertinenza all'età del Ferro dell'insediamento e della relativa necropoli in località Piana Agretto. In quest'ultima, insieme al resto del sito archeologico, si svolgeranno le ricerche dirette da Giuseppe Procopio soltanto molto più tardi, tra il 1949 e il 1956¹⁸.

Questi sparsi ritrovamenti, effettuati entro l'ultimo quarto del XIX secolo per buona parte dell'estensione della Calabria settentrionale e centrale insieme a quelli segnalati da Paolo Orsi all'inizio della sua attività in Calabria meridionale¹⁹, possono essere ritenuti i primi relativi all'età del Ferro dei quali si abbia avuta notizia certa e pubblica. Essi sono seguiti da ulteriori scoperte, quasi tutte prive di controllo e di contesto, nel corso della prima metà del XX secolo. Se ne eccettuino gli scavi, e le relative pubblicazioni, compiuti da Paolo Orsi sia a Torre Galli di Drapia sia a Canale, Janchina, Patariti e Scorciabove nell'entroterra di Locri Epizefiri²⁰. L'edizione delle necropoli di Torre Galli e della Locride si può dire costituisca, per la prima volta, una svolta nella storia della conoscenza della protostoria della Calabria. E tale non può non essere definita, anche se da pochi anni era stata preceduta dalla seconda edizione di uno studio sistematico sull'argomento, racchiuso però in un'ottica molto ristretta e parziale²¹. Tuttavia le novità di conoscenza evidenziate da Paolo Orsi in questa sua pubblicazione non sembra abbiano richiamato soverchia attenzione dell'ambiente scientifico del settore, se non fosse per un rapido auspicio di attesa, espresso già l'anno successivo all'edizione, da D. Randall-Mac Iver²².

Nel 1962 «il congresso Internazionale di Preistoria e Protostoria (...) è stato forse il motivo che ha spinto la Soprintendenza alle Antichità della Calabria a presentare i risultati delle scoperte antiche e recenti nel campo della preistoria e della protostoria del territorio calabrese». Così Giuseppe Foti introduce (p. 5) il fascicolo 13/14 della 4ª annata (1962) della rivista *Klarchos*, interamente dedicato all'illustrazione dell'argomento. Vengono così resi noti i corredi recuperati nella ne-

5 Fiorelli 1879, 156: «questi avanzi appartengono a qualche tomba dell'antica città di Lagaria».

6 Zancani Montuoro 1970/1971b, 67-74.

7 Milanese 1996, 171-186.

8 Trucco - Vagnetti 2001, 12 nota 4.

9 Schiappelli 2014.

10 Guzzo 1988, 5-41.

11 Pasqui 1888.

12 Vanzetti 2014a, 61.

13 Vanzetti 2014a, 64.

14 Cerzoso - Quondam 2014.

15 Foderaro 1882, 92-100.

16 Guzzo - Vincentelli 1981, 9-30. Ulteriori materiali in Spadea 1992, 188-190.

17 Padula 1977, 352.

18 Guzzo 1975; Maierù 2003. A Palmino Maierù debbo la conoscenza dell'atto di ricognizione dei confini della proprietà di Nilo Maria Labonia da Rossano del 6 febbraio 1711, rogato per notar Antonino de Paula da Rossano (Archivio di Stato, Cosenza, 27 r - 29 v), nel quale sono ricordate le mura di difesa di Castiglione, ma ovviamente non c'è menzione delle evidenze dell'età del Ferro.

19 Cardoso - Ponticciello 2014, 775-781.

20 Orsi 1926.

21 Topa 1927.

22 Randall-MacIver 1927, 178 *apud* Pacciarelli 2018, 158. Si veda anche Vanzetti 2014a, 61.

cropoli a grotticelle di Calanna²³, mentre lo stesso Foti²⁴ e Santo Tiné²⁵ illustrano un ampio, anche se preliminare, panorama dello stato delle conoscenze nel territorio regionale. Fra tutte sembra necessario ricordare la scoperta, effettuata nel 1961, relativa alla necropoli, prevalentemente inumatoria ma con due incinerazioni in urna deposta in pozzetto, di Sant'Onofrio di Roccella Jonica²⁶. Da notare la persistenza dell'incinerazione e, dolorosamente, l'ancora ad oggi mancante pubblicazione completa dei reperti.

Due anni più tardi la stessa Riunione viene convocata in Calabria, dando così ulteriore e più allargato spazio alla conoscenza dell'argomento²⁷, anche se con particolare attenzione alle fasi preistoriche.

Nell'anno precedente erano iniziati gli scavi archeologici condotti dalla Società Magna Grecia in due distinti siti di Francavilla Marittima: attività destinata a prolungarsi per quasi un decennio. Furono allora interessati l'insediamento abitato e culturale del Timpone Motta, attivo fino a tutta l'età arcaica, e i nuclei di necropoli, posti alla base del Timpone Motta stesso al di là del vallone Dardanìa, progressivamente individuati nel corso dell'avanzamento delle ricerche²⁸. Di questi lavori furono date informazioni sollecite, anche se non sistematiche: in particolare si attende ancora l'edizione completa dei ritrovamenti e dei relativi corredi e contesti, pur non mancando esemplificazioni e rivisitazioni, successive, delle consistenze recuperate²⁹. Ciò nonostante, i risultati conseguiti negli scavi condotti nelle necropoli dell'età del Ferro di Francavilla Marittima hanno segnato una tappa fondamentale nella conoscenza e nella critica dell'età del Ferro, in specie per la Calabria settentrionale. Quelle scoperte mettevano in chiara evidenza le particolarità delle produzioni assegnabili a quei cantoni di Enotri che popolavano il settore più orientale della valle del Crati e le propaggini collinari che racchiudevano la pianura di Sibari. Il ritrovamento di una coppa in bronzo con figurazioni sbalzate, inquadrata nei «caratteri propri della metallurgia fenicia»³⁰, ha aperto uno squarcio in quello che sembrava essere stato un chiuso mondo indigeno. Per noi sopravvissuto solamente in grazia delle rapide e discontinue menzioni che si potevano reperire nelle superstiti fonti letterarie classiche, da Ecateo di Mileto ad Aristotele, da Dionigi di Alicarnasso a Strabone³¹. La scoperta della coppa in bronzo posizionava, grazie alla sua materialità, Francavilla Ma-

rittima nei lunghi percorsi che collegavano, da Est ad Ovest, un capo all'altro del Mediterraneo. Ed è stato grazie a questi percorsi che si era guadagnata, dopo un intervallo seguito alla fine del II millennio a. C., conoscenza non solo delle coste italiane ma fino a quelle estreme dell'Iberia. Sarebbero seguiti gli stanziamenti fissi dei Greci che, per necessità e desiderio di possedere terra agricola e di porsi in condizione di fruire quindi di pieni diritti politici, entro la fine dell'VIII secolo a. C. abbandonarono le loro città d'origine. Così da dare origine alla Magna Grecia ed alla Sicilia, procedendo a differenziate forme di rapporto con i discendenti di quegli Indigeni che avevano vissuto le diverse *facies* della precedente età del Ferro. E in questo quadro è da ricordare anche la scoperta di uno scaraboide in serpentina rossastra, appartenente al gruppo del 'suonatore di lira', di discussa fabbrica se cilicia, nord siriana oppure rodia, con iscrizione semitica di incerto significato. Lo scaraboide fa parte di una categoria di reperti molto documentata a Pithecusa, nella quale giunge anche almeno un askos ceramico enotrio dello stile 'a frangia' a comporre il corredo della tomba 325³², per non parlare di alcune fibule ascritte convincentemente a manifattura localizzata nella Calabria settentrionale³³. Gli scavi svizzeri aggiungono un ulteriore tassello, con la coppa mesonfalica in argento dorato dalla tomba Strada 4: di certo prodotto d'importazione³⁴. Così indicano la forma del recipiente e la tecnica della doratura, elementi ambedue ignoti tra le manifestazioni della cultura enotria. L'origine del minerale d'argento non è stata accertata con sicurezza dalle indagini isotopiche esperite³⁵: ma è ben probabile che anch'essa sia extra calabrese³⁶.

Entro la fine degli anni '60 del XX secolo erano state completate alcune ricerche, dovute ad Hermann Müller-Karpe, a Klaus Kilian, a Juliette de La Genière, che contribuiscono a porre le conoscenze allora disponibili sulle fasi protostoriche della Calabria in un quadro geograficamente e culturalmente più ampio³⁷; così, poco dopo, è pubblicato un analogo studio di Bruno D'Agostino³⁸. Juliette de La Genière con i suoi scavi ad Amendolara³⁹ e a Torano Castello⁴⁰ amplia la documentazione archeologica. Per lo più si tratta di contesti provenienti

23 Procopio 1962, 21–31. Aggiornamenti da parte di Costabile 2007, 29–45, di Agostino 2011, 85–88 e di Agostino 2013.

24 Foti 1962.

25 Tiné 1962.

26 Foti 1962, 33 s.; Peroni 1987, 113 s.

27 Atti della VIII e IX Riunione Scientifica dell'Istituto Italiano di Preistoria e Protostoria, Trieste, 19/20 ottobre 1963; Calabria 6–8 aprile 1964 (Firenze 1964).

28 Le denominazioni loro date da P. Zancani Montuoro sono: Temparella, Cerchio Reale, Lettere, Tomba Strada, Uliveto, Vigneto, Cima.

29 Brocato 2011; Brocato 2014; si vedano inoltre Quondam 2009 e la tesi di specializzazione ancora inedita Quondam 2011.

30 Zancani Montuoro 1970/1971b, 27. Sulla stessa coppa ed il relativo corredo v. ora F. Quondam, in questo volume, capitolo 2.

31 Cordano 1971, ss. *vv.* Enotri, Enotria, Enotro.

32 Scaraboide: Zancani Montuoro 1974–1976, 51–66, in particolare pp. 58–64 con analisi epigrafica di M. G. Guzzo Amadasi; da ultimo: Guzzo 2011, 60 s. Askos enotrio dalla tomba 325 di Pithecusa: da ultimo Guzzo 2011, 217–219.

33 Da ultimo: Guzzo 2014, 75–87, in specie p. 77: la base delle argomentazioni qui svolte è dovuta a quanto criticamente raccolto e presentato da Lo Schiavo 2010.

34 Coppa frammentaria S4/63, si vedano i capitoli 3.2.11 e 7.1 del presente volume.

35 Altrettanta incertezza per l'origine dell'argento dalla tomba del Guerriero di Tarquinia: Pernicka 2013, 179–181.

36 Ad oggi, l'impiego dell'argento cavato a Longobucco non rimonta oltre l'epoca arcaica: Osanna – Guzzo 2017, 10; Ferro 2017, 20–23.

37 Müller-Karpe 1959 (ristampa anastatica Berlin 1970); Kilian 1964; de La Genière 1968; Kilian 1970.

38 D'Agostino 1974a.

39 De La Genière 2012 raccoglie tutta l'evidenza rimessa in luce e sistematizza i precedenti studi.

40 De La Genière 1977; ulteriore evidenza in Cavalcanti 1974.

da scavi controllati: situazione che, finalmente, si poteva registrare solamente per evidenze dagli scavi Zancani Montuoro effettuati a Francavilla Marittima. Qualche incertezza, al proposito della rispettiva originarietà e completezza, rimane per i 'gruppi' scavati negli anni '50 a Castiglione di Paludi, che si ritiene essere stati contesti di singole tombe a fossa⁴¹.

Alla fine degli anni '70 del XX secolo, Renato Peroni ed un gruppo, sempre rinnovato, di suoi discepoli inizia lo scavo al Broglio di Trebisacce: prende avvio, così, un nuovo e sempre più avanzato periodo di ricerca, di studio, di scoperte in relazione all'età del Ferro, ma non solo, nella Sibaritide⁴². In questa è da segnalare la scoperta della necropoli di Roggiano, località Prunetta, sull'alto di una collina, posta alla confluenza del torrente Follone nel fiume Esaro; e nella stessa località, più tardi, di un secondo nucleo in posizione più ribassata⁴³. Ulteriori ritrovamenti, ma non sempre in contesto, sono stati effettuati a Bisignano⁴⁴.

I risultati di questa feconda stagione si possono ritrovare in due più tardi studi dello stesso Renato Peroni⁴⁵: in ognuno di essi l'ottica è, più o meno, allargata, ma rimane sempre vigile l'attenzione a rappresentare un'attenta documentazione materiale, inserendola in un processo storico mosso sia dalla fondamentale categoria economica sia dalla dialettica fra i diversi livelli componenti la società in esame.

Successive ricerche sia di ampliamento delle conoscenze sia di rivisitazione critica di precedenti acquisizioni hanno interessato le evidenze di Torre Galli e di Castellace⁴⁶, con approfondite indagini nell'abitato di Torre Galli⁴⁷, e nel comprensorio del promontorio di Tropea⁴⁸. Altrettanto vale per il versante ionico della Locride⁴⁹, della Cauloniatide⁵⁰ e della Sibaritide⁵¹. In quest'ultima è da ricordare anche lo scavo dell'abitato di Torre Mordillo⁵².

Accanto agli scavi controllati, si deve ricordare il perdurare di ritrovamenti casuali o, purtroppo, di scavi clandestini, con conseguente perdita di significativi dati di conoscenza anche nei pochi casi fortunati nei quali quei materiali sono poi con-

fluiti in collezioni, talvolta pubbliche, delle quali si è potuto redigere uno studio esaustivo⁵³.

Generalmente interessi di inquadramento e di aggiornamento delle conoscenze si possono identificare nelle comunicazioni e nei posters presentati nel 2002 in occasione della trentasettesima Riunione scientifica dell'Istituto Italiano di Preistoria e Protostoria, quasi trent'anni dopo la precedente riunitasi ancora una volta in Calabria tra Scalea, Papisidero, Praia a Mare e Tortora⁵⁴.

Nei primi anni '2000 si è proceduto allo scavo della necropoli in località Chiane di Serra Aiello. I ritrovamenti lì effettuati, che mostrano rapporti con quanto noto a Pontecagnano, costituiscono, ad oggi, la principale fonte di conoscenza per il periodo del Ferro sulla costa dell'alto Tirreno⁵⁵.

Nel Museo Nazionale Archeologico di Reggio Calabria, oltre a mostre temporanee anche rivolte al nostro argomento⁵⁶, è stato allestito con i materiali di pertinenza protostorica l'intero livello A. Anche il Museo Civico di Cosenza ha provveduto ad una completa rivisitazione dell'esposizione delle proprie collezioni, nelle quali il fulcro è rappresentato dai reperti da Torre Mordillo, oltre che da altri siti frequentati durante le fasi protostoriche della Calabria settentrionale: tanto da modificarne la denominazione in Museo dei Brettii e degli Enotri. Da ricordare, inoltre, le approfondite indagini compiute nel proprio archivio e in quello Centrale dello Stato a Roma, che hanno portato ad importanti novità, relative alla provenienza ma non solo, circa i materiali lì conservati. E che hanno sostanzialmente un monumentale catalogo che dà conto critico dell'intero patrimonio archeologico che si è sedimentato nel Museo: con ampio spazio dedicato ai materiali qui d'interesse lì conservati⁵⁷. Anche in quest'ultimo risultato si manifesta la feconda eredità lasciata da Renato Peroni fin dalle sue iniziali ricerche sul campo di alcuni siti pertinenti alla protostoria della Sibaritide, proseguite ed ampliate da nuove generazioni di ricercatori⁵⁸. E anche alla Sibaritide porta luce la monumentale raccolta critica delle fibule portata a termine da Fulvia Lo Schiavo⁵⁹.

Indagini di archeologia preventiva motivata dalla costruzione della nuova strada statale 106 Ionica hanno messo in luce livelli di abitato dell'età del Primo Ferro in località Canneti di Locri. Oltre a paleosuoli e a frammenti di recipienti in impasto, si sono identificati canali per controllo delle acque⁶⁰. L'evidenza recuperata non pare molto perspicua: ciò nonostante si guadagna conoscenza a proposito della frequentazione e

41 Guzzo 1975. Vanzetti 2014a, 61–63 circa la difficoltà di ricomporre l'originaria completezza dei corredi da Torre Mordillo.

42 Basterà citare: Bergonzi u. a. 1982a; Bergonzi u. a. 1982b.

43 Carrara – Guzzo 1981; Marino u. a. 2018, 76–79.

44 Luppino u. a. 2004, 525–539.

45 Peroni 1987; Peroni 1996.

46 Pacciarelli 1999a; Pacciarelli 1999b.

47 Pacciarelli u. a. 2017, 81–89.

48 Cardosa 2017b, 155–167.

49 Cardosa 1998, 563–570; Mercuri 2004, 23–122 per la ceramica geometrica dipinta di Canale; 146–183 per il recipiente in bronzo; Cardosa 2017a, 81–89; Quondam 2017a, 749–759. Da ricordare la tomba femminile con fermette e due spirali in filo d'oro da Locri-Marafioti, assegnata alla fase del FeI: Cardosa 1998, 563–564.

50 Facella 2010, 31–43; Quondam – Facella 2017, 289–320.

51 Quondam 2014. I reperti protostorici del comprensorio conservati nel Museo Civico di Cosenza sono schedati e commentati in Cerzoso – Vanzetti 2014.

52 Trucco – Vagnetti 2001; Schiappelli 2014.

53 Martino 1985, 115–159; Frasca – Taliano Grasso 1994, 53–72; Colelli – La Marca 2015, 11–30; Mangani 2020, 147–156. Per gli oggetti qui d'interesse v. anche Papadopoulos 2003: da Francavilla Marittima.

54 Atti della XXXVII Riunione Scientifica. Preistoria e protostoria della Calabria. Scalea, Papisidero, Praia a Mare, Tortora, 29 Settembre – 4 Ottobre 2002 (Florenz 2004).

55 La Rocca 2009.

56 Malacrino u. a. 2018; Malacrino – Musumeci 2019.

57 Cerzoso – Vanzetti 2014.

58 Luppino u. a. 2004; Ferranti 2009; Luppino u. a. 2012.

59 Lo Schiavo 2010.

60 Ponticello 2019, 166–170.

della diacronia degli insediamenti, finora per lo più noti da ritrovamenti sepolcrali. Delle numerose indagini compiute nel territorio calabrese, riguardano il nostro argomento quelle di Torre Inferriata, presso Palmi, e di Occhio di Pellaro, presso Reggio Calabria: in ambedue le località si sono evidenziate necropoli. Quelle rinvenute ad Occhio si aggiungono a quelle non lontane di Sala, Trunca, Valanidi, casualmente scoperte in precedenza⁶¹.

È in questo fervido ambiente di ricerche e di scoperte, del quale si è cercato di esporre solamente quei punti che sono sembrati più salienti e più ricchi di sviluppo⁶², che adesso degnamente rientra questo completo rendiconto degli scavi e degli studi compiuti dall'Università di Basilea rivolti a quei settori delle necropoli di Francavilla Marittima distinti come Strada e De Leo. Quanti avranno la ventura di leggerlo, o anche soltanto di consultarlo, vi troveranno dati oggettivi e considerazioni severe ed informate: così da offrire basi solide e sicure, tali da favorire ulteriori avanzamenti della conoscenza e della critica.

61 Agostino 2011, 85–88.

62 Per aspetti particolari, pur molto significativi, cfr. Pacciarelli 2018; Quondam 2018, 163–171.

È passato quasi un secolo e mezzo da quando le prime, casuali testimonianze della presenza di quanto sarà più tardi definita come età del Ferro, fino ad allora ignota a Francavilla Marittima, si sono affacciate alla conoscenza degli archeologi. Grandi sono le differenze oggi rispetto a quel tempo: sarebbe sufficiente a dimostrarlo un confronto tra le sedici righe a stampa di quella prima relazione ed il ricco e accurato volume di oggi. Ma, nonostante l'avanzare del metodo scientifico, il fascino⁶³ del mito di Lagaria perdura*.

Pier Giovanni Guzzo

63 Colelli 2017. A quello della proposta di identificazione dei toponimi tramandati dalle fonti antiche, si aggiunge quello di identificare la sovrastruttura delle società protostoriche: Brocato – Caruso 2011, 35–75.

* Ringrazio Massimo Cardosa, Antonio La Marca, Maurizio Paoletti, Francesco Quondam per le preziose informazioni che hanno avuto la bontà di comunicarmi.



Abb. 1.1 Dronnenbild der Macchiabate-Nekropole mit dem Timpone Motta im Hintergrund.

1 Forschungsgeschichte und Fragestellung

Die erste Erwähnung von Gräbern im Bereich der Macchiabate-Nekropole stammt aus dem Jahr 1879 und steht im Zusammenhang mit dem damals erfolgten Bau der Strasse S.S. 105/S.P. 263, die Castrovillari mit der Küste verband (Taf. 1, 2; 2)⁶⁴. Der Bericht in den *Notizie degli Scavi* erwähnt neben einem tönernen Krüglein und einer Olla, die zusammen das keramische Standardset eines eisenzeitlichen Grabes gebildet haben könnten, diverse Bronzeobjekte, darunter 17 Drahtspiralen (wohl sog. Fingerspiralen), 7 Ringlein, einen Fibelschaft, 3 Blechröhrchen, mehrere ein- und doppelgliedrige Ketten sowie die Reste von mindestens einer Vierspiralfibel und eine (schildförmige) Bronzescheibe, möglicherweise ein grosser *cupolino* oder ein *disco composito*. Die Funde wurden im Bereich der Fluren Pietra Catania und Saladino gemacht und könnten, nach ihrem Umfang zu schliessen, von einem einzigen Grab stammen (Taf. 2 Nr. B und D). Im Anschluss an diese Entdeckung mehrte sich seit Beginn des 20. Jahrhunderts die Zahl der bei Landwirtschaftsarbeiten geborgenen Streufunde. Sie weckten das Interesse des lokalen Altertumsforschers Dr. Agostino De Santis, in dessen Privatsammlung in Francavilla Marittima zahlreiche Objekte aus der Umgebung des Dorfes Aufnahme fanden⁶⁵. Veranlasst durch das Bekanntwerden dieser und anderer Funde verfügte Edoardo Galli, *Soprintendente per le Antichità del Bruzio e della Lucania*, 1934 eine Bestandsaufnahme vor Ort durch den späteren Direktor des Museums von Cosenza, Giacinto D’Ippolito. Die Ergebnisse dieser Untersuchung wurden in den *Notizie degli Scavi di Antichità* des Jahres 1936 veröffentlicht und markieren damit den eigentlichen Beginn der Erforschung des antiken Francavilla Marittima. Im Bericht ist von Gräbern an verschiedener Stelle die Rede, insbesondere im Bereich der beiden östlich und südlich der Strasse S.S.105/S.P. 263 gelegenen Fluren Rossi und Saladino (Taf. 1, 2; 2 Nr. B und C)⁶⁶. Vereinzelt Funde wurden auch danach immer wieder gemeldet und die Sammlung von Agostino De Santis, die später von seinem Sohn Tano De Santis fortgeführt wurde, erfuhr in den 1940er bis 1960er-Jahren steten Zuwachs. Eine Übersicht über das bis dahin Bekannte findet sich in der von Lorenzo Quilici und seinem Team veröffentlichten *Carta archeologica della piana di*

Sibari von 1968/1969⁶⁷. In grösserem Umfang setzte die Erforschung von Francavilla Marittima allerdings erst 1963 ein, als Paola Zancani Montuoro, unterstützt von Maria Stoop und Marianne Kleibrink, im Auftrag der *Società Magna Grecia* und der Soprintendenza mit der systematischen Untersuchung des Timpone Motta in Francavilla Marittima und der zugehörigen Nekropole begann (Abb. 1.1).

Das Gräberfeld der Macchiabate wurde von Paola Zancani Montuoro selbst zwischen 1963 und 1969 erforscht, wobei insbesondere sieben Zonen im Fokus standen, die mit den Beinamen Cerchio Reale, Cima, Lettere, Strada, Temparella, Uliveto und Vigneto versehen wurden (Taf. 2 Nr. 1. 10. 12. 15. 17. 21. 25). Ihre Grabungsberichte, veröffentlicht zwischen 1970/1971 und 1983/1984 in den *Atti della Società Magna Grecia*, bilden bis heute eine zentrale Grundlage für die Erforschung der oionotrischen Kultur in der Sibaritide und ganz besonders der Bestattungssitten der eisenzeitlichen Bevölkerungen am Golf von Tarent. Mit dem Ende der Ausgrabungen von Paola Zancani Montuoro fiel die Nekropole auf der Macchiabate dem Vergessen anheim und verschwand unter der dichten Vegetation⁶⁸.

Einem Reinigungs- und Restaurierungsprojekt unter der Leitung von Rossella Pace, Marianne Kleibrink und Pino Altieri ist es zu verdanken, dass die Gräber 2006 und 2007 von der Macchia befreit und als Teil des *Parco Archeologico* der Öffentlichkeit wieder zugänglich gemacht werden konnten⁶⁹. 2009 konnte die Erforschung des Gräberfeldes von Francavilla Marittima durch den Fachbereich Klassische Archäologie der Universität Basel erneut aufgenommen werden (Abb. 1.2; 1.3).

Während die Nekropole selbst in einen vierzigjährigen Dornröschenschlaf verfiel, fand in der Forschung eine rege Aus-

64 Fiorelli 1879, 155 f. Für das Archivmaterial zu diesen Funden siehe Colelli 2014c, 306–310. Für die Geschichte der Entdeckung und der Forschungen in Francavilla Marittima siehe De Lachenal 2007.

65 Zur Sammlung, die sich seit 2017 in der Obhut des Museo Archeologico Nazionale von Reggio Calabria befindet: Colelli 2018; Malacrino – Costanzo 2018; Paoletti 2018a; Paoletti 2018b; Colelli 2019.

66 Zur Lage vgl. Galli u. a. 1936, 79 Abb. 1. Die Karte ist allerdings fehlerhaft.

67 Quilici u. a. 1968/1969, bes. 104 Nr. 41–49. 109–111 Nr. 139–148. Zum Survey-Projekt s. Einleitung von G. Foti in Quilici u. a. 1968/1969, 91 f. und de Neef 2016, 19 f.

68 Bis in die frühen 2000er-Jahre sind lediglich vereinzelt Begehungen und Surveys auf der Macchiabate-Nekropole und dem angrenzenden Gelände bekannt. So vermerkt F. Gandolfo 1983 den Zufallsfund einer Schildfibel im Bereich der Flur Pietra Catania, d. h. zwischen dem heutigen archäologischen Park und dem modernen Dorf (F. Gandolfo in: Peroni – Trucco 1994, 668 f. Taf. 123, 8). Das Team des *Groningen Institute of Archaeology* führte sowohl innerhalb des heutigen archäologischen Parks als auch ausserhalb verschiedene Surveys durch. Für einen Überblick zu den Untersuchungen von 1994 und 1998 s. Haagsma 1996, 47–52; zusammenfassend dazu de Neef 2016, 23–30. Die Ergebnisse der jüngeren Feldbegehungen sind im digitalen Katalog des *Raganello Archaeological Project* (RAP) enthalten, dessen Veröffentlichung sich in Vorbereitung befindet: de Neef 2016, 71; van Leusen u. a. in Vorbereitung. Zu den Feldbegehungen des RAP in der Flur Pietra Catania: de Neef 2016.

69 Pace 2006; Pace 2008a.



Abb. 1.2 Das Areal Strada vor den Basler Ausgrabungen (2009).

einandersetzung mit den Gräbern und ihren Funden statt. Hier sind als Erstes die bereits erwähnten Grabungsberichte von Paola Zancani Montuoro zu nennen, die bis heute die Grundlage jeglicher inhaltlichen Auseinandersetzung mit der Nekropole darstellen⁷⁰. Eine erste übergeordnete Analyse der Gräber verdanken wir Juliette de La Genière (1994)⁷¹. Sie befasst sich in erster Linie mit der Chronologie der Gräber und ihrer Relevanz für die Besiedlungsgeschichte der Sibaritide im Kontext der Gründung von Sybaris, eine Frage, die bis heute im Mittelpunkt zahlreicher Publikationen steht. So auch in einer 1995 erschienenen Studie von Marja Vink⁷² und ebenso in den zahlreichen Arbeiten von Marianne Kleibrink, für die hier stellvertretend auf einen übergreifenden Aufsatz von 2004 verwiesen sei⁷³. Alle Studien vertreten dabei übereinstimmend die Ansicht, dass die verschiedenen Bestattungsgruppen durch verwandtschaftliche Beziehungen determiniert seien. In zwei unabhängig voneinander entstandenen Untersuchungen von 1994 entwickelten Juliette de La Genière und Renato Peroni dabei das von Etrurien inspirierte Modell einer gentilisch strukturierten Siedlungs- und Bestattungsgemeinschaft, die ihre Toten nach Kleinfamilien (*famiglie nucleari*) gruppiert

in den Grabbezirken der übergeordneten sozialen Verbände (*gentes, génē, Clans*) bestattete⁷⁴. Marianne Kleibrink hat dieses Modell in den folgenden Jahren wieder aufgenommen und dahingehend verfeinert, dass sie die genealogische Zusammengehörigkeit der Verstorbenen zu rekonstruieren und damit die chronologische Abfolge der Gräber im grössten Grabbezirk, der Temparella, zu präzisieren versuchte.

Stärker auf das Fundmaterial und seine kontextuelle Klassifizierung sind verschiedene Beiträge von Rossella Pace ausgerichtet⁷⁵. Francesco Quondam und Francesca Ferranti haben sich in diversen Studien mit der Typologie und Chronologie der Funde befasst⁷⁶. Als Grundlage ihrer Untersuchungen diente ihnen die von Francesco Quondam in seiner (noch unpublizierten) *Tesi di Laurea Specialistica in Archeologia* geleistete Neubearbeitung des gesamten eisenzeitlichen Fundmaterials aus der Nekropole von Francavilla Marittima⁷⁷. Parallel dazu entstanden an der Universität Cosenza unter der Leitung von Paolo Brocato eine Reihe von Seminararbeiten zu Einzelaspekten der Macchiabate-Nekropole, basierend auf den Grabungsberichten von Paola Zancani Montuoro. Sie wurden 2011 und 2014 in zwei Sammelbänden zusammen mit ergänzenden Stellungnahmen weiterer Forscherinnen und Forscher veröffentlicht⁷⁸.

Innerhalb des Gräberfeldes von Francavilla Marittima richtete sich das Interesse des Basler Forschungsprojektes als Erstes auf die Frage nach dem Verhältnis zwischen den grossen Bestattungsarealen und Grabhügeln auf der einen und den sog. Einzelgräbern (*tombe isolate*) auf der anderen Seite. In älteren Publikationen wurde die Vermutung geäussert, dass die sog. Einzelgräber in die Frühzeit der Nekropole gehörten und von Familien stammten, die nur kurze Zeit bestanden, während in den grossen Bestattungsarealen wie jenem der Temparella die Mitglieder von sozialen Verbänden bestattet waren, die über mehrere Generationen existierten und ihre Macht kontinuierlich forttradierten⁷⁹. Im Mittelpunkt der Debatte stand dabei das sog. Grab 'Strada', das aufgrund der darin gefundenen 'phönizischen' Bronzeschale seit Langem im Fokus der Forschung steht und als Paradebeispiel eines sog. Einzelgrabes galt (vgl. Abb. 2.2; 2.3; Taf. 7, 2)⁸⁰. Dank der Reinigungsarbeiten von 2006 und 2007 zeichneten sich in unmittelbarer Nachbarschaft des Grabes entlang der sog. Strada, eines Pfades, der das Gehöft der Familie De Leo mit dem hangaufwärts gelegenen Hof der Familie Tarantino verbindet, weitere Gräber an der Oberfläche ab (Abb. 1.2). Ihnen und damit dem Gräberareal Strada als übergreifender Einheit galt unser primäres Interesse, verbunden mit der Frage nach dem räumlichen und zeitlichen

70 Zancani Montuoro 1970/1971a; Zancani Montuoro 1974–1976; Zancani Montuoro 1977–1979; Zancani Montuoro 1980–1982; Zancani Montuoro 1983/1984.

71 De La Genière 1994.

72 Vink 1994/1995.

73 Kleibrink 2004b, bes. 54–74. Vgl. auch die zusammenfassende Darstellung in Kleibrink 2010, 19–75.

74 De La Genière 1994, 155; Peroni 1994, 871.

75 Pace 2008b; Pace 2014.

76 Ferranti – Quondam 2006a; Quondam 2009; Luppino u. a. 2012; Quondam 2014; Ferranti – Quondam 2015; Quondam 2016.

77 Quondam 2011.

78 Brocato 2011; Brocato 2014.

79 Kleibrink 2004b, bes. 74; Kleibrink 2011b.

80 Zancani Montuoro 1970/1971a; s. Kapitel 2.



Abb. 1.3 Das Areal Strada während den Basler Ausgrabungen (2011).

Verhältnis der hier lokalisierten Bestattungen zum bekannten Grab Strada, das in der Folge als Grab Strada 1 bezeichnet wurde.

Ein zweites Augenmerk richtete sich auf die Entwicklung der Nekropole als Ganzes, wobei insbesondere die Frage nach den Auswirkungen der Gründung von Sybaris auf die einheimische Bevölkerung von Francavilla Marittima und ihre Bestattungstradition auf der Macchiabate im Fokus stand. Konkret hegen wir die Hoffnung, mit den neuen Ausgrabungen einen Beitrag zur Kontroverse um die Folgen der um 720/710 v. Chr. situierten Gründung von Sybaris leisten zu können. In der Forschung stehen sich diesbezüglich unterschiedliche Auffassungen gegenüber. Während ein Teil der Forscher von einer gewaltsamen Erschließung des einheimischen Territoriums durch die griechischen Siedler ausgeht und mit einem Siedlungsab- bzw. -unterbruch auf dem Timpone Motta in Francavilla Marittima um 700 v. Chr. rechnet, vertreten andere Wissenschaftler die Auffassung eines kontinuierlichen Übergangs von der vor- in die koloniale Zeit mit einer ungebrochenen Nutzung des Gräberfeldes auf der Macchiabate⁸¹.

81 Im Wesentlichen stehen sich drei verschiedene Standpunkte gegenüber. R. Peroni und A. Vanzetti favorisieren ein Modell, das von einer Erschließung der Sibaritide durch einheimische Gruppen lange vor dem ersten Auftauchen der Griechen und einem abrupten, gewaltsamen Eindringen der Griechen gegen Ende des 8. Jahrhunderts ausgeht. Dagegen befürworten P. Guzzo und E. Greco eine Sichtweise, der zufolge die einheimische Bevölkerung erst durch die Aktivitäten fremder Seefahrer an der Küste an die Abhänge des Pollino-Gebirges und in die Küstenebene gelockt wurde. Auch sie rechnen mit einer gewaltsamen Unterwerfung der einheimischen Bevölkerung durch die griechischen Kolonisten in einer frühen Phase des Kontaktes. Demgegenüber hat sich M. Kleibrink (2001) für einen langsamen und graduellen Übergang von der präkolonialen in die koloniale Phase ausgesprochen. Während sie damit für die Frühphasen das Modell von Peroni und Vanzetti vertritt, steht ihr Konzept eines Weiterbestehens der oinoitrischen Kultur als bestimmender

Von Anfang an war es dagegen nicht das Ziel des Basler Projektes, möglichst viele weitere Gräber auszugraben. Vielmehr sollte anhand einer möglichst genauen Aufnahme von Funden und Befunden eine Referenz für die von Paola Zancani Montuoro erforschten Gräber geschaffen werden. Dabei zeigte sich, dass die Gräber des Areals Strada in vielerlei Hinsicht eine eng zusammengehörende Gruppe bilden, zu der auch das sog. Grab Strada (Strada 1) gehört.

Gewissermaßen als Nebenprodukt unserer Forschungen im Areal Strada erwiesen sich die Grabungen im Areal De Leo, das etwa 30 m südwestlich der Strada liegt (Taf. 2 Nr. 16). Sie erfolgten im Anschluss an die zufällige Entdeckung des Grabes De Leo 1 bei landwirtschaftlichen Arbeiten auf dem westlich an das Gehöft anschließenden Feld der Familie De Leo. Das Grab, das unmittelbar am Rande des Grundstücks De Leo lag, war beim Pflügen tangiert worden, glücklicherweise nur ganz leicht, so dass die Bestattung bis auf einige Scherben eines Kraters intakt und unberührt angetroffen wurde. Das Grab konnte im Sommer 2014 im Rahmen einer Rettungsgrabung geborgen werden, zusammen mit den Resten eines teilweise bereits gestörten Kindergrabes (De Leo 2). Auf weitere Untersuchungen im Umfeld der beiden Gräber wurde verzichtet.

Seit dem Sommer 2015 haben sich die Forschungen der Universität Basel auf eine Zone weiter im Osten der Nekropole verlagert, wo zurzeit ein weiteres Gräberareal, das sog. Areal Est, freigelegt wird (Taf. 2 Nr. 9)⁸². Ein weiterer Bestattungsort kam durch Zufall zum Vorschein, der sog. Settore 82, ein Bereich, der im Winter/Frühling 2015 bei Reparaturarbeiten an einer Wasserleitung unbemerkt tangiert worden war (Taf.

Faktor bis weit ins 7. Jh. v. Chr. in markantem Gegensatz zu den beiden anderen Hypothesen. Zusammenfassend zur Forschungsdebatte: Burgers 2004. Vgl. auch Vanzetti 2009 und Guzzo 2016, 61–82.

82 Guggisberg u. a. 2016; Guggisberg u. a. 2017; Guggisberg u. a. 2018.

2 Nr. 8)⁸³. Schliesslich steht seit 2018 ein weiterer Bereich der Nekropole im Fokus der Untersuchungen, das Areal ‘Collina’, in dem Gräber der archaischen Zeit zum Vorschein gekommen sind (Taf. 2 Nr. 4)⁸⁴.

Im vorliegenden Band werden die Ergebnisse der Ausgrabungen in den Arealen Strada und De Leo vorgelegt (2009–2016)⁸⁵. Dabei sei angemerkt, dass die Bestattungsareale in beiden Fällen nicht vollständig erforscht werden konnten. Während im Areal De Leo von Anfang an nur die Bergung der beiden durch Landwirtschaftsarbeiten in Mitleidenschaft gezogenen Gräber De Leo 1 und 2 beabsichtigt war, verhinderte im Falle des Areals Strada die angrenzende Macchia sowie eine am Rande der Grabungszone gelegene Wasserleitung und ein Telefonmast die vollständige Freilegung des Bestattungsplatzes nach Nordosten und Südwesten. Im Süden stösst das Areal an das Grundstück der Familie De Leo. Inwiefern bei der Errichtung der verschiedenen Gebäude des modernen Gehöfts die Nekropole als solche tangiert wurde, ist schwer zu ermessen. Es bleibt daher unklar, wie weit sich die Gräbergruppe nach Süden sowie unterhalb der Macchia nach Osten und Westen ausgedehnt hat. Nur der nördliche Abschluss scheint fassbar. Hier wurde bei den geophysikalischen Untersuchungen 2012 ein ‘leeres Areal’ gefasst, das nördlich an das Grab Strada 17 anschliesst und eine Grenze zur nächsten, weiter im Nordwesten gelegenen Bestattungsgruppe bildet (Taf. 5).

Martin A. Guggisberg, Camilla Colombi

83 Guggisberg u. a. 2016, 62 f.

84 Guggisberg u. a. 2019.

85 Das Manuskript wurde 2019 fertiggestellt und berücksichtigt die bis zu diesem Datum erschienene Literatur.

2 Tomba Strada 1

2.1 La scoperta

La scoperta della tomba Strada⁸⁶ avvenne in maniera del tutto fortuita il 25 giugno 1963, durante la prima campagna di ricerca della Società Magna Grecia a Francavilla Marittima, e come tale è indissolubilmente legata alle figure di Umberto Zanotti Bianco e soprattutto di Paola Zancani Montuoro, che della Società Magna Grecia furono l'uno promotore, l'altra instancabile protagonista per oltre un cinquantennio. Affini per educazione, censo, caratura intellettuale, stretti da un sodalizio che seppe declinare in ogni sua sfumatura il comune amore per il Mezzogiorno – dalla passione condivisa, pervasiva e inesauribile, per l'archeologia della Magna Grecia, all'impegno nel campo della filantropia sociale, che Zanotti Bianco da attento meridionalista perseguì sin dai primi del '900 – con il loro appassionato rigore essi regalarono a Francavilla Marittima una delle più felici e feconde stagioni della ricerca sul campo, la prima condotta in maniera sistematica e secondo canoni propriamente scientifici⁸⁷.

I luoghi non erano certo ignoti a Zanotti Bianco, che nel 1932 aveva condotto una prima, pionieristica campagna di scavi al Parco del Cavallo di Sibari, approdata poi in tipografia, postuma, solo un trentennio più tardi⁸⁸; gli anni erano quelli, durissimi, del ventennio fascista, ed entrambi i nostri protagonisti pagarono cara la propria opposizione al regime, il primo sottoposto a oppressivi controlli di polizia, culminati nell'allontanamento forzato dallo scavo di Sibari (1932), e poi nell'arresto e confino (1941), la seconda esclusa da qualsiasi possibilità d'incardinazione nell'Accademia, dominata all'epoca da un fervore romanocentrico intriso di spiccato maschilismo, ma che di tale obbligato ruolo di *outsider* seppe fare uno dei punti di forza della propria personalità fuori dall'ordinario⁸⁹.

Fu solo dagli anni '60 del secolo scorso, in un clima politico e sociale ormai completamente rinnovato, che s'intavolarono in Sibaritide nuovi progetti sul campo dall'ampio respiro. Sebbene a dominare l'attività archeologica del decennio fosse

soprattutto la ricerca di Sibari⁹⁰, l'importanza di Francavilla Marittima non sfuggì certo a Paola Zancani Montuoro, attiva sul territorio già dall'agosto 1960. Con la capillare meticolosità che le era propria, ella visitò più volte i luoghi e rastrellò pazientemente ogni brandello d'informazione, dagli scarni rinvenimenti fortuiti già editi⁹¹ sino alle ben più appetitose testimonianze, orali e materiali, di appassionati e notabili locali: il dottor Agostino De Santis, medico condotto di Francavilla Marittima, con il figlio Tanino, titolari di una ricca raccolta di antichità francavillesi⁹²; il contadino Pietro De Leo, le cui proprietà insistevano proprio nell'area della necropoli di Macchiabate; Ermanno Candido con il figlio Mario, di Corigliano Calabro, anch'essi appassionati collezionisti di archeologia.

L'anno seguente, il crescente interesse per l'archeologia di Francavilla Marittima divenne tangibile anche nelle parole di Amedeo Maiuri, che al I Convegno tarantino sulla Magna Grecia la definì come «una delle mete più urgenti della ricerca archeologica nella Sibaritide»⁹³. Nonostante i tempi apparissero ormai maturi per un'indagine sistematica, Paola Zancani Montuoro non si risolse per un intervento sul campo prima del dicembre 1962, quando una documentata lettera di Tanino De Santis la rese partecipe della devastante attività degli scavatori di frodo sul Timpone della Motta⁹⁴. La Soprintendenza calabrese, allora diretta da Giuseppe Foti, fu ben lieta di accettare la collaborazione offerta dalla Società Magna Grecia, che si assunse la copertura di tutti gli oneri economici. Il periodo prescelto per la prima campagna fu quello compreso tra

86 D'ora in poi Strada 1.

87 Molti aspetti della poliedrica personalità di Zanotti Bianco sono esplorati in recenti, importanti contributi (segnalati con la consueta competenza da Fabrizio Vistoli, che ringrazio): Zoppi 2009; Grasso 2015; Grasso 2017; Venniro 2018; per un profilo più squisitamente archeologico, De Haan 2008; De Haan 2016. Vita, personalità e opere di Paola Zancani Montuoro, di cui è da poco ricorso il trentennale dalla scomparsa (1987), sono tratteggiate nella recente voce del «Dizionario Biografico degli Italiani», a cura dello stesso F. Vistoli (2012), oltre che nei contributi raccolti in Russo 2007.

88 Rimando al recente contributo di P. G. Guzzo (2014/2015), che chiarisce molti aspetti delle ricerche di Zanotti Bianco a Sibari e del suo rapporto con l'allora Soprintendente Edoardo Galli.

89 Vlad Borrelli 2010.

90 Con le prospezioni nella piana del Crati, che già solo nell'emblematico titolo del volume che ne accolse l'edizione (il celebre «The search for Sybaris»: Rainey – Lerici 1967) riassumono lo spirito del decennio, seguite poi da quelle del gruppo romano guidato da Lorenzo Quilici (Quilici u. a. 1968/1969) e dalla ripresa delle indagini al Parco del Cavallo sotto la direzione di P. G. Guzzo (Sommella u. a. 1969).

91 Fiorelli 1879; Galli u. a. 1936.

92 Ora custodita presso il Museo Archeologico Nazionale di Reggio Calabria, che vi ha dedicato nel luglio 2018 un'importante mostra coronata dall'edizione integrale dei reperti: Malacrino u. a. 2018.

93 Maiuri 1962, 21.

94 Come riassunto in Foti 1964, 177 s., che attinge alla relazione sulla prima campagna di scavo inviata da P. Zancani Montuoro alla Soprintendenza calabrese nel 1963 (per la quale *infra*, cap. 2.2), dove si legge: «il rinnovato interesse per la ricerca di Sibari, la ripresa degli scavi al Parco del Cavallo da parte della Soprintendenza ed altre iniziative più o meno discordi mi trattennero dal proporre l'indagine nel territorio di Francavilla Marittima. Finché nel dicembre u.s. appresi da una precisa e documentata lettera di T. De Santis ch'erano state praticate buche da scavatori di frodo proprio sulla vetta del Timpone Motta e mi parve improrogabile il dovere di segnalare al Direttore Gen. delle AA. e BBAA. l'importanza del problema, affinché provvedesse senz'altro indugio a stanziare i fondi necessari per un intervento ufficiale ed impedisse così l'estendersi di danni irreparabili».

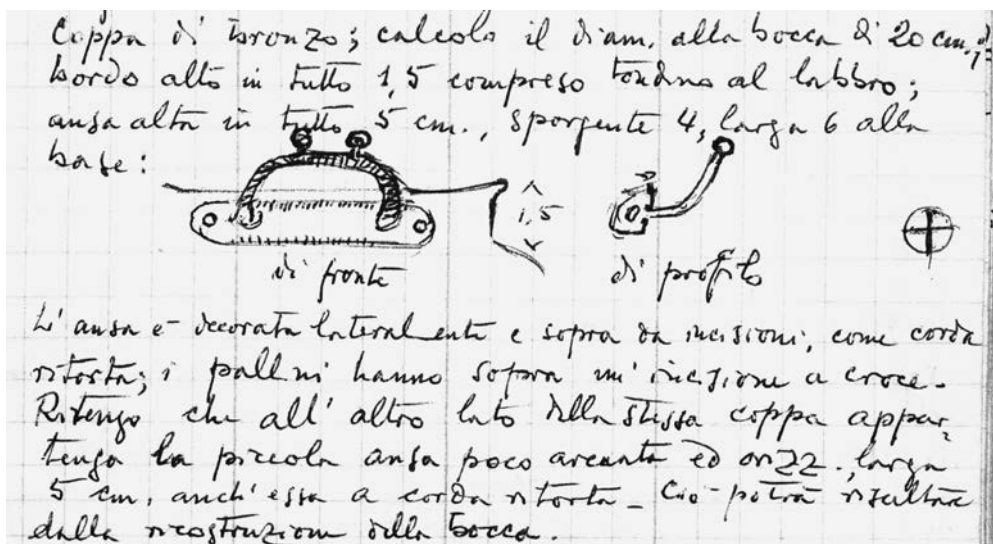


Fig. 2.1 Schizzo della maniglia della coppa dalla tomba Strada 1 (cat. S1/22) sul taccuino di scavo di Paola Zancani Montuoro. Su gentile concessione dell'Archivio dell'Accademia Nazionale dei Lincei.

la primavera inoltrata e l'inizio dell'estate (11 giugno – 2 luglio 1963), l'intervento sul campo articolato in due settori: lo scavo della necropoli di Macchiabate, diretto da Paola Zancani Montuoro in persona, e quello sull'acropoli di Timpone della Motta, affidato a Maria Wilhelmina Stoop, collaboratrice fidata di Zancani e Zanotti Bianco sin dagli anni delle ricerche sul Sele.

A questa prima campagna ne seguirono, com'è noto, altre sei (1964–1969), con risultati davvero eccezionali: basti ricordare i tre templi arcaici del Timpone Motta, con i ricchissimi depositi votivi e l'eccezionale tabella di Kleombrotos; le quasi 150 tombe di Macchiabate, dove le sepolture dell'VIII secolo a.C. rivelarono un fasto 'aristocratico' e una complessità della trama sociale ed economica, intessuta di rapporti con il mondo eggeo e orientale, sino ad allora ignota in Sibaritide; le case arcaiche con i sottoposti livelli del Bronzo e del Ferro sui pianori inferiori del Timpone Motta, esplorati nel 1968/1969 da una giovanissima Marianne Kleibrink⁹⁵.

Al momento della scoperta della tomba Strada 1, la maggior parte dei ritrovamenti appena elencati era però ancora di là da venire, e le ricerche muovevano appena i primi, timidi passi, saggiando il terreno in cerca dei luoghi più promettenti. Nelle due settimane precedenti, Paola Zancani Montuoro aveva esplorato la prima decina di tombe nel settore Lettere, il più occidentale tra i suoi saggi a Macchiabate, dove la composizione piuttosto semplice dei corredi funerari non lasciava ancora sospettare in alcun modo lo sfarzo poi rivelatole dallo scavo dalla Temparella. Uno sfarzo rimasto invece ignoto a Zanotti Bianco: dopo aver affiancato Zancani Montuoro nelle prime due settimane di scavo, il Senatore lascerà infatti Francavilla Marittima il 23 giugno, appena due giorni prima della scoperta della tomba Strada 1, per poi spegnersi a Roma solo un paio di mesi più tardi, il 28 agosto 1963, all'età di 74 anni⁹⁶.

Ma torniamo ora alla tomba Strada 1, ripercorrendone il rinvenimento attraverso le parole della scopritrice. Così annota il diario di scavo alla pagina di martedì 25 giugno 1963⁹⁷: »sulla strada campestre poco al di sopra della casa di Pietro De Leo noto un saggio recente (mi dicono fatto da T.D.S. [Tanino De Santis, n.d.a.]⁹⁸, per 40–50 cm sopra due enormi massi simili a pilastri. Profitto del saggio per sterrare una evidentissima tomba!«. Si trattò pertanto di un recupero del tutto fortuito, in un settore della necropoli in cui non era programmata, né fu poi condotta, alcuna ricerca sistematica. Dal limite orientale della tomba, marcato appunto dai due »pilastri«, lo scavo procedette verso ovest, dove a circa 3 m di distanza se ne intuiva l'opposto margine occidentale: si rinvennero così la brocchetta cat. S1/20, la coppa bronzea cat. S1/22 e l'orcio cat. S1/21; inoltre, i primi frammenti della forma chiusa cat. S1/1, la fibula serpeggiante in ferro (cat. S1/19), gli anelli digitali in bronzo e ferro (catt. S1/12. 13) e parte degli anelli e pendagli bronzei (catt. S1/14–16).

Sospeso all'imbrunire da una Donna Paola digiuna⁹⁹, lo scavo fu completato il giorno successivo, quando sul piano di deposizione s'individuaronò i restanti anellini e spirali frammentarie (catt. S1/14–18), i bottoncini e la collana d'ambra con il vago di vetro e il pendente bronzeo a goccia (catt. S1/4–7), oltre al dolio cat. S1/2 con i rimanenti frammenti del vaso cat. S1/1; nel pomeriggio le indagini si sposteranno poi al Cerchio Reale, già oggetto nei giorni precedenti di un primo rilievo sommario.

95 De Lachenal 2007 offre una bibliografia completa di tale stagione di ricerche.

96 Così in Foti 1964, 177, e nella relazione del 1963 (per la quale *infra*, cap. 2.2): »U. Zanotti Bianco ha partecipato dall'inizio al 23 giugno«.

97 Devo alla generosa cortesia di Elisa Lissi Caronna e di Marco Guardo, Direttore della Biblioteca, la possibilità di accedere al fondo Zancani Montuoro depositato presso l'Accademia dei Lincei in Palazzo Corsini a Roma, e di cui ho provveduto circa 10 anni fa a un primo ordinamento; il fondo è ora confluito nell'Archivio Storico dell'Accademia, sotto la cura di Paola Cagiano de Azevedo.

98 La notizia che questo scavo fu compiuto da Tanino De Santis è ripresa anche da M. Kleibrink (2010, 24), ma fu invece omessa nell'edizione: Zancani Montuoro 1970/1971a, 11 s. nota 3.

99 Dal diario di scavo: »sono rimasta tutto il giorno digiuna perché T.D.S. non è venuto a rilevarmi ma ha mandato un biglietto scusandosi perché era malato«.

Come ricordato anche nell'edizione del complesso, nessun indizio lasciò trapelare l'eccezionalità del rinvenimento appena compiuto: la decorazione sbalzata della coppa bronzea era infatti completamente invisibile, celata da spesse incrostazioni; ad attirare l'attenzione di Paola Zancani Montuoro fu soprattutto la peculiare ansa a maniglia, di cui il giornale di scavo registra una descrizione puntuale, corredata di schizzo misurato (fig. 2.1)¹⁰⁰; per il recipiente, invece, solo qualche accenno allo stato di conservazione e una prima valutazione della tipologia dell'orlo e delle proporzioni complessive.

La 'scoperta' vera e propria della coppa avvenne solo sette anni più tardi, nell'estate del 1970, quando dopo un periodo di giacenza forzata nei depositi del Museo Nazionale di Reggio Calabria i materiali degli scavi Zancani Montuoro furono accolti nei locali del nuovo Antiquarium di Sibari: identificata dopo una prima pulitura la decorazione a sbalzo, la coppa fu affidata alle mani esperte di Edilberto Formigli, che a Firenze ne curò la pulizia, consolidamento e ricomposizione.

Al restauro fece seguito l'immediata illustrazione del rinvenimento: le pagine degli «Atti e Memorie della Società Magna Grecia», di cui Paola Zancani Montuoro fu a lungo direttrice, accolsero così nelle annate 1970/1971 un ampio saggio a sua firma. Il testo, che inaugura la serie di contributi dedicati all'edizione sistematica degli scavi di Macchiabate, focalizza in particolare sulla coppa, senza però trascurare il complesso di rinvenimento e le associazioni di corredo; al tradizionale impianto catalogico, poi adottato nei successivi saggi, si predilige qui una forma più discorsiva, ma comunque corredata di pianta e immagini dello scavo, oltre che di fotografie e disegni piuttosto sommari degli elementi di corredo¹⁰¹.

Com'è prevedibile, nei decenni successivi il dibattito s'incenerà soprattutto sulla coppa, intorno alla quale fiorirà una ricca bibliografia (*infra*, cap. 2.3.3); più scarsa invece l'attenzione dedicata alla sepoltura, se si eccettuano i numerosi contributi di Marianne Kleibrink e quello più recente di Rossella Pace, cui si deve anche un intervento sul campo per il ripristino dei resti della sepoltura (2006)¹⁰².

Prima di procedere, è utile sgombrare definitivamente il campo da quello che non può essere definito altro se non un equivoco: mi riferisco dalla presunta posizione isolata che la tomba Strada 1 avrebbe occupato nel tessuto della necropoli, un isolamento che, lungi dal riflettere l'effettivo assetto antico, trova la sua ragione soltanto nel carattere asistematico dell'intervento di scavo Zancani, qui limitato appunto solo al recupero della tomba in discorso, ma che nonostante ciò si è imposto



Fig. 2.2 Tomba Strada 1, vista da est verso ovest (2011).

in molta letteratura recente come uno dei caratteri più peculiari e inconsueti della sepoltura, indice di eccezionale status¹⁰³. D'altronde, basteranno le sepolture illustrate in questo volume a chiarire in maniera definitiva con la loro contiguità topografica come la tomba Strada 1 fosse coerentemente inserita in un tessuto funerario denso e coprente, in linea con quanto riscontrato anche negli altri saggi nella necropoli.

Un'ultima, importante notazione riguarda infine lo stato di conservazione della sepoltura. Abbiamo visto come a motivarne la scoperta fu un «saggio recente», che, intaccata la deposizione, ne impose il recupero: non vi è quindi alcun dubbio che la tomba si rinvenne in almeno parziale stato di manomissione. L'edizione del 1970/1971 precisa l'entità del danneggiamento, circoscritto a una fascia ampia circa 0,5 m al margine orientale della sepoltura, «dove il piccone era sprofondato, distruggendo anche il pavimento»; il corredo, per quanto «malconcio», è invece giudicato nel complesso «non manomesso», quanto piuttosto danneggiato da «piedi, zoccoli e zampe» di coloro che, «tracciando un sentiero tra i lentischi, pestarono le pietre della copertura, ne scalarono molte»¹⁰⁴. Queste considerazioni dovettero essere sviluppate soprattutto al momento della stesura del testo a stampa: il giornale di scavo, infatti, si limita a registrare posizione e dimensioni del saggio clandestino, senza discutere nel dettaglio l'integrità della sepoltura. Allo stato di conservazione si riferisce però in maniera indiretta un importante passaggio delle annotazioni di Paola Zancani Montuoro:

100 La fibula serpeggiante in ferro cat. S1/19 fu inizialmente interpretata come seconda ansa della coppa bronzea: «Ritengo che all'altro lato della stessa coppa appartenga la piccola ansa poco arcuata ed orizz., larga 5 cm, anch'essa a corda ritorta. Ciò potrà risultare dalla ricostruzione della bocca».

101 Zancani Montuoro 1970/1971a (con appendice di E. Formigli).

102 Kleibrink 2003, 43 s.; Kleibrink 2004a, 558–560; Kleibrink 2010, 22–27. Pace 2014; il ripristino dei resti della sepoltura è illustrato in Pace 2006; Pace 2008a.

103 Kleibrink 2003, 43; Kleibrink 2004a, 558; Kleibrink 2010, 27.

104 Zancani Montuoro 1970/1971a, 10 s.



Fig. 2.3 Tomba Strada 1, vista verso nord-ovest (2009).

«caratteristiche di questa tomba, che chiamo S[trada] dalla sua posizione nel mezzo della strada campestre, sono la maggiore quantità di terra rispetto alle pietre e di terra più molle e friabile, che si rimuove con minore sforzo anche per l'assenza delle radici di lentischi; inoltre il fondo ha uno strato regolare di pietre abbastanza lisce da dare l'impressione di un pavimento, ch'è certo il piano di deposizione».

Il riempimento friabile e terroso della sepoltura apparve quindi anomalo alla Zancani, che nel saggio di Lettere aveva già avuto modo di sperimentare la struttura massiva e coesa dei cumuli di ciottoli fluviali sovrapposti alle deposizioni intatte¹⁰⁵. Non credo vi possano essere dubbi sul fatto che tale anomalia dipenda dal pessimo stato di conservazione della sepoltura, evidentemente danneggiata e/o manomessa in maniera assai più diffusa di quanto registrato dalla scavatrice. Nella medesima direzione indirizza anche il precario stato delle spallette perimetrali, con filari in pietrame discontinui e lacunosi, documentato tanto nelle foto di scavo, quanto nel corso della recente ripulitura (figg. 2.2; 2.3). È pertanto plausibile che il corredo recuperato dalla Zancani non costituisca altro se non la parte superstita di un insieme originariamente più vasto, e che alcuni degli ornamenti che ne componevano la *parure* siano oggi documentati solo da pochi frammenti, piccole parti di un tutto di cui proveremo a restituire un'ipotetica immagine d'insieme.

105 Per esempio, tomba B: Zancani Montuoro 1977–1979, 15; nel caso della tomba F (Zancani Montuoro 1977–1979, 18), «la quantità di terra infiltrata dimostrava l'asportazione di buona parte della copertura». Due anni più tardi, durante lo scavo della tomba V6 del saggio di Vigneto, P. Zancani Montuoro sarà impressionata «al vedere l'indescrivibile quantità e il volume di pietre [...] ammassate per circondare e coprire l'angusto spazio della deposizione» (Zancani Montuoro 1977–1979, 82).

2.2 La sepoltura

Più che un rilievo vero e proprio, la pianta della sepoltura edita (tav. 6, 3) costituisce la trasposizione dello schizzo misurato e degli appunti redatti sul taccuino di scavo (tav. 6, 1), secondo una prassi ampiamente adottata da Paola Zancani Montuoro anche per gli altri saggi nella necropoli: si tratta pertanto di un'elaborazione a posteriori, in cui alcuni caratteri della sepoltura sono accentuati, altri invece omessi. Una terza planimetria, approntata come corredo grafico alla relazione di scavo indirizzata nel 1963 all'allora Soprintendenza calabrese, e di cui il Fondo Zancani dei Lincei conserva la minuta (tav. 6, 2), occupa una posizione intermedia tra lo schizzo sul taccuino e la pianta edita: redatta a tavolino rielaborando misure e appunti del giornale di scavo, differisce da quest'ultima solo nella resa più naturalistica del corredo e in particolare del vasellame, che nella pianta data alle stampe è invece simboleggiato da una lettera.

Tra i caratteri accentuati nella pianta edita, spicca la resa del tutto arbitraria delle spallette perimetrali, con ricorsi fitti e compatti di ciottoli, assai difforme dallo stato lacunoso e discontinuo delle strutture effettivamente rinvenute, come evocato anche dal perimetro nebuloso, ma assai più esile, che marca la sepoltura nello schizzo sul taccuino; assente in quest'ultimo, come anche nella pianta edita, è la pavimentazione in grandi ciottoli piatti, visibile nelle riprese fotografiche e appena accennata nella minuta del 1963¹⁰⁶. Forma e proporzioni complessive della pianta edita non differiscono eccessivamente da quelle reali, se si eccettua il minore sviluppo longitudinale della

106 La parziale copertura di restauro apposta dopo la ripulitura del 2006 non ha purtroppo consentito di procedere a un nuovo rilievo dei resti della sepoltura, che documentasse anche questo importante carattere strutturale.

sepoltura, come accertato grazie ai nuovi rilievi dell'Università di Basilea (tav. 6, 3; figg. 2.2; 2.3). Orientata in senso nord-ovest/sud-est, la tomba Strada 1 presenta un perimetro esterno pari a circa 3,1 x 2,2 m; il contorno è curvilineo, rastremato verso nord; sul lato corto meridionale, due grandi massi infissi in posizione angolare sono raccordati da un tratto di muratura in ciottoli assai lacunoso, forse rettilineo o appena stonato, che conferisce alla sepoltura forma ovale asimmetrica o sub-absidata. La fossa interna, che incide alla base il substrato, ne ricalca il perimetro esterno ed è foderata con un rivestimento continuo e coprente di grandi ciottoli piatti.

Alcuni caratteri strutturali della tomba, inconsueti o poco comprensibili nel contesto delle vecchie indagini, si prestano ora a una lettura più nitida grazie ai dati dei nuovi scavi: così il profilo sub-absidato della sepoltura, apparentemente raro negli altri settori della necropoli (pesano però i pochi rilievi di dettaglio disponibili), non è poi così inusuale nell'area Strada, dove diverse strutture funerarie presentano lati brevi asimmetrici e forma complessiva piano-convessa (si veda la pianta d'insieme a tav. 4); la pavimentazione in ciottoli piani, che ricorre nella maggior parte delle tombe di nuova indagine, costituisce inoltre quasi la norma in questo settore della necropoli, mentre tra i complessi degli scavi Zancani rappresenta piuttosto un'eccezione, documentata solo in poche altre tombe femminili con caratteri di spicco (Uliveto 16, Temparella 60 e Temparella 88); rara e inusuale è invece la coppia di grandi pietre angolari, che trova un parallelo solo nella tomba Cima degli scavi Zancani Montuoro¹⁰⁷.

Insomma, pur nelle lacune della documentazione 1963–1969 si coglie l'esistenza di variazioni topograficamente significative nelle forme sepolcrali, specchio a loro volta delle preferenze accordate da ciascun gruppo funerario, e quindi parentale, a specifici tipi tombali: un aspetto di cui dobbiamo alle recenti ricerche svizzere la progressiva messa a fuoco (si pensi anche alle tombe dell'area Est, assai più profonde rispetto alla media degli altri settori)¹⁰⁸, e su cui sarà necessario tornare a riflettere, comparando per quanto possibile vecchi e nuovi scavi.

Torniamo ora alla tomba Strada 1, per osservare posizione e distribuzione degli elementi di corredo. Agli opposti estremi della sepoltura era deposto il vasellame, ripartito in due gruppi: a est, subito a monte del saggio clandestino, l'orcio cat. S1/21, seguito poco più a nord dalla brocchetta cat. S1/20; infissa di taglio tra i due, con l'ansa verso il basso, la coppa bronzea cat. S1/22; a ovest, presso il lato corto curvilineo, il dolio cat. S1/2, affiancato o sormontato dall'anforetta cat. S1/1, i cui frammenti affioravano già a una quota superficiale¹⁰⁹. L'ampia fascia compresa tra i due gruppi di vasi, priva a ovest di rinvenimenti, accoglie nella sua metà centro-orientale gli ornamenti in me-

tallo, ambra e vetro, distribuiti in due insiemi prossimi tra loro, ma abbastanza distinti, su di una superficie complessiva di circa 1 m²: a occidente, i bottoncini e la collana d'ambra con altri pendenti e vaghi (catt. S1/4–7), insieme ad anellini e frammenti di fibule e altri ornamenti bronzei (catt. S1/9–11)¹¹⁰; più a est, vicino all'orcio e alla brocchetta, la fibula serpeggiante in ferro cat. S1/19, gli anelli digitali catt. S1/12, 13, e almeno parte dei catt. S1/14–18, che come vedremo comprendono anche frammenti di probabili pendagli da cintura. Per quanto i dati siano parziali, e la documentazione scadente, questa distribuzione degli ornamenti è coerente con quella riscontrata in molte altre sepolture femminili degli scavi Zancani Montuoro, in particolare nella successione tra elementi legati a testa e collo (bottoni, collana) e ornamenti di cintura e mani (anelli digitali), queste ultime in genere appoggiate al bacino¹¹¹. L'esigua distanza tra i due insiemi di ornamenti, lambiti inoltre a est dal gruppo orientale di vasi, suggerisce che il corpo fosse deposto in posizione assai contratta, rannicchiata o supino-rattratta, come per esempio nel caso della tomba Temparella 63¹¹²: se pertinenti davvero alle gambe, come proposto dalla scavatrice, la posizione dei pochi frammenti ossei rinvenuti non contrasterebbe con questa ipotesi¹¹³; ignoto è il fianco di deposizione.

Al centro della fossa, una chiazza nera di materiale organico, forse combusto, è collegata nell'edizione 1970/1971 a un sacrificio o al disfacimento di un elemento ligneo, ma all'atto del rinvenimento pose numerosi problemi interpretativi. Il taccuino di scavo e la relazione 1963, infatti, registrano la sepoltura come di rito incerto, contemplando pertanto implicitamente l'eventualità che si potesse trattare di una cremazione: un'ipotesi già scartata nell'edizione 1970/1971, che non appare certo oggi più percorribile¹¹⁴. Accumuli di ceneri e carboni

107 Zancani Montuoro 1977–1979, 44 s. tav. 21 c. Una pavimentazione in pietrame sarebbe documentata anche nella tomba infantile V4: Zancani Montuoro 1977–1979, 79.

108 Guggisberg u. a. 2016; Guggisberg u. a. 2017; Guggisberg u. a. 2018a.

109 Un nuovo frammento di questo vaso è stato recuperato nel corso della ripulitura del 2006: Pace 2008a, 13.

110 I catt. S1/9–11 sono specificamente riferiti a tale concentrazione solo nell'edizione 1970/1971 (Zancani Montuoro 1970/1971a, 12–14); il taccuino di scavo si limita infatti a registrare il rinvenimento di «fr. di fibule» non meglio specificati.

111 La posizione della fibula cat. S1/19, legata a questo secondo insieme di ornamenti, potrebbe dipendere da dinamiche post-deposizionali; anche nel caso della Temparella 60 una delle fibule serpeggianti in ferro fu però rinvenuta discosta dalla concentrazione principale di fibule, in corrispondenza della metà inferiore del corpo: Zancani Montuoro 1974–1976, 23 fig. 2 n. 41.

112 Zancani Montuoro 1983/1984, 32 fig. 7.

113 In data 26 giugno il diario di scavo registra soltanto «nessun altro resto di ossa, oltre i minuti frantumi trovati a piedi iersera»; l'attribuzione agli arti inferiori, proposta poi nell'edizione (Zancani Montuoro 1970/1971a, 12) si basa pertanto sulla posizione dei pochi resti ossei superstiti, e non sull'effettivo riconoscimento della loro pertinenza alle ossa lunghe delle gambe. Infine, nessun dato consente d'ipotizzare successive riaperture della tomba (come proposto in Kleibrink 2003, 44; Kleibrink 2004a, 560), né supporta la recente interpretazione del contesto come sepoltura bisoma di «un uomo di altissimo rango e di una fanciulla» (Kleibrink 2010, 27).

114 L'indicazione del taccuino, che registra «una massa compatta di terra nera, certo bruciata», è poi stemperata all'atto dell'edizione, dove, esclusa la possibilità di una cremazione, si fa riferimento anche a un possibile oggetto ligneo disfatto (dunque non bruciato), oppure a un sacrificio all'atto della sepoltura: Zancani Montuoro 1970/1971a, 12. Nella didascalia della minuta a tav. 6, 2, la «terra nera» fu inserita in un secondo momento al n. 5, e le tre voci successive consegu-

sono segnalati anche sul piano di deposizione di almeno altre tre sepolture femminili e infantili degli scavi Zancani (Uliveto 6, Temparella 8, Temparella 14)¹¹⁵.

In tombe di donne e bambine ricorrono anche i pochi altri casi accertati di vasellame ripartito tra testa e piedi dell'inumata: si tratta delle sepolture Vigneto 3, Temparella 8, Temparella 17 e Strada 8 dei nuovi scavi, cui va assimilato il caso della Temparella 88, con servizio ceramico e coppa di bronzo presso la testa e grande bacino bronzeo ai piedi. La deposizione alla testa del servizio ceramico caratterizza comunque nel complesso soprattutto le tombe femminili, con almeno otto casi accertati (Vigneto 2, Temparella 1, 22, 27, 39, 57 e nelle due deposizioni della Temparella 76)¹¹⁶, contro solo rare occorrenze tra i maschi adulti (Strada 5; Vigneto 5)¹¹⁷.

Pertanto, nella tipologia tombale e nelle forme di ritualità espresse dalla disposizione del corredo, la tomba Strada 1 coniuga aspetti peculiari del proprio raggruppamento topografico-parentale a dinamiche di genere che possiamo ipotizzare agenti in maniera normativa sul più ampio insieme della comunità.

2.3 Il corredo

2.3.1 Fibule e ornamenti in bronzo, ferro, ambra e vetro

Il catalogo della sepoltura registra 22 oggetti o gruppi di oggetti, ripartiti in maniera disomogenea tra fibule e ornamenti in bronzo (13), ferro (2), ambra e vetro (2), e vasellame in ceramica figulina (3), impasto (1), bronzo (1). Lo stato di conservazione è nel complesso cattivo: gran parte degli elementi di corredo è lacunosa, quando non documentata solo da piccoli frammenti; rari e soprattutto di piccole dimensioni gli oggetti integri (tav. 7, 1).

Tra le fibule, ad almeno un grande esemplare a quattro spirali appartengono una dozzina di frammenti di filo di bronzo a contorno e sezione circolare, già in parte editi da Paola Zancani Montuoro e Fulvia Lo Schiavo (cat. S1/10, tav. 9)¹¹⁸; meno

entamente rinumerate; tale correzione è invece omessa sulla pianta, dove la «terra nera», ben visibile al centro della sepoltura, non è contrassegnata da alcun numero, mentre i nn. 5–7 corrispondono alle rispettive voci della didascalia anteriori alla correzione.

115 Zancani Montuoro 1977–1979, 55 (Uliveto 6); Zancani Montuoro 1980–1982, 29–31 (Temparella 8). 46 (Temparella 14).

116 Cui andrebbero sommati anche il caso dubbio di Temparella 4 e le probabili bambine di Temparella 19 e 78: Zancani Montuoro 1980–1982, 23–26 (Temparella 4). 60 s. (Temparella 19); Zancani Montuoro 1983/1984, 70–73 fig. 21 (Temparella 78). Nella Temparella 60 il corredo ceramico è raggruppato ai piedi, e solo il bacino bronzeo deposto presso il capo: Zancani Montuoro 1974–1976, 13–50 fig. 2. Infine, peculiare della tomba Strada 1 è la deposizione presso la testa del dolio, generalmente deposto ai piedi degli inumati.

117 Il caso della Vigneto 5 è difficilmente valutabile, trattandosi di una possibile tomba bisoma che comprende, accanto ad armi e strumenti maschili, anche attributi tipici dei defunti di età infantile (Zancani Montuoro 1977–1979, 79–82); segnalò inoltre il possibile bambino maschio di Temparella 14: Zancani Montuoro 1980–1982, 46–49.

118 Lo Schiavo 2010, 872 s. tav. 681 n. 7988.

probabile l'eventuale pertinenza a una fibula a occhiali, classe rara in Sibaritide, documentata a Castiglione di Paludi e Torre Mordillo¹¹⁹. L'estrema frammentarietà non ne consente un inquadramento puntuale: i frammenti superstiti comprendono però anche il risvolto di una staffa simmetrica in bronzo, che, qualora pertinente alla stessa fibula documentata dalle spirali, ne indicherebbe l'appartenenza al tipo Amendolara, con elementi a doppia spirale inchiodati su una fibula in bronzo, piuttosto che al tipo Francavilla Marittima, che impiega invece una fibula in ferro; in bronzo sono anche le fibule di supporto agli esemplari di grandi dimensioni, con fascette di sostegno alle spirali, del tipo Sila-Aspromonte. Nella monumentale classificazione di Fulvia Lo Schiavo, cui si devono definizione e primo inquadramento dei tipi in discorso, le uniche fibule del tipo Amendolara provenienti da contesti chiusi sono proprio quelle di Macchiabate e di Paladino ovest di Amendolara¹²⁰, dove fibule a quattro spirali di questo (e altri) tipi sono ancora documentate nel corso del primo trentennio del VII secolo a.C.¹²¹; i primi esemplari dei tipi Francavilla e Sila-Aspromonte compaiono invece a Castiglione di Paludi, verosimilmente già agli inizi della fase recente del Primo Ferro¹²². Al IFe2 iniziale risale anche la tomba 6 di Chiane a Serra Aiello, nella cui ricca *parure* fibule bronzee a quattro spirali grandi e piccole con fascette di sostegno, almeno una delle quali inquadrate nel tipo Sila-Aspromonte, si associano con una fibula a carrettino in ferro¹²³. In Sibaritide, la massima diffusione delle grandi fibule a quattro spirali segue comunque quella dei tipi piccoli e medi: a Torre Mordillo il repertorio della classe è dominato dall'omonimo tipo di piccole dimensioni, cui spettano centinaia di

119 Lo Schiavo 2010, 843 tavv. 630. 631 nn. 7671. 7672 (Torre Mordillo, Spezzano Albanese); 850 tav. 646 n. 7729 (Castiglione di Paludi, Paludi); inoltre, Quondam – Ferranti 2014, 73.

120 Tipo Amendolara: Lo Schiavo 2010, 869–874 tavv. 669–683 (tipo 447); i nn. 7950–7952. 7954. 7955. 7959 sono d'incerta attribuzione, poiché privi della fibula di supporto; i nn. 7960. 7961. 7969–7972. 7972C–7980. 7983–7987. 7989. 7991–7996, dubitativamente accostati al tipo, sono troppo lacunosi per poter essere classificati con certezza, come anche il n. 7997, considerato variante; il n. 7963 presenta fibula di supporto in ferro, e appartiene pertanto al tipo Francavilla Marittima (Lo Schiavo tipo 449); il n. 7982 si distingue per la placchetta romboidale sovradimensionata, i nn. 7956 e 7998–7800 (raggruppati nella variante 2) per la placchetta circolare, analoga a quella del tipo Sant'Onofrio, varietà B (Lo Schiavo tipo 444B); nella fibula n. 7990, infine, gli avvolgimenti delle spirali sono sormontati da piccole borchie coniche, come nella fibula a occhiali da Castiglione di Paludi (Paludi) (cfr. nota 119).

121 Quondam 2017b.

122 Tipo Francavilla Marittima: Lo Schiavo 2010, 874 s. tavv. 683–685 (tipo 449); la fibula dal gruppo XIX di Castiglione di Paludi (Paludi), che come ho potuto verificare conserva un breve segmento di arco in ferro (Guzzo 1975, 120 la definisce invece priva di arco), è ivi classificata al n. 8044; tipo Sila-Aspromonte, varietà A: Lo Schiavo 2010, 874 s. tavv. 684. 685 (tipo 448); le fibule dal gruppo XXIV di Castiglione di Paludi (Paludi) sono ivi classificate ai nn. 8005. 8006; la varietà B, mediamente più piccola e con placchetta circolare, è meno frequente e potrebbe essere apparsa già allo scorcio del IFe1.

123 La Rocca 2009, 68 s. figg. 59. 60; Mollo 2007, 51 s. fig. 52 (incerta è l'attribuzione al tipo Amendolara, ivi proposta, della fibula cat. 20, non illustrata ma descritta come priva dell'arco).

esemplari, e sono solo una decina le fibule a quattro spirali più grandi, peraltro solo in un paio di casi forse attribuibili a uno dei tipi in discorso¹²⁴.

Fibule a quattro spirali ricorrono in altre nove sepolture di donne e bambine degli scavi Zancani Montuoro, appartenenti in prevalenza a un orizzonte non avanzato del IFe2B. Pur in assenza di determinazioni antropologiche, in questi corredi la composizione della *parure* risponde a logiche chiaramente differenziate sulla base dell'età: mentre tra le donne di età post-infantile prevalgono gli insiemi con due coppie di grandi fibule a quattro spirali, in associazione con fibule serpeggianti (Temparella 60), con placchetta d'avorio/segmento di corno (Cerchio Reale 11, Temparella 67) o con entrambe (Temparella 63), tra le bambine un singolo grande esemplare può associarsi a una serpeggiante (Cerchio Reale 13), ma è più di frequente l'unica fibula della *parure* (Temparella 2, 3, 82). Lo spettro delle associazioni dovette comunque essere assai più vasto, in particolare tra le donne adulte: nella tomba Est 5 dei nuovi scavi, per esempio, una singola fibula a quattro spirali completa un'inedita *parure* di cinque fibule ad arco scudato¹²⁵; altre possibili attestazioni di fibule a quattro spirali dalle sepolture di nuova indagine sono dubbie¹²⁶.

Per quanto incomplete, le associazioni della tomba Strada 1 rientrano nello spettro tipico delle donne d'età post-infantile: alla (o alle?) fibula a quattro spirali si associano infatti una serpeggiante a occhio in bronzo e almeno un altro esemplare in ferro (catt. S1/11 e 19). La prima fibula, assai lacunosa, si caratterizza per la sezione da quadrangolare a rettangolare di arco e occhiello e per il profilo estremamente esile e allungato del tratto anteriore dell'arco, l'unico conservato per intero (cat. S1/11, tav. 9): si tratta di caratteri alquanto evoluti, che trovano ora parziale riscontro nei nuovi esemplari dalle tombe femminili e infantili Strada 6, 8, 12 e 14, qui illustrati e discussi (cfr. cap. 3.2.5 »Schlangenfibel« e catt. S6/3, S12/2. 3, S14/4).

La fibula serpeggiante in ferro (cat. S1/19, tav. 9), anch'essa lacunosa nell'arco, va verosimilmente ascritta alla foggia a gomito, l'unica sicuramente attestata nel repertorio in ferro di Francavilla Marittima. Il rivestimento in filo di bronzo avvolto a spirale caratterizza circa metà degli esemplari dagli scavi Zancani, ed è documentato anche su fibule di nuovo rinvenimento (cfr. cap. 3.2.8 »Schlangenfibel«). Nella sequenza della necropoli, la diffusione di questa foggia abbraccia l'intero IFe2B, con una concentrazione delle frequenze nell'orizzonte iniziale del periodo: grandi fibule a quattro spirali in bronzo e serpeggianti in ferro a gomito si associano per esempio nella *parure*

della tomba Temparella 60, tra le più antiche sepolture della Temparella.

La presenza di altri tipi di fibule nel corredo è dubbia. Come rilevato anche da Fulvia Lo Schiavo, assai incerta è infatti l'attribuzione a una fibula di un frammento di verga bronzea a sezione circolare con ornato a incisioni anulari (cat. S1/7, tav. 9), dubitativamente accostato nella raccolta del PBF a un tipo con arco ingrossato documentato in Calabria meridionale agli inizi del IFe2¹²⁷. A scoraggiare tale accostamento non sono tanto a mio parere le scarsissime frequenze di fibule ad arco ingrossato nella Sibaritide del Primo Ferro – una lacuna che potrà sempre essere colmata da nuove acquisizioni¹²⁸ –, quanto forma e andamento stessi del frammento superstite, dalla sezione uniformemente sottile e il cui contorno descrive una circonferenza quasi perfetta. Altrettanto improbabile per le stesse ragioni l'attribuzione a una fibula serpeggiante con ornato a incisioni anulari, un'ipotesi già scartata peraltro anche dalla Zancani¹²⁹.

Se dal campo delle fibule ci rivolgiamo a quello più ampio degli ornamenti muliebri, sono le armille a spirale di filo e i collari con capi revoluti a presentare caratteri affini al frammento in discorso, candidandosi pertanto come possibili originari oggetti di pertinenza. Le prime si distinguono però per il maggiore spessore della verga e per lo sviluppo a fasce distanziate della decorazione, che nel frammento della tomba Strada 1, molto rovinato, sembra invece continua e coprente, proprio come sui collari. Se questa lettura cogliesse nel vero, allo stesso collare potrebbe riferirsi anche un secondo frammento ancora più consunto di verga con incisioni anulari, probabilmente prossimo a una delle estremità (cat. S1/7, tav. 9); non è comunque escluso che i frammenti appartengano a due oggetti diversi, o magari anche a una coppia di collari, come nel caso della tomba Strada 6 (catt. S6/5. 6).

Collari bronzei ricorrono in otto tombe femminili degli scavi Zancani Montuoro (Cerchio Reale 12; Vigneto 3, 6; Temparella 16, 60, 66, 67, 81), oltre che in tre di nuova indagine (Strada 6, Est 5, Est 9): il ventaglio d'età è ampio, e comprende accanto alle bambine anche donne giovani e adulte, come chiarito dalle indagini antropologiche sulle sepolture di nuovo scavo. Tra i corredi Zancani, un collare con incisioni anulari è compreso proprio nella già ricordata tomba Temparella 60; lo stesso ornato decora poi anche gli esemplari dalla tomba Strada 6 (cfr. cap. 3.2.6 »Halsreif« catt. S6/5. 6) e quello di recente rinvenimento dalla tomba Est 5, oltre a numerosi altri distribuiti tra Sibaritide e Calabria meridionale¹³⁰.

124 Quondam – Ferranti 2014, 73.

125 Guggisberg u. a. 2017, 82–85. Una coppia di fibule ad arco scudato ricorre anche nella sepoltura di donna adulta Strada 14 (cfr. cap. 3.1.14); nei corredi Zancani le fibule ad arco scudato sono invece rare, deposte in singoli esemplari in corredi di infanti o giovani. D'ora in poi, per le associazioni di corredo degli scavi Zancani Montuoro si rinvia a Ferranti – Quondam 2015, con bibliografia precedente; per l'area Est, a Guggisberg u. a. 2016; Guggisberg u. a. 2017 e Guggisberg u. a. 2018a.

126 Si vedano il capitolo 3.2.5 »Vierspiralfibel« e i possibili esemplari frammentari catt. S2/8 e S18/2.

127 Lo Schiavo 2010, 143 s. tavv. 38. 39 (tipo 42): il frammento dalla tomba Strada 1 è ivi classificato al n. 405.

128 Una piccola fibula ad arco ingrossato e ribassato con ornato a incisioni anulari proviene ora dalla tomba Strada 6 (S6/2): cfr. capitolo 3.2.5 »Bügel-fibel«.

129 Zancani Montuoro 1970/1971a, 12 s.

130 Per esempio, Castiglione di Paludi (Paludi): Guzzo 1975, 126 tipo 13a; Ianchina (Locri): Orsi 1926, coll. 234 s. fig. 161; Torre Galli (Drapia): Pacciarelli 1999a, 35 fig. 8.

Altri oggetti frammentari possono essere riferiti al complesso di ornamenti del capo. Depositi in coppie nei corredi di molte donne adulte, gli orecchini/fermatrecce di Macchiabate appartengono a uno specifico tipo composto da più elementi in filo di bronzo raddoppiato e avvolto a spirale, di diametri decrescenti, inseriti l'uno nell'altro a formare una sorta di 'matassa': tra i bronzi superstiti della tomba Strada 1, alcuni frammenti di sottile filo di bronzo a contorno circolare vanno verosimilmente riferiti a questo tipo di orecchini (cat. S1/3, tav. 8), ora documentato nell'area Strada anche dagli esemplari dei corredi Strada 6, 11 e 14 (cfr. cap. 3.2.6 »Schleifenringe«, catt. S6/7–8, S11/14, S14/15. 16)¹³¹.

Spesso associati a busto e capo sono anche i bottoncini bronzei, del classico tipo a calotta appiattita con minuscola asola (cat. S1/4, tav. 8): elemento anch'esso distintivo del costume femminile enotrio, i bottoncini sono documentati negli scavi Zancani solo in pochi corredi e in quantità esigue (1–10 esemplari), con l'eccezione degli oltre 1000 della tomba Temparella 60, sparsi in tutta la fossa, ma »specialmente fitti sul petto«¹³². Insieme altrettanto cospicui di bottoncini, simili a quelli frequenti nelle coeve tombe femminili della Basilicata e come questi ultimi connessi con la parte superiore del corpo, sono ora documentati anche nelle tombe Strada 2, 4 e 11 (cat. S2/29, S4/43, S11/20. 21), oltre che in alcune dell'area Est (Est 5, 9). Nel caso della tomba Strada 1, i cinque bottoncini in pessimo stato raccolti da Paola Zancani Montuoro sono coerenti con le quantità documentate in altre tombe femminili (Temparella 27, 39), ma potrebbero anche rappresentare solo la parte superstite di un insieme originariamente più nutrito. La prossimità alla collana d'ambra, entro la più occidentale delle due concentrazioni di rinvenimenti, ne assicura la pertinenza al sistema ornamentale di busto e capo.

La collana d'ambra, di cui sopravvivono circa 25 elementi, alterna grandi pendenti prevalentemente a goccia a pochi vaghi graduati, discoidali e globulari, uno dei quali con doppia perforazione (cat. S1/5, tav. 8); collane simili ricorrono nelle elaborate *parures* di altre nove donne degli scavi Zancani Montuoro, tra cui anche la Temparella 60¹³³. Completa la serie dei vaghi una piccola perla globulare in vetro incolore (cat. S1/6, tav. 8), ancora non sottoposta ad analisi archeometriche, ma la cui provenienza dal Mediterraneo orientale può ritenersi ormai pressoché certa, dati i risultati univoci delle analisi sugli altri ornamenti in materiale vetroso dalla necropoli¹³⁴. Perle e monili in vetro sono rari tra le tombe Zancani, certo in parte anche a causa delle modalità di scavo: nei corredi femminili di nuova indagine dell'area Strada la presenza di vetro è infatti più diffusa (Strada 2, 4, 6, 14), e comprende anche vaghi globulari

simili a quello in esame (cfr. cap. 3.2.13, cat. S6/13); tra i corredi Zancani, una grande perla globulare incolore si associa a una collana d'ambra nella Temparella 67, insieme anche a un collare e a quattro fibule a quattro spirali.

Dalla stessa concentrazione di oggetti proviene anche il piccolo pendente bronzeo a goccia (cat. S1/9, tav. 8), lacunoso dell'apice forato, analogo a quello sospeso alla catenella della tomba bisoma 78 di Torre Mordillo, una delle più rilevanti della necropoli¹³⁵. Rara in ambito enotrio, questa foggia è comune in Etruria già dallo scorcio del IFe1: a Tarquinia gruppi di pendenti fusiformi o a goccia sia a fusione piena, sia del tipo cavo con serie di piccoli trafori mediani – documentato anch'esso da una singola occorrenza a Torre Mordillo¹³⁶ – caratterizzano corredi femminili di complessità media e alta dell'avanzato IFe1B e del IFe2 iniziale¹³⁷. La serie è poi nota anche ai Quattro Fontanili di Veio, dove i pendenti a goccia o biconici, deposti in gruppi di esemplari affini, si concentrano in deposizioni di donne delle fasi Veio 2A e 2B¹³⁸. Oltre che come monili a sé stanti, generalmente connessi con il collo/capo (molti esemplari tarquiniesi provengono però da cremazioni), pendenti a goccia sono spesso impiegati anche come elementi accessori sospesi a più elaborati ornamenti compositi, come nel caso sia degli spilloni a rotella raggiata tipo Tarquinia, il cui areale di diffusione abbraccia anche Populonia e Vetulonia, sia di un tipo di pendaglio in lamina a contorno triangolare desinente in tre lobi forati per la sospensione di altrettanti pendenti, noto ancora una volta a Tarquinia e in corredi di fase 2A a Veio-Quattro Fontanili, oltre che sporadicamente in Italia meridionale (Cuma)¹³⁹.

135 Cerzoso – Vanzetti 2014, 171 tav. 26, 382.

136 Cerzoso – Vanzetti 2014, 222 s. tav. 45, 749.

137 Iaia 1999, 57 combinazione 3; Hencken 1968, 55 fig. 44, d–f (Impiccato tomba 11); 93 figg. 81, d; 82, e (tombe Sopra Selciatello 55 e 61); 125 fig. 113, e (tomba Impiccato 82); 128 fig. 116, b (tomba Sopra Selciatello 20).

138 Pendenti a goccia: Fabbrocotti u. a. 1972, 309 fig. 76, 2 (tomba PQ 4a); 313 fig. 81, 8 (tomba R 3–4); Fabbrocotti u. a. 1975, 137 fig. 47, 31 (tomba EF 11–12); inoltre Cerveteri, tomba Sorbo 409: Pohl 1972, 196 fig. 173, 6. Pendenti biconici: Ward-Perkins u. a. 1970, 215 fig. 21, 8 (tomba BBCC 6); Fabbrocotti u. a. 1975, 71 fig. 4, 17 (tomba CD 14); 125 s. fig. 39, 19. 20 (tomba CD 11).

139 Spilloni tipo Tarquinia: Carancini 1975, 332 s. tavv. 84, 85; Hencken 1968, 128 fig. 117, m (Sopra Selciatello tomba 27); 160 fig. 146, j (cassa con sepoltura infantile dai Monterozzi). Pendenti in lamina da Tarquinia: Iaia 1999, 18 fig. 3, 7; Hencken 1968, 161 fig. 147, d (Sopra Selciatello tomba 33); 164 s. fig. 150, a (Sopra Selciatello tomba 107); 172 fig. 157, b (Sopra Selciatello tomba 202); 179 fig. 164, h (Impiccato tomba 1). Veio: Ward-Perkins u. a. 1967, 136 fig. 29, 12 (tomba EE 8–9); Fabbrocotti u. a. 1975, 178 fig. 73, 19 (tomba D 18–19). Cuma, tomba Osta 21: Müller-Karpe 1959, 237 tav. 22A, 3. Nella necropoli veiente (e in altri siti dell'Etruria meridionale) ricorre inoltre anche un tipo diverso, e più recente, di pendaglio fusiforme, recante sospesi agli occhielli tre pendenti biconici, le cui attestazioni raggiungono la fase Veio 2C: Ward-Perkins u. a. 1963, 229 fig. 98, d (tomba KK 15); Ward-Perkins u. a. 1965, 129 fig. 55, S (tomba HH 11–12); 202 fig. 103, dd (tomba II 9–10); Ward-Perkins u. a. 1967, 131 fig. 25, 8 (tomba EE7–8B). Il tipo è documentato nel IFe2 anche al Sorbo di Cerveteri: Pohl 1972, 205–207 fig. 183, 3a/b. 11.

131 Il tipo ricorre anche sul Timpone Motta (Kleibrink 2004a, 574 fig. 8a), a Castiglione di Paludi (Paludi) (Guzzo 1975, 132 tipo 17d) e Castellace (Oppido Mamertina) (Pacciarelli 1999b, 48 s. fig. 43 n. 95).

132 Zancani Montuoro 1974–1976, 23.

133 Sull'ambra calabrese del Primo Ferro: Benedetti – Cardosa 2006, con bibliografia precedente.

134 Conte u. a. 2019.

Al di fuori dell'Etruria le presenze si distribuiscono lungo l'intera penisola, da Golasecca e Bologna sino al *Latium vetus*¹⁴⁰; in Campania, un pendente a goccia è compreso nel ricco corredo di bambina Bovi 4870 di Pontecagnano, della locale fase IIB, insieme a vasellame di lamina, scarabei e a due *Vogelperlen*. Gruppi di tre pendenti molto simili a quello in esame sono poi sospesi alle catenelle bronzee della tomba II dell'acropoli di Santa Maria d'Anglona, del IFe2B avanzato¹⁴¹. I pendenti dalle necropoli di IFe2 della Sicilia orientale, pur a volte prossimi a quelli peninsulari (come nel caso di Pozzo di Gotto¹⁴²), se ne distinguono invece per le proporzioni generalmente più allungate e/o per l'ampio diametro del sottile anello da sospensione sommitale, caratteri inconsueti tra gli esemplari delle serie continentali¹⁴³.

I pendenti di Torre Mordillo e della tomba Strada 1 non esauriscono le attestazioni calabresi di questa foggia, nota anche nella Calabria meridionale tirrenica sia tra i rinvenimenti sporadici di Castellace e Calanna, sia a Nicotera, dove piccoli pendenti globulari e biconici sono compresi tra i fantasiosi terminali sospesi ai pettorali a catenelle delle tombe femminili di La Rota, del IFe2 iniziale¹⁴⁴. La serie è ora arricchita anche dagli esemplari francavillesi di nuovo scavo, tra cui spicca, anche per contiguità topografica, quello della sepoltura di bambina Strada 8, qui illustrato (cat. S8/8)¹⁴⁵, accostabile per il sottile peduncolo terminale a un altro da Belloluco e anche a un terzo, sospeso a una catenella come a Torre Mordillo, compreso in una collezione formatasi nel territorio di Tiriolo (CZ), con datazione prevalente al IFe2¹⁴⁶.

Assieme alla collana d'ambra e al pendente a goccia, anche i due noti pendagli bronzee raffiguranti una coppia abbracciata (cat. S1/8, fig. 2.28, 2.29, tav. 9) vanno con ogni probabilità ascritti all'insieme di ornamenti del collo, sebbene il taccuino di scavo ne taccia il rinvenimento: i pendagli furono infatti riconosciuti solo in un secondo momento, e citati nella relazione dattiloscritta del 1963. Sollecitata dai rinvenimenti di Francavilla Marittima, già in un primo contributo nell'annata 1966 di *Klearchos* Paola Zancani Montuoro ne raccolse quasi una ventina di esemplari sparsi tra Italia meridionale e Sicilia, proponendone un primo inquadramento tipologico nella cornice di una più ampia analisi delle raffigurazioni di coppie antropomorfe nel Primo Ferro¹⁴⁷. Tra i molti studi che si sono poi susseguiti, in particolare nell'ultimo ventennio, spiccano quelli di Marianne Kleibrink, che ne ha indagato soprattutto gli aspetti stilistico-iconografici e le valenze simbolico-rituali¹⁴⁸.

Negli oltre 50 anni trascorsi dal primo regesto Zancani il numero degli esemplari attribuiti al gruppo è più che raddoppiato: ai 39 pendenti conteggiati nel 2015 da Lucilla Barresi e Jan Kysela vanno aggiunti altri tre esemplari francavillesi, recuperati nel 2015 in una tomba distrutta tra il Cerchio Reale e l'area Est (figg. 2.10–12); di recentissima segnalazione sono inoltre un esemplare da raccolte di superficie nella necropoli di Cava Vigne a Torre Galli (fig. 2.32), attiva tra il IFe2 e l'età arcaica, e quello dalla tomba 170 di contrada San Vito a Guardia Perticara, l'unico sinora noto dalla Basilicata (fig. 2.33)¹⁴⁹. Numerosi nuovi pendagli provenienti in parte da siti della Sibaritide meridionale sono stati censiti di recente da Armando Taliano Grasso e Damiano Pisarra, cui si deve anche un'importante revisione dell'intero corpus¹⁵⁰. Il numero di esemplari, che supera attualmente le 50 unità, è comunque destinato a crescere, considerate anche le continue segnalazioni in collezioni private e nei cataloghi di case d'aste italiane e straniere¹⁵¹ (tab. 2.4).

140 Per Golasecca basti il rimando alla splendida illustrazione in Castelfranco 1876, tav. 2, con catenina recanti sospesi pendenti eterogenei. Savena (Bologna), tomba 310: Müller-Karpe 1959, 260 tav. 79F, 3; San Vitale (Bologna), tomba 313: Pincelli – Morigi Govi 1975, 204 s. tav. 163, 3. Osteria dell'Osa (Monte Compatri), tomba 82: Bietti Sestieri 1992b, 824 fig. 3c.12, 83/7 (fase IVA, pendente a goccia); 800 fig. 3b.31, 2a (fase IIIA, pendenti biconici).

141 Pontecagnano: D'Agostino – Gastaldi 1988, 222 s. fig. 210, 6; un esemplare biconico figura tra i materiali sporadici da Cairano: Colucci Pescatori 1971, 528 fig. 43, 7. Valle Sorigliano (Santa Maria d'Anglona, Tursi): Malnati 1984, 45 tav. 11B, 9.

142 Orsi 1915, tav. 2.

143 Per esempio, Cocolonazzo di Mola (Castelmola), tomba V: Orsi 1919, 363 fig. 2. Monte Finocchito (Noto): Frasca 1981, 61 tipo 14a. Qualche antecedente è noto a Mulino della Badia/Madonna del Piano (Grammichele): Müller-Karpe 1959, 232 tav. 7, 22; Albanese Procelli u. a. 2014/2015, 295 fig. 387, 3. Proporzioni simili caratterizzano gli esemplari romani dalla tomba C della necropoli esquilina: Gjerstad 1956, 252 fig. 224, 10, 11.

144 Castellace: Pacciarelli 1999b, 35 n. 21. Calanna e Nicotera: materiali conservati e in parte esposti presso il Museo Archeologico Nazionale di Reggio Calabria e i Musei Civici Archeologici di Nicotera e di Contrada Ronzo a Calanna.

145 Cap. 3.2.6 «Kleinformatige Anhänger».

146 Belloluco (Castrovillari): Carrara Jacoli 1994, 685 tav. 131, 16. Territorio di Tiriolo: Lo Schiavo 2008, 27 fig. 13, 1. Brevi e tozzi peduncoli caratterizzano anche i pochi pendenti globulari e biconici dall'Incoronata di Metaponto, almeno in parte ancora databili entro il IFe1: Chiartano 1994, 52 tavv. 94, L. H (tomba 382) e 102, R (tomba 410); Chiartano 1996, 57 tav. 22, C (tomba 525); 60 tav. 26, N (tomba 532). Ancora a Francavilla Marittima, un pendente

biconico privo di peduncolo proviene dai sondaggi nell'area Rovitti, ai piedi di Timpone Motta: Jacobsen u. a. 2015b, 156 fig. 4, a.

147 Zancani Montuoro 1966; come chiarito in Zancani Montuoro 1970/1971a, 14 nota 10, i due pendenti della tomba Strada 1, saldati l'uno sull'altro, furono inizialmente considerati come un singolo esemplare.

148 Kleibrink 2009; Kleibrink – Weistra 2013. Barresi – Kysela 2015 offrono una completa rassegna bibliografica da integrare con i contributi successivi, qui segnalati.

149 Francavilla Marittima: Guggisberg u. a. 2016, 62 s. fig. 8. Torre Galli (Drapia): Cardoso 2017b, 157; D'Andrea – Colelli 2018, 16 fig. 3. Guardia Perticara: Bianco 2018.

150 Taliano Grasso – Pisarra 2018.

151 Un nuovo pendente in collezione privata ad Amburgo è in corso di edizione da parte di M. A. Guggisberg (Guggisberg im Druck b). Particolarmente appetibili sul mercato antiquario, molti pendenti sono stati nel tempo oggetto di furti: per quanto mi è stato possibile verificare, mancano all'appello tutti e quattro gli esemplari da Torre Mordillo (Spezzano Albanese), quello dalla tomba Temparella 57 di Francavilla Marittima, sottratto dalle vetrine del vecchio Antiquarium di Sibari nei primi anni 1990, e il pendente dagli scavi Procopio a Castiglione di Paludi (Paludi), che non ho potuto rintracciare nei depositi del Museo Archeologico Nazionale di Reggio Calabria.

N. figura	Tipo	Provenienza	Barresi – Kysela 2015	Taliano Grasso – Pisarra 2018
2.5	B1	Torre Mordillo, tomba 21	12	10
2.6	B1	Gerace, Stefanelli, sporadico	28	29
2.7	B1	Provenienza ignota, Casa d'aste Cahn di Basilea	38	22
2.8	B2, var. A	Francavilla Marittima, Timpone della Motta, scavi Stoop	6	3
2.9	B2, var. A	Francavilla Marittima, Timpone della Motta, scavi Kleibrink	7	4
2.10–12	B2, var. A	Francavilla Marittima, Macchiabate, da una tomba distrutta tra Cerchio Reale e Area Est		6
2.13	B2, var. A	Castiglione di Paludi, Piano Agretto, sporadico	21	16
2.14–18	B2, var. A	Torano Castello, Cozzo La Torre, tomba B1	14–18	12
2.19	B2, var. A	Torano Castello, Cozzo La Torre, sporadico		13
2.20	B2, var. A	Pietrapaola, Muraglie, sporadico	22	18
2.21	B2, var. A	Castellace di Oppido Mamertina, Torre Inferrata, sporadico	29	26
2.22	B2, var. A	Provenienza ignota, Museo Civico di Catania, già collezione dei Padri Benedettini	34	34
2.23	B2, var. A	Jaromer (?)	1	41
2.24	B2, var. B	Centuripe, necropoli di San Giovanni, da una tomba infantile	30	32
2.25	B2, var. B	Provenienza ignota, Catania collezione privata	35	33
2.26	B2, var. B	Francavilla Marittima, sporadico	8	8
2.27	B3	Francavilla Marittima, Macchiabate, tomba T57	4	2
2.28	B3	Francavilla Marittima, Macchiabate, tomba S1 (cat. S1/8)	2/3	1
2.29	B3	Francavilla Marittima, Macchiabate, tomba S1 (cat. S1/8)	2/3	1
2.30	B3	Francavilla Marittima, Macchiabate, tomba S8 (cat. S8/7)	5	5
2.31	B3	Castiglione di Paludi, Piano Agretto, sporadico	20	17
2.32	B3	Torre Galli, Cava Vigne, sporadico		28
2.33	B3	Guardia Perticara, contrada San Vito, tomba 170		38
2.34	B3	Crichi, sporadico	24	25
2.35	Unicum	Crichi, sporadico	25	24
2.36	Unicum	Provenienza ignota, Museo Provinciale Campano di Capua	37	39
2.37	Unicum	Catania, ex Monastero dei Benedettini, scavo 1985, US 287	31	36
2.38	Unicum	Castiglione di Ragusa, sporadico	32	37
2.39	Unicum	Este, Via Augustea	33	40

Tab. 2.4 Pendagli a coppietta antropomorfa, tabella con le provenienze degli esemplari e concordanze con le principali edizioni precedenti.

Il notevole incremento di attestazioni ha ribadito il baricentro prevalentemente sibarita del gruppo: degli oltre 50 esemplari censiti, 27 provengono da siti della Sibaritide e ben 11 solo da Francavilla Marittima; seguono le attestazioni da Calabria centro-meridionale (7 o 8)¹⁵², Sicilia (3), Basilicata (1); altri 14 sono in raccolte museali, collezioni private e/o provengono dal mercato antiquario. Di recente segnalazione sono

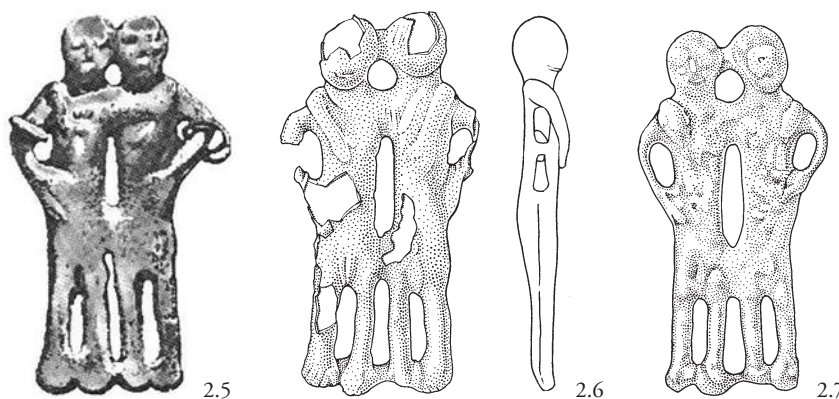
Considerato che gli esemplari da collezione potrebbero almeno in parte corrispondere a quelli rinvenuti in scavi regolari e successivamente scomparsi, e tenuto conto anche di quelli a mio parere imparentati solo alla lontana con la serie calabrese (per i quali vedi oltre) e della dubbia attestazione di Ianchina (Locri) (cfr. nota 152), il numero di pendenti oscilla tra un minimo di 49 e un massimo di 55 esemplari.

152 L'incertezza riguarda un possibile pendente dagli scavi Orsi 1909–1912 nelle necropoli rupestri di Ianchina (Locri), menzionato assieme a un secondo esemplare acquistato nel 1889 *in loco* sul mercato antiquario (Orsi 1913, 59, corrispondente ai nn. 26. 27 di Barresi – Kysela 2015), ma il cui rinvenimento non è registrato non solo nell'edizione integrale delle ricerche (Orsi 1926), ma nemmeno nei taccuini di scavo.

infine due esemplari estranei all'areale di diffusione primario del gruppo: quello conservato a Praga con indicazione di provenienza dall'oppidum boemo di Jaromer (fig. 2.23), ma per il quale è possibile una derivazione dal mercato antiquario, e il pendente dallo scavo di via Augustea a Este, che però, pur prossimo agli esemplari calabresi nell'iconografia complessiva, se ne distacca nella specifica resa di volumi e modellato, e che pertanto difficilmente può essere attribuito *tout court* alla serie (fig. 2.39)¹⁵³.

Proprio il consistente incremento degli esemplari noti sollecita un più rigoroso approccio tipologico al gruppo, complicato però sia dallo stato carente e disomogeneo della documentazione, sia dagli stessi caratteri intrinseci ai pendenti, che con

153 Jaromer: Barresi – Kysela 2015, 126 n. 1 fig. 1. Este: Gamba 2011; Gamba 2013 (n. 33 di Barresi – Kysela 2015). Molto distante dalle forme tipiche del gruppo calabrese-siciliano è la coppietta al British Museum, con figure dalle gambe ripiegate sul petto: Bietti Sestieri – Macnamara 2007, 208 tav. 197 n. 820 (n. 39 di Barresi – Kysela 2015).



Figg. 2.5–2.7

Pendagli a coppietta antropomorfa: tipo B1.

Provenienze e riferimenti bibliografici alla tab. 2.4.

Scala 1:1.

le loro superfici scabre e irregolari, dai particolari poco nitidi, rivelano una scarsa attenzione alla rifinitura dopo la fusione, non priva di implicazioni in sede di definizione tipologica.

È ormai codificata in letteratura la distinzione tra un modello prevalente, con figure stanti dalle gambe distese o appena flesse, cinte alle spalle, con braccio libero arcuato lungo i fianchi a formare un occhiello per la sospensione (cd. tipo 'B', in realtà piuttosto una foggia), e uno minoritario, con figure sedute dai tratti tozzi e più 'soprannaturali', accentuati dalle lunghe braccia aderenti al corpo (foggia 'A'), documentato a Francavilla Marittima e Bucita di Rossano da due esemplari non identici, che differiscono in particolare per posizione e gestualità delle mani; come suggerito di recente da Taliano Grasso, a questa coppia di pendagli può essere accostato anche l'esemplare non finito da Manche della Vozza¹⁵⁴. In entrambi gli schemi, la connotazione di genere è veicolata da una lieve asimmetria nelle proporzioni delle due figure (più esile la donna, cinta dall'abbraccio sulla destra; appena più massiccio l'uomo, posto in genere alla sua sinistra; non manca però qualche raro schema inverso¹⁵⁵), cui nel caso dei pendenti 'A' si somma anche una maggiore definizione dei caratteri sessuali, comunque embrionalmente espressi anche in molti esemplari di foggia 'B' (i genitali femminili resi da un incavo, quelli maschili con una protuberanza)¹⁵⁶. La resa dei volti, con occhi sovradimensionati, naso in rilievo e bocca marcata da un incavo più o meno espanso, si ripete costante in quasi tutti i pendenti, con oscillazioni legate alla qualità della fusione e al numero di rifiniture piuttosto che alla ricerca di soluzioni formali differenti; analogo è il caso delle mani, che negli esemplari a maggior rilievo, come quelli recentemente rinvenuti a Francavilla Marittima, si caratterizzano per le dita lunghissime. Nei corredi con coppie o numeri superiori di esemplari (2 o 3 a Francavilla Marittima; 5 nel caso di Torano) i pendenti sono in genere identici, forse ricavati dalla stessa matrice; fa eccezione la tomba 17 di Torre

Mordillo, con esemplari di dimensioni differenti, accuratamente registrate negli elenchi originali dei corredi¹⁵⁷.

Se per i pendenti 'A' il campione ancora troppo limitato non è suscettibile di ulteriori articolazioni tipologiche, all'interno del pur omogeneo insieme 'B' s'isolano piuttosto agevolmente tre tipi distinti, cui si sommano alcuni *unica* di più difficile esegesi¹⁵⁸.

Nella coppia di figurine da Gerace (fig. 2.6) il modellato è plasmato da volumi geometrici e schematici: il torace, a contorno rettilineo, è quasi parallelepipedo; le gambe distese, sproporzionatamente brevi, terminano in coppie di piedi espansi a ventaglio, dal modellato anatomico appena percepibile a causa del pessimo stato di conservazione¹⁵⁹. La posizione distesa delle gambe e l'assenza della barretta trasversale di raccordo ai piedi, che ricorre in quasi tutti gli altri esemplari noti, sono caratteri inconsueti, ma replicati fedelmente nel pendaglio dalla tomba 21 di Torre Mordillo¹⁶⁰ (fig. 2.5) e probabilmente anche in quello della casa d'aste Cahn di Basilea (fig. 2.7), molto simili all'esemplare in discorso per forma e proporzioni complessive

157 Così descritti nel *Giornale degli Oggetti* (per i quali rimando a Cerzoso – Quondam 2014): »N. 668. Bronzo di alt. m. 0,04. Gruppo di due statuette di stile arcaico, le quali stanno con le gambe lievemente piegate; le mani, poi, una sta sui fianchi e l'altra poggia sulla spalla opposta della statuetta che le sta accanto scendendo fino al petto e così l'altra«. »N. 669. Bronzo di alt. m. 0,030. Altro gruppo simile al precedente«. Una derivazione dalla stessa matrice è qui ipotizzata anche per gli esemplari dalle tombe Strada 1 e 8 (cap. 3.2.6 »Kleinformatige Anhänger«).

158 I tipi 2 e 3 della presente classificazione corrispondono in gran parte ai sottotipi B1 e B2 di Taliano Grasso – Pisarra 2018.

159 È solo grazie alla cortese generosità di Rossella Agostino e al supporto di Laura Delfino che ho potuto nel giugno 2019 disegnare quest'esemplare, già ampiamente citato in letteratura ma sinora inedito.

160 Dal *Giornale degli Oggetti*: »N. 700. Bronzo di lung. m. 0,05. Due statuette di stile arcaico simili a quelli descritti al N° 668 [cfr. nota 157]; esse stanno similmente abbracciate, però le loro gambe sono distese e non hanno la bassetta ai piedi i quali sono a forma di piccole piastrelle circolari. Tanto l'una che l'altra di dette statuette hanno ad un braccio di ciascuna un anellino di filo di bronzo«. Non dirimente è invece la descrizione dell'esemplare della tomba 78, illustrato nell'edizione da un disegno troppo sommario (Pasqui 1888, 472 tav. 19, 1): »N. 1113. Bronzo di alt. m. 0,04. Gruppo di due statuette di stile arcaico, situate l'una accanto all'altra simili a quelle descritte al N° 668«.

154 Kleibrink 2009; Brocato – Taliano Grasso 2011; Taliano Grasso – Pisarra 2018, 262.

155 Come nel caso del pendente da Gerace (fig. 2.6) e forse di Castiglione di Ragusa (fig. 2.38).

156 Come ben visibile per esempio nei nuovi esemplari da Francavilla Marittima (figg. 2.10–12) e in quelli della tomba B1 di Torano Castello (fig. 2.14–18), di cui Tiziana Preziosi mi ha gentilmente fornito fotografie di dettaglio.



Figg. 2.8–2.26 Pendagli a coppietta antropomorfa: tipo B2 (figg. 2.8–2.23: varietà A; figg. 2.24–2.26: varietà B). Provenienze e riferimenti bibliografici alla tab. 2.4. Scala 1:1.

(l'altezza si attesta intorno ai 5 cm), e insieme al quale definiscono pertanto un primo tipo (tipo B1)¹⁶¹.

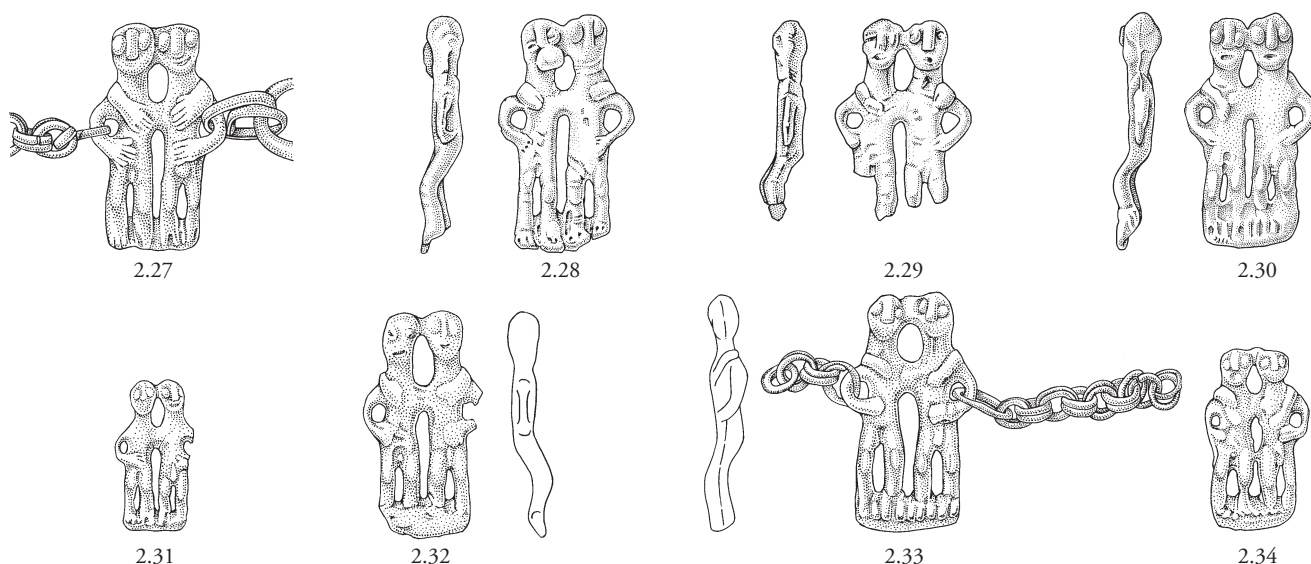
Dalle gambe poco flesse, le figure abbracciate nei pendenti di tipo B2 (figg. 2.8–26) si distinguono per il profilo esile e allungato dei corpi, accentuato dallo sviluppo del torace, che come nel tipo B1 è ancora sproporzionatamente lungo rispetto alle gambe; i piedi, in genere appena divaricati, sono raccordati da una sbarretta trasversale allungata e piuttosto esile; l'altezza è compresa tra 3,5 e 4,2 cm, ma raggiunge e supera i 4 cm nella maggior parte degli esemplari. Si tratta del modello sinora documentato con maggiore frequenza: vi appartengono 14 dei 20 esemplari sibariti classificabili (figg. 2.8–20; 2.26), almeno uno di quelli da Castellace¹⁶² (fig. 2.21), gran parte dei

pendenti rinvenuti o custoditi in Sicilia (figg. 2.22; 2.24; 2.25) e anche quello boemo di Jaromer (fig. 2.23). I numerosi esemplari di questo tipo esibiscono in prevalenza *silhouettes* sottili e longilinee (varietà A); un piccolo insieme di pendenti dalla resa appena più tarchiata definisce invece una varietà distinta (varietà B), che anticipa alcuni caratteri propri del tipo B3.

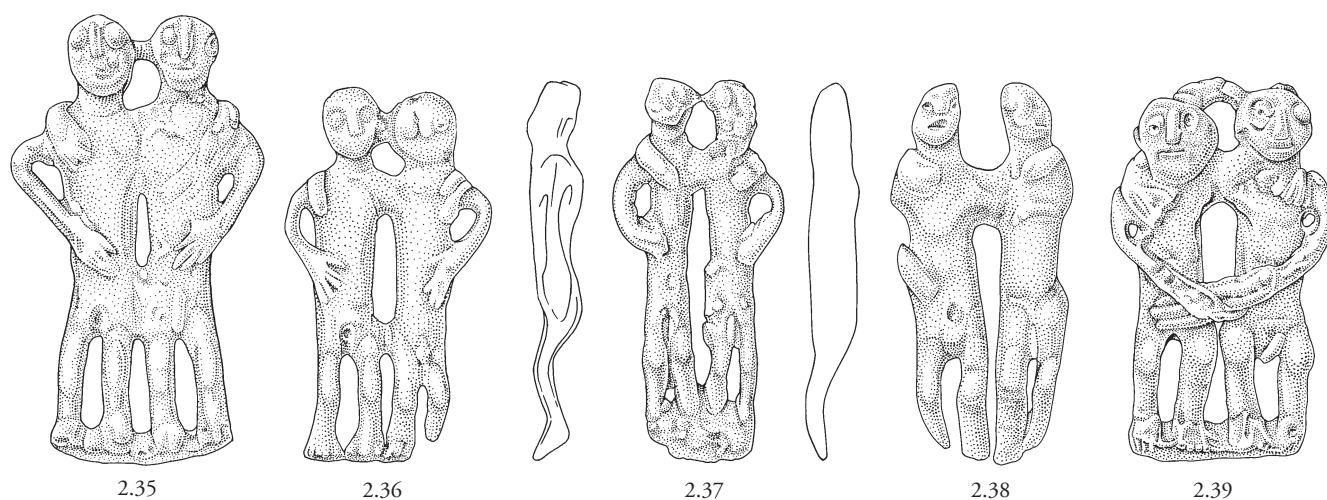
Proporzioni nel complesso più massicce, accentuate dalle gambe maggiormente flesse e ravvicinate, caratterizzano infatti gli esemplari del tipo B3 (figg. 2.27–34), che con la loro altezza media di 3 cm sono i più piccoli della serie: i corpi sono tozzi e compressi, ma dallo sviluppo più armonico e proporzionato; i piedi, accostati l'uno all'altro, sono raccordati da una barretta breve e più massiccia rispetto al tipo precedente. La distribuzione degli esemplari noti, una mezza dozzina circa, si concentra in Sibaritide (Francavilla Marittima, Paludi: figg. 2.27–31), ma interessa anche la contermina Basilicata interna (Guardia Perticara: fig. 2.33), il promontorio di Tropea (Torre Galli: fig. 2.32) e il catanzarese (Crichi: fig. 2.34).

161 Anche l'esemplare frammentario in collezione a Catania mostra una resa dei torsì simile: Frasca 1992, 21 fig. 9.

162 Dalla necropoli di Castellace provengono due esemplari, il primo dei quali disperso: Pacciarelli 1999b, 35; Taliano Grasso – Pisarra 2018, 287 nn. 26, 27.



Figg. 2.27–2.34 Pendagli a coppietta antropomorfa: tipo B3. Provenienze e riferimenti bibliografici alla tab. 2.4. Scala 1:1.



Figg. 2.35–2.39 Pendagli a coppietta antropomorfa: *unica*. Provenienze e riferimenti bibliografici alla tab. 2.4. Scala 1:1.

Al di fuori di questi tre tipi principali permangono ampie zone d'ombra, accentuate dalle carenze della documentazione. Alcuni *unica* combinano in forme ibride caratteri peculiari di diversi tipi: così il pendente nella raccolta del Museo Provinciale di Capua (fig. 2.36), privo di barretta ai piedi, ricorda anche nelle sagome schematiche dei lunghi toraci il tipo B1, da cui si distingue però per le gambe piegate; anche un secondo da Crichi, che con i suoi 6 cm di altezza è il più grande pendente sinora noto, combina toraci ampi e squadrati a gambe brevi e molto flesse, simili a quelle del tipo B3 (fig. 2.35). In altri esemplari la distanza rispetto ai modelli prevalenti si fa invece ancora maggiore, come nel caso del pendente siciliano dallo scavo ai Benedettini di Catania, che si distingue per le forme accentuatamente esili e allungate, quasi giacomettiane, ignote alla serie peninsulare (fig. 2.37). Come osservato anche dal suo editore¹⁶³, ugualmente poco aderente ai modelli calabresi è il

pendente di Castiglione di Ragusa (fig. 2.38), che pur ricorda nella scansione dei volumi l'esemplare capuano, mentre la posizione delle teste replica quella dei pendenti di foggia 'A', come sottolineato da Taliano Grasso¹⁶⁴.

Nel complesso, l'abbozzo di classificazione qui proposto – solo un'ipotesi di lavoro, su cui sarà necessario ritornare quando la qualità della documentazione avrà raggiunto livelli ottimali – conferma la compattezza tipologica della Sibaritide, regione al di fuori della quale s'intravede l'elaborazione locale di più modelli distinti, con oscillazioni maggiori alla periferia distributiva (Castiglione, Catania) piuttosto che nei distretti calabresi contermini (Crichi).

È ampiamente noto come la cronologia dei pendagli a coppietta abbracci nel complesso l'intero IFe2; altrettanto risaputa, e discussa, è la datazione assai più bassa, tra IV e III secolo a.C., dei contesti di rinvenimento degli esemplari di Centuripe

163 Di Stefano 2001; Di Stefano 2004.

164 Taliano Grasso – Pisarra 2018, 264.

e dei Benedettini a Catania, cui si somma ora anche il pendente atestino, deposto in stratigrafie tardo-arcaiche (V secolo a.C.). È difficile trovare una spiegazione univoca a tali attestazioni: mentre per Centuripe la perfetta aderenza del pendente ai modelli calabresi del Primo Ferro (fig. 2.24) lascerebbe in effetti supporre una qualche forma di sopravvivenza e/o riscoperta dell'ornamento, come già proposto da Massimo Frasca¹⁶⁵, nel caso dei Benedettini (fig. 2.37) e di Este (fig. 2.39) allo iato cronologico si coniuga anche una tangibile distanza tipologica dalla serie principale, circostanza che lascia il campo aperto a diverse possibili ipotesi.

La natura erratica di molti rinvenimenti pone inoltre limiti non indifferenti al tentativo di proporre una convincente scansione crono-tipologica interna al gruppo. Se però per il tipo B1 l'attestazione di Torre Mordillo indirizza verso una fase non avanzata del IFe2, le associazioni contestuali del tipo B3 ne ancorano la cronologia a orizzonti più inoltrati, come confermato dal nuovo esemplare da Guardia Perticara, non anteriore all'ultimo quarto dell'VIII secolo a.C.; è dunque plausibile che la sequenza tipologica qui proposta rispecchi almeno in parte una reale tendenza evolutiva, senza che questo escluda comunque la probabile coesistenza e sovrapposizione di tipi diversi.

A fronte del numero non indifferente di oggetti legati a busto e capo, colpisce la scarsa consistenza nel corredo della Strada 1 della seconda concentrazione di ornamenti, quella corrispondente all'insieme bacino/mani. Oltre all'anello digitale a spirale in filo di bronzo e a quelli a fascetta in ferro (catt. S1/12, 13, tav. 9), associati tra loro soprattutto in tombe di donne dalle ricche *parures* (Temparella 63 e 67, oltre che ancora una volta Temparella 60), vi spettano infatti solo parte degli anelli e spirali (catt. S1/14–18), rinvenuti però sparsi in entrambe le concentrazioni, secondo modalità di giacitura non ricostruibili nel dettaglio. La maggior parte degli esemplari doveva comporre in origine almeno una coppia di pendagli di anelli (cat. S1/15, tav. 9), ornamenti disposti sia lungo la cintura, sia presso il capo (per esempio, Temparella 63); un frammento più massiccio appartiene invece a un anello da sospensione a sezione triangolare (cat. S1/14, tav. 9).

Accanto a questi elementi piuttosto comuni, frequenti nella maggior parte dei corredi di donne e bambine, la presenza di ornamenti da cintura di tipo più complesso è indiziata da due frammenti a contorno circolare pertinenti al medesimo monile (cat. S1/16, tav. 9), che la sottile sezione triangolare qualifica come un probabile pendaglio ad anelli concentrici (o 'a ruota'): il tratto di filo di bronzo avvolto a spirale che campeggia attorno al frammento più grande ne consente in particolare l'accostamento a uno specifico gruppo di esemplari, in cui spirali di filo di bronzo alternamente strette e allentate compongono attorno all'anello più esterno una sorta di frangia di asole per la sospensione di pendagli di anelli, lunghe catenelle e altri elementi ornamentali. La documentazione dei nuovi scavi si rivela ancora una volta illuminante: un pendaglio di questo tipo proviene infatti dalla tomba Strada 11 (cat. S11/6, cfr.

cap. 3.2.6 »Radanhänger«), due coppie invece dai corredi Est 9 e 5; quattro esemplari sporadici, tra cui uno verosimilmente prossimo per il diametro ridotto a quello in esame, sono compresi inoltre nella raccolta francavillese del Museo Civico di Cosenza¹⁶⁶. Anche all'Incoronata di Metaponto le cinture femminili del IFe1 avanzato e degli inizi della fase 2 comprendono gruppi di pendagli ad anelli concentrici, cui spirali di filo di bronzo (e/o in materiale deperibile) assicurano pendagli di vario tipo¹⁶⁷.

Nel caso della tomba Strada 1, non è escluso che anche il saltaleone cat. S1/17 (tav. 9), insieme almeno a parte dei già menzionati pendagli di anelli frammentari (cat. S1/15), possa essere riferito al sistema di ornamenti facente perno intorno al pendaglio in discorso, in analogia col caso assai meglio documentato della tomba Strada 11. Un'originaria pertinenza a un più articolato ornamento da cintura è forse ipotizzabile anche per la grande spirale cat. S1/18 (tav. 9), identica per diametro e altezza del nastro a quelle impiegate nei tipici pendagli enotri 'a xilofono' e 'a frangia': un altro indizio della plausibile distanza che separa quanto tuttora conservato dall'originaria consistenza e qualità della *parure* ornamentale.

2.3.2 Corredo ceramico

Con i suoi quattro contenitori, il set ceramico della tomba Strada 1 appartiene alla categoria dei servizi articolati (tavv. 7, 1; 8): composto in genere da 3 o 4 recipienti di forma aperta e chiusa, associati tra loro secondo canoni codificati e ricorrenti, questo tipo di servizio è attribuito prevalente di sepolture maschili e femminili eminenti, come già dimostrato in un precedente lavoro focalizzato sull'analisi delle combinazioni di corredo¹⁶⁸.

Dall'imboccatura stretta e dal profilo poco articolato, completato dall'ansa appena sopraelevata, il piccolo recipiente cat. S1/20 (tav. 8) rientra a pieno titolo nel campo di variabilità delle brocchette (o 'boccali/brocchette'), piccoli vasi dalle proporzioni simili a quelle delle brocche, maggiormente articolati rispetto ai boccali, diffusi nelle necropoli enotrie da una fase matura del IFe2 soprattutto nelle tombe femminili, nei cui servizi ceramici sostituiscono in genere la tazza¹⁶⁹. Isolata nel repertorio di Macchiabate, la brocchetta della tomba Strada 1 trova un buon raffronto, già segnalato in letteratura, in un esemplare adespota da Torre Mordillo; affine è anche la sintassi decorativa, che nel vaso di Francavilla Marittima comprende una coppia di sottili linee ondulate orizzontali tra due linee di margine: classificate da Francesca Ferranti e Marianne Klei-

165 Frasca 1992.

166 Cerzoso – Vanzetti 2014, 130 s. tav. 11 nn. 138–141. Un quinto pendaglio da Bellolucio (Castrovillari) si distingue per la sezione romboidale degli anelli: Carrara Jacoli 1994, 685 tav. 131, 18.

167 Per esempio, Chiartano 1994, 202 tav. 45, G1 (tomba 258); Chiartano 1996, 35 tav. 7, L1–6 (tomba 468).

168 Ferranti – Quondam 2015, 61–65. 81 fig. 16, D.

169 Bailo Modesti u. a. 1999, 453–458; Ferranti – Quondam 2015, 62. La distinzione rispetto alle tazze non è sempre agevole: si veda anche il cap. 3.2.1 »Tasse« con considerazioni riguardanti la nomenclatura di questi contenitori.

brink nello stile 'a bande ondulate', queste sintassi sono particolarmente frequenti nel Geometrico medio di Torre Mordillo e viceversa rare nella necropoli di Francavilla, dove una seconda occorrenza è ora documentata nella tomba S11 (cat. S11/2, cfr. cap. 3.2.1 »Olla«)¹⁷⁰.

Rinvenuto in stato assai lacunoso, l'orcio cat. S1/21 è stato oggetto di un pesante restauro integrativo, che ne ha in parte alterato il profilo: un inconveniente cui il disegno a tav. 8 tenta di porre rimedio, ripristinando per quanto possibile forma e proporzioni originarie del contenitore. Il profilo globulare del corpo e il breve collo troncoconico rigonfio trovano riscontro ancora una volta a Torre Mordillo, sia nel corredo della tomba 1, del IFe2A, sia tra il vasellame oggi privo di contesto, che raggiunge verosimilmente anche il IFe2B; orci affini sono inoltre documentati anche in altri corredi degli scavi Zancani Montuoro (Lettere B; Temparella 20)¹⁷¹.

Il grande dolio in ceramica figulina cat. S1/2 (tav. 8), deposto oltre la testa dell'inumata, riveste un ruolo non secondario nel sistema di segni che ne veicolano lo status: questa peculiare classe di contenitori è infatti attribuito pressoché esclusivo del segmento apicale della società di Francavilla Marittima, dove ricorre nei servizi di altre sei sepolture di ambo i sessi degli scavi Zancani, accomunate dalla diffusa presenza di indicatori di status elevato; tra le donne, spicca ancora una volta la Temparella 60, il cui servizio articolato di quattro vasi contempla anche un dolio. Eredi della tradizione manifatturiera dei grandi dolii 'a cordoni e fasce' di ascendenza egea del Bronzo tardo, particolarmente diffusi lungo l'arco ionico del golfo di Taranto, i dolii funerari del Primo Ferro di Francavilla Marittima se ne distaccano sia dal punto di vista dimensionale, per le capacità decisamente più contenute, sia per l'ampiezza dello spettro tipologico, che a fronte delle fogge standardizzate del Bronzo finale contempla ora una maggiore variabilità formale. Altrettanto ampio – forse in parte anche in virtù di fenomeni di circolazione dei contenitori, impossibili da cogliere in assenza di riscontri archeometrici – è lo spettro dei corpi ceramici, che accanto a figuline molto depurate, analoghe a quelle prevalenti nel Bronzo finale, contempla anche miscele con correttivi maggiormente frequenti e grossolani, più vicine alla ceramica d'impasto, da cui sono comunque ben distinguibili¹⁷². Oltre che a Francavilla Marittima, l'uso funerario dei dolii nel corso del Primo Ferro è documentato anche a Roggiano Gravina, Belloluco di Castrovillari e probabilmente Bisignano, siti accomunati da un medesimo tipo di contenitore di forma standardizzata, noto anche sul Timpone Motta¹⁷³. Nel caso dell'esemplare in discorso, se le prese a linguetta ricordano quelle dei

dolii 'tipo Bisignano', la forma a colletto dell'imboccatura trova riscontri sul Timpone Motta e anche nel piccolo dolio della tomba Temparella 87, di foggia però più evoluta; una forma affine, ma di modulo ridotto (un'olla più che un dolio: l'altezza è pari a poco più di 30 cm), ricorre inoltre nel gruppo XXXVI di Castiglione di Paludi, verosimilmente corrispondente a una singola deposizione femminile¹⁷⁴.

L'accostamento della probabile anforetta frammentaria in ceramica d'impasto cat. S1/1 (tav. 8) alle produzioni del Primo Ferro di Pontecagnano fu proposto già nell'edizione 1970/1971, sulla base dei confronti suggeriti a Paola Zancani Montuoro da Bruno D'Agostino¹⁷⁵: l'ornato metopale a falsa cordicella che scandisce i frammenti superstiti rivela d'altronde un'indubbia parentela con le serie medio-tirreniche del Primo Ferro evoluto (Pontecagnano, Veio), tale da suggerire anche a chi scrive l'ipotesi che si potesse trattare di un oggetto d'importazione. Le analisi archeometriche confermano ora la natura allogena del contenitore, ma ne escludono ogni parentela con le produzioni di Campania ed Etruria meridionale, dove pure allo stato attuale della ricerca si concentrano i migliori confronti archeologici, accertandone invece la compatibilità con l'ambito metamorfico dell'arco calabro-peloritano, che dalla Sibaritide meridionale raggiunge la Sicilia nord-orientale (si veda l'appendice a questo testo). In attesa che nuovi rinvenimenti aggiungano qualche tassello chiarificatore a questo puzzle, è forse lecito ipotizzare una derivazione dell'anforetta dalla Calabria centro-meridionale, la cui prevalente gravitazione verso le *facies* del Primo Ferro d'Etruria, Lazio e Campania è ormai ben nota, e al cui versante tirrenico indirizzano inoltre anche alcuni specifici indizi archeometrici.

2.3.3 La coppa bronzea

Lacune e deformazioni postdeposizionali non compromettono la lettura dei caratteri formali del contenitore (S1/22, tav. 7), ripristinato nelle sue proporzioni originarie dall'abile restauro di E. Formigli. La forma è bassa e larga, con diametro alla bocca pari a circa otto volte l'altezza e imboccatura appena più ampia rispetto alla vasca. Il profilo, articolato, è scandito da un flesso nel terzo inferiore del vaso, che distingue la bassa vasca lenticolare dal soprastante colletto svasato, piuttosto sviluppato e desinente a sua volta in un breve orlo svasato e arrotondato. Lo spessore della lamina, millimetrico lungo la massima espansione, si accresce al fondo e soprattutto verso l'orlo, alla base del quale è assicurata al vaso una sottile maniglia eretta con attacco a piastra rettangolare allungata, sormontata da una coppia distanziata di appendici globulari con 'X' incise al vertice; fasci d'incisioni anulari ne ornano gli attacchi e il tratto mediano tra i due globetti; una serie continua di brevi e fitte

170 Torre Mordillo (Spezzano Albanese): Cerzoso – Vanzetti 2014, 251 tav. 54 n. 959.

171 Cerzoso – Vanzetti 2014, 142 tav. 18 n. 202; 261 tav. 63 n. 987.

172 Levi u. a. 1999, 108.

173 Roggiano Gravina: Carrara – Guzzo 1981, 448 s, fig. 5, 16. Belloluco (Castrovillari): Carrara Jacoli 1994, 689 tav. 132, 1; Bisignano: Levi u. a. 1999, 51–54; Luppino u. a. 2004. L'uso funerario dei dolii è documentato inoltre anche a Santa Maria d'Anglona (Tursi): Malnati 1984, 71 tav. 31, B (tomba XIX).

174 Kleibrink 2010, 134 fig. 185; Guzzo 1975, 141 fig. 68.

175 Zancani Montuoro 1970/1971a, 12 nota 6. La nuova riproduzione grafica qui presentata a tav. 8 comprende anche un frammento dell'attacco all'orlo di una delle anse, che ho potuto rinvenire negli involti originali dello scavo Zancani grazie al paziente e insostituibile aiuto di Angela Palopoli.

tacche oblique corre invece lungo i margini della piastra (fig. 2.40; tav. 7, 2).

La decorazione figurata, eseguita a sbalzo, si svolge in cinque registri concentrici di ampiezza diseguale, compresi tra file di punti e marginati verso l'orlo da un fregio continuo di fiori di loto a cinque petali alternati a boccioli, rivolto verso l'esterno del vaso e realizzato a incisione; un secondo fregio floreale, sbalzato e di minore ampiezza, delimita le fasce figurate verso il centro della coppa, dove campeggia un tappeto di rosette a sei petali.

Il registro figurato principale, più ampio e in posizione mediana, accoglie una teoria di ventidue personaggi stanti di profilo sul fianco sinistro. Una figura di orante, l'unica raffigurata sul fianco destro, ne apre la successione (in alto al centro a tav. 7, 2): la spalleggia a sinistra una seconda figura analoga e speculare, il cui gesto di adorazione o preghiera è replicato in parte anche dal personaggio che la precede, con testa rivolta all'indietro e braccio sinistro sollevato in quello che costituisce l'unico accenno narrativo del registro: le altre figure si susseguono infatti a intervalli regolari, in una sorta di accumulazione paratattica priva di interazioni. I venti personaggi compresi tra la coppia di oranti, verosimilmente tutti demoni e divinità sia antropomorfe, sia con tratti belluini, esibiscono canoni e iconografie tipiche dell'arte egiziana, ma in una resa piuttosto libera e atipica, che assieme allo stato di conservazione non sempre ottimale ne limita la riconoscibilità. Sono infatti solo cinque le divinità identificate da Günther Hölbl: Seth, Ptah, Sekhmet, Thot, Isis o Nephtys, corrispondenti alla prima, terza, quarta, quinta e undicesima figura a partire dall'orante volto a destra; altri due personaggi (il sesto e il tredicesimo) sono poi connotati rispettivamente dalla corona del Basso e da quella dell'Alto Egitto¹⁷⁶. Ciascuna figura esibisce una propria combinazione peculiare di fattezze e *paraphernalia*, e l'unico caso di duplicazione è quello della coppia speculare di oranti, che ne ribadisce il ruolo di baricentro compositivo della sequenza.

Teorie paratattiche di animali ugualmente volti a sinistra popolano le due coppie di registri figurati che marginano la scena di processione appena descritta: tori gradienti e piccoli ruminanti, cervi o antilopi¹⁷⁷, occupano due fasce di simile

altezza, pari a circa metà di quella della scena principale, interposte tra quest'ultima e il fregio di fiori di loto che decora l'orlo; falchi stanti ad ali chiuse e lepri in corsa i due registri più piccoli a ridosso del fondo. La resa degli animali è agile e schematica, i volumi modellati in *silhouettes* allungate, com'è evidente sia per le lepri e i ruminanti, esili e snelli, sia nel caso dei più tarchiati tori; non del tutto apprezzabile, ma comunque verosimilmente limitato, l'eventuale ricorso a cesellature anatomiche di maggiore dettaglio.

A quasi cinquant'anni di distanza, la serie di fotografie e di immagini radiografiche edite da Paola Zancani Montuoro nel 1970/1971 costituisce ancora l'unica base documentaria utile allo studio di questo eccezionale monumento, che solo in rarissime occasioni ha abbandonato le sale del Museo Nazionale Archeologico della Sibaritide¹⁷⁸. Agli stessi anni risale anche la redazione del disegno ricostruttivo del vaso, poi confluito in tutte le successive pubblicazioni, da ritenere nel complesso affidabile, sebbene alcune criticità sussistano in relazione sia ai *paraphernalia* di molte figure del registro processionale, abraso o non comprensibili, sia al fregio floreale di raccordo tra il medaglione centrale di rosette e il registro con lepri, assai mal conservato. Evidente è inoltre l'alterazione intenzionale delle proporzioni della coppa nella vista dall'alto, dove l'orlo si espande circa 2 cm oltre l'effettivo diametro dell'imboccatura, raddoppiando così l'ampiezza del registro decorativo più esterno: un espediente motivato dalla necessità di riprodurre nel dettaglio il fregio di fiori di loto sull'orlo, che risulterebbe altrimenti troppo compresso, ma che ha anche la conseguenza di alterare il rapporto proporzionale tra coppa e ansa, mascherata nella sua curvatura presso gli attacchi da questa eccessiva espansione dell'orlo. In attesa che una nuova riproduzione grafica rimedi a tale deformazione, l'immagine a tav. 7, 2 illustra il reale andamento dell'ansa, dai contorni decisamente più arrotondati rispetto al profilo angolare che la caratterizza nel disegno edito¹⁷⁹.

Nonostante i pareri discordi di esperti come Richard Barnett e Glenn Markoe¹⁸⁰, non credo vi possano essere dubbi sull'origine allogena del contenitore: un'interpretazione pre-

176 Hölbl 1979, 310–312.

177 La precisa identificazione di questi mammiferi, riprodotti con una certa frequenza nei fregi zoomorfi delle coppe e anche su altre categorie di manufatti figurati, non è facile. Le proporzioni del corpo, la forma del muso e le orecchie lunghe e sottili trovano infatti confronti sia nella famiglia dei cervidi, sia tra le *antilopinae*, sottofamiglia dei bovidi che comprende antilopi e gazzelle. Particolarmente indicativa è l'assenza di corna/palchi: tutte le specie di cervidi si caratterizzano infatti per un elevato dimorfismo sessuale, espresso in particolare dai palchi, di cui le femmine sono prive. Tra le antilopi/gazzelle invece la presenza di corna accomuna gli individui di ambo i sessi nella maggior parte delle specie, ma con alcune eccezioni. Spicca la gazzella gozzuta (*gazella subgutturosa*), il cui attuale areale di diffusione interessa l'Asia centrale, estendendosi sino a lambire l'Iran orientale: le femmine di questa specie sono prive di corna ed esibiscono fattezze molto simili a quelle degli animali in esame. Nei cervi maschi la crescita dei primi palchi prende avvio già intorno al terzo/quarto mese di vita; anche tra le antilopi/gazzelle la comparsa delle corna è precoce,

e il loro sviluppo generalmente completato entro il primo anno di vita. A essere riprodotti in questo e in altri fregi figurati potrebbero pertanto essere cervi e/o antilopi femmine, come anche i loro cuccioli. L'inclusione di entrambe le famiglie di animali nel bestiario riprodotto sulle coppe figurate è dimostrata dalle rappresentazioni di cervi maschi con ampi palchi, come a Vetulonia (fig. 2.49) o nella scena di caccia su una coppa della tomba Bernardini (Neri 2000, tav. 4), e di antilopi/gazzelle cornute, queste ultime anche associate proprio agli animali in esame (fig. 2.46).

178 La coppa fu esposta nel 2003 presso il Museo d'Arte Cicladica di Atene in occasione della mostra «Sea Routes... From Sidon to Huelva», a cura di Nicholas Stampolidis; Luppino 2003.

179 Come ben visibile d'altronde anche nelle fotografie pubblicate in Zancani Montuoro 1970/1971a, tavv. 5, 12 b.

180 R. D. Barnett (1974, 22 s.), considera la coppa di Francavilla Marittima «an interesting local, perhaps Sicilian, Phoenician variant»; G. Markoe (1985, 143 s.) «a local copy or imitation of a Phoenician original». L'ipotesi di una produzione locale è ripresa anche in Almagro-Gorbea 2015, 76.

valente in letteratura, condivisa anche nei recenti lavori di Rossella Pace e Paolo Bernardini con Massimo Botto, dove la coppa figura nel repertorio dei più antichi *orientalia* della penisola italiana¹⁸¹. D'altronde, pur nel quadro della generale straordinaria fioritura toreutica dell'VIII secolo a.C., né Francavilla Marittima, né alcun altro sito italiano del Primo Ferro 2 hanno restituito alcuna testimonianza compatibile con una produzione locale di bronzi figurati in stile orientale.

Se la provenienza della coppa di Francavilla Marittima dall'Oriente può ritenersi certa, tuttora arduo è circoscriverne areale e ambito di produzione. Come lamentato anche da Javier Jiménez Ávila nell'introduzione al volume sulla bronzistica fenicia da lui curato nel 2015, a oltre 30 anni dalla monografia di Glenn Markoe sulle coppe 'fenicie' da Cipro e dal Mediterraneo, gli interrogativi già sollevati allora circa la seriazione crono-tipologica e la definizione di specifiche cerchie produttive nell'ambito di questa classe di vasellame sontuario non hanno ancora trovato risposte univoche, complice il durevole vuoto di attestazioni in contesti chiusi e ben datati tra Fenicia e Siria¹⁸². Com'è ben noto, il più consistente insieme di coppe 'fenicie' del Vicino Oriente proviene infatti dalla stanza AB del North-West Palace di Nimrud, dove Austen Henry Layard ne rinvenne nei primi giorni del gennaio 1850 oltre cento esemplari, molti dei quali con complesse decorazioni figurate¹⁸³. Questo eccezionale ripostiglio di bronzi, interpretato come bottino di guerra e/o frutto di tributi accumulati negli anni di Sargon II (721–705 a.C.), contiene manufatti disomogenei per forma e stile, spia della loro cronologia ampia (IX/VIII secolo a.C.) e della derivazione da diversi ambiti produttivi¹⁸⁴. In due contributi datati, ma tuttora fondamentali, Richard Barnett ne ha proposto una suddivisione in quattro gruppi definiti soprattutto da specifiche peculiarità stilistiche e compositive, secondo una struttura classificatoria poi mantenuta anche in gran parte della letteratura successiva, sebbene non priva di aspetti problematici¹⁸⁵. I primi tentativi d'inquadramento stilistico delle *Nimrud bowls*, e l'avvio del conseguente

dibattito circa la geografia della loro produzione, precedono però di quasi un secolo i lavori di Barnett. È già nel corso degli anni '80 del 1800, infatti, che si delinea la suddivisione delle coppe in due insiemi stilistici distinti, 'assiro' o 'assirizzante' il primo, 'egittizzante' il secondo: una partizione ricalcata anche dal dibattito contemporaneo, focalizzato soprattutto sulla distinzione, a Nimrud come nel più ampio *corpus* degli esemplari noti, tra coppe in stile nord-siriano, con figure tozze e dai volumi massicci sovente raccolte in un unico ampio fregio¹⁸⁶, ed esemplari che esibiscono un linguaggio figurativo dai tratti più propriamente fenici, con frequente assorbimento di stilemi ornamentali e iconografie tipiche dell'arte egiziana¹⁸⁷. Una terza variabile, incarnata dalla possibile esistenza di un repertorio ascrivibile a officine aramaiche della Siria meridionale, fu enucleata da Barnett nel suo esame delle *Nimrud bowls* ed è oggi in gran parte riassorbita nel concetto di 'scuola' o 'stile intermedio'¹⁸⁸.

Al di fuori del Vicino Oriente, uno straordinario insieme di bronzistica figurata in stile orientale proviene poi da Creta, dove i rinvenimenti del tardo IX e VIII secolo a.C., tra cui i bronzi dell'Antro Ideo occupano un posto di primo piano, dimostrano l'avvio di una produzione isolana, che affianca le importazioni e accomuna sotto il medesimo linguaggio stilistico diverse categorie di oggetti; spiccano gli eccezionali scudi con protome leonina e fregi concentrici figurati¹⁸⁹. Ben documentata è anche una produzione cipriota di coppe figurate, non anteriore però allo scorcio dell'VIII secolo a.C. e con una propria peculiare cifra stilistica¹⁹⁰. Tra fine VIII e decenni iniziali del VII secolo a.C. s'inquadra infine la celebre serie di vasellame figurato dalle tombe orientalizzanti dell'Italia tirrenica (Caere, Praeneste, Pontecagnano), con legami sia con il repertorio cipriota, sia con la serie egittizzante 'fenicia', il cui ambito di produzione è tuttora discusso, e che come gran parte della produzione più recente predilige l'argento, con frequente ricorso alle dorature¹⁹¹.

Il dibattito, sviluppatosi in parallelo a quello sugli avori¹⁹², di cui le coppe figurate condividono non solo stili e iconografie, ma anche la variegata geografia della produzione, è comunque ancora lontano dall'asstarsi su posizioni univocamente condivise, aldilà della convergenza su un generico ambito produttivo siro-fenicio; l'eclettismo delle rappresentazioni (la maggior parte delle coppe note, giova ricordarlo, sono monumenti a sé stanti, con caratteri solo parzialmente ripetuti e ricorrenti) e l'assenza di riscontri archeometrici complicano

181 Pace 2008b; Bernardini – Botto 2015, con bibliografia precedente. Così anche Parasole 2012/2013, 117 e Matthäus 2019, 250–253.

182 Jiménez Ávila 2015; Markoe 1985; agli stessi anni risale anche l'importante contributo sulla metallurgia fenicia di Falsone 1988.

183 Il gruppo, che comprendeva anche una dozzina di calderoni bronzei in parte stanti su tripodi in ferro, quattro dei quali contenenti altro vasellame metallico ed elementi di bardatura equina (Curtis 2013, 3–6), attende ancora un'edizione integrale. Gli esemplari superstiti, molti dei quali tuttora illustrati solo dalle splendide tavole di Layard 1853, raggiungono le 120 unità (137 secondo Curtis 2013, 69), cifra comprensiva anche delle coppe frammentarie e di quelle non decorate.

184 Markoe 2007, 170; J. Curtis (2013, 5 s.) collega invece l'accumulo dei bronzi nella stanza AB (e anche quello dei celebri avori della stanza NN) ai sacchi del 614 e 612 a.C., che preludono al tracollo dell'impero assiro.

185 Barnett 1974; Barnett 1967. Mi riferisco alla disomogeneità della tipologia proposta, che mescola aspetti formali/funzionali («swinging-handle bowls») e iconografici/decorativi («marsh pattern group», «star bowls»), due livelli che andrebbero invece tenuti distinti in sede tipologica, e quindi analizzati nelle loro reciproche interazioni; così anche Matthäus 2019, 249 nota 16.

186 Matthäus 2009, 441; Hasserodt 2009, 223–225; Pappalardo 2011b, 230.

187 Barnett 1974; Markoe 1985; Falsone 1992; Matthäus 2009.

188 Barnett 1974, 23; Falsone 1988, 237; Winter 1988, 199; Matthäus 2011, 118.

189 Matthäus 2011; Matthäus 2000; Pappalardo 2001; Pappalardo 2011a; Pappalardo 2011b; Pappalardo 2016.

190 Markoe 2007, 169 s.

191 Breve rassegna degli studi in Neri 2000 e con approccio critico in Vella 2010.

192 Winter 1981; Winter 1988; Herrmann u. a. 2009.

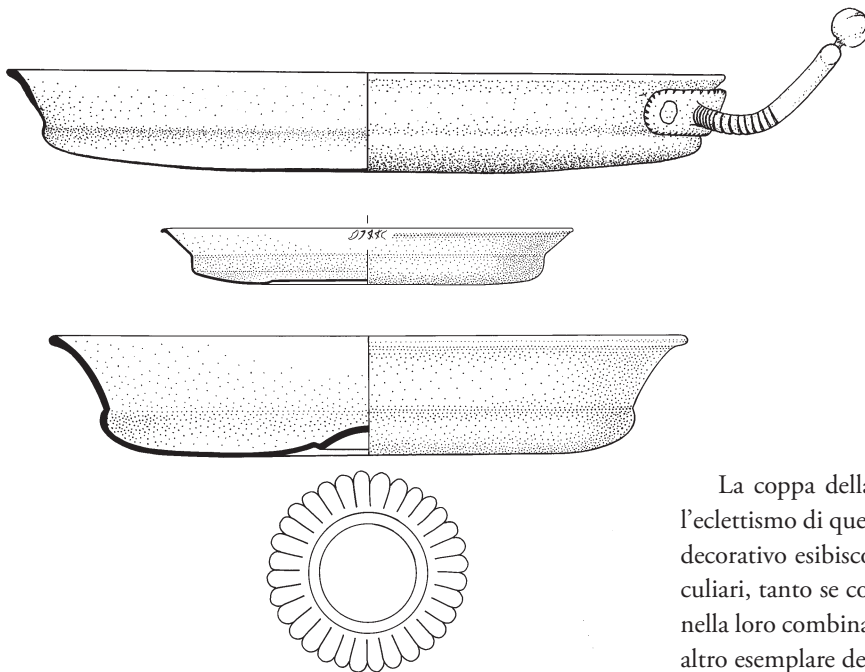


Fig. 2.40 Profilo della coppa dalla tomba Strada 1 (cat. S1/22; scala 1:2). Riproduzione su gentile concessione della Società Magna Grecia.

Fig. 2.41 Coppa bronzea con vasca lenticolare e colletto svasato da Nimrud, coppa Layard 62B (scala 1:2).

Fig. 2.42 Coppa bronzea con vasca lenticolare e colletto svasato da Tell Fara (scala 1:2).

ulteriormente il quadro¹⁹³. Nei contributi più recenti, tra cui spiccano quelli di Monika Hasserodt e Hartmut Matthäus, si coglie comunque un certo accordo sulla priorità dello stile 'nord-siriano' rispetto a quello egittizzante 'fenicio', confortata soprattutto dalla cronologia dei nuovi esemplari da Lefkandi, appartenenti al primo insieme; le sfumature interpretative rimangono però marcate¹⁹⁴. A Hartmut Matthäus si deve poi la proposta di una scansione crono-tipologica delle coppe, che valorizza soprattutto le associazioni in contesti chiusi esterni all'area siro-fenicia: allo scoraggiante vuoto tra Siria e Levante costiero si contrappone, infatti, il discreto numero di nuove acquisizioni distribuite tra Italia meridionale, Egeo, Oriente e Sudan, molte delle quali provenienti da contesti funerari integri e ben databili sulla base delle contestuali associazioni di corredo. Come vedremo tra poco, anche i più antichi esemplari italiani, e in particolare la coppa di Francavilla Marittima, giocano un ruolo non secondario in questo tentativo di seriazione interno al gruppo¹⁹⁵.

La coppa della tomba Strada 1 incarna per molti aspetti l'eclettismo di questa straordinaria produzione: forma e partito decorativo esibiscono infatti aspetti inconsueti o del tutto peculiari, tanto se considerati singolarmente, quanto soprattutto nella loro combinazione, che non è replicata identica in nessun altro esemplare del gruppo.

Distinta dalle classiche fogge emisferiche o a bassa calotta, ampiamente predominanti tra le altre coppe figurate, la forma del vaso di Francavilla Marittima (fig. 2.40) appartiene a una serie almeno in apparenza minoritaria, documentata allo stato di edizione attuale solo da un altro esemplare di Nimrud¹⁹⁶ (fig. 2.41); profili simili sono poi documentati nel repertorio non figurato, come nel caso di una coppa da Tell Fara, che si distingue per il basso fondo ombelicato con medaglione a rosetta (fig. 2.42)¹⁹⁷; una più generica assonanza di forma complessiva si coglie anche con altre patere orientali, lisce o con vasca baccellata, contraddistinte da un profilo articolato simile, ma con un maggiore sviluppo proporzionale della vasca¹⁹⁸.

Nella sua analisi della coppa di Francavilla Marittima, Glenn Markoe ne denunciava già oltre un trentennio fa le numerose peculiarità decorative, tali a suo parere da motivarne la lettura come prodotto d'imitazione: ipotesi che non reputo condivisibile, ma che certo coglie nel vero nel sottolinearne l'unicità delle raffigurazioni, tuttora prive di confronti puntuali e davvero soddisfacenti¹⁹⁹. Uniche, e altrimenti inedite, sono infatti sia la scena di processione mediana, sia la sua posizione e la combinazione con i fregi zoomorfi: mentre infatti sequenze paratattiche di animali possono spesso costituire il tema centrale del partito figurativo, come nel caso delle *bull bowls*, nelle coppe con fregi principali a raffigurazione umana la presenza

193 Per i metalli assiri del British Museum segnalo l'appendice archeometrica di Matthew Ponder al volume di Curtis 2013.

194 Hasserodt 2009, 204–268; Matthäus 2009; Matthäus 2019 (così già Amadasi 1991). Segnalo inoltre i numerosi contributi di F. Onnis (2009a, 2009b, 2014a, 2014b), incentrati soprattutto su aspetti iconologici e iconografici. Inoltre, Almagro-Gorbea 2015; per il corpus epigrafico, Feldmann 2015. Alle coppe figurate dal bacino del Mediterraneo tra Primo Ferro e Orientalizzante è dedicato inoltre il dottorato di M. Parasole (accenni in Parasole 2012/2013). H. Matthäus (2009, 441 s.) attribuisce le più antiche coppe in stile nord-siriano ad ateliers siriani, distinguendo almeno tre possibili centri di produzione; M. Hasserodt (2009, 215 s.), ritiene invece che anche nella produzione fenicia l'adozione di un linguaggio figurativo siriano preceda le tipiche sintassi egittizzanti dell'VIII secolo a.C., con una conseguente maggiore articolazione della geografia produttiva.

195 Matthäus 2009; Matthäus 2019. A Nimrud, una nuova coppa aurea proviene dal corredo della regina Yaba, moglie di Tiglatpileser III (744–727 a.C.). Molto discussa la datazione della tomba iraniana di

Arjan, che ha restituito una coppa bronzea con fregi figurativi di eccezionale complessità (il corredo è ora edito in Álvarez-Mon 2010).

196 Layard 1853, tav. 62 B, confronto già segnalato anche in Pace 2008b.

197 Flinders Petrie 1930, 10 tav. XXXVIII, 824. La coppa di Tell Fara e quella di Francavilla sono raggruppate nel tipo 2E della classificazione di Howes Smith (1986, 39 s.), ritenuto di possibile manifattura siriana: si tratta però di un insieme eterogeneo, che comprende anche esemplari non direttamente confrontabili con quelli in esame. Devo questo suggerimento bibliografico a Enrico Regazzoni, che ringrazio.

198 Sciacca 2005, 255 s. nota 209; Bernardini – Botto 2015, 342; Hasserodt 2009, 199 tav. 6, 2, 3 (Assur).

199 Markoe 1985, 143 s.

di teorie di animali si limita in genere a piccoli registri accessori di modulo ridotto, in un rapporto proporzionale dal bilanciamento assai diverso rispetto a quello della coppa di Francavilla Marittima.

Alcune *Nimrud bowls* si caratterizzano per la sintassi incentrata su fregi zoomorfi, singoli²⁰⁰ o più spesso ripetuti in uno schema concentrico analogo a quello di Francavilla Marittima. La coppa Layard 60 (fig. 2.43) mostra in particolare una successione di tre registri d'ampiezza digradante verso il centro, il mediano occupato da una complessa successione di animali sia reali, sia fantastici (tori, stambecchi, antilopi/gazzelle e grifoni, alcuni dei quali attaccati da leoni e leopardi), i laterali invece da teorie di tori e di antilopi/gazzelle dalla resa piuttosto naturalistica, ma vicini agli animali dei primi due registri di Francavilla Marittima per la postura con muso abbassato e per le proporzioni allungate dei corpi, quasi a simulare un leggero movimento²⁰¹. In altre due coppe con motivo a stella centrale (*star bowls*) i fregi zoomorfi si riducono a una scala miniaturistica, con rese schematiche (Layard 59C, fig. 2.44) o più naturalistiche (Layard 61A, fig. 2.45), ma comunque connotate da *silhouettes* allungate e dalla stessa postura con muso abbassato²⁰². Gli animali prediletti sono ancora i ruminanti, ripetuti identici tra loro in tutti e sei i registri della coppa Layard 59C e predominanti anche nell'esemplare 61A, dove a un primo registro di cervi con palchi a 'V' segue una coppia di fregi con ruminanti simili a quelli della tomba Strada 1; completano il partito decorativo un quarto registro con teoria di felini e un quinto e ultimo fregio di lepri in corsa, come a Francavilla Marittima disposte nel registro figurato più interno. Tutti gli esemplari di *Nimrud* sin qui citati sono inclusi da Matthäus nel suo gruppo delle »bowls with animal friezes en miniature«²⁰³, ma simili iconografie degli animali sono condivise anche da coppe appartenenti a raggruppamenti stilistici diversi, come nel caso dell'esemplare Layard 64, con piccolo fregio accessorio intorno al fondo popolato da due antilopi o gazzelle cornute, alternate a una coppia di ruminanti pascenti analoghi a quelli di Francavilla Marittima e a un felino²⁰⁴ (fig. 2.47).

Allarghiamo ora lo sguardo oltre *Nimrud*. Dall'Antro Ideo a Creta provengono due coppe con fregi di animali, una delle quali documentata solo da pochi frammenti con un registro di tori in carica²⁰⁵. L'esemplare più integro esibisce invece verso il fondo una coppia di registri con tori, intervallati da un fregio mediano con ruminanti pascenti (fig. 2.46): entrambi gli animali si legano per forme e proporzioni a quelli della tomba Strada 1, da cui differiscono solo per piccoli particolari come l'orecchio dei tori, in questo caso abbassato; pressoché identici

invece i ruminanti. Completa l'ornato una catena di fiori di loto, che occupa la stessa posizione sull'orlo di quella di Francavilla Marittima, ma se ne distingue per la resa più rigida dei fiori, non intervallati a boccioli: la stessa versione di catena floreale è documentata su una seconda coppa cretese, e anche su alcuni frammenti di scudi²⁰⁶. Comune agli scudi è anche la resa allungata dei ruminanti pascenti, lumeggiati da dettagliate tratteggiature anatomiche²⁰⁷ (fig. 2.48). Tre fregi concentrici di animali (ruminanti pascenti; coppie di cervi e leopardi; coppie araldiche di falconi con un'ala spiegata) ricorrono anche sulla parte conservata della coppa dalla tomba VII del 'primo circolo di pietre interrotte' di Poggio alla Guardia di Vetulonia (fig. 2.49), che fino alla recente pubblicazione della splendida *bull bowl* dalla tomba 74 di Monte Vetrano costituiva l'unico altro esemplare di coppa con decorazione figurata in stile orientale rinvenuto in contesti del IFe2 dell'Italia peninsulare²⁰⁸. Il legame tra le coppe di Vetulonia e Creta da un lato, e di entrambe queste ultime con l'appena discusso gruppo di *Nimrud bowls* dall'altro, è già stato ampiamente sottolineato in letteratura, e si estende anche all'organizzazione della sintassi decorativa, scandita da fasce inornate che intervallano i registri (Layard 61A; Creta, Vetulonia) e da partiture a *guilloches* (Layard 60, 61A; Creta, Vetulonia), nel caso di Creta in una versione documentata ancora una volta anche sugli scudi²⁰⁹.

Nessuna delle coppe sin qui esaminate replica la sintassi di Francavilla Marittima. I rapporti che legano questo insieme di coppe con fregi zoomorfi al vaso della tomba Strada 1 sono però evidenti sia nel bestiario selezionato (soprattutto i tipici ruminanti, ma anche tori, lepri e falchi), sia nelle iconografie predilette per la rappresentazione (i ruminanti pascenti, le lepri in corsa), come anche nella specifica resa snella e allungata dei volumi corporei; un rapporto accentuato anche dal medaglione centrale con tappeto di rosette, che ricorre nella stessa versione di piccole dimensioni al centro della coppa Layard 61A (fig. 2.45), e poi in campi più estesi anche su altre *Nimrud bowls* (Layard 62A) e sulla più tarda coppa cipriota da Idalion al Louvre²¹⁰.

Particolarmente importante ai fini cronologici è l'esemplare di Vetulonia, impiegato come coperchio dell'urna di una sepoltura femminile a cremazione con set di fibule e ornamenti in bronzo, ferro, ambra e vetro. Il corredo, danneggiato come gran parte della raccolta vetuloniese dalla disastrosa alluvione del 1966, fu ripristinato nelle sue associazioni originarie da Adriano Maggiani, espungendo alcuni elementi spuri e pri-

200 Layard 1853, tav. 57 A. C.

201 Layard 1853, tav. 60; Curtis – Reade 1995, 138 n. 101.

202 Layard 1853, tav. 59; Curtis – Reade 1995, 139 n. 102. Layard 1853, tav. 61 A.

203 Matthäus 2019, 249–253 fig. 9.

204 Layard 1853, tav. 64; Curtis – Reade 1995, 141 n. 104.

205 Hasserodt 2009, 408 n. 53; a partire dalla ricostruzione di E. Kunze (1931, 32 tav. 47, 72), G. Markoe (1985, 165 Cr5) interpreta uno dei frammenti non ricongiunti come parte di un secondo fregio con tori.

206 Hasserodt 2009, 402 s. n. 46; Markoe 1985, 164 s. Cr4. Per il fregio di fiori di loto: Kunze 1931, 31 tav. 48 n. 70 (corrispondente a Hasserodt 2009, 400 s. n. 45); Kunze 1931, 30, inserto 2, a (scudi); M. Hasserodt (2009, 224 s.) la ritiene una versione schematica delle catene di fiori di loto assire.

207 Kunze 1931, 7 s. tavv. 7–9 n. 5; Matthäus 2000, 534 tav. 14.

208 Vetulonia: Maggiani 1973. Monte Vetrano: Iannelli 2011, 173 fig. 195; Cerchiai u. a. 2012/2013, 93–95 fig. 6.

209 Maggiani 1973; Markoe 1985, 114; Sciacca 2005, 400 nota 782; Gaucci 2009. Per le *guilloches* su scudi cretesi: Kunze 1931, 6 s. tavv. 5. 6 nn. 3. 4.

210 Layard 1853, tav. 62 A. Markoe 1985, 169 s. Cy1.



Fig. 2.43 Coppa bronzea con fregio zoomorfo da Nimrud (Layard 60).



Fig. 2.44 Coppa bronzea con fregio zoomorfo da Nimrud (Layard 59C).



Fig. 2.45 Coppa bronzea con fregio zoomorfo da Nimrud (Layard 61A).

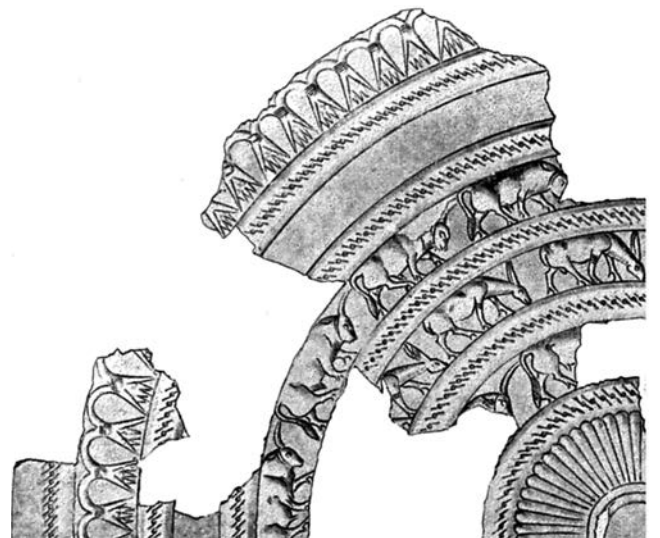


Fig. 2.46 Coppa bronzea con fregio zoomorfo da Creta, Antro Ideo.



Fig. 2.47 Coppa bronzea con fregio zoomorfo da Nimrud (Layard 64).



Fig. 2.48 Scudo bronzeo con fregio zoomorfo da Creta, Antro Ideo.

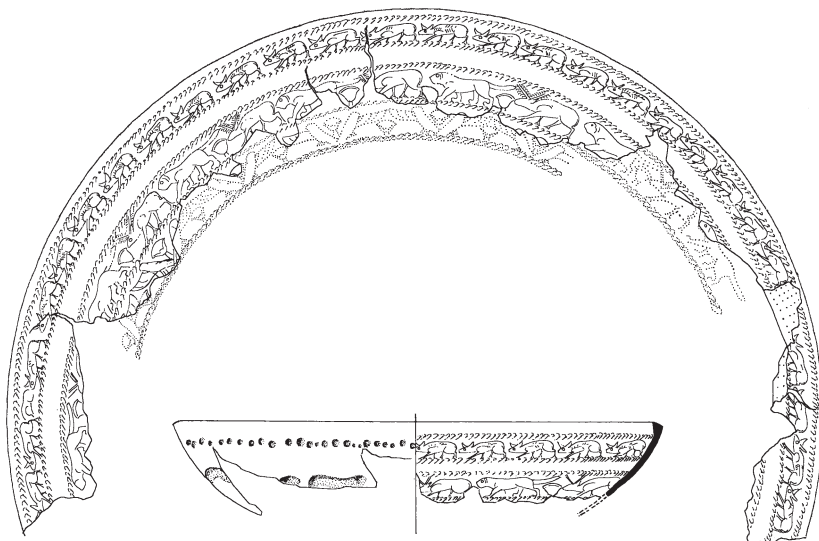


Fig. 2.49 Coppa bronzea con fregio zoomorfo dalla tomba VII del 'primo circolo di pietre interrotte' di Poggio alla Guardia di Vetulonia (scala 1:3).

vileggiando le indicazioni dell'inventario del Museo di Firenze rispetto a quelle, a volte contraddittorie, dei testi a stampa dello scavatore Isidoro Falchi; alla trama di associazioni così restituita si è adeguata la letteratura successiva²¹¹. Qualora l'insieme di oggetti editi da Maggiani rispecchi le reali associazioni di corredo, come appare in effetti plausibile, non credo che la sepoltura possa essere attribuita a una fase posteriore al IFe2A (825–800/780 a.C. in cronologia calibrata; 800–750 a.C. secondo la cronologia tradizionale): una datazione più risalente rispetto a quanto proposto a suo tempo dall'editore del corredo (750–725 a.C.), ma non troppo distante da quella della tomba Strada 1, da porsi come vedremo tra la fine del IFe2A e gli inizi della successiva fase 2B (si veda oltre, cap. 2.4)²¹².

Nella sua proposta di seriazione, Hartmut Matthäus pone le »bowls with animal friezes en miniature« all'inizio della se-

quenza delle coppe figurate, valorizzando proprio le associazioni occidentali nei corredi di Francavilla Marittima e Vetulonia²¹³. Il gruppo non è omogeneo; la coppa della tomba Strada 1 vi occupa peraltro una posizione peculiare, poiché mescola i fregi animali a un registro con figure antropomorfe dallo stile fortemente egittizzante. Ciò nonostante, mi sembra che la cronologia degli esemplari italiani convalidi l'ipotesi di una certa antichità di almeno parte di questa variegata serie, e di una sua precoce proiezione verso occidente già entro gli ultimi decenni del IX, o al più tardi agli inizi dell'VIII secolo a.C. Condivisibile solo in via ipotetica è invece l'attribuzione della coppa di Francavilla Marittima a manifattura fenicia, concordemente proposta sia da Matthäus, sia da Monika Hasserodt²¹⁴.

Assai intricato è inoltre il dibattito sviluppatosi riguardo l'ansa della coppa di Francavilla Marittima, che, come già osservato da Zancani Montuoro, nella forma in cui ci è giunta fu assicurata al vaso impiegando come rondelle interne per i ribattini una coppia di ritagli circolari di lamina bronzea ricavati da oggetti di verosimile produzione locale: una seconda coppia di ritagli più grandi, che risarcisce due lacune sull'orlo della coppa, conserva infatti una sezione trasversale di un ornato a nastri paralleli e file di denti di lupo campiti con fitti tratti obliqui, analogo a quello documentato tra Calabria e Campania su un tipo di cinturone femminile in lamina del IFe2A, e conservato in minima parte anche su una delle rondelle²¹⁵. Dibattute sono sia l'originaria pertinenza dell'ansa alla coppa, sia il suo luogo di manifattura, due questioni strettamente intrecciate tra loro, poiché se per i sostenitori di una manifattura occidentale l'ansa

211 Maggiani 1973.

212 Secondo gli inventari del Museo di Firenze spetterebbe al corredo una coppia di massicce fibule a sanguisuga con decorazione coprente, almeno una delle quali con staffa simmetrica, foggia generalmente tipica di un orizzonte non avanzato del IFe2. Il primo degli esemplari vetuloniesi (Maggiani 1973, 74 fig. 1, b) trova per esempio un confronto pressoché identico a Osteria dell'Osa, fase laziale IIIA (Bietti Sestieri 1992b, fig. 3a.405, 2); il secondo (Maggiani 1973, 74 fig. 1, c) ricorda per il tipo di decorazione le fibule ad arco ingrossato e quelle passanti a sanguisuga. Non strettamente diagnostica la presenza nel corredo di frammenti di fibule con arco rivestito di segmenti graduati d'ambra (Maggiani 1973, 77 fig. 1, d–h tav. 24, b–d), una classe ampiamente diffusa in diversi orizzonti del Primo Ferro, e in particolare durante il IFe2. Nonostante la sequenza del Primo Ferro vetuloniese non sia ancora nota nel dettaglio, e sebbene alcuni esemplari di fibule a sanguisuga con staffa simmetrica e decorazione coprente (comunque diversa da quella delle fibule in esame) raggiungano contesti di cronologia più recente (Colombi 2018, 143 s. tipo B1.7a tav. 54, 4–6) non credo che nel caso delle associazioni in esame vi siano elementi in favore di una datazione a orizzonti più avanzati del IFe2. Ne consegue che l'ipotesi di Gaucci 2009, secondo cui la manifattura della coppa potrebbe essere avvenuta a Pithecusa per mano di un artigiano siriano, oltre a incontrare le stesse difficoltà già sottolineate per Francavilla Marittima (assenza di altre testimonianze così risalenti di manifattura locale di bronzi figurati in stile orientale), verrebbe a cozzare anche con la cronologia della sepoltura, a mio parere più antica delle prime testimonianze pithecusane.

213 Matthäus 2019.

214 Matthäus 2019; Hasserodt 2009, 215 s.

215 Per i cinturoni: Cerzoso – Vanzetti 2014, 165 s. tav. 25, 351. Il confronto con i cinturoni, già proposto da P. Zancani Montuoro, rimane tuttora il più convincente, ma non è possibile escludere che i ritagli provengano da più oggetti, anche diversi tra loro. Il restauro della coppa è comunemente considerato indice di un suo utilizzo prolungato prima della deposizione nel corredo: l'intervallo di tempo trascorso tra il danneggiamento del vaso, il suo restauro e il successivo occultamento in tomba non può però essere quantificato in alcun modo, e potrebbe essere stato lungo come anche molto breve.

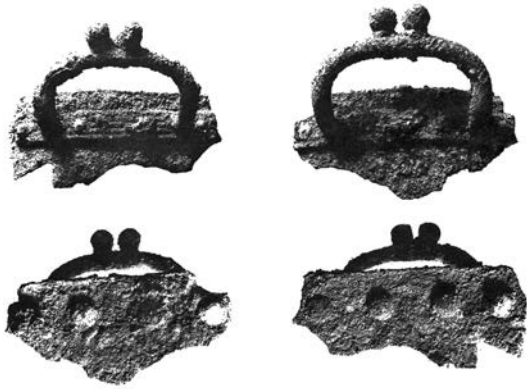


Fig. 2.50 Maniglie bronzee dalla tomba X di Piano delle Granate a Populonia (fuori scala). Riproduzione su concessione del Museo Archeologico Nazionale di Firenze (Direzione regionale Musei della Toscana).

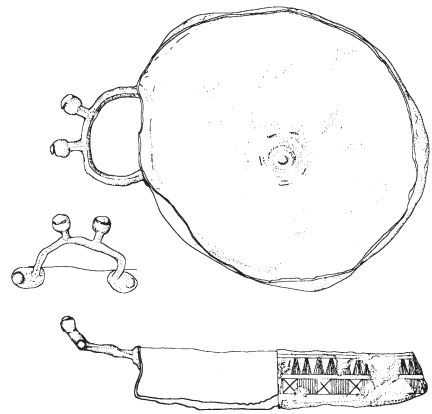


Fig. 2.51 Coppa bronzea con maniglie sormontate da globetti dalla tomba 132 di Castel di Decima (scala 1:3 circa).

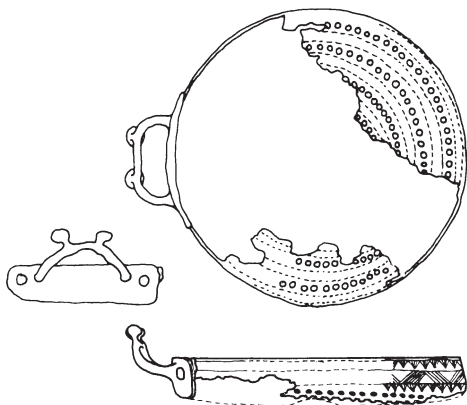


Fig. 2.52 Coppa bronzea con maniglie sormontate da globetti dalla tomba 759 di San Vitale a Bologna (scala 1:3 circa). Riproduzione su concessione del Museo Civico Archeologico di Bologna.

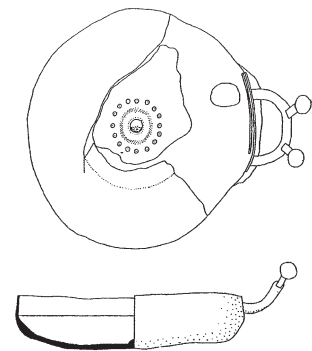


Fig. 2.53 Coppa bronzea con maniglie sormontate da globetti dalla tomba 1032 di Casale del Fosso a Veio (scala 1:3 circa).

non può che costituire un'aggiunta posticcia al vaso, i fautori della tesi orientale si dividono tra chi la ritiene pertinente già in origine alla coppa²¹⁶, e chi pensa invece a una sorta di *pastiche*, realizzato in Occidente applicando al vaso di Francavilla Marittima un'ansa recuperata da un altro contenitore bronzeo d'importazione orientale²¹⁷.

La tesi della manifattura orientale, sposata da una minoranza di studiosi, si scontra con la già più volte lamentata assenza di confronti puntuali sia tra le altre coppe con decorazione figurata (solo raramente ansate, e in genere provviste di una maniglia mobile), sia nel più ampio repertorio della bronzistica vascolare vicino-orientale: per quanto infatti l'uso di decorare le maniglie erette con appendici sommitali, zoomorfe o più spesso a fiore di loto, sia molto diffuso nella metallurgia levantina, e in particolare a Cipro, nessuno dei tanti esemplari noti in Oriente è sormontato da coppie di piccole terminazioni globulari simili a quelle calabresi. Nonostante un'ispirazione orientale sia innegabile, i legami dell'ansa di Francavilla Marittima con il repertorio levantino non superano l'ambito ge-

nerico e alquanto insoddisfacente della semplice affinità strutturale.

A corroborare la tesi della manifattura occidentale, sostenuta da un'ampia maggioranza di studiosi, sono invece i ripetuti rinvenimenti di maniglie con coppie di globetti sommitali in contesti funerari del Primo Ferro peninsulare, secondo un quadro distributivo già ampiamente tracciato in letteratura. Peculiare e ricorrente è in particolare l'associazione tra questa foggia d'ansa e uno specifico tipo di coppa bronzea, con parete rientrante e bassa vasca carenata, documentato a Castel di Decima, Bologna e Veio (figg. 2.51–53) in ricche sepolture femminili comprese tra lo scorcio della fase 1 e la piena fase 2 del Primo Ferro, e la cui elaborazione tipologica, molto discussa, va verosimilmente collocata in Occidente²¹⁸. Il ventaglio di

216 A. Bedini, in: Bedini – Cordano 1975, 384 s.; Bedini – Cordano 1977, 275–281.

217 Zancani Montuoro 1970/1971a, 25 s.

218 Castel di Decima (Roma), tomba 132: Bedini – Cordano 1975, 376–392 fig. 18, 9. San Vitale (Bologna), tomba 759: Pincelli – Morigi Govi 1975, 454 s. fig. 68, 8 tav. 305. Casale del Fosso (Veio, Roma), tomba 1032: Drago Troccoli 2009, 259 s. fig. 11. Rassegna delle posizioni critiche in Pace 2008b; Drago Troccoli 2009. F. Sciacca (2010a, 5 s.) ipotizza un'origine cipriota per la coppa di Decima: l'assenza di confronti precisi in Oriente e la ripetuta associazione nelle necropoli medio-tirreniche tra questo tipo di coppa e la foggia di ansa in discorso indirizzano piuttosto verso una manifattura occidentale. Considerato che il legame tra questo insieme di vasi



Fig. 2.54 Maniglia adespota al Museo di Firenze (scala 1:3 circa). Riproduzione su concessione del Museo Archeologico Nazionale di Firenze (Direzione regionale Musei della Toscana).



Fig. 2.55 Maniglia bronzea da Tadasuni (scala 1:3 circa).



Fig. 2.56 Maniglia bronzea (?) da Forraxi Nioi (fuori scala).

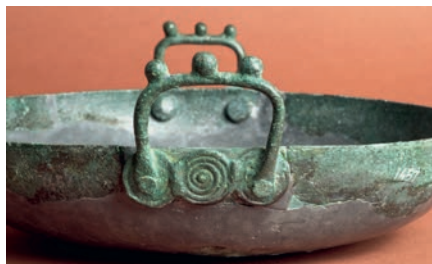


Fig. 2.57 Maniglie bronzee del bacile dal Circolo del Tridente di Vetulonia (fuori scala). Riproduzione su concessione del Museo Archeologico Nazionale di Firenze (Direzione regionale Musei della Toscana).



Fig. 2.58 Maniglia dalla fossa 1 della tomba di Mut di Vetulonia (scala 1:3 circa). Riproduzione su concessione del Museo Archeologico Nazionale di Firenze (Direzione regionale Musei della Toscana).



Fig. 2.59 Maniglia dalla fossa 1 della tomba di Mut di Vetulonia (scala 1:3 circa). Riproduzione su concessione del Museo Archeologico Nazionale di Firenze (Direzione regionale Musei della Toscana).

possibili associazioni dovette includere comunque anche altre forme, come nel caso della tomba X di Piano delle Granate a Populonia, ancora databile entro il IFe1B, dove una coppia di maniglie con globetti è applicata all'orlo di un probabile bacile bronzeo (fig. 2.50)²¹⁹.

Pur nell'ambito di una discreta compattezza tipologica, la serie di anse con globetti rivela un non trascurabile margine di variabilità sia nella forma degli attacchi, separati e a contorno ovale (Decima), oppure a piastra rettangolare inornata (Bologna, Veio), sia in quella delle appendici sommitali, precedute da uno stelo cilindrico breve (Bologna) o piuttosto sviluppato (Veio, Decima); a Populonia i globetti sono invece ravvicinati e impostati direttamente sulla maniglia, come nel caso della tomba Strada 1, mentre l'attacco a piastra rettangolare è ornato con sottili solcature orizzontali, un carattere di chiara ascendenza orientale. Un altro esemplare adespota al Museo Archeologico di Firenze²²⁰ (fig. 2.54), con attacco a piastra inornata, assomiglia all'ansa di Veio, da cui si distingue per il profilo schiacciato dei globetti, caratterizzati anch'essi nel complesso da una certa oscillazione formale e dalla rarità delle decorazioni, limitate solo alle incisioni anulari alla sommità della coppia di Decima²²¹.

È evidente la natura solo parzialmente omogenea del gruppo: ciascun esemplare è diverso dall'altro, e nessuno ripete la peculiare combinazione di forma e ornati che caratterizza la maniglia della tomba Strada 1.

Nel pubblicare la coppia di esemplari vetuloniesi, Gilda Bartoloni ipotizzò già nel 1987 un ruolo intermedio della Sardegna nella ricezione e rielaborazione di questa foggia d'ansa in Occidente: un'ipotesi sostanziata dall'accostamento tra la serie di anse peninsulari e una maniglia bronzea sporadica dal territorio di Tadasuni, nell'oristanese (fig. 2.55), poi accolta anche nella maggior parte dei lavori successivi, pur se con diverse sfumature di significato²²². Se il gruppo di anse peninsulari del Primo Ferro mostra già di per sé una discreta variabilità tipologica, l'ansa di Tadasuni se ne discosta però in maniera ancora più sensibile sia per il profilo arcuato della maniglia, sormontata da tre (e non due) appendici globulari prive di stelo, sia soprattutto per l'elaborata forma della piastra, interamente decorata a solcature e con terminazioni a spirale sormontate da una coppia di volatili: Hartmut Matthäus ne ha già evidenziato la natura di prodotto locale ispirato a modelli ciprioti²²³. Come proposto da Nicola Ialongo, alla maniglia di Tadasuni potrebbe essere accostato un frammento di verga bronzea con tre globetti dal ripostiglio di Forraxi Nioi (fig.

e la coppa di Francavilla Marittima si limita all'ansa, difficilmente condivisibile è la posizione di Nijboer 2006, che interpreta il vaso calabrese come prototipo della serie di coppe peninsulari.

219 Bartoloni 1987, 38–41 figg. 8–11.

220 Maggiani 2002, 411 tav. 1, a.

221 Come descritto in Bedini – Cordano 1975, 384; secondo A. Maggiani (2002, 412) i globetti di Castel di Decima recherebbero invece una 'X' analoga a quella di Francavilla Marittima.

222 Bartoloni 1987 sottolinea anche la presenza nella stessa tomba di un bottone nuragico con protome d'ariete. Rinvio a Pace 2008b, 83–85; Bernardini – Botto 2015, con bibliografia precedente.

223 Matthäus 2001, 163 s. L'ansa di Tadasuni fa parte di un gruppo di bronzi donati al Museo di Cagliari nel 1914 e già considerato come un unico ripostiglio, ma la cui originaria pertinenza al medesimo complesso archeologico, peraltro ignoto, non è affatto certa: Depalmas 2006, 50–52 con bibliografia precedente.

2.56), complesso in cui la fase IFe2 è ben rappresentata; la classificazione puntuale del frammento, forse contorto e lacunoso degli attacchi, rimane però incerta²²⁴. All'ansa di Tadasuni si lega la coppia di maniglie che svettano sul bacile bronzeo dalla seconda fossa del circolo del Tridente di Vetulonia, dell'Orientalizzante antico, con tre appendici globulari e attacco a piastra trilobata e scanalata²²⁵ (fig. 2.57). Il favore incontrato da questa foggia di bacile nella Vetulonia orientalizzante è testimoniato inoltre da un probabile secondo esemplare dalla fossa 1 della tomba di Mut, coeva al Circolo del Tridente, le cui maniglie complicano ulteriormente la tipologia del gruppo: mentre l'attacco a placchetta scanalata è identico a quella del più antico bacile di Poggio alle Granate, la maniglia è infatti sormontata da una coppia di globetti raccordati alla base da una sorta di cresta mediana longitudinale²²⁶ (figg. 2.58; 2.59).

In mancanza di ulteriori attestazioni sarde, e vista anche l'incerta cronologia della maniglia di Tadasuni, priva di dati contestuali di ritrovamento, non credo che i rinvenimenti sinora noti supportino l'idea di una priorità della Sardegna nell'elaborazione di questa peculiare foggia di ansa²²⁷. Gli esemplari isolani, con tre globetti, presentano infatti maggiori punti di contatto con le maniglie vetuloniesi d'età orientalizzante, più elaborate, piuttosto che con la serie a due globetti del Primo Ferro, ben radicata in Italia peninsulare e di cui l'ansa di Francavilla Marittima costituisce al momento l'attestazione più meridionale, connotata peraltro da peculiari aspetti formali e decorativi.

2.4 Conclusioni

Misurare la distanza che separa quanto tuttora conservato dall'originaria consistenza e qualità del corredo Strada 1 è un compito arduo: tanto il precario stato di conservazione della struttura, quanto le condizioni malconce degli oggetti, e in particolare di quelli in metallo, concorrono nel segnalare uno stato di danneggiamento diffuso, certo maggiore di quanto riconosciuto dalla scavatrice all'atto del recupero della sepoltura. Altrettanto difficoltoso in tali circostanze è puntualizzarne la cronologia: mentre infatti i rapporti con l'orizzonte di Torre Mordillo, evidenti soprattutto nel repertorio ceramico, ne indicano la probabile arcaicità, l'assenza di corredi certamente risalenti al IFe2A, tra gli scavi Zancani come soprattutto tra i contesti di nuova indagine dell'area Strada, ne suggerisce una collocazione prudentiale tra lo scorcio del IFe2A e il IFe2B iniziale (tra l'800 e il 780 circa a.C. in cronologia calibrata; intorno al 750 a.C. in cronologia tradizionale), che tenga conto anche dell'estrema lacunosità del corredo metallico.

Ciò nonostante, la trama degli elementi superstiti compone un tessuto semantico continuo, che dal più ampio insieme dei canoni normativi della collettività funeraria e dalle dinamiche

di genere, riflesse anche nella disposizione del corredo, spazia sino ai campi più specifici dell'identità e della gerarchia sociale: se la composizione del servizio ceramico, come anche i costanti richiami alle *parures* di alcune tra le più eminenti sepolture femminili della necropoli (Temparella 60 e 63), sottintendono infatti la probabile compartecipazione della tomba Strada 1 a forme ben codificate di esibizione del rango²²⁸, gli altrettanto numerosi legami con le circostanti sepolture di nuova indagine, evidenti sia sotto il profilo strutturale, sia nella composizione del corredo, ne consentono finalmente la contestualizzazione nell'ambito delle opzioni rituali e delle forme di rappresentazione socio-funeraria specifiche del proprio raggruppamento topografico-parentale di appartenenza. Un tessuto semantico la cui trama sfilacciata è ora possibile riannodare grazie all'ampliamento delle indagini e delle nostre conoscenze.

Francesco Quondam

Appendix: Archaeometric Investigation

Sampling and Methods

A small amphora from Francavilla Marittima tomb Strada 1 (S1/1) has been selected for archaeometric investigation (petrographic and chemical composition) in order to define the raw materials and the possible production area.

Analyses were carried out at the University of Modena and Reggio Emilia (IT) at the Department of Chemical and Geological Sciences and at the *Centro Interdipartimentale Grandi Strumenti*-CIGS. Compositional data – petrography and chemistry – of the small amphora from Francavilla Marittima tomb Strada 1 have been compared with our archaeometric database (Wikipottery project) and with edited data from Calabria (Sybaris plain and Tyrrhenian coast), Campania and Sardinia²²⁹.

Petrographic thin sections were described with a polarising microscope following the standard proposed by Whitbread (1989) and by Quinn (2013). Major elements bulk composition of 37 elements was assessed by X-ray fluorescence spectroscopy (XRF). Minor and trace elements were measured by XRF and Laser Ablations-Inductively coupled plasma mass spectroscopy (LA-ICP-MS). Principal Component (PCA) was performed using SPSS 17.0 statistical package on chemical data.

XRF analysis was carried out with Philips PW 1480 instrument preparing boric acid tablets with 300 or 150 mg of calcinated powder. External standard calibration has been done on GBW 07701-07711 international standards²³⁰ following the procedure defined in Gazzulla Barreda u. a. 2016. Detec-

224 Fiorelli 1882, 308–311, tav. 18, 9; Ialongo 2011, 49. 130 tipo 110.

225 Cygielman – Pagnini 2006, 84 n. 210 tav. 9f.

226 Colombi 2018, 127 tipo A26.6 tav. 43, 1. 2.

227 Così anche Milletti – Lo Schiavo 2018, 32–34.

228 Pace 2014 ritiene invece che la composizione del corredo (considerato sulla scorta della Zancani malconco, ma intatto: Pace 2014, 126) si allontani intenzionalmente dalle canoniche forme di rappresentazione dello status tipiche della necropoli.

229 Cannavò – Levi 2018; Jones u. a. 2014; Levi u. a. 1999.

230 Chunshu u. a. 1996.

tion limits for the analysed elements are as follows: Cu 50ppm; Zn 20ppm; As 10ppm; Pb 20ppm; V 10ppm; Cr 10ppm; Co 10ppm; Ni 10ppm; Ba 25ppm; Ce 20ppm; Nb 2ppm; Zr 50ppm; Sr 20ppm; Y 20ppm; La 25ppm; Rb 40ppm; Sb 20ppm.

LA-ICP-MS analyses were obtained by a Nd:YAG deep UV (213 nm) New Wave Research UP-213 laser ablation system (LA) coupled to a Thermo Fisher Scientific X-Series II Induced Coupled Plasma Mass Spectrometer (ICP-MS). Instrumental drift correction was computed following the procedure reported in Brunelli u. a. (2013); using glass beads of NIST 610, NIST 612 and NIST 614 as external standard and ^{28}Si as internal standard. Data reduction was performed with Plasma Lab[®] software, by Thermo Scientific. The most crucial stage in multi-element analysis by LA-ICP-MS of silicate matrices like the ancient pottery is the sample preparation. We adopted the fusion technique procedure, which is the best suited for plasma atomization²³¹. Glass pearl was prepared by melting at 1100 °C for 1 hour a quota of 50 mg of the sample mixed with a ten-fold amount (500 mg) of Lithium Metaborate Puratronic in a Pt-Au-Rh crucible. This procedure reduces the evaporation of some volatile elements as Rb. Its value should be quantified accurately and is therefore calculated in the final measures²³². Resulting concentrations must be corrected from the pollution introduced by the crucibles and the melting agent. The use of lithium metaborate and Pt-Au-Rh crucibles hinders the definition of related elements as Li, B, Rh, Re, Os, Pt, Au and Hg. The correction is done by subtraction of the blank composition obtained in the crucible without the sample and measured in the same analytical conditions by LA-ICP-MS together with the unknown samples. All plotted values are normalized on the average composition of the upper continental crust²³³.

Analytical data

The Fabric of the small amphora is characterized by the presence of intrusive rocks fragments and an abundant fine fraction composed by quartz and feldspars, possibly derived by the fragmentation of the intrusive rocks (fig. 2.60 A and B).

The microstructures are composed by few voids and these commonly comprise micro channels. The voids are not infilled with secondary calcite and have a preferential orientation, aligned with their long axes parallel to the vessel's margins. The voids are closed-spaced for the most part.

The groundmass is generally homogenous throughout the section, the color is reddish brown in PPL and in XPL; the micromass is optically active.

The inclusions have a bimodal grain-size distribution and are well sorted; they have sometimes a preferential alignment and they are closed-spaced. The coarse inclusions (0.75 mm to 0.3 mm) are moderately sorted, as the fine inclusions (<0.3

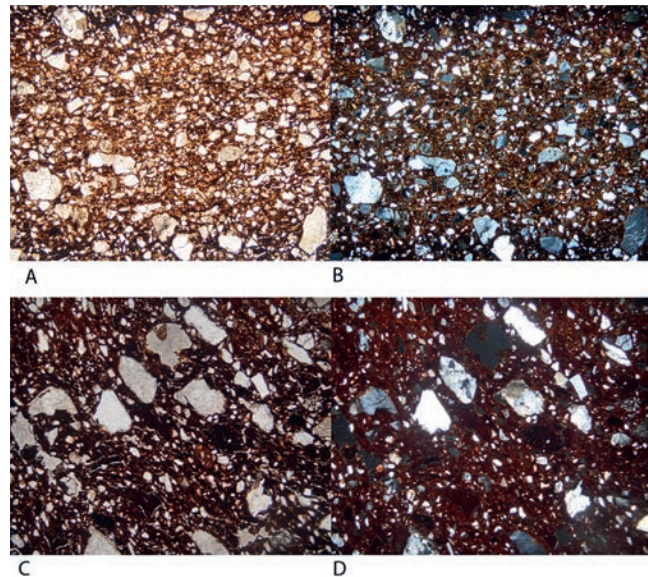


Fig. 2.60 Francavilla Marittima Tb S1 Fabric image in PPL (a) and XPL (b) condition compared with Taureana Fabric I105 image in PPL (c) and XPL (d) condition (horizontal dimension 5.5 mm).

mm) and are commonly subangular equant and elongated clasts. Granite rocks fragments (quartz+feldspars+mica) are abundantly attested with equant, angular and subangular clasts and maximum long dimension of 0.75 mm. Commonly feldspars are also present with elongated, angular and subangular clasts and maximum long dimension of 0.75 mm. Some are partially saussuritized. Few quartz crystals, equant and subangular, (maximum long dimension 0.35 mm), are visible in the coarse fraction. The fine inclusions are composed by frequent quartz crystals and commonly feldspars clasts; few mica laths are also visible and rare pyroxenes should be identified.

Fabric classification based on petrography has been compared with chemical composition based on major, minor and trace elements (tab. 2.61). According to the major elements, the Fabric is characterized by non-calcareous clay and a high content of SiO_2 , linked to the granitic rocks.

Discussion

On the base of the petrographic analysis, the best match with protohistoric *Impasto* pottery in terms of inclusion's composition and groundmass is with Tyrrhenian Calabria²³⁴ (fig. 2.60 C and D).

Protohistoric vessels characterized by intrusive rocks (granite) are also attested in the Plain of Sybaris, dominated by the crystalline Mt. Sila, more specifically in the south at Basili di Rossano and Strange (and also at Broglio as imports). Even if it is not possible to completely rule out an origin in the Plain, the local products in this area are all characterized by a coarser grain size²³⁵. The presence of granitic rocks is also attested in Southern Ionian Calabria (Ianchina), but differ for the coarse

231 Papadopoulou u. a. 2004.

232 Condie 2015.

233 Rudnick – Gao 2003.

234 Taureana area: Fabric I105 with quartz and granite, Levi u. a. 2019.

235 Fabric I1 with granite: Cannavò – Levi 2018.

sample	Na ₂ O	MgO	Al ₂ O ₃	SiO ₂	P ₂ O ₅	K ₂ O	CaO	TiO ₂	MnO	Fe ₂ O ₃	LOI
FMA tb S1	1,36	1,70	17,87	58,32	0,09	1,77	1,63	0,64	0,08	6,75	9,79
FMA tb S1	V	Cr	Co	Ni	Cu	Zn	Rb	Sr	Y	Zr	Nb
	1,13	0,89	0,66	0,97	0,77	0,97	0,86	0,40	1,27	1,38	1,07
	Cs	Ba	La	Ce	Pr	Nd	Sm	Eu	Gd	Tb	Dy
	0,42	1,09	1,20	0,86	1,00	1,26	1,47	1,54	1,53	1,37	1,46
	Ho	Er	Tm	Yb	Lu	Hf	Ta	W	Re	Pt	Au
	1,40	1,27	2,22	1,72	1,86	1,20	1,04	1,01	0,27	695,02	86,47
	Hg	Th	U								
286,79	0,89	4,02									

Tab. 2.61 Major elements (wt%) measured by XRF Fluorescence; minor and trace elements (ppm) measured by LA-ICP-MS.

grain size and for a more micaceous groundmass than Francavilla Marittima's amphora. It is also important to underline that the typical local pottery composition at Francavilla Marittima is a combination of sedimentary rocks, mainly sandstones and siltstones: S21 with siltstone and S29 with arkose Fabrics²³⁶, due to the proximity with the sedimentary formations of Mt. Pollino.

A generic similarity should be also suggested with some protohistoric pottery from Campania²³⁷, but the analyzed amphora is distinguished by the rare presence of pyroxenes, a frequent component in Campanian products. No compositional compatibility can be suggested for several sites from Sardinia²³⁸. According to the different lithologies, Southern Etruria should be ruled out as well.

Other considerations arise by comparing the chemical data of the Francavilla Marittima amphora and other Southern Italian protohistoric pottery samples obtained with various techniques: XRF, ICP, AAS²³⁹.

According to the minor and trace elements, the Fabric appears depleted with low content in Sr and Rb. At a general level, the chemical composition seems to be suitable with the Tyrrhenian Calabria (Taureana and Punta Zambrone) and the Plain of Sybaris and rules out Middle Tyrrhenian area (Pontecagnano), as evidenced in the discriminant plots (figs. 2.62, 2.63).

Focusing on the Plain of Sybaris a discriminant analysis underlines the compatibility with the southern part as already evident with the petrographic composition (fig. 2.64).

Summarizing, according to the archaeometric investigation the small amphora from Francavilla Marittima tomb Strada 1 can't be regarded as local production from Francavilla Marittima or, more in general, from the sedimentary northern sector of the Plain of Sybaris. The dataset compared for this investigati-

on does not support the hypothesis of a provenance from the Middle Tyrrhenian area despite the archaeological similarities with Pontecagnano. A Sardinian or Southern Etruscan origin must be excluded as well.

Positive match for production area is supported by the good compatibility with the intrusive compositions of Calabria and more specifically of samples from the Ionian southern part of the Plain of Sybaris and from the Tyrrhenian coast.

Acknowledgments

I am grateful to Sara T. Levi, Daniele Brunelli and Anna Cipriani for the discussion of the data; to Massimo Bartolotti and Federico Lugli for the analyses and to *Preistoria Attuale* for the financial support.

Valentina Cannavò

236 Cannavò – Levi 2018, 38 f.

237 For example Pertosa: Cannavò – Levi 2018.

238 Jones u. a. 2014.

239 Jones u. a. 2014; unpublished data from our database.

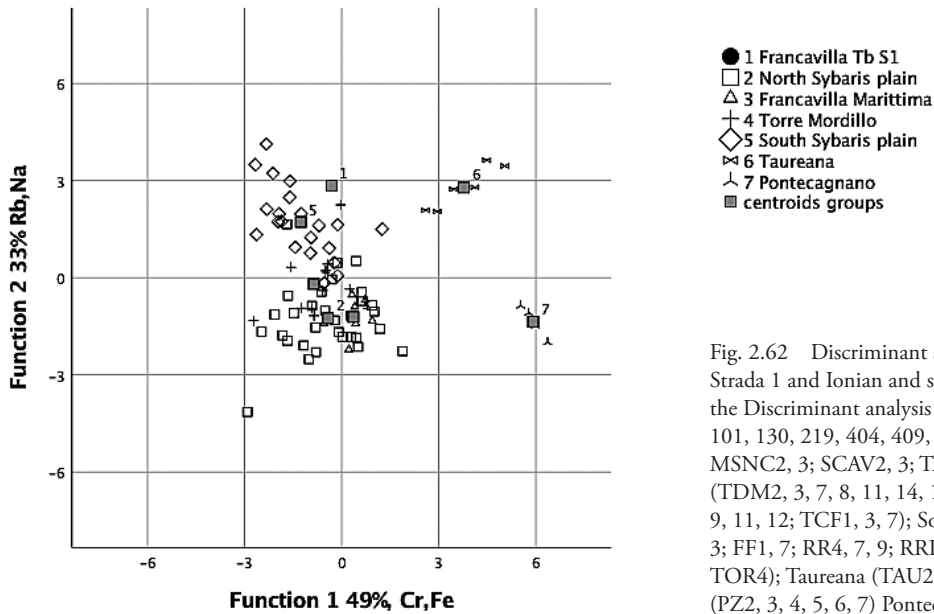


Fig. 2.62 Discriminant analysis plot of Francavilla Marittima Tb Strada 1 and Ionian and southern Tyrrhenian (Samples plotted in the Discriminant analysis North Sybaris plain (BT1, 7, 9, 14, 24, 101, 130, 219, 404, 409, 418, 420, 435, 436, 443, 445; MC1; MSNC2, 3; SCAV2, 3; TA2, 3; TMC2; VP2); Torre Mordillo (TDM2, 3, 7, 8, 11, 14, 15, 19, 24); Francavilla Marittima (FMA 9, 11, 12; TCF1, 3, 7); South Sybaris plain (BRS1, 2, 4; BSG2, 3; FF1, 7; RR4, 7, 9; RRP1, 3; SCG1, 5; SCS6, 9; STR3, 4, 5; TOR4); Taureana (TAU2, 6, 9, 11, 14, 15); Punta Zambrone (PZ2, 3, 4, 5, 6, 7) Pontecagnano (PON1, 2, 3, 4).

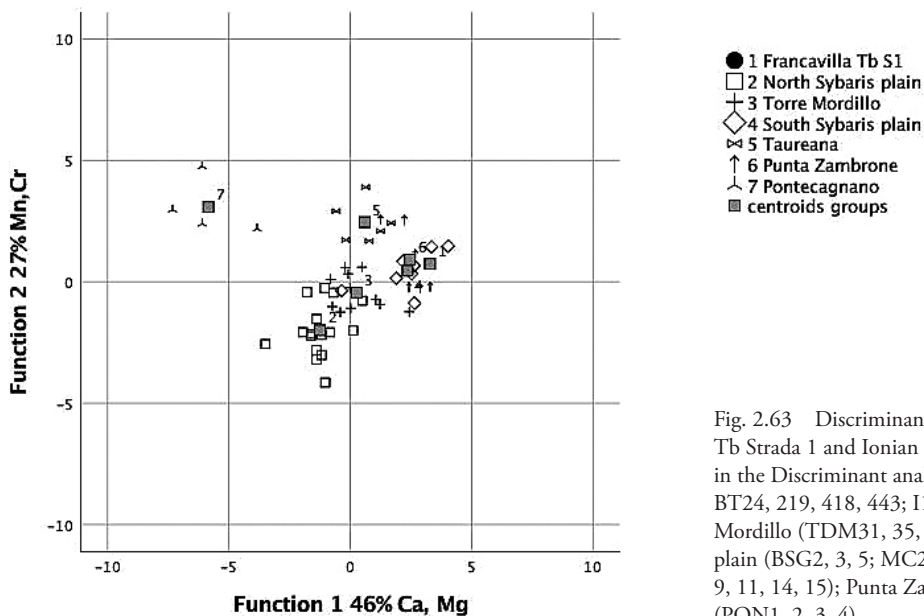


Fig. 2.63 Discriminant analysis plot of Francavilla Marittima Tb Strada 1 and Ionian and southern Tyrrhenian (Samples plotted in the Discriminant analysis North Sybaris plain (ARG1, 2, 3; BT24, 219, 418, 443; I1, 2, 12, 13, 14, 15, 16; MC1; M1); Torre Mordillo (TDM31, 35, 36, 37, 38, 39, 40, 41); South Sybaris plain (BSG2, 3, 5; MC2, 3; SCG5; STR3); Taureana (TAU2, 6, 9, 11, 14, 15); Punta Zambrone (PZ2, 3, 4, 5, 6, 7) Pontecagnano (PON1, 2, 3, 4).

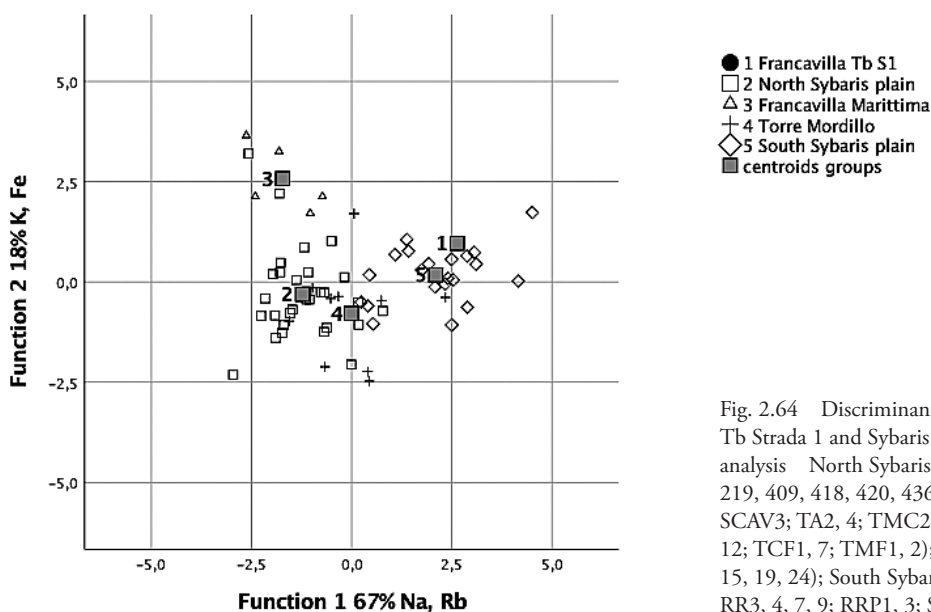


Fig. 2.64 Discriminant analysis plot of Francavilla Marittima Tb Strada 1 and Sybaris Plain (Samples plotted in Discriminant analysis North Sybaris plain (BT1, 7, 9, 14, 206, 208, 209, 210, 219, 409, 418, 420, 436, 443, 445, 1302; BTP1, 3; MSNC2, 3; SCAV3; TA2, 4; TMC2; VP2); Francavilla Marittima (FMA9, 11, 12; TCF1, 7; TMF1, 2); Torre Mordillo (TDM2, 3, 7, 8, 11, 14, 15, 19, 24); South Sybaris plain (BRS1, 2, 4; BSG2, 3, 5; FF1, 7; RR3, 4, 7, 9; RRP1, 3; SCG1; SCS6, 9; STR3, 4, 5; TOR4).

3 Basler Ausgrabungen 2009–2016: Die Gräber der Areale Strada und De Leo

3.1 Befunde

3.1.1 Methodisches

Die Mehrzahl der Gräber im Areal Strada liegt unmittelbar unter dem heutigen Gehniveau, vielfach zeichnete sich die oberste Steinlage bereits vor Grabungsbeginn mehr oder weniger deutlich an der Oberfläche ab (Abb. 3.1). Dasselbe gilt für die Gräber im Areal De Leo, die nur wenige Zentimeter unter der Oberfläche lagen und vom Pflug bereits in Mitteleidenschaft gezogen worden waren. Seine gute oberflächliche Sichtbarkeit war mit ein Grund dafür, dass Grab Strada 2 als erstes vom Basler Team erforscht wurde. Gleichzeitig wurde bereits 2009 eine erste geophysikalische Prospektion des Areals Strada sowie weiterer Zonen innerhalb und ausserhalb des archäologischen Parks durchgeführt²⁴⁰. Dabei kam sowohl die Geomagnetik²⁴¹ als auch das Georadar²⁴² zum Einsatz. Erstere

diente dazu, Kenntnisse über die grossräumige Ausdehnung des antiken Gräberfeldes zu gewinnen (Taf. 2, Geomagnetik in den Arealen Nr. 3. 6. 16. 19–25. 28–30. 35). Letzteres lieferte detailliertere Kenntnisse über die Verteilung der Gräber im Areal Strada. 2012 erfolgte eine zweite geophysikalische Kampagne, in deren Mittelpunkt Georadarmessungen im mittlerweile nach Norden, Osten und Westen erweiterten Areal Strada und seinem Umfeld (Taf. 5) sowie im südwestlichen, noch nicht ausgegrabenen Bereich der Temparella standen. Weitere Georadaruntersuchungen fanden schliesslich 2015 statt. Sie konzentrierten sich auf verschiedene Zonen innerhalb des umzäunten archäologischen Parks (Taf. 2 Nr. 4. 7. 9. 12).

Während sich in den geomagnetischen Resonanzbildern nur sehr vage Informationen über die Lage der Gräber abzeichneten²⁴³, erbrachte die Georadaranalyse sehr klare Ergebnisse. Insbesondere im Areal Strada zeichneten sich die verschiedenen Gräber sehr deutlich ab, was nicht zuletzt die Planung der Ausgrabung erleichterte (Taf. 5; vgl. Taf. 4). Sichtbar waren in erster Linie die massiven Steinverfüllungen der grossen Gräber, namentlich derjenigen, die dicht unter der Oberfläche lagen. Kleinere und tiefer gelegene Strukturen entzogen sich jedoch dem virtuellen Blick in die Erde. Aus diesem Grund wurden

240 Die geophysikalischen Prospektionen wurden durchgeführt von der Firma Eastern Atlas GmbH & Co. KG, Berlin.

241 Bericht Eastern Atlas GmbH & Co. KG, Berlin, vom 9.11.2009: »Bei geomagnetischen Messungen wird das magnetische Feld im Boden verborgener Objekte und Strukturen durch Magnetometer abgetastet, aufgezeichnet und in einem Magnetogramm dargestellt. Durch die Bildung des Vertikalgradienten aus zwei Magnetfeldmessungen in unterschiedlicher Höhe über dem Boden werden zeitliche Variationen des Erdmagnetfeldes kompensiert. Bei Gradientenmessungen liegen die archäologisch nachweisbaren Anomalien meist im Amplitudenbereich zwischen ca. 1 und 10 nT [Nanotesla]/m. Liegt das Untersuchungsgebiet in einem geologischen Milieu, das von einem hohen Gehalt an ferromagnetischen Eisenoxiden geprägt ist, kann sich das Amplitudenniveau der magnetischen Gradienten deutlich erhöhen. Die natürlich vorkommenden Böden und Gesteine im Messgebiet bestehen überwiegend aus fluviatilen Ablagerungen des Raganello. Darin enthaltene größere Gesteine können solche relativ starken Amplituden erzeugen, während die verwitterten Bodenschichten keine erhöhte Magnetisierung aufweisen. Durch eine starke Rauigkeit der Oberfläche (z. B. auf gepflügten Flächen) wird das Ergebnis geomagnetischer Messungen ungünstig beeinflusst, da die Neigung der Gradiometersonden und ihr Abstand zum Boden relativ stark variieren und Schwankungen in den Messwerten erzeugen. Bei den Messungen bei Francavilla Marittima wurde ein Array aus sechs Gradientensonden eingesetzt. Die Sonden wurden im Abstand von 0.5 m auf einem Messwagen montiert. Die Datenregistrierung erfolgte mit einem zehnkanaligen Datenlogger EALOG, der auch die synchrone Registrierung der Sondenpositionen mittels eines Zwei-Frequenz-GPS-Empfängers ermöglicht.«

242 Bericht Eastern Atlas GmbH & Co. KG, Berlin, vom 9.11.2009: »Beim Georadarverfahren werden hochfrequente elektromagnetische Impulse in den Boden abgestrahlt. Dort verursachen Objekte oder Grenzflächen zwischen Bodenschichten mit unterschiedlichen elektrischen Materialeigenschaften, speziell der Dielektrizitätszahl, Reflexionen der elektromagnetischen Wellen. Feste Einlagerungen in lockerem Boden wie die in der Nekropole Macchiabate zum Grabbau verwendeten großformatigen Steinsetzungen erzeugen meist sehr starke Reflexionen. Da die Radarwellen im Boden auch

einer Dämpfung unterliegen, kehrt nur ein Teil der elektromagnetischen Energie an die Oberfläche zurück. Dieser reflektierte Anteil wird mit Hilfe der Radarantenne empfangen und aufgezeichnet. Die Dämpfung hängt von der elektrischen Leitfähigkeit im Untergrund und damit insbesondere vom Wassergehalt und Mineralbestand ab. Erfahrungsgemäss zeigt der im Mittelmeerraum weit verbreitete Bodentyp 'Terra Rossa' (Kalksteinrotlehm) eine sehr starke elektromagnetische Dämpfung. Grund dafür ist der hohe Tongehalt des Bodens (ca. 50 %). Die Tiefenlage der Strukturen ergibt sich aus der Laufzeit der elektromagnetischen Wellen. Für jedes Zeitintervall werden die Amplitudenwerte aufsummiert und liefern ein Mass für das Reflexionsvermögen des Untergrundes. In den aus Parallelprofilen zusammengesetzten Horizontalschnitten können Untergrundstrukturen und Einlagerungen anhand erhöhter Amplituden von Bereichen ungestörter Lagerung unterschieden werden.

Das räumliche Auflösungsvermögen und die Tiefenreichweite der Radarmessungen werden durch die gewählte Antennenfrequenz und die elektromagnetischen Eigenschaften des Untergrunds bestimmt. Als Faustregel gilt, je höher die Frequenz, desto besser ist die räumliche Auflösung, jedoch sinkt gleichzeitig die Tiefenreichweite. Bei den Messungen in Francavilla wurde ein Georadarsystem SIR-3000 mit einer 400-MHz-Antenne von GSSI eingesetzt. Der Profillabstand der parallelen Profile betrug ca. 0.3 m, der Messpunktabstand im Profil ca. 2.5 cm. Die Registrierdauer ist mit 20 ns relativ gering, da die Radarwellen sehr stark gedämpft wurden. Mit einer mittleren Laufzeit von 0.1 m/ns können daraus Horizontalschnitte bis 1.0 m unter Geländeoberkante abgeleitet werden.«

243 Bei der Mehrzahl der mit der Geomagnetik untersuchten Flächen handelt es sich um Äcker, die regelmässig gepflügt werden. Dementsprechend ist mit gestörten Befunden und zahlreichen aufgepflügten Steinen zu rechnen, die die Messung beeinträchtigen.



Abb. 3.1 Grab Strada 2 vor Grabungsbeginn.



Abb. 3.2 Grab Strada 2 während der Ausgrabung.

auch die Flächen zwischen den Gräbern archäologisch untersucht, jedoch mit mehrheitlich negativer Bilanz.

Die Gräber selbst wurden nach der Oberflächenreinigung flächig freigelegt, bis die Kontur der Anlagen klar erkennbar wurde. Anschliessend wurde die Grabverfüllung, wo immer möglich, in vier Sektoren aufgeteilt und diese wurden über Kreuz ausgegraben (Abb. 3.2). So entstand jeweils ein Längs- und ein Querprofil durch das Grab. Die Wände und Böden der Grabmonumente sollten aus denkmalschützerischen Gründen erhalten bleiben. Die Strukturen wurden deswegen nach Abschluss der Grabungen mit einem Geotextil ausgekleidet und wieder zugefüllt.

Parallel zu den Ausgrabungen erfolgte während der jährlichen Kampagnen eine topografische Geländeaufnahme in der Umgebung der Areale Strada und Est²⁴⁴. Sie diente dazu, den

durch zahlreiche Hebungen und Senkungen charakterisierten Geländeverlauf v. a. im östlichen Bereich des Gräberfeldes (innerhalb des archäologischen Parks) zu dokumentieren²⁴⁵. Allgemein wird davon ausgegangen, dass sich die Gräber der Macchiabate-Nekropole im Laufe der Zeit punktuell zu Tumuli formierten. In der Annahme, dass die hügelige Oberfläche der Macchiabate diesem speziellen Entstehungsprozess der Nekropole (mit) Rechnung trägt, kann anhand des detaillierten Geländemodells Aufschluss über die Lage möglicher Bestattungsplätze gewonnen werden.

Martin A. Guggisberg, Camilla Colombi

²⁴⁴ Tachymetrische Messungen bilden die Grundlage für diese Geländeaufnahme.

²⁴⁵ Eine Geländerekonstruktion auf der Basis von LIDAR-Aufnahmen war auf Grund des zumeist dichten Macchia-Bewuchses nicht möglich.

3.1.2 Grab Strada 2

Grabarchitektur und Verfüllung

Das Grab Strada 2 liegt zentral im bisher ausgegrabenen Bereich des Areals Strada (Taf. 4). Es hat eine langovale Form, misst 3.55 m auf 2.7 m und reicht bis in eine Tiefe von 0.75 m (Taf. 10). Die Längsachse der Struktur verläuft von Nordwesten nach Südosten. Die Profile (Taf. 12) zeigen, dass die Grube wannenförmig in den Boden eingetieft und auf der gesamten Höhe mit gerundeten Steinen ausgekleidet ist. In der Verfüllung lässt sich im zentralen, oberen Teil eine fast steinlose Erdlinse fassen. Sie dürfte durch den Einsturz einer Grabkiste bzw. eines Sarges aus organischem Material entstanden sein, in der die Bestattung beigelegt war (vgl. Kap. 5.1). Neben der zentralen Sedimentlinse bestand die Verfüllung aus einer Steinpackung²⁴⁶. Der gesamte Boden von ca. 2 x 1 m ist mit flachen gerundeten Steinen gepflastert, die zu diesem Zweck sorgfältig ausgewählt wurden (Abb. 3.3)²⁴⁷. Diese Form der Grabarchitektur entspricht damit dem Typus des monumentalen Fossagraves²⁴⁸.

Die Beigaben und die Knochenreste der Bestattung befanden sich in einer ca. 30 cm dicken Schicht direkt über dem Plattenboden. Der Erhaltungszustand war – mit Ausnahme der Keramik – schlecht²⁴⁹. Neben sedimentologischen Einflüssen wird auch der Einsturz der Verfüllung in den Hohlraum mit der Bestattung negative Auswirkungen auf die Erhaltung gehabt haben.

Bestattung und Beigaben

In vielen Bereichen liessen sich die Knochenreste nur noch als weisse, pulvrige Verfärbungen erkennen²⁵⁰. Bemerkenswert ist, dass keine Zähne gefunden wurden. Diese gehören in den übrigen Gräbern zu den am besten erhaltenen Skeletteilen. Gefunden wurden hingegen drei grössere Schädelfragmente (Taf. 10 Nr. 2), kleinste, nicht genau bestimmbare Fragmente von Arm- und Unterschenkelknochen sowie ein stark fragmentiertes Rippenfragment und vermutlich Reste eines Wirbels. Die grössten erhaltenen Knochenfragmente – mit Ausnahme der Schädelreste – messen nur knapp 3 cm. Die Skelettlage konnte nur über die Streuung der Knochenfragmente und den vermuteten Hohlraum eruiert werden (Taf. 11. 12). Diese Faktoren sprechen für eine Bestattung in Hocker- bzw. Beinhockerlage. Das Alter wurde auf 14–40 Jahre bzw. die Altersklassen

Juvenil-Adult geschätzt. Das Geschlecht konnte nur an einem einzelnen Merkmal untersucht werden. Dieses deutet auf ein weibliches Individuum hin, doch bleibt die Bestimmung damit letztlich ungesichert²⁵¹.

Die im Grab gefundenen Objekte lassen sich grob zwei Kategorien zuordnen: Bestandteile der Kleidung und weitere Beigaben. Obwohl die Zugehörigkeit teilweise nicht abschliessend geklärt werden kann²⁵², werden die Funde in dieser Reihenfolge besprochen.

Im Grab fanden sich die Reste von mindestens drei Fibeln. Im Bereich der linken Körperhälfte²⁵³ befand sich eine stark fragmentierte bronzene (Schlangen-?)Fibel (S2/7, Taf. 14), während im Bereich der rechten Körperhälfte eine Vierspiralfibel (S2/8, Taf. 14) und eine eiserne, teilweise mit Bronzedraht umwickelte Schlangenfibel (S2/33, Taf. 14) geborgen wurden. Bei letzterer wurden Segmente einer bronzenen Scheibe gefunden (S2/28, Taf. 14), die möglicherweise an der Nadel der Fibel aufgehängt war²⁵⁴. Ebenfalls bei den Fibeln wurden 13 grössere Fragmente einer doppelgliedrigen Kette (S2/10–22, Taf. 14) sowie zahlreiche dazugehörige Ringlein (S2/23, Taf. 14) freigelegt. Solche Ketten waren oft an Fibeln befestigt²⁵⁵. Vermutlich ebenfalls zu einer Kette gehört eine Drahtperle (S2/9, Taf. 14), die in der Nähe der Fibel S2/7 lag.

Im Bereich des Schädels wurden Fragmente von mindestens vier Zierscheiben mit konzentrischen Kreisen geborgen (S2/24–27, Taf. 14). Sie waren vermutlich an einer Kopfbedeckung angebracht, eventuell einer Art Schleier, welche sich nicht erhalten hat. Ebenfalls dürften die meisten – wenn nicht alle²⁵⁶ – der rund 650 gefundenen Zierknöpfe (S2/29, Taf. 14, vgl. Taf. 11) zu diesem Kleidungsstück gehört haben, welches auch für weitere oinotrische Gräber gut belegt ist²⁵⁷. Mehrere

251 Sämtliche Angaben stammen von C. Alder; Siehe Kapitel 6.

252 So müssen z. B. Fibeln nicht *per se* Teil der Bekleidung der Toten gewesen sein. Sie könnten auch zum Verschliessen eines Leichentuchs gedient haben. Auch andere Schmuckobjekte könnten als zusätzliche Beigaben und nicht als Teil der Kleidung im Grab niedergelegt worden sein.

253 Aufgrund der ungesicherten Skelettlage könnten die Objekte auch auf der linken Körperseite getragen worden und bei der Zersetzung der Textilien verrutscht sein.

254 Beispiele aus Chiaromonte (Basilikata) und der Kampagne 2016 im Areal Est der Macchiabate-Nekropole; vgl. u. a. Lo Schiavo 2010, Taf. 381. 481.

255 Guggisberg u. a. 2010, 110; Zancani Montuoro 1980–1982, 15 Taf. 3 b; Zancani Montuoro 1983/1984, 35 Taf. 18 b; Zancani Montuoro 1977–1979, 43; Cerzoso – Vanzetti 2014, 157 Nr. 302 Taf. 23, 302.

256 Die Streuung einzelner Zierknöpfe ist relativ gross. Besonders in südöstlicher Richtung, also im Bereich der Beine und Füsse – wenn die Lage richtig rekonstruiert wurde – gibt es eine kleinere Häufung. Vermutet wurde bereits, dass sie auf einem Leichentuch oder Kleid aufgenäht gewesen sein könnten; Guggisberg u. a. 2010, 109; De Juliis 1996, 114 f. Abb. 108. 109.

257 Vgl. u. a. Grab Strada 11 (S11/11–14. 24.); Gräber 240, 282, 288, 405, 468, 515 aus Incoronata (San Teodoro, Pisticci) und Gräber 93, 96, 118, 124, 150 aus Valle Sorigliano (Santa Maria d'Anglona, Tursi); Chiartano 1994, 23. 56 f. Taf. 10. 12. 14. 25; Chiartano

246 Die Steine der Verfüllung hatten ein Gesamtgewicht von über 1.5 Tonnen.

247 Guggisberg u. a. 2010, 107; Guggisberg u. a. 2012b, 5.

248 Vgl. Kapitel 5.1 zur Grabarchitektur; Guggisberg u. a. 2012b, 3–9.

249 Die chemischen Untersuchungen haben die Annahme, dass die *terra rossa* der Macchiabate-Nekropole stark säurehaltig sein könnte, nicht bestätigt. Die genommenen Proben waren pH-neutral. Als wahrscheinlichste Faktoren für die Erklärung der taphonomischen Prozesse können somit die gute Bodendurchlüftung, die starke Bioturbation und die Wechsel von feuchten und trockenen Phasen genannt werden. Vgl. auch Kapitel 7.1.

250 Anthropologische Nachbefundung und Bestimmung: C. Alder. Siehe Kapitel 6.



Abb. 3.3 Grab Strada 2, Ansicht am Ende der Ausgrabung.

dieser Zierknöpfe waren unmittelbar an die Schädelfragmente korrodiert. Vermutlich gleichermaßen zur Kleidung (oder zu einer Kette) gehörten die ca. 34 Bernstein- (S2/35–39, Taf. 14) und drei Glasperlen (S2/40–42, Taf. 14), die ebenfalls in diesem Bereich gefunden wurden. Ihre Durchmesser betragen in der Regel weniger als einen Zentimeter. Zu den aufgezählten Objekten kommen noch einige nicht bestimmbar feine Bronzebleche hinzu (S2/30, 31, Taf. 14), die südlich des Skeletts zu Tage kamen. Ihre Zugehörigkeit zur Kleidung muss daher ebenso wie ihre Benennung offenbleiben.

Auf der rechten Seite der Bestatteten befand sich ein Spinnwirtel (S2/6, Taf. 10 Nr. 5; Taf. 14), der – neben den Zierknöpfen und der Vierspiralfibel – die anthropologische Geschlechtsbestimmung von archäologischer Seite bestätigt. Zu den Beigaben gehören ausserdem zwei Tongefässe, die in der südöstlichen Ecke des Grabes zum Vorschein kamen. In einem kraterartigen Gefäss (S2/1, Taf. 13) befand sich eine kleine Tasse mit Resten einer *mattpainted* Bemalung im *stile a frange* (S2/2, Taf. 13). Diese Kombination eines grossen Gefässes – meist einer Olla – mit einer kleinen Tasse ist typisch für die Gräber der Macchiabate-Nekropole²⁵⁸. Beide Gefässe wurden als Block geborgen und das Sediment in ihrem Innern auf Makroreste beprobt, leider ohne positives Ergebnis²⁵⁹.

Merkmale der Bestattung und Datierung

Neben dem kraterartigen Gefäss heben insbesondere die Zierscheiben mit konzentrischen Kreisen das Grab Strada 2 von den anderen Bestattungen des Areals Strada bzw. der Macchia-

bate-Nekropole ab. Diese sind nur in drei Gräbern (Strada 2, Strada 11, Temparella 60) nachgewiesen, was ca. 5 % der Frauengräber des 8. Jahrhunderts v. Chr. entspricht²⁶⁰. Während aber Strada 11 und Temparella 60 sehr komplexe Ausstattungen aufweisen, verfügt die Bestattung im Grab Strada 2, abgesehen von diesem Kopfputz aus Zierscheiben und Zierknöpfen, über verhältnismässig wenige Beigaben (vgl. Taf. 11).

Während sich die meisten Objekte nur allgemein in die Phase IFe datieren lassen, können die Fibeln, trotz ihrer starken Fragmentierung, der Stufe IFe2 zugeordnet werden. Das kraterähnliche Gefäss S2/1 sowie die Tasse mit Verzierung des für die spätgeometrische Periode typischen *stile a frange* ermöglichen eine Datierung der Bestattung in der Stufe IFe2B.

Sven Billo

3.1.3 Grab Strada 3

Grabarchitektur und Verfüllung

Das kleine Grab Strada 3 liegt westlich des Grabes Strada 2 und befand sich nahe der Oberfläche, war aber vor Grabungsbeginn nicht sichtbar (Taf. 4). Es zeichnet sich durch eine ovale Steinsetzung auf einer Fläche von 1 x 1.8 m mit West-Ost-Orientierung aus (Abb. 3.4). Die mittelgrossen gerundeten Steine bedeckten eine 0.4 m tiefe Grube, welche keine Pflasterung aufwies (Taf. 15).

1996, 34–36 Taf. 1. 6.; Frey 1991, 20 f. 25–27. 32 Taf. 2 B. 3 B. 24–26. 30. 49 A.

258 Guggisberg u. a. 2012b, 7; Luppino u. a. 2012, 654–659.

259 Siehe Kapitel 7.1.

260 Neuerdings kamen entsprechende Zierscheiben auch in den Gräbern Est 5 und 9 zum Vorschein: Guggisberg u. a. 2017, 83; Guggisberg u. a. 2018a, 74.



Abb. 3.4 Grab Strada 3 während der Ausgrabung. Ansicht nach Nordwesten.

Bestattung und Beigaben

Im Grab Strada 3 wurde als einziger Rest der Bestattung die Zahnkrone eines Molars geborgen. Er stammt von einem Individuum, das bei seinem Tod weniger als 6 Jahre alt war²⁶¹.

Im nordwestlichen Bereich der Grube kamen zwei Fingerspiralen (S3/5, 6), drei Ringe (S3/2–4) und eine Fibelnadel mit Drahtumwicklung (S3/1), alle aus Bronze, sowie ein Plättchen aus Bein (S3/7) zum Vorschein (Taf. 15). Die Fingerspiralen lagen südöstlich der Zahnkrone. Falls der Fundort des Zahnes der Position des Schädels und derjenige der Fingerspiralen jener der Hände entsprach, könnte das Kind mit einer West-Ost-Orientierung mit Kopf im Westen in die Grabgrube gelegt worden sein. Aufgrund des fehlenden Skeletts und der variablen Tragweise der sog. Fingerspiralen²⁶² muss diese Aussage jedoch hypothetisch bleiben.

Merkmale der Bestattung und Datierung

Das Kindergrab Strada 3 ist ein einfaches Fossagrab, das dicht an der Oberfläche lag. Die spärlichen Funde erlauben nur eine grobe Datierung in die frühe Eisenzeit (IFe2).

Corinne Juon

261 Anthropologische Nachbefundung und Bestimmung: C. Alder. Siehe Kapitel 6. Vor der Nachbefundung 2013 wurde das Alter höher eingeschätzt (Guggisberg u. a. 2010, 111). Die kleinen Dimensionen des Grabes von 1 x 0.8 m könnten neben der anthropologischen Bestimmung ein Argument für eine Bestattung eines Kindes sein, wenn die von Chiartano festgestellten Grenzen der Grabgrößen von Incoronata (San Teodoro, Pisticci) für die Macchiabate-Nekropole angewendet werden: Die maximale Grösse von Kindergräbern (nicht anthropologisch bestimmt) wird dort mit 1.5 x 0.8 m angegeben. Es liegen jedoch auch Gräber erwachsener Personen mit einer minimalen Grösse von 1 x 0.5 m vor (Chiartano 1994, 19).

262 Vgl. Kapitel 3.2.6 »Spiralen«.

3.1.4 Grab Strada 4

Grabarchitektur und Verfüllung

Das Grab Strada 4 liegt südlich des Grabes Strada 2 (Taf. 4). Es besitzt eine ovale Form, misst 3.3 m auf 2.7 m und reicht bis in eine Tiefe von 0.6 m (Taf. 16). Die Längsachse der Struktur verläuft, analog zu Strada 2, von Nordwest nach Südost. Anhand der Profile (Taf. 18) wird ersichtlich, dass das Grab wie Strada 2 wannenförmig in die Erde eingetieft und mit Steinen ausgekleidet war²⁶³. In der Verfüllung liessen sich mindestens drei Schichten unterscheiden. Über dem Boden, der auf einer Fläche von 2.16 x 1.15 m mit flachen Steinplatten ausgelegt war, lag eine Schicht aus kompaktem, leicht lehmigem Feinsand, darüber folgten zwei weitere Schichten mit einer hohen Konzentration von mittleren bis grossen Steinen, die z. T. sehr ungleichmässig verteilt waren. So wurde etwa im südwestlichen Bereich der Verfüllung (innerhalb von *Unità Stratigrafica* 25, im Profil nicht sichtbar) eine scheinbar radiale Anordnung von Steinen freigelegt, deren Zustandekommen schwer zu erklären ist. Zusammen mit anderen Indizien deutet dieser Befund darauf hin, dass die ursprüngliche Steinverfüllung des Grabes nachträglich entfernt und zumindest im südwestlichen Teil mit den drei oben erwähnten sekundären Schichten aufgefüllt wurde. In der Auffüllung fanden sich allenthalben und bis dicht unter die Oberfläche Reste von Zierknöpfen, Bronzedraht, Ringlein, Spiralen und Bernsteinperlen. Eine Konzentration war im Bereich der erwähnten Steinansammlung in *Unità Stratigrafica* 25 zu beobachten.

Hervorzuheben sind ausserdem zwei grosse, in der Verfüllung geborgene grobkeramische Wandfragmente (S4/4 und S4/5, Taf. 16 Nr. 5; Taf. 19) sowie ein Webgewicht aus Impasto mit Labyrinthornament, das in der nordnordwestlichen Wandung des Grabes ca. 20 cm über dem Boden gefunden wurde (S4/9, Abb. 3.5, Taf. 20). Wie die drei Objekte in die Verfüllung gelangt sind, ist nicht mit Gewissheit zu sagen. Für das Webgewicht wäre etwa denkbar, dass es auf der Grabkiste deponiert war, aber auch eine Verlagerung im Zusammenhang mit einem sekundären Eingriff in das Grab bietet sich als mögliche Erklärung an. Bemerkenswert ist in diesem Fall allerdings die gute Erhaltung des Objektes. Während das Webgewicht mit Sicherheit intentionell in das Grab gelangte, dürften die beiden grossformatigen Keramikscherben S4/4 und S4/5 eher zufällig in die Verfüllung geraten sein. Ob sie von ein und demselben Gefäss stammen, ist nicht zu entscheiden. Beide sind leicht gewölbt und stammen wohl von doliumartigen Vorratsbehältern, wie sie seit der Bronzezeit in der Sibaritide gut bezeugt sind²⁶⁴. Grosse Doliumfragmente wurden andern-

263 In der Verfüllung befanden sich Steine mit einem Gesamtgewicht von 1.9 Tonnen.

264 Zu den bronzezeitlichen Dolien: Levi 1999, 145–157. 172–174 Abb. 147–149; de Neef 2016, 26 Anm. 7; 52 und passim. Die Tradition der grossen Vorratsgefässe besteht auch in der Eisenzeit fort: vgl. Kleibrink 2011, 150 (*Casa al Muro Grande*); Brocato 2020, 11–13 Abb. 9–11 (M. Perri).



Abb. 3.5 Grab Strada 4, Ansicht der nördlichen Wandung mit Webgewicht S4/9 *in situ*.

orts in der Nekropole zur Abdeckung von Pithoi verwendet²⁶⁵. Es ist daher anzunehmen, dass auch unsere beiden Fragmente als Teile solcher Deckelscherben in die Nekropole und später in weiter zerscherbtem Zustand in die Verfüllung des Grabes gelangt sind²⁶⁶.

Die Grablege selbst befand sich unterhalb von einigen sehr grossen und flachen Steinen. Knochenreste und Objekte kamen verstreut über eine Höhe von ca. 25 cm im südwestlichen Teil der Grube ans Licht. Bemerkenswert ist insbesondere die weite Streuung der sehr kleinteilig zerscherbten Olla S4/2 (Taf. 16 Nr. 3). Zusammen mit den übrigen Indizien deutet auch dieser Befund auf einen sekundären Eingriff hin. Man muss dabei nicht zwingend an eine moderne Beraubung denken, zumal im Grab keinerlei rezente Funde gemacht wurden. Denkbar wäre auch, dass die Manipulation bereits in der Antike erfolgte.

Der Boden des Grabes Strada 4 (Abb. 3.6) ist mit flachen Flusskieseln gepflastert, weshalb es zu den monumentalen Fossagräbern gezählt wird.

Bestattung und Beigaben

Objekte und Skelettmaterial konzentrierten sich im westlichen und südlichen Bereich der Grabgrube in einer ca. 25 cm dicken Schicht, direkt über dem Plattenboden (Taf. 16, 17). Die Knochen sind sehr schlecht erhalten, daher konnte nur ein Schädelknochen identifiziert werden (Taf. 16 Nr. 2). Seine Merkmale sprechen zusammen mit der Analyse der erhaltenen Zähne dafür, dass es sich bei dem bestatteten Individuum um eine junge Person von ca. 12 Jahren \pm 30 Monaten gehandelt hat.

Darüber hinaus erlauben die spärlichen Knochenfunde keine weiteren Aussagen, weder zum Geschlecht noch zur



Abb. 3.6 Grab Strada 4, Ansicht am Ende der Ausgrabung.

Lage des Leichnams²⁶⁷. Aus archäologischer Sicht könnte die Streuung der Knochenreste über einen Bereich von ca. 1.1 m auf 0.8 m für eine Hockerbestattung sprechen (Taf. 18)²⁶⁸. Die Lage der Fibeln – sofern diese an der Kleidung angebracht waren – würde aufgrund ihrer Symmetrie für einen Beinocker sprechen. In der Annahme, dass die beiden Metallschalen S4/15 und S4/63 eher beim Gesicht als im Nacken des verstorbenen Individuums lagen, kann man – vorsichtig – an eine linke Hockerbestattung denken, wozu nicht zuletzt auch die Position der Finger- bzw. Fussspiralen passt.

Im Grab wurden die Reste von mindestens zwei Fibeln aus Eisen (S4/59, 60, Taf. 22) gefunden, davon sicher eine Schlangenfibel mit Bronzedrahtumwicklung²⁶⁹. Von zwei weiteren Exemplaren könnten möglicherweise die Bronzestifte S4/54–55 stammen. Hinzu kommen diverse Drahtfragmente, die sowohl zu Fibeln²⁷⁰ als auch zu Doppelspiralanhängern gehören könnten (S4/52, 53, Taf. 21). Die Verteilung der Fibelteile deutet darauf hin, dass sich auf jeder Körperseite jeweils eine bronzene und eine eiserne Fibel befunden hat. Am Beispiel der Fibel S4/59 lässt sich gut das Potential der dreidimensionalen Einmessung aller Fragmente aufzeigen. Aufgrund der Vertei-

265 Zancani Montuoro 1980–1982, 56 Nr. 24.

266 Vergleichbare Fragmente von grossen Dolien finden sich als Oberflächenfunde allenthalben in der Nekropole. Ein weiteres Stück (Inv. 2016.42) kam in einer nur oberflächlich freigelegten Geröllstruktur nordwestlich von Grab Strada 19 zum Vorschein: Guggisberg u. a. 2017, 81.

267 Anthropologische Befundauswertung, Nachbefundung und Bestimmung: C. Alder. Siehe Kapitel 6.

268 Die Durchschnittsgrösse dürfte für 12-Jährige bei über einem Meter gelegen haben, allerdings lässt sich diese Aussage nicht auf einem genügend grossen Sample der Population abstützen. Dazu kommt, dass das Skelett einen grösseren Bereich eingenommen haben könnte, aufgrund der Erhaltung dies aber nicht mehr nachweisbar ist; Grupe u. a. 2005, 94 f. 272–276.

269 Von der zweiten (S4/59) ist nur der Fuss erhalten. Dieser würde zu unterschiedlichen Typen passen. Vermutet wird eine Fibel mit Aufsatz aus Bein oder Horn, vgl. Kapitel 3.2.8.

270 Eventuell Vierspiralfibeln, allerdings wäre zu erwarten, dass sich dann die massiven Füsse erhalten hätten.

lung der einzelnen Fragmente lässt sich ihre Zugehörigkeit zu einer Schlangenfibel wahrscheinlich machen.

Bei und vor allem zwischen den Fibeln kamen zahlreiche Bronzeringlein, vermutlich Glieder einer Kette (S4/28, Taf. 21), zu Tage. Im selben Bereich wurden auch die Reste von sechs bis acht Ringanhängern gefunden (S4/20–23, Taf. 21). Über die gesamte linke Hälfte der Bestattung streuend lagen drei bis vier Doppelspiralanhänger (S4/16–19, Taf. 21). Ebenfalls im Bereich des Oberkörpers wurden fast 100 Bernsteinperlen unterschiedlicher Form gefunden (S4/64–69, Taf. 22, vgl. Taf. 17). Da sich darunter mehrere Schieber bzw. Kettenverteiler (ital. *distanziatoril/vaghi passafili*) befanden, liegt die Vermutung nahe, dass es sich um Bestandteile von mindestens einer mehrreihigen Kette handelt. Etwa 477 Zierknöpfe (S4/43, Taf. 21, vgl. Taf. 17), die in der gesamten Grabgrube, aber mehrheitlich im selben Bereich wie die bereits genannten Objekte zu Tage kamen, waren wohl analog zum Befund aus Grab Strada 2 auf eine Art Schleier oder Kopftuch aufgenäht²⁷¹.

In der Grubenmitte und südlich der Bestattung, bei den Gefässen, kamen mehrere relativ gut erhaltene Fingerspiralen aus Bronze und aus Eisen (S4/33–41, S4/62, Taf. 21. 22) zu Tage. Weitere, stärker fragmentierte Exemplare fanden sich im Bereich des Oberkörpers. Sie gelten als Totenschmuck, da sie für den Alltag zu unpraktisch scheinen²⁷².

Auf der rechten Körperseite der Bestattung befanden sich drei Spinnwirtel (S4/6–8, Taf. 20) und zwei fast ganz erhaltene Webgewichte (S4/10. 11, Taf. 20) sowie Fragmente von mindestens zwei weiteren Gewichten (S4/12–14). Diese Webutensilien dürfen als Anzeiger für das weibliche Geschlecht der Verstorbenen gewertet werden.

Ausserdem enthielt das Grab insgesamt fünf Gefässe, davon drei aus Keramik und je eines aus Bronze und Silber. Im Südosten der Grabgrube befanden sich zwei tönernen Ollae. Die südlichere (S4/1, Taf. 19) weist Bemalungsspuren mit *a tenda*-Motiven im *stile vuoto* auf, während auf der nördlicheren, welche in starker Fragmentierung über einen grossen Bereich des Grabbodens verteilt war, keine Bemalungsspuren erkennbar sind (S. 4/2, Taf. 19)²⁷³. Im Innern der verzierten Olla befand sich eine kleine, ihrerseits unbemalte Tasse (S4/3, Taf. 19).

Die beiden Metallgefässe befanden sich vermutlich im Bereich des Oberkörpers und des Kopfes. Es handelt sich um eine Bronzeschale (S4/15, Taf. 21), welche durch zwei Rand- und ein mögliches Henkelfragment identifiziert werden konnte, und um eine Silberschale mit Resten von Vergoldung (S4/63, Taf. 22), die unmittelbar neben der Bronzeschale lag.

Unklar bleibt die Deutung mehrerer kleiner bis kleinster Röhrchen (S4/44–49, Taf. 21), von denen die meisten zu-

sammengedrückt sind. Sie fanden sich auf beiden Seiten der Bestattung und ähneln denjenigen einer Rassel, wie sie im Grab Temparella 60 gefunden wurde²⁷⁴. Allerdings spricht ihre Fundlage eher für die Annahme, dass sie von zwei unterschiedlichen Objekten stammen.

Merkmale der Bestattung und Datierung

Mit der Präsenz zweier Ollae hebt sich Grab Strada 4 von der Mehrzahl der Gräber der Macchiabate-Nekropole ab, in denen in der Regel nur jeweils eine Olla (mit einer Tasse) deponiert war. Eine Parallele bildet im Areal Strada das Grab Strada 11. Ausserdem sind zwei im Format unterschiedliche Ollae aus dem Grab Cerchio Reale 13 bekannt, wobei die grössere die übliche Tasse enthielt²⁷⁵. Aufgrund der Milchzähne (Prämolaren), deren Wurzeln bereits stark resorbiert waren, lässt sich das Alter des hier bestatteten Individuums auf ca. 7–10 Jahre eingrenzen. Allerdings ging P. Zancani Montuoro wegen der Zusammensetzung und des Formats des Trachtschmucks davon aus, dass das Kind nicht alleine, sondern zusammen mit einem weiteren, weiblichen Individuum beigelegt worden war, dessen Knochen sich nicht erhalten haben. Die Präsenz der beiden Ollae fände damit eine naheliegende Erklärung²⁷⁶. Der Befund von Grab Strada 4 – wie auch jener aus Strada 11 – relativiert diese Schlussfolgerung jedoch, da es sich hier nach dem anthropologischen Befund um Einzelbestattungen handelt. Dass die beiden Bestattungen Strada 4 und Cerchio Reale 13 altersmässig nahe beieinander liegen, wird man dabei nicht überbewerten wollen, da das im Grab Strada 11 mit zwei Ollae beigelegte Individuum adult und über 30-jährig war²⁷⁷.

Neben der doppelten Gefässbeigabe streichen die Reste einer vergoldeten Silberschale die besondere Stellung von Grab Strada 4 heraus. Silbergegenstände sind für die Macchiabate-Nekropole aussergewöhnlich. Bisher sind erst zwei Fingerringe aus dem Grab Temparella 8 sowie kleinste Blechfragmente aus dem Grab Strada 11 (S11/32) bekannt²⁷⁸.

Aufgrund der beiden Ollae, insbesondere S4/1, die mit *a tenda*-Motiven im *stile vuoto* bemalt ist, lässt sich das Grab Strada 4 in die Stufe IFe2B datieren.

Sven Billo

271 Vgl. Strada 2, Kapitel 3.1.2.

272 Kleibrink 2011a, 45.

273 Auf der Schulter, knapp über dem Henkel, lassen sich aber Spuren erahnen, die vermutlich zu einem *a tenda*-Motiv gehören. Allerdings könnten solche Spuren auch durch taphonomische Prozesse entstanden sein.

274 Zancani Montuoro 1974–1976, 40 f. Taf. 16 a.

275 Zancani Montuoro 1977–1979, 39–43 Taf. 20 b.

276 Die Befunde von Strada 4 und 11 relativieren dieses Bild. In der Nekropole von Valle Sorigliano (Santa Maria d'Anglona, Tursi) gibt es weitere Gräber mit zwei grossen Gefässen. Wie in der Macchiabate-Nekropole wurde auch dort nur eine Tasse mitgegeben: Frey 1991, 12; Guggisberg u. a. 2014, 85; Luppino u. a. 2012, 659.

277 Cerchio Reale 13 und Strada 4 weisen weitere Gemeinsamkeiten bei der Ausstattung auf. Sie enthielten z. B. je ein Bronzegefäss: Zancani Montuoro 1977–1979, 39. 43 Taf. 20 b. Vgl. Kapitel 3.2.4.

278 Zancani Montuoro 1980–1982, 39. Vgl. Kapitel 3.2.11.



Abb. 3.7 Ansicht des südlichen Abschnitts des Areals Strada mit den Gräbern Strada 5, 6, 7 und 9; im Hintergrund: Strada 4.



Abb. 3.8 Grab Strada 5, Ansicht am Ende der Ausgrabung.

3.1.5 Grab Strada 5

Grabarchitektur und Verfüllung

Das Grab Strada 5 befindet sich in der südlichen Hälfte des Areals Strada (Abb. 3.7, Taf. 4). Mit einer Länge von ca. 4.30 m, einer Breite von ca. 2.80 m und einer Tiefe von 0.75 bis 0.85 m gehört das Monument zu den grössten der Gräbergruppe Strada und der ganzen Nekropole (Taf. 23). Die in nordwestlich-südöstlicher Richtung orientierte Grabgrube hat einen nahezu rechteckigen Grundriss mit abgerundeten Ecken, ist in den Boden eingetieft und vollständig mit grossen Flusskieseln ausgekleidet (Abb. 3.8). Der Boden ist von einer regelmässigen Pflasterung aus flachen Kieseln bedeckt, die sich über eine Fläche von ca. 3.30 x 1.45 m erstreckt.

Die Verfüllung bestand ursprünglich aus einer kompakten Masse von grossen Geröllen und Steinen (*Unità Stratigrafica*

20/42), die wohl eine Kammer oder Abdeckung aus vergänglichem Material bedeckte (Abb. 3.9, Taf. 25). Die Steine lagen direkt über der Bestattung, was darauf hinweist, dass der Einsturz des organischen Behälters abrupt erfolgte, zu einem Zeitpunkt, als dieser noch nicht mit Sediment verfüllt war. Im zentralen und östlichen Bereich des Grabes lag oberhalb der Steinverfüllung ein dickes Erdpaket ohne Steine (*Unità Stratigrafiche* 72–75), das seinerseits teilweise von einer weiteren Schicht aus kleineren Steinen bedeckt war (*Unità Stratigrafica* 22/44). Vermutlich handelte es sich um sekundär eingeschwemmtes Sediment, das sich in der Senke über der eingebrochenen Grabkammer abgelagert hatte²⁷⁹.

²⁷⁹ Es gibt keine Hinweise auf eine moderne Beraubung. Die Bestattung lag, getrennt durch eine Steinpackung, klar unterhalb der Verfüllungsschicht. Die wenigen Funde aus der Verfüllungsschicht, Fragmente von eisernen Stiften, Blechen und Ringen (S5/31. 32), dürften eben-



Abb. 3.9 Grab Strada 5 während der Ausgrabung der Bestattungsschicht.

Bestattung und Beigaben

Die Bestattung lag unmittelbar auf dem Plattenboden des Grabes (Taf. 23, 24). Die Knochenreste und Beigaben waren über eine Höhe von ca. 25 cm verteilt, teilweise zwischen den Steinen der untersten Verfüllungsschicht. Die Verlagerung von Skeletteilen und Funden dürfte durch den Einsturz der Kammer verursacht worden sein.

Mehrere Teile des Skelettes haben sich erhalten. Insbesondere befand sich der Schädel mit einem Teil des Kiefers und mehreren Zähnen sowie der rechte Oberarm noch *in situ* unmittelbar auf dem Boden (Taf. 23 Nr. 2, 3). Ebenfalls konnten Fragmente der Schulter, der Rippen und der Ober- und Unterschenkelknochen geborgen werden. Der Körper lag in nordwestlich-südöstlicher Ausrichtung in der Mitte des Grabes, mit dem Kopf im Nordwesten. Aufgrund der Knochenverteilung (Taf. 24) ist anzunehmen, dass der Körper in Hockerlage bestattet wurde – wohl auf der rechten Seite, wie die Lage des Schädels vermuten lässt. Die Beinknochen schienen teilweise verlagert. Die anthropologischen Anhaltspunkte sprechen für ein erwachsenes Individuum von über 30 Jahren und einer Körperhöhe von 165 bis 175 cm. Klare Merkmale zur Geschlechtsdiagnose fehlen²⁸⁰. Aufgrund des Beigabeninventars, das aus mindestens zwei Lanzen, drei weiteren eisernen Klingen sowie diversen eisernen Fibeln und zwei feinkeramischen Gefäßen besteht, wird man jedoch davon ausgehen können, dass es sich bei dem Verstorbenen um einen Mann handelt.

Am oberen Ende der Grabgrube, nordwestlich des Schädels, waren die Gefäßbeigaben deponiert (Abb. 3.10, Taf. 23 Nr. 6). Sie bestanden aus einer Olla auf hohem Fuss mit drei

dreieckigen Öffnungen und aus einer Tasse, die intakt auf dem Boden der Olla gefunden wurde (Taf. 26). Die Olla lässt sich anhand der erhaltenen Dekorationsspuren dem *stile a bande ondulate* der lokalen *matt-painted* Keramik zuweisen²⁸¹. Die fünf dreieckigen Motive an der Mündungsinenseite sind ebenfalls typisch für die oinotrischen Produktionen²⁸².

Die Tasse S5/2 zeichnet sich durch ihre Herstellung auf der Töpferscheibe und die Qualität der Ausführung aus. Auf der Schulter ist eine Wellenlinie sichtbar. Dieses Muster – der sog. *wavy band style* – ist in Francavilla Marittima vereinzelt in der *matt-painted* Produktion dokumentiert, vermehrt jedoch auf Gefäßen der sog. oinotrisch-euböischen Ware, der auch unser Gefäß zugewiesen werden kann²⁸³.

Zur Tracht²⁸⁴ des Verstorbenen gehörten zahlreiche Fibeln aus Eisen. Insgesamt wurden über 400 Fragmente geborgen, die mindestens 19 Schlangenfibeln mit und ohne Bronze-drahtumwicklung zugeschrieben werden können (Taf. 23 Nr.

falls am ehesten nachträglich eingeschwenkt worden sein. Rezentes Fundmaterial war auf den obersten Bereich des Grabes beschränkt.

280 Die Robustizität der Knochen könnte für ein männliches Individuum sprechen. Anthropologische Bestimmung: C. Alder. Siehe Kapitel 6.

281 Verzierungsmuster des *stile a bande ondulate* bestehen meist aus einer oder mehreren horizontalen Wellenlinien, die von zwei oder mehreren horizontalen Bändern gerahmt sind. Sie sind sowohl in der *matt-painted* Produktion als auch in der sog. oinotrisch-euböischen Keramik in der mittelgeometrischen und spätgeometrischen Periode belegt. Vgl. Kleibrink u. a. 2012a, 25–27 Typ D1, belegt z. B. auf den Schalen Nr. 69, 70 und auf den Ollae Nr. 175–179; Cerzoso – Vanzetti 2014, 85–90 zufolge entwickelt sich der Stil in der mittelgeometrischen Zeit und besteht in spätgeometrischer Zeit weiter; Ferranti 2009, 42, 50–57 *sintassi stilistica* 3.

282 Nava u. a. 2009, 269 Abb. 17 *motivo ad archi tangenti* LR3.1.

283 Für diese Produktion siehe: Jacobsen u. a. 2008/2009; Jacobsen – Handberg 2012. Für eine nähere Betrachtung und weitere Vergleiche siehe Kapitel 3.2.1.

284 Unter dem Terminus der Tracht verstehen wir im Sinne von S. Burmeister die Gesamtheit der Körperbekleidung und des Körperschmucks in ihrer Funktion als Medium zwischenmenschlicher Kommunikation: Burmeister 1997, bes. 177–192; Burmeister 2013, 242–244. Kritisch zum Trachtbegriff in der Antike und im Mittelalter: Brather 2007, 185 f.; von Rummel 2007, 1 f. 5 Anm. 17; Eger 2012, 13.



Abb. 3.10 Grab Strada 5, Olla S5/1 während der Freilegung.

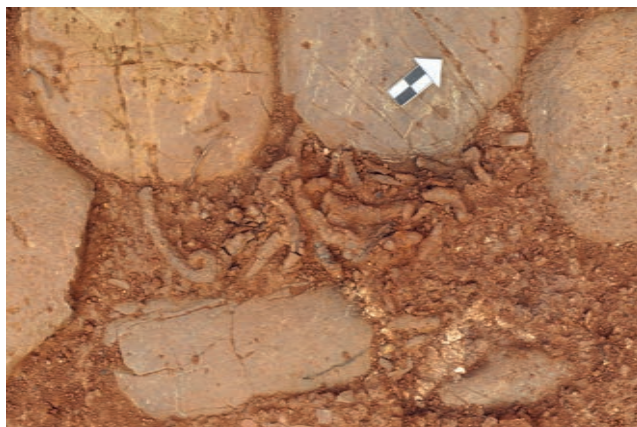


Abb. 3.11 Grab Strada 5, Schlangenfibeln (S5/17–19) im Brustbereich während der Freilegung.

4. 5; Taf. 24. 28–30). Die meisten Exemplare konzentrierten sich im Bereich des Oberkörpers. Hier konnten eine Schlangenfibel mit Bronzedrahtumwicklung (S5/15) und mindestens sieben eiserne Schlangenfibeln *a gomito* identifiziert werden (Abb. 3.11)²⁸⁵. Die Fibeln lagen zum Teil übereinander und waren unterschiedlich ausgerichtet, d. h. mit dem Bügel nach Süden, nach Norden, nach Osten oder nach Westen orientiert. Die sehr hohe Dichte der Fragmente – viele befanden sich in einem Areal von maximal 30 x 30 cm – erlaubt keine genaue Rekonstruktion der einzelnen Stücke.

Weitere Fibeln wurden im Beinbereich des Verstorbenen gefunden. Dabei handelt es sich um sieben Fibelfüsse, das Fragment eines Bügels *a gomito* und diverse Stiftfragmente (S5/18. 20. 22; Taf. 29), die wahrscheinlich ebenfalls Schlangenfibeln zuzuschreiben sind. Fünf Fragmente sind zu einer Schlangenfibel mit Bronzedrahtumwicklung mit doppeltem Nadelansatz zu rekonstruieren (S5/16, Taf. 28)²⁸⁶. Zwei weitere eiserne Schlangenfibeln *a gomito* lagen ausserdem zur linken Seite des Schädels (S5/12. 13, Taf. 28), ein Exemplar *a gomito* mit Bronzedrahtumwicklung befand sich rechts des Schädels (S5/14, Taf. 28).

Während die Fibeln auf der Brust des Verstorbenen wohl der Kleidung zugeschrieben werden können²⁸⁷, scheinen sich die Exemplare beidseits des Kopfes nicht in Trachtlage zu befinden. Sie könnten in Zusammenhang mit der Beigabe von Textilien stehen²⁸⁸. Schliesslich könnten die Exemplare aus

dem Beinbereich der Kleidung oder einem Leichentuch zugeschrieben werden. Unklar ist die Deutung eines möglichen Fibelfusses, der am westlichen Rand der Brustzone gefunden wurde (S5/3, Taf. 28). Da keine weiteren Überreste von Bronzefibeln gefunden wurden, ist zu erwägen, ob das Fragment nicht vielmehr zur Verkleidung des hölzernen Schaftes der Lanze S5/10 gehört.

Das Grab Strada 5 ist durch die Beigabe mehrerer Waffen gekennzeichnet (Taf. 23 Nr. 7–9; Taf. 24. 27. 30). Zahlreiche Eisenblechfragmente wurden zwischen den untersten Steinen der Grabverfüllung gefunden, zur linken Seite und ca. 20 cm höher gelegen als der Schädel. Sie gehören zu mindestens vier unterschiedlichen Klingen. Die stark fragmentierte eiserne Lanzenspitze S5/25 ist dank der gut erkennbaren Mittelrippe und der Tüllenfragmente als solche anzusprechen (Taf. 30). Die Fragmente lagen zur linken Seite des Schädels. Die Spitze S5/24 lag ca. 30 cm weiter nördlich (Abb. 3.12, Taf. 30). Sie besitzt einen rautenförmigen Querschnitt und ist dadurch zweischneidig: Angesichts der geringen Grösse (13.2 cm) wird sie ebenfalls als Teil einer Lanzenspitze gedeutet, obwohl sie auch als Dolchspitze angesprochen werden könnte²⁸⁹. Zwei weitere eiserne Objekte lagen ca. 60 cm nördlich des Schädels, in der Nähe der Gefässbeigaben. Die Klinge S5/26 verjüngt sich zur einen Seite hin und weist einen dreieckigen, d. h. einschneidigen, Querschnitt auf (Taf. 30). Sie dürfte von einem kleinen Messer stammen. Gleiches gilt für das dünne, leicht gebogene Blech S5/27, das sich ebenfalls nach oben hin verjüngt und zu einem weiteren Messer oder einem Werkzeug anderer Art gehören könnte (Taf. 30). Zahlreiche weitere Eisenfragmente wurden in einem Umkreis von ca. 45 x 22 cm um die beiden mutmasslichen Messerklingen gefunden. Ob sie zu den bereits erwähnten Geräten oder zu weiteren Exemplaren gehören, lässt sich wegen der schlechten Erhaltung nicht mehr eruieren.

285 S5/17 Feder von mindestens sieben Schlangenfibeln; S5/18 Bügel *a gomito* von mindestens sechs Schlangenfibeln; S5/19 Füsse von mindestens sieben Exemplaren. Weitere über 100 Stiftfragmente S5/21 und 97 Stiftfragmente mit Bronzedrahtumwicklung S5/23 gehören wohl zu diesen und zu weiteren Fibeln.

286 Für die typologische Einordnung des Exemplars siehe Kapitel 3.2.8.

287 Vgl. die Gräber Temparella 40, 41 und 70; Zancani Montuoro 1980–1982, 107–112 Nr. 1–6 Abb. 38; 113–117 Nr. 7–16 Abb. 40; Zancani Montuoro 1983/1984, 49–53 Nr. 5–7 Abb. 12.

288 Ein vergleichbarer Befund ist aus Grab Strada 17 (S17/11) belegt. Für die Beigabe von Textilien mit Fibeln siehe z. B. die Befunde aus Verucchio: von Eles 2002, 20. 194, Grab Lippi 89; in Verucchio werden Textilien und Fibeln jedoch auch für die Kleidung der Urnen mit Brandbestattungen benutzt.

289 Für eine Deutung als Dolch könnte auch das Fragment einer eisernen Niete sprechen, die sich unter den Teilen der Spitze befand und zur Befestigung an einem Griff gedient haben könnte. Vgl. Cerzoso – Vanzetti 2014, 179 Nr. 428, Dolch von 20.5 cm Länge aus Torre Mordillo (Spezzano Albanese) Grab 120, IFe2A2 oder 2B1.



Abb. 3.12 Grab Strada 5, eiserne Lanzen Spitze S5/24 während der Freilegung.



Abb. 3.13 Grab Strada 5, bronzene Lanzen Spitze S5/10 während der Freilegung.

Zur rechten Seite des Verstorbenen lag eine Bronzelanze (S5/10) (Abb. 3.13, Taf. 23, 27). Die Spitze lag in der Nähe der Gefäßbeigaben, nördlich des Schädels. Der bronzene Lanzen Schuh befand sich im südwestlichen Teil der Bestattung, in einer Entfernung von nahezu 2 m von der Spitze. Entlang der ganzen rechten Flanke des Skelettes und verstreut im Beinbereich kamen ausserdem eingerollte Bronzebleche zum Vorschein, die zur Verkleidung des hölzernen Lanzenschaftes gehören. Die gut erhaltene Lanzen Spitze ist 26 cm lang und ist durch eine rund-ovale Tülle und eine facettierte Mittelrippe gekennzeichnet. Die Tülle besitzt zwei Löcher zur Befestigung am Schaft und enthielt noch ein Fragment des hölzernen Schaftes, das auf der Höhe der Befestigungslöcher von einem horizontalen Holzstift durchbohrt war²⁹⁰: Die Bronzespitze scheint demnach nicht mit einem Niet aus Metall, sondern mit einem fragileren Stift aus organischem Material am Schaft befestigt gewesen zu sein.

Zur Ausrüstung des Kriegers dürften auch diverse Ringanhänger und Drahtperlen zu rechnen sein. Gemeint sind namentlich die beiden Ringanhänger S5/4 und die Drahtperle S5/7, die nahe beieinander nördlich des Schädels zum Vorschein kamen, sowie die beiden Ringanhänger S5/5, 6 und die Drahtperle S5/8, welche im östlichen Beinbereich lagen (Taf. 28). Sie entsprechen in ihrer Fundlage vergleichbaren Befunden aus anderen Waffengräbern der Macchiabate-Nekropole. Dazu gehört das Grab Temparella 87, in dem je ein Ringanhänger und eine Drahtperle unterhalb des Schädels und bei den Füßen angetroffen wurden²⁹¹, aber auch das Grab Strada 17, in welchem zwei Ringanhänger und zwei Drahtperlen im Beinbereich zum Vorschein kamen (S17/5–8). Zu nennen ist ferner das *Deposito Centrale* des Cerchio Reale, aus dem ebenfalls zwei Ringanhänger stammen²⁹². In zwei weiteren Fällen

wurden nur Drahtspiralen im Kopfbereich gefunden²⁹³. Die genannten Bronzelemente wurden – auch aufgrund der ungewöhnlichen Verteilung – nicht als Trachtbestandteile gedeutet, sondern in Zusammenhang mit dem Aufhängesystem der Schwert- bzw. Dolchscheiden gebracht. Allerdings wurden die Anhänger und Perlen nur selten in der Nähe der betreffenden Waffen gefunden. Im Grab Strada 17 sind sie aufgrund der Fundlage eher dem Schaft der Schaftlochaxt zuzuschreiben (S17/10, 18). Es muss also offenbleiben, ob die Bronzelemente – vielleicht auf Lederriemen aufgenäht – zum Waffengehänge gehörten oder als Verzierung von Holzschäften von Geräten und Waffen zu interpretieren sind²⁹⁴. Im Falle des Grabes Strada 5 könnten die beiden Ringanhänger, die im nördlichen Bereich des Grabes zum Vorschein kamen, ursprünglich an den beiden Ösen am Blattansatz der bronzene Lanzen Spitze angehängt gewesen sein²⁹⁵. Für die anderen Exemplare ist eine Deutung als Teile von Lederriemen zu erwägen, die zu einer der Waffen gehört haben könnten und möglicherweise über den Körper des Bestatteten gelegt waren.

Abschliessend ist eine Reihe von Bronze- und Eisenfragmenten zu erwähnen, die an verschiedenen Stellen der Bestattungsschicht geborgen wurden, sich aufgrund ihrer geringen Masse und unklaren Form jedoch keinem spezifischen Objekt zuschreiben lassen²⁹⁶.

Merkmale der Bestattung und Datierung

Das Grab Strada 5 gehört zum Kreis der reichen Kriegergräber von Francavilla Marittima, in denen vermutlich die Anführer der oinotrischen Siedlungsgemeinschaft bestattet wa-

290 Das Schaftfragment wurde als Laubholz, wahrscheinlich Eiche, und der Halterungsstift als Dorn bestimmt. Die Bestimmung erfolgte durch A. Schlumbaum (Fachbereich Integrative Prähistorische und Naturwissenschaftliche Archäologie der Universität Basel), vgl. Kapitel 7.1.

291 Zancani Montuoro 1974–1976, 69 Nr. 1, 2; 73 Nr. 12, 13 Taf. 29 a.

292 Zancani Montuoro 1974–1976, 102 Nr. 3–6 Taf. 41.

293 Grab Vigneto 7: Zancani Montuoro 1977–1979, 86 Nr. 7. Grab Temparella 20: Zancani Montuoro 1980–1982, 63 Nr. 6, 7, allerdings ohne Waffen.

294 Man vergleiche etwa Grab 321 von Incoronata (San Teodoro, Pisticci), in dem eine Kette mit Spiralen und Zierknöpfen als Verzierung der Scheide oder des Griffes des Eisenschwertes diente: Chiartano 1994, 130 f. Taf. 18, 73.

295 Vgl. Sannibale 1998, 37–40 Nr. 13.

296 Ringfragmente S5/9; Blech- und unbestimmte Bronzefragmente S5/11; unbestimmte Eisenfragmente S5/29, 30.

ren. Bemerkenswert ist die Beigabe der Bronzelanze und ihre Vergesellschaftung mit mindestens einem Exemplar aus Eisen. In keinem der bisher bekannten Gräber der Macchiabate-Nekropole wurden zwei Lanzen gefunden, und die Bronzelanze bildet sogar ein Unikum in der gesamten Nekropole²⁹⁷. Auch in den benachbarten Nekropolen ist die Beigabe von mehreren Lanzen nur selten belegt. Noch bemerkenswerter ist die Vergesellschaftung zweier Lanzen aus unterschiedlichem Material, für die es bislang im gesamten oinotrischen Kulturkreis keine Parallele zu geben scheint²⁹⁸. Das ungewöhnliche Material, die feine Verzierung der Lanzenspitze, der mit bronzenen Zierbändern umwickelte Schaft sowie der kleine Lanzenschuh verleihen der bronzenen Waffe eine besondere Erscheinung (Taf. 27). Ausserdem ist fraglich, ob die Fixierung mittels eines Holzstiftes den Ansprüchen eines Kampfes gerecht werden konnte. Eher ist anzunehmen, dass die Lanze als Paradeobjekt mit einem besonderen ideologischen Wert im Grab deponiert wurde. Für diese Deutung spricht nicht zuletzt auch die Herkunft der Waffe, die vermutlich aus Kampanien stammt²⁹⁹. Die herausgehobene Stellung des Verstorbenen wird schliesslich durch die grosse Zahl der Eisenfibeln unterstrichen, unter denen sich auch mehrere grossformatige Stücke befinden.

Für die Datierung der Bestattung sind die Keramik, die Fibeln und die Bronzelanze aussagekräftig. Letztere gehört formell zu einem Lanzentypus, der schon seit dem 9. Jahrhundert v. Chr. belegt ist. Diverse Eigenheiten weisen das Exemplar der

Macchiabate-Nekropole jedoch als spätes Stück innerhalb dieser Gruppe aus. Insbesondere kann es mit Lanzenspitzen aus Pontecagnano in Verbindung gebracht werden, die der Phase IFe2B angehören³⁰⁰. Die Schlangenfibeln mit Feder und Bügel *a gomito* kommen im Formenspektrum der süditalischen Eisenzeit frühestens seit der Phase IFe2A2 vor und sind bis zum Ende des 8. Jahrhunderts v. Chr. kontinuierlich belegt³⁰¹. Die sog. oinotrisch-euböische Tasse S5/2 ist im *wavy band style* dekoriert und lässt sich mit einem Exemplar der Phase IFe2A vom Timpone Motta vergleichen³⁰². Das Muster scheint auf Gefässen dieser Ware zwischen ca. 780/760 und 720 v. Chr. vorzukommen, vermehrt jedoch nach der Mitte des Jahrhunderts³⁰³. Die im *stile a bande ondulate* verzierte Olla schliesslich lässt sich eher allgemein in die zweite Periode der frühen Eisenzeit einordnen. Allerdings ist die Form mit hohem Fuss charakteristisch für die spätere Produktion innerhalb dieser Periode. Die Funde aus dem Grab weisen somit Merkmale sowohl der älteren als auch der jüngeren Phase des IFe2 auf, so dass eine Datierung an den Anfang von IFe2B am plausibelsten erscheint.

Camilla Colombi

3.1.6 Grab Strada 6

Grabarchitektur und Verfüllung

Das Grab Strada 6 liegt am Südrand des von der Universität Basel erforschten Areals und gehört zu einer Gruppe von mindestens drei Gräbern (Strada 6, 7 und 9)³⁰⁴, die sehr nahe beieinander liegen und in Form und Orientierung von den übrigen Bestattungen des Areals Strada abweichen (Abb. 3.14, Taf. 4). Die südlichen und östlichen Teile des Grabes waren nicht mehr erhalten, wohl aufgrund von Erosion und menschlicher Einwirkung in das Gelände am Rande des Gehöfts De Leo (Taf. 31). Wegen der schlechten Erhaltung konnte das Grab nicht wie üblich in vier Sektoren aufgeteilt werden. Stattdessen wurde ein Mittelprofil (Taf. 31, unten) angelegt, die Struktur

297 Eiserne Lanzen- oder Speerspitzen: Gräber Strada 17, Uliveto 5, Uliveto 11/12, Vigneto 7, Temparella 41, Temparella 25, Temparella 46, Temparella 20, Temparella 61/62, Temparella 70, Temparella 79, Est 10. Wohl auch in Strada 16, Cerchio Reale 1, Temparella 87 und Deposito Centrale Cerchio Reale. Vgl. Luppino u. a. 2012, 665 Abb. 7. Eine bronzenen Lanzenspitze unbekannter Herkunft befindet sich in der Sammlung De Santis: Malacrino u. a. 2018, 170 Nr. 76.

298 Gräber mit Kombinationen von Lanzen- oder Speerspitzen: Frey 1991, 27 f. Taf. 35, Valle Sorigliano (Santa Maria d'Anglona, Tursi) Grab 126, Bestattung mit zwei Lanzenspitzen aus Eisen, beide rechts neben dem Schädel beigelegt; Carrara – Guzzo 1981, 462 f. Nr. 9. 10 Abb. 18, Roggiano Gravina Grab 8, Bestattung mit einer Lanzenspitze und einer Speerspitze, beide aus Eisen, an der linken Körperseite des Verstorbenen gefunden; Kilian 1970, 334 Taf. 19, 3 Nr. a. b, Sala Consilina Grab A35, zwei Lanzenspitzen aus Eisen; Pasqui 1888, 258 Nr. 3. 4, Torre Mordillo (Spezzano Albanese) Grab 25, Bestattung mit einer Lanzenspitze und zwei Speerspitzen aus Eisen; de La Genière 2012, 245, Paladino Ovest (Amendolara) Grab 107 mit Lanzen- und Speerspitze aus Eisen. Vgl. ferner die Kriegergräber aus Kampanien, in denen die Kombination belegt ist: D'Agostino – Gastaldi 2012, 402, Pontecagnano Grab 3093, u. a. zwei bronzenen Lanzenspitzen und eine eiserne Speerspitze, Pontecagnano Grab 3098, u. a. eine bronzenen Lanzenspitze und zwei eiserne Speerspitzen; Pontecagnano Grab 3006, u. a. eine Bronzelanze und eine eiserne Speerspitze. Vgl. auch D'Agostino 1970, 574 Abb. 2; 583. 606 Abb. 6, San Marzano sul Sarno Gräber 4 und 54; De Natale 1992, 49 f. Nr. 13. 14 Abb. 101, Pontecagnano Grab 3184, zwei bronzenen Lanzenspitzen, eine davon vom Typ Cassino; 109–111 Abb. 123, Pontecagnano Grab 3284, zwei bronzenen Lanzenspitzen, eine davon vom Typ Cassino; Aurino – Gobbi 2012, 810–818 Abb. 1. 3, Pontecagnano Grab 3090bis, zwei bronzenen Lanzenspitzen, eine davon vom Typ Cassino.

299 Siehe Kapitel 3.2.7; Guggisberg u. a. 2018b.

300 Vgl. insbesondere das Exemplar aus Pontecagnano Grab 3184: De Natale 1992, 49 f. Abb. 101. Unter den Funden waren zwei Lanzenspitzen aus Bronze, ein Dolch aus Eisen, Bratspieße und eiserne Schlangenfibeln *a gomito*. Das Grab gehört in die Phase IIB von Pontecagnano und entspricht der Phase IFe2B.

301 Cerzoso – Vanzetti 2014, 71–76; Quondam 2009, 144 f. Anm. 22; siehe auch Kapitel 3.2.8.

302 Kleibrink u. a. 2012a, 55 Nr. 15, H 8.3 cm; Jacobsen 2007, 45 Nr. 38 Taf. 17; Kleibrink u. a. 2012b, 12–15 Abb. 16; 20 Nr. 10 Taf. 2, 5, mittelgeometrisch.

303 Jacobsen 2007, 39–58 Nr. 20–25 (Schalen) und Nr. 31. 35. 36 (Skyphoi), vorgeschlagene Datierung 780/770–730 v. Chr. und vor 720 v. Chr.; Jacobsen u. a. 2009, 210–212 vgl. insbesondere die Verzierung der Typen Skyphos 2a und 3, die in die Zeit seit dem dritten Viertel des 8. Jhs. v. Chr. datiert werden.

304 Weiter südwestlich unter der Macchia liegt vermutlich ein weiteres Grab. Auch der Enchytrismos Strada 10 liegt im Bereich dieser Gruppe.



Abb. 3.14 Ansicht der Gräber Strada 6, 7 und 9 vor der Ausgrabung.



Abb. 3.15 Grab Strada 6, Bestattung *in situ*.

also halbiert. Unter einer rechteckigen³⁰⁵ Steinpackung von 2.2 m auf 1.4 m (Abb. 3.14) kam in ca. 0.4 m Tiefe die Bestattung zu Tage (Abb. 3.15). Ob sie sich ehemals in einem Behältnis aus vergangenem Material befunden hat, kann nicht eindeutig entschieden werden. Die Objekte und das Skelettmaterial lagen direkt auf kompakter Erde, welche eine hohe Konzentration an Grobgrus und -kies aufwies. Dies entspricht dem

305 Die noch erhaltene Struktur wies eine rechteckige Form auf, doch ist es nicht ausgeschlossen, dass die Steinabdeckung ursprünglich eine ovale Form hatte.

üblichen Erscheinungsbild der einfachen Fossagräber, wie sie in der gesamten Macchiabate-Nekropole belegt sind.

Im südöstlichen Bereich des Grabes, wo die Bestattung selbst zerstört war, kamen bis in eine Tiefe von 20 cm unter dem Niveau der Grablege einzelne Fein- und mehrere Grobkeramikfragmente (S6/14–19) zum Vorschein (Taf. 32, oben; Taf. 34). Sie könnten von einem älteren Grab bzw. von einer dem Gräberfeld vorangehenden Nutzungsphase des Areals stammen. Da sie sich allerdings weder in der Tonqualität noch unter formalen Gesichtspunkten – soweit die wenigen diagnostischen Scherben eine Aussage erlauben – von der eisenzeitlichen Grobkeramik aus anderen Gräbern der Macchiabate-Nekropole unterscheiden, gibt es weder für die erste noch die zweite Erklärung belastbare Argumente. Bemerkenswert ist hingegen der Umstand, dass fast alle Fragmente auf der Innenseite eine schwarze Schicht aufweisen, die möglicherweise durch den Gebrauch der Gefässe als Kochgeschirr entstanden ist. Obschon die erhaltenen Scherben nicht zusammengesetzt werden konnten, scheint es denkbar, dass sie von einem oder mehreren Kochgefässen stammen, die sich entweder als Beigabe im zerstörten Bereich des Grabes Strada 6 befanden, oder aber bereits in zerscherbtem Zustand in eine mit der Anlage des Grabes zu verbindende Planierungsschicht hineingeraten sind. Kochgeschirr ist insgesamt nur selten in die Gräber beigegeben worden, allerdings bietet ein Gefäss aus Grab Temparella 16 bzw. 16bis eine mögliche Parallele zum Befund im Grab Strada 6³⁰⁶.

306 Zancani Montuoro 1980–1982, 56. Das Kochgefäss (Zancani Montuoro spricht von einer *pentola o pignatta*) wurde zusammen mit zwei Webgewichten, einem Pithos und einem grossen Fragment aus *terracotta gialla* südlich und etwas unterhalb des Bestattungsniveaus gefunden. Erwähnt wird ausserdem eine Fingerspirale, deren Fundlage allerdings unbekannt bleibt.



Abb. 3.16 Grab Strada 6, Bronzescheibe S6/4, Bronzefibeln S6/2–3, Reste der Armknochen und Glasperle S6/13 während der Freilegung.



Abb. 3.17 Grab Strada 6, Halsreife S6/5–6, Zierknöpfe S6/9, Schleifenringe S6/7–8 und Knochenreste während der Freilegung.

Bestattung und Beigaben

Die Erhaltung der Knochen ist schlecht. Die gesamte untere Körperhälfte fehlt (Taf. 32, unten). Vom Oberkörper haben sich der Schädel mit Unterkiefer, mehrere Zähne, Teile des linken Armes, Fragmente der rechten Schulter sowie vermutlich einige Handknochen erhalten. Die erhaltenen Knochenreste belegen, dass der Leichnam in Nordwest-Südost-Richtung orientiert war, in Rückenlage und mit auf dem Bauch oder dem Becken aufliegenden Händen. Die Anordnung des Oberkörpers entspricht damit der Mehrzahl der anderen Bestattungen in der Macchiabate-Nekropole. Es ist wahrscheinlich, dass die Beine, wie in diesen Fällen, angewinkelt waren. Die Erhaltung der Zähne ist schlecht. Dennoch sind Angaben zum Alter möglich: Die starke Abrasion sowie der Zahnsteinbefall deuten auf ein adultes bis matures Individuum hin. Eine an den Schneidezähnen des Oberkiefers durchgeführte Zahnzementanalyse (TCA) ergab ein Sterbealter von ca. 31 Jahren³⁰⁷. Das Geschlecht lässt sich hingegen anthropologisch nicht bestimmen. Der grazile Skelettbau und die Knochenwandstärke deuten jedoch auf ein weibliches Individuum hin. Seine Körperhöhe dürfte zwischen 1.5 m bis maximal 1.6 m betragen haben.

Von der Ausstattung des Grabes haben sich nur die Schmuck- und Trachtbestandteile im Oberkörper- und Kopfbereich erhalten. Keramikbeigaben fehlen, wohl weil sie im nicht erhaltenen Fussbereich des Grabes deponiert waren. Unklar ist die Zugehörigkeit eines Gefässes (S6/1, Taf. 31 Nr. 1; Taf. 33), welches auf deutlich höherem Niveau nordwestlich in einiger Distanz zum Kopf des in Strada 6 bestatteten Individuums zum Vorschein gekommen ist³⁰⁸.

307 Anthropologische Befundausswertung und Bestimmung: C. Alder. Siehe Kapitel 6. Die TCA-Analysen wurden von B. Grosskopf, Universität Tübingen, durchgeführt. Zur Kritik an der TCA-Methode vgl. Grupe u. a. 2005, 91–93.

308 Das Gefäss dürfte aufgrund seiner Lage kaum zur eigentlichen Grabausstattung von Strada 6 gehört haben. Möglich wäre jedoch, dass es im Rahmen von Opferhandlungen auf bzw. in der Nähe des Grabes niedergelegt wurde. Auch die Zugehörigkeit zu einem ansonsten nicht mehr fassbaren Grab ist theoretisch denkbar.

Insgesamt wurden drei Fibeln geborgen (Taf. 31 Nr. 4, 6; Taf. 33, 34). Eine bronzene Bügelfibel (S6/2) mit kurzem Fuss, deren Bügel teilweise mit einem spiralförmigen Bronzeband verziert ist (Typ Lo Schiavo 79), sowie eine bronzene Schlangenfibel (S6/3, Typ Lo Schiavo 347) wurden im Bereich des Bauches gefunden (Abb. 3.16). Eine grosse eiserne Schlangenfibel *a gomito* (S6/10) lag – stark fragmentiert – beim linken Oberarm. Leicht südlich der Bronzefibeln wurde ein *disco composito* (S6/4, Taf. 31 Nr. 7; Taf. 33) freigelegt. Diese Objektgattung ist in der Macchiabate-Nekropole gut bezeugt. Sie findet sich regelhaft auf dem Unterleib von weiblichen Individuen³⁰⁹. Im Grab Strada 6 könnten die Hände der Verstorbenen auf der Scheibe gelegen haben. Im Bereich des Unterleibs kam zudem eine grosse kugelige, transluzide Glasperle (S6/13, Taf. 34) zu Tage.

Zu beiden Seiten des Schädels kamen Fragmente von Schleifenringen (S6/7, 8) zum Vorschein (Abb. 3.17, Taf. 31 Nr. 3; Taf. 34). Diese werden in der Regel als Ohringe oder Zopfhalter gedeutet³¹⁰. Der Fund eines einzelnen Bernsteinfragmentes (S6/12) in der Nähe des linken Exemplars könnte für die Funktion als Ohrring sprechen. Beim Schlüsselbein lagen zwei Halsreifen aus Bronze (S6/5, 6; Taf. 31 Nr. 3; Taf. 34, 35) übereinander. Im selben Bereich wurden auch neun Zierknöpfe (S6/9, Taf. 34) gefunden.

Merkmale der Bestattung und Datierung

Bisher ist Strada 6 das einzige Grab der Macchiabate-Nekropole, in dem zwei Halsreifen nachgewiesen wurden. Auch aus den benachbarten Nekropolen von Torre Mordillo (Spezzano Albanese) und Valle Sorigliano (Santa Maria d'Anglona, Tursi) ist kein Grab mit mehr als einem Halsreif bekannt³¹¹.

Anhaltspunkte für die Datierung des Grabes liefert einerseits der *disco composito* S6/4, der in die Phase IFe2 datiert werden kann. Während für Francavilla Marittima davon aus-

309 Vgl. Zancani Montuoro 1974–1976, 83–92.

310 Ferranti – Quondam 2016, 57; Luppino u. a. 2012, 655.

311 Vgl. Cerzoso – Vanzetti 2014; Frey 1991. Siehe auch Kapitel 3.2.6 »Halsreif«.



Abb. 3.18 Grab Strada 7, Steinabdeckung vor Beginn der Freilegung.

gegangen werden kann, dass die *dischi compositi* erst im IFe2B einsetzen, legen Exemplare aus Castiglione di Paludi (Paludi) nahe, dass bereits im IFe2A mit der Herstellung solcher Ringe begonnen wurde³¹². Diesem Zeithorizont entspricht auch die Datierung der Schleifenringe (S6/7, 8), die im IFe1B und IFe2A besonders populär waren³¹³.

Die Fibeln deuten andererseits auf eine etwas spätere chronologische Einordnung. Die Bügelfibel S6/2, die vor allem aus Sala Consilina bekannt ist, wird von F. Lo Schiavo in die Phasen IFe2A und IFe2B datiert³¹⁴. Die Schlangenfibel S6/3 mit bandförmigem Querschnitt ist besonders gut in Torre Mordillo (Spezzano Albanese) belegt und wird von F. Lo Schiavo deswegen in die Phasen IFe1B und IFe2A datiert³¹⁵. Andernorts in der Sibaritide ist der Typus aber auch noch in der Phase IFe2B belegt³¹⁶. Am ehesten wird man aufgrund dieser Quellenlage eine Datierung von Grab Strada 6 zu Beginn des IFe2B erwägen.

Sven Billo

3.1.7 Grab Strada 7

Grabarchitektur und Verfüllung

Das Grab Strada 7 gehört, zusammen mit Strada 6, Strada 9 sowie dem Enchytrismos Strada 10 zu einer Gruppe von Gräbern mit Nord-Süd-Ausrichtung am südlichen Rand des un-

tersuchten Areals (Abb. 3.14, Taf. 4). Die drei Bestattungen Strada 6, 7 und 9 sind ausserdem durch eine einfachere Grabarchitektur gekennzeichnet, die sie von den meisten anderen, monumentalen Gräbern der Gruppe Strada unterscheidet³¹⁷.

Das Grab Strada 7 besteht aus einer rechteckigen Erdgrube mit einer Abdeckung aus grossen Steinen und Geröllen (Abb. 3.18). Die schon an der Oberfläche sichtbare Steinsetzung war ca. 2 m lang und 1.3 m breit. Die noch 30 cm tief erfassbare Grabgrube besass keine Pflasterung und barg im mittleren Bereich die Bestattung einer erwachsenen Person (Abb. 3.19, Taf. 35). Die Skelettreste befanden sich in 15–25 cm Tiefe direkt unterhalb der Steinabdeckung und lagen auf einer dünnen Bettung aus Kies und Grobgrus, die besonders im südlichen Teil der Grube gut erkennbar war (Abb. 3.20).

Bestattung und Beigaben

Das vergleichsweise gut erhaltene Skelett lag entlang der Nord-Süd-Achse in der Mitte der Grabgrube (Abb. 3.20, Taf. 35). Der Leichnam war in sehr enger Hockerstellung auf der rechten Körperseite beigesetzt und nahm eine Fläche von knapp 70 x 45 cm ein. Der stark fragmentierte Schädel mit Ober- und Unterkiefer in anatomischer Lage lag im Norden der Bestattung mit Blick nach Westen. Gut erhalten waren insbesondere die eher robusten Langknochen, geborgen wurden ausserdem Fragmente des Beckens. Aufgrund der ungewohnt engen Hockerstellung ist es nicht möglich zu beurteilen, ob sich der Körper *in situ* befand oder ob das Skelett nachträglich bewegt bzw. bereits in einem leichten Verwesungszustand ins Grab gelegt wurde³¹⁸. Das Alter konnte aufgrund der Zahnabrasion und der TCA-Analyse auf über 30 Jahre geschätzt werden. Das Becken war für eine eindeutige Geschlechtszuweisung zu stark fragmentiert, doch weisen verschiedene Merkmale auf ein männliches Geschlecht. In die gleiche Richtung deutet auch die Robustizität von Langknochen und Kiefer. Anhand der rekonstruierten Masse der Oberarm- und Oberschenkelknochen wird eine Körperhöhe von ca. 170 cm angenommen³¹⁹.

Die Beigaben beschränken sich auf zwei feinkeramische Gefässe, eine Kanne und eine Tasse (Taf. 35 Nr. 3, 4; Taf. 36). Die Kanne S7/1 wurde südlich des Skeletts zwischen den Steinen der Abdeckung gefunden. Sie befand sich ca. 10 cm oberhalb der Gebeine. Wenige Bemalungsreste zeigen, dass sie zur Gattung der *matt-painted* Keramik gehört, formal besitzt sie eine gute Parallele in der Kanne aus Grab Strada 15 (S15/1). Die stark fragmentierte Tasse S7/2 lag östlich des Skeletts di-

317 Siehe Kapitel 5.1.

318 Die Meinungen der beiden an der Auswertung beteiligten Anthropologinnen gehen diesbezüglich auseinander. C. Alder betont insbesondere, dass die Lage der *Femora* und der *Clavicula* nicht anatomisch korrekt sein kann.

319 Die anthropologische Befundaufwertung wurde von N. Moghadam durchgeführt, die Auswertung des als Block geborgenen Schädels und die Nachbefundung von C. Alder. Die TCA-Analyse an zwei Oberkieferprämolaren wurde von B. Grosskopf, Universität Tübingen, durchgeführt. Die Körperhöhe wurde auf 170–176 cm im Falle eines männlichen Individuums, auf 169–172 cm im Falle einer Frau geschätzt.

312 Cerzoso – Vanzetti 2014, 132 f.

313 Cerzoso – Vanzetti 2014, 215 f.

314 Lo Schiavo 2010, 197–199.

315 Lo Schiavo 2010, 702–713.

316 Sowohl in anderen Gräbern der Macchiabate-Nekropole als auch in Roggiano Gravina scheint der Typ bis in die Phase IFe2B verbreitet zu sein. Siehe Kapitel 3.2.5 »Schlangenfibel«.



Abb. 3.19 Grab Strada 7, Situation während der Ausgrabung.



Abb. 3.20 Grab Strada 7, freigelegtes Skelett in sehr enger Hockerstellung, Tasse S7/2.

rekt neben den Beinknochen. Sie ist unverziert und gehört der lokalen handgetöpften Keramik an. Der eher gedrungene Körper mit leicht abgesetztem Hals kann mit den Exemplaren aus den Gräbern Strada 11 (S11/3) und Strada 8 (S8/3) verglichen werden³²⁰.

Unterhalb und östlich der Bestattung kamen einige grobkeramische Scherben zu Tage (S7/3. 4). Aufgrund ihrer stratigrafischen Verortung wird deutlich, dass sie nicht zur Verfüllung des Grabes gehören, sondern den Schichten unterhalb der Grabgrube zuzurechnen sind. Hervorzuheben ist eine Gruppe von Rand- und Wandscherben aus rötlichem Ton (S7/3, Taf.

36), die rund 60 cm östlich des Grabes Strada 7 zum Vorschein kamen. Sie stammen alle von ein und demselben offenen Gefäß, einer Olla in der Typologie von C. Colelli³²¹, mit zylindrischem Körper und geradem, oben flach abschließendem Rand. Kennzeichnend sind überdies die plastisch aufgesetzten, hufeisenförmigen Wülste unterhalb des Randes, von denen sich auch im vorliegenden Fall Reste erhalten haben. Der Typus des Gefäßes, das als Koch- und Vorratsgefäß anzusprechen ist, kann nur allgemein ins 8. Jahrhundert v. Chr. datiert werden.

320 Für weitere Vergleiche und die typologische Einordnung der Keramiken siehe Kapitel 3.2.1.

321 Colelli – Jacobsen 2013, 48–51. Das Exemplar S7/3 kann dem Typ Colelli a11 zugeschrieben werden.

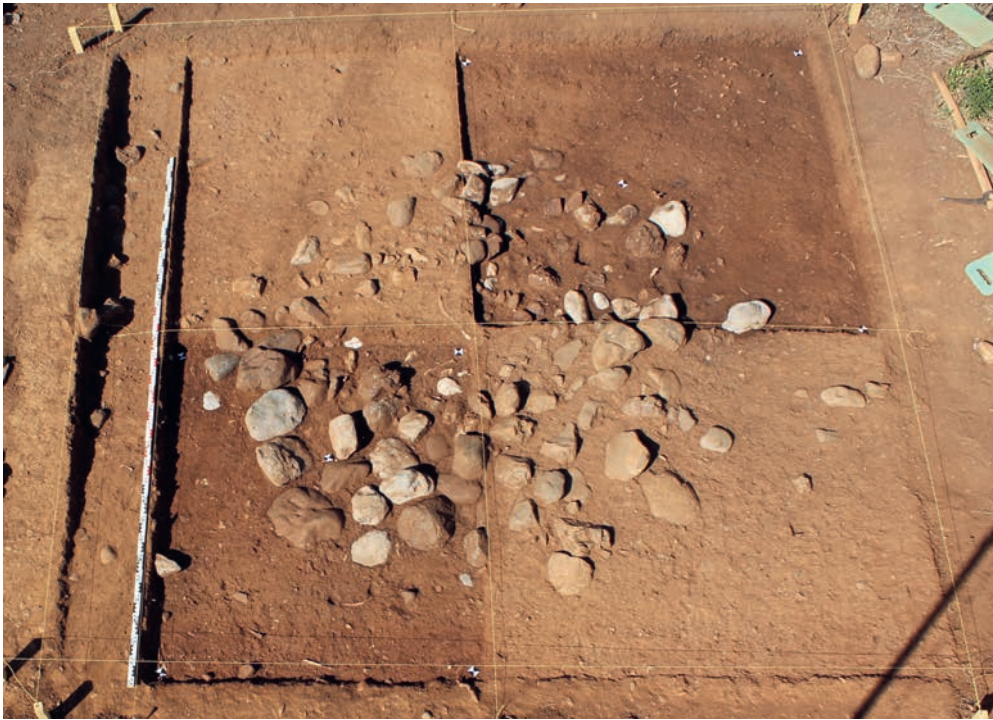


Abb. 3.21 Grab Strada 8 während der Ausgrabung.

Merkmale der Bestattung und Datierung

Das Grab Strada 7 unterscheidet sich von den meisten anderen Gräbern des Areals Strada durch die sehr einfache Ausstattung (Kanne und Tasse) und die ungewohnte Position des Körpers. Ob sich das Skelett *in situ* befand oder ob der Körper (bald) nach der Bestattung bewegt oder sogar erst einige Zeit nach dem Tode ins Grab gelegt wurde, kann nicht abschliessend geklärt werden. In vergleichbarer extremer Hockerposition ist auch das Individuum im Grab Temparella 40 beigesetzt worden, was P. Zancani Montuoro dazu veranlasste, hier ebenfalls an eine Deponierung in verwestem Zustand zu denken³²². Auszuschliessen ist eine moderne Störung der Bestattung, da die Steinabdeckung noch intakt war – moderne Objekte wurde nur an der Oberfläche und in den Schichten unmittelbar darunter angetroffen, vor allem östlich und westlich des Grabes.

Wenige Elemente stehen für eine chronologische Einordnung der Bestattung zur Verfügung. Die bikonische Form der Kanne S7/1 mit abgesetztem, tronkokonischem Hals wird allgemein als Merkmal der Phase IFe2A angesehen, allerdings scheint die Form in der Macchiabate-Nekropole noch bis an den Anfang der Phase IFe2B belegt zu sein³²³. Auch die Tasse S7/2 besitzt Parallelen sowohl aus älteren als auch aus jüngeren Komplexen und kann somit nur allgemein dem IFe2 zugeschrieben werden³²⁴.

Besondere Beachtung verdient die Präsenz von grobkeramischen Gefässfragmenten in den Schichten unterhalb der Grabgrube. Ein ähnlicher Befund ist aus den Gräbern Stra-

da 6 und Strada 9 bekannt. Die grobkeramischen Scherben konnten dort mindestens vier Gefässen zugeschrieben werden (Kochgefässe S6/15–17 und Becher S9/1). Sie lagen mehrheitlich flach in der Erde und könnten als eine Art Planie gedient haben. Unklar ist in allen drei Fällen die Funktion der Gefässe, von denen die Scherben stammen. Handelt es sich um Reste von Grabbeigaben, um funeräre Deponierungen oder um Zeugnisse einer früheren Nutzungsphase des Areals? Da das Keramikinventar der Gräber im Areal Strada – wie auch jene in den anderen Arealen – nahezu ausschliesslich aus Feinkeramik besteht, ist es unwahrscheinlich, dass wir es mit regulären Grabbeigaben zu tun haben. Im einen oder anderen Fall könnten die Scherben von grossen Pithoi stammen, wie sie für die Enchytrismos-Bestattungen verwendet wurden (vgl. Strada 10, Est 3, Est 4). Allerdings scheinen die Fragmente in mehreren Fällen von deutlich kleineren Gefässen zu stammen³²⁵, die teilweise Kochspuren aufweisen und wohl in sekundärer Verwendung in der Nekropole deponiert wurden. Da die Gefässe, soweit bestimmbar, dem eisenzeitlichen Formenspektrum entsprechen, dürften sie kaum viel älter sein als die Gräber. Ihre Zuordnung zu einer Siedlung, die – wie Paola Zancani Montuoro dies vermutete – der Nekropole auf der Macchiabate vorausgegangen wäre, erscheint daher wenig wahrscheinlich. Am ehesten handelt es sich um Gefässe, die im Rahmen der Bestattungsfeierlichkeiten verwendet wurden, entweder als rituelle Deponierungen neben den Gräbern oder im Zusammenhang mit der Zubereitung von Speisen für die Bestattungsgemeinschaft.

Camilla Colombi

322 Zancani Montuoro 1980–1982, 109, Grab Temparella 40.

323 Vgl. Kapitel 3.2.1 »Kanne«. Die Kanne kann mit Exemplaren aus den Gräbern Strada 15 (S15/1), Vigneto 6, Temparella 21 und Temparella 27 verglichen werden.

324 Man vergleiche etwa die Exemplare aus den Gräbern Temparella 63, Strada 8 (S8/3) und Strada 11 (S11/3).

325 Ein ganz erhaltenes Gefäss wurde zwischen den Gräbern Est 9 und Est 10 gefunden: Guggisberg u. a. 2018a, 77.



Abb. 3.22 Grab Strada 8, Ansicht am Ende der Ausgrabung.

3.1.8 Grab Strada 8

Grabarchitektur und Verfüllung

Das östlich von Grab Strada 4 gelegene Kindergrab Strada 8 war vor Grabungsbeginn nicht sichtbar. Es hat einen Durchmesser von 2.6 m und eine Tiefe von 0.55–0.65 m (Abb. 3.21; 3.22; Taf. 4). Die Wände der Grabgrube sind mit Steinen ausgekleidet. An die Nordwestwand schliesst die nordwestlich-südöstlich ausgerichtete partielle Pflasterung des Bodens an. Sie besitzt eine Ausdehnung von 1.4 x 0.8 m und besteht aus auffällig kleinen gerundeten und eckigen Steinen (Abb. 3.23, Taf. 37). Sie ist auf den Bereich beschränkt, der von der Bestattung und den Beigaben beansprucht wird. Monumentale Fossagräber mit Pflasterung für Kinder finden sich vereinzelt auch in anderen Bereichen der Nekropole: In der Temparella ist für das Kindergrab Temparella 77 eine Pflasterung mit der Ausdehnung von 0.30 x 0.60 m nachgewiesen. Auch im Areal Vigneto ist mit Vigneto 4 ein Kindergrab mit einer Pflasterung dokumentiert³²⁶.

Ursprünglich schützte wohl ein Einbau aus organischem Material die Bestattung im Grab Strada 8. Darauf weist neben anderen Gesichtspunkten insbesondere der zur Mitte der Grabgrube abfallende und dann wieder ansteigende Schichtverlauf in den Profilen, der durch den Einsturz eines ursprünglichen Hohlraumes zustande gekommen sein dürfte (Taf. 38)³²⁷.



Abb. 3.23 Grab Strada 8, Plattenboden mit Beigaben *in situ*.

Über der Steinverfüllung entstand durch diesen Vorgang eine Mulde, die sich im Laufe der Zeit mit Sediment und kleineren Steinen füllte³²⁸. Obschon keine Reste nachweisbar sind, liegt es aufgrund der Fundverteilung nahe anzunehmen, dass der Einbau aus organischem Material in seiner Grösse in etwa der Fläche der Pflasterung entsprochen hat (siehe Abb. 5.3)

Bestattung und Beigaben

Die spärlichen Knochen und Zähne belegen, dass im Grab Strada 8 ein Kind bestattet war. Die anthropologische Bestimmung ergab anhand der Zahnentwicklung und der Länge der linken *Clavicula* (Schlüsselbein) ein Sterbealter von 2–3 Jahren³²⁹. Der Schädel des Kindes lag im Nordwesten der Grabgrube. Südöstlich davon konnten ein Schlüsselbein, Reste von Rippen und möglicherweise Wirbelkörper bestimmt werden. Trotz der schlechten Erhaltung der Knochen legt deren Verteilung die Annahme nahe, dass der Leichnam auf der linken Seite lag und in Nordwest-Südost-Richtung orientiert war, möglicherweise in Hockerstellung, wofür nicht zuletzt auch die Lage der Gefässbeigaben spricht (siehe Abb. 5.3).

326 Zancani Montuoro 1977–1979, 79; Zancani Montuoro 1983/1984, 68.

327 Die Steine der Verfüllung lagen direkt auf der Bestattung und dürften – teilweise zumindest – für die starke Beschädigung des Skelettes und der Beigaben verantwortlich sein. P. Zancani Montuoro vermutete aufgrund von ähnlichen Befunden, dass die Steine der Verfüllung aus Totenfurcht in die Grube hineingeworfen wurden: Zancani Montuoro 1977–1979, 90. An anderer Stelle spricht sie auch von Gräbern, deren Decksteine sorgfältig in immer enger werdenden

Ringen aufgebaut waren, dass sie eine Kuppel über der verstorbenen Person bildeten (Zancani Montuoro 1977–1979, 49).

328 Da zwischen der Sohle der Mulde und der Bestattung Steine der Verfüllung lagen und die Bestattung selber unangetastet war, kann davon ausgegangen werden, dass das Grab unberaubt ist. Zur Grabmanipulation in der Antike: Kümmel 2009, 25.

329 Anthropologische Befundauswertung und Bestimmung: N. Moghaddam. Vgl. Kapitel 6.



Abb. 3.24 Strada 8, Detail der Fibel S8/6 und der bronzenen Anhänger im Brustbereich, am oberen Bildrand gut sichtbar der figürliche Anhänger S8/7.

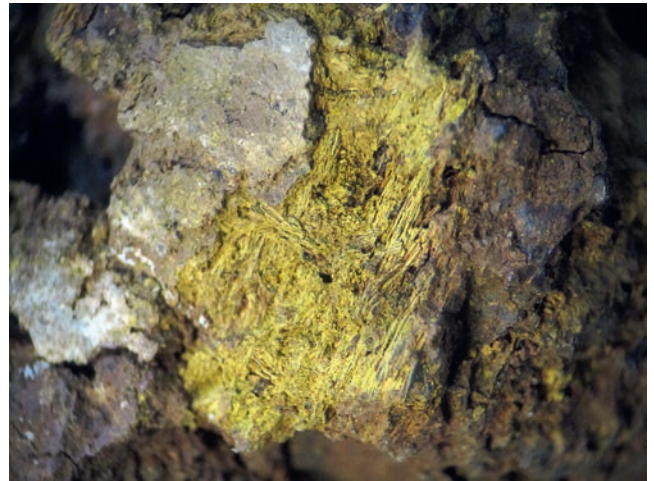


Abb. 3.25 Grab Strada 8, vergrößerte Aufnahme der Fibel S8/29 mit Abdruck von Textilfasern.



Abb. 3.26 Grab Strada 8, figürlicher Anhänger S8/7 während der Freilegung.

Im Bereich von Hals und Brust des Kindes fand sich eine reiche Trachtgarnitur, bestehend aus diversen Anhängern aus Bronze und Bernstein, die höchstwahrscheinlich an einer (oder zwei) Ketten befestigt waren (Abb. 3.24, Taf. 37 Nr. 2). Ausserdem fand sich eine bronzene Schlangenfibel (S8/6, Taf. 40) etwas unterhalb der Anhänger. Mindestens eine eiserne Fibel mit Bronzedrahtumwicklung (S8/30, Taf. 40) lag im Bereich der Kette zwischen dem Schädel und der Tasse S8/3. Etwas nördlich davon fanden sich die Überreste einer eisernen Kniefibel (S8/29). Durch einen Abdruck von Textilfasern an dem stark korrodierten Fibelfragment S8/29 sind zudem Stoffe indirekt nachweisbar (Abb. 3.25). Unter den Bronzeanhängern ragt ein Anhänger in der Form eines menschlichen Paares (S8/7, Taf. 40) heraus, der eine genaue Entsprechung im Exemplar aus Grab Strada 1 besitzt (Abb. 3.26)³³⁰. Ausserdem fanden sich eine Bommel (S8/8), mehrere massive Ringe (S8/25–28) und Ringanhänger (S8/12–17), drei Doppelspiralanhänger (S8/9–11) sowie je drei Draht- (S8/19–21) und Spiralperlen (S8/22–24) (Taf. 40). Ferner kamen insgesamt sechs Bernstei-

nanhänger und -perlen zu Tage (S8/34–39, Taf. 40). In einigen Fällen stammt der Bernstein aus dem Baltikum³³¹.

Aufgrund der Fundlage kann vermutet werden, dass die Anhänger zu zwei unterschiedlichen Ketten gehörten. Eine wurde um den Hals getragen, die andere womöglich diagonal über der Brust. Ein vergleichbares Gehänge ist im Kindergrab 88 von Valle Sorigliano (Santa Maria d'Anglona, Tursi) bezeugt, zu dem – wie in unserem Fall – mehrere Doppelspiralanhänger gehören.

Das Grab Strada 8 ist das schmuckreichste Kindergrab im Areal Strada. Gleichwohl bleibt die Zahl der Anhänger und Perlen durchaus überschaubar, und es ist ohne weiteres vorstellbar, dass der Schmuck im Alltag getragen wurde, wie dies im Übrigen auch die Abnutzungsspuren an der geschlossenen Bommel S8/8 nahelegen. Allgemein wird angenommen, dass den Anhängern und Kettengliedern eine magisch-religiöse Symbolik innewohnte, die sich jedoch im Einzelnen nur selten näher bestimmen lässt.

Etwas in der Mitte der Grablege, im Bereich des Unterkörpers, konnten die Überreste einer nicht näher bestimmbar Eisenfibel (S8/31, Taf. 40) geborgen werden.

Die feinkeramischen Gefässbeigaben bestehen aus einer bikonischen Tasse (S8/3) links des Schädels, einem Askos (S8/2) mit Bemalungsmuster des *stile a bande ondulate/a frange* und einer Kanne (S8/1) mit kleeblattförmigem Ausguss im Bereich der Füße. Auf der rechten Körperseite, etwa auf halber Höhe, kam zudem eine einhenkige Schale aus Impasto (S8/4) zum Vorschein (Taf. 37 Nr. 1. 3–5; Taf. 39)³³². Ein direkt daneben gefundenes, stark korrodiertes kleines Eisenmesser (S8/33, Taf. 40) könnte darauf hindeuten, dass in der Schale eine Speisebeigabe deponiert war.

³³¹ Vgl. Kapitel 7.4.

³³² Im Kindergrab Est 2 fand sich eine vergleichbare Kombination von Gefässen: Ein Askos ist mit einer Schale aus Impasto und einem weiteren, noch unbestimmten feinkeramischen Gefäss vergesellschaftet. Neben den Gefässbeigaben lagen zwei Bronzeringe in der Grabgrube (Guggisberg u. a. 2016, 61).

³³⁰ Siehe Kapitel 2.3.1 und 3.2.6 »Kleinformatige Anhänger«.



Abb. 3.27 Grab Strada 9, Bestattung *in situ*.

Merkmale der Bestattung und Datierung

Durch seine Form und Bauweise sowie die Ausstattung mit einer partiellen Pflasterung des Bodens reiht sich das Grab in die Kategorie der sog. monumentalen Fossagräber ein. Der mit der Anlage eines solchen Grabes verbundene Aufwand zeugt von der besonderen sozialen Stellung des hier bestatteten 2–3 Jahre alten Kindes. Das Gleiche gilt für den Trachtschmuck und die übrigen Beigaben, die ebenfalls deutlich reicher ausfallen als in den anderen Kindergräbern der Areale Strada und De Leo, ob schon das Formenspektrum als solches sich nur unwesentlich unterscheidet.

Zeitlich lässt sich das Grab in die Phase IFe2B datieren, wobei insbesondere der Askos S8/2 mit Dekorationsmuster des *stile a bande ondulate* und des *stile a frange* massgeblich ist. Auch die Tasse S8/3 kann aufgrund ihrer formalen Spezifika in diese Zeit datiert werden. Einem etwas älteren Horizont gehören hingegen die bronzene Schlangenfibel und die Schale aus Impasto an. Erstere gehört zum Typ 351 nach Lo Schiavo und wird in die Phasen IFe1B bis IFe2A datiert³³³. Letztere entspricht einem Gefässtypus, der in Inconornata (San Teodoro, Pisticci) zur gleichen Zeit populär ist, d. h. auch hier in der Phase IFe1B–2A³³⁴. Eine Verbindung zu den früh im 8. Jahrhundert v. Chr. datierbaren Bestattungen liefert ebenfalls der Anhänger in Form eines menschlichen Paares (S8/7), der nicht nur formgleich ist, sondern wahrscheinlich aus der gleichen Matrize wie das Exemplar aus Grab Strada 1 stammt (vgl. Abb. 2.28; 2.29; 3.84). Billigt man den älteren Objekten eine etwas längere Laufzeit zu, so dürfte das Grab am ehesten in der Anfangsphase von IFe2B entstanden sein.

Corinne Juon

3.1.9 Grab Strada 9

Grabarchitektur und Verfüllung

Das Grab Strada 9 liegt östlich des Grabes Strada 5. Es bildet mit Strada 6 und Strada 7 eine von Norden nach Süden verlaufende Reihe, in welcher es das nördlichste ist (Abb. 3.14, Taf. 4). Es war an der Oberfläche nicht sichtbar. Die nördliche Grenze des Grabes ist unklar, da an dieser Stelle eine anthropogene Steinsetzung anschliesst, die sich unter dem dichten Macchiabewuchs am Rande des Areals Strada fortsetzt und deshalb nicht untersucht werden konnte. Der ausgegrabene Bereich des langrechteckigen einfachen Fossagrabes misst 1.2 x 2.1 m. Das Grab lag direkt unter der Oberfläche und war nur gerade 0.2 m tief. Es ist in Nord-Süd-Richtung orientiert und war mit Steinen bedeckt, die die Skelettreste und die spärlichen Beigaben unter sich bargen (Abb. 3.27, Taf. 41). Unter der Bestattung gibt es keine Pflasterung und auch eine Bettung aus Kies oder Grobgrus, wie in anderen Fällen (Strada 6), konnte nicht beobachtet werden.

Bestattung und Beigaben

Im Grab Strada 9 wurde ein Kind im Alter von ca. 8–9 Jahren beigesetzt, wie die anthropologische Auswertung der Zahnreste ergab³³⁵. Der Schädel befand sich im Norden. Südlich davon lagen weitere Knochenfragmente, die aufgrund ihrer schlechten Erhaltung nicht bestimmbar sind. Ganz im Süden der Grabgrube konnten Langknochen freigelegt werden, bei welchen es sich möglicherweise um die Ober- und Unterschenkelknochen handelt (Taf. 41 Nr. 1–3). Ihre Lage spricht dafür, dass der Leichnam in Hockerstellung beigesetzt war. Auf welcher Seite er lag, liess sich allerdings nicht bestimmen. Der Leichnam war in Nord-Süd-Richtung orientiert.

Die Beigaben beschränken sich auf drei Objekte (Taf. 41). Im Bereich des Schädels fand sich eine weite Spirale aus Bronzeband mit Punzverzierungen (S9/1). Eine weitere weite Spirale (S9/2) lag in der Nähe eines möglichen Armknochens. Ein eiserner Stift (S9/3) wurde schliesslich im Bereich der Füsse gefunden.

Ausserhalb der eigentlichen Grabstruktur kam im Südosten ein kleiner Pithos (S9/4) zum Vorschein. Er gehört nicht zur eigentlichen Beigabenausstattung des Grabes Strada 9 (Taf. 41 Nr. 4). Ob es sich um die Überreste einer Gefässbestattung handelt oder ob er in Zusammenhang mit rituellen Praktiken zu interpretieren ist, lässt sich nicht beurteilen³³⁶.

Merkmale der Bestattung und Datierung

Mit seinem spärlichen Trachtschmuck gehört das Grab Strada 9 zu den einfachsten Bestattungen des Areals Strada. Da das Grab im Norden möglicherweise nicht vollständig freigelegt wurde, ist unklar, ob es über Gefässbeigaben verfügte. Zeitlich

333 Lo Schiavo 2010, 724–726 Typ 351 *fibule serpeggianti meridionali, verga a sezione quadrangolare, inornate*.

334 Chiartano 1996, 18; Ferranti 2009, 50. 53.

335 Anthropologische Befundaufwertung und Bestimmung: N. Moghaddam; Nachbefundung: C. Alder. Vgl. Kapitel 6.

336 Ein kleiner Pithos wurde auch zwischen den Bestattungen Est 10 und Est 11 freigelegt: Guggisberg u. a. 2018a, 77.



Abb. 3.28 Grab Strada 10 während der Ausgrabung, gut erkennbar der vertikal eingesetzte Steindeckel S10/2.



Abb. 3.29 Grab Strada 10 während der Ausgrabung, untere Hälfte des Pithos S10/1 *in situ*.

bieten die wenig spezifischen Bronzeringe nur einen vagen Anhaltspunkt für die Datierung des Grabes in die frühe Eisenzeit. Aufgrund der topografischen Nähe zu den übrigen Gräbern des Areals Strada kann eine chronologische Einordnung in die Phase IFe2 postuliert werden.

Corinne Juon

3.1.10 Grab Strada 10

Grabarchitektur und Verfüllung

Das Grab Strada 10 liegt am Ostrand des erforschten Bereiches des Areals Strada (Taf. 4). Es handelt es sich um eine sog.

Enchytrismos-Bestattung³³⁷ in einem grobkeramischen Pithos *a bombardata* (S10/1, Taf. 43). Das Gefäss lag bei seiner Auffindung direkt unter der Oberfläche und wurde überhaupt nur entdeckt, weil es im Fussbereich bereits von der Erosion freigelegt war (Abb. 3.28). Es war, auf der Seite liegend, in eine 0.6 x 1.15 m grosse und 0.3 m tiefe Grube eingebettet, die mit kleinen, gerundeten Steinen ausgekleidet war (Abb. 3.29, Taf. 42). Es ist 60 cm hoch und weist einen maximalen Durchmesser von 42 cm auf. Die Mündung zeigte nach Nordosten und wurde durch einen flachen, kreisrunden Stein verschlossen

³³⁷ Mit dem Begriff Enchytrismos werden Bestattungen in Gefässen bezeichnet. Diese moderne Wortschöpfung basiert auf dem Wort *χύτρα* (Topf) aus dem Altgriechischen (de La Genière 2012, 32).



Abb. 3.30 Grab Strada 11, Grabstruktur vor der Ausgrabung. Ansicht nach Nordwesten.

(Taf. 43, vgl. Abb. 4.8). Formal entspricht der Pithos einem Gefässtypus, der primär Vorratzzwecken diente. Entsprechende Gefässe sind *in situ* im Gebäude Vb in der Siedlung auf dem Timpone Motta belegt³³⁸. Ob auch das vorliegende Gefäss zunächst als Vorratsbehältnis diente oder ob es direkt für die Grabfunktion hergestellt wurde, lässt sich nicht mit Sicherheit entscheiden.

Bestattung und Beigaben

Wie bei anderen Pithos-Bestattungen wurden auch in Strada 10 weder Skelettreste noch Beigaben gefunden³³⁹. Im Pithos S10/1 mit der Höhe von 60 cm hätte ein Kind bis zum Alter von einem halben Jahr Platz gefunden – in Hockerstellung sogar von wenigen Monaten mehr³⁴⁰. Das Fehlen von Beigaben ist für die Grabpithoi der Macchiabate-Nekropole die Regel³⁴¹.

Merkmale der Bestattung und Datierung

Grobkeramische Pithoi sind bereits bei den Ausgrabungen von Paola Zancani Montuoro an verschiedenen Stellen in der Nekropole zum Vorschein gekommen. Die italienische Gelehrte deutete sie als Grabmarker, doch geht man heute mehrheitlich davon aus, dass die grossen Gefässe als Grabgefässe anzusprechen sind, in denen Neugeborene und Säuglinge bestattet

waren. Die archäologischen Befunde sprechen dafür, dass die Gefässe mehrheitlich horizontal in der Erde deponiert waren, wie dies auch im Falle von Grab Strada 10 der Fall ist. Der in diesem Fall erhaltene Deckel in Form eines scheibenförmigen Steins spricht ebenfalls dafür, dass das Gefäss zur Aufnahme eines Kinderkörpers gedient hat. Wie die benachbarten Gräber des Areals Strada war der Pithos eingebettet in eine ovale Steinsetzung aus gerundeten Flusskieseln. Knochen oder Zähne konnten trotz sorgfältigster Analyse des Sediments aus dem Gefäss nicht nachgewiesen werden. Da auch sonst – wie in dieser Form der Bestattung üblich – keine Beigaben vorgefunden wurden, kann das Grab Strada 10 nur allgemein in die frühe Eisenzeit datiert werden. Die Datierung des grobkeramischen Pithos sowie die topografische Nähe zu den Gräbern des Areals Strada sprechen dabei für eine Entstehung in der Stufe IFe2³⁴².

Corinne Juon

3.1.11 Grab Strada 11

Grabarchitektur und Verfüllung

Mit einer Länge von 4.8 m und einer Breite von 3.2 m ist das langovale Grab Strada 11 das grösste bekannte Frauengrab der Macchiabate-Nekropole (Abb. 3.30, Taf. 44)³⁴³. Von den übrigen Grabanlagen haben einzig das zentrale Männergrab des Cerchio Reale (ca. 5 m x 3 m) und das Männergrab Temparella 87 (4.8 m x 3.8m) grössere Dimensionen. Die Längsachse von Grab Strada 11 verläuft von Nordwesten nach Südosten. Die Profile der wannenförmigen, ca. 0.5–0.6 m tiefen Grube

338 Kleibrink 2006b, 137 Abb. 47.

339 Der gesamte Inhalt des Pithos wurde beprobt und geschlämmt, doch konnten weder Skelettreste noch andere Objekte identifiziert werden. Vgl. Kapitel 7.1.

340 Die Grössenangabe des Kindes beruht auf heutigen Verhältnissen (Largo 2009, 494). Für die Frühgeschichte ist aufgrund der Akzeleration möglicherweise mit einer kleineren Körpergrösse zu rechnen (Lewis 2007, 79; Wahl 2008, 40).

341 Einzig im Fall von Grab Temparella 61/62 befand sich in einem liegenden, von kleinen Steinen umgebenen Pithos eine Tasse (Zancani Montuoro 1983/1984, 25).

342 Für die Datierung von vergleichbaren Pithoi: Cerzoso – Vanzetti 2014, 281–283 Nr. 1072–1079 Taf. 76–79. Siehe auch Kapitel 3.2.2 »Grossformatiger Pithos«

343 Das nächstgrössere Frauengrab ist Temparella 60 (4.5 m x 3.2 m).



Abb. 3.31 Grab Strada 11, Ansicht am Ende der Ausgrabung.

zeigen die typischen Charakteristika – zentrale Erdlinse und zur Mitte gekippte Steine³⁴⁴ – eines aufgefüllten Hohlraums, wohl des eingestürzten Grabbehältnisses aus organischem Material (Taf. 46). Ansonsten bestand die Verfüllung aus grossen Steinen, mit denen auch die Wände ausgekleidet waren. In der Verfüllung traten vereinzelt Funde zu Tage (S11/44–50)³⁴⁵. Bemerkenswert ist speziell eine Applike (S11/46, Taf. 50), die nur wenige Zentimeter unter der Oberfläche lag. Wozu sie ursprünglich gehörte und ob sie von der tiefer gelegenen Bestattung stammt, ist unklar. Bei den übrigen Funden handelt es sich um kleinste Fragmente von Bernstein und Bronze, die vermutlich durch die starke Bioturbation nach oben getragen wurden. Der Boden ist, mit Ausnahme der nordwestlichen und südöstlichen Randzone, mit flachen runden Steinen in einem Bereich von 3.4 x 1.6–1.8 m gepflastert (Abb. 3.31, Taf. 44). Das Grab entspricht damit dem Typus der sog. monumentalen Fossagräber³⁴⁶.

Bestattung und Beigaben

Das postkraniale Skelett war nur noch als Knochenstaub fassbar. Vom Schädel haben sich lediglich ein grösseres Kalottenfragment und mehrere Zähne erhalten (Taf. 44 Nr. 1). Da im Bereich des Schädelfragments zahlreiche Zierknöpfe (S11/21) und einige Bronzescheiben (S11/16–19) lagen, wurde er zusammen mit diesen im Block geborgen und aus konservatorischen Gründen nicht weiter freigelegt (Abb. 3.32, Taf. 49). Aufgrund der rekonstruierten Schädelachse scheint der Kopf auf seiner linken Seite gelegen zu haben. Daraus folgt, dass das Individuum als linker Hocker beigesetzt war³⁴⁷. Das Alter

wurde auf die Altersklassen ab Adult II oder Matur geschätzt, was einem Sterbealter von über 30 oder eventuell von über 40 Jahren entspricht. Eine anthropologische Geschlechtsbestimmung war aufgrund der schlechten Knochenhaltung nicht möglich³⁴⁸.

Im Grab befanden sich mindestens drei eiserne Fibeln (S11/26, 27, Taf. 50). Bei zweien handelt es sich mit grosser Wahrscheinlichkeit um Schlangenfibeln mit Bronzedrahtumwicklung (vermutlich *a gomito*). Die dritte könnte eine Vierspiralfibel sein. Auf der linken Körperseite kam ein bronzener Radanhänger zum Vorschein (Abb. 3.33, Taf. 44 Nr. 2; Taf. 49). Ob er am Gürtel befestigt war und damit im Bereich der Hüfte zu liegen kommt oder ob er – vielleicht mit einer Fibel fixiert – am Gewand des Oberkörpers befestigt war, ist nicht mit Sicherheit zu entscheiden. Im ersten Fall würde eine der Schlangenfibeln unterhalb der Gürtellinie liegen. Für eine Verwendung an der Kleidung wäre dies ein ungewöhnlicher Ort. Denkbar ist hingegen, dass die Fibel zum Verschliessen eines Leichentuchs diente, auf dessen Existenz nicht zuletzt auch die zahlreichen über den ganzen Körperbereich verstreuten Bernsteinperlen hinweisen könnten (S11/33, 34, 36, 39, 40, Taf. 45, 50). Wahrscheinlicher ist allerdings, dass der Radanhänger im Brustbereich lag, wie dies verschiedene andere Befunde in der Macchiabate-Nekropole nahelegen, darunter auch ein Neufund aus Grab Est 5³⁴⁹.

Ebenfalls im Bereich des Oberkörpers befanden sich weitere doppelgliedrige Ketten (S11/12), die an den folgenden Ob-

344 Die Steine der Verfüllung wogen 5247 kg.

345 Guggisberg u. a. 2014, 80–82.

346 Siehe Kapitel 5.1.

347 Nicht ganz auszuschliessen ist, dass der Oberkörper in Rückenlage positioniert war. Allerdings gibt es keine eindeutigen Anzeichen dafür.

348 Anthropologische Befundauswertung und Bestimmung: C. Alder. Siehe Kapitel 6.

349 In der Macchiabate-Nekropole wurden sie meist im Hals- oder Schulterbereich freigelegt; vgl. Guggisberg u. a. 2014, 82 Anm. 20; Zancani Montuoro 1983/1984, 11–14 Abb. 1; 31–36 Abb. 7, 8; 41–43 Abb. 10; 64–68 Abb. 20; 94 Abb. 29; 98; Zancani Montuoro 1980–1982, 13–15, 103 Abb. 37; 105, Taf. 64. Grab Est 5: Guggisberg u. a. 2017, 82–85.

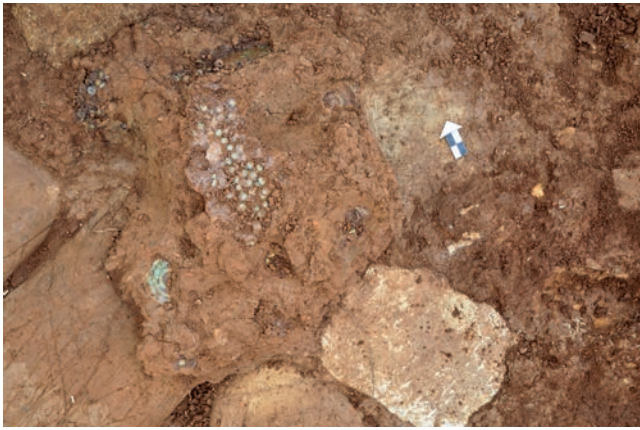


Abb. 3.32 Grab Strada 11, Detail des Schädelbereiches mit Zierknöpfen und Zierscheiben S11/15–21.



Abb. 3.33 Grab Strada 11, Detail des Radanhängers mit Kettchen S11/6.

jekten aufgehängt gewesen sein könnten: dem Bronzering mit dreieckigem Querschnitt (S11/24, Taf. 50)³⁵⁰, den Schlangenfibeln (S11/26, Taf. 50) und dem Radanhänger. Vermutlich gehörte auch die doppelkonische Drahtperle (S11/9, Taf. 49) zu den Ketten im Brust-/Gürtelbereich. Ausserdem wurden mehrere Eisenbleche gefunden, deren Erhaltungszustand leider keine Rekonstruktion mehr zulässt, sowie vier sehr dünne Fragmente aus Silber³⁵¹ (S11/32, Taf. 50), deren Deutung ebenfalls offenbleibt.

Der Schädel wurde als Block geborgen. Auf den Röntgenbildern und in der Computertomografie sind ausser den bereits erwähnten Zierknöpfen vier bronzene Zierscheiben mit konzentrischen Kreisen (S11/16–19) und ein massiver Bronzering³⁵² (S11/15) zu erkennen (Taf. 49). Die Zierknöpfe waren wohl gemeinsam mit den restlichen im Grab geborgenen Exemplaren (S11/20) auf einer Kopfbedeckung aufgenäht (Taf. 45, 49)³⁵³.

Südöstlich der Bestattung, vermutlich bei den Füßen, kamen die Keramikbeigaben zum Vorschein. Es handelt sich um zwei Ollae (S11/1. 2, Abb. 3.34; 3.35; Taf. 44 Nr. 4. 5; Taf. 47. 48). Das nördliche, näher an der Bestattung liegende Exemplar war mit *a tenda*-Motiven, vermutlich im *stile vuoto*, bemalt. Im Innern dieses Gefässes lag eine kleine Tasse (S11/3, Taf. 48), die mit umlaufenden Bändern bemalt ist. Auf der zweiten Olla sind sehr schwache Spuren einer Bemalung mit *bande ondulate* erkennbar. Diese Kombination von Keramikgefässen entspricht derjenigen von Grab Strada 4. Aussergewöhnlich ist jedoch, dass bei den Gefässen von Strada 11 weitere Funde gemacht wurden (Taf. 45). Neben zahlreichen Bernsteinen (S11/35. 37. 39. 41, Taf. 50) kamen zwei Ringanhänger (S11/7. 8, Taf. 49), zwei doppelkonische Drahtperlen



Abb. 3.34 Grab Strada 11, Plattenboden und Keramikgefässe S11/1–2 *in situ*.



Abb. 3.35 Grab Strada 11, Detail der Ollae S11/1–2 während der Freilegung.

350 Vgl. Funde aus Torre Mordillo (Spezzano Albanese): Cerzoso – Vanzetti 2014, 238–241 Nr. 872. 887–889 Taf. 49. 50.

351 Das Material konnte durch ein amerikanisch-italienisches Team (Robert H. Tyskot, Andrea Vianello, University of South Florida) im Feld mit einer Röntgenfluoreszenzanalyse (XRF) bestimmt werden.

352 Die Frage nach dem Material ist mit den Aufnahmen nicht restlos zu klären; es dürfte sich vermutlich um Bronze handeln.

353 Vgl. auch die Gräber Strada 2 und 4 sowie Temparella 60: Zancani Montuoro 1974–1976, 18 Taf. 4 b.

(S11/10. 11, Taf. 49), zwei Glasperlen (S11/42. 43, Taf. 50), ein Röhrchen aus Bronze (S11/22, Taf. 50)³⁵⁴ sowie drei Segmente von Ringen, die sich zu einem *cono di lamelle* (S11/23, Taf. 50)³⁵⁵ rekonstruieren lassen, zum Vorschein. Die Objekte sind grundsätzlich als Kleidungszubehör anzusprechen, doch können sie sich aufgrund ihres Fundortes zu Füßen der Bestattung nicht in Trachtlage befunden haben. Einige Objekte lagen sogar ausserhalb des durch den Plattenboden definierten Bereiches (S11/7. 8. 10. 11. 22. 23 und die Bernsteine), der bei den Gräbern der Macchiabate-Nekropole üblicherweise die Ausdehnung der Bestattung bestimmt. Wie dieser aussergewöhnliche Befund zu erklären ist, muss offengelassen werden. Grundsätzlich kann nicht ausgeschlossen werden, dass eine nachträgliche Störung des Grabes vorliegt. Allerdings zeichnen sich weder in den Profilen noch bei der Bestattung klare Hinweise darauf ab. Als Alternative wäre daher zu erwägen, ob die im Umkreis der Gefässe und südlich davon geborgenen Objekte Überreste einer älteren Bestattung sind, die bei einer Zweitnutzung des Grabes beiseite geschoben wurden³⁵⁶. Bemerkenswert ist in diesem Zusammenhang jedoch, dass keine Knochenreste im Umfeld der Objekte gefunden wurden. Als dritte Möglichkeit bietet sich die Vermutung an, dass die Objekte intentionell in der Nähe der Gefässe niedergelegt wurden, vielleicht im Zusammenhang mit einem Textil, wie dies in den Gräbern der Macchiabate-Nekropole immer wieder belegt ist, wenn auch nicht im Fussbereich der Bestattungen. Die weite Streuung wäre in diesem Fall womöglich mit dem Einsturz der Grabkammer in Verbindung zu bringen³⁵⁷.

Aufgrund der Beigaben, speziell der Zierknöpfe, der Zierscheiben mit konzentrischen Kreisen, der doppelgliedrigen Ketten und des Radanhängers gilt das Individuum im Grab Strada 11 als weiblich.

Merkmale der Bestattung und Datierung

Die Beigabe von zwei Ollae bzw. zwei grossen Gefässen ist ein Sonderfall für die Macchiabate-Nekropole und besser in Valle Sorigliano (Santa Maria d'Anglona, Tursi) belegt³⁵⁸. Ausser dem Grab Strada 11 weisen ausschliesslich die Gräber Strada 4 und Cerchio Reale 13 diese Gefässkombination auf. Aufgrund des grossen Altersunterschiedes zwischen dem im Grab Strada 11 bestatteten Individuum und den etwa halb so alt Verstorbenen in den beiden anderen Gräbern kann ausgeschlossen werden, dass ein Indikator für eine bestimmte Altersgruppe vorliegt. Auszuschliessen ist für die beiden Strada-Gräber ausserdem, dass es sich um Doppelbestattungen handelt, wie

P. Zancani Montuoro dies für das Grab Cerchio Reale 13 vermutete³⁵⁹.

Die komplexe Ausstattung von Strada 11 lässt sich der Kombination F1 nach Ferranti – Quondam 2015 zuordnen. Die Bestattung gehört somit zu den Gräbern der Macchiabate-Nekropole mit dem grössten Fundspektrum. Die herausgehobene Stellung des Grabes wird nicht zuletzt durch die Präsenz der Silberfragmente S11/32 unterstrichen.

Bemalung und Form der beiden Ollae sprechen für eine Datierung des Grabes Strada 11 in die Phase IFe2B, wobei der *stile a bande ondulate* der Olla S11/2 einem Malstil entspricht, der primär in der Phase IFe2A verbreitet war, während der *stile a tenda vuota* der Olla S11/1 für eine Zeitstellung in der spätgeometrischen Epoche spricht.

Sven Billo

3.1.12 Grab Strada 12

Grabarchitektur und Verfüllung

Das monumentale Fossagrab mit den Massen 2.6 x 1.9 x 0.4 m war an der Oberfläche nicht sichtbar (Taf. 4). Es liegt im Norden des untersuchten Bereiches zwischen Strada 13 und Strada 19. Das rechteckig-ovale Grab ist in nordwest-südöstlicher Richtung orientiert (Abb. 3.36; 3.37; Taf. 51). Die Wände der Grabgrube sind mit Steinen ausgekleidet. An die nordwestliche Wand schliesst die partielle Pflasterung aus kleinen gerundeten Flusskieseln an. Sie nimmt eine Fläche von 1.4 x 0.9 m ein. Der Plattenboden entspricht dem Bereich, der von der Bestattung und den Beigaben eingenommen wird (Abb. 3.38). Die Grablege wurde vermutlich durch eine Holzkiste im Bereich der Pflasterung geschützt und die Grube mit Steinen verfüllt³⁶⁰. Der einstige Hohlraum ist in den Profilen durch Strada 12 weniger gut fassbar als bei Strada 8. Es fehlt die Vertiefung mit eingetragenen Sediment in der Grabmitte. Dennoch zeichnen sich schräggestellte Steine ab, welche auch bei Strada 12 auf einen einstigen Hohlraum hinweisen, in welchen nach dem Vergehen der postulierten Holzkiste die Grabverfüllung abgerutscht ist. Bemerkenswert ist, dass in der Grabmitte die Steine der Verfüllung kleiner sind (Taf. 52). So wurden beim Abdecken der Holzkiste wohl zuerst grössere, dann kleinere Gerölle aufgeschichtet.

Bestattung und Beigaben

Das im Grab Strada 12 bestattete Individuum war 4–6 Jahre alt³⁶¹. Das Alter ergibt sich aus dem Zahnstatus und der nicht verwachsenen Naht des Atlas (erster Halswirbel). Die Knochen sind allgemein nur schlecht erhalten. Der Schädel lag im Nordwesten. Südöstlich davon wurden Fragmente der Armknochen gefunden. Die Oberarme lagen seitlich des Kör-

354 Diese Röhrchen wurden oft in Verbindung mit Objekten gefunden, die als Musikinstrumente gedeutet wurden (Rassel, Xylophon); Zancani Montuoro 1974–1976, 24 Abb. 6; 40 f. Taf. 16 a; Cerzoso – Vanzetti 2014, 173 Nr. 393 Taf. 27.

355 Zancani Montuoro 1974–1976, 42 Abb. 11 Taf. 16 b.

356 Beispiele für Nachbestattungen in der Macchiabate-Nekropole sind die Gräber Temparella 4 und Temparella 61/62.

357 Guggisberg u. a. 2014, 85 f.

358 Frey 1991, 12; Guggisberg u. a. 2014, 85; Luppino u. a. 2012, 659.

359 Zancani Montuoro 1977–1979, 39–43 Taf. 20 b.

360 Siehe Kapitel 5.1 und vgl. Verfüllung von Strada 8 (3.1.8).

361 Anthropologische Befundausswertung und Bestimmung: C. Alder. Siehe Kapitel 6.

Abb. 3.36 Grab Strada 12, Struktur nach der Entfernung der ersten Abbauschicht.



Abb. 3.37 Grab Strada 12 während der Ausgrabung.



Abb. 3.38 Grab Strada 12 am Ende der Ausgrabung.





Abb. 3.39 Grab Strada 12, Plattenboden mit Askos S12/1 und Schlangenfibel S12/2 *in situ*.

pers. Der linke Unterarm war zum Becken hin angewinkelt. Vermutlich war das verstorbene Kind mit dem Oberkörper in Rückenlage deponiert. Die Masse des Plattenbodens und das in der Osecke der Pflasterung deponierte Gefäss legen die Annahme nahe, dass der Leichnam in der Achse des Bodens in nordwest-südöstlicher Ausrichtung mit angewinkelten Beinen beigesetzt war (Abb. 3.39, Taf. 52, unten). Im Bereich des Oberkörpers wurden zwei Schlangenfibeln (S12/2. 3), verschiedene Schmuckelemente von Kette(n) aus Bronze (S12/4–6) und ein kleiner, rautenförmiger Stein (S12/10) gefunden (Taf. 51 Nr 1–3; Taf. 53). Die Fibeln S12/2. 3 waren geschlossen. Dieser Umstand und die Lage der Exemplare erlauben die Annahme, dass sie Teile der Tracht des bestatteten Kindes waren oder zum Verschliessen eines Leichentuches dienten. Die Schmuckelemente sind mit einem massiven Ring (S12/6), einer Drahtperle (S12/5) und einem Ringanhänger (S12/4) weniger zahlreich als in Strada 8. Des Weiteren fanden sich nicht näher bestimmbare Eisenfragmente (S12/9) und ein bronzenes Ringlein (S12/7). Zu Füßen des Kindes lag als einzige Gefässbeigabe ein im *stile a frange* verzierter Askos (S12/1, Taf. 51 Nr. 4; Taf. 53).

Merkmale der Bestattung und Datierung

Die gerundeten, flachen Steine des Bodens sind in diesem Fall deutlich grösser als im Grab Strada 8, in dem ein Kind von ca. 2–3 Jahren beigesetzt war. Gleichwohl lässt sich kein regelhafter Bezug zwischen der Grösse der Steine und dem Alter des bestatteten Individuums postulieren. So war im Grab De Leo 2, dessen Bodenplatten in etwa jenen von Grab Strada 12 entsprachen, ein Kind von ca. 6–9 Monaten beigesetzt.

Die beiden Schlangenfibeln S12/2. 3 entsprechen dem Typ 347 von Lo Schiavo, der von der Autorin in die Phasen IFe1B–2A datiert wird³⁶². Parallelen aus Roggiano Gravina belegen jedoch eine Verbreitung des Typs bis ans Ende der Phase IFe2B³⁶³. Mit dieser Spätdatierung stimmt auch die zeitliche Einordnung des Askos S12/1 überein, der im *stile a frange* der Phase IFe2B bemalt ist.

Corinne Juon

3.1.13 Grab Strada 13

Grabarchitektur und Verfüllung

Nordwestlich von Grab Strada 11 wurde 2014 ein grösserer, aus drei aneinander anstossenden Gräbern bestehender Bestattungskomplex ausgegraben (Strada 13, 14, 15; Abb. 3.40; Taf. 4). Die drei Gräber gehören alle dem Typus der sog. monumentalen Fossagräber an, unterscheiden sich jedoch in verschiedener Hinsicht von den weiter südlich im Areal Strada gelegenen Grabanlagen. Das langovale Grab Strada 13 ist Südwest-Nordost orientiert und weicht damit von der im Areal Strada vorherrschenden Nordwest-Südost-Orientierung deutlich ab (Abb. 3.41, Taf. 54). Die Grabgrube misst 3.6 m auf 1.8 m und reicht ca. 0.4 bis 0.5 m in den sterilen Boden hinein. Der aus grossen Blöcken zusammengefügte Rand der Struktur ist nur an der westlichen und südlichen Seite klar erkennbar, was namentlich die Beurteilung der Überlagerungssituation zwischen dem nördlichen Rand von Grab Strada 13 und dem benachbarten Grab Strada 14 erschwert³⁶⁴.

In der Verfüllung³⁶⁵ von Grab Strada 13 – und auch der benachbarten Gräber Strada 14 und Strada 15 – befanden sich ungewöhnlich viele Keramikfragmente (S13/15–19), die über die gesamte Höhe der Verfüllung streuten. Bei den meisten handelt es sich um stark verwaschene Kerne und Splitter von Grobkeramik (S13/18. 19). Vereinzelt dieser feinsten Fragmente wurden auch auf dem Niveau der Bestattung gefunden. Dies ist aber vermutlich mit einer Verlagerung durch Bioturbation und nicht mit einer Störung des Grabes zu erklären. Aufgrund der starken Verrundung und Verwaschung der Kerne wird angenommen, dass sie erosionsbedingt in die Verfüllung eingeschwemmt wurden. Schwieriger zu erklären sind hingegen die zahlreichen Feinkeramikfragmente (S13/15–17, Taf. 55), die ebenfalls über die gesamte Höhe der Verfüllung von Grab Strada 13 streuten, sich jedoch auf den nördlichen und nordöstlichen Teil der Grube zu konzentrieren schienen. Im Gegensatz zu den Kernen, die auch in den Gräbern Strada 14 und Strada 15 gefunden wurden, war ihre horizontale Verteilung auf das Grab Strada 13 beschränkt. Aufgrund ihrer Wandstärke, ihrer Magerung und ihrer Farbe gehören sie vermutlich zu mindestens zwei, eher drei Gefässindividuen. Die

³⁶² Lo Schiavo 2010, 702–713.

³⁶³ Siehe Kapitel 3.2.5 »Schlangenfibel«.

³⁶⁴ Die Diskussion der Überlagerung folgt unter Kapitel 3.1.14.

³⁶⁵ Die Verfüllung enthielt 1858 kg Steine.



Abb. 3.40 Gräber Strada 13, 14 und 15, Übersicht der Gräber während der Ausgrabung.



Abb. 3.41 Grab Strada 13, Bestattung *in situ*.

unter S13/15 gelisteten Fragmente könnten zur Kanne S13/1 gehören.

Der Grabboden weist keine klare Struktur auf, weder in seiner Ausdehnung (2,8 m auf 0,8–1 m) noch in seiner Pflasterung. Er zeigt jedoch stellenweise dieselben flachen Steine, die auch für die anderen monumentalen Fossagräber des Areals Strada verwendet wurden (Taf. 54).

Bestattung und Beigaben

Die Knochen waren eher schlecht erhalten. Es konnten jedoch auf einer Länge von knapp 1,2 m Teile des Schädels, Teile von Langknochen sowie 22 Zähne geborgen werden. Die Bestattung war in südwest-nordöstlicher Richtung orientiert (Taf. 54, unten). Der Kopf befand sich im Südwesten, vermutlich handelte es sich um eine linke Hockerbestattung. Darauf deuten die Lage des Schädels auf der linken Seite und die Langknochenfragmente hin. Ein Beinhocker kann jedoch nicht komplett ausgeschlossen werden.

Bei den Zähnen handelt es sich ausschliesslich um Dauerzähne. Aufgrund ihres Abrasionsgrades wurde das Individuum auf 25 bis 35 Jahre geschätzt, was der Altersklasse Adult entspricht. Ein Schädelfragment stützt diese These. Die Geschlechtsbestimmung deutet auf ein tendenziell weibliches Individuum hin³⁶⁶.

Alle Funde – mit Ausnahme der Keramik – befanden sich sehr konzentriert im Bereich des Oberkörpers (Taf. 54 Nr. 2; Taf. 55). Die Kleidung scheint von einer einzelnen Schlangenfibel aus Eisen (S13/9) gehalten worden zu sein. Direkt daneben kamen die Reste einer doppelgliedrigen Kette (S13/6) sowie unterschiedliche Perlen aus Bronze (S13/3–5. 7. 8), Eisen (S13/10. 11) und Bernstein (S13/14) zum Vorschein, die vermutlich ebenfalls zu einer Kette zu rekonstruieren sind. Aussergewöhnlich war der Fund einer Scheibe aus Eisen (S13/12), für die bisher kein vergleichbares Stück bekannt ist. Formal scheint sie den sog. *dischi compositi* aus Bronze nahezustehen, doch entspricht ihre Lage auf der Brust nicht die übliche Fundlage der Bronzescheiben, die in der Regel im Bereich des Beckens von Frauenbestattungen gefunden wurden³⁶⁷. Die Keramik befand sich im östlichen Teil der Grube – im vermuteten Bereich der Füsse (Taf. 54 Nr. 3). Die Gefässe sind äusserst stark fragmentiert und das grössere, vermutlich eine Kanne³⁶⁸ (S13/1, Taf. 55), streut, wie bereits erwähnt, über die gesamte Höhe der Verfüllung, eventuell sogar bis in die obersten Schichten des Grabes. Beim zweiten Gefäss handelt es sich eindeutig um eine Tasse (S13/2, Taf. 55), deren Fragmente sich stärker auf einen Bereich auf dem Niveau der Bestattung konzentrieren und nur leicht in die Verfüllung streuen. Von der Tasse S13/2 konnte ein komplettes Profil rekonstruiert werden, allerdings fehlt der hintere Teil, so dass der Henkel nicht angesetzt werden kann.

Merkmale der Bestattung und Datierung

Der Grossteil der Gräber im Areal Strada ist Nordwest-Südost orientiert. Das Grab Strada 13 weist, wie auch die Gräber Strada 17 und Strada 18, eine um ca. 90° versetzte Orientierung auf, ist also in südwest-nordöstlicher Richtung angelegt. Weitere Parallelen lassen sich jedoch nicht feststellen, so weist z. B. Strada 17 eine besonders komplexe Ausstattung auf, während in Strada 13 aussergewöhnlich wenige Objekte zu Tage kamen. Die spärlichen Bronzefunde (doppelgliedrige Kette, Drahtperlen) weisen auf ein Frauengrab der Kombination F3 nach Ferranti – Quondam 2015 hin. Aufgrund ihres Materials einzigartig ist die eiserne Scheibe mit ausgespartem Zentrum. Ob sie formal mit vergleichbaren Scheiben aus Bronze zu verbinden ist, wie sie beispielsweise aus den Gräbern von Torre Mordillo (Spezzano Albanese) überliefert sind, muss dahingestellt blei-

ben³⁶⁹. Diese oft mit Kreisen verzierten Scheiben weisen in der Regel einen kleineren Durchmesser auf und werden allgemein dem Kopfschmuck zugeordnet. Unser Exemplar wurde hingegen auf der Brust gefunden.

Die Funde aus Grab Strada 13 lassen sich aufgrund ihres fragmentierten Zustandes nur allgemein ins IFe2 datieren. Das fließende Profil der Tasse S13/2 könnte ein Indiz für eine Datierung ins IFe2B sein. Relativchronologisch dürfte Strada 13 – wie auch Strada 15 – vor Strada 14 angelegt worden sein, da dieses Grab die Grabumrandungen der beiden anderen Monumente überlagert.

Sven Billo

3.1.14 Grab Strada 14

Grabarchitektur und Verfüllung

Das Grab Strada 14 liegt nordöstlich des Grabes Strada 13 (Abb. 3.40, Taf. 4). Die Nordwestecke und die Südostecke tangieren die anliegenden Gräber Strada 13 und Strada 15 (Taf. 56, Nr. 1 und 3). Strada 14 hat eine langovale Form, misst 3.2 m auf 2 m und ist 0.5 m tief. Die Längsachse der Grabgrube verläuft von Nordwesten nach Südosten. Die aus grossen, einwärts gerichteten Steinen bestehenden Ränder sind meist klar fassbar, allerdings stellt sich an den Berührungspunkten mit den zwei benachbarten Gräbern die Frage nach den Überlagerungsverhältnissen und damit nach der relativen Datierung. Bei der Nordwestecke sieht es so aus, als würden die sichtbaren grossen Steine zur Umrandung von Grab Strada 14 gehören, was bedeuten würde, dass der Rand von Strada 13 überlagert wird und Grab Strada 14 somit nach Strada 13 angelegt wurde. Für die Südostecke ist eine klare Aussage schwieriger. Es scheint, als würden sich Strada 14 und Strada 15 einen Teil der Wandung teilen. Möglich wäre auch, dass die Wandung von Strada 14 in diesem Bereich das etwas tiefer liegende Grab Strada 15 überlagert³⁷⁰.

Die Verfüllung bestand aus einer dichten Steinpackung gerundeter Steine³⁷¹ (Taf. 57). Wie in Strada 13 befanden sich, über die ganze Höhe streuend, zahlreiche Grobkeramikkerne (S14/24. 25) darin. Direkt unter der modernen Oberfläche kamen ausserdem einige Feinkeramikfragmente (S14/21. 22) zu Tage. Diese entsprechen in Bezug auf Farbe, Wanddicke und Magerung so genau denjenigen der Kanne S13/15 aus Grab Strada 13, dass eine Zugehörigkeit zum selben Gefäss denkbar scheint³⁷². Ihre Präsenz im Grab Strada 14 liesse sich mit der Annahme erklären, dass bei der Anlage von Grab Strada 14 Grab Strada 13 tangiert und Teile davon zu dessen Verfüllung verwendet wurden. Die mehrheitlich stark erodierten

366 Anthropologische Befundausswertung und Bestimmung: A. Alterauge. Vgl. Kapitel 6.

367 Siehe Kapitel 3.2.6 »Disco composito«.

368 Trotz mehrmaliger Passscherbensuche konnte kein komplettes Profil rekonstruiert werden. Allerdings deuten die Durchmesser von Rand und Boden sowie ein vertikaler Bandhenkel auf eine Kanne hin.

369 Cerzoso – Vanzetti 2014, 205 Nr. 571–582. 905 Taf. 42. 51. Vgl. bes. den Kommentar zu Nr. 572.

370 Die tiefere Lage von Grab Strada 15 könnte auch dadurch bedingt sein, dass die Strada an ihren lateralen Rändern leicht abfällt.

371 Die Steine der Verfüllung wogen 1656 kg.

372 Es gibt allerdings keine anpassenden Fragmente.



Abb. 3.42 Grab Strada 14 am Ende der Ausgrabung.

Abb. 3.43 Grab Strada 14, Bestattung *in situ*.

Grobkeramikscherben dürften hingegen wie bei Strada 13 eingeschwemmt worden sein. Auffällig ist allerdings der Fund mehrerer zusammengehöriger, jedoch nur selten anpassender Fragmente eines grobkeramischen Gefäßes mit Leistenverzierung unter dem Rand, das ca. 5 cm über der Bestattung zum Vorschein kam (S14/23, Taf. 59). Das Fehlen von Anpassungen spricht gegen die Annahme, dass das Gefäß ganz im Grab beigegeben war. Umgekehrt fällt es aber auch schwer anzunehmen, dass die Scherben durch Zufall eingeschwemmt wurden. Das Zustandekommen des Befundes muss an dieser Stelle offenbleiben. Es sei jedoch auf die Tatsache verwiesen, dass kleinere und grössere Grobkeramikscherben eine wiederkehrende Komponente in der Verfüllung der Gräber darstellen und sich damit die Frage nach ihrer Herkunft generell stellt³⁷³.

Der 1.9 x 1 m grosse Boden des Grabes ist vollständig mit kleinen kantigen Steinen gepflastert, weshalb Strada 14 zu den monumentalen Fossagräbern zu zählen ist (Abb. 3.42, Taf. 56).

Bestattung und Beigaben

Dank der guten Erhaltung der Knochen konnte die Lage des Skeletts genau bestimmt werden (Abb. 3.43, Taf. 56). Es han-

delt sich um einen rechten Beinhocker, der Nordwest-Südost orientiert ist. Der Unterkiefer liegt frontal und der Schädel ist nach rechts gekippt, was auf einen Hohlraum während der Verwesungsprozesse hinweist³⁷⁴. Bereits zu Lebzeiten hat das Individuum mehrere Zähne verloren. Der rechte Arm ist so angewinkelt, dass die Hand im Bereich des Bauches liegt, während der linke Arm gestreckt ist und die linke Hand folglich leicht unterhalb der rechten im Beckenbereich zu liegen kommt. Somit liegen die Hände um den *disco composito* (S14/9), wie wir dies bereits von Grab Strada 6 kennen. Die anthropologische Analyse konnte das Individuum der Altersklasse Matur zuordnen, d. h. zwischen 40 und 60 Jahren. Die gute Erhaltung – insbesondere des Beckens – ermöglichte es, eine Geschlechtsbestimmung anhand mehrerer Merkmale durchzuführen. Diese weisen alle auf ein weibliches Individuum hin. Ausser einer eventuellen Hüftarthrose wurden keine pathologischen Veränderungen festgestellt. Die geschätzte Körperhöhe liegt zwischen 1.56 m und 1.62 m³⁷⁵.

Die Verstorbene war mit einer reichen Trachtgaritur beigesetzt worden (Abb. 3.44, Taf. 56 Nr. 4, 5; Taf. 58, 59). Im Bereich der linken Schulter lagen zwei geschlossen auf-

³⁷³ Besonders häufig kamen solche Scherben und Splitter in der Verfüllung der Gräber Strada 13, 14, 15 und 16 zu Tage, vgl. die Kapitel zu den einzelnen Befunden, bes. Kapitel 3.1.15.

³⁷⁴ Zu Verwesungsprozessen in einem Hohlraum vgl. Duday 2009, 32–40.

³⁷⁵ Anthropologische Befundauswertung und Bestimmung: A. Alterauge. Vgl. Kapitel 6.

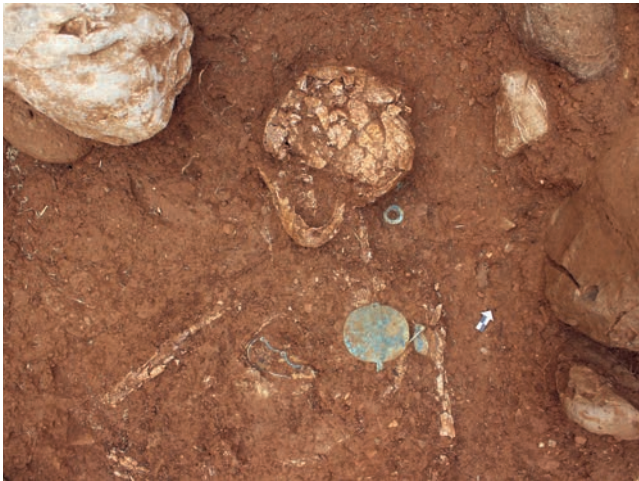


Abb. 3.44 Grab Strada 14, Detailansicht des Schädels mit Bronzering S14/14 und des Oberkörpers mit der Schlangenfibel S14/4 und den beiden Schildfibeln S14/5–6.



Abb. 3.45 Grab Strada 14, Detailansicht der Rippen mit den Bronze-fibeln S14/7–8.



Abb. 3.46 Grab Strada 14, Detailansicht des Schädels nach Entnahme des Kiefers, mit bronzenen Schleifenringen S14/15–16.



Abb. 3.47 Grab Strada 14, Kanne S14/1 und Schale S14/3 *in situ*.



Abb. 3.48 Grab Strada 14, Kanne S14/1 während der Freilegung mit Tasse S14/2 im Inneren.

gefundene bronzenen Schildfibeln (S14/5, 6); bei der rechten Schulter befanden sich zwei bronzenen Fibeln mit Aufsatz aus Bein (S14/7, 8, Abb. 3.45) sowie eine Schlangenfibel (S14/4). Wie diese waren die beiden Fibeln mit Aufsatz aus Bein zum

Zeitpunkt der Freilegung offen. Dieser Befund stützt die Hypothese, dass Fibeln nicht nur als Teil der Kleidung oder des Leichentuchs, sondern auch als separate Beigaben im Grab niedergelegt werden konnten³⁷⁶. Um den Schädel herum wurden drei bronzenen Drahtperlen (S14/11–13), drei Ringaugenperlen aus Glas (S14/18–20), ein Ringanhänger (S14/10) und ein massiver Ring aus Bronze (S14/14) freigelegt, was auf eine Kette hindeutet. Auf beiden Seiten des Schädels lagen zudem bronzenen Schleifenringe (S14/15, 16), die als Ohringe oder Zopfhalter zu deuten sind (Abb. 3.46)³⁷⁷. Auf dem Becken befand sich der bereits erwähnte *disco composito* (S14/9, Taf. 56 Nr. 6; Taf. 59). Südlich der Füße befanden sich wie üblich die Keramikbeigaben (Abb. 3.47; 3.48; Taf. 56 Nr. 7, 8; Taf. 58). Es handelt sich um eine feinkeramische Kanne (S14/1), in der eine Tasse (S14/2) zum Vorschein kam. Diese weist feine Bemalungsspuren an Rand, Hals und Henkel auf. Neben der Kanne lag eine feinkeramische Schale mit vertikalem Bandhenkel (S14/3).

³⁷⁶ Allerdings ist nicht auszuschließen, dass sich die drei Fibeln durch taphonomische Vorgänge geöffnet haben. In jedem Fall spricht die Lage der Fibeln für einen bewussten Trachtbezug.

³⁷⁷ Luppino u. a. 2012, 655.



Abb. 3.49 Grab Strada 15 am Ende der Ausgrabung.

Merkmale der Bestattung und Datierung

Die Knochen der in Strada 14 bestatteten Frau sind für das Areal Strada überdurchschnittlich gut erhalten. Wieso die Erhaltungsbedingungen gerade an dieser Stelle so viel besser waren, liess sich nicht eruieren.

Im Hinblick auf seine Beigabekombination lässt sich das Grab der Gruppe F2B nach Ferranti – Quondam 2015 zuweisen, die über eine durchschnittlich komplexe Ausstattung verfügt.

Die beiden Schildfibeln vom Typ Lo Schiavo 420 (S14/5. 6) sind zwar hauptsächlich in den Phasen IFe1B–2A belegt, jedoch bis in die Phase IFe2B gebräuchlich³⁷⁸. Das Gleiche gilt für die Schlangenfibel vom Typ Lo Schiavo 347³⁷⁹, während sich die Fibeln mit Aufsatz aus Bein, Typ Lo Schiavo 426, nur allgemein in die Phase IFe2 datieren lassen³⁸⁰. Die regelmässige und lineare Form der Kanne und der Tasse (S14/1. 2) legen hingegen eine etwas spätere Datierung in die Phase IFe2B nahe. Das hohe Alter der Bestatteten aus Grab Strada 14 lässt die These zu, dass ihre Trachtbestandteile noch aus der mittelgeometrischen Zeit – ihrer Jugend- und Erwachsenenzeit – stammen, während die kurzlebigeren keramischen Beigaben dem Stil an ihrem Lebensende in der frühen spätgeometrischen Zeit entsprachen. Die Reparaturstelle an der Schildfibel S14/5 kann als weiteres Indiz für eine lange Gebrauchszeit der Trachtbestandteile angesehen werden. Aufgrund der stratigrafischen Verhältnisse zwischen Strada 13, Strada 14 und Strada 15 ist schliesslich eine jüngere Datierung von Strada 14 gegenüber den beiden anderen Strukturen anzunehmen. Die chronologische Einordnung der Beigaben scheint diese Vermutung zu bestätigen.

Sven Billo

378 Lo Schiavo 2010, 824 f.; Quondam 2009, 142 f. Abb. 1, 23; 149 f.
379 Lo Schiavo 2010, 702–713; Quondam 2009, 142 f. Abb. 1, 22; 145.
380 Lo Schiavo 2010, 829–832.

3.1.15 Grab Strada 15

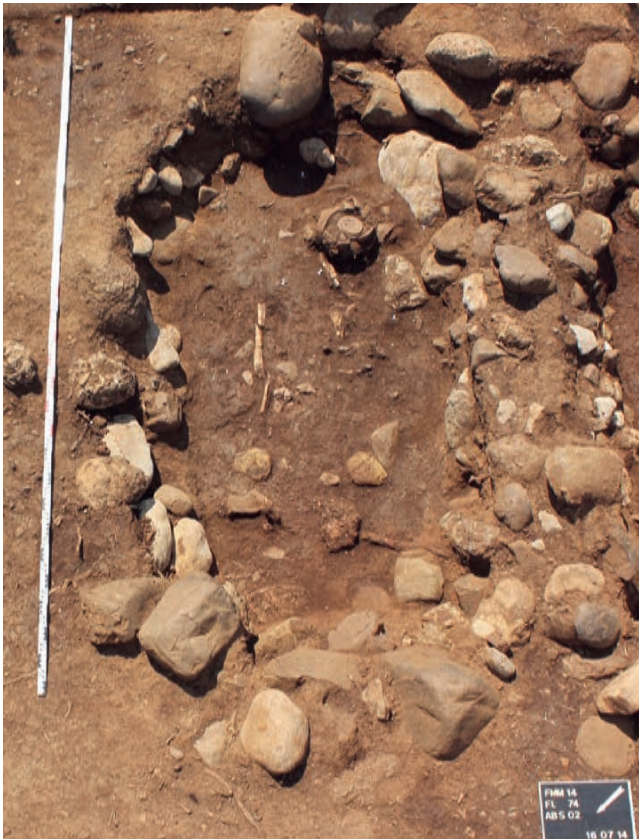
Grabarchitektur und Verfüllung

Grab Strada 15 liegt östlich von Grab Strada 14 und ist wie dieses von Nordwesten nach Südosten ausgerichtet (Abb. 3.40, Taf. 4). Das langovale Grab misst ca. 3.3 m in der Länge und ca. 1.9 m in der Breite (Taf. 60). Der obere Rand der Struktur bestand aus einer Reihe von grossen gerundeten Steinen, die im südwestlichen Teil an den Grabrand von Strada 14 stiessen. Während der Ausgrabung entstand der Eindruck, dass letzterer den Rand von Strada 15, dessen Oberkante insgesamt etwas tiefer lag, leicht überlagerte. Das Grab Strada 14 wäre in diesem Fall jünger als Strada 15. Die ca. 45 cm tiefe Grabgrube ist mit mittleren und grossen Kieselsteinen verkleidet. Der ca. 2.1 x 1.1 m grosse Boden ist nur in der südlichen Hälfte von einer Schicht aus flachen Steinen bedeckt, während der nördliche Teil keine Pflasterung aufweist (Abb. 3.49, Taf. 60).

Die Schichtabfolge der Grabverfüllung liess drei unterschiedliche Bereiche erkennen (Taf. 61). Die unterste Schicht (*Unità Stratigrafica* 60/78) bestand aus kompaktem Sediment mit sehr hoher Konzentration an kleinen Steinen. Die Schicht war im nördlichen Bereich des Grabes mächtiger als im südlichen Teil. Darüber lag ein dickes Steinpaket (*Unità Stratigrafica* 46/59), das durch eine hohe Konzentration von kleinen Keramikscherben gekennzeichnet war. Diese Schicht machte den Hauptteil der Grabverfüllung aus. Sie reichte im Südteil bis ca. 10 cm über die Bestattung. Eine dritte, stark modern überprägte Schicht (*Unità Stratigrafica* 47) bedeckte vor allem im Süden das Steinpaket mit den Keramikscherben. Sie dürfte in Folge von Erosion des umliegenden Geländes eingeschwemmt worden sein.

Bestattung und Beigaben

Die Bestattung lag auf dem Boden der Grabgrube (Abb. 3.50, Taf. 60 Nr. 2. 3). Vom Skelett konnten der Schädel mit Teilen

Abb. 3.50 Grab Strada 15, Bestattung *in situ*.

des Unterkiefers, der linke Beckenbereich und mehrere Langknochenfragmente geborgen werden. Dass die Unterkörperknochen besser erhalten sind als jene des Oberkörpers, hängt vielleicht mit der Pflasterung im südöstlichen Teil des Grabes zusammen.

Anders als in den übrigen Gräbern des Areals Strada lag das Skelett in gestreckter Rückenlage auf dem Boden von Grab Strada 15, entlang der Nordwest-Südost-Achse. Der Kopf lag im Nordwesten wohl auf der rechten Seite. Die Mindestkörperhöhe beträgt 155 cm. Aufgrund der Zahnabrasion und der TCA-Analyse konnte das Individuum mit einem Sterbealter von ca. 54 Jahren der matura Altersklasse zugewiesen werden³⁸¹. Anhand von Schädel- und Beckenmerkmalen liess sich das Geschlecht als eher männlich bestimmen.

Der Verstorbene war nur mit wenigen Beigaben beigesetzt worden (Taf. 62). Nördlich des Kopfes kam eine 5.9 cm lange Eisenklinge zum Vorschein (S15/4), die wohl von einem kleinen Messer stammt. Kleine Messer finden sich sowohl in Männer- als auch in Frauen- und Kindergräbern des oino-trischen Kulturkreises³⁸². Zur rechten Seite des Schädels lag das

Abb. 3.51 Grab Strada 15, Kanne S15/1 *in situ* in umgekehrter Lage.

Federfragment einer mutmasslichen Schlangenfibel mit Bronzedrahtumwicklung (S15/3). Überraschend ist das Fehlen weiterer Fragmente dieses Objektes, was die Frage nach einer möglichen Störung der Bestattung aufwirft. Obwohl im Südteil des Grabes mehrere Keramikscherben in der Verfüllung zu Tage kamen, ist eine Beraubung eher unwahrscheinlich, da das Skelett *in situ* am Boden des Grabes lag. Auf der Höhe der Unterschenkel des Verstorbenen kam eine feinkeramische Kanne (S15/1) mit der Mündung nach unten zum Vorschein (Abb. 3.51, Taf. 60 Nr. 4; Taf. 62). Sie enthielt eine feinkeramische Tasse (S15/2), die ihrerseits kopfüber, d. h. mit der Mündung nach oben, in der Kanne lag (Abb. 3.52). Die handgemachte Kanne weist noch geringe Bemalungsspuren auf, namentlich im Mündungsbereich, wo sich die Überreste von vier Dreiecken erhalten haben, einem typischen Ornament der lokalen *matt-painted Ware*³⁸³. Die ebenfalls handgefertigte Tasse ist durch den abgesetzten Hals mit plastischer Wulst sowie den kugelförmigen Körper gekennzeichnet. Eine Bemalung ist nicht erhalten.

In der Verfüllung des Grabes Strada 15, insbesondere im südöstlichen Teil des Grabes, befanden sich zahlreiche Keramik-

381 Zahnabrasionsalter: 30–50 Jahre; TCA: $54 \pm 3,7$ Jahre. Die anthropologische Befundung wurde von A. Alterauge durchgeführt, die TCA-Analyse von B. Grosskopf, Universität Tübingen. Siehe Kapitel 6.

382 Kindergrab: Strada 8, Messer S8/33. Männergräber vgl. beispielsweise: Zancani Montuoro 1980–1982, 110 f. Nr. 7 Abb. 39 Taf. 70, Grab Temparella 40, Griffdornmesser L 13 cm, Klinglänge 9

cm; Cerzoso – Vanzetti 2014, 176 Nr. 413, Torre Mordillo (Spezzano Albanese) Grab 118, L 10.7 cm; 178 Nr. 425, Torre Mordillo (Spezzano Albanese) Grab 108, L 15.5 cm mit Angabe von weiteren Parallelen. Die Gräber datieren am Ende von IFe2A – Anfang von IFe2B.

383 Nava u. a. 2009, 269 f. Abb. 17, *motivo quadrangolare* LR1.1.



Abb. 3.52 Grab Strada 15, Kanne S15/1 während der Freilegung mit Tasse S15/2 im Inneren.



Abb. 3.53 Grab Strada 15, Ansammlung der Grobkeramikscherben S15/9 während der Freilegung.

scherben³⁸⁴. Dabei konnten anhand der Stratigrafie und der vertikalen Kartierung der Funde zwei grosse Ansammlungen unterschieden werden. Die erste Gruppe besteht aus eher kleinformatigen, verwaschenen Scherben und Kernen, die sich zwischen den oberen Steinlagen der Verfüllung (*Unità Stratigrafica* 46/59, vgl. Taf. 61) und in den oberen, sekundären Schichten befanden (S15/7. 12. 13). Ihre Streuung erstreckt sich über 15–20 cm Höhe auf das ganze Grab. Die schlecht erhaltenen Fragmente lassen sich zu keiner Form rekonstruieren, weisen unterschiedliche Farben und Magerungen auf und waren lange Zeit der Erosion ausgesetzt. Sie gehören demnach nicht zur Grabausstattung, sondern befanden sich wohl bereits im Sediment, das für die Verfüllung des Grabes benutzt wurde oder wurden durch Erosionsvorgänge verlagert und im Bereich der Grabstruktur akkumuliert. Ähnliches war auch über den benachbarten Gräbern Strada 13 und 14 sowie im nördlich davon gelegenen Grab Strada 16 zu beobachten.

Die zweite Ansammlung ist klar in einem Bereich von max. 65 x 65 cm im Südosten der Grabverfüllung konzentriert (S15/6. 8–11; Abb. 3.53; Taf. 62). Sie erstreckt sich über 20 cm Höhe in den unteren Steinlagen der Verfüllung bis ca. 5 cm oberhalb der Bestattung und liegt damit ungefähr auf gleicher Höhe wie die feinkeramische Kanne S15/1. Die restlichen Bereiche der Verfüllung, d. h. im Südwesten und im Norden der Grabstruktur, enthielten nur vereinzelt Scherben, die sich zu keinem Individuum rekonstruieren lassen³⁸⁵. Die genauere Betrachtung der Streuung und der Zugehörigkeit der Fragmente der zweiten Ansammlung hat interessante Beobachtungen ermöglicht. Etwas mehr als die Hälfte besteht aus stark verwaschenen Kernen und Fragmenten (S15/6. 11) und ähnelt daher der Keramik aus den oberflächlichen Schichten (S15/7. 12. 13).

Die andere Hälfte der Scherben ist dagegen nicht verwaschen und lässt sich drei verschiedenen Gefässindividuen

zuschreiben (Taf. 62). Drei Randfragmente gehören zu einer Schale aus Impasto mit eingebogener Lippe mit plastischer Verzierung aus schrägen, fortlaufenden Riefen vom Typ f2 oder f4 nach Colelli (S15/8)³⁸⁶. Die Fragmente lagen bei der östlichen Wand des Grabes, ca. 15–20 cm oberhalb der Bestattung, in einer Entfernung von über 30 cm voneinander. Das zweite Gefäss besteht aus Scherben braunoranger Grobkeramik mit grauschwarzem Kern (S15/9), die in einem begrenzten Bereich von 60 x 65 cm Fläche und 10 cm in der Höhe im Südosten des Grabes gefunden wurden, mindestens 10 cm oberhalb der Bestattung. Obwohl sich unter den Fragmenten keine Passscherben befinden, kann aufgrund der übereinstimmenden Farbe, Wanddicke und der Präsenz von deutlichen Rillen an der Innenseite davon ausgegangen werden, dass sie zum gleichen Gefäss gehören. Das Fehlen von Rand- und Bodenscherben erlaubt keine genaue Bestimmung der Form; eine Wandscherbe weist eine viereckige plastische Knappe auf³⁸⁷. Es handelt sich wahrscheinlich um ein mittelgrosses Gefäss mit eher vertikal verlaufenden Wänden; eine Rekonstruktion als kleiner Pithos oder Olla ist daher möglich³⁸⁸. Das dritte grobkeramische Gefäss S15/10 besitzt eine dünnere Wandstärke und eine dunkelgraue, eher glatte Oberfläche. Rillen fehlen. Auch in diesem Falle haben sich nur Wandscherben erhalten, die in einem Bereich von 35 x 15 cm lagen und über eine Höhe von ca. 15 cm streuten. Wiederum lagen die Scherben rund 10–15 cm über der Bestattung in der Verfüllung. Eine genaue Ansprache des Gefässes ist nicht möglich.

Die Präsenz von zerscherbten Gefässen in der Grubenverfüllung entspricht auffällig dem Befund in den benachbarten

384 Insgesamt wurden über 400 Fragmente von Fein- und Grobkeramik geborgen: S15/5–14.

385 Ein Randfragment aus Feinkeramik (S15/5) und fünf grobkeramische Wandscherben (S15/14).

386 Die Erhaltung der Wand ist zu gering, um eine Zuschreibung zu einem der beiden Typen zu ermöglichen. Die vergleichbare Schale aus dem Kindergrab Strada 8 (S8/4) gehört dem Typ f4 an und besitzt Vergleiche vom Timpone Motta: Colelli – Jacobsen 2013, 57–61. 250. 261 Taf. 20, 63; 25, 85; 48, 177; 50, 186; Kleibrink 2006b, 93 Abb. 33.6.

387 Vgl. Colelli – Jacobsen 2013, 226 Nr. Hy26; 244 f. Taf. 112, 18 Typ Kappa, belegt auf einer Olla aus dem Areal Rovitti.

388 'Olla' im Sinne der Typologie von C. Colelli; vgl. Colelli – Jacobsen 2013, 48–51.

Gräbern Strada 13, 14 und 16. Vergleichbare Keramiksammlungen wurden ausserdem in den Gräbern 6, 7 und 9 am Südrand des Areals Strada in der Verfüllung angetroffen. Keines der betreffenden Gräber zeigt Spuren einer Beraubung oder Störung. Der grösste Teil der Fragmente, insbesondere die verwaschenen Scherben und Kerne, könnte mit den oberflächlichen Sedimentschichten eingeschwemmt worden sein, wobei besondere topografische Gegebenheiten dafür verantwortlich sein mögen, dass in manchen Gräbern mehr, in anderen weniger Scherben angetroffen wurden³⁸⁹.

Auf der Grundlage des Befundes von Grab Strada 15 lässt sich folgendes Modell für das Zustandekommen dieser Befunde erstellen: Wie die stratigrafische Analyse der Verfüllung von Grab Strada 15 nahelegt, wurde die Grube vermutlich in zwei Etappen verfüllt (Taf. 61). Die Bestattung, wahrscheinlich von einer Holzkonstruktion geschützt, wurde mit der ersten Verfüllungsschicht bedeckt (*Unità Stratigrafica* 60). Auf dieser Schicht wurden in einem zweiten Moment die Reste von drei zerscherbten Gefässen deponiert³⁹⁰. Der Brauch, die bei fune-rären Zeremonien verwendeten Behälter zu zerbrechen und in das Grab zu werfen, ist auch in anderen Nekropolen belegt, wie in Bazzano und in Verucchio, aber wahrscheinlich auch im benachbarten Roggiano Gravina, und erinnert an die Opfer-rinnenzeremonie im archaischen Griechenland³⁹¹. Dabei liesse sich die Schale als Behälter für Speisen ansprechen, während die beiden grösseren Gefässe als Vorratsbehälter oder Kochgefässe verwendet worden sein könnten. Nach der Deponierung der Überreste der rituellen Handlungen wurde die Grube mit der zweiten Verfüllungsschicht aufgeschüttet (*Unità Stratigrafica* 46/59). Darin befanden sich bereits viele verwaschene Scherben, die somit bis in die tieferen Lagen der Verfüllung gelangten und neben den Fragmenten der drei grobkeramischen Gefässe gefunden wurden. Ähnliche rituelle Vorgänge könnten

auch in den anderen Gräbern die Anhäufung von Scherben einzelner Gefässe in der Verfüllung erklären, wie überhaupt die Präsenz des Scherbenmaterials in der Verfüllung. Der Formen der Gefässe – eine Schale und ein kleinformatiges Vorratsgefäss – könnten darauf hinweisen, dass die Bestattungsfeierlichkeiten mit dem Konsum von Speisen und Getränken verbunden waren. Die dazu benutzten Behältnisse wurden nach Gebrauch entweder in die Gräber geworfen oder möglicherweise an der Oberfläche dem Zerfall überlassen. Bisweilen mögen die Gefässe auch intakt neben den Gräbern deponiert worden sein, wie dies das Beispiel eines kleinen Kochtopfs nahelegt, der zwischen den Gräbern Est 10 und Est 11 angetroffen wurde³⁹².

Merkmale der Bestattung und Datierung

Die grobkeramischen Gefässe aus der Verfüllung und die Gefässe, die im Grab selber gefunden wurden, liegen chronologisch nicht weit auseinander. Die Schale S15/8 gehört dem Typ f2 oder f4 nach Colelli an und kann allgemein in die Phase IFe2 datiert werden. Die Merkmale der Form der beiden feinkeramischen Gefässe, die als Beigaben in das Grab Strada 15 gelegt wurden, sprechen für eine Einordnung in die Phase IFe2A oder an den Anfang der Phase IFe2B. Die Kanne S15/1 besitzt eine bikonische Form mit tronkokonischem Hals, die Gefässe sind noch voneinander abgesetzt – diese Merkmale werden gemeinhin als Indizien für eine frühe Datierung innerhalb des IFe2 erachtet. Die angeführten Parallelen sprechen ebenfalls für eine Einordnung in die Phase IFe2A³⁹³. Auch die Tasse S15/2 kann in diesen Zeithorizont datiert werden. Das Gefäss gehört zu einer Gruppe von Exemplaren mit wulstartiger Wölbung am Hals, die aufgrund von Vergleichen aus Torre Mordillo (Spezzano Albanese) und Belloluco (Castrovillari) in die Phase IFe2A datiert werden können³⁹⁴.

Schliesslich bildet die stratigrafische Relation der Gräber Strada 14 und Strada 15 ein wichtiges Argument für die verhältnismässig frühe Datierung von Grab Strada 15. Da die Grabwandung von Strada 15 im südwestlichen Bereich von der Grabumrandung von Strada 14 überlagert zu werden scheint, liegt es nahe anzunehmen, dass Grab Strada 15 älter ist als Strada 14. Die Frauenbestattung Strada 14 lässt sich aufgrund der Fibeln und der keramischen Beigaben in die Phase IFe2B datieren. Auch dieser Gesichtspunkt spricht somit dafür, dass das Grab Strada 15 gegen Ende der Phase IFe2A oder am Übergang zu IFe2B entstanden ist.

Camilla Colombi

389 Für die in den 1960er-Jahren ausgegrabenen Strukturen wurden nur in einem Fall (Vigneto 5) besonders viele Grobkeramikscherven in der Verfüllung bemerkt, jedoch wohl in Zusammenhang mit einer sekundären Bestattung: Zancani Montuoro 1977–1979, 79–82 Taf. 49 c. d, in der Verfüllung waren auch zwei Pithoi, ein Askos und eine Tasse. Wahrscheinlich Männergrab und Kinderbestattung in der Verfüllung; Luppino u. a. 2012, 654 Anm. 34.

390 Eine ähnliche Vorgehensweise wird man auch für die Enchytrismoi vermuten, die in der Verfüllung einiger Gräber der Areale Temparella, Uliveto und Est gefunden wurden, z. B. im Grab Est 5: Guggisberg u. a. 2017, 82–85.

391 Carrara – Guzzo 1981, 456–458. 479, Roggiano Gravina Grab 4: die in der Abdeckung des Grabes gefundenen Keramikfragmente bildeten keine ganzen Gefässe und wurden vermutlich bereits in fragmentiertem Zustand beigelegt. Siehe Weidig 2015, 119–121; Weidig – Bruni 2015, insb. 547 Anm. 36; Weidig 2014, 696–700 für die fragmentierte Keramik in der Verfüllung einiger Kinder- und Kriegergräber der archaischen Nekropole von Bazzano sowie mit Liste von vergleichbaren Befunden in Mittelitalien. In Verucchio wurden Trinkgefässe in die Verfüllung der Gräber geworfen: von Eles 2002, 40–42 für das Grab Lippi 89. In Attika wurden in der Nähe einiger Gräber Opferrinnen gefunden, in denen sich Fragmente von Trinksets befanden: sie wurden als Reste von Beigaben, Votivopfern oder auch als Reste von fune-rären Banketten gedeutet. Zur Opferrinne siehe zusammenfassend Kistler 1998.

392 Guggisberg u. a. 2018a, 77.

393 Macchiabate-Nekropole: Gräber Strada 7 (S7/1) und Lettere A; Torre Mordillo (Spezzano Albanese): Cerzoso – Vanzetti 2014, 255–258 Nr. 971. 975–978. Siehe Kapitel 3.2.1 »Kanne«.

394 Zur Gruppe gehören die Exemplare DL1/2, S15/2, S16/1; vgl. Cerzoso – Vanzetti 2014, Nr. 204. 958. 961. 1042; Carrara Jacoli 1994, 714 f. Taf. 138, 6; 698 f. Taf. 134, 4. 6; 700 Taf. 135, 9. Für die Besprechung des Typs siehe Kapitel 3.2.1 »Tasse«.

3.1.16 Grab Strada 16

Grabarchitektur und Verfüllung

Das Grab Strada 16 besitzt eine langovale, im nördlichen Teil nahezu rechteckige Form und ist in nordwestlich-südöstlicher Richtung orientiert (Abb. 3.54, Taf. 4. 63). Die Struktur misst ca. 4.3 m in der Länge und ca. 2.9 m in der Breite. Die Umrandung besteht aus einer sehr gut erkennbaren Reihe von regelmässig angeordneten, sehr grossen Steinen und Blöcken. Die Wandung der ca. 50 cm tiefen, in die sterile Erde eingelassenen Grube scheint aus nur einer Steinreihe zu bestehen, die die Blöcke des Grabrandes stützen. Der ca. 3.3 x 2 m grosse Boden ist im zentralen Bereich von einer aus Steinplatten bestehenden Pflasterung bedeckt, die ca. 2.6 x 1.2 m misst (Abb. 3.55, Taf. 63).

Die Grube war fast vollständig mit einer dichten Packung aus mittleren und grossen gerundeten Steinen (*Unità Stratigrafica* 37, Taf. 65) gefüllt, die wohl die ursprüngliche Verfüllung und Abdeckung des Grabes bildete. Im nördlichen Teil des Grabes senkt sich die Schicht zur Mitte hin und wird von einer sekundären Auffüllungsschicht ohne Steine (*Unità Stratigrafica* 17) überdeckt. Dieses Merkmal, wie auch die Neigung der Steine der Verfüllung nach innen und unten sowie die Präsenz eines nur auf den zentralen Bereich begrenzten Bodens erlauben die Vermutung, dass sich im Grab ursprünglich eine Grabkammer aus vergänglichem Material befand, die den Leichnam beschützte. Die spärlichen Skelettreste und die Beigaben lagen auf dem Steinboden der Grube (Taf. 63 Nr. 2; Taf. 64).

Bestattung und Beigaben

Das Skelett befand sich in einem sehr schlechten Erhaltungszustand. Die Bestattung war von Nordwesten nach Südosten ausgerichtet, der Schädel befand sich im nordwestlichen Teil des Grabes und lag auf der linken Seite (Taf. 65, unten). Wenige Fragmente der Langknochen von Armen und Beinen konnten in einem Areal von ca. 1.4 x 0.7 m geborgen werden. Eine Rekonstruktion der Lage des Skelettes war dadurch nicht möglich. Das Sterbealter des Individuums konnte anhand der geringen Abrasion der Zähne auf 20 bis 30 Jahre geschätzt werden. Die Geschlechtszuweisung war dagegen aufgrund des schlechten Erhaltungszustandes nicht möglich, ebenso wenig eine Rekonstruktion der Körperhöhe³⁹⁵.

Die Beigaben wurden ebenfalls in einem sehr fragmentierten Erhaltungszustand aufgefunden. Zur Tracht gehören die Fragmente einer Eisenfibel mit Bronzedrahtumwicklung (S16/7, Taf. 66), wahrscheinlich einer Schlangenfibel, die am südlichen Rand der Bestattung zu Tage kamen. Weitere Eisenstifte (S16/11) – möglicherweise als Fibelfragmente zu deuten – kamen im zentralen Bereich des Grabes und vereinzelt im südlichen und nördlichen Teil der Bestattung zum Vorschein. Der Eisenring S16/8 (Taf. 66) lag ebenfalls im mittleren Bereich,



Abb. 3.54 Grab Strada 16 am Ende der Ausgrabung, Ansicht nach Norden.

auf der Höhe des vermuteten Oberkörpers des verstorbenen Individuums. Vier kleine Bronzeringe (S16/3) und zwei Fragmente von dünnen Bronzestiften (S16/4) wurden schliesslich im südlichen Teil der Bestattung gefunden, wohl im Beinbereich (Taf. 66). Die Fragmente lassen sich keinem Objekt eindeutig zuschreiben.

Im Bereich des Kopfes und wohl des Oberkörpers wurden mehrere Bernsteinfragmente geborgen (Taf. 64. 67). Die Fragmente lagen gruppiert an zwei Stellen. In der Nähe und besonders an der linken Seite des Schädels kamen eine ovale, leicht abgeflachte Applike von max. 4.5 cm Länge sowie mehrere Splitter und Fragmente zum Vorschein (S16/16). Die zweite Streuung erstreckt sich auf ca. 36 x 50 cm im Bereich des vermuteten Oberkörpers und besteht aus 10 Fragmenten und zahlreichen Splittern (S16/17). Wenige Splitter konnten ausserdem im südlichen und östlichen Teil der Bestattung geborgen werden (S16/18). Die Bernsteine sind durch sehr dunkle Farbe und sehr schlechte Oberflächenerhaltung gekennzeichnet. Ihre Analyse durch das Amber Research Laboratory des Vassar Colleges hat bezüglich der Provenienz des Rohstoffs zu widersprüchlichen Resultaten geführt³⁹⁶. Insgesamt wurden dabei verschiedene markante Unterschiede zum Bernstein

³⁹⁵ Die Befundung und die Bestimmungen wurden von A. Alterauge durchgeführt. Siehe Kapitel 6.

³⁹⁶ Die Analyse durch das FTIR-Spektrometer zeigte ein mit dem baltischen Bernstein nicht übereinstimmendes Bild. Die Gaschromatografie mit Massenspektrometrie-Kopplung belegte dagegen eine vergleichbare Zusammensetzung mit Bernsteinen aus dem Baltikum. Siehe Kapitel 7.4.



Abb. 3.55 Grab Strada 16, Ansicht am Ende der Ausgrabung.

der anderen Gräber im Areal Strada festgestellt. Es ist deshalb nicht möglich, sie mit Sicherheit als baltisch anzusprechen³⁹⁷. Zur Tragweise können nur bedingt Angaben gemacht werden. Die Funde aus dem Oberkörperbereich könnten von einer Kette oder Textilverzierung stammen (vgl. Strada 11), obschon keine Ösen oder Durchbohrungen erhalten sind. Das grosse, neben dem Kopf gefundene Fragment, das ebenfalls keine Perforation aufweist, lässt sich aufgrund seiner Form am ehesten als Applike für einen Gegenstand aus organischem Material deuten³⁹⁸.

Zu den Beigaben gehören ein grosses Messer sowie weitere Klingen aus Eisen (Taf. 63 Nr. 3; Taf. 67). Ersteres lag zur Linken des Kopfes und besitzt eine Länge von ca. 22 cm. Möglicherweise haben sich auch Reste des Futterals erhalten (S16/9). Das recht stumpfe, zugespitzte Ende weist eine runde Durchlochung auf und könnte den Rest des Griffdorns bilden, an dem der Griff befestigt war. Die Beigabe von grossen Eisenmessern ist in der Macchiabate-Nekropole sowohl in Männer- als auch in Frauengräbern belegt³⁹⁹. Unmittelbar neben

dem Messer wurde eine Vielzahl von Blechfragmenten aus Eisen geborgen, darunter die Spitze einer Klinge (S16/10). Das Objekt hatte eine Länge von mindestens 20 cm und die Form liesse sich zu einer Lanzenspitze rekonstruieren. Das Fehlen von Fragmenten mit klarem rautenförmigem Querschnitt oder mit erkennbarer Mittelrippe verhindert allerdings eine sichere Ansprache.

Zur rechten Seite des Kopfes lagen mehrere Fragmente einer recht dicken Eisenklinge, deren Form jedoch nicht klar zu rekonstruieren ist (S16/12, Taf. 67). Die Teile befanden sich in einem begrenzten Bereich von max. 25 cm Länge. Ob es sich um ein Messer oder ein anderes Werkzeug – etwa einen Meissel wie in anderen Männergräbern der Macchiabate-Nekropole⁴⁰⁰ – handelt, kann nicht mit Sicherheit bestimmt werden. Weitere grössere Eisenblechfragmente kamen vereinzelt nördlich des Kopfes und verstreut im Oberkörperbereich (S16/13) zum Vorschein (Taf. 67, vgl. Taf. 64). Verschiedene Fragmente von dünnem Eisenblech lagen ausserdem verstreut in der Nordhälfte der Bestattung (S16/14). Wozu diese verschiedenen Fragmente (S16/13, 14) ursprünglich gehörten, muss offenbleiben.

Wohl zur rechten Seite des Kopfes des Verstorbenen lag ein mit Bronzeblechen verkleideter Gegenstand (S16/5, Taf. 66, vgl. Taf. 64). Zahlreiche Fragmente von spiralenartig zusammengerolltem, dünnem Bronzeblech konnten um den Kopf und vereinzelt westlich und südlich der Bestattung geborgen werden. Die Bleche weisen entlang der Ränder eine Reihe von sehr feinen Löchern auf, die zu ihrer Befestigung auf einer Unterlage gedient haben. Die einzelnen Bänder weisen eine Höhe von jeweils 1.6 cm auf und umschlossen einen Schaft

397 Die Zusammensetzung des Materials entspricht theoretisch auch jener von Pech oder Harz aus Kieferngewächsen. Interessant ist der Hinweis, dass dunkelrot-schwarzer Bernstein aus Grab 206 von Torre Galli (Drapia) als eine besondere Art von Bernstein erkannt wurde, die auf Sizilien in den Flüssen Salso und Simeto (Provinzen Enna und Catania) gesammelt wird: Pacciarelli 1999a, 219.

398 Vgl. Cygielman – Pagnini 2006, 122 Nr. 348–351; Pareti 1947, 180–182 Nr. 2 Taf. 5; Cristofani – Martelli 1983, 262 Nr. 31.

399 Kriegergräber: Zancani Montuoro 1974–1976, 71 f. Nr. 4 Taf. 30 b, Grab Temparella 87, Messer mit Griffdorn, *in situ* waren noch Reste des Holzgriffes erkennbar, L 24.4 cm, L Klinge 20 cm; Zancani Montuoro 1980–1982, 113 Nr. 1; 116 Abb. 42, 1, Grab Temparella 41, Messer mit Griffdorn, ursprünglich Holzgriff mit Bronzeniete, L 18.5 cm, L Klinge 14.3 cm. Männer- und Doppelbestattungen: Guggisberg u. a. 2018a, 77–81, Grab Est 10 enthielt ein Messer von 28.5 cm Länge; Zancani Montuoro 1977–1979, 29 Nr. 6, Grab Cerchio Reale 1, Messer von 30 cm Länge, L Klinge 20 cm, bei Lupino u. a. 2012 als Lanzenspitze angesprochen; Zancani Montuoro 1983/1984, 30 Nr. 12. 13 Abb. 6, Doppelgrab Temparella 61/62, zwei Messer mit Griffdorn von 14.5 und 15–16 cm Länge, eines lag beim Schädel des Mannes und das zweite gehörte zur Frauenbestat-

tung. Frauengräber: z. B. Zancani Montuoro 1980–1982, 37 Nr. 4 Taf. 15, Grab Temparella 8, das Messer von ca. 30 cm Länge lag rechts des Kopfes der Verstorbenen.

400 Eiserne Meissel (ital. *scalpello*) sind aus folgenden Gräbern bekannt: Temparella 41, Temparella 61/62, Vigneto 5. Vgl. auch die eisernen Gertel (ital. *roncola*) aus den Gräbern Temparella 41, Vigneto 5 und Lettere F.

von max. 1.8 cm Durchmesser, von dem sich leider keine Reste erhalten haben⁴⁰¹. Mit Bronzeblechen verkleidete Schäfte aus organischem Material befanden sich auch in den Kriegergräbern Strada 5 und Strada 17. Der Lanzenschaft aus Strada 5 (S5/10) bildet eine gute Parallele für die Form der Bleche aus Strada 16 (S16/10). Allerdings wurden die einzelnen Bänder in diesem Fall durch feine Bronzenieten am Schaft fixiert. Während die Verkleidungsteile im Grab Strada 5 entlang der rechten Seite des Verstorbenen lagen und damit der Position der Lanze entsprachen, liess sich im Falle von Strada 16 keine klare Form oder Ausrichtung ausmachen. Die grösseren Bleche lagen in der Nähe der Klinge S16/12, eine Zugehörigkeit zu diesem Gegenstand – ein Werkzeug? – kann daher postuliert werden. Dass nicht nur Lanzen verkleidete Schäfte haben konnten, legt ein Befund aus Grab Strada 17 nahe, wo feine Bronzebänder vermutlich den Schaft einer Schaftlochaxt ummantelten (S17/10 und S17/18). Bei Strada 16 überrascht jedoch die recht grosse Verteilung der Blechfragmente im Grab⁴⁰², die möglicherweise auf den Einsturz der Grabkammer und die dadurch entstandene starke Verlagerung der Objekte zurückzuführen ist⁴⁰³.

Im südlichen Bereich der Bestattung wurden schliesslich zahlreiche, zum Teil sehr kleine Scherben von Fein- und Grobkeramik geborgen (Taf. 64). Diese liessen sich zu zwei feinkeramischen Gefässen rekonstruieren. Die Tasse S16/1 ist durch die eher enge Mündung, den leicht gewölbten Hals und den sehr dicken Boden gekennzeichnet (Taf. 66). Spuren von zwei schwarz bemalten horizontalen Bändern haben sich am Übergang von Schulter zu Hals sowie um den Henkelansatz erhalten und ermöglichen eine Zuordnung in die Klasse der lokalen *matt-painted* Keramik. Eine Zuschreibung zu einem bestimmten Stil ist jedoch aufgrund der spärlichen Verzierungsrreste nicht möglich. Die Form ist angesichts des angedeuteten Wulstes am Hals mit den Tassen aus den Gräbern De Leo 1 und Strada 15 zu vergleichen (DL1/2, S15/2). Auffällig ist jedoch die nicht regelmässige Form des Schulter- und Halsbereiches: das Gefäss scheint verformt zu sein, vielleicht handelt es sich um eine Art Fehlbrand. Aussergewöhnlich ist ausserdem die graue, ins blaue neigende Tonfarbe, die sonst unter den Keramikgefässen des Areals Strada und allgemein der Macchiabate-Nekropole keine Vergleiche zu haben scheint. Sie ist viel-

leicht ebenfalls einem Fehler beim Brand zuzuschreiben oder möglicherweise durch einen sekundären Brand verursacht. Die Fragmente der Tasse lagen weit verstreut im südöstlichen Bereich der Bestattung, in einer Zone von 70 x 38 cm und über ca. 10 cm Höhe. Der Boden der Tasse befand sich im nördlichen Teil der Streuung.

Das zweite Gefäss ist ein auf der Töpferscheibe gefertigter Skyphos (S16/2, Taf. 66) mit einer leicht nach innen verlaufenden Lippe, einer gerundeten Schulter, einem tronkokonischen Unterkörper und zwei horizontal auf der Schulter angesetzten Stabhenkeln. Die schlecht erhaltene Bemalung besteht aus mindestens drei horizontalen Bändern auf der Lippe und einem horizontalen Band auf den Henkeln. Der Unterkörper weist Spuren von Bemalung auf, die sich wahrscheinlich zu horizontalen Bändern rekonstruieren lassen. Die Innenseite ist vollständig gefirnisst bis auf einen ausgesparten Streifen unterhalb der Mündung. Auch die Fragmente des Skyphos lagen im südöstlichen Teil der Bestattung, in einem ausgedehnten Areal von 90 x 100 cm und über 20 cm Höhe verteilt.

Zahlreiche Fein- und Grobkeramikfragmente, die nicht zu den beiden rekonstruierten Gefässen gehören, kamen ausserdem im südlichen Bereich der Grablege und in der Verfüllung zum Vorschein. Wie in den Gräbern Strada 13, 14 und 15 bestand auch in diesem Fall ein Teil aus stark verwaschenen Fein- und Grobkeramikscherven, die sich in den oberflächlichen Schichten des südlichen Teiles der Verfüllung befanden (S16/19, 22). Diese Fragmente lagen klar höher und weiter südlich als die Bestattung und gehören klar zu den sekundären Schichten der Verfüllung, entweder als Teil eines sekundär aufgeschichteten Sediments oder durch Erosionsvorgänge eingeschwemmt. Über die Hälfte der Scherben lag jedoch im südlichen Teil der Bestattungsschicht in einem Bereich von ca. 100 x 90 x 20 cm zusammen mit der Tasse und dem Skyphos (S16/1, 2). Dabei handelt es sich um verwaschene Fragmente und Kerne aus Grobkeramik; sie unterscheiden sich also nicht von den Scherben aus den oberflächlichen Schichten. Unter den über 100 Scherben konnten zehn Randscherben aus rötlich gelber Grobkeramik identifiziert werden, die zum gleichen grossformatigen Gefäss mit dickem, gerundetem und ausladendem Rand gehören (S16/20, Taf. 67). Anders als beim Befund in den Gräbern Strada 14 und 15 scheinen sich die Scherben dieses Gefässes in ihrem Erosionsgrad und Erhaltungszustand nicht wesentlich von den zahlreichen anderen Fragmenten zu unterscheiden⁴⁰⁴. Die Randfragmente sind daher nicht als (sekundäre) Beigabe oder als Rest eines fune-rären Ritus zu deuten, sondern kamen wohl zusammen mit den restlichen verwaschenen Scherben ins Grab. Wie ihre aussergewöhnliche Dichte im südlichen Teil der Verfüllung und der Bestattungsschicht sowie ihr völliges Fehlen im nördlichen Bereich der Grablege zu deuten sind, ist unklar.

401 Die grössten Stücke des Objektes wurden auf der Grabung in einem Gipsblock geborgen und geröntgt. Die Abfolge der Bleche lässt sich gut anhand des Röntgenbildes erkennen. Für die Röntgen- und CT-Aufnahmen sind wir F. Odoguardi vom Krankenhaus G. Chidichimo in Trebisacce sehr dankbar.

402 Obwohl sich die meisten Fragmente auf der gleichen Höhe wie das Skelett und die Eisenklingen befanden, wurden einzelne Teile ca. 25 cm höher gefunden. Einige Fragmente wurden ausserdem übereinander aufgeschichtet gefunden, da der Absturz der Grabkammer den Schaft wohl zerdrückt hatte.

403 Zu erwähnen ist in diesem Zusammenhang auch eine Reihe von unbestimmten Bronze- (S16/6) und Eisenfragmenten (S16/15), die an verschiedenen Stellen in der Bestattungsschicht geborgen wurden, sich jedoch aufgrund ihrer geringen Masse keinem Objekt mehr zuordnen lassen.

404 In den Gräbern Strada 14 und 15 konnte beobachtet werden, dass ein Teil der Fragmente aus den unteren Schichten der Verfüllung nicht verwaschen war und sich zu einem bis mehreren Gefässindividuen rekonstruieren liess.

Merkmale der Bestattung und Datierung

Als einzige Bestattung im Areal Strada konnte bei Strada 16 die Geschlechtszuweisung weder anthropologisch noch archäologisch bestimmt werden. Obschon der übliche Trachtschmuck – etwa Zierknöpfe, bronzene Kettenglieder, Schleifenringe, Arm- und Halsschmuck – fehlt, könnte die Präsenz von Bernsteinen für ein weibliches Geschlecht des bestatteten Individuums sprechen. Anders als in anderen Kulturkreisen des vorrömischen Italiens scheint sich nämlich im oinotrischen Bereich die Beigabe von Bernsteinen im Wesentlichen auf Frauengräber zu beschränken⁴⁰⁵. Eine Ausnahme bildet das Grab De Leo 1, in dem zwei Bernsteinanhänger zu Tage kamen (DL1/14. 15). Die Bestattung enthielt zwar keine Waffen, jedoch eine Schaftlochaxt, und konnte anhand von anthropologischen Merkmalen als jene eines eher männlichen, matura Individuums bestimmt werden. Eine mögliche Parallele bildet das Grab 4 von Roggiano Gravina. Es enthielt unter anderem eine Dechsel und ein Messer, aber auch eine Bronzefibel mit Knochenplatte (Typ Lo Schiavo 426) sowie Bernsteinperlen: die Bestattung wurde von den Ausgräbern als diejenige eines jungen männlichen Individuums bestimmt⁴⁰⁶. Obwohl das Messer sowohl in Männer- als auch in Frauengräbern belegt und die Rekonstruktion der Fragmente S16/10 zu einer Lanzenspitze ungewiss ist, spricht die Präsenz von mehreren Klingen (Werkzeuge?) eher für eine Männerbestattung⁴⁰⁷. Da ferner die grosse Bernsteinapplike als Einlage für einen Gegenstand aus organischem Material und nicht als Element des Trachtschmucks zu deuten sein dürfte (vgl. Kap. 3.2.12), besteht zumindest in diesem Fall kein zwingender Widerspruch zur männlichen Ansprache der Bestattung.

Grab Strada 16 ist durch die extreme Fragmentierung der Funde gekennzeichnet, sowohl der Metall- als auch der Keramikobjekte. Insbesondere die Streuung der Keramikscherben über ein ausgedehntes Areal wirft die Frage nach einer möglichen Störung der Bestattung auf. Im Vergleich zu den Gefässbeigaben der anderen Gräber des Areals Strada waren die Tongefässe aus Grab Strada 16 eher kleinformatig und von feiner Qualität. Es ist daher gut möglich, dass der Einbruch der Decke der Grabkammer zur fast vollständigen Zerstörung der beiden Gefässe und zu einer weiten Streuung der Fragmente geführt hat. Aussergewöhnlich ist ferner die Präsenz einer grossen Anzahl von verwaschenen Scherben – nicht zu den Beigaben gehörig – im südlichen Bereich der Bestattung. Da sie mit den Scherben aus den oberen Bereichen der Grabgrube (S16/19 und S16/22) von der Machart her sehr verwandt sind, ist nicht auszuschliessen, dass sie beim Einbruch der De-

cke zusammen mit anderem Sediment in die Grabkammer eingedrungen sind. Die Stratigrafie der Verfüllung liess keine Spuren eines sekundären Eingriffs erkennen, ein solcher kann jedoch – zumindest im Südteil des Grabes – auch nicht ganz ausgeschlossen werden.

Die Datierung des Grabes Strada 16 beruht auf der chronologischen Einordnung der beiden Gefässe S16/1. 2. Die Tasse S16/1 steht den Exemplaren DL/1 und S15/2 nahe und gehört somit zu einer Gruppe, die noch stark ans Formenspektrum der Phase IFe2A gebunden ist. Für eine deutlich jüngere Datierung spricht jedoch der Skyphos S16/2. Form und Verzierung sind von Skyphoi der Thapsos-Klasse abgeleitet, die als korinthische Produktion der spätgeometrischen und frühprotokorinthischen Periode gelten. Sollte die mutmassliche Dekoration der unteren Gefässhälfte mit horizontalen Streifen zutreffen, wäre dies ein Hinweis auf eine Abhängigkeit von Skyphoi der spätgeometrischen korinthischen Produktion. Das Gefäss würde damit einen Anhaltspunkt für die Datierung des Grabes an das Ende der Periode IFe2B2 liefern bzw. in die fortgeschrittene zweite Hälfte des 8. Jahrhunderts v. Chr. Es könnte als Import aus Kampanien in die Sibaritide gelangt sein⁴⁰⁸. Eine lokale Produktion ist allerdings aufgrund der Funde vom Timpone Motta ebenfalls nicht ganz auszuschliessen⁴⁰⁹. Grab Strada 16 gehört somit zu den jüngsten eisenzeitlichen Komplexen der ganzen Nekropole.

Camilla Colombi

3.1.17 Grab Strada 17

Grabarchitektur und Verfüllung

Am nördlichen Ende der Strada-Gruppe gelegen unterscheidet sich das Grab Strada 17 von den meisten anderen Bestattungen durch seine Südwest-Nordost-Orientierung (Abb. 3.56, Taf. 4). Die langovale Struktur misst ca. 4.7 m in der Länge und 2.4–3 m in der Breite. Somit zählt sie zu den grössten Grabanlagen des Areals Strada (Taf. 68). Der Grabrand wird durch eine regelmässige Reihe von grossen gerundeten Steinen gebildet, im östlichen Bereich allerdings sind diese ins Grabinnere gerutscht. Die Grabgrube ist ca. 45 cm tief und – bis auf den östlichen Bereich – mit Steinen ausgekleidet. Der ca. 3 x 1.8 m grosse Grabboden ist im mittleren Bereich von einer Schicht aus flachen Kieseln gepflastert. Die Pflasterung nimmt eine Zone von ca. 2.4 x 1 m ein und war am südlichen Rand

405 Mit der Ausnahme von Grab De Leo 1 sind in der Macchiabate-Nekropole Bernsteine in Zusammenhang mit Männern nur im Falle von Doppelbestattungen dokumentiert: Zancani Montuoro 1983/1984, 30 f. Nr. 19–22 Abb. 6, Doppelgrab Temparella 61/62. In der Verfüllung des Kriegergrabes Est 6 wurde eine Bernsteinperle gefunden: Guggisberg u. a. 2017. Vgl. auch Doppelbestattung Roggiano Gravina Grab 5: Carrara – Guzzo 1981, 457–459 Abb. 14. 15.

406 Carrara – Guzzo 1981, 456–458 Abb. 13; 479 f.

407 Vgl. Luppino u. a. 2012 sowie Kapitel 4.1.

408 Zwei Skyphoi aus Capua und Pithekoussai stehen unserem Exemplar besonders nahe: Melandri 2011, 306–308. 311 f. Typ 58BC2; Buchner – Ridgway 1993, 702 Nr. Sp 4/3 Taf. 245.

409 Für eine vollständige Besprechung siehe Kapitel 3.2.1 »Skyphos«. Für die Thapsos-Skyphoi: Kourou 1994, 38–42; Dehl 1984, 44–48. 68–72. Für Fragmente der Thapsos-Klasse vom Timpone Motta: Jacobsen – Handberg 2010, 263–265; Jacobsen 2007, 33–35. 73 f. Nr. 58–61; für sog. oinotrisch-euböische Skyphoi: Jacobsen 2007, 43 f. Nr. 30. 31; 58–61. Für weitere korinthische Importe und Nachahmungen aus den Gräbern der Macchiabate-Nekropole: Quondam 2009.

durch eine Reihe von aufrechtstehenden Steinen begrenzt, die wohl entlang der Kiste aus vergänglichem Material standen, welche die Bestattung abdeckte (Abb. 3.57). Diese Annahme wird auch durch die Stratigrafie der Grabverfüllung bekräftigt (Taf. 69). Die Verfüllung bestand aus zwei Schichten: eine kompakte Schicht mit vielen grossen gerundeten Steinen erstreckte sich entlang der Grabwände im ungepflasterten Bereich der Struktur (*Unità Stratigrafica* 18). Eine zweite Schicht aus kleineren Steinen (*Unità Stratigrafica* 19) bedeckte das Areal der Bestattung und des gepflasterten Bodens. Die Vermutung liegt nahe, dass die zweite Verfüllungsschicht nach dem Zerfall der hölzernen Grabkammer auf die Bestattung gestürzt ist, wie dies auch die Neigung der Steine nach innen und unten nahelegt.

Bestattung und Beigaben

Das Skelett und die Grabbeigaben lagen direkt auf dem Plattenboden im Zentrum der Struktur (Abb. 3.58; 3.59; Taf. 68 Nr. 3. 5). Die Erhaltung der Knochen war vergleichsweise gut, obwohl die Oberfläche stark erodiert war. Der Leichnam lag mit angewinkelten Beinen auf der rechten Seite entlang der Mittelachse des Grabes. Der Schädel lag im Südwesten auf der



Abb. 3.56 Gräber Strada 17 und Strada 18 während der Ausgrabung, Ansicht nach Norden.



Abb. 3.57 Grab Strada 17 am Ende der Ausgrabung.

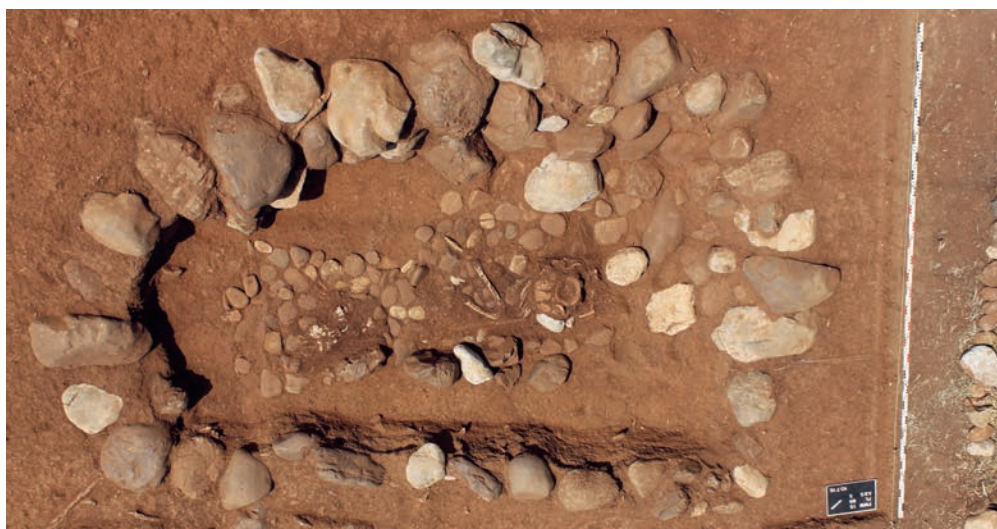


Abb. 3.58 Grab Strada 17, Bestattung *in situ*.



Abb. 3.59 Grab Strada 17, Detailansicht der Bestattung *in situ*.

rechten Seite und war stark fragmentiert. Vom Oberkörper sind wenige Fragmente erhalten. Demnach wurde der Leichnam entweder in Rückenlage mit angewinkelten Beinen oder in Hockerstellung auf der rechten Seite liegend im Grab deponiert⁴¹⁰. Gut erhalten sind die Knochen der stark angewinkelten Beine und der Füße. Mit Hilfe der Knochenhistologie und von TCA-Analysen konnte das Sterbealter als matur–senil bestimmt werden⁴¹¹. Angaben für eine anthropologische Geschlechtszuweisung fehlen dagegen. Eine auffällige rundliche Öffnung wurde im linken Scheitelbein beobachtet. Sie entstand wahrscheinlich durch eine Verletzung. Es konnte jedoch nicht bestimmt werden, ob die Person der Verletzung erlag oder sie (noch für einige Zeit) überlebte⁴¹².

Die Ausstattung besteht aus Elementen der Tracht, aus mehreren Waffen und Utensilien sowie aus einem Set aus vier keramischen und bronzenen Gefässen. Namentlich die Waffen sprechen für ein männliches Geschlecht der Bestattung.

Zur Tracht gehören zwei grossformatige Schlangenfibeln aus Eisen mit Bronzedrahtumwicklung (Taf. 71). Die eine (S17/12) lag direkt unterhalb des Schädels und kann aufgrund ihrer starken Fragmentierung keinem Typ mehr zugeschrieben werden. Die andere (S17/11) lag zur linken Seite des Kopfes, ca. 15 cm von diesem entfernt. Sie befand sich somit nicht in Trachtlage, sondern war neben dem Kopf deponiert, vielleicht zusammen mit einem Textil, wie dies bereits für den ähnlichen Befund im Grab Strada 5 postuliert wurde. Die Fibel weist eine besondere Form auf: es handelt sich um eine Schlangenfibel *a gomito* mit doppelter Feder und doppeltem Nadelansatz,

die einem v. a. in Kampanien und in Etrurien verbreiteten Typ angehört. Weitere fragmentarische Eisenstifte wurden zur rechten Seite des Schädels (S17/13) und im Oberkörperbereich gefunden (S17/14). Sie könnten ebenfalls zu Fibeln oder zu anderen, nicht mehr rekonstruierbaren Objekten gehört haben.

Unter dem Schädel lag ein massiver Bronzering von 7.3 cm Durchmesser und ca. 100 g Gewicht (S17/9, Abb. 3.60, Taf. 71). Massive Bronzeringe dieses Typs werden in der Regel nicht als Schmuck (Armringe), sondern als Aufhängevorrichtungen angesprochen und kommen häufig in Männergräbern vor. Vergleichbare grosse und massive Ringe mit einem Durchmesser von 6 bis 9 cm sind in der Regel einzeln in Männergräbern mit und ohne Waffen dokumentiert, gelegentlich mit kleinen Aufhängerungen kombiniert⁴¹³. Da ihre Fundlage unterschiedlich ist und sie sowohl in Kombination mit als auch ohne Waffen (Lanzen, Schwerter) dokumentiert sind, ist eine verbindliche Deutung schwierig⁴¹⁴. Vermutlich dienten diese Ringe als Riemenhalter für die Aufhängung von Waffen und Ähnlichem. Sie könnten an Gürteln oder anderen Trägern aus organischem Material, z. B. aus Leder, befestigt gewesen sein. Aufgrund seiner Fundlage unter dem Schädel könnte der Ring aus Strada 17 ursprünglich im Nacken bzw. am Rücken getragen worden sein.

410 Befundung und Bestimmung der anthropologischen Reste: C. Alder. Siehe Kapitel 6.

411 Eine erste Betrachtung des Zahnabrasionsalters hatte zu einer Bestimmung des Sterbealters auf 20 bis 25 Jahre geführt. Die späteren Analysen haben jedoch ein anderes Bild ergeben, insbesondere sprechen die TCA-Analysen für ein Alter von $59 \pm 5,1$ Jahren. Da Knochen- und Zahnhistologie zu ähnlichen Resultaten geführt haben, wird die Bestimmung als matur–senil für plausibler gehalten.

412 Siehe Kapitel 6.

413 De Leo 1 (DL1/9), Est 10, Est 11, Temparella 20, Temparella 41, Temparella 79, Vigneto 1, Cerchio Reale 1. Zwei Belege stammen aus Frauengräbern: im Grab Temparella 57 wurde der Ring von der Verstorbenen am Unterarm getragen; im Frauengrab Est 9 befand sich am unteren Ende der von der Verstorbenen getragenen Armspirale ein massiver Ring von 9.1 cm Aussendurchmesser. Für die Vergleiche siehe Kapitel 3.2.6 »Massive Ringe«.

414 So auch Cerzoso – Vanzetti 2014, 245 Nr. 928, Ring Dm 9 cm, Gewicht 153 g aus Torre Mordillo (Spezzano Albanese) Grab 17; vgl. Massive Ringe aus Pontecagnano Typ 35B1, jedoch in der Regel mit geringerem Durchmesser, z. B. De Natale 1992, 78–81 Nr. 19 Abb. 115, ungewöhnlich grosser Ring von 6.4 cm Durchmesser aus einer Brandbestattung ohne Waffen, Grab 3230.

In Zusammenhang mit der Ausrüstung sind wahrscheinlich auch die beiden Paare von Ringanhängern (S17/5, 6) und Drahtperlen (S17/7, 8) zu bringen, die im Bereich der Beine zum Vorschein kamen (Abb. 3.61, Taf. 68 Nr. 5; Taf. 71). Solche Trachtgegenstände befinden sich häufig paarweise in Kriegergräbern, wie in Strada 5 (S5/4–8) und in Temparella 87⁴¹⁵. In weiteren Fällen kamen nur Paare von Ringanhängern oder von Drahtspiralen zum Vorschein⁴¹⁶. Sie könnten ebenfalls an einem Riemen oder einer Aufhängevorrichtung befestigt gewesen sein. Im Grab Strada 17 lagen die Bronzen im Beinbereich zusammen mit den Verkleidungselementen eines hölzernen Schaftes (S17/10, Taf. 71). Eine Zugehörigkeit zu einem Aufhängesystem für den Schaft – oder zu einer Verzierung desselben – ist demnach denkbar⁴¹⁷.

Zur rechten Seite des Kopfes lag eine 43 cm lange eiserne Lanzen Spitze mit langgezogenem lanzettförmigem Blatt und ausgeprägter Mittelrippe (S17/17, Taf. 68 Nr. 3; Taf. 73). Die runde Tülle wird von einem bronzenen Halterungselement ummantelt, das halbkreisförmige Einlassungen für eine Befestigung am Holzschafte aufweist. Obwohl eiserne Lanzen spitzen zur Standardausrüstung der Kriegergräber der Macchiabate-Nekropole gehören, sind Exemplare von über 40 cm selten⁴¹⁸. Die Form findet Parallelen sowohl in Francavilla Marittima als auch in den benachbarten Nekropolen⁴¹⁹.

Entlang der rechten Flanke des Verstorbenen, auf der Höhe des Beckens und der Beine, war ein fast 60 cm langes Schwert aus Eisen deponiert (S17/15, Abb. 3.62, Taf. 63 Nr. 4; Taf. 72). Das Schwert besitzt eine 46 cm lange Klinge mit rautenförmigem Querschnitt und geraden Kanten, die sich zur Spitze hin regelmässig verjüngen. Der schlecht erhaltene Griff ist vermutlich als Griffdorn zu rekonstruieren und besitzt eine Länge von ca. 12 cm und eine Breite von ca. 1.6 cm. Keine Reste des Knaufes aus vergänglichem Material waren erhalten. Parallel zum Schwertgriff waren weitere grössere Eisenbleche zu erken-



Abb. 3.60 Grab Strada 17, Detailansicht des Schädels mit der eisernen Lanzen Spitze S17/17 und dem massiven Bronzering S17/9.



Abb. 3.61 Grab Strada 17, Detailansicht der Beinknochen mit den Ringanhängern S17/5–6, den Drahtperlen S17/7–8 und den Fragmenten der Schaftverkleidung S17/10.



Abb. 3.62 Grab Strada 17, Detailansicht des Schwertes S17/15 und der Eisenfragmente S17/16.

nen (S17/16, Taf. 72)⁴²⁰. Dabei handelt es sich um ein ca. 9.2 x 3.6 cm grosses Teilstück, das auf der Achse des Schwertgriffes lag, sowie um einen ca. 14 x 3.6 cm grossen Bereich mit meh-

415 Zancani Montuoro 1974–1976, 69 Nr. 1, 2; 73 Nr. 12, 13 Taf. 29 a. Vgl. auch Grab Strada 5, Kapitel 3.1.5.

416 Cerchio Reale Deposito Centrale: Zancani Montuoro 1974–1976, 102 Nr. 3–6 Taf. 41; Vigneto 7: Zancani Montuoro 1977–1979, 86 Nr. 7; Temparella 20: Zancani Montuoro 1980–1982, 63 Nr. 6, 7, allerdings ohne Waffen.

417 Ketten, Ringe und Spiralen als Teile der Verzierung oder des Aufhängesystems von Schwertern sind z. B. in Incononata (San Teodoro, Pisticci) und in Guardia Perticara dokumentiert: Chiartano 1994, 130 f. Taf. 18, 73, Grab 321; Bianco 2011, 38.

418 Zancani Montuoro 1983/1984, 75–78 Nr. 13, Grab Temparella 79, L 42 cm; Zancani Montuoro 1977–1979, 83–88 Nr. 9, Grab Vigneto 7, L 46 cm; 54 f. Nr. 5, Grab Uliveto 5, L 52 cm. Vgl. Auch die neu gefundene lange Lanzen spitze aus Grab Est 10, Guggisberg u. a. 2018a, 77–81.

419 Carrara – Guzzo 1981, 447 Abb. 4, 11; 449 Nr. 11, Roggiano Gravina Grab 1, L 32 cm, im selben Grab eiserne Schlangenfibeln mit bandförmigem Bügel, Datierung IFe2B2; Cerzoso – Vanzetti 2014, 138 Nr. 177, Torre Mordillo (Spezzano Albanese) Grab 1, L 31.2 cm, Datierung IFe2A; 188 f. Nr. 483, Torre Mordillo (Spezzano Albanese) Grab 126, Lanzen spitze mit Halterungselement aus Eisen, L 32.5 cm, Datierung IFe2B.

420 Die Waffe wurde aufgrund des schlechten Erhaltungszustandes in einem Gipsblock geborgen und soll nicht weiter freigelegt werden. Die Dokumentation wurde anhand der Röntgen- und CT-Bilder erstellt. Für die Röntgen- und CT-Aufnahmen sind wir F. Odoguardi vom Krankenhaus G. Chidichimo in Trebisacce sehr dankbar.

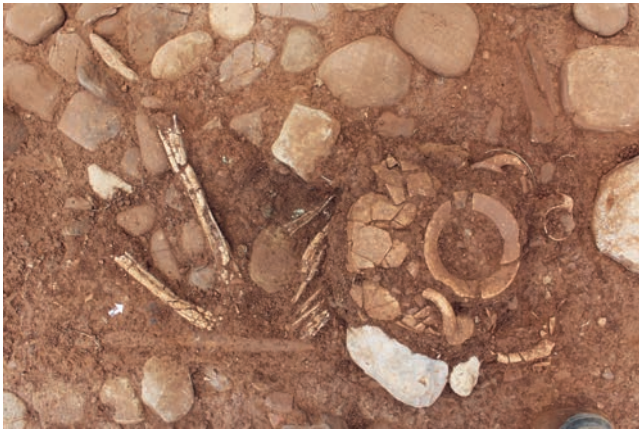


Abb. 3.63 Grab Strada 17, Bereich der Beine mit Schwert S17/15, bronzenen Anhängern S17/5–8 und Schaftverkleidung S17/9; Gefäßbeigaben S17/1–4 und eiserne Geräte S17/18–19.

renen Eisenblechen, die parallel zum Griff und zur Schulter des Schwertes lagen. Zwischen ihnen und der Waffe befand sich ein 9.6 cm langer, teilweise durchlochtes Stift. Nicht eindeutig zu klären ist, ob sie als verlagerte Fragmente des Griffes oder der Klinge des Schwertes zu deuten sind oder möglicherweise zur Aufhängevorrichtung gehören – oder ob sie einem anderen Gegenstand zuzurechnen sind. Die Beigabe von Schwertern und Dolchen ist in Francavilla Marittima äusserst selten und bisher nur im reichen Grab Temparella 87, wahrscheinlich im sog. Deposito Centrale des Cerchio Reale sowie im neu erforschten Areal Est belegt⁴²¹.

Auf der linken Seite des Oberkörpers des Verstorbenen kamen, über eine Distanz von ca. 20 cm, mehrere eiserne Klingensfragmente zum Vorschein (S17/20, Taf. 73). Aufgrund der Dicke und Form könnten sie von einer Messerklinge stammen. Zwei weitere Ansammlungen von Blechfragmenten wurden ebenfalls im Bereich des Oberkörpers geborgen (S17/21, 22, Taf. 73), ca. 15 cm voneinander entfernt. Sie könnten zu zwei weiteren, kleineren Klingen gehören. Schliesslich lagen einige unbestimmte Eisenfragmente in der Schicht der Bestattung, die sich keinem Objekt zuschreiben lassen (S17/23).

Im Norden der Grabkammer, in der Nähe der Füsse des Verstorbenen und der Gefässbeigaben, befanden sich zwei eiserne Werkzeuge (Taf. 63 Nr. 7; Taf. 73): eine Schaftlochaxt (S17/18) und eine Dechsel (S17/19). Die massive, über 1 kg schwere Schaftlochaxt ist 20 cm lang und bis zu 7.8 cm breit. Die Dechsel (ital. *ascia a lama piatta*) ist 15.3 cm lang und hat eine flache, rechteckige Klinge. Die Klingen der beiden Geräte lagen direkt aufeinander und die Holzgriffe dürften ursprüng-

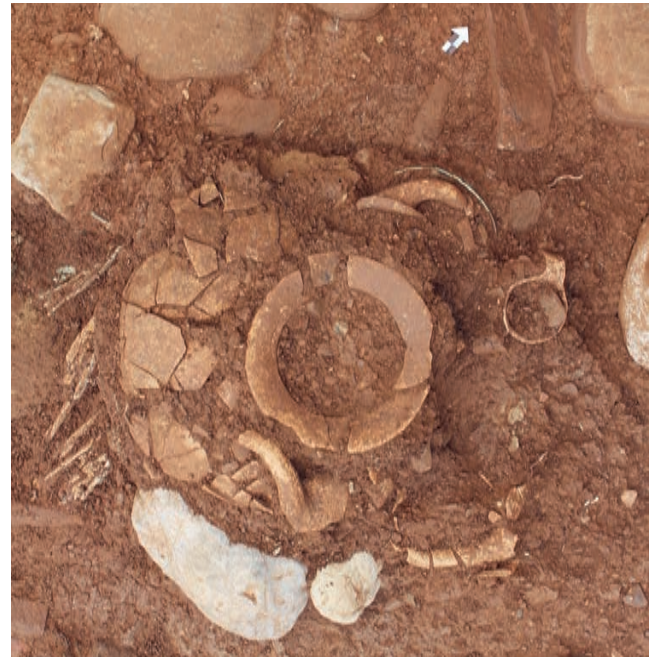


Abb. 3.64 Grab Strada 17, Detailansicht der Gefässbeigaben und Geräte *in situ*: Olla S17/1, Rand der Kanne S17/3, Tasse S17/3, Schaftlochaxt und Dechsel S17/18–19.

lich in der Längsachse des Grabes nach Südwesten gerichtet gewesen sein, wo sie direkt neben den Gefässbeigaben und den Beinen des Verstorbenen zu liegen kamen. In diesem Areal kam eine Reihe von gewölbten Bronzebandfragmenten zum Vorschein, die über ca. 60 cm Länge bis zu den Oberschenkelknochen des Verstorbenen verstreut waren (S17/10, Abb. 3.63, Taf. 71). In einigen dieser Bandfragmente konnten Reste eines hölzernen Stabes beobachtet werden. Mit einem Durchmesser von ca. 2.2 cm würde der verkleidete Schaft zur Lanzenspitze S17/17 passen, jedoch spricht die Fundlage für eine Zugehörigkeit zu einem der beiden Werkzeuge, am ehesten zur Schaftlochaxt. Vergleichbare verkleidete Schäfte kommen in der Macchiabate-Nekropole in Zusammenhang mit Lanzen (S5/10), aber möglicherweise auch mit Werkzeugen (S16/5) vor. Verkleidete und dekorierte Axt- oder Beilschäfte sind durchaus belegt und in Zusammenhang mit dem besonderen Wert des Werkzeuges als Insigne zu bringen⁴²². Zur Verzierung oder Aufhängung des Griffes könnten auch die bereits besprochenen Ringanhänger und Drahtperlen (S17/5–8) gehört haben. Die Kombination von Schaftlochaxt und Dechsel ist in der Macchiabate-Nekropole mehrfach belegt⁴²³ und macht deutlich, dass die Geräte unterschiedliche Funktionen besas-

421 Kurzschwerte: Zancani Montuoro 1974–1976, 67–81 Abb. 16, bes. 69–72 Abb. 17 Taf. 28 a; 30 c; 31, Temparella 87, Kurzsword oder Dolch L 43 cm, Klinge ca. 30 cm, Griff mit Elfenbein verkleidet; Zancani Montuoro 1974–1976, 99–106 Abb. 21, bes. 99–102, Deposito Centrale Cerchio Reale, L Klinge max. 30 cm, Griff aus Holz mit Bronzehalterung. Langschwerte im Areal Est: Guggisberg u. a. 2016, 59–61, Est 1, Griffzungenschwert von ca. 70 cm Länge; Guggisberg u. a. 2017, 85, Est 6, Langsward, wahrscheinlich Griffdornsword mit Klinge von über 60 cm; ein weiteres Schwert könnte sich auch im Grab Est 11 befunden haben: Guggisberg u. a. 2018a, 81–83.

422 Vgl. die Bronzebeile mit verkleideten und dekorierten Schäften aus Casale Marittimo: Esposito 1999, 53 f. Abb. 46, Grab A; 50–61 Abb. 51, 53, Gräber H1/H2. Vgl. ferner De Natale 1992, 61 f. Nr. 11–13 Abb. 104, Pontecagnano Grab 3210, Bronzespiralen als Verkleidung eines Holzschafes.

423 Die Gräber Temparella 41, Temparella 70 und Temparella 79 enthielten eine Schaftlochaxt und eine Dechsel (*ascia a lama piatta*). Die Dechsel ist auch im Grab Vigneto 7 zusammen mit zwei Ahlen belegt; Schaftlochächte kommen in den Gräbern Uliveto 11/12, De Leo 1 und Temparella 87 vor, in letzterem kombiniert mit einem Meissel. Meissel und Schaftlochaxt mit rechtwinklig angesetzter

sen. Während für die Schaftlochaxt eine Deutung als Hiebwa-
ffe und als Opfergerät in Frage kommt, werden die Dechseln in
Zusammenhang mit der Holzverarbeitung, aber auch mit dem
Kult gebracht⁴²⁴.

Im nordöstlichen Bereich der Bestattung, unmittelbar
über den Füßen des Verstorbenen, lagen die Gefässbeigaben
(Abb. 3.64, Taf. 68 Nr. 6). Sie bestanden aus drei feinkera-
mischen Gefässen und einer Bronzeschale (Taf. 70). Die ca.
29 cm grosse Olla besitzt einen tronkokonischen, steil nach
ausen verlaufenden Rand, der sich an der Innenseite scharf
vom Hals absetzt. Hals, Schulter und Bauch sind voneinander
nicht abgesetzt und bilden ein fließendes, linear verlaufendes
Profil. Der hohe tronkokonische Fuss ist durch die konkave
Unterseite gekennzeichnet. Die zwei horizontal angesetzten
Stabhenkel verlaufen ungewohnt steil nach oben. Spärliche Be-
malungsspuren bilden langgezogene Dreiecke im Mündungs-
inneren⁴²⁵, dunkle Spuren haben sich ebenfalls am Übergang
zwischen Hals und Schulter erhalten. Die Vase ist wohl der
lokalen *matt-painted* Produktion zuzurechnen. Aussergewöhn-
lich erscheinen der hohe Fuss und die vertikalen Henkel: Ollae
auf hohem Fuss sind in der Macchiabate-Nekropole nur spär-
lich belegt⁴²⁶, das gleiche gilt für die Henkel⁴²⁷. Diese Elemente
kommen jedoch in anderen Nekropolen Kalabriens vor und
scheinen vor allem in der Basilikata verbreitet zu sein – dort
werden sie ein häufiges Attribut der Gefässe auf hohem Fuss
des 7. Jahrhunderts v. Chr.⁴²⁸.

Unter den Fragmenten der Olla kam eine intakte, hand-
aufgebaute Tasse (S17/3) zum Vorschein. Sie lag nordöstlich
der Olla – nicht wie gewohnt im Inneren des Vorratsgefässes.
Allerdings ist aufgrund der starken Fragmentierung der Kera-
mik nicht ganz auszuschliessen, dass die Tasse ursprünglich
im Innern der Olla deponiert war und erst bei der Zerstörung
an ihren späteren Fundplatz verschoben wurde. Die Tasse ist
gekennzeichnet durch eine regelmässige Form mit eiförmigem
Körper, fließenden Übergängen zwischen den einzelnen Ge-
fässpartien und einen leicht schräg nach aussen gerichteten

Rand. Das nicht gegliederte, lineare Profil wird als Merkmal
der jüngeren Produktionen der lokalen Keramik betrachtet –
eine zeitliche Einordnung, die durch den Vergleich mit den
Exemplaren aus den Gräbern Vigneto 5 und Vigneto 6 bestä-
tigt wird⁴²⁹.

Das dritte feinkeramische Gefäss ist eine Kanne (S17/2),
die ebenfalls nordöstlich der Olla zum Vorschein kam. Das
recht dünnwandige Gefäss ist durch den runden und kugeli-
gen Körper gekennzeichnet. Das Profil verläuft vom ausladen-
den Rand bis zum flachen Boden sehr regelmässig und unter-
scheidet sich somit von den meisten Kannen aus der Macchia-
bate-Nekropole⁴³⁰. Ungewohnt ist auch der vertikal angesetzte
Bandhenkel, welcher der Kanne eher den Aspekt einer grossen
Tasse verleiht. Ein aussergewöhnliches Merkmal ist ferner die
runde Perforation von 0.6 cm Durchmesser in der Mitte des
Bauches, welche wohl antiken Ursprungs ist. Auch ausserhalb
des Formenspektrums von Francavilla Marittima findet die
Kanne kaum Parallelen⁴³¹.

In einem Bereich von ca. 40 x 30 cm nördlich der Olla
lagen schliesslich die Fragmente einer Bronzeschale (S17/4,
Taf. 70). Es handelt sich um eine kalottenförmige Schale von
ca. 16 cm Durchmesser mit regelmässig verdicktem Rand, der
im Querschnitt die Form eines gelängten Dreieckes mit abge-
flachter Lippe besitzt. Die regelmässig gewölbten Wände sind
zu einer eher tiefen Form zu rekonstruieren. Der Boden der
Schale ist sehr stark fragmentiert, scheint jedoch keinen Om-
phalos zu besitzen⁴³².

Die Verfüllungsschichten des Grabes Strada 17 waren na-
hezu steril und enthielten nur wenige verwaschene Grobkeram-
mikfragmente, die mindestens 20 cm über der Bestattungs-
schicht lagen (S17/23). Die Scherben kamen wohl zusammen
mit dem Sediment der Auffüllungsschichten in das Grab.

Merkmale der Bestattung und Datierung

Die Beigaben charakterisieren den älteren Mann aus Strada
17 eindeutig als Krieger. Seine Bewaffnung, bestehend aus
Lanze und Schwert, kombiniert mit einem Messer und zwei
unterschiedlichen Äxten, entspricht einer besonders komple-
xen Stufe der Ausstattung in den Männergräbern der Mac-
chiabate-Nekropole, vergleichbar nur mit den prominenten
Gräbern Temparella 87⁴³³ und – wenn auch in geringerem

Klinge (ital. *ascia a tagli ortogonali*) waren auch unter den Funden
aus dem Deposito Centrale des Cerchio Reale.

424 Iaia 2006, 194 f. Abb. 4 Nr. 2, 3; Carancini 1984, 245.

425 Nava u. a. 2009, 269 f. Abb. 17 für die Varianten dieses Musters in
der *matt-painted* Produktion.

426 Siehe S5/1 und Kapitel 3.2.1 »Olla«. Ein guter Vergleich für S17/1
bildet die Olla aus Grab Temparella 79, jedoch mit rundförmigen
Aufsätzen auf den Henkeln: Zancani Montuoro 1983/1984, 75 Nr.
1 Taf. 51 a, H 34 cm.

427 Belege von Ollae auf Fuss mit vertikalen Henkeln in Francavilla
Marittima: Zancani Montuoro 1977–1979, 35 Nr. 1 Taf. 18 b,
Cerchio Reale 8, H 31.3 cm; 68 Nr. 1 Taf. 43, Uliveto 15, H 31.5
cm; Zancani Montuoro 1980–1982, 65 f. Nr. 1 Taf. 36, Temparella
22, H 31 cm; Zancani Montuoro 1983/1984, 75 Nr. 1 Taf. 51 a,
Temparella 79, H 34 cm; 79 Nr. 1 Taf. 52, Temparella 80, Olla mit
gedrungenem Körper, vertikalen Henkeln und hohem Fuss mit vier
Öffnungen, H 42.8 cm. Die Gefässe sind allerdings in ihrer Form
und in der Ausbildung der Henkel, oft mit einem runden Aufsatz,
nicht mit dem Exemplar S17/1 vergleichbar.

428 Siehe Kapitel 3.2.1 »Olla«. Man vergleiche die Exemplare aus Rog-
giano Gravina Gräber 2, 3 und 8. Für die Entwicklung in der Basili-
kata: Nava u. a. 2009, 255.

429 Zancani Montuoro 1977–1979, 79–82 Nr. 8 Taf. 49; 82 f. Nr. 11. Bei-
de Gräber werden von F. Quondam (2011) in die zweite Phase datiert.

430 Eine Kanne mit kugeligem Körper, sehr kurzem Hals und einem
kleinen, vertikal angesetzten Rundhenkel kam im Männergrab Est 6
während der Basler Kampagne 2016 zum Vorschein: Guggisberg u.
a. 2017, 85.

431 Frey 1991, 30 Taf. 44 Nr. 8, Valle Sorigliano (Santa Maria d'Anglona,
Tursi) Grab 139. Vgl. ferner kugelige Tassen wie S4/3.

432 Das Gefäss wurde aufgrund der Fragmentierung in einem Gipsblock
geborgen und soll nicht weiter freigelegt werden. Die Beschreibung
und typologische Einordnung basieren auf der Auswertung der
Röntgen- und CT-Aufnahmen. Für die Röntgen- und CT-Aufnahmen
sind wir F. Odoguardi vom Krankenhaus G. Chidichimo in
Trebisacce sehr dankbar.

433 Zancani Montuoro 1974–1976, 67–81 Abb. 16. Siehe auch Kapitel
4.2.



Abb. 3.65 Grab Strada 18 während der Ausgrabung.

Masse – Strada 5. Wie in den eben genannten Kriegergräbern, ist auch bei Strada 17 jede Beigabe von besonderem Wert oder aussergewöhnlicher Ausführung, wie etwa die Schlangenfibel mit dekoriertem doppeltem Nadelansatz, die besonders lange eiserne Lanzenspitze mit Bronzehalterung, die Axt mit verkleidetem Holzgriff, die Bronzeschale und das eiserne Schwert. Mit seiner über 40 cm langen Klinge gehört die Waffe aus Strada 17 zu den seltenen Langschwertern der Macchiabate-Nekropole, vergleichbar nur mit den beiden neu entdeckten Waffen aus dem Areal Est⁴³⁴. Zu den Besonderheiten der Ausstattung gehört nicht zuletzt die Bronzeschale mit verdicktem Rand (S17/4), deren nächsten Vergleiche mit der zypriotischen Produktion in Verbindung gebracht wurden.

Für die zeitliche Einordnung der Bestattung stehen mehrere Elemente zur Verfügung. Die eiserne Schlangenfibel *a gomito* mit dekoriertem doppeltem Nadelansatz bildet eine spätere Entwicklung der Schlangenfibel *a gomito* und ist besonders in Kampanien und Etrurien von der zweiten Hälfte des 8. Jahrhunderts v. Chr. bis in die orientalisierende Periode belegt⁴³⁵. Die Tongefässe sind allgemein durch die schwache Ausbildung der einzelnen Körperteile gekennzeichnet. Dieses Merkmal gilt – im Vergleich zu den Vasen mit bikonischem Körper und klar abgesetztem und gewölbtem Hals – als ein Hinweis für eine spätere Datierung innerhalb der lokalen Keramikproduktion der frühen Eisenzeit⁴³⁶. Besonders offenkundig ist das Formprinzip bei der Kanne. Ihr kugeliges Körper mit niedrigem Hals und Bandhenkel kann wohl als Argument für eine späte Datierung innerhalb des IFe2B gelten. Die Olla weist durch ihr ovoides Profil, den hohen Fuss und die vertikal verlaufenden Henkel ebenfalls in die späteste Phase der frühen

Eisenzeit, wie der Vergleich aus Roggiano Gravina Grab 8 nahelegt⁴³⁷. Die vertikalen Henkel weisen bereits auf die Keramik des 7. Jahrhunderts v. Chr. hin, wie zahlreiche Belege aus den Gräberfeldern der Basilikata beweisen⁴³⁸. Grab Strada 17 gehört somit zu den jüngsten Bestattungen des Areals Strada und kann in die Phase IFe2B2 datiert werden.

Camilla Colombi

3.1.18 Grab Strada 18

Grabarchitektur und Verfüllung

Das Grab Strada 18 war an der Oberfläche nicht sichtbar. Die langrechteckige Grabstruktur mit den Massen 2.3 x 0.9–1.2 x 0.3–0.35 m ist von Südwesten nach Nordosten orientiert und liegt eingezwängt zwischen den Gräbern Strada 16 und Strada 17 (Taf. 4; vgl. Abb. 3.56). Die gesamte Südhälfte der Grabgrube wurde von einem ca. 45 x 50 cm grossen, flachen Block eingenommen, der wohl absichtlich an dieser Stelle deponiert worden war (Abb. 3.65). Der Boden inklusive des Bereichs, der vom Steinblock eingenommen wurde, misst 1.7 x 0.6 m. Der nördliche Teil war stellenweise mit flachen Kieselsteinen ausgelegt, so dass man das Grab trotz des geringen Formats der Kategorie der monumentalen Fossagräber zuordnen kann (Abb. 3.66, Taf. 74)

Bestattung und Beigaben

Von der Bestattung fanden sich nur spärliche Knochenreste in der Nordhälfte des Grabes, die keine anthropologischen Bestimmungen von Alter und Geschlecht erlauben⁴³⁹.

Ebenfalls in der Nordhälfte fanden sich bronzene Schmuckelemente in Form zweier Ringanhänger (S18/4. 5), einer Drahtperle (S18/6) und eines Doppelspiralanhängers

434 Guggisberg u. a. 2016, 59–61, Griffzungenschwert aus dem Männergrab Est 1; Guggisberg u. a. 2017, 85, Langschwert – vielleicht Griffdornschwert – aus dem Männergrab Est 6.

435 Siehe Kapitel 3.2.8.

436 Ferranti 2009, 57–62, bes. 61; man vergleiche etwa die Kannen aus dem 7. Jh. v. Chr. aus der Nekropole von Paladino Ovest (Amendolara): de La Genière 2012.

437 Carrara – Guzzo 1981, 463 f. Nr. 12 Abb. 19, Olla auf hohem Fuss, H 28 cm, Roggiano Gravina Grab 8, IFe2B2.

438 Nava u. a. 2009, 255–258 Abb. 5 Nr. B1c1.1 und Abb. 6.

439 Anthropologische Befundaufwertung: C. Alder. Vgl. Kapitel 6.



Abb. 3.66 Grab Strada 18 am Ende der Ausgrabung.

(S18/3, Abb. 3.67, Taf. 75). Die persönliche Ausstattung wird durch den bronzenen Bügel einer Vierspiralfibel (S18/2, Taf. 75) ergänzt. Da sich von den Spiralen selbst keine Überreste fanden, ist davon auszugehen, dass die Fibel in unvollständiger Form verwendet wurde und möglicherweise zum Zeitpunkt ihrer Deponierung im Grab bereits ein gewisses Alter besass. Schliesslich lag in der Mitte der Grabgrube ein Askos mit spärlichen Bemalungsresten (S18/1, Taf. 75), dessen Henkel in der hinteren Hälfte durchbrochen ist.

Merkmale der Bestattung und Datierung

Die Zusammensetzung der Beigaben und die geringe Grösse der Grabgrube nördlich des grossen Blocks lassen eine Kinderbestattung vermuten. Dafür spricht auch der Doppelspiralanhänger, welcher in der Macchiabate-Nekropole als charakteristisch für Kinderbestattungen gilt⁴⁴⁰. Die Vierspiralfibel des Typs Lo Schiavo 441, von welcher der Bügel S18/2 stammt, wird in die Phase IFe2A datiert⁴⁴¹. Die fehlende Spiraldekoration kann ein Hinweis auf eine längere Nutzungsdauer des Exemplars sein. Das Grab kann deshalb auch erst zu einem späteren Zeitpunkt angelegt worden sein.

Das Grab Strada 18 zeichnet sich durch seine eingezwängte Lage zwischen den Gräbern Strada 16 und Strada 17 aus, ohne diese jedoch direkt zu tangieren. Es weist damit einen engen Bezug zu den beiden benachbarten Gräbern auf. Eine vergleichbare Situation ist auch für die beiden Gräber Est 6 und Est 7 bezeugt, die ebenfalls sehr nahe beieinander liegen. Obwohl die Nekropole eine dichte Belegung aufweist, ist die räumliche Nähe nicht auf Platzmangel zurückzuführen. Anschaulich ist dafür die Lage des Grabes Strada 18: Das kleine Grab hätte ohne weiteres auch weiter westlich, im freien Bereich zwischen Strada 12, Strada 16 und Strada 19, Platz gefunden. Zwischen dem Kind in Strada 18 und mindestens



Abb. 3.67 Grab Strada 18, Bestattung *in situ*.

einem der beiden Erwachsenen, die in den angrenzenden Gräbern Strada 16 und 17 beigesetzt waren, scheint somit eine besondere Beziehung bestanden zu haben.

Die räumliche Bezugnahme liefert auch einen Hinweis auf die Datierung. Das Grab Strada 16, welches durch den Skyphos S16/2 an das Ende von IFe2B2 zu datieren ist, und Strada 17, welches ebenfalls im IFe2B2 anzusetzen ist, wurden vor oder zur gleichen Zeit wie Strada 18 angelegt. Wenn man davon ausgeht, dass zwischen dem Kind und mindestens einer der erwachsenen Personen eine persönliche Beziehung bestand, würde dies dafür sprechen, dass das Grab Strada 18 nur geringfügig jünger ist und wohl ebenfalls noch in der Phase IFe2B2 angelegt wurde.

Corinne Juon

3.1.19 Grab Strada 19

Grabarchitektur und Verfüllung

Das kreisrunde Grab Strada 19 mit einem Durchmesser von 2 m und einer Tiefe von 0.3 m war vor Grabungsbeginn nicht sichtbar. Es ist das nordwestlichste Grab im erforschten Bereich des Areals Strada und schliesst direkt an ein nördlich,

440 Siehe Kapitel 3.2.6 »Kleinformatige Anhänger«.

441 Lo Schiavo 2010, 858 f.



Abb. 3.68 Grab Strada 19, Bereich des Grabes am Anfang der Ausgrabung, Ansicht nach Westen.



Abb. 3.69 Grab Strada 19, Bestattung *in situ*.

westlich und östlich gelegenes Stratum von ungeordneten grösseren und kleineren, geröllartigen Steinen (*Unità Stratigrafica* 52) an (Abb. 3.68, Taf. 4. 76). In den oberen Abbauschichten war die Grabstruktur kaum von dieser Steinschicht zu unterscheiden. Die Struktur wurde nicht abgetragen und ihre Bedeutung nicht geklärt. Ein Zusammenhang mit dem in den 1980er-Jahren gesetzten Betonmasten im Norden des Areals Strada ist unwahrscheinlich, da nur wenige moderne Funde in diesem Bereich gemacht worden sind.

Die Wandung des Grabes besteht aus einer zweilagigen Reihung von gerundeten Steinen und Blöcken. Im Südosten ist die Situation unklar, was davon herrühren kann, dass die Steine der Wandung ins Grab gerutscht sind. Der Boden des Grabes verfügt über keine Pflasterung und besitzt einen Durchmesser von 1.2 m (Abb. 3.69, Taf. 76).

Bestattung und Beigaben

Anhand der Zahnentwicklung kann das Grab einem 2–3-jährigen Kind zugeschrieben werden⁴⁴². Dieses wurde in Nord-Süd-Orientierung mit dem Kopf im Norden beigesetzt (Taf. 76, unten). Die Lage der Zähne und der wenigen Knochenreste sprechen dafür, dass der Leichnam in Hockerposition auf der linken Seite bestattet wurde und der Schädel seitlich, mit Blick nach Südosten, abgekippt ist.

Im Zentrum des Grabes, im Schädel- und Brustbereich, fanden sich mehrere sog. Fingerspiralen aus Bronze (S19/4–9) und aus Eisen (S19/13) sowie zahlreiche Bernsteinperlen und –anhänger (S19/15–22) (Taf. 77). Die Lage der Schmuckelemente spricht dafür, dass die Objekte an einer oder mehreren Ketten im Bereich von Hals und Brust befestigt waren (Taf. 76 Nr. 1. 2). Zwei bronzene Drahtspiralen (S19/2. 3; Taf. 77) mit einem weiten Durchmesser können aufgrund ihres paarweisen Auftretens und ihrer Lage nahe der *Pars petrosa* (Felsenbein) als Ohringe gedeutet werden. Eine eiserne Fibel mit Bronzedrahtumwicklung (S19/12) ist zur Tracht zu rechnen. Ihre schlechte Erhaltung verunmöglicht allerdings eine klare typologische Ansprache. Das Grabinventar wird durch einen feinkeramischen Askos (S19/1, Taf. 77) zu Füßen des Leichnams vervollständigt.

Merkmale der Bestattung und Datierung

Mit seinem Durchmesser von 2 m ist das Grab vergleichsweise gross für eine Kinderbestattung. Es erinnert damit ebenso wie in der Form an das Grab Strada 8, in dem ein Kind vergleichbaren Alters, allerdings mit reichem Beigabeninventar, beigesetzt war. Im Gegensatz zu dieser Bestattung fehlt im vorliegenden Fall jedoch eine Pflasterung.

Die beiden Ohringe könnten dafür sprechen, dass es sich beim verstorbenen Kind um ein Mädchen handelt. Da chro-

⁴⁴² Anthropologische Befundauswertung und Bestimmung: C. Alder. Vgl. Kapitel 6.



Abb. 3.70 Areal De Leo am Anfang der Ausgrabung. Ansicht nach Westen.

nologisch diagnostische Stücke fehlen, lässt sich das Grab nur allgemein in die frühe Eisenzeit datieren. Die topografische Nähe zu den anderen Gräbern des Areal Strada lässt eine Datierung in die Phase IFe2 zu.

Corinne Juon

3.1.20 Areal De Leo

Das Areal De Leo liegt rund 30 m südwestlich der Gräberzone Strada und grenzt an ein privates Grundstück der Familie De Leo (Abb. 3.70, Taf. 2 Nr. 16). Hier wurden bei Landwirtschaftsarbeiten im Herbst 2012 mehrere Scherben eines mit geometrischen Mustern verzierten Kraters und eines zugehörigen Deckels geborgen. Ausserdem waren oberflächlich Reste eines Bronzegefässes erkennbar, das jedoch *in situ* belassen wurde. Im Sommer 2014 konnte der Bereich, der peripher auch das Grundstück der Familie De Leo tangierte, dank des Entgegenkommens der Besitzerfamilie untersucht werden. Dabei kamen dicht unter der Oberfläche zwei Gräber zum Vorschein: ein grosses Fossagrab von länglich-ovaler Form, in dem eine erwachsene Person bestattet war (De Leo 1), sowie ein kleines, teilweise zerstörtes Kindergrab (De Leo 2), das südlich davon direkt an das grosse Grab anschloss (Taf. 78).

Aufgrund ihrer Lage zwischen dem Grundstück De Leo und der direkt nördlich daran anschliessenden Macchia wurde auf eine Ausweitung der Grabung verzichtet. Es darf jedoch mit grosser Wahrscheinlichkeit davon ausgegangen werden, dass die Gräber zu einer grösseren Bestattungsgruppe gehören, deren räumliche Ausdehnung unbekannt ist. Geophysikalische Untersuchungen, die wir 2009 auf dem Grundstück der Familie De Leo durchführen konnten, lassen vermuten, dass sich südlich der untersuchten Gräber De Leo 1 und 2 weitere, allerdings stark gestörte Bestattungen befinden. Das Areal wird seit vielen Jahrzehnten landwirtschaftlich genutzt, wobei immer



Abb. 3.71 Gräber De Leo 1 und 2 am Ende der Ausgrabung.

wieder Fragmente von Keramik- und Bronzeartefakten zusammen mit grossen Steinblöcken zu Tage gefördert wurden. Auch die Topografie des Geländes, das in diesem Bereich eine leichte, hügelartige Erhebung bildet, könnte dafür sprechen, dass die beiden Gräber an der nördlichen bzw. nordwestlichen Peripherie eines grösseren Bestattungsareals liegen.

3.1.21 Grab De Leo 1

Grabarchitektur und Verfüllung

Infolge seiner Lage auf der Grenze zum Grundstück De Leo war das Grab in seinem südlichen Teil bis auf die Höhe der untersten Steinumrandung durch landwirtschaftliche Tätigkeit und Erosion abgetragen. Im mittleren und nördlichen Bereich hingegen hat sich gerade noch die unterste Schicht der originalen Verfüllung der Grabkammer aus mittleren bis grossen gerundeten Steinen und Sediment erhalten, die damit die Bestattung selber beschützte. Das Grab gehört zum Typus der monumentalen Fossagräber, wie er u. a. aus dem Areal Strada bekannt ist (Taf. 78). Eine langovale Grabgrube von 2.9 m Breite und etwas mehr als 3.6 m Länge war mit sehr grossen gerundeten Steinen und Blöcken ausgekleidet (Abb. 3.71). Ihr nördliches Ende konnte wegen des dichten Macchiabewuchses und des Steinhaufens, der am Rande des Feldes im Laufe der Jahre entstanden war, nicht vollständig freigelegt werden. Im zentralen Bereich des Grabbodens war eine Fläche von ca. 1 x 2 m mit flachen Kieselsteinen ausgelegt. Sie bildete die Unterlage für die Bestattung.

Obschon wegen der geringen Höhe der Grabverfüllung kein Profil angelegt werden konnte, ist davon auszugehen, dass die Bestattung, wie auch in anderen Fällen, in einem Behältnis aus organischem Material beigesetzt worden war. Dafür spricht insbesondere der Erhaltungszustand der Gefässbeigaben, die in dichter Packung zu Füssen des Leichnams deponiert wor-



Abb. 3.72 Grab De Leo 1, Bestattung *in situ*.



Abb. 3.73 Grab De Leo 1, Bestattung *in situ*.

den waren, wohl innerhalb der Grabkiste. Aus der Höhe des Kraters DL1/1 von 39.6 cm lässt sich die Minimalhöhe der Kammer berechnen.

Zur Verfüllung des Grabes lässt sich kaum etwas sagen, da sie so gut wie vollständig abgetragen war. Nur im nordwestlichen Bereich des Grabes war die unterste Lage mit mittelgrossen bis grossen Steinen, die sich gleichmässig über die Grabgrube verteilten, gerade noch erhalten. Mit Ausnahme vereinzelter eingeschwemmter Scherben fein- und grobkeramischer Natur wurden keine Funde gemacht. Auf der Oberfläche fanden sich v. a. im stärker gestörten Südwestteil des Grabes diverse Scherben von fein- und grobkeramischen Gefässen, die allerdings in keinem ersichtlichen Zusammenhang mit dem Grab stehen. Unter diesen Streufunden ragt das Bodenfragment eines feinkeramischen Gefässes mit durchlochtem Boden

heraus (DL1/16, Taf. 82). Es gehörte zu den Funden, die die Familie De Leo zusammen mit den Fragmenten des Kraters geborgen und dem Museum von Sibari übergeben hatte. Eine Passscherbe, die wir bei der Oberflächenreinigung des Areals De Leo im Sommer 2014 fanden, bestätigt seine Provenienz aus diesem Areal. Weil bei der Grabung selbst jedoch keine weiteren Scherben zu Tage kamen, die dem Gefäss mit Siebboden zugeordnet werden konnten, liess sich seine Zugehörigkeit zum Grab De Leo 1 nicht erweisen.

Bestattung und Beigaben

Die Bestattung lag in der nordwestlichen Hälfte des Grabes, direkt auf dem Plattenboden. Das Skelett war verhältnismässig gut erhalten (Abb. 3.72; 3.73; Taf. 78). Der Leichnam lag auf der Nordwest-Südost-Achse des Grabes mit dem Oberkörper



Abb. 3.74 Grab De Leo 1, Detailsicht des Schädels und des Oberkörpers mit massivem Bronzering DL1/9 und Schlangenfibeln DL1/7–8, grosse Schlangenfibel DL1/6, Schaftlochaxt DL1/12.

in Rückenlage und den stark angewinkelten Beinen in rechter Seitenlage. Die Arme waren in etwa im rechten Winkel angewinkelt, so dass der rechte Unterarm über der Brust, der linke auf der Hüfte zu liegen kam. Dieser Befund ist deswegen sehr wichtig, weil er belegt, dass der grosse Bronzering DL1/9 nicht als Armband getragen wurde. Er liegt westlich des rechten Unterarms (Taf. 78 Nr. 3).

Der Kopf lag auf der rechten Seite mit Blick nach Westen. Die vergleichsweise gut erhaltenen Zähne und der anthropologische Befund deuten auf ein adultes, sehr wahrscheinlich männliches Individuum von $57 \pm 5,5$ Jahren hin⁴⁴³. Der Bekleidung des Verstorbenen können in erster Linie die insgesamt fünf Fibeln zugeordnet werden (Abb. 3.74, Taf. 81). Ob auch der Bronzering DL1/9 ein Trachtattribut darstellt oder ob er eine andere Funktion besass, muss im Augenblick dahingestellt bleiben. Die beiden bronzenen Schlangenfibeln DL1/7 und DL1/8 stellen ein Paar dar (Typ Lo Schiavo 343). Auch die beiden eisernen Schlangenfibeln DL1/10 und DL1/11 waren als Paar aufeinander abgestimmt, obschon DL1/10 etwas grösser und massiver ist als das Gegenstück DL1/11.

Alle vier Fibeln lagen in nächster Nähe auf- und nebeneinander im Brustbereich des Verstorbenen (Taf. 78 Nr. 3). Die Bronzefibel DL1/7 war offen. Bei DL1/8 war die Nadel gebrochen, die Spitze steckte jedoch noch in der Nadelrast. Die eisernen Exemplare waren bereits bei der Auffindung in

verschiedene Teile zerbrochen, so dass sich die Frage, ob sie offen oder geschlossen ins Grab gegeben wurden, nicht mehr beantworten lässt. In jedem Fall spricht die Position der Fibeln dafür, dass sie sich in Trachtlage befanden, unabhängig von der Frage ihrer funktionalen Verwendung.

Entsprechende Fibelsätze sind auch in anderen Männergräbern von Francavilla Marittima belegt, etwa im Grab Strada 5, wo mindestens 19 Eisenfibeln gefunden wurden, oder im Grab Temparella 41, wo eine Bronze- und ca. zehn Eisenfibeln identifiziert werden konnten, beide Male mehrheitlich ebenfalls im Brustbereich⁴⁴⁴. Da die Fibeln in der Regel dicht beieinander liegen, scheinen sie eher im Zusammenhang mit der Tracht als mit der Fixierung eines Leichentuches zu stehen. Des Öfteren waren sie in einer Reihe entlang der Mittelachse des Körpers angeordnet, was die Annahme begründet, dass sie ein auf der Vorderseite offenes Kleidungsstück, beispielsweise einen Mantel, verschlossen.

Entsprechende Fibelsätze sind auch ausserhalb von Francavilla Marittima bezeugt, namentlich in Valle Sorigliano (Santa Maria d'Anglona, Tursi) und in Incoronata (San Teodoro, Pisticci)⁴⁴⁵.

Eine weitere Bronzefibel von besonderer Grösse (DL1/6, Taf. 81) lag rechts neben dem Leichnam auf der Höhe des Beckens (Taf. 78 Nr. 3). Ihre Position, aber auch ihre der Körperachse folgende Orientierung und die Tatsache, dass sie offen war, machen deutlich, dass sie nicht im Trachtverband steht, sondern als separate Beigabe zu betrachten ist. Sie war möglicherweise zusammen mit einem nicht mehr erhaltenen Textil direkt neben dem Leichnam deponiert. Eine ähnliche, sogar noch grössere Schlangenfibel (L 25 cm), stammt aus Grab Vigneto 7. Sie lag, zusammen mit einer zweiten, ebenfalls übergrossen Schlangenfibel aus Eisen mit Bronzedrahtumwicklung, zwischen dem Kopf und einer rechts des Körpers positionierten eisernen Lanzenspitze und war ebenfalls offen⁴⁴⁶. Nach P. Zancani Montuoro könnten die beiden Fibeln auf der linken und rechten Schulter des Verstorbenen befestigt gewesen sein, wobei die Eisenfibel verrutscht wäre⁴⁴⁷. Näherliegend scheint hingegen die Annahme, dass die beiden Fibeln ebenfalls neben dem Körper platziert waren, zusammen mit einem wiederum vergangenen Textil. Diese Deutung legt auch der Befund von Grab Strada 5 nahe, wo sich zwei Eisenfibeln von durchschnittlicher Grösse links und eine rechts des Kopfes gefunden haben. Eine Fibel lag auch in Grab Strada 17 links vom Kopf.

⁴⁴³ Die Altersbestimmung beruht auf der Zahnabrasion sowie auf TCA-Analysen. Die anthropologische Betreuung auf der Ausgrabung erfolgte durch A. Alterauge. Die TCA-Analysen wurden von B. Grosskopf, Universität Tübingen, durchgeführt. Vgl. Kapitel 6.

⁴⁴⁴ Im Grab Temparella 87 wurden vier eiserne Schlangenfibeln beobachtet, die paarweise über die Brust und den Unterkörper verteilt waren: Zancani Montuoro 1974–1976, 67–81 Abb. 16 Nr. 5–8.

⁴⁴⁵ z. B.: Valle Sorigliano (Santa Maria d'Anglona, Tursi) Grab 146: Frey 1991, 31. 43 Abb. 10, 2 (5 Fibeln); Incoronata (San Teodoro, Pisticci) Grab 522: Chiartano 1996, 75 Taf. 9 (5 Fibeln); 103 f. Taf. 23. 24.

⁴⁴⁶ Zancani Montuoro 1977–1979, 84 Abb. 33 und Taf. 46 (auf der Aufnahme ist deutlich zu erkennen, dass es sich um zwei Schlangenfibeln handelt, was von Zancani Montuoro 1977–1979, 86 f. Abb. 34 nur vermutungsweise ausgesprochen wird).

⁴⁴⁷ Zancani Montuoro 1977–1979, 88.



Abb. 3.75 Grab De Leo 1, Bronzekessel DL1/4 und Fuss des Kraters DL1/1 *in situ*.

Grössere Schwierigkeiten bezüglich der Einordnung bereitet hingegen der Bronzering DL1/9 (Taf. 81), der nach dem Grabungsbefund die Fibeln partiell überlagerte und somit auf der Vorderseite des Körpers lag. Ein entsprechender Ring ist im Grab Temparella 41 unterhalb der Lanzenspitze neben dem linken Oberarm zum Vorschein gekommen⁴⁴⁸. P. Zancani Montuoro vermutete, dass er mit dem Lanzenschaft in Verbindung steht und damit Teil der Bewaffnung des Kriegers ist⁴⁴⁹; eine Vermutung, die sich jedoch nur schwer konkretisieren lässt. In ähnlicher Weise könnte auch der Ring im Grab Temparella 20 neben dem linken Oberarm des Verstorbenen gelegen haben, wobei in diesem Fall so gut wie keine Reste des Leichnams erhalten waren und auch keine Lanzenspitze in der Nähe nachgewiesen ist⁴⁵⁰. Der Ring im Grab Strada 17 lag im Bereich des Schädels bzw. des Halses, möglicherweise sogar auf dem Rücken. Auch der Ring aus Grab Cerchio Reale 1 fand sich laut Paola Zancani Montuoro in der Nähe des Schädels⁴⁵¹, desgleichen jener aus Grab Vigneto 1, der auf dem Schädel selber lag⁴⁵². Ein Set von drei konzentrischen Ringen fand sich im Grab Temparella 79, unweit einer eisernen Lanzenspitze und damit wohl ebenfalls in der Nähe des Kopfes⁴⁵³. Ein analoger Befund liegt aus Grab Est 11 vor. Ein grösserer, massiver Bronzering wurde hier zusammen mit mehreren kleineren Ringen

oberhalb des Schädels in einer Reihe angetroffen, neben einem Eisengegenstand, der wohl als grosses Messer zu deuten ist⁴⁵⁴. Beim Fund aus dem Areal Lettere handelt es sich um einen Streufund, der nichts zur Deutung der Verwendung beitragen kann⁴⁵⁵. Zwei Ringe stammen schliesslich aus Frauenbestattungen. Ein Exemplar aus Grab Temparella 57 wurde als Einzelstück von einer Frau als Armring am rechten Unterarm getragen⁴⁵⁶. Ein anderer stammt in Kombination mit einer Armspirale aus dem Frauengrab Est 9⁴⁵⁷.

Sieht man von den beiden letztgenannten Beispielen ab, scheint der Ring eher zur Männertracht zu gehören, wobei er zweimal bei Männern mit Lanzen (Strada 17, Temparella 41), einmal in Kombination mit einem grossen Messer (Est 11), zweimal bei solchen ohne Waffen (Cerchio Reale 1, De Leo 1) und einmal in einem ungewissen Kontext (Temparella 20) belegt ist⁴⁵⁸. Gemeinsam ist allen sechs Befunden, dass der Ring jeweils im Bereich zwischen Brust und Kopf bzw. Oberarm gefunden wurde. Seine Funktion muss mangels konkreter Anhaltspunkte offenbleiben⁴⁵⁹. Bemerkenswert ist, dass die reiche Männerbestattung Temparella 87, die sowohl in Bezug auf die Axt als auch auf den Kessel mit der Bestattung des Mannes von De Leo 1 besonders gut vergleichbar ist, keinen Ring enthielt. Ausserhalb von Francavilla Marittima sind vergleichbare Ringe bemerkenswert selten. Zwei Exemplare liegen aus Torre Mordillo (Spezzano Albanese) vor⁴⁶⁰. Ein ähnlicher

448 Zur Lage vgl. Zancani Montuoro 1980–1982, 114 Abb. 40 (Plan) und Taf. 72 a. b (Ring *in situ* erkennbar).

449 Zancani Montuoro 1980–1982, 113.

450 Mangels eindeutiger Funde und fehlender Knochen ist die Geschlechts- und Altersbestimmung in diesem Fall unsicher. Bemerkenswert ist die Beigabe eines Askos zu Füßen des Bestatteten: Zancani Montuoro 1980–1982, 61–63 Abb. 24. Reste einer Lanzenspitze wurden möglicherweise auf der rechten Flanke des Leichnams entdeckt.

451 Zancani Montuoro 1977–1979, 27.

452 Zancani Montuoro 1977–1979, 73.

453 Zancani Montuoro 1983/1984, 75–78 Taf. 46–50.

454 Guggisberg u. a. 2018a, 80 Abb. 5 Nr. 8 Taf. 14, 4; 82.

455 Zancani Montuoro 1977–1979, 22 Abb. 8, 2.

456 Zancani Montuoro 1983/1984, 16 Nr. 14 Taf. 8.

457 Guggisberg u. a. 2018a, 74. 76 Abb. 3 Nr. 2 Taf. 14, 3.

458 Ein etwas kleinerer Ring wurde im Grab Est 10 in der Nähe einer Lanzenspitze gefunden: Guggisberg u. a. 2018a, 77–81.

459 Siehe dazu unten Kapitel 3.2.6 »massive Ringe«.

460 Cerzoso – Vanzetti 2014, 245 Nr. 928 Taf. 52 (Dm 9.0 cm; 153 g) (F. Quondam). Vgl. auch den etwas kleineren Ring aus Grab 36 von



Abb. 3.76 Grab De Leo 1, Tasse DL1/2 mit Knochenfragment im Inneren *in situ*.



Abb. 3.77 Grab De Leo 1, Bronzekessel DL1/4 mit Resten von Tierknochen während der Freilegung im Museo Nazionale Archeologico della Sibaritide in Sibari.

Ring stammt aus dem Depot von Mendolito (Adrano) auf Sizilien⁴⁶¹.

Der Tracht zuzuordnen ist schliesslich auch der tropfenförmige Bernsteinanhänger DL1/14 (Taf. 82). Er wurde allerdings nicht, wie man es erwarten würde, im Bereich des Oberkörpers, sondern zu Füßen des Verstorbenen gefunden. Ob er an seiner originalen Position lag oder ob er verlagert wurde, ist schwer zu ermesen. Vereinzelt treten kleine Anhänger und Kettchen jedoch im Unterschenkel- bzw. Fussbereich von Männergräbern auf, was für eine originale Lage sprechen könnte. So wurden im Bereich der Beine des Individuums aus Grab Strada 17 mehrere Bronzekettchen und Anhänger gefunden. Auch im Grab Temparella 87 sind ein Bronzekettchen und ein bikonischer Spiralanhänger aus der gleichen Zone belegt⁴⁶². Ungewöhnlich für ein Männergrab ist in jedem Fall das Material des Anhängers. Bernsteinanhänger der vorliegenden Form gehören im Allgemeinen zu Ketten, die von Frauen (und Kindern) getragen wurden. Ein zweiter kleiner Bernsteinsplitter wurde in der Nähe der Axt gefunden (DL1/15). Seine ursprüngliche Form lässt sich nicht mehr bestimmen, ebenso wie auch in diesem Fall unklar bleibt, in welchem Funktionszusammenhang der Gegenstand im Grab deponiert worden war.

Neben dem Trachtschmuck, der teils in Trachtlage, teils als separate Beigabe im Grab niedergelegt worden war, zeichnet sich die Bestattung durch zwei Gerätebeigaben aus. Auf dem rechten Unterarm war eine eiserne Axt deponiert (DL1/12, Taf. 82), mit der Klinge nach aussen und dem Schaftloch zur Körpermitte hin (Taf. 78 Nr. 4). Da die Axt symmetrisch geschaffen ist, ist es nicht möglich zu entscheiden, in welche Richtung der Schaft orientiert war. Die Abmessungen des Schaftlochs ergeben einen minimalen Unterschied auf beiden Seiten. In der Annahme, dass sich der Schaft der Axt nach oben eher weitet als verengt, wäre zu folgern, dass das Gerät

mit dem Schaft nach Nordwesten, d. h. in Richtung der linken Schulter des Verstorbenen, niedergelegt war. Aufgrund des zur Verfügung stehenden Platzes gewinnt man den Eindruck, dass auch die Äxte in den Gräbern Temparella 41 und 87 analog positioniert waren; bei der Axt aus Grab Temparella 70 ist sowohl eine Orientierung des Schafts nach oben als auch nach unten denkbar. Westlich der Axt, in etwa auf der Höhe des Gesässes, sind vielfach gebrochene Fragmente eines flachen, langgestreckten Gegenstandes aus Eisen geborgen worden (DL1/13, Taf. 82). Seine Form lässt sich nicht mehr mit Sicherheit bestimmen. Am ehesten handelt es sich wohl um ein Messer von ca. 20–30 cm Länge. Reste eines Griffes bzw. eines Griffdorns sind allerdings nicht erhalten.

Zu Füßen der Bestattung waren in dichter Packung und damit möglichst platzsparend insgesamt fünf Gefässe deponiert (Abb. 3.75, Taf. 78 Nr. 6; Taf. 79. 80): ein Krater (DL1/1), ein Skyphos (DL1/3) und eine Tasse (DL1/2) aus Ton sowie ein grosser Kessel (DL1/4) und eine Omphalosschale (DL1/5) aus Bronze. Der Kessel und der Krater waren in der Längsachse des Grabes hintereinander platziert, so wie dies bei Grossgefässen in den Gräbern der Macchiabate-Nekropole des Öfteren der Fall ist⁴⁶³. Die drei kleineren Gefässe standen zwischen den beiden grossen Behältern. Die Gefässe werden in den Kapiteln 3.2.1 und 3.2.4 im Einzelnen besprochen. Hier sei nur darauf hingewiesen, dass sowohl in der Tasse, die als einzige der handgemachten indigenen Keramik angehört, als auch im Kessel Knochenreste von Tieren gefunden worden sind (Abb. 3.76; 3.77). In der Tasse lag ein einzelner Knochen, im Kessel konnten mehrere Knochenfragmente identifiziert werden. Leider war in keinem der beiden Fälle eine genauere Bestimmung möglich⁴⁶⁴. Die Fragmente messen mehrere Zentimeter in der

Torre Mordillo (Spezzano Albanese): Buffa 1994, 745 f. 749 Taf. 155, 1 (Dm 4.6 cm).

461 Albanese Procelli 1993, 156 Nr. 510; 158 Abb. 51 Taf. 40 (Dm 10.3 cm; 805 g).

462 Zancani Montuoro 1974–1976, 73 Nr. 12. 13.

463 z. B. Temparella 60: Zancani Montuoro 1974–1976, 14 Abb. 2; Vigneto 7: Zancani Montuoro 1977–1979, 84 Abb. 33.

464 Der Knochen aus der Tasse DL1/2 (FMM 14, Inv. 1691, L 3.2 cm) lässt sich aufgrund seiner Oberflächenstruktur einem Tier zuweisen, eine genaue Bestimmung ist jedoch nicht möglich. Die Knochen aus dem Kessel DL1/4 (L des grössten Fragments 9.5 cm, Rest Splitter) lassen sich weder mit Sicherheit einem Menschen noch einem Tier zuordnen. In jedem Fall kann aufgrund ihrer Grösse eine Zugehö-

Länge und sind bis zu einem Zentimeter breit. Sie scheinen demzufolge von Tieren mittlerer Grösse zu stammen, so dass zumindest auszuschliessen ist, dass es sich um rezente Kleinsäuger handelt, die sich nachträglich in die Hohlräume des Grabes eingeschlichen haben⁴⁶⁵. Auf der Aussenseite des Kessels konnten Textilabdrücke beobachtet werden. Er war also in ein Tuch eingewickelt, wie das für viele vergleichbare Kessel im eisenzeitlichen Italien, aber auch in Griechenland belegt ist, allerdings mit dem Unterschied, dass die betreffenden Gefässe als Urnen dienten.

Merkmale der Bestattung und Datierung

Aufgrund seiner aussergewöhnlichen Beigaben gehört der im Grab De Leo 1 beigesezte Mann zu den führenden Persönlichkeiten der Bestattungsgemeinschaft von Francavilla Marittima. Seine Ausstattung mit Bronzekessel und eiserner Axt weisen ihm einen vergleichbaren Rang zu wie dem im Grab Temparella 87 bestatteten Krieger. Gerade im Vergleich mit diesem Grab wird aber auch eine Besonderheit des Grabes De Leo 1 offenbar: das Fehlen einer elitären Waffenausstattung mit Ausnahme der Axt, die auch als Werkzeug oder Opfergerät gedient haben könnte. Der Grabherr von De Leo 1 unterscheidet sich damit fundamental von dem im Grab Temperalla 87 bestatteten Mann, der mit Lanze und Kurzschwert als hochstehender Krieger ausgewiesen ist. Bemerkenswert ist in diesem Zusammenhang auch der grosse Bronzering, der im Rückbezug auf eine von P. Zancani Montuoro geäusserte Vermutung in der Forschung gerne mit der Lanze in Verbindung gebracht wird. Im Grab De Leo 1 ist ein solcher Bezug nicht möglich, ausser man würde eine *pars pro toto* Beigabe in Erwägung ziehen.

Die zeitliche Einordnung des Grabes erfolgt aufgrund der Beigaben. Hier ist insbesondere auf die grosse Bronzefibel DL1/6 zu verweisen, die dem von Fulvia Lo Schiavo definierten Typ *fibule serpeggianti meridionali di verga a sezione circolare e decorazione a spina di pesce* entspricht⁴⁶⁶. Fibeln dieses Typs sind in Torre Mordillo (Spezzano Albanese) häufig und werden im Allgemeinen in die Stufen IFe1A–1B sowie IFe2A datiert. In Francavilla Marittima ist der Typ eher selten. Francesco Quondam datiert die entsprechenden Exemplare in die Stufe IFe2A und denkt dabei an eine eher fortgeschrittene Phase⁴⁶⁷. Die beiden kleineren Schlangenfibeln aus Bronze scheinen diesen Ansatz zu bestätigen. Sie gehören dem Typus *Fibule serpeggianti meridionali di verga a sezione circolare, inornate* an, der von Lo Schiavo mit den Phasen IFe1B–2A verbunden wird⁴⁶⁸.

rigkeit zu einem Säugling oder Kleinkind ausgeschlossen werden. Ebenso sind sie zu gross für einen Nager, der sich nachträglich in das Grab geschlichen hätte. Die Bestimmung wurde von S. Deschler-Erb, Integrative Prähistorische und Naturwissenschaftliche Archäologie, Universität Basel, und C. Alder, Francavilla-Projekt und Universität Basel, vorgenommen. Beiden sei für ihre Bemühungen herzlich gedankt.

465 Für den Fund einer Feldmaus in einer Tasse im Grab Temparella 85 siehe Zancani Montuoro 1983/1984, 91.

466 Lo Schiavo 2010, 661–676 Typ 341.

467 Quondam 2009, 141 f. Abb. 1, 1.

468 Lo Schiavo 2010, 679–693 Typ 343.

In absoluten Zahlen lassen sich die drei Bronzefibeln nach der traditionellen Chronologie somit in die 1. Hälfte des 8. Jahrhunderts v. Chr. datieren, am ehesten gegen dessen Mitte hin. Mit dieser zeitlichen Einordnung, die auch mit der Datierung des Kraters um die Mitte des Jahrhunderts kongruent ist, gehört das Grab De Leo 1 einer vergleichsweise frühen Nutzungsphase der Nekropole an.

Martin A. Guggisberg

3.1.22 Grab De Leo 2

Grabarchitektur und Verfüllung

Das Grab De Leo 2 schliesst im Südosten an das Grab De Leo 1 an (Abb. 3.70, Taf. 78). Es konnte im Rahmen der Grabungen im Areal De Leo nur partiell untersucht werden. Seine genaue Ausdehnung und Orientierung lassen sich nicht mehr bestimmen. Der erhaltene Teil besitzt eine annähernd rechteckige Form und eine Ausdehnung von ca. 1.2 × 0.8 m. Die Grabwand besteht aus einer Reihe von mittelgrossen gerundeten Steinen; der Boden weist Teile einer Pflasterung aus flachen Kieselsteinen auf. Die Verfüllung und die Abdeckung des Grabes haben sich nicht erhalten. Da sich das Grab nach Südosten über die Grenze des Grabungsfeldes hinaus ausdehnt, bestehen bezüglich seiner Orientierung gewisse Unsicherheiten. Nimmt man die Lage von Schädel und Keramikgefäss zum Ausgangspunkt, könnte der Leichnam von Süden nach Norden ausgerichtet gewesen sein, mit dem Gefäss zu seinen Füßen (Taf. 78 Nr. 7, 8)⁴⁶⁹. In diesem Fall würde sich das Grab vermutlich nur wenig über die Grabungsgrenze nach Süden ausdehnen. Da vom Körper keine Spuren gefunden wurden, ist aber auch nicht auszuschliessen, dass dieser von Nordwesten nach Südosten orientiert war und das Tongefäss nicht bei den Füßen, sondern seitlich des Kopfes deponiert war. In diesem Fall bliebe die Ausdehnung des Grabes ungewiss.

Bestattung und Beigaben

Im Grab De Leo 2 wurde ein Kind im Alter von 6–9 Monaten bestattet, wie sich am Entwicklungsstadium der Milchzähne erkennen liess⁴⁷⁰. Die Bestattung lag nur wenige Zentimeter unter der Oberfläche. Vom Skelett hat sich im Wesentlichen nur der Schädel erhalten. Er lag auf der linken Seite mit Blick nach Nordosten. In seiner unmittelbaren Nähe lagen diverse Schmuckelemente aus Bronze (Abb. 3.78, Taf. 83): Eine Bommel (DL2/2), ein Doppelspiralanhänger (DL2/3), ein Ringanhänger (DL2/4), ein Ring (DL2/5) und zwei Drahtperlen (DL2/6, 7). Dazu kommen zwei Anhänger (DL2/8, 9) und

469 Allerdings ist auch die Lage der Gefässbeigabe beim Kopf für andere Gräber in der Macchiabate-Nekropole belegt: Gefässbeigaben im Bereich des Schädels sind in den Gräbern Strada 8, Temparella 1 (Zancani Montuoro 1980–1982, 14) oder Temparella 57 (Zancani Montuoro 1983/1984, 13) belegt.

470 Anthropologische Befundaufwertung und Bestimmung: A. Alterauge. Vgl. Kapitel 6.



Abb. 3.78 Grab De Leo 2, Detailansicht des Ringes DL2/5, des Doppelspiralanhängers DL2/3, der Drahtperle DL2/6 und des Ringanhängers DL2/4 *in situ*.

eine Perle (DL2/10) aus Bernstein (Taf. 83). Es ist naheliegend anzunehmen, dass die verschiedenen Objekte ursprünglich an einer Kette befestigt waren, wie dies für andere Kindergräber belegt ist, etwa für die Gräber Strada 8 und 12. Zu Füßen oder – je nach Orientierung des Kindes – im Kopfbereich fand sich die Bodenpartie eines feinkeramischen, geschlossenen Gefässes (DL2/1, Taf. 83). Da nur der Fuss und Teile der aufgehenden Wandung erhalten sind, ist es nicht möglich zu entscheiden, ob die Fragmente von einer Olla, einer Kanne oder einem Askos stammen. Letzterer wäre in einem Kindergrab die naheliegendste Gefässbeigabe.

Merkmale der Bestattung und Datierung

Das Grab De Leo 2 schliesst direkt an das benachbarte Männergrab De Leo 1 an. Weil die Grabarchitektur der beiden Strukturen durch die Landwirtschaftsarbeiten stark in Mitleidenschaft gezogen wurde, lässt sich der genaue architektonische Bezug allerdings nicht klar beurteilen. Es erscheint denkbar, dass das Kindergrab an das Grab des erwachsenen Mannes 'angebaut' wurde, wie dies in einem ähnlichen Fall für die Gräber Est 7 und Est 6 beobachtet werden konnte⁴⁷¹. Ein Beweis dafür fehlt jedoch.

⁴⁷¹ Guggisberg u. a. 2017, 86 f. Siehe auch die vergleichbaren Befunde der Ausgrabungen von P. Zancani Montuoro: Das Frauengrab Vigneto 3 und das Kindergrab Vigneto 4 weisen einen so engen Bezug auf, dass sie ein einziges Grab zu bilden scheinen (Zancani Montuoro 1977–1979, 78). Das Frauengrab Temparella 82 und das Kindergrab Temparella 83 stossen aneinander an (Zancani Montuoro 1983/1984, 83). Weitere Beispiele für eine Bezugnahme durch räumliche Nähe könnten folgende Gräber sein: Temparella 65 und Temparella 66 (Kinder); Temparella 67 (Frau) und Temparella 68 (Kind); Temparella 69 (Kind) und Temparella 70 (Mann); Temparella 77 und Temparella 78 (Kinder); Zancani Montuoro 1974–1976, 11 Abb. 1; Zancani Montuoro 1983/1984, 39 f. 47. 49. Die Beschreibungen bei Zancani Montuoro sind aber nicht eindeutig; die Gräber könnten auch wie Strada 16, Strada 17 und Strada 18 eng beieinander liegen. Bei den Gräbern Temparella 88 und Temparella 93 sieht Zancani Montuoro eine Überlagerung ohne direkten Bezug, aber die Beschreibung der Lage von Temparella 93 erinnert an die Situation im Areal Est (Guggisberg u. a. 2017, 87; Zancani Montuoro 1983/1984, 100. 109).

Die Bronze- und Bernsteinanhänger des Grabes De Leo 2 finden ihre unmittelbare Entsprechung im Grab Strada 8, das in eine frühe Phase von IFe2B datiert wurde. Überträgt man diese Datierung auf das Grab De Leo 2, so bestätigt sich damit die oben geäußerte Annahme der zeitlichen Abfolge von De Leo 1 und 2. Letzteres wäre dann zu einem etwas späteren Zeitpunkt an das gegen Ende von IFe2A errichtete Grab De Leo 1 angeschlossen worden. Die Pflasterung des Bodens und die relativ reichen Beigaben zeugen davon, dass das Kind mit besonderer Aufmerksamkeit bestattet worden ist.

Corinne Juon

3.2 Funde

3.2.1 Gefässe aus Feinkeramik

Olla

Mit dem Namen Olla (ital. auch *orcio* oder *vaso a collo* genannt⁴⁷²) wird ein grosses bikonisches Gefäss mit nach aussen gewölbter Lippe, meist langem konischem Hals, kugelig bis eiförmiger unterer Gefässhälfte und zwei horizontal angesetzten Henkeln bezeichnet. Die Ollae werden meist von Hand in Wulsttechnik (*a cercine*) oder in gemischter Technik hergestellt⁴⁷³. Neben Kanne und Tasse ist die Olla eine der am weitesten verbreiteten Formen der oinotrischen Feinkeramik. Oft werden Ollae mit unterschiedlichen, meist geometrischen Mustern in der lokalen *mattpainted* Technik bemalt. In den Gräbern wird die Olla in der Regel bei den Füßen oder in der Nähe des Kopfes der Verstorbenen deponiert und enthält oft eine (Schöpf)-Tasse oder eine kleine Kanne. Im Laufe des IFe2 entwickelt sich die Form von Exemplaren mit stark differenziertem Profil und voneinander abgesetzten Körperteilen hin zu stärker bikonischen oder eiförmigen Gefässen mit abgerundeten Konturen. Die frühesten dieser Gefässe weisen eine stark betonte Schulter und einen klar abgesetzten gewölbten Hals auf. Im Verlauf des 8. Jahrhunderts v. Chr. verschwinden allmählich die Übergänge zwischen den einzelnen Körperteilen und die Profile der Ollae werden nun zunehmend fließend und linear⁴⁷⁴. Am Ende des IFe2 kommen auch Exemplare auf hohem Fuss vor. Eine genaue Typenabfolge ist jedoch schwierig festzulegen, da auch Ollae mit abgesetztem, gewölbtem Hals mit typischen Dekorationsmustern der späteren Phase bemalt sein können – und umgekehrt.

In den Arealen Strada und De Leo befanden sich insgesamt sechs Ollae aus vier Gräbern von Frauen und Männern (S4/1,

⁴⁷² Unterschiedliche Benennungen z.B. bei Zancani Montuoro 1970/1971a, 12 Taf. 1c; Kleibrink u. a. 2012a, 103 Abb. 39; Ferranti – Quondam 2015, 71 Abb. 8; Ferranti 2009, 59; Salmena – Scavello 2014, 139. 146 f. 153 f. 159.

⁴⁷³ Siehe Kapitel 8.

⁴⁷⁴ Zur Entwicklung der Form: Ferranti 2009, 59; Kleibrink u. a. 2012a, 103; Nava u. a. 2009, 255–258 Abb. 5. 6; Ferranti 2014, 85–90.

S4/2, S11/1, S11/2, S5/1, S17/1). Diese lassen sich vier Typen zuordnen.

Zwei Exemplare sind durch den klar abgesetzten gewölbten Hals, die gerundete Schulter und einen eher kugeligen Bauch charakterisiert (S4/1, S11/1, Taf. 19. 47)⁴⁷⁵. Beide sind mit geometrischen Mustern bemalt, die zur Klasse *a tenda* der lokalen *matt-painted* Keramik gehören. Am vollständigsten hat sich die Bemalung auf S4/1 erhalten. Am Übergang zwischen Mündung und Hals und zwischen Hals und Schulter befinden sich jeweils drei horizontale Bänder. Zwischen Schulter und Bauch verlaufen zwei horizontale Bänder. Im Bereich der Schulter gut erkennbar sind die beiden aus drei Linien bestehenden länglichen Dreiecke, die ein zeltähnliches Muster bilden – die eben genannte *a tenda*-Verzierung. Oberhalb des einen Henkels sind zudem die Reste eines gemalten X erhalten; ein Motiv, welches als charakteristisch für den *stile vuoto* (sog. leerer Stil) der *tenda*-Verzierung gilt. Das Exemplar S11/1 weist ebenfalls eindeutig *tenda*-Motive auf. Ein X über dem Henkel lässt sich jedoch nur erahnen. Die Musterkombinationen könnten dem *stile vuoto* oder dem *tipo Torre Mordillo* angehören und gelten als typisch für die mittel- und spätgeometrische Keramik (IFe2) der Sibaritide⁴⁷⁶.

Aus denselben beiden Bestattungen stammen die Ollae des zweiten Typus, der sich durch einen bikonischen Körper ohne Unterscheidung zwischen den einzelnen Gefäßabschnitten auszeichnet (S4/2, S11/2, Taf. 19. 48)⁴⁷⁷. Die Bemalungsspuren sind bei beiden Exemplaren sehr spärlich erhalten. Die Olla S4/2 weist auf der Schulter Verfärbungen auf, die sich nicht eindeutig interpretieren lassen⁴⁷⁸. Auf der Olla S11/2 sind noch an drei Stellen Bemalungsreste zu erkennen. Zwei breite, die Mündung umlaufende Bänder befinden sich auf der Randinnenseite. Am Übergang zwischen Rand und Hals gibt es drei weitere Bänder, von denen das mittlere dem *stile a bande ondulate* der lokalen *matt-painted* Keramik zugeschrieben werden kann⁴⁷⁹. Oberhalb der Henkel, auf der Höhe des maximalen Durchmessers des Gefäßes, sind Reste eines weiteren

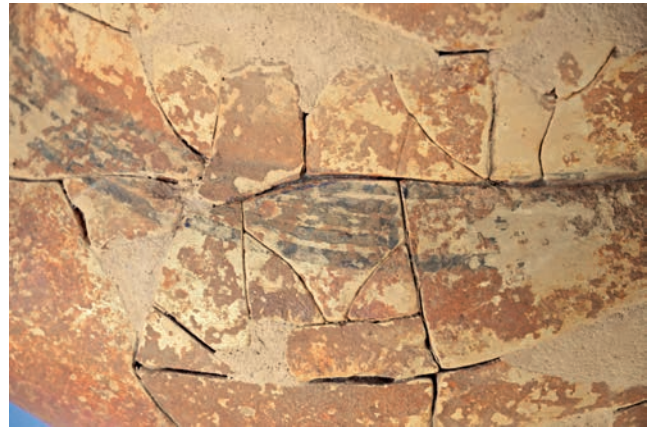


Abb. 3.79 Detail der Verzierung der Olla S5/1.

Bandes erkennbar. Die vorliegende Musterkombination entspricht der von Ferranti definierten Untergruppe 1, welche ab mittelgeometrischer Zeit (IFe2A) belegt ist⁴⁸⁰. Die Gefäßform von S11/2 deutet jedoch auf eine späte Datierung, vermutlich im IFe2B hin, da Schulter und Hals fast fließend ineinander übergehen⁴⁸¹.

Dem dritten Typus zuzuordnen ist die Olla auf hohem Fuss aus Grab Strada 5 (S5/1, Taf. 26). Das Gefäß ist gekennzeichnet durch voneinander abgesetzte Körperteile: Der ausladende Rand, der leicht gewölbte Hals, die niedrige, gerundete Schulter und der konische, gerundete Unterkörper sind klar als solche zu erkennen. Zwei schräg nach oben gerichtete Bandhenkel sind am Übergang von Schulter zu Bauch horizontal angesetzt. Kennzeichnend für diesen Typus ist der hohe, ausladende Fuss mit drei dreieckigen Öffnungen. Die Bemalung besteht aus Gruppen von drei horizontalen Streifen am Übergang zwischen Rand und Hals, am oberen und am unteren Ende des Fusses sowie aus einem Band am Übergang zwischen Hals und Schulter, das in regelmässigen Abständen von trapezförmigen Aussparungen unterbrochen wird. Dieses Band besteht aus drei horizontalen Wellenlinien, die von zwei Streifen gerahmt werden, und ermöglicht eine Zuschreibung zum *stile a bande ondulate*⁴⁸² (Abb. 3.79). Die fünf dreieckigen Motive an der Mündunginnenseite sind ebenfalls typisch für die oinotrischen Produktionen⁴⁸³. Innerhalb des Formenspektrums der oinotrischen Keramik des 8. Jahrhunderts v. Chr. sind Gefässe auf hohem Fuss nicht weit verbreitet⁴⁸⁴. Unter den Exemplaren aus der Macchiabate-Nekropole kann die Olla auf hohem Fuss aus Grab Cerchio Reale 8 als Vergleich

475 Die Form entspricht Typ 2 der Typologie von Salmena und Scavello, dem das Exemplar S4/1 zugeschrieben wurde: Salmena – Scavello 2014, 140.

476 Ferranti – Quondam 2006a, 1190–1194; Quondam 2009, 153 Abb. 3; Ferranti 2009, 46. 54 Abb. 3 Stil 20; Ferranti 2014, 85–90. Vgl. Kapitel 8.

477 Die Form könnte dem Typ 4 von Salmena und Scavello entsprechen: Salmena – Scavello 2014, 140 f. Anders als bei Salmena – Scavello 2014 gehören jedoch die Olla auf hohem Fuss aus Grab Strada 5 und der Krater aus Grab Strada 2 nicht zu diesem Typus.

478 Aufgrund ihrer Lage und ihres Verlaufes könnte es sich um ein *tenda*-Motiv handeln, jedoch ist nicht ausgeschlossen, dass es sich um erhaltungsbedingte Verfärbungen des Tones handeln könnte.

479 Verzierungsmuster des *stile a bande ondulate* bestehen meist aus einer oder mehreren horizontalen Wellenlinien, die von zwei oder mehreren horizontalen Bändern gerahmt sind. Sie sind sowohl in der *matt-painted* Produktion als auch in der sog. oinotrisch-euböischen Keramik in der mittel- und spätgeometrischen Periode belegt. Vgl. Kleibrink u. a. 2012a, 25–27 Typ D1, belegt z. B. S. 87 Schalen Nr. 69. 70; 142–144 Ollae Nr. 175–179. Ferranti 2014, 85–90; Ferranti 2009, 42. 50–57 *sinassi stilistica* 3. Für die Identifizierung des Musters auf der Olla S11/2 danken wir M. Kleibrink.

480 Ferranti 2009, 42 Abb. 2 »linee ondulate comprese tra o alternate a linee orizzontali«; Kleibrink u. a. 2012a, 2. 26.

481 Kleibrink u. a. 2012a, 103; Ferranti 2009, 59.

482 Vgl. bes. Ferranti 2009, 42. 50–57 *sinassi stilistica* 3.

483 Nava u. a. 2009, 269 f. Abb. 17 *motivo ad archi tangenti* LR3.1.

484 Belege von Ollae auf Fuss in Francavilla Marittima: Zancani Montuoro 1977–1979, 35 Nr. 1 Taf. 18 b, Cerchio Reale 8, H 31.3 cm; 68 Nr. 1 Taf. 43, Uliveto 15, H 31.5 cm; Zancani Montuoro 1980–1982, 65 f. Nr. 1 Taf. 36, Temparella 22, Olla mit dreigeteiltem Fuss H 31 cm; Zancani Montuoro 1983/1984, 75 Nr. 1 Taf. 51 a, Temparella 79, H 34 cm; 79 Nr. 1 Taf. 52, Temparella 80, Olla mit gedrungenem Körper, vertikalen Henkeln und hohem Fuss mit vier Öffnungen H 42.8 cm. Vgl. auch die Olla S17/1.

angeführt werden, wenn auch die Form weniger gedungen ist und die Henkel eine unterschiedliche Ausbildung aufweisen⁴⁸⁵. Vergleichbar sind ebenfalls Exemplare aus Roggiano Gravina⁴⁸⁶. Die Präsenz des Fusses wurde in der Sibaritide und in der Basilikata als Hinweis für eine spätere Datierung gegenüber den Exemplaren mit flachem Boden gedeutet⁴⁸⁷.

Der vierte Typus besteht aus einer ovoiden Olla mit fließendem, linearem Profil aus Grab Strada 17 (S17/1, Taf. 70). Charakteristisch sind der schräg nach aussen gerichtete Rand, der sich an der Innenseite scharf vom Hals absetzt, der ovoide Körper, der hohe kegelstumpfförmige Fuss sowie die zwei nach oben vertikal verlaufenden Stabhenkel, die am Bauch horizontal angesetzt sind. Die fließenden Übergänge, der Fuss und die nach oben verlaufenden Henkel sprechen für eine jüngere Zeitstellung innerhalb der Entwicklung der oinotrischen Feinkeramik⁴⁸⁸. Im Mündungsinnen haben sich spärliche Bemalungsreste langgezogener Dreiecke erhalten⁴⁸⁹. Dunkle Spuren finden sich ebenfalls am Übergang zwischen Hals und Schulter. Wie bereits für S5/1 bemerkt, sind Gefässe auf hohem Fuss nur selten belegt, insbesondere unter den Funden aus der Macchiabate-Nekropole. Eine gute Parallele für die Form bildet dennoch das Gefäß aus Grab Temparella 79, das jedoch rundliche Aufsätze auf den Henkeln aufweist⁴⁹⁰. Vergleichbar ist ebenfalls die Olla auf hohem Fuss aus Grab 8 von Roggiano Gravina⁴⁹¹. Die vertikalen Stabhenkel scheinen oft mit dem an der Innenseite durch eine klare Kante abgesetzten Rand gekoppelt zu sein und sind unter den Funden aus Francavilla Marittima ebenfalls selten anzutreffen⁴⁹², kommen jedoch in

anderen Nekropolen Kalabriens vor⁴⁹³. Verbreitet scheinen sie vor allem in der Basilikata zu sein, wo sie regelhafte Bestandteile der Ollae auf hohem Fuss des 7. Jahrhunderts v. Chr. sind⁴⁹⁴.

Camilla Colombi, Sven Billo

Krater

Unter den keramischen Gefäßbeigaben des Grabes De Leo 1 ragt der Krater DL1/1 heraus (Taf. 79). Er ist in zwei separaten Teilen, dem Fuss und dem Gefäßkörper, auf der schnell drehenden Töpferscheibe hergestellt worden. Auch der zugehörige Deckel wurde auf der Töpferscheibe gefertigt.

Ton und Bemalung weisen das Gefäß als Produkt der sog. oinotrisch-euböischen Keramik aus, die nach vorherrschender Meinung vor Ort angefertigt wurde⁴⁹⁵. Der Fuss besitzt die übliche, leicht konische Form mittel- bis spätgeometrischer Kratere, mit breitem Fussteller und einer separaten Rippe, auf der das Gefäß steht. Eine gute Parallele bildet der bekannte Kraterfuss vom Timpone Motta mit dem Pferde fries aus dem Umkreis des Cesnola-Malers⁴⁹⁶. Der Gefäßkörper ist kugelförmig, der Rand mit einem markanten Absatz vom Körper separiert und die Mündung damit vergleichsweise eng. Die Henkel sind in Form von Stierköpfen gestaltet. Von der Stirn der Tiere zum Rand hin führt ein Bügel. Formal orientiert sich das Gefäß damit sehr eng an der Kratertypologie, wie wir sie

485 Zancani Montuoro 1977–1979, 35 Nr. 1 Taf. 18 b, Cerchio Reale 8, H. 31.3 cm. Für die Sichtung seiner neuen, noch unveröffentlichten Zeichnungen der Gefässe aus den anderen Gräbern der Macchiabate-Nekropole möchten wir uns bei Francesco Quondam herzlich bedanken.

486 Carrara – Guzzo 1981, 463 Nr. 12 Abb. 18, 19, Grab 8, H. 28 cm. Vgl. ferner Grab 3: 451 Nr. 9 Abb. 10, H. 20.5 cm, vergleichbarer Fuss, doch der obere Gefäßkörper unterscheidet sich von S5/1. Die Gräber 3 und 8 werden von Quondam 2009 aufgrund der eisernen Schlangenfibel ohne Feder mit bandförmigem Bügel in die Phase IFe2B2 datiert.

487 Die Ollae auf Fuss aus der Nekropole Prunetta (Roggiano Gravina) werden als spätere Variante der kugeligen Ollae gedeutet: Carrara – Guzzo 1981, 481. In der Basilikata sind Exemplare auf hohem Fuss im 7. Jh. v. Chr. belegt: Nava u. a. 2009, 254–258 Abb. 6 Nr. C I v 1.1 aus Alianello (contrada Cazzaiola, Aliano) Grab 267, H 21.5 cm, erste Hälfte 7. Jh. v. Chr.; Nr. C I v 1.2 aus Alianello Grab 346, H 38.4 cm, zweite Hälfte 7. Jh. v. Chr.

488 Ferranti 2009, 59; man vergleiche etwa die Kannen aus dem 7. Jh. v. Chr. aus der Nekropole von Paladino Ovest (Amendolara): de La Genière 2012.

489 Nava u. a. 2009, 269 Abb. 17 für die Varianten dieses Musters in der *mattpainted* Produktion.

490 Zancani Montuoro 1983/1984, 75 Nr. 1 Taf. 51 a, Temparella 79, H 34 cm.

491 Carrara – Guzzo 1981, 463 f. Nr. 12 Abb. 19, Prunetta (Roggiano Gravina) Grab 8, Olla auf hohem Fuss H 28 cm, Datierung IFe2B2.

492 Belege von Ollae auf Fuss mit vertikalen Henkeln in Francavilla Marittima: Zancani Montuoro 1977–1979, 35 Nr. 1 Taf. 18 b, Cerchio Reale 8, H 31.3 cm; 68 Nr. 1 Taf. 43, Uliveto 15, H 31.5 cm; Zancani Montuoro 1980–1982, 65 f. Nr. 1 Taf. 36, Temparella 22, H 31 cm; Zancani Montuoro 1983/1984, 75 Nr. 1 Taf. 51 a,

Temparella 79, H 34 cm; 79 Nr. 1 Taf. 52, Temparella 80, Olla mit gedrunenem Körper, vertikalen Henkeln und hohem Fuss mit vier Öffnungen H 42.8 cm. Die Gefässe sind allerdings in ihrer Form und in der Ausbildung der Henkel, oft mit einem runden Aufsatz, nicht mit dem Exemplar S17/1 vergleichbar.

493 Carrara – Guzzo 1981, 449 f. Nr. 5 Abb. 6, Prunetta (Roggiano Gravina) Grab 2, Olla H 23.5 cm; 451 Nr. 9 Abb. 10, Prunetta (Roggiano Gravina) Grab 3, 'stamosförmige' Olla auf hohem Fuss H 20.5 cm, Datierung IFe2B2; 463 Nr. 12 Abb. 19, Prunetta (Roggiano Gravina) Grab 8, Olla auf hohem Fuss H 28 cm, Datierung IFe2B2; Luppino u. a. 2004, 534 f. Nr. 11 Abb. 3, Mastrodalfio-Pietà (Bisignano), wohl IFe2B.

494 Castoldi – Malnati 1984, 48 Nr. 4 Taf. 12B, Valle Sorigliano (Santa Maria d'Anglona, Tursi) Grab 3, Mitte 8. Jh. v. Chr. Vasen mit vertikalen Henkeln, ohne Fuss, aus Valle Sorigliano (Santa Maria d'Anglona, Tursi): Frey 1991, 21 Taf. 6 Nr. 28, Grab 97; Taf. 33 Nr. 32, Grab 124; S. 29 Taf. 42 Nr. 3, Grab 133. Olla mit vertikalen Henkeln, ohne Fuss, aus Incoronata (San Teodoro, Pisticci): Chiarano 1994, 183 Taf. 27, Grab 228, Typ B2c. Zur Verbreitung von vertikalen Stabhenkeln im Laufe des 7. Jhs. v. Chr. als Attribut der Ollae auf hohem Fuss siehe Nava u. a. 2009, 255 und vgl. S. 291 f. Abb. 5 Nr. 5 B I c 1.1, San Vito (Guardia Perticara) Grab 443, erste Hälfte 7. Jh. v. Chr.; Abb. 6 Nr. B I c 3.3, Alianello (contrada Cazzaiola, Aliano) Grab 324, erste Hälfte 7. Jh. v. Chr.; Abb. 6 Nr. B I c 3.2, San Vito (Guardia Perticara) Grab 225, zweite Hälfte 7. Jh. v. Chr.; Abb. 6 Nr. B I c 4.1, Alianello (contrada Cazzaiola, Aliano) Grab 417, zweite Hälfte 7. Jh. v. Chr.; Abb. 6 Nr. B I c 5.1, Alianello (contrada Cazzaiola, Aliano) Grab 126, erste Hälfte 7. Jh. v. Chr.; Abb. 6 Nr. C I v 1.2, Alianello (contrada Cazzaiola, Aliano) Grab 346, zweite Hälfte 7. Jh. v. Chr.

495 Zu den sog. oinotrisch-euböischen Keramiken siehe Jacobsen 2007; Jacobsen u. a. 2008/2009, 89–96; Jacobsen u. a. 2009; Jacobsen – Handberg 2012.

496 Jacobsen u. a. 2008/2009, 92. 94 Abb. 4 e; Jacobsen u. a. 2009, 212 f. Abb. 8.



Abb. 3.80 Attisch-mittelgeometrischer Krater mit Henkeln in Gestalt von Rinderprotomen, H 66 cm. Paris, Musée du Louvre, CA6827.



Abb. 3.81 Krater mit Bügelhenkel, H 34,5 cm. Zürich, Archäologische Sammlung der Universität, Inv. 3779.

aus Griechenland kennen. Ein attisch-mittelgeometrischer Krater im Louvre mit analoger Henkelgestaltung sei hier als Beispiel genannt (Abb. 3.80)⁴⁹⁷. Er teilt mit dem Gefäß von Francavilla Marittima auch die charakteristischen Knuppen seitlich der Henkel, welche die Niete imitieren, mit denen die Henkel von Metallgefäßen befestigt waren. Dieses Detail findet sich auch in der griechischen Keramik nur selten⁴⁹⁸ und an Gefäßen aus dem italischen Raum ist es m. W. noch nie beobachtet worden. Es legt ein beredtes Zeugnis dafür ab, wie gut der Töpfer des Kraters von Francavilla Marittima mit der griechischen Gefäßtradition vertraut war.

Eine Besonderheit des Kraters DL1/1 stellt die stark eingezogene Schulter mit der vergleichsweise engen Mündung dar. Vor dem Hintergrund der einheimischen Keramikproduktion erinnert diese Besonderheit möglicherweise mehr als nur zufällig an die Form der Olla⁴⁹⁹. Allerdings besitzen auch die Kratere des griechischen Mutterlandes des Öfteren eingezogene Schultern, vorab diejenigen der mittelgeometrischen Stufe. In Eretria stellen S. Verdan, A. Kenzelmann Pfyffer und C. Léderrey eine Entwicklung von kugeligen zu tiefen Krateren ab der Stufe Mittelgeometrisch II fest⁵⁰⁰. Ein Gefäß aus Kyme, das von A. Sapouna-Sakellaraki nach Mittelgeometrisch II datiert wird⁵⁰¹, entspricht unserem Gefäß aus Francavilla Marittima

besonders gut. Auch in Athen setzt am Übergang von Mittelgeometrisch II zu Spätgeometrisch I eine Entwicklung ein, die von kugeligen Formen zu zunehmend tieferen Gefäßen mit weiter Mündung führt⁵⁰². Die Randbildung unseres Gefäßes scheint diese typochronologische Einordnung zu bestätigen. Mit seinem langrechteckigen Querschnitt unterscheidet sich der Rand unseres Gefäßes vom dreieckigen Randprofil späterer Kratere, die zudem oft stärker nach aussen geneigt sind. In absoluten Daten ergibt sich damit für die Formmerkmale des Kraters DL1/1 – nach der herkömmlichen Chronologie der mutterländisch-griechischen Keramik⁵⁰³ – am ehesten ein Entstehungsdatum um die Mitte des 8. Jahrhunderts v. Chr. Die einfache geometrische Verzierung, von der gleich die Rede sein wird, scheint diesen Ansatz zu bestätigen.

Zuvor sei jedoch noch ein Blick auf vergleichbare Kratere aus Italien geworfen, wo namentlich aus Pithekoussai und aus dem südlichen Etrurien eine grössere Zahl von vergleichbaren Gefäßen belegt ist. Was die Funde des erstgenannten Ortes betrifft, so bietet sich insbesondere der Krater Nr. 3 aus Grab 168 zum Vergleich an, der wie DL1/1 zoomorph ausgebildete Kompositenhenkel besitzt und auch in Bezug auf seine kugelige Form und die Dekoration mit einem einfachen Mäandermuster dem Exemplar aus Francavilla Marittima am nächsten steht⁵⁰⁴. Das Grab, aus dem auch der bekannte Nestor-Becher stammt, wird von Giorgio Buchner und David Ridgway in die Stufe Spätgeometrisch II und damit gegen Ende des 8. Jahrhunderts v. Chr. datiert, woraus sich für unseren Keramikvergleich eine nur schwer erklärliche zeitliche Divergenz ergibt. Unlängst hat jedoch Valentino Nizzo die Geschlossenheit des Fundensembles in Frage gestellt, und insbesondere die darin vorkommenden vier Kratere als Bestandteile einer nahe gele-

497 Coulié 2013, 45 Abb. 11.

498 Vgl. z. B. das Fragment eines attisch-spätgeometrischen Kraters aus Brauron: Xagorari-Gleissner 2008, 163; oder auch ein argivisches Exemplar: Courbin 1966 113 Nr. C201 Taf. 43 a. b.

499 Bei einem formal verwandten, vermutlich etwas jüngeren Gefäß der italo-geometrischen Keramik im Antikenmuseum Basel und Sammlung Ludwig offenbart sich die Nähe zur Olla mit enger Mündung noch deutlicher: Martelli 1987, 76. 250 f. Nr. 19 (um 700 v. Chr., *olla su piede*). Die wechselseitige Beeinflussung der einheimischen und der griechischen Keramiktradition wird auch in Gefäßen wie S2/1 oder S5/1 offenbar (siehe unten).

500 Verdan u. a. 2008, 91 f.

501 Sapouna-Sakellaraki 1998, 77 Nr. 119; 93 Abb. 33,2; 95 Abb. 35,2; 103 Abb. 43,3.

502 Davison 1961, 113; Coldstream 1968, Taf. 5 f (mittelgeometrisch II); Taf. 8 a. b (spätgeometrisch I).

503 Übersicht bei Verdan u. a. 2008, 106–111 Tab. 1 Taf. 1.

504 Buchner – Ridgway 1993, 217 f., Grab 168 Nr. 3 Taf. CXXIX. 69.



Abb. 3.82 Krater mit Deckel, H 35,5 cm (mit Deckel). Basel, Antikenmuseum Basel und Sammlung Ludwig, BS 406.1963.

genen Pyra gedeutet, die von den Ausgräbern fälschlicherweise mit dem Grab verbunden worden seien⁵⁰⁵. Die Diskussion um diese Frage ist zurzeit noch im Gange. Als chronologische Referenzpunkte sind die vier aussergewöhnlichen Gefässe von Pithekoussai jedoch nur von bedingter Aussagekraft.

Formal vergleichbare Kratere sind auch aus dem südlichen Etrurien bekannt, insbesondere aus der Gegend von Vulci, wo offenbar schon früh eine lokale, an griechisch-euböischen Vorbildern orientierte Produktion eingesetzt hat⁵⁰⁶. Dem Exemplar DL1/1 besonders nahe stehen der Krater aus dem Grab B von Mandrione di Cavalupo⁵⁰⁷ sowie ein Exemplar aus der Sammlung Pesciotti in der Villa Giulia⁵⁰⁸, die von E. La Rocca als Nachahmungen euböischer Produkte angesehen und ins dritte Viertel des 8. Jahrhunderts v. Chr. datiert wurden. Auch ein Krater in der Sammlung des Archäologischen Instituts Zürich ist hier anzuschliessen (Abb. 3.81)⁵⁰⁹. Die Gefässe stimmen mit unserem Exemplar aus Francavilla Marittima nicht nur im Hinblick der kugelförmigen Form des Körpers und der Randbildung überein, sondern schliessen sich mit diesem auch hinsichtlich des Formats zu einer Gruppe zusammen. Der Krater von Mandrione di Cavalupo ist 32,5 cm hoch, jener der Sammlung Pesciotti misst 27,6, während der Zürcher Krater mit 34,5 cm gewissermassen die Brücke zum Exemplar aus Francavilla mit einer Höhe von 40 cm bildet. Alle Gefässe sind damit deutlich kleiner als ihre Pendants in Griechenland.

505 Nizzo 2007, 33–36; Nizzo 2016, 64.

506 Canciani 1976, 26–29; Isler 1982, 173–175; Isler 1983, 9–48; Martelli 2008, 2–30.

507 La Rocca 1978, 469–471 Abb. 1.

508 La Rocca 1978, 470–473 Abb. 2.

509 Isler 1982, 173–175 Taf. 32 (ca. 750–725 v. Chr.); Martelli 1987, 244 Nr. 5 (750–725 v. Chr.).

Die angesprochenen Bezüge zur italisch-geometrischen Keramik aus Mittelitalien machen deutlich, dass die kulturgeschichtliche Bedeutung des Kraters DL1/1 nicht alleine aus der Perspektive der mutterländisch-griechischen Keramik zu erschliessen ist. Vielmehr steht unser Krater im übergeordneten Kontext einer griechischen bzw. an griechischen Vorbildern orientierten Keramikproduktion in Italien. Er steht damit gerade in Francavilla Marittima nicht allein, sondern fügt sich in die Gesamtproduktion der hier lokalisierten sog. oinoitrisch-euböischen Keramik ein. Zu dieser gehören auch Kratere, von denen im Umfeld des grossen Absidenhauses Vb auf der Hügelspitze des Timpone Motta diverse Fragmente, einschliesslich des bekannten Fusses mit dem Pferdefries⁵¹⁰, gefunden worden sind⁵¹¹. Weitere Exemplare sind aus der sog. Area Rovitti am Südfuss des Siedlungshügels bekannt⁵¹². Zu erwähnen ist in diesem Zusammenhang ausserdem ein ganz erhaltener Krater im Basler Antikenmuseum und Sammlung Ludwig (BS 406, Abb. 3.82), der von M. Martelli aus stilistischen Gründen ebenfalls mit Francavilla in Verbindung gebracht wurde⁵¹³. Unabhängig davon, ob diese Zuschreibung zutrifft oder nicht, gehört auch dieses Gefäss unverkennbar zum Kreis der mit DL1/1 eng verwandten italisch-geometrischen Kratere. Allerdings unterscheidet es sich vom Exemplar aus dem Grab De Leo 1 durch seinen insgesamt tieferen Körper. Die figürlichen Kriegerfriese, mit denen der Basler Krater verziert ist, legen eine Datierung des Gefässes gegen Ende des 8. Jahrhunderts v. Chr. nahe. Der Basler Krater bestätigt damit die oben bereits für die Keramikproduktion Griechenlands angesprochene Entwicklung von kugelförmigen zu immer tieferen Gefässen im Verlaufe der zweiten Hälfte des 8. Jahrhunderts. Formal lässt sich dem Krater BS 406 des Basler Antikenmuseums und Sammlung Ludwig ein vor wenigen Jahren im Bereich des Cerchio Reale geborgener Krater zur Seite stellen, der seine Bemalung völlig verloren hat bzw. von Anfang an unbemalt war (Abb. 3.83)⁵¹⁴. Noch deutlicher als beim Basler Gefäss ist der Bauch in diesem Fall als tiefes Becken gestaltet. Ein schmaler, hoher Fuss und ein relativ hoher vertikaler Rand vervollständigen zusammen mit zwei Steigbügelhenkeln das Erscheinungsbild des Gefässes. F. Quondam hat es überzeugend mit euböischen Krateren der spätgeometrischen Epoche verbunden und mit dem zum Vergleich herangezogenen Krater aus Amathus⁵¹⁵ eine Datierung zwischen 740 und 720 v. Chr. wahrscheinlich gemacht⁵¹⁶. Noch näher stehen ihm attische Kratere aus dem Umfeld der Dipylongruppe, wie z.B. das Exemplar des Hirschfeldmalers in New York, das ebenfalls in

510 Siehe oben Anm. 496.

511 Jacobsen 2007, 46–48 Nr. 46–51. 53. 54 Abb. 1 Taf. 20–24; Jacobsen – Handberg 2010, 26–28 Abb. 10, a. d. e.

512 Jacobsen – Handberg 2012, 695 Abb. 7, e (vgl. auch den Deckel ebenda Abb. 7, d).

513 Descœudres 1981, Taf. 3, 8; 4, 1; Isler 1983, 28 Nr. e 2. 41. 43 Taf. 5, 13–17; Reusser 1988, 20 f. E 13; Martelli 2008, 10.

514 Quondam 2014, 28–30 Abb. 8.

515 Coldstream 1987, 24 Nr. 9 Taf. 8. 12.

516 Quondam 2014, 28 f. Anm. 73.

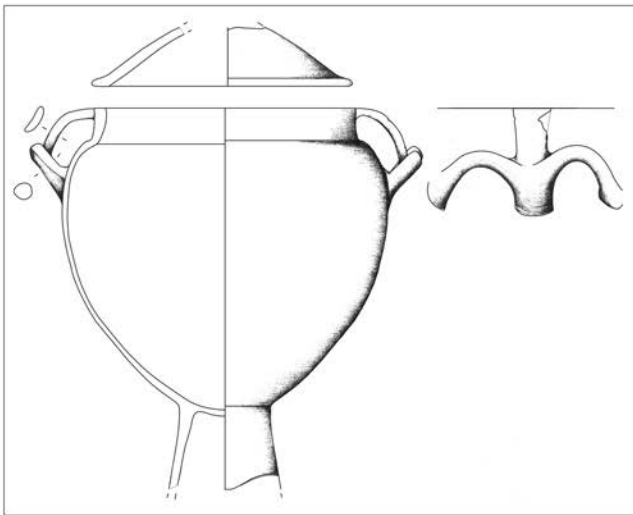


Abb. 3.83 Krater mit Deckel, H 43,0 cm (Gefäss). Streufund von der Macchiabate-Nekropole, Francavilla Marittima. Museo Nazionale Archeologico della Sibaritide.

den Zeitraum um 740–720 v. Chr. datiert wird⁵¹⁷. In Italien kann ihm am ehesten der bekannte Krater aus Pescia Romana im Museum von Grosseto zur Seite gestellt werden, der für ein euböisches Importstück gehalten, zeitlich jedoch eher etwas später, zwischen 730 und 710 v. Chr., angesetzt wird⁵¹⁸.

Vom Krater aus Grab De Leo 1 unterscheidet sich der oben erwähnte Krater aus dem Areal des Cerchio Reale nicht nur durch seine Form, sondern auch durch seine Grösse. Mit einer erhaltenen Gesamthöhe von 41.6 cm ist er rund ein Viertel grösser als der Krater DL1/1. Auch darin offenbart sich vermutlich seine etwas jüngere Zeitstellung, entsprechen doch die gesteigerten Dimensionen einer allgemeinen Tendenz der spätgeometrischen Keramik Griechenlands, in der zunehmend grössere und höhere Kratere beliebt wurden. Billigt man der formalen Differenz der beiden Kratere aus den Gräbern der Macchiabate-Nekropole eine chronologische Relevanz zu, so bestärkt sich insgesamt die Annahme, dass der Krater aus dem Grab De Leo 1 etwas früher entstanden ist als sein Gegenstück aus dem Areal des Cerchio Reale und damit um die Mitte bzw. am Anfang der zweiten Hälfte des 8. Jahrhunderts v. Chr. einzuordnen ist.

Ein abschliessendes Wort sei schliesslich noch zum Dekor gesagt. Während die Verzierung des Deckels mit einem Fries von konzentrischen Kreisen gut erkennbar ist, lässt sich jene des Gefässkörpers selbst nur noch partiell rekonstruieren. Auch hier war im unteren Bereich des Bauches ein Fries von konzentrischen Kreisen dargestellt. Auf der Schulter sind die Reste eines Mäanderornaments zu erkennen, das sich jedoch im Einzelnen nicht mehr rekonstruieren lässt. Ein entsprechendes Mäandermotiv ist auch auf einem Fragment vom Timpone Motta überliefert⁵¹⁹. Ähnliche Dekorationsmuster kehren überdies in der geometrischen Keramik von Pithekoussai und

wiederum auf geometrischen Kratern aus Etrurien wieder. Insgesamt wirkt das Ornament auf der Schulter unseres Kraters eher nachlässig ausgeführt. Anders als der Töpfer, der mit dem griechischen Formenkanon bestens vertraut war, scheint sich der Maler mit dem ornamentalen Repertoire der griechischen Keramik nur bedingt ausgekannt zu haben, vielleicht ein bezeichnendes Charakteristikum einer Keramikproduktion, die gewissermassen zwischen zwei Welten, der griechischen und der einheimisch-italischen, steht.

Martin A. Guggisberg

Kraterartiges Gefäss

Das im Grab Strada 2 freigelegte Gefäss S2/1 verfügt über einen geraden, auf der Aussenseite verstärkten Rand (Taf. 13). Der Rand ist kurz und deutlich vom gerundeten, doppelkonischen Gefässkörper abgesetzt. Letzterer steht auf einem konischen Hohlfluss. Im Schulterbereich waren einst zwei schräg nach oben angesetzte, horizontale Stabhenkel angebracht, von denen allerdings nur einer erhalten ist. Bemalungsspuren konnten nicht festgestellt werden, an einigen Stellen ist die rot glänzende Oberfläche noch erkennbar.

Hergestellt wurde das Gefäss vermutlich mit einer kombinierten Technik⁵²⁰. Die im Inneren des Gefässkörpers noch gut abgezeichneten Spuren der Wülste machen deutlich, dass der Körper mittels Wulsttechnik aufgebaut und anschliessend auf der langsamen Töpferscheibe geglättet wurde. Der Fuss ist dagegen scheibengedreht⁵²¹. Aufgrund des hohen Fusses, der Randbildung sowie der Form und Lage der Henkel stellt das Gefäss eine Sonderform innerhalb des Formenspektrums der oino-trischen Keramik dar, die sich nur schwer benennen lässt. Das Exemplar zeugt von einem Einfluss aus der griechisch-geometrischen Formenwelt. Die stark ausgeprägte bikonische Form und der Ton machen jedoch klar, dass es sich um ein lokal angefertigtes Gefäss handelt. Das Exemplar scheint somit der oino-trisch-euböischen Produktion anzugehören, zu der auch weitere grossformatige Gefässe aus der Macchiabate-Nekropole zugeordnet werden – namentlich der Krater DL1/1 und der Krater aus dem Areal des Cerchio Reale⁵²². Somit gilt das Gefäss S2/1 als gutes Beispiel einer hybriden Form: Auf der Basis der lokal weit verbreiteten bikonischen Olla werden Elemente hinzugefügt, die klar dem griechisch-geometrischen Formenspektrum entstammen – wie etwa der gerade Rand oder der hohe, scheibengedrehte Fuss. Die Integration fremdartiger Formen und Einflüsse wird schliesslich in der Verwendung des Behälters deutlich: Das kraterartige Gefäss nimmt im

520 Vgl. Kapitel 8.4.2.

521 Für die Herstellungstechniken von Keramik, insbesondere zu den kombinierten Techniken und der langsamen Töpferscheibe vgl. Fasanello Masci 2016, 25–37 sowie unten Kapitel 8.2.

522 Quondam 2014, 28–30 Abb. 8. Für die sog. oino-trisch-euböische Produktion siehe Jacobsen u. a. 2008/2009, 89–96; Jacobsen u. a. 2009; Jacobsen – Handberg 2012.

517 Picón u. a. 2007, 48. 413 Nr. 29.

518 Martelli 1987, 66 Abb. 3 (H 49.5 cm); 242 Nr. 3.

519 Jacobsen 2007, Nr. 54 Taf. 24.

Grabbefund die Funktion der ansonsten üblichen Olla ein, wie die im Inneren gefundene Tasse S2/2 beweist⁵²³.

Für eine genaue zeitliche Einordnung bietet die Sonderform keine Anhaltspunkte. Ihre Zuschreibung zur oinotrisch-eböischen Produktion ermöglicht eine allgemeine Datierung in die Phase IFe2/IFe2B.

Sven Billo, Camilla Colombi

Kanne

Kannen sind die am häufigsten belegte Gefäßform der oinotrischen Keramik im IFe. Dabei handelt es sich um geschlossene Gefäße von mittleren bis grossen Dimensionen (bis ca. 30 cm Höhe) mit einem zwischen Rand und Schulter vertikal angesetzten Band- oder Stabhenkel. Sie sind meistens von Hand geformt, nur in vereinzelten Fällen gibt es Hinweise auf die Verwendung der Töpferscheibe. Ihre stilistische Entwicklung scheint analog derjenigen der Ollae zu verlaufen. In einer ersten Phase verfügen sie über einen klar vom eiförmigen oder bikonischen Gefässkörper abgesetzten Hals. Im Laufe des 8. Jahrhunderts v. Chr. wird diese Trennung allmählich schwächer, bis sie im IFe2B im Profil nicht mehr zu erkennen ist⁵²⁴.

Die Funktion der Kanne im Grab scheint jener der Olla zu entsprechen: Sie wird beim Kopf oder bei den Füßen der Verstorbene deponiert und enthält sehr oft eine Tasse⁵²⁵. In den Gräbern der Macchiabate-Nekropole sind Kanne und Olla sehr selten im gleichen Grab dokumentiert⁵²⁶. Auch dieser Befund spricht dafür, dass Olla und Kanne eine ähnliche Funktion hatten und letztere – trotz ihrer divergierenden Zweckbestimmung – im Grab weniger als Schankgefäß, sondern als Behälter von flüssigen oder festen Nahrungsmitteln diente, was die Präsenz der (Schöpf)-Tasse in ihrem Inneren erklären würde.

Unter den Gefässen aus dem Areal Strada befinden sich insgesamt sieben Kannen aus sieben Gräbern von Frauen, Männern und Kindern (S6/1, S8/1, S7/1, S13/1, S14/1, S15/1, S17/2). Diese Kannen weisen unterschiedliche Formen auf und lassen sich nur grob drei Gruppen zuschreiben.

Eine erste Gruppe besteht aus zwei Exemplaren (S7/1, S15/1, Taf. 36. 62) mit klar abgesetztem, gewölbtem Hals, gerundeter Schulter, kugeligem Bauch und vertikal angesetztem Stabhenkel zwischen Bauch und Rand. Der Rand ist nach

aussen gebogen, der Boden kann flach und leicht konkav oder leicht abgesetzt sein. Auf beiden Exemplaren haben sich nur geringe Spuren der *matt-painted* Bemalung erhalten. Im Falle von S7/1 handelt es sich wohl um horizontale Bänder am Übergang vom Hals zur Mündung und von der Schulter zum Hals, auf S15/1 sind vier Dreiecke im Inneren der Mündung gut erkennbar – ein für die lokale *matt-painted* Ware typisches Muster⁵²⁷. Die strukturierte Gestaltung der beiden Kannen wird als Merkmal der oinotrischen Keramik der Phase IFe2A angesehen⁵²⁸. Exemplare ähnlicher Form, mit leicht gewölbtem Hals, sind gut in Torre Mordillo (Spezzano Albanese) belegt und werden aufgrund der Verzierung im *stile a bande ondulate* in der Phase IFe2A datiert⁵²⁹. Das Exemplar S15/1 findet eine gute Parallele im Grab Lettere A, was ebenfalls für eine frühe Datierung des Stückes spricht⁵³⁰. Die Kanne S7/1 ist besonders gut mit dem Exemplar aus Grab Vigneto 6 vergleichbar und steht ebenfalls den Kannen aus den Gräbern Temparella 21 und Temparella 27 nahe – allerdings handelt es sich dabei um drei Komplexe aus der jüngeren Phase der Macchiabate-Nekropole⁵³¹.

Die zweite Gruppe umfasst die Kannen mit fließendem, linearem Profil (S14/1, S17/2). Es handelt sich dabei um zwei sehr unterschiedliche Exemplare. Die Kanne S14/1 hat einen ausbiegenden, runden Rand (Taf. 58). Am Übergang zwischen Rand und Hals sind feine Streichspuren erkennbar, die vermutlich von der Glättung der Oberfläche stammen. Hals, Schulter und Bauch verschmelzen zu einem einzigen eiförmigen Gefässkörper, was für eine eher späte Datierung spricht⁵³². Kannen mit fließendem Profil sind auch in anderen Gräbern

527 Nava u. a. 2009, 269 Abb. 17 *motivo quadrangolare* LR1.1.

528 Ferranti 2009, 61; Nava u. a. 2009, 258 Abb. 7 für eine ähnliche Entwicklung in der Basilikata, vgl. insb. Abb. 7 Nr. BVIIa1.1 aus San Pasquale (Chiaromonte) Grab 1, zweite Hälfte 9. Jh. v. Chr. und Nr. BVIIa1.2 aus Valle Sorigliano (Santa Maria d'Anglona, Tursi) Grab 28, erste Hälfte 8. Jh. v. Chr.

529 Cerzoso – Vanzetti 2014, 255–258 Nr. 971. 975–978, Datierung IFe2A.

530 Zancani Montuoro 1977–1979, 13–15 Nr. 1 Taf. 6 a. Das Grab wird von F. Quondam in seine erste Phase (800–750 v. Chr.) eingeordnet; für diese und weitere Informationen zur neuen zeitlichen Einordnung der Gräber aus den Grabungen von P. Zancani Montuoro bedanke ich mich bei F. Quondam. Die Vergleiche basieren ebenfalls auf den noch unveröffentlichten Zeichnungen der Gefäße von F. Quondam, die vom Autor freundlicherweise zur Verfügung gestellt wurden. Ferner vgl. auch die Kanne aus Grab Cerchio Reale 10, jedoch mit Bandhenkel: Zancani Montuoro 1977–1979, 36 Nr. 1 Taf. 19 b; erste Phase von F. Quondam. Erwähnt sei auch ein fragmentiertes Exemplar mit ähnlichem Profil und Verzierung im *stile a frange* aus dem Timpone Motta, das jedoch in eine jüngere Phase datieren dürfte: Kleibrink 2015, 126 Nr. 236; Kapitel 8.

531 Zancani Montuoro 1977–1979, 82 f. Nr. 10 Taf. 50. Vgl. auch die Kannen aus den Gräbern Temparella 21 und Temparella 27, die jedoch eine leicht unterschiedliche Ausbildung des Randes aufweisen: Zancani Montuoro 1980–1982, 63 f. Nr. 9 Taf. 35; 88–91 Nr. 1 Taf. 52. Die drei Gräber gehören zur zweiten Phase (ca. 750–720 v. Chr.) von F. Quondam.

532 Die auffällig grosse Wanddicke von nahezu 1 cm wird von M. Fasanello Masci dagegen als Indiz für eine frühe Zeitstellung des Exemplars gedeutet: vgl. Kapitel 8.

523 Gerade die Varianten der üblichen Gefässkombination Olla/Kanne und Tasse unter Verwendung von gräzisierungsförmigen Formen machen laut S. Grove Saxkjær (2017, 22–24) deutlich, dass diese Kombination als ethnischer Marker für die oinotrischen Bestattungen gelten kann.

524 Für die Entwicklung der Form: Ferranti 2009, 61; Nava u. a. 2009, 258 Abb. 7; Ferranti 2014, 85–90.

525 Die Kombination von Kanne und Tasse ist besonders in Francavilla Marittima und in Valle Sorigliano (Santa Maria d'Anglona, Tursi) verbreitet, vgl. Ferranti – Quondam 2015, 63 Abb. 8.

526 Eine Ausnahme bildet das Kriegergrab Strada 17, in dem Olla, Tasse, Kanne und eine Bronzeschale kombiniert waren.

der Macchiabate belegt, doch ist ihre Form bikonisch und viel gedrungener als beim Exemplar S14/1⁵³³. Eine genaue Entsprechung für die schmale und gelängte Körperform von S14/1 scheint bisher zu fehlen. Die kleine, kugelige Kanne S17/2 ist durch ihre Dünnwandigkeit gekennzeichnet, die eine Herstellung auf der Töpferscheibe nahelegt (Taf. 70)⁵³⁴. Das Profil verläuft vom ausladenden Rand bis zum flachen Boden sehr regelmässig und findet passende Parallelen weder unter den Funden aus der Macchiabate-Nekropole noch aus den benachbarten Fundstellen⁵³⁵. Der vertikal angesetzte Bandhenkel ist ebenfalls ungewohnt und verleiht der Kanne eher den Aspekt einer grossen Tasse. Dass sie nicht als gewöhnliche Kanne verstanden wurde, kann eventuell auch ihre ungewöhnliche Vergesellschaftung mit einer Olla verdeutlichen.

Die dritte Gruppe besteht aus nur einem Exemplar aus Grab Strada 8 (S8/1, Taf. 39). Die Kanne weist einen kugeligen bis linsenförmigen Körper und einen konkaven, nicht abgesetzten Hals auf. Der kleeblattförmige Ausguss hat einen gerundeten Rand. Der Standboden ist leicht konkav. Der Bandhenkel verläuft vertikal von der Lippe auf die Gefässschulter. Aussergewöhnlich sind die Kleeblattmündung und die zumindest teilweise Herstellung auf der Töpferscheibe⁵³⁶. Als potentieller Vergleich auf der Macchiabate-Nekropole dient einzig die Kanne aus dem Kindergrab Temparella 89, welches von J. de La Genière einer deutlich jüngeren Zeitstufe, zwischen 700 und 630 v. Chr., zugeschrieben wird⁵³⁷. Die Form der Kanne S8/1 ist aber weniger regelmässig. Die in der Aufsicht kleeblattförmige Gefässmündung ist in der griechischen Keramik seit geometrischer Zeit bezeugt und wird auch im früheisenzeitlichen Süditalien mit dem griechischen Einfluss in Verbindung gebracht⁵³⁸. Die Kleeblattmündung an sich ist jedoch auch für Krüge der einheimischen *matt-painted* Keramik belegt⁵³⁹. Im östlichen Sizilien scheinen zudem Exemplare mit Kleeblattmündung seit der frühen Eisenzeit allgemein verbreitet zu sein⁵⁴⁰.

Unter den Grabbeigaben der Nekropole von Canale-Janchina (Locri) lässt sich für das 8. Jahrhundert v. Chr. eine lokale Keramikproduktion nach griechischen Vorbildern besonders gut fassen. Darunter befindet sich eine Reihe von bemalten Kannen mit kugeligem oder linsenförmigem Körper und Kleeblattmündung⁵⁴¹. Zwei Exemplare aus Grab 108 weisen eine mit der Kanne S8/1 gut vergleichbare Form auf – wenn auch der Übergang zwischen Hals und Körper stärker betont und der Henkel etwas höher sind⁵⁴². Wurde in der frühen Forschung zu Beginn des 20. Jahrhunderts noch von griechischen Importen ausgegangen, wird mittlerweile die Meinung vertreten, dass es sich bei der griechisch anmutenden Keramik von Canale-Janchina (Locri) um italische Produktionen handelt⁵⁴³. Anders als bei der italo-geometrischen Keramik der tyrrhenischen Küste, die im Allgemeinen erst nach der Gründung der ersten griechischen Kolonien in Süditalien datiert wird⁵⁴⁴, kommen in Kalabrien schon früher gräzisierungsfördernde Produktionen vor, die als Ergebnis von intensiven und langjährigen Kontakten zu griechischen Akteuren gedeutet werden. Neben den Keramiken aus Canale-Janchina (Locri) gehört die seit dem IFe2A belegte sog. oinotrisch-euböische Ware aus Francavilla Marittima zu den lokalen Erzeugnissen, die stark von griechischen und insb. euböischen Dekorationsmustern beeinflusst sind⁵⁴⁵. Die Kanne S8/1 lässt sich somit der Gruppe von Gefässen zuschreiben, die in Anlehnung an griechische Traditionen in Süditalien schon im Laufe des 8. Jahrhunderts v. Chr. hergestellt wurden.

Schliesslich sind zwei weitere Kannen S6/1 und S13/1 zu erwähnen, die sich jedoch aufgrund ihrer fragmentarischen Erhaltung nicht eindeutig bestimmen lassen. Der rekonstruierbare Teil des Profils von S6/1 deutet auf eine Form mit abgesetztem Hals hin, vergleichbar mit den Exemplaren S7/1 und S15/1. Für S13/1 ermöglichen die spärlichen Bemalungsspuren am Hals keine weiteren Rückschlüsse auf die restliche Bemalung, da sie sowohl auf Kannen mit *a tenda*-Motiven, als auch auf solchen mit *bande ondulate* belegt sind⁵⁴⁶.

533 Vgl. die Kannen aus den Gräbern Oliveto 13 und Temparella 61/62: Zancani Montuoro 1977–1979, 62–64 Nr. 4 Taf. 40; Zancani Montuoro 1983/1984, 25–31 Nr. 3 Taf. 14 a. Die Gräber gehören zur zweiten Phase (ca. 750–720 v. Chr.) von F. Quondam.

534 Siehe Kapitel 8.

535 Eine Kanne mit kugeligem Körper, sehr kurzem Hals und einem kleinen, vertikal angesetzten Rundhenkel kam im Männergrab Est 6 während der Kampagne 2016 zum Vorschein: Guggisberg u. a. 2017, 85 f. Abb. 5 Taf. 12, 5. Ein weiterer kugeliges Krug stammt aus Grab 139 von Valle Sorigliano (Santa Maria d'Anglona, Tursi): Frey 1991, 30 Taf. 44, 8. Vgl. ferner die kugeligen, regelmässig ausgeführten Tassen wie S4/3.

536 M. Fasanella Masci leitet die Körperform von den Askoi ab, mit welchen sie auch technologische Übereinstimmungen konstatiert. Siehe Kapitel 8.

537 De La Genière 1994, 157; Zancani Montuoro 1983/1984, 105 Taf. 71 a.

538 Schiering 1983, 152.

539 Yntema 1990, 135.

540 Erste Exemplare im westlichen Mittelmeerraum gibt es aber bereits in der späten Bronzezeit mit zwei Beispielen aus Molino della Badia (Madonna del Piano, Grammichele), die laut L. Bernabò-Brea möglicherweise auf phönizische Einflüsse zurückgehen: Bernabò-Brea u.

a. 1969, 214. Dass es sich bei der Kleeblattmündung um eine eigenständige, lokale Entwicklung handelt, wird nicht angenommen.

541 Mercuri 2004, 34 Nr. 50, Grab 92; 37 f. Nr. 64, 65, Grab 108; 46 Nr. 107 im Museum von Locri.

542 Mercuri 2004, 37 f. Nr. 64, 65; 118 f. Abb. 37, 1; vgl. 116 f. Abb. 36, 4 Kanne aus Grab 1792 von Suessula; 99 f. Anm. 227 Abb. 27, 2 Exemplar aus Villasmundo.

543 Åkerström 1943, 44; Mercuri 2004, 127–131 deutet die Produktion als Ergebnis des Austausches mit Griechen, die sich in der Nähe niedergelassen bzw. ein Emporium gegründet hatten.

544 Mangani 2004, 861 f.

545 Jacobsen u. a. 2008/2009; Jacobsen u. a. 2009, 216.

546 Vgl. Valle Sorigliano (Santa Maria d'Anglona, Tursi) Grab 103 und 154; Frey 1991, 60 Taf. 14; 97 Taf. 51.

Askos

Als Askos wird eine geschlossene Gefässform mit dezentriertem Ausguss bezeichnet, die zum Aufnehmen und Ausgießen von Flüssigkeiten gedacht war. Als Ursprung der Form gelten lederne Behälter, die zum Transport von Flüssigkeiten während Arbeiten ausser Haus verwendet worden sind. In der frühen Eisenzeit werden Askoi aus Impasto hergestellt, die später durch die feinkeramische Produktion abgelöst werden⁵⁴⁷. Die Gefässform ist in Feinkeramik ab der mittelgeometrischen Phase in der Sibaritide weit verbreitet. Die grosse Anzahl der Belege aus der Sibaritide, zusammen mit der häufigen Dekoration des *stile a frange*, sprechen für eine regionale Produktion. Exemplare sind vereinzelt auch in Kampanien und in der Basilikata belegt und gelten als Importe aus der Sibaritide⁵⁴⁸. Von besonderer Bedeutung ist der oinotrische Askos aus dem spätgeometrischen Grab 325 der Nekropole von Pithekoussai. Dieser Komplex stellt mit einem Skarabäus des Pharaos Bocchoris einen wichtigen Fixpunkt für die Chronologie der italischen Eisenzeit dar: Der Skarabäus des Pharaos mit der Regierungszeit 720–715 v. Chr. liefert für das Inventar der Doppelbestattung von zwei Kindern – und damit auch für den Askos aus der Sibaritide – einen *terminus post quem*⁵⁴⁹.

Die Gefässform steht vermutlich in einer engen Verbindung mit dem funerären Bereich, obwohl auch Funde aus Siedlungen, unter anderem vom Timpone Motta, bekannt sind⁵⁵⁰. Für die zahlreichen Exemplare aus Gräbern der Macchiabate-Nekropole ist der Zusammenhang mit Bestattungen von Kindern in der Forschung unumstritten⁵⁵¹. Die Beigabekombinationen der anthropologisch bestimmten Kindergräber des Areals Strada bestätigen diesen Zusammenhang. Askoi wurden in den Gräbern Strada 8 (S8/2), Strada 12 (S12/1), Strada 18 (S18/1) und Strada 19 (S19/1) jeweils im Bereich der Füße der Verstorbenen freigelegt (Taf. 39. 53. 75. 77).⁵⁵² Dass die Askoi – wie von Paola Zancani Montuoro vorgeschlagen⁵⁵³ – mit dem zunehmenden Alter der Kinder grössere Dimensionen aufweisen, konnte anhand der Funde aus dem Areal Strada

nicht bestätigt werden⁵⁵⁴. Der Askos S8/3 mit einer Höhe von 17.5 cm lag im Grab eines Kindes von 2–3 Jahren, während das Exemplar S12/1 mit einer Höhe von 15.8 cm einem Kind von 4–6 Jahren beigegeben wurde.

Die Gefässform ist allgemein von einer grossen Formenvielfalt gekennzeichnet, so dass die Formulierung einer klaren Typologie nicht möglich ist. So erscheint auch für die vier Exemplare aus dem Areal Strada eine Unterscheidung in typologische oder formelle Gruppen nicht sinnvoll, da jedes Exemplar unterschiedliche Besonderheiten und Dekorationsmuster aufweist.

Die vier Askoi aus dem Areal Strada weisen einen linsenförmigen bis kugeligen Körper und einen tonnenförmigen Hals auf, die Mündung besitzt einen abgerundeten und ausladenden Rand. Nur beim Exemplar S12/1 ist die Halspartie im Gegensatz zu jener der übrigen abgesetzt (Taf. 53). Der abgesetzte Gefässhals verweist vermutlich auf eine ältere Datierung⁵⁵⁵. Die drei Exemplare S8/2, S18/1 und S19/1 weisen einen mehr oder weniger ausgeprägten Höcker auf dem Rücken auf, wobei jener von S8/3 besonders nahe am Hals liegt (Taf. 39). Beim Exemplar S18/1 lässt sich an der Innenseite auf der Höhe des Höckers eine beinahe quadratische Eindruckstelle nachweisen (Taf. 75). Dies ist ein Hinweis darauf, dass der Höcker nach der Ausformung des Gefässkörpers mit Hilfe eines Werkzeuges mit einem eckigen Abschluss nach Aussen gedrückt worden ist.

Der Bandhenkel ist jeweils an der Lippe angesetzt, verläuft vertikal über den Rücken und endet am hintersten Teil des Körpers. Einzig beim Exemplar aus Strada 19 (S19/1, Taf. 77) ist der Henkel auf dem hinteren Drittel des Rückens angesetzt. Dieser Askos unterscheidet sich auch durch seine schräg verlaufende Mündung, während die übrigen Exemplare eine horizontal verlaufende Mündung aufweisen. Der Henkel des Gefässes S18/1 ist in der hinteren Hälfte durchbrochen. Diese Henkelgestaltung findet einen Vergleich im Askos aus Grab Temparella 20⁵⁵⁶. Beim Exemplar S12/1 liess die Fragmentierung bei der Freilegung erkennen, dass der Henkel am hinteren Teil mittels Verzapfung befestigt worden war.

Die Böden zeichnen sich durch einen Standring aus. Nur der Askos S8/3 weist einen leicht konkaven Standboden auf. Auf diesem ist eine T-förmige Vertiefung erkennbar; sie scheint vor dem Brand angebracht worden zu sein. Ob es sich um einen Abdruck handelt, der von einer Unterlage während des Austrocknens des Tones stammt, oder ob sie bewusst eingegritzt wurde, ist nicht zu beurteilen. Im zweiten Fall könnte es eine Markierung des Töpfers oder Eigentümers sein oder auch ein magisches Symbol, wie Felice Gino Lo Porto für Beispiele aus dem Valle del Basento bei Metapont vorschlägt⁵⁵⁷. Auf der Macchiabate-Nekropole liegt aus Grab Cerchio Reale 13 eben-

547 Colelli – Jacobsen 2013, 67–68. 274.

548 Ferranti 2009, 60.

549 Bärbel 2004, 79; Buchner – Ridgway 1993, 378–382; Ferranti 2009, 57. 60; Osanna 1992, 118.

550 Mindestens zwei Exemplare aus *figulina* im *stile a frange* bemalt von Plateau I (Kleibrink 2006b, 87. 94 Abb. 33, 8. 10) und zwei Exemplare aus Impasto von der Akropolis, Areal Chiesetta (Colelli – Jacobsen 2013, 66–68 Nr. 65. 414).

551 Brocato 2014, 72–73; Colelli – Jacobsen 2013, 67–68; Kleibrink u. a. 2012a, 39; Zancani Montuoro 1983/1984, 104. 108.

552 Weitere Askoi fanden sich in den Gräbern Cerchio Reale 3, 5 (2x), 6/7, 9, 12 (2x) und 13, Oliveto 2 und 13, Vigneto 4 (2x) und 5 (2x), Temparella 7, 14, 18, 19, 20, 69 (2x), 75, 77, 78, 79, 83, 84 (2x), 90, 92 und 93; Zancani Montuoro 1974–1976, 65–66 Taf. 25 a; Zancani Montuoro 1977–1979, 11. 30–33 Abb. 11; 35. 39–41 Abb. 14; 51. 64. 79. 81 Taf. 17. 18 a; 19; 20; 31 b; 33 d; 39 a. b; 49; Zancani Montuoro 1980–1982, 29. 46–48 Abb. 18; 60. 63 Taf. 11 a; 22; 31, 1; 32; 34; Zancani Montuoro 1983/1984, 64. 70. 75. 83. 87. 106. 108–109 Taf. 40 b; 43 a; 45; 47; 56; 57 d; 58 c.

553 Zancani Montuoro 1983/1984, 104 f.

554 Zancani Montuoro 1977–1979, 40; Zancani Montuoro 1980–1982, 60.

555 Ferranti 2009, 59.

556 Zancani Montuoro 1980–1982, 63.

557 Lo Porto 1969, 170.

falls ein Askos mit einer Ritzung vor. Das Gefäss mit spitzem Höcker und Bandhenkel hat eine vor dem Brand angebrachte Einritzung, welche die Form eines Andreaskreuzes aufweist. Ritzungen unter dem Boden treten auch bei einer Schale – ebenfalls in der Form eines Kreuzes – vom Plateau I vom Timpone Motta auf⁵⁵⁸.

Die Exemplare aus Strada 8 und Strada 12 sind in ihrer Form gut mit dem Askos aus Grab 117 von Torre Mordillo (Spezzano Albanese) vergleichbar. Der Askos S8/3 findet einen Vergleich auch im Exemplar aus Grab Temparella 92, für S12/1 kann das Exemplar aus Grab Uliveto 13 als Parallele angeführt werden⁵⁵⁹.

Die Exemplare S8/3, S12/1 und S18/1 sind mit einer *matt-painted* Bemalung verziert. Der Askos S8/3 (Taf. 39) trägt im Mündungsinneren Bemalungsreste, die sich vermutlich zu einem ausgefüllten Viereck mit konkaven Seiten ergänzen lassen (Motiv 15 nach Francesca Ferranti⁵⁶⁰). Ein breites Band als Dekoration ist aufgrund der stark angegriffenen Oberfläche aber nicht auszuschliessen. Am Übergang zwischen Mündung und Hals sind drei horizontale Bänder zu erkennen, die möglicherweise gewellt waren. Auf dem Körper verläuft ein von geraden Linien gerahmter Fries mit drei gewellten Bändern, der von Vierecken durchbrochen ist (Schema D1 nach Marianne Kleibrink⁵⁶¹). Diese Art der Dekoration gehört zum *stile a bande ondulate* und das Schema D1 datiert in die spätgeometrische Phase. Dass die Bänder durch Vierecke unterbrochen sind, führt Marianne Kleibrink auf den Einfluss euböischer oder sog. oinotrisch-euböischer Keramik zurück⁵⁶². Unterhalb dieses Frieses verläuft ein weiteres, von geraden Linien gerahmtes Register, das wiederum ein Wellenband beinhaltet, aber nicht durchbrochen ist. Daran hängen an mindestens zwei Stellen vertikale, gewellte Streifengruppen. Diese Fransen lassen sich wohl zu mindestens vier Gruppen aus je drei Streifen ergänzen. Das Dekorationsmuster lässt sich dem *stile a frange* der spätgeometrischen Phase zuordnen. Auf der Mitte des Henkels befindet sich schliesslich eine Gruppe von drei Querstreifen.

Der Askos S12/1 ist ebenfalls mit Dekorationsmustern des *stile a frange* der spätgeometrischen Phase verziert (Taf. 53). Die Mündung wird im Inneren von einem ausgefüllten Viereck mit konkaven Seiten geziert (Motiv 15 nach Francesca Ferranti⁵⁶³). Am Übergang zwischen Mündung und Hals verlaufen zwei horizontale Linien, während drei Bänder sich zwischen Hals und Schulter befinden. Über den Körper verläuft ein Fries, der aus zwei Linien besteht, die von zwei Bändern umrahmt sind. An diesem hängt an mindestens drei Stellen

– vier sind zu vermuten – eine vertikale Streifengruppe aus drei Strichen. Am Henkelansatz bei der Mündung und auf der Mitte des Henkels befindet sich je eine Gruppe von drei Querstreifen. Ein vergleichbares Dekorationsmuster ist am Exemplar aus Grab 117 von Torre Mordillo (Spezzano Albanese) belegt. Ein weiterer Askos mit *a frange*-Muster stammt aus Grab Uliveto 13⁵⁶⁴.

Das Exemplar S18/1 weist ebenfalls Bemalungsreste auf (Taf. 75). Einzig drei Streifen auf der Mitte des Henkels lassen sich eindeutig erkennen. Am Übergang vom Körper zum Hals befindet sich mindestens eine Linie. Diese spärlichen Reste der einstigen Bemalung erlauben keinen Rückschluss auf ein Dekorationschema.

Im Bereich des Grabes De Leo 2 wurden nord-nordöstlich des Schädels zahlreiche Fragmente des Gefässes DL2/1 geborgen (Taf. 83). Erste Scherben kamen bereits nach der Reinigung der Grabungsfläche zutage. Das Gefäss aus De Leo 2 hat einen konkaven Standboden. Der Verlauf der erhaltenen Wandpartie lässt auf ein bauchiges Gefäss schliessen. Ob es sich einst um einen Askos oder um eine Kanne gehandelt hat, lässt sich nicht beurteilen, da der obere Teil des Gefässes aufgrund von Pflugarbeiten nicht erhalten ist.

Corinne Juon

Tasse

In nahezu allen Gräbern der Macchiabate-Nekropole wurde ein kleines Gefäss mit einem vertikalen Henkel zwischen Rand und Schulter gefunden – sehr oft innerhalb der Olla oder der Kanne. Je nach Breite der Mündung und Höhe des Henkels wird dabei von Tasse, Schöpftasse (ital. *atingitoio*), kleiner Kanne (ital. *brocchetta*) oder Krug (ital. *boccale*) gesprochen⁵⁶⁵. Grund dafür ist eine Unterscheidung in der Funktion des Gefässes: Tassen werden wegen der breiten Mündung als Trinkgefässe gedeutet; Schöpftassen haben neben der breiten Mündung auch einen über die Gefässmündung steigenden Henkel, der das Schöpfen von Flüssigkeiten erleichtert; Kannen und Krüge haben dagegen eine enge Mündung, einen meist nur bis zum Rand reichenden Henkel und sollen zum Ausgiessen von Flüssigkeiten benutzt worden sein. Für Francavilla Marittima ist eine solche Funktionszuweisung jedoch schwierig, zumal die meisten dieser Gefässe auf die gleiche Art und Weise deponiert wurden, nämlich innerhalb eines grossen Behälters (Olla oder Kanne). Ob sie dabei zum Schöpfen des Inhaltes dienten und – im Falle von einer Flüssigkeit – auch zu des-

558 Kleibrink 2006b, 101 Abb. 33.13; Zancani Montuoro 1977–1979, 40 f. Abb. 14.

559 Cerzoso – Vanzetti 2014, 184 f. Nr. 462 Taf. 32; Ferranti 2014, 89 Abb. 6; Zancani Montuoro 1977–1979, 64 Taf. 39 a. b; Zancani Montuoro 1983/1984, Taf. 56.

560 Ferranti u. a. 2004, 546–550 Motiv 15.

561 Kleibrink u. a. 2012a, 25–27.

562 Kleibrink u. a. 2012a, 20–22.

563 Ferranti u. a. 2004, 546–550.

564 Cerzoso – Vanzetti 2014, 184–185 Nr. 462 Taf. 32; Zancani Montuoro 1977–1979, 64 Taf. 39 a. b.

565 Kleibrink u. a. 2012a, 37: die Unterscheidung wird anhand der Form des Gefässkörpers und der Höhe des Henkels oberhalb des Randes vorgenommen; Benedettini 2000, 56: Definitionen zu Gefässformen aus Impasto mit *atingitoio* für geschlossene und *tazza* für offene Gefässe, die Höhe des Henkels spielt keine Rolle; Brocato 2014, 135: in der Publikation werden alle Gefässe unter *atingitoio* geführt. In Bartoloni u. a. 1980, 18 handelt es sich um Tassen.

sen Konsum, ist schwer zu entscheiden. Eine Unterscheidung aufgrund der Form (breite/enge Mündung, hoher/nicht hoher Henkel) ist ebenfalls nicht unumstritten, da die Unterschiede meist gering sind⁵⁶⁶. In der vorliegenden Studie werden daher alle kleinformatigen, bis ca. 9 cm hohen Gefässe mit einem vertikal angesetzten Bandhenkel zwischen Rand und Schulter in der gleichen Kategorie der Tassen behandelt.

Die Formentwicklung der Tassen folgt grundsätzlich jener der Ollae und der Kannen. Die frühesten Exemplare besitzen einen klar abgesetzten und gewölbten Hals und einen eher linsenförmigen Körper; die Übergänge zwischen Hals und Bauch werden mit der Zeit fließender, der Hals kürzer, der Körper kugelig⁵⁶⁷. Jedoch ist eine genaue Typenabfolge nach diesen Kriterien schwer auszumachen, wohl auch weil die allermeisten Exemplare handgeformt sind. Die Formen scheinen eine eher lange Laufzeit gehabt zu haben bzw. Merkmale wie etwa der linsenförmige oder der kugelige, lineare Körper sind sowohl in frühen als auch in späten Fundzusammenhängen belegt⁵⁶⁸.

Unter den feinkeramischen Gefässen aus den Arealen Strada und De Leo befinden sich 12 Tassen aus 12 Frauen-, Männer- und Kindergräbern⁵⁶⁹. Wenn sich unter den Keramikbeigaben des jeweiligen Grabes ein grosses Gefäss befand, wurden sie in der Regel in dessen Innerem gefunden⁵⁷⁰. In den anderen Fällen wurde die Tasse bei den Füßen oder beim Kopf der Verstorbenen deponiert⁵⁷¹. Sie fehlt in der Regel bei Kindergräbern – mit Ausnahme der aussergewöhnlichen Bestattung Strada 8⁵⁷².

Die Tassen aus den Arealen Strada und De Leo können aufgrund ihrer Form und Machart in fünf Gruppen unterteilt werden.

Die erste Gruppe besteht aus drei Exemplaren mit kugeligem Körper und abgesetztem, verdicktem Hals (S15/2, S16/1,

DL1/2, Taf. 62. 66. 80). Der Rand ist nach aussen gebogen, der Boden ist flach oder leicht konkav und der Bandhenkel verläuft zwischen Schulter und Rand, ohne den Rand zu übersteigen. Bemalungsspuren haben sich nur auf dem Exemplar S16/1 erhalten. Es handelt sich um horizontale Bänder am Übergang von Schulter zu Hals sowie um Reste von Bemalung um den Henkelansatz. Eine Zuschreibung zu einem bestimmten Stil der lokalen *matt-painted* Keramik ist wegen der spärlichen Verzierungsreste nicht möglich. Kennzeichnend für diese Gruppe ist die wulstartige Wölbung am Hals, die in den Exemplaren S15/2 und DL1/2 besonders ausgeprägt ist. Genaue Entsprechungen in der Macchiabate-Nekropole scheinen bislang zu fehlen. Eine ähnliche Form weisen die kleinen Kannen aus den Gräbern Temparella 76 und Temparella 60 auf, wenn auch alle mit leicht übersteigendem Henkel und weniger ausgeprägter Wulst am Hals⁵⁷³. Vom Timpone Motta stammt das Fragment einer kleinen Kanne mit einer Verzierung im *stile a bande ondulate*, das ein vergleichbares Profil aufzuweisen scheint⁵⁷⁴. Kleine Krüge mit ähnlichem Profil und ringförmiger Wulst am Hals, sowohl aus Feinkeramik als auch aus Impasto, sind vereinzelt in Torre Mordillo (Spezzano Albanese) und öfters in Bellolucco (Castrovillari) belegt. Sie werden übereinstimmend in die Phase IFe2A datiert⁵⁷⁵. Die angeführten Vergleiche weisen auf eine chronologische Einordnung dieser Gruppe in eine frühe Phase der Nekropole hin (erste Hälfte des 8. Jahrhunderts v. Chr.).

Das Exemplar S2/2 bildet die zweite Formgruppe (Taf. 13). Sie wird durch einen bikonischen Körper mit fließenden Übergängen, eine breite Mündung mit nach aussen gerichtetem, geradem Rand und einen niedrigen Bandhenkel gekennzeichnet. Die Form des Körpers ist mit Exemplaren aus anderen Gräbern der Macchiabate-Nekropole vergleichbar, wird dort

566 z. B. besitzt das Gefäss S4/3 eine im Vergleich zum Bauch enge Mündung, jedoch einen klar über den Rand reichenden Henkel; das Gefäss DL/2 kombiniert wiederum eine breitere Mündung mit einem niedrigen Henkel.

567 Ferranti 2009, 62; Kleibrink 2008, 172; Cerzoso – Vanzetti 2014, 85–90.

568 Genannt sei hier nur die Tasse bzw. *brocchetta* aus dem frühen Grab Strada 1 (S1/20), die einen kugeligen Körper mit fließenden Übergängen aufweist und mit einer Verzierung des *stile a bande ondulate* – typisch für die Phase IFe2A – bemalt ist.

569 S2/2, S4/3, S5/2, S7/2, S8/3, S11/3, S13/2, S14/2, S15/2, S16/1, S17/3, DL1/2.

570 Krater S2/1, Olla S4/1, Olla auf Fuss S5/1, Olla S11/1, Kanne S14/1, Kanne S15/1, vielleicht Olla S17/1. Nicht klar ist, ob sich die Tasse DL2/1 ursprünglich im Krater DL1/1 befand.

571 Beim Kopf im Kindergrab Strada 8; bei den Füßen in Grab Strada 16; stark fragmentiert im Grabbereich von Strada 13; bei den Füßen in Grab Strada 7. Die Bestattungen Strada 7 und Strada 8 enthielten auch eine kleine Kanne, die keine Tasse im Inneren enthielt – vielleicht ein Hinweis auf eine unterschiedliche Funktion dieser Kannen.

572 Strada 3, 9, 10, 12, 18 und 19 sowie De Leo 2. Im Falle des Frauengrabes Strada 6 können aufgrund des Erhaltungszustandes der Grabstruktur keine Aussagen über die Keramikbeigaben gemacht werden.

573 Zancani Montuoro 1983/1984, 64–68 Nr. 1 Taf. 40, Grab Temparella 76; Zancani Montuoro 1974–1976, 13–50 Nr. 65 Taf. 18, Grab Temparella 60. Beide Gräber werden von F. Quondam zu seiner Phase 1 zugeschrieben. Vgl. auch Grab Lettere B: Zancani Montuoro 1977–1979, 15 f. Nr. 3 Taf. 7, F. Quondam Phase 2.

574 Kleinbrink u. a. 2012, 146 f. Abb. 185 mit Verzierung im *stile a bande ondulate*, datiert in den ersten drei Vierteln des 8. Jhs. v. Chr.

575 Aus Feinkeramik: Cerzoso – Vanzetti 2014, 252 Nr. 961, Torre Mordillo (Spezzano Albanese) Streufund, H 11.4 cm, Datierung IFe2A; Carrara Jacoli 1994, 714 f. Taf. 138, 6 Krüglein aus Feinkeramik aus der mittelgeometrischen Phase; vgl. ferner die Tasse mit Dekor im *stile a bande ondulate*: Cerzoso – Vanzetti 2014, 251 Nr. 958, Torre Mordillo (Spezzano Albanese) Streufund, H 9 cm, Datierung IFe2A; Kleibrink u. a. 2012a, 18–20 Abb. 19. Aus Impasto: Cerzoso – Vanzetti 2014, 142 Nr. 204, Torre Mordillo (Spezzano Albanese) Grab 1, H 12 cm, Datierung IFe2A; 273 f. Nr. 1042, Torre Mordillo (Spezzano Albanese) Streufund, H 14.3 cm, Datierung IFe; 277 Nr. 1059, Torre Mordillo (Spezzano Albanese) Streufund, H 8.5 cm, Datierung IFe2A; Carrara Jacoli 1994, 698 f. Taf. 134, 4. 6: zwei Krüge aus Bellolucco (Castrovillari) mit niedrigem und wulstigem Hals aus schwarzem Impasto und aus grauer, geglätteter Grobkeramik; 700 Taf. 135, 9: Schöpfer aus Grobkeramik, die hier angegebenen Parallelen scheinen jedoch nicht überzeugend. Eine Variante mit hohem Henkel könnten die Exemplare aus Torano Castello und Prunetta (Roggiano Gravina) bilden: de La Genière 1977, 392 Abb. 5; 397 Abb. 11, 3; Carrara – Guzzo 1981, 450 Abb. 6, 6.

jedoch meist mit einem hohen Henkel kombiniert⁵⁷⁶. Die *matt-painted* Bemalung hat sich an mehreren Stellen erhalten: horizontale Streifen auf dem Henkel, ein horizontales Band am Übergang zwischen Hals und Schulter, eine Gruppe von horizontalen Bändern auf der Schulter, die von je einem vertikalen Streifen begrenzt werden. Letztere ermöglichen eine Zuschreibung zum *stile a frange*, ein typisches Dekorationsmuster der spätgeometrischen oinostrischen Feinkeramik⁵⁷⁷.

Zur dritten Gruppe gehören drei Exemplare mit linsenförmigem Körper, abgesetztem, leicht gewölbtem Hals, leicht angedeutetem Standring und vertikalem Bandhenkel, der den Rand des Gefässes übersteigt (S7/2, S8/3, S11/3, Taf. 36. 39. 48). Bemalungsspuren haben sich auf den Exemplaren S8/3 und S11/3 erhalten. In beiden Fällen handelt es sich um Reste von horizontalen Streifen am Übergang zwischen Rand und Hals und zwischen Hals und Schulter. Das Exemplar S8/3 weist ausserdem Bemalungsspuren auf der Innenseite der Mündung und auf dem Henkel auf. Die gedrungene Form und der abgesetzte Hals sind Merkmale für eine frühe Datierung des Typus, wie auch die Parallele aus Grab Temparella 63 belegt⁵⁷⁸. Die frühe Datierung dieser Tassen wird in einem Fall von den restlichen Grabbeigaben bestätigt (Grab Strada 7), in den anderen jedoch scheint die frühe Form in einem jüngeren Grab beigelegt worden zu sein⁵⁷⁹.

Die vierte Gruppe umfasst die Tassen mit fließendem Übergang zwischen Körper und Hals (S13/2, S14/2, S17/3, Taf. 55. 58. 70). Der Körper ist eiförmig bis kugelig, der gerade Rand verläuft schräg nach oben und nach aussen. Der Bandhenkel übersteigt den Rand nur leicht. Die beiden Exemplare S14/2 und S13/2 weisen einen besonders kurzen, schräg nach oben verlaufenden, zugespitzten Rand und einen kugeligen Körper auf. Bei S14/2 sind Bemalungsspuren am Übergang zwischen Rand und Körper erhalten – wohl als horizontale Streifen zu rekonstruieren. Das Exemplar S17/3 hat einen etwas schmaleren, eiförmigen Körper und einen stärker ausgeprägten Rand. Das nicht gegliederte, lineare Profil und der regelmässige, eiförmig-kugelige Körper sind Merkmale, die in der Formentwicklung dieser Klasse eher spät belegt sind. Unter den Tassen und kleinen Kannen aus der Macchiabate-

Nekropole können die Exemplare aus den Gräbern Vigneto 5 und Vigneto 6 als Vergleich angeführt werden⁵⁸⁰. Doch gerade die Tasse mit *stile a bande ondulate* Verzierung aus Grab Strada 1, das noch in die erste Hälfte des 8. Jahrhunderts v. Chr. datiert werden kann, weist ein gut vergleichbares Profil auf⁵⁸¹.

Die letzte Gruppe besteht aus zwei Exemplaren, die vollständig auf der Töpferscheibe hergestellt wurden (S4/3, S5/2). Beide besitzen fließende Übergänge und einen kurzen bis sehr kurzen, geraden Rand, der schräg nach aussen verläuft. Der Bandhenkel übersteigt den Rand deutlich. Die Tasse S4/3 hat einen regelmässigen, kugeligen Körper, einen leicht konkaven, flachen Boden und einen nicht abgesetzten, sehr kurzen Rand mit zugespitzter Lippe (Taf. 19). In ihrer Grundform ist sie also mit der vorherigen Gruppe verwandt, insbesondere mit den Exemplaren S14/2 und S13/2, doch unterscheidet sie sich deutlich durch ihre Dünnwandigkeit. Die Herstellung auf der Töpferscheibe – deren Spuren insbesondere auf der Unterseite des Bodens noch gut sichtbar sind – verleiht dem Stück eine gewisse Eleganz. Vergleichbare Stücke scheinen unter den Gefässen aus Francavilla Marittima bisher zu fehlen⁵⁸². Die Tasse S5/2 weist einen eher bikonischen Körper auf, einen flachen Boden und einen scharfkantig abgetrennten Rand, der schräg nach aussen gerichtet ist (Taf. 26)⁵⁸³. Die Wände sind dünn und regelmässig und auch in diesem Fall haben sich Spuren der Töpferscheibe auf der Unterseite des Bodens erhalten. Die Bemalung ist ‘im Negativ’ erhalten und umfasste horizontale Bänder am Hals und auf dem Henkel sowie eine grosse Wellenlinie auf der Schulter. Die untere Gefässhälfte wies ursprünglich horizontale Bänder auf oder war vollständig gefirnisst. Die Wellenlinie ist ein Verzierungsmuster, das in Francavilla Marittima sowohl in der lokalen *matt-painted* Produktion als auch auf Vasen mit griechisch anmutender geometrischer Verzierung belegt ist. Insbesondere unter der sog. oinostrisch-euböischen Ware gilt die Wellenlinie als typisches Muster und ist auf Vasen unterschiedlicher Form sowie auf Schalen und Skyphoi anzutreffen. Die Wellenbandmuster (*Wavy Bands Style*) kommen auf Gefässen dieser Ware zwischen ca. 780/760 und 720 v. Chr. vor, vermehrt jedoch nach der Mitte des Jahrhunderts⁵⁸⁴. Eine gute Parallele bildet eine Tasse aus dem

576 Gut vergleichbare Exemplare mit leicht übersteigendem Henkel: Vigneto 5 und 6, Lettere F, alle aus der zweiten Phase von F. Quondam. Exemplare mit hohem Henkel: Cerchio Reale 6, Temparella 22 und 70, Lettere C. Das Exemplar aus Strada 2 wurde in der Typologie von Salmena und Scavello (Salmena – Scavello 2014, 137) der Formgruppe 3 zugeschrieben, die vom kugeligen Körper und einem den Rand übersteigenden Henkel gekennzeichnet ist – diese Merkmale sind jedoch bei der Tasse S2/2 nicht anzutreffen.

577 Kleibrink 2006a, 146 f.; Ferranti u. a. 2004, 544 *stile* 8; Quondam 2009, 153–158 vgl. Abb. 4.1 und 4.2; Ferranti 2004, 450; Ferranti – Quondam 2006a, 1192; Ferranti 2009, 43. 53 f. *Stil* 6.

578 Zancani Montuoro 1983/1984, 31–38 Nr. 58 Taf. 14 c. Das Grab gehört zur ersten Phase von F. Quondam. Die Streifenverzierung wird allerdings von M. Fasanella Masci als Muster der spätgeometrischen Phase gedeutet, siehe Kapitel 8.

579 Strada 11: kombiniert mit einer spätgeometrischen Olla mit Verzierung *a tenda vuota*; Strada 8: kombiniert mit einer Kanne mit Kleeblattmündung.

580 Zancani Montuoro 1977–1979, 79–82 Nr. 8 Taf. 49, Grab Vigneto 5; 82 f. Nr. 11, Grab Vigneto 6. Beide Gräber werden von F. Quondam in die zweite Phase datiert.

581 Siehe Kapitel 2; Kleibrink u. a. 2012a, 40 Abb. 43 c.

582 Vergleichbar, wenn auch deutlich später zu datieren, scheint das Exemplar aus Grab Temparella 59 zu sein: Zancani Montuoro 1983/1984, 20–24 Nr. 16 Taf. 10 b; Luppino u. a. 2012, 659 Abb. 5 B, drittes Viertel des 7. Jhs. v. Chr.

583 Das Exemplar wird von Salmena und Scavello der Formgruppe 2 zugeschrieben: Salmena – Scavello 2014, 136 f.

584 Jacobsen 2007, 39–58 Nr. 20–25 (Schalen) und Nr. 31. 35. 36 (Skyphoi), vorgeschlagene Datierung 780/770–730 v. Chr. und vor 720 v. Chr.; Jacobsen u. a. 2009, 210–212 vgl. insb. die Verzierung der Typen Skyphos 2a und 3, die seit dem dritten Viertel des 8. Jhs. v. Chr. datiert werden. Vgl. auch Ferranti u. a. 2004, 544 *Stil* S5 Muster M13, belegt in der frühgeometrischen und mittelgeometrischen Periode; Ferranti 2009, 42. 50. 54 *Stil* 3 Variante I (mittelgeometrisch) und Variante II (spätgeometrisch 2).

Gebäude V auf dem Timpone Motta, die der sog. oinotrisch-euböischen Produktion zugeschrieben wird⁵⁸⁵. Die Dekoration lässt sich gut vergleichen, die Form erscheint dagegen kugelig und die Mündung enger als bei S5/2. Aufgrund der regelmässigen Form, der Herstellung auf der Töpferscheibe und der Dekoration ist die Tasse S5/2 der sog. oinotrisch-euböischen Ware zuzurechnen⁵⁸⁶.

Camilla Colombi

Henkelschale

Aus den Arealen Strada und De Leo ist eine Schale aus Feinkeramik bekannt. Die flache, kalottenförmige Schale stammt aus Grab Strada 14 (S14/3, Taf. 58) und ist durch einen Standboden und einen vertikalen Bandhenkel gekennzeichnet. Keine Bemalungsspuren sind erhalten. Schalen sind in oinotrischen Frauengräbern mehrfach belegt⁵⁸⁷, allerdings weisen sie in der Regel einen horizontalen Rundhenkel auf und bestehen oft aus Impasto⁵⁸⁸. Eine genaue Parallele für die Schale mit vertikalem Bandhenkel scheint bisher nicht belegt zu sein. Vergleichen lässt sich die Form mit einem Impasto-Exemplar aus dem Männergrab 138 der Nekropole Valle Sorigliano (Santa Maria d'Anglona, Tursi)⁵⁸⁹. Unter den feinkeramischen Exemplaren können ferner eine Schale mit vertikalem Stabhenkel aus Grab 112 von Incoronata (San Teodoro, Pisticci)⁵⁹⁰ sowie Schalen der Typen H1t und H1u aus Sala Consilina als Vergleich angeführt werden, allerdings weisen letztere einen Omphalosboden bzw. einen angedeuteten Fuss auf⁵⁹¹.

Sven Billo

Skyphos

Unter den Funden aus den Arealen Strada und De Leo sind zwei Skyphoi zu verzeichnen (S16/2, DL1/3) – eine Form, die nicht dem lokalen Formenspektrum entstammt, sondern von griechischen Vorbildern abgeleitet ist. Dabei handelt es sich um ein offenes Gefäss mit konischem Körper, gerundeter Schulter, geschwungenem Rand, flachem Boden und zwei horizontal angesetzten Bandhenkeln auf der Schulter. Die Gefässe sind auf der Töpferscheibe gedreht und weisen Spuren von Bemalung auf. Das Profil – insbesondere der Verlauf von Schulter und Rand – sowie die Verzierung sind ausschlagge-

bende Kriterien für eine feingliedrige typologische Einordnung der griechischen Skyphoi. Diese Einordnung kann für unsere Stücke durchaus gelten, doch sind die beiden hier vorgestellten Skyphoi klar als lokale Produkte anzusprechen, die sich formal an unterschiedlichen griechischen Vorbildern orientiert haben mögen.

Der Skyphos S16/2 besitzt eine leicht nach innen verlaufende Lippe mit gerundetem Rand, eine gerundete Schulter und einen tronkokonischen Unterkörper mit leicht abgesetztem, flachem Boden (Taf. 66). Die zwei horizontal auf der Schulter angesetzten Stabhenkel verlaufen leicht schräg nach oben. Der fein geschlammte Ton ist im Kern gelb, die Oberfläche durch den Kontakt mit der Erde dunkelbraun. Von der ursprünglichen Bemalung haben sich nur schwache, grauschwarze Reste erhalten. Zu erkennen sind mindestens drei horizontale Bänder an der Lippe und ein horizontales Band auf den Henkeln. Der Unterkörper weist Spuren von Bemalung auf, die sich wahrscheinlich ebenfalls zu horizontalen Bändern rekonstruieren lassen. Die Innenseite ist bis auf einen ausgesparten Streifen unterhalb der Mündung vollständig gefirnisst. Kennzeichnend für das Exemplar sind die leicht nach innen gerichtete Lippe, der von der Schulter nicht klar abgesetzte Rand, der eher tiefe Unterkörper und die Präsenz von mehreren horizontalen, gemalten Streifen sowohl auf der oberen als auch auf der unteren Gefässhälfte. Diese Charakteristiken deuten auf Vorbilder aus der Thapsos-Klasse hin⁵⁹². Skyphoi dieser Klasse gelten als korinthische Produktion der spätgeometrischen und frühprotokorinthischen Periode. Für eine genauere Einordnung ist die Ausgestaltung der Zone zwischen den Henkeln und der unteren Gefässhälfte ausschlaggebend. Christiane Dehl unterteilt die Thapsos-Skyphoi aufgrund der Ausführung der unteren Gefässhälfte: Exemplare mit Liniendekor auf dem ganzen Körper gehören in die spätgeometrische Periode und sind Leitfunde der frühesten Kolonien in Unteritalien; Skyphoi mit gefirnisster unterer Gefässhälfte entstehen kurz vor dem Beginn der frühprotokorinthischen Epoche und bleiben während dieser Periode in Gebrauch⁵⁹³. Beim Exemplar aus Strada 16 lassen sich die Spuren auf der unteren Gefässhälfte

585 Kleibrink u. a. 2012a, 55 Nr. 15, H. 8.3 cm; Jacobsen 2007, 45 Nr. 38 Taf. 17; Kleibrink u. a. 2012b, 13–15. 20 Nr. 10 Abb. 16 Taf. 2, 5, mittelgeometrisch.

586 Für diese Produktion siehe: Jacobsen u. a. 2008/2009, 89–96; Jacobsen u. a. 2009; Jacobsen – Handberg 2012.

587 Vgl. aus der Macchiabate-Nekropole: Cerchio Reale 8, Temparella 24, 39, 60 und 80, Uliveto 15, Lettere I. Vergleiche aus Valle Sorigliano (Santa Maria d'Anglona, Tursi): Gräber 101, 116, 118 und 128.

588 Vgl. auch S8/4, siehe Kapitel 3.2.2 »Schale«.

589 Frey 1991, 30 Taf. 43 A.

590 Chiartano 1977, 112 f. Abb. 56. Zusammen mit einem Exemplar mit angedeutetem Omphalos aus Grab 117 bildet das Exemplar den Typ *atingitoio* G1a von Chiartano: Chiartano 1994, 76.

591 Kilian 1970, 102.

592 Für die Besprechung des Stückes und die hilfreichen Hinweise bedanke ich mich herzlich bei F. Merinati (Neapel) und N. Kourou (Athen). Der Verlauf des Schulter-Rand-Bereiches findet keine genaue Entsprechung unter den früheren Skyphoi euböisch-kykladischer Abstammung. Die Proportionen der früheren Typen importierter und nachgeahmter Skyphoi sind ausserdem deutlich gedrungener und der Rand höher, man vergleiche etwa die Exemplare aus Pontecagnano: De Natale 1992, Abb. 48 Nr. 3, Grab 3211, vgl. auch Abb. 97 und 98; Bailo Modesti – Gastaldi 1999, 28 Nr. 4 Abb. 1, Grab 7129, Chevrons-Skyphos.

593 Kourou 1994, 38–42; Dehl 1984, 44–48. 68–72 Taf. 1 F; 1 L; Verbreitungskarte 2. Ein anderer Ansatz zur typologischen Unterscheidung wurde von Neef 1981 vorgeschlagen: Anhand der Motive im Paneel zwischen den Henkeln und der Ausgestaltung der ausgesparten Linie im Gefässinneren unterscheidet er drei Gruppen, die vor 730 v. Chr., zwischen 730 v. Chr. und der frühprotokorinthischen Periode oder in letztere datieren. Die früheren Exemplare weisen aufgemalte Linien auf dem ausgesparten Band am Rand des Gefässinneren auf; diese Linien fehlen bei den frühprotokorinthischen Skyphoi.

wohl zu horizontalen Streifen rekonstruieren. Das Gefäß liess sich demnach als spätgeometrischer Thapsos-Skyphos mit Metope und Liniendekor auf der unteren Gefäßhälfte ansprechen. Die Zuschreibung ist jedoch insofern problematisch, als bisher nur vereinzelte Thapsos-Skyphoi dieses Typus' in Italien bekannt sind⁵⁹⁴, die spätere Variante mit gefirnisstem Körper dagegen eine viel grössere Verbreitung findet. Thapsos-Skyphoi mit vollständig gefirnisster unterer Gefäßhälfte und mit einer Metope mit Sigma-Motiven zwischen den Henkeln sind auch in Francavilla Marittima im Heiligtum auf dem Timpone Motta dokumentiert. Sie werden nach 720 v. Chr. bzw. in die frühprotokorinthische Periode datiert; andere griechische – auch korinthische – Importe sind schon für die mittelgeometrische Zeit belegt⁵⁹⁵. Der gleiche Typus befindet sich unter den frühesten Funden aus Sybaris und wird mit dem Horizont der Koloniegründung im letzten Viertel des 8. Jahrhunderts v. Chr. in Verbindung gebracht⁵⁹⁶.

Angesichts der schlechten Erhaltung der Bemalung und der durchaus zu erwartenden Abweichung von den griechischen Vorbildern kann der Skyphos aus Strada 16 nicht eindeutig dem einen oder anderen Typus der Thapsos-Klasse zugeschrieben werden. Vielmehr ahmt er korinthische Formen und Verzierungen der spätgeometrischen Produktion allgemein nach⁵⁹⁷. Eine Parallele bildet ein *matt-painted* Skyphos vom Timpone Motta⁵⁹⁸. Weitere vergleichbare Exemplare sind aus Kampanien bekannt und werden ebenfalls als lokale Produktion eingestuft, die sich an unterschiedlichen griechischen Vorbildern orientieren, wie etwa die Exemplare aus Pontecagnano⁵⁹⁹, San Marzano sul Sarno⁶⁰⁰ und Capua. Letztere werden

als Nachahmungen von Thapsos-Skyphoi mit Linien auf dem ganzen Körper angesprochen und der Produktion von Pithekoussai zugeschrieben⁶⁰¹. Aus Pithekoussai stammen nämlich mehrere korinthische Importe der Thapsos-Klasse, meist mit vollständig gefirnisstem unterem Gefäßkörper, jedoch auch mit horizontalem Liniendekor⁶⁰², sowie deren Imitationen mit oder ohne Metope, darunter auch Versionen mit horizontalen Linien auf der unteren Gefäßhälfte⁶⁰³. Das Gefäß aus Strada 16 ist wahrscheinlich als frühe Nachahmung eines spätgeometrischen korinthischen Skyphos zu deuten und gehört wohl zu den jüngsten Keramiken aus der eisenzeitlichen Phase von Francavilla Marittima. Ob das Exemplar als Import aus Pithekoussai zu deuten ist oder als Schöpfung der lokalen, sog. oinoitrisch-euböischen Werkstätten anzusehen ist, muss jedoch offenbleiben.

Ein zweiter, jedoch stark fragmentierter Skyphos stammt aus Grab De Leo 1 (DL1/3, Taf. 80). Er ist auf der Töpferscheibe gedreht und seine Oberfläche ist stark verwittert. Reste der Bemalung haben sich nicht erhalten. Sein rötlich beiger Ton entspricht dem der lokalen Ware, so dass man das Gefäß der Gattung der vor Ort produzierten sog. oinoitrisch-euböischen Keramik zuordnen kann. Seine Form zeichnet sich durch einen vergleichsweise flachen Unterteil und den fast senkrecht ansteigenden, relativ hohen Rand aus. Besonders nahe steht ihm ein Skyphos von Torre Mordillo (Spezzano Albanese), der als Streufund im Museum von Cosenza aufbewahrt wird⁶⁰⁴. Dieser wurde zuletzt von Francesco Quondam besprochen und mit Gefässen aus Capua⁶⁰⁵, Broglio di Trebisacce⁶⁰⁶ und Erettria⁶⁰⁷ verglichen. Jan Kindberg Jacobsen ordnet ihn dem auch in Francavilla Marittima bezeugten Skyphostyp 1 zu, für den er mit einer Laufzeit zwischen 780–730 v. Chr. rechnet⁶⁰⁸. Ein Exemplar vom Serra Castello wurde kürzlich von Francesco

594 Dehl 1984, 44–48 Taf. 1 F Verbreitungskarte 2; 102–110 für die griechischen Importe in Kalabrien; Buchner – Ridgway 1993, 702 Nr. Sp 4/1 Taf. CCIX, Streufund, Thapsos-Skyphos mit Metope und horizontalen Linien auf dem unteren Gefäßkörper, korinthisch-spätgeometrisch.

595 Jacobsen – Handberg 2010, 263–265; Jacobsen 2007, 73 f. Nr. 58–61; für die anderen korinthischen und euböischen Keramiken der mittelgeometrischen und spätgeometrischen Periode aus dem Timpone Motta vgl. Nr. 33–35.

596 Dehl 1984, 102–110; Sommella u. a. 1969, 89 f. Nr. 181. 182 Abb. 79; Foti u. a. 1970, 173. 175 Nr. 349 Abb. 183; Jacobsen 2007, 34: »there is sufficient contemporary evidence in the Sibaritide to say that the type, at least partly, relates to the period after the foundation of Sybaris since this skyphos type has been found in the Sybaris excavation. The type itself does however start in the LG period and it is therefore possible that some of the skyphoi are earlier than the foundation of Sybaris«.

597 »Nevertheless, not even the colonial imitations are always accurate; elements of different workshops or of a different date are often mixed on one and the same vase«: Kourou 1994, 36.

598 Jacobsen 2007, 43 f. Nr. 31 Typ 1, scheidengedreht, 780–730 v. Chr. Für weitere sog. oinoitrisch-euböische Skyphoi: Nr. 30. 31. 58–61.

599 Ähnliches Profil und Proportionen weisen einige Exemplare aus Pontecagnano auf, die wiederum eine unterschiedliche Verzierung haben: Bailo Modesti – Gastaldi 1999, 19. 42 Nr. 1 Abb. 10, Grab 7107, mit Linienverzierung, die als typisch für die Exemplare aus Chalkis erkannt wurde, Phase Pontecagnano II (780–750 v. Chr.); 52 Nr. 1 Abb. 13, Grab 229, vielleicht als *black cup* zu deuten, Phase Pontecagnano II (780–750 v. Chr.).

600 D'Agostino 1970, 613 Abb. 14, Grab 21, Exemplar verziert mit Sigmas und vertikalen Linien im Panel zwischen den Henkeln; Gastal-

di 1979, Typ 17 eher tiefer Skyphos mit wenig ausgeprägter Schulter und vertikalem Rand, aus den Gräbern 17 und 19; D'Agostino 1979, Abb. 35, 4 Skyphoi mit 'motivo ad angoli' aus Grab 111; Abb. 36, 1. 2 Nachahmungen des Thapsos-Skyphos aus den Gräbern 265 und 268.

601 Melandri 2011, 306–308. 311 f. Typ 58BC2 setzt in der spätgeometrisch-frühprotokorinthischen Tradition ein, belegt in den Gräbern F697 und F722 (?), letztes Viertel des 8. Jhs. v. Chr.

602 Buchner – Ridgway 1993, 366 Nr. 2 Taf. 116, Grab 309 A, korinthisch-spätgeometrisch; 379 Nr. 2 Taf. 122, Grab 325, frühprotokorinthisch; 459 Nr. 3 Taf. CLXIV, Grab 454, frühprotokorinthisch; 702 Nr. Sp 4/1 Taf. CCIX, Streufund mit Liniendekor auf der unteren Gefäßhälfte, korinthisch-spätgeometrisch.

603 Frühprotokorinthisch mit gefirnisstem Unterkörper, mit oder ohne Metope: Buchner – Ridgway 1993, 498 Nr. 2 Taf. 147, Grab 498; 452 Nr. 2, Grab 546; 702 f. Nr. Sp 4/4 Taf. 245; 298 Nr. 3, Grab 243; 366 Nr. 1. 2 Taf. 117, Grab 309B; 370 Nr. 2 Taf. CLV, Grab 315; 690 f. Nr. 2 Taf. CXC, Grab 722; 531 Nr. 1, Grab 533. Exemplar lokaler Herstellung mit Liniendekor, spätgeometrisch: 702 Nr. Sp 4/3 Taf. 245, Streufund.

604 Kilian 1970, 260 Taf. 271, II, 12; Guzzo 1982, 104; Guzzo 1984, 239 Abb. 2; Guzzo 1987, 152 Abb. 116; Jacobsen u. a. 2009, 210 Abb. 4; Cersoso – Vanzetti 2014, 248 f. Nr. 950.

605 Melandri 2011, 308 Abb. 57 Typ A4a.

606 Ridgway 2001/2002, 137 f. Abb. 26; Vanzetti 2009, 182.

607 Verdan u. a. 2008, 73 SK 2 Taf. 89.

608 Jacobsen u. a. 2009, 210 f. Ein Exemplar des Skyphostyps 1 ist abgebildet bei Kleibrink u. a. 2004, 51 Abb. 4, 3.

Quondam bekannt gemacht⁶⁰⁹. Unter den aus dem ägäischen Raum importierten Skyphoi von Pontecagnano kommt dem Exemplar aus De Leo 1 ein Stück aus Grab 7738 besonders nahe, das von Bruno D'Agostino für euböisch oder eher noch für kykladisch gehalten und der späten Phase mittelgeometrisch II (Mitte des 8. Jahrhunderts v. Chr.) zugeordnet wird⁶¹⁰. In Ermangelung von Bemalungsresten ist es nicht möglich, den Skyphos aus Grab De Leo 1 zeitlich genauer zu verorten. In jedem Fall gehört er zu einer Gruppe von vergleichsweise frühen Exemplaren, die in der Sibaritide um die Mitte des 8. Jahrhunderts v. Chr. nach dem Modell von ersten Importen lokal produziert wurden.

Die beiden Skyphoi erhöhen die Zahl der bisher bekannten korinthisch-spätgeometrischen Keramikgefäße und deren Nachahmungen aus der Macchiabate-Nekropole markant. Bisher waren vier Kotylen und eine Pyxis aus vier Gräbern der Macchiabate-Nekropole aus dem dritten Viertel des 8. Jahrhunderts v. Chr. bekannt⁶¹¹.

Camilla Colombi, Martin A. Guggisberg

Grosses Gefäß auf Standfuss mit Siebboden

Unter den Funden aus dem Areal De Leo verdient das Bodenfragment eines grossen, feinkeramischen Gefässes DL1/16 von unbestimmter Form besondere Erwähnung (Taf. 82). Das Fragment setzt sich aus sechs Scherben zusammen, die von der Familie De Leo zusammen mit den Überresten des Kraters DL1/1 als Streufunde geborgen worden sind. Ein siebtes, anpassendes Fragment kam bei der Reinigung der Oberfläche über Grab De Leo 1 im Rahmen der Ausgrabung zum Vorschein⁶¹². Die Provenienz des Objektes aus dem Areal De Leo darf somit als gesichert gelten. Im weiteren Verlauf der Ausgrabung wurden jedoch keine weiteren Passscherben bzw. Scherben, die dem Gefäß mit Siebboden zuweisbar sind, gefunden. Daher muss offenbleiben, ob und, wenn ja, in welcher Relation das Siebgefäß zum Grab De Leo 1 stand. Grundsätzlich bleibt damit auch die Frage offen, ob das Gefäß überhaupt antiken Ursprungs ist. Die Tonqualität und die Oberflächenbeschaffenheit stehen jener des Kraters DL1/1 und anderer Gefäße aus den Gräbern der Macchiabate-Nekropole jedoch sehr nahe, so dass mit grosser Wahrscheinlichkeit von einem antiken Objekt auszugehen ist.

Seine Form ist nicht mit Sicherheit zu bestimmen. Der Rest des hohen, scheibengedrehten Standfusses, der im erhaltenen

Bereich weit über den Standfuss ausladende Gefässkörper und die Dicke der Scherben legen die Rekonstruktion zu einem Gefäss in der Art des Kraters DL1/1 bzw. des kraterartigen Gefässes S2/1 nahe. Auch eine Olla auf hohem Fuss, wie sie in Grab Strada 5 (S5/1) erhalten ist, käme theoretisch in Frage. Keines dieser Gefäße besitzt jedoch einen perforierten Boden und auch unter den formal verwandten einfachen Ollae der Macchiabate-Nekropole und der angrenzenden Gebiete gibt es nichts Vergleichbares. Während diese Grossgefäße zur Aufbewahrung von Flüssigkeiten oder von festen Nahrungsmitteln dienten, stammt der Boden DL1/16 von einem Gefäss, dessen primäre Funktion die eines Siebes war.

Siebe spielen in der oinotrischen Keramik eine untergeordnete Rolle. Aus Incononata (San Teodoro, Pisticci) ist ein askosartiges Gefäss mit perforiertem Ausguss bekannt. Während das eingebaute Sieb in diesem Fall dazu diente, dem Getränk beigemischte Gewürze und andere Rückstände zurückzuhalten, stammt das Fragment DL1/16 von einem Gefäss, das von der Form her eher der Aufbewahrung von Nahrungsmitteln diente. Der durchlochte Boden erklärt sich hier weder aus der Form noch aus der Funktion. In Ermangelung von Parallelen ist es schwer, eine plausible Begründung für den ungewöhnlichen Anbringungsort der Perforationen zu finden. Waren die Öffnungen vielleicht dazu bestimmt, den flüssigen Inhalt des Gefässes im Sinne einer Grabspende direkt in die Erde zu leiten? Die Antwort muss offenbleiben, da wir weder den genauen Bezug des Gefässes zum Grab kennen noch wissen, ob es von vornherein für den sepulkralen Kontext geschaffen wurde.

Martin A. Guggisberg

3.2.2 Gefäße aus Grobkeramik

Grossformatiger Pithos

Aus den Arealen Strada und De Leo ist ein grobkeramischer, grossformatiger Pithos belegt. Es handelt sich um den Pithos *a bombardata* S10/1, der als Bestattungsbehältnis im Grab Strada 10 verwendet wurde (Taf. 43). Seine Mündung war durch einen flachen, linsenförmigen Stein verschlossen. Das Gefäss wurde in Wulsttechnik von Hand aufgebaut. Der Körper ist eiförmig, wobei er sich zum Boden hin verjüngt. Der Rand ist nach aussen gebogen und abgerundet.

Unterhalb des Randes sind drei plastische Noppen erhalten. Deren Verteilung lässt vermuten, dass ursprünglich vier Noppen auf dem Pithos angebracht waren. Sowohl die Form des Gefässes als auch jene der Noppen finden einen sehr guten Vergleich im Pithos aus dem Bereich der Gräber Temparella 55bis und Temparella 70bis⁶¹³. Auch ein Exemplar aus der Areal Rovitti am Abhang des Timpone Motta, das dem Typ e7 Variante 2 nach Carmelo Colelli entspricht, bildet eine gute Parallele⁶¹⁴. Die Zuordnung erweist sich aber als schwierig, da die publizierten Gefäße aus dem Bereich der Siedlung

609 Quondam 2014, 28 Abb. 7, 6.

610 B. D'Agostino in: Bailo Modesti – Gastaldi 1999, 18. 33 Nr. 7738. 1 Abb. 5 Taf. 2. 3. Der hohe Anteil Mica spricht für eine kykladische Provenienz.

611 Grab Temparella 8: *black kotyle*, Pyxis; Grab Oliveto 15: Kotyle mit Paneel und horizontalen Streifen auf der unteren Gefässhälfte; Grab Temparella 88: Kotyle mit Sigma-Paneel und gefirnisster unterer Gefässhälfte; Grab Cerchio Reale 1: Nachahmung einer Kotyle Aetos 666. Quondam 2009, 158 f. Abb. 6, 2–6; Dehl 1984, 102–110. 206.

612 In der Zeichnung ist das betreffende Fragment dunkelgrau eingefärbt.

613 Zancani Montuoro 1983/1984, 9. 51 Taf. 2. 31 b.

614 Colelli – Jacobsen 2013, 55 Taf. 98, HY24.

nur fragmentarisch erhalten sind. Zeitlich sind solche Pithoi – entsprechend den Exemplaren von Torre Mordillo (Spezzano Albanese) – im IFe2 zu verorten⁶¹⁵. Pithoi aus Grobkeramik (*impasto grezzo*) dienten sowohl als Vorrats- als auch als Grabgefässe. Einige als Vorratsgefässe genutzte Exemplare sind auf einem Befundfoto aus Gebäude Vb vom Timpone Motta dokumentiert⁶¹⁶.

Corinne Juon

Kleinformatiger Pithos und weitere geschlossene Gefässe

Mindestens vier kleinformatige grobkeramische Gefässe wurden in der Verfüllung der Grabgrube oder unterhalb der Bestattungsschicht einiger Gräber des Areals Strada zutage gefördert. Es handelt sich um eher kleinformatige Behälter von wenig artikulierter Form, deren Ansprache durch die Fragmentierung erschwert wird.

Die Rand- und Bodenfragmente des Gefässes S9/4 stammen aus dem Bereich südöstlich und ausserhalb von Grab Strada 9 (Taf. 41). Sie zeichnen sich durch den relativ fein geschlammten Ton von grülicher Farbe und die geringe Wandstärke aus. Das Exemplar mit leicht geschwungenem Profil, abgerundetem Rand, verdickter Lippe und Standboden kann mit einem Mündungsdurchmesser von ca. 14 cm als kleinformatiger Pithos angesprochen werden. Unter den Funden aus der Macchiabate-Nekropole kann das Exemplar mit einem Pithos aus Grab Oliveto 7ter verglichen werden, der laut der Beschreibung von Paola Zancani Montuoro ebenfalls aus grülichem Ton bestand⁶¹⁷. In der Typologie von Carmelo Colelli entspricht das Gefäss am ehesten einer Olla Typ a5, Variante 2 mit verdicktem Rand, wobei der Rand von S9/4 stärker nach aussen geneigt ist und das Gefäss demnach eine weniger bauchige Form aufweist⁶¹⁸. Die Fundlage weist das Gefäss S9/4 als nicht zum Grabinventar gehörig aus. In welchem zeitlichen Verhältnis der kleinformatige Pithos zu Grab 9 steht, muss jedoch offenbleiben. Die genannten Parallelen weisen zwar in das 8. Jahrhundert v. Chr., jedoch kann das Gefäss mit der eher unspezifischen Form auch mit deutlich jüngeren Funden verglichen werden, wie etwa mit dem zylindrischen Gefäss aus Grab 143 von Paladino Ovest (Amendolara)⁶¹⁹.

615 Cerzoso – Vanzetti 2014, 281–283 Nr. 1072–1079 Taf. 76–79.

616 Colelli – Jacobsen 2013, 55; Kleibrink 2006b, 137 Abb. 47.

617 Zancani Montuoro 1977–1979, 56–58 Nr. 4 aus »*impasto grigiastro*«; die Vase enthielt noch Reste von Holzkohle und von kleinformatigen Knochen, die von der Ausgräberin als Vogelknochen identifiziert wurden. F. Quondam geht davon aus, dass der kleine Pithos als Behälter für die Bestattung eines Neugeborenen verwendet wurde; der Vergleich basiert auf den noch unveröffentlichten Zeichnungen der Gefässe von F. Quondam, die vom Autor freundlicherweise zur Verfügung gestellt wurden.

618 Colelli – Jacobsen 2013, 49 f. Taf. 102. Es ist nicht auszuschliessen, dass die zeichnerische Wiedergabe des Randes aufgrund der starken Fragmentierung ein wenig von der ursprünglichen Neigung abweicht.

619 Vergleichbar sind die Farbe und die Eigenschaften des Tones; der Rand des Exemplars aus Paladino Ovest (Amendolara) ist anders

gestaltet und der Mündungsdurchmesser mit 17 cm leicht grösser. De La Genière 1973b, 18. 19. 21. 53 Zeichnung Nr. 30; vgl. de La Genière 2012, 70, mit Datierung des Grabes im ersten Drittel des 7. Jhs. v. Chr. aufgrund der Präsenz einer griechischen subgeometrischen Schale.

Im Bereich südlich von Grab Strada 6 kamen mehrere Grobkeramikfragmente zum Vorschein (S6/15–19, Taf. 34), die zu mindestens fünf Individuen zu gehören scheinen. Die Fragmente des besser erhaltenen Exemplars (S6/15) lassen sich zu einer offenen Form mit über 16 cm Durchmesser rekonstruieren, die durch eine gerade Wand mit einer kantig sich verjüngenden Lippe sowie durch die Präsenz von plastischen Noppen unterhalb der Mündung gekennzeichnet ist. Auf der Innenseite der Fragmente S6/15–19 hat sich eine schwarze Schicht erhalten, die für eine Zugehörigkeit zu einem oder mehreren Kochgefässen sprechen könnte. Ähnliche Spuren beschreibt Paola Zancani Montuoro für ein in seiner Grundform gut mit S6/15 vergleichbares Gefäss aus dem Bereich um Grab Temparella 16/Temparella 16bis, allerdings befanden sich in diesem Falle die Brandspuren an der Aussenseite und unterhalb des Bodens⁶²⁰. Beide Behälter weisen ähnliche Dimensionen (Mündungsdurchmesser um 16 cm) und eine ähnliche Verzierung durch plastische Noppen auf⁶²¹. Sie lassen sich gemäss der Typologie von Carmelo Colelli für die Funde auf dem Timpone Motta der Variante 1 von Typ A5 der grobkeramischen Ollae zuschreiben, obwohl der Wandverlauf des Exemplars aus dem Areal Strada aufgrund der starken Fragmentierung nicht genau nachvollziehbar ist⁶²². Eine vergleichbare Randbildung ist auch an grossformatigen Pithoi belegt, wie etwa bei Exemplaren aus den Gräbern Temparella 16bis und Temparella 17ter⁶²³. Sowohl im Falle von S6/15–19 als auch bei Temparella 16/16bis scheint das Gefäss ausserhalb der Grabgrube deponiert worden zu sein: Ob diese Gefässe zu einer früheren Nutzungsschicht gehören⁶²⁴ oder ob sie als Behälter im Rahmen von Bestattungs- oder Grabriten verwendet wurden, bleibt allerdings offen. Typ und Verzierung beider Exemplare liefern keine klaren Hinweise für eine genauere Datierung des Gefässes innerhalb des 8. Jahrhunderts v. Chr.

Unterhalb der Bestattung Strada 7 kamen Fragmente eines offenen Gefässes aus rötlicher Grobkeramik (S7/3, Taf. 36) zutage. Die Form mit zylindrischem Körper und geradem, oben

gestaltet und der Mündungsdurchmesser mit 17 cm leicht grösser. De La Genière 1973b, 18. 19. 21. 53 Zeichnung Nr. 30; vgl. de La Genière 2012, 70, mit Datierung des Grabes im ersten Drittel des 7. Jhs. v. Chr. aufgrund der Präsenz einer griechischen subgeometrischen Schale.

620 Zancani Montuoro 1980–1982, 56 Nr. 25 Taf. 27 c.

621 Das Gefäss aus Grab Temparella 16/16bis wird von Colelli – Jacobsen 2013, 49 f. als Vergleich für den bereits erwähnten Typ A5, Variante 2 der Ollae angeführt. Für die Knuppenverzierung vgl. Colelli – Jacobsen 2013, 244 Taf. 112.

622 Colelli – Jacobsen 2013, 49 f. Typ A5. Exemplare von Typ A5 weisen ebenfalls Noppen unterhalb der Mündung auf, die mit dem Gefäss S6/15 verglichen werden können: siehe etwa Colelli – Jacobsen 2013, 122 Nr. 114. 115 Taf. 35

623 Zancani Montuoro 1980–1982, 56 Nr. 23 Taf. 27 b; 59 Nr. 11.

624 Für Zancani Montuoro gehört das Gefäss aus dem Bereich von Grab Temparella 16/16bis zu einer der Nekropole vorangehenden Nutzungsphase: Zancani Montuoro 1980–1982, 56. Dasselbe postuliert die Forscherin auch für verschiedene Pithoi und Gegenstände aus Grobkeramik aus dem Gräberareal, die in den neuesten Studien doch einzelnen Grabkomplexen bzw. Enchytrismoï zugeschrieben wurden: Luppino u. a. 2012, 651 mit Anm. 32.

flach abschliessendem Rand entspricht jener der Ollae in der Typologie von Carmelo Colelli⁶²⁵. Dabei handelt es sich um ein offenes, handaufgebautes Gefäss, das sowohl als Koch- wie auch als Vorratsgefäss benutzt wurde. Unterhalb des Randes ist die Vase mit mindestens einer plastisch aufgesetzten hufeisenförmigen Wulst verziert. Das Exemplar S7/3 kann dem Typ Colelli A11 zugeschrieben werden. Die Form ist auf dem Timpone Motta zahlreich vertreten (Areal Chiesetta) und gehört auch zum Fundspektrum der lokalen Keramiken aus der sog. Areal Rovitti⁶²⁶. Die besondere Verzierung ist ebenfalls unter den Funden aus dem Timpone Motta auf Gefässen dieser Form belegt⁶²⁷. Das Gefäss gehört wohl in das 8. Jahrhundert v. Chr., die zeitliche Differenz zu den Beigaben aus Grab Strada 7 lässt sich jedoch nicht genauer eingrenzen.

In den unteren Schichten der Verfüllung von Grab Strada 15 wurden zahlreiche Wandscherben eines offenen, mittelgrossen Gefässes zylindrischer Form aus braun-oranger Grobkeramik mit grau-schwarzem Kern geborgen (S15/9, Taf. 62). Auf einer Wandscherbe befindet sich eine viereckige plastische Knuppe⁶²⁸. Die Fragmente können wohl zu einem kleinformatigen Pithos oder einer Olla mit plastischer Verzierung rekonstruiert werden⁶²⁹. Auf der Innenseite sind deutliche Rillen erhalten, die auf eine Herstellung in Wulsttechnik (*a cercine*) und/oder mit der langsam drehenden Töpferscheibe hindeuten⁶³⁰.

Camilla Colombi, Corinne Juon, Sven Billo

Schale

Drei grobkeramische Schalen stammen aus dem Areal Strada. Dabei handelt es sich um zwei Exemplare aus Impasto mit eingebogener Lippe und plastischer Verzierung (S8/4, S15/8) sowie um ein drittes offenes Gefäss aus rötlich gelber Grobkeramik (S16/20).

Die relativ tiefe, einhenkelige Schale S8/4 mit eingebogener Lippe ist eine typische Form der Keramikproduktion in *impasto fine* (Taf. 39)⁶³¹. Der horizontal am Rand angesetzte Stabhenkel führt schräg nach oben. Der Ton enthält weisse Einschlüsse und die dunkelgräulich-braune bis schwarze Oberfläche ist geglättet. Die eingebogene Lippe ist mit schrägen, fortlaufenden Riefen verziert⁶³². Diese setzen am inneren Rand der Lippe an und enden auf der Höhe des maximalen Durch-

messers. Entsprechend der Typologie von Carmelo Colelli für die Grobkeramik vom Timpone Motta stellt das Exemplar S8/4 einen Vertreter der Schalen vom Typ F2 dar, die sich durch ihre tiefe Form und die Riefenverzierung auszeichnen. Zwei vergleichbare Exemplare stammen aus der Areal Chiesetta auf dem Timpone Motta⁶³³. Insgesamt ist festzustellen, dass die Beigabe von Impasto-Gefässen in der Macchiabate-Nekropole nur selten belegt ist, während solche Gefässe in Nekropolen der älteren Phasen IFe1–2A viel häufiger vertreten sind⁶³⁴.

Drei Randfragmente aus den unteren Verfüllungsschichten des Grabes Strada 15 können ebenfalls einer Schale aus Impasto mit eingebogener Lippe und plastischer Verzierung aus schrägen fortlaufenden Riefen zugeschrieben werden (S15/8, Taf. 62). Teile des restlichen Gefässkörpers und des Henkels konnten nicht identifiziert werden. Die Schale entspricht somit dem Typ F2 oder F4 der Typologie von Carmelo Colelli⁶³⁵.

Zu einem offenen Gefäss mit dickem gerundetem und ausladendem Rand können die Randscherben aus rötlich gelber Grobkeramik gehören, die in der Verfüllung des Grabes Strada 16 zum Vorschein kamen (S16/20, Taf. 67). Eine Ansprache als grosse Schale kann aufgrund der Vergleiche vom Timpone Motta vorgeschlagen werden⁶³⁶. Die geringe Grösse der Fragmente und die schlechte Erhaltung der Innenseite lassen jedoch keine endgültige Zuschreibung zu, die Zugehörigkeit zu einer Olla oder einem kleinen Pithos können nicht ausgeschlossen werden.

Corinne Juon, Camilla Colombi

3.2.3 Geräte aus Keramik/Ton

Spinnwirtel

Aus den Gräbern der Areale Strada und De Leo stammen insgesamt vier Spinnwirtel aus braun-grauer oder dunkelgrauer Grobkeramik. Spinnwirtel werden in der Regel den Geräten für die Textilherstellung zugeschrieben, doch ist ihre Verwendung als Kettenanhänger bzw. als Teil der Kleidung ebenfalls belegt⁶³⁷.

Geräte zur Textilherstellung gelten als Fundgattung *par excellence* zur archäologischen Geschlechtsbestimmung frühheidenzeitlicher Gräber in Süditalien. Wie Waffen für Männer-

625 Colelli – Jacobsen 2013, 48–51.

626 Colelli – Jacobsen 2013, 50 mit zahlreichen Parallelen.

627 Colelli – Jacobsen 2013, 346 Taf. 112 Verzierung Typ Lambda; vgl. Taf. 2 Nr. 8; 3 Nr. 11; 20 Nr. 62; 43 Nr. 153; 83 Nr. 362; 84 Nr. 366. Für die Datierung der Verzierung: 261 f.

628 Vgl. Colelli – Jacobsen 2013, 244 Taf. 112 Nr. 18 Typ Kappa, belegt auf einer Olla aus dem Areal Rovitti, 226 Nr. Hy26.

629 'Olla' im Sinne der Typologie von C. Colelli; vgl. Colelli – Jacobsen 2013, 48–51.

630 Für die nützlichen Erklärungen zu den Herstellungstechniken und ihrer Spuren möchte ich M. Fasanella Masci und M. Kleibrink danken.

631 Colelli – Jacobsen 2013, 276.

632 Vgl. Kilian 1970, 208 Dekor F1.

633 Colelli – Jacobsen 2013, 57–59. 110 Nr. 88 Taf. 26; 146 Nr. 187.

634 Chiartano 1996, 18; Ferranti 2009, 50. 53.

635 Die Erhaltung der Wand ist zu gering, um eine Zuschreibung zu einem der beiden Typen zu ermöglichen. Die vergleichbare Schale aus dem Kindergrab Strada 8 (S8/4) gehört dem Typ f4 an und besitzt Vergleiche vom Timpone Motta: Colelli – Jacobsen 2013, 57–61. 250. 261 Taf. 20 Nr. 63; 25 Nr. 85; 48 Nr. 177; 50 Nr. 186; Kleibrink 2006b, 93 Abb. 33, 6.

636 Colelli – Jacobsen 2013, 60. 174 Nr. 276 Taf. 68, 'coppa unicum' Dm 18 cm; vgl. auch 110 Nr. 89 Taf. 27; 178 Nr. 292 Taf. 71, *sco-della con orlo estroflesso* Typ f9 Variante 2.

637 Auf eine Verwendung in Zusammenhang mit der Kleidung könnte die Auffindung von Spinnwirteln in Brandbestattungen aus Sala Consilina hinweisen: Kilian 1970, 198. Kleinformatige Spinnwirtel als Kettenglieder: Colombi 2018, 194.

bestattungen sind Geräte zur Textilherstellung bezeichnend für Frauengräber⁶³⁸. Konnte das Knochenmaterial anthropologisch untersucht werden, stützen die Ergebnisse dieses Modells meistens⁶³⁹. Die wenige Ausnahmen – wie der Fund von Waffen und Webgewichten in den Gräbern 16 und 24 von San Onofrio (Roccella Jonica) – werden nicht als Hinweis auf eine Rolle in der Textilherstellung gedeutet, sondern sollen von weiblichen Verwandten des verstorbenen Mannes ins Grab beigegeben worden sein⁶⁴⁰.

Die Webutensilien von Francavilla Marittima bestehen in der Regel aus Ton⁶⁴¹. Ob die Glasperle S6/13 aufgrund von Vergleichsfunden und des Durchmessers der Öse als Spinnwirtel gedient hat, muss offen bleiben⁶⁴². Aus dem Heiligtum auf dem Timpone Motta bzw. aus dem Konvolut der Bern-Malibu Objekte ist zudem eine Spindel aus Bronze bekannt⁶⁴³. In anderen Fundstellen sind Spindeln und Rocken aus Bronze, Eisen, Silber, Glas und Bernstein sowie Spinnwirtel aus Glas und Bernstein nachgewiesen. Die Geräte aus kostbarem Material werden als Statussymbole für Frauen der Elite gedeutet⁶⁴⁴. Die meisten Spindeln und Rocken dürften aber aus Holz gewesen sein und sind deswegen archäologisch nur selten nachweisbar⁶⁴⁵.

Im Grab Strada 2 wurde ein fünfeckiger bikonischer Spinnwirtel aus braun-grauem Ton gefunden (S2/6, Taf. 14). Diese Art der bikonischen, polyedrischen Spinnwirtel kommt in ganz Süditalien vor, insbesondere in Francavilla Marittima bilden jedoch die fünfeckigen Exemplare mit über 100 Belegen vom Timpone Motta die am häufigsten vorkommende Form⁶⁴⁶. Die Form ist auch in der Macchiabate-Nekropole gut vertreten⁶⁴⁷. Von den drei Spinnwirteln aus Grab Strada 4 ge-

hört einer (S4/7, Taf. 20) ebenfalls zu diesem Typ. Das Exemplar S4/6 (Taf. 20) weist eine sechseckige bikonische Form auf und gehört somit zu einem in Süditalien weiter verbreiteten Typ, der zwar in einer geringeren Zahl in Francavilla Marittima, jedoch auch in Torre Galli (Drapia), Sala Consilina und Pontecagnano vertreten ist⁶⁴⁸. Das fragmentarisch erhaltene Exemplar S4/8 ist schliesslich durch die kugelige Form und die eingeritzten Ornamente charakterisiert (Taf. 20). Mehrere Spinnwirtel dieser Art wurden in Gebäude Vb auf dem Timpone Motta gefunden und weisen in den meisten Fällen ein eingeritztes Mäandermotiv auf⁶⁴⁹. Alle Spinnwirtel aus den Gräbern Strada 2 und Strada 4 wurden im Bereich der Hüfte der verstorbenen Frauen gefunden.

Die Spinnwirtel wie auch die Webgewichte aus den Gräbern des Areals Strada wurden in Bestattungen von anthropologisch als jung bestimmten Frauen gefunden⁶⁵⁰, während die Gräber von adulten und matura Frauen keine Geräte zur Textilherstellung enthielten. Eine ähnliche, jedoch auf einer weit grösseren statistischen Grundlage basierende Situation wurde auch in der Nekropole von Osteria dell'Osa festgestellt. Hier wurden die Spinngeräte (Spindeln, Spinnwirtel und Rocken) hauptsächlich in Gräbern von jungen Mädchen beigegeben⁶⁵¹.

Sven Billo, Camilla Colombi

Webgewicht

Webgewichte wurden im Areal Strada nur im Grab Strada 4 gefunden. Diese lassen sich zwei Formengruppen zuschreiben.

Das Webgewicht mit Labyrinthmuster S4/9 ist 10.6 cm hoch, ca. 500 Gramm schwer und durch den trapezförmigen Körper sowie die Durchlochung am oberen, engen Ende gekennzeichnet (Taf. 20). Eine der Breitseiten ist mit einer eingetieften linearen Verzierung dekoriert, die einem Labyrinthmuster mit zwei Eingängen in den mittleren Bereich entspricht. Webgewichte mit Labyrinthmuster wurden in drei weiteren Gräbern der Macchiabate-Nekropole ans Licht gebracht: Temparella 16, Est 10 und Est 12⁶⁵². Aus Gebäude Vb auf dem

638 Vgl. Saltini Semerari 2015, 137–142; Gleba 2008, 173.

639 Vgl. u. a. Bietti Sestieri 1992a, 102. 107 f. Im Falle der Bestattungen des Areals Strada konnte nur bei Strada 2 (mit Spinnwirtel), Strada 13 und Strada 14 (ohne Webutensilien) das Geschlecht als (tendenziell) weiblich anthropologisch bestimmt werden. Siehe Kapitel 6.

640 Eine Störung oder Durchmischung der Grabinventare kann allerdings nicht ausgeschlossen werden: Gleba 2015, 107. Für Bemerkungen zur Präsenz von 'weiblichen' Objekten in Waffengräbern siehe Weidig 2014, 710 f.

641 Ausnahme könnten mehrere Klingen sein, die in Frauengräbern gefunden wurden (z. B. die Gräber Temparella 8, 61/62 und 63). Sie werden als kleine Messer bzw. Werkzeuge für die Textilherstellung gedeutet: Bianco Peroni 1976, 10 f.; Luppino u. a. 2012, 665.

642 Für Spinnwirtel und Rocken aus Glas vgl. Koch 2011, 108–114; Kleibrink 2016c, 142–154.

643 Papadopoulos 2003, 125 Nr. 411 Abb. 155.

644 Gleba 2008, 101–103. 109; Gleba 2015, 109.

645 Gleba 2008, 103.

646 Kleibrink 2008, 201; Kleibrink 2016c, 72–104 *Pentagonal, biconical spindle whorls, Type E*, aus den Gebäuden Vb und Vc sowie im Material des *South Fill* (Grabungen Kleibrink); vgl. 5–19 für Vergleiche. Torre Mordillo (Spezzano Albanese): Cerzoso – Vanzetti 2014, 283 Nr. 1083. 1084.

647 Übersicht in Kleibrink 2017, 34–54; Luppino u. a. 2012, 666 Abb. 8. Fünfeckige Exemplare: Zancani Montuoro 1977–1979, 78 Nr. 5 Abb. 5, Grab Vigneto 3; Zancani Montuoro 1983/1984, 29 Nr. 10, Grab Temparella 61/62; 47 Nr. 40, Grab Temparella 67; 98 f. Nr. 15 und Nr. 4–18, Grab Temparella 86 (Gruppe von 25 Exemplaren, meist fünfeckig; diese Information verdanken wir F. Quondam); 103

Nr. 9, Grab Temparella 88; Zancani Montuoro 1983/1984, 48 listet ausserdem 20 meist fünfeckige Spinnwirtel aus den der Nekropole vorausgehenden Benutzungsphasen: Diese Exemplare werden von F. Quondam teilweise dem Grab Temparella 63 (10 Exemplare) zugeschrieben. Vgl. auch Kleibrink 2017, 44–46 Nr. 13–22.

648 Kleibrink 2016c, 63–71 *Hexagonal, biconical spindle whorls, Type D*, 19 Exemplare aus den Grabungen Kleibrink auf dem Timpone Motta (Gebäude Vb, Plateau I), vgl. 5–19 für Vergleiche. Zancani Montuoro 1983/1984, 98 f. Nr. 15 und Nr. 4–18, Grab Temparella 86 (Gruppe von 25 Exemplaren, einige sechseckig; diese Information verdanken wir F. Quondam). Torre Mordillo (Spezzano Albanese): Cerzoso – Vanzetti 2014, 284 Nr. 1088–1092.

649 Kleibrink 2008, 200 f.; Kleibrink 2016c, 46–52 *Globular to compressed globular, decorated spindle whorls, Type B1*, Nr. 16–26 mit Mäandermotiv.

650 Strada 4: infans II-juvenil, ca. 12 Jahre; Strada 2: juvenil-adult.

651 Bietti Sestieri 1992a, 130 f.; Gleba 2015, 109.

652 Die Webgewichte aus Grab Temparella 16 wurden von der Ausgräberin P. Zancani Montuoro einer der Nekropole vorausgehenden Phase zugeschrieben, sind jedoch wahrscheinlich der Bestattung

Timpone Motta stammen mehrere solcher Webgewichte mit Labyrinthmuster bzw. Swastika-Verzierung. Sie wurden von Marianne Kleibrink anhand der unterschiedlichen Muster zuletzt in sechs Typen unterteilt⁶⁵³. Das Exemplar aus dem Grab Strada 4 weist eine ähnliche Dekoration wie Typ B2 auf. Einen guten Vergleich bildet darüber hinaus das Exemplar Inv.-Nr. 4.9R37⁶⁵⁴. Die Webgewichte mit Labyrinthverzierung waren aber nicht auf Francavilla Marittima beschränkt, in den Gräbern von Canale-Janchina (Locri) wurden beispielsweise ähnliche Stücke gefunden⁶⁵⁵. Marianne Kleibrink bringt die Muster auf den Gewichten mit den damit hergestellten Stoffmustern in Zusammenhang⁶⁵⁶.

Neben dem Exemplar mit dem Labyrinthmuster enthielt Grab S4 noch mindestens vier weitere, einfacher gestaltete Webgewichte aus Grobkeramik (Taf. 20). Zwei davon sind zu stark fragmentiert, um Aussagen zu ihrer Form zu erlauben (S4/12. 14). Die anderen beiden sind tropfenförmig (S4/10. 11) und entsprechen der Form der sog. *small pinched weights* aus Gebäude Vb auf dem Timpone Motta⁶⁵⁷.

Sven Billo

3.2.4 Bronzegefäße

Kessel

Der Bronzekessel DL1/4 aus Grab De Leo 1 war bei seiner Auffindung vom Druck der Steine und der umgebenden Erde stark beschädigt und deformiert (Taf. 80). Gleichwohl ist es möglich, ihn der inzwischen hinlänglich bekannten Gruppe von Kesseln italischen Typs zuzuweisen, die Bruno D'Agostino unter Bezugnahme auf eine ältere Studie zu den sog. atlantischen Kesseln von Charles Francis Christopher Hawkes und Malcolm Arthur Smith erstmals am Beispiel der Funde von Pontecagnano definiert und als Produkte kolonialer Werkstätten im Umkreis von Pithekoussai und Cumae identifiziert hat⁶⁵⁸. Kennzeichnend für diesen Gefässtyp ist das tiefe Becken

mit einer fast senkrechten Wandung und dem nach innen gebogenen Rand. Mit einem Durchmesser von ca. 46 cm gehört der Kessel DL1/4 zu den eher kleinen Vertretern dieser Gruppe. Sein bekanntes Gegenstück aus Grab Temparella 87 weist einen Durchmesser von 54–55 cm auf⁶⁵⁹, und auch die Mehrzahl der Funde aus Kampanien besitzt deutlich größere Dimensionen. Neben den beiden Kesseln aus den Gräbern Temparella 87 und De Leo 1 ist noch ein drittes Exemplar desselben Typs aus der Macchiabate-Nekropole bekannt, ein Streufund aus dem Grundstück der Familie De Leo, von dem nur ein stark beschädigter Rest der Randpartie erhalten ist⁶⁶⁰. Ein weiterer Kessel dieses Typs ist ausserdem in der weiteren Region aus dem Heiligtum des Apollon Alea von Cirò bezeugt⁶⁶¹.

Durch den Grabkontext lässt sich der Kessel von Temparella 87 der Stufe IFe2B zuweisen⁶⁶². Im Falle des Exemplars aus De Leo 1 legen die Mitfunde eine Entstehung des Grabes um die Mitte oder zu Beginn des 3. Viertels des 8. Jahrhunderts v. Chr. nahe⁶⁶³. Eine ähnliche Zeitstellung um die Mitte des 8. Jahrhunderts v. Chr. wird von Salvatore Bianco auch für den formal verwandten, in der Randbildung allerdings etwas abweichenden Dreifusskessel aus Grab 116 der Conca d'Oro-Nekropole (Santa Maria d'Anglona, Tursi) in Erwägung gezogen⁶⁶⁴. Unklar ist hingegen die Datierung des Kessels aus dem Apollonheiligtum von Cirò, dessen Frequentierung nach Massgabe der übrigen Funde erst im 7. Jahrhundert v. Chr. einsetzt⁶⁶⁵. Auch der Streufund aus der Macchiabate-Nekropole lässt sich zeitlich nicht präzise verorten, doch liegt angesichts seines Fundortes eine analoge Datierung zu den Funden von De Leo 1 und Temparella 87 im 8. Jahrhundert v. Chr. auf der Hand.

Mit den aufgezählten Funden aus der Sibaritide und der benachbarten Basilikata zeichnet sich am Südwestrand des Golfes von Tarent eine zunehmend stärkere Präsenz der Bronzekessel mit einwärts gebogenem Rand ab, die bis anhin vor allem aus dem südlichen Kampanien bekannt waren. Auch dort hat sich durch Neufunde aus jüngster Zeit das Bild allerdings verändert. Den drei bekannten Kesseln aus den Gräbern 926⁶⁶⁶, 928⁶⁶⁷ und 4461⁶⁶⁸ von Pontecagnano aus dem frühen 7. Jahrhundert v. Chr. und den Altfunden aus Cumae, die sich

Temparella 16 zuzuschreiben. Zancani Montuoro 1980–1982, 56 Nr. 21. 22 Taf. 27 a; Luppino u. a. 2012, 668 Abb. 10; Kleibrink 2004a, 562. Guggisberg u. a. 2018, 79 Doppelgrab Est 10 mit zwei Webgewichten, eines davon mit Labyrinthmuster; Guggisberg u. a. 2019, Est 12, zwei Exemplare mit Labyrinthmuster zusammen mit 30 Spinnwirteln. Für weitere Webgewichte mit Verzierung in der Nekropole: Kleibrink 2017, 34–54 Gräber Vigneto 6 sowie Temparella 3, 16, 63 und 86.

653 Kleibrink 2017, 133–215 insgesamt 174 Exemplare, bes. 133–137 für die Unterteilung in Typen. Für frühere Typologisierungen s. Kleibrink 2006b, 120–124; Kleibrink 2011a, 77.

654 Kleibrink 2006, 146 Taf. 49.6; Kleibrink 2017, 123–215 für die Typologie der dekorierten Webgewichte vom Timpone Motta, bes. 134 für Typ B2.

655 Gleba 2008, 136.

656 Kleibrink 2017, 131. Zur Deutung des Labyrinths als mythologische Anspielung auf Knossos, Theseus und den Minotaurus bzw. als Sonnensymbol vgl. u. a. Kleibrink 2011a, 76.

657 Kleibrink 2006, 140 Taf. 49.10; Kleibrink 2017, 259–281 mit horizontaler Durchlochung Typ A, der Typ ist auch aus den Häusern auf dem Plateau I bekannt.

658 D'Agostino 1977, 25.

659 Zancani Montuoro 1974–1976, 73–76 Nr. 15 Taf. 27. 32. 33.

660 Quondam 2014, 30 Anm. 76; Guggisberg, im Druck a, Abb. 10. Zur Fundsituation liegen keine näheren Angaben vor, jedoch kann aufgrund des breiteren Randes ausgeschlossen werden, dass die Fragmente vom Gefäß DL1/4 stammen, das ja ebenfalls am Rande des Grundstücks De Leo bei Landwirtschaftsarbeiten entdeckt wurde. Ausserdem ist der Rand dieses Gefäßes vollständig erhalten.

661 Orsi 1932, 115 f. Abb. 75.

662 Quondam 2009, 151.

663 Siehe Kapitel 3.1.21.

664 Bianco u. a. 1996, 49.

665 Costanzo 2012, 573–582.

666 D'Agostino 1977, 11 L 36 Abb. 7 Taf. 4.

667 D'Agostino 1977, 14 R 61 Abb. 18 Taf. 16.

668 Cerchiali 1985, 27–42, bes. 29 Taf. 4 a.

zeitlich nicht ganz präzise fassen lassen⁶⁶⁹, können zwei Funde aus Grab 992 von S. Marzano sul Sarno⁶⁷⁰ und Grab 201 von Calatia⁶⁷¹ zur Seite gestellt werden. Die beiden Gräber werden aufgrund der Beigaben ins 3. und 4. Viertel des 8. Jahrhunderts v. Chr. datiert und belegen damit, dass der Typus des Kessels mit einwärts gebogenem Rand in Kampanien ungefähr zur selben Zeit wie in der Sibaritide, also ab der Mitte des 8. Jahrhunderts v. Chr., in Erscheinung tritt. Er findet hier wie auch weiter nördlich in Latium und in Etrurien eine rege Nachfolge im 7. und 6. Jahrhundert v. Chr.

Neben den Kesseln mit einwärts gebogenem Rand ist sowohl im südlichen Kampanien als auch in der Sibaritide noch ein zweiter Typus überliefert, der mit den erstgenannten in der Grundform mit tiefem Becken und vertikaler Wandung übereinstimmt, anstelle des einwärts gebogenen Randes jedoch einen nach innen verdickten, im Querschnitt dreieckigen Rand besitzt (*calderone di bronzo a pareti verticali e orlo obliquo ribattuto*). Gefässe dieses Typus sind in Kampanien u. a. aus Pontecagnano Grab 3080bis (Prop. Aedilia)⁶⁷² und Grab 7178 (Prop. Citro)⁶⁷³ belegt. Weitere Beispiele sind aus dem angrenzenden Latium und dem südlichen Etrurien bekannt. Aber auch in der Sibaritide und den angrenzenden Gebieten der Basilikata ist der Typus bezeugt, mit einem etwas kleineren Exemplar von Torre Mordillo (Spezzano Albanese)⁶⁷⁴, dem sich der noch kleinere Dreifuss von Santa Maria d'Anglona (Tursi) zur Seite stellen lässt⁶⁷⁵. Ein weiterer Dreifuss aus Bisignano gehört formal ebenfalls in diese Gruppe, wie bereits von Francesca Ferranti und Alessandro Vanzetti gesehen wurde, besitzt jedoch einen anders gebildeten Rand⁶⁷⁶. Das gleiche gilt auch für den grossen Dreifusskessel aus Grab 116 der Conca d'Oro-Nekropole von Santa Maria d'Anglona (Tursi), der ebenfalls einen gehämmerten Rand besitzt⁶⁷⁷. Ausserhalb Italiens besitzt der Typus seine wohl bekanntesten Vertreter in den beiden Kesseln aus Grab 6 der Westtor-Nekropole von Eretria⁶⁷⁸.

Um die Frage, wie die typologisch eng verwandten Kessel miteinander in Verbindung stehen, hat sich eine rege Diskussion entfaltet. Während Paola Zancani Montuoro für die Kessel von Francavilla Marittima, Pontecagnano und Eretria

eine orientalische Herkunft in Erwägung zog⁶⁷⁹, vertrat Bruno D'Agostino die Auffassung, dass es sich dabei um die Weiterentwicklung eines griechischen Gefässtypus durch griechische Werkstätten im Umfeld von Pithekoussai und Cumae handelt⁶⁸⁰. In der Forschung hat sich diese Meinung heute weitgehend durchgesetzt, wobei man den lange Zeit isolierten Fund von Grab Temparella 87 unterschiedlich als Import aus dem südlichen Kampanien oder aus dem Vorderen Orient einstufte⁶⁸¹. Die beiden Gefässe von Eretria Grab 6 sind bis heute im publizierten Bestand aus Griechenland Einzelstücke geblieben. Ob ein ähnlich gebildetes Randfragment aus Knossos zu einem weiteren Exemplar des Typus *a pareti verticali e orlo obliquo ribattuto* zu rekonstruieren ist, ist ungewiss⁶⁸². Formal sehr gut vergleichbare Kessel mit vertikaler Wandung und einwärtsgebogenem Rand scheinen hingegen aus Eleutherna vorzuliegen, sie sind jedoch noch unpubliziert⁶⁸³. Ein deutlich kleinerer Kessel von vergleichbarer Form, mit drei eisernen Beinen zum Dreifuss umgeformt, ist schliesslich aus Olympia bekannt⁶⁸⁴.

In jedem Fall ist zu konstatieren, dass die Zahl der Kessel mit tiefem Becken und senkrechter Wandung in Italien in den vergangenen Jahren markant zugenommen hat⁶⁸⁵, während sich die Situation im ägäischen Raum seit der Entdeckung der Kessel von Eretria in den 1960er Jahren nur unwesentlich verändert hat. Die Annahme, dass es sich bei den Funden aus Italien um lokale Schöpfungen handelt, scheint sich – alleine schon aufgrund des Zahlenverhältnisses – also zu bestätigen. Immer deutlicher schälen sich in Italien zwei unterschiedliche Verbreitungsschwerpunkte der Kessel heraus, das südliche Kampanien und die Sibaritide. Bemerkenswert ist dabei insbesondere, dass der neue Gefässtyp in den beiden Regionen gleichzeitig in Erscheinung tritt, zu einem Zeitpunkt, zu dem nicht nur in Kampanien, sondern auch in der Sibaritide mit einer starken griechischen Präsenz zu rechnen ist. In beiden Regionen sind die Bronzekessel mit der Aneignung fremder kultureller Praktiken im Rahmen von Gastfreundschaft und Gastmahl verbunden, die sich am ehesten aus dem direkten Kontakt der indigenen Eliten mit den Griechen und Orientalen vor Ort erklären lässt⁶⁸⁶. Eher als mit einem rein inneritalischen Kulturtransfer von Nord nach Süd oder umgekehrt dürfte das Auftauchen der Bronzekessel in den beiden weit

669 Grabungen Stevens: Albore Livadie 1977–1979, 128–130 Abb. 1 Taf. 53 a, Grab XIII; 140 f. Abb. 8, Grab I.

670 D'Anna u. a. 2011, 594 f. Abb. 2; 597.

671 Albore Livadie 1989, 23 Nr. 34 (unpubliziert).

672 Aurino – Gobbi 2012, 805 Abb. 1, 3; 812–814. 820 f.

673 Aurino – Gobbi 2012, 812 mit Anm. 23; D'Agostino – Gastaldi 2012, 408 f. Abb. 8, 2.

674 Buffa 1994, 737–744.

675 Valle Sorigliano (Santa Maria d'Anglona, Tursi) Grab 102: Frey 1991, 22 Taf. 12, 4; Bianco u. a. 1996, 48 Farbabb.; 51 1.4.4. (Dm 21 cm.).

676 Luppino u. a. 2004, 525–539 bes. 528. 533 Abb. 1B, 1.

677 Bianco u. a. 1996, 40. 49. Die Aussagen zur Randbildung basiert auf einer Autopsie im Museo Nazionale della Siritide in Policoro, wo der Kessel ausgestellt ist. Allerdings war eine klare Beurteilung der Randbildung durch die Vitrine nicht möglich.

678 Bérard 1970, 13–17. 22–27 Taf. A 1; 6, 24; Blandin 2007, 44 Taf. 64.

679 Zancani Montuoro 1974–1976, 81.

680 D'Agostino 1977, 25.

681 Import aus südlichem Kampanien: Albore Livadie 1977–1979, 127 f.; aus dem Vorderen Orient: Zancani Montuoro 1974–1976, 81; Albanese Procelli 1982, 56.

682 Coldstream – Catling 1996, 162. 560 Nr. 107.f 63 Abb. 172.

683 Die Informationen entnehme ich einem online gestellten Vortrag von N. Stampolidis im Metropolitan Museum in New York vom 10. Mai 2013: <<https://www.metmuseum.org/metmedia/video/lectures/eleutherna-on-crete>> (zuletzt aufgerufen am 20.11.2020).

684 Maas 1978, 225 Nr. 427 Taf. 64 (Dm 22.5 cm).

685 Dazu gehört auch ein Kessel aus Grab 74 von Monte Vetrano, dessen Rand allerdings nach aussen umgebogen zu sein scheint: Scala 2011, 173 Abb. 199; D'Agostino – Gastaldi 2012, 423 f. Abb. 10, 6.

686 Guggisberg 2018, 166. 168–172. 179 f.

auseinander liegenden Regionen nördlich und südlich des Apennins deshalb mit Akkulturationsprozessen zu begründen sein, die sowohl in Kampanien als auch in der Sibaritide mit der Ankunft der griechischen und orientalischen Seefahrer und Siedler verbunden waren. In jedem Fall liegt es nahe anzunehmen, dass die Integration der Kessel ins indigene Bankettbrauchtum auf den direkten Einfluss von Griechen und Orientalen vor Ort zurückzuführen ist⁶⁸⁷.

Gleichwohl ist diese kulturelle Aneignung griechischer Bankettkultur in den beiden Regionen nicht völlig losgelöst voneinander geschehen. Darauf weist insbesondere der identische Umgang mit den Prestigegefäßen im Grabbrauchtum hin. Nicht nur, dass die Gefäße überhaupt als Grabbeigaben verwendet werden, sondern auch die Verwendung der Kessel zur Abdeckung von Tongefäßen, wie sie in Grab 992 von San Marzano sul Sarno und in Francavilla Marittima belegt ist, zeugt von übereinstimmenden Vorstellungen im Umgang mit dem Geschirr im Rahmen des einheimischen Totenbrauchtums. Von Bedeutung ist in diesem Zusammenhang möglicherweise auch die Tatsache, dass sowohl beim Kessel aus Grab 3080bis von Pontecagnano als auch beim Kessel DL1/4 Textilreste und -abdrücke beobachtet werden konnten⁶⁸⁸. Tücher und Textilien dienten bekanntlich im Rahmen des von Homer überlieferten Bestattungsbrauchtums der Helden von Troja zum Einwickeln des Leichenbrandes und zum Verhüllen der Urne. Archäologisch ist die Sitte vielerorts nachgewiesen, auch in Italien mit den bekannten Urnenbestattungen von Pontecagnano und Cumae. Dass die Kessel auch in den Körpergräbern mit Textilien verhüllt waren, könnte als Hinweis darauf zu verstehen sein, dass dem Phänomen ein übergeordnetes Konzept zugrunde liegt; dies möglicherweise in Zusammenhang mit Heroisierungsvorstellungen, wie sie insbesondere in den Brandgräbern zu fassen sind.

Immer wieder wurde im Zusammenhang mit den Kesseln auf den Umstand verwiesen, dass diese in Ermangelung von Henkeln nicht verwendbar waren. Dass diese Annahme nicht zutrifft, zeigt sich nicht zuletzt daran, dass sowohl ein Kessel von Cumae als auch das Exemplar von San Marzano sul Sarno antike Reparaturen aufweisen⁶⁸⁹. Von einer ähnlichen Ausbesserung stammt wahrscheinlich auch der Niet auf dem Randfragment des Streufunds aus der Macchiabate-Nekropole⁶⁹⁰.

Eine letzte Frage betrifft schliesslich das Verhältnis zwischen den italischen Kesseln und den Funden aus dem ägäischen Raum. Bruno D'Agostino hat, wie erwähnt, die Annahme vertreten, dass die italischen Kessel nach dem Vorbild

der Gefäße von Eretria von eingewanderten Handwerkern im Umfeld der griechischen Zentren von Pithekoussai und Cumae entwickelt worden seien. Die Mehrzahl der Forschung ist ihm darin gefolgt⁶⁹¹, obgleich schon immer gesehen wurde, dass die ältesten Kessel in Italien rund eine Generation älter sind als die beiden Gefäße in Eretria und dass die Form der steilwandigen Kessel mit tiefem Becken im ägäischen Raum eine sehr geringe Verbreitung besitzt⁶⁹². Vor dem Hintergrund der aktuellen Quellenlage stellt sich deshalb die Frage, ob der Aneignungsprozess in diesem Fall nicht in umgekehrter Richtung, von Westen nach Osten, verlaufen ist und die beiden Kessel von Eretria Grab 6 nicht nach dem Vorbild italischer Prototypen geschaffen wurden? Dass dieser Gedanke keineswegs abwegig ist, zeigt insbesondere die Tatsache, dass in Eretria der eine der beiden Kessel ebenfalls als Deckel des anderen in umgedrehter Position verwendet wurde. Die übereinstimmende Verwendung der grossen Kessel als Deckel wurde bereits von Paola Zancani Montuoro vermerkt⁶⁹³. Aus welchen Gründen die Kessel von San Marzano, Francavilla Marittima und Eretria in dieser ungewöhnlichen Position in den Gräbern deponiert wurden, ist schwer zu ermessen. Es scheint jedoch ein Zusammenhang zu bestehen zur ebenfalls in Italien beheimateten Sitte, Gefäße aus Bronze und Keramik ineinander gestapelt in die Gräber zu legen. So findet die Kombination von Kessel und Pithos, wie sie im Grab Temparella 87 von Francavilla Marittima überliefert ist, in den Gräbern von Pontecagnano 928⁶⁹⁴ und 3090bis⁶⁹⁵ eine unmittelbare Entsprechung, mit dem einzigen Unterschied, dass die Kessel in diesem Fall aufrecht im Grab lagen und die Ollae in ihrem Inneren deponiert waren. Im griechischen Raum ist diese Form der Beigabenstapelung unbekannt. Auch dieses Argument unterstützt die Annahme, dass sich die Kessel von Eretria Grab 6 an westlichen Vorbildern orientieren, nicht nur in ihrem formalen Erscheinungsbild, sondern auch bezogen auf ihre Deponierung im Grab. Einiges spricht somit dafür, dass entweder der Verstorbene selbst oder jemand aus seiner unmittelbaren Entourage über persönliche Kenntnisse aus dem Westen verfügte und dieses Wissen ganz bewusst im Grabritual rezipierte⁶⁹⁶.

Martin A. Guggisberg

Schale

Drei Bronzeschalen sind aus drei Gräbern der Areale Strada und De Leo belegt. Es handelt sich dabei um eine Omphaloschale aus Grab De Leo 1 (DL1/5), um eine kalottenförmige Schale aus Grab Strada 17 (S17/4) sowie um die Randfragmente einer Schale von unbestimmter Form aus Grab Strada 4 (S4/15).

687 Guggisberg u. a. 2018b, 54–57.

688 Für Pontecagnano Grab 7178bis: Aurino – Gobbi 2012, 812 Anm. 21. Allerdings wurden die Textilreste nicht auf dem Kessel selbst, sondern auf einem darunter liegenden Eisenobjekt von unbestimmter Funktion gefunden.

689 Der Dreifuss aus Grab 102 von Valle Sorigliano (Santa Maria d'Anglona, Tursi) ist sekundär umgearbeitet worden: Frey 1991, 22.

690 Mehrfache Reparaturen sind auch am Kessel von Grab 116 der Conca d'Oro-Nekropole von Santa Maria d'Anglona (Tursi) zu beobachten (oben Anm. 677). Allerdings steht dieser Kessel auf drei eisernen Füßen, die seinen Gebrauch von vornherein vereinfacht haben.

691 D'Anna u. a. 2011, 595; Quondam 2014, 30.

692 Zusammenfassende Darstellungen der Forschungsdiskussion finden sich bei Blandin 2007, 47 f.; Aurino – Gobbi 2012, 819 f.

693 Zancani Montuoro 1974–1976, 75.

694 D'Agostino 1977, 13.

695 Aurino – Gobbi 2012, 812.

696 Guggisberg 2018, 172–175.

Die Schale DL1/5 (Taf. 80) gehört zu einer Gruppe von Gefäßen, die in den Gräbern der Macchiabate-Nekropole in mehreren Exemplaren belegt und auch ausserhalb von Francavilla Marittima nachgewiesen ist. Kennzeichnend ist ihre offene, flach gewölbte Form mit dem Omphalos in der Mitte. Ihr Rand ist leicht verdickt und nach innen zu einem schmalen Grat gehämmert. In Francavilla Marittima können ihr die beiden Schalen aus den Gräbern Temparella 70 und 88 zur Seite gestellt werden, die wie DL1/5 einen Omphalos besitzen⁶⁹⁷. Dieser ist jedoch zumindest im Falle der Schale aus Grab Temparella 88 deutlich kleiner als bei DL1/5. In der Gegenüberstellung der Originale tritt auch der qualitative Unterschied hervor. Während die Schale aus Grab Temparella 88 eine vergleichsweise dicke Wandung besitzt, zeichnet sich jene des Exemplars aus De Leo 1 durch ihre ausserordentliche Feinheit aus. Auch die Oberflächenverarbeitung ist unterschiedlich. Der unregelmässigen Wandung der Schale aus Temparella 88 steht das glatt polierte Metall der Schale aus De Leo 1 gegenüber; ein Gegensatz, der sich kaum allein mit der differierenden Erhaltung und Restaurierung erklärt, sondern auf eine unterschiedliche qualitative Verarbeitung der beiden Gefässe zurückzuführen sein dürfte. Ausserhalb von Francavilla Marittima ist eine formal nahestehende Omphalosschale aus Grab 9 von Canale-Janchina (Locri) überliefert⁶⁹⁸.

Die kalottenförmige Schale aus Grab Strada 17 besitzt regelmässig gewölbte Wände und einen verdickten Rand mit abgeflachter Lippe, der im Querschnitt die Form eines gelängten Dreiecks aufweist (S17/4, Taf. 70)⁶⁹⁹. Der Durchmesser beträgt ca. 16 cm. Der Boden der Schale ist sehr stark fragmentiert, scheint jedoch keinen Omphalos zu besitzen. Unter den Bronzegefässen aus den Macchiabate-Gräbern ist sie am ehesten mit der kalottenförmigen Schale aus Grab Uliveto 9 zu vergleichen⁷⁰⁰. Weitere ähnliche Exemplare sind aus kalabrischen Komplexen unterschiedlicher Datierung (9.–7. Jahr-

hundert v. Chr.) aus Torre Mordillo (Spezzano Albanese)⁷⁰¹, Amendolara⁷⁰², Canale-Janchina (Locri)⁷⁰³ und Torre Galli (Drapia)⁷⁰⁴ bekannt. Die Schale S17/4 kann der Gruppe 2b der Typologie von Laurence Mercuri zugeordnet werden – eine Gruppe, die durch eine offene, hemisphärische Form und den verdickten Rand charakterisiert wird⁷⁰⁵. Zu dieser Gruppe gehören ein Exemplar aus Torre Galli (Drapia) Grab 150 und eines aus Torre Mordillo Grab 1⁷⁰⁶. Diese Formengruppe besitzt mehrere Vergleiche aus Sizilien, Kampanien, der Basilikata, Latium und insbesondere aus Etrurien⁷⁰⁷. Die Form und besonders die verdickte Randbildung werden in Zusammenhang mit der zyprischen Produktion gebracht – dies sowohl bei Exemplaren aus Kalabrien, als auch für die Stücke aus Sizilien, Mittelitalien und Griechenland⁷⁰⁸. Auf Zypern selbst sind bronzene Kalottenschalen sehr weit verbreitet und zwar über eine sehr lange Zeitspanne. Hartmut Matthäus erkennt dabei elf unterschiedliche Randbildungen – doch scheint kein nennenswerter Formenwandel stattzufinden: die Randtypen sind in verschiedenen Epochen und Regionen belegt⁷⁰⁹. Im Falle der Schale S17/4 scheint der Rand verdickt zu sein, und zwar regelmässig, so dass der Endteil der Wand sich zu einem gelängten Dreieck erweitert. Daher kommt die Randform den Typen c und d von Matthäus am nächsten.

697 Grab Temparella 70: Zancani Montuoro 1983/1984, 51 Nr. 2: »Phiale mesomphalos di bronzo, disfatta dall'ossidazione; non era misurabile nemmeno *in situ* [...] Ne restano frr. di lamina non ricomponibili«; Quondam 2014, 31 Abb. 9, 2; Temparella 88: Zancani 1983/1984, 102 f. Nr. 4 Taf. 48, Dm 19.5 cm; Quondam 2014, 31 Abb. 9, 1; Mercuri 2004, 147–155 Typ 1.

698 Grab 9: Orsi 1912, Sp. 26 f. Abb. 30; Orsi 1926, 229. 351; Mercuri 2004, 142 Nr. 2; 144 Abb. 40, 2; 147 Nr. 1; 151 Abb. 44, 4 (Dm 12.7 cm); vgl. ausserdem eine zweite Omphalosschale aus demselben Grab mit stärker gebogener Wandung und horizontalem Boden: Orsi 1912, Sp. 26 f. Abb. 30; Orsi 1926, 229. 351; Mercuri 2004, 142 Nr. 1; 144 Abb. 40, 1; 168 Nr. 5 (Dm 16 cm).

699 Das Gefäss wurde auf Grund der Fragmentierung in einem Gipsblock geborgen und soll nicht weiter freigelegt werden. Die Beschreibung und typologische Einordnung basieren auf der Auswertung der Röntgen- und CT-Aufnahmen.

700 Zancani Montuoro 1977–1979, 60 Nr. 1 Abb. 22, Dm 13.2–13.4 cm, H 4 cm. Die Schale lag auf dem Schädel der Verstorbenen, das Grab datiert ca. 700–675 v. Chr. Für die Datierung siehe Luppino u. a. 2012. Die Schale wird von L. Mercuri dem Typ 1 zugeschrieben, wie die Schalen aus Grab Temparella 88 und aus Mangosa (Amendolara) Grab 5: Mercuri 2004, 147–155 Nr. 6.

701 Cerzoso – Vanzetti 2014, 141 Nr. 199, Torre Mordillo (Spezzano Albanese) Grab 1, Dm 15 cm, Phase IFe2A; 247 Nr. 946, Torre Mordillo (Spezzano Albanese) Grab 17, Dm 10.7 cm, Phase IFe.

702 De La Genière – Pierobon 1980, 322–324 Nr. 3 Abb. 22, 23, Mangosa (Amendolara) Grab 5, Dm 14 cm, mit einfacher Öse unter dem Rand, erste Hälfte des 7. Jhs. v. Chr., Mercuri Typ 1.

703 Grab 108: Orsi 1926, Sp. 305–308 Abb. 219; Sp. 351; Mercuri 2004, 142 Nr. 7; 144 Abb. 40, 3; 147 Nr. 2; 150 Abb. 43, 2 (Dm 16.0 cm).

704 Pacciarelli 1999a, 153 Taf. 35, 15, Grab 41; 178 Taf. 110, 8, Grab 161; 182, Grab 181 (nicht erhalten).

705 Mercuri 2004, 155–161 Abb. 46.

706 Cerzoso – Vanzetti 2014, 141 Nr. 199, Torre Mordillo (Spezzano Albanese) Grab 1, Dm 15 cm, H 5.5 cm, Datierung IFe2A; Pacciarelli 1999a, 59. 176 Taf. 103 Nr. 10; Torre Galli (Drapia) Grab 150.

707 Für weiterführende Angaben zu den Vergleichen siehe Mercuri 2004, 155–161; Babbi – Peltz 2013, 304 f. Nr. 52 Taf. 43 Tarquinia Tomba del Guerriero; Guidi 1993, 29 Abb. 6, 17; 64 Typ 172 B, Veio Quattro Fontanili Phasen IIA–IIB1; Aurino – Gobbi 2012, 801 f. 810–818 Abb. 1 Nr. 3, Capua Grab 722 und Pontecagnano Grab 3090bis; Cygielman – Pagnini 2006, 96; Colombi 2018, 127 Typ A26.5. Die Vergleiche datieren zwischen der zweiten Hälfte des 8. und der zweiten Hälfte des 7. Jhs. v. Chr.

708 Mercuri 2004, 161; Pace 2008b, 90. 94 Abb. 10, 1 für die Schalen aus San Cataldo und aus Francavilla Marittima Grab Temparella 88 und Grab Uliveto 9; letztere könnten sowohl einen orientalischen Ursprung haben als auch lokal hergestellt worden sein; Aurino – Gobbi 2012, 801 f. 810–818; Babbi – Peltz 2013, 304 f. Nr. 52 Taf. 43; Matthäus 1980, 277–279 Typ 47A, Kalottenschalen mit verdicktem, abgerundetem Rand, Dm 13–22 cm, H 4–6.5 cm, selten in der Ägäis und verwandt mit den zyprischen Exemplaren, bilden jedoch »eine Allerweltsform ohne besondere chronologische Relevanz und ohne eng umgrenztes Verbreitungsgebiet«.

709 Matthäus 1985, 71–104 Abb. 5–7, Dm 10–25 cm, H 4–10 cm, Kalottenschalen sind die häufigste Metallgefässform der spätyzprischen, zyprogeometrischen und zyproarchaischen Periode; am meisten belegt ist die Form in der Bronzezeit seit ca. 1400 v. Chr. Ein orientalischer Ursprung ist möglich.

Von der Schale aus Grab Strada 4 (S4/15, Taf. 21) sind nur einige Randfragmente sowie der Ansatz eines Horizontalkalkens überliefert. Der Rand weist auf der Innenseite eine Verdickung auf, wie sie auch für zahlreiche andere Bronzegefäße belegt ist⁷¹⁰. Er lässt daher keine Rückschlüsse auf Produktionsort oder Datierung zu. Allerdings ist ein genügend grosses Segment vorhanden, um den Durchmesser der Schale auf ca. 15 cm schätzen zu können. Trotz der Verwandtschaft in der Randbildung stellt diese Schale mit dem offenbar von Anfang an zugehörigen Henkel eine Sonderform innerhalb der Gattung der Kalottenschalen von Francavilla Marittima dar. Erstens, weil die meisten Bronzegefäße aus süditalienischen Gräbern keinen Henkel haben⁷¹¹, und zweitens, da der Henkel aufgelötet und nicht angenietet zu sein scheint. Die Fixierung unterscheidet sich damit von der ansonsten in Süditalien belegten Niettechnik⁷¹². Ein passendes Vergleichsstück konnte nicht gefunden werden, allerdings können die Henkel einer geometrischen bronzenen Lekanis aus Knossos einen Eindruck vermitteln, wie der (oder die?) Henkel angebracht gewesen sein könnte(n)⁷¹³. Zur Herstellungstechnik der Schale selbst lässt sich aufgrund der schlechten Erhaltung keine Aussage treffen. Allerdings scheinen die besser erhaltenen Schalen aus Francavilla Marittima und dem restlichen Kalabrien – analog den etruskischen und griechischen Bronzegefässen des frühen ersten Jahrtausends v. Chr. – aus einem einzigen Bronzeblech getrieben worden zu sein⁷¹⁴.

Aufgrund der Fundzusammenhänge (Strada 4, Strada 16, De Leo 1, Temparella 70 und 88) lässt sich die Deponierung der Bronzeschalen aus Francavilla Marittima um die Mitte des 8. Jahrhunderts v. Chr. bzw. in dessen zweite Hälfte datieren. Nur das Exemplar aus Grab Uliveto 9 stammt aus einer Bestattung des beginnenden 7. Jahrhunderts v. Chr.⁷¹⁵. Die Vergleiche für die Schalenformen können jedoch in einer weit grösseren Zeitspanne – vom 9. bis zum 7. Jahrhundert v. Chr. – eingeordnet werden⁷¹⁶. Die Schale aus dem benachbarten Amendolara stammt aus einem Grab des ersten Viertels des 7. Jahrhunderts v. Chr.⁷¹⁷. Die Exemplare aus Torre Mordillo (Spezzano Albanese) stammen dagegen aus Bestattungen der

Phase IFe2A⁷¹⁸. Eine ältere Datierung weist auch die aus dem östlichen Mittelmeerraum importierte Schale aus Grab Strada 1 auf, die aus typologischen Gründen noch der ersten Hälfte des 8. Jahrhunderts v. Chr. zugeordnet werden kann⁷¹⁹. Das Gefäss, das bekanntlich bereits in der Antike repariert und mit einem Henkel versehen wurde, hatte zum Zeitpunkt seiner Deponierung bereits eine bewegte Geschichte hinter sich. Wie viel älter als die Bestattung es ist, lässt sich allerdings nicht mit Gewissheit sagen. Das Exemplar aus Canale-Janchina (Locri) lässt sich schliesslich mangels klarer Fundvergesellschaftung zeitlich nicht genauer einordnen⁷²⁰.

Den genannten Schalen des 8. Jahrhunderts v. Chr. geht eine Gruppe von insgesamt zehn Gefässen des späteren 10. und frühen 9. Jahrhunderts v. Chr. aus Torre Galli (Drapia) voraus⁷²¹. Sie unterteilen sich in zwei verschiedene Typen: Schalen mit einer flacheren Kalotte (V1), die von Marco Pacciarelli der Stufe Torre Galli 1A zugewiesen werden, und solche mit einem etwas tieferen Becken (V2), die von Torre Galli 1A bis in die Phase Torre Galli 1B reichen⁷²². Eine Verbindung zwischen diesen frühen Schalen des 10./9. und den jüngeren des 8. Jahrhunderts v. Chr. lässt sich zurzeit nicht mit Funden belegen. Dass die Gefässgruppen völlig unabhängig voneinander Eingang in die materielle Kultur der kalabrischen Eisenzeit gefunden haben, dürfte dennoch eher unwahrscheinlich sein, zumal gerade die flachen Kalottenschalen des Typs V1 von Torre Galli nicht nur formal, sondern auch in Bezug auf ihre Grösse (Randdurchmesser 12–15 cm) mit den jüngeren Exemplaren von Francavilla Marittima, Canale-Janchina (Locri) und Amendolara gut vergleichbar sind⁷²³.

In beiden Fällen verdanken die Kalottenschalen ihren Ursprung in Italien Einflüssen aus dem östlichen Mittelmeerraum. Sowohl unter den frühen Schalen von Torre Galli (Drapia) als auch unter den späteren Exemplaren dürften sich verschiedene importierte Gefässe verbergen. Namentlich für die Omphalosschalen kann in diesem Zusammenhang auf nahe Vergleichsbeispiele aus Amathus⁷²⁴ und Lapithos⁷²⁵ auf Zypern verwiesen werden. Hartmut Matthäus leitet sie überzeugend

710 Aus den Gräbern Strada 17, Temparella 8 und 88 sowie Phialen vom Timpone Motta (7. Jh. v. Chr.) und Phialen aus der Contrada Calderazzo (Rosarno; 6./5. Jh. v. Chr.)

711 Mercuri 2004, 142–184.

712 Vgl. u. a. Gräber Temparella 8, Strada 1; Nijboer 2006.

713 Vgl. Stampolidis 2003, Nr. 678.

714 Diese Technik ist bereits in der Spätbronzezeit entstanden. Für Torre Galli (Drapia) und Canale-Janchina (Locri) wird eine spezialisierte Werkstatt angenommen, die auf griechische Einflüsse zurückgeht; vgl. Giunlia-Mair 1998 175 f.; Fasnacht 1998, 240; Mercuri 2004, 191; Orsi 1926, 183 f. 351.

715 Luppino u. a. 2012, 657.

716 Jüngere Exemplare sind aus Noepoli (Adamesteanu u. a. 1971, 56 Nr. 36751 Taf. 14), Sala Consilina (de La Genière 1968, 104 f. Taf. 66, 1), Chiaromonte (Tagliente 1985, 177. 189 Taf. 3, 3) und Roccanova (Tagliente 1985, 177. 189 Taf. 3, 3) bekannt.

717 De La Genière – Pierobon 1980, 322–324 Nr. 3, Abb. 22, 23, Mangosa (Amendolara) Grab 5, Dm 14 cm, mit einfacher Öse unter dem

Rand, erste Hälfte des 7. Jhs. v. Chr., Mercuri Typ 1; Mercuri 2004, 147–155 Nr. 6.

718 Cerzoso – Vanzetti 2014, 141 Nr. 199, Torre Mordillo (Spezzano Albanese) Grab 1, Dm 15 cm, H. 5.5 cm, Datierung IFe2A.

719 Zancani Montuoro 1970/1971a; Nijboer 2006; Botto 2008, 163; Pace 2008a, 7. 12 f.; Pace 2008b, 81–89; Matthäus 2019, 250–253. Siehe Kapitel 2.

720 Canale-Janchina (Locri) Grab 9: Orsi 1912, Sp. 26 f. Abb. 30; Orsi 1926, 229. 351; Mercuri 2004, 142 Nr. 2; 144 Abb. 40, 2; 147 Nr. 1; 151 Abb. 44, 4 (Dm 12.7 cm).

721 Torre Galli 1A und 1B: Pacciarelli 1999a, 44. 59 f. Zu den absoluten Daten vgl. die Tabelle bei Pacciarelli 1999a, 63 Abb. 15.

722 Für eine Unterteilung der Schalen von Torre Galli (Drapia) in drei Typen siehe Sciacca 2010b, 50 Tab. 9.

723 Es sei in diesem Zusammenhang auch auf die entsprechenden Kalottenschalen im Hort von San Cataldo auf Sizilien verwiesen: Albanese Procelli 1993, 67–71 Abb. 25, 1–3.

724 Amathus Grab 7: Gjerstad u. a. 1935, 41 Nr. 243; Matthäus 1985, 137 Nr. 377 Taf. 28.

725 Kastros (Lapithos) Grab 403: Gjerstad u. a. 1934, 189 Nr. 99; Matthäus 1985, 137 Nr. 379 Taf. 28.

von den einfacheren Kalottenschalen mit flachem Boden ab⁷²⁶. Der Omphalos sicherte den Schalen einerseits grössere Standfestigkeit, andererseits erleichterte er ihre Handhabung beim Trinken und Schöpfen. Omphalosschalen sind denn auch im gesamten Nahen Osten und in Ägypten seit der frühen Bronzezeit belegt⁷²⁷. Im Einzelfall ist es wegen der einfachen und unspezifischen Typologie allerdings schwierig, Importe von lokalen Nachahmungen zu scheidern. Im Falle von DL1/5 spricht die ungewöhnlich feine Machart für die Produktion durch einen technisch sehr versierten Handwerker. Im Falle der kalottenförmigen Schale ohne Omphalos aus Strada 17 (S17/4) wurde aufgrund der verdickten Randform ebenfalls eine Beziehung zu zyprischen Exemplaren angenommen⁷²⁸.

Eine wichtige Frage betrifft die Funktion der Kalottenschalen. Bildquellen zeigen, dass die Form im östlichen Mittelmeerraum zum Trinken und Spenden verwendet wurde, wobei sie in beiden Funktionsbereichen in erster Linie mit der aristokratischen Männerwelt in Verbindung steht. In Athen und Lefkandi sind Kalottenschalen verzierten und unverzierten Typs vorab in Männergräbern nachgewiesen, oftmals in Vergesellschaftung mit Waffen⁷²⁹. Dagegen finden sie sich in den frühen Gräbern von Torre Galli (Drapia) ausschliesslich in Frauengräbern, was Marco Pacciarelli zur Annahme geführt hat, dass sie hier – womöglich in Verbindung mit den mitgefundenen einfachen Eisenmessern – im Zusammenhang mit sakralen Handlungen stehen⁷³⁰. Ähnliche Funktionszusammenhänge wurden auch für die Schalen von Francavilla Marittima in Erwägung gezogen, die allerdings nicht nur aus Frauen-, sondern auch aus Männergräbern stammen. Die berühmte Bronzeschale aus Grab Strada 1 dürfte die Deutung der Schalen als Opfergeräte beflügelt haben⁷³¹. Obschon anthropologische Reste fehlen, spricht die Zusammensetzung der Funde dafür, dass die figürlich verzierte Schale einer Frau mit ins Grab gegeben wurde. Aus Frauengräbern stammen ausserdem die beiden Exemplare aus Bronze und Silber von Grab Strada 4 (S4/15 und S4/63) sowie das Stück aus Grab Temparella 88. Drei weitere Schalen wurden hingegen in Männergrä-

bern gefunden: Strada 17, Temparella 70 und De Leo 1. Das Geschlecht der Bestattung in Grab Oliveto 9 ist ungewiss⁷³².

In mehreren Fällen lagen die Schalen in der Nähe des Kopfes⁷³³. Sie folgen darin einer Regel, die auch für die Schalen aus Ton zu beobachten ist. Die Annahme liegt in diesem Fall nahe, dass sie als Trinkgefässe bestimmt waren⁷³⁴. In anderen Fällen wurden die Schalen zusammen mit weiteren Gefässbeigaben zu Füßen der Verstorbenen deponiert. Dies ist der Fall in den Gräbern Strada 17 und De Leo 1. Im Grab De Leo 1 lag die Schale in nächster Nähe des Kessels, mit dem sie auch durch das Material verbunden ist, etwas abgesondert von den keramischen Gefässbeigaben. Dieser Umstand könnte darauf hinweisen, dass sie hier nicht zum Trinkservice, sondern eher zum Speisegeschirr gehört.

In der bildlichen Überlieferung des Vorderen Orients sind Schalen, sowohl Rippenschalen als auch einfache Kalottenschalen, primär in zwei Verwendungsbereichen dargestellt. Sie dienen als Trinkgefässe des Königs und seiner Entourage und können als Spendeschalen bei Opferhandlungen verwendet werden. Selten sind hingegen Darstellungen, wie z. B. auf dem Opferrelief von Niniveh, die sie als Behältnisse von festen Speisen, in diesem Fall von Fleischstücken, zeigen⁷³⁵. Wie Ferdinando Sciacca betont hat, spricht nicht zuletzt der durchschnittliche Raddurchmesser der vorderorientalischen Schalen von ca. 15 cm dafür, dass sie zur bequemen Manipulation mit der flachen Hand bestimmt waren, in erster Linie eben zum Trinken und Spenden. Diese im Orient bevorzugte Verwendung der Schalen schliesst indessen nicht aus, dass die Gefässe in anderen Kulturen zu anderen Zwecken verwendet wurden. Dies gilt insbesondere für die Funde aus dem italischen Raum, wo namentlich die Rippenschalen einen besonderen Bezug zum Kessel und damit zum mutmasslichen Fleischkonsum erkennen lassen. Abgesehen davon, dass in einer Rippenschale in Grab 224 der Nekropole von Osteria dell’Osa Knochenreste gefunden wurden⁷³⁶, verweist Ferdinando Sciacca⁷³⁷ in diesem Zusammenhang auf die bevorzugte Deponierung der Schalen im Innern der Kessel, wie sie etwa in Pontecagnano⁷³⁸, Calatia⁷³⁹ und Vetulonia⁷⁴⁰ belegt ist. Diese Beobachtung sagt für

726 Matthäus 1985, 138.

727 Hasserodt 2009, 35 f. Einen wesentlichen Anteil an ihrer Verbreitung im frühen 1. Jahrtausend v. Chr. dürfte auch der phrygische Raum gehabt haben, wo Schalen mit grossem gerundetem Omphalos in Gordion und anderswo gut bezeugt sind. Ein phrygisch-kleinasiatisches Importstück konnte kürzlich von S. Verger unter den Beigaben des um die Mitte des 7. Jhs. entstandenen Grabes 259 der Nekropole von Paladino Ovest von Amendolara nachgewiesen werden: Paladino Ovest (Amendolara), Grab 259: de La Genière 2012, 147–150 Nr. 12 (S. Verger).

728 Mercuri 2004, 161; Aurino – Gobbi 2012, 801 f. 810–818; Babbi – Peltz 2013, 304 f. Nr. 52 Taf. 43. Vgl. Matthäus 1980, 277–279 Typ 47A.

729 Athen, Kerameikos: Kübler 1943, 29 Taf. 38; Kübler 1954, 205. 214 f., Grab 7; 218–220, Grab 13; 234 f., Grab 38; 260 f. Taf. 163, Grab 74. Lefkandi, Grab Toumba 33: Popham u. a. 1980, 189 Nr. 16; 250 Taf. 187. 243 f. (ohne Waffen).

730 Pacciarelli 1999a, 60.

731 Vgl. auch die wohl ebenfalls aus dem östlichen Mittelmeerraum importierte Bronzeschale aus dem Frauengrab 74 von Montevetrano, Boscarello: Scala 2011, 164. 173 Nr. 200.

732 Zancani Montuoro 1977–1979, 59 f. spricht sich aufgrund der Tatsache, dass nur eine Fibel gefunden wurde, für eine Männerbestattung aus. Für Luppino u. a. 2012, 666 handelt es sich dagegen um eine (mögliche) Frauenbestattung.

733 Gräber Oliveto 9, Temparella 70, Temparella 88. Mangosa (Amendolara) Grab 5 (de La Genière – Pierobon 1980, 314). In der Nähe des Kopfes lagen vermutlich auch die beiden Schalen aus Grab Strada 4 (s. u.); vgl. Mercuri 2004, 185.

734 Zancani Montuoro 1977–1979, 60 deutete die Schale aus Grab Oliveto 9 als Teil einer Kopfbedeckung bzw. eines Helmes, wofür es jedoch keine konkreten Anhaltspunkte gibt.

735 Curtis-Raede 1995, 86 f. Nr. 28. 29; Sciacca 2005, 256 f. Anm. 211.

736 Bietti Sestieri 1992b, 413. 856 f. Nr. 32.

737 Sciacca 2005, 437.

738 Pontecagnano Grab 575: D’Agostino 1968, 131–133 Abb. 35.

739 Calatia: Albore Livadie 1989, 16; Sciacca 2005, 303 mit Anm. 417.

740 Vetulonia, tomba del Duce gruppo 2: Camporeale 1967, 44–48 Taf. A, 15. 25; E, 9; IV, a; Primo Circolo delle Pellicce, seconda fossa: Cygielman 2000, 52; Circolo del Monile d’Argento: Camporeale 1967,

sich genommen natürlich noch nichts aus über die Funktion der Schale aus Grab De Leo 1. In Anbetracht der Fundlage der Bronzeschale nahe beim Kessel und der Tatsache, dass zusätzlich zur Schale noch ein keramischer Skyphos beigegeben war, erhärtet sich jedoch die Vermutung, dass das Gefässservice von Grab De Leo 1 als Ganzes einem durchaus differenzierten Verwendungskonzept unterworfen war. Insgesamt wird man allerdings gerade bei den Schalen eher von einer variablen Zweckbestimmung auszugehen haben, die sowohl auf den Konsum von festen Speisen als auch von Flüssigkeiten ausgerichtet sein konnte.

Martin A. Guggisberg, Sven Billo, Camilla Colombi

3.2.5 Bronzefibeln

Bügel fibeln

Bronzene Bügelfibeln mit kurzem Fuss Typ Lo Schiavo 79

Eine 4.6 cm lange Bügelfibel mit kurzem Fuss aus Grab Strada 6 (S6/2, Taf. 33) kann der Variante B des Typus 79 von Fulvia Lo Schiavo zugeschrieben werden⁷⁴¹. Der Bügel hat einen runden Querschnitt und ist mit feinen, umlaufenden Einritzungen auf der gesamten Länge verziert. Mindestens teilweise war der Bügel zusätzlich mit einem Bronzeband spiralförmig umwickelt, von welchem noch zwei Windungen erhalten sind. Die kleine Feder ist doppelt gewunden. Der kurze Fuss ist symmetrisch-dreieckig. An der Nadel hängt ein Bronzering mit flachem Querschnitt, an dem weitere Gegenstände befestigt gewesen sein könnten.

In der Macchiabate-Nekropole ist der Typ nur einmal vertreten und im Allgemeinen scheinen Bügelfibeln in Francavilla nur selten belegt. Bisher ist der Typ in Süditalien vor allem aus den Frauengräbern von Sala Consilina bekannt und wird in die Phasen IFe2A-2B datiert⁷⁴². In Mittelitalien sind vergleichbare Exemplare in Veji und Osteria dell'Osa aus Gräbern der Phase II dokumentiert⁷⁴³.

Sven Billo, Camilla Colombi

Schlangenfibeln

In den Arealen Strada und De Leo wurden insgesamt sieben bronzene Schlangenfibeln der Klasse *a occhiello* geborgen sowie ein Fragment, das wahrscheinlich zu einem weiteren Exemplar

gehört⁷⁴⁴. Die Form kommt sowohl in Männer- (DL1/6–8), als auch in Frauen- (S6/3; S14/4; S2/7?) und Kindergräbern vor (S8/6; S12/2. 3). Die typologische Einteilung erfolgt auf der Basis der Studie von Lo Schiavo 2010.

Bronzene Schlangenfibeln Typ Lo Schiavo 341

Der Typ Lo Schiavo 341 umfasst grosse Schlangenfibeln mit gekrümmter Nadel, Bügel mit rundem Querschnitt, Feder und Öse mit den gleichen Dimensionen und mit rundem Querschnitt sowie mit gestrecktem Fuss. Der Bogen ist im Abschnitt zwischen Feder und Öse mit einem eingeritzten Fischgrätmuster verziert⁷⁴⁵.

Ein intaktes Exemplar aus dem Männergrab De Leo 1 ist diesem Typ zuzuschreiben (DL1/6, Taf. 81). Die Länge beträgt 19.2 cm. Charakteristisch für die Exemplare dieses Typus ist die Verzierung mit Fischgrätmuster, Zickzacklinien oder Strichen. Der Typ ist vor allem in Kalabrien belegt (Torre Mordillo, Torre Galli, Castiglione di Paludi, Amendolara) kommt aber auch in Incoronata (San Teodoro, Pisticci) und Sala Consilina vor. Die chronologische Einordnung umfasst die Phasen IFe1A bis IFe2A. Aufgrund der zahlreichen Belege aus Torre Mordillo (Spezzano Albanese) wird die Produktion dieser Fibeln hauptsächlich in die Phase IFe2A datiert⁷⁴⁶. In der Macchiabate-Nekropole kommt der Typ in den Gräbern Vigneto 7 und Cima vor, die wohl zu einer frühen Phase des Gräberfeldes gehören, ausserdem sind zwei Streufunde bekannt⁷⁴⁷.

Bronzene Schlangenfibeln Typ Lo Schiavo 343

Zum Typ Lo Schiavo 343 gehören Schlangenfibeln mit gekrümmter Nadel, unverziertem Bügel mit rundem Querschnitt, Feder und Öse mit den gleichen Dimensionen und mit rundem Querschnitt sowie mit gestrecktem Fuss⁷⁴⁸.

Dem Typ lassen sich zwei gut erhaltene Exemplare aus Grab De Leo 1 zuschreiben (DL1/7. 8, Taf. 81). Die Länge beträgt 9.3 bis 10.5 cm. Der Typ ist in Kalabrien weit verbreitet und besonders gut in Torre Mordillo (Spezzano Albanese) belegt⁷⁴⁹; darüber hinaus ist er in der Basilikata, Kampanien, Apulien und Sizilien dokumentiert. Seine Produktion setzt in der Phase IFe1B ein und ist – wie auch der Typ 341 – typisch für die Phase IFe2A, für die Torre Mordillo (Spezzano Alba-

45 Anm. 3; Circolo della Navicella: Colombi 2018, 117 f. 259 Anm. 2710 sowie Katalog 1 S. 61–80. 110 f. 144–147. 247–265.

741 Lo Schiavo 2010, 197–199, Typ 79 *piccole fibule ad arco ingrossato con decorazione continua a sottili costolature o a linee incise*; die Variante B ist durch eine durchgehende Verzierung aus Ritzlinien gekennzeichnet.

742 Lo Schiavo 2010, 197–199.

743 Toms 1986, 79 Abb. 16B Typ I.15, Phasen IB–IIB; entspricht wahrscheinlich Typ 81C von Guidi 1993, 42–44 Abb. 6, 1, Phasen IIA–IIB1; Bietti Sestieri 1992b, 361 f. Typ 38m, Phase II.

744 Die zwei Bronzedrahtfragmente S2/7 wurden als mögliches Fibel-fragment gedeutet, das zu einer Schlangenfibel Typ Lo Schiavo 353 oder 354 gehören könnte: Lo Schiavo 2010, 728–732 datiert zwischen IFe2A und IFe2B.

745 Lo Schiavo 2010, 661–676, Typ 341 *fibule serpeggianti meridionali di verga a sezione circolare e decorazione a spina di pesce*.

746 Vgl. Cerzoso – Vanzetti 2014, Nr. 174. 179. 515. 519.

747 Das Exemplar aus Grab Cima sowie ein Streufund aus Francavilla Marittima werden von Lo Schiavo 2010 der Variante 1 zugeschrieben; die Fibel aus Grab Vigneto 7 und der zweite Streufund können dem Typ wohl zugeschrieben werden: Lo Schiavo 2010, 661–676 Nr. 5780. 5781. 5806. 5816. Quondam 2009, 101 Abb. 1, 1, die Gräber sind in die frühe Phase der Nekropole zu datieren.

748 Lo Schiavo 2010, 679–693 Typ 343 *fibule serpeggianti meridionali di verga a sezione circolare, inornate*.

749 Vgl. Cerzoso – Vanzetti 2014, Nr. 180. 206–208. 279. 521–531.

nese) die wichtigste Fundstelle bildet. Aus der Macchiabate-Nekropole ist der Typ in den Gräbern Strada 1⁷⁵⁰ und Lettere B belegt⁷⁵¹.

Bronzene Schlangenfibeln Typ Lo Schiavo 347

Schlangenfibeln des Typs Lo Schiavo 347 besitzen eine gekrümmte Nadel, einen unverzierten Bügel mit rundem Querschnitt, Feder und Öse mit bandförmigem Querschnitt und einen gestreckten Fuss⁷⁵².

Drei intakte Exemplare aus den Gräbern Strada 12 (S12/2. 3) und Strada 14 (S14/4) sowie ein unvollständiges Exemplar aus Strada 6 (S6/3) sind diesem Typ zuzuordnen (Taf. 33. 53. 58). Die Länge beträgt 7.8 bis 10.1 cm. Der Typ ist in Kalabrien und Sizilien weit verbreitet und wird von Fulvia Lo Schiavo zwischen IFe1B und IFe2A datiert, insbesondere aufgrund der vielen Belege in Torre Mordillo (Spezzano Albanese)⁷⁵³. In der Macchiabate-Nekropole ist der Typ auch in den Gräbern Vigneto 3, Oliveto 3, Temparella 36 und Temparella 41 belegt – Komplexe, die in der Phase IFe2B datieren⁷⁵⁴. Eine fragmentarisch erhaltene Fibel aus Strada 1 wird ebenfalls diesem Typ zugeschrieben⁷⁵⁵. Die Parallelen aus Roggiano Gravina, Gräber 1, 3, 5 und 8, machen ausserdem deutlich, dass der Typ bis zum Ende der Phase IFe2B vorkommt⁷⁵⁶.

Zwei der hier behandelten Stücke weisen eine auffällig nach vorne verschobene Feder auf (S12/2, S6/3, Taf. 33. 53). Diese Eigenschaft findet genaue Entsprechungen in den Exemplaren aus den Gräbern Temparella 36 und Temparella 41 und könnte eine Variante des Typs bilden⁷⁵⁷.

Bronzene Schlangenfibeln Typ Lo Schiavo 351

Schlangenfibeln mit gekrümmter Nadel, unverziertem Bügel mit rechteckigem Querschnitt, Feder und Öse mit bandförmigem

Querschnitt und gestrecktem Fuss gehören zum Typ 351 von Lo Schiavo⁷⁵⁸.

Ein Exemplar aus Strada 8 (S8/6, Taf. 40) ist diesem Typ zuzuschreiben. Die Länge beträgt 5.5 cm. Der Typ unterscheidet sich vom eng verwandten Typ 347 nur durch den Querschnitt des Bügels, ist jedoch – anders als letzterer – nicht sehr weit verbreitet. Die Belege in Kalabrien beschränken sich auf Canale-Janchina (Locri), Torano Castello und Torre Mordillo (Spezzano Albanese). Der Typ scheint in Kampanien (Sala Consilina, San Marzano sul Sarno, Cairano und Cuma) eine grössere Verbreitung zu haben; darüber hinaus ist er in Sizilien dokumentiert. Die Exemplare werden zwischen IFe1B und IFe2A datiert. In Francavilla Marittima ist ein weiteres Exemplar dieses Typs aus dem Areal Est auf der Macchiabate-Nekropole belegt, gut vergleichbar ist ausserdem ein Exemplar aus Torre Mordillo⁷⁵⁹.

Camilla Colombi

Fibeln mit parallelen Bügeln und Nadeln

Bronzene Schildfibeln Typ Lo Schiavo 420

Die Fibeln des Typs Lo Schiavo 420 bestehen aus einer ovalen Scheibe mit einer Mittelrippe, die mit eingeritztem Fischgrätmuster verziert ist. Der Fuss ist kurz, dreieckig und symmetrisch⁷⁶⁰.

Aus Grab Strada 14 stammen zwei Schildfibeln dieses Typs (S14/5. 6, L 6.15 und 8.6 cm, Taf. 58). Die Feder des etwas grösseren Exemplars S14/5 muss in der Antike abgebrochen und mit einer Niete repariert worden sein – eine Eigenschaft, die sich bei mehreren Exemplaren dieser Form beobachten lässt⁷⁶¹. Beide Fibeln wurden im linken Brustbereich, beim Arm der Verstorbenen gefunden. Während Schildfibeln mit Mittelrippe in ganz Kalabrien verbreitet sind⁷⁶², scheint die Verzierung mit Fischgrätmuster bisher charakteristisch für Francavilla Marittima zu sein. Exemplare stammen aus den Gräbern Temparella 16, Temparella 93 und Est 5 sowie aus dem Bereich des Gebäudes Vb auf dem Timpone Motta⁷⁶³.

750 Lo Schiavo 2010, 687 Nr. 5997, ein Fragment; vgl. Kapitel 2.

751 Lo Schiavo 2010, 736 Nr. 6643 schreibt das Exemplar dem Typ 361 *fibule serpeggianti meridionali passanti alla foggia ad occhielli* zu; Quondam 2009, 145 deutet es als Übergangstypus zur *fibula a più occhielli*.

752 Lo Schiavo 2010, 702–713 Typ 347 *fibule serpeggianti meridionali, arco a sezione circolare, occhiello e molla a sezione quadrangolare, inornate*.

753 Vgl. Cerzoso – Vanzetti 2014, Nr. 534–538. 829. 891.

754 Zancani Montuoro 1977–1979, 76–78 Nr. 8; 52 Nr. 1; Zancani Montuoro 1980–1982, 100 f. Nr. 1; 113–117 Nr. 6; Lo Schiavo 2010, 704 f. Nr. 6248–6250; Quondam 2009, 145 Abb. 1, 22. Quondam setzt die Gräber – ausser Temparella 36 – in seine erste Phase.

755 S1/11, siehe Kapitel 2.

756 Carrara – Guzzo 1981, 446 f. Nr. 1 Abb. 4, Grab 1; 449 Nr. 2 Abb. 7, Grab 3; 458 Nr. 1 Abb. 14, Grab 5; 463 Nr. 1. 3. 4 Abb. 18, Grab 8; 463 Nr. 1 Abb. 16, Grab 8bis; Lo Schiavo 2010, 705 f. Nr. 6256–6262. Die gleichen Gräber enthielten auch eiserne Schlangenfibeln *a gomito* ohne Feder und mit bandförmigem Bügel, die als Form des spätesten Horizonts des IFe2B gelten: Quondam 2009, 145 Abb. 1, 14; zur Datierung der Nekropole Prunetta (Roggiano Gravina): Ferranti – Quondam 2006b, 594 f.

757 Die Gruppe wird von F. Quondam einem gesonderten Typus zugeschrieben, vgl. Quondam 2009, 145 Abb. 1, 15, IFe2B1.

758 Lo Schiavo 2010, 724–726 Typ 351 *fibule serpeggianti meridionali, verga a sezione quadrangolare, inornate*. Das Exemplar wurde in Guggisberg u. a. 2013, 64 Anm. 11 dem Typ 347 von Lo Schiavo zugeschrieben.

759 Guggisberg u. a. 2017, 87, Macchiabate-Nekropole Grab Est 7; Cerzoso – Vanzetti 2014, 200 Nr. 542 Taf. 40, Torre Mordillo (Spezzano Albanese) Streufund, wahrscheinlich aus einem Grab, möglicherweise Grab 97.

760 Lo Schiavo 2010, 824 f. Typ 420 *fibule ad arco scudato con costola centrale decorazione varia a spina di pesce*.

761 Lo Schiavo 2010, 824 Nr. 7500. 7501 Taf. 612. Vgl. auch zwei Exemplare aus Grab Est 5 mit antiker Reparatur: Guggisberg u. a. 2017, 84.

762 Lo Schiavo 2010, 819–827 Typen 417–422 aus Gräberfeldern entlang der ionischen Küste Kalabriens.

763 Lo Schiavo 2010, 824 f. Nr. 7500–7502; Quondam 2009, 149 f. Abb. 1, 23; Kleibrink 2003, 64 Abb. 18, 1. 4; Kleibrink 2006, 121 Abb. 38a; Papadopoulos 2003, 81 Nr. 218 Abb. 100; Guggisberg u. a. 2017, 83 f. Abb. 4, Anm. 16, Grab Est 5. Spärliche Belege ausser-

Die von Fulvia Lo Schiavo vorgeschlagene Datierung in die Phasen IFe1B bis IFe2A sollte angesichts der Datierung der Fundzusammenhänge in Francavilla Marittima allerdings bis in die Phase IFe2B erweitert werden⁷⁶⁴.

Sven Billo

Bronzefibeln mit Aufsatz Typ Lo Schiavo 426

In Grab Strada 14 kamen zwei Fibeln zutage (S14/7. 8, Taf. 59), die dem Typ 426 von Lo Schiavo zuzuschreiben sind⁷⁶⁵. Sie bestehen aus einem bandförmigen Bügel, auf dem zwei Befestigungszwecken zur Verankerung eines rechteckigen Aufsatzes aus Bein oder Horn angebracht sind. Der Fuss ist sehr kurz und dreieckig. Die Aufsätze sind oft nur fragmentarisch oder gar nicht erhalten – im Falle der Exemplare aus Grab Strada 14 haben sich bei S14/7 Reste des Elements aus Bein an der Befestigung erhalten⁷⁶⁶. Dies ermöglicht eine Zuschreibung zum Typ 426, obwohl die beiden Exemplare aus Strada 14 nur eine Befestigungszwecke statt den üblichen zwei aufweisen⁷⁶⁷. Der Typ ist besonders gut in Francavilla Marittima vertreten sowie in Torre Mordillo (Spezzano Albanese), Roggiano Gravina und Torano Castello belegt, scheint demnach typisch für die Sibaritide zu sein⁷⁶⁸. Die Produktion und Benutzungsphase dieser Fibeln umfassen die ganze IFe2-Phase. Da die meisten belegten Exemplare aus Francavilla Marittima stammen, wird eine Produktion direkt vor Ort angenommen⁷⁶⁹.

Sven Billo, Camilla Colombi

halb von Francavilla Marittima: Carrara Jacoli 1994, 682 Taf. 130, 6 aus Bellolucio (Castrovillari).

764 Quondam 2009, 149 f. Abb. 1, 23.

765 Lo Schiavo 2010, 829–832 Typ 426 *fibule con placchetta quadrangolare d'avorio o d'osso*.

766 Zu einem solchen Aufsatz könnte das Plättchen aus Bein aus Grab Strada 3 (S3/7) gehören.

767 Lo Schiavo 2010, 830 rechnet die Bügel mit zwei Löchern bzw. Nietten dem Typ 426 zu, während sie die Exemplare mit nur einem Loch bzw. Niete als kleinformatige Vierspiralfibeln anspricht. Exemplare vom Typ 426 weisen jedoch eine einzige, zentrale Niete auf: z. B. Fibeln aus den Gräbern Temparella 76 und 63 aus Francavilla Marittima, einige Exemplare aus Torre Mordillo (Spezzano Albanese) und aus Grab B1 von Torano Castello (s. folgende Fussnote).

768 In Francavilla ist er in den Frauengräbern Temparella 1, 16, 17, 27, 63, 67, 69, 76 sowie Vigneto 3, Cerchio Reale 6, Est 9 und auf dem Timpone Motta belegt: Lo Schiavo 2010, 829–832. 835 Nr. 7563; Quondam 2009, 149 Abb. 1, 11; Papadopoulos 2003, 85 f. Nr. 233–235 Abb. 106; Guggisberg u. a. 2018, 75 zwei Fibeln mit quadratischer Beinplakette in Grab Est 9. Ein Exemplar aus Grab Strada 18 (S18/2) könnte diesem Typ oder den Vierspiralfibeln Typ 441 von Lo Schiavo zugeschrieben werden (s. u.). Andere Exemplare aus der Region: Lo Schiavo 2010, 829–832; de La Genière 1977, 400–402 Abb. 14, 39, 40, Torano Castello Grab B1; Cerzoso – Vanzetti 2014, 204 Nr. 565, 566; 243 Nr. 899; vielleicht dem Typus zuzuschreiben auch 204 Nr. 564 aus Torre Mordillo Gräber 27, 172, 78 oder 81, 6–8 oder 55; Carrara – Guzzo 1981, 456 Nr. 1 Abb. 13 aus Prunetta (Roggiano Gravina) Grab 4. Der Typ ist belegt auch in Amendolara, Patariti und Monte Finocchito (Sizilien): Lo Schiavo 2010, 832.

769 Lo Schiavo 2010, 832.

Vierspiralfibeln

Die Vierspiralfibel wird aus zwei Doppelspiralen gebildet, welche mittels einer Niete auf einem Bügel befestigt sind. Die Niete wird üblicherweise durch ein verziertes Bronzeblech kaschiert, welches jedoch nicht immer erhalten ist. Die Spiralen sind aus einem dünnen Draht mit rundem Querschnitt gedreht. J. Wolfe konnte anhand von zehn vollständigen Vierspiralfibeln, sowie einigen Fragmenten die Herstellungstechnik untersuchen. Die Fibeln bestanden aus vier grösseren Teilen – zwei Doppelspiralen, einer Fussplatte und einer Deckplatte – die in der Mitte mittels einer Niete verbunden wurden. Die zwei Doppelspiralen waren, analog den Schlangenfibeln, aus einem kaltgeschmiedeten Stück Draht gewickelt, das sich an den Enden verjüngt. Die Dekoration der Deckplatten wurde mit einem runden, spitzigen Werkzeug gepunzt. Bei Stücken, deren Oberfläche nicht komplett korrodiert war, konnten unter dem Mikroskop Schleifspuren an den Spiralen nachgewiesen werden⁷⁷⁰.

Bronzene Vierspiralfibeln Typ Lo Schiavo 441

Zum Typ Lo Schiavo 441 (auch Typ Torre Mordillo genannt) gehören kleinformatige, ca. 3–5 cm lange Fibeln mit zwei Doppelspiralelementen, welche mit einem Stift in der Mitte des Bügels befestigt sind. Oft wird die Befestigungsniete durch eine runde und verzierte Blechscheibe kaschiert. Sie haben einen kurzen Fuss und eine Feder mit einer einzigen Windung⁷⁷¹.

Das Exemplar aus Grab Strada 18 (S18/2, Taf. 75) könnte zu diesem Typ oder zum Typ der Bronzefibeln mit Aufsatz aus Bein/Knochen gehören⁷⁷². Die Länge beträgt 3.9 cm. Von der Fibel kam nur der bandförmige Bügel mit Nadel zu Tage. Da während der Ausgrabung keine Hinweise auf Spiralelemente auszumachen waren, ist davon auszugehen, dass die Fibel in diesem unvollständigen Zustand bei der Bestattung – und möglicherweise bereits in der Lebenswelt – Verwendung fand. Eine Zuschreibung zum Typ ist auf Grund der Dimension der Fibel und der Position des – im vorliegenden Fall eisernen – Stifts in der Mitte des Bügels möglich⁷⁷³. Aus den Gräbern der Macchiabate-Nekropole sind drei weitere Exemplare doku-

770 Wolfe 1998.

771 Lo Schiavo 2010, 852–859 Typ 441 *piccole fibule a quattro spirali, tipo Torre Mordillo*.

772 Lo Schiavo 2010, 829–832 Typ 426 *fibule con placchetta quadrangolare d'avorio o d'osso*. Die Präsenz von nur einer Niete in der Mitte des flachen Bügels ist ein Indiz für eine Rekonstruktion als Vierspiralfibel, doch sind auch unter den Exemplaren mit Aufsatz aus Bein/Knochen durchaus Beispiele mit nur einem – statt den üblichen zwei – Nietten belegt, wie etwa aus den Gräbern Temparella 76 und 63.

773 Für Lo Schiavo 2010, 830 sind die Exemplare mit einer einzigen, zentral auf dem Bügel platzierten Niete zu Vierspiralfibeln zu rekonstruieren. Die Auffindung von Knochen- bzw. Beinresten an Exemplaren mit einer einzigen Niete macht jedoch deutlich, dass es sich auch um Fibeln des Typs 426 mit Aufsatz aus Knochen/Bein handeln könnte. Im Falle von Exemplar S18/2 sind jedoch keine Spuren des Aufsatzes erhalten.

mentiert (Frauengräber Temparella 63, Cerchio Reale 11, Est 5), die überwiegende Mehrheit der Belege stammt jedoch aus der Nekropole von Torre Mordillo (Spezzano Albanese). Die Blüte des Typs liegt demnach im IFe2A⁷⁷⁴.

Corinne Juon

Bronzene Vierspiralfibeln Typ Lo Schiavo 447

Aus Grab Strada 2 stammt eine stark fragmentierte Vierspiralfibel (S2/8, Taf. 14). Neben zahlreichen Drahtfragmenten der Spiralen wurden der Fuss mit einem grossen Teil des Bügels, sowie eine Hälfte der mittleren Drahtplatte mit einer Niete gefunden, mit der die beiden Doppelspiralen auf dem Bügel befestigt waren. Unter Umständen sind die Bronzeblechfragmente S2/30 und S2/31 Teile des verzierten Bronzebleches, das üblicherweise die Niete solcher Fibelformen verdeckt.

Die Fragmente deuten auf den Typ 447 von Lo Schiavo hin, der durch die Dimensionen, den kurzen und symmetrischen Fuss, den Verzicht auf zusätzliche Stützelemente auf der Rückseite der Spiralen sowie oft durch die Präsenz eines rhomboiden und verzierten Blechs zur Abdeckung der Befestigungsniete charakterisiert ist⁷⁷⁵. Der Typ kommt in Francavilla Marittima in mehreren Frauengräbern vor (Temparella 3. 60. 67. 76, Cerchio Reale 11, Cima 13 sowie ein fragmentiertes Exemplar aus Grab Strada 1)⁷⁷⁶. Die Verbreitung des Typs umfasst Kalabrien und wohl auch Kampanien, wenn auch die meisten Exemplare aus Francavilla Marittima und aus den Nekropolen Agliastroso und Paladino Ovest von Amendolara stammen. Die Produktion setzt vermutlich ab dem IFe2A ein und läuft bis mindestens in die Phase IFe2B weiter⁷⁷⁷. Die Fibelform wird aber auch noch im ersten Drittel des 7. Jahrhunderts v. Chr. in Frauengräbern in Amendolara benutzt, zusammen mit weiteren für die frühe Eisenzeit typischen Schmuckelementen⁷⁷⁸.

Sven Billo, Camilla Colombi

774 Lo Schiavo 2010, 852–859 bes. 847 Nr. 7843. 7844 aus den Gräbern Temparella 63 und Cerchio Reale 11. Guggisberg u. a. 2017, 83 f. Abb. 4, Anm. 16, Grab Est 5.

775 Lo Schiavo 2010, 869–874 Typ 447 *grandi fibule a quattro spirali con arco a fascetta, tipo Amendolara*.

776 Lo Schiavo 2010, 869 f. 872; Quondam 2009, 142 f. Abb. 1, 5; 145.

777 Lo Schiavo 2010, 873 f.: Die Datierung stützt sich auf die Fundzusammenhänge aus Francavilla Marittima Gräber Temparella 60 und Strada 1 sowie San Marzano sul Sarno Grab 30.

778 Quondam 2017a, 423–427; de La Genière 2012, 245 zur Benutzung von Schmuck und Fibeln, die typisch für die Phase IFe2 sind und in Gräbern des 7. Jhs. v. Chr. in Amendolara weiterhin vorkommen; de La Genière 1971, 450–453 Abb. 15–17. 45, Paladino Ovest Grab 4, erstes Drittel des 7. Jhs. v. Chr.; de La Genière, 1973b, 17 f. Abb. 21–24 Zeichnungen Nr. 25. 26, Paladino Ovest Grab 97, erstes Drittel des 7. Jhs. v. Chr.; 9–12 Abb. 8. 11–10 Zeichnung Nr. 6, Paladino Ovest Grab 126, erstes Drittel des 7. Jhs. v. Chr.; 15 f. Abb. 15–18 Zeichnungen Nr. 13–17, Paladino Ovest Grab 128, erstes Drittel des 7. Jhs. v. Chr.; 18 f. Abb. 25–30 Zeichnungen Nr. 42. 43, Paladino Ovest Grab 143, erstes Drittel des 7. Jhs. v. Chr.

3.2.6 Weitere Trachtbestandteile und Schmuck aus Bronze

Disco composito

Die Exemplare S6/4 und S14/9 sind zwei massive Bronzescheiben mit je einem Durchmesser von ca. 12 cm (Taf. 33. 59). Sie gehören zu der Form der sog. *dischi compositi*, einer für die Frauenbestattungen der Macchiabate-Nekropole typischen Objektklasse⁷⁷⁹. Dabei handelt es sich um eine grosse Bronzescheibe, die stets im Hüftbereich der Verstorbenen gefunden wurde, und um einen konischen sog. *cupolino* (Verschlussэлемент). Die beiden Elemente scheinen jedoch keine untrennbare Einheit zu bilden. Zum einen sind Gräber belegt, in denen – wie in Strada 6 und Strada 14 – nur die Bronzescheibe oder nur der *cupolino* gefunden wurden⁷⁸⁰, zum anderen wurden beide Elemente bisher nie nebeneinander gefunden. Während die Scheibe regelhaft im Bereich des Unterleibs liegt, wurden die *cupolini* oft im Bereich des Schädels und der Brust freigelegt⁷⁸¹. Die Zusammengehörigkeit der Objekte ist dennoch plausibel, da der *cupolino* jeweils genau die passende Grösse hat, um die Öffnung der Scheibe abzudecken. Die Durchmesser der Scheiben schwanken zwischen 11.7 cm (S6/4 und Vigneto 3) und 26.7 cm⁷⁸². Auffällig ist, dass der *cupolino* nur bei den drei kleinsten Exemplaren – S6/4, S14/9 und Vigneto 3 – zu fehlen scheint⁷⁸³.

Aufgrund der Lage der Scheibe wird der Gegenstand als Element eines Gürtels gedeutet (siehe Taf. 31 Nr. 7; Taf. 56 Nr. 6)⁷⁸⁴.

779 Für die Objektgruppe siehe Zancani Montuoro 1974–1976, 83–92; 84 f. mit Zusammenstellung der bekannten Scheiben aus Francavilla Marittima; Luppino u. a. 2012, 655; Ferranti – Quondam 2015, 48–87. 58; Papadopoulos 2003, 112–117 Nr. 413–415 für Exemplare vom Timpone Motta. Dazu kommen die Neufunde aus den Frauengräbern Est 5, 9 und 12; Guggisberg u. a. 2017, 84 Taf. 12, 3; Guggisberg u. a. 2018, 75; Guggisberg u. a. 2019. Streufunde aus dem Nekropolenbereich Rossi Saladino: Cerzoso – Vanzetti 2014, 132–135.

780 Nur Bronzescheibe: Gräber Strada 6, Strada 14, Vigneto 3, Est 12; nur *cupolino*: Gräber Temparella 4, 22 und 69, Cerchio Reale 6/7, Lettere G.

781 Zancani Montuoro 1974–1976, 83–92; Ferranti – Quondam 2015, 58; Luppino u. a. 2012, 655.

782 Cerzoso – Vanzetti 2014, 134 Nr. 156 Streufund aus der loc. Rossi Saladino.

783 Der *cupolino* scheint auch in Grab Temparella 86 zu fehlen, allerdings ist auch diese Scheibe unterdurchschnittlich gross und könnte durch die kleine Bronzescheibe Nr. 6 abgedeckt gewesen sein: Zancani Montuoro 1983/1984, 96, Abb. 31. Der Neufund aus Frauengrab Est 12 scheint diesem Zusammenhang jedoch zu widersprechen, da im Grab eine grosse Scheibe von 20 cm Durchmesser ohne *cupolino* zum Vorschein kam: Guggisberg u. a. 2019.

784 Cerzoso – Vanzetti 2014, 132; Luppino u. a. 2012, 655. Für dekorierte Bronzeknöpfe, die in Frauengräbern im Bereich der adriatischen Küste auf dem Unterleib gefunden wurden und als Teile von Gürteln aus Leder oder Textil gedeutet werden, siehe Iaia 2007, 35. G. Bartoloni schreibt vergleichbaren Objekten aus Bronze und Terrakotta aus mittelitalischen Gräbern eine apotropäische Funktion im Zusammenhang mit weiblicher Fruchtbarkeit und Fortpflanzung zu: Bartoloni 2003, 133–136. 153–154; Bartoloni 2006, 16–18.

Der Querschnitt von S14/9 weicht etwas von demjenigen der übrigen *dischi compositi* ab. Er ist dreieckig, während die übrigen Scheiben aus einem flachen Blech bestehen, das nach rund zwei Dritteln einen Knick von ca. 50° aufweist. S14/9 weist diesen Knick nur auf der Vorderseite auf. Dies könnte damit zusammenhängen, dass auf der Rückseite keine Hammerspuren sichtbar sind, wie dies z. B. bei S6/4 der Fall ist. Wie die anderen *dischi* wurde diese Scheibe mit der Vorderseite nach unten in eine Form gegossen. Während die Mehrzahl der Scheiben mit dem Hammer nachbearbeitet wurde, blieb S14/9 wohl unbearbeitet⁷⁸⁵. Einige Exemplare scheinen zusätzlich verziert worden zu sein. Die Scheibe aus Grab Temparella 86 weist noch Spuren von eingeritzten Ornamenten (Kreisau- gen, Wellenlinie) auf⁷⁸⁶.

Die *dischi compositi* scheinen charakteristisch für Franca- villa Marittima gewesen zu sein, da rund ein Drittel der Frau- engräber mindestens eines der beiden Elemente, *disco* oder *cupolino*, enthielt. Auffällig ist insbesondere, dass aus den Grä- berfeldern von Torre Mordillo (Spezzano Albanese) und Valle Sorigliano (Santa Maria d'Anglona, Tursi) keine Exemplare überliefert sind⁷⁸⁷. Aus Kalabrien sind lediglich eine Bronze- scheibe aus Sant'Antonio di Rossano Calabro, vier Bronze- scheiben und fünf *cupolini* aus Castiglione di Paludi (Paludi)⁷⁸⁸ sowie drei Bronzescheiben aus Roggiano Gravina – hier aller- dings auch in Männergräbern⁷⁸⁹ – bekannt. Zudem sind einige kleine Exemplare auf Sizilien (Mendolito di Adrano und San Cataldo) belegt⁷⁹⁰. Die *dischi compositi* sind allgemein in die Phase IFe2 zu datieren⁷⁹¹.

Sven Billo

Halsreif

Zwei bronzene Halsreife von 9.6 und 10.5 cm Breite kamen in Grab Strada 6 zutage (S6/5. 6, Taf. 33. 34). Die Reife be- stehen aus einem gebogenen Draht mit rundem Querschnitt, der an den beiden Enden bandförmig und spiralförmig ein- gerollt wird. Beide Exemplare sind mit feinen, spiralförmigen Ritzlinien verziert. Vergleichbare Halsreife sind in zehn wei-

teren Frauengräbern der Macchiabate-Nekropole belegt⁷⁹², al- lerdings konnten Verzierungen nur in drei Fällen festgestellt werden⁷⁹³. Nur in Grab Strada 6 wurden zwei Exemplare im selben Grab gefunden. Weitere Parallelen sind aus den Nekro- polen von Torre Mordillo (Spezzano Albanese), Incorona- ta (San Teodoro, Pisticci) und Valle Sorigliano (Santa Maria d'Anglona, Tursi) bekannt⁷⁹⁴. Die Verzierungsarten und die eingerollten Enden sind in Süditalien seit dem Übergang von der Spätbronzezeit zum IFe verbreitet⁷⁹⁵.

Sven Billo

Radanhänger

Im Hüftbereich der Frauenbestattung Strada 11 wurde der Radanhänger S11/6 gefunden (Taf. 49, siehe Taf. 44 Nr. 2). Aufgrund der fragilen, daran befestigten doppelgliedrigen Ketten wurde das gesamte Ensemble im Block geborgen und durch Computertomographie und Röntgenaufnahmen doku- mentiert⁷⁹⁶. Bereits im Feld war ersichtlich, dass der Radan- hänger aus drei konzentrischen Ringen besteht, die über vier Speichen miteinander verbunden sind. Er hat einen Durch- messer von ca. 7.6 cm. Der äusserste Ring ist mit einem fla- chen Bronzeband umwickelt, welches zur Aufhängung der doppelgliedrigen Ketten dient.

Entsprechende Anhänger sind aus elf anderen Frauengrä- bern der Macchiabate-Nekropole bekannt, jedoch nur in zwei Fällen mit Bronzeketten kombiniert⁷⁹⁷. Weitere Exemplare mit

792 Cerchio Reale 12, Temparella 16, 60, 66, 67 und 81, Vigneto 3 und 6, Est 5 und 9. Luppino u. a. 2012, 666 Abb. 8; Guggisberg u. a. 2017, 83, Grab Est 5; Guggisberg u. a. 2018, 74, Grab Est 9; Zan- cani Montuoro 1974–1976, 13–50 Nr. 18 Abb. 2 Taf. 5 a, Grab Temparella 60; Zancani Montuoro 1977–1979, 38–39 Nr. 4, Grab Cerchio Reale 12; 76–79 Nr. 6, Grab Vigneto 3; 82 f. Nr. 6, Grab Vigneto 6; Zancani Montuoro 1980–1982, 52 Nr. 5 Abb. 21, Grab Temparella 16; Zancani Montuoro 1983/1984, 40 f. Nr. 1, Grab Temparella 66; 41–47 Nr. 7, Grab Temparella 67; 80 f. Nr. 1, Grab Temparella 81. Ein Halsreif stammt möglicherweise auch aus Grab Strada 1, vgl. S1/9, Kapitel 2.

793 Für Halsringe aus oionotrischen Nekropolen sind bisher zwei Ver- zierungsarten bekannt. Zum einen die beschriebenen Ritzlinien, zum anderen können die Ringe tordiert sein; Chiartano 1994, 56. Verzierte Exemplare aus Francavilla Marittima: Zancani Montuoro 1980–1982, 52 Nr. 5 Abb. 21, Grab Temparella 16; Zancani Mon- tuoro 1974–1976, 13–50 Nr. 18 Abb. 2 Taf. 5 a, Grab Temparella 60; Guggisberg u. a. 2017, 83, Grab Est 5, mit Gruppen von jeweils vier bis fünf Ritzlinien, die sich über die ganze Länge des Reifes verteilen.

794 Frey 1991, Taf. 21 A, Valle Sorigliano (Santa Maria d'Anglona, Tur- si) Grab 113; Cerzoso – Vanzetti 2014, 212 Nr. 673 Taf. 331, Torre Mordillo (Spezzano Albanese) Grab 177, tordiert; Chiartano 1994, 56. 168 Taf. 16 D, Incoronata (San Teodoro, Pisticci) Grab 186.

795 Cerzoso – Vanzetti 2014, 212.

796 Die Computertomographie und Röntgenaufnahmen wurden im Krankenhaus G. Chidichimo von Trebisacce durchgeführt, wofür wir uns herzlich bei F. Odoguardi bedanken.

797 Radanhänger aus Gräbern Temparella 1, 39, 57, 63, 67, 76 und 86 sowie Uliveto 15 und Lettere A, zwei Exemplare mit Bronzeketten aus Grab Est 5, ein Radanhänger mit Kettengliedern und ein an eine Fibel gehängtes Exemplar aus Grab Est 9. Guggisberg u. a. 2017, 84; Guggisberg u. a. 2018, 74f.; Luppino u. a. 2012, 666 Abb. 8;

Bellia sprach sich für eine Deutung als Musikinstrument aus: Bellia 2009, 11–14. 52 f.

785 Das Kaltschmieden und vor allem die damit verbundene Wärmebe- handlung nach dem Guss können zu besseren Materialeigenschaften führen. Schleifspuren konnten aufgrund der stark korrodierten Oberflächen nicht festgestellt werden.

786 Zancani Montuoro 1983/1984, 97 f. Abb. 32.

787 Zancani Montuoro 1974–1976, 89 f.

788 Guzzo 1975, 144.

789 Aufgrund ihrer geringen Grösse werden sie mit den sizilischen Bron- zescheiben von San Cataldo verglichen; Carrara – Guzzo 1981, 470; Cerzoso – Vanzetti 2014, 133.

790 Cerzoso – Vanzetti 2014, 132 f.; Quondam 2014, 40 Abb. 11.

791 Die frühesten Exemplare von Castiglione di Paludi (Paludi) datieren vermutlich bereits ins IFe2A, während für die grosse Mehrzahl der Stücke (Francavilla Marittima, Roggiano Gravina) eine Datierung aufgrund der Fundzusammenhänge im IFe2B anzunehmen ist: Cer- zoso – Vanzetti 2014, 132 f.

umwickeltem Bronzeband aus dem Bereich des Macchiabate-Gräberfeldes sind im Museum von Cosenza aufbewahrt⁷⁹⁸. Die Ringanhänger aus Francavilla Marittima scheinen alle aus drei konzentrischen Ringen und vier Speichen zu bestehen. Aus anderen Nekropolen sind Exemplare bekannt, die zwischen zwei und fünf Ringen und zum Teil nur zwei Speichen aufweisen⁷⁹⁹.

Die Radanhänger der Macchiabate-Nekropole wurden in der Regel im Bereich von Hals/Schulter oder Hüfte/Bauch der Verstorbenen gefunden⁸⁰⁰. Während in anderen Gräberfeldern des oinotrischen Kulturkreises mehrere Radanhänger miteinander vergesellschaftet sein konnten, scheinen sie auf der Macchiabate-Nekropole jeweils einzeln beigegeben worden zu sein⁸⁰¹. Die Funktion dieser Anhänger wurde abhängig von ihrer Fundlage unterschiedlich beurteilt. Paarweise nebeneinander angeordnete Anhänger im Bereich des Oberkörpers wurden für Incoronata (San Teodoro, Pisticci) als Verschlüsse interpretiert⁸⁰². In Valle Sorigliano (Santa Maria d'Anglona, Tursi) und Incoronata können Reihen von Anhängern in der Beckenzone der Verstorbenen aufgereiht sein, oft mit zusätzlichen Ringen behängt. Ursprünglich waren sie vermutlich auf ein Bronze- oder Lederband aufgezogen und bildeten Bestandteile reicher Gürtel⁸⁰³.

Aufgrund seiner Lage und der zahlreichen Bernsteine, die in der unmittelbaren Nähe des Anhängers zutage kamen, wurde der Anhänger S11/6 ursprünglich als Teil einer Gürtelgarnitur gedeutet⁸⁰⁴. Im Röntgenbild der Blockbergung zeichnet sich allerdings im nordwestlichen Viertel des Anhängers ein stiftartiges Objekt von geschwungener Form ab, das aufgrund

seiner geringeren metallischen Dichte vermutlich aus Eisen besteht. Zusammen mit den in der Nähe des Anhängers gefundenen Fragmenten der eisernen Fibel S11/26 spricht dieser Befund dafür, dass der Anhänger ursprünglich an einer Fibel befestigt war⁸⁰⁵. Er wäre in diesem Fall wohl nicht am Gürtel, sondern am Gewand, vermutlich im Oberkörperbereich, fixiert gewesen, wie dies neuerdings auch für analoge Radanhänger in den Gräbern Est 5 und Est 9 belegt ist⁸⁰⁶. Das Röntgenbild bildet zwei weitere Bronzespiralen sowie ein weiteres Objekt aus Eisen im Zentrum des Anhängers ab, deren Interpretation offenbleiben muss.

Die Radanhänger scheinen gegossen worden zu sein, wie die nicht abgearbeiteten Gussreste einiger Exemplare zusätzlich belegen⁸⁰⁷. Die Form ist zudem nicht nur in den oinotrischen Gräberfeldern Kalabriens und der Basilikata verbreitet, sondern auch in Sizilien, Kampanien und Etrurien bekannt, wo vergleichbare Radanhänger sowohl in der Eisenzeit als auch im 7. Jahrhundert v. Chr. datieren⁸⁰⁸.

Sven Billo

Kleinformatige Anhänger

Doppelspiralanhänger

Bei den aus einem einzigen Draht gefertigten Doppelspiralanhängern aus den Gräbern Strada 4 (S4/16–19), Strada 8 (S8/9), Strada 18 (S18/3) und De Leo 2 (DL2/3) handelt es sich um zwei flache Spiralen, deren hufeisenförmig nach oben gezogene Verbindung die Aufhängevorrichtung bildet (Taf. 21. 40. 75. 83). Es kann davon ausgegangen werden, dass die Herstellungstechnik des Drahtes und der Spiralen mit derjenigen der Vierspiralfibeln identisch ist. Der Draht wurde daher vermutlich kaltgeschmiedet und dabei mehrfach einer Wärmebehandlung unterzogen. Die Oberfläche des Drahtes scheint geschliffen worden zu sein⁸⁰⁹. Die Doppelspiralanhänger entsprechen dem Typ 3a1 der für Incoronata (San Teodoro, Pisticci) entwickelten Typologie⁸¹⁰. Sie treten auf Sizilien und dem italienischen Festland seit der Bronzezeit auf. In der Eisenzeit sind flache Doppelspiralanhänger neben dem Schwerpunkt in Italien und an der östlichen Adriaküste vereinzelt auch in Oberösterreich und Slowenien zu finden. In Süditalien liegt der Verbreitungsschwerpunkt in der heutigen Basilikata: Sie sind beispielsweise in den Kindergräbern 88 und 103 der Nekropole Valle Sorigliano (Santa Maria d'Anglona, Tursi) zu finden.

Zancani Montuoro 1977–1979, 13–15. 67f. Abb. 4 Taf. 6c. 28. 43; Zancani Montuoro 1980–1982, 13–16. 102–107 Abb. 3. 37 Taf. 3. 64; Zancani Montuoro 1983/1984, 12–18. 31–38. 41–47. 64–68. 92–99 Abb. 2. 8 Taf. 5. 19. 27 b. 41. 63.

798 Cerzoso – Vanzetti 2014, 130 f. Nr. 138–140, Taf. 11.

799 Cerzoso – Vanzetti 2014, 227 f. Nr. 784–790 Taf. 46 aus Torre Mordillo.

800 Anhänger beim Hals oder bei der (meist rechten) Schulter: Zancani Montuoro 1983/1984, 12–14 Nr. 8 Abb. 1. 2, Grab Temparella 57; 31–34 Abb. 7. 8, Grab Temparella 63; 41–43 Abb. 10, Grab Temparella 67; Guggisberg u. a. 2018, 74 f. Exemplar mit Ketten aus Grab Est 9. – Anhänger auf oder zur rechten Seite des Bauches: Guggisberg u. a. 2017, 83 f. Abb. 4, Grab Est 5; Zancani Montuoro 1980–1982, 13–15 Nr. 6, Grab Temparella 1; 105 Nr. 12 Abb. 37 Taf. 64, Grab Temparella 39, Anhänger wohl im Bauchbereich; Zancani Montuoro 1983/1984, 64–68 Nr. 12 Abb. 20, Grab Temparella 76; 98 Nr. 11 Abb. 29, Grab Temparella 86, Anhänger lag auf dem Becken. Im Grab Est 9 lag ein zweites Exemplar an einer Fibel beim linken Arm: Guggisberg u. a. 2018, 74 f. Lage unklar: Zancani Montuoro 1977–1979, 14 Nr. 5 Abb. 4, Lettere Grab A; 68 Nr. 7 Taf. 43 c, Grab Oliveto 15.

801 Die einzige Ausnahme scheint bisher die Bestattung Est 9 zu sein, in der zwei Exemplare lagen: Guggisberg u. a. 2018, 74 f.

802 Vgl. u. a. Chiartano 1994, 53; Chiartano 1977, 45 f.

803 Valle Sorigliano (Santa Maria d'Anglona, Tursi) 28, 97, 120, 163; Incoronata (San Teodoro, Pisticci) 135, 209, 235, 239, 253, 258, 288, 405, 410, 468; San Leonardo (Pisticci) 1, 3. Zu diesen Gräbern: Bianco u. a. 1996, 43 mit Abbildung; 52 Nr. 1.6.28; Lo Porto 1969; Frey 1991; Chiartano 1977; Chiartano 1994; Chiartano 1996. Für eine Liste solcher Gürtel und eine Interpretation als Rassel s. Bellia 2009, 24–29.

804 Guggisberg u. a. 2014, 84.

805 Die Tomographiebilder deuten darauf hin, dass der geschwungene Teil (Bügel) über dem Anhänger lag, während der gerade Teil (Nadel?) darunter verlief.

806 Guggisberg u. a. 2017, 83 f; Guggisberg u. a. 2018, 74 f.

807 Vgl. z. B. den Winkel zwischen Speiche und äusserstem Ring am Exemplar Cerzoso – Vanzetti 2014, 131 Nr. 139 Taf. 11.

808 Vgl. D'Agostino 1970, 585–587; de La Genière 1968, 118; Guggisberg u. a. 2014, 82.

809 Vgl. Wolfe 1998.

810 Chiartano 1994, 51; vgl. z. B. Grab 154 Taf. 5; Grab 182 Taf. 13; Grab 186 Taf. 16.

In letzterem Falle waren 29 Doppelspiralen als Anhänger an einer Art Gürtel oder Diadem befestigt. Dieses Schmuckelement ist in Valle Sorigliano – wie auf der Macchiabate-Nekropole – ausschließlich in Kindergräbern dokumentiert⁸¹¹. Besonders häufig und in unterschiedlichen Dimensionen treten sie in Gräbern von Incoronata (San Teodoro, Pisticci) auf, wo sie zur persönlichen Schmuckausstattung weiblicher Verstorbener gezählt werden⁸¹². In der Macchiabate-Nekropole sind Vergleiche selten: Anhänger liegen aus den Kindergräbern Temparella 19 und Temparella 21 vor⁸¹³. Neben den Grabfunden stammen mehrere Exemplare von der Akropolis des Timpone Motta⁸¹⁴.

Eine Variante bilden zwei weitere Doppelspiralanhänger aus Grab Strada 8 (S8/10. 11, Taf. 40), bei welchen die Spiralen auf einer Seite in Form von kleinen Kegeln hervortreten. Entsprechend der oben genannten Typologie von Incoronata (San Teodoro, Pisticci) repräsentieren sie den Typ 4, der aber auch als eine Variante von Typ 3 betrachtet werden kann. Direkte Vergleiche finden die Anhänger S8/10. 11 nicht in Francavilla Marittima und Umgebung, sondern im Grab 167 von Incoronata (San Teodoro, Pisticci)⁸¹⁵.

Auf der Macchiabate-Nekropole kommen die Doppelspiralanhänger ausschliesslich als Beigaben von Personen der Altersklassen bis und mit Infans II vor⁸¹⁶. Es ist also gut vorstellbar, dass das Schmuckelement nur in der Kindheit getragen wurde. Der Fund dieser Anhänger in Strada 4, dem Grab eines ca. 12-jährigen Mädchens, könnte ein Hinweis darauf sein, dass das weibliche Individuum seine Kindheit noch nicht komplett hinter sich gelassen hatte, auch wenn die restlichen Beigaben an eine erwachsene Frau denken lassen.

Corinne Juon

Ringanhänger

Als Ringanhänger werden Gruppen von mehreren Ringen – meist mit rautenförmigem Querschnitt und Durchmesser von ca. 1 cm – bezeichnet. Sie bilden keine Kette, sondern es werden bis zu sieben Ringe von ein oder zwei Ringen zusam-

mengehalten; durch diese können sie an einer Fibel, an der Kleidung oder an einer Schnur befestigt werden und so einen Anhänger bilden. Die Ringe weisen oft an mehreren Stellen Verdickungen auf. Es stellt sich die Frage, ob sie mit Absicht so gegossen worden sind oder ob es sich dabei um nicht vollständig abgearbeitete Spuren vom Guss handelt. Letzteres ist wahrscheinlich, da die Ringe wohl in Serie gegossen wurden⁸¹⁷. In der früheisenzeitlichen Siedlung von Poggiomarino nordöstlich von Pompeji wurden nebst anderen Geräte zur Metallverarbeitung auch Gussformen freigelegt, welche die Technik für die südlichen Regionen Italiens belegen⁸¹⁸. Ringanhänger sind im früheisenzeitlichen Italien weit verbreitet, kommen aber besonders häufig im IFe2 vor⁸¹⁹.

In Grab Strada 4 befanden sich mindestens sechs (S4/20–23), in Strada 8 sieben (S8/12–18), in Strada 11 und Strada 18 zwei (S11/7. 8; S18/4. 5), in Strada 12 (S12/4) und Strada 14 (S14/10) je ein Exemplar von Ringanhängern (Taf. 21. 40. 49. 53. 59. 75). Die einzelnen Ringe S8/18 und S12/7 waren möglicherweise Teile der Stücke S8/12–16 und S12/4. Da Ringanhänger oft mindestens paarweise auftreten, interpretierte Paola Zancani Montuoro sie als Ohrschmuck⁸²⁰. Dagegen spricht aber ihre Fundlage im Brustbereich der Verstorbenen, insbesondere von Frauen und Kindern. Entsprechungen finden die Ringanhänger auf der Macchiabate-Nekropole unter anderem in den Gräbern Cerchio Reale 15, Temparella 19 und Temparella 21⁸²¹. Der Ringanhänger S8/17 weist eine massivere Machart der einzelnen Ringe auf (Taf. 40). Auf der Macchiabate-Nekropole liegen aus Temparella 63 ebenfalls Ringanhänger in zwei unterschiedlichen Grössen vor⁸²². Sehr gute Vergleiche in Beschaffenheit und Anzahl der Ringe findet der massive Ringanhänger S8/17 in den sechs Anhängern im Grab 78 von Torre Mordillo (Spezzano Albanese)⁸²³.

Aus Grab De Leo 2 stammt das Exemplar DL2/4, dessen Aufbau sich von den anderen unterscheidet: Fünf Ringpaare bilden eine Kette, deren Enden mit je einer Gruppe von drei Ringen abgeschlossen werden (Taf. 83). Dazu kommen zwei fragmentierte Ringe, die zum selben Objekt gehören, deren Position am kettenartigen Anhänger sich aber nicht rekonstru-

811 Frey 1991, 19 f. 22 f. 40 Abb. 7, 1; 47 Taf. 1 A; 49 Taf. 3 A; 60 f. Taf. 14. 15; 84 Taf. 38 B; Treasures from the South of Italy 1998, 126–129 Abb. 5–8; 194 f.

812 Chiartano 1977, 33. 42–43; Chiartano 1994, 51; Warneke 1999, 166 Abb. 81. 82.

813 Zancani Montuoro 1980–1982, 61 Nr. 2; 64 Nr. 7 Taf. 32. 35a.

814 Kleibrink 2006b, 122 Abb. 38b; Papadopoulos 2003, 70–71 Nr. 179 Abb. 90. Beim Spiralanhänger Papadopoulos 2003 Nr. 178 scheint eine Spirale einer Vierspiralfibel zu einem Anhänger umgearbeitet worden zu sein.

815 Chiartano 1994, 51–52. 96 Taf. 8 C, Grab 167. Im selben Grab findet sich ebenfalls ein flacher Doppelspiralanhänger, daneben ein askoides Kermikgefäss, eine Bronzespirale und eine bronzene Schlangenfibel, bei welcher der Mittelteil des Bügels abgeflacht ist. Sie konnte in der Fibeltypologie von Lo Schiavo 2010 nicht wiedergefunden werden, scheint sich aber in den Typ 306 einzureihen, welcher noch im IFe1 datiert (Lo Schiavo 2010, 618 f.).

816 Grab Strada 8, infans I, 2–3 Jahre; Grab De Leo 2, infans I, 6–9 Monate; Grab Temparella 19, 7-jähriges Kind; Zancani Montuoro 1980–1982, 60 f.

817 Die Negative der Ringe wurden in einer zweischaligen Gussform durch Stege verbunden. So wurden durch die Verbindungsstege beim Eingiessen der flüssigen Bronze alle Negative der Form auf einmal gefüllt und konnten in ausgekühltem Zustand mit dem Meissel abgearbeitet werden. In einem einzigen Guss konnten auf diese Weise mehrere Exemplare hergestellt werden. Fasnacht 1998, 239 Abb. 108; Schindler 1998, 144 Nr. 2250–2251.

818 Albore Livadie 2012, 144 Nr. 33; 430 Abb. 258, 25.

819 Cerzoso – Vanzetti 2014, 147 Nr. 234–241; 308 Taf. 20, 234–241; Ruby 1995, 120 Typ P331; Bianco u. a. 1996, 43 mit Abbildung; 52 Nr. 1.6.18.

820 Zancani Montuoro 1980–1982, 15 f.

821 Zancani Montuoro 1977–1979, 68 Taf. 43 c, Grab Cerchio Reale 15; Zancani Montuoro 1980–1982, 15 Nr. 2–3 Abb. 3, Grab Temparella 1; 61 Nr. 3–4, Grab Temparella 19; 105 Nr. 10–11 Abb. 37, Grab Temparella 39; Zancani Montuoro 1983/1984, 14 Nr. 6–7, Grab Temparella 57.

822 Zancani Montuoro 1983/1984, 33–34.

823 Cerzoso – Vanzetti 2014, 173 Nr. 395–400; 315 Taf. 27, 395–400.

ieren lässt. Auf der Macchiabate-Nekropole sind vergleichbare kettenartige Ringanhänger in den Gräbern Cerchio Reale 13 und Temparella 19 bezeugt⁸²⁴.

Ringanhänger sind schliesslich in den beiden Kriegergräbern Strada 17 (ein Paar, S17/5. 6) und Strada 5 (zwei Paare, S5/4–6) belegt (Taf. 28. 71). Die Beigabe von Paaren von Anhängern dieser Form, oft zusammen mit Drahtperlen, ist auch in anderen Kriegergräbern der Macchiabate-Nekropole dokumentiert, und zwar als einzige Schmuckgegenstände⁸²⁵. Auf Grund ihrer Lage ist in diesem Fall eine Interpretation als Trachtbestandteil jedoch wenig plausibel; die Anhänger und Perlen wurden wohl als Verzierung für Riemen bzw. Aufhängesysteme in Zusammenhang mit der Ausrüstung benutzt. So wurden im Grab Strada 5 zwei Ringanhänger (S5/4) zusammen mit einer Drahtperle (S5/8) nördlich des Schädels geborgen, drei weitere Anhänger und Drahtperlen (S5/5. 6. 8) lagen am anderen Ende der Bestattung, östlich der Beine des Verstorbenen. Eine vergleichbare Lage besaßen auch die Bronzeelemente im Grab Temparella 87. Dies erweckt den Eindruck, dass die Anhänger und Perlen auf einer Unterlage aus organischem Material befestigt waren, möglicherweise in Verbindung mit der Waffen- oder Geräteausstattung der Verstorbenen. Im Falle von Strada 5 wäre zu erwägen, ob die beiden beim Schädel gefundenen Anhänger ursprünglich an der bronzenen Lanzen Spitze befestigt waren⁸²⁶. In Grab Strada 17 lagen die Bronzen neben den Fragmenten des verkleideten Holzschafes der Schaftlochaxt (S17/10. 18). Auch hier käme eine Deutung als Zierelement für den Schaft oder für dessen Aufhängesystem in Betracht.

Corinne Juon, Sven Billo, Camilla Colombi

Figürlicher Anhänger

Aus der Menge der Anhänger sticht der massive figürliche Anhänger aus Strada 8 (S8/7) hervor, der zwei sich umarmende, nackte menschliche Figuren zeigt (Abb. 2.30, Taf. 40). Der Anhänger ist 3.1 cm hoch und 1.8 cm breit. Die beiden Figuren stehen nebeneinander auf einer Basis und in der Seitenansicht zeigt sich, dass die Beine leicht angewinkelt sind. Eindeutige Geschlechtsmerkmale sind nicht zu erkennen. Die Zehen sind angedeutet. Die Gesichtszüge sind durch die kugeligen Augen, die lange, flache Nase und den durch eine längliche Vertiefung angegebenen Mund charakterisiert. Sie haben je einen Arm um die Schulter der Partnerfigur gelegt. Der jeweils äussere Arm ist angewinkelt und auf der Hüfte aufgestützt. Die so

entstehende Öse kann als Aufhängevorrichtung genutzt werden, wie das vergleichbare Exemplar aus Grab Temparella 57 zeigt⁸²⁷. Aus Francavilla Marittima sind insgesamt elf figürliche Anhänger dieser Form bekannt⁸²⁸: Zwei Figurenpaare aus Grab Strada 1 (S1/8), das vorliegende Exemplar S8/7, der erwähnte Anhänger aus Grab Temparella 57 und drei Stücke aus einem 2015 entdeckten, jedoch bereits zerstörten Grab im sog. Setto-re 82 wurden in oder in Zusammenhang mit Grabstrukturen in der Nekropole gefunden (vgl. Tab. 2.4 und Abb. 2.10–12; 2.27–30; Taf. 9). Dazu kommen ein Exemplar aus dem Bereich der Herdstelle des Gebäudes Vb auf dem Timpone Motta, ein Anhänger aus einem Pfostenloch desselben Gebäudes und zwei Exemplare, deren genaue Fundumstände unklar sind (Abb. 2.8; 2.9; 2.26)⁸²⁹.

Die Existenz von je einer Naht an der Seite des Anhängers S8/7 belegt die Verwendung einer zweiseitigen Gussform. Die Anhänger aus den Gräbern Strada 1 und Strada 8 sind sich so ähnlich, dass von einer Herstellung in derselben Werkstatt oder sogar derselben Gussform ausgegangen werden kann. Da die Anhänger möglicherweise aus derselben Gussform stammen und jener aus Grab Strada 8 keine Abnutzungsspuren zeigt, ist von einer zeitlichen Nähe zu Grab Strada 1 auszugehen⁸³⁰ (Abb. 3.84). Auch die Exemplare aus Grab B1 von Torano Castello (CS) scheinen dem vorliegenden sehr nahe zu stehen (Abb. 2.14–18). Bei dreien von ihnen ist die Gussnaht besonders gut zu erkennen⁸³¹.

Figürliche Anhänger dieser Form sind im 8. und am Anfang des 7. Jahrhunderts v. Chr. in Kalabrien verbreitet und kommen vereinzelt auch in der Basilikata, auf Sizilien und in Kampanien vor – leider oft ohne bekannten Fundkontext (sie-

824 Zancani Montuoro 1977–1979, 41 Abb. 15; Zancani Montuoro 1980–1982, 61 Taf. 32. Vgl. auch Exemplare aus Torre Mordillo: Cerzoso – Vanzetti 2014, 147–148 Nr. 242; 308 Taf. 20, 242.

825 Zancani Montuoro 1974–1976, 69 Nr. 1. 2; 73 Nr. 12. 13 Taf. 29 a, Grab Temparella 87, zwei Ringanhänger und zwei Drahtperlen; 102 Nr. 3–6 Taf. 41 Cerchio Reale Deposito Centrale, zwei Ringanhänger.

826 Vgl. Sannibale 1998, 37–40 Nr. 13. Die Löcher am Blattansatz dienten jedoch auch zur Befestigung der Spitze am Schaft mittels Schnüre, vgl. etwa im Exemplar aus Grab 4 von San Marzano sul Sarno.

827 Zancani Montuoro 1983/1984, 14–16 Taf. 6.

828 Brocato – Taliano Grasso 2011 teilen die Anhänger von sich umarmenden Personen in zwei Typen ein: einerseits den stehenden Typ A, dem das vorliegende Exemplar entspricht, und andererseits den sitzenden Typ B (Brocato – Taliano Grasso 2011, 148). Diese Typologie wird aber den Unterschieden zwischen den verschiedenen Paaren in Armhaltung, im Vorhandensein einer Basis oder in der Ausarbeitung der Gesichtszüge nicht gerecht. Auch die von M. Kleibrink vorgeschlagene, auf der Armhaltung basierende Typologie, in welcher der figürliche Anhänger S8/7 dem zweiten Typ entsprechen würde, überzeugt nicht (Kleibrink 2009, 12). In der vorliegenden Behandlung wird auf eine Einordnung in eine Typologie verzichtet. Für eine weiterführende typologische Auseinandersetzung mit dieser Objektform siehe zuletzt Taliano Grasso – Pisarra 2018 sowie die Behandlung in Kapitel 2.3.1 (S1/8).

829 Nekropole: Zancani Montuoro 1970/1971a, 13 f. Abb. 2 o–p Taf. 2 B, Grab Strada 1, zwei Anhänger, H 3 cm; Zancani Montuoro 1983/1984, 14 Nr. 10 Taf. 6, Grab Temparella 57, H 3 cm; Guggisberg u. a. 2016, 62 f. Taf. 7, 8, drei Exemplare aus zerstörter Bestattung, H 4.3 cm. Timpone Motta: Kleibrink 2009, 7 Anm. 6 Abb. 4 a, H 4.5 cm; Kleibrink 2006b, 118. 122 Abb. 38b; Kleibrink 2011a, 80 f. Abb. 101. Zwei Streufunde aus der Nähe des Raganello bei Francavilla Marittima: Zancani Montuoro 1983/1984, 15 Anm. 2 Taf. 74 b–c; davon entspricht einer wahrscheinlich Kleibrink 2009, 7 Abb. 6, H 5 cm = Babbi 2009, Abb. 218 E. Die Exemplare ohne Fundkontext und jenes aus Grab Temparella 57 sind heute nur noch anhand von Fotos zu untersuchen.

830 Für die Datierung von Grab Strada 1 siehe Kapitel 2.

831 De La Genière 1968, 83; de La Genière 1977, 401 f. Abb. 15.



Abb. 3.84 Zeichnerische Überlagerung der figürlichen Anhänger aus den Gräbern Strada 8 und Strada 1. Rot: S8/7; blau: S1/8 (S 68401); grün: S1/8 (S 68402).

he dazu Kap. 2.3.1 und Tab. 2.4)⁸³². Neben den Anhängern aus Bronze sind in der Macchiabate-Nekropole anthropomorphe plastische Darstellungen in Form von Tonstatuetten bekannt. Ein Exemplar aus Grab Temparella 69 stellt eine einzelne Tonfigur mit einer Kopfbedeckung dar, die möglicherweise mit einer doppelgliedrigen Kette geschmückt war. Je eine Statuette – jedoch ohne Kopfbedeckung und mit weniger ausgearbeiteten Extremitäten – stammt aus den Gräbern Temparella 78 und Est 10⁸³³. Neben diesen Einzelfiguren sind auch zwei Figurenpaare aus Terrakotta belegt. Es handelt sich um ein Paar aus Grab Temparella 2⁸³⁴ sowie um eines aus dem 2015 untersuchten, gestörten Bereich, aus dem drei der figürlichen Bronzeanhänger stammen⁸³⁵.

Sowohl P. Zancani Montuoro als auch M. Kleibrink deuten die Terrakottastatuetten als göttliche Idole und führen ihre Entstehung auf Einflüsse aus dem östlichen Mittelmeerraum zurück. Denselben Ursprung sieht Andrea Babbi, der die Paardarstellungen mit einer ikonographischen Tradition aus Syrien verbindet, die sich auch auf Zypern, Kreta und in Griechenland verbreitet hat⁸³⁶. Bei den bronzenen Anhängern mit sich umarmenden Paaren wird in der Forschung ebenfalls davon ausgegangen, dass sie eine Bedeutung tragen, welche über eine reine Amulettfunktion hinausgeht. Wenn auch beim Exemplar aus Grab Strada 8 klare Geschlechtsmerkmale nicht identifi-

zierbar sind, ist bei den grösseren und besser erhaltenen Anhängern zu erkennen, dass jeweils eine männliche und eine weibliche Figur miteinander kombiniert sind. Es wurde deshalb vorgeschlagen, dass die Darstellung ein Götterpaar wiedergibt. M. Kleibrink spricht sich für eine von der östlichen Mythenwelt inspirierte Bedeutung als Amulett für Schutz und Fruchtbarkeit aus. In den Paaren sei auch die Kernfamilie symbolisiert: Dem Götterpaar wird von Paolo Brocato und Francesca Caruso ein politisch-religiöser Aspekt beigemessen, der in Zusammenhang mit der Sicherung des Fortbestands eines Geschlechts steht⁸³⁷.

Corinne Juon

Bommel

Massive, kugelige geschlossene Bommeln wurden in Strada 8 (S8/8) und in De Leo 2 (DL2/2) geborgen (Taf. 40. 83). Beide weisen eine Aufhängevorrichtung an einem Stiel mit dreieckigem Querschnitt auf, unterscheiden sich aber in der Gestaltung des unteren Fortsatzes. Bei S8/8 ist das Ende spitz zulaufend, bei DL2/2 hingegen abgerundet. Die Abnutzungsspuren an der Öse des Exemplars S8/8 zeigen, dass es tatsächlich getragen wurde. Bei DL2/2 ist die Öse gebrochen, so dass keine Gebrauchsspuren beobachtet werden können. Gleichwohl ist aufgrund der Fundlage – auf dem Oberkörper (S8/8) bzw. in der Nähe des Kopfes (DL2/2) – in beiden Fällen davon auszugehen, dass die Bommeln als Bestandteile von Ketten an Hals und Brust getragen wurden.

Auf der Macchiabate stammt ein Bommel ohne Fortsatz aus dem Grab Strada 1 (S1/9, Taf. 9)⁸³⁸. Im Bereich der Siedlung auf dem Timpone Motta kamen in Raum 1 der Capanna A im Areal Rovitti zwei geschlossene Bommeln zutage – ebenfalls ohne Fortsatz⁸³⁹. Eine enge Parallele findet der Anhänger aus Grab Strada 8 in einem Exemplar mit spitz zulaufendem Fortsatz aus Belloluco (Castrovillari)⁸⁴⁰. Das Exemplar DL2/2 findet einen Vergleich im kugeligen Bommel aus Grab 410 von Inconronata (San Teodoro, Pisticci)⁸⁴¹.

Corinne Juon

832 Die Exemplare wurden jüngst von Barresi – Kysela 2015 und Taliano Grasso – Pisarra 2018 zusammengetragen. Zu Liste hinzuzufügen sind die drei Exemplare aus dem 2015 entdeckten, schon zerstörten Grab im 'settore 82' der Macchiabate-Nekropole, ein Exemplar aus Cava Vigne bei Torre Galli (Drapia), ein Exemplar aus Guardia Perticara sowie ein Anhänger in einer Hamburger Privatsammlung: Guggisberg u. a. 2016; Colelli 2016, 11 Anm. 82. 20 Abb. 9; Bianco 2018, 61–73; Guggisberg im Druck b, Abb. 7. 8. Für eine aktuelle Liste und Auswertung siehe Kapitel 2.3.1 (F. Quondam).

833 Zancani Montuoro 1974–1976, 53–56 Taf. 20 a, Grab Temparella 69; Zancani Montuoro 1983/1984, 71–72 Taf. 45, 3, Grab Temparella 78; Guggisberg u. a. 2018, 79 Taf. 14, 2; die Figur lag beim Hals des 5–7 Jahre alten Kindes in der Doppelbestattung Est 10.

834 Zancani Montuoro 1980–1982, 19 Nr. 15 Taf. 4 b; 5 c.

835 Guggisberg u. a. 2016, 63 Taf. 7, 6.

836 Babbi 2008, 402; Kleibrink 2011, 40–42. 48–50; Zancani Montuoro 1974–1976, 54 f.; Zancani Montuoro 1980–1982, 19; Kleibrink 2009, 8 f. 12 deutet die Statuetten als Darstellungen eines *hieros gamos*.

837 Kleibrink 2009, 8 f. 12; Babbi 2008, 402; Brocato – Caruso 2009, 202; Brocato – Taliano Grasso 2011, 150 f.; Frasca 1992, 19 f.; Guggisberg u. a. 2013, 65 f.; Kleibrink 2011, 28 f.; Kleibrink 2016a, 248.

838 Zancani Montuoro 1970/1971a, 13 f. Abb. 2 Taf. 2 B.

839 Objekt abgebildet auf dem Poster »Timpone della Motta, Francavilla Marittima (Cs): culture a confronto, relazioni e scambi« von J. Kindberg Jacobsen – M. Crudo – M. D'Andrea – S. Handberg – G. Mittica, vorgestellt bei der Tagung »Contestualizzare la 'prima colonizzazione'. Archeologia, fonti, cronologia e modelli interpretativi fra l'Italia e il Mediterraneo. In memoria di David Ridgway (1938–2012)«, Rom, 21.–23. Juni 2012.

840 Carrara Jacoli 1994, 685. 689 Taf. 131, 16. Über den Vergleich mit einem Kettenanhänger ohne Fortsatz aus Grab 78 von Torre Mordillo (Spezzano Albanese) wird der Fund aus Belloluco (Castrovillari) ins IFe2 datiert: Cersoso – Vanzetti 2014, 171 Nr. 382; 314 Taf. 26, 379–382; ohne Fortsatz.

841 Chiartano 1994, 156 Taf. 102 R, mit flachem Stiel bei der Öse und abgerundetem Fortsatz.

Perlen aus Bronze

Draht- und Spiralperle

In den Gräbern Strada 2, 4, 5, 8, 11, 12, 13, 14, 17, 18 und De Leo 2 wurden verschiedene aus Draht gefertigte Schmuckelemente geborgen. Doppelkonische Drahtperlen bestehen aus einem spindelförmig gewickelten, feinen Bronzedraht und sind ca. 1 bis 2 cm lang. Sie kommen mit S2/9, S4/24, 25, S5/7, 8, S8/19, 20, S11/9–11, S12/5, S13/3–5, S14/11–13, S17/7, 8, S18/6 und DL2/6 in vielen Gräbern des Areals Strada vor (Taf. 14, 21, 28, 40, 49, 53, 55, 59, 71, 75, 83). Sie treten sowohl in Erwachsenen- als auch in Kinderbestattungen auf. Vergleiche für die doppelkonischen Drahtperlen finden sich auf der Macchiabate-Nekropole in zahlreichen Gräbern und werden meist als Kettenglieder oder Teile von Anhängern interpretiert⁸⁴². Ausserhalb von Francavilla Marittima lassen sie sich mit acht Exemplaren aus Grab 4 von Torre Mordillo (Spezzano Albanese) vergleichen⁸⁴³.

Paare von doppelkonischen Drahtperlen kommen auch in Männergräbern vor. Im Areal Strada wurden sie zusammen mit den Ringanhängern in den Kriegergräbern Strada 17 (S17/7, 8) und Strada 5 (S5/7, 8) gefunden. Wie bereits für die Ringanhänger dargelegt, ist eine Deutung der Drahtperlen als Kettenglieder auf Grund ihrer Lage im Grab zu verwerfen. Vielmehr scheinen sie als Verzierung von ledernen Teilen der Ausrüstung bzw. von Aufhängevorrichtungen für Waffen und Geräte verwendet worden zu sein. Dies kann im Falle der Gräber Strada 5 und Strada 17, aber auch für das Kriegergrab Temparella 87 vorgeschlagen werden. In zwei weiteren Männerbestattungen der Macchiabate-Nekropole wurden die Drahtspiralen im Kopf- und Oberkörperbereich gefunden und könnten demnach als Verzierung für die Kleidung oder Kopfbedeckung/Frisur gedeutet werden⁸⁴⁴.

Weitere Formen von Drahtperlen bzw. –spiralen kommen in den Arealen Strada und De Leo vor. In Grab Strada 8 wurde neben den doppelkonischen eine kugelförmige Drahtperle geborgen (S8/21, Taf. 40) und in Grab De Leo 2 eine Drahtperle mit kugelförmiger bis ellipsoider Form (DL2/7). Neben den kugelförmigen und doppelkonischen Perlen finden sich in Grab Strada 8 drei aus ebenso feinem Draht aufgewickelte, zylindrische Spiralperlen (S8/22–24, Taf. 40). Diese könnten nicht nur Elemente von Ketten sein, sondern auch das Haar geschmückt haben⁸⁴⁵. Vergleiche auf der Macchiabate-Nekropole finden

sich in den Gräbern Lettere A, Cerchio Reale 5, Temparella 20, Temparella 57, Temparella 59 und Temparella 90⁸⁴⁶.

Sonstige Perlen

In Grab Strada 13 wurden neben den Drahtperlen zwei zylindrische Glieder S13/7, 8 gefunden (Taf. 55). Im Vergleich mit den bisher behandelten Perlen scheint diese Form seltener zu sein. Aus Eisen sind zwei Exemplare aus Torre Mordillo (Spezzano Albanese)⁸⁴⁷ bekannt, bronzene wurden in Sala Consilina gefunden⁸⁴⁸.

Corinne Juon, Sven Billo, Camilla Colombi

Doppelgliedrige Kette

Mehrere Ketten aus jeweils zwei bronzenen Ringen aus rundem Draht mit einem Durchmesser von ca. 0,3 bis 0,5 cm sind in den vier Frauengräbern des Areals Strada belegt⁸⁴⁹.

In den Frauengräbern Strada 2, 4, 11 und 13 wurden Teile von doppelgliedrigen Ketten jeweils im Bereich des Oberkörpers und/oder der Hüfte ans Licht gebracht (S2/10–23; S4/26–28; S11/12, 13; S13/6) und sind als Teil des Trachtschmuckes zu deuten (Taf. 14, 21, 55). Die Befunde aus den Gräbern Strada 11 und Est 5 belegen, dass entsprechende Kettchen befestigt an Radanhängern und Ringen frei schwingend am Körper getragen wurden (Taf. 49)⁸⁵⁰. Angela Bellia spricht in diesem Fall von Idiophonen, die beim Gehen beabsichtigte Geräusche erzeugten. Sie führt dazu hauptsächlich Beispiele aus Incoronata (San Teodoro, Pisticci) an, die sich in der Aufhängung leicht von denjenigen der Macchiabate-Nekropole unterscheiden⁸⁵¹. Während die Ketten in Incoronata (San Teodoro, Pisticci) mittels eines Rings an den Anhängern befestigt waren, wurden sie in Francavilla Marittima entweder mittels Drahtschlaufen (S11/6; Est 5) befestigt oder in Löcher eingehängt, die zu diesem Zweck in die Anhänger gebohrt worden waren (Area Est). Ein Fund aus Torre Mordillo (Spezzano Albanese) zeigt, dass die doppelgliedrigen Ketten auch geschlossen vorkamen und dann selbst als Aufhängung für weitere Anhänger unterschiedlicher Form dienen konnten⁸⁵².

Sven Billo

842 Gräber Temparella 14, 20, 21, 57 und 67 sowie Lettere A und Cerchio Reale A. Zancani Montuoro 1974–1976, 69, 102 Taf. 29 a; Zancani Montuoro 1977–1979, 55 f. Abb. 21, 7; 68 Taf. 43 c; Zancani Montuoro 1980–1982, 49, 63 Taf. 34, 35 a; Zancani Montuoro 1983/1984, 34, 36 Abb. 8.; 43 Taf. 6, 18, 27 a.

843 Cerzoso – Vanzetti 2014, 148 Nr. 246–254; 308 Taf. 20, 246–254. Im selben Grab, das einer Frau zugeschrieben wird, gibt es unter anderem auch noch eine Schlangenfibel vom Typ 347 und mehrere Ringanhänger.

844 Grab Vigneto 7: Zancani Montuoro 1977–1979, 86 Nr. 7, als Spiralen angesprochen. Grab Temparella 20: Zancani Montuoro 1980–1982, 63 Nr. 6, 7, Bestattung ohne Waffen.

845 Guggisberg u. a. 2010, 110; Guggisberg u. a. 2014, 84; Guggisberg u. a. 2015a, 97 f. 100 f.; Ruby 1995, 120.

846 Zancani Montuoro 1977–1979, 14, 33 f. Abb. 12, 5; Zancani Montuoro 1980–1982, 63 Taf. 35 a; Zancani Montuoro 1983/1984, 18, 22 Abb. 3, 5; 106 Taf. 6, 10 a; 70 b.

847 Cerzoso – Vanzetti 2014, 223 Nr. 752, 753; 333 Taf. 45, 752, 753.

848 Kilian 1970, 193.

849 Zur Herstellung: Giumlia-Mair 1998, 175.

850 Guggisberg u. a. 2017, 83 f.; vgl. Kapitel 3.2.6 »Radanhänger«. In vielen Fällen sind die kleinen Ketten an Fibeln von unterschiedlicher Typologie angehängt: Zancani Montuoro 1980–1982, 15 Nr. 11 Taf. 3 b, Grab Temparella 1; Zancani Montuoro 1983/1984, 35 Nr. 13 Taf. 18 b, Grab Temparella 63; 45 Nr. 14 Taf. 28, Grab Temparella 67; Zancani Montuoro 1977–1979, 43 Nr. 15, Grab Cerchio Reale 13.

851 Bellia 2009, 29–32.

852 Cerzoso – Vanzetti 2014, 171, 314 Nr. 379–382 Taf. 26.

Ringe und Ringlein

Zu doppelgliedrigen Ketten, Ringanhängern oder Anhängern von Fibeln lassen sich die zahlreichen Ringe aus Draht rekonstruieren, die in den Gräbern Strada 3, 4, 16 und De Leo 2 geborgen wurden.

Ringlein aus rundförmigem Draht sind wahrscheinlich als Teile von Ketten oder Anhängern von Fibeln zu deuten⁸⁵³. Mehrere Fragmente kamen in Grab Strada 4 zutage (S4/29–32), drei Fragmente stammen aus dem südlichen Teil der wohl männlichen Bestattung Strada 16 (S16/3) und vier weitere aus dem Kriegergrab Strada 5 (S5/9) (Taf. 21. 28. 66).

Ringe aus Draht mit rhomboidem Querschnitt können wahrscheinlich zu Ringanhängern oder zur Ausschmückung von Fibeln gehören⁸⁵⁴. Exemplare stammen aus den Gräbern Strada 3 und De Leo 2 (S3/3. 4; DL2/5; Taf. 15. 83).

Sven Billo, Corinne Juon, Camilla Colombi

Massive Ringe

Massive Ringe von unterschiedlicher Grösse und mit rundem Querschnitt gehören zu den Standardbeigaben in den Gräbern der Macchiabate-Nekropole. Auch ausserhalb von Francavilla Marittima sind sie im nördlichen Kalabrien weit verbreitet⁸⁵⁵. Grundsätzlich lassen sich zwei Kategorien unterscheiden: Kleine bis mittlere, massive Ringe mit einem Durchmesser von 1.3 bis 3.5 cm und grosse, massive Ringe mit einem Durchmesser von 6 bis 9 cm. Die Ringe der ersten Gruppe treten in Frauen- und Kindergräbern häufig zusammen mit anderen Anhängern und Kettengliedern als Bestandteile des Trachtschmucks in Erscheinung. In Männergräbern sind sie oft in mehrfacher Ausführung und zusammen mit einem grossen Ring belegt⁸⁵⁶.

In den Arealen Strada und De Leo sind kleine bis mittlere Ringe, teilweise auch paarweise aufeinander fixiert, aus den Kindergräbern Strada 8 (S8/25–28) und 12 (S12/6) ebenso wie aus Gräbern von erwachsenen Frauen (Strada 11, S11/15; Strada 14, S14/14, mit rautenförmigem Querschnitt) bezeugt (Taf. 40. 49. 53. 59). Aus den Grabungen der 1960er Jahre liegen zahlreiche weitere Beispiele aus den Gräbern Lettere A, Deposito Centrale Cerchio Reale, Cerchio Reale 1, Cerchio Reale 13, Vigneto 3, Vigneto 6, Uliveto 6, Uliveto 16,

Temparella 2, Temparella 14, Temparella 20, Temparella 21, Temparella 57, Temparella 60, Temparella 68, Temparella 78, Temparella 84 und Temparella 88 vor⁸⁵⁷. Die Ringe finden sich während der gesamten frühen Eisenzeit, sind aber im IFe2 besonders weit verbreitet⁸⁵⁸. P. Zancani Montuoro hat für diese Ringe eine Funktion als Verschlussmechanismus von Gürteln oder Tragtaschen vorgeschlagen⁸⁵⁹. In den Gräbern des Areals Strada wurden die Ringe im Brustbereich (Strada 8, Strada 12) oder im Hals- bzw. Kopfbereich (Strada 11, Strada 14) angetroffen. Dies lässt vermuten, dass sie – zumindest in diesen Fällen – Bestandteil des Kopf-, Hals- oder Brustschmucks waren.

Ein bemerkenswerter Befund von 50 kleinen, massiven Bronzeringen kam im Männergrab Temparella 79 zutage. Die Ringe lagen in drei Reihen nach Grösse – zwei Reihen von Ringen mit einem Durchmesser von 1.6 cm und eine mit Ringen von 2.6 cm Durchmesser – sortiert nebeneinander. Einst wurden sie vermutlich durch vergängliches Material zusammengehalten. P. Zancani Montuoro stellte die Vermutung auf, dass sie Reste von einem oder mehreren Jagdnetzen sind⁸⁶⁰. Da von Grab Temparella 79 kein Plan existiert, fällt es nicht leicht, die Funktion des genannten Ringensembles zu rekonstruieren. Auf den von P. Zancani Montuoro veröffentlichten Fotos ist jedoch zu erkennen, dass die Ringe – zusammen mit drei grossen, konzentrisch ineinander liegenden Ringen (Aussendurchmesser 8.7, 7.0 und 5.4 cm) – in der Nähe der Lanzenspitze und der Gefässbeigaben (Olla und Askos) gefunden wurden⁸⁶¹. Es liegt daher nahe anzunehmen, dass das Ensemble im Bereich des Kopfes, wohl auf der linken Körperseite deponiert war. Darüber hinaus könnte die Nähe der kleinen zu den drei grossen Ringen dafür sprechen, dass die verschiedenen Ringe zum selben Objekt gehört haben⁸⁶². Ohne an dieser Stelle die Identität des Objektes abschliessend klären zu können, zeigt der Befund, dass die massiven Ringe durchaus unterschiedliche Funktionen haben konnten. Neben Exemplaren, die als Anhänger im Trachtschmuck eine Rolle spielten, gibt es solche, die eher im Zusammenhang mit Gerätschaften verwendet wurden.

Die Exemplare der zweiten Gruppe – der grossen, massiven Ringe mit einem Durchmesser von 6 bis 9 cm – sind in der

853 Cerzoso – Vanzetti 2014, 195. 326 Taf. 38.

854 Cerzoso – Vanzetti 2014, 152 Nr. 274; 194 Nr. 511; 195 Nr. 517; 309 Taf. 21, 274; 326 Taf. 38, 511; 327 Taf. 39, 517.

855 Torre Mordillo (Spezzano Albanese): Cerzoso – Vanzetti 2014, 230–232. 335 Taf. 47; Roggiano Gravina: Carrara – Guzzo 1981, 457 f. Nr. 6 Abb. 14, Grab 5; 458–460 Nr. 5–8 Abb. 16, Grab 6; 459 Nr. 2. 3 Abb. 16, Grab 7; 460 Abb. 16, 2–9; 463 Nr. 2–9, Grab 8 bis; Paludi: Guzzo 1975, 109 Abb. 9 Nr. 101. 102; 129 Abb. 44 Nr. 344; 129 Abb. 46 Nr. 352. 353; 137 Abb. 57 Nr. 468. 469; 143 Abb. 69 Nr. 565. 566.

856 Belegt in den Männergräbern Temparella 20 (drei beim Kopf, mit grossem Ring), Temparella 79 (vier lagen mit den drei grossen Ringen, weitere 50 bildeten eine Kette), Deposito Centrale Cerchio Reale (drei kleine Ringe), Vigneto 5 (ein kleiner Ring). Massive Ringe verschiedener Grösse stammen auch vom Timpono Motta: Papadopoulos 2003, 107–109 Nr. 375–402.

857 Zancani Montuoro 1974–1976, 19 f. 101 f. Abb. 21, Taf. 5 a; Zancani Montuoro 1977–1979, 14 Abb. 4, 9; 29 Abb. 10, 4; 41 f. Abb. 15, 13; 55 f. Abb. 21; 71 Abb. 24; 77 f. Abb. 29 Taf. 48 b; 50 b; Zancani Montuoro 1980–1982, 17 f. Abb. 5, 2; 45 Abb. 17, 9; 49. 62 Abb. 25; 64 Taf. 34. 35 a; Zancani Montuoro 1980–1982, 18, Abb. 2, 25; Zancani Montuoro 1983/1984, 47. 72 f. Abb. 23; 88 Abb. 26, 8–10; 105 Abb. 35, 3 Taf. 5. 30 c; 58 a. Aus den neuen Grabungen der Universität Basel stammen solche Ringe aus den Bestattungen Est 9 (mit massivem Ring am Arm), Est 10 und Est 11 (mit grossem, massivem Ring).

858 Cerzoso – Vanzetti 2014, 145 Nr. 224; 176 Nr. 416. 417; 307 Taf. 19, 224; 316 Taf. 28, 416. 417.

859 Zancani Montuoro 1980–1982, 62.

860 Zancani Montuoro 1983/1984, 76 f.

861 Zancani Montuoro 1983/1984, Taf. 46–50 bes. Taf. 49 oben.

862 Kleine und grosse massive Ringe, allerdings in geringerer Zahl, wurden auch in den Gräbern Est 10 und Est 11 in unmittelbarer Nähe voneinander gefunden. Guggisberg u. a. 2018, 77–83 Taf. 14, 4.

Regel einzeln in Männergräbern mit und ohne Waffen dokumentiert, gelegentlich zusammen mit kleinen Aufhängerringen der ersten Gruppe⁸⁶³. Bisher sind einzig zwei Belege von grossen Ringen aus Frauengräbern der Macchiabate-Nekropole bekannt. In beiden Fällen wurde der Ring in Trachtlage am rechten Unterarm der Verstorbenen gefunden⁸⁶⁴. Unter den Funden aus den Arealen Strada und De Leo sind zwei grosse Ringe belegt. Im Männergrab Strada 17 lag ein Ring von 7.3 cm Durchmesser und ca. 100 g Gewicht im Nackenbereich (S17/9, Taf. 71). Im Grab De Leo 1 wurde der Ring (DL1/9, Taf. 81) auf der Vorderseite des Körpers in der Nähe des rechten Oberarmes gefunden; der Durchmesser betrug 8.8 cm, das Gewicht 161 g. Die Fundlage der beiden Ringe entspricht damit grosso modo jener der übrigen grossen Bronzeringe aus den Männergräbern der Macchiabate-Nekropole, die mehrheitlich ebenfalls im Nacken- oder Schulterbereich angetroffen wurden (siehe Taf. 68 Nr. 3; Taf. 78 Nr. 3)⁸⁶⁵. Dass sie, wie in den Frauengräbern, ursprünglich als Armschmuck gedient haben und erst sekundär an ihre jeweilige Fundstelle verlagert wurden, ist wenig wahrscheinlich. Ihre Lage, v.a. aber ihre Masse widersprechen dieser Deutung gerade bei den kleineren Exemplaren der Gruppe eindeutig. P. Zancani Montuoro hat aufgrund des Befundes in Grab Temparella 41, wo der Ring in der Nähe einer eisernen Lanzenspitze lag, die Vermutung geäussert, dass die Ringe im Zusammenhang mit der Waffenausstattung, insbesondere den Lanzen, stehen, ohne jedoch deutlich zu machen, wie sie sich diese Verbindung vorstellt⁸⁶⁶. Im Zuge der Basler Ausgrabungen hat sich der Bezug der Ringe zum Ausstattungsrepertoire herausragender Männer bestätigt.

863 Grab De Leo 1 (DL 1/9); Grab Strada 17 (S17/9); Grab Cerchio Reale 1 (massiver Ring von 6.4 cm Dm, Zancani Montuoro 1977–1979, 29 Nr. 3. 4 Abb. 10, 3. 4) Grab Temparella 20 (massiver Ring von 7 cm Dm, Zancani Montuoro 1980–1982, 61 Nr. 1); Grab Temparella 41 (massiver Ring von 6.8 cm Dm, Zancani Montuoro 1980–1982, 113–115 Nr. 5 Abb. 40, 5; 41, 5); Grab Temparella 79 (massiver Ring von 8.7 cm Dm, Zancani Montuoro 1983/1984, 76–78 Nr. 12 Abb. 24, 12) Grab Vigneto 1 (massiver Ring von 7 cm Dm, Zancani Montuoro 1977–1979, 73 Nr. 3; 75 Abb. 27, 3); Grab Est 10 (massiver Ring von 4.67 cm Dm, Guggisberg u. a. 2018, 77–81); Grab Est 11 (massiver Ring von 8.3 cm Dm, Guggisberg u. a. 2018, 81–83). In Torre Mordillo (Spezzano Albanese) scheinen die Kombinationen vergleichbar zu sein, die Ringe haben jedoch geringere Durchmesser, z. B. Cerzoso – Vanzetti, 176 Nr. 415, Dm 5.1 cm, Grab 118, mit Lanzenspitze.

864 Zancani Montuoro 1983/1984, 16 Nr. 14 Taf. 8, Dm 8.8 cm, Grab Temparella 57; Guggisberg u. a. 2018, 74, Dm 9.1 cm, Grab Est 9, gefunden in Kombination mit einer Armspirale am rechten Oberarm der Bestatteten.

865 Cerchio Reale 1, Männergrab mit Messer oder Lanze, grosser Ring beim Schädel; Temparella 20, Männergrab ohne Waffen, Ring und vier kleine Aufhängerringe links des Kopfes; Temparella 41, Kriegergrab, Ring in der Nähe der Lanzenspitze beim linken Oberarm; Temparella 79, Kriegergrab mit drei massiven Ringen ineinander gelegt sowie eine Reihe von kleinen Ringen, gefunden bei den Eisenobjekten; Vigneto 1, Männergrab ohne Waffen, Ring auf dem Schädel; Est 10, Doppelgrab, Ring in der Nähe der Lanzenspitze beim linken Oberarm, kleinere Aufhängerringe; Est 11, Männergrab mit Schwert, ein grosser Ring und kleine massive Ringe zu Füssen der Bestattung.

866 Zancani Montuoro 1980–1982, 113.

Der von P. Zancani Montuoro vermutete Zusammenhang mit der Lanze konnte hingegen nicht erhärtet werden. In einem Fall, Grab De Leo 1, wurde ein entsprechender Ring bei einem Verstorbenen gefunden, der ohne Lanze beigesetzt worden war.

Die häufige Fundlage neben dem Körper der Verstorbenen spricht dafür, dass die Ringe zu einem Gegenstand gehörten, der nicht zur eigentlichen Tracht gehörte, sondern eher zu einem Objekt aus vergänglichem Material, das neben dem Leichnam, bevorzugt in der Nähe des Kopfes oder des Oberkörpers, deponiert wurde. Mehrfach sind die Ringe mit Lanzen vergesellschaftet⁸⁶⁷. Es gibt jedoch auch Fälle, wo diese fehlt bzw. zusammen mit der Lanze noch weitere Geräte aus Eisen gefunden wurden⁸⁶⁸. Der einseitige Bezug zur Waffenausstattung scheint daher verfehlt. Eine mögliche Deutung sieht vor, dass die grossen Ringe in Zusammenhang mit einem Gegenstand aus organischem Material – etwa als Aufhängevorrichtung für Riemen oder Gürtel aus Leder oder Textil – stehen. Die oft damit vergesellschafteten kleineren Ringe könnten auf den Riemen oder Gürtel aufgenäht gewesen sein – wie auch schon für die Ringanhänger und Drahtperlen aus den Männergräbern aufgrund der Fundlage vermutet wurde⁸⁶⁹. In manchen Fällen ist zu vermuten, dass die Riemen oder Gürtel mit den Waffen und Geräten aus Eisen direkt verbunden waren, in anderen aber auch separat beigegeben gewesen sein können.

Ausserhalb von Francavilla sind vergleichbare Ringe bemerkenswert selten. Zwei Exemplare liegen aus Torre Mordillo (Spezzano Albanese) vor⁸⁷⁰. Ein ähnlicher Ring stammt aus dem Depot von Mendolito di Adrano auf Sizilien⁸⁷¹. Massive Ringe sind ausserdem in Pontecagnano bekannt, jedoch in der Regel mit geringerem Durchmesser. Ein ungewöhnlich grosser Ring von 6.4 cm Durchmesser stammt lediglich aus einer Brandbestattung ohne Waffen⁸⁷². Auch für diese Funde bleibt die Deutung unklar.

Martin A. Guggisberg, Camilla Colombi

Schleifenringe

Die Objektgruppe der Schleifenringe wird in der italienischen Literatur als *orecchini* und/oder *fermatrecce*, also als Ohrringe oder Zopfhalter bezeichnet⁸⁷³. Es handelt sich dabei um einen

867 Gräber Strada 17, Est 10, Temparella 41, Temparella 79 und Cerchio Reale 1 (Messer oder Lanze, vgl. Luppino u. a. 2012, 668 Abb. 9).

868 Gräber Strada 17 (mit Lanze, Äxten und Schwert), De Leo 1 (mit Axt), Temparella 20 (mit Messer), Temparella 79 (mit Lanze, Axt und einem weiteren unbest. Eisengerät), Vigneto 1 (ohne Waffen und Geräte) und Est 11 (Schwert und Werkzeuge aus Eisen).

869 Siehe Kapitel 3.2.6 »Kleinformatige Anhänger«.

870 Cerzoso – Vanzetti 2014, 245 Nr. 928, Ring Dm 9 cm, Gewicht 153 g aus Torre Mordillo (Spezzano Albanese) Grab 17. Vgl. auch den etwas kleineren Ring aus Grab 36 von Torre Mordillo: V. Buffa, in: Peroni – Trucco 1994, 745 f. Taf. 155, 1; 749 (Dm 4.6 cm).

871 Albanese Procelli 1993, 156 Nr. 510; 158 Abb. 51 Taf. 40 (Dm 10.3 cm, 805 g).

872 Pontecagnano Typ 35B1, z. B. De Natale 1992, 78–81 Nr. 19 Abb. 115; vgl. Grab 3230.

873 Vgl. Luppino u. a. 2012, 655; Vanzetti 2014b, 68 deutet die Exemplare aus Torre Mordillo mehrheitlich als Zopfhalter, da sie in der

in der Mitte gefalteten Draht, der zu einer Spirale gewunden ist. Die zwei losen Enden sind miteinander verdreht, während die Drahtmitte nun eine Schleife aufweist. Es handelt sich um eine sehr verbreitete Schmuckform, die in zahlreichen Frauengräbern der Macchiabate-Nekropole vorkommt⁸⁷⁴.

Im Areal Strada kamen Schleifenringe in den Frauengräbern Strada 6 (S6/7. 8), Strada 11 (S11/14) und Strada 14 (S14/15. 16) zum Vorschein, ausserdem wahrscheinlich aus Strada 1 (S1/3) (Taf. 34. 49. 59, vgl. Taf. 8). In zahlreichen anderen Gräbern der Macchiabate-Nekropole, z. B. Temparella 67, 82 und 86, wurden sie paarweise im Bereich des Schädels gefunden, weswegen P. Zancani Montuoro sie als Ohrringe deutete⁸⁷⁵. Diese Fundlage ist auch im Falle der Gräber Strada 6 und Strada 14 belegt: die Schleifenringe kamen zu beiden Seiten des Schädels zum Vorschein. In Grab Strada 11 lagen die Fragmente von Schleifenringen im Bereich der Schulter der Verstorbenen.

Die Schmuckform ist sowohl in Kalabrien und der Basilikata als auch in Kampanien in früheisenzeitlichen Gräberfeldern vertreten. Gut vergleichbare Exemplare sind aus Torre Mordillo (Spezzano Albanese), Incoronata (San Teodoro, Pisticci) und Castiglione di Paludi (Paludi) bekannt⁸⁷⁶. Die Belege aus Torre Mordillo, Incoronata und Valle Sorigliano (Santa Maria d'Anglona, Tursi) sprechen für eine Verbreitung der Form bereits in der Phase IFe2A⁸⁷⁷. Die Fundzusammenhänge aus Francavilla Marittima legen jedoch nahe, dass die Form durchaus auch im IFe2B gebräuchlich war⁸⁷⁸.

Sven Billo, Camilla Colombi

Spiralen

Fingerspirale

Bei den Spiralen aus den Gräbern Strada 3, 4 und 19 (S3/5. 6; S4/33–41; S19/4–9) handelt es sich um sog. Fingerspiralen. Diese bestehen aus flachem Draht, der zu einer Spirale mit bis zu 13 Windungen gewickelt ist und einen Durchmesser von ca. 1 bis 1.8 cm aufweist (Taf. 15. 21. 77). Aufgrund ihres flachen Querschnitts sind wohl auch die Drahtfragmente S4/42 als Fingerspiralen zu rekonstruieren. Neben den Exemplaren aus Bronze sind auch eiserne Spiralen bekannt (z. B. S4/62, Taf. 22). Fingerspiralen wurden in Frauengräbern oft im Bereich der Hände oder, wie in den Gräbern Strada 4 oder Temparella 63, seltener bei den Füßen gefunden⁸⁷⁹. Fingerknochen, die bei der Auffindung manchmal noch im Inneren erhalten waren, belegen, dass solche Spiralen als Fingerschmuck gedient haben⁸⁸⁰. In den Spiralen aus Grab 94 der Nekropole von Valle Sorigliano (Santa Maria d'Anglona, Tursi) konnten Zehenknochen nachgewiesen werden⁸⁸¹. Neben der Verwendung als Finger- und Zehenzier wurden die Spiralen gelegentlich auch zum Schmuck des Gewandes verwendet. Dafür sprechen z. B. die in einem Halbkreis im Bereich des Unterleibes angeordneten Spiralen aus Grab Temparella 3, die wohl auf der Kleidung aufgenäht waren⁸⁸². Die Lage der Fingerspiralen S19/4–9 lässt im Kindergrab Strada 19 eine Verwendung als Schmuckelemente für eine Kette vermuten.

Die sog. Fingerspiralen sind in Kalabrien und der Basilikata in der frühen Eisenzeit (IFe2) weit verbreitet⁸⁸³. Auf der Macchiabate-Nekropole finden sich Vergleiche in zahlreichen Gräbern⁸⁸⁴. Es kann überlegt werden, ob die Fingerspiralen

gleichen Bestattung auch in mehrfacher Zahl mit unterschiedlichem Dm vorkommen. Bezeichnung als Schleifenringe nach Kilian 1970, 188–190.

874 Luppino u. a. 2012, 666 Abb. 8.

875 Zancani Montuoro 1983/1984, 41–47. 81–83. 92–99 Taf. 27 b; 55. 63 a. Der gleiche Befund kommt auch bei den kürzlich ausgegrabenen Bestattungen Est 5 und Est 9 vor: Guggisberg u. a. 2017, 83; Guggisberg u. a. 2018, 74.

876 Cerzoso – Vanzetti 2014, 215 f. Nr. 688. 689. 693. 696. 697 mit weiteren Parallelen; Chiartano 1977, 49 f. Typ E1a; Chiartano 1994, 55 f. Typ E1a mit weiteren Parallelen. Vgl. Castiglione di Paludi (Paludi): Guzzo 1975, 130 Typ 17a. Der Typ ist auch in Sala Consilina vertreten: Kilian 1970, 188 f. Typ R4a, Schleifenringe aus doppeltem Draht mit einer einfachen Schleife und einem zusammengedrehten Ende kommen paarweise in Frauengräbern der Südost-Nekropole von Sala Consilina vor; Ruby 1995, 118 f. Typ S121 *bracelets, spirale double sans ondulation*, die in Unteritalien vom Gebiet des Sele-Tales bis Südkalabrien sehr verbreitet sind.

877 Cerzoso – Vanzetti 2014, 215 f. sprechen von einer besonderen Verbreitung in den Phasen IFe1B–2A. Die Form ist auch in der Nekropole von Valle Sorigliano (Santa Maria d'Anglona, Tursi) gut dokumentiert: Ferranti – Quondam 2015, 57 f.; vgl. etwa Frey 1991, Taf. 30 Nr. 6–8, Grab 124.

878 Ähnliche Schleifenringe stammen auch aus Amendolara und gehören zu den Fundgattungen, die – obwohl für die Eisenzeit charakteristisch – auch in Gräbern der ersten Hälfte des 7. Jhs. v. Chr. in der Paladino Ovest-Nekropole vorkommen: de La Genière 1973b, 10. 15 f. 18 Abb. 15. 28; Quondam 2017a, 423 Tab. 2; de La Genière 2012, 245.

879 Zancani Montuoro 1980–1982, 20; Zancani Montuoro 1983/1984, 37 Taf. 20.

880 Fingerknochen in den Spiralen: Zancani Montuoro 1974–1976, 64 f. Nr. 12–14 Taf. 21, Grab Temparella 69; Zancani Montuoro 1977–1979, 33 Nr. 5 Abb. 12, Grab Cerchio Reale 5; 39 Nr. 5, Grab Cerchio Reale 12; 78 f. Nr. 3. 4, Grab Vigneto 4; Zancani Montuoro 1980–1982, 53 f. Nr. 13–16 Abb. 21, Grab Temparella 16; 59 Nr. 2–5, Grab Temparella 17; Zancani Montuoro 1983/1984, 37 Nr. 41–51, Grab Temparella 63; 40 Nr. 2–6 Taf. 25 d, Grab Temparella 66.

881 Frey 1991, 20.

882 In den Gräbern Temparella 3 und Cerchio Reale 3 (Zancani Montuoro 1977–1979, 30; Zancani Montuoro 1980–1982, 20 f. Abb. 7; 57) wurden solche Spiralen auch im Bereich des Kopfs gefunden. In beiden Fällen ist die Befundsituation jedoch nicht ganz klar, weshalb sich die Frage nach der originalen Trachtlage der Spiralen nicht beantworten lässt.

883 Vgl. Cerzoso – Vanzetti 2014, 151 f. Nr. 271–273 Taf. 21; Chiartano 1994, 67 Typ VIA51b; Bianco u. a. 1996, 43 mit Abbildung; 52 Nr. 1.6.23, Grab 28 Nekropole Valle Sorigliano (Santa Maria d'Anglona, Tursi). Vgl. auch Spiralen aus Sala Consilina: Kilian 1970, 188 Typ R2, Spiralrollen als Fingerschmuck; Ruby 1995, 119 Typ S22 *spirales larges* mit nicht eingezogenen Enden, für die der Autor Vergleiche aus der Basilikata (San Leonardo [Pisticci] und Valle Sorigliano [Santa Maria d'Anglona, Tursi]), Kalabrien (Castiglione di Paludi [Paludi] und Torre Galli [Drapia]) und Kampanien (Pontecagnano [Pontecagnano Faiano] und Cuma) anführt.

884 Strada 1, Cerchio Reale 3, 6 und 13, Vigneto 4 und 6, Temparella 2, 3, 16, 17, 19, 63, 65, 66, 67, 77, 78 und 93. Zancani Montuoro

spezifisch für die Bestattung von (weiblichen) Kindern und Jugendlichen waren: In 22 eisenzeitlichen Gräbern der Macchiabate-Nekropole wurden bronzene oder eiserne Fingerspiralen entdeckt⁸⁸⁵, für fünf davon konnte die Altersklasse als infans/juvenil anthropologisch bestimmt werden (Strada 3, 4, 19, Temparella 19, 2 und Cerchio Reale 13), weitere 13 werden von P. Zancani Montuoro aufgrund der Grösse, der Beigabe eines Askos oder wegen weiterer Kriterien als Bestattungen von Kindern oder Jugendlichen gedeutet⁸⁸⁶.

Weitere Bronzespiralen

In Grab Strada 9 wurde eine weite Spirale (S9/1) geborgen, die sich von den Fingerspiralen durch ihren grösseren Durchmesser unterscheidet (Taf. 41). Neben der Weite ist an der Spirale S9/1 die Verzierung bemerkenswert, die aus einer auf der Aussenseite eingepunzten Punktreihe besteht. Präzise Parallelen scheinen zu fehlen, Form oder Verzierung treten jedoch bei früheisenzeitlichem Bronzeschmuck durchaus auf: So lassen sich für die Form der Spirale Parallelen aus Grab Cerchio Reale 13 sowie aus den Gräbern 88, 103, 110, 116 und 134 von Valle Sorigliano (Santa Maria d'Anglona, Tursi) anführen. In Torre Mordillo (Spezzano Albanese) ist Ohrschmuck aus abgeflachtem Draht mit wenigen Exemplaren vertreten. In einem Fall, Grab 195, weist die Spirale an den abgeflachten Enden eingepunzte Punkte auf. Eine solche Verzierung weist auch ein 0.8 cm breites Bronzeblech aus Grab 148 von Incoronata (San Teodoro, Pisticci) auf⁸⁸⁷.

Neben der Spirale mit Punktreihe wurden in Grab Strada 9 Fragmente einer weiteren Bronzespirale gefunden (S9/2, Taf. 41), die jedoch unverziert sind und deshalb einem anderen Objekt zuzuschreiben zu sein dürften. Die Nähe zu einem Knochenfragment, das möglicherweise zum Arm gehörte, legt eine Bestimmung als Armschmuck nahe.

Corinne Juon, Sven Billo

Zierscheibe und Applike

Die Objekte S2/24–27 und S11/16–19 sind flache Bronzescheiben von ca. 4 cm Durchmesser⁸⁸⁸, die mit einem Relief aus konzentrischen, wellenförmig verlaufenden Kreisen ver-

ziert sind (Taf. 14. 49). Ihre Fundlage im Bereich des Schädels und einzelne rundliche, gestanzte Löcher lassen darauf schliessen, dass sie – vermutlich zusammen mit bronzenen Zierknöpfen⁸⁸⁹ – auf einem Textil aufgenäht Teile einer Kopfbedeckung waren. Dies wurde bereits von P. Zancani Montuoro aufgrund ähnlicher Stücke aus Grab Temparella 60 vermutet⁸⁹⁰. Neuere Grabungsergebnisse des Basler Projekts aus dem Areal Est bestätigen ihre Verwendung zusammen mit bronzenen Zierknöpfen als Schmuck einer Haube⁸⁹¹.

Zierscheiben mit konzentrischen Kreisen wurden in anderen Frauengräbern der Macchiabate-Nekropole, auf dem Timpone Motta sowie in Sala Consilina gefunden⁸⁹². Ähnliche Scheiben sind in Incoronata (San Teodoro, Pisticci) belegt⁸⁹³.

Als Applike kann ein rundförmiges Bronzeobjekt mit 1.7 cm Durchmesser aus der Verfüllung des Grabes Strada 11 (S11/46, Taf. 50) angesprochen werden. Die seitlichen Befestigungslöcher der konischen, in einen Spitz laufenden Applike deuten drauf hin, dass sie einst auf Kleidern bzw. Textil/Leder aufgenäht war. Den besten Vergleich bilden vier ähnliche Stücke aus Grab Temparella 60⁸⁹⁴.

Sven Billo

Zierknöpfe

Als Zierknöpfe werden kleine, buckelförmige Bleche mit einer – vermutlich angelöteten⁸⁹⁵ – Öse auf der Unterseite angesprochen. Ihr Format ist variabel⁸⁹⁶. In den Gräbern von Francavilla Marittima sind sie mehrheitlich sehr klein und besitzen kaum je einen Durchmesser von mehr als 0.5 cm. Bronzene Zierknöpfe sind während der frühen Eisenzeit in ganz Süditalien und entlang der östlichen Adriaküste besonders verbreitet⁸⁹⁷. Aufgrund ihrer bevorzugten Fundlage beim Kopf und im Bereich des Oberkörpers werden sie gerne als Schmuck einer Kopfbedeckung bzw. eines Gewandes oder gar des Leichentuches angesprochen⁸⁹⁸.

1974–1976, 64–65 Taf. 11; Zancani Montuoro 1977–1979, 30 f. Abb. 11 Taf. 49 a; 50 b; Zancani Montuoro 1980–1982, 53 f. Abb. 21; 56. 61 Taf. 7 b; 26. 29. 32; Zancani Montuoro 1983/1984, 37. 40. 45 f. Abb. 11, 24; 70 Abb. 22; 109 Taf. 19. 20. 25. 27 b; 44. 70.

885 Strada 1, 4 und 19, Cerchio Reale 3, 6 und 13, Vigneto 4 und 6, Temparella 2, 3, 16, 17, 19, 60 (aus Eisen), 63, 65, 66, 67, 77, 78 und 93 sowie Est 5 (aus Eisen).

886 Mit Askos: Cerchio Reale 5, 6/7 und 12, Vigneto 4, Temparella 69, 77, 78, 90 und 93. Ohne Askos: Temparella 3, 17, 65 und 66.

887 Cerzoso – Vanzetti 2014, 213 Nr. 675. 676. 679; 331 Taf. 43, 675. 676. 679; Chiartano 1994, 88 Taf. 3, T 148 D; Frey 1991, 15. 47 Taf. 1 A; 60 Taf. 14. 1; 63 Taf. 17 C, 1; 68 Taf. 22 B, 1; 87 Taf. 41, 3; Vanzetti 2014b, 68 Anm. 22; Zancani Montuoro 1977–1979, 41 f. Abb. 15, 10. 11.

888 Der Durchmesser konnte nur grob geschätzt werden. Die Exemplare aus Grab Strada 2 sind sehr stark fragmentiert, diejenigen aus Grab Strada 11 befinden sich noch im Block.

889 Für die Zierknöpfe siehe darauffolgenden Kapitel.

890 Zancani Montuoro 1974–1976, 18 Taf. 4 b.

891 Guggisberg u. a. 2017, 83, Grab Est 5.

892 Zancani Montuoro 1974–1976, 18 Nr. 11–15 Taf. 4 b (Dm 4.5 cm); Papadopoulos 2003, 73 Nr. 193 Abb. 94; Stoop 1987, 24 Abb. 7. Sala Consilina: Kilian 1970, 185 Typ P4, ein Exemplar aus Grab A247.

893 Chiartano 1994, 57 Typ G3 Taf. 16, Grab 186, jedoch sind die Scheiben nicht flach, sondern kegelförmig.

894 Zancani Montuoro 1974–1976, 22 Nr. 31–34; 24 Abb. 6, 31–34 Taf. 5 a, Dm 2–2.5 cm.

895 Die Entwicklung der Löttechnik ist für Süditalien nicht geklärt. In Norditalien war die Verwendung von Legierungen mit niedrigerem Schmelzpunkt bereits bekannt, allerdings wirken die damit ausgeführten Reparaturen noch plump; vgl. Giunli-Mair 1998, 178.

896 In Torre Mordillo (Spezzano Albanese) können sie z. B. einen Dm von bis zu 1.5 cm aufweisen: Cerzoso – Vanzetti 2014, 208–212.

897 Cerzoso – Vanzetti 2014, 208; Iaia 2007. Siehe auch Belege aus Mittelitalien, wie Castel di Decima 132: Bedini – Cordano 1975, 376–392 insb. 383 Nr. 6 Abb. 32.

898 Chiartano 1994, 23. 56 f. 195 R Taf. X. 38, Grab 240; 109 O Taf. XII. 51. 53, Grab 282; 116 P Taf. XIV. 56. 57, Grab 288; 153 A. A1 Taf. XXV. 100, Grab 405; Chiartano 1996, 34–36 A1 Taf. I. 4–7,

Die Befunde der Frauengräber im Areal Strada stützen diese Interpretation. Die unter den Katalognummern S2/29 (657 Stücke), S4/43 (477 Stücke), S6/9 (9 Stücke) und S11/20. 21 (mindestens 362 Stücke) subsumierten Zierknöpfe konzentrierten sich vor allem im Schädelbereich der Bestattungen (Taf. 14. 21. 34. 49, Fundlage siehe Taf. 11. 17. 45). Nur vereinzelt streuten sie auch über andere Bereiche des Grabes. Besonders anschaulich ist der im Röntgenbild überlieferte Befund von Grab Strada 11: Hier waren die Zierknöpfe in mehreren Reihen kreisförmig um den Schädel angeordnet (Taf. 49). Zusammen mit den ebenfalls am Schädel anhaftenden Zierscheiben mit konzentrischen Kreisen waren sie offenbar auf eine Kopfbedeckung aus Stoff – eine Haube oder einen Schleier – aufgenäht. Die neuen Befunde aus dem Areal Est liefern weitere anschauliche Beweise für die Tragweise dieser Zierelemente⁸⁹⁹. Die hohe Anzahl und die häufige Verteilung über den Schädelbereich hinaus lassen jedoch die Vermutung zu, dass Zierknöpfe auch für unterschiedlich gestaltete Verzierungen der Kleidung verwendet wurden⁹⁰⁰. Auf der Macchiabate-Nekropole wurden Zierknöpfe bisher nur in Frauengräbern dokumentiert, allerdings kommen sie in Incoronata (San Teodoro, Pisticci) auch in einigen Männergräbern vor⁹⁰¹.

Sven Billo

Weitere Trachtbestandteile:

Sonagliera, Cono di lamelle, Anello di sospensione

In drei Frauengräbern wurden Fragmente von Bronzeobjekten geborgen, die zu Gegenständen zu rekonstruieren sind, die in der Forschung als Teile der Gürtelgarnitur bzw. als Rasseln gedeutet werden.

Ein schmales, 7.1 cm langes Rohr kam im südlichen Teil der Bestattung Strada 11 zutage (S11/22, Taf. 50) und ein weiteres Rohrfragment wurde in Grab Strada 4 geborgen (S4/44, Taf. 21)⁹⁰². Sie ähneln Bestandteilen einer sog. *sonagliera* (Rassel), eines Instruments, das aus mehreren Röhrchen bestand, die mittels eines Fadens an einem Eisenstift oder Holzelement fixiert waren und bei Bewegung aneinanderschlugen. Rasseln der beschriebenen Art gehörten zum Trachtschmuck der oionotrischen Frauen und wurden am Gürtel oder an separaten Ketten getragen. Ein Exemplar ist in Grab Temparella 60 und ein Fragment in Grab 78 von Torre Mordillo (Spezzano Alba-

nese) belegt⁹⁰³. Diese Form der Rasseln ist in der Nekropole von Molino della Badia (Mineo, CT) auf Sizilien gut vertreten, wo die Rasseln an einer Kette angehängt im Bereich der rechten Hüfte der Verstorbenen lagen⁹⁰⁴.

Drei in Grab Strada 11 gefundene Segmente von Bronzescheiben mit unterschiedlichem Durchmesser (S11/23, Taf. 50) könnten einst ein sog. *cono di lamelle* gebildet haben. Dabei handelte es sich um einen kegelförmigen, aus mehreren übereinander gelegten Bronzereifen bestehenden Gegenstand. In der Macchiabate-Nekropole ist ein solches Objekt in Grab Temparella 60 belegt und besteht aus neun dünnen, ringförmigen Scheiben mit einem Durchmesser zwischen 17.8 und 2.1 cm. Der grosse Kegel wurde zur rechten Seite des Beckens der Verstorbenen freigelegt und von P. Zancani Montuoro als Verkleidung eines hölzernen Objekts oder als Rassel gedeutet⁹⁰⁵. Vergleichbare Objekte sind auch in den Nekropolen von Incoronata (San Teodoro, Pisticci) und Valle Sorigliano (Santa Maria d'Anglona, Tursi) bekannt, allerdings nur mit fünf bis sieben Ringen⁹⁰⁶. Zudem scheinen die einzelnen Elemente unterschiedlich gefertigt worden zu sein; Die Exemplare aus Francavilla Marittima haben einen flachen, jene aus Incoronata (San Teodoro, Pisticci) einen dreieckigen Querschnitt. Auch bei diesen Objekten wird vermutet, dass es sich um Rasseln oder ähnliche Musikinstrumente handelt⁹⁰⁷.

In den Gräbern Strada 2 (S2/28) und Strada 11 (S11/24) wurden Segmente von Bronzescheiben gefunden (Taf. 14. 50). Die Fragmente S2/28 weisen einen flachen Querschnitt und wohl einen grossen Durchmesser auf. Beim Fragment S11/24 ist der Querschnitt dreieckig und der Durchmesser beträgt geschätzte 4.6 cm. Es könnte sich um Fragmente von Scheiben handeln, die als Anhänger oder Aufhänger (ital. *anelli di sospensione*) gedient haben⁹⁰⁸.

Sven Billo

Grab 468; 51 f. M Taf. VI. 17, Grab 515; Frey 1991, 20 f. 48 Taf. 2 B, 2, Grab 93; 20 f. 49 Taf. 3 B, 3, Grab 96; 25 f. 41 Abb. 8, 2; 70 Taf. 24, 6, Grab 118; 27. 41 Abb. 8, 5; 76 Taf. 30, 1, Grab 124; 32. 95 Taf. 49 A, 5, Grab 150.

899 Guggisberg u. a. 2018, 74, in Grab Est 9 waren die Zierknöpfe bandförmig zu Zweier-, Dreier- und Viererreihen gruppiert und als Besatz auf den Stoff aufgenäht.

900 In Alianello (contrada Cazzaiola, Aliano) und Guardia Perticara wurden Zierknöpfe auch zu dreieckigen, im Beinbereich des Kleides aufgenähten Verzierungen rekonstruiert: De Julis 1996, 115 Abb. 109; Piranomonte 2000, Abb. 12.

901 Diese sollen besonders gross gewesen sein; Chiartano 1994, 57.

902 Zum gleichen Objekt gehören vielleicht auch die dreieckigen Stifte S4/45–49. Sie streuten im Bereich des Oberkörpers und könnten ebenfalls Teile einer Rassel gewesen sein.

903 Zancani Montuoro 1974–1976, 24 Abb. 6, 60; 40 f. Nr. 60 Taf. 16 a, bestehend aus 17 Bronzeröhrchen und einem Eisenstift, L max. 9.6 cm; Cerzoso – Vanzetti 2014, 173 Nr. 393; 315 Taf. 27, 393, letzteres anscheinend in Zusammenhang mit dem Xylophon-Anhänger aus demselben Grab verbunden. Für Exemplare vom Timpone Motta: Papadopoulos 2003, 111 f. Nr. 405–412.

904 Vgl. Bernabò-Brea u. a. 1969. Zu dieser Objektgruppe siehe zuletzt Bellia 2009, 45–47 mit weiteren Exemplaren aus Frauengräbern in Sizilien; vgl. auch Colelli – Fera 2013, 826. 831 Abb. 4 aus Grammichele (Sizilien). Einzelne Röhrchen kommen vereinzelt in Sala Consilina vor: Kilian 1970, 183 Typ P1a, aus Frauenbestattungen der Südost-Nekropole von Sala Consilina, die Verwendung ist unklar.

905 Zancani Montuoro 1974–1976, 42 Nr. 61 Abb. 11 Taf. 16b, besteht aus neun Bronzereifen, Dm an der Basis 17.8 cm, Dm an der Spitze 2.1 cm, H 4 cm.

906 Für weitere Vergleiche aus Kalabrien, der Basilikata und Sizilien siehe Bellia 2009, 32–35.

907 Bellia 2009, 32–35. 52 f.

908 Vgl. etwa den *anello da sospensione* aus Grab 90 von Torre Mordillo (Spezzano Albanese): Cerzoso – Vanzetti 2014, 238 f. Nr. 872; 337 Taf. 49; oder die an einer Fibel angehängte Scheibe aus Chiaromonte: Lo Schiavo 2010, Nr. 6284 Taf. 481.

3.2.7 Waffen und Geräte aus Bronze

Bronzelanze

Aus dem Areal Strada stammt die bisher einzige Bronzelanze der Macchiabate-Nekropole. Die Lanze lag im Grab Strada 5 (S5/10, Taf. 27), zur rechten Seite des Verstorbenen, und war ursprünglich ca. 2 m lang, wie die Entfernung zwischen der Spitze und dem Lanzenschuh annehmen lässt (Taf. 23). Die 26 cm lange Lanzen Spitze ist sehr gut erhalten und besitzt ein breit angelegtes Blatt mit gerundetem Ansatz, das sich nach oben mit geradlinigen, vor der etwas abgerundeten Spitze leicht eingezogenen Seiten verjüngt⁹⁰⁹. An der Blattwurzel befinden sich zwei Ösen, die zum Aufhängen von Ringanhängern oder zur Befestigung von Schnüren zur zusätzlichen Fixierung der Spitze am Schaft gedient haben⁹¹⁰. Charakteristisch sind die facettierte Mittelrippe und die rund-ovale Tülle. Besonders ist die eingeritzte geometrische Verzierung, die sich auf beiden Seiten der Lanzen Spitze befindet: Erkennbar sind Gruppen von Linien auf dem Blatt, die schraffierte Dreiecke zu bilden scheinen, sowie Punktreihen und Kreise auf der Tülle (Taf. 27, oben rechts). Der ca. 2 cm dicke Holzschaft war mit einem hölzernen Dorn an der Spitze befestigt. Dieser Dorn wurde durch zwei Löcher an der Basis der Tülle eingesteckt⁹¹¹. Der Schaft war wohl über die ganze Länge mit einer Reihe von spiralenartig zusammengerollten, dünnen Bronzeblechen verkleidet, die mittels kleiner Niete am Holz fixiert wurden. Der langgezogene, konische Lanzenschuh ist 11.2 cm lang, im sich verjüngenden unteren Teil vollgegossen und wird von einer linsenförmigen Verdickung abgeschlossen⁹¹². Am Tüllenansatz befinden sich die oben bereits erwähnten zwei Löcher zur Befestigung des Holzschafes. Die Tülle des Lanzenschuhs ist von Motiven aus eingepprägten Punkten und Kreisen verziert (Taf. 27, unten links).

Die Form der Lanzen Spitze ist mit zahlreichen Exemplaren aus Incoronata (San Teodoro, Pisticci)⁹¹³, Torre Mordillo

(Spezzano Albanese)⁹¹⁴, Valle Sorigliano (Santa Maria d'Anglona, Tursi)⁹¹⁵, Amendolara⁹¹⁶, Torre Galli (Drapia)⁹¹⁷, Sala Consilina⁹¹⁸ und Pontecagnano⁹¹⁹ gut vergleichbar. Die Datierung der Exemplare scheint nicht weit über die Phase IFe2A zu gehen⁹²⁰, jüngere Exemplare sind nur vereinzelt belegt⁹²¹. Die besondere Verzierung und die Form erlauben eine Einordnung der Lanzen Spitze aus Grab Strada 5 in den sog. Typ Cassino. Diese Gruppe von Lanzen Spitzen wurde von Anna Maria Bietti Sestieri definiert, sie umfasst Exemplare aus überdurchschnittlich reichen Männergräbern und kommt im Latium, Kampanien, Kalabrien und Apulien seit dem 9. Jahrhundert v. Chr. vor⁹²². Die Forscherin unterscheidet zwei Gruppen innerhalb des Typs Cassino. Die Exemplare der ersten Gruppe sind von Verzierungsmustern auf der Tülle gekennzeichnet, die ein abstraktes menschliches Gesicht wiedergeben. Die Lanzen Spitzen datieren meist im IFe1 und ihre Dekoration ist laut A. M. Bietti Sestieri mit magisch-religiösen Vorstellungen in Zusammenhang zu bringen. Die zweite Gruppe weist dagegen eine breitere Palette an dekorativen Elementen auf, darunter auch Dreiecke und Sanduhr-Motive, die unterschiedlich kombiniert werden können, ohne jedoch einem übergreifenden Thema untergeordnet zu sein. Die Exemplare der zweiten Gruppe

Lanzen- oder Speerspitze L 17.9 cm; 121 Taf. 62, Grab 298, Lanzen- oder Speerspitze L 17.2 cm.

- 909 Zur Unterscheidung zwischen Speer- und Lanzen Spitzen anhand der Länge siehe Ruby 1995, 98–101: für Sala Consilina schlägt er eine Bezeichnung als Lanze ab einer Länge von 23 cm vor; in Pontecagnano jedoch ab 19 cm und in Torre Galli (Drapia) ab 17.5 cm.
- 910 Die Ringanhänger S5/4 wurden in der Nähe des Schädels, nicht weit von der Lanzen Spitze entfernt gefunden. Für einen vergleichbaren Befund vgl. Sannibale 1998, 37–40 Nr. 13. Für die Fixierung mittels Schnüre vgl. die Spuren auf der Lanzen Spitze aus San Marzano sul Sarno Grab 4: D'Agostino 1970, 583 Abb. 6 Nr. 4, mit weiteren Vergleichen.
- 911 Ein Holzfragment und der Dorn konnten aus der Tülle der Lanzen Spitze geborgen werden. Das Holz wurde als Laubholz, wahrscheinlich Eiche gedeutet: Bestimmung A. Schlumbaum, Fachbereich Integrative Prähistorische und Naturwissenschaftliche Archäologie der Universität Basel.
- 912 Genaue Parallelen für die Form des Lanzenschuhs fehlen; eine langgezogene Form mit einer ähnlichen Verdickung an der Spitze besitzt das Exemplar aus San Marzano sul Sarno Grab 4: D'Agostino 1970, 574 Abb. 2 Nr. 10; 583. 606 Abb. 6 Nr. 10.
- 913 Exemplare des Typs A2a1 aus den Gräbern 83, 296, 298 und 290: Chiartano 1977, 35, Grab 83, Speerspitze; Chiartano 1994, 117 Taf. 59, Grab 290, Speerspitze L 15.1 cm; 120 Taf. 61, Grab 296,

- 914 Cerzoso – Vanzetti 2014, 137 f. Nr. 173, Grab 211 L 18 cm, mit eingeritzter Verzierung aus schraffierten Dreiecken, IFe1B–2A; 187 Nr. 474, Gräber 9–11 L 24.7 cm, IFe2A–2B1.
- 915 Frey 1991, 21 Nr. 1 Taf. 8, Grab 99.
- 916 De La Genière 2012, 245 Abb. 8, aus der Nekropole Agliastroso (Amendolara), mit eingeritzter Verzierung, dem Typus Cassino zugehörig.
- 917 Pacciarelli 1999a, 35 Abb. 6 Nr. 11 aus La Rota, mit eingeritzter Verzierung, dem Typ Cassino zugehörig, Phase Torre Galli 2A.
- 918 Exemplare des Typs L1e: Kilian 1964, 25 f. Nr. 8 Beil. 11, Grab 6, L 27 cm, Phase IIA; Kilian 1970, 344 Taf. 59 Nr. 6, Grab A221, mit eingeritzter Verzierung Typ Cassino, Phase IIB; Bietti Sestieri 2006, 518–525 Abb. 7. Exemplare des Typs L1b: Kilian 1970, 129 f. Phasen IIA und B. Ruby 1995, 98–101 Typ L21, Exemplar mit Verzierung aus Zickzacklinien aus Grab 025P.
- 919 Exemplare des Typs 59A1b: D'Agostino – Gastaldi 2016, 48 mit facettierter Mittelrippe; De Natale 1992, 49 f. Nr. 13. 14, Grab 3184, zwei Exemplare L 28.8 und 24.5 cm, eine mit eingeritzten und eingepressten Verzierungsmustern (Typ Cassino) und mit einem 4.2 cm langen Lanzenschuh, Phase IIB; 109–111 Nr. 16. 17 Abb. 123, Grab 3284, zwei Exemplare L 23.6 und 20.7 cm, beide mit Verzierung Typ Cassino und eines mit verkleidetem Holzschaft, Phase IIB; Aurino – Gobbi 2012, 810–818 Abb. 1. 3, Grab 3090bis, zwei Exemplare, eines davon ist verziert und dem Typ Cassino zuzuschreiben; Bietti Sestieri 2006, 518–525 Abb. 5. 7.
- 920 Incoronata (San Teodoro, Pisticci) Grab 290 enthielt auch eine zweiteilige Schlangenfibel, die von Ferranti in ihre Phase 2–3 (IFe1B–2A1) gesetzt wird: Ferranti 2005, 460 Abb. 3 Nr. 5; in Sala Consilina werden die vergleichbaren bronzenen Lanzen Spitzen in der Phase Kilian IIA, gelegentlich in die Phase IIB, datiert: Kilian 1964, 105 f.; Kilian 1970, 129–132 Beil. 12; Torre Mordillo vgl. Cerzoso – Vanzetti 2014, 137 f. Nr. 173.
- 921 Cerzoso – Vanzetti 2014, 187 Nr. 474, IFe2A–2B1; Frey 1991, 21 Nr. 1; Exemplare aus Pontecagnano, Gräber 3184 und 3284.
- 922 Bietti Sestieri 2006, bes. 512 f. 528–531 Abb. 1 mit Verteilungskarte.

sind jünger und gehören meist zur Phase IFe2⁹²³. Die Merkmale der Verzierung ermöglichen eine Zuordnung des Exemplars aus Francavilla Marittima zur zweiten Gruppe. Die besten Parallelen bilden das Exemplar aus Grab 3184 von Pontecagnano⁹²⁴ und eine Lanzenspitze aus der Nekropole Agliastro von Amendolara, deren Fundzusammenhang unbekannt ist⁹²⁵.

Neben dem Stück aus Amendolara bildet die Lanze aus Grab Strada 5 das zweite bisher bekannte Exemplar des Typs Cassino an der ionischen Küste. Die hauptsächliche Verbreitung der Lanzen dieser Gruppe im Süden Kampaniens und ihr sonstiges Fehlen in der Sibaritide erlauben daher die Vermutung, dass die Waffe aus Grab Strada 5 ein Import ist. Sie wäre somit ein Hinweis auf direkte Kontakte mit dem Süden Kampaniens – Kontakte, die über den Apennin verliefen und Francavilla Marittima mit Sala Consilina, Pontecagnano, Cumae und vielleicht auch Pithekoussai verbunden haben⁹²⁶. Die besondere Verzierung, die Schaftverkleidung, die Fixierung mittels Holzdorn und die Vergesellschaftung mit zwei weiteren eisernen Lanzenspitzen machen deutlich, dass es sich bei der Lanze aus Grab Strada 5 nicht um einen Gebrauchsgegenstand, sondern um eine Paradewaffe und Insigne handelt. Die Lanze als Prestigeobjekt, direkt verbunden mit der Macht ihres Trägers, wurde wohl nicht als Handelsobjekt ausgetauscht, sondern möglicherweise als besonderes Geschenk im Rahmen von politischen oder militärischen Aktionen⁹²⁷.

Camilla Colombi

3.2.8 Eisenfibeln

Schlangenfibeln aus Eisen

Sämtliche eiserne Fibeln aus den Arealen Strada und De Leo sind nur fragmentarisch erhalten. Der schlechte Erhaltungszustand ermöglicht oft keine Zuweisung zu einem bestimmten Typ – in manchen Fällen auch zu keiner bestimmten Form. Die meisten Exemplare lassen sich aufgrund der Präsenz von Federn bzw. Ösen oder *gomiti* als Schlangenfibeln rekonstruieren. Dabei können sowohl zwei Typen von Schlangenfibeln *a gomito* als auch zwei Gruppen von Fragmenten unterschieden

werden, zu denen sowohl unverzierte Eisenfibeln als auch Exemplare aus Eisen mit Bronzedrahtumwicklung gehören.

Eiserne Schlangenfibeln *a gomito* mit und ohne Bronzedrahtumwicklung

Schlangenfibeln *a gomito* bzw. Kniefibeln weisen eine gekrümmte Nadel, einen Bügel und eine Feder mit rundem Querschnitt und kurzem bis gestrecktem Fuss auf. Kennzeichnend ist der Bügel, der in der Mitte einen engen Knick ('Knie', ital. *gomito*) anstelle der Öse bildet. Die Exemplare können eine Verzierung aus feinem Bronzedraht aufweisen, der um das Eisen gewickelt ist. Die maximale rekonstruierte Länge beträgt 20 cm. Alle Exemplare sind fragmentarisch erhalten und korrodiert.

Der Typ der Schlangenfibel *a gomito* ist unter den behandelten Gräbern mehrfach vertreten. Das häufige Vorkommen ist wohl auch damit zu erklären, dass es sich um eine leicht ansprechbare Form handelt. Fragmente des bezeichnenden 'Knies' sind nämlich leicht zu erkennen und ermöglichen eine Zuschreibung zum Typ *a gomito* mit Feder oder eventuell zu einem der Typen *a gomito* ohne Feder mit mehr oder weniger breitem, bandförmigem Nadelansatz⁹²⁸.

Mindestens neun Exemplare von unverzierten Schlangenfibeln *a gomito* mit Feder stammen aus dem Männergrab Strada 5 (S5/12. 13. 17–19, Taf. 28. 29). Ein Stück (S5/12) konnte rekonstruiert werden und weist mit einer Länge von ca. 20 cm beträchtliche Dimensionen auf. Die anderen Exemplare sind stark fragmentiert und gehören wohl zu mindestens acht Schlangenfibeln derselben Form⁹²⁹. Zwei weitere Exemplare *a gomito* mit Feder wurden in fragmentiertem Zustand im Männergrab De Leo 1 geborgen (DL1/10. 11, Taf. 81). Fragmente von vier Schlangenfibeln *a gomito* stammen aus den Gräbern Strada 6 (S6/10), Strada 5 (S5/14, mit Bronzedrahtumwicklung) und Strada 11 (S11/26, mit Bronzedrahtumwicklung) (Taf. 28. 34. 50)⁹³⁰. Bei diesen Exemplaren haben sich jeweils Teile des Bügels, der Nadel und des 'Knies' erhalten, jedoch keine Federn. Ihre Zuweisung zum vorliegenden Typ ist wahrscheinlich; die Möglichkeit, dass diese Fragmente zu Exemplaren ohne Feder gehören, lässt sich allerdings nicht mit Sicherheit ausschliessen.

Die Verbreitung der eisernen Fibeln setzt im Laufe der Phase IFe2 allmählich ein. Erst in der Phase IFe2B erlangen Eisenfibeln eine grosse Beliebtheit: Waren sie unter den Funden aus dem Gräberfeld der Phase IFe2A von Torre Mordillo (Spezzano Albanese) noch spärlich belegt, machen sie in der später ansetzenden Macchiabate-Nekropole schon ungefähr

923 Bietti Sestieri 2006, 518 f.

924 De Natale 1992, 49 f. Abb. 101, IFe2B.

925 De La Genière 2012, 245 Abb. 8, Sammlung Laviola, heute im Museum von Amendolara ausgestellt.

926 Zu diesen Handelskontakten siehe Guggisberg u. a. 2018b. Für die Importe aus dem oinotrischen Bereich in Kampanien und in Pithekoussai siehe: D'Agostino 1977, 15. 41–43 R46 Abb. 11 Taf. 11; R84 Abb. 27 Taf. 25, oinotrische Ollae aus Pontecagnano Gräber 926 und 928; Bietti Sestieri – De Santis 2012, 635–650 bes. 645 Abb. 6, Askos aus Pontecagnano Grab 494; Buchner – Ridgway 1993, 380 Nr. 325.4 Taf. 122. 157, Askos aus Pithekoussai Bocchoris-Grab; Cuzzo – Pellegrino 2016, 127–130 Abb. 2, Vierspiralfibeln aus Monte Vetrano, Pontecagnano, Sala Consilina und Suessula.

927 Guggisberg u. a. 2018b, 53; Bietti Sestieri 2006, 22. Auch nicht auszuschliessen ist für den Lanzenträger aus Grab Strada 5 eine Herkunft aus Kampanien.

928 Vgl. Quondam 2009, 141–144 Abb. 1, 10. 14.

929 S5/13: Fragmente von Nadel, Bügel, *gomito* und Fuss einer Fibel, gefunden neben dem Kopf des Verstorbenen; S5/17–19: Fragmente der Federn, *gomiti* und Füße von mindestens sieben Exemplaren, gefunden im Bereich des Oberkörpers des Verstorbenen. Zu diesen gehören wohl auch die Fragmente S5/21.

930 Zwei Fragmente aus Grab Strada 8 (S8/31. 32) können eventuell als Teile eines *gomito* gedeutet werden.

die Hälfte der Belege aus⁹³¹. Eiserne Schlangenfibeln mit Feder und Öse (ital. *a occhiello*) sind typisch für die Phase IFe2A⁹³². Die Form mit *gomito* ist seit dem späten IFe2A dokumentiert⁹³³ und ist wohl bis zum Ende des 8. Jahrhunderts v. Chr. kontinuierlich belegt⁹³⁴. In der Nekropole Valle Sorigliano (Santa Maria d'Anglona, Tursi) kommt sie ebenfalls seit dem IFe2A2 bis zum IFe2B vor, in Incoronata (San Teodoro, Pisticci) scheint sie dagegen zu fehlen⁹³⁵. Ihre Präsenz in den Gräbern von Roggiano Gravina, in denen sie mit jüngeren Typen vergesellschaftet ist, beweist die lange Laufzeit dieser Form⁹³⁶. Die jüngsten Typen weisen einen *gomito* auf, jedoch keine Feder mehr: Der hintere Bügelabschnitt bzw. Nadelansatz kann bandförmig sein⁹³⁷. In der Macchiabate-Nekropole kommt der Typ *a gomito* mit Feder in mehreren Gräbern vor – sowohl in Männer- wie auch in Frauengräbern, sowohl in älteren⁹³⁸ als auch in jüngeren Bestattungen⁹³⁹.

Eiserne Schlangenfibeln *a gomito* mit doppeltem Nadelansatz und Bronzedrahtumwicklung

Aus den Männergräbern Strada 5 und Strada 17 stammen die Fragmente von je einer Schlangenfibel mit gekrümmter Nadel, Bügel mit rundem Querschnitt, doppelter spiegelbildlicher Feder und doppeltem Nadelansatz sowie mit gebogenem 'Knie' (ital. *gomito*) anstelle der Öse. Die beiden parallelen Nadelabschnitte und der Bügel sind mit einer Bronzedrahtumwicklung verziert. Alle Exemplare sind fragmentarisch erhalten

931 Quondam – Ferranti 2014.

932 Vgl. die Belege aus Torre Mordillo (Spezzano Albanese): Cerzoso – Vanzetti 2014, 177 f. Nr. 422, 427. Die Form entspricht den Bronzenfibeln Typ Lo Schiavo 343, siehe oben.

933 Peroni 1979, 197; Ferranti 2005, 462 Anm. 10; Cerzoso – Vanzetti 2014, 179 Nr. 430, Grab 120, Datierung IFe2A2–2B1; 182 Nr. 447, Grab 87, Datierung IFe2B2; 200 f. Nr. 544–550, Streufunde, Datierung IFe2A2–IFe2B. Die Entsprechung aus Bronze weist in der Regel einen langen Nadelhalter auf und wird um die Mitte bzw. in der zweiten Hälfte des 8. Jhs. v. Chr. datiert: Lo Schiavo 2010, 746–749 Typ 370. Der Typ ist in Sizilien verbreitet und in Kalabrien und Kampanien belegt.

934 Quondam 2009, 144 f. Anm. 22 Abb. 1, 9.

935 Cerzoso – Vanzetti 2014, 179.

936 Carrara – Guzzo 1981, 462 f. Abb. 18, Grab 8.

937 Quondam – Ferranti 2014, 71–76 z. B. Nr. 452; Quondam 2009, 141–144 Abb. 1, 10, 14, Exemplare aus den Gräbern Temparella 63, Vigneto 7, Cerchio Reale 5, Temparella 61/62, Temparella 70 (mit bandförmigem Bügel), vgl. auch die Belege aus Roggiano Gravina: Carrara – Guzzo 1981.

938 Der früheste Beleg stammt aus dem reichen Frauengrab Temparella 60: Zancani Montuoro 1974–1976, 19 Nr. 6–9 Taf. 5b, mit und ohne Bronzedrahtumwicklung. Weitere Exemplare mit oder ohne Bronzedrahtumwicklung stammen aus Gräbern der ersten Phase von Quondam: Temparella 40, Temparella 41, Temparella 20, Temparella 85.

939 Eine Fibel dieser Form stammt aus Grab Est 6, in dessen Verfüllung eine bronzene Schlangenfibel *a gomito* mit doppeltem Nadelansatz Typ Lo Schiavo 377 geborgen wurde: Guggisberg u. a. 2017, 85; die Datierung umfasst die zweite Hälfte des 8. und die erste Hälfte des 7. Jhs. v. Chr. Weitere Belege: Zancani Montuoro 1983/1984, 40–53 Nr. 5–7 Abb. 14, Grab Temparella 70, Phase Quondam 2; Gräber Est 1 (Guggisberg u. a. 2016), Est 5 (Guggisberg u. a. 2017) und Est 10 (Guggisberg u. a. 2018).

und korrodiert. In beiden Fällen haben sich *gomito* und Fuss nicht erhalten, jedoch kann aufgrund der Vergleiche für diese Form von einer Kniefibel mit gestrecktem Fuss ausgegangen werden⁹⁴⁰.

Vom Exemplar aus Grab Strada 5 (S5/16, Taf. 28) sind fünf Fragmente der gespaltenen und doppelten Nadel mit Bronzedrahtumwicklung erhalten, die eine Zuschreibung zu dieser Form der Kniefibeln ermöglichen. In der Macchiabate-Nekropole sind Exemplare dieses Typus in den Gräbern Vigneto 2 (ohne Bronzedrahtumwicklung)⁹⁴¹, Vigneto 7⁹⁴² und Temparella 87⁹⁴³ belegt. Die Form ist in der Ausführung aus Eisen mit und ohne Umwicklung aus einem anderen Metall in Kampanien weit verbreitet. Insbesondere in Pontecagnano ist sie gut bezeugt⁹⁴⁴; ausserdem ist sie in Sala Consilina und Capua belegt⁹⁴⁵. Die Vergleiche stammen aus Komplexen der

940 Die Form entspricht wohl den bronzenen Exemplaren Typ Lo Schiavo 377: Lo Schiavo 2010, 754–755 Typ 377 *fibule a gomito con parte posteriore dell'arco bifida*. Unwahrscheinlich ist eine Ergänzung der Fragmente als Kniefibel bzw. Drago-Fibel mit doppeltem Nadelansatz und Bogen mit rhombischen Elementen und Paaren von dornartigen Bügelerweiterungen, wie etwa die Exemplare aus Grab Temparella 27, Roggiano Gravina Grab 3bis und die zahlreichen Belege aus Kampanien: Zancani Montuoro 1980–1982, 88–91 Nr. 9, die Zeichnung der Fibel wurde freundlicherweise von F. Quondam zur Verfügung gestellt; Carrara – Guzzo 1981, 452 Nr. 10; 455 Abb. 12; Gastaldi 1979, 35 f. Abb. 19, 20; vgl. die Versionen aus Bronze Lo Schiavo 2010, Typen 378–380 mit sehr langem Nadelhalter. Unwahrscheinlich ist auch eine Ergänzung als Drago-Fibel ohne Feder wie die bronzenen Exemplare der Klasse Lo Schiavo XLVIII: Lo Schiavo 2010, 789–798.

941 Zancani Montuoro 1977–1979, 75 f. Nr. 5 Abb. 27.

942 Zancani Montuoro 1977–1979, 83–88 Nr. 11, die Zeichnung des Exemplars wurde freundlicherweise von F. Quondam zur Verfügung gestellt; im selben Grab auch eine Bronzenfibeln Typ Lo Schiavo 341, Phase IFe2A.

943 Zancani Montuoro 1974–1976, 72 Nr. 5–8, die Zeichnung des Exemplars wurde freundlicherweise von F. Quondam zur Verfügung gestellt; vergesellschaftet mit Kantharos mit Verzierung im spätgeometrischen *stile a frange*, vgl. Quondam 2009, 157 Abb. 5, 1.

944 D'Agostino – Gastaldi 2016, 36 Typ 320E3 Schlangenfibel *a gomito* belegt in den Ausführungen aus Bronze und aus Eisen, Phase II; unser Exemplar entspricht der Variante 320E3b2b, Abb. 17, aus Eisen mit doppeltem Nadelansatz und Bronze-/Silberdrahtumwicklung auf Nadel, Feder und Bügel; De Natale 1992, 25 f. Typ 32E3b2, z. B. 49 f. Nr. 9 Abb. 101, Kriegergrab 3184, enthielt auch eine Lanze Typ Cassino vgl. S5/10, Phase IIB; 89 f. Nr. 8 Abb. 119, Kriegergrab 3253, Phase IIA; 96 f. Nr. 9, Frauengrab 3265, Phase IIA; 109–111 Nr. 9 (aus Bronze) und Nr. 10 (aus Eisen) Abb. 123, Kriegergrab 3284, enthielt auch zwei Lanzenspitzen aus Bronze, davon eine ähnlich dem Typ Cassino vgl. S5/10, Phase IIB; 111–113 Nr. 14 Abb. 124, Männergrab 3285, grosses Exemplar von 21.4 cm Länge, Phase IIB. Vgl. auch die Exemplare mit Querverbindungen zwischen den beiden parallelen Nadelteilen Typ 320E3b1b: De Natale 1992, 84 f. Nr. 5 Abb. 116, Frauengrab 3247, Phase II; 89 Nr. 4 Abb. 116, Frauengrab 3252, Phase IIA; 91 Nr. 1 Abb. 116, Grab 3256, Phase II; 97–101 Nr. 30 Abb. 117, reiches Frauengrab 3266, Exemplar aus Bronze, Phase IIB; 108 f. Nr. 10 Abb. 125, reiches Frauengrab 3280, Exemplar aus Bronze, Phase IIA.

945 Melandri 2011, 342 f. Typ 132 V1; Kilian 1970, Taf. 96 Nr. 8h; 203 Nr. 5b, Gräber A341 und G33.

ganzen IFe2 Periode. Die gleiche Form existiert auch in der Ausführung aus Bronze⁹⁴⁶.

Die zahlreichen Fragmente des Exemplars aus Strada 17 (S17/11, Taf. 71) gehören zum Bügel, zu den beiden Federn und zu den beiden parallel verlaufenden Nadeln. Sie erlauben eine Rekonstruktion als grossformatige Schlangenfibel *a gomito* mit Bronzedrahtumwicklung, doppelter Feder und doppeltem Nadelansatz. Die Reste des Bügels scheinen weder einen rhombischen Querschnitt noch dornartige Bügelerweiterungen aufzuweisen⁹⁴⁷. Beide Nadeln sind mit Bronzedraht umwickelt und durch eine Reihe von Häkchen aus Bronzedraht verbunden, so dass eine wellenförmige, plastische Verzierung entsteht. Die aussergewöhnliche Verzierung ist in der Macchiabate-Nekropole in einem weiteren, ebenfalls grossformatigen Exemplar dieser Form aus dem Deposito Centrale des Cerchio Reale nachgewiesen⁹⁴⁸. Eine Reihe von Exemplaren mit doppeltem Nadelansatz und mit Stegen zwischen den beiden parallelen, mit Bronzedraht umwickelten Nadelteilen ist in der Phase IFe2 einerseits in Kalabrien⁹⁴⁹, andererseits aber hauptsächlich in Kampanien⁹⁵⁰ bekannt. Diese bilden zwar eine Parallele für die Anbringung von Elementen zwischen den

beiden Nadeln, doch unterscheiden sie sich formal markant vom Exemplar aus Grab Strada 17. Näher stehen hinsichtlich der Verzierung zwei eiserne Fibeln mit doppeltem Nadelansatz aus den beiden Kriegergräbern 3090bis und 3284 von Pontecagnano: Ihre Nadeln sind mit Silberdraht umwickelt, der zusätzlich in Wellenform eine Art Brücke zwischen den beiden Teilen bildet. Anders als in Francavilla Marittima besitzen die beiden Fibeln jedoch einen Bogen der Drago-Klasse⁹⁵¹. Die Verzierung *a trinitura* dieser Exemplare ist seit dem dritten Viertel des 8. Jahrhunderts v. Chr. bekannt und wird im 7. Jahrhundert v. Chr. sowohl in Kampanien als auch besonders in den reichen Bestattungen der orientalisierenden Periode in Etrurien Verbreitung finden, meist auf Schlangenfibeln der Drago-Klasse mit rhombischen Elementen am Bügel und Paaren von dornartigen Bügelerweiterungen sowie doppelter Feder. Die Dekoration kann sich – wie in den Exemplaren aus Pontecagnano – auf den Bereich des doppelten Nadelansatzes beschränken⁹⁵² oder ein breites Band bilden, das auch den gesamten Bogen umfasst⁹⁵³. Das Exemplar aus Grab Strada 17 ist an den Anfang dieser Entwicklung zu setzen und kann in die zweite Hälfte des 8. Jahrhunderts v. Chr. und somit an das Ende der Phase IFe2B datiert werden.

946 Ein Exemplar aus der Verfüllung von Grab Est 6, Guggisberg u. a. 2017, 85; entspricht dem Typ Lo Schiavo 377: Lo Schiavo 2010, 754 f. Typ 377 *fibule a gomito con parte posteriore dell'arco bifida*, belegt in Sala Consilina, Torano Castello und Pontecagnano zwischen der Mitte/zweiten Hälfte des 8. und der ersten Hälfte des 7. Jhs. v. Chr.

947 Die erhaltenen Fragmente sind max. 6.7 cm lang, dadurch kann eine rekonstruierte Länge von 18 bis 20 cm angenommen werden. Die Auswüchse am Bogen sind wohl der Korrosion geschuldet, auch in diesem Fall ist daher eine Interpretation als Drago-Fibel eher unwahrscheinlich.

948 Zancani Montuoro 1974–1976, 104 f. Nr. 12 Taf. 42a, L max. 20 cm, die »sottili escrescenze che dovevano formare un ponticello di giunzione e rinforzo fra le due curve dell'arco o fra questo e l'ardigione« sind auf der Abbildung zu erkennen und lassen sich zu einer vergleichbaren Verzierung wie S17/11 rekonstruieren. Das Grab gehört zur ersten Phase von Quondam.

949 De La Genière 1977, 404 Nr. 78 Abb. 17, Torano Castello Grab B1; 409 f. Nr. 7 Abb. 24, Torano Castello Grab B5, Datierung IFe2B nach Ferranti 2009, 66. Als grossformatige Schlangenfibel mit doppeltem Nadelansatz mit Querverbindungen zwischen den beiden parallelen Nadelteilen ist wohl das Exemplar aus Grab Temparella 87 zu rekonstruieren: Zancani Montuoro 1974–1976, 72 Nr. 5–8 Taf. 29; für die Besprechung des Fundes bedanke ich mich bei F. Quondam.

950 Pontecagnano, Exemplare aus Eisen und aus Bronze, in der Regel aus Frauenbestattungen: D'Agostino – Gastaldi 2016, Typ 320E3b1b mit gestrecktem Fuss und Typ 320F1b mit langem Fuss sowie klar erkennbaren rhombischen Elementen und dornartigen Bügelerweiterungen; De Natale 1992, 84 f. Nr. 5 Abb. 116, Frauengrab 3247, Phase II; 89 Nr. 4 Abb. 116, Frauengrab 3252, Phase IIA; 91 Nr. 1 Abb. 116, Grab 3256, Phase II; 97–101 Nr. 30 Abb. 117, Frauengrab 3266, Phase IIB; 108 f. Nr. 10 Abb. 125, Frauengrab 3280, Phase IIA, jedoch mit Boden mit abgeflachtem, rhombischem Querschnitt (Drago-Form); Lo Schiavo 2010, 755 Nr. 6779B bronzene Schlangenfibel Typ 377 mit Silberdrahtumwicklung aus Pontecagnano Männergrab 2238. Vgl. ferner Lo Schiavo 2010, 756 Nr. 6783 Schlangenfibel Typ 378 mit Bogen mit rhombischen Elementen aus San Marzano sul Sarno Grab 533; 759 Nr. 6811 Drago-Fibel Typ 380 aus San Marzano sul Sarno Grab 174.

Eiserne Schlangenfibeln mit oder ohne Bronzedrahtumwicklung, fragmentarisch

Zu den eisernen Schlangenfibeln mit gekrümmter Nadel, Bügel mit rundem Querschnitt, Feder und/oder Öse sowie kurzem bis gestrecktem Fuss gehört eine Reihe von Fragmenten, die sich Bügel, Federn, Ösen oder Füßen zuweisen lassen. Die Exemplare können eine Verzierung aus feinem Bronzedraht aufweisen, der um die eisernen Teile gewickelt ist. Alle Exemplare sind nur fragmentarisch erhalten und korrodiert, keine dieser Fibeln ist vollständig rekonstruierbar. Eine genauere typologische Einordnung ist aufgrund des Fehlens bezeichnender Elemente nicht möglich: es könnte sich um Schlan-

951 Grab 3090bis: D'Agostino – Gastaldi 2012, 400 f.; Aurino – Gobbi 2012, 815 Abb. 3; Grab 3284: De Natale 1992, 109–111 Nr. 11 Abb. 123, Phase IIB. D'Agostino – Gastaldi 2016, 37 Typ 320F1b Drago-Fibel mit Feder, doppeltem Nadelansatz und langem Fuss, belegt aus Bronze, Silber, Gold und Eisen, Phase IIB.

952 D'Agostino – Gastaldi 2016, 37 Typ 320F1b, Phase IIB; Guidi 1993, 50 Abb. 14, 3 Typ 108C, Phasen Veio IIIB2–IIC (entspricht Toms 1986, Abb. 29 Typ III/15, Phase Veio IIB–IIC); Delpino 1977, 475 Abb. 4, 56, Bisenzio Olmo Bello Grab 8 und Polledrara Grab 13, Phase IIB2; Dore 2004, 266 Taf. 12 Typ 36, Phase Bologna IIC; Colombi 2018, 159 Typ B2.4b Taf. 65, 5 Exemplar aus Vetulonia Tomba a fossa 2 della Sagrona, Phase Vetulonia IIA, letztes Viertel des 8. Jhs. v. Chr.

953 Formigli 2003, 94–106 Abb. 4–32; Cristofani – Martelli 1983, 268 f. Nr. 55; Babi – Peltz 2013, 239–244 Nr. 2 Taf. 3, Tarquinia Tomba del Guerriero, Übergang vom dritten zum letzten Viertel des 8. Jhs. v. Chr.; von Eles 2002, 174 Nr. 190, Verucchio Grab Lippi 89; Minto 1921, 195 Abb. 8 Taf. 13, 4 Marsiliana d'Albegna Circolo di Perazzeta; Cygielman – Pagnini 2006, 130 f. Vetulonia Circolo del Tridente; Colombi 2018, 159 Typ B2.4b Taf. 65, 6 Exemplar aus Vetulonia Circolo del Tridente, Phase Vetulonia IIB, Anfang des 7. Jhs. v. Chr.

genfibeln mit Feder und Öse (ital. *ad occhiello*) oder auch um Exemplare *a gomito* handeln.

Fragmente von Federn von Schlangenfibern stammen aus den Gräbern Strada 4 (S4/59–61, Stifte mit und ohne Bronzedrahtumwicklung, Feder und Nadelhalter⁹⁵⁴), Strada 5 (S5/15, Fuss und Feder, mit Bronzedrahtumwicklung), Strada 8 (S8/30–32, Feder und Stifte), Strada 13 (S13/9, Nadel und Feder), Strada 15 (S15/3, Feder mit Bronzedrahtumwicklung), Strada 16 (S16/7, Stift und Feder mit Bronzedrahtumwicklung), Strada 17 (S17/12, Bügel, Nadel, Fuss und Feder mit Bronzedrahtumwicklung) (Taf. 22. 28. 40. 55. 62. 66. 71).

Schlangenfibern mit Feder und Öse gelten als typische Form der Phase IFe2A, die Form mit *gomito* ist seit dem späten IFe2A und bis zum Ende des 8. Jahrhunderts v. Chr. verbreitet⁹⁵⁵. Im Laufe des IFe2B scheint auch die Feder bei Schlangenfibern zu verschwinden und durch einen zweiten *gomito* ersetzt zu werden – oft wird der hintere Bügelabschnitt bzw. der Nadelansatz bandförmig⁹⁵⁶.

Eiserne Fibelfragmente, wahrscheinlich von Schlangenfibern

Eine Gruppe von eisernen Stiften und Nadelhalterfragmenten kann aufgrund ihrer Form wahrscheinlich Schlangenfibern zugeschrieben werden. Es handelt sich um Fragmente von eisernen Stiften und Fibelfüssen, die wohl als Schlangenfibern mit gekrümmter Nadel, Feder und Öse oder *gomito* sowie kurzem bis gestrecktem Fuss zu deuten sind. Die Exemplare können eine Verzierung aus feinem Bronzedraht aufweisen, der um das Eisen gewickelt ist. Alle Exemplare sind bloss fragmentarisch erhalten und korrodiert, keine Fibel ist vollständig rekonstruierbar. Eine genauere Einordnung ist aufgrund des Fehlens von typologisch aussagekräftigen Elementen (Feder, Öse, *gomito*, doppelter Nadelansatz) nicht möglich. Die Fragmente stammen aus den Gräbern Strada 2 (S2/33, Nadelhalter und Stifte mit und ohne Bronzedrahtumwicklung), Strada 5 (S5/20. 22. 23)⁹⁵⁷, Strada 17 (S17/13. 14, Eisenstifte) und Strada 19 (S19/12, Stiftfragmente mit Bronzedrahtumwicklung) (Taf. 14. 29. 30. 71).

Camilla Colombi

Fibeln mit parallelen Bügeln und Nadeln aus Eisen

In Grab Strada 11 kam ein grosses Eisenfragment zutage (S11/27, Taf. 50), das aus zwei sich kreuzenden Stiften und einer Niete zu bestehen scheint. Dabei könnte es sich um den Mittelteil einer Vierspiralfibel mit Bügel aus Eisen handeln. Während in Francavilla Marittima mehrere Vierspiralfibern mit einem Bügel aus Eisen belegt sind⁹⁵⁸, wurden Exemplare komplett aus Eisen bisher nur in der Nekropole Valle Sorigliano (Santa Maria d'Anglona, Tursi) nachgewiesen⁹⁵⁹. Diese scheinen alle in die Phase IFe2A zu datieren⁹⁶⁰.

Sven Billo

3.2.9 Weitere Trachtbestandteile und Schmuck aus Eisen

Zylindrische Glieder

Aus Grab Strada 13 stammen zwei zylindrische Glieder mit Mittelrippe aus Eisen (S13/10. 11, Taf. 55). Ihre Dimensionen (1.3–1.4 cm Länge und 0.8–1 cm Durchmesser) sowie die Auffindung zusammen mit formgleichen Elementen aus Bronze (S13/7. 8) und doppelkonischen Drahtperlen (S13/3–5) im Bereich des Oberkörpers der Verstorbenen lassen die Annahme zu, dass es sich um Elemente einer Kette handelt. Vergleichbare Kettenteile aus Eisen sind aus Grab 30 von Torre Mordillo (Spezzano Albanese) bekannt⁹⁶¹.

Sven Billo

Ring

Zwei Fragmente eines eisernen Ringes mit rautenförmigem Querschnitt wurden im mittleren Bereich der Bestattung Strada 16 geborgen (S16/8, Taf. 66). Die Funktion des Objektes und seine Zugehörigkeit zu einer Fibel oder einem anderen Gegenstand – etwa zusammen mit den Eisenstiften (S16/11) – ist angesichts der Fragmentierung der übrigen Beigaben nicht bestimmbar. Ähnliche, jedoch bronzene Ringe mit rautenförmigem Querschnitt werden als sog. *anelli di sospensione* angesprochen⁹⁶².

Camilla Colombi

Fingerspirale

Fingerspiralen aus einem mehrfach gewickelten, dünnen eisernen Band stammen aus den Gräbern Strada 4 (S4/62) und Strada 19 (S19/13) (Taf. 22. 77). In ihrer Form und Dimen-

954 Möglicherweise als Schlangenfibel zu deuten ist S4/59, obwohl das Fragment von Feder und bandförmigem Bügel auch zu einer Fibel mit flachem, zur Nadel parallelem Bügel gehören könnte, wie etwa eine Vierspiralfibel mit Eisenfuss oder eine Fibel mit Aufsatz aus Knochen/Bein. Vgl. Lo Schiavo 1977–1979, 103 f.; Lo Schiavo 1983/1984, 117. 119. 144–146. 155; Quondam 2009, 149 Anm. 52 Abb. 1, 11. 12.

955 Peroni 1979, 197; Ferranti 2005, 462 Anm. 10; Quondam 2009, 144 f. Anm. 22 Abb. 1, 9; Quondam – Ferranti 2014. Siehe auch den Abschnitt zu den eisernen Schlangenfibern *a gomito*.

956 Quondam – Ferranti 2014; Quondam 2009, 141–144 Abb. 1, 10. 14.

957 S5/20. 22: sieben Nadelhalter und weitere Stiftfragmente, die nicht zu den bereits angesprochenen Fibeln aus diesem Komplex gehören; S5/23: Eisenstifte mit Bronzedrahtumwicklung, die zu keiner der bereits erwähnten Fibeln zu gehören scheinen.

958 Dieser Typ ist sogar nach Francavilla Marittima benannt; vgl. Typ 449 nach Lo Schiavo 2010, 877 f.

959 Ferranti – Quondam 2015, 58; Frey 1991, 22. 27 Taf. 10. 31.

960 Quondam 2009, 145 Anm. 31.

961 Cerzoso – Vanzetti 2014, 223 Nr. 752. 753 Taf. 45 *vaghi a barilotto*.

962 Vgl. etwa Cerzoso – Vanzetti 2014, 132 Nr. 147. 148; 153 Nr. 274; 163 Nr. 335; 174 Nr. 401; 175 Nr. 409; 182 Nr. 449; 195 Nr. 517 an eine Fibel gehängt; 230 f. Nr. 809–813. 816–818; 241 Nr. 889; 247 Nr. 943. 944.

sion entsprechen sie den bronzenen sog. Fingerspiralen, die mehrfach in Frauen- und Kindergräbern der Macchiabate-Nekropole vorkommen⁹⁶³. Eiserne Exemplare sind weniger häufig belegt, kommen jedoch sowohl in Francavilla Marittima als auch in Torre Mordillo (Spezzano Albanese), Torano Castello und Valle Sorigliano (Santa Maria d'Anglona, Tursi) vor⁹⁶⁴.

Sven Billo, Camilla Colombi

Zierscheibe

Eine in der Mitte perforierte, flache Eisenscheibe lag zentral im Bereich des Oberkörpers der Bestattung Strada 13 (13/12, Taf. 55)⁹⁶⁵. Sie weist einen äusseren Durchmesser von ca. 10.8 cm auf. Aufgrund des Erhaltungszustandes und der stark korrodierten Oberfläche lässt sich die Herstellungstechnik nicht beurteilen. Parallelen für Form und Material scheinen bisher zu fehlen. Die Form ähnelt verzierten Exemplaren aus Bronze, die jedoch oft einen leicht kegelförmigen Aufbau aufweisen⁹⁶⁶.

Sven Billo, Camilla Colombi

3.2.10 Waffen und Geräte aus Eisen

Schwert aus Eisen

Das einzige Schwert aus dem Areal Strada stammt aus Grab Strada 17 und wurde aufgrund des schlechten Erhaltungszustandes in einem Gipsblock geborgen und nicht weiter freigelegt (S17/15, Taf. 72)⁹⁶⁷. Es handelt sich dabei um ein Griffdornsword von ca. 60 cm Länge⁹⁶⁸. Die ca. 46 cm lange Klinge hat einen rautenförmigen Querschnitt und gerade, sich zur Spitze hin regelmässig verjüngende Kanten. Der schlecht erhaltene Griff bestand ursprünglich aus vergänglichem Material (vielleicht Holz oder Knochen), erhalten ist nur der fragmentierte Griffdorn aus Eisen⁹⁶⁹.

963 Siehe Kapitel 3.2.6 »Spiralen«.

964 Zancani Montuoro 1974–1976, 23 Nr. 38. 39 Taf. 5b, Temparella 60; Guggisberg u. a. 2018, 84, Grab Est 5. Frey 1991, 21 Taf. 6; Cerzoso – Vanzetti 2014, 221 f. Nr. 741–748 Taf. 45; de La Genière 1977, 403 Abb. 17; Bianco u. a. 1996, 52 Nr. 1.6.24 Abb. S. 43, Valle Sorigliano (Santa Maria d'Anglona, Tursi) Grab 28.

965 Vermutlich gehören auch die Blechfragmente S13/13 zu dieser Scheibe.

966 Siehe z. B. Cerzoso – Vanzetti 2014, 205 f. Nr. 572. 573, sind vielleicht mit einem Kopfschmuck in Verbindung zu bringen; Guzzo 1975, 136–138 Typ 20. Eine flache Bronzescheibe kam auch in der Macchiabate-Nekropole in Grab Est 9 zum Vorschein: Guggisberg u. a. 2018.

967 Die Dokumentation wurde anhand der Röntgen- und CT-Bilder erstellt. Für die Röntgen- und CT-Aufnahmen sind wir F. Odoguardi vom Krankenhaus G. Chidichimo in Trebisacce sehr dankbar.

968 Für die Form siehe Bianco Peroni 1970, z. B. 78 f., früheisenzeitliche Griffdornsworder.

969 Die Deutung einiger grösserer Eisenbleche (S17/16), die westlich des Schwertes auf Griffhöhe zum Vorschein gekommen sind, ist unklar. Es könnte sich um verlagerte Fragmente des Griffes oder der Klinge oder um Teile einer Aufhängevorrichtung handeln

In der Macchiabate-Nekropole sind Schwerter und Dolche selten belegt⁹⁷⁰. Das Exemplar ist darüber hinaus als Langsword anzusprechen und gehört, zusammen mit dem Griffzungensword aus Grab Est 1 und einem weiteren Langsword aus Grab Est 6, zu den bisher einzigen Belegen dieser Waffenklasse in Francavilla Marittima⁹⁷¹. Schwerter sind allgemein eine besondere Erscheinung im Waffenspektrum der oinotrischen und süditalischen Nekropolen der Eisenzeit. Exemplare aus Eisen mit Griffdorn oder Griffzunge, die von vergänglichem Material ummantelt sind, kommen vereinzelt an anderen Fundstellen in Kalabrien und in der Basilikata vor. Vergleichbar ist die Form des langen Griffdornes vom Kurzsword aus Grab 350 von Incononata (San Teodoro, Pisticci), auf dem sich Fragmente des Griffes aus Knochen erhalten haben⁹⁷². Schwerter mit langem rechteckigem Griffdorn, jedoch mit kürzeren Klingen, sind in Pontecagnano in der Phase IFe2 gut belegt⁹⁷³. Eine Griffzunge besitzen dagegen die schmalen Langsworder des Typs Naue II/Craco, die vereinzelt in Incononata (San Teodoro, Pisticci), Valle Sorigliano (Santa Maria d'Anglona, Tursi), Craco, Guardia Perticara, Francavilla Marittima und – in der Regel mit kürzerer Klinge – in Kampanien vorkommen⁹⁷⁴.

Camilla Colombi

Lanzenspitzen aus Eisen

Unter den Funden aus den Gräbern der Areale Strada und De Leo sind vier eiserne Lanzenspitzen belegt (S5/24. 25; S16/10; S17/17). Sie fanden sich – sowohl links wie rechts des Leich-

970 Zancani Montuoro 1974–1976, 67–81 Abb. 16, bes. 69–72 Abb. 17 Taf. 28 a; 30 c; 31, Temparella 87, Kurzsword oder Dolch L 43 cm, Klinge ca. 30 cm, Griff mit Elfenbein verkleidet; Zancani Montuoro 1974–1976, 99–106 Abb. 21, bes. 99–102, Deposito Centrale Cerchio Reale, L Klinge max. 30 cm, Griff aus Holz mit Bronzehalterung; Guggisberg u. a. 2018, 82, Schwert aus Grab Est 11.

971 Guggisberg u. a. 2016, 59–61 Abb. 4 Taf. 7, 4. 5, Griffzungensword Typ Naue II/Craco aus Männergrab Est 1, ca. 70 cm Länge; Guggisberg u. a. 2017, 85 Abb. 5 Taf. 12, 5, Langsword von ca. 80 cm aus Männergrab Est 6.

972 Chiartano 1994, 46 f. Taf. 84; vgl. auch weitere Schwerter dieser Form, jedoch in stark fragmentiertem Zustand, aus den Gräbern 206, 232, 321, 326 und 455.

973 Aurino – Gobbi 2012, 810–818 Abb. 1–3, Gräber 3090 und 3090bis, IFe2B; D'Agostino – Gastaldi 2012, 406, Grab 538 Phase IFe2A; D'Agostino – Gastaldi 2016, 47 f. Abb. 20 Typ 570A2, Griffdornsword aus Eisen, Griffdorn mit rechteckigem Querschnitt, Griff ursprünglich aus vergänglichem Material, der Abschluss des Griffes ist von einer Eisenscheibe gebildet, die Klinge ist eher kurz, Phase IFe2.

974 Chiartano 1994, 43–49. 136 Taf. 80, Incononata (San Teodoro, Pisticci) Doppelgrab 336, gestört aufgefunden, L 65 cm, L Klinge 53 cm; Frey 1991, 22 Abb. 6, 3 Taf. 12, 1; 53, 2; Frey 1985, 571–577, Nekropole Valle Sorigliano (Santa Maria d'Anglona, Tursi) Männergrab 102, Schwert auf dem Körper des Toten, L über 86.8 cm, mit Holzscheide mit Bronzebandverzierung; Adamesteanu u. a. 1971, 46 Taf. 11; Frey 1985, 571–577 Abb. 4, 3, Craco Grab 6, L 91.5 cm; Bianco – Tagliente 1985, 37, Guardia Perticara Grab 9, L 92.5 cm, mit verzierter Bronzescheide, erste Hälfte des 7. Jhs. v. Chr.; Gug-

nams – jeweils in Kopfnähe, mit der Spitze nach oben, so dass anzunehmen ist, dass die Waffen mit dem hölzernen Schaft jeweils parallel zum Körper niedergelegt worden waren (Taf. 23 Nr. 9; Taf. 63 Nr. 3; Taf. 68 Nr. 3)⁹⁷⁵. Dazugehörige Lanzenschuhe oder Schaftverkleidungen aus nicht vergänglichem Material sind nicht dokumentiert. Lediglich eine Lanzenspitze ist gut erhalten (S17/17), während die anderen in stark fragmentiertem Zustand aufgefunden wurden.

Das nahezu intakte Exemplar aus Grab Strada 17 (S17/17, Taf. 73) besitzt ein langgezogenes lanzettförmiges Blatt mit ausgeprägter Mittelrippe und eine runde Tülle. Die Tülle wird von einem Halterungselement aus dickem Bronzeblech ummantelt, das halbkreisförmige Einlassungen für eine Fixierung am Holzschaft aufweist. Aussergewöhnlich ist die Länge von 43 cm⁹⁷⁶. Vergleichbar sind die Lanzenspitzen des Typs B1a aus Incoronata (San Teodoro, Pisticci), besonders gute Parallelen bilden die Exemplare der Variante B1a1 mit Halterungselement aus Bronzeblech an der Basis der Tülle aus den Gräbern 185 und 264⁹⁷⁷. Formale Parallelen finden sich ausserdem unter den – etwas kleineren (max. Länge 32 cm) – Exemplaren aus Sala Consilina⁹⁷⁸, Roggiano Gravina Grab 1, Torre Mordillo (Spezzano Albanese) Gräber 1 und 126. Letzteres weist ausserdem ein vergleichbares Halterungselement aus Eisenblech am Tüllenrand auf⁹⁷⁹.

Fragmentarisch erhaltene Lanzenspitzen stammen aus den Gräbern Strada 5 und Strada 16. Grab 5 enthielt zwei eiserne Lanzenspitzen, die teilweise zusammengesetzt werden konnten. Das Eisenfragment S5/24 bildet eine 13.2 x 2.4 cm gros-

se Klinge mit rautenförmigem Querschnitt und zugespitztem Ende (Taf. 30). Aufgrund der Dimensionen und der Form ist es als Lanzenspitze anzusprechen. Einer zweiten Lanze zuzuschreiben sind die Fragmente S5/25. Diese bestehen aus zwei 7.6 und 4 cm langen, zusammengesetzten Klingensegmenten mit rautenförmigem Querschnitt, aus Eisenblechfragmenten mit Resten der Mittelrippe und aus einem Fragment der Tülle (Taf. 30). In Grab 16 kam eine Ansammlung von Eisenblechfragmenten in einem Bereich von ca. 20 cm Länge zum Vorschein (S16/10, Taf. 67). Unter den Fragmenten konnten Teile einer Spitze identifiziert werden, die sich am nördlichen Ende der Ansammlung befand, allerdings fehlen eindeutig ansprechbare Teile der Mittelrippe oder der Tülle. Die Lage der Fragmente mit Spitze nach oben und die Masse des Objektes sprechen für eine Deutung als Lanzenspitze⁹⁸⁰. Eine typologische Zuschreibung der drei Exemplare aus Strada 5 und Strada 16 ist aufgrund des schlechten Erhaltungszustandes nicht möglich.

Camilla Colombi

Äxte und Beile aus Eisen

Schaftlochaxt

Zwei Schaftlochäxte befinden sich unter den Funden aus den Arealen Strada und De Leo. Beide gehören zur Gruppe der Exemplare mit ovalem Loch und symmetrischer Klinge, der meistverbreiteten Form von Schaftlochäxten des 8. Jahrhunderts v. Chr.⁹⁸¹.

Das Exemplar aus Grab Strada 17 (S17/18, Taf. 73) ist durch die regelmässige trapezförmige Klinge, den leicht asymmetrischen Rücken und das ovale, fast elliptische Loch gekennzeichnet. Die symmetrischen Klingenträger verlaufen geradlinig, die Schneide ist konvex. Die Form besitzt gute Parallelen unter den Äxten aus den anderen Männergräbern der Macchiabate-Nekropole, insbesondere sind die Schaftlochäxte aus den Bestattungen Temparella 70, 79 und 87 sowie Uliveto 11 und 12 gut vergleichbar⁹⁸². Das massive Objekt ist 20 cm lang und hat ein Gewicht von ca. 1 Kilo. Zur Axt gehört wohl eine Reihe von Bronzebändern, die als Verzierung des Holzgriffes dienten (S17/10) – bisher ein Unikum in Francavilla Marittima, das jedoch Parallelen in Etrurien besitzt⁹⁸³.

gissberg u. a. 2016, 59–61 Abb. 4 Taf. 7, 4, 5, Francavilla Marittima Männergrab Est 1, ca. 70 cm Länge. Siehe Frey 1985 für weitere Vergleiche insbesondere aus dem griechischen Raum. Für Kampagnen siehe: Kilian 1970, 140 f. Typ L6a, Griffzungenschwerter mit Pilzknauf jedoch mit eher kurzer Klinge, Sala Consilina Phasen I und IIA, Gräber San Antonio Grab 29 und San Nicola 27; Gastaldi 1979, 20–22 Abb. 6, San Valentino Torio Grab 180; D'Agostino – Gastaldi 2016, 47 f. Pontecagnano Typ 570A1b Abb. 20, Griffzungenschwerter aus Eisen, Griff aus Knochen oder Elfenbein, eher kurze Klinge. Zahlreiche Exemplare aus Bronze: Bianco Peroni 1970.

975 S17/17: Lanze zur rechten Seite des Verstorbenen; S5/24 und 25: beide Lanzen auf der linken Seite; S16/10: vermutlich Lanze auf der linken Seite.

976 Vergleiche: Zancani Montuoro 1983/1984, 75–78 Nr. 13, Grab Temparella 79, L 42 cm; Zancani Montuoro 1977–1979, 83–88 Nr. 9, Grab Vigneto 7, L 46 cm; 54 f. Nr. 5, Grab Uliveto 5, L 52 cm. Vgl. Auch die neu gefundene lange Lanzenspitze aus Grab Est 10, Guggisberg u. a. 2018a, 79. 85.

977 Chiartano 1994, 43–48 Taf. 15. 48, Exemplare des Typs B1a aus den Gräbern 150, 185, 264, 321, 454, 455.

978 Kilian 1970, 132 f. Typ L2a, Lanzenspitze mit olivenblattförmiger Klinge mit spitzovalem Querschnitt aus Eisen, belegt in der Phase IIA bis zum Anfang der oinotrisch-geometrischen Phase. Besonders nahe ist die Variante 1 mit besonders kräftiger Mittelrippe aus der Phase IIB.

979 Carrara – Guzzo 1981, 447 Abb. 4, 11; 449 Nr. 11, Roggiano Gravina Grab 1, L 32 cm, im gleichen Grab eiserne Schlangenfibel mit bandförmigem Bügel, Datierung IFe2B2; Cerzoso – Vanzetti 2014, 138 Nr. 177, Torre Mordillo (Spezzano Albanese) Grab 1, L 31.2 cm, Datierung IFe2A; 188 f. Nr. 483, Torre Mordillo (Spezzano Albanese) Grab 126, Lanzenspitze mit Halterungselement aus Eisen, L 32.5 cm, Datierung IFe2B.

980 Die genaue Lage und Masse konnten dokumentiert werden, da die Fragmente zusammen mit dem nahe gelegenen Messer S16/9 in einem Gipsblock geborgen und im Museum freigelegt wurden.

981 Carancini 1984, 196 f. 205. 220.

982 Zancani Montuoro 1983/1984, 51–53 Nr. 8 Abb. 13 Taf. 32b, Grab Temparella 70, 16.5 x 8 cm; Zancani Montuoro 1983/1984, 78 Nr. 15 Taf. 48, Grab Temparella 79, 17 x 8 cm; Zancani Montuoro 1974–1976, 73 Nr. 14, Grab Temparella 87, 19 x 9.5 cm; Zancani Montuoro 1977–1979, 62 Taf. 38d, Grab Uliveto 11/12.

983 Esposito 1999, 53 f. Abb. 46, Casale Marittimo Grab A; 50–61. Abb. 51. 53, Gräber H1/H2; Carancini 1984, 237 Nr. 4093 Tüllenbeil aus Chiusi, vgl. auch Nr. 4165, aus Chiusi, Eisengriff mit Intarsien aus anderen Materialien.

Die zweite Schaftlochaxt stammt aus Grab De Leo 1 (DL1/12, Taf. 82). Das 17 cm lange und 875 g schwere Exemplar hat eine nahezu rechteckige Form mit elliptischem Loch und leicht asymmetrischem, verdicktem Axtrücken. Die vergleichsweise kurze Klinge hat gerade, symmetrisch verlaufende Ränder und eine konvexe Schneide. Eine gut vergleichbare Form weist das Exemplar aus Grab Temparella 41 auf⁹⁸⁴.

Schaftlochäxte sind eine für Süditalien und insbesondere für Kalabrien und Lukanien gut belegte Form⁹⁸⁵. Mehrere Exemplare stammen aus Hortfunden, was als Argument für eine Deutung als Arbeitsinstrumente aufgeführt wurde⁹⁸⁶. Eine genaue Funktionszuweisung dieser Werkzeuge ist jedoch schwierig, da Geräte gleicher Form sowohl als Arbeitsutensilien, als Jagdwaffen, als Kriegswaffen, als Opfergeräte und auch als Insignien verwendet werden konnten. Schaftlochäxte mit paralleler Orientierung von Griff und Klinge werden in der Regel als Hiebwerkzeuge gedeutet, insbesondere wenn es sich um eiserne Exemplare handelt. In Betracht kommt aber auch eine Verwendung als Opfergerät⁹⁸⁷. Ist die Schneide rechtwinklig zum Griff angebracht, wie in einem Exemplar aus dem Deposito Centrale des Cerchio Reale, ist eine Deutung als Gerät für das Zimmermannshandwerk und die Holzverarbeitung möglich⁹⁸⁸. In Francavilla Marittima kann man eine häufige Vergesellschaftung der eisernen Schaftlochäxte mit anderen Axt- und Beilformen sowie mit Geräten wie Gerteln oder Meisseln beobachten, was zum einen als Beweis für die unterschiedliche Verwendung der Werkzeuge und zum anderen für eine Deutung als Arbeitsinstrumente spricht⁹⁸⁹.

Dechsel

Als Dechsel oder *ascia a lama piatta* wird ein eisernes Gerät mit flacher rechteckiger Klinge, breiter horizontaler Schulter und länglichem, ebenfalls rechteckigem und flachem Griffdorn bezeichnet. Ein Exemplar von 15,3 cm Länge und mit einem Gewicht von 250 g ist im Areal Strada belegt (S17/19, Taf. 73). Die Klingenträger verlaufen parallel und geradlinig, die Schneide ist leicht konvex und der Griffdorn verjüngt sich leicht zum Ende hin.

984 Zancani Montuoro 1980–1982, 115 Nr. 19 Abb. 42, 14,5 × 6,6 cm.

985 Man vergleiche z.B. Torre Mordillo (Spezzano Albanese): Cerzoso – Vanzetti 2014, 190 Nr. 492, Grab 22, L 15,7 cm, Gewicht 649 g; 190 Nr. 483. 494, Streufunde. Pontecagnano: D'Agostino 1977, 10 R30 Abb. 6, Grab 926; 14 R32. R33 Abb. 14, Grab 928; D'Agostino – Gastaldi 1988, Typ 53A Taf. 24; Aurino – Gobbi 2012, 823–827; D'Agostino – Gastaldi 2012, 397 Typ 530A Abb. 4; D'Agostino – Gastaldi 2016, 45 f. Typ 530A2 Abb. 19, Phase IFe2B, mit asymmetrischer Klinge.

986 Carancini 1984, 245. Mittlerweile sind jedoch mehrere Exemplare aus Grabkomplexen bekannt, wie die in diesem Abschnitt aufgeführten Vergleiche beweisen.

987 Zur Funktion der Äxte und Beile: Carancini 1984, 236–245; Iaia 2006, 193 f.; D'Agostino 1977.

988 Zancani Montuoro 1974–1976, 99 Nr. 1 Taf. 41, *Ascias a tagli ortogonali*, L max. 14,2 cm, Br max. 3,5 cm.

989 Siehe Luppino u. a. 2012, 665 Abb. 7 für die unterschiedlichen Kombinationen; Kapitel 4.2.3 für die Deutung der Beigabe von Werkzeug.

Die Dechseln dieser Form bilden eine homogene Gruppe von Geräten, die mehrfach in Süditalien – insbesondere im oionotrischen Bereich – belegt ist. In der Macchiabate-Nekropole sind weitere vier Exemplare bekannt⁹⁹⁰, nahezu identisch sind die Geräte aus Torre Mordillo (Spezzano Albanese), Roggiano Gravina, Incoronata (San Teodoro, Pisticci) und Pontecagnano⁹⁹¹. Einige Exemplare aus Pontecagnano weisen noch Teile eines Eisenbandes auf, das als Halterungselement zwischen dem Griffdorn und dem Schaft des Gerätes diente⁹⁹². Ein ähnliches Fixierungssystem kann auch für die Funde aus Francavilla Marittima angenommen werden.

Geräte mit flacher Klinge und Griffdorn wurden aufgrund ihrer Vergesellschaftung mit Werkzeugen zur Holzverarbeitung als Arbeitsutensilien gedeutet⁹⁹³. Die Kombination mit anderen Äxten und Beilen ist in der Macchiabate-Nekropole mehrfach belegt: In vier von fünf Fällen wurde die Dechsel unmittelbar zusammen mit der Schaftlochaxt gefunden. Oft befanden sich unter den Beigaben weitere Werkzeuge wie Gertel, Meissel oder Ahlen⁹⁹⁴. Dies macht deutlich, dass die Geräte wohl unterschiedliche Funktionen besaßen.

Camilla Colombi

Eisenmesser und Klingen

Die typologische Einordnung der Messer aus den Arealen Strada und De Leo ist durch den schlechten Erhaltungszustand der Exemplare erschwert. Insgesamt sind sieben Klingen belegt, die aufgrund des meist dreieckigen Querschnittes als einschneidige Messer angesprochen werden können (S16/9, S15/4, S8/33, S5/26, S5/27, ausserdem die fragmentarisch erhaltenen Exemplare S17/20 und DL1/13). Keines der Messer ist vollständig erhalten, insbesondere fehlt der Griff – aus vergänglichem Material – bei nahezu allen Exemplaren (Taf. 30. 41. 62. 67. 73. 82).

990 Zancani Montuoro 1980–1982, 115 Nr. 20 Abb. 42, Grab Temparella 41, L 15 cm; Zancani Montuoro 1983/1984, 49–53 Nr. 4 Taf. 31–33a, Grab Temparella 70, fragmentarisch, vgl. Interpretation als Dechsel bei Luppino u. a. 2012, 665 Abb. 7; Zancani Montuoro 1983/1984, 78 Nr. 16, Grab Temparella 79, L 12 cm; Zancani Montuoro 1977–1979, 88 Nr. 10 Taf. 51b, Grab Vigneto 7, L 12 cm.

991 Roggiano Gravina: Carrara – Guzzo 1981, 456 Nr. 3 Abb. 13, Grab 4; 457 f. Nr. 10 Abb. 14, Grab 5, Doppelgrab. Incoronata (San Teodoro, Pisticci): Chiartano 1994, 48, Grab 455. Torre Mordillo (Spezzano Albanese): Cerzoso – Vanzetti 2014, 190 Nr. 493. 494, Streufunde, L 15,6 cm und 14,8 cm. Pontecagnano: D'Agostino 1977, 11 R32 Abb. 6, Grab 926, trapezförmige Klinge; 14 R34 Abb. 17, Grab 928; Aurino – Gobbi 2012, 802–810 Abb. 2, Grab 3090; D'Agostino – Gastaldi 2016, 54 Typ 520A Abb. 19, Phase IFe2.

992 Cinquantaquattro 2001, 27 Nr. 15 Taf. 19, Grab 4890.

993 Iaia 2006, 194.

994 Die Gräber Strada 17 sowie Temparella 41, 70 und 79 enthielten eine Schaftlochaxt und eine *ascia a lama piatta*. Die Dechsel ist auch im Grab Vigneto 7 zusammen mit zwei Ahlen belegt. Vgl. Grab Roggiano Gravina 5 mit Dechsel und Meissel; Grab Pontecagnano 3090 mit Dechsel, Schaftlochaxt, Sichel sowie Lanze und Schwert: Aurino – Gobbi 2012, 802–810; s. auch Kapitel 4.2.

Zu grossen Teilen wiederzusammengesetzt ist das massive Eisenmesser aus Grab Strada 16 (S16/9, Taf. 67). Mit einer Länge von ca. 22 cm kann das Gerät mit den grossformatigen Exemplaren aus den Gräbern Temparella 87, 41 und 20 verglichen werden, gehört demnach zu einer Form, die in Krieger- und Männerbestattungen vorkommt⁹⁹⁵. Die recht dicke, einschneidige Klinge mit oben abgerundetem dreieckigem Querschnitt verjüngt sich auf einer Seite und endet in einer eher stumpfen Spitze. Wenige Zentimeter vor der Spitze ist eine Durchlochung gut zu erkennen: denkbar ist daher, dass die stumpfe Spitze als Griffdorn zu deuten ist, an dem ein Griff aus vergänglichem Material befestigt war. Auf der Oberfläche der Klinge ist an einigen Stellen eine stark korrodierte Schicht aus dünneren Blechen zu erkennen, die eventuell als Reste einer Scheide zu identifizieren sind.

Ein besonders kleines Eisenmesser stammt aus dem Kindergrab Strada 8 (S8/33, Taf. 40). Die Klinge ist stark fragmentiert und besteht aus einzelnen flachen Eisenplättchen, die im Befund länglich angeordnet waren. Vom Griff haben sich an einen Eisenstift korrodierte organische Reste – eventuell Holz – erhalten. Die Klinge ist das einzige Schneidewerkzeug, das aus einem Kindergrab der Macchiabate-Nekropole geborgen wurde. Die Lage des Messers in Grab Strada 8 unterhalb der Schale (S8/4) lässt an einen Zusammenhang mit einer Speisebeigabe denken (Taf. 37 Nr. 3). Ob die Fragmente einst zu einer ein- oder zweischneidigen Klinge – Messer bzw. Dolch – gehörten, ist nicht mit absoluter Gewissheit zu beurteilen. Aufgrund der Vergleiche aus den Gräbern Temparella 41, 61/62, 63 und 87 ist jedoch eher von einem Messer auszugehen⁹⁹⁶. Bei den Exemplaren, die weitere Bestimmungen zulassen (vor allem jene aus Temparella 41 und 61/62), zeigt sich ein Griffdorn, mit dem die Klinge in einem Griff aus organischem Material befestigt war.

Ebenfalls Teil eines kleinformatigen Messers war das 5.9 cm lange Blechfragment mit rhomboidem Querschnitt aus Grab Strada 15 (S15/4, Taf. 62). Aufgrund des Fehlens von weiteren Fragmenten dieses Objektes kann jedoch keine typologische Zuschreibung erfolgen.

995 Zancani Montuoro 1974–1976, 71 f. Nr. 4 Taf. 30b, Grab Temparella 87, Messer mit Griffdorn, *in situ* waren noch Reste des Holzgriffes erkennbar, L 24.4 cm, L Klinge 20 cm; Zancani Montuoro 1980–1982, 113 Nr. 1 Abb. 42, Grab Temparella 41, Eisenmesser mit Griffdorn und Bronzeniete, ursprünglich Holzgriff, L 18.5 cm, L Klinge 14.3 cm; 61–63 Nr. 5, Grab Temparella 20, die Bestimmung als Messer mit langer Klinge geht auf F. Quondam zurück; siehe auch Zancani Montuoro 1977–1979, 29 Nr. 5, Grab Cerchio Reale 1, Messer von 30 cm Länge, L Klinge 20 cm, bei Luppino u. a. 2012 als Lanzenspitze angesprochen. Vgl. auch Guggisberg u. a. 2018a, 78 f. Abb. 4, Grab Est 10 enthielt ein Messer von über 20 cm Länge.

996 Zancani Montuoro 1974–1976, 70 Taf. 30b; Zancani Montuoro 1980–1982, 110. 113 Abb. 39.7 Taf. 70. 74; Zancani Montuoro 1983/1984, 30. 38 Abb. 6. 8, 56 Taf. 17. 19. Die oft schlechte Erhaltung von Eisenklingen stellte bereits bei der Grabung von Zancani Montuoro ein grosses Problem dar, wie die Exemplare aus den Gräbern Cerchio Reale 1 oder Temparella 20 zeigen (Zancani Montuoro 1977–1979, 29; Zancani Montuoro 1980–1982, 63). Zancani Montuoro geht generell von Messern aus.

Die Fragmente zweier weiterer Klingen, die wahrscheinlich zu Messern gehört haben, stammen aus dem Kriegergrab Strada 5 (Taf. 30). Die sehr dünne Klinge S5/26 ist 6 cm lang und besitzt einen leicht dreieckigen Querschnitt sowie eine sich regelmässig zuspitzende Form. Die Länge des Objektes kann auf mindestens 10 cm rekonstruiert werden. Eine vergleichbare spitz zulaufende Form besitzt auch die Klinge S5/27. Sie scheint allerdings aus einem dünnen, leicht gebogenen Blech zu bestehen. Ob diese ungewöhnliche Form dem schlechten Erhaltungszustand verschuldet ist, muss offenbleiben. Die Klingensfragmente gehören zu einem Messer oder einem anderen Gerät von ca. 20 cm Länge.

Im Grab De Leo 1 lagen zahlreiche Fragmente von einem länglichen, flachen Gerät, das als Messer von ca. 20–30 cm Länge angesprochen werden könnte (DL1/13, Taf. 82). Im Kriegergrab Strada 17 befand sich schliesslich eine Gruppe von ca. 40 Eisenblechfragmenten (S17/20, Taf. 73) in einem Bereich von ca. 20 cm Länge zur linken Seite des Oberkörpers des Verstorbenen, die als Rest einer Messerklinge angesprochen werden könnten.

Einige Gräber der Areale Strada und De Leo enthielten darüber hinaus Ansammlungen von Eisenblechen, die zu Klingen (Messer, Werkzeuge, Gertel usw.) gehört haben können. In Grab Strada 16 lag eine Gruppe von dicken korrodierten Fragmenten (S16/12, Taf. 67) in einem Bereich von max. 25 cm Länge auf der rechten Seite des Kopfes, in der Nähe von Teilen des verkleideten Holzschafes S16/5. In Grab Strada 17 befanden sich zwei kleinere Ansammlungen von dünnen Blechfragmenten im Bereich des Oberkörpers, die zu zwei Klingen gehört haben könnten (S17/21. 22; Taf. 73). Ihre Form kann allerdings nicht rekonstruiert werden; eine typologische Einordnung ist daher nicht möglich.

Camilla Colombi, Corinne Juon

3.2.11 Gefäss aus Silber

Aus der Macchiabate-Nekropole sind bisher nur vier Silberfunde bekannt. Zwei stammen aus Frauengräbern des Basler Projekts und werden im Folgenden vorgestellt. Bei den übrigen beiden handelt es sich um zwei spiralförmige Fingerringe aus dem Frauengrab Temparella 8⁹⁹⁷.

Die Fragmente der Silberschale S4/63 kamen in einem ca. 30 auf 30 cm grossen Bereich in der Nähe des Schädels der Verstorbenen in Grab Strada 4 zum Vorschein (Taf. 17. 22). Die Schale ist nur unvollständig erhalten, 19 Fragmente konnten geborgen werden. Wenn auch die meisten Fragmente sehr klein sind und keine Merkmale aufweisen, die eine Rekonstruktion der Schale ermöglichen, lässt sich die Form des Objektes anhand dreier besser erhaltener Stücke mit Spuren von Vergoldung⁹⁹⁸ rekonstruieren. Ein Fragment zeigt das Segment

997 Zancani Montuoro 1980–1982, 39.

998 Für die Herstellungstechnik von Silberschalen und Vergoldung vgl. Gumliä-Mair 2002, 123–125. Auf die Technik der Feuervergoldung könnte der hohe Anteil an Quecksilber hinweisen, der bei

eines Omphalos, das zweite weist strahlenförmig verlaufende Rippen auf und das dritte Fragment ist durch einen Knick gekennzeichnet, der vermutlich dem Übergang zwischen Gefässboden und -wandung entspricht. Dadurch konnte eine kleinformatige Omphalosschale mit einem Fries aus strahlenförmig angeordneten, feinen Rippen im Inneren und einem Durchmesser von ca. 13 cm rekonstruiert werden.

Die Silberschale bildet in Francavilla Marittima ein Unikum. Obwohl im kalabrischen Sila-Gebirge Silberlagerstätten bekannt sind, fehlen bisher Indizien auf einen Abbau für die frühe Eisenzeit⁹⁹⁹. Zumindest der Rohstoff für die Silberobjekte wurde demnach höchstwahrscheinlich importiert¹⁰⁰⁰. Die 2014 durchgeführten Blei-Isotopenanalysen konnten die Herkunft des Silbererzes nicht mit Sicherheit festlegen¹⁰⁰¹. Natürliche Erzablagerungen weisen je nach geologischer Beschaffenheit ähnliche Blei-Isotopenzusammensetzungen auf. Aus diesem Grund können verschiedene Lagerstätten in Frage kommen. Vergleichbare Blei-Isotopensignaturen sind für Nordspanien (Asturien) dokumentiert, allerdings kann eine Herkunft aus dem östlichen Mittelmeerraum/Ägäis nicht ausgeschlossen werden¹⁰⁰².

Auch die Form der Schale findet keine passenden Vergleiche aus dem Spektrum der Metallgefässe der Region. Bronzene Omphalosschalen sind zwar in Francavilla Marittima aus den Gräbern Temparella 70, Temparella 88 und De Leo 1 (DL1/5) dokumentiert, doch weist kein Exemplar eine ähnliche Rillenverzierung auf¹⁰⁰³. Sowohl das Material als auch die Form rufen vielmehr Parallelen aus dem Vorderen Orient und

insbesondere aus Zypern in Erinnerung¹⁰⁰⁴. Aufgrund des aussergewöhnlichen Materials kann davon ausgegangen werden, dass das Silbergefäss aus Grab Strada 4 importiert wurde. Die Fragen nach dem Produktionsort und nach der genauen Datierung müssen weiterhin offen bleiben.

Aus Grab Strada 11 stammen vier sehr dünne Silberbleche (S11/32, Taf. 50). Aufgrund der geringen Grösse der Fragmente ist es nicht möglich, Aussagen über den Gegenstand zu treffen, zu dem sie gehört haben.

Sven Billo, Camilla Colombi

3.2.12 Bernstein

Gegenstände aus Bernstein kommen in den eisenzeitlichen Bestattungen der Macchiabate-Nekropole häufig vor. Nahezu die Hälfte der Frauenbestattungen enthielt Schmuck aus Bernstein – meist Kettenglieder und Anhänger¹⁰⁰⁵. Bernstein-elemente sind auch als Verkleidung des Bügels von Fibeln¹⁰⁰⁶ sowie – allerdings in Francavilla Marittima nur vereinzelt – als Verzierung für Ohringe belegt¹⁰⁰⁷. Wahrscheinlich wurden Bernsteinperlen auch auf Textilien aufgenäht, wie der Fund von mehreren Hunderten, meist kleinformatigen Perlen in einigen Frauenbestattungen annehmen lässt¹⁰⁰⁸. In mehreren Kindergräbern kamen ebenfalls Ketten oder einzelne Perlen bzw. Anhänger aus Bernstein zum Vorschein¹⁰⁰⁹. Unter den Männergräbern der Macchiabate-Nekropole scheint die Beigabe von Bernstein nur vereinzelt belegt zu sein¹⁰¹⁰.

Beim Bernstein handelt es sich um ein fossiles Harz. Die chemischen Eigenschaften des Materials ermöglichen Herkunftsanalysen, aus welchen Erkenntnisse über Kontakte

den Blei-Isotopenanalysen festgestellt wurde. Für diese Information bedanken wir uns bei I. M. Villa, Institut für Geologie der Universität Bern.

- 999 Genovese 2009, 60 f. zum Abbau im Sila-Gebirge seit der archaischen Zeit; Osanna – Guzzo 2017, 10.
- 1000 Lippolis 2002, 117; Giumlia-Mair – Rubinich 2002, 21 f. 115–121 bes. 117 zum Import von Silber.
- 1001 Die Probe wurde durch *multicollector plasma-source mass spectrometry* untersucht. Die gemessenen Verhältnisse zwischen ²⁰⁶Pb/²⁰⁴Pb, ²⁰⁷Pb/²⁰⁴Pb und ²⁰⁸Pb/²⁰⁴Pb sind höher als bei der heutigen Erde, was auf eine hohe Uran- und Thorium-Konzentration im Erz hinweist, aus dem das Material stammt. Die Analysen und die Interpretation verdanken wir I. M. Villa vom Institut für Geologie der Universität Bern. Zum Vorgehen siehe Villa 2009.
- 1002 El Milagro und La Profunda in Asturien sind als Kupferlagerstätten in der frühen Bronzezeit bekannt. Ihre besondere Blei-Isotopensignatur weist unmissverständlich auf Uran und Thorium im Erz, was für Sulfdlagerstätten eine Ausnahme ist. Das Fehlen von weiteren vergleichbaren Werten für die Schale aus Francavilla Marittima könnte dem hohen Anteil an Quecksilber im Material geschuldet sein. Die Blei-Signatur des Silbers würde somit durch jene des Quecksilbers verfälscht – eine Verunreinigung, die sich bei der Analyse nur sehr schwer trennen lässt. Vergleichsdaten aus Silberlagerstätten sind ausserdem nur für einige Regionen verfügbar – darunter Spanien. Aus diesem Grund können wir nicht ausschliessen, dass weitere Lagerstätten mit vergleichbaren Werten aus deutlich weniger naturwissenschaftlich erschlossenen Regionen existieren, wie eben der östliche Mittelmeerraum. Siehe auch Kapitel 7.1.
- 1003 Quondam 2014, 31 Abb. 9, 1. 2; Mercuri 2004, 147–155 Typ 1. Für diese Schalen und weitere Vergleiche siehe Kapitel 3.2.4 »Schale«.

- 1004 Markoe 1985; Matthäus 1985, bes. 160–178; Matthäus 2019 sowie Kapitel 2.3.3.
- 1005 Ferranti – Quondam 2016, 60. 69 Abb. 6, in den Gräbern Temparella 8, 88, 60, 63, 67, 1, 27, 39, Strada 1 und Uliveto 16. Dazu kommen die hier behandelten Bestattungen Strada 2, 4, 6 und 11.
- 1006 Lo Schiavo 2010, 358 f. Typ 168 Nr. 2473 aus Grab Temparella 88; 360–371 Typ 169 Nr. 2590. 2591 aus den Gräbern Temparella 8 und 88; 371–384 Typ 170 Nr. 2782. 2783 aus Grab Temparella 27; 388–390 Typ 171 Nr. 2845–2849 aus den Gräbern Temparella 8, Temparella 88 und Uliveto 16.
- 1007 Für Bernsteine aus eisenzeitlichen Kontexten in Kalabrien siehe allgemein Benedetti – Cardoso 2006. Ohringe mit Bernsteinperlen sind z.B. in der Nekropole Valle Sorigliano (Santa Maria d'Angona, Tursi) und in Roggiano Gravina bekannt. Ferranti – Quondam 2016, 58. 69 Abb. 6; Carrara – Guzzo 1981, 446 f. Nr. 4 Abb. 4, Grab 1; 452 Nr. 4. 5; 455 Abb. 12, 4. 5, Grab 3 bis; 457 f. Nr. 3. 5 Abb. 14, Grab 5; 458 Nr. 4; 460 Abb. 16, 4, Grab 6. In der Macchiabate-Nekropole scheint das Fragment S6/12 in Zusammenhang mit einem bronzenen Drahtfragment zu stehen.
- 1008 Siehe etwa Zancani Montuoro 1977–1979, 70–72 Abb. 25, Grab Uliveto 16; Zancani Montuoro 1980–1982, 105–107, Grab Temparella 39.
- 1009 Ferranti – Quondam 2016, 73 Abb. 7, Gräber Temparella 69 und Cerchio Reale 13 mit Ketten und Gräber Temparella 93, 84, 36, 14, 19, 77, 90, 7, 68 sowie Uliveto 2 mit Perlen. Dazu kommen die Perlen aus den Kindergräbern Strada 8, 19 und De Leo 2.
- 1010 Appliken und Perlen wurden in den Gräbern Strada 16 und De Leo 1 gefunden.

Grab	Herkunft
Strada 2	Baltikum und unbestimmte Herkunft
Strada 4	Baltikum
Strada 8	Baltikum
Strada 11	Libanon/Frankreich und unbestimmte Herkunft
Strada 16	Möglicherweise Baltikum

Tab. 3.85 Überblick über die Herkunft des Rohmaterials der Bernsteinanhänger und -perlen.

in prähistorischer Zeit erschlossen werden können¹⁰¹¹. Ausgewählte Bernsteine der Basler Grabungen aus den Gräbern Strada 2, 4, 8, 11 und 16 wurden vom Amber Research Laboratory (ARL) am Vassar College in New York auf ihre Herkunft untersucht¹⁰¹². Alle Proben wurden mittels Infrarotspektroskopie (FTIR), grössere Fragmente zusätzlich mit Gaschromatographie (GCMS) untersucht. Die Ergebnisse zeigen, dass das Rohmaterial der analysierten Anhänger und Perlen grösstenteils aus dem Baltikum stammt (Tab. 3.85). In einem Fall wurden Werte gemessen, die auf eine Provenienz aus dem heutigen Libanon bzw. aus der Auvergne (F) verweisen. Eine kleinere Gruppe von Bernsteinen stammt aus nicht identifizierbaren Lagerstätten. Eine Herkunft aus Sizilien kann jedoch ausgeschlossen werden¹⁰¹³. Die formale Gliederung der Bernsteinfunde der Basler Grabungen orientiert sich an Benedetti – Cardosa 2006. Die Autoren stützen sich auf die von Negroni Catacchio entwickelte Typologie für die nicht figürlichen Bernsteine des Picenums, die über die laterale Ansicht der Perlen erfolgt¹⁰¹⁴.

Anhänger

Anhänger aus Bernstein kommen in den Gräbern Strada 4, 8, 11 und 19 sowie De Leo 1 und 2 vor. Sie wurden sowohl Frauen als auch Männern und Kindern beigegeben. Die Anhänger sind einmal durchlocht: Die Öse befindet sich an dezentraler Lage, in der Regel an einem sich verjüngenden Ende des An-

hängers¹⁰¹⁵. Bei den vorgelegten Exemplaren ist der Bereich der Öse meist nicht vollständig erhalten und die Bestimmung als Anhänger beruht auf der Form.

Es können zwei Typen von Anhängern unterschieden werden. Einerseits Anhänger mit einer abgeflachten und einer gewölbten Seite, die bis zu ca. 2 x 2 cm messen können (S4/64, S11/33, S19/15–17. 19; DL2/9; Taf. 22. 50. 77. 83); andererseits tropfenförmige Anhänger mit rundem bzw. ovalem Querschnitt (S8/34, S19/18, DL1/14, DL2/8, Taf. 40. 77. 82. 83). Ihre Dimensionen können bis zu ca. 3 x 1.5 cm betragen. Ein Exemplar (DL1/14) aus dem Männergrab De Leo 1 ist durch die dezentrale Bohrung als solcher definiert.

Abstandhalter / Schieber

Aus dem Frauengrab Strada 4 stammen fragmentierte Ketten-teile, die aufgrund ihrer abgeflachten Form sowie der Präsenz von mindestens zwei Löchern als Abstandhalter bzw. Ketten-schieber (ital. *distanziatoril/vaghi passafili*) gedeutet werden können (S4/65, Taf. 22)¹⁰¹⁶. Sie legen die Vermutung nahe, dass in Grab Strada 4 zumindest eine mehrreihige Kette mit Bernsteingliedern deponiert war. Eine Bernsteinperle mit zwei Löchern stammt ausserdem aus Grab Strada 1 (S1/5). Ketten-schieber scheinen in der Eisenzeit nur wenig Verbreitung zu finden, sind insbesondere in der Basilikata als Teile von komplexen, mehrteiligen Ketten in Frauenbestattungen des 7. Jahrhunderts v. Chr. – etwa in Alianello (contrada Cazzaiola, Aliano) und Chiaromonte – dokumentiert¹⁰¹⁷.

Perlen

Die meisten auf der Macchiabate-Nekropole gefundenen Bernsteinobjekte weisen eine Bohrung entlang der Längsachse auf und sind demnach als Perlen anzusprechen¹⁰¹⁸. Dies bedeutet allerdings nicht, dass sie unbedingt zu Ketten zu rekonstruieren sind. Perlen können auch auf Textilien aufgenäht sowie als Verkleidungselemente von Fibelbügeln benutzt worden sein. In den Frauen- und Kindergräbern des Areals Strada wurden eine ovale Perle (S2/35, L 1.6 cm, Dm 1.5 cm, Taf. 14)¹⁰¹⁹, mehrere tonnenförmige Perlen (S2/36, S4/66, S8/35. 36; S11/34. 35; Taf. 14. 22. 50)¹⁰²⁰, spindelförmige Perlen (S2/37, S4/67, S8/37, DL2/10, Taf. 14. 22. 83)¹⁰²¹ und Ringperlen (S2/38, S4/68, S11/36. 37; Taf. 14. 22. 50)¹⁰²², sowie eine

1011 Dabei ist nicht nur an direkte Kontakte zu denken, da Handel, Tausch und Schenkungen über viele Stufen ablaufen können. Renfrew – Bahn 2009, 204–205. 210–218. Für eine Zusammenfassung zum Bernsteinhandel siehe Waarsenburg 1995, 404–431; Negroni Catacchio 2009, 200–209.

1012 Die Analysen des ARL werden im Kapitel 7.4 ausführlich besprochen.

1013 Sizilianischer Bernstein soll bei der Verwitterung – sobald Bernstein der Luft ausgesetzt ist, beginnt der Zerfallsprozess – eine schwarze Verwitterungsrinde entwickeln. Einzelne, auf der Macchiabate-Nekropole gefundene Bernsteine weisen eine solche Schwarzfärbung auf. Allerdings gibt es auch Bernstein, der in unverwittertem Zustand bereits eine schwarze Farbe hat. Siehe Grzonkowski 2004, 32; Bellintani – Angelini 2012, 164; Cultraro 2007, 385. 387; Pacciarelli 1999a, 219–222 für ein Bernstein-*panetto* aus Grab 206 von Torre Galli (Drapia), dessen Herkunft aus Sizilien durch Analysen bestätigt werden konnte.

1014 Benedetti – Cardosa 2006, 1573–1587, Abb. 2. 3; Negroni Catacchio 2003, 451–469; s. auch Typologie und Überlegungen zum Handel in Negroni Catacchio u. a. 2006.

1015 Negroni Catacchio 2003, 455–456.

1016 Negroni Catacchio 2003, 459–462 Abb. 2B; Negroni Catacchio u. a. 2006, 1450–1452 Abb. 5; 1458; Benedetti – Cardosa 2006, 1579 f. Abb. 3, das Exemplar aus Strada 4 entspricht am ehesten Typ A.IV mit parallelen Löchern und rechteckiger Form.

1017 Bianco u. a. 1996.

1018 Negroni Catacchio 2003, 451–469; Benedetti – Cardosa 2006, 1579 Abb. 2.

1019 Das Fragmentarische Exemplar könnte zu Typ II oder IV.1 nach Benedetti – Cardosa 2006 gehören.

1020 Maximale erhaltene Dimensionen L 2.2 cm, B 1.2 cm. Typ IV.2 nach Benedetti – Cardosa 2006.

1021 Maximale erhaltene Dimensionen L 1.2–1.3 cm, Dm 1.2 cm. Typ VII nach Benedetti – Cardosa 2006.

1022 Maximale erhaltene Dimensionen Dm 1.8 cm. Typ I.2 nach Benedetti – Cardosa 2006.

grosse Anzahl nicht genauer bestimmbarer Exemplare (S2/39, S4/69, S4/81, S8/38. 39; S11/38. 39. 48) geborgen. Zwei Perlen aus Strada 19 (S19/20. 21; L 0.6-0.7 cm, Taf. 77) weisen eine besondere Form auf: Ihr Schnitt ist trapezförmig mit zentraler Bohrung und sie weisen einen knopfartigen Aufsatz auf. Sie finden einen sehr guten Vergleich in den Exemplaren aus Grab Temparella 63¹⁰²³.

Die Frauenbestattung Strada 11 enthielt eine sehr hohe Anzahl von Bernsteinperlen und Fragmenten (Taf. 45): Insgesamt befanden sich drei Anhänger, 94 Perlen und nahezu 900 Bernsteinfragmente im Bereich des Oberkörpers der Verstorbenen (S11/33. 34. 36. 38. 40); im südlichen Bereich des Grabes, zusammen mit den Gefässbeigaben, wurden insgesamt 22 Perlen und mehr als 100 Fragmente freigelegt (S11/35. 37. 39. 41). Die tonnenförmigen und ringförmigen Perlen sowie die Anhänger aus dem Bereich des Oberkörpers (S11/33. 34. 36) könnten zu einer um den Hals getragenen Kette gehört haben. Für die zahlreichen kleinen und weitläufig über den Oberkörper und im Bereich der Keramik streuenden Fragmente kann hingegen angenommen werden, dass sie auf eine textile Unterlage aufgenäht waren. Die klare Trennung der Fundbereiche könnte dafür sprechen, dass der Körper und die Gefässe bei der Bestattung in zwei separate, mit Bernsteinperlen besetzte Tücher eingehüllt wurden¹⁰²⁴. Bestattungen mit über tausend Bernsteinperlen sind ansonsten erst später belegt, seit dem Beginn des 7. Jahrhunderts v. Chr. sowohl in der Basilikata als auch in Latium, Etrurien und Norditalien¹⁰²⁵.

1023 Die Vergleiche basieren auf den noch unveröffentlichten Zeichnungen von F. Quondam, die vom Autor freundlicherweise zur Verfügung gestellt wurden.

1024 Ähnliche Befunde, jedoch mit einer – vielleicht der Grabungsmethode geschuldeten – geringeren Anzahl Perlen: Zancani Montuoro 1977–1979, 70–72 Abb. 25, Grab Uliveto 16, »ingente quantità« im Bereich des Bauches, der Brust und unter dem Kopf, darunter figürliche Appliken, grosse Perlen in unterschiedlichen Formen und sehr kleine Perlen, die vermutlich auf Stoffe aufgenäht waren; Zancani Montuoro 1980–1982, 40 Nr. 22, Grab Temparella 8, »numerosissimi« Anhänger und Perlen im Bereich des Bauches; 105–107, Grab Temparella 39, ca. 100 Perlen, Anhänger und Appliken, die laut der Ausgräberin zusammen mit den Bronzezierknöpfen auf einem Stoff aufgenäht waren; Zancani Montuoro 1983/1984, 34 f. Nr. 12, Grab Temparella 63, etwa 100 grosse und kleine Perlen und Anhänger wurden um und unter dem Kopf sowie »im Grab« gefunden.

1025 Basilikata: Guardia Perticara 514 und Alianello (contrada Cazzaiola, Aliano), s. Bianco – Tagliente 1985; Piranomonte 2000. Latium: Castel di Decima Grab 153 (Zevi 1976, 287, mehrere Ketten aus Bernstein und Glas) und Grab 101 (Bedini 1976, 287 f., Textil bestickt mit Silberplättchen, Bernstein und Glasperlen). Etrurien: in einigen reichen Gräber der ersten Hälfte des 7. Jhs. v. Chr. wurden 'Teppiche' aus Bernsteinperlen entdeckt, die wohl auf Stoffe aufgenäht waren, welche die Verstorbenen bekleidet bzw. umhüllt haben oder auf der die Körper deponiert wurden, siehe z. B. Funde aus Vetulonia: Cygielman – Pagnini 2006, 122 f. Nr. 352; Colombi 2018, 172; Norditalien: Bertani – Saltini 1994, 40; Gentili 1994, 40. 67. 77 f. Nr. 73–75, Verucchio Grab Lippi 47 mit über 8000 kleinen Bernsteinperlen und ca. 1850 Ringperlen aus Glas.

Varia

Die Bernsteine im Areal Strada sind meist schlecht erhalten. Dies äussert sich nicht nur in der angegriffenen Oberfläche, sondern auch in der starken Fragmentierung. Dennoch kann auch bei den Fragmenten, deren Form nicht mehr erkennbar ist, in der Regel davon ausgegangen werden, dass sie eine Bohrung aufwiesen und es sich demzufolge um Perlen handelte. Ein solches Beispiel ist ein Fragment aus Grab Strada 6 (S6/12, Taf. 34). Die Fundlage im Schädelbereich, in unmittelbarer Nähe des gebogenen Drahtfragmentes aus Bronze S6/7, führt zur Annahme, dass das Bernsteinelement an einem Zopfhalter oder Ohrring befestigt war. Vergleichbare Ohrringe sind in der Nekropole Valle Sorigliano (Santa Maria d'Anglona, Tursi), Roggiano Gravina und Torre Mordillo (Spezzano Albanese) belegt¹⁰²⁶.

Die wohl männliche Bestattung Strada 16 enthielt mehrere Fragmente von Bernstein, gefunden beim Kopf und im Bereich des Oberkörpers. Dabei handelt es sich um mindestens eine ovale, leicht abgeflachte Applike von max. 4.5 cm Länge (S16/16, Taf. 67) sowie um nicht bestimmbar Fragmente und Splitter (S16/17. 18). Das grösste Fragment wurde angesichts der fehlenden Durchlochung nicht als Anhänger oder Perle, sondern als Applike wahrscheinlich für einen Holz-, Leder- oder anderen Gegenstand gedeutet. Alle Fragmente haben eine im Vergleich zu den anderen Bernsteinen auffällig dunkle Farbe und ihre Herkunft konnte nicht abschliessend bestimmt werden¹⁰²⁷. Die Beigabe von Bernstein in Männergräbern ist zwar unter den hier vorgelegten Gräbern zweimal belegt (Strada 16; De Leo 1¹⁰²⁸), bildet jedoch die Ausnahme im funeren Brauchtum des oinotrischen Kulturkreises.

Corinne Juon, Sven Billo, Camilla Colombi

3.2.13 Glasperlen

Glasperlen kamen in vier Frauenbestattungen des Areals Strada zum Vorschein (Strada 2, 4, 6 und 14) sowie in Grab Strada 1 (S1/6)¹⁰²⁹. Grundsätzlich kann man zwischen farbigen opaken Perlen und transluziden Exemplaren unterscheiden. Die opaken, farbigen Exemplare können monochrom oder mehrfarbig sein und bilden die Mehrzahl der Belege sowohl im Areal Strada als auch in der ganzen Macchiabate-Nekropole¹⁰³⁰. Zu den

1026 Ferranti – Quondam 2016, 58. 69 Abb. 6; Carrara – Guzzo 1981, 446 f. Nr. 4 Abb. 4, Grab 1; 452 Nr. 4. 5; 455 Abb. 12, 4. 5, Grab 3 bis; 457 f. Nr. 3. 5 Abb. 14, Grab 5; 458 Nr. 4; 460 Abb. 16, 4, Grab 6; Cerzoso – Vanzetti 2014, 217 Nr. 701; 332 Taf. 44; vgl. Benedetti – Cardoso 2006, 1582–1584 Abb. 4.

1027 Siehe Kapitel 3.1.16 und 7.4.

1028 In Grab De Leo 1 (DL1/14. 15) jedoch nicht wie zu erwarten im Oberkörperbereich, sondern südlich der Beine und in der Nähe der Axt, siehe Kapitel 3.1.21.

1029 Eine transluzide Perle S1/6, s. Kapitel 2.

1030 Zancani Montuoro 1980–1982, 39 f. Nr. 21 Taf. 16d, Grab Temparella 8, zehn blumenförmige und drei weitere Anhänger aus opaken, blauem und gelbem Glas; Zancani Montuoro 1983–1984, 31 Nr. 24. 25 Taf. 17, Grab Temparella 61/62, eine opake, blaue und gelbe Perle und eine ringförmige hellblaue Perle; 39 Nr. 4. 5, Grab

einfarbigen Exemplaren gehören die beiden Ringperlen aus Grab Strada 2 (S2/40, braun, Dm 0.7 cm; S2/41, gelb-türkis, Dm 0.6 cm; Taf. 14) sowie Fragmente aus den Gräbern Strada 2 (S2/42, weiss, Dm 0.6 cm, Taf. 14), Strada 4 (S4/70, weiss, L max. 1.2 cm, Taf. 22) und Strada 11 (S11/42. 43; weiss, L 0.7-1.1 cm, Taf. 50). Die drei Exemplare aus Grab Strada 14 gehören zur Form der Ringaugenperlen (S14/18–20, Dm ca. 0.7 cm, Taf. 59)¹⁰³¹. Es handelt sich dabei um blaue Perlen mit Einlassungen für drei Kreise, ursprünglich aus hellen Glasfäden geformt. In einem Fall (S14/18) haben sich Reste der weissen Einlage erhalten. Aufgrund unterschiedlicher Ausdehnungskoeffizienten können diese aufgetragenen Verzierungen herausfallen¹⁰³². Die Form ist während der frühen Eisenzeit in Mittelitalien sehr weit verbreitet¹⁰³³ und ist auch in Süditalien mehrfach belegt¹⁰³⁴.

Die transluziden Exemplare können durchsichtig oder leicht gefärbt sein und sind in Francavilla Marittima deutlich seltener belegt. Zu dieser Gruppe gehört die kugelförmige transparente Perle aus Grab Strada 6 (S6/13, Dm 1.6 cm, Taf. 34). Aus der Macchiabate-Nekropole können Vergleiche aus den Gräbern Strada 1 (S1/6, Taf. 7, 1; 8) und Temparella 67 angeführt werden¹⁰³⁵. Transluzide Perlen scheinen sich während des 8. Jahrhunderts v. Chr. in Italien besonders zu verbreiten¹⁰³⁶. Mit einem Durchmesser von 1.6 cm ist die

Perle S6/13 grösser als die meisten anderen Exemplare der Macchiabate-Nekropole. Es kann daher überlegt werden, ob das Exemplar womöglich gar nicht als Schmuckstück, sondern als Spinnwirtel anzusprechen ist. Dafür könnte nicht zuletzt die Fundlage der Perle sprechen, die im Hüftbereich bei einem *disco composito* gefunden wurde, wie dies auch für die Spinnwirtel aus Ton mehrheitlich der Fall ist. Spinnwirtel aus Glas scheinen in Francavilla Marittima jedoch in der Regel aus opakem Material zu bestehen und weisen eine konische oder doppelkonische Form auf¹⁰³⁷. Die grossen Dimensionen, das durchsichtige Material und die Seltenheit des Typs machen aus der Perle aus Grab Strada 6 ein aussergewöhnliches Exemplar.

In der Forschung geht man im Allgemeinen nicht von einer lokalen Glasproduktion in Italien aus, doch kann nicht ausgeschlossen werden, dass nur das Rohmaterial importiert wurde, die Bearbeitung der Perlen allerdings lokal erfolgte¹⁰³⁸. Die Perlen aus dem Areal Strada wurden bisher noch keiner archäometrischen Analyse unterzogen. Jedoch konnten im Rahmen einer Studie von Sonia Conte mehrere Glasperlen aus den anderen Bezirken der Macchiabate-Nekropole untersucht werden¹⁰³⁹. Eine farblose Perle aus Temparella 67 und ein hellblaues diskoidales Exemplar aus Temparella 61/62 wurden aufgrund der Herstellungstechnik (*Plant Ash Glass*) und der Spurenelemente der mesopotamischen Produktion zugeschrieben. Die anderen 9 analysierten Exemplare aus Francavilla Marittima sind als *Natron Glass* zu klassifizieren, eine etwas später ansetzende, insbesondere in Ägypten verbreitete Produktion. Eine Herkunft aus Ägypten gilt für die schwarzen, opaken Perlen und Anhänger aus Temparella 8 und 61/62 als sicher¹⁰⁴⁰. Auch die opaken, gelben Exemplare aus Temparella 8, 61/62 und 84, die bernsteinfarbigen Perlen aus Temparella 65, 73 und Vigneto 6 sowie das farblose Exemplar aus Temparella 59 sind wahrscheinlich der ägyptischen Produktion zuzuschreiben. Die Farbe und die Durchsichtigkeit der Perlen scheinen somit

Temparella 65, eine scheibenförmige, gelbe Perle; 87 Nr. 5 Abb. 26 Taf. 58, Grab Temparella 84, opake Perle/Anhänger aus gelbem, blauem und weissem Glas; Ferranti – Quondam 2016, 69 f. Abb. 6. 7 auch Gräber Vigneto 6 (eine gelbe Perle) und Temparella 90 (mindestens eine weisse Perle). Zur Verwendung der Bezeichnung Glas statt Glaspaste, ital. *pasta vitrea* s. Koch 2011, 17 f. 26 f.

1031 Für die Definitionen der Formen siehe Koch 2011, 34–37. Allgemein zu den (Ring-)Augenperlen s. Koch 2011, 73–75, Ringaugenperlen sind häufiger belegt als Augenperlen, die durch eine Verzierung aus mindestens zwei Kreisen charakterisiert sind.

1032 Koch 2011, 29 f. Abb. 82.

1033 Koch 2011, 73–75, vgl. etwa die zahlreichen Exemplare aus Veji, 153 Abb. 82. In Veji Quattro Fontanili sind die blau-weissen Ringaugenperlen die am häufigsten vorkommende Variante der mehrfarbigen Perlen und treten seit der Übergangsphase Veio IC-IIA auf (Anfang des 8. Jhs. v. Chr. nach traditioneller Chronologie). Sie sind in den folgenden Phasen sehr weit verbreitet. Die blau-gelben Ringaugenperlen sind seltener und kommen in der Phase Veio II vor. Dazu Koch 2011, 157–159. Vgl. auch Haevernick 1987, 9–14 für eine Auflistung von Ringaugenperlen (H. Matthäus) und 15–25 von Augenperlen (C. Dobiat).

1034 Cerzoso – Vanzetti 2014, 224 f. Nr. 766. 767; 333 Taf. 45; Zancani Montuoro 1983/1984, 31 Nr. 24. 25 Taf. 17, Grab Temparella 61/62, eine opake, blaue und gelbe Perle sowie eine ringförmige, hellblaue Perle.

1035 Zancani Montuoro 1970/1971a, 14 Taf. 2c, transluzide Perle aus Grab Strada 1, vgl. hier Kapitel 3.2.1 cat. S1/6; Zancani Montuoro 1983/1984, 41–47, Taf. 27, globulare grünblaue Perle aus Grab Temparella 67. Vgl. auch Guggisberg u. a. 2017, 84, Grab Est 5, Fragment einer gelben, transluziden Glasperle; Guggisberg u. a. 2018, 75, Grab Est 9, Ringperle aus hellem oder transluzidem Glas. Zancani Montuoro 1983/1984, 23 Nr. 14 Taf. 10, Grab Temparella 59, weisses Glas oder Kristall, fragmentarisch erhalten; 107 Nr. 12, Grab Temparella 90, Ringlein aus Kristall oder transparentem Glas, 0.6 x 0.9 cm.

1036 Für die transluziden Perlen siehe Koch 2011, 62–64. 91. Die Autorin fasst für Etrurien zusammen, dass seit dem 8. Jh. v. Chr.

(jüngere Stufe der Villanovazeit) eine Standardisierung der Formen auszumachen ist und seit der zweiten Hälfte des Jahrhunderts wiederum eine Variabilität der Formen und eine Zunahme der belegten Exemplare zu bemerken sind. Transluzide durchsichtige oder schwarz gefärbte Perlen kommen in dieser Phase neu auf. Für Veji Quattro Fontanili konnte L. C. Koch zeigen, dass die transluziden Exemplare schon in der Phase Veio I vereinzelt vorkommen, in der Phase Veio II (IFe2A) weit verbreitet sind und schliesslich in der Phase IIA an Variabilität und Häufigkeit abnehmen: Koch 2011, 155–157.

1037 Kleibrink 2016, 142–154 für Spinnwirtel aus Glas und Fayence vom Timpone Motta. Die Formen sind bikonisch und konisch, oft mit reliefierten Blütenblättern und horizontalen oder vertikalen Rillen; für Exemplare aus Mittelitalien: Koch 2011, 108–110.

1038 s. Koch 2011, 16–23 für verschiedene bronzezeitliche Rohglas-Sorten unterschiedlicher Herkunft. Die lokale Herstellung von Gegenständen wird zumindest für die orientalisierende Zeit anhand von Glasobjekten lokaler Tradition vermutet, wie etwa die Fibeln mit *sanguisuga*-förmigem Glasbügel, s. Koch 2010, 201–208; Koch 2011, 101–103.

1039 Conte u. a. 2019.

1040 Insbesondere bei schwarzen und blauen Perlen wurde ein spezielles Farbmittel aus Ägypten benutzt (*cobaltiferous alau*): Conte u. a. 2019.

nicht primär mit der Herkunft oder Herstellungstechnik in Zusammenhang zu stehen. Trotzdem sind gewisse Gruppen zu erkennen – wie die schwarzen opaken Perlen oder die gelben opaken Perlen – deren übereinstimmende Herstellungstechnik auf gleiche Produktionen hindeutet. Aus diesen Gründen kann man postulieren, dass auch die Perlen aus dem Areal Strada aus Ägypten oder ggf. aus dem Vorderen Orient stammen können¹⁰⁴¹.

Camilla Colombi, Sven Billo

3.2.14 Stein

Steindeckel

Die Öffnung des Pithos aus Grab Strada 10 war ursprünglich mit einem gerundeten, flach-linsenförmigen Konglomeratstein (S10/2, Taf. 43) mit dem Durchmesser von 32–35 cm abgedeckt. Der Stein war in seiner natürlichen Form belassen und weist keine Bearbeitung für die Verwendung als Deckel auf.

Corinne Juon

Rautenförmiger Stein

In Grab Strada 12 kam der rautenförmige Stein S12/10 mit abgerundeten Kanten zum Vorschein (Taf. 53). Obwohl er vermutlich in seiner von Natur aus ungewöhnlichen Form belassen wurde, könnte er bewusst ausgewählt worden sein, um als Amulett- oder Spielstein zu fungieren, der beispielsweise in einem Beutel getragen worden ist¹⁰⁴². Die Funktion des Steins ist ebenso unklar wie jene von Muscheln oder Schneckenhäusern, die bisweilen in oinotrischen Gräbern vorkommen¹⁰⁴³. Sie können auch einen spielerischen Aspekt in der Welt der oinotrischen Kinder erahnen lassen.

Corinne Juon

1041 So auch schon für die transluziden Exemplare: Koch 2011, 62–64. 121 f. farbloses, transluzides Glas kommt im Mittelmeerraum nicht lange vor dem 8. Jh. v. Chr. auf; es wird daher vermutet, dass die transluziden Perlen aus italischen Kontexten entweder aus dem östlichen Mittelmeerraum stammen oder in Italien in Anlehnung an orientalische Vorbilder hergestellt wurden.

1042 Warneke 1999, 200 f.

1043 Carrara – Guzzo 1981, 462 f. Abb. 18, 11, Grab 8; 480; Frey 1991, 22 f.

4 Bestattungssitten

4.1 Geschlechtsindikatoren und Bestattungssitten

Für die Gräber der Gruppen Strada und De Leo (sowie für jene der seit 2015 erforschten Gruppe Est) verfügen wir über anthropologische Analysen, die in manchen Fällen eine Bestimmung des Geschlechtes ermöglicht haben¹⁰⁴⁴. Für die grosse Mehrheit der Bestattungen der Macchiabate-Nekropole liegen jedoch keine entsprechenden Bestimmungen vor¹⁰⁴⁵. Eine abschliessende Auswertung der geschlechtsspezifischen Bestattungsbräuche aufgrund von anthropologischen Daten ist aus diesem Grund nicht möglich.

Unsere Überlegungen werden in den meisten Fällen zwangsweise auf archäologischen Indikatoren basieren. Betrachtet man die Beigaben, scheint auch in der Macchiabate-Nekropole – analog zu den meisten anderen eisenzeitlichen Gräberfeldern in Mittel- und Süditalien – eine klare Unterscheidung zwischen Gräbern zu bestehen, die mit Waffen ausgestattet sind, und solchen, die ohne Waffen, dafür aber mit reichem Trachtschmuck und Geräten der Textilverarbeitung versehen sind¹⁰⁴⁶. Es gilt als allgemein anerkannt, dass erstere als archäologisch männlich und letztere als archäologisch weiblich anzusprechen sind. Die anthropologischen Bestimmungen, die in manchen Gräberfeldern flächendeckend durchgeführt wurden, bestätigten diese Zuschreibung in vielen Fällen¹⁰⁴⁷. Wenn die Geschlechtszuschreibung auf anthropologischen Analysen basiert, ist es möglich, im Kontext der jeweiligen Nekropole zusätzliche Geschlechtsindikatoren auszuzeichnen. So liess sich beispielsweise im Gräberfeld von Osteria dell’Osa in Latium zeigen, dass gewisse Fibeltypen bevorzugt bei Männern vorkommen, während bestimmte Gefässkombinationen typisch für Frauen sind¹⁰⁴⁸. Allgemein wird davon ausgegangen, dass Geräte zur Textilherstellung typisch ‘weibliche’ Beigaben sind; eine Annahme, die zwar naheliegend und in vielen Fällen durch anthropologische Untersuchungen abgestützt ist, die jedoch immer wieder auch der Überprüfung bedarf. Gestützt auf ihre Vergesellschaftung mit Geräten zur Textilverarbeitung lassen sich auch andere Objekte in vielen Fällen relativ überzeugend als weibliche Indikatoren bestimmen, insbesondere

dann, wenn sie nie zusammen mit Waffen vorkommen. Neben Spinnwirteln, Garnspulen, Spindeln, Spinnrocken und Webgewichten können somit zahlreiche Elemente des Trachtschmucks, sowohl aus Metall als etwa auch aus Bernstein und Glas, als Indikatoren für ein weibliches Individuum gelten. Bestattungen mit männlichen Indikatoren weisen dagegen oft eine zurückhaltendere Ausstattung auf. Sie enthalten neben Waffen auch Werkzeuge und Fibeln sowie, in seltenen Fällen, weiteren Trachtschmuck. So lassen sich Gegenstände wie Schlangenfibeln, Messer oder Äxte in einigen Nekropolen als Merkmale für männliche Individuen auszeichnen, in anderen sind sie dagegen genau so oft in Gräbern mit vielen weiblichen Indikatoren zu finden¹⁰⁴⁹. Eine Geschlechtszuweisung auf der Basis solcher Gegenstände ist daher ohne anthropologische Bestimmung nicht möglich.

Im Falle der Macchiabate-Nekropole, aber auch von anderen süditalischen Gräberfeldern wie Torre Galli (Drapia) oder Sala Consilina, bei denen anthropologische Bestimmungen weitestgehend fehlen, lässt sich anhand der archäologischen Daten eine grosse Zahl von Bestattungen – etwa die Hälfte – als weiblich identifizieren, während die Waffengräber und die ‘unbestimmten’ Bestattungen jeweils ca. ein Viertel ausmachen. Die ‘unbestimmten’ Bestattungen pauschal als waffenlose Männergräber anzusprechen, ist zwar verlockend, jedoch sehr problematisch, da in den wenigsten Fällen mit einem direkten Niederschlag der realen demographischen Verhältnisse in den Gräberfeldern zu rechnen ist. Betrachtet man etwa ein Gräberfeld wie jenes von Osteria dell’Osa, für das wir über eine lückenlose anthropologische Bestimmung verfügen und daher Schlüsse zur Demographie der hier bestatteten Bevölkerung ziehen können, fällt sofort auf, dass das Verhältnis zwischen Frauen- und Männergräbern nicht ausgewogen ist, insbesondere in der adulten Altersklasse, und dass Kinder nur ca. 17 % der Bestatteten ausmachen¹⁰⁵⁰. Im Falle der Nekropole Colucci von Pontecagnano setzt sich die Bestattungsgemeinschaft aus nahezu gleich grossen Anteilen von Männern, Frauen und

1044 Siehe Kapitel 6 sowie 3.1. Zum Areal ‘Est’ siehe Guggisberg u. a. 2016; Guggisberg u. a. 2017; Guggisberg u. a. 2018a.

1045 Nur wenige Befunde aus den Ausgrabungen der 1960er-Jahre wurden anthropologisch untersucht.

1046 Vgl. Unterscheidung von archäologischen Geschlechtsindikatoren anhand einer Seriation: De Natale 2016, 110 f. für Pontecagnano; Pacciarelli 1999a, 76 f. für Torre Galli (Drapia); Colombi 2018, 237–243 für Vetulonia.

1047 Vgl. die Nekropolen von Osteria dell’Osa oder von Pontecagnano Colucci: Bietti Sestieri 1992a; Bietti Sestieri 1992b; De Natale 2016.

1048 Bietti Sestieri 1992a, 105–116.

1049 Messer kommen in Norditalien, in Latium, in Pontecagnano, in Torre Galli (Drapia) aber auch in der Macchiabate-Nekropole häufig in Frauenbestattungen vor. In der Macchiabate-Nekropole enthalten Waffengräber nahezu ausschliesslich Schlangenfibeln, die Form wird jedoch auch für die Frauentracht benutzt, vgl. Kapitel 3.2.10 »Eisenmesser und Klinge«. In anderen Kulturkreisen kommen auch Äxte und Beile durchaus in Frauengräbern vor, vgl. Etrurien: Colombi 2018, 265–271.

1050 Bietti Sestieri 1992b, 504–509: in der Phase II kennen wir insgesamt 184 männliche und 242 weibliche Bestattungen, davon sind 74 Kinder; unter den Bestattungen der Jugendlichen, Erwachsenen und *maturi/anziani* sind es 145 Männer und 207 Frauen.

Grab	Geschlechtsbestimmung anthropologisch	Geschlechtsbestimmung archäologisch	Altersklasse	Alter (geschätzt)	Lage
Strada 2	Tendenz weiblich	Weiblich	Juvenil–Erwachsen (Tendenz adult)	14–40 Jahre	vermutlich Hockerstellung
Strada 4	Indet.	Weiblich	Infans II-juvenil	12 ± 30 Monate	keine Angaben möglich
Strada 5	Indet., Tendenz männlich	Männlich	Spätadult	>30 Jahre	vermutlich offene Hockerstellung auf rechter Seite
Strada 6	Indet., Tendenz weiblich	Weiblich	Spätadult	31 ± 3,6 Jahre	Oberkörper in Rückenlage
Strada 7	Indet., Tendenz männlich	Unbestimmt	Spätadult-matur	>30 Jahre	Hockerstellung auf rechter Seite
Strada 11	Indet.	Weiblich	Spätadult-matur	>30 Jahre	vermutlich offene Hockerstellung auf linker Seite
Strada 13	Tendenz weiblich	Weiblich	Adult	25–35 Jahre	offene Hockerstellung auf linker Seite
Strada 14	Eher weiblich	Weiblich	Matur	40–60 Jahre	offene Hockerstellung auf rechter Seite
Strada 15	Eher männlich	Unbestimmt	Matur	54 ± 3,7 Jahre	Rückenlage; Schädel in rechter Seitenlage
Strada 16	Indet.	Wahrscheinlich männlich	Frühadult	20–30 Jahre	Oberkörper in Rückenlage; Schädel in linker Seitenlage
Strada 17	Indet.	Männlich	Spätmatur-senil	59 ± 5,1 Jahre	offene Hockerstellung auf rechter Seite
De Leo 1	Eher männlich	Männlich	Spätmatur-senil	57 ± 5,1 Jahre	offene Hockerstellung auf rechter Seite

Tab. 4.1 Erwachsenengräber aus den Arealen Strada und De Leo. Anthropologische und archäologische Geschlechtsbestimmung und Alter.

Kindern zusammen¹⁰⁵¹. Wenn wir von einem ausgewogenen Geschlechterverhältnis und von einer Kindersterberate von mindestens 30 % für vorindustrielle Gesellschaften ausgehen, so findet dieser Wert in der Nekropole Colucci zwar einen Niederschlag, in Osteria dell’Osa ist dagegen mit anderen Faktoren für die Zusammensetzung der Bestattungsgemeinschaft zu rechnen.

In der Macchiabate-Nekropole lässt sich die archäologische Bestimmung nur in wenigen Fällen durch die anthropologische Geschlechtszuweisung bestätigen, da vielfach eine anthropologische Bestimmung der Knochenreste nicht möglich war oder nicht durchgeführt wurde. Die vom Basler Team erforschten Bestattungen der Areale Strada und De Leo wurden anthropologischen Untersuchungen unterzogen, oft hat jedoch die schlechte Knochenhaltung keine eindeutige Bestimmung erlaubt (Tab. 4.1).

Betrachtet man die Gräber von Erwachsenen aus den Basler Grabungen, liess sich lediglich bei den Bestattungen Strada 13, 14, 15 und De Leo 1 die anthropologische Geschlechtszuweisung mit einer gewissen Sicherheit durchführen. Im Falle der Gräber Strada 2, 5, 6 und 7 konnte nur anhand von einem oder wenigen Kriterien eine mögliche Tendenz festgestellt werden¹⁰⁵². Im Allgemeinen scheinen jedoch die anthropologischen Bestimmungen mit der archäologischen

Geschlechtszuweisung übereinzustimmen. Die als weiblich oder tendenziell weiblich bestimmten Skelette aus den Bestattungen Strada 2, 6 und 14 wiesen Beigaben auf, die klar zum ‘weiblichen’ Formenspektrum gehören, wie Spinnwirtel oder reichen Trachtschmuck. Dass Frauenbestattungen auch deutlich weniger Schmuck sowie keine Webutensilien enthalten können, zeigt das Grab Strada 13, in dem ein tendenziell weibliches Individuum mit einer Kette aus Bronze-, Eisen- und Bernsteinperlen, einer eisernen Scheibe, einer eisernen Schlangenfibel und zwei feinkeramischen Gefässen bestattet wurde. Betrachtet man die Gräber mit Waffen, konnte nur im Falle von Strada 5 eine mögliche männliche Tendenz anhand eines anthropologischen Kriteriums festgestellt werden¹⁰⁵³. Die anderen anthropologisch als tendenziell männlich bestimmten Individuen weisen nur in einem Fall Beigaben auf, die auch archäologisch klar dem männlichen Bereich zugeordnet werden können¹⁰⁵⁴. Die beiden tendenziell männlichen Gräber Strada 7 und Strada 15 sind dagegen beide waffenlos und enthalten sehr wenige Beigaben. Für vier Skelette konnte schliesslich auf Grund der sehr spärlichen Knochenreste keine anthropologische Bestimmung durchgeführt werden. Im Falle von Strada 4 und Strada 11 kann aufgrund der Präsenz von Geräten zur Textilverarbeitung und von reichem Trachtschmuck mit grosser Wahrscheinlichkeit von Frauenbestattungen ausgegangen werden. Das Individuum aus Grab Strada 17 ist dagegen klar

1051 De Natale 2016: 26 Männer, 25 Frauen und 27 Kinder, darunter 7 weiblich, 7 männlich und 12 nicht bestimmbare Kinder.

1052 Vgl. Kapitel 6.

1053 Vgl. Kapitel 6.

1054 Grab De Leo 1: waffenlos, mit Werkzeugen und mehreren Fibeln und Vasen.

durch mehrere Waffen und Werkzeuge als männlich gekennzeichnet. Nur die archäologische Zuschreibung des Grabes Strada 16 an ein männliches Individuum anhand der Beigabe von eisernen Werkzeugen bzw. Klingen und des Fehlens von Trachtschmuck bleibt unsicher¹⁰⁵⁵.

Ein weiteres Element bei der Unterscheidung der Geschlechter in Nekropolen des oinotrischen Kulturkreises ist die Lage des Skelettes. Der vorherrschende Ritus in den eisenzeitlichen Nekropolen der Basilikata und Nordkalabriens ist die Körperbestattung in Hockerlage bzw. in offener Rückenlage mit angewinkelten Beinen. Dabei kann beobachtet werden, dass Individuen mit weiblichen Indikatoren meist auf der linken Seite, jene mit männlichen Indikatoren dagegen auf der rechten bestattet wurden¹⁰⁵⁶. Die Bestattungen der Areale Strada und De Leo scheinen dieser Regel durchaus zu folgen (Tab. 4.1)¹⁰⁵⁷. Anthropologisch als weiblich oder tendenziell weiblich gedeuteten Skelette liegen in offener Hockerstellung mit den Beinen auf der linken Seite; bei den anthropologisch tendenziell männlichen Bestattungen befinden sich die angewinkelten Beine auf der rechten Seite. Eine Ausnahme bildet das Grab Strada 14, in dem eine ältere Frau mit reichem Trachtschmuck als rechter Beinbocker bestattet wurde. Schliesslich lag der Mann aus Strada 15 höchstwahrscheinlich ausgestreckt auf dem Rücken.

Weitet man den Blick auf die ganze Macchiabate-Nekropole aus, wird unsere Betrachtung wegen des bereits angesprochenen Fehlens von weiteren anthropologischen Analysen auf den Beigabekombinationen basieren. Insgesamt bilden die Bestattungen von Erwachsenen ca. 45 % der Gesamtzahl der eisenzeitlichen Gräber der Macchiabate. Bestattungen, die aufgrund der Dimensionen des Skelettes, der Grösse des Grabes oder von anthropologischen Bestimmungen Kindern zuzuschreiben sind, machen die Hälfte der Gesamtzahl aus und setzen sich aus 45 Körperbestattungen (Einzelgräber oder zusammen mit Erwachsenen) und 36 Enchytrismoi zusammen¹⁰⁵⁸. Die Bestattungen von Erwachsenen lassen sich aufgrund von Indikatoren wie Geräten zur Textilverarbeitung sowie Trachtschmuck aus Bronze und Bernstein ca. zur Hälfte als weiblich ansprechen¹⁰⁵⁹. Etwa 35 % der Gräber sind auf-

grund von Waffen und/oder Werkzeugen männlichen Individuen zugeschrieben worden, die restlichen ca. 15 % gelten als 'unbestimmt'. Der sehr hohe Anteil an Kinderbestattungen sowie ein durchaus ausgewogenes Verhältnis zwischen Frauengräbern und Gräbern ohne weibliche Indikatoren (männliche und 'unbestimmte' Gräber) lassen die Vermutung zu, dass die Bestattungsgemeinschaft der Macchiabate-Nekropole einen demographisch repräsentativen Niederschlag der Gesellschaft darstellt¹⁰⁶⁰.

Camilla Colombi

4.2 Männergräber

4.2.1 Waffengräber in der Macchiabate-Nekropole

Die grösste Gruppe der als männlich erachteten Bestattungen in der Macchiabate-Nekropole sind die Waffengräber, da – wie soeben dargelegt – Waffen als Hauptindikator für männliche Individuen gelten (Tab. 4.2).

Belegt sind Lanzen- und Speerspitzen sowie Schwerter¹⁰⁶¹, die mit unterschiedlichen Werkzeugen, Trachtbestandteilen und Keramik- bzw. Bronzegefässen kombiniert sein können. Die Elemente der Tracht¹⁰⁶² beschränken sich in der Regel auf Fibeln und Fingerringe¹⁰⁶³. Die in mehreren Waffen- und Werkzeugbestattungen vorhandenen Paare von Drahtperlen und Ringanhängern sowie die grossen und kleinen massiven Bronzeringe werden nicht der Ausschmückung, sondern verschiedenen Aufhängesystemen zugeschrieben¹⁰⁶⁴. Was die Fibeln anbelangt, gehören sowohl die rekonstruierbaren Exem-

1055 Vgl. Kapitel 3.1.16.

1056 Siehe insb. Valle Sorigliano (Santa Maria d'Anglona, Tursi): Frey 1991, 12; Ferranti – Quondam 2015, 51.

1057 Erwachsenenbestattungen aus den Basler Grabungen bis 2018: fünf Bestattungen in offener Hockerstellung auf der linken Seite (Strada 11, 13, Est 5, 9 und 12), davon drei anthropologisch tendenziell weiblich und die anderen beiden archäologisch weiblich; acht Bestattungen in Hockerstellung oder offener Hockerstellung auf der rechten Seite (Strada 7, 14, 17, De Leo 1, Est 1, 6, 10 und 11), davon drei anthropologisch tendenziell männlich, vier archäologisch männlich und eine Bestattung anthropologisch weiblich; eine tendenziell männliche Bestattung in offener Rückenlage (Strada 15).

1058 Siehe untern Kapitel 4.4.

1059 Die Anzahl der eisenzeitlichen Bestattungen, die bis 2018 in der Macchiabate-Nekropole ausgegraben wurden, beträgt 161 Individuen aus 155 Gräbern. Die Zahlen basieren auf der Arbeit von

F. Quondam sowie auf den Forschungen des Basler Teams und berücksichtigen auch die Enchytrismoi als einzelne Bestattungen. Von den 161 wurden 73 als Bestattungen von Erwachsenen gedeutet, inklusive den beiden Gräbern von jungen Frauen Strada 4 und Temparella 27, in denen eine ca. 12-Jährige und eine ca. 14-Jährige mit dem für erwachsene Frauen typischen Trachtschmuck, mehreren Gefässen und im ersten Falle auch Geräten zur Textilherstellung bestattet wurden. Auf der Basis der Beigaben und/oder der anthropologischen Daten werden 37 Bestattungen erwachsenen Frauen und 25 erwachsenen Männern zugeschrieben. Die restlichen 11 gelten als unbestimmt. 45 Bestattungen wurden aufgrund der Dimensionen des Grabes, des Skelettes oder von anthropologischen Bestimmungen Kindern zugeschrieben, hinzu kommen 36 Enchytrismoi von Neugeborenen sowie sieben nicht bestimmbare Bestattungen.

1060 Bzw. der Grossfamilien, die in den erforschten Zonen der Macchiabate-Nekropole bestattet wurden. Zur Deutung der Bestattungsgruppen siehe Kapitel 5.4.

1061 Für die im Areal Strada belegten Typen siehe Kapitel 3.2.7 und 3.2.10.

1062 Zum Begriff der Tracht vgl. Anm. 284.

1063 Fingerringe sind in den Gräbern Cerchio Reale A, Temparella 41, Temparella 79, Vigneto 7 und Est 10 belegt. Zur Tracht gehören auch vereinzelt Gürtel Elemente aus den Bestattungen Cerchio Reale A und Temparella 40 (Gürtel aus einer Vielzahl von Bronzketten). Für eine allgemeine Betrachtung der Tracht siehe Ferranti – Quondam 2015, 65–68.

1064 Siehe Kapitel 3.2.6; für die Verteilung dieser Elemente siehe Tab. 4.2.

plare aus Eisen wie auch jene aus Bronze ausschliesslich zur Form der Schlangenfibel. Im Unterschied etwa zu Valle Sorigliano (Santa Maria d'Anglona, Tursi)¹⁰⁶⁵ sind die Bestattungen in Francavilla Marittima des Öfteren mit mehreren Fibeln ausgestattet. Die Zahl variiert zwischen zwei Exemplaren und 19 eisernen Fibeln im Grab Strada 5.

Die Gräber von Francavilla Marittima und Valle Sorigliano (Santa Maria d'Anglona, Tursi) wurden kürzlich in zwei unterschiedlichen Publikationen auf die Kombination von Waffen und Werkzeugen untersucht¹⁰⁶⁶. Für die Gruppen Temparella, Cerchio Reale, Uliveto, Lettere und Vigneto der Macchiabate-Nekropole kann man von einer groben Unterscheidung zwischen Schwertträgern, Lanzen-/Speerträgern und waffenlosen Gräbern ausgehen. Die zuletzt vorgeschlagene Gliederung für die von Paola Zancani Montuoro ausgegrabenen Gräber unterscheidet zwischen sechs möglichen Kombinationen¹⁰⁶⁷:

- Kombination M6: Männergräber ohne Waffen und ohne Werkzeug, bisher nur in Valle Sorigliano (Santa Maria d'Anglona, Tursi) belegt¹⁰⁶⁸.
- Kombination M5: Waffenlose Männergräber mit eisernen Werkzeugen, meist Sichel und Meissel, ohne Messer. Dazuzurechnen sind zwei Gräber (Lettere F und Vigneto 5), die möglicherweise gestört waren.
- Kombination M4: Waffenlose Gräber mit Eisenmesser und gegebenenfalls mit weiteren Werkzeugen; die Kombination ist in drei Gräbern der Temparella-Gruppe (Temparella 40, 20, 61/62) belegt.
- Kombination M3 (unterteilt in zwei Stufen): Männergräber mit Lanzenspitze und in einigen Fällen mit Eisenmesser, sehr gut in Valle Sorigliano (Santa Maria d'Anglona, Tursi) belegt, in Francavilla Marittima sporadisch dokumentiert (Uliveto 5, Cerchio Reale 1).
- Kombination M2 (unterteilt in drei Stufen): Männergräber mit einer oder zwei unterschiedlichen Äxten/Beilen, Lanzenspitze und gegebenenfalls mit weiteren Werkzeugen sowie sporadisch beigegebenem Bronzegefäss und importierter bzw. griechisch-oinotrischer Keramik. In Francavilla Marittima ist diese Kombination gut belegt (Temparella 79, 70, 41, Uliveto 11+12, Vigneto 7).

- Kombination M1: Die höchste Komplexitätsstufe erreichen schliesslich Gräber von Schwertträgern, meist mit Lanzenspitze, Messer, Beil und weiteren Werkzeugen sowie Bronzegefäss und mehreren Keramikgefässen. Diese Kombination tritt sowohl in Francavilla Marittima wie auch in Valle Sorigliano (Santa Maria d'Anglona, Tursi) selten auf (Temparella 87, Cerchio Reale A, Santa Maria d'Anglona 102 mit deutlich weniger Trachtbestandteilen).

In dieses Schema lassen sich auch die Männergräber der Areale Strada und De Leo einordnen. Die waffenlosen Bestattungen Strada 7 (Taf. 36) und Strada 15 (Taf. 62) können den Kombinationen M6¹⁰⁶⁹ und M4 zugeschrieben werden¹⁰⁷⁰. Als Lanzenträger (Kombination M3) ist der Krieger aus Grab Strada 5 anzusprechen, dessen Bestattung sich jedoch von den anderen dieser Kategorie aufgrund der reichen Tracht und der Präsenz von mehreren Lanzen aus unterschiedlichen Materialien deutlich abhebt (Taf. 26–30)¹⁰⁷¹. Als Lanzenträger ist möglicherweise auch die Person aus Grab Strada 16 anzusehen, in deren Grab sich Fragmente einer mutmasslichen Lanzenspitze sowie ein langes Eisenmesser und Teile von unbestimmbaren Werkzeugen befanden (Taf. 66, 67). Zur Kombination M2, gekennzeichnet durch die Beigabe des Beiles, gehört das Grab De Leo 1 mit einer Schaftlochaxt, einem Messer, Bronzegefäss und mehreren Trachtbestandteilen (Taf. 79–82). Schliesslich gehört das reiche Kriegergrab Strada 17 zur komplexesten Kategorie M1, gekennzeichnet durch die Präsenz eines Schwertes und weiterer Waffen, Geräte, Trachtbestandteile sowie Gefässe aus Keramik und Bronze (Taf. 70–73).

Das Verhältnis zwischen den verschiedenen Arten von Männerbestattungen scheint im Areal Strada ebenfalls weitgehend jenem der Temparella und des Cerchio Reale zu entsprechen. In jeder Gruppe ist jeweils nur ein Schwertträger belegt (Temparella 87, Cerchio Reale A, Strada 17). In der Temparella kennen wir drei weitere reiche Bestattungen von Lanzenträgern mit Äxten (Temparella 41, 70, 79) und drei waffenlose Gräber mit Messer und/oder Werkzeug (Temparella 40, 20, 61/62): insgesamt machen die Waffengräber somit ca. 6,5 % der eisenzeitlichen Bestattungen in der Temparella aus. Im Cerchio Reale ist nur eine weitere Bestattung mit Lanze belegt (Cerchio Reale 1), insgesamt kennen wir also zwei Waffengräber unter den 13 Bestattungen dieser Gruppe (ca. 15 %). Im Areal Strada sind – neben dem Schwertträger aus Strada 17 – ein bis zwei Lanzenträger (Strada 5, Strada 16?) und zwei waffenlose Bestattungen belegt: insgesamt knapp 16 % der Gräber in diesem Areal gehören bewaffneten Männern. Hervorzuheben ist namentlich das Grab Strada 5, das mit der

1065 Ferranti – Quondam 2015, 65–68: in den Männergräber von Valle Sorigliano (Santa Maria d'Anglona, Tursi) befinden sich in der Regel eine bis zwei Schlangenfibeln, nur in drei Fällen sind mehrere Exemplare vorhanden.

1066 Luppino u. a. 2012 hatten als Ziel, die Männerbestattungen der Eisenzeit und jene der kolonialen Zeit unter Betrachtung der Funde aus Francavilla Marittima und aus Amendolara zu vergleichen; Ferranti – Quondam 2015 haben eine Gliederung auf der Basis der Männergräber aus Francavilla Marittima und aus Valle Sorigliano Nord (Santa Maria d'Anglona, Tursi) für die Eisenzeit vorgeschlagen.

1067 Ferranti – Quondam 2015, 65 Abb. 5.

1068 Bei Ferranti – Quondam 2015 allerdings nur einmal in Valle Sorigliano (Santa Maria d'Anglona, Tursi) Grab 138 belegt – ein Grab ohne anthropologische Bestimmung der Knochenreste, so dass eine eindeutige Zuschreibung zu einem Mann trotz Hockerbestattung auf der rechten Seite wohl offenbleiben muss.

1069 Obwohl natürlich offenbleiben muss, welche 'unbestimmten' Gräber der anderen Areale als Männerbestattungen der Kombination M6 angesprochen werden könnten.

1070 Die Klinge S15/4 wurde einem kleinen Messer zugeschrieben, eine nähere typologische Einordnung ist jedoch nicht möglich.

1071 Die Kombination von zwei Lanzen ist in der Macchiabate-Nekropole nur im Grab Strada 5 belegt, ebenso wie die Benutzung der Bronzelanze.

	Geschlecht (Anthropologie)	Geschlecht (Archäologie)	Alter (Anthropologie)	Grabtyp	Bestattung	Datierung	Gestörtes Grab	Waffenkombination (vgl. Ferranti - Quondam 2015)	Fibeln	Gürtel?	Massives Ring	Kleine massive Ringe	Fingerring	Ringanhänger	Drahtperle	Kette	Bernstein	Weitere Tracht	Schwert	Lanzenspitze Eisen
CRA	-	M	-		-	IFe2B	x	M1A	3	1?		4	1	2	2				1	1?
S17	U	M	>50	MF	HR	IFe2B		M1A	2+		1			2	2				1	1
T87	-	M	-		HR	IFe2B		M1A	2				2+	2					1	1?
E1	U	M	>45	MF	HR	IFe2A2-B		M1B	2+										1 L	
E6	U	M	25 +/- 5	MF	HR	IFe2B		M1B	3							x			1 L	
T41	-	M	-		HR	IFe2B1		M2A	9+		1		1							1
T70	-	M	-		HL	IFe2		M2A	4											1
T79	-	M	-		-	IFe2	x	M2A	1+		3	54	1							1
U11+12	-	M	-		?	IFe2	x	M2B												1
V7	-	M	-		?	IFe2A		M2B	3				2+							1
DL1	M?	M	>50	MF	HR	IFe2A		M2C	5		1						x			
E10	U	M/K	20-30	MF	HR	IFe2		M3A	1		1	4	1		2		1		?	1
S5	U	M	>30	MF	HR	IFe2B		M3A	19					4	2					2
S16	U	U	20-30	MF	H?	IFe2		M3A/ M4B	1								x			1?
CR1	-	M	-		HR	IFe2B2	x	M3B	1		1	1								1
U5	-	M	-		?	IFe2B2 finale	?	M3B	1											1
T40	-	M	-		HR	IFe2B		M4A	5	1										
E11	U	M	>35	MF	HR	IFe2B2		M4A?	2		1	4								?
T20	-	M	-		H?	IFe2B		M4B	1		1	4			2					
T61/62	-	M/W	-		?	IFe2B		M4B	(4+)											
S15	M	U	>50	MF	GR	IFe2		M4B?	1											
LF	-	M	-		H	IFe2	x	M5												
V5	-	M/Kind?	-		?	IFe2	?	M5				1								
S7	M?	U	>30	EF	HR	IFe2		M6												
T15	-	M?	-		H?	IFe2		-												
T21	-	M	Kind		?	IFe2		-	1			3		1	2			x		
T85	M?	M	-		GR	IFe2B2		-	2											
V1	-		-		HR	IFe2		-	1		1									

Legende	M	Männlich	MF	Monumentales Fossagrab	HR	Hockerbestattung auf rechter Seite
	W	Weiblich	EF	Einfaches Fossagrab	HL	Hockerbestattung auf linker Seite
	U	Unbestimmt			GR	Gestreckte Rückenlage

Tab. 4.2 Beigabekombinationen der Männergräber der Macchiabate-Nekropole.

als Ranginsigne zu interpretierenden Bronzelanze über einen aussergewöhnlichen Statusanzeiger verfügt und sich am ehesten mit den Lanzenträgern aus Temparella 79 und Temparella 70 vergleichen lässt.

Für die Areale Uliveto, Vigneto, Lettere und De Leo ist eine abschliessende statistische Betrachtung nicht möglich, da diese Gruppen nur aus einer sehr beschränkten Anzahl von Gräbern bestehen. In den grösseren Gruppen Strada, Tempa-

Lanzenspitze Bronze	Schafverkleidung	Messer	Schaflochaxt	<i>Ascia piatta</i> /Dechsel	<i>Ascia a tagli ortogonali</i>	<i>Punteruolo</i> /Körner	<i>Scalpello</i> /Meissel	<i>Falcetto</i> /Sichel	<i>Roncola</i> /Hippe	Andere Werkzeuge	Bronzegefässe	Dolium/Pithos	Olla	Kanne	Tasse	Schale tronkokonisch	Schale <i>a olo rientrante</i>	Krater	Skyphos	Kotyle	Kantharos	Oino-trisch-euböische Keramik	Weitere Beigaben/ Bemerkungen
					1		1					1	2?		1?								
	1	?	1	1							1		1	1	1								
		1	1				1				2	1					1				1	x	
														1	1						1	x	Pyxis
		1	1	1			1		1			1			1	1							
			1	1		1					1	1			1	1							
			1	1					x		1		1						2+			x	
			1									1		?		1							
				1		2						1	1		1	1					1	x	
		1	1								2				1			1	1			x	
		1										1		2									Doppelb. mit Kind (mit weiteren Beigaben)
1	1	2?										1		1								x	
	1	1							?					1				1				x	
												1							1			x	
												1		1	1								
		1				1						1		1									
		1							?		1	1			1		1				1	x	Eisenobjekte noch nicht bestimmt
		1										1		1									Askos nicht zugehörig?
		1				1							1	1									
		1?											1	1									
								1	x			1		1									
						1	1						1	1	1								Askos/Tasse in Verfüllung
												1		1									
													1	1							1	x	
												1		1			1						
												1		1									

rella und Cerchio Reale sind Waffengräber somit vergleichsweise selten – aussergewöhnlich sind die reichen Bestattungen von Schwertträgern. Man gewinnt dadurch den Eindruck, dass innerhalb von jeder der drei bisher bekannten grösseren Bestattungsgruppen jeweils eine Person eine aussergewöhnliche soziale (und politische?) Stellung innehatte, die sich in der Beigabe eines Schwertes manifestierte.

Anders als in den anderen Nekropolen der Region folgt in der Hierarchie nun aber nicht eine grössere Gruppe von Lanzenträgern mit fast standardisierter Bewaffnung¹⁰⁷². Vielmehr weisen die unterschiedlichen Ausstattungsmuster der Männer-

¹⁰⁷² Wie anhand der Befunde in Torre Galli (Drapia), Torre Mordillo (Spezzano Albanese) und Valle Sorigliano (Santa Maria d'Anglona, Tursi) angenommen wird: Abbate 2014; Chiartano 1994, 25; Pacciarelli 1999a, 81 f. 92–95; Pacciarelli 2004a, 457 f.

	Francavilla Marittima	Valle Sorigliano SMA	Torre Mordillo	Incoronata (San Teodoro)	Torre Galli
	IFe2A-B	IFe2A-B	IFe2A(-B)	IFe2	IFe1
Schwertträger	5	1	4	9	11
Schwert und Verteidigung	0	0	1	0	5
Dolch	0	0	7	0	4
Mehrere Lanzen/Speere	1	1	1	0	7
Lanzen-/Speerträger	9	14	33	30	38
Werkzeuge	7	4	1	0	0
ohne	2	1	?	6	?
Gesamt Männer	24	21	?	45	?
Gesamt Krieger	15	16	47	39	65
Gesamtzahl Eisenzeit	143	71	229	275	277

Prozent Männer/Gesamt	16,78	29,58	?	16,36	?
Prozent Krieger/Gesamt	10,49	22,54	20,52	14,18	23,47
Prozent Krieger/Männer	62,50	76,19	?	86,67	> 50 %
Prozent Schwert/Krieger	33,33	6,25	10,64	23,08	24,62
Prozent Schwert/Männer	20,83	4,76	?	20,00	?
Prozent Schwert/Gesamt	3,50	1,41	2,18	3,27	5,78
Prozent Lanzen/Krieger	66,67	93,75	72,34	76,92	69,23
Prozent Lanzen/Männer	41,67	71,43	?	66,67	?
Prozent Lanzen/gesamt	6,99	21,13	14,85	10,91	16,25
Ratio Schwert/Lanze	2,00	15,00	6,80	3,33	2,81

Tab. 4.3 Männergräber in der Macchiabate-Nekropole und in vergleichbaren Nekropolen Kalabriens und der Basilikata.

gräber auf eine heterogenere Zusammensetzung der Gesellschaft, wie dies auch von Stefano Abbate kürzlich zu Recht bemerkt wurde¹⁰⁷³. Eine weitere Gliederung ist nicht zu erkennen, weder auf der Basis des Alters der Verstorbenen noch in chronologischer Hinsicht. So gibt es unter der Klasse der über 50-jährigen Männer ein waffen- und nahezu beigabenloses Grab (Strada 15), ein reiches, waffenloses Grab mit Axt und Messer (De Leo 1) und eine überaus reiche Kriegerbestattung mit Schwert, Lanze, Beil und Axt (Strada 17). Unter den jüngeren Männern gibt es sowohl solche, die mit Lanzen ausgestattet sind (Strada 16), als auch solche, wie das vor kurzem entdeckte Grab Est 6, denen ein Schwert beigegeben wurde¹⁰⁷⁴.

Auffällig ist der hohe Anteil von Waffengräbern im neu erforschten Areal Est, wo neben mindestens zwei Schwertgräbern (Est 1 und Est 6) auch ein Grab mit Lanze und langem Messer (Est 10) belegt ist¹⁰⁷⁵. Da die Ausgrabungen in diesem Areal noch nicht abgeschlossen und die Befunde erst in Vorberichten vorgelegt sind, entzieht sich die Überlieferung vorerst noch der Beurteilung. Bezogen auf die beiden Schwertgräber

fällt allerdings auf, dass diese hier nicht mit weiteren Waffen, Werkzeug oder Bronzegeschirr vergesellschaftet sind, sondern in Komplexen aufscheinen, die insgesamt eher nüchtern sind. Das Grab Est 1 beinhaltet, neben dem Langschwert vom Typ Naue II, zwei eiserne Schlangenfibeln, eine keramische Pyxis und eine Tasse. Im Grab Est 6 wurden mindestens zwei Schlangenfibeln aus Eisen und aus Bronze (letztere in der Verfüllung) sowie drei feinkeramische Gefäße geborgen. Ob dieser Unterschied gegenüber der internen Gliederung der anderen Gruppen nur dem momentanen Forschungsstand zuzuschreiben ist, oder ob tiefere Gründe dafür massgebend sind, muss zum jetzigen Zeitpunkt offenbleiben. Sollte sich aber die Selbstdarstellung der 'Anführer' der Gruppe Est tatsächlich so deutlich von jener der anderen Schwertträger der Macchiabate-Nekropole unterscheiden, würden sich weitere spannende Deutungsmöglichkeiten bezüglich der Charakteristika der Bestattungssitten der einzelnen aristokratischen Gruppen der Macchiabate-Nekropole und deren Modellen eröffnen.

4.2.2 Waffengräber im oino-trischen Kulturkreis

In der Macchiabate-Nekropole sind bisher insgesamt 24 Bestattungen als männlich identifiziert worden (darunter 6 aus den Arealen Strada und De Leo), davon besitzen 15 jeweils eine oder mehrere Lanzen und/oder ein Schwert. Die archäologisch und/oder anthropologisch als männlich identifizierbaren Individuen machen somit fast 17 % der bekannten Be-

1073 Abbate 2014, 81 f.

1074 Ein weiteres Schwert stammt aus dem Grab Est 1, in dem ein Mann im Alter von über 45 Jahren beigegeben war: Guggisberg u. a. 2015, 60. Wie die Lanzenbeigabe im Doppelgrab Est 10 zu beurteilen ist, muss vorläufig offenbleiben.

1075 Areal Est: Guggisberg u. a. 2016; Guggisberg u. a. 2017; Guggisberg u. a. 2018a. Ein weiteres Schwert könnte sich auch im Grab Est 11 befunden haben: Guggisberg u. a. 2018a, 81–83.

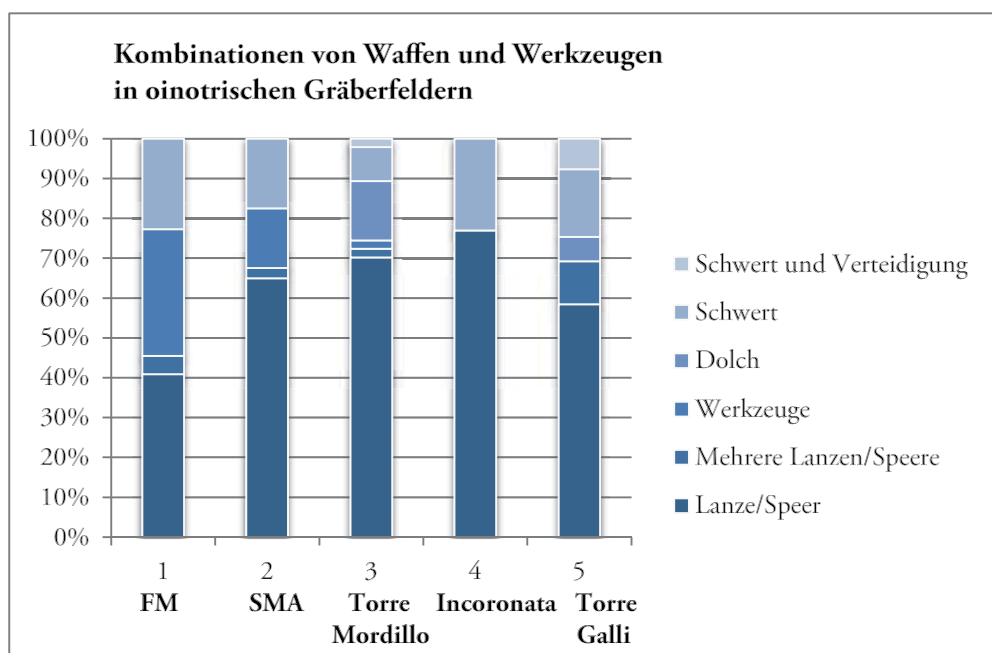


Abb. 4.4 Kombinationen von Waffen und Werkzeugen in der Macchiabate-Nekropole und in vergleichbaren Nekropolen Kalabriens und der Basilikata.

stattungen des 8. Jahrhunderts v. Chr. aus. Die Waffengräber entsprechend dabei ca. 10 % der Gesamtzahl der bekannten Bestattungen. Ein gutes Drittel davon sind Gräber von Schwertträgern, d. h. 3,5 % aller bekannten Gräber. Diese Situation lässt sich relativ gut mit jener des Gräberfeldes von Incoronata (San Teodoro, Pisticci) vergleichen¹⁰⁷⁶ (Tab. 4.3). Die Kriegergräber betragen hier ca. 14 % der Gesamtzahl der bekannten Bestattungen und sind meist als Lanzen- oder Speerträger gekennzeichnet; die neun Schwertträger machen gerade 3 % der Gesamtzahl der Gräber – ähnlich wie in der Macchiabate-Nekropole – und etwas mehr als ein Fünftel der Krieger aus. Dies wird von Bruno Chiartano als Nachweis für eine hierarchisch strukturierte Gesellschaft interpretiert, in der eine Mehrheit von Lanzenträgern der kleinen Minderheit von Schwertträgern untergeordnet war¹⁰⁷⁷. Die Bestattungen dieses Gräberfeldes wurden teilweise anthropologisch analysiert: Interessanterweise befanden sich Waffen nur in der Hälfte der Gräber mit anthropologisch als männlich bestimmten Skeletten¹⁰⁷⁸. Die andere Hälfte enthielt keine Waffen, davon waren drei gestört, drei weitere jedoch wahrscheinlich intakt¹⁰⁷⁹.

Weitet man den Vergleich auf andere gut erforschte Gräberfelder des oinotrischen Kulturkreises aus, findet man erhebliche Unterschiede gegenüber der Lage in Francavilla Marittima und – in geringerem Masse – in Incoronata (San Teodoro,

Pisticci) (Tab. 4.3, Abb. 4.4). In Valle Sorigliano (Santa Maria d'Anglona, Tursi)¹⁰⁸⁰ sind die Waffenkombinationen zwar vergleichbar mit jenen der Männergräber in der Macchiabate-Nekropole¹⁰⁸¹, doch ist die grosse Mehrheit der Männer klar als Lanzenträger gekennzeichnet¹⁰⁸². Im Nordteil der Nekropole besitzt ein einziges Grab ein Langschwert, im Südteil sind sechs Bestattungen mit Kurzschild und Lanze belegt¹⁰⁸³. Ähnliche Zahlen sind auch im Falle der Nekropole von Torre Mordillo (Spezzano Albanese) zu ermitteln¹⁰⁸⁴. Die Waffengräber bilden ca. 20 % der bekannten Bestattungen, davon besitzen 10 % ein Schwert (5 Gräber), was ca. 2 % der Gesamtzahl der bekannten Bestattungen entspricht¹⁰⁸⁵. Die meisten Män-

1076 Die Daten und Zahlen basieren auf Chiartano 1977; Chiartano 1994; Chiartano 1996.

1077 Chiartano 1994, 25.

1078 Chiartano 1994, 39 f. Gräber 165, 328, 297, 319 mit bronzener Lanzenspitze, Grab 326 mit Bronzelanze und Schwert, Grab 357 mit einer Eisenklinge, jedoch gestört und wahrscheinlich auch mit Bestattung eines Kindes.

1079 Gestörte Gräber: 322, 349, 175. Intakte Gräber: die Gräber 453 und 311 enthielten je drei Keramikgefässe und ein bis zwei Schlangenfibel; das Grab 198 dagegen enthielt nur einen Armreif und Fingerringe, entspricht somit nicht dem gewöhnlichen archäologischen Bild der Männerbestattung.

1080 Gräberfeld Valle Sorigliano Nord (Santa Maria d'Anglona, Tursi): Frey 1991; Ferranti – Quondam 2015. Gräberfeld Valle Sorigliano Süd (Santa Maria d'Anglona, Tursi): zusammenfassende Angaben in Bianco 1993, 11–14.

1081 Ferranti – Quondam 2015, 55–57. 65–68.

1082 62 % der Männergräber und fast 80 % der Krieger gegenüber 41 % bzw. 66 % in Francavilla Marittima. Betrachtet man jedoch nur die vorläufig bekannten Zahlen zum Südteil von Valle Sorigliano (Bianco 1993, 11–14) fällt ein grosser Unterschied im Verhältnis von Schwert- und Lanzenträger zwischen Nord- und Südnekropole auf (1:15 vs. ca. 1:2), ebenso wie die grossen Übereinstimmungen mit den Zahlen aus Francavilla Marittima: ca. 1/3 der Männer wird durch ein Schwert ausgezeichnet und die Lanzenträger scheinen weniger verbreitet zu sein als in den anderen Nekropolen.

1083 Grab 102 in Valle Sorigliano (Santa Maria d'Anglona, Tursi), mit Langschwert Typ Naue II: Frey 1985. In der bisher in ihrer Gesamtheit unpublizierten Südnekropole von Valle Sorigliano (Santa Maria d'Anglona, Tursi) kennt man sechs Gräber mit Kurzschild: Andriani 1985, 53–55 Abb. 24. 25, z. B. das reiche Grab 31 mit Schwert, zwei bronzernen Lanzenspitzen, einer Axt, einer Schafflochaxt, zwei Meisseln aus Bronze, einem Rasiermesser und einem eisernen Werkzeug mit Bronze Griff.

1084 Cerzoso – Vanzetti 2014; Abbate 2014 auf der Basis von Pasqui 1888.

1085 Besonders hervorzuheben ist Grab 97 mit Bronzeschild, eiserner Lanzenspitze und *Kardiophylax* als besonders seltener Verteidigungswaffe: Cerzoso – Vanzetti 2014, 67 f. Nr. 330–335.

ner waren Lanzen- oder Speerträger (über 70 % der Bewaffneten). Anders als in den bisher betrachteten Nekropolen sind in Torre Mordillo (Spezzano Albanese) auch mehrere Dolchträger belegt¹⁰⁸⁶. In der Nekropole von Torre Galli (Drapia), die bereits in der Phase IFe1 datiert wird, enthalten ca. 23 % der Gräber Waffen – ein Wert, der mit Torre Mordillo (Spezzano Albanese) und Valle Sorigliano (Santa Maria d'Anglona, Tursi) durchaus verglichen werden kann¹⁰⁸⁷. Die Lanzen-/Speerträger sind zwar deutlich in der Mehrheit, doch sind in Torre Galli (Drapia) 16 Gräber von Schwerträgern und weitere vier Gräber mit einem Dolch belegt. Die Schwerträger machen somit gut ein Viertel der Krieger und fast 6 % der Gesamtzahl der bekannten Bestattungen aus – mindestens doppelt so viel wie in den anderen, jüngeren Nekropolen des oinotrischen Kulturkreises. In Torre Galli (Drapia) sind ausserdem mehrere Gräber mit Verteidigungswaffen (Bein- bzw. Armschienen) belegt. Aus der Verteilung und Häufigkeit der Waffenbeigabe schliesst Marco Pacciarelli, dass die Männer von Torre Galli (Drapia) grundsätzlich mit der Lanze/dem Speer bewaffnet sind – diese Waffe bezeichnet nicht nur die erwachsenen, aktiven Krieger, sondern ist ein Indikator der Rolle der Männer als Krieger, wie der Fund von Speeren auch in Kindergräbern beweist. Die meist kurzen Schwerter wurden wahrscheinlich nicht im Kampf eingesetzt, sondern galten laut Pacciarelli als Symbole des hohen Status. Die aussergewöhnliche Rolle der Schwerträger sei in Torre Galli (Drapia) auch in der Nekropolenstruktur gut ablesbar: Die Gräber der Schwerträger befanden sich in unterschiedlichen Gräbergruppen in der Nekropole verstreut und bildeten wohl die Anführer der jeweiligen Gruppe von Lanzenträgern¹⁰⁸⁸.

Weitere Gräberfelder des oinotrischen Kulturkreises in unmittelbarer Nähe von Francavilla Marittima können leider nicht statistisch ausgewertet werden, zum einen aufgrund der sehr geringen Anzahl der bekannten Bestattungen, zum anderen wegen der nicht gesicherten Zusammengehörigkeit der Beigabekomplexe¹⁰⁸⁹. Insgesamt scheinen die Gräber von Bewaffneten nur jeweils Lanze oder Speer zu enthalten, manch-

mal zusammen mit einem Messer. Nur in Roggiano Gravina weisen zwei Bestattungen komplexere Ensembles auf: Das Doppelgrab 5 mit Speerspitze, Meissel, Axt und Messerklinge aus Eisen sowie das Grab 8 mit Lanzen- und Speerspitze aus Eisen¹⁰⁹⁰. Nahezu unbekannt sind auch die eisenzeitlichen Gräberfelder von Amendolara, deren Funde grösstenteils nicht nach Grabinventar auseinandergelassen wurden¹⁰⁹¹.

Die Gegenüberstellung mit den anderen oinotrischen Gräberfeldern bekräftigt somit die Erkenntnis, dass die Kriegerbestattungen in Francavilla Marittima anderen Parametern folgen als im restlichen Kalabrien. Während man in Torre Galli (Drapia), Torre Mordillo (Spezzano Albanese), Incoronata (San Teodoro, Pisticci) und Valle Sorigliano (Santa Maria d'Anglona, Tursi) grössere Gruppen von Kriegern identifizieren kann, die mit einer Lanze oder einem Speer ausgestattet sind und denen zumindest in Valle Sorigliano (Santa Maria d'Anglona, Tursi) und Torre Mordillo nur sehr wenige Schwerträger gegenüberstehen, sind die Waffengräber in der Macchiabate-Nekropole wesentlich weniger standardisiert. Die Lanzenträger der Macchiabate-Nekropole können mit durchaus beachtlichem 'Luxus' ausgestattet sein, wie etwa im Falle von Strada 5, Temparella 79 und Temparella 70. Sie unterscheiden sich in diesen Fällen kaum vom reichen Schwertgrab Temparella 87, das seinerseits neben auffällig 'schlichten' Schwertgräbern wie Est 1 und Est 6 steht. Schliesslich gibt es eine ganze Reihe von waffenlosen Männergräbern, die sich durch komplexe Kombinationen von Werkzeugen (z. B. Temparella 41) und andere Beigaben auszeichnen. Es ist vor diesem Hintergrund kaum möglich, die Anführer der Bestattungsgemeinschaft allein an ihrem militärischen Status festzumachen. Vielmehr scheint es neben der Waffenausstattung auch andere Kriterien gegeben zu haben, welche die Zugehörigkeit zur männlichen Elite determinierten. Ob und, wenn ja, wie die verschiedenen aristokratischen Gruppen intern strukturiert waren, ist somit für die Bestattungsgemeinschaft von Francavilla Marittima nur schwer zu ermitteln.

Wendet man darüber hinaus den Blick auf weitere eisenzeitliche Gräberfelder in Mittel- und Süditalien, so erweist sich die Situation von Ort zu Ort als sehr unterschiedlich. In Sala Consilina scheinen Waffengräber nach der Mitte des 8. Jahrhunderts v. Chr. zu fehlen¹⁰⁹². Für die Eisenzeit berechnet Pascal Ruby hier einen Mittelwert von 8 % Lanzenträgern gegenüber der Gesamtzahl der Gräber aller Phasen. Die Anfertigung einer

1086 Gräber 87, 125, 86, 120 (Doppelgrab), 121, 54, 156 sollen Dolche enthalten haben: Cerzoso – Vanzetti 2014.

1087 Abbate 2014; Pacciarelli 1999a.

1088 Pacciarelli 1999a, 92–96.

1089 Roggiano Gravina (Carrara – Guzzo 1981): 11 Bestattungen, darunter drei mit Lanze oder Speer, eine mit Lanze und Speer, eine mit Axt und Messer und eine mit einem nicht näher bestimmbar Lanzenschuh; unter den Streufunden war auch ein Griffzungenschwert. Torano Castello (de La Genière 1977; Ferranti – Quondam 2006b, 595 f.): 11 Bestattungen der Eisenzeit, drei davon mit Lanze oder Speer, manchmal mit Messer, und eine nur mit Messer. Bisignano (Luppino u. a. 2004, 533): fünf Bestattungen, deren Beigabekomplexe sich jedoch nicht mehr rekonstruieren lassen, darunter eine Bronzelanze mit Lanzenschuh und eine eiserne Lanzenspitze. Castiglione di Paludi (Paludi) (Guzzo 1975, 144–148): 31 'Gruppen', deren Beigabenzusammensetzung nicht vollständig gesichert ist, darunter sieben Gruppen mit Lanzenspitze aus Bronze oder Eisen, in zwei Fällen mit Messer, in drei weiteren Fällen mit Rasiermesser; vier weitere Gruppen enthielten nur ein Rasiermesser.

1090 Carrara – Guzzo 1981.

1091 Ferranti – Quondam 2006, 598; Luppino u. a. 2012. Für die eisenzeitliche Nekropole Agliastro (Amendolara) und die Rekonstruktion der Lokalisierung der Funde sowie einiger Grabinventare: De Rose 2008, 104–125. Für die koloniale Phase siehe de La Genière 2012.

1092 Ruby 1995, 222–224, nach einer neuen Datierung und Überprüfung der von Kilian ausgewerteten Gräber. Allerdings nennt Ruby noch ein Grab der Sant'Antonio-Nekropole mit Lanzenspitze aus der Phase IIB (Grab 255P).

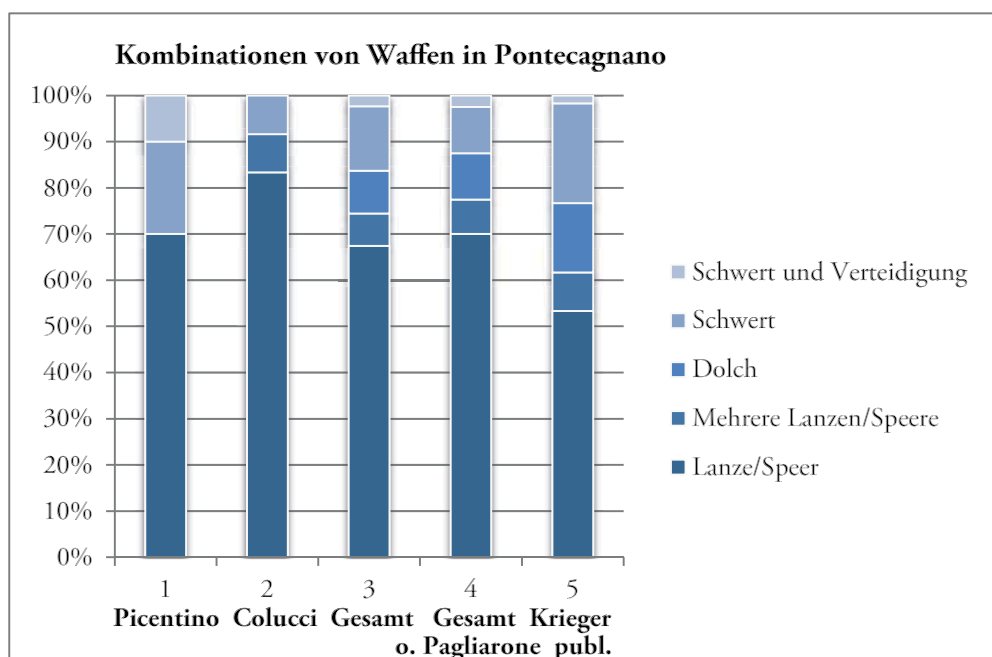


Abb. 4.5 Waffenkombinationen in den Gräberfeldern von Pontecagnano.

Statistik ist jedoch dadurch erschwert, dass die genauen Zahlen sehr schwer zu ermitteln sind¹⁰⁹³.

Vergleichbar mit der Situation in den meisten oinotrischen Gräberfeldern ist dagegen das Bild, das sich aus der Betrachtung der Nekropolen von Pontecagnano ergibt (Abb. 4.5). Die fünf vollständig veröffentlichten eisenzeitlichen Gräberfelder von Pontecagnano liefern interessante Parallelen für Francavilla Marittima und den oinotrischen Kulturkreis¹⁰⁹⁴. Anders als in Kalabrien und Lukanien scheint in der ersten Phase der Eisenzeit die Beigabe von Waffen in Gräbern in Pontecagnano nur selten belegt zu sein¹⁰⁹⁵. Mit der Phase II (8. Jahrhundert v.

Chr.) verbreitet sich jedoch der Brauch: 52 Waffengräber sind bisher veröffentlicht worden, darunter jedoch nur 32 aus den vollständig publizierten Gräberfeldern¹⁰⁹⁶. Die Zahl der Kriegergräber scheint im Laufe des 8. Jahrhunderts v. Chr. stabil zu bleiben (23 Gräber werden in die Phase IIA, 18 in die Phase IIB und 11 allgemein in die Phase II datiert), doch nimmt die Komplexität der Inventare mit Waffen, Werkzeugen und anderen Geräten wie etwa Bratspiessen mit der Phase IIB eindeutig zu¹⁰⁹⁷. Betrachtet man die bisher veröffentlichten Gräberfelder von Pontecagnano in ihrer Gesamtheit, so fällt auf, dass der Anteil der Krieger an der Gesamtzahl der Bestattungen ähnlich niedrig wie in der Macchiabate-Nekropole und in Inconronata (San Teodoro, Pisticci) ausfällt¹⁰⁹⁸. Insbesondere das Gräberfeld Picentino (propr. Stanzione, Bisogno, Bovi; Phasen IA–IIB) weist ähnliche Zahlen wie Francavilla Marittima auf: ein niedriger Anteil an Waffengräbern (ca. 10 %), darunter verhältnismässig viele Schwertträger im Vergleich zu den Lanzen-trägern¹⁰⁹⁹. In den anderen Nekropolen von Pontecagnano nähert sich das Verhältnis zwischen Lanzen- und Schwert-trägern jedoch viel mehr den Werten aus Torre Mordillo (Spezzano Albanese), Valle Sorigliano (Santa Maria d'Anglona, Tursi)

1093 Aus dem Werk von Kilian 1970 geht hervor, dass unter den ca. 480 Gräber der Südostnekropole 61 Gräber Waffen enthalten haben, darunter insgesamt 41 Lanzen spitzen, 9 Speerspitzen, 10 Pfeilspitzen, 12 Schwerter und 15 Urnendeckel in Helmform (Kilian 1970, 306). Aus den Kombinationstabellen des gleichen Autors geht ausserdem hervor, dass mindestens zwei Gräber ein Schwert und eine Lanze oder einen Speer enthielten (Gräber M20 und D138), ein weiteres Grab ein Schwert (Grab G33).

1094 Nekropolen Picentino, propr. Stanzione, Bisogno und Bovi, Phasen IA–IIB: D'Agostino – Gastaldi 1988; S. Antonio propr. ECI, Phasen IIA–B: De Natale 1992; Pagliarone, Phasen IA–B: Gastaldi 1988; Casella, Phase IIB: Cinquantaquattro 2001; Colucci, Phasen IB–IIB: De Natale 2016.

1095 Im Gräberfeld Pagliarone, Phasen IA–B, enthalten nur drei von 50 Männergräbern Waffen und datieren in die Phase IB: es handelt sich um die Gräber 889 (Körperbestattung mit Schwert und Lanze), 6107 (Brandbestattung mit Deckel in Helmform, mit Schwert) und 664 (Brandbestattung mit Deckel in Helmform, mit Lanze): Gastaldi 1988. In den Nekropolen Colucci und ECI sind jeweils zwei Gräber der Phase IB mit Lanze oder Dolch belegt (Gräber 6550, 6568, 3188, 3190): De Natale 1992; De Natale 2016. Unter den von D'Agostino – Gastaldi 1988 publizierten Gräbern ist eine aussergewöhnliche Körperbestattung mit Schwert, Lanze, Speer und Beinschienen aus der Phase IA belegt (Grab Picentino 180) sowie vier Brandbestattungen mit Deckel in Helmform, Schwert oder Lanze aus der Phase IB (Gräber 2052, 2055, 2145, 4852).

1096 Aurino – Gobbi 2012, 824 mit Tab., integriert durch Daten aus De Natale 2016. Mehrere Kriegergräber wurden veröffentlicht in: Bailo Modesti – Gastaldi 1999; Aurino – Gobbi 2012 (insb. Gräber 3090 und 3090bis der propr. Aedilia); D'Agostino – Gastaldi 2012.

1097 Aurino – Gobbi 2012, 827–829 und 824 mit Tab.

1098 Ca. 10 % in Pontecagnano und in Francavilla Marittima, ca. 14 % in Inconronata (San Teodoro, Pisticci). Der Anteil bleibt niedrig (ca. 13 %), auch wenn man das grosse Gräberfeld von Pagliarone (Pontecagnano Faiano) aus der 'waffenarmen' Phase I auslässt.

1099 Auf einer Gesamtzahl von 99 Gräbern aus den Phasen IA–IIB sind lediglich 10 Kriegergräber dokumentiert, darunter drei mit Schwert und ggf. weiteren Waffen sowie sieben mit je einer Lanze oder Speer: D'Agostino – Gastaldi 1988.

oder Incoronata (San Teodoro, Pisticci) mit weit über 70 % Lanzenträgern und nur 6–12 % Schwertträgern an – was eine Ratio von 1:6 bis zu 1:15 der Schwert- gegenüber den Lanzenträgern bedeutet. In Pontecagnano machen Waffengräber zwischen 30 % und 46 % der Männerbestattungen aus – einen Vergleichswert kann man jedoch für Francavilla Marittima und die anderen oinotrischen Gräberfelder wegen der fehlenden bzw. unvollständigen anthropologischen Bestimmungen nicht ermitteln. Ebenfalls könnte sich in Pontecagnano mit der Publikation weiterer Nekropolen die Lage ändern, insbesondere der Gruppen Aedilia und Guadagno, in denen sehr reiche Kriegergräber mit interessanten Kombinationen an Waffen und Werkzeugen belegt sind¹¹⁰⁰.

Anders als in Pontecagnano zeichnet sich im eisenzeitlichen Latium eine vom oinotrischen Kulturraum divergierende Bedeutung der Waffengräber ab. Für eine punktuelle Betrachtung eignet sich das Gräberfeld von Osteria dell'Osa (Gabii) auf Grund der hervorragenden Publikationslage und der konsequent durchgeführten anthropologischen Analysen sehr gut¹¹⁰¹. Wie für die zweite laziale Phase üblich, sind auch in Osteria dell'Osa ausschliesslich miniaturisierte und symbolische Waffen wie Urnendeckel in Helmform und Pfeilspitzen aus Bronzeblech in dieser Epoche belegt¹¹⁰². Der erste klare Unterschied gegenüber Francavilla Marittima und dem oinotrischen Bereich im Allgemeinen bildet der sehr niedrige Anteil an Waffengräbern im Vergleich zur Gesamtzahl der männlichen Bestattungen¹¹⁰³. Schwerter (in miniaturisierter Form) kommen – gegenüber den 5–10 % in Kalabrien – in nur gerade 2 % aller Männergräber vor. Ein möglicher Grund dafür besteht in der umfassenden anthropologischen Geschlechtsbestimmung der Gräber. Mit dem Beginn der dritten lazialen Phase (um 770 v. Chr.) werden auch in Osteria dell'Osa reale Waffen in die Gräber gelegt. Aber auch in dieser Zeit bleibt die Waffenbeigabe sehr selten. Nur gerade zwei Körpergräber aus dieser Phase (bis zum letzten Viertel des 8. Jahrhunderts v. Chr.) sind mit Lanze und Schwert ausgestattet. Hinzu kommt das reiche Grab 600, das über eine umfassende Waffenausstattung verfügt, vergleichbar den Kriegergräbern der frühen orientalisierenden Epoche in Etrurien¹¹⁰⁴. Die Situation in Os-

teria dell'Osa scheint demnach völlig anders als in den oinotrischen Gräberfeldern zu sein – selbst wenn man für letztere auch die am Anfang des Kapitels erwähnten 'unbestimmten' Bestattungen in Betracht ziehen würde¹¹⁰⁵. Für das 10. und 9. Jahrhundert v. Chr. bilden (miniaturisierte und symbolische) Waffen nur ein mögliches und nicht sehr verbreitetes Merkmal von Männergräbern. Im 8. Jahrhundert v. Chr. kommen reale Waffen weiterhin nur in sehr wenigen Männergräbern vor, dafür können diese als regelrechte Krieger-Anführer charakterisiert sein.

4.2.3 Gräber mit Werkzeugen

Die Beigabe mehrerer unterschiedlicher Werkzeuge gilt als typisch für die Nekropolen in Kalabrien und in der Basilicata und ist in Francavilla Marittima gut dokumentiert¹¹⁰⁶. In den Arealen Strada und De Leo sind hauptsächlich Messer belegt (vgl. Tab. 4.2)¹¹⁰⁷. Diese können mit Waffen, mit weiteren Werkzeugen oder auch als isolierte Objekte im Grab auftreten, wie im Grab Strada 15 (oder auch in Temparella 20). Eine Deutung der kleinformatigen Klingen als Arbeitsutensilien oder Geräte des täglichen Gebrauchs ist anzunehmen¹¹⁰⁸. Auch für die grossformatigen Exemplare – wie etwa die 22 cm lange Klinge aus Grab Strada 16 (S16/9, Taf. 67) – ist aufgrund der recht dicken, einschneidigen Klinge und der Form mit gekrümmtem Messerrücken eine Verwendung als Stich- oder Hiebwaaffe eher unwahrscheinlich; viel eher muss wohl eine Verwendung als Schneide-/Mehrzweckgerät angenommen werden.

Zwei Bestattungen enthielten eine eiserne Schaftlochaxt (Strada 17, De Leo 1, Taf. 73. 82), das Gerät ist in den übrigen Gräbern der Macchiabate-Nekropole gut belegt (Temparella 41, 87, 70, 79, Uliveto 11+12). Die parallele Orientierung von Griff und Klinge hat bei diesen Exemplaren zu einer Deutung als Hiebwaaffe geführt, nicht ausgeschlossen ist aber auch eine Verwendung in Zusammenhang mit dem Opfer¹¹⁰⁹. Die eiserne Schaftlochaxt kommt in der Macchiabate-Nekropole oft in

1100 Aurino – Gobbi 2012 insb. zu den Gräbern 3090 und 3090bis der propr. Aedilia; D'Agostino – Gastaldi 2012.

1101 Bietti Sestieri 1992a; Bietti Sestieri 1992b.

1102 Drei Bestattungen enthalten ein miniaturisiertes Schwert, in zwei Fällen zusammen mit einem miniaturisierten Speer/Lanze (Gräber 130 und 158), in einem Fall mit einem Schild (Grab 137); 12 Gräber enthalten miniaturisierte Speer- oder Lanzen spitzen, in einem Fall handelt es sich um eine Urne mit Helmdeckel, weitere symbolische Waffen sind ein miniaturisierter Schild, vier Pfeilspitzen aus Blech und zwei Urnendeckel in Form von Helmen: Bietti Sestieri 1992, 496 f. 505–508.

1103 Die Gräber mit miniaturisierten und symbolischen Waffen machen gerade mal 15 % der anthropologisch bestimmten Männergräber und 5 % der gesamten Nekropole gegenüber 50–87 % bzw. 10–23 % in Kalabrien aus.

1104 De Santis 2005. Für die gesamten Phasen III-IV siehe Bietti Sestieri 1992b, 509–513; in den Phasen III und IV (ca. 770 v. Chr. bis zum Ende der orientalisierenden Epoche) sind in Osteria dell'Osa 31

Waffengräber dokumentiert, was ca. 50 % der anthropologisch bestimmten Männergräber ausmacht. Eine klare Artikulierung ist in den Waffenausrüstungen zu bemerken: 22 Bestattungen enthalten je Lanze oder Speer (37,9 % der Gesamtzahl der Gräber der Phasen III-IV), 8 sind mit Lanze/Speer und Schwert ausgestattet (13,7 % der Gesamtzahl) und ein Grab besitzt eine volle Ausrüstung (Grab 600).

1105 z. B. sind in Torre Mordillo (Spezzano Albanese) die Waffenträger gut 20 % der Gesamtzahl der Gräber, in Incoronata (San Teodoro, Pisticci) 14 % – um die zahlenmässig grösseren Nekropolen als Vergleich zu nehmen.

1106 Iaia 2006, insb. Liste von Belegen auf 198 f.; Aurino – Gobbi 2012, 823–827. Für eine Übersicht über Belege im 8. und 7. Jh. v. Chr. siehe auch Bartoloni 2003, 182–184; Buranelli 1979; Colombi 2018, 192 f. 264 f.; Iaia 2014.

1107 Zwei lange Messer in den Gräbern Strada 16 und De Leo 1; mindestens zwei Messer/Klingen in Strada 5; ein kurzes Messer in Strada 15 und ein fragmentarisches Messer in Strada 17.

1108 Vgl. die Fundlage des kleinen Messers S8/33 unterhalb der grobkeramischen Schale aus dem Kindergrab S8; siehe Kapitel 3.2.8.

1109 Zur Funktion der Äxte und Beile: D'Agostino 1977; Carancini 1984, 236–245; Iaia 2006, 193 f.

Männergräbern mit besonderen Beigabekombinationen vor, u. a. mit Schwert (Strada 17, Temparella 87), Bronzebecken (De Leo 1, Temparella 87) oder einer ganzen Reihe weiterer Werkzeuge (Temparella 41, 70, 79). Die Präsenz der Schaftlochaxt in Gräbern mit mehreren Ranginsignien könnte auf die symbolische Rolle des Gerätes hinweisen, das beispielsweise im Kult oder beim Fleischopfer von Bedeutung war.

Im Grab Strada 17 war zusammen mit der Schaftlochaxt auch eine Dechsel (ital. *ascia a lama piatta*) beigelegt (Taf. 73). Das Gerät kommt in der Macchiabate-Nekropole mehrfach vor (Temparella 41, 70, 79, Vigneto 7) und ist im oinotrischen Bereich und in Pontecagnano bekannt¹¹¹⁰. Die recht dünne Klinge der Dechsel stand wohl quer zum Stiel aus Holz, daher wird das Gerät meist als Werkzeug für die grobe Holzverarbeitung gesehen, sowohl zum Abnehmen von Rinde oder Span wie auch zum Nachschneiden des Holzes. Für Cristiano Iaia können die Exemplare mit besonders dünner Klinge – wie jene aus Francavilla – auch eine Bedeutung als Kultgeräte besitzen¹¹¹¹. Die fast konstante Vergesellschaftung in der Macchiabate-Nekropole mit Schaftlochäxten (Kult?), aber auch mit Arbeitsutensilien trägt leider wenig zur Klärung der Funktion bei. In den vergleichbaren Gräberfeldern Kalabriens und der Basilikata kommt die Dechsel einmal als Teil eines reichen Komplexes mit Waffen, Schaftlochaxt und Werkzeugen in der Nekropole von Valle Sorigliano (Santa Maria d'Anglona, Tursi) vor¹¹¹². Daneben tritt sie mehrfach in einfacheren Inventaren mit einzelnen Utensilien oder Waffen, jedoch ohne Schaftlochaxt auf¹¹¹³. Als Gerät für das Zimmermannshandwerk und die Holzverarbeitung wird darüber hinaus das Querbeil mit Schaftloch (ital. *ascia a tagli ortogonali*) aus dem Deposito Centrale der Cerchio Reale-Gruppe gedeutet¹¹¹⁴.

Eine Reihe weiterer Werkzeuge ist in den Gräbern der Macchiabate-Nekropole zwar dokumentiert, kommt jedoch in den Arealen Strada und De Leo nicht vor. Es handelt sich dabei um Geräte für das Handwerk und die Holzverarbeitung sowie um Geräte für landwirtschaftliche Arbeiten. Die Meissel (ital. *scalpello*) aus der Macchiabate-Nekropole besitzen eine Tülle, in die ein Holzstiel eingesteckt war, und eine horizontale, kleine Klinge. Dieses Gerät fand sich sowohl aus Bronze (Cerchio Reale A) als auch aus Eisen (Temparella 87,

Vigneto 5, Temparella 41). Solche massiven Exemplare mit Tülle werden als Werkzeuge für das Zimmermannshandwerk und die Holzverarbeitung gedeutet, worauf auch die Vergesellschaftung mit dem Querbeil und mit einer Dechsel hindeuten kann¹¹¹⁵. Ahlen (ital. *punteruolo*) sind kleinformatige, dünne Geräte in Stiftform; sie kommen mit Dechseln oder Messer vor, nicht jedoch mit Meisseln (Temparella 40, Temparella 70, Vigneto 7) und könnten aufgrund der geringen Dimensionen für feinere Schnitzarbeiten und Kerbungen auf unterschiedlichen Materialien verwendet worden sein – ähnlich wie die kleinformatigen Meissel¹¹¹⁶. Schliesslich befanden sich in drei Gräbern der Macchiabate-Nekropole zwei Hippen (ital. *romcola*) für das Beschneiden von Bäumen im Wein- und Gartenbau¹¹¹⁷ und eine Sichel (ital. *falcetto*) für landwirtschaftliche Arbeiten wie das Mähen von Getreide oder Gräsern¹¹¹⁸.

Wenn auch die Funktionszuweisung der einzelnen Geräte nicht immer eindeutig ist, so scheint die Beigabe von Werkzeugen die unterschiedlichen Rollen des Verstorbenen in der Gesellschaft zum Ausdruck zu bringen. Eine Rolle in der Kultausübung und im Opfer ist möglicherweise durch die Schaftlochaxt ausgedrückt; die Tätigkeiten der Holzverarbeitung und des Handwerkes im Allgemeinen werden durch die Beigabe von Dechseln, Querbeilen, Meisseln und Ahlen belegt; landwirtschaftliche Arbeit und Wein-/Obstbau werden durch Hippen und Sichel symbolisiert.

Die Wichtigkeit von kultischen Geräten in der funeren Inszenierung kann problemlos nachvollzogen werden – wieso jedoch Geräte der 'täglichen', nicht aristokratischen Arbeit in reich ausgestatteten Gräbern deponiert wurden, scheint dagegen weniger klar und wurde bereits unterschiedlich gedeutet. In seiner Auswertung der Gräber mit Geräten zur Holzverarbeitung in Veji hat Francesco Buranelli zu Recht die Brücke zur Odyssee und zur besonderen Begabung von Odysseus als Schreiner geschlagen: Wenn auch möglicherweise alle erwachsenen Männer mit solchen Werkzeugen umgehen mussten, wurden die speziellen Geräte nur in wenigen Fällen zur Aus-

1110 Iaia 2006, 192–194. 198 f.; siehe Kapitel 3.2.10 »Äxte und Beile aus Eisen« für Angaben zu den Vergleichsexemplaren.

1111 Iaia 2006, 192–194.

1112 Valle Sorigliano (Santa Maria d'Anglona, Tursi) Grab 31, u. a. Dechsel, Schaftlochaxt, mehrere Werkzeuge, Schwert und zwei Lanzen: Iaia 2006, 199.

1113 Incoronata (San Teodoro, Pisticci) Grab 455, u. a. Schwert, Lanzen spitze: Chiartano 1994, 48. Valle Sorigliano (Santa Maria d'Anglona, Tursi) Grab 151, u. a. Dechsel, Lanzen spitze; Valle Sorigliano (Santa Maria d'Anglona, Tursi) Gräber 123 und 139 enthielten eine andere Form der *ascia a lama piatta* mit seitlichen Auswüchsen, mit Messern und in einem Fall einen Meissel: Iaia 2006, 199. Roggiano Gravina Grab 5, u. a. Dechsel, Meissel, Messer, Speer; Roggiano Gravina Grab 4, Dechsel, Messer: Carrara – Guzzo 1981, 456 Nr. 3 Abb. 13, Grab 4; 457 f. Nr. 10 Abb. 14, Grab 5, Doppelgrab.

1114 Iaia 2006, 192–194.

1115 Iaia 2006, 191 f. Abb. 3, 9–15. Im Deposito Centrale des Cerchio Reale (CR A) befanden sich Querbeil und Meissel; in Grab Temparella 41 fand man eine Schaftlochaxt, eine Dechsel, ein langes Messer und eine Hippe; in Temparella 87 wurden auch eine Schaftlochaxt und ein langes Messer gefunden; in Vigneto 5 befanden sich Meissel und Sichel. Vgl. Tab. 4.2. Siehe auch die Vergesellschaftung von Meissel und Utensilien für die Holzverarbeitung in den Gräbern Pontecagnano Casella 4890, Valle Sorigliano 31, 105 und 139, Roggiano Gravina 5; Valle Sorigliano 31, 84, 169 und 19: Iaia 2006, 199; Bianco 1993, 11–14.

1116 Iaia 2006, 191 f.: möglich ist eine Benutzung auf weichen Materialien wie Holz oder Knochen, aber auch auf Metall; häufig kommen sie in Zusammenhang mit Utensilien für die Holzverarbeitung vor.

1117 Gräber Temparella 41 (zusammen mit Meissel, Dechsel, Schaftlochaxt und Messer), Lettere F; Iaia 2006, 194 Abb. 4, 15. 16; Ferranti – Quondam 2015, 55–57. Zur Unterscheidung zwischen Hippe und Sichel: Scavello 2015. Vgl. Pontecagnano Grab 3090: Aurino – Gobbi 2012, 808.

1118 Grab Vigneto 5, zusammen mit Meissel, bei Iaia als Hippe bezeichnet; zu den Sichel: Iaia 2006, 194 Abb. 4, 13. 14. Vergleiche: Valle Sorigliano 31, 102 und 105; Valle Sorigliano 19: Bianco 1993, 13.

zeichnung des »vero artigiano del legno« ins Grab gelegt¹¹¹⁹. Wie bei Odysseus unterstreicht das körperlich anstrengende Handwerk die Männlichkeit und Kraft sowie die Unabhängigkeit des Protagonisten, der die manuelle Arbeit selbst ausführen kann. In diesem Sinne brachten auch Paola Aurino und Alessandra Gobbi die Werkzeuggräber von Pontecagnano unlängst in einen Zusammenhang mit den »attività manuali dell'uomo, riportandone la carica ideologica al concetto della *duritia* e dell'esaltazione delle fatiche legate ai lavori primari«¹¹²⁰. Dabei gerät m. E. allerdings zu sehr in den Hintergrund, dass die behandelten Gräber von Pontecagnano in der Regel eine Vielzahl von Rangabzeichen (Bronzegeschirr, Schwerter, Waffen, Importgüter, Bratspiesse usw.) enthalten und dass die Werkzeuge nur eines davon sind. Wir haben es somit mit Bestattungen von Mitgliedern der lokalen Eliten zu tun, die sich gerade im Laufe des 8. Jahrhunderts v. Chr. (und insbesondere in dessen zweiter Hälfte) formierten und eine eigene Selbstdarstellung im funeren Bereich entwickelten. Die Beigaben trugen zu dieser Selbstdarstellung bei und müssen nicht zwangsläufig mit den tatsächlich vom Verstorbenen ausgeübten Tätigkeiten übereinstimmen¹¹²¹. So sieht auch Cristiano Iaia in der Beigabe von Geräten vielmehr ein Symbol der »partecipazione alle attività produttive in senso di guida e coordinamento« und besonders im Falle der Gräberfelder Mittel- und Norditaliens als »simboli di un ruolo direttivo-manageriale di alcuni individui di alto *status* nell'ambito di una produzione domestica 'allargata' e potenziata«¹¹²². In eine ähnliche Richtung geht Biba Teržan bei der Betrachtung der überdurchschnittlich reichen Gräber mit Arbeitsgeräten zur Verarbeitung von Holz und Metall in der Balkanregion und im südalpinen Gebiet der Eisenzeit. Diese Beigabe symbolisiere laut B. Teržan nicht nur die persönlichen Fähigkeiten des Grabinhabers, sondern insbesondere seine Rolle als Herrscher über Handwerker¹¹²³. Diese Interpretation kann m. E. durchaus auf die Geräte in den reichen Männergräbern Süditaliens übertragen werden. Nicht der Anführer als geschickter Handwerker oder Obstbauer, sondern seine Rolle in der Kontrolle und Organisation unterschiedlicher Handwerker und Bauern – und in letzter Instanz seine Kontrolle über das Land und die damit verbundenen Ressourcen – sollen durch die Geräte zum Ausdruck gebracht werden¹¹²⁴.

1119 Buranelli 1979, 9. Vgl. Hom. Od. 5, 234–237. 244–251; 23, 189 f. 195–198.

1120 Aurino – Gobbi 2012, 826.

1121 Zum Thema der Darstellung von ausgewählten sozialen Rollen im Grab siehe Saltini Semerari 2015. Die Beigabe von Waffen und Schreinerutensilien in Kindergräbern kann ebenfalls als Beleg dafür genannt werden: Bartoloni 2003, 182–184; Iaia 2006, 197 Gräber 557, 515 und 678 in Pithekoussai. Vgl. allg. auch Teržan 1994 und Stöllner 2007.

1122 Iaia 2006, 196 f.

1123 Teržan 1994, 665.

1124 Vgl. Piranomonte 2001, 18 für eine Interpretation der Utensilien der Landwirtschaft in der Basilikata als Symbole des Landbesitzes und der Kontrolle der Produktion.

4.2.4 Fazit

Im Rahmen der oinotrischen Bestattungsbräuche für Männer scheint Francavilla Marittima eine Sonderstellung einzunehmen. Die Betrachtung ist zwangsläufig durch die Publikationslage der einzelnen Fundorte und das vielerorts völlige Fehlen anthropologischer Bestimmungen bedingt, doch scheint die Varietät der möglichen Kombinationen von Waffen und Werkzeugen und die geringe Anzahl von Lanzenträgern in der Macchiabate-Nekropole im Moment tatsächlich keinen guten Vergleich unter den zeitgleichen Nekropolen Kalabriens und der Basilikata zu finden. Das Bild einer standardisierten Bewaffnung, wie es in anderen oinotrischen Zentren und etwa in Pontecagnano zu fassen ist, ist in Francavilla Marittima nicht nachvollziehbar. Ein unterschiedliches Kampfverhalten oder eine abweichende Technik muss trotzdem nicht postuliert werden. Wenn die Lanze oder der Speer in den anderen oinotrischen Zentren als Hauptattribut des (erwachsenen? kampffähigen?) Mannes im Grab benutzt wird, bedeutet dies nicht, dass die Männer nicht auch andere Rollen im Leben innehatten und weitere Tätigkeiten ausübten, wie z. B. Jagd, Landwirtschaft oder Handwerk¹¹²⁵. Standardisiert ist daher bis zu einem gewissen Grade das auf materiellen Statusmarkern fussende Bestattungsbrauchtum an sich, nicht jedoch die Auswahl einzelner Beigabekategorien. In Francavilla Marittima scheinen die Eliten einen grösseren Wert auf die Darstellung mehrfacher Rollen gelegt zu haben, und zwar durch unterschiedliche Waffen und zahlreiche Werkzeuge. Varietät ist auch bei der Betrachtung der Trachtbestandteile aus den Männergräbern zu erkennen. Statt der fast standardisierten Beigabe von 1–2 Schlangenfibern wie in Valle Sorigliano (Santa Maria d'Anglona, Tursi) weist ein grosser Teil der Bestattungen in Francavilla Marittima Kombinationen von mehreren Exemplaren auf, bis hin zu den 9 Schlangenfibern im Grab Temparella 41 und zu den 19 Exemplaren im Grab Strada 5 – beides Komplexe ohne Schwerter, die jedoch aufgrund der besonderen Werkzeugkombinationen (Temparella 41) und der als Insigne gedeuteten Bronzelanze (Strada 5) ausgezeichnet sind. Eine besondere Tracht zeichnete wohl auch den Mann aus Grab De Leo 1 aus, mit fünf bronzenen und eisernen Schlangenfibern, darunter einem monumentalen Exemplar aus Bronze des Typs Lo Schiavo 341 (DL1/6). In diesem Fall besass der Mann gar keine Waffen, seine vornehme Rolle als Angehöriger der Oberschicht wurde jedoch durch die Beigabe eines Bronzekessels, einer Bronzeschale, einer Schaftlochaxt und eines oinotrisch-euböischen Kraters unterstrichen.

Nicht nur Krieg oder Jagd (Waffen) bzw. eine Anführerrolle (z. B. Bronzelanze aus Grab Strada 5; Langschwerter aus dem Areal Est), sondern auch Landbesitz (Werkzeuge für landwirtschaftliche Arbeiten) und womöglich Kontrolle über gewisse Produktionsabläufe und Rohstoffe (Handwerksutensilien) kommen in Francavilla Marittima zum Ausdruck. Die Vielfältigkeit der Kombinationen in den reicheren Gräbern erinnert an die Bestattungen der Phase IIB in Pontecagnano,

1125 Saltini Semerari 2015, insb. 136–139.

ohne jedoch den Prunk zu erreichen, der sich in Pontecagnano im Phänomen der 'Fürstengräber' der frühorientalisierenden Zeit entfalten wird¹¹²⁶. Möglicherweise erforderte in Francavilla Marittima die Konkurrenz zwischen unterschiedlichen aristokratischen Gruppen (die in unterschiedlichen Arealen der Nekropole bestatteten) die Auszeichnung von mehreren Akteuren durch nicht standardisierte Grabinventare und die Zur-schaustellung mehrerer sozialer Rollen. Vielleicht kann man daraus folgern, dass die Formierung der Eliten als Clans mit separaten Bestattungsarealen in der Macchiabate-Nekropole – als wohl jüngstes der hier aufgeführten Gräberfelder des oiontrischen Kulturkreises – mehr Raum für die funéraire Selbstdarstellung der einzelnen Gruppen liess und die letzte Stufe auf dem Weg zur Ausbildung einer gentilizischen Gesellschaft wie in Pontecagnano und in Etrurien bildete¹¹²⁷.

Camilla Colombi

4.3 Frauengräber

4.3.1 Methodologische Überlegungen

Die Suche nach regelhaften Kombinationen unter den Beigaben und Trachtbestandteilen¹¹²⁸ von Frauengräbern erscheint vielversprechend, da gerade der Trachtschmuck nicht nur Indiz von geschlechtsspezifischen, sondern auch von weiteren soziokulturellen Faktoren wie z. B. Alter und/oder Prestige sein kann¹¹²⁹. Als Medium der nonverbalen Kommunikation spielt der Trachtschmuck eine massgebliche Rolle bei der zwischenmenschlichen Interaktion. In ihrer spezifischen Kombination senden die Schmuckstücke eine Botschaft an das Gegenüber, das den Inhalt aufgrund seiner sozialen Erfahrung zu entschlüsseln vermag bzw. das Zeichensystem dekodiert¹¹³⁰.

Menschen neigen dazu, territoriale und/oder soziale Gruppen zu bilden¹¹³¹. Dabei entsteht das Bedürfnis, die Zugehörigkeit zu einer solchen Gruppe – oft in Abgrenzung zu einer Anderen – zum Ausdruck zu bringen. Schmuck und Trachtbestandteile eignen sich gut, um diese eigene Identität nonverbal zu kommunizieren, da sie über eine verhältnismässig lange Dauer am Körper getragen werden. Zudem ist – anders als bei Gebrauchsgegenständen – die Wahl von Grundform und Material nicht durch einen Verwendungszweck vorgegeben, sondern basiert stärker auf dem jeweiligen ästhetischen Empfinden des Individuums bzw. der Gruppe, auch wenn sich

Schmuck, z. B. im Falle einer Fibel oder eines Gürtels, nicht von jeglicher praktischen Funktion trennen lässt.

Ein methodisches Problem, das sich bei der Analyse von Ausstattungskombinationen ergibt, ist die Tatsache, dass ein Individuum im Verlauf seines Lebens – diachron, aber auch synchron – mehrere Identitäten besitzen und offenbaren kann¹¹³². Die letzte Tracht, und damit den letzten Ausdruck von individueller Identität, bestimmt allerdings nicht mehr die jeweilige Person, sondern ihre Hinterbliebenen bei der Bestattung¹¹³³. Hierbei können neben Alter und Geschlecht auch Faktoren wie z. B. Status, Abstammung, Tätigkeit, ökonomische und soziale Rolle, sowie Ort und Art des Todes für die jeweilige Grabausstattung von Bedeutung sein¹¹³⁴.

Verschiedentlich wurde in den letzten Jahren anhand der Grabinventare von reichen Frauenbestattungen der italischen Eisenzeit darauf hingewiesen, dass Frauen eine den Männern äquivalente, in einigen Fällen sogar überlegene soziale Stellung einnehmen konnten¹¹³⁵. Man wird dieser Erkenntnis im Grundsatz gerne zustimmen. Gleichwohl ist darauf hinzuweisen, dass damit ein methodisches Problem verbunden ist, das stets von Fall zu Fall neu geprüft werden muss: die Frage, ob die Beigaben Auskunft über die bestattete Person oder die bestattenden Personen geben. Hinzu kommt die Schwierigkeit, den materiellen und sozialen Wert von Gegenständen mit antiken Massstäben zu beurteilen, und nicht zuletzt ist zu berücksichtigen, dass sich die Beigaben aus vergänglichem Material – Textilien etwa – unserer Beurteilung voll und ganz entziehen¹¹³⁶. Daher können Bestattungen mit wenigen Objekten nicht per se als 'ärmer' eingestuft werden. Mit ihren bisherigen Methoden und Quellen ist die Archäologie nicht in der Lage, diese Fragen mit Sicherheit zu beantworten. Es ist daher nicht möglich, anhand der Grabbeigaben eindeutige Aussagen über das Verhältnis zwischen den Geschlechtern oder über die soziale Position der Verstorbenen herzuleiten¹¹³⁷. Dennoch soll in diesem Kapitel versucht werden, mögliche Lesarten der Befunde bzw. des Befundes aufzuzeigen, denn »[...] Frauen [...] als eine Art Kleiderständer, an dem in Gräbern gefundene Schmuckstücke und Trachtbestandteile sowie mehr oder weni-

1126 Aurino – Gobbi 2012; Cuzzo 2003; D'Agostino 1977.

1127 Vgl. Peroni 1994, 869–871 für die Interpretation der Gräbergruppe der Temparella als gentilizische Gruppe, die ähnlich wie in Etrurien strukturiert war; 877 für die Entwicklung hin zu einer gentilizischen Gesellschaft in der Sibaritide am Ende der Phase IFe2B. Siehe auch Kapitel 5.4.

1128 Zum Begriff der Tracht vgl. Anm. 284.

1129 Gessner 2005, 1.

1130 Vgl. Schneider u. a. 1979; Schulz von Thun 2001.

1131 Eibl-Eibesfeldt 1995, 455 f.

1132 So zeigen z. B. ethnographische Beobachtungen auf Neuguinea, dass sich die Bewohner eines Dorfes im Alltag individuell unterschiedlich kleiden, während bei offiziellen Zusammenkünften mehrerer Dörfer der Fokus auf einer möglichst einheitlichen Wahl von Kleidung und Schmuck liegt, um der gemeinsamen Identität Ausdruck zu verleihen: Gessner 2005, 6.

1133 Gessner 2005, 6.

1134 Gessner 2005, 11.

1135 Vgl. u. a. Amann 2000, 13–19. 209–211.

1136 Da die Textilproduktion nicht zuletzt mit einem hohen zeitlichen Aufwand verbunden war, dürften Stoffe einen hohen Wert besessen haben. Stadler beschreibt die Textilherstellung als Wirtschaftsfaktor und verweist auf mehrere hallstattzeitliche Funde von sehr grossen Webstühlen, die als Indiz für spezialisiertes Handwerk gelten. Ähnliche Überlegungen könnten auch zum Webstuhl in Gebäude Vb gemacht werden, auch wenn bereits die Lage eher für eine sakrale und gegen eine industrielle Nutzung spricht; Stadler 2014, 7 f.

1137 Quast 2011, 2; Bulla 1998, 2.

ger phantasievoll Kleidungsstücke malerisch drapiert werden, um deren Tragweise zu demonstrieren¹¹³⁸« darzustellen, bringt die Archäologie als sozialgeschichtliche Wissenschaftsdisziplin nicht voran.

Schmuck wird meist mit Weiblichkeit assoziiert¹¹³⁹. Allerdings zeigt die folgende Definition im Wörterbuch für Völkerkunde, dass er keineswegs Frauen vorbehalten ist: »[Schmuck ist] das Bemühen des Menschen, durch Einwirkungen blutiger und unblutiger Art (Deformierung, Tatauierung, Zahndeformation, Schädeldeformation) oder durch Anbringen oder Anlegen verschiedener künstlicher oder natürlicher Gegenstände oder Stoffe die natürliche Form bestimmter Körperteile zu verändern oder sie besonders zu betonen. Die Gründe eines solchen Verhaltens können magisch-religiöser Natur sein, sie können dem Geltungsdrang (Imponiergehabe, sozialer Rang, Reichtum, kriegerische Herausforderung) ihr Entstehen verdanken, der S[Schmuck] kann aber auch auf dem Sektor der Geschlechterbeziehungen (als Werbemittel, Betonung bestimmter männlicher und weiblicher Eigenschaften) und verschiedener Übergangsriten (...) eine wesentliche Rolle spielen«¹¹⁴⁰. Diese Definition offenbart, dass wir aus archäologischer Sicht oft nicht in der Lage sind, die Schmuckausstattung einer Bestattung ganzheitlich zu erfassen. Neben Objekten aus vergänglichen Materialien entziehen sich insbesondere Markierungen auf der Haut der Verstorbenen, wie z. B. Tätowierungen und Schminke, der wissenschaftlichen Beurteilung.

4.3.2 Ausstattungskombinationen

In ihrem 2015 erschienenen Artikel vergleichen Francesca Ferranti und Francesco Quondam die Nekropolen von Valle Sorigliano (Santa Maria d'Anglona, Tursi) und Francavilla Marittima¹¹⁴¹. Dabei erschliessen sie für die Frauengräber sechs verschiedene Ausstattungskombinationen, die nachfolgend auf ihre Relevanz für die Gräber im Areal Strada überprüft werden sollen (vgl. Tab. 4.6)¹¹⁴²:

- Kombination F4: In diesen Gräbern wurden weder Elemente einer Gürtelgarnitur noch Perlen gefunden, die Keramikausstattung besteht aus dem Standardset von grossem Gefäss und Tasse.
- Kombination F3: Diese Gruppe enthält keine Elemente von Gürtelgarnituren. Allerdings wurden Glas- und Bernsteinperlen sowie einige bronzene Schmuckgegenstände gefunden. Im Vergleich mit F4 scheinen zudem mehr Fibeln mitgegeben worden zu sein.

- Kombination F2A: Diese Gruppe von Gräbern weist komplexe Gürtel mit beiden Teilen der *dischi compositi* auf (Scheibe und *cupolino*). Allerdings gehören weniger weitere Bronzeobjekte zu den Beigaben, z. B. fehlen Arm- und/oder Halsreifen.
- Kombination F2B: Die Kombination unterscheidet sich von F2A dadurch, dass nur die Scheibe oder nur der *cupolino* eines *disco composito* beigegeben wurde.
- Kombination F1: Diese Gräber weisen das grösste Fundspektrum an Bronzeobjekten auf. Charakteristisch sind komplexe Gürtelgarnituren. In Francavilla Marittima bestehen jene aus *dischi compositi* mit *cupolino*, Radanhängern und Ringanhängern. Von den Kombinationen F2A und F2B grenzen sie sich durch die zahlreichen weiteren Schmuckobjekte (z. B. Armreifen) ab.
- Kombination X: Die Gräber dieser Gruppe weisen Bronzegefässe, mehrere Fibeln sowie griechische Importkeramik auf. Die für oionotrische Frauengräber sonst üblichen Schmuckgegenstände aus Bronze fehlen jedoch vollständig.

Diese von F. Ferranti und F. Quondam zur Diskussion gestellten Kombinationsgruppen stellen ein wertvolles erstes Analyseinstrument dar. Allerdings werden zahlreiche Faktoren, wie z. B. das Material der Fibeln (und weiterer Schmuckgegenstände), die Kopfbedeckung oder die Webutensilien ausser Acht gelassen. Anhand der Kombinationsgruppen von Grabbeigaben und Trachtbestandteilen sind weitere Beobachtungen möglich. Fast alle Frauengräber enthalten Schleifenringe. Daraus lässt sich schliessen, dass entweder der Ohrschmuck oder die Frisur – zumindest für die Bestattung – normiert war. Weiter lässt sich festhalten, dass Bernstein, der als teures Importgut gilt, nur in den Gräbern der Klasse F4 zu fehlen scheint. Dies lässt zwei Möglichkeiten offen: entweder die auf der Macchiabate-Nekropole bestatteten Personen gehörten – mit wenigen Ausnahmen – einer privilegierten Oberschicht an oder der Bernstein war leichter verfügbar und günstiger als dies zumeist vermutet wird¹¹⁴³. Eine weitere Erkenntnis betrifft die ungleiche Verteilung der tönernen Kannen. Sie treten bevorzugt in Gräbern mit wenigen Objekten auf, während für die Olla das Gegenteil der Fall ist.

Im Folgenden wird versucht, die von F. Ferranti und F. Quondam präsentierten Ausstattungs- und Beigabekombinationen auf die Gräber des Areals Strada zu übertragen (Tab. 4.6). Das primäre Gliederungskriterium von F. Ferranti und F. Quondam sind die Gürtelgarnituren. Unter den Frauengräbern des Areals Strada weisen die Gräber Strada 4, 6, 11 und 14 Teile solcher Gürtel auf. Strada 6 und 14, die jeweils nur die Scheibe eines *disco composito* enthalten, lassen sich der Kombination F2B zuteilen (Taf. 33. 34. 58. 59). Die Einordnung von Strada 11 und 4 ist schwieriger. In beiden fehlen

1138 Röder u. a. 1996, 144.

1139 Vgl. u. a. Bentini – Boiardi 2007, 127; Pacciarelli 2007, 117; Bulla 1998, 199.

1140 Hirschberg 1965, 390.

1141 Für die Objekte sind vor allem die Materialunterschiede auffällig. Zahlreiche Funde wie Schleifenringe, Fingerspiralen und Vierspiralfibeln bestehen in Francavilla Marittima immer aus Bronze, während sie in Valle Sorigliano (Santa Maria d'Anglona, Tursi) regelhaft aus Eisen gefertigt sind; Ferranti – Quondam 2015, 57 f.

1142 Ferranti – Quondam 2015, 68–72 Abb. 6.

1143 Zu berücksichtigen wäre hier auch der quantitative Faktor des Bernsteins in den Gräbern, der sich z. T. auf wenige kleine Perlen beschränkt, aber auch aus ganzen Gehängen bestehen kann.

	Kombination		Anthropologie		Bronzegefäß	Dolium	Gefäß (Olla)	Amphore	Anforetta	Olla	Kanne	Geschlossenes Gefäß	Tasse	Becher	Schale mit einwärts gerichtetem Rand	Scodella, kegelstumpf	Kotyle	Amphore Import	Pyxis
T8	X				1												1	1	1
T88	X				2								1				1		
S1	1				1							1		1					
T1	1												1						
T57	1										1			1					
T60	1																		
T63	1																		
T67	1																		
T86	1																		
S4	infans II-juvenil	1																	
S11	adult-matur	1																	
CRI1	2A	5																	
T27	2A	5																	
T39	2A	6																	
U16	2A	3																	
T76b	2B	2																	
V3	2B	4																	
S14	matur	2B	5																
S6	adult-matur	2B	3																
T16	3	3																	
T61/62a	Infans?	3	2																
T82	3	1																	
V6	3	1																	
S2	juvenil-adult	3	3																
S13	adult	3	2																
T76a	4	3																	
V2	infans?	4	1																

Tab. 4.6 Beigabengruppen der Frauengräber der Macchiabate-Nekropole nach Ferranti – Quondam 2015, Abb. 6. Farblich markiert: Gräber des Areals Strada.

disco composito und *cupolino*, dafür verfügt Strada 11 – als bisher einziges Grab des Areals Strada – über einen Radanhänger (S11/6, Taf. 47–50). Strada 4 (Taf. 19–22) enthält ausser den Ringanhängern (S4/20–22) und den Röhrchen (S4/44–49), die eventuell Teil einer am Gürtel befestigten Rassel waren, keines der grossformatigen Gürtelgarniturelemente wie etwa den *cono di lamelle* oder das sog. Xylophon aus Temparella 60. Auch der sonst für diese Kombination charakteristische Armschmuck fehlt. Aufgrund ihrer zahlreichen weiteren Beigaben sind jedoch beide Gräber am ehesten der Kombination F1 zuzuordnen. Die beiden letzten Gräber, Strada 2 und 13, zeichnen sich sowohl durch das Fehlen von Gürtelbestandteilen als auch von Bronzegefässen aus (Taf. 13. 14. 55). Der Nachweis von Kettengliedern aus Bronze, Bernstein und Glas legt ihre Einordnung in die Kombinationsgruppe F3 nahe.

Allgemein zeigt sich, dass sich die Frauengräber des Areals Strada nicht nahtlos in die von F. Ferranti und F. Quondam etablierten Beigabengruppen einpassen lassen. Dies kann viele Gründe haben. Methodisch sind zum einen die unterschiedlichen Grabungsmethoden und Erhaltungsbedingungen als Ursache denkbar, zum anderen das relativ kleine Korpus von nur sechs Gräbern. Auffällig ist z. B., dass bisher im Areal Strada keine Armreife und -ringe gefunden wurden. Dafür kann der Zufall verantwortlich sein. Es ist jedoch ebenso zu bedenken, dass sich das Areal Strada auch bezüglich der vorherrschenden Grabarchitektur von den anderen Arealen unterscheidet. Dass sich ähnliche Nuancen auch im divergierenden Trachtbrauchtum der verschiedenen Bestattungsgruppen niedergeschlagen haben, erscheint durchaus möglich.

Besonders wertvoll für die Analyse der Beigabenkombinationen sind die anthropologischen Bestimmungen. Sie stellen – im Gegensatz zu sozialem Status – eine objektive Grösse dar. So konnte gezeigt werden, dass im Areal Strada die Webutensilien in den Gräbern der jüngsten Individuen (Strada 2 und 4) lagen (vgl. Kap. 3.2.3). Dieselbe Feststellung wurde bereits für die Nekropole von Osteria dell’Osa gemacht¹¹⁴⁴. Ebenso scheinen die sog. Fingerspiralen bevorzugt bei jugendlichen weiblichen Individuen aufzutreten. Da sie nicht nur im Bereich der Hände, sondern auch der Füsse gefunden wurden, kann davon ausgegangen werden, dass sie die Trägerinnen in ihrer Fortbewegung oder ihrer Möglichkeit, Objekte zu greifen, massiv eingeschränkt haben. Kleidungsstücke, die die Bewegungsfreiheit einschränken, kommen gehäuft, wenn auch nicht ausschliesslich, in höheren Gesellschaftsschichten vor¹¹⁴⁵.

4.3.3 Geräte zur Textilherstellung in Frauengräbern der Macchiabate-Nekropole

Was für Männergräber die Waffen und Werkzeuge sind, sind Textilgeräte für Frauengräber (vgl. Kap. 4.1). Durch die Herstellung von herausragenden Textilien konnten Frauen das soziale Prestige der Familie steigern. Diese werden oft als Zeichen

des weiblichen Hausfleisses bzw. der den Frauen obliegenden Fürsorge für den Haushalt gedeutet¹¹⁴⁶. Wie in den meisten anderen Nekropolen des oinotrischen Kulturkreises (z. B. Valle Sorigliano [Santa Maria d’Anglona, Tursi] oder Amendolara) sind Spinnwirtel auch in den Gräbern der Macchiabate-Nekropole die häufigste Fundgruppe unter den Geräten zur Textilherstellung, belegt in insgesamt zehn Bestattungen, darunter zwei aus dem Areal Strada (Strada 2 und 4, Taf. 14. 20)¹¹⁴⁷. Seltenere sind die Webgewichte, die im Areal Strada nur in Grab 4 (Taf. 20) und insgesamt weitere vier Mal in der Nekropole belegt sind¹¹⁴⁸. Für die Nekropole von Osteria dell’Osa wurde festgestellt, dass Spinngeräte (Spindeln, Spinnwirtel und Rocken) hauptsächlich in Gräbern von jungen Mädchen zu Tage traten¹¹⁴⁹. Dieser Sachverhalt wurde damit begründet, dass die Tätigkeit des Webens nicht mit der Rolle der erziehenden Mutter verträglich sei¹¹⁵⁰. Entsprechende Gesichtspunkte könnten auch für die Frauengräber des Areals Strada zutreffen. Webutensilien und Spinnwirtel befanden sich im Grab Strada 4, dem Grab eines ca. 12-jährigen Mädchens. Einen Spinnwirtel enthielt auch die Bestattung Strada 2, die einer anthropologisch jungen bis erwachsenen Frau – wohl im gebärfähigen Alter – zuweisbar ist. Zur selben Altersklasse gehörte auch die Frau aus dem neu gefundenen Grab Est 5, das ebenfalls mit einem Spinnwirtel ausgestattet war¹¹⁵¹. Den drei älteren Individuen aus den Gräbern Strada 6, 11 und 14 wurden dagegen weder Webutensilien noch Spinngeräte beigegeben.

Neben Spinnwirteln und Webgewichten gehören Geräte wie Garnspulen, Spindeln und Spinnrocken zu den in der italienischen Eisenzeit bekannten Geräten für die Textilherstellung. Die an der tyrrhenischen Küste verbreiteten Garnspulen aus Ton scheinen in den Gräbern der Macchiabate-Nekropole zu fehlen (vgl. Tab. 4.6). Ebenso wenig scheinen Spinnrocken

1146 Huth 2010; Metzner-Nebelsick 2010, 20.

1147 Übersicht in Kleibrink 2016c; Kleibrink 2017, 34–54; Luppino u. a. 2012, 666 Abb. 8. Jeweils ein Exemplar befand sich in den Gräbern Temparella 8, 61/62, 67, 76B, 88 und Vigneto 3. Eine Gruppe von 25 Spinnwirteln stammt aus Grab Temparella 86. Zancani Montuoro 1983/1984, 48 listet ausserdem 20 Spinnwirtel aus den der Nekropole vorangehenden Benutzungsphasen: Diese Exemplare werden von F. Quondam teilweise dem Grab Temparella 63 (10 Exemplare) zugeschrieben. Weitere Exemplare sind aus dem Areal Est bekannt, vgl. zuletzt Guggisberg u. a. 2019, 97–101 Taf. 11, 1 zu Grab Est 12 mit über 30 Spinnwirteln.

1148 Übersicht in Kleibrink 2017; Luppino u. a. 2012, 666 Abb. 8. Webgewichte gehören zu den Bestattungen Temparella 16, 63, 86 und Vigneto 6. Nicht berücksichtigt werden hier die neuen Funde aus dem Areal Est, vgl. insb. Guggisberg u. a. 2018a, 79, Doppelgrab eines Mannes und eines Kindes Est 10 mit zwei Webgewichten, eines davon mit Labyrinthmuster; Guggisberg u. a. 2019, Grab Est 12, zwei Exemplare mit Labyrinthmuster zusammen mit 30 Spinnwirteln. Die Webgewichte wurden von der Ausgräberin P. Zancani Montuoro meist einer der Nekropole vorangehenden Phase zugeschrieben, vgl. etwa die Exemplare aus Temparella 16: Zancani Montuoro 1980–1982, 56 Nr. 21. 22 Taf. 27a; Kleibrink 2004a, 562.

1149 Bietti Sestieri 1992a, 130 f.; Bietti Sestieri 1992b, 496–498; Gleba 2015, 109.

1150 Amann 2000, 27 f.

1151 Guggisberg u. a. 2017, 82 f.

1144 Bietti Sestieri 1992a, 130 f.; Gleba 2015, 109.

1145 Vgl. Grömer u. a. 2012.

und Spindeln in Francavilla Marittima belegt zu sein, was vermutlich darauf zurückzuführen ist, dass diese mehrheitlich aus Holz gefertigt waren¹¹⁵². Spinnwirtel können somit auf die Präsenz einer Spindel hinweisen, wurden jedoch auch als Einzelstücke oder in mehrfacher Ausführung in Gräber gelegt. Denkbar ist auch, dass die Spinnwirtel als Einzelstücke in einem Beutel oder aufgezogen auf einer Schnur ins Grab gelangten, eine Annahme, die dadurch bestätigt wird, dass die Geräte vielfach keine Gebrauchsspuren aufweisen. Bemerkenswert erscheint in diesem Zusammenhang die Fundlage der Webgewichte und Spinnwirtel aus Grab Strada 4, die – mit Ausnahme des grossen labyrinthgeschmückten Webgewichts S4/9 – nahe beieinander im mutmasslichen Hüftbereich der Verstorbenen gefunden wurden, wo sie möglicherweise in einem Behälter aus organischem Material niedergelegt waren. Somit sind Spinn- und Webutensilien in den Gräbern nicht ausschliesslich Dinge, welche die Bestatteten in ihrem Leben benutzt haben, sondern sie scheinen auch aufgrund ihres symbolischen Werts mit ins Grab gelegt worden zu sein¹¹⁵³.

4.3.4 Fazit

Die sechs untersuchten Frauengräber des Areals Strada bilden aufgrund ihrer Architektur (mit Ausnahme von Strada 6 handelt es sich um monumentale Fossagräber) und ihrer Datierung (IFe2) eine scheinbar homogene Gruppe. Allerdings weisen die darin gefundenen Reste von Trachtschmuck und weiteren Beigaben eine hohe Variabilität auf¹¹⁵⁴. Dies kann mehrere Gründe haben. Die Altersunterschiede – ein ca. 12-jähriges Mädchen in Strada 4¹¹⁵⁵ und eine gegen 60-jährige Frau in Strada 14 – werden sicher eine Rolle spielen. Daneben sind soziale Unterschiede, Migration und/oder persönlicher Geschmack, sowohl der Verstorbenen, als auch der Bestattenden, als weitere Faktoren anzunehmen. Zahlreiche Funde aus Bronze, Silber, Bernstein und Glas zeugen davon, dass die Gemeinschaft, welche sich im Areal Strada (und in der gesamten Macchiabate-Nekropole) bestatten liess, Zugriff auf ein weitreichendes Handelsnetzwerk hatte, über welches Rohstoffe und Endprodukte importiert – und mit Sicherheit auch exportiert – werden konnten¹¹⁵⁶.

Einzig das bereits durch seine abweichende Orientierung auffällige Grab Strada 13 weist keine Funde aus z. B. Bernstein oder Glas auf, die explizit auf einen solchen Fernhandel verweisen. Allerdings lässt sich die eiserne Zierscheibe (S13/12) mangels Vergleichen bisher nicht eindeutig einordnen. Sie

könnte also Hinweis auf einen fremden Einfluss sein, womit alle untersuchten Frauengräber des Areals Strada Spuren weitreichender Kontakte aufweisen würden. Naheliegender scheint jedoch die Erklärung, dass die Zierscheibe ähnliche, lokale Scheiben aus Bronze imitiert¹¹⁵⁷.

In fast der Hälfte der Frauengräber der Macchiabate-Nekropole wurden keine Objekte aus Bernstein und/oder Glas festgestellt¹¹⁵⁸. Lässt man die eindeutig dem 7. und 6. Jahrhundert v. Chr. zurechenbaren Gräber weg, fehlen in rund 40% der Gräber diese subtilen Anzeichen von Kontakt mit dem Fernhandelsnetz. Diese Gräber lassen sich dennoch nicht *a priori* einer weniger privilegierten Gruppe zuschreiben. So weisen z. B. einige davon eine überdurchschnittliche Ausstattung mit Trachtgegenständen aus Bronze auf (vgl. z. B. Temparella 3, 57, 86, Lettere A). Die Mehrheit der in der Macchiabate-Nekropole bestatteten Frauen bzw. diejenigen, welche sie bestatteten, hatten also Zugang zu fremden Gütern oder verfügten über mehrere Bronzegegenstände¹¹⁵⁹, die beigegeben werden konnten. Unter der Annahme, dass die genannten Objekte einen hohen Wert darstellten, lassen sich drei mögliche Schlüsse ziehen:

- Für weniger privilegierte Gruppen war es wichtig, ihre Frauen mit möglichst vergleichbarem Aufwand wie die Privilegierteren bestatten zu lassen;
- Wir fassen eine verhältnismässig egalitäre Bestattungsgemeinschaft mit wenigen Ausreissern nach oben bzw. unten, oder es liess sich nur ein eng begrenzter Personenkreis in der Macchiabate-Nekropole bestatten (keine natürliche Siedlungsgemeinschaft);
- Die Gräber der sozial weniger privilegierten Gruppe(n) wurden bisher nicht gefasst. Sei es, da sie sich nicht in der Macchiabate-Nekropole befinden oder da sie aufgrund ihrer Grabarchitektur, ihres Bestattungsritus und ihrer Beigaben archäologisch nicht (mehr) fassbar sind.

Nicht ausgeschlossen ist auch, dass wir den Grabbeigaben einen falschen Wert beimessen und das Zeichensystem somit missdeuten. Eine weitere Beschäftigung mit den Beigabekombinationen oinotrischer (Frauen-)gräber erscheint in jedem Fall lohnenswert.

Sven Billo

1152 Laurito 2015, 112.

1153 Lipkin 2012.

1154 Siehe auch Kapitel 5.6.

1155 Die Beigaben enthalten sowohl Elemente die tendenziell eher Kindern und Jugendlichen zugeschrieben werden (Doppelspiralanhänger, Fingerspiralen) als auch singuläre Objekte (Silber- und Bronzegefäss), die in der Regel mit einem hohen Status und erwachsenen Individuen verbunden werden. Der Übergang vom Mädchen zur Frau ist archäologisch praktisch nicht fassbar; siehe auch Kapitel 4.4; Steinert 2015, 21 f.; Alberici – Harlow 2007, 195–203.

1156 Zum Import von Rohstoffen und Endprodukten siehe Kapitel 3.2.11, 3.2.12 und 3.2.13.

1157 Siehe Kapitel 3.2.9 »Zierscheibe«.

1158 Die vom Basler Projekt in den Arealen Est und Collina untersuchten Gräber sind nicht berücksichtigt. Frauengräber n=64, 30 ohne Bernstein und Glas; Frauengräber ohne eindeutig ins 7./6. Jh. v. Chr. datierbare Gräber n=51; 20 ohne Bernstein und Glas (Strada 13, Temparella 3, 5, 9, 11, 15, 16, 22, 57, 72, 76a, 76b, 81, 86, Cerchio Reale 6/7b, Uliveto 15, Vigneto 2, Lettere A, G, I).

1159 Bronze oder zumindest die Rohstoffe für die Legierung mussten wohl ebenfalls importiert werden; vgl. Giardino 2005.

4.4 Kindergräber

4.4.1 Altersbegriff in der Archäologie

Wenn im Alltag von Alter gesprochen wird, ist die kalendarische Zählung der Lebensjahre gemeint. Die exakte Angabe des Alters in Kalenderjahren ist jedoch erst seit der Renaissance bezeugt¹¹⁶⁰. Befasst man sich in der Archäologie mit dem Alter eines Individuums, muss zwischen dem biologischen und dem sozialen Alter unterschieden werden: Das biologische Alter entspricht dem natürlichen Entwicklungs- und Alterungsprozess des Körpers. Das soziale Alter hingegen ist von der Gesellschaft abhängig, steht aber in Zusammenhang mit dem biologischen Alter¹¹⁶¹. Bei der Betrachtung des sozialen Alters in archäologischen Kontexten bedarf es der Hilfe kulturwissenschaftlicher Disziplinen, die sich auf besser belegte oder noch lebendige Quellen stützen. Dank Untersuchungen auf den Gebieten der Geschichte, Ethnographie und Archäologie kann davon ausgegangen werden, dass Menschen in der Vergangenheit schon lange vor Erreichen des zwanzigsten Lebensjahres, welches mit der vollständigen Ausbildung des Skelettes in der Anthropologie als Grenze gilt, als erwachsen angesehen wurden. Tatsächlich wurden wohl oftmals bereits Individuen am Ende der anthropologischen Altersklasse *Infans II* nicht mehr als Kinder angesehen¹¹⁶². Je nach Zeit und Ort sind unterschiedliche Merkmale ausschlaggebend für den Wechsel zwischen Kind und erwachsenem Individuum: So können die Ausbildung sekundärer Geschlechtsmerkmale, bei Mädchen die Menarche, das Erreichen eines bestimmten Lebensjahres, Heirat und viele andere Wendepunkte den Übertritt vom Kind zum Erwachsenen darstellen¹¹⁶³. Dabei ist aber nicht zu vergessen, dass der Übergang als Prozess zu denken ist, der sich nicht auf einen starr fixierten Punkt beschränkt, sondern sich über verschiedene Phasen erstreckt¹¹⁶⁴. Auch die Bedeutungen und Folgen des Übertritts vom Kindes- zum Erwachsenenalter sind entsprechend vielfältig. Brigitte Röder folgert somit zu Recht: »[...] bei welchem kalendarischen Alter jedoch (Alters)Grenzen gezogen und welche Eigenschaften, Rollen, Aufgaben, Rechte etc. den jeweiligen Altersstufen zugeschrieben werden, ist kulturell hochgradig variabel.«¹¹⁶⁵

Einzig die Grenze zwischen Kleinkind und Kind ist über alle Bereiche und Gesellschaften eindeutig. Denn bis zum dritten Lebensjahr bedürfen Kinder einer besonderen Aufmerksamkeit und sind vollkommen von einer oder mehreren Personen abhängig. Etwa ab dem dritten Lebensjahr ist die Zeit der frühen Kindheit abgeschlossen. Die Kinder werden zusehends unabhängiger und nehmen spezifischere Rollen auf den unterschiedlichen Ebenen der Gesellschaft ein: So kümmern sie sich um Geschwister oder Tiere und nehmen Auf-

gaben in Haushalt und Landwirtschaft wahr¹¹⁶⁶. Die ab dem Kleinkindesalter wahrgenommenen Rollen sind aber nicht nur altersabhängig, sondern liegen innerhalb »anderer sozialer Konstruktionen wie ‘Geschlecht’, ‘Familie’, ‘Verwandtschaft’ und ‘Generationenverhältnis’«¹¹⁶⁷. Die Grenze vom unselbständigen Kleinkind von weniger als drei Jahren zum selbständigen Kind lässt sich in den anthropologischen Altersklassen nicht ablesen. Doch erlaubt die relativ schnelle Zahnentwicklung zuverlässige Altersbestimmungen vor allem bei jüngeren Kindern, da Mineralisation und Durchbruch des Milch- und Dauergebisses wenig von der Umwelt beeinflusst werden¹¹⁶⁸.

4.4.2 Kinderbestattungen in der Macchiabate-Nekropole

Für die Macchiabate-Nekropole stellt das Fehlen von anthropologischen Daten bei der Mehrzahl der von Paola Zancani Montuoro erforschten Gräbern ein massives Problem für die Definition von altersspezifischen Leitfunden dar, gerade auch im Falle der Bestattungen von Kindern und Jugendlichen. Trotzdem wird in der Forschung zur Sepulkralkultur von Francavilla Marittima allgemein davon ausgegangen, dass auch in den Kindergräbern altersspezifische Beigaben vorkommen¹¹⁶⁹. So legen Francesca Ferranti und Francesco Quondam in ihrer Publikation zu den Nekropolen von Francavilla Marittima und Valle Sorigliano (Santa Maria d’Anglona, Tursi) von 2015 dar, dass Fibeln in der Macchiabate-Nekropole erst ab dem Alter von ungefähr 3 Jahren beigegeben werden¹¹⁷⁰. Diese These lässt sich mit den Fibeln aus den Kindergräbern Strada 8 (2–3 Jahre mit Schlangenfibel S8/6), Strada 12 (4–6 Jahre mit Schlangenfibeln S12/2. 3), Strada 18 (unbestimmt mit Vierspiralfibel S18/2) und Strada 19 (2–3 Jahre mit bronzedrahtumwickelter Fibel S19/12) weder widerlegen noch bestätigen. Allerdings zeigt das Grab Est 7, in dem ein drei bis sechs Monate altes Kind mit einer bronzenen Schlangenfibel beigegeben war¹¹⁷¹, dass der Bestimmung von altersspezifischen Beigaben mit einer gewissen Vorsicht zu begegnen ist.

Von Paola Zancani Montuoro wurden 36 Strukturen aus der gesamten Laufzeit der Nekropole als sichere oder mögliche Kindergräber bestimmt¹¹⁷². Sie benennt die Bestatteten als *bimbo*, *bambino*, *ragazzino* oder das Grab als *tomba infantile*. Bei welchem Altersjahr sie die Grenzen zwischen den verschiedenen Gruppen zieht, geht aus den Publikationen nicht her-

1160 Röder 2012, 22 f.

1161 Alt 2012, 340; Lewis 2007, 5.

1162 Lewis 2007, 5–7; Röder 2010, 13 f.

1163 Beispiele zur römischen Antike: Alberici – Harlow 2007, 195–203.

1164 Van Gennep 2005, 15 f. 21 f.

1165 Röder 2010, 14.

1166 Röder 2010, 14–16. Anhand der Abnutzungsspuren an Kinderskeletten aus Hallstatt konnte nachgewiesen werden, dass Kinder im dortigen Salzbergwerk tätig waren: Pany-Kucera u. a. 2010, 39.

1167 Röder 2012, 26.

1168 Herrmann u. a. 1990, 53–56; Lewis 2007, 38–47.

1169 Resultate aus der *tesi di specializzazione* von Francesco Quondam (Quondam 2011) wurden in folgenden Artikeln präsentiert: Quondam 2009; Luppino u. a. 2012; Ferranti – Quondam 2015.

1170 Ferranti – Quondam 2015, 60. 73.

1171 Guggisberg u. a. 2017, 87.

1172 Zancani Montuoro 1974–1976, 51; Zancani Montuoro 1977–1979, 15–17. 31. 33. 38. 39. 50. 52. 75. 78; Zancani Montuoro 1980–1982, 16. 57. 59 f. 63. 100. 124 f.; Zancani Montuoro 1983/1984, 27. 39 f. 47. 53 f. 68. 70. 83. 87. 104 f. 108.

vor. Für die Gräber Cerchio Reale 13 und Temparella 2 liegen anthropologische Bestimmungen aus den 1960er Jahren vor: Das Grab Cerchio Reale 13 konnte anhand der Zähne einer *ragazzina* von 7–10 Jahren (Infans II) zugewiesen werden; die Geschlechtszuweisung beruht auf den Beigaben. Die *bambina* aus Temparella 2 war 6–7 Jahre alt (Infans I/II). Die Altersbestimmung beruht auch hier auf den Zähnen, die Geschlechtszuweisung erfolgte über den Armschmuck¹¹⁷³.

Neben den Kindergräbern im engeren Sinn wurden acht Bestattungen sicher oder möglicherweise jugendlichen Individuen zugeschrieben. Sie stammen alle aus der Temparella¹¹⁷⁴. Das Fehlen von Verstorbenen der entsprechenden Altersgruppe in den anderen Bestattungsarealen erklärt sich vermutlich dadurch, dass in den jeweiligen Grabungsberichten auf eine altersspezifische Auswertung verzichtet wurde.

Im Rahmen der Basler Ausgrabungen konnten 2014 die noch erhaltenen Knochen aus den von Zancani Montuoro erforschten Gräbern im *Museo Nazionale Archeologico della Sibaritide* untersucht werden¹¹⁷⁵. Dabei ergaben sich folgende Resultate:

- Temparella 2 (Inv. 65893): Knochenreste nicht mehr näher bestimmbar.
- Temparella 19 (Inv. 66131): rechte *Clavicula* und Krone eines Milchincisivus: <7 Jahre (Infans I). Damit wird die anthropologische Untersuchung der 1960er Jahre mit dem Ergebnis von ca. 7 Jahren (Grenze Infans I/II), bei welcher möglicherweise noch auf weitere Skelettreste für eine engere Eingrenzung zurückgegriffen werden konnte, bestätigt¹¹⁷⁶.
- Temparella 66 (Inv. 66597): Knochenreste nicht mehr näher bestimmbar. Paola Zancani Montuoro schreibt das Grab einer *ragazzina* von 7–8 Jahren zu¹¹⁷⁷, was der Altersklasse Infans II entsprechen würde.
- Temparella 84 (Inv. 66776): Anhand der Kronen zweier Milchmolare und dem Fragment einer Krone eines Eckzahnes kann das Alter des Individuums auf <10 Jahre geschätzt werden. Der Entwicklungsgrad der Zähne ermög-

Grab	Altersklasse	Sterbealter	Soziales Alter
De Leo 2	Infans I	6–9 Monate	Säugling
Strada 3	Infans I	< 6 Jahre	Kind
Strada 4	Infans II	12 Jahre	Erwachsen
Strada 8	Infans I	2–3 Jahre	Kleinkind
Strada 9	Infans II	8–9 Jahre	Kind
Strada 10	-	-	Neonath/Säugling
Strada 12	Infans I	4–6 Jahre	Kind
Strada 18	-	-	? (*)
Strada 19	Infans I	2–3 Jahre	Kleinkind

[*] Folgt man der Schlussfolgerung von Ferranti – Quondam 2015, 60. 73 handelt es sich auf Grund der beigegebenen Fibel um ein Kind, dass mindestens 3 Jahre alt war.

Tab. 4.7 Die Gräber der Kinder und jungen Erwachsenen in den Arealen De Leo und Strada.

licht eine Eingrenzung des Sterbealters auf die Altersklasse Infans I, was in etwa der Bestimmung von Zancani Montuoro entspricht, die von einem Kind im Alter von ca. 7 Jahren spricht¹¹⁷⁸.

4.4.3 Kinderbestattungen der Basler Ausgrabungen

Bei den Gräbern der Basler Ausgrabungen beruht die Einteilung in Altersklassen – soweit es bei der schlechten Knochenhaltung möglich war – auf anthropologischen Bestimmungen. Dabei gilt es zu berücksichtigen, dass bei der Angabe des Sterbealters (biologisches Alter) Schwankungen in der individuellen Entwicklung die anthropologischen Bestimmungen verfälschen können (Tab. 4.7).

Die Kindergräber unterscheiden sich nur im Format von den Gräbern der Erwachsenen. Mehrheitlich entsprechen sie dem Typus der sog. monumentalen Fossagräber, mit oder ohne Bodenpflasterung (Strada 8, 12, 18 und 19, Taf. 37. 52. 74. 76). Daneben gibt es auch einfachere Bestattungen unter Steinschüttungen (Strada 3, De Leo 2, Taf. 15. 78). Kinder werden somit in Gräbern bestattet, deren Form jener der Gräber von Erwachsenen entspricht. Eine Besonderheit stellen die sog. Enchytrismoï dar, welche beigabenlos sind. Bei Strada 10 handelt es sich um eine solche Gefäßbestattung in einem grossen Vorratsgefäß aus Impasto, dem Pithos S10/1 (Taf. 42. 43). Es ist eine in Francavilla Marittima besonders zahlreich belegte Bestattungsform, auf welche im Kapitel 4.4.4 ausführlicher eingegangen werden soll.

Bezüglich der Beigaben sticht unter den Kinderbestattungen der Basler Ausgrabungen das Grab Strada 8 hervor, während Strada 19 und Grab De Leo 2 Beigaben mit relativ hohem Materialwert enthielten. Dazu gehören u. a. Bernsteinperlen, deren Rohmaterial aus weit entfernten Gebieten stammt¹¹⁷⁹,

1173 Zancani Montuoro 1977–1979, 39; Zancani Montuoro 1980–1982, 16 f.

1174 Gräber Temparella 3, 23, 31, 33, 45, 47, 56 und 81: Zancani Montuoro 1980–1982, 20. 66. 94. 96. 121 f.; Zancani Montuoro 1983/1984, 10. 80.

1175 Die Bestimmung der im Magazin des *Museo Nazionale Archeologico della Sibaritide* in Sibari auffindbaren menschlichen Skelettreste erfolgte durch die Anthropologin A. Alterauge. Neben den Zähnen und Knochen von Kinderbestattungen wurden auch die anderen noch auffindbaren, ausschliesslich aus Temparella 16 stammenden Überreste begutachtet. Dieses Grab kann anhand der Knochenfragmente des Schädels und der Phalangen mit den Inv. 66095 und Inv. 66101 auf jugendlich bis erwachsen eingegrenzt werden, was die von Zancani Montuoro 1980–1982, 50 publizierte anthropologische Bestimmung vom Alter des Individuums auf Anfang 20 bestätigt.

1176 Die beiden magazinierten Skelettreste entsprechen jenen, die von der Ausgräberin in der Publikation genannt werden (Zancani Montuoro 1980–1982, 60).

1177 Zancani Montuoro 1983/1984, 40.

1178 Zancani Montuoro 1983/1984, 87.

1179 Siehe Kapitel 7.4.

und auch der Materialwert des Bronzeschmucks ist nicht zu unterschätzen¹¹⁸⁰.

Obwohl es im Einzelfall schwerfällt, die symbolische und magisch-religiöse Funktion des Trachtschmucks zu bestimmen, wird man eine solche nicht grundsätzlich ausschliessen können. Möglicherweise hatten die auf einer Schnur oder einem Band aus organischem Material aufgezogenen Schmuckelemente eine apotropäische Funktion. Die Praxis, Kinder mit Amuletten und unheilabwehrenden Objekten zu schützen, ist in der Antike weit verbreitet.

Geschlossene Bommeln und Doppelspiralanhänger¹¹⁸¹ sind in der Macchiabate-Nekropole ausschliesslich in den Gräbern der Altersklassen bis und mit Infans II belegt. Es ist nicht ausgeschlossen, dass sie für die Kinder eine besondere magisch-religiöse Bedeutung besaßen¹¹⁸². Allerdings ist ihre Anzahl zu gering, um daraus eine klare Regelmässigkeit abzulesen. Bemerkenswert ist zudem, dass im Umkreis der Herdstelle im Gebäude Vb auf dem Timpone Motta – einem Bau mit möglicherweise kultischem Charakter – neben vielen anderen Objekten auch ein flacher Doppelspiralanhänger gefunden wurde. Aus dem gleichen Bereich stammt ausserdem ein figürlicher Anhänger, wie er ebenfalls im Kindergrab Strada 8 belegt ist (Abb. 2.9)¹¹⁸³. Im Gegensatz zur Ausstattung reicher Erwachsenengräber sind Kettengehänge alltagstauglich und können so zu Lebzeiten getragen worden sein, was nicht zuletzt durch Abnutzungsspuren bei der geschlossenen Bommel aus Strada 8 (S8/8, Taf. 40) bestätigt wird. Neben den Anhängern aus Bronze und Bernstein können auch andere Objekte, wie z. B. ein kleiner, rautenförmiger Stein aus Grab Strada 12 (S12/10, Taf. 53) eine besondere magische Funktion besessen haben¹¹⁸⁴. Es ist allerdings auch nicht auszuschliessen, dass er als Spielzeug gedient hat. Seine Funktion bleibt damit ebenso unklar wie jene von Muscheln oder Schneckenhäusern, die bisweilen in oinotrischen Gräbern vorkommen¹¹⁸⁵.

Eine Besonderheit des Bestattungsbrauchtums von Franca-villa Marittima stellt die Beigabe von Askoi in Kindergräbern dar¹¹⁸⁶. Auch im Areal Strada findet sich in zwei Drittel der Kinderbestattungen ein Askos. Es gilt allerdings zu bedenken, dass für die Grabungen der 1960er Jahre kaum anthropologische Bestimmungen vorliegen. Es besteht somit die Gefahr des Zirkelschlusses, da die Askosbeigabe dazu verleiten könn-

te, auch unbestimmbare Gräber mit Askoi als Kindergräber zu deuten¹¹⁸⁷.

Neben den Beigaben aus gebranntem Ton, Metall, Bernstein und Stein darf ein Hinweis auf organische Materialien, die sich archäologisch nicht mehr nachweisen lassen, nicht fehlen. Stoffe sind durch den Abdruck von Textilfasern an dem stark korrodierten Fibelfragment S8/29 indirekt nachweisbar (vgl. Abb. 3.25).

Im Areal De Leo fallen die beiden Bestattungen durch ihre räumliche Nähe zueinander auf¹¹⁸⁸: Das Kindergrab De Leo 2 schliesst direkt an die Umrandung des Männergrabes De Leo 1 an (Taf. 4. 78). Dass diese Nähe auf Platzmangel zurückzuführen ist, ist eher unwahrscheinlich. Demnach bestand zwischen den beiden Verstorbenen eine besondere, möglicherweise verwandtschaftliche Beziehung. Auch die Nähe des Grabes Strada 18 zu den Gräbern Strada 16 und Strada 17 deutet auf eine besondere Beziehung der hier beigesetzten Individuen hin (Taf. 4). Die Situation lässt sich nicht mit mangelnden Platzverhältnissen erklären, da das relativ kleine Kindergrab ohne weiteres zwischen Strada 12 und Strada 16 Platz gefunden hätte. Im Allgemeinen wird die Nähe von Kinder- und Erwachsenengräbern auf verwandtschaftliche Beziehungen zurückgeführt und dabei gerne an eine familiäre Beziehung gedacht¹¹⁸⁹. Sicherheit bezüglich Verwandtschaftsrekonstruktionen könnte nur anhand der Analyse der *ancient DNA* erreicht werden.

Die Beisetzung zwischen den Erwachsenen weist die Kinder als Mitglieder der Gruppe aus, die sich in der Macchiabate-Nekropole bestatten liess. Aufgrund paläodemographischer Untersuchungen ist anzunehmen, dass Kinder bis zum Alter von vierzehn Jahren in prähistorischen Gesellschaften rund 40–50% der Gesamtbevölkerung ausmachten¹¹⁹⁰. Demzufolge waren Kinder im Alltag sehr präsent. Von einem entsprechenden Anteil ist auch im oinotrischen Kulturkreis auszugehen. Werden die Gräber aller bisherigen Grabungen in der Macchiabate-Nekropole inklusive der mutmasslichen Enchytrismois unabhängig von ihrer zeitlichen Einordnung für eine demographische Auswertung herangezogen, beträgt der Anteil der Kinder 43%¹¹⁹¹. Diese Berechnung würde somit in ihrer

1180 Zur Seltenheit von Kupfer- und Eisenerzvorkommen in der Region siehe Giardino 2005, 494. 499 f.; Wittke u. a. 2007, 70 f. Karte »Die phönizische/westphönizische Welt im Mittelmeerraum«.

1181 Für Temparella 19, eines der beiden Gräber aus den Grabungen von Zancani Montuoro mit flachen Doppelspiralanhängern, liegen anthropologische Bestimmungen vor. Siehe Kapitel 4.4.2.

1182 Auch in Valle Sorigliano (Santa Maria d'Anglona, Tursi) sind nur Exemplare aus zwei Kindergräbern belegt: Grab 88 und Grab 103 (Frey 1991, 19 f. 22 f. Abb. 7, 1 Taf. 1A. 3A. 14. 15. 38B).

1183 Kleibrink 2006b, 124. 178 Abb. 38 b.

1184 Vgl. dazu die magisch-religiöse Bedeutung von Steinen in Mesopotamien: Schuster-Brandis 2008, 52–54.

1185 Carrara – Guzzo 1981, 463. 480; Frey 1991, 22 f.

1186 Brocato 2014, 72 f.; Colelli – Jacobsen 2013, 67 f.; Zancani Montuoro 1983/1984, 104. 108.

1187 So bezieht sich z. B. Zancani Montuoro 1983/1984, 64 für die Bestimmung von Grab Temparella 75 als Kindergrab einzig auf eine kleine Bronzespirale und einen Askos: »E ciò basta a documentare una tomba infantile (forse povera o impoverita per dispersione di qualche elemento) della seconda fase«.

1188 Dieselbe Situation findet sich bei den Gräbern Strada 13, Strada 14 und Strada 15, in welchen erwachsene Individuen bestattet worden sind.

1189 M. Kleibrink geht beispielsweise davon aus, dass Kinder in der Nähe ihrer Eltern bestattet worden sind: Kleibrink 2004a, 567.

1190 Röder 2010, 1 f. Zum Vergleich: Der Anteil der 0–15-Jährigen betrug laut dem Bundesamt für Statistik Ende 2016 14,9 % der Schweizer Gesamtbevölkerung (Bevölkerung der Schweiz 2016, 36).

1191 Fehlende anthropologische Daten stellen ein Defizit bei dieser Berechnung dar. In den vorliegenden Überlegungen wurden die nach Zancani Montuoro als Kind bis Jugendliche bezeichneten

Verteilung von Kindern und Erwachsenen einer lebenden Bevölkerung entsprechen. Die Annahme erscheint daher naheliegend, dass in der Macchiabate-Nekropole alle Mitglieder der Bestattungsgemeinschaft beigesetzt wurden¹¹⁹².

Die Bestattungssitten unterscheiden sich innerhalb ein und derselben Altersklasse teilweise erheblich, was Rückschlüsse auf die Organisation der Gesellschaft erlaubt: Eine reiche Ausstattung in einem Kindergrab kann für »ein System erblicher Rangordnung«¹¹⁹³ sprechen, da ein junges Individuum noch keinen Status aufgrund einer eigenen Leistung erlangt haben kann¹¹⁹⁴. Auch wenn keine eigentlichen Statusobjekte wie Waffen in den Kindergräbern zu finden sind, sprechen monumentale Grabarchitektur und eine grosse Anzahl an Beigaben und Trachtattributen für einen hohen Status der betreffenden Kinder oder zumindest für das Vorhandensein von entsprechenden Ressourcen bei den Angehörigen. Als Indiz auf die Erblichkeit von Status in der oinotrischen Gesellschaft sind die beiden Kleinkindergräber Strada 8 und De Leo 2 zu werten. Da Kinder unter drei Jahren noch vollständig von einer oder mehreren Bezugspersonen abhängig sind, dürfte der hohe Aufwand der Bestattungen in diesem Fall sehr wahrscheinlich mit dem besonderen gesellschaftlichen Status ihrer Angehörigen zu begründen sein¹¹⁹⁵. Insbesondere die räumliche Nähe von De Leo 2 zum ebenfalls herausragenden Männergrab De Leo 1 unterstreicht diese Argumentation. Trotzdem ist nicht auszuschliessen, dass Kinder unabhängig ihrer Abstammung eine herausragende Bestattung erhalten durften. Beispielsweise kann ein Kind im religiösen/kultischen Bereich eine besondere Rolle einnehmen.

Wegen der spärlichen anthropologischen Bestimmungen fällt die Abgrenzung zwischen den sozialen Altersklassen der Kin-

der und der jugendlichen Erwachsenen schwer. Mit der Feststellung, dass das zwölfjährige Individuum im Grab Strada 4 ein Beigabeninventar aufweist, das jenem einer erwachsenen Frau entspricht, gelingt aber eine Annäherung. Die Grenze vom Kind zum Erwachsenen liegt – zumindest bei den Mädchen¹¹⁹⁶ – am Ende der Altersklasse *Infans II*. Woran der Übertritt ins Erwachsenenalter festgemacht wurde, ist aber kaum zu beurteilen. In dieselbe Richtung weisen einige Bestattungen von Valle Sorigliano (Santa Maria d'Anglona, Tursi), etwa die Gräber 88, 94, 103 und 131.

4.4.4 Enchytrismo

Mit dem Begriff Enchytrismos werden Bestattungen in Gefässen bezeichnet¹¹⁹⁷. Grundsätzlich ist dabei jede Form von Gefäss denkbar, die gross genug ist, um einen menschlichen Körper aufzunehmen. Mehrheitlich wird die Grabform für Kinder verwendet; Amphoren und Vorratsgefässe aller Art sind in diesem Fall die bevorzugten Bestattungsgefässe.

Als Enchytrismo werden heute auch die meisten der grobkeramischen Pithoi angesprochen, die auf und zwischen den Fossagräbern der Macchiabate-Nekropole zum Vorschein gekommen sind. Paola Zancani Montuoro deutete die betreffenden Gefässe noch anders. Für die italienische Archäologin handelte es sich bei den Gefässen um Grabmarkierungen und Opfergefässe, die oberirdisch sichtbar auf den Gräbern standen. Sie bezog sich für diese Deutung auf den Befund von Grab Oliveto 13, wo sich der Boden eines ansonsten zerscherbten Pithos, von Steinen umgeben, in der Steinabdeckung des darunterliegenden Grabes, etwa 50 cm oberhalb des Bereiches des Schädels, fand. Aus dieser Lage schloss die Ausgräberin, dass der Pithos zu einem Drittel in der Abdeckung des Grabes eingelassen war. Das grosse Gefäss mit einer Höhe von 70 cm soll zum einen als Markierung auf dem Grab gestanden und zum anderen als Behälter für Opfergaben gedient haben. Diese Deutung veranschaulichte Zancani Montuoro mit einer im Grabungsbericht veröffentlichten Zeichnung und übertrug sie auf die meisten Pithoi, die im Zuge ihrer Ausgrabungen zum Vorschein kamen. Ausnahmen stellten ihrer Meinung nach die Funde im Bereich der Temparella dar, die sie – wenn sie nicht als Markierung zu einem der nahe gelegenen Gräber passten oder nur von Kinderbestattungen umgeben waren – mit den

Bestattungen und alle Pithoi und Pithiskoi einbezogen. Bei Ferranti – Quondam 2015, 54 findet sich der Prozentsatz 52 %, dabei sind nur die eisenzeitlichen Gräber und Pithoi *a bombardata* für die Berechnung herangezogen worden. Bei der vorliegenden Berechnung gelten die Annahmen, dass es sich um eine vorindustrielle Gesellschaft handelt, dass Migrationsbewegungen keine grosse Rolle spielen und dass von einer normalen Mortalität ohne Krieg, Katastrophen oder Seuchen ausgegangen wird (Bocquet – Appel 2008, 148). Den Ergebnissen muss mit Vorsicht begegnet werden, da zahlreiche Problematiken damit verknüpft sind: Demographische Untersuchungen, die dem Bereich der Sozialwissenschaften angehören, weisen eigentlich eine Vielfalt von Fragestellungen auf und gehen von lebenden Populationen aus. In der Macchiabate-Nekropole werden die Daten aber gezwungenermassen anhand von verstorbenen und bestatteten Personen erhoben und damit auf eine einzige Dimension der mathematischen Auswertung biologischer Informationen reduziert (Bocquet – Appel 2008, 71).

1192 Diese Feststellung bezieht sich ausschliesslich auf das Alter der Verstorbenen. Untersuchungen der archäologischen Geschlechtszuweisungen zeigen, dass die Männer in der Nekropole unterrepräsentiert sind (Caruso 2011, 212). Siehe dazu auch die Überlegungen in Kapitel 5.4.

1193 Renfrew – Bahn 2009, 145.

1194 Chapman 2013, 51; Renfrew – Bahn 2009, 145.

1195 Röder 2010, 6 f. Zur Veranschaulichung sei auf den Dalai Lama verwiesen: Barraux 1993, 276 f.

1196 Die Beigaben in den Kindergräbern der Basler Ausgrabungen erlauben allerdings meist keine Rückschlüsse auf das Geschlecht. Ausnahmen stellen die Spiralen aus Grab Strada 9 und der Ohrschmuck aus Grab Strada 19 dar, die an Bestattungen von Mädchen denken lassen. Ferranti – Quondam 2015 gehen bei ihrer Geschlechtszuweisung davon aus, dass beigabenreiche Gräber Mädchen und beigabenarme Jungen zuzuweisen sind. Dagegen spricht aber Strada 9: Das Grab weist als Beigaben nur eine Spirale, ein punziertes Band aus Bronze und einen Eisenstift auf. Diese geringe Anzahl an Beigaben würde nach Ferranti – Quondam auf einen Jungen hindeuten. Die Lage der Spirale weist diese aber als Ohrschmuck aus, welcher mit der weiblichen Welt und damit mit einem Mädchen zu verbinden ist.

1197 De La Genière 2012, 32.

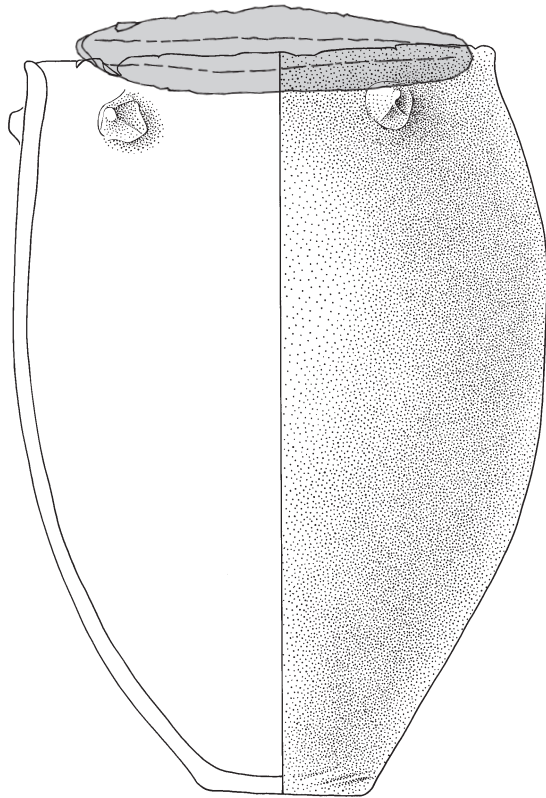


Abb. 4.8: Rekonstruktionszeichnung von Pithos S10/1 und Steindeckel S10/2 aus Grab Strada 10 (Massstab 1:6).

von ihr dort lokalisierten älteren Töpferwerkstätten in Verbindung brachte¹¹⁹⁸.

In Plänen sind aus den Grabungen der 1960er-Jahre nur die Pithoi dokumentiert, die in der Nähe der Gräber Temparella 16 und Temparella 17 gefunden wurden¹¹⁹⁹. Vom letztgenannten Grab sind Fotografien publiziert, ebenso von einem weiteren Befund bei Grab Lettere E¹²⁰⁰. Wie im Fall von Grab Strada 10 befanden sich die Gefässe jeweils dicht unter der modernen Oberfläche, auf der Seite liegend. In mindestens zwei Fällen wurden grosse Keramikfragmente in der Nähe gefunden, die als Deckel anzusprechen sein dürften. Die Pithoi lagen in der Regel fragmentiert, aber ziemlich vollständig in der Erde. Die Annahme, dass sie zunächst aufrecht auf dem Grab standen und später umgekippt und zu Bruch gegangen wären, lässt sich mit diesem Befund nur schlecht vereinbaren. Ebenso bleibt das Verhältnis zwischen den grobkeramischen Pithoi und den darunter gelegenen Gräbern offen, wenn, wie im Falle von Temparella 17, zwei Pithoi in unmittelbarer Nähe voneinander über ein und demselben Grab gefunden wurden¹²⁰¹.

1198 Zancani Montuoro 1977–1979, 48 f. 62 f.

1199 Zancani Montuoro 1980–1982, 51 Abb. 20; 60 Abb. 23.

1200 Zancani Montuoro 1983/1984, Taf. 9 b.

1201 Mehrere Pithoi pro Grab bei den Gräbern Cerchio Reale 8, Uliveto 7, 10 und 13, Vigneto 2 und 5, Temparella 17, 18, 58 und 76 (Zancani Montuoro 1977–1979, 34. 56–58. 61–63. 75 f. 79 f.; Zancani Montuoro 1980–1982, 59 f.; Zancani Montuoro 1983/1984, 64).

Als Alternative zur Deutung von Paola Zancani Montuoro hat Juliette de La Genière als Erste die Pithoi der Macchiabate-Nekropole als Enchytrismoι angesprochen¹²⁰². Sie stützte sich dabei auf analoge Befunde aus anderen Nekropolen Kalabriens, insbesondere aus Amendolara, wo Gefässbestattungen des 7. Jahrhunderts v. Chr. belegt sind. Diese Deutung erscheint plausibel, obschon festzuhalten ist, dass in keinem der Pithoi der Macchiabate-Nekropole menschliche Knochen gefunden wurden¹²⁰³ – auch nicht in den mit grösster Sorgfalt untersuchten Gefässen der Areale Strada und Est¹²⁰⁴. Ihr Fehlen lässt sich aller Wahrscheinlichkeit nach mit den allgemein schlechten Erhaltungsbedingungen in der Macchiabate-Nekropole erklären, wo selbst die Knochen von erwachsenen Individuen nur fragmentarisch überliefert sind.

Für die Deutung der Pithoi als Behältnisse von Bestattungen spricht u. a. die Tatsache, dass die Gefässe in der Regel horizontal im Boden deponiert wurden und wie die grossen Fossagräber von gerundeten Flusskieseln umfasst sind (siehe Taf. 42). Ihre Mündung war in der Mehrzahl der Fälle mit einem separaten Deckel – einer grossen Tonscherbe oder einem flachen Stein – verschlossen (Abb. 4.8). Da selbst in den grössten Pithoi mit einer Höhe von ca. 70 cm nur ein Kind von maximal anderthalb Jahren Platz gefunden hätte¹²⁰⁵, kann davon ausgegangen werden, dass die Pithoi eine besondere Bestattungsform für Neugeborene und Säuglinge darstellen.

In der näheren Umgebung von Francavilla Marittima sind zahlreiche Enchytrismoι in der Nekropole Paladino Ovest von Amendolara belegt: In den Gräbern 74 und 76 weisen die Pithoi eine Steinplatte und in Grab 118 eine grosse Scherbe als Deckel auf. Bei den Pithoi der Gräber 53, 75 und 98 sind Beigaben neben oder im Bestattungsbehältnis dokumentiert. Der Beginn der Belegungszeit der Nekropole wird von J. de La Genière mit der Verschiebung der Siedlung von Rione Vecchio nach San Nicola im Anschluss an die Gründung von Sybaris in Verbindung gebracht und damit nach 720/710 v. Chr. da-

1202 De La Genière 1994, 155. Vgl. dazu de La Genière 2012, 32, Grab 69.

1203 Von Zancani Montuoro wurden in einem der beiden Pithoi, die im Bereich des Grabes Uliveto 7 freigelegt wurden, kleine Knochen dokumentiert. Sie wurden als Vogelknochen von einem Opfer in der Grabmarkierung interpretiert (Zancani Montuoro 1977–1979, 56). Der Befund wird gerne als Bestätigung für die Deutung der Pithoi als Grabbehältnisse von Kindern gedeutet. Da die Knochen heute nicht mehr auffindbar sind, muss ihre Deutung letzten Endes jedoch offenbleiben.

1204 Die Grabungen im Areal Est förderten drei weitere auf der Seite liegende Pithoi zu Tage. Bei Est 3 handelt es sich um einen Pithos, welcher in einer mit Kieselsteinen verkleideten Grube lag. Der Pithos Est 4 wurde in der Steinverfüllung des Frauengrabes Est 5 freigelegt. Ein weiterer, kleiner Pithos kam zwischen den Gräbern Est 9 und Est 10 zum Vorschein: Guggisberg u. a. 2016, 57 Abb. 4; 61 f. Taf. 7, 9; Guggisberg u. a. 2017, 82 Abb. 3; Guggisberg u. a. 2018, 77.

1205 Uliveto 13 (Zancani Montuoro 1977–1979, 63). Die Grössenangabe beruht auf heutigen Verhältnissen (Largo 2009, 494), für die Frühgeschichte ist aufgrund der Akzeleration möglicherweise mit einer kleineren Körpergrösse zu rechnen (Lewis 2007, 79; Wahl 2008, 40).

tiert. Die Horizontalstratigraphie legt hier die Annahme nahe, dass die Praxis der Gefäßbestattung primär in der Frühzeit der Nekropole gepflegt und im Laufe des 7. Jahrhunderts v. Chr. aufgegeben wurde¹²⁰⁶, eine Schlussfolgerung, die im Gräberfeld von Francavilla Marittima bestätigt zu werden scheint. Die Enchytrismos-Bestattungen konzentrieren sich hier im 8. Jahrhundert v. Chr.; ihre Zahl geht im 7. Jahrhundert deutlich zurück¹²⁰⁷. Allerdings ist zu bedenken, dass im Allgemeinen eine viel höhere Anzahl Bestattungen für die Eisenzeit als für die nachfolgende Epoche nachgewiesen ist¹²⁰⁸. Ausserdem ist eine genaue chronologische Einordnung der Pithoi als solche sehr schwierig.

Weitere Enchytrismoi des 8. und 7. Jahrhunderts v. Chr. sind aus den Nekropolen von Valle Sorigliano (Santa Maria d'Anglona, Tursi), Incoronata (San Teodoro, Pisticci) und Torre Mordillo (Spezzano Albanese) belegt. In der Nekropole von Valle Sorigliano (Santa Maria d'Anglona, Tursi), deren Schwerpunkt in der Phase IFe2B mit jenem der Macchiabate-Nekropole vergleichbar ist, wurde bei den Grabungen unter Otto-Herman Frey im Grab 112 ein Enchytrismos mit Skelettresten freigelegt¹²⁰⁹. In Incoronata (San Teodoro, Pisticci) wurden in der eisenzeitlichen Nekropole drei Gefässe freigelegt, bei denen es sich trotz fehlender Skelettreste wahrscheinlich um Enchytrismoi handelt. Dazu kommen 14 Enchytrismoi aus dem 7. Jahrhundert v. Chr.¹²¹⁰. Auch in der Nekropole von Torre Mordillo (Spezzano Albanese) sind Enchytrismoi dokumentiert: In einem Fall sind Knochenfunde im Inneren des Gefässes erwähnt¹²¹¹. Dazu kommen drei Gefäßbestattungen innerhalb der früheisenzeitlichen Siedlung von Torre Mordillo, deren Bezug zu den Häusern aber nicht geklärt ist¹²¹². Auch in Incoronata (San Teodoro, Pisticci) wurden zwei Gefäßbestattungen in der früheisenzeitlichen Siedlung freigelegt. Eine enthielt eine Schlangenfibel als Beigabe¹²¹³.

Enchytrismoi sind auch ausserhalb des oinotrischen Raumes ein gut dokumentiertes Phänomen. Bestattungen in Gefässen – sowohl von Kindern als auch von Erwachsenen – sind auf Sizilien seit der Kupferzeit bekannt und werden auch während der Bronzezeit praktiziert. Beispiele sind die Nekropolen von Milazzo und Lipari aus der mittleren und späten Bronzezeit¹²¹⁴. Im Fall der spätbronze- bis früheisenzeitlichen Nekropole von Grammichele kann eine Entwicklung der Verwendung von Gefäßbestattungen für bestimmte Altersklassen nachvollzogen werden: Enchytrismoi werden in einer ersten Phase für Individuen aller Altersklassen verwendet. Später wird

die Bestattungsform für Erwachsene – möglicherweise durch den Einfluss von Siedlern von der italienischen Halbinsel – zugunsten von Fossagräbern aufgegeben und es werden nur noch Kinder in Gefässen beigesetzt¹²¹⁵.

In Pithekoussai auf Ischia sind in spätgeometrischer Zeit 135 Enchytrismoi überliefert. Als Bestattungsgefässe wurden mehrheitlich Transportamphoren, aber auch Gefässe aus lokaler Produktion verwendet¹²¹⁶. Ebenfalls in Kampanien, in Bisaccia, fand sich in einer Nekropole eine früheisenzeitliche Gefäßbestattung. Im Grab 31 wurden die Überreste eines Neugeborenen in einem *dolium* aus Impasto freigelegt, laut G. Bailo Modesti zu dieser Zeit in der Region ein Ausnahmefall. Möglicherweise gehörte eine unmittelbar neben dem Gefäss gefundene Lanzenspitze als Beigabe zum Grab¹²¹⁷. In Capua sind erste Gefäßbestattungen in der Phase IFe1B2 belegt und finden ihren Schwerpunkt im IFe2B. Auch in Cumae (Bacoli) sind sie bereits im *preellenico I* (IFe1A) bezeugt sowie in Osteria dell'Osa ab der Phase *Laziale III*¹²¹⁸.

Neben Süditalien und Sizilien sind in prähistorischer Zeit¹²¹⁹ Enchytrismoi im gesamten Mittelmeerraum für die Bestattung von Kindern verbreitet. Beispiele für Gefäßbestattungen von Neugeborenen und Säuglingen bis zum Alter eines Jahres finden sich ab dem Anfang des 8. Jahrhunderts v. Chr. in Eretria auf Euböa oder in Oropos in Attika. In diesen Fällen handelt es sich aber um Bestattungen im Bereich der Siedlung und nicht der Nekropole¹²²⁰. Ein einzigartiger Fundkomplex von Enchytrismoi findet sich auf der Insel Astypalea in der Ägäis: Mehr als 2750 Gefäßbestattungen von Neugeborenen und Kleinkindern wurden am westlichen und nordwestlichen Abhang des Hügels Kyindra in Chora freigelegt. Die ältesten Gefässe datieren in die spätgeometrische Zeit; dies entspricht dem Beginn der Belegungszeit der nahegelegenen, 'regulären' Nekropole Katsalos. Für Neugeborene und Säuglinge wurde somit ein separates Bestattungsareal eingerichtet. Es stand möglicherweise in Zusammenhang mit einem Kultort, an welchem Totgeburten, früh verstorbene oder auch ungewollte Kinder niedergelegt worden sind¹²²¹.

Gefässe in der Verwendung als Bestattungsbehältnisse sind somit in prähistorischer Zeit ein weit verbreitetes Phänomen¹²²². Der Ritus scheint wohl mehr oder weniger unabhängig an ver-

1206 De La Genière 2012, 23 f. 34 f. 43. 58. 238. 243 f.

1207 Luppino u. a. 2012, Abb. 1 A.

1208 Luppino u. a. 2012, Abb. 1 A.

1209 Ferranti 2009, 57; Frey 1991, 12. 24 Taf. 56.1, mit Skelettresten: Die »winzigen Knochenreste« scheinen allerdings anthropologisch nicht bestimmt worden zu sein.

1210 Grabungen der Jahre 1978–1985: Chiartano 1994, 19; Grabungen der Jahre 1988/1989: De Siena 1990, 79 f.

1211 Cerzoso – Vanzetti 2014, 281.

1212 Arancio 2001, 275 f.; Arancio u. a. 2001, 24 Abb. 7. 8.

1213 De Siena 1990, 74 f.

1214 Bernabò-Brea u. a. 1969, 215; Albanese Procelli 1992, 45–48.

1215 In der Nekropole wurden keine anthropologischen Altersbestimmungen vorgenommen. Die Alterszuweisung beruht auf der Grösse der Knochen und auf archäologischen Bestimmungen (Albanese Procelli 1992, 40. 44. 54).

1216 Elia – Meirano 2012, 429–457; Nizzo 2007, 27. 32. 42 Abb. 2; 55–57 Abb. 14–16 Taf. 6–9.

1217 Bailo Modesti 1982, 241–256.

1218 Brun u. a. 2009, 363 f.; Melandri 2011, 388. 402. 402 Anm. 53.

1219 Sie sind auch in der späteisenzeitlichen (D'Henry 1973, 295 f.) und in der griechischen Epoche belegt. Zu Enchytrismoi in Nekropolen griechischer Kolonien Süditaliens siehe Elia – Meirano 2012.

1220 Blandin 2010, 47. 50 f.; Burkhardt 2013, 273; Vlachou 2007, 213–240. Einen Überblick über früheisenzeitliche Siedlungsbestattungen in Griechenland bietet Mazarakis Ainian 2010, 67–96.

1221 Michalaki-Kollia 2010, 161–205.

1222 Auch in Mitteleuropa sind Gefäßbestattungen für Kinder belegt: Eggert 2012, 56.

schiedenen Orten den jeweiligen religiösen Vorstellungen entsprungen zu sein. Ein Zusammenhang dieser Bestattungssitte mit dem Kontakt zwischen Griechen und der einheimischen Bevölkerung der Sibaritide ist zwar nicht auszuschliessen, aber das regelmässige Auftreten im präkolonialen Süditalien weist eher auf eine regionale Tradition hin. Würde es sich bei der Beisetzung von Kindern in Gefässen um »Impulse von aussen«¹²²³ handeln, stellt sich die Frage, wieso eine vermeintlich neue und fremde Bestattungssitte ausgerechnet für die jüngsten Mitglieder einer Gesellschaft übernommen worden wäre. Wenn davon ausgegangen wird, dass sich in Nekropolen nicht nur die materiellen, sondern auch die immateriellen Werte der bestattenden Gesellschaft widerspiegeln, würde eine Änderung der Bestattungssitte und damit der Umgang mit dem Tod eine vorausgegangene Änderung in der Gesellschaft bedingen. Würde sich eine solche Veränderung als Erstes in der Bestattung von Säuglingen und Neugeborenen abzeichnen?

Schliesslich wurde, was die Frage nach der Deutung der Pitthosbestattungen anbetrifft, von Rosa Maria Albanese Procelli für entsprechende Funde aus Sizilien ein symbolischer Zusammenhang mit der Gebärmutter postuliert und die Hockerstellung der Verstorbenen mit der embryonalen Körperhaltung in Verbindung gebracht¹²²⁴. Eine These, die auch in anderen Kulturräumen von der Forschung zur Diskussion gestellt wurde¹²²⁵, die jedoch in Ermangelung von eindeutigen Argumenten hypothetisch bleibt.

4.4.5 Fazit

Bei der Beschäftigung mit Kindern im archäologischen Kontext steht oft die Frage im Raum, ab wann ein Kind als vollwertiges Mitglied der Gesellschaft angesehen wird. Eine Annäherung an die Antwort erlaubt die Untersuchung von Kindergräbern unterschiedlicher Altersklassen und ihres Verhältnisses zu den Bestattungen der Erwachsenen¹²²⁶. Es lässt sich feststellen, dass sich die Grabformen und Bestattungsriten für Kinder im oinotrischen Kulturraum – abgesehen von den Enchytrismo – wenig von jenen der Erwachsenen unterscheiden. Monumentale Fossagräber für Kinder lassen sich neben der Macchiabate-Nekropole in weiteren Nekropolen feststellen, so beispielsweise im Grab 103 von Valle Sorigliano (Santa Maria d'Anglona, Tursi): Hier wurde ein Kind der Altersklasse Infans II mit reichen Beigaben in einer mit Steinen ausgekleideten Grube mit partieller Pflasterung beigesetzt¹²²⁷.

Kinder werden im oinotrischen Raum nicht in besonderen Bezirken, sondern zwischen den Erwachsenen beigesetzt. Allerdings können Kindergräber zu mehreren nebeneinander auftreten, wie dies sowohl in der Macchiabate-Nekropole als auch in Valle Sorigliano (Santa Maria d'Anglona, Tursi) belegt

ist¹²²⁸. Der Grund für diese besondere räumliche Nähe dürfte jedoch eher in verwandtschaftlichen oder rollenbezogenen als in altersspezifischen Verbindungen zu erkennen sein. Während innerhalb der Nekropolen keine spezifischen 'Kindersektoren' auszumachen sind, ist jedoch mit Bestattungen von Kindern ausserhalb der Nekropolen zu rechnen: Solche sind für Torre Mordillo (Spezzano Albanese) und Incoronata (San Teodoro, Pisticci) in Form von Siedlungsbestattungen nachgewiesen¹²²⁹. Für den Timpone Motta liegen diesbezüglich keine Ergebnisse vor. Dass im eisenzeitlichen Süditalien für Kinder verschiedene Arten von Bestattungen nebeneinander verwendet worden sind, zeigen auch die Untersuchungen zu den Bestattungssitten in der südlichen Basilikata. Kinder werden dort, wie Nadin Burkhardt festhält, »oft [...] parallel in Gefässen und in *fosse*, innerhalb und ausserhalb der Siedlungen beigesetzt«¹²³⁰.

In der Macchiabate-Nekropole scheinen Neugeborene und Säuglinge im Gegensatz zu (Klein-)Kindern häufig, wenn auch nicht immer, in Gefässen bestattet worden zu sein. Darin ist ein unterschiedlicher Umgang mit besonders jungen Verstorbenen zu erkennen. Dass sie zwischen und auf den Gräbern erwachsener Personen bestattet wurden, weist sie trotzdem als Mitglieder der bestattenden Gemeinschaft aus. Dasselbe gilt auch für die in der Regel etwas älteren Kinder, welche in einfachen und monumentalen Fossagräbern beerdigt wurden.

Aufeinander bezogene Bestattungen von Kindern sind in der Nekropole Paladino Ovest (Amendolara) dokumentiert¹²³¹. Dort zeichnet sich zudem in der Horizontalstratigraphie eine Entwicklung der Belegung von Westen nach Osten ab. Ähnliches gilt für die Nekropolen von Incoronata (Pisticci)¹²³². Dies spricht dafür, dass die nah beieinander bestatteten Personen möglicherweise nur ein zeitnaher Tod verbunden haben könnte.

Mit Ausnahme von Francavilla Marittima sind Kindergräber in den oinotrischen Nekropolen unterrepräsentiert. Eine mögliche Begründung dafür könnte in der für oinotrische Fundstellen belegten Sitte von Siedlungsbestattungen liegen. Aber auch andere Ursachen kommen in Frage: So begünstigt etwa eine geringere Grabtiefe die Zerstörung durch Erosion. Ausserdem kann das kleinere Format der Gräber dazu führen, dass Kinderbestattungen bei Grabungen übersehen werden, zumal ihre Knochen unter gewissen Bedingungen schneller vergehen als jene von Erwachsenen¹²³³. Und nicht zuletzt kann das Fehlen von Kindergräbern auch rituelle Gründe haben.

Vergleicht man die Kinderbestattungen der Macchiabate mit jenen anderer oinotrischer Nekropolen, sind folgende Punkte herauszustreichen:

1223 Guggisberg u. a. 2014, 89 f.

1224 Albanese Procelli 2003, 116.

1225 Für Mesopotamien: Säuglingsbestattungen in Gefässen von Tell Fekheriye (Syrien) aus dem 12./11. Jh. v. Chr.: Steinert 2015, 23; für die klassische Welt: Dasen 2013, 2–7.

1226 Röder 2010, 8.

1227 Frey 1991, 22 f. Taf. 54, 1.

1228 Frey 1991, 12.

1229 Arancio 2001, 275 f.; Arancio u. a. 2001, 24 Abb. 7. 8; De Siena 1990, 74 f.

1230 Burkhardt 2013, 161.

1231 De La Genière 2012, 238. 253.

1232 Ferranti 2005, 462.

1233 Booth 2015, 492 f.; Kern 2010, 70; Lewis 2007, 23–30. 37.

- Enchytrismoi sind in keiner Nekropole vorkolonialer Zeit in so grosser Zahl nachgewiesen wie in der Macchiabate-Nekropole. Einzig in der Nekropole Paladino Ovest/Uomo Morto (Amendolara), die nach der Koloniegründung anzusetzen ist, sind sie zahlreich und werden aufgrund der Horizontalstratigraphie auf eine ältere, vorkoloniale Tradition zurückgeführt¹²³⁴.
- Schmuckelemente, die von Ketten stammen könnten, sind an den meisten Fundorten belegt. Besonders anschaulich ist der Befund im Kindergrab 88 von Valle Sorigliano (Santa Maria d'Anglona, Tursi)¹²³⁵.
- Askoi stellen eine bevorzugte Grabbeigabe von Kindern in der Sibaritide dar. Besonders häufig sind sie in den Nekropolen von Francavilla Marittima und Torre Mordillo (Spezzano Albanese) belegt. Ausserhalb der Region finden sich nur vereinzelte Exemplare¹²³⁶.
- Zusammen mit den Gräbern 94 und 103 von Valle Sorigliano (Santa Maria d'Anglona, Tursi) liefert das Grab Strada 4 einen wichtigen Beleg für den Zeitpunkt des sozialen Übergangs vom Kindes- zum Erwachsenenalter. Die drei Bestattungen gehören der Altersklasse Infans II an und waren mit Beigaben und Trachtutensilien ausgestattet, die ansonsten typisch für erwachsene Individuen sind¹²³⁷.

Abgesehen von den Bestattungen sind Kinder im oinotrischen Kulturkreis nur schwer zu fassen und bisher kaum untersucht.

Im Zusammenhang mit der Frage nach der Organisation von prähistorischen Gesellschaften darf der Archäologie der Kinder und konkreter ihren Gräbern eine besondere Bedeutung beigemessen werden: Eine reiche Beigabenausstattung und/oder monumentale Grabarchitektur können auf die Erbllichkeit von Status innerhalb einer hierarchischen Gesellschaft sprechen. Zu dieser Interpretation passen das Grab des Kleinkindes Strada 8 und jenes des Säuglings De Leo 2. Beide Kinder sind in einem Alter gestorben, als sie noch vollständig von einer oder mehreren Bezugspersonen abhängig waren und somit keine sozialen Eigenleistungen erbringen konnten. Darüber hinaus können aber auch andere Gründe eine Rolle spielen: neben individueller Emotionalität – z. B. aufgrund der Todesumstände – die besondere Rolle eines Kindes im Kult, in der Gesellschaft oder in der Verwandtschaft sowie weitere, in archäologischen Überresten nicht nachvollziehbare, individuelle Eigenschaften¹²³⁸.

Corinne Juon

1234 De La Genière 2012, 238. 243 f.

1235 Frey 1991, 19 Taf. 1 A.

1236 Ferranti 2009, 60. 58 Abb. 9 C.

1237 Frey 1991, 19 f. 22 f. Abb. 7, 1 Taf. 1 A. 3 A. 14. 15; *Treasures from the South of Italy* 1998, 194 f. Taf. 5–8.

1238 Barraux 1993, 276 f.; Röder 2010, 6 f.; Koch 2013, 144. 153 f.

5 Die Gräber der Areale Strada und De Leo im Kontext

5.1 Die Architektur

Ein wichtiges Kriterium zur Einordnung von Grabfunden in der archäologischen Forschung sind – neben Bestattungsart und -ritus – die Grabformen. Eine erste Unterscheidung wird nach Manfred Eggert¹²³⁹ durch ihre Sichtbarkeit gemacht. Während Flachgräber oberirdisch meist nicht erkennbar sind, stellen Hügelgräber in der Regel weithin sichtbare Landschaftsmale dar. Andere Formen setzen spezifische Gegebenheiten voraus, wie beispielsweise Felsgräber, die ein entsprechendes Gestein benötigen. Eine weitere Unterteilung der Grabformen ist anhand ihrer Konstruktion, ihrer Struktur und ihres Inhalts möglich. Diese Faktoren können sich auch gegenseitig beeinflussen¹²⁴⁰.

Bis ins Jahr 2016 wurden im Areal Strada 19 Grabstrukturen und im nahen Areal De Leo zwei weitere freigelegt (Taf. 2). Anhand verschiedener Kriterien, z. B. aufgrund ihrer Grösse und Bauart, können diese in verschiedene Typen unterteilt werden. Die meisten Gräber weisen eine sehr deutliche Struktur auf, bestehend aus einer ovalen, runden oder langrechteckigen Grube mit steinerner Grabumrandung, einem gepflasterten Boden und einer Bedeckung aus einer massiven Steinschicht. Einen Sonderfall stellt bis heute das Grab Strada 1 dar, dessen Grundriss apsidenförmig gewesen zu sein scheint, mit zwei grossen Blöcken auf der südlichen Schmalseite¹²⁴¹.

Die verbauten Flusssteine weisen dabei ein Gewicht von 1 bis 5 Tonnen auf (vgl. dazu Tab. 5.1). Die Stratigrafie der Grabgruben zeigt in den meisten Fällen zwei Verfüllungsschichten, wobei die obere meist deutlich weniger Steine enthält. In den Profilen ist ein Gefälle der Steinverfüllung im zentralen Teil des Grabes erkennbar (beispielsweise Abb. 5.2). Dieses entstand wohl durch den Versturz eines Hohlraumes. Es darf also von einer aus vergänglichem Material konstruierten Grabkammer ausgegangen werden.

Solche Gräber, die mit Steinen kammerartig ausgekleidete Gruben aufweisen und deren Sohlen mit runden Steinpflastern abgedeckt worden sind, bezeichnen wir als *monumentale Fossagräber* (siehe z. B. Abb. 3.3; 3.6; 3.8; 3.22; 3.31; 3.38; 3.42; 3.49; 3.55; 3.57; 3.71)¹²⁴². Gepflasterte Grabgruben kommen

in der Macchiabate-Nekropole bisher fast ausschliesslich im Areal Strada vor: Von den 184 bisher untersuchten Gräbern der Macchiabate-Nekropole¹²⁴³ weisen knapp 10 % einen Plattenboden auf¹²⁴⁴. Dies entspricht 18 Gräbern, wovon 13 im Areal Strada liegen, was wiederum 72 % der Strukturen mit Plattenboden entspricht.

Andere Gräber der Macchiabate-Nekropole weisen nach der Entfernung der Steinabdeckung keine klar erkennbare Form auf, da es sich lediglich um Erdgruben, nicht jedoch um Steinbauten handelt. Sie werden als *Fossagräber* bezeichnet (siehe z. B. Abb. 3.14; 3.18)¹²⁴⁵. Es handelt sich hierbei um eingetiefte Grabgruben, die nach der Beisetzung der Verstorbenen mit Steinen verfüllt worden sind und in allen Grabungsarealen der Macchiabate-Nekropole belegt sind. Aufgrund der kleineren Dimensionen liegen sie häufig auch näher beieinander und scheinen Gruppen zu bilden, in welchen sich einzelne Gräber auch gegenseitig berühren oder randlich überlagern können. Die Überlagerung von Gräbern unterschiedlicher Bauart – Grubengräber und gebaute Gräber – ist insbesondere im Temparella-Grabhügel belegt¹²⁴⁶. Als letzte im Areal Strada vertretene Bestattungsform sei noch der Enchytrismos genannt (siehe Abb. 3.28; 3.29). Obwohl hierbei ebenfalls eine Steinummantelung vorhanden sein kann¹²⁴⁷, bildet dieser Typ eine besondere Form, da ein keramisches Vorratsgefäss als Behälter des Leichnams dient.

Obschon die Gräber im Areal Strada unterschiedliche Grundrisse besitzen – einige sind fast kreisrund (Strada 4, 8, 12, 19), andere eher langrechteckig mit abgerundeten Ecken – weisen sie dennoch Gemeinsamkeiten auf. Ausser Strada 13 und Strada 17, die durch ihre Nordost-Südwest-Ausrichtung hervorstechen, sind die Gräber des Areals Strada in der Regel Nordwest-Südost orientiert (Taf. 4). Auch diese genormte Orientierung scheint eine Spezialität zu sein, die in der übrigen Nekropole nicht im gleichen Ausmass nachgewiesen ist.

Die Dimensionen der Grabstrukturen der Macchiabate-Nekropole stehen in keinem Zusammenhang mit dem Geschlecht der bestatteten Individuen. Im Areal Strada sind so-

1239 Eggert 2008, 65 f.

1240 Eine Körperbestattung braucht bspw. zwingend mehr Platz als eine Brandbestattung. Dies heisst aber nicht, dass ein Brandgrab zwingend kleiner sein muss als ein Körpergrab.

1241 Eine mögliche Parallele stellt das Grab Cima dar, das allerdings so schlecht erhalten ist, dass seine ursprüngliche Form kaum mehr mit Gewissheit zu rekonstruieren ist: Zancani Montuoro 1977–1979, 44 Taf. 21. Zu Grab Strada 1 siehe Kapitel 2.

1242 Zur Gruppe der monumentalen Fossagräber gehören die Gräber Strada 2, 4, 5, 8, 11–18 sowie De Leo 1 und 2.

1243 10 Gräber im Areal Collina, 17 im Areal Est, 19 im Areal Strada, 93 im Areal Temparella, 16 im Areal Uliveto, 7 im Areal Vigneto, 9 im Areal Lettere, 13 im Areal Cerchio Reale.

1244 Gräber mit Pflasterboden in anderen Arealen der Macchiabate-Nekropole: Uliveto 16 (Zancani Montuoro 1977–1979, 69), Temparella 60 (Zancani Montuoro 1977–1979, 69), Temparella 88 (Zancani Montuoro 1983/1984, 100), De Leo 1 und 2.

1245 Zu den Fossagräbern zählen die Gräber Strada 3, 6, 7, 9 und 19.

1246 Guggisberg u. a. 2012b, 2. 9. Im Areal Collina zeichnet sich ein vergleichbarer Befund ab, vgl. Guggisberg u. a. 2019.

1247 So z. B. bei Grab Strada 10.

Grab	Plattenboden	Steingewicht in kg	Steinanzahl	Länge in m	Breite in m	Tiefe in m	Volumen in m ³
Strada 1	ja			4	2,5		
Strada 2	ja	1617,55	276	3,55	2,7	0,75	7.189
Strada 3				1	0,8	0,4	0.32
Strada 4	ja	1928,6	871	3,3	2,7	0,6	5.346
Strada 5	ja	4620,5	1547	4,3	2,8	0,8	9.632
Strada 6				2,2	1,4	0,4	1.232
Strada 7				2	1,3	0,3	0.78
Strada 8	ja	2881,5	773	2,6	2,6	0,6	4.056
Strada 9				2,1	1,2	0,2	0.504
Strada 10				1,15	0,6	0,3	0.207
Strada 11	ja	5247,7	718	4,8	3,2	0,55	8.448
Strada 12	ja	1112,9	553	2,6	1,9	0,4	1.976
Strada 13	ja	1914,95	1319	3,6	1,8	0,45	2.916
Strada 14	ja	1713,65	683	3,2	2	0,5	3.2
Strada 15	ja	1093	739	3,3	1,9	0,45	2.822
Strada 16	ja	3272	893	4,3	2,9	0,5	6.235
Strada 17	ja	3800,5	837	4,7	2,4	0,45	5.076
Strada 18	ja	567	202	2,3	1,05	0,3	0.725
Strada 19		608	232	2,3	1,05	0,32	
DeLeo 1	ja	1391,9	278	3,6	2,9	0,15	
DeLeo 2	ja	106	65	1,2	0,8	0,05	

Tab. 5.1 Übersicht zum Grabbau der Gräber in den Arealen Strada und De Leo mit Massangaben. Grau unterlegt sind jene monumentalen Fossa-gräber, mit denen Berechnungen durchgeführt wurden. Das Volumen wurde idealisiert (Quader) berechnet.



Abb. 5.2 Profil mit Gefälle der Steinverfüllung im zentralen Teil des Grabes Strada 8.

wohl Männer- als auch Frauengräber¹²⁴⁸ belegt, die mit zu den grössten Grabstrukturen der gesamten Nekropole gehören.

¹²⁴⁸ Das Männergrab Strada 5 mit einem Volumen von etwa 9.6 m³ und das Frauengrab Strada 11 mit etwa 8.4 m³ Volumen, was +50 % bzw. +43 % des Durchschnittes (4.8 m³) der monumentalen Fossa-gräber im Areal Strada entspricht.

Ebenso wenig scheint die Form an geschlechts- oder alters-spezifische Kriterien gebunden zu sein. Kindergräber können sowohl rund als auch langrechteckig mit gerundeten Ecken sein. Die Gräber von erwachsenen Frauen und Männern sind übereinstimmend oval oder langrechteckig mit abgerundeten Ecken.

5.1.1 Grabbau

Die Grabbauten der Macchiabate-Nekropole sind oftmals monumental und ihr Bau war folglich mit einem grossen Zeitaufwand verbunden¹²⁴⁹. Leider blieben die im Zuge der Ausgrabungen durchgeführten naturwissenschaftlichen Analysen, wie z. B. die mikromorphologische Untersuchung einzelner Grabgruben, ergebnislos. Es ist daher nicht möglich, Angaben darüber zu machen, wie lange eine Grube offen lag, bevor die Bestattung beigesetzt und die Steinverfüllung aufgeschüttet wurde. Für eine agentenbasierte Simulation¹²⁵⁰ des eisenzeitlichen Grabbaus in Francavilla Marittima fehlen ebenfalls noch zu viele Angaben, beziehungsweise müssten Vermutungen idealerweise mit Hilfe von experimenteller Archäologie überprüft werden. Einige Überlegungen in diese Richtung können dennoch ausgeführt werden. Dazu wurde eine Übersichtstabelle erstellt, die jedoch mit Vorsicht zu benutzen ist (Tab. 5.1).

Die Steine wurden während der Grabungen ausgezählt und gewogen, doch besitzen die Angaben nur approximativen Charakter. Dies liegt zum einen daran, dass die Gräber als solche erhalten werden mussten und deshalb die Grabumwandung und die vorhandenen Plattenböden nicht abgetragen werden konnten. Zum anderen erwies es sich teilweise bei der Freilegung der Gräber als sehr schwierig, die genaue Grenze zwischen dem zur Verfüllung verwendeten Material und jenem der steinernen Struktur selber zu erkennen. Es mag bisweilen zu viel oder auch zu wenig Verfüllungsmaterial entfernt worden sein. Die Berechnung der Volumina der Grabgruben basiert auf den ungefähren Massangaben von Länge, Breite und Tiefe. Auf genauere Berechnungsmethoden wurde verzichtet, weil die freigelegten Grabgruben, wie dargelegt, ohnehin nur annähernd den in der Antike angelegten Erdgruben entsprechen.

Um den Arbeitsaufwand für den Bau der Gräber zu berechnen, müsste sowohl der Aufwand für den Aushub als auch für die Auskleidung der Gruben mit Steinen berücksichtigt werden. Versucht man, den Zeitaufwand beim Schaufeln zu beziffern, so ist von etwa 240 Schaufelladungen für einen Kubikmeter Erde auszugehen. 200 Schaufelladungen lassen sich von einem Arbeiter pro Stunde ausschaufeln¹²⁵¹. Mit einer modernen Schaufel kann ein geübter Mensch an einem Arbeitstag folglich etwa 7 Kubikmeter Erde ausschaufeln. Das entspricht

in etwa dem Grubenvolumen der grösseren Gräber im Areal Strada (Strada 2, 4, 5, 8, 11, 16 und 17) (vgl. dazu die Tab. 5.1).

1 m³ = 240 Schaufeln

7 m³ = 1680 Schaufeln

200 Schaufeln = 60 min

1 Schaufel = 0,3 min

1680 Schaufeln = 504 min (= 8 Stunden, 24 Minuten)

Auch wenn wir das Grabungswerkzeug (Schaufeln, Pickel, Kessel oder Tragsack¹²⁵²) der oinotrischen Totengräber nicht kennen, kann man wohl damit rechnen, dass eine Grabgrube von 1–2 Personen an einem Tag ausgehoben werden konnte. Der Aufwand für die Auskleidung der Grube mit Steinen dürfte sich in einem ähnlichen Rahmen gehalten haben.

Ungeklärt ist die Frage des Verbleibs der Erde aus der Grabgrube. Möglicherweise wurde ein Teil davon zum Auffüllen nach der Bestattung wiederverwendet. Die Nähe der Gräber untereinander wirft aber die Frage auf, wo der Aushub bis zur Wiederverfüllung deponiert worden ist. Im Areal Strada sind Erdhaufen zwischen den Gräbern noch einfacher vorstellbar als in anderen Arealen mit enger liegenden Strukturen.

Ein weiterer aufwändiger Punkt des Arbeitsprozesses, der noch schwieriger zu berechnen ist, stellt der Steintransport dar. Den bereits genannten sieben grösseren Gräbern im Areal Strada wurden im Durchschnitt Steine im Gewicht von 3'340 kg entnommen¹²⁵³. Rechnet man noch die Steine hinzu, die für die Auskleidung der Grabgrube und allenfalls des Bodens benötigt wurden, so dürfte das Gesamtgewicht der benötigten Steine rund das Doppelte betragen haben.

Als Hilfsmittel für den Steintransport – in der Regel stammen die bevorzugt verwendeten gerundeten Kalksteine wohl aus dem 500 m Luftlinie entfernten Flussbett des Raganello – kommen Wagen, Lasttiere, Kessel, Tragetücher und Bahren in Frage. Konkrete Hinweise auf die verwendete Transporttechnik gibt es keine.

Wie lange es dauerte, bis die Steine vom Fluss zum Grab geschafft waren, hängt von der Art des Transports und der Zahl der beteiligten Arbeiter ab. Eine Equipe von zwei Personen hätte für den Transport rund 12,5 Stunden gebraucht, wenn man 100 kg pro Fuhre veranschlagt und von einem Gesamtgewicht der Steine von 5000 kg ausgeht. Nicht eingerechnet ist dabei das Aufsammeln der Steine im Fluss, das Auf- und Abladen oder allfälliger Materialverlust unterwegs.

Trotz aller Unsicherheiten lässt sich sagen, dass es sich beim Grabbau sehr wahrscheinlich um ein mehrtägiges Projekt gehandelt haben muss, an dem mehrere Personen und eventuell Lasttiere beteiligt waren. Ungeklärt bleibt noch die Frage der Zeitplanung: Wurden Gräber im Voraus angelegt oder geschah

1249 Meines Erachtens weisen die feinen Unterschiede in den Grabbauten der einzelnen Areale darauf hin, dass die Gräber durch die jeweiligen Hinterbliebenen erbaut und nicht als standardisierte Auftragsarbeit ausgeführt wurden.

1250 Durch agentenbasierte Modellierung (ABM) können bestehende Erkenntnismodelle in Simulationen übersetzt werden. Dadurch können geltende Annahmen auf logische Konsistenz geprüft werden. Die Modellierung kann als Analysewerkzeug für komplexe Arbeits- und Produktionsabläufe genutzt werden. Kowarik u. a. 2009, 429–440.

1251 Vgl. die angegebenen Zeitangaben in verschiedenen Internetforen für Bautechnik: <<https://www.teichbau-forum-naturagart.de/index.php/forum/5-bautechnik-grube-ausheben/180-teich-von-hand-graben>> oder <<https://www.gutefrage.net/frage/wieviel-schaufeln-sand--erde-ergibt--1m>> (zuletzt aufgerufen am 20.11.2020).

1252 Vieles davon dürfte aus vergänglichem Material, wie z. B. Holz, gewesen sein und hat sich daher nicht erhalten.

1253 Das Grab als archäologisches Monument musste erhalten bleiben, daher wurde der Grabbau, so gut es ging, intakt gelassen.

ihr Aushub und Aufbau im Rahmen des Trauerprozesses? Es ist zu hoffen, dass in Zukunft mit Hilfe von mikromorphologischen und weiteren naturwissenschaftlichen Analysen bei besser erhaltenen Gräbern diesbezügliche Anhaltspunkte gefunden werden. Die Erhaltung im archäologischen Befund deutet jedenfalls nicht darauf hin, dass die Verstorbenen über längere Zeit aufgebahrt worden sind.

5.1.2 Grabmarkierungen

Eine Markierung der Gräber konnte bei den Ausgrabungen nicht nachgewiesen werden, weder in Form von steinernen Malen noch von Hinweisen auf eine Bekrönung aus vergänglichem Material. Allerdings betrug die oberflächliche Humusschicht meist nur wenige Zentimeter und war geprägt durch starke Bioturbation. Erdhügel bzw. Erdanschüttungen über den steinernen Grababdeckungen sind jedoch denkbar, eine Wiederverwendung der Aushuberde naheliegend.

Es könnte sich folglich um Hügelgräber handeln, die mit ihrer Sichtbarkeit den Hinterbliebenen und Nachfahren als Orte »der öffentlichen kollektiven Erinnerung« dienen¹²⁵⁴. Allerdings deutet die Überlagerung der Gräber, wie sie im Areal Temparella nachgewiesen ist, eher darauf hin, dass die Strukturen nicht mit grossen Mengen von Erde überdeckt waren, sondern dass die Steinabdeckung weiterhin sichtbar blieb¹²⁵⁵.

Die Gräber des Areals Strada liegen knapp unter dem heutigen Gehniveau¹²⁵⁶. Den gleichen Eindruck vermitteln viele weitere Gräber der Macchiabate-Nekropole, was wiederum die Frage nach dem Verbleib des Sediments aufwirft, welches mutmasslich über den Gräbern angehäuft worden ist.

Paola Zancani Montuoro glaubte, Indizien dafür zu besitzen, dass auf den Gräbern grobkeramische Pithoi als Grabmarkierungen standen¹²⁵⁷. Die Ausgrabungen im Areal Strada konnten diese These nicht bestätigen, wurde doch lediglich ein Pithos *in situ* freigelegt, der als Enchytrismos angesprochen werden kann¹²⁵⁸. Ganz ausschliessen sollte man die Möglichkeit von Grabmarkierungen in Gefässform für die Macchiabate-Nekropole gleichwohl nicht. So sind in den Arealen Est und Collina in den vergangenen Jahren zahlreiche grobkeramische Vorratsgefässe zum Vorschein gekommen, die aufgrund ihrer Grösse und Fundlage nicht in jedem Fall als Enchytrismoi anzusprechen sind. Detailliertere Auseinandersetzungen damit sind noch abzuwarten¹²⁵⁹.

1254 Eggert 2012, 67 f. 105 mit Zitat.

1255 Unter anderem, da die organischen Materialien noch nicht vergangen waren und damit die Steine nicht in die Grabgrube eingesunken waren.

1256 Der antike Gehhorizont konnte bisher nicht gefasst werden; es wird zur Zeit davon ausgegangen, dass er in etwa dem heutigen entsprach.

1257 Zancani Montuoro 1977–1979, 48 f. Abb. 17; 62 f.; Luppino u. a. 2012, 651.

1258 Colelli – Jacobsen 2013, 55; Guggisberg u. a. 2014, 79 f.; Kleibrink 2000, 167; Luppino u. a. 2012, 651.

1259 Die hohe Anzahl von vier gefundenen Pithosgräbern innerhalb zweier Grabungskampagnen im Areal Collina sowie mehrere Exemplare aus dem Areal Est bilden eine gute Grundlage für eine

5.1.3 Holzkammer oder Holzkiste?

Die Gräber haben jeweils eine relativ geringe Tiefe von durchschnittlich 50 cm (vgl. dazu Tab. 5.1). Die gut erkennbaren Gefälle in den Profilen weisen darauf hin, dass ein ursprünglich vorhandener Hohlraum im Verlauf der Jahre eingebrochen und verfüllt worden ist (Abb. 5.2). Neben Steinen und Erde war sehr wahrscheinlich auch vergängliches Material, wie z. B. Holz, ein wichtiger Bestandteil der Grabbauten¹²⁶⁰. Eine Kiste, die genügend Platz für eine Hockerbestattung bot, müsste mindestens 30–40 cm hoch gewesen sein. Mit dieser Höhe liesse sich auch die Präsenz der Gefässe vereinbaren, von denen die grössten zwischen 30 und 40 cm hoch sind¹²⁶¹. Ob der Hohlraum durch eine geschlossene Kiste oder lediglich eine hölzerne Abdeckung über der Bestattung gebildet wurde, ist nicht eindeutig zu entscheiden, da es bisher keine Holzzerhaltung gibt.

Zum Teil weisen gesetzt wirkende Steinreihen um den gepflasterten Boden auf eine mauerartige Abgrenzung hin. Ob diese Steinreihen als Auflager für eine Holzabdeckung gedient haben¹²⁶² oder ob sie die Hinterfüllung von Holzwänden waren, lässt sich nicht entscheiden. Da sich zwischen den Beigaben und Pflastersteinen in keinem Fall Holzreste oder -abdrücke erhalten haben, wurde der hölzerne Einbau in einer digitalen 3D-Rekonstruktion des Grabes Strada 8 ohne Boden ergänzt (Abb. 5.3)¹²⁶³. Somit bleibt zwischen der ursprünglichen Kammerdecke und dem heutigen Gehniveau nur eine vergleichsweise geringe Distanz von 10–20 cm, was für kaum viel mehr als eine Steinlage ausreicht. Die Annahme, dass die Gräber ursprünglich leicht überhügelt waren, gewinnt nicht zuletzt dadurch an Wahrscheinlichkeit. Die tatsächliche Höhe der Steinaufschüttung auf den Gräbern, also des eigentlichen Grabhügels, ist unbekannt. Wenn davon ausgegangen wird, dass in den Jahrhunderten nach der Bestattung keine Steine entfernt wurden und das antike Gehniveau in etwa dem heutigen entspricht, so ergibt sich das Bild eines nur minimal, mit ein bis drei Steinlagen überdeckten Grabes. Ein Teil der Gräber im Areal Strada wurde bereits auf diese Weise für Besucher des Parks rekonstruiert (Abb. 5.4).

Gerade für das Areal Strada muss aber noch auf den Faktor der Erosion hingewiesen werden. Die Zone wurde während vieler Jahre als Pfad von Ziegen und Schafen genutzt. Sie war demzufolge über eine lange Zeit frei von Macchiabewuchs und damit stärker als andere Zonen der Macchiabate-Nekropole der Erosion ausgesetzt. Besonders deutlich manifestiert sich der Terrainverlust im Bereich der südlich gelegenen Gräber um das Grab Strada 6¹²⁶⁴, die teilweise so dicht unter der

mögliche vertiefte Auseinandersetzung mit dem Thema. Zu den Befunden: Guggisberg u. a. 2018a; Guggisberg u. a. 2019.

1260 Ein entscheidendes Merkmal, das auf den Rekonstruktionszeichnungen von Silvia Di Napoli in Brocato 2014, 100 fehlt.

1261 Einzelne Gefässe sind leicht höher als 40 cm, so bspw. die Olla S11/1 (H 40.8 cm).

1262 Vgl. Grab Strada 17.

1263 Vgl. dazu Guggisberg u. a. 2015b, 16–23.

1264 Guggisberg u. a. 2012a, 106.



Abb. 5.3 Mögliche Baugeschichte eines monumentalen Fossagraves am Beispiel von Grab Strada 8 (3D-Animation, Ikonaut Brugg GmbH).

modernen Oberfläche lagen, dass von den Gefäßbeigaben nur noch die Unterteile erhalten waren. Insgesamt dürfte das antike Gehniveau im Areal Strada wohl dennoch mehr oder weniger dem heutigen entsprochen haben. Einige Steinstrukturen waren an der Oberfläche zu sehen, andere lagen unter einer niedrigen Erdschicht.

Im Gegensatz zu den anderen erforschten Bestattungsarealen der Macchiabate-Nekropole, bei denen sich die Gräber oft tangieren, sind die Gräber im Areal Strada meist klar voneinander getrennt. Die aneinander anstossenden Gräber Strada 13, Strada 14 und Strada 15 einerseits sowie die Gruppe der einfachen Fossagräber Strada 6, Strada 7 und Strada 9 andererseits sind Ausnahmen. Sie zeigen, dass auch im Areal Strada der Wunsch nach räumlicher Nähe die Auswahl des Bestattungsplatzes bestimmen konnte.

5.1.4 Vergleiche

Über Vergleiche zur Grabarchitektur der Macchiabate-Nekropole zu schreiben, ist relativ schwierig, da vielerorts Angaben dazu in den Publikationen fehlen. Ausserdem wurden nicht

viele Nekropolen so grossflächig untersucht wie jene von *Francavilla Marittima*. Grosse Ähnlichkeiten sind im oinostrischen Bestattungsritus generell vorhanden, da in der frühen Eisenzeit Körperbestattungen – meist in Hockerposition – bevorzugt in Gruben, überdeckt von Flusssteinen angelegt worden sind. Schaut man sich die einzelnen Gräber genauer an, sind bereits in der *Macchiabate-Nekropole* viele Unterschiede aufzuzeigen. Das Areal Strada sticht beispielsweise durch die gepflasterten Steinböden hervor, die in den anderen Arealen deutlich seltener belegt sind. Hervorzuheben ist auch die Sorgfalt, mit der die steinernen Grabumwandungen aufgebaut wurden, im Unterschied etwa zu den Gräbern des Areals Est.

Oftmals fehlen in den Publikationen Zeichnungen und Fotos, die vom Aussehen der Grabstrukturen als solchen eine Vorstellung geben könnten. Aus diesem Grund, und weil bei der Beschreibung vielfach individuelle Bezeichnungen und Begrifflichkeiten verwendet werden, gestaltet sich die Interpretation der Befunde für Aussenstehende schwer. So beschreibt beispielsweise Klaus Kilian die Gräber von *Sala Consilina* als *a pietre* und meint damit eine rechteckige Grabgrube, welche



Abb. 5.4 Rekonstruierte Gräber im Areal Strada.

mit Steinen überdeckt wurde¹²⁶⁵. Da Hinweise auf Holz, oder verstürzte Steine und Eisen fehlen, geht er davon aus, dass keine hölzernen Kammern existierten. Vielmehr vermutete er, dass Teile des Grubenaushubs direkt über der Bestattung aufgeschüttet worden sind, gefolgt von den Steinen. Da in der Nekropole Überschneidungen von Gräbern vorkamen, besteht hier die Möglichkeit, dass die Gräber nicht über das Gehniveau gereicht haben.

Die Gräber von Francavilla Marittima werden von Francesco Quondam und Francesca Ferranti als *a cumulo* bezeichnet. Ihrer Ansicht nach bestehen die Strukturen aus einer ovalen oder runden Steinanhäufung, in die das eigentliche Grab in Form einer rechteckigen, ovalen oder wiederum runden Grube eingetieft und abschliessend von einem Steinhügel überdeckt wurde¹²⁶⁶. Diesem Schema *a cumulo* entsprechen auch die Körpergräber von Bisignano¹²⁶⁷.

Typisch für die Macchiabate-Nekropole ist die häufig unregelmässige Ausrichtung der Gräber. Sie scheinen dort angelegt worden zu sein, wo freier Platz vorhanden war. In vielen Arealen wirkt es, als würden die Gräber 'aneinanderkleben'. Der Haupteindruck des Areals Strada ist jedoch ein anderer. Viele Gräber sind hier in eher lockerer Folge entlang einer Nordwest-Südost-Achse angelegt, wie dies bereits für das Grab Strada 1 der Fall ist. Dennoch gibt es mehrere Ausnahmen. Auffallend ist für die ganze Nekropole auch die Tatsache, dass sich die Gräber der Eisenzeit zwar häufig berühren oder randlich überlagern, dass es jedoch nur selten zu einer eigentlichen Störung von älteren Gräbern kommt. Die älteren Grabstrukturen dürften demnach noch sichtbar oder bekannt gewesen sein, als die jüngeren Gräber angelegt worden sind.

Ausserhalb von Francavilla Marittima werden die Gräber aus Roggiano Gravina als vereinfachte Version von jenen der Macchiabate-Nekropole angesehen¹²⁶⁸. Sie sind durch ihr imponierendes Aussehen, meist von langovaler oder rechteckiger Form, charakterisiert. Die mit Steinen ausgekleideten Gruben weisen selten einen Plattenboden auf¹²⁶⁹. In Torano Castello herrschen ebenfalls rechteckige oder ovale Formen mit langgezogenen Steinhügelabdeckungen vor. Die Grabsohle weist bei den zwölf untersuchten Gräbern keine Pflasterung auf. Dafür deuten einige grössere Steinplatten auf den Gebrauch von Grabmarkierungen hin. Die Gräber selbst scheinen in der Regel ebenfalls einer Nordwest-Südost-Achse zu folgen, welche jedoch innerhalb der Gruben bei der Ausrichtung der Körper nicht eingehalten wurde¹²⁷⁰.

Auch in den Nekropolen von Castiglione di Paludi (Paludi), Belloluco (Castrovillari) und Amendolara sind Fossagräber mit Steinabdeckungen dokumentiert worden¹²⁷¹. Die Gräber von Torano Castello und Roggiano Gravina sind generisch mit jenen der Macchiabate-Nekropole vergleichbar, vertreten jedoch eine extrem vereinfachte Version. Im Umfeld der Gräber mit einer Steinüberdeckung bilden die Gräber von Francavilla Marittima somit eher ein Phänomen für sich und zeichnen sich durch Grösse, Monumentalität und Sorgfalt bei ihrer Realisierung aus. Angesichts der beschränkten Grabungsdaten lassen sich über diese allgemeine Feststellung hinaus im Augenblick keine weiterführenden verbindlichen Aussagen treffen.

Marta Billo-Imbach

1265 Kilian 1964, 16.

1266 Ferranti – Quondam 2006b, 593.

1267 Gallo 1945, 6; Luppino u. a. 2004, 526 f.; Ferranti – Quondam 2006b, 597.

1268 Ferranti – Quondam 2006b, 595; Carrara – Guzzo 1981, 445 f.

1269 Von 11 Gräbern weist nur das Doppelgrab 5 einen Plattenboden auf. Carrara – Guzzo 1981, 445; Ferranti – Quondam 2006b, 595.

1270 Ferranti – Quondam 2006b, 595; de La Genière 1977, 415.

1271 Ferranti – Quondam 2006b, 598.

5.2 Raumbezüge

5.2.1 Lage und Ausdehnung der Nekropole

Das Gräberfeld von Francavilla Marittima liegt auf der Hangterrasse der Macchiabate, ca. 3 km südlich des heutigen Dorfes, am Fusse des Pollino-Gebirges, das die Ebene von Sybaris nach Westen begrenzt (Taf. 1, 1.2). Die zur Ebene hin leicht abfallende Terrasse besteht aus Konglomeratgestein marinen Ursprungs, auf dem ein Stratum von rötlich braunem, stark lehmhaltigem Sediment aufliegt. Während die Terrasse der Macchiabate nach Nordosten flach ausläuft, fällt sie nach Süden steil ab in das Tal des Raganello. Im Westen bildet ein kurzes, aber tiefes Nord-Süd-verlaufendes Tal, die Dardania, eine markante Zäsur im Gelände, die das Areal der Nekropole vom nordwestlich angrenzenden Siedlungshügel, dem Timpone Motta von Francavilla Marittima trennt. Nach Südosten senkt sich das Gelände in mehreren Stufen zur Ebene hin.

Die Terrasse ist noch heute über weite Bereiche von dichter Macchia bedeckt (siehe Abb. 1.1). Luftaufnahmen von 1943 zeigen, dass sich der Bewuchs ursprünglich noch weiter nach Nordwesten erstreckt hat, damals bereits unterbrochen von Feldern, die landwirtschaftlich genutzt wurden¹²⁷². Durch den Bau eines modernen Sportplatzes mit angrenzendem Parkplatz wurde das Gelände im Nordwesten in den 1990er-Jahren stark überprägt¹²⁷³. Bereits auf den Luftbildern aus dem Zweiten Weltkrieg ist auch eine grosse bewuchsfreie Zone im Westen der Macchiabate zu erkennen, der sog. Scacco Grande, eine Zone, die bereits von Paola Zancani Montuoro als fundleer beschrieben wurde und auch in der Geomagnetik von 2015 keine positiven Signale erbrachte (Taf. 2 Nr. 3).

Die genaue Ausdehnung des zu Bestattungszwecken verwendeten Geländes ist bis heute ungewiss. Eine klare Grenze bildet die Dardania-Schlucht im Westen des Macchiabate-Plateaus, in den anderen Richtungen ist die Grenze der Nekropole allerdings weniger klar. Das als Macchiabate bezeichnete Plateau ist heute zum grössten Teil ein archäologischer Park und wird im Osten und Süden von der Strasse S.S. 105/S.P. 263 umschlossen (Taf. 2)¹²⁷⁴. Es bildet die Kernzone des Gräberfeldes, das sich allerdings nach Norden, Osten und Süden über die Grenzen des Parks und der Strasse hinaus erstreckt. Insbesondere aus den benachbarten Fluren Pietra Catania, I Rossi und Saladino sind durch Streufunde und ältere Berichte zahlreiche weitere Gräber bezeugt (Taf. 2 Nr. B, C, D)¹²⁷⁵.

Die Contrada Pietra Catania liegt nördlich der Macchiabate-Terrasse in Richtung des heutigen Dorfes von Francavilla Marittima. Die Flur I Rossi umschliesst ein weites Gebiet östlich von Macchiabate und Pietra Catania, von diesen durch die Strasse S.S. 105/S.P. 263 getrennt. Auch die Macchiabate selbst wurde vereinzelt als Teil von I Rossi bezeichnet¹²⁷⁶. Die Contrada Saladino erstreckt sich südöstlich der Macchiabate und südlich von I Rossi zum Fluss Raganello hin.

In den Fluren Pietra Catania und Saladino traten bereits 1879 beim Bau der Strasse S.S. 105 diverse Gefässe, Fibeln und Bronzeornamente zu Tage, die sich einem oder mehreren eisenzeitlichen Gräbern zuordnen lassen¹²⁷⁷. Weitere Funde aus der Flur Pietra Catania wurden bei Surveys in den 1980er-Jahren gegenüber der ehemaligen Seilbahn und der Sägerei dokumentiert¹²⁷⁸. Für die Fluren I Rossi und Saladino sind Grabfunde an unterschiedlichen Stellen bekannt. Hervorzuheben sind hier insbesondere die auf dem Grundstück von Vincenzo Colonna gemachten Entdeckungen, die G. D'Ippolito in den Notizie degli Scavi di Antichità des Jahres 1936 beschreibt¹²⁷⁹. Dem Bericht zufolge wurden hier mehrere aus Flusskieseln aufgeschichtete Gräber dicht beieinander (»raggruppate«) angetroffen, die unter einem kleinen Hügel (»monticello o piccolo timpone«) lagen¹²⁸⁰, ein Erscheinungsbild, das mit den für Francavilla Marittima charakteristischen Gräberbezirken und Tumuli, wie sie durch die späteren Ausgrabungen belegt sind, gut übereinstimmt und die Annahme nahe legt, dass im Areal Vincenzo Colonna ein analoger Bestattungsort mit Gräbern der Eisenzeit und der archaischen Epoche lag¹²⁸¹. Ein anderes Bestattungsareal wurde auf dem nicht mehr lokalisierbaren Grundstück des Pietro Calcagno entdeckt. Gemäss dem Bericht von D'Ippolito handelt es sich bei den Gräbern

1272 Istituto Geografico Militare, Blatt 221 Streifen 32 Fotogramm 87c vom 26.02.1943.

1273 Es liegen keine Berichte über archäologische Funde vor.

1274 Das Areal zwischen der Landstrasse zum Sportplatz und der Strasse S.S. 105/S.P. 263 gehört zur Flur Macchiabate und war mit Sicherheit Teil der Nekropole, wie zahlreiche Streufunde aus der Eisenzeit und der archaischen Zeit aus zerstörten Gräbern beweisen (Taf. 2 Nr. 29–32) und wie aufgrund geomagnetischer Surveys der Universität Basel/Eastern Atlas GmbH anzunehmen ist.

1275 De Santis 1964, Taf. b. Vgl. auch die archäologische Karte von L. Quilici: Quilici u. a. 1968/1969.

1276 De Santis 1964, 17 Anm. 6. Vgl. auch Galli u. a. 1936, 81 mit dem Hinweis auf Funde aus dem Grundstück von Francesco De Leo, welches westlich der Strasse S.S. 105 im Bereich des heutigen Archäologischen Parks der Macchiabate-Nekropole liegt. Das Grundstück wurde später aufgeteilt. Der südöstliche Bereich zur Strasse hin wurde von Vincenzo und Vito De Leo, den Söhnen von Francesco De Leo, übernommen, der nördliche von Pietro De Leo, dem Sohn des Saverio, des Bruders von Francesco. Heute befindet sich nur noch die nördliche Parzelle im Besitz der Familie De Leo (Anna De Leo Francomano), während die südliche Antonio Sarubbi gehört.

1277 Siehe oben Kapitel 1; Fiorelli 1879, 155 f.; zu diesen Funden siehe zuletzt Colelli 2014c, 306–310; Salmena – Scavello in Brocato 2011, 231–238.

1278 Gandolfo in Peroni Trucco 1994, 669: eine eisenzeitliche Bronzefibel sowie archaische Keramik wurden auf Höhe des km 113 der S.S. 105/S.P. 263 in den Feldern gegenüber der Zugangsstrasse zum heutigen Agriturismo Funicolare gefunden.

1279 Die Lage des Grundstückes entspricht Nr. 4 auf der Karte bei Galli und D'Ippolito (Galli u. a. 1936, 79 Abb. 1), lässt sich jedoch aufgrund des geringen Massstabes der Karte nicht ohne Weiteres auf Taf. 2 übertragen. Das Grundstück befindet sich wohl an der nordwestlichen Grenze der Macchiabate-Terrasse, die genaue Lage sowie die genaue Entsprechung mit den heutigen Grundstücksgrenzen lässt sich jedoch nicht mit Sicherheit rekonstruieren.

1280 Galli u. a. 1936, 78.

1281 Die Funde umfassen Keramik wohl kolonialer Produktion sowie Fragmente einer (Vier-?)Spiralfibel. Galli u. a. 1936, 82 f.

in der Parzelle Pietro Calcagno um einfache Fossagräber ohne gemauerte Struktur. Die Funde lassen jedoch keinen Zweifel an ihrer Datierung in die Eisenzeit¹²⁸².

Aus allen drei Fluren (Pietra Catania, I Rossi und Saladino) sind weitere Streufunde bekannt. Sie stammen vor allem aus dem Survey-Projekt des Groningen Institute of Archaeology aus den frühen 2000er-Jahren¹²⁸³. Eisenzeitliches Fundmaterial, das wohl aus Gräbern stammt, liegt namentlich aus den auf der Karte Taf. 2 markierten Bereichen 29–33 im Nordosten des heutigen Archäologischen Parks und den Feldern Nr. 26–28 östlich der S.S. 105/S.P. 263 vor¹²⁸⁴.

Weiter wird von T. De Santis der Fund eines Ziegelgrabes, wohl jüngerer Zeitstellung, im Bereich eines Feldweges zwischen den Fluren I Rossi und Saladino erwähnt¹²⁸⁵.

Das Gräberfeld erstreckte sich somit über ca. 15–20 Hektare auf dem Plateau zwischen der Dardania-Schlucht im Westen, dem Raganello im Süden, den Fluren I Rossi im Osten und Pietra Catania im Norden. Seine Begrenzung nach Süden, Osten und Norden ist unscharf. Einzig im Westen kann davon ausgegangen werden, dass die Dardania-Schlucht und das in ihrer Verlängerung verlaufende moderne Strässchen zum Sportplatz die Grenze bilden. Bei Geländebegehungen durch das Team der Universität Basel wurden jenseits davon keine weiteren Hinweise auf Gräber entdeckt. In der archäologischen Karte von L. Quilici sind dagegen an den Grenzen der Nekropole verschiedene Areale mit hellenistischem und römischem Material verzeichnet, insbesondere östlich des Sportplatzes und im Bereich I Rossi und Saladino (Taf. 2 Nr. 33. 34. 36. 37)¹²⁸⁶.

Über die Charakteristika und Ausdehnung eines zweiten Gräberfeldes im Bereich der südlichen Abhänge des Timpone Motta und in den gegenüberliegenden Feldern südlich der

S.S.105 können in Ermangelung von Grabungsdaten keine klaren Aussagen gemacht werden (Taf. 1, 2)¹²⁸⁷.

Martin A. Guggisberg, Camilla Colombi

5.2.2 Raumbezug und Organisation der Nekropole

Die Nekropole erstreckt sich über ein Gelände von ca. 500 x 350 m. Sie besteht aus einer Vielzahl von Gräbergruppen, die sich oft auf natürlichen Erhebungen sammeln (Areale Cerchio Reale, De Leo, Est; Taf. 2 Nr. 9. 10. 16) oder durch Überlagerung von mehreren Bestattungen anthropogene Erhebungen bilden (Areale Temparella und wahrscheinlich Collina; Taf. 2 Nr. 4. 15). Auch die kleinen Gruppen Vigneto, Uliveto und Lettere – wenn auch nur ansatzweise ausgegraben – scheinen auf Erhebungen zu liegen, die in der heutigen Topographie der Nekropole noch fassbar sind (Taf. 2 Nr. 17. 21. 25). Die Wahl des Bestattungsplatzes der Gruppe Strada (Nr. 12) scheint ebenfalls massgeblich von topographischen Gesichtspunkten geprägt zu sein. Die Gräber liegen auf einer erhöhten Geländeerippe und waren ebenso wie jene im Bereich der Temparella, des Cerchio Reale und der Area Est von weither sichtbar. Ihrerseits boten sie den Besuchern einen imposanten Ausblick über die gesamte Küstenebene.

Räumlich konzentrieren sich die bekannten Gräbergruppen in der Mitte des durch archäologische Zeugnisse dokumentierten Gräberfeldes. Dieses Bild ist jedoch in erster Linie der Ausgrabungsgeschichte und der in vielen Bereichen durch den Bewuchs mit Macchia erschwerten Zugänglichkeit des Gräberfeldes geschuldet (siehe Abb. 1.1). Streufunde aus der Peripherie zeigen deutlich, dass auch in den archäologisch noch kaum erforschten Zonen im Westen und Osten der Nekropole mit einer Vielzahl von Gräbern zu rechnen ist.

Ein besonderes Problem bildet die Bestimmung der Ausdehnung der verschiedenen Bestattungsareale. Nach dem aktuellen Forschungsstand hat man den Eindruck, dass die einzelnen Verbände ihre Bestattungsplätze bewusst in räumlicher Distanz zueinander angelegt und diese über Jahrzehnte, wenn nicht Jahrhunderte (wie im Falle der Temparella) benutzt haben. Dieses Bild ist insofern trügerisch, als die Grenzen der Areale in der Mehrzahl der Fälle unbekannt und die Bereiche dazwischen weitgehend unerforscht sind. Hinzu kommt, dass das Gelände der Nekropole seit der Antike in unbekanntem Masse durch Erosion und Landwirtschaft verändert worden sein dürfte. Gräber können sowohl abgetragen wie auch durch Sedimentablagerungen überdeckt sein. Ausserdem erschwert

1282 Galli u. a. 1936, 81 f. Im selben Bericht (Galli u. a. 1936, 83) ist auch von Funden auf dem Grundstück des Saverio De Leo in der Flur Macchiabate die Rede. Saverio De Leo war der Schwiegervater bzw. Grossvater der heute noch auf der Macchiabate lebenden Anna De Leo und ihres Sohnes, Saverio; Aus den gleichen Feldern stammt wohl auch ein Männergrab mit Helm und Bronzewaffen, dessen Beigaben sich jedoch nicht erhalten haben: De Santis 1964, 39 Anm. 8, gefunden von Pietro De Leo, Sohn von Saverio De Leo und Ehemann von Anna De Leo. In der Nähe befinden sich auch die Felder von Francesco De Leo, auf denen Funde aus der Eisenzeit gemacht wurden: Galli u. a. 1936, 81. Sämtliche Funde wurden vom Arzt A. De Santis gesammelt und dem Museum von Cosenza geschenkt.

1283 Wir danken M. van Leusen und W. de Neef sehr herzlich dafür, dass wir in den RAP Preliminary Site Catalogue Einsicht nehmen durften.

1284 Ebenso weisen die Ergebnisse einer im Rahmen des hier präsentierten Projektes durchgeführten geophysikalischen Untersuchung darauf hin, dass sich das Bestattungsareal auch in diesem Bereich fortsetzte. Die geophysikalischen Untersuchungen wurden 2009 durch ein Team der Firma Eastern Atlas GmbH, Berlin durchgeführt.

1285 De Santis 1964, 32–34.

1286 Quilici u. a. 1968/1969, 104 Nr. 41–45 Flur Pietra Catania; 110 Nr. 142 beim Sportplatz; 104 Nr. 46 Flur I Rossi; 104 Nr. 47–49 Flur Saladino; 109 Nr. 136–138 Flur Pantano; siehe Beil. archäologische Karte der Ebene von Sibari.

1287 Ein Teil der Flur Sferracavallo/Timpona Motta wird von L. Quilici als Nekropole bezeichnet, hier wurde u. a. eine anscheinend als Urne verwendete rotfigurige Pelike gefunden: Quilici u. a. 1968/1969, 110 Nr. 145; De Santis 1960, 55–57; Paoletti 2018a, 75–84. Für die am südlichen Abhang des Timpona Motta liegende Flur Murata/Rovitti sowie für die Felder südlich der S.S. 105/S.P. 263 ist die Auffindung von menschlichen Knochen erwähnt: Galli u. a. 1936, 78 f. 83; Colelli 2014c, 310 f.; Colelli 2015a, 61 f. Abb. 1, 12 spricht von einem Gräberfeld der Eisenzeit und der hellenistischen Periode.

die aktuelle Vegetation die Beurteilung der antiken Verhältnisse. Es ist deshalb nicht möglich, mit Sicherheit zu behaupten, dass Bereiche, in denen heute keine Gräber nachweisbar sind, auch in der Antike unbesetzt waren. Nur in wenigen Arealen sind Aussagen mit grösserer Gewissheit möglich. So zeigen geomagnetische Untersuchungen im Norden des Areals Strada, dass hier eine gräberfreie Zone die Strada-Gruppe von einer benachbarten Gräbergruppe hangaufwärts zu trennen scheint (Taf. 5). Weitgehend frei von archäologischen Strukturen ist ausserdem die sog. Area Vuota/Scacco Grande im Westen des Macchiabate-Plateaus (Taf. 2 Nr. 3)¹²⁸⁸.

Ungewiss ist nicht nur die räumliche Ausdehnung der einzelnen Bestattungsareale, sondern auch deren Form. Geprägt durch die Gestalt der Temparella und des Cerchio Reale bestimmt bis heute das Modell von flächig ausgreifenden, mehr oder weniger kreisförmig gedachten Bestattungsarealen unsere Vorstellung von der Bestattungslandschaft auf dem Macchiabate-Plateau. Entscheidenden Anteil an diesem Modell hatte der Temparella-Grabhügel, der von P. Zancani Montuoro zu einem kreisrunden Tumulus rekonstruiert wurde¹²⁸⁹. Die konische Form des noch zur Hälfte erhaltenen Hügels ist heute im Gelände noch deutlich zu erkennen (siehe Abb. 5.5). Allerdings verdankt die Struktur ihre gegenwärtige Erscheinung in erster Linie den Gräbern, die in archaischer Zeit über den Bestattungsplatz von allem Anfang an als 'kreisförmiges' Areal mit einer vorgegebenen maximalen Ausdehnung definiert worden war, ist hingegen unbekannt – nicht zuletzt auch deswegen, weil der Grabhügel nicht vollständig ausgegraben wurde¹²⁹⁰. Ungewiss ist letztlich auch, ob nördlich und nordwestlich des Tumulus' tatsächlich keine weiteren Gräber mehr liegen.

Eine scheinbare Bestätigung für die Kreisform der frühen Bestattungsareale liefert das der Temparella benachbarte Areal des Cerchio Reale, das nur in der Eisenzeit belegt war und auf den ersten Blick ebenfalls eine gerundete Form besitzt (siehe Abb. 5.8)¹²⁹¹. Auch hier ist allerdings zu bedenken, dass der von P. Zancani Montuoro veröffentlichte Plan im Grunde nur dem eher willkürlich bestimmten Grabungsareal entspricht und keineswegs verlässliche Auskunft über die gesamte Ausdehnung der Gräbergruppe gibt. Dies wird zuletzt durch den Fund eines Kraters des 8. Jahrhunderts v. Chr. nordöstlich des von Zancani Montuoro erforschten Bereichs bestätigt (siehe

Abb. 3.83)¹²⁹². Das Gefäss stammt mit Sicherheit aus dem Grab einer herausragenden Persönlichkeit, dessen Lage darauf hinweist, dass sich der Bestattungsplatz des Cerchio Reale, dem Hangverlauf folgend, nach Nordosten weiter ausgedehnt hat, als man dies aufgrund des bekannten Planes bisher vermuten konnte. Die räumliche Ausdehnung des Gräberareals scheint somit weniger durch spezifische formale oder rituelle Vorgaben bestimmt gewesen zu sein als vielmehr durch die topographischen Gegebenheiten des Geländes.

Als Folge dieser durch das Gelände bestimmten Verteilung der Gräber, dürften die Bestattungsareale mehrheitlich von unregelmässiger Form gewesen sein. Anzunehmen ist ferner, dass sich die Verteilung der Gräber auch innerhalb eines spezifischen Bestattungsareals an den topographischen Gegebenheiten orientierte und besonders prominente Lagen besonders früh besetzt wurden bzw. gesellschaftlich herausragenden Persönlichkeiten vorbehalten blieben. Die Bestattungsareale hätten sich unter dieser Prämisse nicht linear von A nach B entwickelt und auch nicht radial um ein 'Gründergrab'. Stattdessen ist davon auszugehen, dass die Gräber massgeblicher Persönlichkeiten an besonders günstigen Plätzen angelegt wurden und um sie herum im Laufe der Zeit weitere Gräber von Menschen entstanden, die ihnen besonders nahe sein wollten. Genau dieses Bild zeichnet sich für das Bestattungsareal Strada ab, das sich in drei chronologisch von Süden nach Norden gestaffelte Gräbergruppen aufgliedert, die ihrerseits aus unregelmässig platzierten und nur lose aufeinander abgestimmten Gräbern bestehen¹²⁹³.

Abschliessend ist zu vermerken, dass es innerhalb des Gräberfeldes keine erkennbare Bevorzugung bestimmter topographischer Bereiche der Hangterrasse, etwa zur Siedlung oder zur Ebene hin, gibt (Taf. 2). Das Areal Strada liegt im Zentrum des Gräberfeldes. Es ist jedoch nicht möglich, daraus eine bevorzugte Stellung der hier bestatteten Personengruppe zu erschliessen. Dies umso weniger, als einstweilen keinerlei Hinweise auf eine mögliche Erschliessung der Nekropole durch ein Wegnetz vorliegen und auch keinerlei Anhaltspunkte für eine anders geartete Strukturierung des Gräberfeldes, etwa durch Versammlungsplätze für den Totenkult, erkennbar sind¹²⁹⁴. Offenbleiben muss damit auch die Frage nach einer möglichen Ausrichtung der Nekropole auf bestimmte Zugangsachsen zur Siedlung auf dem Timpone Motta. In ihrem Verlauf folgt die heutige Strasse S.S. 105/S.P. 263 der Kante zwischen den Abhängen des Pollino-Gebirges und der Küstenebene. Es scheint

1288 Vgl. oben Kapitel 5.2.1 und Zancani Montuoro 1977–1979, 44 Areal 'Scacco Grande'. Allerdings verzeichnet das Surveyprogramm der Universität Groningen in diesem Areal durchaus vereinzelte Streufunde.

1289 Zancani Montuoro 1980–1982, 7–9 Abb. 1 »quasi una duna o cupola ribassata«.

1290 Im Westen scheint die Temparella von einem benachbarten Hügel überlagert zu werden bzw. diesen ihrerseits zu überdecken. Da der Geländeverlauf in diesem Bereich unklar ist, lässt sich die Form des Gräberareals Temparella nicht mit abschliessender Gewissheit bestimmen.

1291 Zancani Montuoro 1977–1979, 28 Abb. 9.

1292 Quondam 2014, 30 Abb. 8. Das Gefäss wurde im Zuge von Reinigungsarbeiten zufällig entdeckt, die 2006 und 2007 durch ein Team der Universität Cosenza durchgeführt wurden. Das Grab selber blieb unerforscht. Die Angaben zum Fundort des Kraters verdanken wir M. Kleibrink.

1293 Dazu vgl. Kapitel 5.3.1.

1294 Unklar ist die Bedeutung eines Stratums von ungeordneten grösseren und kleineren, geröllartigen Steinen, das am Nordwestrand des Areals Strada zum Vorschein gekommen ist. Die unregelmässige Anordnung der oftmals kantigen Steine widerspricht der Annahme, dass es sich dabei um die Pflasterung eines Weges oder Platzes handelt: Guggisberg u. a. 2017, 81 Taf. 12.1.

durchaus denkbar, dass sie damit einem alten hangparallelen Weg am Rande der Küstenebene folgt¹²⁹⁵. Wer auf diesem (hypothetischen) Weg in die Siedlung auf dem Timpone Motta gelangen wollte, wäre demnach durch den östlichen Bereich der Nekropole gekommen. Leider lässt die archäologische Dokumentation keinerlei Rückschlüsse darüber zu, ob die hier gelegenen Gräber in irgendeiner Form auf den Verlauf eines derartigen Weges Bezug genommen haben. Immerhin legt die Verteilung der Gräber auf beiden Seiten der modernen Strasse in der Nekropole Valle Sorigliano (Santa Maria d'Anglona, Tursi) die Annahme nahe, dass die Lage der eisenzeitlichen Gräberfelder durchaus von übergeordneten, verkehrsgeographischen Gesichtspunkten mitbestimmt sein konnte¹²⁹⁶. Für die Macchiabate-Nekropole von Francavilla Marittima lässt sich ein derartiger Bezug einstweilen nicht konkretisieren.

Martin A. Guggisberg, Camilla Colombi

5.2.3 Ausdehnung der Areale Strada und De Leo

Mit dem vorläufigen Abschluss der Ausgrabungen in den Arealen Strada und De Leo stellt sich die Frage nach dem Bezug der beiden Gräberbezirke zur restlichen Nekropole. Vieles bleibt dabei im Unklaren, weil die Gräberareale in beiden Fällen nicht vollständig erforscht sind. Dies gilt insbesondere für die beiden nur durch Zufall entdeckten eisenzeitlichen Gräber des Areals De Leo, die mit Sicherheit zu einer wesentlich grösseren Gräbergruppe gehört haben. Ihre Lage und Ausdehnung sind nicht mit Gewissheit zu bestimmen. Der Geländeverlauf lässt jedoch vermuten, dass sich ein grösseres Gräberareal im Bereich des landwirtschaftlich genutzten Feldes der Familie De Leo befindet, an dessen nordöstlicher Peripherie die beiden Gräber De Leo 1 und 2 liegen (Taf. 2 Nr. 16). Geophysikalische Untersuchungen und Streufunde haben die Existenz eines grösseren Gräberareals südlich der Gräber De Leo 1 und 2 bestätigt¹²⁹⁷. Anhand des Geländeverlaufs, der hier eine leichte Kuppe bildet, scheint es sich um einen flächig ausgreifenden, in etwa kreisförmigen Bereich zu handeln; seine genaue Ausdehnung muss jedoch offen bleiben.

Ganz anders präsentiert sich hingegen das Bestattungsareal Strada (Taf. 2 Nr. 12; Taf. 4). Dieses folgt einer zungenförmigen Geländerippe, die im rechten Winkel zum Hang von Nordwesten nach Südosten über ca. 40–45 m verläuft. Ob-

schon die seitlichen Flanken dieser Rippe wegen der sie überdeckenden Macchia nicht flächig untersucht werden konnten, spricht der Umstand, dass die Georadarmessungen in einem schmalen zugänglichen Bereich am Westrand des Areals keine Ergebnisse erbrachten¹²⁹⁸, dafür, dass die Gräbergruppe sich wohl nicht weiter nach Westen erstreckte. Ob und in wie weit sich Bestattungen östlich des ausgegrabenen Bereiches befanden, kann aufgrund der heutigen dichten Vegetation nicht eindeutig beantwortet werden.

Im Nordwesten scheint die Abgrenzung des Areals Strada klarer. Hier zeichnet sich nördlich der Gräber Strada 17–19 eine Abflachung im Gelände ab, die wohl die nordwestliche Grenze des Bestattungsareals markiert. Nördlich der schmalen Terrasse steigt das Gelände erneut kuppenartig an. Auf den Georadarbildern zeichnen sich in diesem Bereich weitere Strukturen ab, die vermutlich zu einem angrenzenden Gräberareal gehören (Taf. 5)¹²⁹⁹. Diese Annahme wird nicht zuletzt dadurch gestützt, dass zwischen den beiden Arealen eine Zone liegt, in der auf den Georadarbildern keine Strukturen zu erkennen sind.

Nach dem aktuellen Ausgrabungsstand bildet das Grab Strada 1 den südöstlichen Abschluss der Gräberreihe. Dieses Bild dürfte jedoch kaum der antiken Realität entsprechen, da bei der Anlage eines Leitungskanals direkt südöstlich des Grabes auf dem Areal des Gehöfts der Familie De Leo Keramikscherben und diverse Bronzeringlein zum Vorschein gekommen sind, die von der Präsenz weiterer Gräber in diesem Bereich zeugen¹³⁰⁰. Wie und ob die mutmasslichen Gräber auf dem Gelände des Gehöfts De Leo mit dem Bestattungsareal Strada in Zusammenhang stehen, lässt sich im Moment nicht näher bestimmen. Denkbar wäre auch, dass sie zu einer anschliessenden Gräberzone gehören. In jedem Fall zeigt sich jedoch, dass das Modell der flächig ausgreifenden, mehr oder weniger kreisförmig gedachten Bestattungsareale für die Gräbergruppe Strada nicht zutrifft. Wir haben es hier vielmehr mit einer Gruppe von Gräbern zu tun, die in lockerer Streuung über die Geländerippe der 'Strada' verteilt waren.

Martin A. Guggisberg

1295 Hingewiesen sei ausserdem auf den Verlauf einer alten 'mulattiera', die von Trebisacce herkommend im Bereich der Flur Saladino auf die heutige S.S. 105/S.P. 263 traf. Am selben Kreuzungspunkt traf auch ein zweiter durch die Ebene verlaufender Maultierpfad auf die heutige Strasse, deren Ausgangspunkt in Cassano und Lauropoli lag; Galli u. a. 1936, 78 f. Abb. 1.

1296 Vgl. den Gesamtplan der Nekropole in Bianco u. a. 1996, 35 mit Abb. Unklar ist die Funktion eines Nord-Süd verlaufenden Grabens und von parallel dazu angeordneten Steinpflasterungen in der Nekropole von Inconata (San Teodoro, Pisticci): Chiartano 1994, 20 Taf. C.

1297 In der Kampagne 2009 wurden durch die Firma Eastern Atlas GmbH geomagnetische Untersuchungen auf dem Feld der Familie De Leo durchgeführt.

1298 Georadar-Untersuchungen in und um das Areal Strada wurden im Auftrag der Universität Basel von der Firma Eastern Atlas GmbH in den Jahren 2009 und 2012 durchgeführt. Siehe auch Kapitel 1.

1299 Die im Georadar-Bild erkennbaren Strukturen scheinen ausserdem kleiner und meist Ost-West orientiert zu sein.

1300 Die Anlage des Leitungskanals (im Frühsommer 2015) stand im Zusammenhang mit der geplanten Errichtung eines Mastes für eine Videoüberwachung. Die Funde wurden vom Grabungsteam an der Oberfläche des bereits wieder zugeschütteten Kanals gesammelt. Im Loch, das für den Mast ausgehoben wurde, fanden sich Fragmente einer kleinen, handgemachten Tasse und weitere, unbestimmbare Keramikfragmente.

5.3 Chronologie

5.3.1 Relative Chronologie

Die Bestattungen der Areal Strada und De Leo können grob einer älteren und einer jüngeren Belegungsphase der Nekropole in der Stufe IFe2A2–2B zugeschrieben werden, in Anlehnung etwa an die Studien von Juliette de La Genière und von Francesco Quondam über die von Paola Zancani Montuoro freigelegten Gräber der Macchiabate-Nekropole¹³⁰¹.

Einem älteren Horizont lassen sich Strada 1¹³⁰² und Strada 5 – beide mit Keramiken mit Verzierung im *stile a bande ondulate*¹³⁰³, jedoch mit Schlangenfibern *a gomito* – sowie vermutlich die Gräber Strada 6¹³⁰⁴, Strada 7 und Strada 15 zuweisen. Zu den ältesten Komplexen gehört auch das Grab De Leo 1, wie die Beigabe des Kraters und der Schlangenfibel Typ Lo Schiavo 341 verdeutlichen. Diese Gruppe kann teilweise mit der ersten Phase von Francesco Quondam gleichgesetzt werden, zu der etwa die Gräber Temparella 60 (vgl. Strada 6), Vigneto 7 und Cima (vgl. De Leo 1) gehören. Die Datierung des Kraters aus Grab De Leo 1 (Taf. 79) und der Tasse mit *Wavy band style*-Verzierung (Taf. 26)¹³⁰⁵ aus Grab Strada 5 um die Mitte des 8. Jahrhunderts v. Chr. bieten einen wichtigen Anhaltspunkt für diese Belegungsphase. Eine Übergangstellung darf dem Grab Strada 8 beigemessen werden, in dem ein figürlicher Anhänger wohl aus der gleichen Gussform wie das Exemplar aus Strada 1 mit einem Askos *a frange*, der typischen Verzierung der jüngeren Belegungsphase der Macchiabate-Nekropole, vergesellschaftet ist (Taf. 39, 40). In einen jüngeren Horizont einzuordnen sind die Gräber Strada 2, Strada 4, Strada 11 und Strada

12 – alle beinhalteten Gefässe mit *a frange*-Verzierung oder mit *a tenda*-Ornamenten des *stile vuoto*¹³⁰⁶. Aufgrund der Gefäßformen sind auch Strada 13 und Strada 14 wohl der jüngeren Gruppe zuzurechnen, wie auch der stratigraphische Befund von Strada 15 zu beweisen scheint. Die Schildfibeln vom Typ Lo Schiavo 420 und die Schlangenfibel vom Typ Lo Schiavo 347 aus Grab Strada 14 lassen leider keine genauere Datierung zu¹³⁰⁷. Zur letzten Belegungsphase des Areals Strada gehören die Gräber Strada 16 und Strada 17. Dazu ist wohl auch das Kindergrab Strada 18 zu rechnen, das wie eingeklemmt zwischen den beiden Erwachsenengräbern Strada 16 und Strada 17 liegt. Die Präsenz einer Imitation eines Thapsos-Skyphos im Grab Strada 16 (Taf. 66) bietet einen wichtigen Anhaltspunkt für das Belegungsende des Areals Strada im ausgehenden 8. Jahrhundert v. Chr.¹³⁰⁸. Die Kindergräber Strada 3, 9, 10, 19 und De Leo 2 können nur allgemein der Stufe IFe2 zugeschrieben werden.

In der Verteilung der Gräber lässt sich keine klare Belegungsabfolge erkennen (Taf. 4). Insgesamt kann festgehalten werden, dass die Gräber am südöstlichen Ende des Areals Strada (Strada 1, 5, 6, 7) eher zur älteren und jene aus dem mittleren Bereich eher zur jüngeren Gruppe gehören (Strada 11, 2, 4 mit 'Übergangsggrab' 8), während die Bestattungen am nordwestlichen Rand des Areals die jüngsten sind (Strada 16, 17, 18)¹³⁰⁹. Aufgrund der geringen Größe der Bestattungsgruppe Strada sowie der unvollständigen Kenntnis ihrer Ausdehnung kann dieser Gliederung jedoch nur beschränkte Aussagekraft beigemessen werden. Bemerkenswert scheint lediglich, dass eines der jüngsten Gräber – Strada 17 – in südwest-nordöstlicher Ausrichtung errichtet wurde, statt wie sonst üblich in südost-nordwestlicher Orientierung, als ob es auf eine unsichtbare Begrenzung des Areals bezogen wäre. Nördlich davon scheint nach Ausweis der geomagnetischen Untersuchungen eine fundleere Zone zu folgen, die das Areal Strada von der nächsten, im Nordwesten folgenden Gräbergruppe trennt.

1301 De La Genière 1994; Quondam 2009; Quondam 2011.

1302 Das Grab wird von F. Quondam zwischen dem Ende von IFe2A und dem Anfang von IFe2B (um 750 v. Chr. in der traditionellen absoluten Chronologie) datiert, siehe Kapitel 2.4. Tasse mit Verzierung im *stile a bande ondulate*: Quondam 2009, 150–152 Abb. 2, 1; Kleibrink u. a. 2012b, 12 Nr. 9 Abb. 15. Bronzefibeln: Lo Schiavo 2010, 143 f., Typ 42 Nr. 405 (*arco ingrossato tipo Nicotera*); 679–693 Typ 343 Nr. 5997 (*serpeggiante di verga a sezione circolare, inornate*); 869–875 Typ 447 Nr. 7988 (*quattro spirali tipo Amendolara*). Phönizische Bronzschale: Nijboer 2006, 288–304; Pace 2008b, 81–92; Bernardini – Botto 2010, 68–73; Bernardini – Botto 2015; Matthäus 2019.

1303 S1/20; S5/1. Verzierungsmuster des *stile a bande ondulate* gelten bei der *mat-painted* Produktion als typisch für die mittelgeometrische Phase. Zu diesem Stil: Kleibrink – Barresi 2009; Kleibrink u. a. 2012b; Cerzoso – Vanzetti 2014, 85–90, der Stil entwickelt sich in der mittelgeometrischen Zeit und besteht in spätgeometrischer Zeit weiter; Ferranti 2009, 42 *sintassi stilistica* 3; 50–57.

1304 Vgl. insbesondere die verzierten Halsreife, die im ebenfalls einer frühen Phase zuzuschreibenden Grab Temparella 60 vorkommen: Zancani Montuoro 1974–1976, 13–50 Nr. 18 Abb. 2 Taf. 5a.

1305 Zu diesem Verzierungsmuster: Jacobsen 2007, 39–58 Nr. 20–25 (Schalen) und Nr. 31, 35, 36 (Skyphoi), vorgeschlagene Datierung 780/770–730 v. Chr. und vor 720 v. Chr.; Jacobsen u. a. 2009, 210–212 vgl. insb. die Verzierung der Typen Skyphos 2a und 3, die ins dritte Viertel des 8. Jahrhunderts v. Chr. und später datiert werden. Vgl. auch Ferranti u. a. 2004, 544 Stil S5 Muster M13, belegt in der frühgeometrischen und mittelgeometrischen Periode; Ferranti 2009, 42, 50, 54 Stil 3 Variante I (Mittelgeometrisch) und Variante II (Spätgeometrisch 2).

1306 Zu den Keramikverzierungen der spätgeometrischen Phase: Ferranti 2009; Nava u. a. 2009 (Schwerpunkt Basilikata); Ferranti u. a. 2004; Ferranti – Quondam 2006; Ferranti 2004. Insbesondere zum *stile a frange*: Kleibrink 2015a, 5–21.

1307 Typ 347 ist in den Gräbern Strada 6, Strada 12, Strada 14, Uliveto 3 und Vigneto 3 belegt, kommt aber auch in den spät in der Phase IFe2B datierenden Gräbern von Roggiano Gravina vor. Typ 420 ist in den Gräbern Strada 14 (mit Reparaturen), Temparella 16 und 93 sowie aus Schichten des Gebäudes Vb auf dem Timpone Motta belegt.

1308 Zur Datierung des Gefässes S16/2 siehe Kapitel 3.2.1 »Skyphos«.

1309 Von 'Familien' im modernen Sinne kann kaum die Rede sein, auch wenn sich manche Frauen-, Männer- und Kindergräber in unmittelbarer Nähe zueinander zu befinden scheinen – wie etwa die Paare Strada 14 und 15, Strada 6 und 7 oder die junge Frau und das Kind in Strada 4 und 8. In Ermangelung von DNA-Analysen ist von solchen, wohl zu modernen Interpretationen m.E. abzusehen, da sie nicht unbedingt die antiken sozialen Bindungen widerspiegeln. Zur Projektion von modernen Familienkonzepten auf die Vorgesichte siehe Röder 2015.

5.3.2 Absolute Chronologie

Die Gräber der Areale Strada und De Leo lassen sich mehrheitlich in die Phase IFe2B der süditalischen Eisenzeit datieren, für die das Gräberfeld von Francavilla Marittima als Hauptfundstelle im oinotrischen Kulturkreis gilt¹³¹⁰. Sie wird in der Forschung meist mit der griechischen spätgeometrischen Periode gleichgesetzt¹³¹¹. Nur vereinzelt sind in der Macchiabate-Nekropole Funde belegt, die sich der vorangehenden Phase IFe2A zuordnen lassen¹³¹². Aufgrund verschiedener Faktoren ist die Mehrheit der Gräber der Phase IFe2B zuzuweisen. Dazu gehören Importe und Nachahmungen von spätgeometrischer griechischer Keramik ebenso wie einheimische Keramik des *a frange*-Stils und mit *a tenda*-Verzierung im *stile vuoto*. Auch die Präsenz langfüßiger Fibeln weist die Mehrheit der Gräber in diese Phase¹³¹³, deren absolute Datierung allerdings mit gewissen Unsicherheiten behaftet ist. Während das Ende allgemein mit der Gründung von Sybaris um 720/710 v. Chr.¹³¹⁴ in Zusammenhang gebracht wird, ist der Beginn von IFe2B umstritten. Nach der sog. traditionellen Chronologie fällt der Beginn von IFe2B mit dem Übergang von der mittel- zur spätgeometrischen Periode in Griechenland und mit dem Beginn der ersten spätgeometrischen Phase in Pithekoussai zusammen, d. h. um 750 v. Chr.¹³¹⁵. Dies führt im Falle der Nekropole von Francavilla Marittima zu einer extremen Komprimierung der Bestattungen in die Jahre zwischen 750 und 720/710 v. Chr. (IFe2B) und konfrontiert uns mit meh-

rerer Problemen in Bezug auf die Bevölkerungsdichte, auf das Fehlen von Bestattungen in der ersten Hälfte des 8. Jahrhunderts v. Chr. – das seinerseits im Widerspruch mit der Evidenz auf dem Timpone Motta steht – sowie auf das abrupte Ende der Belegung bzw. den Rückgang der Gräberzahl am Anfang des 7. Jahrhunderts v. Chr. Ein alternatives Modell wurde von den Anhängern der sog. *cronologia alta* propagiert, die basierend auf den dendrochronologischen Daten aus Mitteleuropa und auf ihrer Verankerung mit den relativen Chronologien in Norditalien den Beginn von IFe2B ca. ein halbes Jahrhundert früher, um 800 v. Chr. ansetzen¹³¹⁶. In Francavilla Marittima würde sich damit zumindest die Belegungsgeschichte der Nekropole entspannen¹³¹⁷. Gleiches ist der Fall, wenn man, wie dies ebenfalls schon versucht wurde, das Ende von IFe2B nach unten, in die ersten Jahrzehnte des 7. Jahrhunderts v. Chr. verschiebt¹³¹⁸. In beiden Fällen ergeben sich freilich andere Probleme, wie beispielsweise jenes der Synchronisation der Importe mit ihren Parallelen in Griechenland und im Vorderen Orient oder der Entwicklungsgeschichte von Francavilla Marittima vor dem Hintergrund der historisch überlieferten Koloniegründung(en).

Welchen Beitrag können die Funde aus den Arealen Strada und De Leo zur Diskussion um die absolutchronologische Verankerung der Gräber leisten? Prinzipiell ist festzuhalten, dass das Beigabenspektrum insgesamt sehr homogen ist. Die zahlreich vertretenen *tenda vuota*- und *a frange*-Verzierungen der Keramik sowie die Schlangenfibeln *a gomito* sind charakteristisch für die spätgeometrische Periode. Als frühester Kontext¹³¹⁹ kann das Grab De Leo 1 angesehen werden. Der zur sog. oinotrisch-euböischen Keramikgattung gehörende Krater aus diesem Grab weist eine Reihe von Merkmalen auf, die in Griechenland vermehrt seit der Phase Mittelgeometrisch II bekannt sind (Taf. 79). Für die Datierung des De Leo-Kraters können wir uns somit an der Chronologie der mutterländisch-griechischen Keramik orientieren, die den Übergang von Mittelgeometrisch II zu Spätgeometrisch I um

1310 Siehe Ferranti – Quondam 2006b; Ferranti 2004; Ferranti 2014; Quondam 2009; Quondam 2014, bes. 20 Abb. 2. Für eine Übersicht über die frühe Eisenzeit in der Sibaritide: Peroni 1994, 869–878; Peroni 1989; Kleibrink 2004b; Attema u. a. 2010, 89–104; Quondam 2014; Quondam 2016.

1311 Peroni 1994; Ferranti 2004; Ferranti 2014.

1312 Für die Phase IFe2A bildet das Gräberfeld von Torre Mordillo (Spezzano Albanese) die Hauptfundstelle. Siehe die Keramik im *stile a bande ondulate*, mehrere in Torre Mordillo gut belegte Fibeltypen, mehrere Typen von Vierspiralfibeln oder allgemein die Präsenz von Impasto-Gefäßen in Gräbern: Ferranti 2004; Ferranti 2014, bes. 85–90; Ferranti 2009, 42. 50–57; Quondam 2009, 147; Kleibrink u. a. 2012a; Kleibrink u. a. 2012b. Zu Torre Mordillo: Cerzoso – Vanzetti 2014.

1313 Ferranti u. a. 2004; Ferranti 2004; Ferranti 2014; Quondam 2009, 158–162 für die griechischen Importe und Nachahmungen, die aus insgesamt fünf eisenzeitlichen Gräbern stammen: Cerchio Reale 1, Uliveto 15, Temparella 88, Temparella 8, Temparella 79. Zu den Drago-Fibeln und langfüßigen Fibeln mit verkleidetem Bügel: Quondam 2009, 148. Zu den Verzierungsmustern der geometrischen oinotrischen Keramik: Yntema 1990; Ferranti u. a. 2004; Ferranti – Quondam 2006; Ferranti 2004; Ferranti 2009; Kleibrink – Barresi 2009; Nava u. a. 2009 (Schwerpunkt Basilikata); Kleibrink u. a. 2012a; Kleibrink u. a. 2013; Kleibrink 2015a; Kleibrink 2015b. Zum Impasto: Colelli – Jacobsen 2013.

1314 Zum Gründungsdatum: Guzzo 2011, 209–221; De Juliis 1996, 80–82.

1315 Für die Diskussion um die *cronologia alta* vs. die traditionelle Chronologie siehe die Beiträge in Bartoloni – Delpino 2004, insbesondere die Beiträge von De Marinis und Peroni – Vanzetti; für eine Verteidigung der traditionellen Chronologie und der Verankerung zur Abfolge der geometrischen Keramik in Griechenland: Delpino 2003; D'Agostino 2010, 80; Kourou 2004. Für die C14-Datierungen siehe auch Nijboer – van der Plicht 2008.

1316 *Cronologia alta*: Kleibrink u. a. 2012b, 3; Kleibrink 2004b, 71–75; Nijboer 2006; Vanzetti 2014b, 66 und Anm. 16 setzt die Phase IFe2A/Torre Mordillo (Spezzano Albanese) zwischen ca. 860 und 790 v. Chr. und die Phase 2B/Francavilla Marittima zwischen ca. 790 und 720 v. Chr. Für die C14-Daten aus dem Timpone Motta und dem Areal Rovitti, die jedoch grösstenteils in das sog. Hallstatt-Plateau fallen: Nijboer 2016; Kleibrink 2004b, 70 f.; Kleibrink 2004a, 571–573. 580 f.; Kleibrink 1997, begründet die deutlich zu hohen Datierungen mit der Benutzung von altem Holz.

1317 Kleibrink 2004b, 70–74. Dasselbe Problem wurde von Quondam 2011 gelöst, indem er die Phase IFe2B1 mit der mittelgeometrischen und IFe2B2 mit der spätgeometrischen Epoche in Griechenland gleichstellt. Somit beginnt seine Phase IFe2B1 um 800 v. Chr. und seine Phase IFe2B2 um 750 v. Chr.

1318 Kleibrink 2000, Gräber der Gruppe D; Kleibrink 2003, Gräber der Gruppe C und D.

1319 Strada 1 wird hier nicht berücksichtigt. Siehe dazu Kapitel 2.

760 v. Chr. ansetzt¹³²⁰. Der Krater dürfte folglich um die Mitte des 8. Jahrhunderts v. Chr. entstanden sein¹³²¹. Dieser frühe Ansatz scheint sich durch die Präsenz einer Fibel des Typs Lo Schiavo 341 in derselben Bestattung zu bestätigen, die zu den Leitfunden von Torre Mordillo (Spezzano Albanese) gehört und einen Verbreitungsschwerpunkt in der Phase IFe2A besitzt (Taf. 81)¹³²². Das Ende der Belegung der hier vorgestellten Areale wird von Grab Strada 16 repräsentiert. Es enthielt u. a. die Imitation eines Skyphos der korinthischen Thapsos-Klasse, wahrscheinlich der Variante mit Liniendekor aus der griechischen spätgeometrischen Periode (Taf. 66). Das Grab gehört somit demselben Horizont an wie das Gebäude Vc auf dem Timpone Motta und wie die frühesten Schichten von Sybaris – wohl also den Jahrzehnten zwischen 720 und 700 v. Chr.¹³²³. Der zeitliche Rahmen der hier vorgestellten Gräber erstreckt sich folglich über rund ein halbes Jahrhundert, beginnend mit dem um die Mitte des 8. Jahrhunderts v. Chr. oder kurz davor zu datierenden Grab De Leo 1 und endend mit dem Grab Strada 16 aus den letzten Jahrzehnten des Jahrhunderts.

Ob das Grab De Leo 1 den Übergang von der mittel- zur spätgeometrischen Phase (IFe2A–2B1) in der Macchiabate-Nekropole markiert und ob die IFe2B2-Periode mit dem Grab Strada 16 tatsächlich bis zum Ende des 8. Jahrhunderts v. Chr. andauert, möchten wir offenlassen. Die Fortsetzung der Forschungen in der Macchiabate-Nekropole, insbesondere mit den jüngsten Funden aus dem Areal Est¹³²⁴ und der neu begonnenen Ausgrabung des Areals Collina, in dem eisenzeitliche und archaische Phasen belegt sind, verspricht neue und wesentliche Daten für die Klärung dieser Debatte.

Camilla Colombi

5.4 Die Bestattungsgruppen: Soziale Stratifizierung und Identität

5.4.1 Die Gruppe Strada: Struktur und Gesellschaft

Die Gräbergruppe der Strada besteht aus insgesamt 19 bekannten Gräbern. Ob sich weitere zugehörige Bestattungen in den heute von der Macchia bedeckten Bereichen oder südöstlich des Grabes Strada 1 befinden, muss, wie bereits erwähnt, offen gelassen werden. Die Gräber scheinen bewusst in einer gewissen Entfernung voneinander angelegt worden zu sein

und folgen meist einer Südost-Nordwest-Ausrichtung (Taf. 4). Nur wenige Überlagerungen sind dokumentiert: Eine Gruppe von drei 'einfachen' Gräbern (vgl. Kap. 5.1) und einem Enchytrismos (Strada 6, 7, 9 und 10, siehe Abb. 3.14) befindet sich in dichter Abfolge von Süden nach Norden im Bereich zwischen den Gräbern Strada 1 und 5. Eine zweite Gruppe besteht aus den drei 'monumentalen' Fossagräbern Strada 13, 14 und 15, welche sich dicht nebeneinander im nördlichen Drittel des Areals befinden (siehe Abb. 3.40).

Die Gruppe Strada besteht aus insgesamt sieben Frauen-, fünf Männer- und sieben Kinderbestattungen. Diese scheinen nicht nach besonderen Kriterien wie etwa Geschlecht oder Alter gruppiert zu sein. Die Frauengräber (Strada 1, 2, 4, 6, 11, 13, 14) sind durch Trachtschmuck¹³²⁵ gekennzeichnet (vgl. Kap. 4.3), wie er auch in anderen Gräbergruppen der Macchiabate-Nekropole vorkommt. Die keramischen Beigaben beschränken sich meist auf ein Set bestehend aus einem grossen Gefäss (Kanne, Olla oder Krater bzw. kraterartiges Gefäss) und einer Tasse oder einer kleinen Kanne in seinem Innern¹³²⁶. In drei Fällen ist ein weiteres Gefäss, eine Olla (Strada 4 und 11) oder eine Schale (Strada 14), beigegeben. Lediglich zwei Bestattungen enthielten Werkzeuge zur Textilherstellung (ein Spinnwirtel im Grab Strada 2, mindestens zwei Webgewichte und drei Spinnwirtel im Grab Strada 4). Unter den Frauengräbern ragen die Bestattungen Strada 1 und Strada 4 durch ihre besonderen Funde heraus: Die orientalische Bronzeschale aus Grab Strada 1 sowie die fragmentarische Bronzeschale und vor allem die Silberschale aus Grab Strada 4 bilden eindeutige Zeichen von einem besonderen Status innerhalb der Gruppe Strada und wohl auch innerhalb der Macchiabate-Nekropole als Ganzes.

Die fünf Männergräber weisen dagegen nur wenige Gemeinsamkeiten auf (Strada 5, 7, 15, 16, 17). Während Strada 7 durch eine einfache Architektur und das fast vollständige Fehlen von Beigaben gekennzeichnet ist, weisen Strada 5 und Strada 17 sehr reiche Beigabensets mit mehreren Waffen und Gefässen auf, darunter die aus Kampanien importierte Bronzelanze aus Strada 5. Strada 17 gerät durch die Beigabe des Schwertes und der Bronzeschale sogar in den kleinen Kreis der als Anführer gedeuteten Schwerträger.

Auch im Falle der sieben Kindergräber (Strada 3, 8, 9, 10, 12, 18, 19) können beträchtliche Unterschiede in der Ausstattung und in den Beigaben ausgemacht werden, die nicht alleine durch das unterschiedliche Alter der Verstorbenen erklärt werden können. Während der Enchytrismos Strada 10 wohl die Bestattung eines Neugeborenen ohne Beigaben enthielt, war im monumentalen Grab Strada 8 ein 2- bis 3-jähriges Kind mit einer Fülle von Schmuckstücken und vier Tongefässen bestattet. Das etwa 9-jährige Kind aus Grab Strada 9

1320 In Attika um 760 v. Chr.; für die euböische und korinthische Keramik um 750 v. Chr., siehe Übersicht bei Verdan u. a. 2008, 106–111 Tab. und Taf. 1; Kourou 2004.

1321 Siehe Kapitel 3.2.1 »Krater« für Vergleiche und chronologische Einordnung.

1322 Vgl. Kapitel 3.2.5 »Schlangenfibel«.

1323 Jacobsen – Handberg 2010, 263–265; Dehl 1984, 102–110; Som-mella u. a. 1969, 89 f. Nr. 181. 182 Abb. 79; Foti u. a. 1970, 173. 175 Nr. 349 Abb. 183; Jacobsen 2007, 34; Luppino u. a. 2012; Vanzetti 2009. Zum Skyphos aus Strada 16 siehe Kapitel 3.2.1 »Skyphos«.

1324 Hier sei auf Grab Est 11 mit der aussergewöhnlichen bronzenen Rippenschale hingewiesen: Guggisberg u. a. 2018a, 82 Taf. 14.4.

1325 Zum Begriff der Tracht vgl. Anm. 284.

1326 Mit Ausnahme des Grabes Strada 6, dessen keramische Beigaben wahrscheinlich der Erosion zum Opfer gefallen sind. Im Grab Strada 13 waren die keramischen Beigaben (mindestens eine Kanne und eine Tasse) so stark fragmentiert, dass man ihre ursprüngliche Lage nicht mehr rekonstruieren konnte. Vgl. Kapitel 3.1.13.

erhielt dagegen eine einfachere Grabstruktur und kaum Beigaben. Die anderen Kinderbestattungen – im Alter von unter einem Jahr bis zu sechs Jahren – sind allgemein durch die Beigabe des keramischen Askos und von einigen Fibeln und Bronzeornamenten gekennzeichnet.

Bezogen auf die Grabarchitektur fällt dabei insbesondere der Unterschied zwischen den sog. monumentalen Gräbern und den einfachen Steinhaufen-Gräbern im Süden des Areals (Strada 6, 7 und 9) auf¹³²⁷, aber auch die Gräber Strada 13 und 15 unterscheiden sich in ihrer bescheidenen Ausstattung und der vergleichsweise einfachen Architektur auffällig von den benachbarten grossen Gräbern mit Bodenbelag aus flachen Flusskieseln. Allerdings verläuft die Grenze zwischen den ‘reichen’ und den ‘armen’ Gräbern fließend. Grab Strada 14 etwa, das die Überreste einer älteren Frau von durchaus begüterttem Stand enthielt, steht nicht nur in seiner Dimension und Bauweise den einfacheren Nachbargräbern Strada 13 und 15 nahe, sondern ist mit letzterem sogar direkt zusammengebaut (siehe Abb. 3.40). Ohne dass wir die Unterschiede in der Grabarchitektur und in der Grabausstattung verbindlich auf den gesellschaftlichen Status der Bestatteten zurückführen können, sprechen sie aufs Ganze gesehen gleichwohl dafür, dass die Bestattungsgruppe Strada gesellschaftlich heterogen zusammengesetzt ist.

Allgemein kann man sowohl bei den Frauen als auch bei den Männern und Kindern der Strada-Gruppe von unterschiedlichen Komplexitätsstufen sprechen, die sich nicht auf Unterschiede im Alter oder in der Datierung zurückführen lassen, sondern wohl auf unterschiedliche soziale Hierarchien zurückgehen – ähnlich zur Situation, die in den anderen Bereichen der Macchiabate-Nekropole bereits beobachtet werden konnte¹³²⁸. Der Schluss liegt nahe, dass sowohl im Areal Strada als auch in den anderen Bestattungsarealen Personen von unterschiedlichem sozialem Rang beigesetzt sind. Auch die materielle und ideelle Qualität der Beigaben scheint dieses Bild sozialer Vielfalt zu stützen. Von weither importierte Bronzegefässe in den Gräbern Temparella 8 und 60 oder exotische Prestigegüter wie der grosse Skarabäus aus Grab Temparella 69 bzw. die Lanze aus Grab Strada 5 sind auf einige wenige Gräber beschränkt¹³²⁹, die zudem auch durch andere Merkmale, wie z.B. die Grabarchitektur oder den Reichtum der Beigaben, hervorgehoben sind.

Camilla Colombi, Martin A. Guggisberg

5.4.2 Deutung der Bestattungsgruppen

Gesamthaft zeichnet sich damit für das Areal Strada das Bild einer hierarchisierten Gruppe ab, in der einige Personen – Männer, Frauen und Kinder – anhand spezifischer Insignien von Rang und Reichtum als Angehörige der führenden Elite ausgewiesen sind und teilweise sogar eine eigentliche ‘Anführerrolle’ bekleidet zu haben scheinen¹³³⁰. Dieses Bild findet sich auch in anderen Bestattungsgruppen der Nekropole wieder, wie von Francesca Ferranti und Francesco Quondam unlängst dargelegt wurde¹³³¹.

Die Frage nach der inneren Gliederung der in der Macchiabate-Nekropole bestatteten Gemeinschaft und ihrer sozialen Struktur steht bis heute im Fokus einer intensiven Forschungsdebatte, wobei namentlich die ausgedehnte Gräbergruppe der Temparella als Bezugspunkt dient¹³³². In diesem Bestattungsareal fällt besonders deutlich auf, dass die Gräber schon im 8. Jahrhundert v. Chr. agglutinierend wachsen, dass keine vorherrschende Orientierung auszumachen ist und dass die Überlagerungen eher die Regel als die Ausnahme sind. Im 7. und 6. Jahrhundert v. Chr. entstehen die Gräber unmittelbar oberhalb der Tumuli des 8. Jahrhunderts v. Chr., bevorzugt im Zentrum des Gräberareals. Für die eisenzeitlichen Belegungsphasen hatte bereits Renato Peroni auf die Existenz von Gräber-*nuclei* hingewiesen, die sich aus Bestattungen von Männern, Frauen und Kindern zusammensetzen und womöglich als familiäre Grabanlagen zu deuten sind. Auch der Nachweis von Gräbern, in denen Personen unterschiedlichen Geschlechts und Alters miteinander beigesetzt waren, wie dies im Grab Temparella 61/62 der Fall ist, deutete er in diesem Sinne. In den Komplexen, die im Laufe der Zeit zu grösseren, einheitlichen Gruppen zusammenwuchsen, sah er ein Indiz für eine in einzelne Kleinfamilien gegliederte, gentilizische Gesellschaft und verwies dabei auf parallele Erscheinungen in Etrurien bzw. Mittelitalien¹³³³. Die Genese dieser gentilizischen Struktur sei als Folge einer Zunahme von Reichtum und Macht anzusehen, wie sie ab der Mitte des 8. Jahrhunderts v. Chr. durch die Kontakte mit den Griechen ermöglicht wurde, wobei er abermals auf vergleichbare Entwicklungen in Mittelitalien im Laufe des 8. Jahrhunderts v. Chr. hinwies. Ähnlich wurden die Befunde von Francavilla Marittima auch von Juliette de La Genière gedeutet, die die Beziehungen mit den *genos*-Strukturen Griechenlands in den Vordergrund stellte und insbesondere auf die kulturellen Verbindungen zu Pithekoussai aufmerksam machte. In den kleinen Gruppen von Kinder- und Erwachsenengräbern sah die Gelehrte eine Möglichkeit, echte familiäre

1327 Mit Grab Strada 6 existiert im selben Bereich allerdings eine Bestattung von durchaus wohlhabendem Format. Da das Grab direkt unter der Oberfläche lag, lassen sich zur Grabarchitektur allerdings so gut wie keine Aussagen treffen.

1328 Luppino u. a. 2012; Ferranti – Quondam 2015; vgl. Pacciarelli 2004a, 461.

1329 Bronzeschale Temparella 8: Zancani Montuoro 1980–1982, 36 Abb. 14; 40 Nr. 23 Taf. 15a; Bronzegefäss Temparella 60: Zancani Montuoro 1974–1976, 13–15 Abb. 3 Taf. 17b; Skarabäus Temparella 69: Zancani Montuoro 1974–1976, 58–64 Nr. 11 Taf. 22. 23.

1330 Man denke an den Schwertträger aus Strada 17, vgl. Kapitel 4.2.

1331 Ferranti – Quondam 2015. Brocato 2014, 49 spricht im Falle der Gräber Cerchio Reale A und Uliveto 12 von ‘capi gentilizi’.

1332 Hingewiesen sei insbesondere auf die Untersuchungen von de La Genière 1994, Kleibrink 2003, Brocato 2011 und Ferranti – Quondam 2015 sowie auf die unpublizierte *tesi di specializzazione* von F. Quondam (Quondam 2011).

1333 Peroni 1994, 871 »la traduzione in termini di rituale funebre di un gruppo gentilizio strutturato per famiglie nucleari«.

Beziehungen nachzuweisen¹³³⁴. Marianne Kleibrink führte die Strukturierung noch weiter und identifizierte in den Gräbern einzelne Kleinfamilien nach Generationen als Bestandteile von grösseren Familiengefügen (»famiglie estese«)¹³³⁵. Solche Grossfamilien bestanden aus einer Gruppe von Verwandten, die sich um zwei oder mehrere Brüder und ihre jeweiligen Frauen und Kinder scharten, bis einzelne Kleinfamilien wieder neue Gefüge gründeten¹³³⁶. Diese Struktur wird von Kleibrink dem Modell der gentilischen Klientelgesellschaft Mittelitaliens entgegengesetzt¹³³⁷.

Die Rekonstruktion der Belegungsabfolge in der Temparella ist natürlich eng mit der Feindatierung der Gräber verbunden. Während P. Zancani Montuoro und J. de La Genière nach der 'traditionellen' Chronologie die meisten Gräber in die zweite Hälfte des 8. Jahrhunderts v. Chr. setzen (IFe2A = 800–750 v. Chr.; IFe2B = 750–ca. 720 v. Chr.), vertritt M. Kleibrink die sog. *cronologia alta* und schlägt eine Datierung der IFe2A2/2B-Gräber zwischen dem 9. und dem Ende des 8. Jahrhunderts v. Chr. vor. Die Kontexte des 7. Jahrhunderts v. Chr. verbleiben hingegen gemäss der holländischen Gelehrten in der 'traditionellen' Chronologie verankert¹³³⁸. Mit diesem Ansatz 'entzerrt' sie die Massierung der Gräber in der zweiten Hälfte des 8. Jahrhunderts v. Chr. und relativiert zugleich den abrupten Niedergang der Temparella am Ende der Eisenzeit.

Auch Francesco Quondam folgt in seinen Arbeiten der 'hohen' Chronologie. Er datiert sämtliche eisenzeitliche Bestattungen in die Phase IFe2B, die nach der 'hohen' Chronologie das gesamte 8. Jahrhundert v. Chr. umfasst. Dabei unterscheidet Quondam zwischen einer ersten Phase im IFe2B1 (ca. 800–750 v. Chr.) und einer zweiten Phase im IFe2B2 (ca. 750–720 v. Chr.), in der die meisten Gräber der Macchiabate-Nekropole entstanden sind. In der Temparella lassen sich somit Gräber einer ersten Phase von solchen einer zweiten un-

terscheiden. Erstere bestehen aus wenigen, klar voneinander getrennten, meist grossen Strukturen, letztere sind um diese herumgruppiert oder überlagern sie¹³³⁹.

Eine weitere Studie, die sich mit der Belegungsabfolge der Gräber befasst, wurde von Paolo Brocato 2011 veröffentlicht. Auch er geht von der Prämisse aus, dass die Gräber zu familiären Gruppen zusammengeschlossen waren. Die Zuordnung, die in anschaulichen Phasenplänen vorgelegt wurde, unterscheidet sich allerdings von den anderen Darstellungen wegen der abweichenden Datierung der einzelnen Bestattungen¹³⁴⁰.

Zuletzt haben sich Francesca Ferranti und Francesco Quondam 2015 mit der Entstehungsgeschichte der Temparella befasst. Ihr Schwerpunkt lag dabei auf den Frauen- und Kindergräbern, die in den verschiedenen Belegungsphasen der Temparella auszumachen sind, sowie auf den beiden überdurchschnittlich reichen Bestattungen Temparella 86 und 87 – eine Frau und ein Mann –, die in der zweiten eisenzeitlichen Belegungsphase am Südrand des Areals angelegt wurden. Gerade diese beiden Bestattungen, die als Paar angesehen wurden, weisen nach Auffassung der beiden Forschenden auf die Herausbildung einer verstärkten sozialen Hierarchie, durch die sich die Bestattungsgemeinschaft von Francavilla Marittima von ihren Nachbarn unterscheidet¹³⁴¹.

Ausgehend von der Interpretation des Temparella-Areals als Bestattungsplatz einer aus mehreren 'nuclei' bestehenden, hierarchisch strukturierten Gruppe geht man in der bisherigen Forschung mehrheitlich davon aus, dass die verschiedenen Bestattungsareale der Macchiabate-Nekropole von den Angehörigen einzelner grosser Familien oder 'Clans' der Siedlungsgemeinschaft von Francavilla Marittima genutzt wurden, wobei zumeist der Gedanke an biologische Verwandtschaftsgruppen im Vordergrund steht. Die Belegung der Nekropole nach getrennten Arealen sowie Besonderheiten in der Bestattungspraxis der diversen Gruppen scheinen die Annahme einer Gliederung in grössere Sozialverbände zu bestätigen, ohne dass damit allerdings eine Aussage über die Wesensart dieser Zusammengehörigkeit getroffen werden kann.

Die verschiedenen Bestattungsgruppen stehen sich in ihrem materiellen Erscheinungsbild jeweils sehr nahe und scheinen nach vergleichbaren Kriterien hierarchisch strukturiert zu sein. Übereinstimmend verfügen sie jeweils über eine kleine Auswahl von besonders vornehmen Mitgliedern, die sich durch die Beigabe kostbarer oder elitärer Güter auszeichnen (vgl. Strada 17, Temparella 87 oder Temparella 60, Schwert-

1334 z. B. in den Gräbern Temparella 19–22 und Temparella 83–86: de La Genière 1994, 153–156.

1335 Kleibrink 2004b, 56. Die Forscherin hat ausserdem in einigen Beiträgen den Versuch unternommen, die einzelnen Kleinfamilien und Generationen mit zum Teil unterschiedlichen Ergebnissen zu identifizieren: Kleibrink 2000; Kleibrink 2003; Kleibrink 2004a. Die sehr genaue Einordnung der einzelnen Bestattungen in Gruppen und Familien erscheint aufs Ganze gesehen etwas willkürlich und möglicherweise überspitzt, z. B. wenn die Autorin vorschlägt, dass die Frau aus Temparella 63 die erste Ehefrau des Kriegers von Temparella 41 gewesen sei, die Bestattete aus Temparella 60 seine zweite Frau. Wie bereits erwähnt, würden wir in Ermangelung von DNA-Analysen von solchen Interpretationen der Familie in modernem Sinne absehen.

1336 Zu den Familiengefügen: Kleibrink 2004b, 56; Kleibrink 2000; Kleibrink 2003, 32–38 bes. 35–38; Kleibrink 2004a, 562–568.

1337 Kleibrink 2003, 28 f. 38, die einzelnen Kleinfamilien sind Teil einer präurbanen Gesellschaft von begrenzter Grösse; die protourbane Gesellschaft mit einer Familie an der Spitze und einer grösseren Klientel, wie man sie in den gentilischen Strukturen Mittelitaliens fassen kann, wäre hier nicht gegeben.

1338 Kleibrink 2004b, 70–75. Vgl. die C14-Daten aus der Hütte auf dem Plateau I, aus dem Gebäude Vb und aus weiteren Komplexen vom Timpone Motta: Kleibrink 2004b, 70 f.; Kleibrink 2004a, 571–573. 580 f.; Nijboer 2016.

1339 Quondam 2011; Quondam 2014; Ferranti – Quondam 2015; für die 'hohe' Chronologie vgl. Vanzetti 2014b, 66 und Anm. 16; Peroni – Vanzetti 2004.

1340 Brocato 2011, 31–68. Z. B. sei auf die Datierung des Grabes Temparella 57 hingewiesen: de La Genière rechnet die Bestattung dem Beginn der ersten Generation in der Temparella zu (ca. 800–750 v. Chr.), für Kleibrink gehört sie ebenfalls zur ersten Generation, in Brocato 2011 wird die Bestattung IFe2A2–2B datiert, bei Quondam 2011 wird das Grab der zweiten Belegungsphase im IFe2B2 (ca. 750–720 v. Chr.) zugeordnet.

1341 Ferranti – Quondam 2015, 78–80; Quondam 2014, 36.

gräber des Areals Est). Die Annahme liegt nahe, dass sich hinter diesem Sachverhalt eine gesellschaftliche Ordnung verbirgt, die auf der Koexistenz von verschiedenen elitären Verbänden mit ihrer jeweiligen Anhängerschaft¹³⁴² beruht; eine soziale Struktur also, die man als 'gentilizisch' bezeichnen kann, jedoch nicht in einem streng historischen¹³⁴³, sondern eher in einem anthropologischen Sinn¹³⁴⁴. Gemeint ist damit eine Gemeinschaft, die sich aus verschiedenen hierarchisch strukturierten Einheiten zusammensetzt, bestehend aus Personen, die sowohl durch Verwandtschaft als auch durch andere Arten von Beziehungen miteinander verbunden sind.

Besonders deutlich manifestiert sich der gruppenspezifische Charakter der Bestattungsplätze im Areal Strada. Sowohl die gleichmässige Südost-Nordwest-Orientierung der Mehrzahl der Gräber als auch Gemeinsamkeiten in der Grabarchitektur sprechen dafür, dass das Bestattungsareal von einer Gemeinschaft genutzt wurde, die sich durch spezifische soziale und kulturelle Parameter als Einheit definierte. Zu nennen ist hier insbesondere der Umstand, dass sämtliche Gräber des 'monumentalen Typus' im Areal Strada mit einem Boden aus flachen Kieselsteinen ausgestattet sind, teils komplett, teils partiell. Zwar sind entsprechende Plattenböden auch in Gräbern anderer Areale nachgewiesen¹³⁴⁵, doch handelt es sich dabei jeweils nur um Einzelfälle, während die Mehrheit der Gräber ungepflasterte Erdböden besitzt. Bemerkenswert ist im Übrigen auch die Sorgfalt, mit der die Gräber im Areal Strada konstruiert sind, bezogen sowohl auf die Regelmässigkeit ihrer Grundrisse als auch auf ihre technische Konstruktion. Besonders markant tritt die durchdachte Architektur der Strada-Gräber im Vergleich mit den Gräbern des neu erforschten Areals Est zutage¹³⁴⁶. Keine der dortigen Anlagen verfügt über einen gepflasterten Boden. Auch ihr Aufbau und ihre Form lassen die Sorgfalt der Strada-Gräber vermissen. Da die Bestattungen den im Areal Strada beigetzten Personen jedoch in

ihrem Beigabenreichtum in nichts nachstehen und sich auch zeitlich von diesen nicht signifikant unterscheiden, lassen sich die Unterschiede kaum anders denn als Hinweis darauf verstehen, dass die verschiedenen Bestattungsareale von unterschiedlichen Personengruppen genutzt wurden, die innerhalb eines vorgegebenen Kanons ihre jeweils eigenen Standards beim Bau der Gräber befolgten.

Die Zahl der 'Grossfamilien', die sich im 8. Jahrhundert v. Chr. in der Macchiabate-Nekropole bestatten liessen, ist unbekannt. Die Grösse des Areals, das – wie wir von Geländebegehungen wissen – weiträumig als Bestattungsplatz genutzt wurde, legt jedoch die Annahme nahe, dass hier dutzende von 'Familien' ihre Bestattungsplätze besaßen. Zusammen mit den sozialen Differenzen, die sich zwischen den Bestattungen innerhalb der einzelnen Areale erkennen lassen, lässt sich folgern, dass die Macchiabate-Nekropole nicht allein der Begräbnisplatz der Elite ist. Die hier bestatteten Personen bilden vielmehr ein breiteres gesellschaftliches Spektrum ab, dem Menschen unterschiedlicher gesellschaftlicher Rangstufen angehörten. Wie oben dargelegt, kann ihr Zusammenschluss in den jeweiligen Bestattungsgruppen sowohl der biologischen Verwandtschaft als auch anderen Formen der gesellschaftlichen Bindung geschuldet sein.

Ob damit die gesamte oder nur ein Teil der Bevölkerung von Francavilla Marittima in der Macchiabate-Nekropole bestattet ist, muss letzten Endes offenbleiben. Trotz der intensiven Forschungstätigkeit ist bis heute nur ein kleiner Teil des Gräberfeldes bekannt. Es fällt deshalb schwer abzuschätzen, inwiefern die vorliegenden Daten zur Rekonstruktion der gesamten Bestattungslandschaft von Francavilla Marittima verwendet werden dürfen. Am ehesten wird man nach dem aktuellen Kenntnisstand von einer Situation auszugehen haben, in der ein grosser Teil der Siedlungsgemeinschaft, der über die Aristokratie im engeren Sinn des Wortes hinausgeht, in der Macchiabate-Nekropole seine letzte Ruhe gefunden hat, während die einfachere Bevölkerung, deren Grösse wir nicht kennen, an einem bislang unbekanntem Ort bzw. in einer archäologisch nicht nachweisbaren Form bestattet wurde¹³⁴⁷.

Camilla Colombi, Martin A. Guggisberg

1342 Eine Anhängerschaft, die man auch als Grossfamilie, Klientel oder 'Clan' bezeichnen könnte, ohne auf die jeweiligen spezifischen verwandtschaftlichen oder wirtschaftlichen Beziehungen der einzelnen Mitglieder untereinander einzugehen – was für diese frühe Zeit und in Ermangelung an Schriftquellen ohnehin sehr schwierig ist.

1343 Zu den historischen römischen *gentes* siehe Smith 2006, 144–165. Das Konzept der 'gentilischen' Gesellschaft im historischen Sinne lässt sich auch nicht für spätere und deutlich klarer gegliederte Strukturen wie jene des orientalisierenden Mittelitalien bzw. Etrurien applizieren.

1344 Siehe Smith 2006, 16 Abb. 1 und Iaia 1999, 134 »La gens non è più un semplice organismo di parentela, ma una istituzione che ingloba al proprio interno individui in rapporto reciproco di parentela, ma anche gruppi, o individui, che sono con questi ultimi in rapporti di obbligazione a vari livelli, non più basati sulla consanguineità. Si tratta di organismi sovralfamigliari con una divisione di funzioni (la 'divisione del lavoro'), ed una stratificazione interna (...)«.

1345 Cerchio Reale Deposito Centrale: Zancani Montuoro 1974–1976, 94–106; Temparella Grab 60: Zancani Montuoro 1974–1976, 13–50. Einen Plattenboden wiesen auch die Gräber Temparella 88, Temparella 77 und Oliveto 16 auf.

1346 Guggisberg u. a. 2016; Guggisberg u. a. 2017; Guggisberg u. a. 2018a; Guggisberg u. a. 2019.

5.4.3 Belegungsphasen und die Frage nach der Kontinuität

Man kann sich gut vorstellen, dass die aristokratischen Familien, deren Niederschlag wir in der Nekropole fassen, auch zu den prominentesten Besuchern des Heiligtums bzw. zu den Bewohnern der Apsidenhäuser auf dem Timpone Motta zählten, wie die Präsenz von identischen Gefässen, Bronzeobjekten und Utensilien im Gebäude Vb auf dem Timpone Motta und in den Gräbern der Macchiabate-Nekropole beweist – man denke vor allem an die Webgewichte mit Labyrinthmuster. Umso verwunderlicher ist die Feststellung, dass nach dem Ende des

1347 Die Unterscheidung zwischen *formal burial vs. informal disposal* geht auf I. Morris (1987, 104–109) zurück.

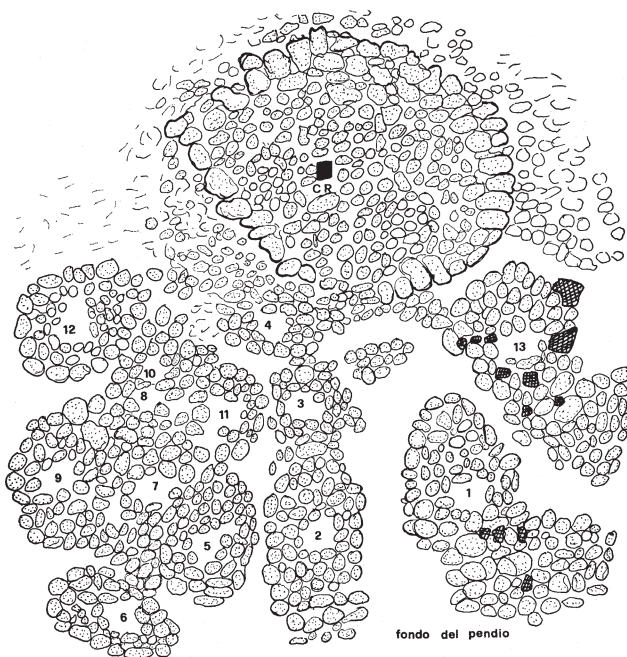


Abb. 5.5 Plan des Areals Cerchio Reale. Wiederauflage mit freundlicher Genehmigung der Società Magna Grecia.

8. Jahrhunderts v. Chr. – wohl zur gleichen Zeit oder kurz nach der Neuerrichtung der Tempel auf dem Timpone Motta – die Eliten aufgehört haben, im Areal Strada und in anderen Bereichen der Nekropole zu bestatten (siehe auch Kap. 5.5.2).

Von den 220 bisher erforschten Bestattungen in der Machiabate-Nekropole gehören nämlich gut 70% dem 8. Jahrhundert v. Chr. an; nur ca. 9% können ins 7. Jahrhundert und ca. 14% ins 6. Jahrhundert v. Chr. datiert werden¹³⁴⁸. Mindestens vier bekannte Bestattungsareale werden zwischen dem Ende des 8. und dem Beginn des 7. Jahrhunderts v. Chr. aufgegeben. Neben dem Areal Strada gilt dies insbesondere für den Cerchio Reale, dessen 16 Bestattungen allesamt in das 8. Jahrhundert v. Chr. gehören (Abb. 5.5, Taf. 2 Nr. 10)¹³⁴⁹. Das früheste Grab, Cerchio Reale 11, wird noch in die Phase IFe2A2 datiert¹³⁵⁰, der jüngste Komplex ist wohl Cerchio Reale 1, unter dessen Beigaben sich eine lokale Imitation einer Ko-

1348 Gräber des 8. Jhs. v. Chr.: 155 inkl. Enchytrismoi; Gräber des 7. Jhs. v. Chr.: 20; Gräber des 6. Jhs. v. Chr.: 31; Gräber, die allgemein der Kolonialzeit zugewiesen wurden: 3; unklare, nicht datierbare Kontexte: 11. Die Zahlen basieren auf Quondam 2011 und auf den von der Universität Basel unternommenen Erforschungen 2009–2018.

1349 Die Gruppe besteht aus 14 Gräbern und wohl zwei Enchytrismoi: Zancani Montuoro 1974–1976, 93–106; Zancani Montuoro 1977–1979, 27–45; Brocato 2011, 69–73 Abb. 14. Der sog. Deposito Centrale, in dem keine Knochenreste gefunden wurden, ist wahrscheinlich nicht als Kenotaph oder Heroon von Epeios, sondern eher als eine männliche Bestattung des 8. Jhs. v. Chr. zu deuten, in der sich die Knochen schlecht erhalten haben – in ähnlicher Weise wie etwa in der Strada häufig dokumentiert. Vgl. Luppino u. a. 2012, 654 Anm 34; Quondam 2011, datiert in der Phase IFe2B1.

1350 Brocato 2011, 69–73; Quondam 2009, 147.

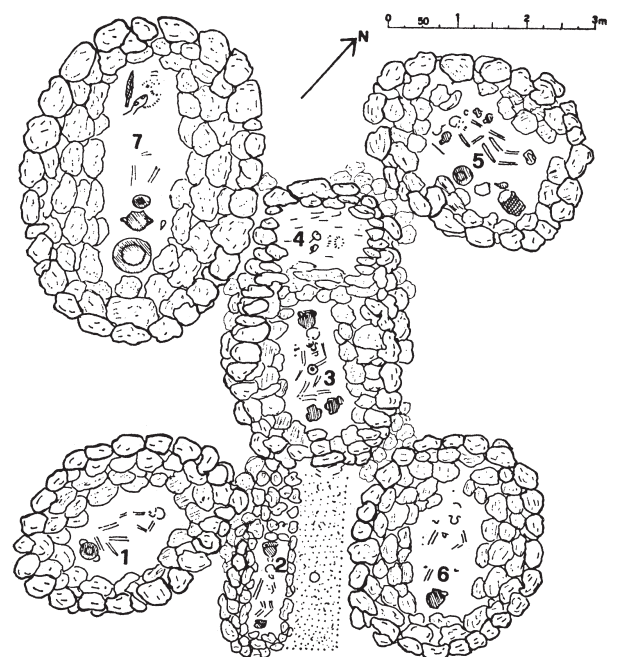


Abb. 5.6 Plan des Areals Vigneto. Wiederauflage mit freundlicher Genehmigung der Società Magna Grecia.

tyle Aetos 666 aus dem letzten Viertel bzw. dem Ende des 8. Jahrhunderts v. Chr. befindet¹³⁵¹.

Die Gruppe Vigneto besteht aus 12 Gräbern, die bei einer Sondage entlang eines Zaunes auf dem Grundstück der Familie De Leo zum Vorschein kamen und wohl ebenfalls Teil eines grösseren Bestattungsareals sind (Abb. 5.6, Taf. 2 Nr. 21)¹³⁵². Die Bestattungen gehören wie jene des Cerchio Reale in die Zeit zwischen der ausgehenden IFe2A-Phase¹³⁵³ und dem Ende von IFe2B¹³⁵⁴. Obwohl die Erforschung des Areals Est noch nicht fertiggestellt ist (vgl. Taf. 2 Nr. 9)¹³⁵⁵, fällt auch in diesem Fall auf, dass die bisher bekannten 13 Bestattungen ebenfalls der Zeitspanne zwischen dem Ende von IFe2A und dem ausgehenden 8. bis Anfang des 7. Jahrhunderts v.

1351 Quondam 2009, 159. 161 Abb. 6, 3. Auch der zufällig entdeckte Krater aus einem Bereich, der wohl zur Cerchio Reale-Gruppe gehört, ist in die zweite Hälfte des 8. Jahrhunderts v. Chr. zu datieren, vgl. Kapitel 3.2.1 »Krater« und Quondam 2014, 30 Abb. 8. Zum Horizont der Kotylen Aetos 666 vgl. Vanzetti 2009.

1352 Sieben Gräber sowie fünf als Enchytrismoi zu deutende Pithoi: Zancani Montuoro 1977–1979, 73–91; Brocato 2011, 85–88 Abb. 18.

1353 Das früheste Grab ist wohl Vigneto 7, in dem eine bronzene Schlangenfibel des Typs Lo Schiavo 341 gefunden wurde. Der Typ erscheint auch in den Gräbern De Leo 1 und Cima. Vgl. Kapitel 3.2.5 »Schlangenfibel« sowie Quondam 2009, 141 f. Anm. 10 Abb. 1, 1; Lo Schiavo 2010, 661–676, Typ 341.

1354 Grab Vigneto 3 wird aufgrund der Schlangenfibel in die Phase IFe2B2 datiert: Quondam 2009, 145. Im Grab befanden sich auch zwei Bronzefibeln mit Elfenbeinaufsatz, die von F. Lo Schiavo in die Phasen IFe2A–B datiert werden: Zancani Montuoro 1977–1979, 78 Nr. 9–10; Lo Schiavo 2010, 829–832, Typ 426; Quondam 2009, 142 f. Abb. 1, 11; 149.

1355 Grabungskampagnen laufen unter der Leitung der Universität Basel seit 2015. Grabungsberichte: Guggisberg u. a. 2016; Guggisberg u. a. 2017; Guggisberg u. a. 2018a; Guggisberg u. a. 2019.

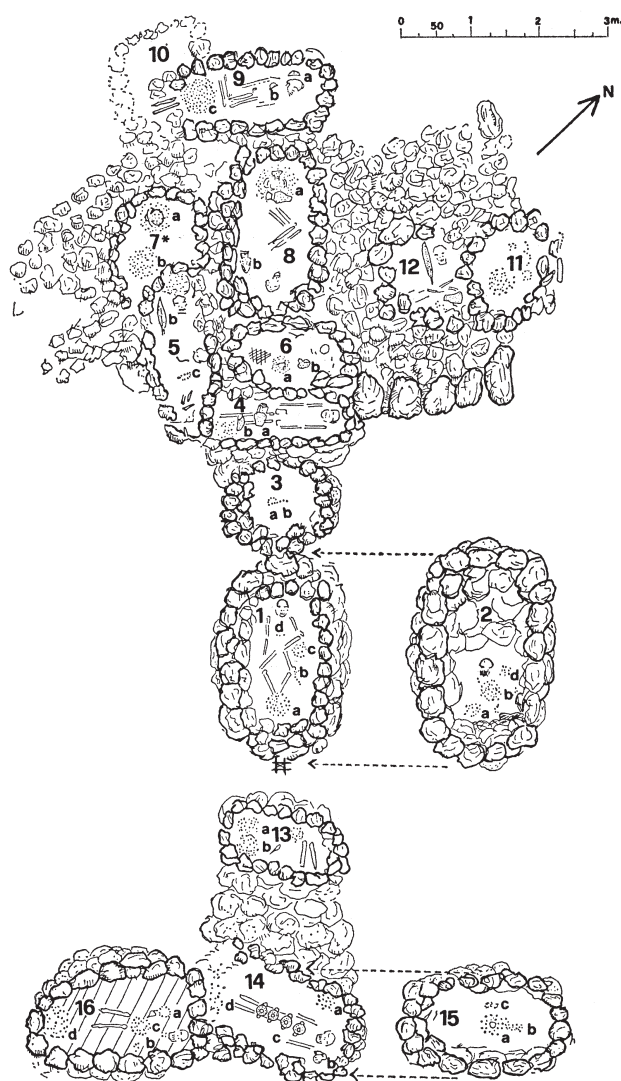


Abb. 5.7 Plan des Areals Oliveto. Wiederauflage mit freundlicher Genehmigung der Società Magna Grecia.

Chr. angehören¹³⁵⁶. Bei keiner der hier betrachteten vier Gruppen¹³⁵⁷ ist die gesamte Ausdehnung bekannt, noch wurden sie vollständig ausgegraben, doch ist das Fehlen von Belegen nach dem Ende des 8. bis Anfang des 7. Jahrhunderts v. Chr. sowie die Abwesenheit von Überlagerungen bemerkenswert.

Im Unterschied zu den vier genannten Arealen sind aus vier anderen Bereichen der Macchiabate-Nekropole Funde aus dem 7. und 6. Jahrhundert v. Chr. dokumentiert, wenn auch nur in Form von Streufunden. Die Gruppe Lettere wurde zufällig aufgrund einer Bodensenkung entdeckt und ist wohl

1356 Zur frühen Phase dürfen die Bestattungen Est 5 und Est 9 gehören, die mehrere Gemeinsamkeiten mit dem Grab Temparella 60 aufweisen: Guggisberg u. a. 2017, 83 f. Taf. 12, 3. 4; Guggisberg u. a. 2018. Ins ausgehende 8. Jh. v. Chr. wird die Bestattung Est 11 mit der bronzenen Rippenschale und den beiden Schlangenfibern Typ Lo Schiavo 395 und 383 zu datieren sein: Guggisberg u. a. 2018, 81–83.

1357 Die beiden erforschten Bestattungen der Gruppe De Leo datieren zwar auch im 8. Jh. v. Chr., doch ist die Kenntnis des Areals zu partiell, um allgemeine Aussagen zu ermöglichen.

ebenfalls nur ein Teil eines grösseren Bestattungsareals (Taf. 2 Nr. 17). Hier wurden wohl zwölf Gräber ausgegraben, von denen acht in die Phase IFe2B datiert werden¹³⁵⁸. Eine beigabenlose Bestattung (G bis) könnte jedoch aufgrund der gestreckten Rückenlage des Skelettes in die koloniale Zeit gehören¹³⁵⁹. Schliesslich befindet sich unter den Streufunden, die bei der Bodensenkung eingesammelt wurden, neben Material des 8. Jahrhunderts v. Chr. auch ein mittelkorinthischer Aryballos, wohl aus der ersten Hälfte des 6. Jahrhunderts v. Chr.¹³⁶⁰. Die Zone Cima (Taf. 2 Nr. 1) am westlichen Rand der Nekropole hat leider keine klaren Befunde ergeben. Hier befindet sich ein eisenzeitliches, wenn auch teilweise beraubtes Grab, das von zwei grösstenteils zerstörten und nicht näher datierbaren Gräbern überlagert wurde. Erwähnt wird aber die Präsenz von Streufunden aus der archaischen Zeit¹³⁶¹.

Das Areal Oliveto ermöglicht einen Einblick in eine Graberggruppe mit mehreren Belegungsphasen und Überlagerungen (Abb. 5.7, Taf. 2 Nr. 25)¹³⁶². Im untersuchten Bereich wurden neun Bestattungen aus dem 8. Jahrhundert v. Chr. und sieben Enchytrismoi entdeckt, die wahrscheinlich ebenfalls der Eisenzeit zuzurechnen sind. Anders als bei den bisher betrachteten Gruppen scheinen im Areal Oliveto die eisenzeitlichen Gräber teilweise übereinander zu liegen¹³⁶³. Mindestens zwei Gräber stammen aus dem ersten Viertel des 7. Jahrhunderts v. Chr., Oliveto 1 und 9¹³⁶⁴, wobei Oliveto 1 über dem eisenzeitlichen Grab Oliveto 2 und Oliveto 9 über dem teilweise zerstörten und nicht datierbaren Grab Oliveto 10 errichtet wurde. Nach einem Hiatus von ca. einem Jahrhundert wurden drei weitere Gräber angelegt. Das Grab Oliveto 14 aus der ersten Hälfte und die Gräber Oliveto 4 und 8 aus der zweiten Hälfte des 6. Jahrhunderts v. Chr. wurden über den möglicherweise noch sichtbaren eisenzeitlichen Strukturen errichtet. Ein Enchytrismos befindet sich schliesslich über dem Grab Oliveto 1 und gehört somit generell wohl ebenfalls der kolonialen Zeit an¹³⁶⁵. Auffällig in der Belegung des Areals Oliveto ist, dass der Platz nach einer scheinbar nahtlosen Belegung bis an den Anfang des 7. Jahrhunderts v. Chr. und einem langen Hiatus im

1358 Zancani Montuoro 1977–1979, 9–26; Brocato 2011, 74–77 Abb. 15. Die Gräber A, B, C, E, F, H und I sowie der Enchytrismos Ebis gehören in das 8. Jh. v. Chr. Unklar ist die Datierung des zerstörten Grabes D: Zancani Montuoro 1977–1979, 17.

1359 Zancani Montuoro 1977–1979, 19; Luppino u. a. 2012, 649 Anm. 24; Quondam 2011 spricht von einem Grab G aus der Eisenzeit und einem Grab Gbis aus der Kolonialzeit.

1360 Zancani Montuoro 1977–1979, 9–13 bes. Abb. 13, sog. 'Complesso Primo'. Siehe auch Brocato 2011, 75; Luppino u. a. 2012, 649 Anm. 24.

1361 Zancani Montuoro 1977–1979, 44 f.; Brocato 2011, 89; Luppino u. a. 2012, 649 Anm. 24.

1362 Die Gräber wurden in einer Sondage zwischen zwei Reihen von Olivenbäumen entdeckt: Zancani Montuoro 1977–1979, 46–72.

1363 Vgl. Brocato 2011, 78–84 Abb. 16. 17. Die Bestattungen Oliveto 5 und Oliveto 11 überlagern zum Teil die Gräber Oliveto 7 resp. Oliveto 12.

1364 Luppino u. a. 2012, 657; Brocato 2011, 78–84 Abb. 17.

1365 Die Datierungen basieren auf den Studien von Luppino u. a. 2012, Brocato 2011 und Brocato 2014.

6. Jahrhundert v. Chr. erneut für Bestattungen benutzt wurde. Der besondere Befund könnte damit zusammenhängen, dass das Areal nur partiell erforscht wurde. Denkbar wäre aber auch, dass der Ort bewusst nach einem längeren Unterbruch wieder aufgesucht wurde. In jedem Fall zeigen die Funde aus dem frühen 7. Jahrhundert v. Chr., dass einzelne Bestattungsareale noch fortbenutzt wurden, als andere Areale bereits aufgegeben waren.

Wesentlich komplizierter ist die Belegungsabfolge im Areal Temparella (Abb. 5.8, Taf. 2 Nr. 15). Der anthropogene Hügel, der von Paola Zancani Montuoro rund zur Hälfte ausgegraben wurde, besteht aus zahlreichen, sich gegenseitig überlagernden Gräbern. Die Ausgrabungen haben zur Entdeckung von insgesamt 116 Bestattungen geführt¹³⁶⁶, von denen sich nahezu 60% in die Eisenzeit¹³⁶⁷, ca. 16% in das 7. Jahrhundert¹³⁶⁸ und fast 22% in das 6. Jahrhundert v. Chr. datieren lassen¹³⁶⁹ (Tab. 5.9).

Unterteilt man die Gräber der Temparella grob in Belegungsphasen von ca. einem halben Jahrhundert¹³⁷⁰, fällt sogleich auf, dass in der ersten Hälfte des 7. Jahrhunderts v. Chr. eine markante Abnahme der Bestattungstätigkeit zu verzeichnen ist, wie dies in der Forschung auch schon mehrfach betont wurde¹³⁷¹. Es darf als sehr wahrscheinlich angesehen werden, dass dieser Umstand mit einem allgemeinen Belegungsrückgang in der Nekropole in Zusammenhang steht, der in manchen Arealen sogar in einem vollständigen Abbruch der Bestattungstätigkeit gemündet hat. Dies gilt insbesondere für die Areale Cerchio Reale und Vigneto, die am Ende von IFe2B aufgegeben wurden, aber auch für die Bereiche Strada

und Est, die möglicherweise etwas später in den letzten Jahren des 8. oder im frühen 7. Jahrhundert v. Chr. verlassen wurden. Auch der in eben diesen Zeitraum fallende Beginn des Hiatus im Areal Uliveto dürfte eine Folge dieses allgemeinen Wandels sein. Während im Areal Uliveto erst im frühen 6. Jahrhundert v. Chr. wieder bestattet wird, setzt die Wiederaufnahme der Bestattungstätigkeit in der Temparella bereits etwas früher, im ausgehenden 7. Jahrhundert v. Chr., ein, um nach einer kurzen Blüte in der zweiten Hälfte des 6. Jahrhunderts v. Chr. abrupt zu enden¹³⁷².

Camilla Colombi

5.5 Die Macchiabate-Nekropole im Kontext der Archäologie der Sibaritide

5.5.1 Die Macchiabate-Nekropole im Kontext des oinotrischen Kulturkreises

Obschon unsere Kenntnis der Macchiabate-Nekropole nur bruchstückhaft ist, vor allem hinsichtlich der Gesamtbelegung des Gräberfeldes und der Form und Struktur der Bestattungsgruppen, bietet der Bestand von ca. 220 erforschten Gräbern (davon 155 aus der Eisenzeit) dennoch eine ausreichende Basis für weiterführende Überlegungen zur Entwicklung und Bedeutung des Gräberfeldes in der Eisenzeit und der anschließenden kolonialen Epoche.

Bezogen auf die Eisenzeit gehen aus den Überlegungen der vorhergehenden Kapitel zwei wichtige Aspekte hervor, die die Macchiabate-Nekropole von den anderen Bestattungspätzen der Region unterscheiden. Zum einen handelt es sich um das Layout der Gräber, das durch die unregelmässige Orientierung einerseits und die Tendenz zur agglutinierenden Bauweise andererseits gekennzeichnet ist. Beide Phänomene lassen sich in den Arealen Temparella und Uliveto bereits für die Eisenzeit beobachten (siehe Abb. 5.7; 5.8). Auch im Areal Strada gibt es diesbezügliche frühe Befunde. Andernorts an der Ionischen Küste scheint die Praxis, Gräber so zu bauen, dass sie einander direkt berühren bzw. überlagern, kaum bekannt gewesen zu sein¹³⁷³. Zum anderen zeugen die Beigabeninventare und die Unterschiede in der Grabarchitektur von einer stärkeren Hierarchisierung der Bestattungsgemeinschaft, als dies in den anderen Gräberfeldern der Region der Fall ist. Beide Sach-

1366 Die Unterschiede in den Zahlen gegenüber Colombi – Guggisberg 2016 beruhen auf einer neuen Zählung der Enchytrismoï durch F. Quondam. Grabungsberichte: Zancani Montuoro 1974–1976; Zancani Montuoro 1980–1982; Zancani Montuoro 1983/1984. Vgl. Brocato 2011, 31–68.

1367 13 Gräber in der ersten Belegungsphase der Nekropole, 27 in der zweiten. Weitere 27 Bestattungen datieren allgemein in die Phase IFe2, darunter 18 Enchytrismoï.

1368 18 Gräber können ins 7. Jh. v. Chr. datiert werden, darunter zwei in der ersten Hälfte (Temparella 13 und 25), vier in der zweiten Hälfte (Temparella 58F, 59, 72, 73), und 7 im letzten Viertel bzw. am Ende des Jahrhunderts (Temparella 54, 44, 47, 48, 49, 50, 51). Die Bestattungen Temparella 38, 46, 52, 89 und 91 werden allgemein ins 7. Jh. v. Chr. datiert: Luppino u. a. 2012, 656–663.

1369 25 Gräber gehören in das 6. Jh. v. Chr., davon 20 in die erste Hälfte und drei möglicherweise in die zweite. Von diesen drei wird Temparella 24 von de La Genière 1994 zwischen 570 und 530 v. Chr. und von Brocato 2011, 45 in die zweite Hälfte des 6. Jhs. v. Chr. datiert; die beiden Bestattungen Temparella 26/29C und D werden von de La Genière 1994 um die Mitte des 6. Jhs. v. Chr. (560–550 und 550–540 v. Chr.) und von Brocato 2011, 44 ins zweite/dritte Viertel des 6. Jhs. v. Chr. gesetzt. Hinzu kommen zwei Enchytrismoï aus der Kolonialzeit (Temparella 58A, Temparella 73bis) und mindestens zwei zerstörte und nicht datierbare Gräber (Temparella 6 und 12).

1370 Mit Ausnahme der beiden Belegungsphasen der Eisenzeit, für deren Dauer und absolute Chronologie s. o.

1371 Osanna 1992, 115–149; de La Genière 1994; Brocato 2011, 225–228; Luppino u. a. 2012; Brocato 2014; Grove Saxkjær – Jacobsen 2014.

1372 Die Überlegungen beruhen auf den Studien von de La Genière 1994, Luppino u. a. 2012, Quondam 2009, Brocato 2011 und Brocato 2014. Neue Erkenntnisse sind aus der derzeit laufenden Studie der Gräber der Kolonialzeit zu erwarten, die im Rahmen der Dissertation von Ilaria Gullo an der Universität Basel durchgeführt wird. Ebenfalls werden die 2018 von der Universität Basel angefangenen Forschungen im Areal Collina neue Daten zur Belegung der Nekropole in der kolonialen Zeit erbringen, wie die Auffindung von zwei Bestattungen wohl des 6. Jhs. v. Chr. im Sommer 2018 erahnen lässt.

1373 Eine Ausnahme stellen die Gräber 28 und 31 von Valle Sorigliano (Santa Maria d'Anglona, Tursi) dar, die sich direkt tangieren. Vgl. Bianco in Bianco u. a. 1996, 52 Nr. 1.6.

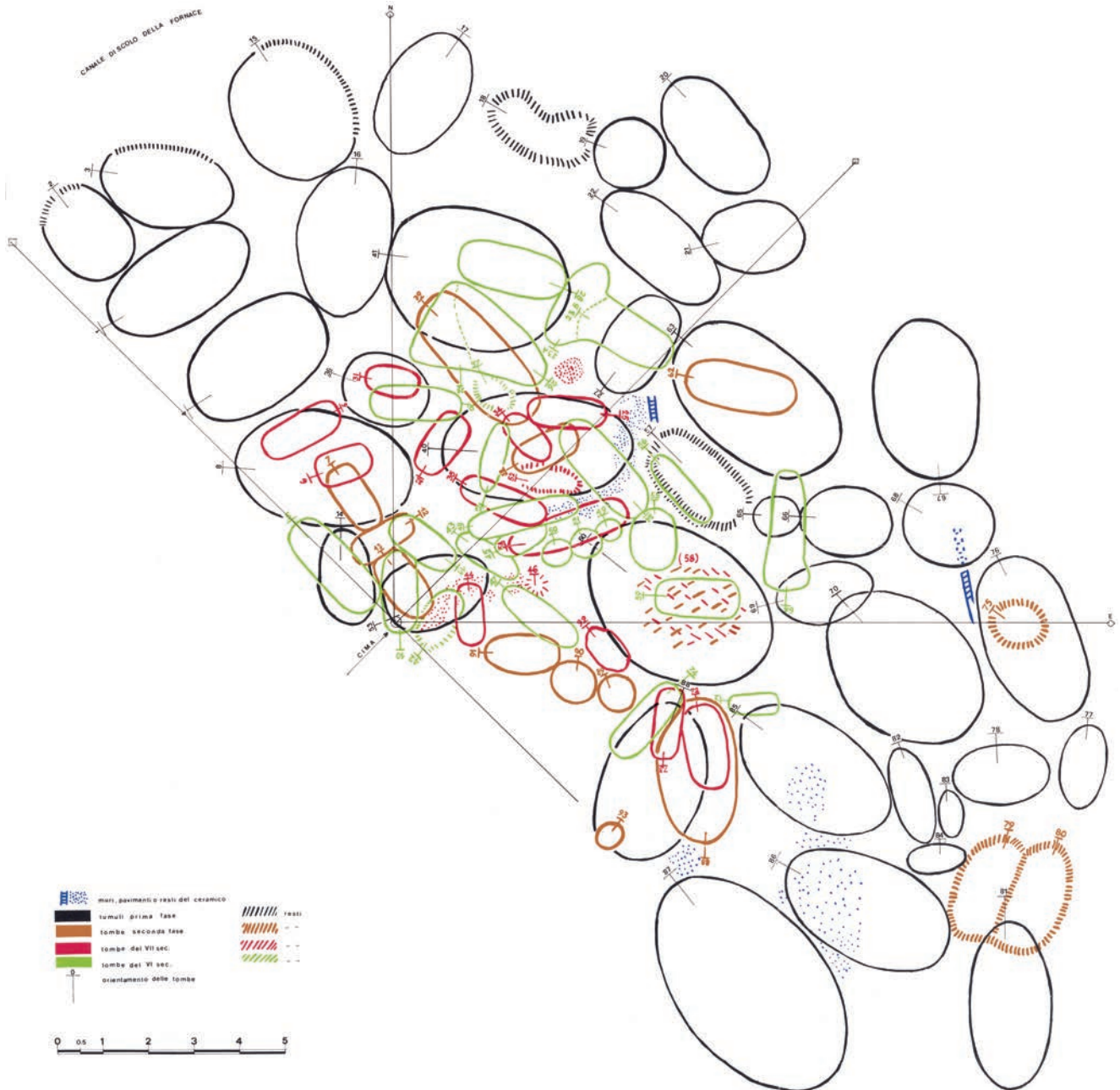


Abb. 5.8 Plan des Areals Temparella. Wiederauflage mit freundlicher Genehmigung der Società Magna Grecia.

Belegungsphase	Datierung	Anzahl Gräber	Alternative Einteilung	Anzahl Gräber
1	Erste Phase Eisenzeit	13	Erste Phase Eisenzeit	13
2	Zweite Phase Eisenzeit	27	Zweite Phase Eisenzeit	27
1/2	8. Jh. allgemein	27	8. Jh. allgemein	27
3	Erste Hälfte 7. Jh.	2		
4	Zweite Hälfte 7. Jh.	11	7. Jh. bis ca. 610 v. Chr.	12
3/4	7 Jh. allgemein	5		
5	Erste Hälfte 6. Jh.	20	Ca. 610-550 v. Chr.	26
6	Zweite Hälfte 6. Jh.	3	Ca. 550-525 v. Chr.	3
5/6	6. Jh. allgemein	2	6. Jh. allgemein	2
1/2	Gesamt 8. Jh.	67		
3/4	Gesamt 7. Jh.	18		
5/6	Gesamt 6. Jh.	25		

Tab. 5.9 Anzahl Gräber in den unterschiedlichen Belegungsphasen des Areals Temparella.

verhalte deuten darauf hin, dass die Bestattungsgemeinschaft von Francavilla Marittima starken gesellschaftlichen Parametern unterworfen war, die einerseits den Gruppenzusammenhalt und andererseits das Bedürfnis nach sozialer Distinktion förderten. Wie bereits erwähnt, leiten manche Forscherinnen und Forscher hieraus eine auf familiären Strukturen basierende gentilische Strukturierung der eisenzeitlichen Bevölkerung von Francavilla Marittima ab¹³⁷⁴.

Die Bestattungsgemeinschaft von Francavilla Marittima folgt mit dem Gliederungskriterium der Familienverbände einem im eisenzeitlichen Kalabrien und in der Basilikata verbreiteten gesellschaftlichen Modell. So konnten in der etwas älteren Nekropole von Torre Galli (Drapia) kleine und mittelgrosse Bestattungsgruppen identifiziert werden, die untereinander alle eine ähnliche Struktur aufweisen: Jede Gruppe besteht aus männlichen und weiblichen Gräbern aller Altersklassen, darunter einige Waffengräber und ein bis zwei Bestattungen von Schwertträgern. Die geringe Grösse der Gruppen und das Ausbleiben von Geschlechts- oder Alterstrennungen machen eine Deutung als erweiterte Familien plausibel¹³⁷⁵. In den Nekropolen von Incoronata (San Teodoro, Pisticci) und Valle Sorigliano (Santa Maria d'Anglona, Tursi) scheinen die meist rechteckigen Gräber einer einheitlichen Orientierung zu unterstehen und sich nebeneinander fast in Reihen zu ordnen, nahezu ohne Überschneidungen. Für Incoronata wird von einer Unterteilung nach Geschlechtern ausgegangen, jedoch steht eine abschliessende Betrachtung, die auch die einzelnen Belegungsphasen der Nekropole berücksichtigt, bisher aus¹³⁷⁶. Geschlechtsspezifische Ordnungskriterien wurden zwar für den Nordsektor von Valle Sorigliano postuliert, doch zeigt sich bei der Gliederung der Bestattungen nach chronologischen Phasen, dass auch für dieses Gräberfeld von ausgedehnten Gräbergruppen mit Bestattungen aller Altersstufen und beider Geschlechter und damit wohl von familiären Verbänden auszugehen ist. Francesca Ferranti und Francesco Quondam sehen darin Indizien für eine präurbane Gemeinschaft mit gentilischen Strukturen¹³⁷⁷. Im Gegensatz zum doch vergleichsweise homogenen Erscheinungsbild der benachbarten Nekropolen zeichnet sich das Gräberfeld von Francavilla Marittima durch

seine ausgeprägte vertikale Stratifizierung aus, was auf eine stärkere soziale Hierarchisierung der Bestattungsgemeinschaft schliessen lässt¹³⁷⁸. Die Gräber aus den Arealen Strada und De Leo bestätigen diese Beobachtung. Der Grund dafür könnte, wie von F. Ferranti und F. Quondam vermutet, in der grösseren kulturellen Nähe der Siedlungsgemeinschaft von Francavilla Marittima zu den protourbanen Kulturen des mitteltyrrenischen Raumes zu suchen sein, die im selben Zeithorizont nachweislich eine beschleunigte sozio-ökonomische Stratifizierung erfuhren¹³⁷⁹.

Für eine abschliessende Beurteilung der gesellschaftlichen Gegebenheiten in der Sibaritide mag es im Augenblick noch zu früh sein. Gleichwohl bestätigen Funde wie die bronzene Lanze aus Grab Strada 5 (S5/10) oder auch die bronzene Schlangenfibel mit gespaltener Nadel und Drahtverzierung aus Grab Strada 17 (S17/11), deren Gegenstücke sich in Kampanien konzentrieren, die Existenz eines engen kulturellen Beziehungsnetzes zwischen den Eliten diesseits und jenseits des Apennin¹³⁸⁰. Ein Beziehungsnetz, das sich auch in der Beigabe von Bronzekeßeln in den Gräbern niedergeschlagen und nicht zuletzt durch den Fund einer Rippenschale und zweier Hörnchenfibeln im Grab Est 11, die ebenfalls in Kampanien ihre nächsten Parallelen finden¹³⁸¹, eine zusätzliche Bestätigung erfahren hat. Neben anderen Funden wäre hier auch das Bronzebecken mit gefaltetem überhängendem Rand aus Grab Temparella 60 zu erwähnen, dessen etruskische Provenienz von L. Mercuri herausgestellt und zu dem unlängst ein nahes Vergleichsbeispiel im Grab 539 von Pontecagnano entdeckt wurde¹³⁸².

Insgesamt gesehen unterscheiden sich die verschiedenen Bestattungsareale der Macchiabate-Nekropole nur unwesentlich voneinander, weder chronologisch noch in der Zusammensetzung der Gräber und ihrer Beigaben. Es ist daher nicht möglich, einen spezifischen Gräberbezirk als denjenigen der führenden Familie von Francavilla Marittima zu identifizieren. Vielmehr entsteht das Bild einer Nekropole, die sich aus verschiedenen, mehr oder weniger gleichrangigen Bestattungsgruppen mit möglicherweise verwandtschaftlichem Bezug zusammensetzt. Diese haben sich im Verlaufe des 8. Jahrhunderts v. Chr. nebeneinander auf dem gesamten Areal der Macchiabate-Nekropole etabliert, mit einem klar erkennbaren Schwerpunkt in der zweiten Hälfte des Jahrhunderts. Die abgestuften und nicht standardisierten Beigabeninventare, welche insbesondere in den Männergräbern sichtbar werden, zeugen von der sozialen Heterogenität der einzelnen Bestattungsgruppen, an deren Spitze jeweils eine kleine Elite stand, die sich in ihrer sepulkralen Selbstdarstellung mehr oder weniger frei äussern konnte.

1374 Peroni 1994, 871; de La Genière 1994, 155; Quondam 2014, 36. Contra: Kleibrink 2003, 28 f. 38.

1375 Pacciarelli 1999a, 92–96; Quondam 2014, 33. Man vergleiche dabei die Gruppenbildung in der villanovazeitlichen Nekropole Le Rose in Tarquinia, die als Hinweis für *famiglie cellulari* ohne gentilisches Gefüge gedeutet wird: Peroni – Vanzetti 2006, 28.

1376 Peroni – Vanzetti 2006, 26–28 Abb. 1; Ferranti – Quondam 2015; Quondam 2014, 33.

1377 Ferranti – Quondam 2015, 72–77 Abb. 10. 12 für den Nordsektor von Valle Sorigliano (Santa Maria d'Anglona, Tursi), in dem drei Gruppen unterschieden werden konnten: In der grössten Gruppe B waren die Krieger- von den Frauen- und Kindergräbern getrennt. Für Santa Maria d'Anglona folgern die Autoren, dass »Nel complesso, l'articolazione planimetrica della necropoli può essere a nostro avviso rapportata a una versione particolarmente matura della formazione gentilizio-clientelare di tipo preurbano«, 82; vgl. Peroni 1989, 468–496; Pacciarelli 2000, 255–259.

1378 Ferranti – Quondam 2015. Siehe auch Kapitel 5.4.2.

1379 Ferranti – Quondam 2015; Pacciarelli 2010, 17–33.

1380 Guggisberg u. a. 2018b.

1381 Guggisberg u. a. 2018a.

1382 Mercuri 2004, 172–182. Zum Becken von Pontecagnano: D'Agostino – Gastaldi 2012, 389–433 bes. 406 f. Abb. 7, 6.

Für eine Gesellschaft, in der Status vererbt wurde, sprechen in letzter Instanz auch die reichen Kinderbestattungen wie Strada 8 oder Temparella 69, die im Gegensatz zu den vielen Enchytrismoi und einfacheren Kindergräbern stehen. Dieses Bedürfnis nach Selbstdarstellung zeugt von einem Wertesystem, das an jenes der tyrrhenischen Eliten etwa in Pontecagnano oder in Etrurien erinnert. Die Betonung von Rang und Status, von Reichtum und kulturellen Fernkontakten, wie sie sich namentlich in den Importen aus Mittelitalien, Griechenland und dem Vorderen Orient widerspiegeln, sind Anzeichen einer sich formierenden gentilizischen Ideologie, die in Mittelitalien wenige Jahrzehnte später zur Ausbildung der sog. Fürstengräber führen wird.

Camilla Colombi, Martin A. Guggisberg

5.5.2 Die Macchiabate-Nekropole und die Hinterlassenschaften in Francavilla Marittima zwischen Eisenzeit und Archaik

Die zweite Periode der frühen Eisenzeit (IFe2), vom Ende des 9. Jahrhunderts bis ca. 725 v. Chr., ist in Francavilla Marittima mit einer einheitlichen Belegungsphase an allen bekannten Fundstellen gut dokumentiert¹³⁸³ (Taf. 1, 2). Auf dem Timpone Motta ist seit dem Ende des 9. Jahrhunderts v. Chr. ein langgestrecktes Apsidenhaus (Gebäude Vb) belegt, dessen Grundriss anhand der Lage der Pfostenlöcher im anstehenden Felsen rekonstruiert werden konnte¹³⁸⁴. Im Ostteil des Gebäudes befand sich ein grosser Webstuhl und im Westteil ein Herd (Altar?), zu dem wahrscheinlich ein Bereich mit Asche südlich des Gebäudes gehört¹³⁸⁵. Das mit Gebäude Vb in Zusammenhang stehende Fundmaterial ist grösstenteils einheimisch (Impasto, *matt-painted* Keramik, Bronzefibeln und Bronzeschmuck). Nur wenige Importe korinthisch-geometrischer Keramik (Fragmente von Kotylai Aetos 666), geometrischer Keramik aus dem Salento sowie sog. oino-trisch-euböische Ware sind dokumentiert¹³⁸⁶. Ein weiteres Gebäude (Ia) ist durch Pfostenlöcher unterhalb des Gebäudes I nachgewiesen. Auf dem *Altipiano I* – der am Südostfuss des Timpone gelegenen grossen Hangterrasse – befanden sich Bereiche der eisenzeitlichen Siedlung. Unter

der *Casa al Muro Grande* wurden die Reste eines eisenzeitlichen Hauses mit gerundetem Grundriss und Pfostenlöchern freigelegt. Das Fundmaterial deckt eine breite Zeitspanne zwischen der ersten Hälfte des 8. und dem Anfang des 7. Jahrhunderts v. Chr. ab, darunter befinden sich *matt-painted* Keramik des Stils *a frange* und *a tenda* sowie Fragmente von Kotylen Aetos 666 und Imitationen von Thapsos-Ware¹³⁸⁷. Auch im Bereich der *Casa Aperta* wurden eisenzeitliche Gruben und Pfostenlöcher gefunden¹³⁸⁸. Auf dem *Altipiano II* konnten eisenzeitliche Pfostenlöcher unter der *Casa dei Pitthoi* festgestellt werden¹³⁸⁹. Reste von Strukturen und Material des 8. Jahrhunderts v. Chr. kamen ebenfalls bei den jüngsten Ausgrabungen der Università della Calabria auf dem *Altipiano II* zu Tage¹³⁹⁰. An den südlichen Abhängen des Timpone Motta, im sog. Areal Rovitti, wurde ein Haus aus Lehmziegeln mit Material aus der ersten Hälfte des 8. Jahrhunderts v. Chr. freigelegt (vgl. Taf. 1, 2). Das Fundspektrum umfasst sowohl Impasto und *matt-painted* Ware (meist Koch- und Vorratsgefässe) als auch lokal produzierte Feinkeramik der sog. oino-trisch-euböischen Gattung¹³⁹¹. Das Haus wird von den Ausgräbern mit einer hier lokalisierten Töpferei in Zusammenhang gebracht, in der die sog. oino-trisch-euböische Keramik produziert wurde, und als Wohnstätte griechischer (euböischer) Töpfer interpretiert¹³⁹². Die jüngsten Forschungen der Accademia di Danimarca haben Hinweise auf eine Siedlung der Eisenzeit auch im Areal Aita, in der Nähe der Area Rovitti, geliefert¹³⁹³ (Taf. 1, 2).

Im 8. Jahrhundert v. Chr. ist die dichteste Belegungsphase der Nekropole mit über 150 Bestattungen dokumentiert. Wie dargelegt, lassen sich die Gräber grob in eine ältere Phase mit *matt-painted* Keramik des Stils *a bande ondulate* und mit einem Fundspektrum, das noch an Torre Mordillo erinnert, und eine jüngere Phase mit spätgeometrischen Dekorationsmustern in der *matt-painted* Produktion (Stil *a frange*, Stil *a tenda vuota*),

1383 Für die Belege der Bronzezeit siehe: Attema u. a. 2010, 98; Kleibrink 2006b.

1384 Kleibrink 2006b, 111–172; Jacobsen – Handberg 2010, 18–25; zuletzt Kleibrink 2017, 69–72. Zu den Grabungen auf dem Timpone Motta und den Materialstudien: Kleibrink 2006a; Kleibrink u. a. 2012a; Kleibrink u. a. 2012b; Kleibrink u. a. 2013; Kleibrink 2015a; Kleibrink 2015b; Kleibrink 2016c; Kleibrink 2017; Colelli – Jacobsen 2013; Jacobsen – Handberg 2010.

1385 Für die unterschiedlichen Deutungen von Gebäude Vb (Wohnhaus oder ‘Tempel’ oder Wohnhaus mit Areal für die Kultausübung?) und der Kulttätigkeit auf dem Timpone Motta im 8. Jh. v. Chr.: Guzzo 2011, 223–225; Luppino u. a. 2012, 647; Kleibrink 2006b, 111–171; Kleibrink 2005; Kleibrink 2004b.

1386 Jacobsen – Handberg 2010, 18–25. Für die spätgeometrische Keramik aus dem Salento aus Francavilla Marittima: Kleibrink 2015b, 11–14, 17–41. Für die Abfolge der Bauphasen im Bereich von Gebäude V: Kleibrink 2006b; Kleibrink 2003, 51–67; Kleibrink 2004a, 573–580; Attema u. a. 2010, 98 f.

1387 Kleibrink 2006b, 77–110; Kleibrink 2003, 42–44 Abb. 11; Kleibrink 2004a, 571–573;

1388 Kleibrink 2006b, 45–61 Gruben IC, ID und IB.

1389 Attema u. a. 2010, 96–98.

1390 Brocato u. a. 2019 mit weiterer Literatur. Gefunden wurden Pfostenlöcher und *concocto* einer eisenzeitlichen *capanna* im Schnitt 5 sowie Fundmaterial des 8. und des 7. Jhs. v. Chr.

1391 Struktur A: Jacobsen – Handberg 2012, 689–696, weiteres Material: Bernstein, Glas, Bronzeobjekte, Webgewichte und Spinnwirtel, *cooking stands*. Zum Areal Rovitti und der sog. oino-trisch-euböischen Keramik: Colelli u. a. 2014; Jacobsen – Handberg 2012; Jacobsen – Mittica 2014; Jacobsen u. a. 2009; Jacobsen u. a. 2015a.

1392 Jacobsen – Handberg 2012, 687 f. sprechen von einer ‘Euboean enclave’; Contra: Guzzo 2011, 211. Wenn wir der Interpretation der Ausgräber des letztgenannten Areals folgen, lebten zu diesem Zeitpunkt auch bereits Griechen aus Euböa am Timpone Motta, wohl mit der wohlwollenden Zustimmung der einheimischen Führungseliten: Jacobsen – Handberg 2012, 687 f.; Grove Saxkjær 2017, 13. 16. Somit würde Francavilla Marittima als weiterer Anhaltspunkt für ein einheimisch-griechisches Zusammenleben gelten – wie dies auch für Canale Ianchina (Locri), Incoronata Indigena/Greca (Pisticci) und L’Amastuola (Crispiano) postuliert wurde: Yntema 2000, 28–35; Mercuri 2004, 291 f.; Carter 2006, 55–68; Mercuri 2012.

1393 Für die jüngsten Arbeiten im Areal Rovitti und im nahe gelegenen Areal Aita siehe Mittica 2019, insb. 87–95.

mit einigen kennzeichnenden Fibeltypen¹³⁹⁴ und mit vereinzelt korinthisch-spätgeometrischen Importen¹³⁹⁵ gliedern. Im Gräberfeld entstehen an verschiedenen Stellen Ansammlungen von Gräbern, die unterschiedliche Komplexitätsstufen aufweisen¹³⁹⁶. Darunter befinden sich auch einige besonders reiche Grabanlagen (Temparella 87, Temparella 60, Strada 17, Strada 4 oder Est 11), die von der Genese einer sozialen Elite zeugen. Zu den Gräbern dieser Führungsgruppe gehören auch Kinderbestattungen, wie etwa Temparella 69 oder Strada 8. Sie legen die Annahme nahe, dass das soziale Gefüge der Siedlungsgemeinschaft von Francavilla Marittima durch Clans mit verwandtschaftlich-familiären Bindungen bestimmt wurde, an deren Spitze einzelne führende Familien oder Personen standen. Auch die agglutinierende Bauweise mancher Gräber spricht dafür, dass die Bestattungsgruppen durch enge soziale Beziehungen geprägt waren. Nicht zuletzt aufgrund der Kindergräber wird man davon ausgehen dürfen, dass die Macht erblich war. Man kann sich gut vorstellen, dass diese einheimischen Eliten in den grossen Apsidenhäusern wohnten, die auf der Spitze des Timpone Motta und seinen Abhängen nachgewiesen sind, und dass sie zu den prominentesten Besuchern des Kultortes gehörten, der sich gegen Ende des 8. Jahrhunderts v. Chr. auf dem Timpone Motta herausbildete. Ob tatsächlich alle Menschen, die in der Macchiabate-Nekropole ihre letzte Ruhestätte fanden, auf dem Timpone Motta und seinen Abhängen gelebt haben, ist wegen der ungewissen Zahlenlage schwer zu bestimmen. Immerhin sollte man nicht von vornherein ausschliessen, dass in der Macchiabate-Nekropole auch Menschen bestattet wurden, die vielleicht in etwas grösserer Distanz lebten¹³⁹⁷. Die bisher bekannten Gräber (155 für eine Belegungsdauer von ca. 100 Jahren) bilden mit Sicherheit nur einen kleinen Teil der ursprünglich vorhandenen Bestattungen. Naturwissenschaftliche Untersuchungen am Knochenmaterial, die in dieser Frage weiterhelfen könnten, sind Gegenstand eines aktuellen Forschungsvorhabens¹³⁹⁸.

1394 Schlangenfibeln *a gomito* ohne Feder und mit bandförmigem Bügel, Drago-Fibeln und langfüssige Schlangenfibeln mit verkleidetem Bügel: Quondam 2009, 147 f. Abb. 1 Nr. 17–21.

1395 Spätgeometrische korinthische Tongefässe sind in den Gräbern Temparella 8, Temparella 88 und Uliveto 15 belegt: Quondam 2009, 158–162.

1396 Ferranti – Quondam 2015; siehe hier Kapitel 5.4.

1397 Colombi u. a. 2018. Für mehrere Clusters von Siedlungen sprechen sich auch Jacobsen – Handberg 2012, 710 aus. Eine flächendeckende Siedlungstätigkeit auf den Hügeln um Francavilla Marittima wurde zumindest bis zur Endbronzezeit dank den Surveys des Raganello Project der Universität Groningen erkannt. Für die Eisenzeit kann eine ähnlich engmaschige Verteilung zwar nicht nachgewiesen werden, doch kann die Präsenz von Siedlungen auch auf anderen Hügeln, wie auf der Timpa del Castello, postuliert werden: Attema u. a. 2010, 100–103. 105.

1398 Im Rahmen eines Pilotprojektes durchgeführte Strontiumisotopenanalysen an den Skeletten der Gruppen Strada, Est und De Leo haben durchaus homogene Resultate ergeben, was die Annahme nahe legt, dass die drei Bestattungsgruppen aus einem geologisch kohärenten Gebiet, wohl im näheren Umland der Nekropole stammen. Wie der davon abweichende Isotopenbefund für das Grab De

Gegen Ende des 8. Jahrhunderts v. Chr. findet auf dem Timpone Motta eine weitreichende Reorganisation statt. Zwei Gebäude (Vc und Ib) werden über älteren Vorgängerbauten neu errichtet, Gebäude IIIa entsteht in der Mitte der Hügelkuppe und im südöstlichen Teil des Areals wird eine Holzstruktur gebaut, die vielleicht als Temenosmauer zu interpretieren ist¹³⁹⁹. Die Gebäude Vc und Ib stehen sowohl hinsichtlich ihrer Lage als auch ihrer Orientierung in direktem Bezug zu den Vorgängerbauten. Allerdings unterscheiden sie sich von diesen im Grundriss markant¹⁴⁰⁰: An die Stelle der Apsidenhäuser treten rechteckige, langgestreckte und dreigeteilte Gebäude, die im Grundriss an griechische Tempel mit Pronaos, Naos und Opisthodom erinnern und deshalb gerne als ‘Tempel’ bezeichnet werden. Die Bauweise mit im Felsen verankerten Holzpfeuern und unter Verzicht auf Steinfundamente entspricht dagegen einheimischer Tradition, wie sie nicht zuletzt auf dem Timpone Motta selbst in älteren Bauphasen belegt ist¹⁴⁰¹. Das Fundspektrum aus Gebäude Vc aus dem letzten Viertel des 8. Jahrhunderts v. Chr. umfasst hauptsächlich einheimische Impasto- und *matt-painted* Keramik, doch sind auch Gefässe der sog. oionotrisch-euböischen Gattung und griechische Importe, darunter Thapsos-Skyphoi und ostgriechische Vogelschalen, belegt. Gegen 700 v. Chr. treten neue Formen aus der griechischen Welt in Erscheinung: Hydriai und Kalathiskoi¹⁴⁰². Gleichwohl herrschen auch im ersten Viertel des 7. Jahrhunderts v. Chr. noch Gefässe der einheimischen *matt-painted* Keramik vor, zusammen mit lokal produzierter subgeometrischer Ware (Skyphoi und Pyxiden) und mit Importen, vor allem früh- und mittelprotokorinthischen Gefässen, Vogelschalen und Keramik aus dem Salento. Die Zunahme an Trinkschalen, Krateren und Oinochoen der sog. oionotrisch-euböischen Klasse soll auf einen Wechsel in den Kulthandlungen mit der Übernahme von griechischen Trinksitten hindeuten¹⁴⁰³.

In der Siedlung auf dem *Altipiano I* ist das Haus unterhalb der *Casa al Muro Grande* in dieser Periode weiterhin belegt, wie die bereits genannten Funde und insbesondere die Thapsos-Ware bezeugen. Im Areal Rovitti entsteht im späten 8. Jahrhundert v. Chr. ein zweites Gebäude, das bis zum Beginn des 7. Jahrhunderts v. Chr. dokumentiert ist. Es besitzt einen Boden aus Flusskieseln und Mauern aus Lehmziegeln

Leo 1 zu interpretieren ist, werden die erwähnten neuen Untersuchungen zeigen müssen. Siehe Kapitel 7.3; Colombi u. a. 2018.

1399 Kleibrink 2006b; Kleibrink 2017, 72–75; zu Ib und IIIa siehe Mertens – Schläger 1980–1982, 148–150.

1400 Siehe insb. Gebäude Vc: Kleibrink 2006b; Jacobsen – Handberg 2010, 25–36.

1401 Als erste haben Mertens – Schläger 1980–1982, 169–171 darauf hingewiesen; Kleibrink 2003, 62 f. Man vergleiche etwa die unterschiedliche Bauweise mit Steinfundamenten der frühesten Phasen des Tempels von Apoll Daphnephoros in Eretria.

1402 Jacobsen – Handberg 2010, 25–36, erste Phase. Zu den Gefässen des *stile a frange* aus den Schichten des Gebäude Vc und aus dem Plateau I: Kleibrink 2015a, 15 f.

1403 Jacobsen – Handberg 2010, 25–36, zweite Phase; Kleibrink 2004b, 75. Granese 2006, 428–430 für das Fundspektrum im Hinblick auf die Kulthandlungen: die vielen Trinkgefässe zeugen vom Trankopfer und vielleicht von Gelagepraktiken.

und Steinen. Das Fundspektrum umfasst, wie schon in der früheren Struktur A, Impasto und lokale *matt-painted* Keramik ebenso wie sog. oino-trisch-euböische Ware und Importe von *matt-painted* Keramik aus dem iapygischen Raum sowie korinthisch-spätgeometrische und frühprotokorinthische Ware¹⁴⁰⁴. Das Bild, das sich aus der Betrachtung des Timpone Motta im letzten Viertel des 8. und zu Beginn des 7. Jahrhunderts v. Chr. ergibt, ist also jenes einer weiterhin prosperierenden einheimischen Gesellschaft mit einem aufblühenden Kultort auf der Hügelspitze und Wohn- und Arbeitsbereichen an dessen Abhängen. Die steigende Zahl von Importen und lokalen Imitationen von griechischen Gefäßen zeugt von der Intensivierung der Kontakte mit der griechischen Welt. Gleiches gilt für die Monumentalarchitektur im Heiligtum, in der sich einheimische Traditionen mit Impulsen von aussen vermischen¹⁴⁰⁵. Die Situation auf dem Timpone Motta scheint somit einer Entwicklungslinie zu folgen, die von ersten sporadischen Kontakten mit den Griechen zu einer raschen Intensivierung des Austausches in der zweiten Hälfte des 8. Jahrhunderts v. Chr. führte und in wachsendem Wohlstand der einheimischen Elite resultierte.

Die historische Überlieferung verbindet die permanente Präsenz der Griechen in der Sibaritide mit der Gründung von Sybaris um 720/710 v. Chr.¹⁴⁰⁶. Wie man sich diese frühe Niederlassung vorzustellen hat, ist allerdings in Ermangelung von aussagekräftigen Befunden schwer zu sagen. Thapsos-Skyphoi und andere Importe, die im Areal Stombi gefunden wurden, belegen die Präsenz von Griechen auf dem Gebiet der späteren Kolonie ab dem ausgehenden 8. Jahrhundert v. Chr. Ob es sich dabei jedoch um eine eigenständige griechische Niederlassung gehandelt hat oder ob die Neuankömmlinge – wie es für den Timpone Motta vermutet wird – zunächst in einer einheimischen Siedlung wohnten, ist kaum zu entscheiden. In jedem Fall wird man davon ausgehen können, dass die Niederlassung zu Beginn von überschaubarer Grösse war und für die prosperierenden einheimischen Siedlungszentren der Sibaritide keine ernsthafte Konkurrenz darstellte, geschweige denn eine konkrete politisch-militärische Bedrohung¹⁴⁰⁷. Im Gegensatz zu Modellen, die von einer raschen militärischen ‘Eroberung’ der Sibaritide ausgehen, scheinen die vorhandenen archäologischen Daten heute einen schrittweisen Machttransfer von den einheimischen Eliten zu den Griechen nahezulegen. Unklar

bleibt, wie lange dieser Prozess gedauert hat und wie er im Einzelnen abgelaufen ist.

Auf den ersten Blick scheinen die Befunde aus der Nekropole diesem prozessualen Macht- und Kulturtransfer zu widersprechen. Nur wenige Bestattungen lassen sich in den Zeitraum zwischen dem letzten Viertel des 8. und dem ersten Viertel des 7. Jahrhunderts v. Chr. datieren¹⁴⁰⁸. Mit den Gräbern Strada 17, Est 11 und Uliveto 9 sind jedoch auch in dieser Phase noch Bestattungen von Angehörigen der einheimischen Elite nachgewiesen. Grab Strada 17 zeichnet sich durch seine reiche Waffengarnitur aus, und auch Grab Est 11 scheint ein eisernes Schwert zu enthalten. Waffengräber sind in der Macchiabate-Nekropole im Allgemeinen eher selten. Ohne diesen Befund überzuinterpretieren, weist die Präsenz von Waffen in den Gräbern der spätesten Eisenzeit darauf hin, dass der Machttransfer an die Griechen nicht aus einer Position der Schwäche heraus erfolgt ist. Vielmehr zeugen die späten Waffengräber, zu denen auch die beiden Schwertgräber Est 1 und Est 6 zu rechnen sind, von einem bemerkenswerten machtpolitischen Selbstbewusstsein der einheimischen Eliten. Wie die aus Mittelitalien oder dem Vorderen Orient importierte Rippenschale aus Grab Est 11 belegt, verfügten ihre Angehörigen noch in der Spätzeit über weitreichende kulturelle Fernbeziehungen.

Nichtsdestotrotz ist am Ende des 8. und zu Beginn des 7. Jahrhunderts v. Chr. eine schrittweise Aufgabe der Nekropole zu verzeichnen (siehe Taf. 2). Die Interpretationen gehen weit auseinander¹⁴⁰⁹. Während ein Teil der Forschung dafür die militärische Expansion der Griechen verantwortlich macht¹⁴¹⁰, sprechen sich andere für eine ‘freiwillige’ Abwanderung der einheimischen Eliten in die aufstrebende griechische Siedlung an der Küste aus¹⁴¹¹. Den dort akkumulierten Reichtum hätte man u. a. in den Ausbau des Heiligtums auf dem Timpone Motta investiert. Weder die eine noch die andere These lässt sich einstweilen archäologisch begründen. Es sei deshalb an

1404 Jacobsen – Handberg 2012, 696–700, Hütte B.

1405 Die Bauphase im letzten Viertel des 8. Jhs. v. Chr. zeugt angeblich von einer gemeinsamen Unternehmung von Oino-triern und Griechen: Kleibrink 2004b, 78; Greco – Lombardo 2012, 51.

1406 Quellen zur Gründung von Sybaris: Skymn. 340–360 (721/20 v. Chr.), Eus. chron. 91b Helm (709/08 v. Chr.); Strab. Geogr. 6, 1, 13; Diod. 11, 90, 3.

1407 Attema u. a. 2010, 104: »Such a complex society could not easily be overthrown by what were surely modest numbers of incoming settlers«; Kleibrink 1997; Yntema 2000, 33. Wir wissen leider nicht, wie die Besiedlung der Küstenebene zu dieser Zeit genau aussah, da die eisenzeitlichen Schichten in grosser Tiefe liegen und bisher durch Bohrungen oder Grabungen nicht angeschnitten wurden: Attema u. a. 2010, 21–24 insb. zu den Lerici-Bohrungen; 89 f.

1408 In das letzte Viertel bzw. gegen Ende des 8. Jhs. v. Chr. wurden die Gräber Strada 17, Strada 16, Strada 18, Est 6 und Est 11 datiert: Guggisberg u. a. 2017, 85 f.; Guggisberg u. a. 2018, 82 f. Die Gräber Uliveto 1 und 9 und der Streufund eines sub-Thapsos-Skyphos aus dem Bereich der Temparella gehören in das erste Viertel des 7. Jhs. v. Chr.: Luppino u. a. 2012, 657. Zu erwähnen sind auch Temparella 13 aus der ersten Hälfte des 7. Jhs. v. Chr. und die Bestattungen Temparella 38, 46, 52, 89 und 91, die nur allgemein ins 7. Jh. v. Chr. datiert werden können: Luppino u. a. 2012.

1409 Für die unterschiedliche Interpretationen der Kolonisierung bzw. der Migration von Griechen nach Westen und für eine Zusammenstellung der archäologischen Belege in Süditalien siehe: Attema u. a. 2010, 119–133; Greco – Lombardo 2012; Yntema 2000; Guzzo 2011, bes. 209–226 zu Sybaris; Burgers 2004, bes. 256–264. Für eine Zusammenstellung der Theorien in Bezug auf Francavilla Marittima: Van der Wielen-van Ommeren – De Lachenal 2007, 37–74.

1410 Vanzetti 2009; Guzzo 2011, 209–221, die wenigen einheimischen Gräber in der Macchiabate-Nekropole seien mit den überlebenden Oino-triern in Zusammenhang zu bringen, die meisten Personen seien nach Sybaris gebracht und versklavt worden; Osanna 1992, 115–126, insb. 120–122: aus diesem Grund seien auch fast nur Bestattungen von Frauen und Kindern belegt.

1411 Brocato 2014, 89–91; Grove Saxkjær – Jacobsen 2014, 271.

dieser Stelle darauf hingewiesen, dass die Aufgabe eines Bestattungsplatzes nicht zwingend mit der Abwanderung bzw. dem physischen Ende der Bestattungsgemeinschaft einhergehen muss. Vielmehr sind Gräber Monumente der Macht und als solche eng an die politische und territoriale Vorherrschaft ihrer Auftraggeber gebunden. Mit der Verschiebung der Macht auf neue Gruppen verlieren die Bestattungen ihre identitätsstiftende Bedeutung für das Kollektiv und umgekehrt verliert auch die frühere Elite ihren Anspruch auf statusbezogene Gräber. Mit anderen Worten: Aus dem Verschwinden der oberirdisch sichtbaren Gräber mit ihren prunkvollen Beigaben lässt sich nicht *a priori* auf den physischen Untergang bzw. die Abwanderung der Bestattungsgemeinschaft schliessen. Vielmehr zeichnet sich gerade in Francavilla Marittima ein Wandel im Kontinuum ab: Mit dem Ende der Prunkgräber in der Macchiabate-Nekropole beginnt der Auf- und Ausbau des Heiligtums auf dem Timpone Motta. Darf man darin einen Hinweis sehen, dass sich die einheimischen Eliten an die neuen Machtverhältnisse angepasst haben, und anstelle der in den Gräbern bekundeten kulturellen Eigenständigkeit nun im Heiligtum ihre Anbindung an die neue, griechische Welt demonstrieren? Dieser scheinbar naheliegenden These widerspricht bis anhin das Fehlen von Siedlungsspuren aus dem 7. Jahrhundert v. Chr. Sowohl das Haus unterhalb der *Casa al Muro Grande* als auch die Struktur B im Areal Rovitti sind nur bis zum ersten Viertel des 7. Jahrhunderts v. Chr. belegt¹⁴¹².

Aufs Ganze gesehen entsteht damit das Bild einer mehrstufigen Entwicklung, die mit der punktuellen Präsenz von Griechen in der einheimischen Siedlung beginnt und über eine Phase der 'friedlichen' Koexistenz in der zweiten Hälfte des 8. Jahrhunderts v. Chr. zu einer zunehmenden Expansion der Griechen und der damit einhergehenden Verlagerung der einheimischen Selbstdarstellung vom Grab ins Heiligtum führt.

Eine deutlichere Zäsur scheint dagegen nach 680 v. Chr. fassbar zu sein. In dieser letzten Phase des Tempels Vc auf dem Timpone Motta nimmt die Menge der griechischen Keramik eindeutig zu – wohl im Zusammenhang mit dem Ende der Produktion der *mattpainted Ware*¹⁴¹³. Am Übergang vom ersten zum zweiten Viertel des 7. Jahrhunderts v. Chr. scheinen grosse Teile der einheimischen Bevölkerung die Siedlung verlassen zu haben. In der Nekropole, wie bereits dargelegt, sind weiterhin nur vereinzelt Bestattungen nach 680 v. Chr. belegt, und zwar ausschliesslich in der Temparella¹⁴¹⁴.

Gegen Ende des 7. Jahrhunderts v. Chr. sind grössere Veränderungen in allen bekannten Bereichen der antiken Siedlung von Francavilla Marittima zu verzeichnen. Auf dem Timpone

Motta ist eine regelrechte Neuorganisation und Monumentalisierung der Kultbauten zu verzeichnen. Der kurzlebige Tempel Vd¹⁴¹⁵ und der südliche Teil der Akropolis werden von einer gut zwei Meter mächtigen Schicht aus Kies abgedeckt, auf der der neue Tempel Ve errichtet wird¹⁴¹⁶. In der ersten Hälfte des 6. Jahrhunderts v. Chr. entstehen ausserdem die Tempel IIIb, Ic¹⁴¹⁷, der kleinere Tempel II und die als 'Muro Schläger' bekannte Temenosmauer¹⁴¹⁸. Zur Phase der Monumentalisierung des Heiligtums im 6. Jh. gehören auch die Befunde aus den jüngsten dänischen Ausgrabungen am südöstlichen Ende der Akropolis¹⁴¹⁹.

An den Abhängen des Timpone Motta ist im 6. Jahrhundert v. Chr. eine erneute Besiedlung belegt. Die zahlreichen Häuser entstehen zum Teil über den Wohnbauten des 8. Jahrhunderts v. Chr., grösstenteils aber an vorher anscheinend unbelegten Stellen, wie auf dem Plateau III¹⁴²⁰. Und nicht zuletzt ist auch in der Nekropole eine Wiederaufnahme der Bestattungstätigkeit gegen Ende des 7. Jahrhunderts v. Chr. zu verzeichnen. Die Areale Uliveto und insbesondere die Temparella sowie einzelne Gräber und Belege in den Arealen Lettere, Cima und Collina belegen eine deutliche Zunahme der

1415 Tempel Vd entsteht an der Stelle des abgerissenen Tempels Vc und besitzt einen dreigeteilten Grundriss sowie Steinfundamente innerhalb von Gräben im anstehenden Felsen. Anhand der Scherben, die unmittelbar unterhalb und in bzw. oberhalb der Planier- und Bodenschicht gefunden wurden, kann von einer Benutzungsdauer zwischen ca. 650 und ca. 620/615 v. Chr. ausgegangen werden: in den gefüllten Pfostenlöchern unterhalb der Planierschicht befand sich mittel- und spätprotokorinthische Keramik; auf dem Boden des Tempels wurden Scherben der spätprotokorinthischen und der korinthischen Übergangsphase (TR) gefunden. Kleibrink 2006b; Jacobsen – Handberg 2010, 36–41; zuletzt Kleibrink 2017, 75 f.

1416 Kleibrink 2006b; Jacobsen – Handberg 2010, 41.

1417 Diese Gebäude haben rechteckige, längliche Grundrisse und entstehen auf Steinfundamenten an derselben Stelle, an der am Ende des 8. Jhs. v. Chr. die Holzgebäude IIIa und Ib standen. Das Fundspektrum in der ersten Hälfte des 6. Jhs. v. Chr. umfasst weiterhin lokal hergestellte Hydriskai und Schalen, doch ist eine weitere Zunahme der Votive zu verzeichnen: Granese 2006, 425–427, 435–440; Terrakottafiguren, Votivgaben von Schildern; in der zweiten Hälfte des Jahrhunderts werden auch Frauenstatuetten als *promachos* und *pothmia theron* geweiht.

1418 Mertens – Schläger 1980–1982; Jacobsen – Handberg 2010, 41, unterhalb der Mauer wurde eine Deponierung mit Hydriskai und sieben frühkorinthischen Alabastra gefunden, die eine Datierung der Mauer um 600 v. Chr. ermöglichen.

1419 Siehe zuletzt Mittica 2019, 65–73.

1420 Archaische Häuser: *Casa al Muro Grande*, *Casa dei Pithoi*, *Casa della Cucina*, *Casa dei Pesì*, *Casa dell'Anfora*, *Casa dei Clandestini* auf den Plateaus I, II und III. Attema u. a. 2010, 96–98. Die jüngsten Untersuchungen der Università della Calabria haben zur (Wieder-) Entdeckung von vier Wohnhäusern geführt, darunter der bereits bekannten *Casa della Cucina* und der *Casa Novantanove*: Brocato u. a. 2019. Material aus dem 6. Jh. wurde jüngst auch im Areal Aita zu Tage gefördert: Mittica 2019, 90 f. Die Bauweise der archaischen Häuser mit Steinfundamenten kann mit jener der archaischen Siedlungen von San Nicola (Amendolara) und Stombi (Sibari, Cassano all'Jonio) verglichen werden, doch scheinen Dachziegel und eine Anordnung um gepflasterte Strassen in Francavilla Marittima zu fehlen: Attema u. a. 2010, 96–98.

1412 Jacobsen – Handberg 2012, 696–700; Kleibrink 2006b.

1413 Jacobsen – Handberg 2010, 25–36 letzte Phase; Grove Saxkjær 2017, 15.

1414 Temparella 25 aus dem zweiten Viertel/Mitte des 7. Jhs. v. Chr.; Temparella 13 aus der ersten Hälfte des 7. Jhs. v. Chr.; Temparella 58F, 59, 72, 73 aus der zweiten Hälfte und Temparella 54 aus dem letzten Viertel des 7. Jhs. v. Chr. Zu erwähnen sind auch die Bestattungen Temparella 38, 46, 52, 89 und 91, die nur allgemein ins 7. Jh. v. Chr. datiert werden können: Luppino u. a. 2012. Siehe auch Kapitel 5.4.3.

Bestattungen¹⁴²¹. Seit dem Ende des 7. Jahrhunderts v. Chr. besteht das gewöhnliche Beigabenset aus Skyphos und Kanne/Oinochoe/Hydria, was an die Kombinationen des 8. Jahrhunderts v. Chr. (Olla/Kanne und Tasse) erinnert¹⁴²². Doch zeugen neue Formen wie Aryballoi und Alabastra sowie die allgemein verbreitete Bestattung in gestreckter Rückenlage von der Übernahme griechischer Sitten. Dennoch scheinen die archaischen Bewohner von Francavilla Marittima gewollt eine Kontinuität gegenüber den früheren, eisenzeitlichen Eliten auszudrücken, indem sie ihre Gräber unmittelbar auf den Bestattungsgruppen der Eisenzeit errichten.

Es ist naheliegend, das Aufblühen des Gemeinwesens von Francavilla Marittima mit der kulturellen Konsolidierung von Sybaris zu verbinden. Die engen Beziehungen zur griechischen Kolonie werden nicht zuletzt auch durch den markanten Schwund der Dokumentation nach 510 v. Chr. deutlich. Nach der gewaltsamen Zerstörung von Sybaris durch Kroton geht die Kulttätigkeit auf dem Timpone Motta zurück, die Nekropole wird aufgegeben und auch die Siedlung wird verlassen¹⁴²³. Erst in der zweiten Hälfte des 5. Jahrhunderts v. Chr. – wohl im Zusammenhang mit der Gründung von Thourioi 444/443 v. Chr. – ist eine Wiederaufnahme der Kulttätigkeit im Heiligtum auf dem Timpone Motta zu verzeichnen, die sich in Form der Verehrung von Pan und den Nymphen bis zum Ende des 4. Jahrhunderts v. Chr. fortsetzt¹⁴²⁴.

Camilla Colombi

5.5.3 Fazit

Betrachtet man die in den vorherigen Kapiteln skizzierte Entwicklung der Macchiabate-Nekropole im Kontext der Hinterlassenschaften in Francavilla Marittima, so kristallisieren sich verschiedene Eckpunkte heraus. Die zweite Phase der frühen Eisenzeit (IFe2 = 8. Jahrhundert v. Chr. nach der traditionellen Chronologie) darf als eine Periode der kulturellen Prosperität angesehen werden. Die sozialen Hierarchien, die insbesondere in der Nekropole fassbar sind, verdeutlichen die Genese einer Oberschicht, die sowohl die natürlichen Ressourcen als auch die Produktionsprozesse kontrollierte. Für Ersteres kann auf die Werkzeugbeigaben in den reichen Männergräbern hingewiesen werden, für Letzteres auf die symbolische Beigabe von Spinnwirteln und Webgewichten in den Frauengräbern. Auch die Kontrolle über das Territorium und die Verkehrswege so-

wie der Handel dürfte in der Hand der betreffenden Eliten gelegen haben. Die exponierte Lage der von Weitem sichtbaren Nekropole und die den Verstorbenen mitgegebenen Güter aus dem Umland und aus weiter entfernten Gebieten lassen sich in diesem Sinne verstehen. Und nicht zuletzt wird man davon ausgehen dürfen, dass auch der Kult massgeblich von den Angehörigen der Führungsschicht geprägt war. Die eisernen Äxte, die insbesondere aus reichen Männergräbern bekannt sind, könnten – neben anderen Funktionen – im Zusammenhang mit Opferhandlungen stehen. Die Formierung von ausgedehnten und zeitgleich belegten Gräbergruppen, bestehend aus Bestattungen, die in Alter, Geschlecht und Ausstattung z. T. erheblich voneinander differieren, kann mit den Anfängen einer in familiären Verbänden organisierten Gesellschaft in Zusammenhang gebracht werden. Man kann vermuten, dass diese Gemeinschaften an unterschiedlichen Stellen auf dem Timpone Motta siedelten. Die führenden Persönlichkeiten dieser Verbände treten bereits während des 8. Jahrhunderts v. Chr. vermehrt in Kontakt zu griechischen Akteuren, wie die Befunde und Funde aus dem Areal Rovitti, aber auch die Importkeramik aus der Siedlung und den Gräbern nahelegen. Die Ankunft von weiteren Gruppen von Griechen, die sich im letzten Viertel des 8. Jahrhunderts v. Chr. an der Küste niederlassen, scheint zunächst keine negativen Auswirkungen auf das Leben in Francavilla gehabt zu haben. Vielmehr zeugt die Erneuerung der Gebäude auf dem Timpone Motta von der Akkumulation von Reichtum und einem gesteigerten Repräsentationsbedürfnis, möglicherweise im Zusammenhang mit kultischer Tätigkeit. Denkbar ist, dass die neuen Gebäude, die im Grundriss griechischen Architekturvorbildern folgen, unter Mitarbeit von Griechen entstanden sind. Gleichwohl spricht das Fundspektrum weiterhin für eine starke einheimische Präsenz. Im Leben der lokalen Bevölkerung von Francavilla Marittima ist zunächst kein Bruch zu erkennen. Erst im frühen 7. Jahrhundert v. Chr. macht sich eine schleichende Krise bemerkbar. Die Zahl der Gräber nimmt deutlich ab, die Wohnhäuser werden aufgegeben und auch die Produktion der einheimischen *matt-painted* Keramik kommt zum Erliegen. Im Fundspektrum des Heiligtums auf dem Timpone Motta gewinnen griechische Formen die Oberhand. Die griechische Siedlung an der Küste scheint in dieser Periode zunehmend wichtiger geworden zu sein. Möglicherweise hat sie neben Griechen aus dem Mutterland auch einheimische Bevölkerungsgruppen absorbiert¹⁴²⁵. Als Folge dieser Vergrößerung scheint auch der territoriale Anspruch der Siedlungsgemeinschaft von Sybaris auf das Umland gewachsen zu sein¹⁴²⁶. Der Aus- und Umbau des Heiligtums auf dem Timpone Motta ab der Mitte des 7. Jahrhunderts v. Chr. könnte in diesem Zusammenhang zu sehen sein. Noch deutlicher wird die territoriale Expansion der Kolonie mit der Monumentalisierung des Heiligtums am Ende des 7. und in der ersten Hälfte des 6. Jahrhunderts v. Chr. Die Wiederaufnahme der Bestattungstätigkeit und der

1421 Uliveto: Grab Uliveto 14 aus der ersten Hälfte, Gräber Uliveto 4 und 8 aus der zweiten Hälfte des 6. Jhs. v. Chr. sowie Enchytrismos Uliveto 1bis; Temparella: 6 Bestattungen vom Ende des 7. Jhs. v. Chr., zwei zwischen dem Ende des 7. und der ersten Hälfte des 6. Jhs. v. Chr., 18 aus der ersten Hälfte und drei aus der Mitte bzw. zweiten Hälfte des 6. Jhs. v. Chr., drei allgemein aus dem 6. Jh. v. Chr.: Luppino u. a. 2012. Siehe auch Kapitel 5.4.3.

1422 Zur Kontinuität in der Funktion der Beigabensets als *ethnic markers* siehe Grove Saxkjær 2017, 22–24.

1423 Granese 2006, 418. 450 zum Rückgang der Kulttätigkeit auf dem Timpone Motta, die jedoch auch in der ersten Hälfte des 5. Jhs. v. Chr. weiter belegt ist.

1424 Granese 2006, 418.

1425 Vgl. Brocato 2014, 89–91; Grove Saxkjær – Jacobsen 2014, 271.

1426 Vgl. Yntema 2000, 34 f.

Bau neuer Wohnhäuser auf den Terrassen des Timpone Motta sind ein deutliches Indiz für das erneute Aufblühen des Ortes unter der Ägide von Sybaris im 6. Jahrhundert v. Chr. Obwohl das Heiligtum nun der griechischen Athena geweiht war, dürften weiterhin lokale Bevölkerungsgruppen – die Nachfahren der Oinotrier der Eisenzeit – zu seinen Besuchern gehört haben, darunter vermutlich auch jene Menschen, die in der benachbarten Nekropole auf der Macchiabate unmittelbar über und neben den Gräbern ihrer Ahnen bestattet wurden.

Camilla Colombi, Martin A. Guggisberg

5.6 Kulturaustausch und Perspektiven

Aufgrund ihres spezifischen Kontextes spielen die Gräber der Macchiabate-Nekropole in der Diskussion um kulturellen Austausch, Transformation und Identität im Rahmen der sog. grossen griechischen Kolonisation eine besondere Rolle. Dabei stand in der Forschung bis vor kurzem das Modell einer binären Begegnung zweier ethnisch und kulturell unterschiedlicher Entitäten im Vordergrund: der einheimisch italischen Bevölkerung und der griechischen Zuwanderer. Ob und, wenn ja, welche Rolle die 'Phönizier' als dritte kulturelle Kraft gespielt haben, wurde nur am Rande diskutiert¹⁴²⁷. Allerdings ist auch damit die Problematik der Kulturbegegnung im kolonialen und präkolonialen Raum des frühen 1. Jahrtausends v. Chr. nur ungenügend beschrieben. Immer deutlicher zeigt sich nämlich, dass das Konzept von geschlossenen kulturellen Entitäten an der historischen Realität vorbeizieht und dass vielmehr mit einer Vielzahl von kulturellen Akteuren unterschiedlicher Provenienz zu rechnen ist. So sind weder 'die Griechen' noch 'die Einheimischen' als homogene Blöcke zu verstehen, sondern setzen sich ihrerseits jeweils aus vielen verschiedenen Gruppen zusammen¹⁴²⁸. Dabei spielen neben den historisch überlieferten Gemeinschaften auch Migrantinnen und Migranten aus anderen Kulturräumen im Prozess der Begegnung eine entscheidende Rolle. Mittelitalische und etruskische Einflüsse, wie sie sich beispielsweise in der Lanze aus Grab Strada 5 widerspiegeln, zeugen von inneritalischer Mobilität¹⁴²⁹, Trachtbezüge in den balkanischen Raum von transadriatischen Kontakten¹⁴³⁰. Zu betonen ist in diesem Zusammenhang auch, dass nicht einmal für die Personen, die in der Macchiabate-Nekropole im 8. Jahrhundert v. Chr. bestattet wurden, von einer gesicherten oinotrisch-lokalen Identität ausgegangen werden kann, da die Trachtausstattung nicht zwingend Rückschlüsse

auf die ethnische Identität der Trägerinnen und Träger zulässt. Gleichwohl wird im vorliegenden Zusammenhang davon ausgegangen, dass zumindest die Mehrzahl der in der Macchiabate-Nekropole beigesetzten Menschen aus der näheren oder weiteren Umgebung von Francavilla Marittima stammt. Dafür spricht neben der Homogenität der Tracht- und Beigabenausstattung auch der übereinstimmende Grabritus mit der Beisetzung des Leichnams in Hockerposition, vorzugsweise auf der rechten Seite für die Männer und auf der linken für die Frauen.

Generell zeichnet sich das oinotrische Bestattungsbrauchstum des 8. Jahrhunderts v. Chr. in der Macchiabate-Nekropole durch eine bemerkenswerte innere Kohärenz aus. Grosser Wert wird bei den weiblichen Verstorbenen auf eine adäquate Trachtausstattung gelegt. Bei den Männern sind es vor allem Waffen und Werkzeuge, die für die Zugehörigkeit zur Gemeinschaft massgebend sind. Sowohl bei Frauen als auch bei Männern gehören Gefässbeigaben zum festen Bestandteil der Grabausstattung. Als 'Standard' gilt ein zumeist handgefertigtes Keramikset von grossem Vorratsbehälter und kleiner Tasse, die in der Regel im Innern des Vorratsgefässes deponiert wurde. Beim grossen Gefäss handelt es sich im Normalfall um eine Olla, aber auch eine Kanne kann an ihrer Stelle verwendet werden, ohne dass ein Unterschied erkennbar wäre. Die Kannen lassen vermuten, dass der Inhalt der grossen Gefässe eine Flüssigkeit war, worauf auch die Präsenz der Tasse verweist.

Unter den neu entdeckten Gräbern der Areale Strada und De Leo weichen zwei in bezeichnender Weise von dieser Standardausstattung ab, und zwar die Gräber Strada 2 und De Leo 1. In ersterem war anstelle der Olla bzw. der Kanne ein bauchiges Gefäss auf hohem, scheibengedrehtem Fuss beigegeben, das die Tradition der einheimischen Olla mit jener des griechischen Kraters verbindet (S2/1, Taf. 13). Die in seinem Innern gefundene Tasse unterstreicht die Einbettung des Gefässes in die einheimische Bestattungstradition. Umso mehr stellt sich die Frage nach dem kulturellen Kontext, in dem die Produktion des hybriden Gefässes und seine Verwendung in einem ansonsten traditionellen Grab zu situieren ist.

Sowohl das technische als auch das formale Erscheinungsbild zeugen davon, dass der Töpfer des Gefässes mit der griechischen Keramiktradition bestens vertraut war. Er dürfte, wie oben dargelegt, zum Kreis jener Spezialisten gehört haben, die in Francavilla Marittima die sog. oinotrisch-euböische Keramik anfertigten, eine Keramik, die mutmasslich von vor Ort ansässigen Griechen, sicher aber auch von den Angehörigen der einheimischen Oberschicht verwendet wurde und – so ist zu vermuten – mit Blick auf diese letztgenannte Kundschaft produziert wurde. Neben Gefässen einheimischer Tradition, wie der einhenkligen Schale (*scodella*) und der Olla, wurden bevorzugt griechische Gefässformen produziert, darunter zweihenklige Schalen und Kratere. Sie dürfen als Zeugnis dafür angesehen werden, dass mit der Produktion der Keramik eine Aneignung fremder kultureller Praktiken durch lokale Konsumenten einhergegangen ist. Konkret ist davon auszugehen, dass sich der Weinkonsum nach griechischer Art in

1427 Zusammenfassend zu den Gegebenheiten in der Sibaritide: Burgers 2004; Vanzetti 2009; Jacobsen – Handberg 2012; Jacobsen u. a. 2017. Mit den sog. *Orientalia* befasst sich eine Studie von R. Pace, ohne allerdings die Frage nach der physischen Präsenz von Orientalen auf dem Timpone Motta zu berühren: Pace 2008b. Zur Rolle der 'Phönizier' im Rahmen der mediterranen Westbewegung zuletzt: Sossau 2015.

1428 Vgl. dazu insbesondere die Beiträge in: Donnellan u. a. 2016a, Donnellan u. a. 2016b. Ferner Herring 2008; Donnellan 2016.

1429 Guggisberg u. a. 2018b.

1430 Iaia 2007.



Abb. 5.10 Gesamtaufnahme der Beigaben aus Grab De Leo 1.

der oinotrischen Oberschicht rasch verbreitet hat¹⁴³¹. Umso bemerkenswerter ist das Festhalten am traditionellen Trinkset bestehend aus einem einheimischen Vorratsgefäß und einer Tasse in den Gräbern; und zwar nicht nur in den bescheiden ausgestatteten, sondern auch in jenen mit reichem Beigabeninventar, wie beispielsweise Grab Strada 5. Diese Besonderheit spricht dafür, dass gerade im Grabbrauchtum die Pflege lokaler Tradition besonders wichtig war. Die Beigabe des kraterartigen Gefäßes S2/1 nimmt sich vor diesem Hintergrund zeichenhaft aus. Sollte damit die Einbindung der Verstorbenen in eine neue transkulturelle Wertegemeinschaft zum Ausdruck gebracht werden, bei gleichzeitigem Festhalten an der eigenen indigenen Identität?

Die Frage lässt sich für das Grab Strada 2 nicht mit Gewissheit beantworten. Umso bedeutsamer ist deshalb der Befund im Grab De Leo 1 (Abb. 5.10). Das dort gefundene Gefäßensemble besteht mit Ausnahme der kleinen Kanne DL1/2 ausschliesslich aus Fremdformen: einem Kessel und einer Omphalosschale aus Bronze (DL1/4 und 5) sowie einem Krater (DL1/1) und einer zweihenkligen Schale aus Ton (DL1/3). Die beiden letztgenannten Gefässe gehören der lokal gefertigten sog. oinotrisch-euböischen Keramik an. Das traditionelle indigene Vorratsgefäß, Olla oder Kanne, fehlt in diesem Fall.

1431 Jacobsen u. a. 2017, 172 f. verweisen darauf, dass die sog. oinotrisch-euböische Keramik im Siedlungskontext auf dem Timpone Motta in Francavilla Marittima sehr ungleich verteilt ist. Sie konzentriert sich vorab im Bereich des Areals Rovitti, wo mutmasslich griechische Töpfer ansässig waren, und im Bereich des Gebäudes Vb auf der Akropolis, das als Wohnsitz eines oinotrischen Machthabers oder als Versammlungshaus der lokalen Elite angesprochen wird. Das Verbreitungsbild in der Siedlung zeigt, dass die 'fremde' Keramik nur einem kleinen Kreis von örtlichen Machthabern zugänglich war, die sich dadurch und durch die mit der Keramik mutmasslich verbundene Aneignung fremder Trinksitten von ihren Stammesgenossen gesellschaftlich zu distanzieren versuchten.

Es liegt nahe anzunehmen, dass an seiner Stelle der Krater beigegeben wurde¹⁴³². In der Kombination von Krater und Trinkschale mit einem der Fleischzubereitung dienenden Bronzekessel offenbart sich in Grab De Leo 1 ein bislang einzigartiges Beispiel kultureller Verflechtung. Das einheimische Trinkset ist durch ein fremdes Geschirrservice ersetzt, das von der Übernahme spezifischer griechischer Trink- und Speisepraktiken zeugt. Allerdings wäre es zu einfach, das 'griechische' Geschirrensemble als Beleg einer umfassenden Appropriation fremder kultureller Praktiken durch die einheimische Elite zu betrachten. Sowohl die tönernerne Tasse DL1/2 als auch die bronzene Omphalosschale DL1/5 zeigen nämlich, dass die Gegebenheiten komplexer sind, als es auf den ersten Blick den Anschein macht. Mit ihrem Omphalos ist die Bronzeschale als Trinkgefäß eher unpraktisch zu handhaben. Ihre ursprüngliche Zweckbestimmung scheint viel eher im rituellen Kontext zu liegen, wo sie zum Ausgiessen und Spenden von Flüssigkeiten verwendet wurde. Durch das Fehlen von Henkeln unterliegt sie zudem einer spezifischen Form der Handhabung, die im Vorderen Orient verwurzelt ist und der griechischen Welt zunächst ebenso fremd gewesen sein dürfte wie der oinotrischen. Die Schale fügt sich vor diesem Hintergrund also nicht zwingend und einseitig der 'griechischen' Trinkkultur ein. Ebenso komplex ist der Verwendungskontext der einheimischen Tasse DL1/2. Ihre Beigabe könnte zunächst darauf hinweisen, dass der Wein wahlweise mit der griechischen Trinkschale (DL1/3) oder der einheimischen Tasse konsumiert wurde. Umso überraschender der Umstand, dass in der Tasse der Knochen eines kleinen Säugetieres zu Tage trat (vgl. Abb. 3.76).

Die Geschirrensembles in den Gräbern Strada 2 und De Leo 1 zeugen exemplarisch von der Komplexität des oinotri-

1432 Die im Bronzekessel zutage getretenen Knochen weisen darauf hin, dass das Gefäß zur Zubereitung von Fleisch diente.

schen Grabbrauchtums im Spannungsfeld der kulturellen Begegnung von einheimischen und fremden Bevölkerungsgruppen. Fremde Objekte und die mit ihnen assoziierten Praktiken werden ins einheimische Brauchtum integriert, jedoch an die eigenen Bedürfnisse angepasst und adaptiert. Das Ergebnis ist ein Drittes, das sich weder aus der einheimischen noch aus der fremden Perspektive einseitig verstehen lässt¹⁴³³. In unterschiedlicher Ausprägung zeugen die Grabinventare vom Prozess der Begegnung und Annäherung zwischen den Kulturen. Neben Fällen wie dem Grab De Leo 1, dessen Ausstattung von einer bemerkenswerten Offenheit gegenüber Fremdem spricht, und Grab Strada 2, dessen Gefäßbeigaben Altes und Neues pragmatisch kombinieren, gibt es eine Vielzahl von Gräbern, in denen sich das Fremde eher zurückhaltend und indirekt äussert, sei es durch den Einbezug von fremden Materialien (Glas, Bernstein) oder durch die Beigabe von – zumeist einzelnen – exotischen Objekten (Skarabäen). Bemerkenswert ist aber auch die vergleichsweise grosse Zahl von Gräbern, die keine oder nur minimalste Hinweise auf Kontakte mit der Aussenwelt enthalten. Darunter befinden sich keineswegs nur die am einfachsten ausgestatteten Gräber, sondern durchaus auch solche, die man der Oberschicht zurechnen muss. Exemplarisch sei an dieser Stelle auf das Grab Strada 14 hingewiesen, in dem eine ältere Frau beigesetzt war (Taf. 56–59). Drei kleine Schichtaugenperlen aus blauem Glas (S14/18–20) zeugen davon, dass sie durchaus zur Gruppe jener Personen gehörte, die mit der Aussenwelt in Kontakt standen. Umso auffälliger ist das betonte Festhalten an der lokalen Grabkultur, sowohl was den bronzenen Trachtschmuck als auch die keramischen Gefäßbeigaben angeht. Es ist kaum möglich zu begründen, warum im Einzelfall ein Grabinventar so und nicht anders aussieht. Auf's Ganze gesehen erhärtet sich in der Betonung des lokalen Trachtbrauchtums bei den Frauen und der Waffen und Werkzeuge bei den Männern sowie der für beide Geschlechter kongruenten Geschirrausstattung der Eindruck eines ganz bewussten Festhaltens an den einheimischen Traditionen; dies in einer Zeit, in der mit der temporären, wenn nicht dauerhaften Präsenz von griechischen Händlern und Handwerkern in der Siedlung auf dem Timpone Motta zu rechnen ist und sich die oinotrische Gesellschaft insgesamt in zunehmendem Masse mit Fremdem konfrontiert sah, mit Menschen, Ideen und Gütern aller Art. Von einer bewussten Resistenz zu sprechen, mag übertrieben sein. Gleichwohl scheint es kein Zufall zu sein, dass gerade die Bestattungssitten besonders traditionsbehaftet sind, offenbart sich doch die besondere Bedeutung der Ahnen für das kulturelle Selbstverständnis der Oinotrier gerade in den Gräbern mit besonderer Deutlichkeit. Man denke etwa an die Monumentalität der Anlagen, ihre Gruppierung nach mutmasslichen Familienverbänden und nicht zuletzt an den

Rückbezug der archaischen Bestattungen auf ihre eisenzeitlichen Vorläufer.

Als Fazit kann festgehalten werden, dass die eisenzeitlichen Gräber der Macchiabate-Nekropole in ihrer unterschiedlichen Ausstattung mit Fremdgütern und Reflexen von solchen von einer Vielfalt möglicher Optionen der Reaktion auf den Kontakt mit der Aussenwelt zeugen. Neben Personen, die mit dem betonten Rückgriff auf die Traditionen reagierten, gab es solche, die das Neue mit dem Alten verbanden und innovativ in ihre eigene Kultur integrierten. Eine kleine Gruppe von Persönlichkeiten scheint hingegen dem Neuen besonders aufgeschlossen gegenübergestanden zu haben. Ihr gehörte u. a. der im Grab De Leo 1 bestattete Mann an, der mit seinem Geschirrsatz als Teilhaber einer neuen transmediterranen Machteleite ausgewiesen ist.

Martin A. Guggisberg

1433 Aus der umfangreichen Debatte zur postkolonialen Bewertung der Interaktionsprozesse im Mittelmeerraum des frühen 1. Jahrtausends v. Chr. in Auswahl: Antonaccio 2003; Antonaccio 2013; Malkin 1998; Malkin 2002; Stockhammer 2012; Van Dommelen 2014.

6 Die anthropologischen Untersuchungen

6.1 Einleitung

In den Grabungskampagnen 2009–2016 konnten im Areal Strada insgesamt 18 Bestattungen geborgen werden. Es handelt sich um die Gräber Strada 2 bis Strada 19, wobei jedoch in Strada 18 nur wenige unbestimmbare Knochenfragmente und in Strada 10 (Enchytrismos) keine Knochen gefunden worden sind. Zusätzlich kamen während der Kampagne 2014 zwei Bestattungen im Areal De Leo zum Vorschein (Gräber De Leo 1 und 2). Die *in situ*-Befundung der Gräber wurde von Cornelia Alder¹⁴³⁴ (Strada 2–6, 11, 12, 17 und 19), Negahnaz Moghaddam¹⁴³⁵ (Strada 7–9) und Amélie Alterauge¹⁴³⁶ (Strada 13–16 und De Leo 1–2) vorgenommen. Für den Bericht wurden die Daten von A. Alterauge und N. Moghaddam übernommen¹⁴³⁷.

6.2 Methoden

Während der Ausgrabung wurde die Freilegung und Bergung der Skelette anthropologisch betreut. Alle Knochen- und Zahnfragmente wurden bereits während des Abbaus dreidimensional verortet, fotografiert, anatomischen Regionen zugeordnet sowie *in situ* vermessen und befundet (Masse, Sterbealter, Geschlechtsbestimmung, Pathologika). Insbesondere die Bestimmung der Skelettlage war bei den sehr schlechten Erhaltungsbedingungen oftmals nur anhand von Knochenresten und der rekonstruierten Körperhöhe möglich. Teilweise wurden fragmentarische Knochen *in situ* mit Paraloid gefestigt. Das Festigungsmittel wurde dabei direkt auf die Knochenoberfläche aufgetragen. Zur Stabilisierung wurde eine Stoffgaze darübergelegt. Eine Beprobung der Knochen und Zähne (aDNA, Histologie, TCA, Isotopie) erfolgte, wo möglich, während der Ausgrabung. Nach der Bergung wurden die Knochen gegebenenfalls ein weiteres Mal begutachtet.

Eine Nachbefundung der Knochen wurde im *Museo Nazionale Archeologico della Sibaritide* vorgenommen. Dabei wurden unter anderem die im Block geborgenen Knochenteile im Labor freigelegt. Eine Beurteilung der Knochenoberfläche war bei den mit Gaze stabilisierten Knochen nicht direkt möglich, da Teile der Gaze fest mit dem Knochen verklebt waren. Zur Lösung der gefestigten Knochenteile wurde mit Ethylacetat, Ethanol und Aceton das Paraloid entfernt. Um die Knochen

nicht zu gefährden, wurden diese vor der Lösung des Paraloids auf der Knochenunterseite mit Cyclododecan¹⁴³⁸ gefestigt. Anschliessend wurden sie gewendet. Unter dem Laborabzug wurde das Paraloid mit Aceton gelöst. Die Gaze, welche auf der Knochenoberseite lag, konnte entfernt werden. Nach der Beurteilung wurden einzelne Fragmente erneut auf der Knochenoberfläche mit Paraloid behandelt (ca. 3 Anstriche ohne Gaze). Anschliessend wurden sie in einem 'Bett' mit Alufolie stabilisiert und verpackt.

Die Zähne und ausgewählte Zahnfragmente wurden im Wasserbecken mit der Zahnbürste gewaschen. Die Eichung der Zahnabration erfolgte mit den histologischen Resultaten (Knochen- und Zahnhistologie). Die Dekompositionerscheinungen der gefundenen Zähne und Zahnwurzeln haben zwar die Altersdiagnose mittels der TCA-Analyse (*tooth-cement-analysis*)¹⁴³⁹ erschwert, da jedoch die Informationen zum Skelettmaterial allgemein spärlich waren, wurde versucht, das Sterbealter mit Hilfe der Untersuchung des Zahnzementes einzugrenzen. Vier Zahnwurzeln wurden eingebettet und gesägt. Anschliessend wurden die Areale im Zahnzement, bzw. innerhalb der Zahnwurzel überprüft und wo möglich ausgezählt. Obwohl der äussere Aspekt jeweils einen eher schlechten Erhalt des Zementbereiches vermuten liess, konnten die Zuwachsringe ausgezählt werden. Für die Berechnung des Sterbealters wurde jeweils das durchschnittliche Zahndurchbruchsalter addiert¹⁴⁴⁰.

Die anthropologische Bestimmung erfolgte nach den üblichen in der Literatur beschriebenen Kriterien¹⁴⁴¹. Der Zahnstatus und der Abnutzungsgrad der Zähne wurden mit Miles (1963) verglichen. Die Masse der Langknochen zur Körperhöschätzung wurden nach Martin (1914) genommen, die Berechnung der Körperhöhe erfolgte nach Bach (1965) und Breitinger (1938). Erhoben wurden Daten zu Sterbealter und Geschlecht, Körperhöhe, Zahnstatus und in einigen Fällen Pathologien.

1434 Integrative Prähistorische und Naturwissenschaftliche Archäologie (IPNA) der Universität Basel.

1435 Institut für Rechtsmedizin (IRM) der Universität Bern, heute: Centre universitaire romand de médecine légale, Lausanne – Genève (CURML).

1436 Institut für Rechtsmedizin (IRM) der Universität Bern.

1437 Den Kolleginnen Amélie Alterauge und Negahnaz Moghaddam sei für die Bereitstellung der Daten herzlich gedankt.

1438 Ein flüchtiges Bindemittel, das im Zusammenhang mit der Bergung, Restaurierung und Konservierung archäologischer Funde verwendet wird und dazu dient, diese über einen beschränkten Zeitraum zu festigen; siehe z. B. Bruhin 2009, 124.

1439 Grosskopf 1990.

1440 Adler 1967.

1441 Vgl. Ferembach u. a. 1979; Herrmann u. a. 1990; Rösing u. a. 2007; Sjøvold 1988; Szilvássy 1988; Scheuer – Black 2000; Ubelaker 1989; Vallois 1937.

6.3 Kurzbestimmungen der Gräber Strada 2 bis Strada 19 sowie De Leo 1 und 2

6.3.1 Grab Strada 2

Alter¹⁴⁴²: juvenil bis erwachsen (Tendenz adult). **Kriterien:** Schädelnahtobliteration (ein Merkmal).

Geschlecht: unbestimmt, Tendenz weiblich. **Kriterien:** *Os frontale* (Stirnbein) oder *Os parietale* (Scheitelbein) mit einem Merkmal.

Orientierung/Lage: keine anthropologischen Angaben, Kopf im Nordwesten, nach Lage des Trachtschmucks und des verfügbaren Platzes im Grab vermutlich Hockerlage auf der Nordwest-Südost-Achse.

Körperhöhe: unbestimmt.

Besonderheiten: keine Zähne vorhanden.

Bearbeiterin: C. Alder.

Die grössten erhaltenen Knochenfragmente aus Grab Strada 2 messen nur knapp 3 cm. In vielen Bereichen liessen sich die Knochenreste nur noch als weisse, pulvrige Verfärbungen erkennen und lassen daher nur sehr wenige und eingeschränkte Aussagen zum Skelett zu. Bemerkenswert ist, dass keine Zähne gefunden wurden, denn diese gehören in den übrigen Gräbern des Areals Strada zu den am besten erhaltenen Skelettteilen. Gefunden wurden hingegen mehrere Schädelfragmente¹⁴⁴³, wobei eine grosse Streuung im nordwestlichen Bereich der Grabgrube während der Grabung aufgefallen ist. Insbesondere die *Lamina interna* (Schädelinnenseite) war oftmals bereits wegerodiert oder sehr unvollständig und brüchig erhalten. Die *Lamina externa* (Schädelaussenseite) ist tendenziell besser erhalten. Oftmals liegt Wurzelfrass vor. Viele Schädelteile weisen eine leicht rötliche Verfärbung auf. Einige sind rostrot verfärbt und weisen ebensolche Auflagerungen auf. Auch treten schwärzliche Verfärbungen bei einigen Knocheiten auf. Feine weissliche Verfärbungen konnten ebenfalls beobachtet werden, diese sind aber nicht flächig, sondern liegen eher 'pulverartig' auf der Knochenoberfläche. Unter dem Binokular wird deutlich, dass es sich bei den rötlichen Auflagerungen um Sedimentreste handelt. Die weisslichen und schwärzlichen Auflagerungen scheinen von der Verwurzelung zu kommen.

Des Weiteren wurden kleinste, nicht genau bestimmbare Fragmente von Arm- und Unterschenkelknochen sowie ein stark fragmentiertes Rippenfragment und vermutlich Reste eines Wirbels gefunden. Bei vier Fragmenten könnten Biss- oder Nagespuren vorliegen.

Die Skelettlage konnte nur über die Streuung der Knochenfragmente und der Beigaben eruiert werden. Die Schädelteile waren sehr weit nach Süden verstreut, was zur Annahme führte, dass sie postmortal verlagert worden waren. Möglicher-

weise wurde der Schädel durch die herabfallenden Steine der Verfüllung zerschlagen oder er ist im Laufe des Verwesungsprozesses zersprungen, so dass einzelne Fragmente in grösserer Distanz vom Schädel zu liegen kamen. Die Streuung der übrigen Skelettreste spricht für eine Bestattung in Hocker- bzw. Beinhockerlage. Das Alter wurde aufgrund der Schädelnähte¹⁴⁴⁴, des linken *Condylus occipitalis*¹⁴⁴⁵ (Gelenkfläche zwischen Schädelbasis und erstem Halswirbel) sowie der Knochenmasse (Schädel; Langknochenfragmente¹⁴⁴⁶) auf 14–40 Jahre bzw. die Altersklassen Juvenil–Adult geschätzt. Das Geschlecht konnte nur an einem einzelnen Merkmal untersucht werden. Das Fragment zeigt einen 'Höcker' – einen Stirn- oder Scheitelhöcker (*Tubera frontalia* oder *parietalia*). Dieses Merkmal deutet auf ein weibliches Individuum hin, muss aber als unsicheres Bestimmungskriterium gelten¹⁴⁴⁷.

6.3.2 Grab Strada 3

Alter¹⁴⁴⁸: infans I (jünger als 6 Jahre). **Kriterien:** Zahnentwicklung.

Geschlecht: unbestimmt.

Orientierung/Lage: keine anthropologischen Angaben.

Körperhöhe: unbestimmt.

Bearbeiterin: C. Alder.

Im Grab Strada 3 wurde die Zahnkrone eines Milchmolaren gefunden. Der Kern des Zahnes¹⁴⁴⁹ ist erodiert, erhalten ist nur noch der Zahnschmelz. Vermutlich handelt es sich um einen M2 der *Mandibula* (Unterkiefer). Der Zahn stammt von einem Individuum, das bei seinem Tod jünger als 6 Jahre gewesen sein muss¹⁴⁵⁰. Keine weiteren Skelettreste wurden in diesem Grab gefunden.

1444 Die beobachteten Nahtabschnitte sind sowohl ekto- (schädelaussenseitig) als auch endokraniel (schädelinnenseitig) offen. Dies deutet auf ein Sterbealter in der adulten Altersklasse (20–40 Jahre) hin. Da jedoch nur sehr wenige, nicht lokalisierbare Nahtabschnitte vorhanden sind, kann keine Altersbestimmung auf Basis des Obliterationsgrads (Verwachsungsgrad) der Schädelnähte vorgenommen werden.

1445 Einziges erhaltenes Gelenk. Es weist keine Abnutzungserscheinungen auf, kann aber als isoliertes Stück nicht als gewichtendes Merkmal für die Altersbestimmung gezählt werden.

1446 *In situ*-Mass eines als proximaler Humerusschaft (Oberarmschaft) oder *Radius/Ulna/Clavicula* (Elle/Speiche/Schlüsselbein) mit einem Dm von 1.7 cm bestimmten Fragments.

1447 Es ist nur eines von ca. 30 Merkmalen, welche für eine sichere anthropologische Geschlechtsbestimmung beigezogen werden, wobei die Merkmale des Beckens aussagekräftiger wären.

1448 Dieses Grab wurde ohne anthropologische Betreuung vor Ort ausgegraben.

1449 Der Zahn hat eine rechteckige Form, fünf Zahnhöcker und ist innen hohl bzw. erodiert.

1450 Der Durchbruch des zweiten Milchmolaren bei einem Kind erfolgt etwa im Alter von 2 Jahren ± 8 Monaten. Der Wechsel zum Dauergebiss bzw. Ausfall des zweiten Milchmolaren erfolgt im Alter von 10 Jahren ± 30 Monaten. Der Zahn aus Strada 3 wurde in Guggisberg u. a. 2010, 111 noch einem erwachsenen Individuum zugeschrieben, erst die Nachbefundung hat zu einer Präzisierung der Zuschreibung geführt.

1442 Dieses Grab wurde ohne anthropologische Betreuung vor Ort ausgegraben.

1443 Die Schädelfragmente liegen in der Grösse von wenigen Millimetern bis ca. maximal 2–3 cm² vor.

6.3.3 Grab Strada 4

Alter: infans II/juvenil, 12 Jahre ± 30 Monate. **Kriterien:** Zahnentwicklungs- und Zahndurchbruchsalter.

Geschlecht: unbestimmt.

Orientierung/Lage: keine anthropologischen Angaben. Die Verteilung der Knochenreste und der Beigaben lässt eine Nordwest-Südost- bzw. nahezu West-Ost-Orientierung vermuten.

Körperhöhe: unbestimmt.

Besonderheiten: relativ gute Zahnerhaltung. Karies an 3 Molaren.

Bearbeiterin: C. Alder.

Die Knochen sind im Allgemeinen sehr schlecht und kleinformatig erhalten. Die Knochen- und Zahnfragmente konzentrierten sich in der Grabgrube auf einen Bereich von ca. 1.24 x 1 m.

Lediglich ein Schädelknochen konnte, wenn auch unsicher, identifiziert werden: Es handelt sich vermutlich um das *Os temporale* (Schläfenbein) und ist durch den offenen Nahtabschnitt gekennzeichnet. Dessen dicke Kompakta (äußere Schädelplatte) und die dichte Diploë (Schädelknocheninnenschicht) sprechen für ein junges Sterbealter. Mehrere Zähne und Zahnfragmente, z. T. mit Krone und grösseren Wurzelfragmenten, konnten geborgen werden. Allerdings lagen die Fragmente aller Wahrscheinlichkeit nach nicht mehr *in situ*. Es konnten 13 Zähne mit grosser Sicherheit bestimmt und Fragmente von mindestens drei weiteren plausibel zugeordnet werden. Diese stützen das Bild eines jungen Individuums und erlauben eine Bestimmung auf 12 Jahre ± 30 Monate¹⁴⁵¹, da die Wurzelspitze des rechten oberen *Dens caninus* (Eckzahn, C OK rechts) noch unverschlossen ist. Zudem sind die ersten und zweiten Molaren (Backenzähne, M1 und M2) vorhanden, obwohl sich bei M2 der Durchbruchstand nicht genau beurteilen lässt. Vom Weisheitszahn, dem M3, scheinen lediglich Zahnanlagen vorhanden zu sein. Einige Zähne weisen Karies auf¹⁴⁵². Die Schneidezähne, Eckzähne und Prämolaren (Vorbackenzähne) weisen jeweils mindestens eine starke Rillung auf, wobei es sich um eine Schmelzhypoplasie handelt¹⁴⁵³. Der Gesundheitszustand der vorhandenen Zähne gilt dennoch als sehr gut. Zahnabrasion¹⁴⁵⁴ ist keine vorhanden.

1451 Schema der Zahnentwicklung nach Ubelaker 1978.

1452 Bei zwei Molaren (Backenzähne) konnte eine leichte Kontaktpunktkaries und bei einem eine leichte Kauflächenkaries festgestellt werden. Bei zwei Prämolaren ist eine leichte Fissuralkaries bzw. eine leichte Kontaktpunktkaries zu erkennen.

1453 Transversale Schmelzhypoplasien sind ein Hinweis auf eine Stresssituation während der Genese der Zähne. Vgl. Grupe u. a. 2005, 102.

1454 Zahnabrasion oder Zahnabrieb entsteht u. a. beim Verzehr von harter Nahrung und manifestiert sich in der Regel mit zunehmendem Lebensalter immer deutlicher. z. B. beim Mahlen von Getreide wurden Steine als Rückstände der Steinmühlen mit dem entstandenen Mehl vermischt.

An zwei Zähnen aus Grab Strada 4 wurden Isotopenanalysen durchgeführt¹⁴⁵⁵. Eine Geschlechtsbestimmung sowie eine Aussage zur Lage des Individuums ist anhand des gefundenen Skelettmaterials nicht möglich. Aus archäologischer Sicht könnte die Streuung der Knochenreste über einen Bereich von ca. 1.1 m auf 0.8 m ein Hinweis auf eine Hockerbestattung im mittleren Bereich der Südwestseite sein.

6.3.4 Grab Strada 5

Alter: spätadult, über 30 Jahre. **Kriterien:** knochenhistologisches Alter ab spätadult; Zahnabrationssalter und Schädelnahtobliteration weisen auf 25–35 Jahre.

Geschlecht: unbestimmt. Tendenz männlich.

Orientierung/Lage: Nordwest-Südost, Kopf im Nordwesten, Blick nach Westen oder Süden. Hockerlage auf der rechten Seite.

Körperhöhe: 173–183 cm.

Bearbeiterin: C. Alder.

Im nördlichen Bereich der Grabgrube lagen einige Knochen *in situ* unmittelbar auf dem Plattenboden, darunter der Schädel mit Teilen des Kiefers und mehreren Zähnen¹⁴⁵⁶, der rechte *Humerus* (Oberarm) und Rippenfragmente. Im südlichen Bereich konnten Fragmente der linken *Tibia* (Schienbein) und der beiden *Fibulae* (Wadenbeine) geborgen werden. Der Körper lag entlang der Nordwest-Südost-Achse mit dem Kopf im nordwestlichen Teil des Grabes und Blick nach Westen. Aufgrund der Verteilung der Knochenfragmente ist anzunehmen, dass der Körper in Hockerlage bestattet wurde – wohl auf der rechten Seite, wie die Lage des Schädels vermuten lässt. Die Beinknochen scheinen dagegen teilweise verlagert.

Zur Ermittlung des Sterbealters konnten verschiedene Merkmale beobachtet werden. Der vorhandene Nahtabschnitt L2 zeigt eine Verwachsung aussen, ist aber noch sichtbar (Stufe II–III nach Vallois)¹⁴⁵⁷. Eine weitere Nahtstelle ist ektokraniel (schädelaussenseitig) teilweise verwachsen und endokraniel (schädellinnenseitig) offen. Dies belegt ein Sterbealter des Individuums zwischen 30 und 70 Jahren. Die Zahnabrasion weist den Verstorbenen in eine mittlere Altersklasse (Stufe 4–5 nach Miles¹⁴⁵⁸) bzw. 25–35 Jahre. Die intakte und nicht abgekaute Kronenoberfläche eines Eckzahns weist auf ein eher jüngeres Sterbealter von unter 30 Jahren hin. Aufgrund der schlechten Erhaltung konnte Karies nicht beurteilt werden, an einem Schneidezahn konnte jedoch Zahnsteinbefall erkannt werden.

Das Fehlen von klaren Merkmalen zur Geschlechtsdiagnose ermöglicht keine eindeutige Geschlechtszuweisung. Der Winkel des *Meatus acusticus internus* (innerer Gehörgang) der

1455 Vgl. Kapitel 7.3.

1456 Kein Zahn wurde intakt gefunden; meist sind entweder Wurzel- oder Kronenfragmente vorhanden, die defekt oder stark erodiert sind.

1457 Vallois in Ferembach u. a. 1979.

1458 Miles 1963 in Knussmann 1988, 423.

Pars petrosa (Felsenbein) ergibt ein Mass von knapp unter 45° nach der Methode von Graw und Wahl¹⁴⁵⁹, was in der Tendenz einem männlichen Wert entspricht. Als alleiniges Merkmal kann der Wert zur Geschlechtsdiagnose jedoch nicht verwendet werden. Die Knochenwandstärke scheint im mittleren Bereich zu liegen, allerdings sind die Ausmasse der Oberflächen-erosion ungewiss. Anhand der messbaren Länge des Oberarmknochens (23.8 cm ohne Gelenkenden, Rekonstruktion auf 35 cm) kann nach Breiting¹⁴⁶⁰ eine Körperhöhe von 173–183 cm für ein männliches Individuum geschätzt werden.

6.3.5 Grab Strada 6

Alter: adult, eher spätadult, 31 ± 3,6 Jahre. **Kriterien:** TCA: 31 ± 3,6 Jahre. Zahnabrasionsalter: 35 bis 45 Jahre¹⁴⁶¹.

Geschlecht: unbestimmt. Tendenz weiblich.

Orientierung/Lage: Nordwest-Südost, Kopf im Nordwesten. Oberkörper in Rückenlage, offene Hockerlage?

Körperhöhe: 150 bis maximal 160 cm.

Bearbeiterin: C. Alder.

Die Erhaltung der Knochen im Grab Strada 6 war schlecht, jedoch war der Verlauf der Knochen an den Spuren im Sediment noch zu erkennen. Leider war durch die Erosion des südöstlichen Teils der Grabstruktur der gesamte Bereich der unteren Körperhälfte nicht mehr nachweisbar. Vom Oberkörper haben sich der Schädel mit Unterkiefer und mehreren Zähnen, Teile des linken Armes (*Clavicula*, *Humerus*, *Radius* und *Ulna*), Fragmente des rechten Schultergürtels sowie vermutlich einige Spuren von den Handknochen erhalten. Aus deren Lage lässt sich folgern, dass das Individuum in nordwest-südöstlicher Richtung ausgerichtet war, auf dem Rücken lag und die Hände auf dem Bauch oder dem Becken gefaltet hatte. Da der Unterkörper fehlt, lässt sich über die Lage der Beine nichts sagen.

Die Abrasion der Schneidezähne des Oberkiefers geht bis auf die Wurzelspitze, bei den restlichen Prämolaren und Schneidezähnen bis auf einen Drittel der Krone. Die Molaren sind nach dem Schema von Miles 1963 auf Stufe 5–6 einzuordnen¹⁴⁶². Da auch die vorhandenen unteren Schneidezahnreste sehr starke Zahnabration aufweisen, wurde das Individuum vor der histologischen Überprüfung – im Vergleich zu Strada 4 und Strada 5 – auf ein eher matures bis seniles Alter geschätzt. Anhand von zwei Zahnwurzeln von Schneidezähnen des Oberkiefers, die eine leichte, vermutlich durch Kupfer verursachte grüne Verfärbung aufwiesen, konnten TCA-Ana-

lysen durchgeführt werden¹⁴⁶³. Die durchschnittliche Ringzahl lag bei 24 ± 3,6: durch Addition des Durchbruchalters des ersten Oberkiefer-*Incisivus* (Schneidezahn; 7,3 Jahre) konnte somit ein Sterbealter von 31 ± 3,6 Jahren festgelegt werden. Da die Zahnabration von vielen äusseren Faktoren abhängt, wurde bei der Sterbealtersbestimmung dem TCA-Ergebnis mehr Gewicht gegeben und das Individuum in die spätadulte Altersklasse eingeteilt.

Anhand der anthropologischen Daten ist keine Geschlechtsbestimmung möglich. Der grazile Skelettbau und die Knochenwandstärke deuten eher auf ein weibliches Individuum hin. Da die Maximallänge des linken *Radius* auf 23 cm rekonstruiert werden konnte, liess sich eine Körperhöhe von 156 bis maximal 166 cm bei einem weiblichen Individuum nach Bach¹⁴⁶⁴ schätzen.

6.3.6 Grab Strada 7

Alter: spätadult-matur, über 30 Jahre. **Kriterien:** TCA: mindestens 30 Jahre. Zahnabrasionsalter: 35–45 Jahre.

Geschlecht: unbestimmt. Tendenz männlich. **Kriterien:** Becken, Kiefer, Robustizität und Grösse (2 Merkmale).

Orientierung/Lage: Nord-Süd, Kopf im Norden auf der rechten Seite, Blick nach Westen. Vermutlich extreme rechte Hockerbestattung¹⁴⁶⁵.

Körperhöhe: 170–176 cm.

Besonderheiten: Skelett nicht im Verbund.

Bearbeiterinnen: N. Moghaddam, C. Alder.

Das vergleichsweise gut erhaltene Skelett von Grab Strada 7 lag entlang der Nord-Süd-Achse in der Mitte der Grabgrube. Der Leichnam war in sehr enger Hockerstellung auf der rechten Körperseite beigesetzt und nahm eine Fläche von knapp 70 x 45 cm ein. Der stark fragmentierte Schädel mit Ober- und Unterkiefer in anatomischer Lage lag im Norden der Bestattung mit Blick nach Westen, wohl in originaler Lage. Gut erhalten waren insbesondere die eher robusten Langknochen (*Femora*, *Tibiae*, *Fibulae*, ein *Radius* und eine *Ulna*), geborgen wurden ausserdem Fragmente des Beckens. Aufgrund der ungewohnt engen Hockerstellung¹⁴⁶⁶ ist es nicht möglich zu be-

1459 Graw – Wahl 2001. Die Methode wird allerdings nach neueren Untersuchungen in Frage gestellt: Masotti u. a. 2013.

1460 Breiting 1938 in Herrmann u. a. 1990, 92.

1461 Die Zahnabration ist bei diesem Individuum deutlich stärker als bei den anderen Individuen. Die starke Zahnabration könnte jedoch auch individuelle Gründe haben, z.B. Fehlbiss, Bruxismus, ein anlagebedingtes geringes Dickenwachstum des Zahnschmelzes oder aber eine mechanische Nutzung der Zähne für eine bestimmte handwerkliche Tätigkeit oder Ähnliches. Deshalb wurde bei der Sterbealtersbestimmung dem Ergebnis der TCA-Analyse mehr Gewicht gegeben.

1462 Miles 1963 in Knussmann 1988, 423.

1463 Die Probe FMM2011/P57 wurde von B. Grosskopf (Abteilung Soziobiologie/Anthropologie, Johann-Friedrich-Blumenbach-Institut für Zoologie und Anthropologie, Universität Göttingen) analysiert.

1464 Bach 1965 in Herrmann u. a. 1990, 93.

1465 Die Knochen des postkranialen Skeletts lagen bei der Bergung nicht in nachvollziehbarer anatomisch korrekter Lage. Ob nun eine gestörte Lage vorliegt oder das Skelett vielleicht schon leicht verwest – beispielsweise in einem Sack – in die Grube gebracht wurde, muss offenbleiben.

1466 Insbesondere die beiden als *Femora* (Oberschenkelknochen) bestimmten Knochen können bei einer Bestattung im Sehnenverband nicht liegen, wie sie vorgefunden wurden. Auch ein Beckenfragment befand sich zu nahe am Schädel. Zusätzlich lag ein Fragment einer *Clavicula* auf einem Beckenfragment. Ebenso spricht die Lage vom rechten *Humerus* zum Fragment der *Ulna* nicht für eine reguläre Lage.

urteilen, ob sich der postkraniale Körper *in situ* befand oder ob das Skelett nachträglich bewegt bzw. bereits in einem leichten Verwesungszustand im Grab deponiert wurde.

Der Kopf wurde auf der Grabung im Block geborgen und im *Museo Nazionale Archeologico della Sibaritide* freigelegt. Es haben sich vorwiegend Zahnfragmente und einige Fragmente des *Os occipitale* (Hinterhauptsbeins) und *Os parietale* (Scheitelbein) erhalten, welche die Schädeldachlinie abzeichnen. Bis auf den ersten Schneidezahn des linken Unterkiefers und den zweiten Molaren (Backenzahn) des linken Unterkiefers (M2 UK links) ist das Gebiss vollständig vorhanden. Sowohl die Knochenoberfläche als auch die Zahn- und Wurzeloberflächen waren sehr schlecht erhalten.

Das Sterbealter konnte aufgrund der Zahnabration nach Miles auf über 35 bis 45 Jahre geschätzt werden. Bei zwei Prämolaren der *Maxilla* (Oberkiefervorbackenzähne) mit stark erodierter Zahnzementschicht wurden histologische Schnitte angefertigt¹⁴⁶⁷. Keiner der Schnitte lieferte jedoch eine geeignete Stelle für die Auszählung der Zuwachsringe. Da aber an einer Stelle noch Strukturen erkennbar waren, die mindestens 20 Ringe aufweisen, kann in Kombination mit der fortgeschrittenen Zahnabration ein Mindestalter von 30 Jahren für das Individuum angenommen werden.

Die Schneide- und Eckzähne zeigen eine starke Abrasion, z. T. fehlt die Hälfte bis zu einem Drittel der Wurzel. Etwas geringer ist die Abrasion bei den Prämolaren, vom ersten bis zum dritten Molar (Backenzahn: M1 bis M3) nimmt der Abrasionsgrad weiter ab. Insbesondere die ersten Molaren sind sehr stark abradert, die Abrasion zeigt kein asymmetrisches Muster. Der obere rechte Prämolare weist eine Schmelzhypoplasie im unteren Zahndrittel auf. Dies deutet auf eine Stresssituation im Alter von 5–6 Jahren hin. Die weiteren Prämolaren weisen ebenfalls Spuren einer Schmelzhypoplasie auf, sie sind aber wegen der sehr stark abraderten Zahn- und Wurzeloberflächen schlecht beurteilbar.

Die Lamina des *Craniums* (Schädel) ist eher dünn, jedoch mit stark erodierter Oberfläche, und die Diploë wirkt eher dicht und rund, was die Sterbealtersbestimmung der Zähne in ein adult-frühmatures Alter bestätigen würde.

Das Becken war für eine eindeutige Geschlechtszuweisung zu stark fragmentiert¹⁴⁶⁸, doch ergaben seine Merkmale sowie die Grösse und Robustizität der Langknochen (Oberschenkelknochen und Oberarmknochen) und des Kiefers eine Zuweisung zu einem tendenziell männlichen Individuum. Anhand

der rekonstruierten Masse der Oberarm- und Oberschenkelknochen¹⁴⁶⁹ wird eine Körperhöhe von mindestens 169 bis höchstens 176 cm angenommen¹⁴⁷⁰.

6.3.7 Grab Strada 8

Alter: infans I, 2–3 Jahre ± 18 Monate. **Kriterien:** Masse der *Clavicula*; Zahnentwicklung.

Geschlecht: unbestimmt.

Orientierung/Lage: Nordwest-Südost, Kopf im Nordwesten. Linker Hocker.

Körperhöhe: unbestimmt¹⁴⁷¹.

Bearbeiterinnen: N. Moghaddam, C. Alder.

Im Grab Strada 8 wurden mehrere Zahnkronen, darunter nicht vollständig gebildete Zahnkronen von Dauerzähnen, und einige Knochenfragmente geborgen, darunter fünf Rippenfragmente und eine *Clavicula*¹⁴⁷². Zudem liegen einige Spongiosafragmente¹⁴⁷³ (innere Knochensubstanz) vor.

Die Bestimmung des Sterbealters von 2–3 Jahren erfolgte anhand der Zahnentwicklung und der Länge der linken *Clavicula*. 16 Zähne konnten zur Altersbestimmung hinzugezogen werden, 9 davon lassen eine Sterbealtersbestimmung von 2–3 Jahren zu¹⁴⁷⁴. Das geschätzte Minimalmass der *Clavicula* beträgt 6.3 cm, kann aber eher mit 6.4–6.6 cm notiert werden. Dies wiederum entspricht nach Scheuer und Black¹⁴⁷⁵ einem Alter von 2–3 Jahren.

An zwei Zähnen konnten Schmelzhypoplasien nachgewiesen werden. Diese sind als Stresssituationen in der frühen Kindheit während der Zahngenesse zu deuten¹⁴⁷⁶. An einem Zahn konnten sogar zwei Schmelzhypoplasien erkannt werden: Die erste Schmelzhypoplasie weist auf eine Stresssituation im Alter von 9 ± 3 Monaten hin, die zweite auf eine Stresssituation im Alter um 18 Monate.

1467 Die Probe FMM2012/P109 wurde von B. Grosskopf (Abteilung Soziobiologie/Anthropologie, Johann-Friedrich-Blumenbach-Institut für Zoologie und Anthropologie, Universität Göttingen) analysiert.

1468 Ein erhaltenes Fragment weist eine fragmentierte *Incisura ischiadica maior* (grosser Sitzbeinausschnitt) auf, der Winkel ist nur im Ansatz erhalten. In der Rekonstruktion wirkt der Winkel aber eher enger, was tendenziell für ein männliches Merkmal sprechen würde. Die Geschlechtsdiagnose anhand eines einzigen, nicht gesicherten Merkmals muss daher offenbleiben. Die fragmentierte Gelenkpfanne am Becken weist einen Durchmesser von ± 45 mm auf, was nach Hermann u. a. 1990 eher auf ein männliches Geschlecht deutet.

1469 Rekonstruiertes Humerusmass: 33–34 cm, nach Breitinger 1938 ergäbe dies für einen Mann eine Höhe von 171–172 cm und nach Bach 1965 für eine Frau 169–171 cm. Das rekonstruierte Femurmass beträgt 48–49 cm, was für einen Mann 173–176 und für eine Frau 170–172 cm ergeben würde.

1470 Für eine Frau 169–172 cm; für einen Mann 170–176 cm.

1471 Die Körperhöhe würde bei einem Kind im Alter von zwei Jahren auf Grundlage des *Femurs* auf 75 bis 85 cm geschätzt. Die Berechnung ist mit einer grossen Unsicherheit behaftet, da keine Langknochen vorhanden sind und diese Schätzung nach dem Sterbealter kalkuliert ist.

1472 Zur Orientierung des Schlüsselbeins: Die *Extremitas sternalis* (zum Brustbein hinzeigendes Ende des Schlüsselbeins) lag im Süden, die *Extremitas acromialis* (zur Schulterhöhe hinzeigendes Ende des Schlüsselbeins) im Norden.

1473 Vermutlich handelt es sich hierbei um Fragmente von Wirbelknochen.

1474 Nach Schour – Massler 1944.

1475 Scheuer – Black 2000.

1476 Grupe u. a. 2005, 102.

6.3.8 Grab Strada 9

Alter: infans II, 8–9 Jahre ± 24 Monate. **Kriterien:** Zahnentwicklung.

Geschlecht: unbestimmt.

Orientierung/Lage: Nord-Süd, Kopf im Norden. Vermutlich Hockerbestattung.

Körperhöhe: unbestimmt.

Besonderheiten: Karies an einem Zahn.

Bearbeiterinnen: N. Moghaddam, C. Alder.

Wenige Knochen- und mehrere Zahnfragmente¹⁴⁷⁷ konnten im Grab Strada 9 geborgen werden. Ein Schädelfragment (Jochbogen) sowie mehrere grössere Langknochenfragmente vom postkranialen Skelett und zahlreiche sehr kleine, unbestimmbare Fragmente sind erhalten.

Das Alter konnte bei der Nachbefundung der Zähne anhand weniger Zahnmerkmale¹⁴⁷⁸ auf 8–9 Jahre ± 24 Monate geschätzt werden. Drei mutmassliche Kronen von Prämolaren (Vorbackenzähne) des Dauergebisses sind mit Wurzelansatz vorhanden, bei deren Kanten nicht beurteilbar ist, ob sie erodiert oder nicht ausgebildet sind. Der vermutete Milchmolar zeigt eine starke, der Dauermolar eine leichte und die Kronen der Prämolaren keine Abnutzungsspuren. Zum Sterbealter passen auch die eher grazilen, mit wenigen Muskelmarken versehenen Knochen von *Femur* und *Tibia*.

6.3.9 Grab Strada 10

Die Enchytrismos-Bestattung Strada 10 enthielt keine anthropologischen Reste. Knochen- oder Zahnreste wurden weder während der Freilegung des Grabes noch beim Schlämmen des gesamten Sediments aus dem Pithos S10/1 festgestellt.

6.3.10 Grab Strada 11

Alter: ab spätadult (bis ab matur), über 30 Jahre. **Kriterien:** Zahnabrasionsalter und -entwicklung.

Geschlecht: unbestimmt.

Orientierung/Lage: Nordwest-Südost, Kopf im Nordwesten. Vermutlich linke Hockerlage.

Körperhöhe: unbestimmt.

Bearbeiterin: C. Alder.

Das postkraniale Skelett im Grab Strada 11 war nur noch als Knochenstaub fassbar. Vom Schädel blieben lediglich ein grösseres Fragment und mehrere Zähne erhalten. Nur von zwei Zähnen konnte die Zahnoberfläche beurteilt werden, wobei die Zähne und deren Wurzeloberfläche sehr stark erodiert waren und einer der Zähne fragmentiert war. Das grössere Schä-

delfragment wurde zusammen mit den zahlreichen bronzenen Schmuckelementen (Zierknöpfe und Bronzescheiben) im Block geborgen und nicht weiter freigelegt.

Da die Zähne des Unterkiefers noch im anatomischen Verband gefunden wurden, konnte die Schädelachse rekonstruiert werden, welche wiederum darauf hindeutet, dass der Schädel auf der linken Seite lag. Der Befund legt nahe, dass das Individuum als linker Hocker bestattet war, auch wenn eine Rückenlage mit Blick nach oben denkbar ist. Das Sterbealter wurde anhand der sehr starken Zahnabration (die Krone ist bis zur Hälfte abradert) und dem abgeschlossenen Wurzelwachstum auf die Altersklassen ab Adult II oder Matur geschätzt, d. h. über 30 und eventuell über 40 Jahren. Die Beurteilung der Zähne zur Sterbealtersbestimmung ist aufgrund der starken Oberflächenerosion und der meist fragmentierten Erhaltung sehr schwierig und mit Unsicherheit behaftet. Die schlechte Erhaltung der Zahnwurzeln liess keine TCA-Analyse zu.

6.3.11 Grab Strada 12

Alter: infans I, 4–6 Jahre ± 12 Monate. **Kriterien:** Zahndurchbruch und -entwicklung, Gelenkverschluss Wirbelbogen, Knochenmass.

Geschlecht: unbestimmt.

Orientierung/Lage: Nordwest-Südost, Kopf im Nordwesten. Oberkörper in Rückenlage, vermutlich offene Hockerlage (Beinhocker?).

Körperhöhe: unbestimmt.

Besonderheiten: Am M1 des OK ist buccal (backenseitig) ein Lochdefekt sichtbar, vermutlich handelt es sich aber (noch) um keine Karies.

Bearbeiterin: C. Alder.

Im Grab Strada 12 haben sich nur wenige Knochenfragmente des Schädels und des Kiefers, einige Zähne und Zahnfragmente sowie wenige Fragmente des postkranialen Skeletts erhalten. Sie befanden sich auf engem Raum im nördlichen Bereich der Grabgrube. Ein Oberkieferfragment befand sich im Verband, bzw. lagen die Zähne (ein Eckzahn, der erste und zweite Milchmolar und eine Zahnanlage des ersten Dauermolaren) in anatomisch korrekter Lage nebeneinander und zeigten nach oben. Der Schädel könnte demnach mit Blick nach oben gelegen haben, sofern das Fragment im Verband nicht verlagert wurde.

Es ist zu vermuten, dass der Oberkörper eher offen auf dem Rücken und mit Blick nach oben, mit geradem Oberarm und leicht angewinkeltem Unterarm gelegen hat. Eine seitliche Lage des Oberkörpers kann jedoch nicht ausgeschlossen werden, dies auch wegen der Lage eines vorhandenen Wirbelfragmentes und eines *Humerus*-Fragmentes.

Die gut erhaltenen Zähne (auch ein oberer Milchmolar) zeigen keine Abrasionsspuren. Anhand der vorhandenen Zähne kann das Alter auf 4–6 Jahre ± 12 Monate geschätzt werden. Die morphologische Zahnentwicklung deutet auf 5 Jahre

1477 Vom Gebiss sind einige Zahnkronen mit Wurzelansatzstellen (1. Milchbackenzahn des Unterkiefers (M1 UK), M (Backenzahn), vermutlich Zahnanlagen von P (Vorbackenzähne) und weitere nicht näher bestimmbare Fragmente erhalten.

1478 Es handelt sich um Zahnfragmente, deren Oberfläche zudem stark erodiert ist. Daher handelt es sich um eine vorsichtige Einschätzung.

± 18 Monate bis 6 Jahre ± 24 Monate¹⁴⁷⁹. Ein vorhandenes Atlasfragment (erster Halswirbel) weist ebenfalls auf ein Alter von 5–6 Lebensjahren hin¹⁴⁸⁰. Schliesslich entspricht der Durchmesser des *Humerus* einem 5-jährigen Kind¹⁴⁸¹.

6.3.12 Grab Strada 13

Alter: adult, 25–35 Jahre. **Kriterien:** Zahnabrasionsalter, Schädelnahtobliteration (1 Merkmal).

Geschlecht: Tendenz weiblich. **Kriterien:** 2 Schädelmerkmale.

Orientierung/Lage: Südwest-Nordost-Ausrichtung, Kopf im Südwesten, Blick nach Nordwesten. Linkshocker.

Körperhöhe: unbestimmt.

Besonderheiten: sehr kurze Wurzeln der Zähne der linken *Maxilla* (Oberkiefer), insbesondere der Prämolaren und Molaren (Vorbacken- und Backenzähne).

Bearbeiterin: A. Alterauge, C. Alder.

Die Knochen des Individuums im Grab Strada 13 waren eher schlecht erhalten. Es konnten jedoch auf einer Länge von knapp 1.2 m Teile des *Craniums* mit *Mandibula*, Teile von Langknochen (einer davon ist vermutlich die *Tibia*) sowie 22 Zähne geborgen werden. Die Bestattung war in südwest-nordöstlicher Richtung angelegt, vermutlich handelte es sich um eine linke Hockerbestattung. Darauf deuten die Lage des Schädels auf der linken Seite und die gefundenen Langknochenfragmente hin. Ein Beinhocker kann jedoch nicht komplett ausgeschlossen werden. Unklar bleibt, ob der Oberkörper in Rücken- oder Seitenlage lag. Der Mund war geschlossen, *Maxilla* und *Mandibula* befanden sich in Okklusion.

Aufgrund der schlechten Erhaltung des postkranialen Skeletts musste sich die Alters- und Geschlechtsbestimmung am *Cranium* orientieren. Bei den 22 gefundenen Zähnen – die oberen Schneide- und Eckzähne fehlen – handelt es sich ausschliesslich um Dauerzähne. Aufgrund ihres Abrasionsgrades wurde das Individuum auf 25 bis 35 Jahre geschätzt, was der Altersklasse Adult entspricht. Gestützt wird diese Schätzung durch ein Fragment des *Os occipitale*, dessen Nahtzacken noch gut ausgeprägt sind.

Für die Geschlechtsbestimmung wurden der rechte *Processus mastoideus* (Warzenfortsatz; eher lang-schmal als breit) und der rechte Ast der *Mandibula* (erschien eher grazil) verwendet. Beide Merkmale deuten auf ein tendenziell weibliches Individuum hin. An den begutachteten Knochen konnten keine pathologischen Veränderungen festgestellt werden.

6.3.13 Grab Strada 14

Alter: matur, 40–60 Jahre. **Kriterien:** Zahnabrasionsalter, *Facies auricularis* (Gelenkfläche am Darmbein).

Geschlecht: Eher weiblich. **Kriterien:** Schädel- und Beckenmerkmale (5 bzw. 4 Merkmale).

Orientierung/Lage: Nordwest-Südost-Ausrichtung, Kopf im Nordwesten. Rechter Beinhocker.

Körperhöhe: 156–162 cm.

Besonderheiten: Intravitale Zahnverlust, Hüftarthrose/De-generation.

Bearbeiterin: A. Alterauge, C. Alder.

Die Erhaltung der Knochen im Grab Strada 14 war für das Areal Strada aussergewöhnlich gut, das Skelett befand sich noch im anatomischen Verband. Es handelte sich um einen rechten Beinhocker, der in nordwest-südöstlicher Richtung orientiert war, mit dem Kopf im Nordwesten und dem Oberkörper in Rückenlage. Die *Mandibula* lag frontal. Der Schädel war nach links gekippt, was auf einen Hohlraum während der Verwesungsprozesse hinweist. Der rechte Arm war so angewinkelt, dass die Hand im Bereich des Bauches lag, während der linke Arm gestreckt war und die linke Hand folglich leicht unterhalb der rechten im Beckenbereich zu liegen kam. Die linke Seite des Oberkörpers wurde im Vergleich zur rechten Seite leicht erhöht vorgefunden. Der linke Arm lag auf einem höheren Niveau als der rechte. Der Abstand zwischen den proximalen Enden des *Humerus* betrug 25 cm.

Die Altersschätzung erfolgte anhand des intravitale Zahnverlustes sowie der Beurteilung zweier Gelenkflächen am Becken. Das Individuum hatte die Prämolaren und Molaren des Unterkiefers bereits zu Lebzeiten verloren und das Zahnbein hatte sich bereits wieder geschlossen. In der *Mandibula* befanden sich auf der rechten Seite nur noch die Frontzähne 41–44, auf der linken Seite die Frontzähne 31–33. Zudem wiesen die noch erhaltenen Zähne z. T. eine sehr starke Abrasion bis auf das Dentin auf. Die *Maxilla* konnte nicht im Ganzen geborgen werden, vereinzelt Zähne¹⁴⁸² zeigten eine ähnlich grosse Abkautung wie die Zähne der *Mandibula*. Die Gelenkfläche innerhalb der einzelnen Beckenknochen zeigte keine Rippenstruktur mehr, sondern war glatt und verfestigt. Die rechte Hüftpfanne wies eine scharfkantige Randbildung auf. Anhand der aufgezählten Kriterien konnte das Individuum in die Altersklasse Matur (40–60 Jahre) eingeordnet werden.

Die gute Erhaltung ermöglichte es, eine Geschlechtsbestimmung anhand mehrerer Merkmale durchzuführen. Das *Cranium* wurde aufgrund des kleinen *Processus mastoideus* (Warzenfortsatz), der geringen Reliefierung einer Partie am Hinterhauptsbein, der flachen Gonionregion (Kinnregion) und der schmalen *Mandibula* mit rundem Kinn als tendenziell weiblich bestimmt. Die Merkmale am Becken bestätigten die Bestimmung als weibliches Individuum.

Ausser einer eventuellen Hüftarthrose¹⁴⁸³ wurden keine pathologischen Veränderungen festgestellt. Die Schätzung der

1479 Entwicklung der Zahnanlagen von P, M1, M2 nach Ubelaker 1989.

1480 Nach Baker u. a. 2005, 75–77.

1481 Nach Baker u. a. 2005, 105.

1482 Inv. 2014/1534. 1573. 1575. 1577.

1483 Die scharfe Abgrenzung des *Acetabulum*s (Hüftgelenkpfanne) gegenüber dem *Ischium* (Sitzbein) könnte mit altersbedingtem

Körperhöhe¹⁴⁸⁴ ergab eine Grösse von zwischen 156 und 162 cm.

6.3.14 Grab Strada 15

Alter: spätmatur, $54 \pm 3,7$ Jahre. **Kriterien:** TCA: $54 \pm 3,7$ Jahre. Zahnabrasionsalter: 30–50 Jahre.

Geschlecht: Tendenz männlich. **Kriterien:** Schädel- und Beckenmerkmale (je 2 Merkmale).

Orientierung/Lage: Nordwest-Südost-Ausrichtung, Kopf im Nordwesten. Rechte Seitenlage des Schädels, gestreckte Rückenlage des Oberkörpers.

Körperhöhe: mindestens 155 cm.

Besonderheiten: Karies an zwei Zähnen (der obere rechte zweite Prämolare und der erste Molar).

Bearbeiterin: A. Alterauge, C. Alder.

Die Bestattung Strada 15 lag auf dem Boden der Grabgrube. Vom Skelett konnten über eine Länge von ca. 160 cm das *Cranium* mit Teilen des Unterkiefers, die linke Beckenseite und mehrere Langknochenfragmente geborgen werden (linker Unterarm, Knochen beider Ober- und Unterschenkel). Anders als in den übrigen Gräbern des Areals Strada lag das Skelett im Grab Strada 15 in gestreckter Rückenlage entlang der Nordwest-Südost-Achse. Der Schädel zeichnete sich auf einem höheren Dokumentationsniveau als die übrigen Knochen ab und ist durch einen Stein, der insbesondere den Gesichtsschädel zerdrückt hatte, vollständig fragmentiert. Aufgrund der Lage der *Protuberantia occipitalis externa* (Hinterhauptsbein), die das Hinterhaupt markiert, des linken *Os zygomaticum* (Jochbeins) und einer Zahnreihe der rechten Oberkieferhälfte lässt sich eine rechte Seitenlage des Schädels belegen. Der Schädel ist jedoch so geneigt, dass der Blick gegen Süden geht. Während sich ein Teil des Oberkiefers noch *in situ* südlich der Unterkieferzahnreihe befand, lagen die übrigen Zähne 15–20 cm entfernt verstreut im Oberkörperbereich. Bis auf einige unbestimmte Zahnfragmente handelt es sich ausschliesslich um Zähne des Oberkiefers.

Der Oberkörper des Individuums lag in gestreckter Rückenlage. Die Armhaltung kann nur für die linke Körperseite mit Sicherheit rekonstruiert werden. Während sich der linke Unterarm noch *in situ* befand und leicht abgewinkelt im Schoss zum Liegen kam, war der linke *Humerus* verlagert. Die Verteilung mehrerer unbestimmter Knochenfragmente auf der rechten Oberkörperseite deutet eine symmetrische Armhaltung an.

Die bessere Erhaltung der Unterkörperknochen ist vielleicht in Zusammenhang mit der Präsenz einer Pflasterung im südöstlichen Teil des Bodens zu bringen. Dennoch ist von Verlagerungen im südlichen Bereich auszugehen. Der Oberkörper – bis auf den Schädel – lag anscheinend unmittelbar

auf der Erde der Grube und befand sich in einem schlechteren Erhaltungszustand.

Aufgrund der schlechten Erhaltung spongöser Skeletteile und von Gelenkflächen musste sich die Alters- und Geschlechtsbestimmung am *Cranium* orientieren. Anhand des fortgeschrittenen Abrasionsgrades der 21 vorhandenen Zähne wurde das Sterbealter auf 30 bis 50 Jahre geschätzt¹⁴⁸⁵. Von einer Zahnwurzel-Probe konnten zahlreiche Schnitte für eine TCA-Analyse angefertigt werden¹⁴⁸⁶. Durchschnittlich wurden $43,54 \pm 3,7$ Ringe ermittelt. Durch Addition des durchschnittlichen Durchbruchalters der oberen zweiten Prämolaren (11 Jahre) ergibt sich ein Sterbealter von $54 \pm 3,7$ Jahren.

Als Merkmale zur Geschlechtsbestimmung am Schädel lagen ein Merkmal am Hinterhauptsbein (*Protuberantia occipitalis externa*) sowie das linke Jochbein vor. Erstere setzte sich vom Hinterhaupt ab. Das Jochbein war eher hoch und kräftig ausgeprägt. Obwohl das Becken nicht vollständig erhalten war, lag der Teil des *Iliums* (Darmbein) mit der Aussparung der *Incisura ischiadica maior* (grosser Sitzbeinausschnitt) vor, die unter Berücksichtigung des Erhaltungszustandes eher schmal und damit eher männlich wirkte. Die Merkmale sprechen insgesamt für ein eher männliches Individuum.

Anhand der Mindestlänge des linken *Femurs* (mindestens 34 cm) konnte die Mindestkörperhöhe auf 155 cm geschätzt werden.

6.3.15 Grab Strada 16

Alter: frühadult, 20–30 Jahre. **Kriterien:** Zahnabrasionsalter, Schädelnahtobliteration.

Geschlecht: unbestimmt.

Orientierung/Lage: Nordwest-Südost-Ausrichtung, Kopf im Nordwesten. Linke Seitenlage des Schädels.

Körperhöhe: unbestimmt.

Bearbeiterin: A. Alterauge, C. Alder.

Das Skelett von Grab Strada 16 befand sich in einem sehr schlechten Erhaltungszustand mit stark erodierter Oberfläche. Die Bestattung war in nordwest-südöstlicher Richtung orientiert, der Schädel befand sich im nordwestlichen Teil des Grabes und lag – gemäss der Lage einer Zahnreihe der linken *Maxilla* – auf der linken Seite. Wenige Fragmente der Langknochen von Armen und Beinen konnten mit diversen verlagerten Zähnen in einem Areal von ca. 1.4 x 0.7 m geborgen werden: rechter und linker *Humerus*, Teile einer *Tibia* und eventuell Teile eines Schulterblatts. Eine Rekonstruktion der Lage des Skelettes war dadurch nicht möglich.

Das Sterbealter des Individuums konnte anhand der geringen Abnutzungsspuren der 15 vorhandenen Zähne auf 20 bis 30 Jahre geschätzt werden. Es handelt sich ausschliesslich um

Verschleiss oder arthrosebedingter Veränderung in Verbindung gebracht werden.

1484 Da die Epiphysen (Gelenkenden) der Langknochen nicht erhalten waren, konnte die Körperhöhe nur geschätzt werden.

1485 Nach Miles 1963.

1486 Die Probe FMM2014/P48 wurde von B. Grosskopf (Abteilung Soziobiologie/Anthropologie, Johann-Friedrich-Blumenbach-Institut für Zoologie und Anthropologie, Universität Göttingen) analysiert.

Dauerzähne mit abgeschlossenem Wurzelwachstum, darunter auch Weisheitszähne. Molaren und Prämolaren waren zahlenmässig überwiegend vertreten. Zwei Schädelnahtfragmente, deren Abschnitt nicht näher eingrenzbar war, zeigten noch gut ausgeprägte Nahtzacken, so dass von adultem Alter ausgegangen werden kann.

Die Geschlechtszuweisung war dagegen aufgrund des schlechten Erhaltungszustandes nicht möglich, ebenso wenig eine Rekonstruktion der Körperhöhe.

6.3.16 Grab Strada 17

Alter: (spät)matur–senil, $59 \pm 5,1$ Jahre. **Kriterien:** TCA: $59 \pm 5,1$ Jahre. Knochenhistologisches Alter: matur–senil. Zahnabrasionsalter: frühadult, 20–25 Jahre.

Geschlecht: unbestimmt.

Orientierung/Lage: Südwest-Nordost, Kopf im Südwesten. Rechter Beinhocker oder rechter Hocker; Schädel rechte Seitenlage des Schädels.

Körperhöhe: unbestimmt, eher gross.

Besonderheiten: Verletzung am *Os parietale*.

Bearbeiterin: C. Alder.

Das Skelett des Individuums aus Grab Strada 17 lag unmittelbar auf dem Plattenboden im Zentrum der Grabstruktur. Die Erhaltung der Knochen war vergleichsweise gut, obwohl die Knochenoberfläche stark erodiert war. Sicher ansprechbar sind der Bereich des Gesichtsschädels, Teile des *Os occipitale* und der Ober- und Unterkiefer. Vom postkranialen Skelett sind der Schaft einer *Clavicula* sowie mögliche Unterarm- oder Handknochen erhalten. Vom Unterkörper konnten beide Oberschenkelknochen, die rechten und linken Schien- und Wadenbeine und Fussknochen geborgen werden.

Das Skelett wurde in Hockerstellung auf der rechten Seite entlang der Mittelachse (Südwest-Nordost) des Grabes vorgefunden. Der Schädel lag im Südwesten auf der rechten Seite mit Blick nach Osten und wurde stark fragmentiert aufgefunden. Vom Oberkörper sind wenige Fragmente erhalten, darunter eine *Clavicula* und Unterarm- oder Handknochen, demnach lag die verstorbene Person entweder in Rückenlage oder auf der rechten Seite¹⁴⁸⁷. Gut erhalten sind die Knochen der stark angewinkelten (Winkel von etwa 30°) Beine und der Füsse.

¹⁴⁸⁷ Über dem Bronzering S17/9 lag ein Fragment der Kante vom *Foramen magnum* (Hinterhauptsloch), was auf eine aufrechte Lage des Schädels bei der Grablegung und somit auf eine Rückenlage des Oberkörpers hindeuten könnte. Der Schädel wäre im Laufe des Verwesungsprozesses auf die rechte Seite verlagert worden. Allerdings lag auch ein Schlüsselbeinschaft über dem Bronzering S17/9: Geht man von einer *in situ*-Lage des Schlüsselbeinfragmentes aus, würde dies für eine rechte Seitenlage des Oberkörpers sprechen. Verschiedene Röhrenknochenfragmente befanden sich ausserdem im Bereich des Bronzeringes/Schädels: wenn auch nicht eindeutig als Unterarm oder Handknochen identifiziert, würden sie für eine angewinkelte Lage der Arme oder eines Arms sprechen.

Es besteht eine grosse Diskrepanz zwischen den histologischen Altersbestimmungen und dem Zahnabrasionsalter. Eine erste Betrachtung des Zahnabrasionsalters hatte nämlich zu einer Bestimmung des Sterbealters auf 20 bis 25 Jahre geführt. Die späteren Analysen haben jedoch ein anderes Bild ergeben. Insbesondere die Auszählung der Zuwachsringe eines Prämolars (TCA-Analyse) ergab einen Mittelwert von $48,7 \pm 5,1$. Ausgehend von einer durchschnittlichen Durchbruchzeit aller Prämolaren von 10,8 Jahren kann ein Sterbealter von $59,5 \pm 5,1$ Jahren berechnet werden¹⁴⁸⁸. Da sich die zahn- und die knochenhistologische Sterbealtersbestimmung decken, wird hier ein *doubling* eher ausgeschlossen¹⁴⁸⁹. Gründe für die sehr geringe Zahnabration bei einem eher hohen Sterbealter können individuell sein, beispielsweise könnte ein früher Verlust der Gegenzähne zu einer geringen, nicht altersgerechten Zahnabration geführt haben. In diesem Fall kann diese Möglichkeit nicht geprüft werden, da der Kieferknochen nicht erhalten ist. Da Knochen- und Zahnhistologie zu ähnlichen Resultaten geführt haben, wird die Bestimmung als matur–senil für plausibler gehalten.

Angaben für eine anthropologische Geschlechtszuweisung fehlen. Die Körperhöhe konnte nicht bestimmt werden. Nach dem Abstand von Schädel zu Oberschenkeln und Rekonstruktionsversuchen mit einem Vergleichsskelett zu urteilen, handelt es sich um ein eher grosses Individuum.

Eine auffällige rundliche Öffnung wurde im linken Scheitelbein beobachtet. Sie entstand wahrscheinlich durch eine Verletzung¹⁴⁹⁰.

6.3.17 Grab Strada 18

Alter: unbestimmt.

Geschlecht: unbestimmt.

Orientierung/Lage: keine anthropologischen Angaben.

Körperhöhe: unbestimmt.

Bearbeiterin: C. Alder.

Im Grab Strada 18 konnten lediglich sehr wenige unbestimmbare Knochenfragmente geborgen werden.

6.3.18 Grab Strada 19

Alter: infans I, 2–3 Jahre \pm 8 Monate. **Kriterien:** Zahnentwicklung.

Geschlecht: unbestimmt.

Orientierung/Lage: Nord-Süd, vermutlich linke Hockerlage. Kopf im Norden.

Körperhöhe: unbestimmt.

Bearbeiterin: C. Alder.

¹⁴⁸⁸ Die Probe FMM2015/P104 wurde von B. Grosskopf (Abteilung Soziobiologie/Anthropologie, Johann-Friedrich-Blumenbach-Institut für Zoologie und Anthropologie, Universität Göttingen) analysiert.

¹⁴⁸⁹ Bei einem *doubling* bilden sich statt einem jeweils zwei jährliche Zuwachsringe im Zement des Zahnes.

¹⁴⁹⁰ Siehe dazu Kapitel 6.4.6 zu den Verletzungen.

Im Grab Strada 19 konnten Zahnfragmente und Zahnanlagefragmente, Fragmente der rechten und linken *Pars petrosa* und wenige unbestimmte Knochenfragmente geborgen werden. Die Zahnerhaltung ist schlecht und die Knochenhaltung sehr schlecht.

Das verstorbene Kind wurde in nord-südlicher Richtung, orientiert mit dem Kopf im Norden, in das Grab gelegt. Die Lage der Zähne und der wenigen Knochenreste spricht dafür, dass der Leichnam in Hockerposition auf der linken Seite abgelegt worden war und der Schädel seitlich, mit Blick nach Südosten, abgekippt war.

Anhand der Zahnentwicklung kann das Grab einem Individuum der Altersstufe Infans I zugeschrieben werden, gestorben im Alter von 2–3 Jahren \pm 8 Monaten. Angaben zur Geschlechtsbestimmung und zur Körperhöhe waren nicht möglich.

6.3.19 Grab De Leo 1

Alter: spätmatur–senil; $57 \pm 5,5$ Jahre. **Kriterien:** TCA: $57 \pm 5,5$ Jahre. Knochenhistologisches Alter: eher matur; Zahnabrasion: 25–35 Jahre.

Geschlecht: Tendenz männlich. **Kriterien:** *Planum nuchale* (Hinterhauptsregion) und prominentes *Mentum* (Kinn) (Schädelmerkmale).

Orientierung/Lage: Nordwest-Südost-Ausrichtung. Rechter Beinhocker. Kopf im Nordwesten.

Körperhöhe: mindestens 159 cm.

Bearbeiterinnen: A. Alterauge, C. Alder.

Die Knochen im Grab De Leo 1 waren gut konserviert bis teilweise zersetzt und zum Teil durch aufliegende Steine zerdrückt und fragmentiert. Sie befanden sich im anatomischen Verband.

Der Leichnam lag auf der Nordwest-Südost-Achse mit dem Oberkörper in Rückenlage und den stark angewinkelten Beinen in rechter Seitenlage. Das *Cranium* befand sich im Nordwesten und wurde nach rechts liegend mit Blick nach Westen aufgefunden. Der Mund war geschlossen. Der rechte Arm war angewinkelt, so dass der Unterarm quer über der Brust lag. Der linke Arm war ebenso orientiert. Die linke Hand ruhte auf der rechten Beckenschaufel und lag mit der Innenfläche zur Grabsohle. Der rechte Unterarm hingegen lag mit der Innenseite nach oben.

Das Dauergebiss mit mindestens 23 Zähnen inklusive durchgebrochenen dritten Molaren mit apikal verschlossenen Wurzeln deutet auf ein erwachsenes Individuum hin (> 20 Jahre). Zudem war die distale Epiphyse des rechten Radius verschlossen (> 20 Jahre). Die moderate Zahnabrasion der als Probe entnommenen Zähne 14 und 18 weist auf ein Alter bis zwischen 25 und 35 Jahren hin. Eine vergleichsweise besser erhaltene Zahnwurzel wurde eingebettet und gesägt. Bei der Untersuchung der Dünnschnitte zeigte sich, dass die Zementschicht in den meisten Arealen nicht mehr erhalten war. Da aber andernorts die Zuwachsringe gezählt werden konnten,

wurde eine durchschnittliche Anzahl von $46,4 \pm 5,5$ Ringen ermittelt¹⁴⁹¹. Da der Prämolare nicht sicher zugeordnet war, wurde eine durchschnittliche Durchbruchzeit aller Prämolaren von 10,8 Jahren für die Berechnung des Sterbealters genutzt. Daraus ergibt sich ein Sterbealter von $57 \pm 5,5$ Jahren. Auch in diesem Fall besteht eine grosse Diskrepanz zwischen dem Zahnabrasionsalter und den histologischen Bestimmungen. Auch hier wird ein doubling eher ausgeschlossen, weil sich die zahnhistologische und die knochenhistologische Sterbealtersbestimmung decken. Eine Bestimmung als matur–senil erscheint hier plausibler.

Anhand des abgesetzten *Planum nuchale* (Hinterhauptsregion) und des prominenten *Mentums* (Kinn) konnte das Geschlecht des Individuums als eher männlich bestimmt werden. Am Becken waren keine Geschlechtsmerkmale erhalten. Da sich die Epiphysen (Gelenkenden) der langen Röhrenknochen bis auf den fragmentierten *Radius* nicht erhalten haben, konnte nur eine Mindestkörperhöhe berechnet werden. Ausgehend von der minimalen Länge der linken *Tibia* (mindestens 32 cm) konnte eine Mindestkörperhöhe von 159 cm geschätzt werden.

6.3.20 Grab De Leo 2

Alter: infans I; 6–9 Monate \pm 1,5 Monate. **Kriterien:** Zahnentwicklung der Milchzähne.

Geschlecht: unbestimmt.

Orientierung/Lage: vermutlich Nordwest-Südost-Ausrichtung. Linke Seitenlage des Schädels. Kopf im Nordwesten.

Körperhöhe: unbestimmt.

Bearbeiterin: A. Alterauge, C. Alder.

Im Grab De Leo 2 konnten mehrere Knochen- und Zahnreste geborgen werden. Zu diesen gehörten mindestens 11 Zahnkronen ohne Wurzelhaltung sowie mehrere Schädelfragmente, darunter ein Teil einer *Pars petrosa*. Da das Grab nur angeschnitten wurde, liegen lediglich Knochen aus dem Schädelbereich vor. Das *Cranium* lag im Nordwesten auf der linken Seite mit Blick nach (Nord-)Osten. Für das Grab kann eine Nordwest-Südost-Ausrichtung angenommen werden¹⁴⁹². Anhand der Entwicklung der Zähne¹⁴⁹³, bei denen es sich grösstenteils um mehr als zur Hälfte ausgebildete Kronen von Milchzähnen handelt, konnte das Alter des Individuums auf

1491 Die Probe FMM2014/P62 wurde von B. Grosskopf (Abteilung Soziobiologie/Anthropologie, Johann-Friedrich-Blumenbach-Institut für Zoologie und Anthropologie, Universität Göttingen) analysiert.

1492 Die Orientierung des Grabes ist unklar: Die Lage des Schädels spricht für eine Nordwest-Südost-Ausrichtung. Die Lage des Askos DL2/1 wiederum weist auf eine West-Ost-Ausrichtung, da die Gefässbeigabe in den Gräbern des Areals Strada in der Regel bei den Füßen der bestatteten Personen niedergelegt worden ist.

1493 Unter den mindestens 11 Zahnkronen befinden sich sechs Milchmolaren sowie diverse Frontzähne des Milchgebisses. Aufgrund des Fehlens der Wurzeln und des fragmentierten Zustandes der Kronen konnte eine genaue Seiten- und Kieferzuordnung im Feld nicht erfolgen.

Grab	Anthropologisches Geschlecht	Archäologische Zuweisung
Strada 2	Tendenz weiblich	Weiblich
Strada 5	Unbestimmt, robust	Männlich
Strada 6	Unbestimmt, grazil	Weiblich
Strada 7	Unbestimmt, robust	Unbestimmt
Strada 11	Unbestimmt	Weiblich
Strada 13	Tendenz weiblich	Wahrscheinlich weiblich
Strada 14	Eher weiblich	Weiblich
Strada 15	Eher männlich	Unbestimmt
Strada 16	Unbestimmt	Eher männlich
Strada 17	Unbestimmt	Männlich
De Leo 1	Eher männlich	Männlich

Tab. 6.1 Anthropologische Geschlechtsbestimmung der erwachsenen Individuen (Areal Strada und De Leo).

6–9 Monate eingegrenzt werden. Das Geschlecht konnte nicht bestimmt werden, da keine geschlechtsspezifischen Merkmale erhalten waren. Aufgrund des Fehlens von Langknochen konnte keine Körperhöhe berechnet werden.

6.4 Resultate und Diskussion

6.4.1 Erhaltung

Sowohl im Areal Strada als auch im Areal De Leo war die Knochenhaltung mehrheitlich sehr schlecht. Oftmals musste anhand weniger Zahn- und Knochenreste eine Bestimmung der Lage und der Individualdaten vorgenommen werden (vgl. Tab. 6.6). Im Grab Strada 18 konnten nur unbestimmbare und im Grab Strada 10 überhaupt keine Knochen dokumentiert werden. Im Grab Strada 2 waren nur wenige Knochenfragmente erhalten. Zähne fehlten gänzlich. In den Gräbern Strada 3, 4, 11, 19 und De Leo 2 konnten die Bestimmungen anhand weniger Zahnfragmente vorgenommen werden. Die Skelette der Gräber Strada 5, 6, 8, 9, 12, 13, 16, 17 und De Leo 1 waren durch zahlreiche Zahn- und mehrere, oftmals schlecht erhaltene Knochen und Knochenfragmente repräsentiert. In den Gräbern Strada 7, 14 und 15 befanden sich die am besten erhaltenen Skelette. Neben fragmentierten Schädelresten waren mehrere Langknochen, Rumpf- und Beckenfragmente erhalten. Bei allen Skeletten waren die Gelenkenden erodiert. Auch war die Knochenoberfläche meist stark durch Wurzelfrass und andere taphonomische Prozesse angegriffen, wodurch eine Beurteilung nicht mehr möglich war. Bisher nicht erklärbar ist die unterschiedliche Knochenhaltung der nahe beieinanderliegenden Gräber.

6.4.2 Geschlechterverhältnis

Die Geschlechtsdiagnose ist regelhafter Bestandteil des anthropologischen Skelettbefundes. Durch sie wird die neben dem Individualalter wichtigste biologische Kenngröße eines Individuums bereitgestellt¹⁴⁹⁴. Auf die Geschlechtsbestimmung von

Kindern wurde verzichtet¹⁴⁹⁵. Die Geschlechtsbestimmung der Erwachsenen wurde, wo möglich, nach den Empfehlungen von Ferembach/Schwidetzki erarbeitet¹⁴⁹⁶. Sie beruht jedoch wegen der schlechten Knochenhaltung oftmals nur auf wenigen Kriterien. Dementsprechend ist die Bestimmung meist unsicher, was dazu führt, dass man nur von eher weiblichen/männlichen Individuen oder nur von Tendenzen sprechen kann. Eine anthropologische Geschlechtsbestimmung war unter diesen Bedingungen nur in fünf Fällen möglich, ausserdem wurde bei drei Individuen aufgrund der Robustizität bzw. Grazität der Knochen eine Tendenz festgestellt. Die archäologische Geschlechtszuweisung aufgrund der Beigaben entsprach in sechs Fällen der anthropologischen Geschlechtsbestimmung (Strada 2, 5, 6, 13, 14 und De Leo 1).

Die insgesamt zehn anthropologisch auswertbaren Gräber des Areals Strada setzen sich aus vier Frauen, drei Männern und drei unbestimmbaren erwachsenen Individuen zusammen (Tab. 6.1). Beim Skelett aus dem Grab De Leo 1 handelt es sich um ein eher männliches Individuum.

Bei Bevölkerungen, die keine demographisch einschneidenden Lebensformen pflegten (z. B. Klosterangehörige) oder speziellen Lebensumständen unterworfen waren (z. B. durch Kriege oder durch arbeitsbedingte Abwanderung junger Männer) ist das Geschlechterverhältnis in der Regel in etwa ausgeglichen¹⁴⁹⁷. Trotz der geringen Stichprobenzahl scheint dies auch im Falle der Gräber aus dem Areal Strada der Fall zu sein, unter der Voraussetzung, dass die unbestimmbaren Individuen das Verhältnis nicht verschieben.

1494 Aus Ulrich-Bochsler u. a. 1993, 27 geht hervor, dass durch die Arbeiten von Langscheidt 1983, Schutkowski 1989, Schutkowski 1990 u. a. Methoden zur Geschlechtsbestimmung bei Kindern zwar bekannt sind, in der Praxis jedoch noch weiter erprobt werden müssen. Unzureichende Geschlechtsdimorphismen liegen besonders bei der Altersklasse Infans I vor.

1495 Ferembach u. a. 1979.

1496 Ulrich-Bochsler – Meyer 1992, 97.

1494 Schutkowski 1990, 1.

6.4.3 Altersaufbau

Die Einteilung der Nichtadulten in infans I (0–6 Jahre), infans II (7–12 Jahre) und juvenil (12–18 bzw. 20 Jahre) wurde von Martin 1928¹⁴⁹⁸ übernommen. Für die Erwachsenen wurde die Einteilung in frühadult (20–29 Jahre), spätadult (30–39 Jahre), frühmatur (40–49 Jahre), spätmatur (50–59 Jahre) und senil (über 60 Jahre) gewählt¹⁴⁹⁹. Für die folgenden Analysen wurden die Gräber Strada 10 und Strada 18 aufgrund des fehlenden oder unzureichenden Knochenmaterials nicht berücksichtigt.

Kinder

Das Alter für die Nichtadulten zwischen etwa 0,5 und 14–15 Jahren wurde anhand der Länge der Diaphysen mit Hilfe der Mastabellen von Stloukal und Hanakova¹⁵⁰⁰ ermittelt oder anhand der Massbilder von Baker rekonstruiert¹⁵⁰¹. Das Zahnalter wurde anhand des Schemas der Zahnentwicklung nach Ubelaker¹⁵⁰² kalkuliert und wurde bei der Altersbestimmung stärker gewichtet, da die Zahnentwicklung weniger von Fehl- bzw. Mangelernährung und Krankheit beeinflusst wird als das Langknochenwachstum¹⁵⁰³. Zusätzlich wurden Kriterien der Vereinigung des archäologisch-technischen Grabungspersonals VATG angewendet¹⁵⁰⁴.

Unter den Gräbern des Areals Strada befinden sich sechs Kinder und zehn erwachsene Individuen¹⁵⁰⁵. Dies ergibt einen Kinderanteil von 37%; in prähistorischen Bevölkerungen rechnet man mit einer Kindersterblichkeit von 45–60%¹⁵⁰⁶. Unter den sechs verstorbenen Nichtadulten aus dem Areal Strada konnten vier als infans I, eines als infans II und eines als infans II bis jugendlich bestimmt werden. Nachgewiesene Neugeborenen-Bestattungen fehlen, obwohl die Sterblichkeit bei Neugeborenen in der Regel hoch ist¹⁵⁰⁷. Möglicherweise war im fundleeren Pithos aus dem Grab Strada 10 ein Neugeborenes bestattet. Trotz der Schlammung des Sediments aus dem Pithos S10/1 und der Untersuchung der Rückstände unter dem Binokular konnten jedoch weder Knochen- noch Zahnreste gefunden werden.

Die Kleinkinder sind bis auf das nicht genau bestimmbare Kind aus Strada 3¹⁵⁰⁸ im Alter von ungefähr 2–3 Jahren verstorben. In den ersten Lebensjahren ist ein Kind besonders anfällig auf Infektions- und Kinderkrankheiten. Der Zeitpunkt des Abstillens ist ein weiterer kritischer Moment für die Überlebenschance der Kleinkinder in früheren

Gesellschaften¹⁵⁰⁹. Die beiden Kinder aus den Gräbern Strada 8 und 19 könnten zu dieser Altersspanne bzw. Risikogruppe gehören. Das Kind im Grab Strada 9 ist im Alter von 8–9 Jahren verstorben. Das jugendliche Individuum aus Grab Strada 4, verstorben im Alter von etwa 12 Jahren, könnte aus damaliger Sicht bereits ein Mädchen im heiratsfähigen Alter gewesen sein und muss nicht mehr unbedingt als Kind gegolten haben.

Beim Grab De Leo 2 handelt es sich um ein Kind, welches im Alter von etwa 6 bis 9 Monaten verstorben ist.

Erwachsene

Die morphologischen Sterbealtersbestimmungen der Erwachsenen konnten wegen der schlechten Knochenhaltung meist nicht nach den Empfehlungen von Ferembach – Schwidetzki¹⁵¹⁰ durchgeführt werden. Einzig das Kriterium der Nahtobliteration¹⁵¹¹ konnte bei einigen Individuen an wenigen Schädelfragmenten beurteilt werden. Meistens war eine Sterbealtersbestimmung auf makroskopischer Ebene allein anhand der Zahnabration nach Miles¹⁵¹² möglich. Die Zahnabration ist neben individuellen Faktoren (Fehlbiß, Kaumuskelatur, Dicke des Zahnschmelzes, Bruxismus u. a.) von den konsumierten Nahrungsmitteln und deren Zubereitung abhängig. Dafür müssen der kontextuelle Hintergrund und die Zeitstellung einer Bevölkerungsgruppe berücksichtigt werden. Für jede Skelettserie muss ein eigenes allgemeines Abrasionsbild erarbeitet werden¹⁵¹³. Bei den hier behandelten Skeletten handelt es sich um eine sehr kleine Stichprobe. Wie bereits erwähnt, ist die Zahnabration meist das einzige morphologische Sterbealterskriterium, welches angewandt werden konnte. Eine Überprüfung der Sterbealtersbestimmung anhand anderer morphologischer Kriterien war kaum möglich.

Um diese Sterbealterseinteilung zu überprüfen, wurde – wenn möglich – eine zahn- und/oder knochenhistologische Sterbealtersbestimmung durchgeführt. Die zahnhistologische Bestimmung durch die TCA-Untersuchung wurde von Birgit Grosskopf durchgeführt¹⁵¹⁴. Positive Ergebnisse liessen sich aber wegen der schlechten Erhaltung nur in vier Fällen erzielen (Strada 6, Strada 15, Strada 17, De Leo 1). Zudem gibt Grosskopf zu bedenken, dass wiederum aufgrund des schlechten Erhaltungszustandes der Zähne die Auszählungen der Zahnzementringe jeweils nur an einem kleinen Bereich der Zahnwurzel bzw. Zementschicht vorgenommen werden konnten. Vereinzelt wird in der Literatur beschrieben, dass die Anzahl der Zuwachsringe abhängig von der Lage des Quadranten schwanken kann¹⁵¹⁵. Ausserdem sollten diese Ergebnisse nicht

1498 Martin 1928 in Herrmann u. a. 1990, 52.

1499 Ulrich-Bochsler u. a. 1993, 43.

1500 Stloukal – Hanakova 1978 in Herrmann u. a. 1990, 56.

1501 Baker u. a. 2005.

1502 Ubelaker 1978 in Herrmann u. a. 1990, 54.

1503 Uhl 1997, 61.

1504 Ulrich-Bochsler u. a. 1993, 28–37.

1505 Die Gräber Strada 10 und Strada 18 wurden dabei nicht berücksichtigt.

1506 Alder – Matt 2010, 52; Ulrich-Bochsler – Meyer 1992, 98.

1507 Alder – Matt 2010, 54.

1508 Nach der vorhandenen Zahnanlage zu urteilen, ist dieses Individuum älter als neugeboren.

1509 Grupe u. a. 2005, 99; Ulrich-Bochsler – Meyer 1994, 107; Ulrich-Bochsler – Schäublin 1991, 83.

1510 Ferembach u. a. 1979.

1511 Nach Vallois 1937 in Ferembach u. a., 1979, 19–20.

1512 Nach Miles 1963 in Knussmann 1988, 423.

1513 Grupe u. a. 2015, 306–309.

1514 Birgit Grosskopf, Abteilung Soziobiologie/Anthropologie, Johann-Friedrich-Blumenbach-Institut für Zoologie und Anthropologie, Universität Göttingen.

1515 Lippitsch – Grupe 2007; Renz – Radlanski 2006.

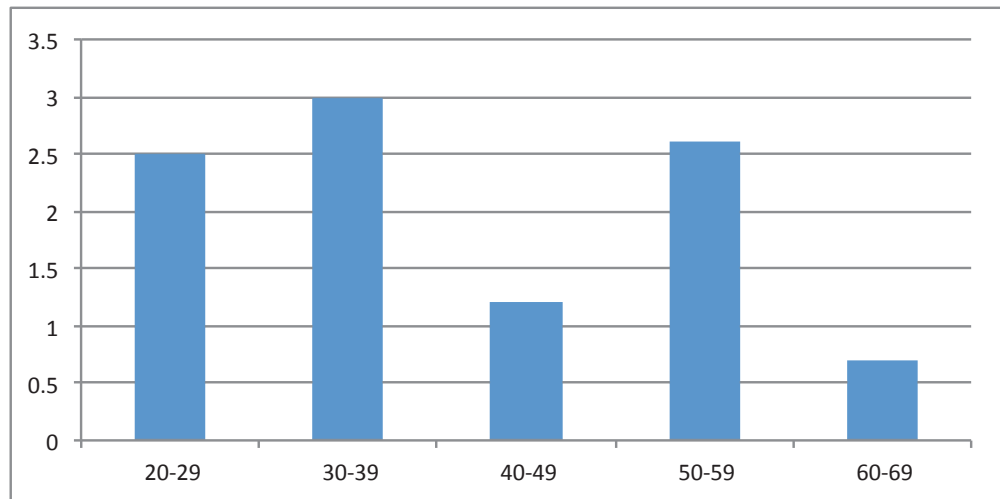


Abb. 6.2 Sterbealterverteilung der zehn Erwachsenen aus dem Areal Strada. Auf der x-Achse die Altersklassen, auf der y-Achse N verstorbene Individuen.

isoliert betrachtet werden, da auch ein sog. *doubling* auftreten könnte. Bei diesem Phänomen werden genau doppelt so viele Zuwachsringe gebildet, wie vom Alter her zu erwarten sind. Nach Grosskopf kann mit der TCA-Analyse als alleiniger Bestimmungsmethode aus diesem Grund derzeit keine absolute Bestimmungssicherheit für das Sterbealter gewährleistet werden¹⁵¹⁶. In zwei Fällen¹⁵¹⁷ konnte zusätzlich eine knochenhistologische Methode, die histomorphologische Sterbealterbestimmung, zur Anwendung kommen. Da das Periost (Knochenhaut) erodiert ist, fehlt aber ein wichtiges Kriterium zur Bestimmung des Sterbealters. Ausserdem sind zahlreiche Knochenpartien von Mikroorganismen zerstört, so dass nur kleine Areale beurteilt werden können. Bei der Sterbealterbestimmung der Individuen der Strada- und De Leo-Gräber wurde grundsätzlich den histologischen Methoden mehr Bedeutung beigemessen, da bei der Zahnabrasion starke individuelle Einflüsse eine grosse Rolle spielen können.

Von den zehn erwachsenen Individuen ist etwa die Hälfte im Alter von unter 40 Jahren und die andere Hälfte im Alter von über 40 Jahren verstorben (Abb. 6.2). Auffallend ist die geringe Anzahl an Verstorbenen im Alter von 40–49 Jahren, was jedoch vermutlich methodische Gründe hat. Durch die zahnhistologischen Untersuchungen konnten drei Individuen sehr genau bestimmt werden. Eines davon fällt in die Klasse der 30- bis 40-Jährigen (Strada 6), zwei in die Klasse der über 50-Jährigen (Strada 15 und 17). Die restlichen Verstorbenen wurden anteilmässig¹⁵¹⁸ auf die jeweiligen Altersklassen verteilt. Die Einteilung erfolgt in die Altersklassen 20–29 Jahre, 30–39 Jahre, 40–49 Jahre, 50–59 Jahre und >60 Jahre. Ist ein Individuum älter als 30, fällt es anteilmässig in vier Altersklassen. Ist aber ein Individuum zahnhistologisch auf 54 Jahre ±

3,7 Jahre bestimmt, fällt es nur in die Klasse der 50–59-jährigen. Somit ergibt sich eine Übergewichtung in den Klassen mit den zahnhistologisch bestimmten Individuen¹⁵¹⁹. Bei der statistisch nicht relevanten Anzahl an Skeletten fällt dies zusätzlich stark ins Gewicht.

Trotz der methodologischen Probleme zeigt die Grafik, dass alle Altersklassen vertreten sind. Das Sterbemaximum liegt in der spätadulten Altersklasse, ein Erreichen der senilen Altersklasse scheint dagegen selten. Die ältesten klar bestimmbar Individuen waren 54 und 59 Jahre alt (Strada 15 und 17)¹⁵²⁰.

Bei dem Erwachsenen aus Grab De Leo 1 handelt es sich ebenfalls um eine betagte Person, verstorben im Alter von 57 Jahren.

6.4.4 Geschlechteraufbau

In Bezug auf die Verteilung des Sterbealters und auf das Geschlecht entsprechen die Gräber des Areals Strada in etwa einem natürlichen Muster.

Trotz der sehr geringen Individuenzahl ergeben sich aus der grafischen Aufschlüsselung einige interessante Beobachtungen. So zeigt sich bei der Aufteilung der Bestattungen nach Alter und Geschlecht, dass die Frauen tendenziell im adulten Alter verstorben sind und die Männer eher älter wurden. Die Ergebnisse der anthropologischen Geschlechtsbestimmung (Abb. 6.3) und der archäologischen Analyse (Abb. 6.4) stimmen diesbezüglich in der Tendenz überein. Generell hatten Frauen im gebärfähigen Alter bis weit in die Neuzeit ein er-

1516 Berichte von B. Grosskopf zur Altersdiagnose an Zahnwurzeln aus Francavilla Marittima. Grosskopf – McGlynn 2011.

1517 Bei den Gräbern Strada 17 und De Leo 1. Bei den anderen Skeletten war der Knochen wiederum zu schlecht erhalten, um diese Methode anzuwenden.

1518 Ein Individuum, welches beispielsweise 35 bis 45 Jahre alt war, wird hälftig, also zu je 0.5 Anteilen, in die Klasse der 30–39-Jährigen und in die Klasse der 40–49-Jährigen gezählt.

1519 Diese fallen dann exakt in die jeweilige Altersklasse und werden nicht anteilmässig über mehrere Klassen verteilt.

1520 Nach gängigen anthropologischen Untersuchungsmethoden werden die 'Altersklassen übergreifenden' und die 'altersunbestimmten' Individuen anteilmässig in die Altersgruppen der 20–29, 30–39, ..., bis über 60-Jährigen verteilt. Ein als 'erwachsen' bestimmtes Individuum fällt somit zu je 0.2 Anteilen in jede dieser Klassen. Aus statistischer Sicht ist diese Verteilung aber nicht korrekt. Ein Vorschlag zur alternativen Verteilung wurde von Werner Vach erarbeitet: Vach u. a. in Vorbereitung.

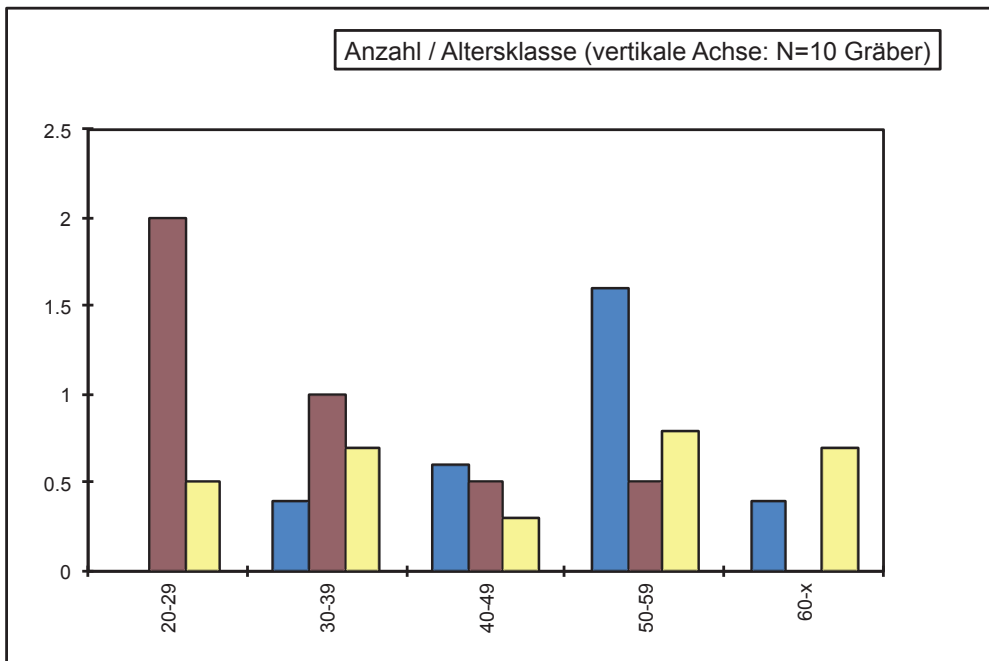


Abb. 6.3 Geschlechtsspezifische Sterbealterverteilung der zehn erwachsenen Individuen aus dem Areal Strada anhand der anthropologischen Daten. Rot: weiblich N=4, blau männlich N=3, gelb unbestimmt N=3.

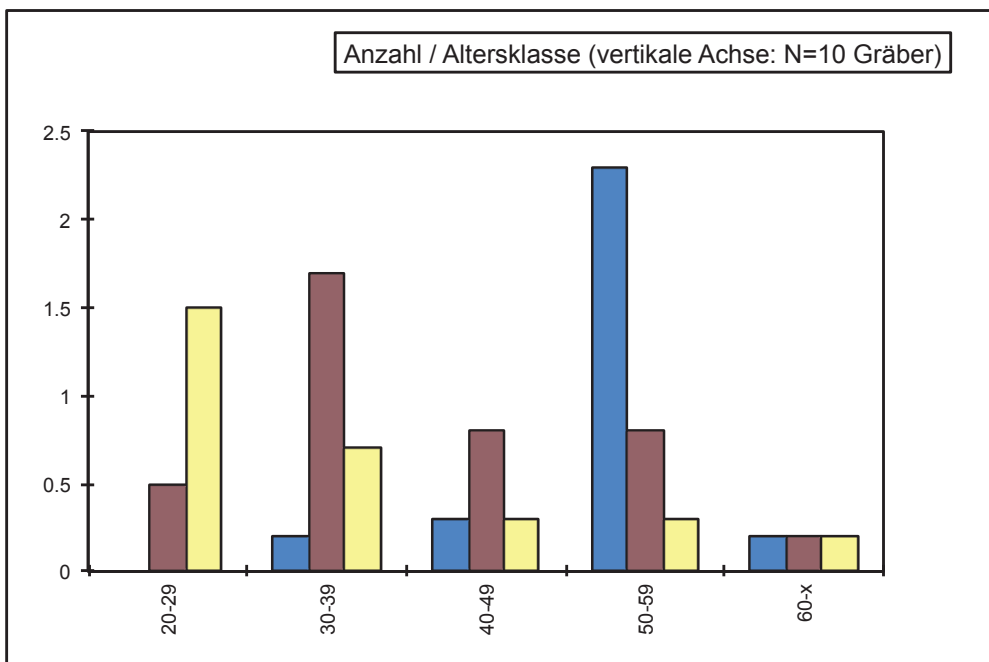


Abb. 6.4 Geschlechtsspezifische Sterbealterverteilung der zehn erwachsenen Individuen aus dem Areal Strada anhand der archäologischen Daten. Rot: weiblich N=4, blau männlich N=3, gelb unbestimmt N=3.

höhtes Sterberisiko, insbesondere erstgebärende¹⁵²¹, was aus Abbildung 3 ersichtlich ist. Männer wurden dagegen eher Opfer von arbeitsbedingten Unfällen.

6.4.5 Körperhöhenbestimmung

Die Körperhöhenbestimmung wurde für Männer nach Breiting 1938¹⁵²², für Frauen nach Bach 1965¹⁵²³ durchgeführt (Tab. 6.5). Die geschätzte Körpergröße der Männer bewegt sich zwischen mindestens 155 und etwas über 180 cm. Die Körperhöhe hängt eng mit der Ernährung zusammen, ins-

besondere proteinreiche Nahrung fördert das Wachstum des Körpers¹⁵²⁴. Im Einzelnen lässt sich zur Ernährung der verschiedenen Individuen allerdings keine Aussage machen¹⁵²⁵. Die beiden Frauen, bei welchen eine Körperhöhenbestimmung möglich war, fallen weder durch ein besonders hohes noch ein geringes Körperhöhenmass auf.

1521 Ulrich-Bochsler – Meyer 1994, 108.

1522 Breiting 1938, 249–274.

1523 Bach 1965, 12–21.

1524 Ulrich-Bochsler 1994, 71. Grundsätzlich ist das Grössenwachstum genetisch bedingt. Ob ein Individuum sein genetisches Wachstumspotential ausnutzen kann, hängt aber von zahlreichen weiteren Faktoren ab, siehe Grupe u. a. 2015, 283–285.

1525 Isotopenuntersuchungen zur Ernährungsrekonstruktion konnten nicht durchgeführt werden, da die Proben zu wenig Kollagen enthielten, vgl. Kapitel 7.1.

Grab	Geschlecht	Körperhöhenschätzung
Strada 5	Unbestimmt, robust	Mann: 173–183 cm
Strada 6	Unbestimmt, grazil	Frau: 156–166 cm
Strada 7	Unbestimmt, robust	Mann: 170–176 cm
Strada 14	Eher weiblich	Frau: 156–162 cm
Strada 15	Eher männlich	mindestens 155 cm
De Leo 1	Eher männlich	mindestens 159 cm

Tab. 6.5 Körperhöhenschätzungen der Individuen in den Arealen Strada und De Leo.

6.4.6 Gesundheitszustand

Wegen der schlechten Knochenhaltung, insbesondere der nicht beurteilbaren Knochenoberfläche und Gelenke, ist eine Analyse des Gesundheitszustandes, beispielsweise die Bestimmung auffälliger Krankheitsbilder oder von Mangel- und Abnutzungserscheinungen, nur sehr eingeschränkt möglich.

Degenerative Erkrankungen

Eine Abnutzungserscheinung – eine Hüftgelenkarthrose – konnte nur beim maturaen, eher weiblichen Individuum aus Grab Strada 14 diagnostiziert werden.

Alimentär- oder stressbedingte Krankheiten

Spuren von Ernährungsmangel oder Stress konnten lediglich anhand der Schmelzhypoplasien nachgewiesen werden. Transversale Schmelzhypoplasien entstehen als Folge von physiologischen Stresssituationen während der Zahnschmelzgenese und beruhen auf Fehlbildungen des Zahnschmelzes, die nach Überwindung der Stresssituation (Infektionserkrankung, Nahrungsmangel, psychischer Stress u. a.) als transversale Einkerbung in der Zahnkrone zurückbleiben¹⁵²⁶. In drei Fällen, bei den Skeletten der Gräber Strada 4, 7 und 8, konnten derartige Läsionen erkannt werden. Beim Individuum aus Grab Strada 4 lag das Bildungsalter der Schmelzhypoplasie bei 3–6 Jahren. Im Falle des Verstorbenen aus Grab Strada 7 war die Ursache des Stresses im Alter von 5–6 Jahren. Beim Kind aus Grab Strada 8 konnten zwei Schmelzhypoplasien am gleichen Zahn erkannt werden: Die erste weist auf eine Stresssituation im Alter um 9 Monate \pm 3 Monate hin, die zweite auf eine Stresssituation im Alter um 18 Monate.

Karies und Zahnstein

Karies entsteht bei der Zersetzung des Zahnbelages durch Säuren. Kohlenhydratreiche Nahrung begünstigt die Bildung von Säuren durch Bakterien. Karies wird durch fehlende Mundhygiene wie auch durch eine anlagebedingte geringe Dicke des Zahnschmelzes gefördert¹⁵²⁷. Karies oder intravitale Zahnverlust¹⁵²⁸ konnte bei vier Individuen festgestellt werden, die Ausprägung war aber immer leicht. Das Kind oder

jugendliche Individuum aus Grab Strada 4 weist leichte Karies an fünf Zähnen auf. Leichte Karies an einem Zahn war beim Kind aus Grab Strada 9 nachzuweisen. Das spätmature Individuum aus Grab Strada 15 hatte Karies an zwei Zähnen. Intravitale Zahnverlust konnte beim maturaen Individuum aus Grab Strada 14 nachgewiesen werden. Auffallend ist das Kariesvorkommen der beiden im Alter infans II verstorbenen Individuen (Strada 4 und 9) im Verhältnis zum geringen Kariesvorkommen bei den Erwachsenen. Jedoch darf dies bei der im Allgemeinen schlechten Zahnerhaltung nicht überbewertet werden.

Zahnstein entsteht im Gegensatz zu Karies vorwiegend im basischen Milieu, bedingt durch proteinreiche Nahrung¹⁵²⁹. Ein leichter Zahnsteinbefall konnte an den Zähnen vom Skelett aus Grab Strada 5 diagnostiziert werden.

Verletzungen

Eine Verletzung ist vermutlich am Rand eines Fragments des Schädeldachs¹⁵³⁰ des im Alter von über 50 Jahren verstorbenen Mannes aus Grab Strada 17 zu erkennen¹⁵³¹. Bei der Läsion handelt es sich um ein kleines, ehemals rundes Loch mit dem rekonstruierten Durchmesser von ungefähr 1.5 cm. Aufgrund der schlechten Erhaltung konnte auch im Röntgenbild nicht erkannt werden, ob Spuren von Knochenneubildung vorhanden sind, die auf das Überleben des Individuums nach der Verletzung hinweisen würden. Im Bereich der Lochkanten ist die Schädeldecke jedoch eher dick und nicht oder nur wenig abgeflacht, was wohl nicht auf eine lange Lebensdauer nach der Verletzung hinweist. Eine Trepanation ist auszuschliessen, da im Bereich des runden Defekts keine Bearbeitungsspuren zu erkennen sind¹⁵³².

6.5 Zusammenfassung

Mit insgesamt 20 im Rahmen des Basler Projektes untersuchten Individuen bilden die Skelette aus den Gräbern der Areale Strada und De Leo einen kleinen Ausschnitt der Macchiabate-Nekropole. 18 Skelette kamen im Areal Strada und zwei im Areal De Leo zum Vorschein (Tab. 6.6). Grab Strada 18 enthielt nur wenige, unbestimmbare Knochenfragmente und im Grab Strada 10 konnten keine Knochen gefunden werden.

1529 Czarnetzki 1996, 111.

1530 Vermutlich *Os parietale*, eine genaue Lokalisation ist wegen der schlechten Knochenhaltung nicht möglich.

1531 Es kann nicht mit absoluter Sicherheit ausgeschlossen werden, dass es sich um einen taphonomischen Defekt des Knochens handelt. Eine Verletzung bzw. ein Entstehen des Loches am frischen Knochen, d. h. zu Lebzeiten, wird aber wegen der abgerundeten Form als wahrscheinlicher erachtet.

1532 Für die Untersuchung des Fragments bedanken wir uns bei Dorota Wojtczak (Integrative Prähistorische und Naturwissenschaftliche Archäologie IPNA der Universität Basel). D. Wojtczak hat für die Analysen ein Auflichtmikroskop mit 8–100-facher Vergrößerung (Binokulare, Leica MZ 125) sowie hochauflösende (800x) Mikroskope mit digitaler Bilderfassung (Stream von Olympus) verwendet.

1526 Grupe u. a. 2005, 102.

1527 Czarnetzki 1996, 111.

1528 Intravitale Zahnverlust ist meist eine Folge von starker Karies.

Tab. 6.6 Zusammenstellung der erhaltenen Knochenreste und der anthropologischen Bestimmungen für die Gräber der Areele Strada und De Leo.

Grab	Lage	Ausrichtung	Erhaltung	Sterbealter	Kriterien	Geschlecht (anthropologisch)	Kriterien	Geschlecht (archäologisch)	Körperhöhe	Besonderheiten
Strada 2	Indet.	Kopf im Nordwesten	Sehr schlecht, nur vereinzelte Knochenreste	(Juvenil bis erwachsen) Tendenz adult	Schädelnahtobliteration	Tendenz weiblich	Schädelmerkmale (N=1)	Weiblich	Indet.	Keine Zähne vorhanden
Strada 3	Indet.	Indet.	Lediglich ein Zahnkronenfragment	Infans I, jünger als 6 Jahre	Zahnentwicklung	Indet.		Indet.	Indet.	
Strada 4	Indet.	Indet.	Zahlreiche Zähne und Zahnfragmente, vereinzelte sehr schlecht erhaltene Knochenreste	Infans II-juvenil, 12 Jahre ± 30 Monate	Zahnentwicklung, Zahndurchbruch	Indet.		Weiblich	Indet.	Karies an 5 Zähnen, Schmelzhypoplasie
Strada 5	Rechte Seitenlage des Schädels, Beinhocker/Hockerlage auf rechter Seite	Nordwest-Südost, Kopf im Nordwesten	Schädel, Gebiss mit Zähnen und Fragmente des sehr schlecht erhaltenen postcranialen Skeletts	Spätadult, über 30 Jahre	Zahnabrasion, Schädelnahtobliteration, Knochenhistologie	Indet., robust	Knochenbau	Männlich	Mann: 173 - 183 cm (Frau: 168 - 176 cm)	Leichter Zahnsteinbefall
Strada 6	Rückenlage des Oberkörpers	Nordwest-Südost, Kopf im Nordwesten	Zahlreiche Zähne und Zahnfragmente, vereinzelte sehr schlecht erhaltene, kaum bergbare Knochenreste	Spätadult, 31 ± 3,6 Jahre	TCA, Zahnabrasion	Indet., grazil	Knochenbau	Weiblich	Frau: 156 <- 166 cm (Mann: 160 - 170 cm)	Grab nur angeschnitten
Strada 7	Rechte Seitenlage des Schädels, extreme rechte Hockerlage (Bestattung in einem Sack?)	Nord-Süd, Kopf im Norden	Schädel, Gebiss mit Zähnen und zahlreiche Fragmente des postcranialen Skeletts, schlechte Knochenerhaltung	Spätadult-matur, über 30 Jahre	TCA, Zahnabrasionsalter	Indet., robust	Knochenbau	Indet.	Mann: 170 - 176 cm (Frau: 169 - 172 cm)	Schmelzhypoplasie
Strada 8	Vermutlich linke Seitenlage des Skeletts	Nordwest-Südost, Kopf im Nordwesten	Zahlreiche Zähne und Zahnanlagenfragmente, vereinzelte Knochenreste	Infans I, 2-3 Jahre ± 18 Monate	Zahnentwicklung, Masse der clavicula	Indet.		Indet.	Indet.	Schmelzhypoplasie
Strada 9	Vermutlich Hockerbestattung	Nord-Süd, Kopf im Norden	Wenige schlecht erhaltene Zahn- und Knochenfragmente	Infans II, 8-9 Jahre ± 24 Monate	Zahnentwicklung	Indet.		Indet., eher weiblich	75 - 85 cm	Karies an einem Zahn
Strada 10	Indet.	Indet.	Keine Knochenreste	Indet.		Indet.		Indet.	Indet.	
Strada 11	Linke Seitenlage des Schädels	Nordwest-Südost, Kopf im Nordwesten	Sehr schlecht, nur wenige erhaltene Zahnfragmente	Ab spätadult, über 30 Jahre	Zahnabrasionsalter, Zahnentwicklung	Indet.		Weiblich	Indet.	

Strada 12	Vermutlich Rückenlage des Oberkörpers	Nordwest-Süddost, Kopf im Nordwesten	Sehr schlecht, nur wenige erhaltene Knochen- und Zahnfragmente	Infans I, 4-6 Jahre ± 12 Monate	Zahnenentwicklung, Zahndurchbruch, Wirbelbogenverschluss, Knochenmasse	Indet.	Indet.	Indet.	Indet.	Intravitaler Zahnverlust; Hüftgelenksarthrose
Strada 13	Hockerbestattung auf der linken Seite	Südwest-Nordost, Kopf im Südwesten	Zahlreiche Zähne und Zahnanlagenfragmente, vereinzelte Knochenreste	Adult, 25-35 Jahre	Zahnabrasionsalter, Schädelnahtobliteration	Tendenz weiblich	Weiblich	Indet.	Indet.	
Strada 14	Rechter Beinhocker	Nordwest-Süddost, Kopf im Nordwesten	Schädel, Gebiss und Zahlreiche Langknochenfragmente	Matur, 40-60 Jahre	Zahnabrasionsalter, facies auricularis	Eher weiblich	Weiblich	Indet.	Indet.	156 - 162 cm
Strada 15	Rechte Seitenlage des Schädels, Rückenlage des Oberkörpers	Nordwest-Süddost, Kopf im Nordwesten	Schädel, Gebiss und Zahlreiche Langknochenfragmente	Spätmatuur, 54 ± 3.7 Jahre	TCA, Zahnabrasionsalter	Eher männlich	Schädelmerkmale (N=2), Beckenmerkmale (N=4)	Indet.	Indet.	Mindestens 155 cm
Strada 16	Linke Seitenlage des Schädels	Nordwest-Süddost, Kopf im Nordwesten	Schädel, Zähne und Fragmente der oberen und unteren Extremitäten	Frühadult, 20-30 Jahre	Zahnabrasionsalter, Schädelnahtobliteration	Indet.		Indet., eher männlich	Indet.	
Strada 17	Schädel rechte Seitenlage, rechte Hockerlage der Beine	Südwest-Nordost, Kopf im Südwesten	Schädel, Gebiss und zahlreiche Langknochenfragmente, jedoch schlecht erhalten	Spätmatuur-senil, 59 ± 5.1 Jahre	TCA, Knochenhistologie, Zahnabration	Indet.		Männlich	Indet.	Verletzung am Os parietale
Strada 18	Indet.	Indet.	Sehr wenige unbestimmbare Knochenfragmente	Indet.		Indet.		Indet.	Indet.	
Strada 19	Vermutlich linke Hockerlage	Nord-Süd, Kopf im Norden	Sehr schlecht, nur vereinzelte Knochen- und Zahnreste	Infans I, 2-3 Jahre ± 8 Monate	Zahnenentwicklung	Indet.		Indet.	Indet.	
De Leo 1	Rechter Beinhocker	Nordwest-Süddost, Kopf im Nordwesten	Zahlreiche Zähne und Zahnanlagenfragmente, vereinzelte Knochenreste	Spätmatuur-senil, 57 ± 5.5 Jahre	TCA, Zahnabrasionsalter	Tendenz männlich	Schädelmerkmale (N=2)	Männlich	Indet.	Mindestens 159 cm
De Leo 2	Linke Seitenlage des Schädels	Kopf im Nordwesten	Grab nur angeschnitten. Lediglich Schädel- und Zahnreste	Infans I, 6 Monate ± 1.5 Monate	Zahnenentwicklung	Indet.		Indet.	Indet.	

Bei den anthropologisch bestimmbaren Individuen der Strada-Gruppe handelt es sich um sechs Kinder und zehn Erwachsene. Eine eindeutige anthropologische Geschlechtsbestimmung war nur in wenigen Fällen möglich. Nimmt man aber auch unsichere Kriterien und die Robustizität bzw. Grazilität der Knochen hinzu, so können vier Individuen als tendenziell weiblich und drei Individuen als tendenziell männlich bestimmt werden. Drei Individuen bleiben anthropologisch geschlechtsunbestimmt. Bei einigen der als männlich bestimmten Individuen konnte ein hohes Sterbealter nachgewiesen werden. So wurde bei drei Individuen anhand der TCA-Untersuchung ein Sterbealter von über 50 bis über 60 Jahren ermittelt. Von den als weiblich bestimmten Individuen verstarben drei zwischen 20 und 40 Jahren und eines im Alter von über 40 Jahren. In Bezug auf Sterbealter und Geschlecht weist die kleine Bevölkerungsstichprobe eine mehrheitlich normale demographische Zusammensetzung auf.

Der Gesundheitszustand konnte wegen der schlechten Knochenerhaltung, insbesondere der Knochenoberfläche und der Gelenke, nur sehr eingeschränkt beurteilt werden. In einem Fall konnte dennoch eine Hüftgelenksarthrose erkannt werden. Schmelzhypoplasien – ein Hinweis auf eine Stresssituation im Kindesalter – konnten bei drei Individuen festgestellt werden. Karies oder intravitaler Zahnverlust weisen vier Individuen auf.

Anhand der Körperhöhenschätzungen bei vier männlichen und zwei weiblichen Individuen können mindestens zwei Männer als gross gewachsen bezeichnet werden. Beim Lochdefekt auf dem Schädeldach des maturen Mannes aus Grab Strada 17 wird schliesslich vermutet, dass es sich um eine Verletzung handelt.

Cornelia Alder

7 Naturwissenschaftliche Analysen

7.1 Einführung

Ein Ziel der Basler Ausgrabungen in den Arealen Strada und De Leo war, durch naturwissenschaftliche Analysen weiterführende Informationen zu einigen Aspekten des Bestattungsbrauchtums, der Lebensumstände und der Mobilität der antiken Bevölkerung von Francavilla Marittima zu gewinnen. Zu diesem Zweck wurden Proben sowohl aus den Grabstrukturen als auch von Skeletten und Funden entnommen. Nicht alle Analysen lieferten jedoch Resultate, oft weil das beprobte Material zu schlecht erhalten war. In der Folge wird eine Übersicht über die durchgeführten Analysen und deren Ergebnisse gegeben. Besonders aussagekräftige Untersuchungen – namentlich die Bernsteinanalysen, die Analyse der Strontium- und Bleiisotopen sowie die archäobotanische Bestimmung der Makroreste – sind Gegenstand eigener Berichte in den Kapiteln 7.2–4.

Sedimentproben wurden aus der Verfüllung der Grabstrukturen, aus den Schichten der Bestattungen sowie aus dem Erdreich in den gut erhaltenen Gefäßen entnommen. Die Proben wurden archäobotanischen, mikromorphologischen und chemischen Analysen unterzogen. Die archäobotanische Bestimmung der Makroreste aus Sedimentproben aus der Verfüllung und aus der Schicht der Grablege der Gräber Strada 2, 3, 5, 6, 8, 11–18 und De Leo 1 wurden von Donatella Novellis (Università degli Studi del Salento) durchgeführt. Die Ergebnisse werden im Kapitel 7.2 vorgestellt. Das gesamte Sediment aus den gut erhaltenen Keramikgefäßen aus den Gräbern Strada 2, 4–8, 11, 12, 15, 17 und De Leo 1 wurde ebenfalls geschlämmt und die Makroreste einer archäobotanischen Begutachtung durch Patricia Vandorpe (Integrative Prähistorische und Naturwissenschaftliche Archäologie IPNA, Universität Basel) unterzogen. Der Anteil an organischem Material in den Proben war sehr gering und bestand hauptsächlich aus unverkohnten Wurzelfragmenten und unverkohnten (modernen) Samen und Früchten von Gänsefußgewächsen (*Chenopodiaceae*) und kleinen Hülsenfrüchten (*Fabaceae*). Sehr vereinzelt wurden kleine Holzkohlepartikel beobachtet. Da die archäobotanischen Untersuchungen an den Sedimenten der Gräber und der Gefäße keine bzw. nur minimste positive Befunde erbracht haben und keine Reste von antiken Samen und Früchten nachgewiesen werden konnten, wurde entschieden, die Analysen nicht weiterzuführen¹⁵³³.

1533 Bis 2013 wurden 27 Proben mit einem Volumen zwischen 70 ml und 6000 ml bearbeitet; insgesamt wurden 35,89 Liter geschlämmt. Die Proben wurden mittels Halbflotation durch eine Siebkolonne mit Maschenweiten von 4 mm, 1 mm und 0,35 mm geschlämmt. Die organischen Fraktionen der Proben wurden unter einer Stereolupe Wild M3Z bei 6 bis 40-facher Vergrößerung ge-

Geschlämmt wurde ausserdem das gesamte Sediment aus dem Pithos des Enchytrismos-Grabes Strada 10, um etwaige kleinste Reste einer möglichen Bestattung zu finden. Das Material wurde von Cornelia Alder gesichtet, allerdings konnten weder Knochen- noch Zahnreste festgestellt werden.

Aus den Verfüllungs- und Bestattungsschichten des Grabes Strada 16 wurden zwei Gipsblöcke aus besonderen stratigraphischen Abschnitten entnommen. Die beiden Proben (2014/M10 und M57) wurden von Philippe Rentzel (Integrative Prähistorische und Naturwissenschaftliche Archäologie, Universität Basel) mikromorphologisch untersucht. Die Proben ergaben keine Besonderheiten in der mikromorphologischen Betrachtung; auffallend war nur die starke Bioturbation, die bis in die untersten Schichten festzustellen war. Die Dünnschliffe haben keine Informationen zur Entstehungsgeschichte des Grabes geliefert¹⁵³⁴.

Sedimentproben aus den Gräbern Strada 5, 7, 14 und 16 wurden auf ihre chemische Zusammensetzung analysiert (Tab. 7.1). Die Proben wurden aus Bestattungen entnommen, die sich untereinander in der Erhaltung der Skelette und Beigaben deutlich unterschieden¹⁵³⁵. Die Untersuchungen wurden von Philippe Rentzel (Integrative Prähistorische und Naturwissenschaftliche Archäologie, Universität Basel) durchgeführt. Die Proben aus dem Bereich der Skelette weisen deutlich erhöhte Phosphatwerte auf. Die pH-Werte bewegen sich bei allen Proben im leicht basischen Bereich. Da die Werte aus den Gräbern mit guter Knochenerhaltung (Strada 7, Strada 14) sich von denen aus Gräbern mit schlechter Knochenerhaltung (Strada 5, Strada 16) nicht unterscheiden, kann der (aktuelle) pH-Wert also nicht als Erklärung für die generell sehr schlechte Erhaltung von Knochen und Objekten in unseren Gräbern herangezogen werden¹⁵³⁶.

Um Aufschlüsse über die Lebensumstände und Umweltbedingungen der Verstorbenen zu gewinnen, wurden Isotopenanalysen an Zähnen und Knochen aus diversen Gräbern der Areale Strada und De Leo durchgeführt (Tab. 7.2). Analysen der Verhältnisse der stabilen Isotopen von Kohlenstoff, Stickstoff und

sichtet. Die Informationen sind dem Bericht von P. Vandorpe vom Dezember 2013 entnommen, für den wir ihr herzlich danken.

1534 Der Übergang vom anstehenden Boden zur Grabverfüllung liess sich im Anschliff nicht fassen. Die Informationen sind der Aktennotiz von Ph. Rentzel vom Dezember 2014 entnommen.

1535 Strada 5, Grab mit schlechter Knochenerhaltung, Sedimentproben aus der Verfüllung. Strada 7, Grab mit guter Knochenerhaltung, Sedimentproben aus dem Bereich des Schädels und aus dem Inneren des Gefässes S7/1. Strada 14, Grab mit guter Knochenerhaltung, Sedimentproben aus dem Bereich des Oberkörpers und des Schädels. Strada 16, Grab mit sehr schlechter Knochenerhaltung, Sedimentproben aus der Verfüllung.

1536 Die Informationen und Ergebnisse stammen aus den Aktennotizen von Ph. Rentzel vom Dezember 2014 und April 2015.

Grab	Probennr.	Herkunft	Karbonat %	Glühverlust %	Phosphat FW	Humus FW	pH KCI	pH * KCI
Strada 5	39	Verfüllung, untere Schicht	0	8	1,9	0,41	7,6	5,8
Strada 5	43	Verfüllung, untere Schicht	0	8,5	3,5	0,5	7,5	
Strada 7	24	Inhalt Gefäss S7/1	0	7,5	0,6	0,1	7,4	
Strada 7	115	Schädelbereich	0	7	2,4	0,05	7,3	5,2
Strada 14	37	Verfüllung	0	6,5	1,1	0,025	7,4	5,5
Strada 14	54	Bereich Oberkörper	0	7,5	5,9	0,05	7,6	
Strada 14	60	Schädelbereich	0	7	3,6	0,15	7,1	5,8
Strada 16	M10.1	Verfüllung	0	7	0,7	2,1	7,0	
Strada 16	M10.2	Verfüllung	0	7,5	0,8	2,2	7,0	
Strada 16	M57.1	Verfüllung	0	6	0,6	0,5	7,1	
Strada 16	M57.2	Verfüllung	0	5,5	0,4	0,2	7,3	

* pH gemessen mit Indikatorstäbchen

Tab. 7.1 Ergebnisse der geochemischen Untersuchungen. Ausschnitt aus der Aktennotiz von Ph. Rentzel vom April 2015.

Grab	Probe	%C	%N	%S	C/N _{mol}	$\delta^{13}\text{C}_{\text{Koll}}$	$\delta^{15}\text{N}$	$\delta^{34}\text{S}$
Strada 2	FMM-31.7	34,0	13,0	0,10	3,05	-19,87	8,46	+2,03
Strada 5	FMM-60	-	-	-	-	-	-	-
Strada 6	FMM-61	40,3	14,6	0,11	3,22	-19,46	8,69	+4,20
Strada 6	FMM-62	-	-	-	-	-	-	-
Strada 7	FMM-13	39,3	15,7	0,11	2,92	-20,14	8,52	+2,27

Tab. 7.2 Elementkonzentration von Stickstoff (N) und Kohlenstoff (C) mit molarem C/N Verhältnis und $\delta^{13}\text{C}$, $\delta^{15}\text{N}$ und $\delta^{34}\text{S}$ -Werte um Kollagen. Aus dem Bericht von A. Alterauge vom August 2019.

Schwefel dienten zur Gewinnung von Informationen zur Ernährung. Sie wurden von Negahnaz Moghaddam (ehem. Institut für Rechtsmedizin der Universität Bern, jetzt Universität Lausanne, Centre universitaire romand de médecine légale) an Knochenproben aus den Bestattungen Strada 2, 4, 5, 6, 7, 9, 17 und De Leo 1 durchgeführt. Das Knochenkollagen wurde aus insgesamt 16 Proben extrahiert, wovon allerdings nur fünf eine Kollagenausbeute lieferten¹⁵³⁷. Dieser Umstand kann auf die Bodenbeschaffenheit, auf das warme Klima sowie auf die geringe Grösse und den schlechten Erhaltungszustand des beprobten Materials zurückgeführt werden. Die fünf Proben wurden mit Elementaranalyse und Isotopenmassenspektrometrie hinsichtlich der Konzentration von Kohlenstoff, Stickstoff und Schwefel analysiert. Ermittelt wurde ausserdem das Verhältnis zwischen Kohlenstoff und Stickstoff. Nur drei Proben lieferten brauchbare Daten, davon erfüllten nur zwei (FMM-31.7 aus Grab Strada 2 und FMM-61 aus Grab Strada 6) die erforderlichen Qualitätskriterien. Aufgrund der geringen und nicht repräsentativen Datenlage wurde auf eine weitere Auswertung verzichtet.

Einige Zähne aus den Bestattungen Strada 4, 5, 6, 7, 9, 11, 12, 13, 14, 15, 17 und De Leo 1 wurden untersucht, um die Verhältnisse von Strontium- und Bleisotopen zu bestimmen. Daraus versprach man sich, Informationen über die Herkunft der bestatteten Individuen zu gewinnen. Die Analysen wurden von Igor M. Villa (Institut für Geologie, Universität Bern) durchgeführt und ausgewertet. Die Ergebnisse werden im Kapitel 7.3 präsentiert¹⁵³⁸.

Schliesslich wurden einzelne Zähne aus den Bestattungen Strada 6, 7, 15, 17 und De Leo 1 einer TCA-Untersuchung durch Birgit Grosskopf (Abteilung Soziobiologie/Anthropologie, Johann-Friedrich-Blumenbach-Institut für Zoologie und Anthropologie, Universität Göttingen) unterzogen, um das Sterbealter der betreffenden Individuen genauer zu bestimmen. Die Ergebnisse werden im Kapitel 6 erläutert.

Besondere Fundgattungen und einzelne Objekte wurden separaten Materialanalysen unterzogen. So wurden insgesamt 25 Fragmente von Bernsteinperlen aus den Gräbern Strada 2, 4, 8, 11 und 16 von Sarjit Kaur, Edith Stout, Tianyi Li, Kryzel Bonifacio und Lucy Morse (Amber Research Laboratory, Vassar College, New York) untersucht. Die Proben wurden durch Infrarotspektroskopie zur Herkunftsbestimmung des Rohmaterials analysiert. Ein ausführlicher Bericht zu den Untersuchungen und deren Resultaten findet sich in Kapitel 7.4.

¹⁵³⁷ Alle Informationen zu den Analysen der stabilen Isotopen stammen aus dem Bericht von A. Alterauge (Institut für Rechtsmedizin der Universität Bern) vom 20.08.2019. Gerne bedanken wir uns bei A. Alterauge und bei N. Moghaddam für die Durchführung und Auswertung der Analysen.

¹⁵³⁸ Siehe auch Colombi u. a. 2018.

Sample	$^{206}\text{Pb}/^{204}\text{Pb}$	$^{207}\text{Pb}/^{204}\text{Pb}$	$^{208}\text{Pb}/^{204}\text{Pb}$	$^{208}\text{Pb}/^{206}\text{Pb}$	$^{207}\text{Pb}/^{206}\text{Pb}$
FMM 10 residue	19.860±0.105	17.278±0.098	42.573±0.248	2.1436±0.0012	0.8699±0.0003
FMM 10 leach	19.57±0.70	16.78±0.60	41.20±1.50	2.1061±0.0042	0.8584±0.0021

Tab. 7.3 Results of the analysis on samples from the silver bowl S4/63.

Ein Fragment der feinkeramischen Olla S5/1 (Probe 2011/P51) wurde zur Inhaltsbestimmung durch Jorge E. Spangenberg (Institute of Earth Surface Dynamics IDYST, Universität Lausanne) untersucht. Aus der Probe konnten durch Ionenaustauschchromatografie Spuren von verschiedenen Fettsäuren extrahiert werden (Myristinsäure, Palmitinsäure, Palmitleinsäure, Stearinsäure und Ölsäure), jedoch lieferte ihre Verteilung und Zusammensetzung keine klaren Hinweise zur genauen Herkunft der Lipide und somit zum Inhalt des Gefäßes. Grund für den negativen Befund dürfte einmal mehr die schlechte Erhaltung des Objektes, in diesem Fall speziell der Keramikoberfläche, und die starke Oxidation sein¹⁵³⁹.

Das Holzfragment aus der Tülle der bronzenen Lanzen spitze aus Grab Strada 5 (S5/10) wurde von Angela Schlumbaum (IPNA, Universität Basel) untersucht. Die Holzart konnte als Laubholz, wahrscheinlich Eiche, bestimmt werden¹⁵⁴⁰.

Ein Fragment der Silberschale S4/63 wurde zur Herkunftsbestimmung des Rohmaterials von Igor M. Villa (Institut für Geologie, Universität Bern) analysiert. Dabei wurden die Bleisotopenverhältnisse untersucht, die zur Bestimmung der Bleisignatur des Silbererzes führen können. Die 2014 durchgeführten Analysen konnten die Herkunft des Silbererzes nicht mit Sicherheit festlegen. Vergleichbare Bleisotopensignaturen sind für Nordspanien in den Kupferlagerstätten der frühen Bronzezeit von El Milagro und La Profunda in Asturien dokumentiert. Ihre besondere Bleisotopensignatur weist unmissverständlich auf Uran und Thorium im Erz, was für Sulfidlagerstätten eine Ausnahme ist. Das Fehlen von weiteren vergleichbaren Werten – also von weiteren Lagerstätten mit dieser besonderen Isotopensignatur – könnte auf eine Verunreinigung durch Quecksilber zurückgehen. Das Material der Schale aus Francavilla Marittima wies einen hohen Anteil an Quecksilber auf. Die Bleisignatur des Silbers würde somit durch jene des Quecksilbers verfälscht – eine Verunreinigung, die sich bei der Analyse nur sehr schwer trennen lässt¹⁵⁴¹. Ist eine solche Verfälschung anzunehmen, wäre man nicht in der Lage, die Herkunft des Silbers der Schale aus Grab Strada 4 mit Sicherheit bestimmen zu können.

Camilla Colombi

1539 Die Informationen sind dem Vorbericht von J. Spangenberg vom November 2013 entnommen.

1540 Die Bestimmung wurde am 10.01.2012 durchgeführt. Als Alternative könnte Esche in Frage kommen. Für die Untersuchung bedanken wir uns herzlich bei A. Schlumbaum.

1541 Für diese Informationen bedanken wir uns bei I. M. Villa, Institut für Geologie, Universität Bern.

Anhang: Bericht zu den Bleisotopenanalysen am Fragment der Silberschale S4/63 von Igor M. Villa (Juni 2014):

The sample as received was rinsed for about 1 hour in dilute HNO_3 to remove the altered portions. The metallic residue was then completely dissolved in HNO_3 . Both the leachate and the residue were treated by cation exchange resin as described by Villa (2009) to obtain a purified Pb fraction, which was subsequently analysed by multicollector plasma-source mass spectrometry (Villa, 2009). The results are shown in Tab. 7.3; the analytical uncertainty is given at the 95 % confidence level.

The $^{206}\text{Pb}/^{204}\text{Pb}$, $^{207}\text{Pb}/^{204}\text{Pb}$ and $^{208}\text{Pb}/^{204}\text{Pb}$ ratios are higher than present-day Earth (Kramers & Tolstikhin 1997). This is certain evidence of high U and Th concentration in the source ore (presumably not a sulfide ore). The leachate and the residue have similarly high Pb isotope ratios, which strongly suggests that the effect of surface alteration was minor. The leachate contained an extremely small Pb concentration, which made the analytical uncertainty very high; at the same time, this reinforces the statement that surface alteration did not modify the Pb isotopic signature.

The provenance of the silver ore is not established with certainty. The literature reports ores with a similar Pb isotope signature from northern Iberia (Cattin 2008), in particular two mining localities from Asturias, El Milagro and La Profunda. However, an origin from the Aegean/Eastern Mediterranean cannot be ruled out at this time, as there is no certainty that mining districts that have not yet been discovered or studied in sufficient detail could not have yielded Ag ores with a similar Pb isotopic signature.

7.2 Indagini archeobotaniche

7.2.1 Osservazioni preliminari

L'archeobotanica studia le relazioni intercorse fra l'uomo e le piante nel passato, attraverso i dati forniti dai resti botanici rinvenuti in contesti archeologici: carboni, semi, frutti, pollini, fitoliti, diatomee etc.¹⁵⁴². Gli studi archeobotanici contribuiscono in misura rilevante alla comprensione delle dinamiche di trasformazione intervenute diacronicamente nei paesaggi su un duplice livello: in relazione alle modalità con cui l'uomo si è rapportato all'ambiente vegetale a lui circostante; in relazione

1542 Sull'archeobotanica cfr. Motta 2000b e, più ampiamente, Caramello – Arobba 2003. Sullo studio dei resti vegetali nei contesti archeologici cfr. già Dimbleby 1978, che utilizza per primo il termine 'archeobotanica'; Meiggs 1982; Caneva 2005.

a variabili e componenti di tipo ambientale e climatico¹⁵⁴³. Essi costituiscono uno strumento di conoscenza e comprensione dei dati correlabili al paesaggio, all'ambiente, alla diffusione delle specie in relazione al clima e fornisce informazioni in merito a dati naturali (paesaggio-ambiente, diffusione delle specie, clima, datazione e cronologia) e antropici (azione dell'uomo sul suo ambiente, diffusione delle specie, sfruttamento dei vegetali nella vita quotidiana, alimentazione, pratiche agricole, elementi architettonici e di carpenteria, rituali, scambi/commerci).

Le analisi effettuate sui campioni da Francavilla Marittima sono rivolte allo studio dei resti vegetali macroscopici costituiti da carboni (antracoresti), semi e frutti carbonizzati (carporesti), rispettivamente oggetto di studio dell'antracologia e della carpologia¹⁵⁴⁴. Lo studio dei frammenti di carbone (antracoresti) fornisce importanti informazioni etnografiche (raccolta ed uso del combustibile legnoso) e geobotaniche (indicatore paleoambientale). Inoltre, l'analisi rende possibile ricavare numerose informazioni sul governo dei boschi, per esempio su attività quali la capitozzatura e la ceduzione¹⁵⁴⁵. L'analisi dei carboni permette infine di ricostruire aspetti della cultura materiale e della paleoeconomia, relativamente a strutture e/o manufatti o correlando i resti agli ambienti di rinvenimento e provenienza, nel caso di legno locale o importato. La carpologia studia i semi ed i frutti delle *Spermatophytæ* da un punto di vista sia morfologico che strutturale¹⁵⁴⁶. La paleo o archeocarpologia costituisce la sua applicazione ai resti vegetali carbonizzati provenienti da contesti archeologici: macroresti di parti vegetative di piante coltivate e spontanee (semi, frutti, fiori, tuberi radici). Il principale interesse della disciplina si concentra, tuttavia, nell'osservazione dei semi e dei frutti di piante coltivate e non, definiti propriamente carporesti e dei loro aspetti biometrici, ecologici ed etnografici. In questo modo è possibile ottenere informazioni relative a numerosi aspetti della vita nell'antichità: l'uso del mondo vegetale da parte dell'uomo e l'influenza da lui esercitata su di esso, l'origine, la domesticazione e la tecnologia delle piante agricole, la ricostruzione degli ambienti e delle economie, gli interessi alimentari, l'artigianato, le pratiche quotidiane, la presenza di patologie alimentari e di usi medicinali.

7.2.2 Materiali e metodi

I macroresti vegetali oggetto del presente studio provengono da campionature di sedimento archeologico prelevate nel cor-

so delle campagne di scavo effettuate dall'Università di Basilea nella necropoli di Macchiabate tra il 2009 e il 2015. Le campionature sono state effettuate sia in modo esteso (ad esempio interessando singoli livelli di riempimento) che in modo mirato (ad esempio nel caso di situazioni di particolare rilevanza).

I campioni di sedimento sono stati sottoposti a flottazione manuale in acqua su colonna di setacci a maglie decrescenti (5 mm -0,5 mm). L'intero campione risultato dalla flottazione è stato visionato preliminarmente al microscopio binoculare stereoscopico, allo scopo di isolare i resti vegetali dal restante sedimento inorganico rimasto nei setacci. I macroresti vegetali così isolati sono risultati pertinenti a resti di tessuto legnoso combusto (antracoresti) ed a resti di semi e frutti (carporesti) in diverso stato di conservazione. La determinazione dei *taxa* di appartenenza dei carporesti è stata effettuata al medesimo stereomicroscopio; per la determinazione degli antracoresti si è utilizzato un microscopio binoculare metallografico. Per questi ultimi non è stata necessaria alcuna preparazione preliminare, se non semplici operazioni di frattura manuale o col bisturi. Sono stati adottati fattori d'ingrandimento compresi fra 10x e 400x. Il riconoscimento e la determinazione dei resti vegetali sono stati effettuati mediante opportuni confronti con i campioni attuali della collezione di riferimento del Laboratorio di Archeobotanica e con gli atlanti specifici¹⁵⁴⁷. Le analisi xil-antracologiche sono state condotte sui frammenti di tessuto legnoso secondario, mineralizzato e parzialmente combusto. I carboni analizzati presentano, in generale, un eterogeneo stato di conservazione e dimensioni fortemente ridotte. È stato possibile cogliere gli elementi caratteristici dei vari *taxa* mediante l'osservazione microscopica dell'architettura anatomica del legno. Le analisi paleocarpologiche sono state effettuate sui resti vegetali selezionati pertinenti a semi e/o frutti combusto. La determinazione dei resti è stata condotta osservandone la morfologia generale e considerandone i parametri biometrici.

Un trattamento diverso è stato riservato al campione n. 2014/14, consistente in un insieme di frammenti di tessuto legnoso carbonizzato e raccolto in sede di scavo con metodologia del tipo 'a vista': essi sono stati direttamente sottoposti a selezione microscopica preliminare ed a determinazione microscopica, evitando il trattamento in acqua.

7.2.3 Risultati

Una parte dei campioni di sedimento prelevati in sede di scavo si è rivelata sterile di macroresti vegetali. Una parte più consistente del campione ha, invece, restituito attestazione di macroresti vegetali (Tab. 7.4). Sono documentati antracoresti (carboni) e, in minor misura, carporesti (semi e frutti). I macroresti vegetali presentano dimensioni fortemente ridotte (<1 cm) e sono in condizioni di conservazione spesso molto cattive.

1543 Sull'archeologia ambientale e le sue diverse articolazioni disciplinari, quali la bioarcheologia, cfr. Butzer 1971; Evans 1978; Butzer 1982; Castelletti - Tozzi 1985; Dincauze 2000; Motta 2000a; Motta 2000c; Manacorda 2004, 97-102. 118-122, oltre ai contributi raccolti in Bernardi 1992.

1544 Sull'antracologia cfr. Castelletti 1990; Lugli - Pracchia 1995; Renfrew - Bahn 1995, 229 s.; Motta 2000b, 16 s.

1545 La capitozzatura si realizza mediante il taglio degli alberi fino ai ceppi per stimolare la rapida crescita dei germogli primaverili, che possono essere raccolti in più volte; la ceduzione prevede, invece, il taglio degli alberi fino al livello del suolo.

1546 Motta 2000b, 17 s.; Nisbet 1990, 277 s.

1547 Per i carporesti Bertsch 1941; Berggren 1981; Schoch u. a. 1988; Jacomet u. a. 1989; Jacomet 2006. Per gli antracoresti Cambini 1967; Schweingruber 1978; Schweingruber 1990; Abbate Edlmann u. a. 1994. La nomenclatura tassonomica delle specie ed i corrispondenti termini italiani sono uniformati a Pignatti 1982.

Il *record* antracologico è caratterizzato da una ridotta varietà tassonomica. L'identificazione dei *taxa* ha raggiunto diversi livelli di determinazione. È documentato in numerose campionature il genere *Quercus* (quercia) nelle due specie della quercia sempreverde assimilabile per caratteristiche morfo-anatomiche e vegetazionali al leccio (*Quercus* cfr. *ilex* L.) e della quercia caducifoglie assimilabile alla roverella (*Quercus pubescens* Willd.). Sono inoltre presenti il cisto (*Cistus* sp.), il mirto (*Myrtus communis* L.), l'erica (*Erica* sp.), le rosacee (*Rosaceae*). Frammenti carboniosi di dimensioni molto ridotte (<2 cm) provenienti dallo strato di deposizione della tomba Strada 18 sono riferibili a conifere (tessuto omoxilo) non meglio determinabili. Si segnala la presenza di alcuni antracoresti mineralizzati (Tomba Strada 11, strato della deposizione), ovvero interessati da un processo di tipo fisico-chimico di trasformazione e degrado che sottrae le componenti organiche al resto, conferendogli progressivamente consistenza e aspetto analogo a quello di un minerale, fenomeno verosimilmente legato alla forte percentuale di minerali di ferro nel terreno di Macchiabate, dal caratteristico colore rossastro.

Numerosi frammenti di tessuto ligneo parzialmente combusto provenienti dal riempimento della tomba Strada 13 sono pertinenti alle radici e all'estremità inferiore del fusto di un esemplare di oleastro (olivo selvatico, *Olea europaea* var. *sylvestris*). Essi sono da riferire a incendi moderni che hanno interessato la macchia presente sul sito.

Il *record* carpologico ha restituito acheni di fico (*Ficus carica* L.) provenienti dagli strati di deposizione delle tombe Strada 2 e Strada 18. Un unico carporesto riferibile a *Medicago* sp. è stato individuato in un campione dal riempimento della Tomba Strada 11¹⁵⁴⁸. Quattro cariossidi di orzo (*Hordeum vulgare*) provengono da una campionatura relativa allo strato di deposizione della tomba Strada 17.

Dal riempimento della tomba Strada 2 provengono pericarpi (parte esterna del frutto) frammentari riferibili, per i caratteri tafonomici in essi rilevati, a carporesti recenti.

7.2.4 Discussione dei dati

I dati forniti dall'analisi archeobotanica permettono di presentare alcune riflessioni in merito alla paleovegetazione. Il *record* antracologico rimanda a cinque diversi *taxa*: il genere *Quercus* (quercia) nelle due specie della quercia sempreverde simile al leccio (*Quercus* cfr. *ilex* L.) e della quercia caducifoglie simile alla roverella (*Quercus pubescens* Willd.), il cisto (*Cistus* sp.), l'erica (*Erica* sp.), il mirto (*Myrtus communis* L.) e le rosacee (*Rosaceae*). I resti provengono in parte dagli strati più superficiali, relativi a riempimenti presumibilmente posteriori al periodo di utilizzo della necropoli e forse anche recenti (campionature nn. 2009/7, 2011/19, 2012/2 che hanno restituito antracoresti di *Quercus* cfr. *Ilex*, di *Quercus* sv.). Numerosi resti

provengono dagli strati di riempimento più profondi e riferibili alle deposizioni. Tuttavia, la presenza di resti recenti anche all'interno degli strati di riempimento più profondi è indicata dai più di 20 pericarpi recenti individuati nel campione n. 2009/20. Non è quindi possibile stabilire con assoluta certezza se i resti provenienti dagli strati più profondi del riempimento e dalle deposizioni siano relativi al periodo di utilizzo del sepolcro oppure periodi più recenti.

Il quadro d'insieme che il *record* antracologico fornisce riflette un ambiente vegetale caratterizzato dalle formazioni del bosco sempreverde/macchia mediterranea. Il bosco sempreverde, la più tipica ed evoluta delle formazioni mediterranee, è formato da uno strato arboreo comunemente monospecifico, associato ad uno strato arbustivo ed a essenze a portamento spesso lianoso. La macchia è composta, invece, da una fitta associazione di specie arbustive. La quercia sempreverde, con particolare riferimento al leccio (*Quercus* cfr. *ilex*), alligna nei boschi aridi e nelle macchie, in ambiente steno-mediterraneo. È il principale componente della macchia mediterranea, ma lo si ritrova altresì in forma subordinata ai margini dell'areale nella formazione del querceto caducifoglio¹⁵⁴⁹. Trovano, altresì, attestazione il mirto (*Myrtus communis* L.) ed alcune essenze a portamento arbustivo proprie della macchia bassa, quali il cisto (*Cistus* sp.) e le rosacee. Interessante si rivela, inoltre, l'attestazione del cisto e dell'erica. La loro rilevanza risiede nel fatto che si tratta di piante pirofite che, in altri termini, riescono a vegetare su terreni particolarmente impoveriti quali quelli percorsi da incendi o sottoposti a ripetute pratiche di pascolo¹⁵⁵⁰. La famiglia delle *Rosaceae* rimanda infine a piante dai fiori odorosi e dai frutti commestibili (*Prunus* sp., *Sorbus* sp.).

Lo spettro tassonomico fornito dal *record* antracologico individua nella fascia di territorio sub-costiero collinare il bacino di approvvigionamento del materiale legnoso. Certamente la copertura vegetale era nell'antichità più ampia rispetto allo stato attuale, ma le essenze caratteristiche non paiono diverse: sembra, infatti, possibile accertare una buona conservazione dello spettro vegetazionale attuale rispetto al passato. Il territorio che ospita la loc. Macchiabate, come anche l'area del Timpone Motta, presenta ancora una vegetazione tipica di macchia mediterranea, spesso particolarmente rigogliosa, le cui essenze caratteristiche sono proprio il cisto, il mirto, l'erica e nella quale non mancano attestazioni di lecci a portamento sia arboreo che arbustivo.

Il *record* paleocarpologico annovera il fico (*Ficus carica* L.), da campionature relative agli strati di deposizione delle tombe Strada 2 e Strada 18, una pianta ruderale tipica dell'ambiente mediterraneo, ancora oggi presente nel territorio in esame. Alligna sino a m 800 d'altezza s.l.m., prediligendo rupi ombrose¹⁵⁵¹. La sua caratteristica di pianta ruderale non esclude,

1548 Al genere *Medicago* (Linneo, 1753) appartengono molte essenze a portamento erbaceo ed arbustivo ('erba medica'), spesso a carattere foraggero, appartenenti alla famiglia delle *Leguminosae* o *Fabaceae*.

1549 Pignatti 1982, 115 s.

1550 Gatto 2005.

1551 Pignatti 1982, 123 s.

Strada 6	2011	14	86	Strato della deposizione	kg 1,3	-	-	-	-	-	-	-	-	-	-	-	-	-	-		
		40	63	Strato della deposizione	kg 1,7	-	nn. 2	-	-	-	-	-	-	-	-	-	-	-	-	-	
Strada 8	2012	2	30	Riempimento posteriore al crollo della struttura interna della tomba	kg 5,3	-	nn. 2	-	-	-	-	-	-	-	-	-	-	-	-		
		3	28	Riempimento tomba	kg 5,4	-	-	-	-	-	-	-	-	-	-	-	-	-	-	-	
Strada 11	2013	7	95	Strato della deposizione	kg 3,3	-	-	-	-	-	-	-	-	-	-	-	-	-	-	-	
		8	28	Strato della deposizione	kg 7,9	-	-	-	-	-	-	-	-	-	-	-	-	-	-	-	-
		35	93	Riempimento tomba	kg 10,4	-	nn. 2	-	-	-	-	-	-	-	-	-	-	-	n. 1 Medi- cago sp.	n. 1 mala- cofauna	
		84	111	Strato della deposizione	kg 9,4	-	nn. 10	-	-	-	-	-	-	-	-	-	-	-	-	-	
Strada 12	2013	89	111	Strato della deposizione	kg 9,24	-	nn. 3	nn. 2	-	-	-	-	-	-	-	-	-	-	nn. 15 mine- raliz- zati	-	
		36	105	Riempimento tomba	kg 2,2	-	-	-	-	-	-	-	-	-	-	-	-	-	-	-	
Strada 13	2014	40	103	Strato della deposizione	kg 16,1	-	nn. 6	nn. 4	-	-	-	-	-	-	-	-	-	-	-	nn. > 50 di oleastro recente	
		14	28	Riempimento tomba, strato di sedimento nero	g 340	-	-	-	-	-	-	-	-	-	-	-	-	-	-	-	
Strada 14	2014	46	80	Strato deposizione	kg 4,3	-	nn. 6	nn. 2	nn. 2	-	-	-	-	-	-	-	-	-	-	-	
		26	75	Strato deposizione	kg 5,3	-	nn. 2	nn. 2	-	-	-	-	-	-	-	-	-	-	-	-	
Strada 15	2014	53	74	Sedimento contenuto all'interno della brocca S14/1	g 280	-	-	-	-	-	-	-	-	-	-	-	-	-	-	-	
		47	60	Strato della deposizione	kg 4,8	-	n. 1	nn. 3	-	-	-	-	-	-	-	-	-	-	-	-	
Strada 16	2014	45	50	Strato della deposizione	kg 4,4	-	nn. 18	nn. 10	nn. 9	-	-	nn. 5	-	-	-	-	-	-	-	-	
De Leo 1	2014	55	84	Strato della deposizione	kg 5,6	-	nn. 2	-	-	-	-	-	-	-	-	-	-	-	-	-	
Strada 17	2015	15	31	Strato della deposizione		-	x	-	-	-	-	-	nn. 2	-	-	-	-	-	-	-	
		16	31	Strato della deposizione		-	-	-	-	-	-	-	-	-	-	-	-	-	-	nn. 4 cartosidi Hordeum vulg. (orzo)	
Strada 18	2015	21	27	Strato della deposizione		-	-	-	-	-	-	-	-	-	-	-	-	-	x	acheni di Ficus carica	

tuttavia, una sua coltivazione da parte dell'uomo, che ne ha fin dall'antichità apprezzato i frutti, presenti spesso in contesti sacri o funerari in forma di offerte fittili e in forma di frutta fresca. Sono documentati inoltre quattro cariossidi di orzo (*Hordeum vulgare*) da una campionatura relativa allo strato di deposizione della tomba Strada 17. L'unico carpoesto riferibile a *Medicago sp.* (dal riempimento della tomba Strada 11), non è sufficiente a fornire informazioni utili alla paleoeconomia della comunità antica qui stanziata.

Sembra opportuno ribadire infine che l'assenza di macroresti vegetali non implica necessariamente l'esclusione di suppellettile lignea o vegetale o l'assenza dai contesti indagati di resti pertinenti a tessuto vegetale. La condizione essenziale che garantisce, in condizioni climatico-ambientali analoghe a quelle in esame, la conservazione di tessuto legnoso oltre che di semi e frutti è, infatti, la carbonizzazione, la quale costituisce un episodio di combustione solo parzialmente avvenuto e non interamente compiuto. Essa ha il grande vantaggio di rendere i resti assolutamente immuni da attacchi di agenti decompositori o, più semplicemente, da fenomeni di corrosione ed usura legati alle caratteristiche del terreno. È pertanto possibile affermare che i campioni studiati e risultati privi di resti vegetali attestano l'assenza di fenomeni di combustione nei rispettivi contesti di provenienza, non escludendo la presenza di vegetali da essi.

Donatella Novellis

7.3 Isotope analyses of Strontium (Sr) and Lead (Pb)

7.3.1 Introduction

Forensic sciences often require the determination of a human being's provenance. This question can be addressed by applying geochemical methods. The chemical compositions (including the isotopic compositions of some elements) of humans and of human artefacts can vary as a function of the chemical characteristics of the provenance area and of environmental factors (and of manufacturing processes for artefacts).

In the case of bones, the chemical composition is of limited use, because skeletons show a very limited chemical variability (unlike artefacts such as ceramics or metal alloys). What has proved much more useful is the bones' isotopic composition, whose variations closely mirror the isotopic signature of food, which is controlled by the isotopic characteristics of vegetables, both those consumed directly and those fed upon by game and livestock. As vegetables incorporate the nutrient ions from the soil, they reflect the geological characteristics of the surroundings of the human settlements.

A difficulty affecting the tracing of the provenance of pre-historic humans are possible secondary chemical reactions that occurred in the time between burial and archaeological exca-

vations. Metal artefacts can develop a surface patina, but usually preserve a pristine, unmodified core. In contrast, skeletons consist of porous and (slightly) soluble calcium phosphate, and are therefore prone to the exchange of strontium (Sr) and lead (Pb) with the soil in the tomb. According to the inhumation style, the secondary alteration reaction can be pervasive and achieve a complete substitution of the bone mineral, thus erasing the primary chemical and isotopic record. The best hope for preserving, at least in part, the original isotopic signature is given by tooth enamel, which is the most resistant part of the skeleton.

7.3.2 Analytical techniques

The teeth were first cleaned coarsely by scraping the reddish surface with a steel blade. Then the uppermost 2-3 mm of crown enamel were broken with a clean steel scalpel, giving a fragment weighing 50-100 mg. The fragment was dissolved in nitric acid. The solution was centrifuged to remove soil silicates (which are insoluble in nitric acid) and then subjected to chemical separation using the Sr-Spec™ cation exchange resin: from the same solution, pure Pb was extracted following Villa (2009) and then pure Sr was extracted following Villa *u. a.* (2006). The reason for measuring the isotopic composition of both Sr and Pb is the endeavour to increase the potential of the isotope analyses to discriminate amongst possible provenance areas. Soils were leached with hot aqua regia overnight, in order to extract the mobile cations from the soil (those that could have been involved in meteoric alteration) without dissolving the leach-resistant minerals that could provide additional Sr and Pb in the laboratory but not in the tomb environment. Pure Sr and Pb fractions were then extracted from the soil leach solution using the same treatment as for the teeth.

7.3.3 Results and discussion

The main question pertaining to the reliability of the data on human teeth is the extent to which the analysed samples retain their primary isotope signature. Considering the poor preservation state of the skeletons and the recrystallization of the original enamel, which had become turbid, rusty and grainy, it could have been conceivable that all teeth had exchanged Pb and Sr to an almost complete degree and therefore only registered the isotopic signature of the embedding tomb soil.

A first, test measurement showed that the crown enamel from one individual and the soil surrounding its skeleton had significantly different Sr and Pb isotopic signatures. This means that the exchange of Pb (usually an exceedingly mobile element in skeletons) and of Sr between teeth and soil was not complete. This encouraged us to pursue the analyses. In total we obtained 27 Sr-Pb analyses: 18 teeth and 9 soils from the Strada and De Leo areas of the necropolis. On three teeth we repeated the entire dissolution-purification procedure on different chips of crown enamel in order to check its reproducibility; as all three replicate analyses agreed, only the average is

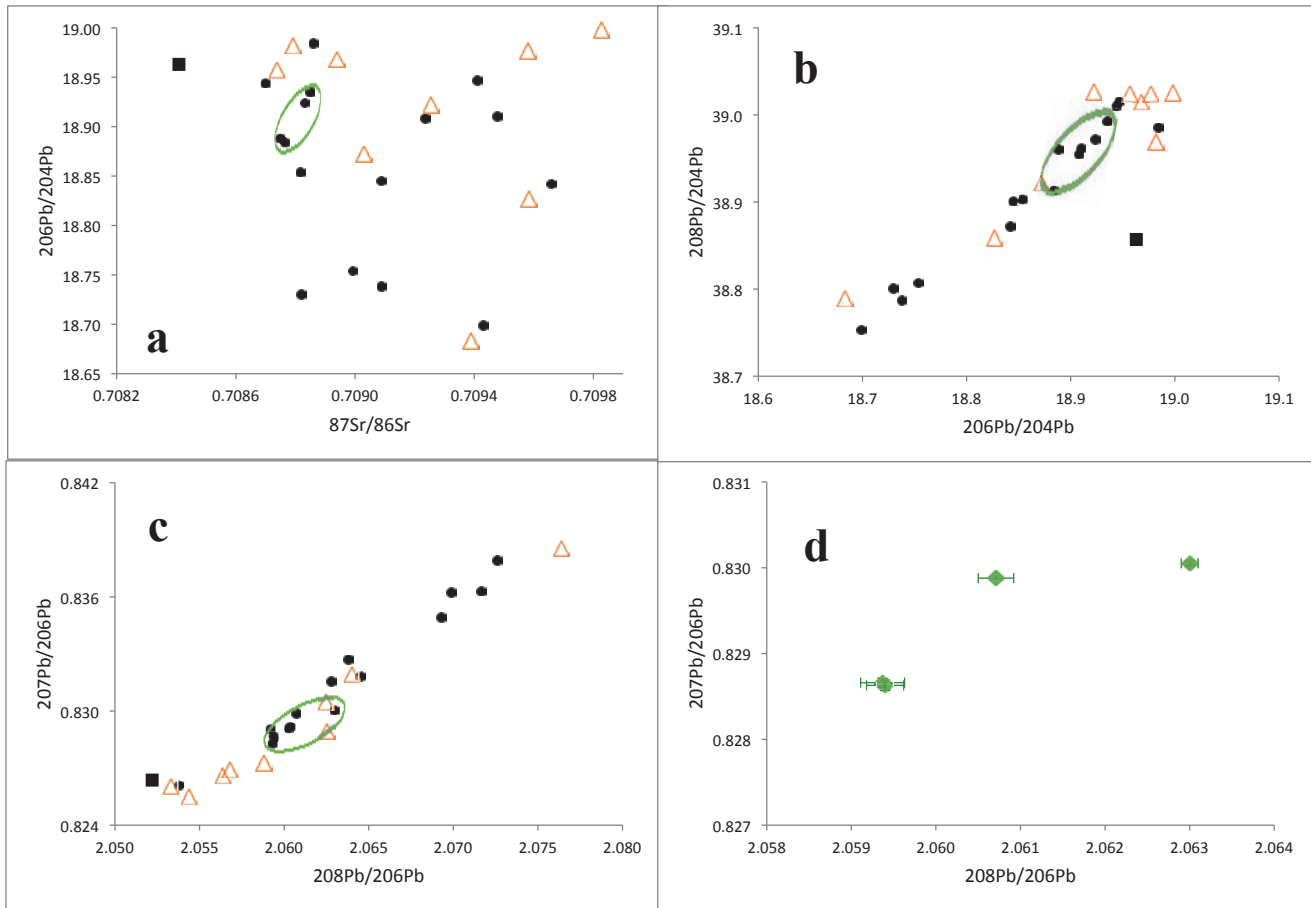
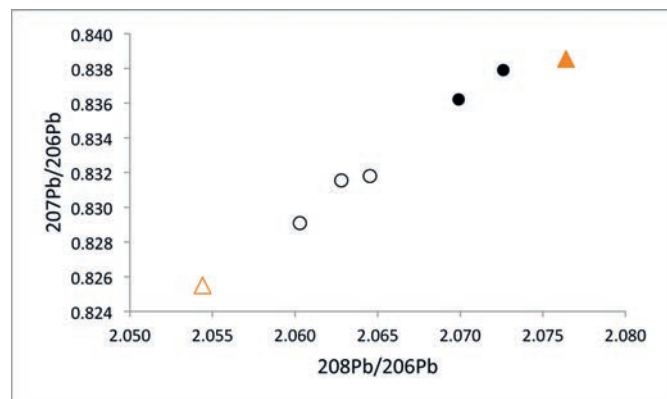


Fig. 7.5 Sr and Pb isotopic composition of teeth and soils from the Francavilla graves. A: Sr-Pb isotope correlation. Triangles = soil leaches; circles = teeth; green ellipse = infant teeth; large square = individual buried in tomb DeLeo 1. Error bars are smaller than the symbols. Note that the axes of diagram A do not have a common denominator, and that therefore mixing does not necessarily follow rectilinear trajectories. The general similarity of the polygon spanned by the soil leaches with the area occupied by the teeth suggests that the agricultural food source(s) and the necropolis soils are geologically quite similar. – B, C: Common-denominator Pb correlation diagrams: B ^{204}Pb - ^{206}Pb - ^{208}Pb ; C ^{206}Pb - ^{207}Pb - ^{208}Pb . Symbols as in A. – D: Detail of C, showing the four infant teeth; note change of scale. Teeth #45 and 75, from two different graves, are indistinguishable in the graph, and also statistically. Error bars show 95% confidence limits.

Fig. 7.6 Pb isotopic composition of teeth and soils from two graves, Strada 4 and Strada 7. Open symbols, grave 7: circles = teeth (#12, 111, 112); triangle = grave-filling soil. Filled symbols, grave 4: circles = teeth (#49, 52); triangle = grave-filling soil. The full analytical data are given in Table 7.7. The analytical uncertainties are smaller than the symbols. The teeth lie close to, but are well distinct from, the soil: alteration after burial was not pervasive and did not obliterate the primary isotopic signature entirely. In both graves systems the tooth analyses and the soil lie on a straight line segment, indicating a binary mixture (of variable mass balance) between the primary isotopic signature of the tooth and the isotopic signature of the soil. Moreover, the fact that the five tooth analyses from two individuals lie in a single linear array suggests a common 'food signature'.



shown for clarity. The complete analytical data are presented in Table 7.7 and in Figs. 7.5 a–d.

Before we can fully discuss these results, it is useful to assess the importance of post-mortem mineralogical modification of the enamel. In order to obtain a semi-quantitative information on the extent of in-grave alteration, we performed redundant isotope analyses, as described below, and plotted the results in a common-denominator isotope correlation (cdic) diagram (Fig. 7.6). The systematics of cdic diagrams is discussed by Villa (2001); the point of interest for the present work is that in

such a diagram all mixtures between two end-members always lie on a straight line segment.

The samples in Fig. 7.6 represent two individuals from two separate graves, Strada 4 and Strada 7. In each case we analysed both the grave-filling soil and the crown enamel of two, respectively three, teeth. We observe that no tooth has completely lost its primary isotopic signature. However, the tooth analyses of the same individual are all different from each other, meaning that the preservation is only partial, and that some post-mortem mass transfer has occurred. Each grave shows a

Grave	Sample	$^{87}\text{Sr}/^{86}\text{Sr}$	2s uncert	$^{206}\text{Pb}/^{204}\text{Pb}$	2s uncert	$^{207}\text{Pb}/^{204}\text{Pb}$	2s uncert	$^{208}\text{Pb}/^{204}\text{Pb}$	2s uncert	$^{208}\text{Pb}/^{206}\text{Pb}$	2s uncert	$^{207}\text{Pb}/^{206}\text{Pb}$	2s uncert
Strada 4	49/2010	0,70943	0,00005	18,699	0,003	15,668	0,003	38,753	0,009	2,0726	0,0002	0,83791	0,0000476
Strada 4	52/2010	0,70909	0,00005	18,738	0,003	15,669	0,003	38,787	0,008	2,0699	0,0002	0,83622	0,0000476
Strada 4	46/2010 soil	0,709390	0,000037	18,683	0,002	15,667	0,002	38,789	0,007	2,0764	0,0002	0,83854	0,00004
Strada 5	54/2011	0,70941	0,00004	18,947	0,009	15,708	0,008	39,015	0,020	2,0592	0,0002	0,82905	0,0000476
Strada 6	56/2011	0,709479	0,000035	18,910	0,004	15,679	0,004	38,962	0,009	2,06038	0,00008	0,82916	0,00004
Strada 6	53/2011 soil	0,709029	0,000032	18,872	0,002	15,672	0,002	38,922	0,005	2,06249	0,00013	0,83046	0,00003
Strada 7	12/2012	0,70966	0,00004	18,842	0,009	15,668	0,007	38,872	0,018	2,0628	0,0002	0,83155	0,00005
Strada 7	111/2012	0,709088	0,000037	18,845	0,004	15,674	0,003	38,901	0,009	2,06453	0,00015	0,83180	0,00003
Strada 7	112/2012	0,709236	0,000059	18,908	0,003	15,676	0,003	38,955	0,007	2,06029	0,00013	0,82909	0,00004
Strada 7	24B/2011 soil	0,709827	0,000028	18,998	0,002	15,682	0,002	39,025	0,007	2,0544	0,0002	0,82550	0,00003
Strada 9	45/2012 infant	0,708832	0,000030	18,924	0,002	15,682	0,003	38,972	0,009	2,05937	0,00026	0,82866	0,00005
Strada 9	49/2012 infant	0,708765	0,000022	18,884	0,002	15,671	0,002	38,913	0,005	2,06071	0,00021	0,82988	0,00003
Strada 9	51/2012 infant	0,708749	0,000038	18,888	0,001	15,678	0,001	38,960	0,004	2,0630	0,0001	0,83005	0,00002
Strada 12	75/2013 infant	0,708849	0,000024	18,935	0,005	15,690	0,004	38,993	0,012	2,05940	0,00022	0,82863	0,00006
Strada 12	71/2013 soil	0,709581	0,000016	18,977	0,001	15,686	0,001	39,024	0,003	2,05640	0,00008	0,82659	0,00002
Strada 11	101/2013	0,708820	0,000034	18,730	0,002	15,664	0,002	38,801	0,006	2,07165	0,00023	0,83630	0,00004
Strada 13	44/2014	0,708700	0,000039	18,944	0,003	15,691	0,003	39,010	0,008	2,05932	0,00015	0,82829	0,00004
Strada 13	78/2014 soil	0,708738	0,000028	18,957	0,002	15,683	0,003	39,024	0,007	2,0588	0,0002	0,82726	0,00003
Strada 14	69/2014	0,708862	0,000037	18,984	0,003	15,682	0,003	38,985	0,008	2,0538	0,0002	0,82607	0,00004
Strada 14	77/2014 soil	0,709256	0,000025	18,922	0,003	15,684	0,004	39,026	0,011	2,06255	0,00031	0,82892	0,00006
Strada 15	49/2014	0,708818	0,000046	18,854	0,027	15,700	0,022	38,903	0,057	2,06379	0,00022	0,83269	0,00010
Strada 15	79/2014 soil	0,708940	0,000041	18,968	0,002	15,685	0,002	39,015	0,006	2,05681	0,00018	0,82692	0,00004
Strada 17	92/2015	0,708993	0,000023	18,754	0,003	15,658	0,002	38,807	0,006	2,06930	0,00008	0,83491	0,00003
Strada 17	59/2015 soil	0,709583	0,000030	18,827	0,003	15,662	0,003	38,859	0,008	2,06401	0,00004	0,83192	0,00001
DeLeo 1	61/2014	0,708409	0,000065	18,963	0,003	15,671	0,003	38,857	0,010	2,0522	0,0002	0,82637	0,00004
DeLeo 1	76/2014 soil	0,708792	0,000030	18,982	0,002	15,679	0,002	38,969	0,008	2,0533	0,0003	0,82603	0,00004

Tab. 7.7 Analytical data of the Sr and Pb isotope analyses. Samples marked 'soil' refer to soil leaches, unmarked ones to teeth of adult individuals, and those marked 'infant' to the infant skeletons in graves Strada 9 and 12. All uncertainties are given at the 95 % confidence interval.

good linear correlation between soil and teeth. For grave Strada 7, the alignment suggests that the primary Pb isotopic signature of the teeth must have been higher or equal to the data point having the highest values of the X and Y coordinate (viz. 2.065 and 0.832), and that each data-point is shifted from its primary position towards the soil (the triangle at the bottom left) by having been partly contaminated by it. For grave Strada 4, the trend is specular: the primary Pb isotopic signature of the teeth must have been lower or equal to the data point having the lowest values of the X and Y coordinate (viz. 2.070 and 0.836), and soil contamination shifted the analysed teeth towards the triangle at the upper right. What is unexpected is that the two graves and the five teeth all lie on the same linear trend, whereby the two soils lie at the extremes of the trend segment. This remarkable observation suggests that the two individuals shared a common Pb isotope signatures of their teeth, somewhere in the space between the two segments (viz. $2.065 < X < 2.070$ and $0.832 < Y < 0.836$), which may be viewed as the typical signature of the food available during their childhood, and which later was modified along a diverging trend owing to the different soil characteristics of their graves. We note that this inferred 'common primary food signature' lies not far from the mid-point of the segment between the soils of Strada 4 and Strada 7 and is very similar to that of the four infant teeth shown in Table 7.7 and in Fig. 7.5 d. In summary, the redundant sample analysis presented in Fig. 7.6 demonstrates that the isotopic signatures of the analysed teeth do not coincide with that of the grave soil, implying that post-mortem alteration is present but not overwhelming, and that therefore prudent conclusions regarding the provenance of the buried humans are credible.

In this light, we can propose the following conclusions from the results shown in Fig. 7.5.

(i) The nine soil leaches are significantly different from each other. The mobile cation concentrations and isotopic compositions are heterogeneous at a scale of a few m. As there exist no geological maps that can resolve rock formations at the meter scale, the observed isotopic heterogeneities are an unexpected discovery. The implication is that in an environment dominated by fluvial sediments (such as Francavilla Marittima) it may be advisable to characterize the isotope signature of agricultural land and of its vegetation basing on more than only few point analyses.

(ii) The polygon spanned by the Sr and Pb isotopic compositions of the 9 soil samples may be considered representative of the agricultural land, from which the individuals buried in the Strada burial cluster obtained their food. The four infant teeth (green ellipse in Fig. 7.5, detailed in Fig. 7.5 d) have special relevance, as it is very likely that infants had not migrated from abroad and had been nourished *in situ*. The soil polygon includes all analysed teeth except one (see item (iii) below). The teeth themselves scatter in a relatively narrow area in the inner part of the polygon; some teeth of adult skeletons plot close to the isotopic range of infant teeth, some plot closer to the tomb soil, as expected from post-mortem meteoric al-

teration. The clustering of teeth in the inner part of the soil polygon means that the provenance of the individuals buried in the Strada burial cluster is compatible with the geological and isotopic characteristics of the area near the necropolis.

(iii) The only exception is represented by the individual buried in the De Leo 1 tomb (Sample 61). The isotopic composition of his tooth sets him apart from all others by being incompatible with the soils analysed so far. The representative point of tooth #61 is marked by a large black square in Figs. 7.5 a–c and lies outwards of the soil of the DeLeo 1 burial site in all isotope correlation diagrams. This displacement requires that the primary 'food signature', before post-mortem interaction with the grave soil, was even further removed from the soil polygon enclosing all other tooth analyses. This is evidence of a foreign provenance of the individual, whose nourishment source in his juvenile years was not compatible with the Francavilla Marittima agricultural area. A non-isotopic, independent confirmation of his exceptional status within the burial community of Francavilla Marittima is provided by the objects in his tomb.

Igor M. Villa

7.4 Analysis of Amber Beads from the Macchiabate Necropolis of the Timpone Motta settlement in South Italy

7.4.1 Introduction

Martin A. Guggisberg and his team excavated 18 graves from the sector called Strada in the Macchiabate necropolis next to the Timpone Motta settlement in Francavilla Marittima. These graves were dated to the 8th century BC, and among the burial materials excavated were amber fragments and beads. The team is interested in studying the origin of the ambers in furthering their understanding of the local Oenotrian culture of the Iron age cemetery, and the relationship of the local culture with the Greek that settled in Sybaris near Francavilla near the end of the 8th century BC.

The focus of this study is an evaluation of the provenance of amber beads found in several tombs in the Macchiabate necropolis; if these are Baltic amber, it could lend support to cultural value and social status of the deceased. Samples of the amber beads found in several tombs (Strada 2, 4, 8, 11 and 16) were studied in the Amber Research Laboratory at Vassar College.

7.4.2 Experimental

Sample preparation: The amber samples were received in sealed plastic bags, organized by their excavation location in the grave. These samples were not treated, and appeared weathered or degraded fragments of amber. Each amber sample was analyzed by FTIR spectroscopy using KBr pellet, and in the solid state by ATR analysis. The pellet was made by grinding 1 mg of amber and 250 mg KBr to a fine powder and pressed un-

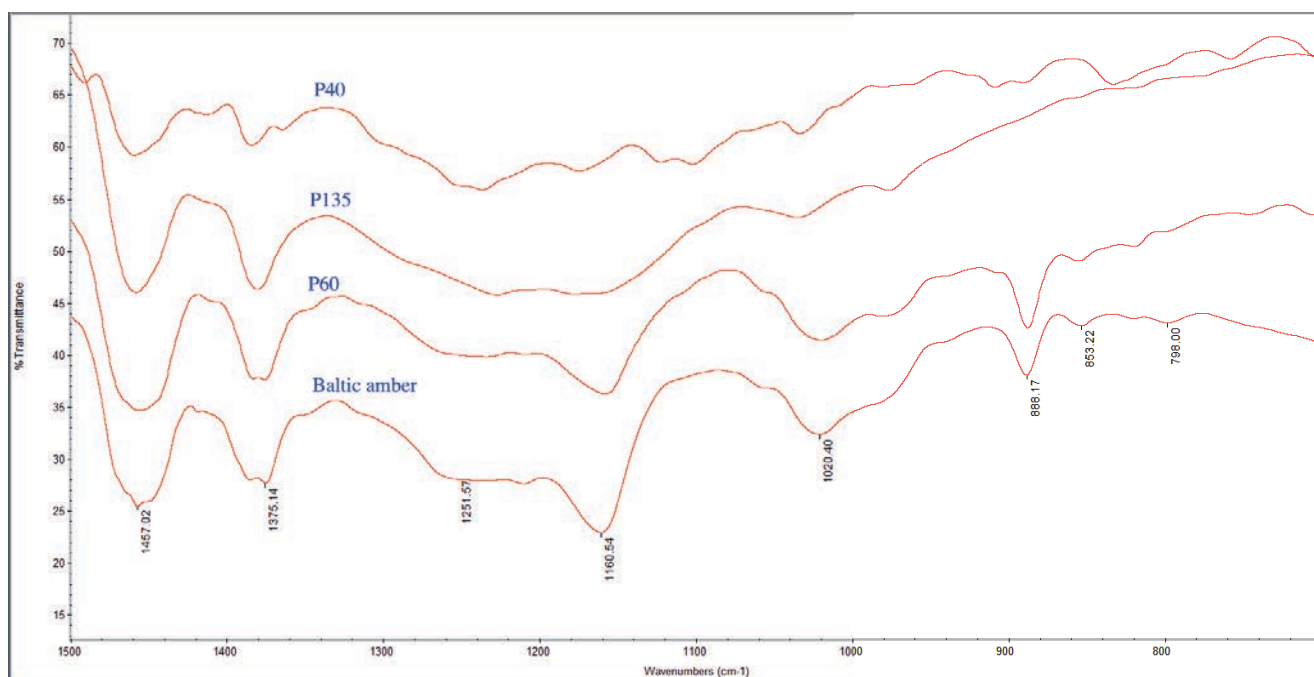


Fig. 7.8 FTIR spectra of P40, P135, P60 ambers, and an authentic Baltic amber. The Baltic amber (ARL B-2 sample) is a sample for Samland received from the Geologisches Staatsinstitut Hamburg, Germany.

der high pressure into a pellet. A select number of ambers of sufficient sample size (P40, P58, P60, P126, P135 and P136) were further studied by gas chromatograph-mass spectrometry (GCMS) for further evaluation. The amber samples were extracted in 50/50 mixture of dichloromethane and ether, and methylated with diazomethane to convert carboxylic acids to methyl esters to enhance analysis by GCMS.

Method of analysis: The ambers were analyzed using the Thermo Nicolet FTIR Nexus 670 model. GCMS analysis was carried on methylated organic extracts using Agilent Technologies 6890GC/5973 MS model fitted with a Hewlett Packard poly(methylsiloxane) capillary column (HP-1 ms, 15 m x 0.25 mm) set to the following parameters: injection port at 250 °C, electron impact at 70 eV, and column from 50-250 °C at 5 °C/minute.

7.4.3 Results and Discussion

The ambers from several tombs from the Macchiabate necropolis of the settlement of Timpone Motta were analyzed by FTIR spectroscopy. The samples for the most part appeared degraded and showed surface corrosion from being buried in the graves. We did our best to sample the most visually intact piece of each amber for the analysis. To help in the evaluation of the possible provenance of the ambers from the Macchiabate necropolis, these were compared to authentic Baltic and Sicilian ambers from the ARL database. At first pass, we sought to evaluate if the ambers from the graves were Baltic amber, based on the signature presence of the characteristic 'Baltic shoulder' in the region of 1100-1300 cm^{-1} . The FTIR spectra for a select number of ambers are shown in Figures 7.8 and 7.13, and the P60 spectrum from tomb 4 closely matches the spectrum of the reference Baltic amber, as evident by the

characteristic absorption peak at 1161 cm^{-1} preceded by a flat band between 1200-1250 cm^{-1} . Accordingly, P60 was designated Baltic amber. Additionally, the spectra of the following amber samples were also consistent with Baltic amber: P56 (tomb 2); samples P59 and P61 (tomb 4); and samples P56, 57 and P58 (tomb 8).

The amber samples from tomb 2 were more varied. While P56 clearly corresponded to a Baltic amber, the FTIR spectra for P57 and P58 samples did not correspond to a Baltic amber. A possible mitigating factor could be the state of degradation of the samples, although this reasoning is less compelling based on further analysis as reported below.

Strada 11 contained over one thousand small amber beads. Fifteen amber samples (P121-P40) from it were analyzed, and the FTIR spectra were similar to each other, indicating a common source. A representative FTIR spectrum for P135 is shown in Figure 7.8, and evaluation of the 1100-1300 cm^{-1} shows that P135 does not show the characteristic Baltic peak and shoulder. Accordingly, all the ambers from tomb 11 are reported as not Baltic. Likewise, the lone sample from tomb 16 (P40) as shown in Figure 7.8 was also deemed not Baltic, though we report this cautiously because this was a very degraded sample.

In an effort to further probe the identity of ambers from tombs 2, 11 and 16, methylated organic extracts of P40, P58, P60, P126, P135 and P136 were analyzed by gas chromatograph-mass spectrometry. The GC scans for these samples (except P135) are shown in Figure 7.9. The GC scan for P60 shows the peaks expected for a Baltic amber, grouped here broadly in terms of monoterpenes, sesquiterpenes and diterpenes, with the latter in highest abundance. A visual inspection of the GC scans of P58, P126 and P136 show that these

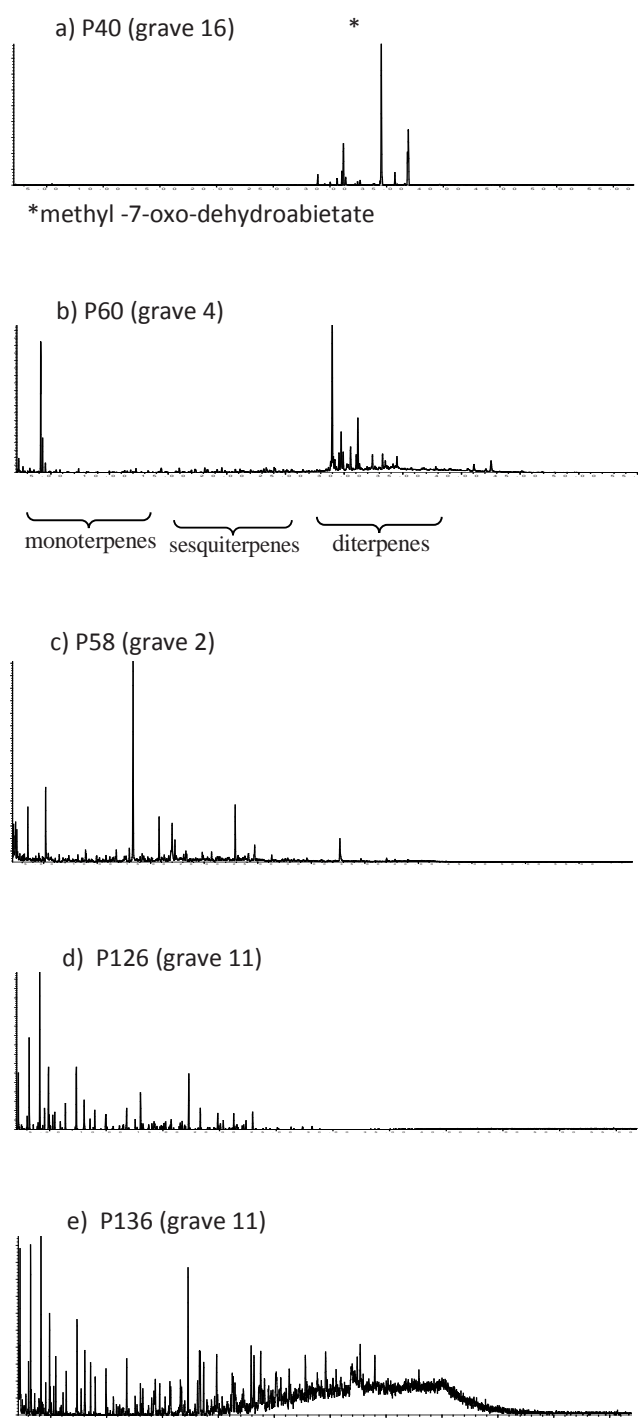


Fig. 7.9 Gas chromatograms of select amber samples.

samples do not match the pattern and distribution of the peaks observed for P60 that was identified above as Baltic amber; the samples P58, P126, P135 and P136 show very few diterpenes relative to monoterpenes and sesquiterpenes; the molecular composition of P58, P126, P135 and P136 components do not support the labdanoid structure expected for Baltic amber. Thus, these amber samples do not correspond to Baltic amber based on both FTIR spectroscopy and GCMS analysis and, by extension, the same can be concluded for the other ambers from tomb 11.

The GC scan for P40 showed a number of small amounts of monoterpenes and sesquiterpenes peaks, and several peaks in the diterpene region. These components are detailed in Table 7.10. Although the P40 sample does not show too many peaks, the peaks present are consistent with diterpenes that can be found in Baltic amber¹⁵⁵², as evident from the presence of methyl dehydroabietate, 13-hydroxy-isopropyl 7-oxo-podocarpatrien-15-oate, methyl 7-hydroxy-dehydroabietate and methyl 7-oxo-dehydroabietate (most abundant), and retene isomers. The last four components are indicative of a higher degree of oxidation and diagenesis of amber than sample P60. This could be interpreted as P40 being more degraded from being buried longer, or possibly a more mature amber (older in age) than the other amber samples. Overall, it is possible that P40 could be Baltic, but the poor quality of the amber is problematic in making a definitive identification. Another scenario is also possible, given that the GCMS data for P40 is also consistent with an archaeological pine pitch, prepared from thermal treatment of resin from Pinaceae plants. However, the latter suggestion seems unlikely given that P40 was reportedly recovered from an 8th century grave. A further clarifying point can also be made from the analysis of the P40 sample. Even though we could not classify it as Baltic amber based on FTIR analysis, the GCMS analysis of the organic extract clearly showed presence of diterpenes components (in advanced state of oxidation and aromatization). This evidence in itself does not prove it is Baltic amber, but indicate a diterpene resin source for this amber. By comparison, the GC analysis of P58 (grave 2), and P135 and P136 (tomb 11) that also appeared degraded (less so than P40) showed a significantly low amount of diterpenes. The inference to be drawn here is that degraded ambers of Baltic origin should be able to show evidence of diterpenes by GCMS analysis.

The ambers from tombs 11 and 2 (those not Baltic) were also compared against an authentic Sicilian amber from our in-house ARL database. Two representative FTIR spectra are shown in Figures 7.11 and 7.12. A visual inspection of the key region (enclosed in the circle) show that ambers P126 and P57 do not compare sufficiently to the FTIR spectrum of an authentic Sicilian amber¹⁵⁵³. The latter is characterized by an absorption peak at about $1241 \pm 5 \text{ cm}^{-1}$ and a weaker secondary peak about $1181 \pm 5 \text{ cm}^{-1}$.¹⁵⁵⁴ Thus, the samples from tombs 2 and 11 that were designated as not Baltic also do not conform to Sicilian amber based on FTIR spectroscopy.

The P126 amber was also compared to other ambers in our in-house ARL (FTIR) database, and was found to match two other ambers previously studied in our laboratory, namely a Lebanese amber¹⁵⁵⁵ and a geological amber¹⁵⁵⁶ from Auvergne,

1552 Mills u. a. 1984, 15–39.

1553 This spectrum is catalogued as IR6341 from Vassar College ARL in-house database.

1554 Beck – Hartnett 1993, 36–47.

1555 Kaur u. a. 2012, 39–43.

1556 The sample was obtained from Wien Naturhistorisches Museum, Vienna, Austria (AW: 862).

RT	M+	BP	Fragment (m/z)	Tentative Identification
min	m/z	m/z		
5.47	136	105	77, 51	Benzoic acid
23.50	192	192	191	Trace, methyl phenanthrene
25.78	206	206	191, 189	Trace; dimethylphenanthrene
28.69	222	179		Trace, unknown
28.92	234	219	204	Retene isomer
29.53	270	255	173, 199	Isomer of abietatriene
43615	232	232	215, 217, 192, 189, 202	Dimethyl phenyl naphthalene, C ₁₈
30.62	286	211	145, 171, 115, 128, 226, 157, 254, 91, 165, 71	Methyl 7-oxopodocarpatriene-15-oate, C ₁₈ H ₂₂ O ₃
43616	312	237	197, 195, 165, 179, 209, 141	Methyl Δ6-dehydroabietate
31.18	314	239	299, 197, 141, 128, 115	Methyl dehydroabietate^b
31.38	234	219	189, 190, 191, 171, 165	Retene isomer...missing m/z 204
32.21	286?	271	213	unknown
32.44	300	225	159, 195, 128, 196, 166, 185	Methyl 17-nor dihydro abietate
32.44	310	235		Methyl abieta-pentaen-18-oate
32.67	312	237	181, 127, 128, 152, 297	Methyl 6,8,11,13-abietatetraen-18-oate* C ₂₁ H ₂₈ O ₂ , isomer of RT 31.05
33.06	248	233		Methyl retene
33.71	316?	241	219, 253	Relate to methyl abietate
33.83	330?	239	237, 162, 255	Methyl 7-hydroxy-dehydroabietate
33.94	?	263	278, 202, 203, 204	unknown
34.42	316	241	175, 242, 201 115, 186, 91	Methyl 13-ethyl-12-hydroxypodo-carpatrien-19-oate
34.55	328	253	187, 213, 254, 296, 313	Methyl 7-oxo-dehydroabietate^a
34.62	314	239	299, 197, 173, 128, 155, 91	Related to methyl dehydroabietate
35.46	344	329	269	13-hydroxy-isopropyl 7-oxo-podocar-patrien-15-oate
35.73	326	251	185, 211, 115, 267, 294, 161	C ₂₁ H ₂₆ O ₃ , related to RT 36.84
35.92	?	263	278, 176	Unknown
36.58	310?	266	267, 251, 252, 239	Unknown
36.84	328	253	187, 213, 268, 313, 296, 128	Related to RT 34.55
36.93	344	329	269, 187, 213, 251, 285	Isomer of RT 35.46 ^b

^a The most abundant component.

^b The second most abundant component.

Tab. 7.10 Organic composition of organic extract of P40 from GCMS analysis.

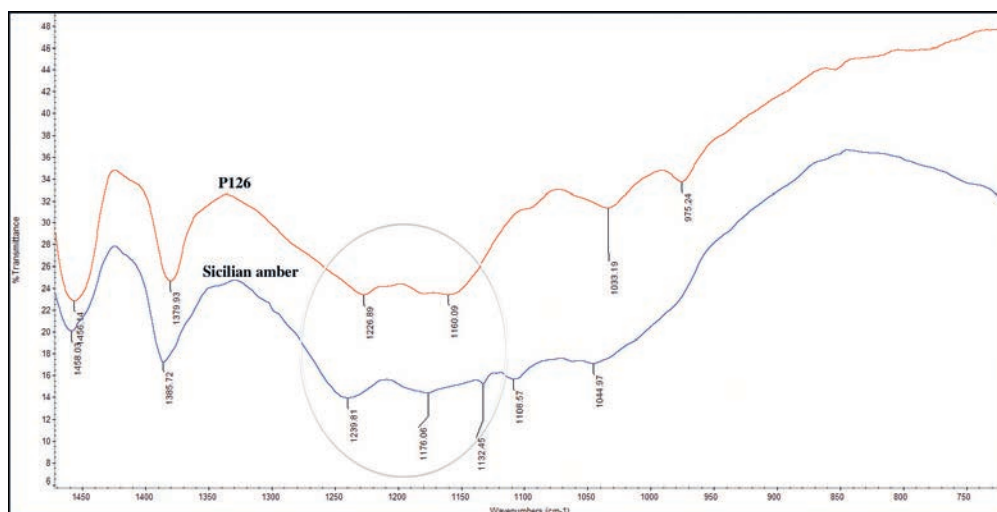


Fig. 7.11 FTIR Spectra of P126 and Sicilian ambers. Sicilian sample is from the Muséum National d'Histoire Naturelle in Paris, Inventory No. Sicily Italy #38.35c(2); region of interest is circled.

Fig. 7.12 FTIR spectra of Sicilian and P57 ambers. Sicilian sample is from the Muséum National d'Histoire Naturelle in Paris, Inventory No. Sicily Italy #38.35c(2); region of interest is circled.

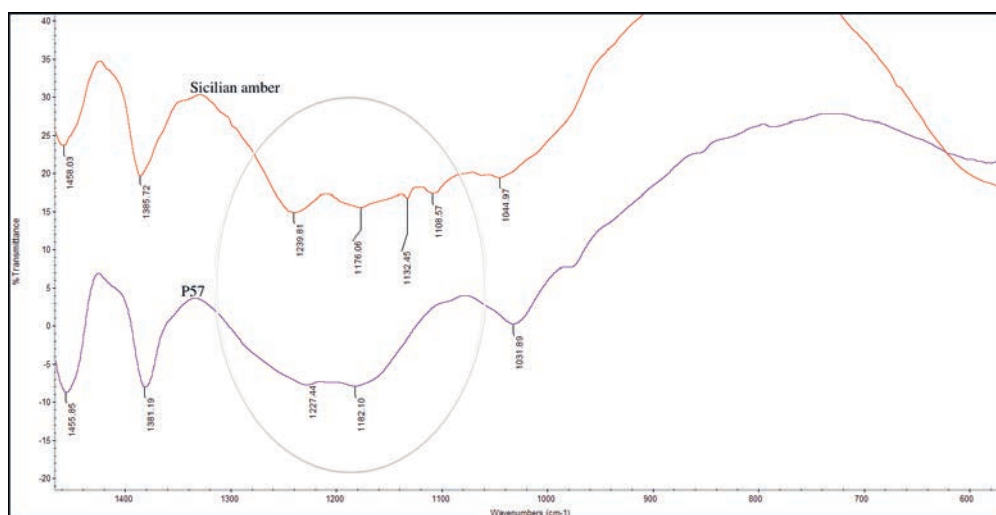


Fig. 7.13 FTIR spectra of P40, P58 and P126 ambers.

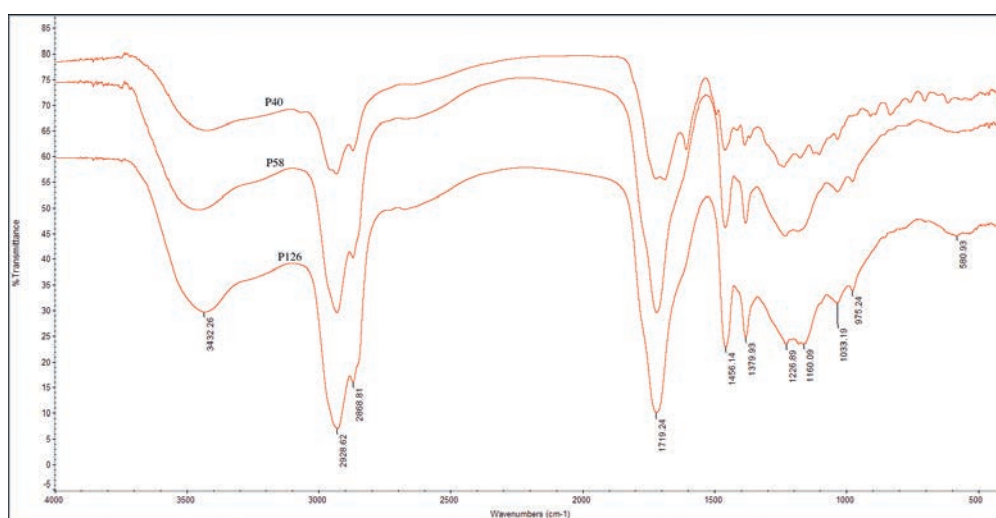
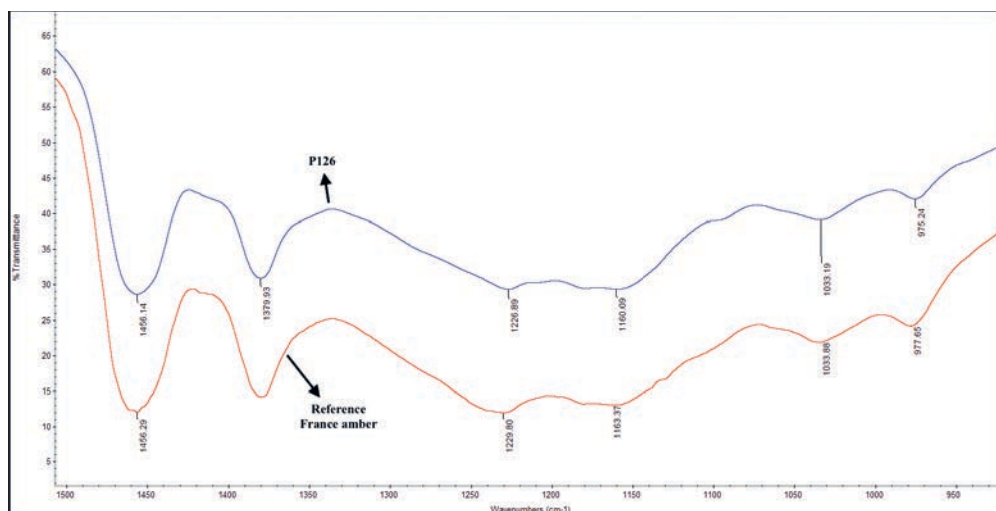


Fig. 7.14 FTIR spectra of P126 and a geological amber from France.



France. The close similarity between the P126 and the amber from France is evident from the 800–1300 cm^{-1} region as shown in Figure 7.14. Further evaluation using GCMS analysis is not possible here because this analysis was not carried out on the Lebanese and France ambers.

7.4.4 Conclusion

The results for amber samples from tombs 2, 4, 8 and 11 are summarized in Table 7.15. The presence of Baltic ambers in tombs Strada 2 (P56), 4, and 8 are consistent with the general percept that the deceased females in these tombs are associated

Excavation Year	Sample	Tomb	Object n.	Results
2010	P56	2	861	Baltic
2010	P57	2	864	Not Baltic or Sicilian
2010	P58 ^a	2	876	Not Baltic or Sicilian
2010	P59	4	125	Baltic
2010	P60 ^a	4	389	Baltica
2010	P61	4	868	Baltic
2012	P56	8	107	Baltic
2012	P57	8	142	Baltic
2012	P58	8	160	Baltic
2013	P121	11	1121	Not Baltic or Sicilian
2013	P123	11	1199	Not Baltic or Sicilian
2013	P125	11	1299	Not Baltic or Sicilian
2013	P126 ^{ab}	11	1329	Not Baltic or Sicilian
2013	P127	11	1437	Not Baltic or Sicilian
2013	P130	11	1562	Not Baltic or Sicilian
2013	P132	11	1664	Not Baltic or Sicilian
2013	P133	11	1673	Not Baltic or Sicilian
2013	P134	11	1718	Not Baltic or Sicilian
2013	P135 ^a	11	1751	Not Baltic or Sicilian
2013	P136 ^a	11	1886	Not Baltic or Sicilian
2013	P137	11	1919	Not Baltic or Sicilian
2013	P138	11	1923	Not Baltic or Sicilian
2013	P139	11	1924	Not Baltic or Sicilian
2013	P140	11	1945	Not Baltic or Sicilian
2014	P40	16	1008	See report

a Also evaluated by GCMS analysis.

b FTIR spectrum of P126 matched two ambers from our in-house (Lebanese and one from France).

Tab. 7.15 FTIR results of Ambers from the Macchiabate Necropolis.

with high social standing based on other materials found in the graves. Samples P57 and P58 (tomb 2) and tomb 11 samples do not correspond to the authentic Baltic or Sicilian amber samples based on FTIR spectroscopy and GCMS evaluation. The case of the P40 amber (tomb 16) is less clear because of its degraded state and lack of correspondence to Baltic amber based on FTIR spectroscopy. Study of P126 amber (representative of tomb 11) showed that it is neither Baltic or Sicilian, but the FTIR spectrum of P126 amber was found to match a Lebanese and French amber previously studied in our laboratory.

Acknowledgements

This report is contribution ARL No. 193 from the Amber Research Laboratory, which is supported by Vassar College. We thank our collaborators Professor Martin A. Guggisberg and Camilla Colombi (research assistant) from University of Basel in Switzerland for supplying the amber samples in this study.

Sarjit Kaur, Edith Stout, Tianyi Li,
Kryzel Bonifacio, Lucy Morse

8 La foggatura della ceramica: aspetti tecnologici e culturali

8.1 Introduzione

Le dinamiche d'interazione intercorse tra le comunità locali dell'Italia meridionale e i primi coloni greci e orientali, che arrivarono in quest'area nell'VIII secolo a.C., è un tema che è stato ampiamente dibattuto negli ultimi anni¹⁵⁵⁷. Sebbene le evidenze del fenomeno siano documentate dagli scavi e dallo studio dei manufatti in tutto il sud della penisola, l'interpretazione dei dati si rivela spesso contraddittoria¹⁵⁵⁸.

La Sibaritide, situata nella Calabria settentrionale fornisce un osservatorio privilegiato nello studio delle interazioni tra le diverse componenti culturali. In questa regione la produzione della ceramica geometrica enotria rivela delle corrispondenze etniche, rafforzate ulteriormente da altre produzioni locali come quelle delle fibule e di altri oggetti personali in bronzo. Tra i contesti archeologici presenti in questo territorio, la necropoli di Macchiabate a Francavilla Marittima rappresenta un sito fondamentale che ben si presta alla esplorazione delle dinamiche di contatto tra le popolazioni indigene della Piana di Sibari e delle altre regioni dell'Italia meridionale con gli immigrati greci.

La seguente ricerca si occupa dell'analisi degli esemplari di ceramica depurata della prima età del Ferro provenienti dal settore dell'area Strada della necropoli di Macchiabate. L'osservazione si è incentrata sull'analisi degli aspetti tecnologici e culturali di queste produzioni caratterizzate da aspetti tecnologici propri e da differenti espressioni artistiche interpretate come emblemi di identità. Rispetto alle modalità di produzione, è emersa l'evidenza dell'esistenza di un ambito produttivo locale distinto da elementi decorativi e stilistici propri di quest'area e l'utilizzo di diverse tecniche di foggatura: a mano (pizzicatura e percussore e incudine), a cercine, con la base rotante, con il tornio da vasaio e la tecnica mista (a pressione con l'ausilio di una forma/stampo); e la presenza di vasi con influenze estranee al repertorio locale, assemblati con i corredi ceramici prettamente locali¹⁵⁵⁹. Ancora, si è analizzata la conoscenza tecnologica dei vasai, dando informazioni sulla materia prima utilizzata, sulle tecniche di cottura, sul tipo di decorazione applicato sul vaso e sulle influenze culturali.

L'obiettivo principale è stato quello di approfondire le conoscenze sulle interazioni culturali avvenute nell'Italia meri-

dionale durante la prima età del Ferro dal punto di vista della produzione enotria locale. A differenza degli studi tipologici della ceramica, il presente lavoro si concentra sul ruolo che la produzione enotria ha avuto nell'interazione con altri gruppi etnici.

8.2 Le tecniche di foggatura

Le tecniche per foggare il vaso sono molteplici e differenziabili tra loro. Esse si basano sul principio della forza esercitata dal vasaio sull'impasto argilloso con la pressione delle mani oppure con l'utilizzo di strumenti, come il tornio o lo stampo¹⁵⁶⁰. Prima di essere foggata, l'argilla deve essere manipolata per eliminare le bolle d'aria, per evitare che durante il processo di cottura queste si trasformino in piccole crepe che potrebbero causarne la rottura.

Le tecniche di foggatura della ceramica sono classificate secondo alcuni fattori che si basano sull'identificazione delle macrotracce rintracciabili sulla superficie ceramica e che mostrano se il vaso è stato manufatto da una singola porzione di argilla oppure in parti separate e poi assemblate tra di loro, oppure se è stato manufatto interamente a mano con l'ausilio di uno strumento¹⁵⁶¹.

Le principali tecniche di foggatura rintracciate sulla ceramica geometrica enotria sono: a mano (ad incavo e percussore e incudine), a cercine, con la tecnica mista, con la base rotante e con il tornio da vasaio. A parte vanno trattate le tecniche di manifattura della ceramica enotrio-euboica che consistono sostanzialmente nell'uso del tornio per rifinire o foggare interamente il vaso.

8.2.1 La foggatura a mano (ad incavo e percussore e incudine)

Nella tecnica a mano rientrano tutti quei metodi di foggatura che adoperano soltanto l'uso delle mani del vasaio senza l'ausilio di strumenti. La tecnica più semplice è detta ad incavo: con questa tecnica i vasi sono realizzati da un unico pezzo di argilla modellato con le mani.

L'argilla utilizzata può contenere degrassante per fornire la giusta plasticità al vaso e per creare la forma. Per questo tipo di lavorazione non si ha bisogno di molta acqua e l'argilla può essere utilizzata grezza oppure dopo una pratica di depurazione più o meno sommaria che elimina le inclusioni di dimensioni più grandi.

Nella tecnica ad incavo il vasaio prende una parte di argilla e crea una concavità al centro di essa premendo con le dita per

1557 Per un quadro generale dei diversi modelli interpretativi sulla colonizzazione greca si rimanda a Dietler 1999, 476. Più recentemente si veda Osanna 2014, 230–248.

1558 Le principali posizioni sono espresse in Malkin 2002; Hodos 2006; Vanzetti 2009, 191–193; Greco – Lombardo 2012, 37–60.

1559 I risultati preliminari di questo lavoro sono stati presentati in occasione della XVI Giornata Archeologica Francavillese. Si veda a proposito Fasanella Masci 2018, 35–49.

1560 Cuomo di Caprio 2007, 163.

1561 Mater 2005, 12.



Fig. 8.1 A sinistra: Raffigurazione della tecnica di foggatura ad incavo; a destra: Tracce delle pressioni all'interno di un frammento di orlo di un'olla globulare geometrica dal Timpone Motta, Francavilla Marittima.



Fig. 8.2 A sinistra: Raffigurazione della foggatura a cercine; a destra: Tracce dei cordoli all'interno di un frammento di una ciotola in ceramica geometrica dal Timpone Motta, Francavilla Marittima.

assottigliare le pareti, fino a creare una forma arrotondata e per la base usa un cordolo di argilla modellato a forma di anello (fig. 8.1)¹⁵⁶².

Con la tecnica ad incavo, si foggiano per lo più vasi di piccole dimensioni, data la forte plasticità della materia prima che rende difficoltoso dare regolarità alle pareti del vaso¹⁵⁶³. Secondo alcuni esperimenti eseguiti da vasaio esperti è possibile foggare ciotole e bicchieri che non superano i 20 cm di diametro¹⁵⁶⁴. Con la tecnica ad incavo sono stati foggati in ceramica geometrica enotria alcuni esemplari di bicchieri e brocchette databili al Geometrico Antico¹⁵⁶⁵. Spesso questa tecnica viene utilizzata solo per foggare alcune parti del vaso, come gli orli e le basi, che vengono poi assemblati al resto del vaso. Per ottenere pareti il più possibile sottili e regolari il vasaio può adoperare la tecnica a percussore e incudine, che viene considerata anche una pratica di rifinitura e consiste nel battere le pareti esterne del vaso con un ciottolo piatto posizionando l'altra mano all'interno per attutire il colpo.¹⁵⁶⁶ Con questa tecnica sono stati foggati vasi di grandi dimensioni, come alcuni esemplari di olle in ceramica geometrica enotria di Francavilla Marittima¹⁵⁶⁷.

La foggatura a mano è identificabile dalle macro-tracce delle pressioni e delle impronte digitali e dalle irregolarità visibili sulla superficie interna del vaso. Le pressioni sono generalmente rintracciabili sull'orlo e all'interno del vaso, come si può notare dalle zone circolari e poco profonde visibili all'interno di un frammento di orlo di olla globulare geometrica prodotta a Francavilla Marittima (fig. 8.1)¹⁵⁶⁸. I segni di rifinitura probabilmente eseguiti con una stecca lasciano sulla superficie dei solchi, questi sono generalmente visibili sulla superficie interna ed esterna e sotto l'orlo.

8.2.2 La foggatura a cercine/colombino

La modellazione a cercine o a colombino è caratterizzata dall'avvolgimento a spirale di uno o più cordoli di argilla, ricavati da una porzione di argilla avvolta tra le mani oppure su un supporto piano (fig. 8.2)¹⁵⁶⁹. L'argilla non deve essere molto plastica altrimenti non si riesce a lavorarla per formare i cordoli. Durante il processo di cottura, se i cordoli non sono stati saldati in maniera appropriata si rischia che, nell'interfaccia tra i cordoli si creino delle fratture. La lunghezza dei cordoli varia a seconda della necessità, ossia se si vuole produrre un vaso con una sequenza di cordoli tutti della stessa dimensione e lunghezza, oppure con un unico cordolo sovrapposto. La base del vaso si crea con un foglio di argilla oppure con un cordolo arrotondato a spirale e poi appiattito. I cordoli spesso si sovrappongono all'interno o all'esterno e vengono schiacciati con le dita per creare una giuntura solida. Il vasaio esercita delle pressioni in verticale per far crescere in altezza le pareti del vaso e per far sì che i cordoli si congiungano l'un l'altro; poi leviga le giunture con una stecca di legno con movimento rotatorio e orizzontale fino al completo annullamento delle tracce di congiunzione, a volta aiutandosi con una base girevole. Nel punto di giunzione tra i cordoli si aggiunge dell'argilla diluita, per evitare la formazione di crepe sulla superficie del vaso e per eliminare le tracce dei solchi lasciate dalla pratica di giunzione¹⁵⁷⁰.

Con questa tecnica il vasaio riesce ad avere un maggiore controllo sulla foggatura di vasi di qualsiasi forma, in quanto può creare le pareti del vaso da piccole porzioni di cordoli regolari. Attraverso prove sperimentali, è stato dimostrato che il vasaio riesce a gestire con maggiore facilità forme complesse e grandi, anche rispetto alla lavorazione al tornio¹⁵⁷¹. Nonostante il suo grado di semplicità di applicazione, questa tecnica necessita di una specializzazione del vasaio, soprattutto per quanto riguarda la fase successiva della rifinitura delle pareti del vaso. Con questa tecnica il vasaio riesce a creare forme standardizzate regolarizzando le richieste dei committenti ed avere

1562 È la tecnica utilizzata per modellare i vasetti miniaturistici dell'età del Bronzo e del Ferro. Si veda Cuomo di Caprio 2007, 167.

1563 Molti dei vasi miniaturistici prodotti nell'Italia centrale sono stati foggati a mano. Si veda Nijboer 1998, 64.

1564 Laneri 2009, 59.

1565 Si tratta di due brocchette da Torre Mordillo: Fasanella Masci 2016, Cat. TM3m e Cat. TM4m.

1566 Cuomo di Caprio 2007, 166.

1567 Ad esempio l'olla S11/2, per la quale si veda oltre.

1568 Fasanella Masci 2016, 94 Cat. FMM5m.

1569 Laneri 2009, 70.

1570 Fasanella Masci – Barresi 2009, 23–50.

1571 Questo fenomeno avviene per esempio in molte società della Mesopotamia e in alcune comunità della Nigeria: Laneri 2009, 70.



Fig. 8.3 Frammento di askos dal Timpone Motta, Francavilla Marittima, e particolare dell'interno dello stesso frammento con le tracce delle pressioni esercitate in prossimità del collo per far aderire l'argilla nel supporto.

una forma base a cui aggiungere in un secondo momento altri cordoli di argilla per avere forme più elaborate¹⁵⁷².

La tecnica a cercine è quella maggiormente attestata durante l'VIII sec. a.C. nella Sibaritide ed è anche l'unica tecnica che viene utilizzata per oltre un secolo (tra il Geometrico Medio e il Geometrico Tardo I, ca. dalla fine del IX sec. a.C. fino agli inizi del VII sec. a.C.). Con la tecnica a cercine sono state prodotte tutte le forme vascolari del repertorio enotrio, eccetto gli askoi. Inoltre, durante l'VIII sec. a.C. è emerso l'utilizzo esclusivo della tecnica a cercine per foggare ciotole e bicchieri, le altre forme vascolari invece sono state anche prodotte con altre tecniche (solamente i kantharoi e alcuni esemplari di olle e brocche sono stati anche foggati con il tornio da vasaio).

La foggatura a cercine (a colombino) si contraddistingue grazie ai segni di giunzione tra i cordoli di argilla. Questi sono visibili quando i cordoli non sono stati accuratamente lisciati e nella zona di giunzione, se l'argilla si è troppo essiccata durante la fase in cui assume la consistenza cuoio, si possono formare delle crepe durante la cottura. Questi segni di giunzione tra i cordoli sono visibili all'interno della superficie dei vasi, come nell'esemplare di frammento di ciotola (fig. 8.2).

8.2.3 La foggatura con la tecnica mista: a mano con l'ausilio di un supporto

La tecnica mista consiste nella combinazione di due o più tecniche di foggatura. Un tipo di tecnica mista riscontrata tra gli esemplari analizzati è quella a mano con l'ausilio di un supporto per la foggatura di una parte del vaso, corrispondente in genere alla parte superiore. Il vasaio crea delle lastre di argilla, ottenute per pressione o con la tecnica a percussore e incudine, e le assembla per farle aderire nello stampo per creare la parte superiore del vaso¹⁵⁷³. Poi crea il corpo del recipiente con la tecnica ad incavo dandogli forma arrotondata schiacciata. Le due parti del vaso prodotte con due tecniche diverse vengono infine assemblate e la zona di giunzione viene levigata¹⁵⁷⁴. Tale



Fig. 8.4 A sinistra: Rappresentazione del vasaio che foggia un vaso con la base rotante; a destra: Leggere striature parallele e irregolari all'interno di una tazza enotrio geometrica dal Timpone Motta, Francavilla Marittima, indicano la foggatura con la base rotante.

tecnica mista è stata riconosciuta su alcuni esemplari di askoi in ceramica geometrica enotria prodotti alla fine dell'VIII sec. a.C. e non è stata riscontrata per nessun'altra forma vascolare (fig. 8.3)¹⁵⁷⁵.

La foggatura mista lascia evidenti segni all'interno del vaso che, nonostante la pratica finale di rifinitura, non possono essere cancellati. Infatti sulla superficie interna in prossimità della protuberanza sono visibili dei solchi o avvallamenti causati dalle pressioni esercitate con le dita per far aderire l'argilla fresca al supporto (fig. 8.3). Queste microfessurazioni visibili all'interno del vaso potrebbero far pensare all'utilizzo di lastre di argilla (*slab building*) fatte aderire ad un supporto per creare la forma della protuberanza. Queste tracce non sono presenti nella parte inferiore del frammento che sembrerebbe quindi foggato a mano senza alcun supporto (fig. 8.3)¹⁵⁷⁶.

8.2.4 La foggatura con la base rotante

Una delle problematiche maggiormente affrontate dagli archeologi nello studio della manifattura dei vasi è l'introduzione del tornio. Per l'identificazione delle macrotracce lasciate da questo strumento sul vaso ci si può avvalere delle analisi autotopiche e radiografiche. Si può supporre che prima del tornio vero e proprio gli artigiani utilizzassero una base rotante per rifinire i vasi precedentemente foggati con tecniche manuali e per decorarli.

Prima dell'utilizzo della base rotante, il vasaio produceva i vasi poggiando l'argilla da modellare direttamente sul terreno. Trattandosi di una base fissa, egli era costretto a girare intorno al vaso per modellarlo. Successivamente, quando il vasaio comincia ad utilizzare la base rotante, riesce a modellare il vaso e a decorarlo in tutte le sue parti girando il disco senza spostarsi. Tuttavia, non essendo stabile, la base non permetteva di creare vasi simmetrici¹⁵⁷⁷. Lo strumento è composto da una base circolare in legno di solito molto leggera con un perno che ruota in una cavità situato al centro della faccia inferiore¹⁵⁷⁸. Il vasaio

1572 Laneri 2009, 71.

1573 Questa tecnica è detta *slab building* (costruzione a lastre). Si veda Rye 1981, 71.

1574 Secondo Levi la tecnica a pressione utilizzata per foggare le forme aperte del Bronzo Recente a Broglio di Trebisacce potrebbe far pensare all'utilizzo di veri e propri stampi: Levi u. a. 1999, 257.

1575 Si veda oltre, capitolo 8.4.1 Askoi.

1576 Kleibrink u. a. 2013, fig. 191.

1577 Cuomo di Caprio 2007, 109.

1578 Il disco di argilla ha una struttura di fibre di noce di cocco o *bamboo*, ricoperto con l'argilla: Saraswati – Behura 1966, 7–76.



Fig. 8.5 Due frammenti a confronto: a sinistra l'interno del frammento di una forma chiusa da Lefkandi, a destra l'interno del frammento di un tripode di un grande vaso dal Timpone Motta. I due frammenti mostrano nella parte evidenziata dalla freccia un rigonfiamento obliquo che può essere interpretato come il risultato della congiunzione di due cordoli consolidati che si deformano sotto la forza del tornio.

spinge a strappi il disco, il quale non avendo peso e dimensioni sufficienti, non permette di creare una rotazione continua necessaria per modellare il vaso. Inoltre, il rudimentale tipo di impennatura genera attriti che ne rallentano la velocità (fig. 8.4).

In questa sede considero base rotante uno strumento di foggatura secondaria utilizzato come supporto per rifinire o decorare i vasi e inserisco in questa categoria tutti quegli esemplari che presentano le tracce della rifinitura con questo strumento.

Nella Sibaritide la maggior parte dei frammenti che hanno presentato le tracce della foggatura con la base rotante sono pertinenti ad olle e kantharoi, databili nel periodo compreso tra il Geometrico Medio e il Geometrico Tardo I (circa 775–725 a. C.). È stato osservato che la maggior parte delle forme vascolari foggiate precedentemente a cercine vengono rifinite con la base rotante, con la sola eccezione dell'oinochoe che costituisce una nuova forma vascolare del repertorio indigeno. Si vedrà più avanti che con questa tecnica sono stati anche prodotti degli esemplari di crateri in stile enotrio-euboico. Le tracce dell'utilizzo della base rotante si riconoscono nella superficie interna del vaso e si presentano come delle scanalature leggermente incise e non del tutto regolari, come si vede nell'esemplare di tazza geometrica da Francavilla Marittima (fig. 8.4)¹⁵⁷⁹.

È fondamentale determinare le differenze tra la base rotante e il tornio da vasaio in quanto i due strumenti lasciano sul vaso delle tracce che a volte sono difficilmente distinguibili. Esistono delle caratteristiche che permettono di distinguere un vaso foggato a mano (cercine) e rifinito con la base rotante da uno foggato con il tornio da vasaio. Queste sono: visibilità dei cordoli all'interno del vaso in conseguenza di una non approfondita lisciatura e rifinitura con il tornio, scanalatura fra due zone convesse causate dalla mal riuscita congiunzione di due cordoli, fratture orizzontali spesso in corrispondenza della giunzione dei cordoli, rigonfiamenti nelle forme chiuse all'interno o sul collo del vaso quali risultato di cordoli troppo essiccati che si deformano leggermente sotto la forza rotatoria

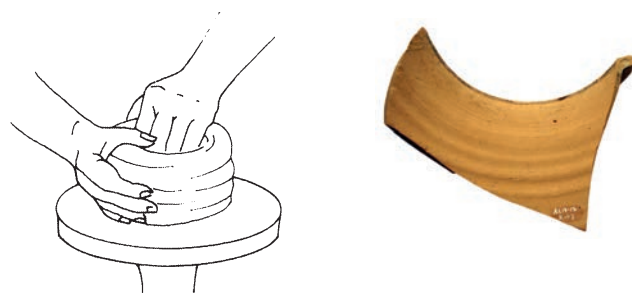


Fig. 8.6 A sinistra: Raffigurazione della riproduzione di un vaso con il tornio da vasaio; a destra: Foto dell'interno del frammento di un'olla geometrica dal Timpone Motta, Francavilla Marittima con i segni lasciati dal tornio da vasaio.

del tornio (fig. 8.5) e superficie irregolare con striature non parallele¹⁵⁸⁰.

8.2.5 La foggatura con il tornio

L'introduzione del tornio da vasaio dà un nuovo impulso alla lavorazione ceramica, poiché permette di aumentare la produzione di vasellame in base alle esigenze e alle richieste dei committenti. L'introduzione di nuovi strumenti e il passaggio da una tecnica all'altra non avviene in maniera rapida perché gli artigiani sono molto conservatori e di conseguenza le tecniche più antiche permangono e può passare molto tempo prima che una nuova tecnica sostituisca un'altra¹⁵⁸¹.

Dal punto di vista meccanico il tornio è composto da un disco retto da un perno, stabile o rotante, posto su una base; in questo modo il disco fa da volano e acquista velocità a seconda della forza impartita dal vasaio¹⁵⁸². Rispetto alla base rotante, il nuovo strumento ha una struttura più robusta e solida, costituita da un materiale pesante e consente di far girare il disco per un tempo più lungo, in modo tale che il vasaio, una volta impartita la spinta, abbia le mani libere.

L'argilla deve essere ben depurata in modo tale che perda tutte le inclusioni che possono ledere le mani del vasaio durante la lavorazione. Una volta posizionato un pezzo di argilla al centro del piatto, con la prima rotazione esso si comincia ad incavare con una mano all'interno e con l'altra all'esterno si innalzano le pareti per creare la forma del vaso e contemporaneamente per assottigliarle (fig. 8.6)¹⁵⁸³. I vasi prodotti con questa tecnica presentano delle striature all'interno del corpo anche se un accurato processo di levigatura potrebbe obliterare questi segni. Inoltre sulla base si potrebbero trovare i segni della staccatura del vaso dal tornio eseguita con una corda.

La differenza tra i due tipi di tornio consiste sostanzialmente nella quantità di forza centrifuga impartita dal vasaio sullo strumento. Sostanzialmente, l'adozione del tornio avvie-

1580 Queste tracce sono trattate da Roux – Courty 1998 e Ruckl – Jacobs 2016, 297–321.

1581 Laneri 2009, 94.

1582 Cuomo di Caprio 2007, 179–181.

1583 Mater 2005, 14.

1579 Si veda Fasanella Masci 2016, Cat 35br.

ne dopo un lungo processo di sperimentazione, derivato dall'uso di una base rotante per rifinire i vasi fino all'utilizzo vero e proprio per la modellazione di un vaso da un'unica massa d'argilla¹⁵⁸⁴. L'analisi eseguita sui campioni analizzati mette in evidenza una prevalenza di forme chiuse prodotte con il tornio da vasaio. La maggior parte infatti dei segni lasciati dal tornio da vasaio sono stati individuati sui frammenti pertinenti ad olle e brocche¹⁵⁸⁵.

La foggatura con il tornio da vasaio lascia sulla superficie del vaso le tracce della rotazione a forma di creste ondulate e scanalature profonde e parallele e sulla base del vaso si possono presentare le striature concentriche (come effetto della staccatura del vaso dal disco). Sull'orlo e sul collo del vaso si possono trovare delle incisioni oblique lasciate dalle dita sull'argilla cruda nella pratica di innalzamento delle pareti del vaso (fig. 8.6).

8.3 Metodologia

Nel presente lavoro sono stati analizzati 35 vasi in ceramica fine facenti parte dei corredi funerari di 16 tombe a fossa portate alla luce nelle aree Strada e De Leo della necropoli di Macchiabate¹⁵⁸⁶. I dati riferibili agli oggetti personali del defunto (fibule, gioielli, vaghi in ambra, armi ecc.) sono stati analizzati solamente quando mostravano influenze non locali. Presenterò brevemente le informazioni che possono essere acquisite attraverso l'analisi tecnologica dei vasi.

Tenendo conto delle diverse tipologie strutturali delle tombe rinvenute in queste aree (tombe a fossa monumentale, a fossa semplice e ad enchytrismos), ho suddiviso le forme vascolari di ogni singola tomba, distinguendo le forme tradizionali locali da quelle estranee al repertorio locale. Quando le forme non sono risultate del tipo tradizionale, ho cercato di attribuirle ad una tradizione ceramica regionale, interregionale o mista tramite lo studio dei confronti. Per fare questo ho selezionato le forme tradizionali locali (scodelle, olle e brocche biconiche e globulari, askoi e attingitoi) e le ho isolate da quelle estranee alla tradizione locale (kantharoi, brocche oinochoai, skyphoi, crateri e olle crateri) per indagare il tipo d'influenza a cui appartengono.

Successivamente ho identificato il livello di standardizzazione attraverso il grado di omogeneità o riduzione di variabilità delle forme ceramiche. Quando ho trovato forme simili ho registrato le misure delle differenti parti del vaso e le ho messe a confronto. Questo tipo di approccio mi ha permesso di indagare il livello di standardizzazione delle forme ceramiche e

di stabilire il differente livello di professionalità dei vasai nella produzione di differenti tipi di classi ceramiche depurate.

Nella fase successiva, ho analizzato la pittura usata per dipingere i motivi decorativi e se la decorazione è stata applicata prima della cottura o dopo e di conseguenza il livello di aderenza della pittura stessa al vaso. Inoltre ho analizzato la composizione della pittura, ossia se si tratta di pittura di colore nero di tipo locale, o se è stata usata una pittura diluita lucida rossastra o marrone scuro tipica delle decorazioni dei vasi greci. Il livello di esecuzione è stato indagato sugli esemplari per distinguere i livelli di pre-specializzazione o professionalità. Per quanto riguarda i motivi decorativi, ho identificato l'unicità o le somiglianze per discutere il livello di variazione e le possibili ispirazioni. Infine, ho analizzato lo stile e, dove è stato possibile, ho cercato di attribuirlo ad un vasaio oppure ad un gruppo di vasai. Ho registrato eventuali cambiamenti tecnologici, per esempio nella procedura di depurazione dell'argilla o nella tecnologia di cottura. Per ultimo ho inquadrato l'esemplare ceramico nel periodo cronologico di appartenenza: Geometrico Antico, Medio o Tardo¹⁵⁸⁷.

Sulla base della metodologia utilizzata, i vasi di corredo di ogni sepoltura sono stati suddivisi in tre tipi:

- Tipo A: vasi enotri tradizionali foggati a mano (a incavo, a cercine e con la tecnica mista).
- Tipo B: vasi enotrio-euboici foggati con il tornio o rifiniti con la base rotante (prodotti locali o importazioni).
- Tipo C: vasi con influenze da altri centri indigeni dell'Italia meridionale foggati a mano o a cercine (prodotti locali o importazioni).

8.4 Analisi dei vasi

8.4.1 Tipo A: vasi enotri tradizionali foggati a mano

In questa prima categoria rientrano i vasi che per le loro caratteristiche formali e decorative sono attribuibili alla tradizione enotrio geometrica di Francavilla Marittima e di altri comparti territoriali regionali, come Torre Mordillo e Castrovillari. Le forme tradizionali locali di tipo A sono costituite da: olle, brocche, bicchieri, attingitoi, scodelle e askoi. Sono vasi foggati con tecniche manuali dai vasai enotri durante l'VIII sec. a.C.¹⁵⁸⁸.

1584 Riguardo all'evoluzione del tornio nel Vicino Oriente, l'utilizzo della base rotante è attestato già dal V millennio a.C. ma l'utilizzo vero e proprio del tornio è documentato a partire dal II millennio a.C. Si veda Laneri 2009, 77.

1585 Fasanella Masci 2016, 110–113.

1586 Le tombe indagate nell'area Strada sono 19; si escludono dall'analisi le tombe a fossa Strada 3 e Strada 9 che non hanno conservato o non contenevano un corredo ceramico, nonché la tomba ad *enchytrismos* Strada 10 e la tomba Strada 1.

1587 Si precisa che in questo contributo si utilizza la seguente cronologia: Geometrico Antico 900–875 a.C. = Fe1A e Fe1B; Geometrico Medio 875–775 a.C.; Geometrico Medio-Geometrico Tardo I 775–750 a.C. = Fe2A; Geometrico Tardo 750–700 a.C. = Fe2B.

1588 Secondo gli studi condotti nell'ambito della mia ricerca di dottorato, i vasai enotri utilizzano la foggatura a cercine per un lungo periodo di tempo, con l'utilizzo del tornio solo alla fine dell'VIII sec. a.C. Il tornio da vasaio è stato rilevato su 22 esemplari, di cui 16 da Francavilla Marittima e 6 da Castrovillari, solo a partire dall'ultimo quarto dell'VIII sec. a.C. (ca. 725 a.C.) e su esemplari estranei al repertorio proprio della Sibaritide, con un aumento del suo utilizzo a partire dal VII sec. a.C. L'utilizzo di una base rotante si può supporre già dalla metà dell'VIII sec. a.C. (ca. 750 a.C.). Si veda Fasanella Masci 2016, 195 s.

Olle

Le olle ritrovate nelle sepolture dell'area Strada di Macchiabate, presentano corpo globulare con profilo biconico e anse a maniglia orizzontali impostate nel punto di massima espansione. Questi tipi di vasi sono in genere foggati a mano con la tecnica a cercine in due o più parti, poi assemblate tra di loro. Infatti, è possibile distinguere i segni di giunzione tra le varie parti del vaso internamente tra il collo e la spalla¹⁵⁸⁹. In un solo caso (S11/2, tav. 48) è stato possibile riconoscere l'utilizzo della tecnica a percussore e incudine, e in un altro (S4/1, tav. 19) del tornio per rifinire il vaso o almeno una parte di esso. Queste olle sono decorate in stile a tenda – costituito da motivi angolari composti da tre o quattro linee a lati concavi dipinte sul corpo – o in stile a bande ondulate. Entrambi gli stili decorativi sono databili tra la metà e l'ultimo quarto dell'VIII sec. a.C.

Le olle che rientrano in questa categoria sono cinque e sono state ritrovate in tre tombe del tipo a fossa monumentale (Strada 11, Strada 4 e Strada 5). Nelle tombe Strada 11 e Strada 4, il corredo ceramico era composto dall'associazione di due olle, mentre nella tomba Strada 5 era presente un unico esemplare di questo tipo.

La tomba Strada 11 conteneva due olle biconiche che presentano caratteristiche largamente attestate nella produzione ceramica dell'area enotria ionica calabrese. L'olla biconica più antica (S11/2) presenta un collo corto rigonfio con doppie anse a maniglia orizzontali impostate sulla pancia. L'altro esemplare (S11/1) presenta caratteristiche morfologiche simili ma di fattura migliore e si data ad un periodo più recente.

L'esemplare S11/2 (tav. 48) mostra tracce di decorazione all'interno dell'orlo costituite da doppi triangoli vuoti. Esternamente sono presenti tracce di bande orizzontali tra l'orlo e il collo e sotto il collo una o due bande ondulate delimitate da due orizzontali, infine in corrispondenza delle anse, era dipinta una banda larga. Le caratteristiche morfologiche e decorative sono simili a quelle di un frammento di olla biconica ritrovato sul Timpone Motta¹⁵⁹⁰. Il frammento in questione ha collo corto rigonfio, e nel punto di giunzione tra collo e spalla è decorato con un pannello a bande ondulate. Tali somiglianze potrebbero farci interpretare le tracce di decorazione presenti sull'olla S11/2 come dei pannelli isolati piuttosto che come un fregio continuo. Pannelli composti da una banda ondulata delimitate da due orizzontali compaiono già nel Geometrico antico sulle brocche del deposito di Borgo Nuovo di Taranto¹⁵⁹¹. Questo tipo di decorazione appare sulle olle enotrie in un momento successivo alla nascita dello stile a bande ondulate, permettendone una datazione nell'orizzonte del Geometrico Medio (ca. metà dell'VIII sec. a.C.)¹⁵⁹². Per la forma si trova un ulteriore confronto con un'olla ritrovata nella tomba Temparella 3, databile nello stesso periodo¹⁵⁹³. Dall'analisi macro-

scopica eseguita sull'olla S11/2 è possibile riconoscere i segni caratteristici della foggatura a mano. Il vaso, infatti, viste le sue grandi dimensioni, potrebbe essere stato foggato in due o più parti poi assemblate tra di loro: all'interno, in corrispondenza delle anse, è infatti visibile una giuntura. La superficie esterna è stata lisciata, all'interno invece sono visibili degli avvallamenti e delle protuberanze che farebbero pensare all'uso di una tecnica a percussore e incudine. Questa tecnica viene considerata una pratica di rifinitura molto antica e consiste nel battere le pareti del vaso esterno con un ciottolo piatto, posizionando l'altra mano all'interno per attutire il colpo¹⁵⁹⁴.

L'esemplare S11/1 (tav. 47) faceva parte dello stesso corredo e presenta delle caratteristiche molto simili sia nella forma che nelle dimensioni. Dalle tracce di decorazione presenti sul vaso è possibile ricostruire il motivo decorativo a tenda del 'tipo Torre Mordillo', con larghi lati espansi, dipinto nel punto di massima espansione del vaso e delimitato da una larga banda orizzontale sulle anse¹⁵⁹⁵. La forma e la decorazione richiamano quelle di un tipo di olla attestato a Francavilla Marittima che presenta nel punto di giunzione tra collo e spalla un fregio a bande ondulate e sulla pancia il motivo a tenda 'tipo Torre Mordillo'¹⁵⁹⁶. La superficie, pur essendo molto corrosa, permette di ricostruire la tecnica di foggatura. Queste olle di grandi dimensioni potevano essere foggate a mano con l'aggiunta di cordoli di argilla sovrapposti (tecnica di foggatura a cercine), poi la superficie veniva levigata a stecca. Erano di solito foggate in diverse parti separate e poi assemblate in fase di essiccamento con l'aggiunta di argilla diluita. L'olla si può inquadrare nell'orizzonte del Geometrico Medio-Tardo.

Anche nella tomba Strada 4 il corredo della defunta era composto dall'associazione di due olle che presentano caratteristiche simili, sia per la forma che per la decorazione, agli esemplari ceramici del Geometrico Medio-Tardo enotrio. L'olla biconica S4/1 (tav. 19), con due anse a bastoncino orizzontali impostate sulla pancia, presenta orlo sporgente, collo svasato e corpo globulare con base circolare. L'orlo è decorato internamente con doppie linee angolari, esternamente sotto l'orlo da tre bande orizzontali che si ripetono anche tra il collo e la pancia e sopra le anse. Al di sotto, il motivo a tenda a lati leggermente concavi è alternato con il motivo a X doppio in prossimità delle anse e da entrambi i lati. Un confronto calzante è costituito da un frammento di olla dal Timpone Motta, in cui l'elemento decorativo è dipinto con linee molto sottili e all'interno del vaso sono visibili i segni di striature parallele leggere identificabili con l'utilizzo del tornio. L'olla S4/1 presenta sull'orlo e sul collo gli stessi segni della rifinitura con il tornio, tuttavia sul resto del corpo questi segni non sono stati identificati, forse obliterati durante la fase di lisciatura. All'esterno dell'orlo è visibile un solco che sta ad indicare che è stato

1589 Fasanella Masci 2016, 133.

1590 Kleibrink u. a. 2012a, 107 n. 103.

1591 Lo Porto 2004, 124 n. 148.

1592 Kleibrink u. a. 2012a, 26 s. tabella 1-C1.

1593 Secondo P. Zancani Montuoro la tomba Temparella 3 fa parte delle tombe più antiche della necropoli di Macchiabate: Zancani Mon-

tuoro 1980–1982, tav. 7.

1594 Cuomo di Caprio 2007, 166.

1595 Fasanella Masci 2016, Cat. TM 28c. Possibile è anche un'attribuzione allo 'stile vuoto', si veda il capitolo 3.2.1 »Olla«.

1596 Fasanella Masci 2016, Cat. FMM 3br, 365.

utilizzato uno strumento appuntito per creare la forma svasata e in questo punto sono anche presenti delle pressioni.

L'olla biconica S4/2 (tav. 19) ha anse a maniglia orizzontali impostate sulla pancia del vaso in posizione asimmetrica. All'interno dell'orlo restano tracce di decorazione a triangoli pieni e in prossimità delle anse è visibile una banda orizzontale. L'orlo molto sporgente e il collo conico e convesso con corpo globulare sono in buone condizioni, mentre non è stato possibile ricostruire la parte inferiore del vaso. Anche quest'olla è foggata a cercine e internamente è visibile l'aggiunta di un cordolo. Le pareti del vaso sono molto spesse e corrose e non restano altre tracce di foggatura o rifinitura. Questo tipo di olle è molto comune nella necropoli di Macchiabate ed è di frequente decorato con il motivo a tenda 'tipo Torre Mordillo'¹⁵⁹⁷.

Al tipo A appartiene infine l'olla biconica con alto piede troncoconico della tomba Strada 5 (S5/1, fig. 8.7, tav. 26). Questo tipo di olla presenta orlo svasato, collo troncoconico, spalla espansa, corpo globulare e anse a bastoncino con bordo stondato leggermente oblique. L'olla è foggata a cercine, internamente in prossimità della base sono visibili dei cordoli e delle irregolarità e delle striature di lisciatura con una spugna. L'orlo è decorato internamente con triangoli pieni, sotto l'orlo sono presenti esternamente tre bande orizzontali¹⁵⁹⁸. Il motivo principale si trova nel punto di giunzione tra collo e spalla e si compone di un fregio a pannelli continuo composto da bande ondulate alternate ad aree a risparmio. Il piede è decorato con due gruppi di tre linee di cui uno all'attaccatura superiore e l'altro nella parte finale. L'esemplare doveva aver svolto la funzione di cratere come contenitore di vino mescolato con acqua, secondo l'uso funerario locale, date le sue considerevoli dimensioni e per il fatto che conteneva al suo interno un attingitoio di produzione enotrio-euboica. La forma e la decorazione di tipo tradizionale dell'olla sono state adattate alla tradizione enotrio-euboica: essa era stata posta su un alto piede troncoconico con aperture trapezoidali. Il piede fenestrato trova un confronto con un esemplare dello stesso tipo ritrovato nella tomba Temparella 80¹⁵⁹⁹, mentre piede a campana senza finestrate presenta un'altra olla della tomba Uliveto 15¹⁶⁰⁰.

Lo stile a bande ondulate, caratteristico della Sibaritide, composto dal motivo a bande ondulate tra bande dritte orizzontali, era di regola dipinto sotto l'orlo e tra il collo e la spalla nelle forme chiuse e immediatamente sotto l'orlo nelle forme aperte. Esso si trova su tutte le forme vascolari enotrie: bicchieri, brocche, olle, scodelle, tazze e askoi.

I vasi decorati nello stile a bande ondulate indicano la presenza di diversi vasai coinvolti nella produzione, perché le stesse forme presentano particolari differenti e non sono mai standardizzate. Il motivo decorativo invece appare più omogeneo ma



Fig. 8.7 Olla biconica della tomba Strada 5 (S5/1) con particolare del fregio a bande ondulate. Confronto con un frammento di olla dal Timpone della Motta.

non si può ancora parlare di una produzione specializzata. Il motivo decorativo a bande ondulate mostra una sorta di evoluzione dal semplice motivo orizzontale fino a quello composto da pannelli con serie di bande ondulate orizzontali. Nella fase più evoluta, il motivo è databile all'ultimo quarto dell'VIII sec. a.C. La decorazione presente sull'esemplare S5/1 si può datare al terzo quarto dell'VIII sec. a.C. Il motivo decorativo composto dall'applicazione di un fregio a bande ondulate diviso in pannelli e alternato ad aree a risparmio rettangolari o trapezoidali costituisce infatti l'ultima fase dello stile decorativo con l'inserzione dei pannelli. Probabilmente, l'inserimento di aree a risparmio nel fregio a bande ondulate non è stato un processo autonomo ma è stato influenzato dalla coeva produzione della ceramica enotrio-euboica¹⁶⁰¹.

Brocche

Le brocche appartenenti al repertorio enotrio tradizionale sono di regola foggate a cercine e sono ascrivibili ad un periodo compreso tra il Geometrico Antico e la fase iniziale del Geometrico Tardo (ca. metà del IX sec. a.C. fino alla fine dell'VIII sec. a.C.). Gli esemplari foggati a cercine presentano sul corpo i cordoli che sono stati levigati con un ciottolo. I cordoli sono visibili soprattutto sotto il collo, dove le tracce della lisciatura presentano un andamento verticale. Nella parte inferiore del corpo dei vasi, i cordoli sono stati lisciati in orizzontale. Questo significa che il vaso è stato lavorato in due parti, partendo dalla base e proseguendo per il collo e l'orlo: si notano infatti i segni della stecca nei punti di giunzione tra le due parti del vaso. Sono stati riconosciuti quattro esemplari di brocche di tipo A nelle tombe a fossa monumentale (Strada 15 e Strada 14) e in due tombe a fossa semplice (Strada 6 e Strada 7).

La brocca della tomba Strada 14 (S14/1, tav. 58) ha un'ansa a bastoncino verticale impostata sull'orlo e sulla pancia e non presenta tracce di decorazione. Il labbro convesso, l'orlo svasato con collo conico allungato posano su un corpo piriforme con base circolare non distinta. La forma della brocca è alquanto insolita nel repertorio delle forme locali enotrie della Sibaritide. Infatti, il profilo rigido, la forma piriforme e lo spessore della parete di quasi 1 cm sono delle caratteristiche particolari di questo esemplare. Potrebbe trattarsi pertanto di una forma locale piuttosto antica, databile tra la fine del Ge-

1597 Zancani Montuoro 1980–1982, tav. 70a.

1598 Zancani Montuoro 1980–1982, tav. 33, 10.

1599 Zancani Montuoro 1983/1984, tav. 52, 1.

1600 Zancani Montuoro 1977–1979, tav. 34a. b.

1601 Kleibrink u. a. 2012a, tabella 1 D1.



Fig. 8.8 Brocca biconica della tomba Strada 7 (S7/1). Confronto con un frammento di brocca biconica da Gravina di Puglia.

ometrico Antico e l'inizio del Geometrico Medio. L'esemplare può essere confrontato con un frammento di orlo di una brocca proveniente dal Timpone Motta, decorato nel punto di giunzione tra l'orlo e il collo e tra il collo e la spalla con due fregi composti da una banda ondulata delimitata da due dritte¹⁶⁰². La forma di questa brocca è stata datata tra la fine del Geometrico Antico e gli inizi del Medio sulla base di un confronto da Bellolucio¹⁶⁰³. Inoltre, le due brocche presentano le medesime misure, soprattutto per quanto riguarda lo spessore delle pareti di quasi 1 cm e il profilo rigido leggermente biconico. La somiglianza dei due esemplari permette dunque di datare la brocca della tomba Strada 14 allo stesso periodo. Le analisi macroscopiche consentono di ascrivere questo esemplare tra quelli foggati a cercine. In particolare, all'interno del collo sono visibili le tracce delle pressioni per congiungere i cordoli e in alcuni punti si possono riconoscere anche delle impronte digitali.

La brocca biconica ritrovata nella tomba Strada 15 (S15/1, tav. 62) con ansa a cordolo verticale impostata sull'orlo e sulla spalla appartiene alle forme dell'orizzonte del Geometrico Tardo. La brocca ha orlo svasato, collo troncoconico, corpo globulare schiacciato e piede ad anello e le uniche tracce di decorazione, costituite da triangoli pieni, sono visibili all'interno dell'orlo¹⁶⁰⁴. Brocche di questo tipo sono prodotte nel Salento tra il Geometrico Antico e Medio¹⁶⁰⁵, nonché in Lucania nel Geometrico Medio. Il collo dritto sembra invece essere una prerogativa della fase iniziale del Geometrico Tardo¹⁶⁰⁶. Infatti, l'angolo acuto interno dell'orlo e il profilo elegante di questa forma ne fanno un esemplare più tardo. L'esemplare trova un confronto con una brocca ritrovata nella tomba Temparella 27, databile nell'ultimo trentennio dell'VIII sec. a.C. Nel comparto territoriale locale si trovano confronti con una brocca decorata nello stile a frange da Bellolucio¹⁶⁰⁷ e una delle brocche decorate a frange e prodotte nel Geometrico Tardo a Francavilla

Marittima¹⁶⁰⁸. La brocca della tomba Strada 15 è stata foggata almeno in due parti, ne restano tracce della liscivatura eseguita a stecca in prossimità dell'angolo biconico all'interno del vaso. Inoltre tracce della stecca sono visibili intorno al piede e all'attaccatura dell'ansa.

Della tomba Strada 6 fanno parte i frammenti relativi alla base di una brocca con piede circolare (S6/1, tav. 33). Essi mostrano i segni della foggatura a cercine e l'inserimento del piede al vaso foggato a parte.

La tomba Strada 7 ha restituito una brocca biconica askoide con attacco di ansa a cordolo verticale (S7/1, fig. 8.8, tav. 36). Non sono presenti evidenti tracce di foggatura, probabilmente è stato foggato a cercine e l'esterno risulta ben levigato. Non restano neanche evidenti tracce di decorazione, anche se alcune macchie più scure presenti sulla spalla del vaso potrebbero far pensare ad un fregio dipinto. La brocca trova un confronto con un esemplare biconico ritrovato nella tomba Vigneto 6 privo di elementi decorativi che non permettono di avere una datazione più precisa¹⁶⁰⁹. Per le somiglianze di questi esemplari con un frammento di brocca da Gravina di Puglia sulla quale si è preservata la decorazione composta da un fregio a bande ondulate sulla spalla, si potrebbero datare gli esemplari in una fase iniziale del Geometrico Medio¹⁶¹⁰.

Bicchieri e attingitoi

Bicchieri e attingitoi in ceramica depurata sono prodotti a partire dal Geometrico Medio. Le caratteristiche morfologiche dei due tipi di vasi fanno pensare che siano stati usati per scopi diversi: il bicchiere per contenere liquidi versati da una brocca e l'atingitoio per attingere liquidi da un'olla o un cratere. Vasi dello stesso tipo della necropoli di Valle Sorigliano sono stati suddivisi in base all'altezza delle anse e caratteristiche morfologiche del collo: i bicchieri sono caratterizzati da collo corto conico con ansa verticale leggermente sormontante che non supera i 1,5 cm di altezza sopra l'orlo, mentre gli attingitoi hanno collo conico o una forma globulare compressa e ansa verticale sormontante di alcuni centimetri sopra il bordo¹⁶¹¹. Sulla base di questa distinzione è stato possibile suddividere gli esemplari di bicchieri e attingitoi ritrovati nelle sepolture dell'area Strada, anche se non sempre una differenziazione funzionale è possibile, perché entrambi i recipienti sono associati sia a brocche che a grandi olle o crateri¹⁶¹².

Gli attingitoi ritrovati nelle tombe dell'area Strada sono tre e presentano caratteristiche simili sia per quanto riguarda la decorazione che la forma (fig. 8.9). Solo su due esemplari (S8/3 e S11/3) restano sulla superficie esterna tracce di decorazione costituite da serie di linee orizzontali dipinte nelle zone di giunzione o di attacco. Questi esemplari possono essere da-

1602 Kleibrink u. a. 2012a, 137 n. 167.

1603 Paragonabile soprattutto per il profilo e lo spessore delle pareti. Carrara Jacoli 1994, tav. 137, 2.

1604 Le macchie nere, come punti sparsi sul vaso, sono causate dal terreno dove è stato trovato il vaso. Questo è ulteriormente dimostrato dal fatto che anche la brocchetta ritrovata nella medesima tomba presenta queste tracce.

1605 Yntema 1990, fig. 123a. b.

1606 Yntema 1990, fig. 87.

1607 Carrara Jacoli 1994, tav. 137, 6. Fasanella Masci 2016, Cat. BL 15c.

1608 Kleibrink 2015, 126 n. 236.

1609 Zancani Montuoro 1977-1979, tav. 33d.

1610 Si veda Small 1976, fig. 15 n. 61.

1611 Bailo Modesti u. a. 1999, fig. 7d; Kleibrink u. a. 2012a, 70-77.

1612 Si veda anche il capitolo 3.2.1 »Tasse«, nel quale è sottolineata la difficoltà nella differenziazione funzionale tra le tazze/bicchieri e gli attingitoi.



Tomba Strada 8 (S8/3)
 Diametro massima apertura: 6.2 cm;
 altezza: 8.6 cm (comprensiva di ansa);
 diametro massima espansione: 9.3
 cm; spessore: 0.4 cm; spessore labbro:
 0.2 cm.

Tomba Strada 7 (S7/2)
 Diametro massima espansione: 9 cm;
 altezza: 8.7 cm (comprensiva di ansa);
 spessore: 0.4 cm.

Tomba Strada 11 (S11/3)
 Diametro massima apertura: 6.3 cm;
 altezza: 8.8 cm (comprensiva di ansa);
 diametro massima espansione: 9.1
 cm; spessore: 0.4 cm; spessore labbro:
 0.3 cm.

Fig. 8.9 Livello di standardizzazione di un attingitoio locale nel terzo quarto dell'VIII sec. a. C.

tati nell'ultimo quarto dell'VIII sec. a.C. e sono associati nelle sepolture sia alle olle che alle brocche.

L'attingitoio S11/3 (fig. 8.9, tav. 48) è ricostruito da frammenti (mancante di parte dell'orlo) ed è caratterizzato da orlo svasato, collo leggermente rigonfio, corpo globulare schiacciato e piede ad anello. L'ansa a nastro verticale impostata sull'orlo e sulla spalla sormonta il bordo di qualche centimetro. La superficie esterna è fortemente corrosa, nonostante ciò sono visibili le tracce di decorazione sotto l'orlo e il collo costituite da due linee orizzontali. L'attingitoio S11/3 è foggato con la tecnica tradizionale a cercine e all'interno del collo sono visibili le tracce della levigatura dei cordoli.

Nella tomba Strada 7 l'attingitoio (S7/2, fig. 8.9, tav. 36) mancante dell'orlo e parte del collo non era stato deposto all'interno della brocca biconica. La forma è ben attestata sia nelle tombe di Macchiabate che sul Timpone Motta. L'esemplare non presenta tracce di decorazione che permettano di ricostruire lo stile decorativo. Si può tuttavia confrontare con gli attingitoi S8/3 e S11/3 decorati nello stile a bande rendendo possibile una datazione all'ultimo quarto dell'VIII sec. a.C. Anche in questo caso l'esemplare presenta le tracce della foggatura a cercine.

L'attingitoio della tomba Strada 8 (S8/3, fig. 8.9, tav. 39) presenta le medesime caratteristiche degli altri due attingitoi locali. L'esemplare è ricostruito da frammenti (mancante di parte dell'orlo), ha orlo svasato, collo leggermente rigonfio, corpo globulare schiacciato e piede ad anello. Restano tracce di decorazione sotto l'orlo (due linee orizzontali) e sotto il collo (due linee orizzontali e parallele). La decorazione a bande permette di proporre una datazione all'ultimo quarto dell'VIII sec. a.C. Lo stile decorativo a bande, largamente attestato a Francavilla Marittima, dipinto su attingitoi e brocchette a partire dall'ultimo quarto dell'VIII sec. a.C. (IFe2B)¹⁶¹³. Nella produzione geometrica dell'Italia meridionale i motivi lineari costituiscono

no l'ultima fase stilistica, in quanto motivi più semplici costituiscono un primo indizio di produzione standardizzata con conseguente adozione di nuove tecnologie, come il tornio e la pittura lucida¹⁶¹⁴. La produzione di questi tipi di attingitoi richiedeva la presenza di maestranze semi-specializzate, capaci di produrre vasi con pareti sottili e finemente decorati. Questo tipo di lavorazione semi-specializzata presuppone una standardizzazione della composizione dell'impasto, abilità nella tecnologia di produzione, meno variazioni nei motivi decorativi e nella resa stilistica e una più ampia area di distribuzione¹⁶¹⁵.

La standardizzazione delle forme ceramiche a Francavilla Marittima era già stata avviata nell'ultimo quarto dell'VIII sec. a.C. (IFe2B), con la contemporanea produzione delle tazze monoansate e dei kantharoi decorati nello stile a frange e miniaturistico. Nel nostro caso non si hanno segni dell'adozione di nuove tecnologie, ma una somiglianza degli esemplari sia per quanto riguarda la forma che la decorazione potrebbe far supporre l'esistenza di un vasaio o un gruppo di vasai specializzati in queste forme. Queste considerazioni sono importanti per poter datare l'attingitoio all'ultimo quarto dell'VIII sec. a.C.

Tre esemplari di bicchieri (S15/2, S14/2, S13/2) sono stati rinvenuti nell'Area Strada, associati a grandi contenitori tradizionali. Questo tipo di bicchiere con pareti sottili era prodotto a cercine, e in particolare i cordoli venivano schiacciati prima di essere sovrapposti l'uno sull'altro. I cordoli sono quindi assemblati l'un l'altro usando solo i polpastrelli per assottigliare e far alzare le pareti. In seguito, prima della fase di essiccamento, si esegue la prima rifinitura esterna con una stecca che lascia sul vaso striature oblique. Infine si raschia l'interno con la stecca e si stende uno strato di ingobbio¹⁶¹⁶.

Il bicchiere S15/2 (fig. 8.10, tav. 62) è stato ritrovato all'interno della brocca, secondo l'uso funerario locale. Esso appartiene al repertorio enotrio tradizionale della metà dell'VIII sec. a.C. Il bicchiere presenta labbro leggermente svasato con collo

1613 Per avere un esempio completo della decorazione dipinta su questi attingitoi è possibile fare riferimento agli esemplari dello stesso tipo ritrovati sull'acropoli di Timpone Motta. Kleibrink 2015a, 241 n. 205.

1614 Kleibrink 2006b, 140–167.

1615 Roux 2003, 768–782.

1616 Laneri 2009, 74.



Fig. 8.10 In alto: bicchiere tradizionale della tomba Strada 15 (S15/2); in basso: brocchetta/bicchiere in ceramica grigia dalla tomba 1 di Torre Mordillo.

rigonfio, corpo globulare schiacciato e piede ad anello non distinto. L'ansa a nastro verticale è impostata sull'orlo e sul corpo. L'esemplare è foggato a mano con la tecnica a cercine. Il collo rigonfio, eseguito probabilmente con un cordolo sagomato dall'interno, è una tecnica locale non molto utilizzata nella produzione di forme della tradizione geometrica. Il bicchiere infatti riproduce una forma attestata nel repertorio della ceramica grigia enotria prodotta sia a Francavilla Marittima che nei centri indigeni vicini. In particolare, la forma richiama quella di una brocchetta in ceramica grigia, anch'essa foggata a mano con la tecnica a cercine ritrovata nella Tomba 1 di Torre Mordillo (fig. 8.10). Questo tipo di produzione in ceramica grigia si data al Geometrico Medio, rendendo possibile una datazione dell'esemplare dalla tomba Strada 15 allo stesso periodo. Un ulteriore paragone è costituito da un esemplare in ceramica geometrica enotria da Bellolucio, decorato tramite linee orizzontali, databile all'orizzonte tra il Geometrico Medio e Tardo (ultimo quarto dell'VIII sec. a.C.).

Anche nella tomba Strada 14 il bicchiere (S14/2, tav. 58) è riferibile ad un tipo di vaso locale largamente attestato nelle necropoli enotrie della Sibaritide. Esso ha labbro arrotondato, orlo dritto, collo svasato, corpo sferico e piede circolare non distinto. Internamente l'orlo è decorato da trattini verticali ed esternamente da una linea orizzontale. L'ansa a nastro verticale, impostata sull'orlo e sulla pancia, presenta tracce di pittura nella parte superiore: una linea obliqua, forse parte di un motivo più complicato composto da doppie linee a zig zag¹⁶¹⁷. Un confronto è costituito dalla decorazione di un frammento di orlo e corpo di un bicchiere globulare dal Timpone Motta, decorato con un fregio continuo a rete sotto il collo, e una banda orizzontale sotto l'orlo¹⁶¹⁸. Un bicchiere decorato con due linee orizzontali una sotto l'orlo e l'altra sotto il collo proveniente da Bellolucio costituisce un ulteriore paragone¹⁶¹⁹. Infine, il

frammento di un bicchiere di tipo simile è stato ritrovato nella tomba Strada 13 (S13/2, tav. 55), anch'esso da considerare un bicchiere tradizionale. Il frammento di bicchiere mancante dell'ansa non presenta tracce di decorazione. Il vaso era stato foggato a mano.

Nella tomba Strada 2 il corredo ceramico era composto da un bicchiere collocato all'interno di un grosso vaso simile a un cratere. Il bicchiere biconico con ansa a nastro verticale impostata sull'orlo e sulla pancia presenta orlo leggermente sporgente, corpo globulare schiacciato e piede non distinto circolare (S2/2, tav. 13). La decorazione è composta da una banda orizzontale sotto l'orlo e da un fregio sulla spalla che termina in prossimità dell'ansa. Forme paragonabili sono largamente attestate nella necropoli di Macchiabate. L'esemplare infatti può essere messo a confronto con un bicchiere ritrovato nella tomba Temparella 66, che però non conserva la decorazione¹⁶²⁰. Bicchieri dello stesso tipo erano diffusi nel Geometrico Medio e potevano essere decorati con un fregio a bande ondulate continuo dipinto nel punto di transizione tra collo e spalla. Purtroppo nell'esemplare S2/2 la decorazione è quasi svanita, e non è possibile ricostruire il motivo decorativo originale. Del resto la scarsità di bicchieri decorati a frange fa presupporre che questo tipo di forma facesse parte di forme più antiche decorate a bande ondulate prodotte nella metà dell'VIII sec. a.C. Infatti lo stile a frange si ritrova maggiormente dipinto su attingitoi, brocche, olle e kantharoi. Solo un esemplare di brocchetta decorata nello stile a frange, proveniente dalla tomba Lettere B, somiglia morfologicamente all'esemplare S2/2. La brocchetta dalla tomba Lettere B presenta un tipo di decorazione molto antico dello stile a frange, ossia privo di divisioni trapezoidali. Queste somiglianze potrebbero far pensare ad un bicchiere dello stesso tipo prodotto in un periodo di transizione tra lo stile a bande ondulate e l'inizio dello stile a frange e quindi databile alla metà dell'VIII sec. a.C.

Sull'esemplare S2/2, le tracce della foggatura a cercine sono ancora visibili all'interno in prossimità del collo sotto forma di segni allungati e verticali, secondo la pratica di rifinitura dei cordoli a stecca. Sotto la base si notano i segni di una stuoia, probabilmente il vaso era stato poggiato su questo supporto nella fase della sovrapposizione dei cordoli¹⁶²¹.

Il bicchiere/brocchetta della tomba De Leo 1 presenta ansa a nastro verticale impostata al collo e sulla pancia e non ha tracce di decorazione (DL1/2, tav. 80). La forma molto globulare lo distingue dai bicchieri locali enotri che presentano solitamente corpo globulare schiacciato. La caratteristica del collo rigonfio è tuttavia chiaramente ripresa dai vasi in ceramica grigia locali. Si potrebbe quindi pensare che questi vasi, imitando quelli in ceramica grigia, non fossero decorati oppure avessero solamente delle bande orizzontali nei maggiori punti di giunzione.

1617 Kleibrink u. a. 2013, n. 71.

1618 Kleibrink u. a. 2013, n. 72.

1619 Carrara Jacoli 1994, tav. 138, 7.

1620 Kleibrink u. a. 2012a, 40 n. 43c; Zancani Montuoro 1983/1984, 40 tav. 25c.

1621 Fasanella Masci 2016, fig. 4.11.

Un bicchiere frammentario è stato ritrovato nella tomba S16 (S16/1, tav. 66) ed era associato ad uno skyphos enotrio-uboico. Il bicchiere biconico ha ansa a nastro frammentaria impostata sulla pancia e probabilmente sull'orlo e presenta tracce di decorazione dietro le anse (forse un fregio a frange di cui resta la parte a risparmio quadrangolare) e tre linee dipinte sull'ansa.

Scodelle

Le forme aperte facenti parte dei corredi della necropoli di Macchiabate sono di regola state prodotte a mano oppure a cercine. Esse presentano tracce della foggatura a cercine caratterizzate dalla presenza dei cordoli visibili sulla superficie esterna sotto forma di macrotracce orizzontali¹⁶²². Dall'analisi eseguita su alcuni esemplari di forme aperte si è notato che venivano foggiate partendo da un'unica porzione di argilla, senza l'assemblaggio di parti diverse, in quanto non sono presenti tracce di giunture. Probabilmente era possibile foggiare queste forme aperte con un unico cordolo, soprattutto nel caso di forme piccole, e con una serie di cordoli nel caso di forme più grandi. Il vaso veniva costruito mettendo un cordolo sull'altro e schiacciando le pareti per congiungere i cordoli che venivano rifiniti con un ciottolo o una stecca. Il labbro veniva arrotondato probabilmente con le dita mentre l'orlo era liscio con la stecca sia in caso di orlo rientrante che sporgente. La base poteva essere foggata a mano e poi aggiunta successivamente al vaso.

La scodella della tomba Strada 14 (S14/3, tav. 58) presenta ansa a nastro verticale sormontante impostata sul labbro e sul corpo. Non restano tracce di decorazione. Questa scodella è stata foggata a mano in un unico pezzo di argilla e poi l'ansa è stata aggiunta al vaso successivamente. Scodelle simili – tuttavia con ansa impostata orizzontalmente – sono attestate sia nella necropoli che sul Timpone Motta di Francavilla Marittima¹⁶²³.

Askoi

A partire dalla metà dell'VIII sec. a.C. è attestata nella Sibaritide la produzione di una particolare forma vascolare: l'askos. L'askos è caratterizzato da un lungo collo con bocca stretta usata per versare liquidi in piccole quantità, il corpo globoso, un'unica ansa verticale sormontante impostata sull'orlo e sulla spalla e il piede ad anello. La particolarità di questa forma è proprio la piccola protuberanza posta sulla spalla sotto l'ansa, che ha a che fare con il liquido che conteneva. Gli askoi sono prodotti con la tecnica mista, ossia a mano con l'ausilio di un supporto. Qualsiasi sia stato il motivo per cui alcuni vasai locali hanno prodotto questa forma, questo certamente era legato ad una funzione specifica che il recipiente svolgeva nella comuni-

tà¹⁶²⁴. Gli askoi sono stati ritrovati maggiormente nelle sepolture di bambini e sull'acropoli del Timpone Motta. Questo sottolinea la loro connessione con i riti di sepoltura e culturali.

Il tipico askos enotrio tradizionale è stato ritrovato in due tombe infantili dell'area Strada, Strada 12 e Strada 18. L'esemplare S12/1 (tav. 53) è caratterizzato da ansa a nastro sormontante impostata sull'orlo e sul corpo, orlo svasato, corpo globulare schiacciato e piede ad anello. L'interno dell'orlo è decorato con triangoli pieni, all'esterno restano tracce di tre bande orizzontali e due linee sull'ansa. Sotto il collo è dipinto un fregio composto da quattro linee di cui quelle laterali più spesse; dal fregio scendono gruppi di frange composte da tre linee. Il fregio termina all'attaccatura dell'ansa. Sia la forma che la decorazione permettono di trovare delle precise somiglianze con l'askos ritrovato nella tomba infantile 325 di San Montano (Pithekoussai). L'esemplare S12/1 è stato foggato presumibilmente con la tecnica mista, sebbene sia integro e non è quindi possibile vedere le tracce delle giunture tra le diverse parti del vaso. La tecnica mista è stata adottata per alcuni esemplari di askoi in ceramica geometrica enotria prodotti alla fine dell'VIII sec. a.C.¹⁶²⁵.

L'askos S18/1 (tav. 75) presenta ansa a nastro verticale bifora sormontante. Le tracce di decorazione conservate intorno al collo non permettono di ricostruirne il motivo decorativo. In questo esemplare l'utilizzo della tecnica di foggatura mista è evidente. All'interno del vaso, in corrispondenza della protuberanza sulla spalla, resta il segno della foggatura con l'ausilio di uno stampo o puntone su cui l'argilla è stata adagiata.

L'askos S8/2 (tav. 39), con ansa a nastro verticale impostata sull'orlo e sulla spalla, presenta bocca stretta, orlo svasato, corto collo troncoconico, corpo globulare schiacciato e base ad anello non distinta. L'orlo è decorato all'interno con triangoli riempiti e all'esterno sotto l'orlo è presente un fregio composto da una banda ondulata delimitata da due linee dritte e orizzontali. Da una parte all'altra dell'ansa sono presenti due pannelli composti da linee ondulate e da frange ondulate che scendono a gruppi di tre. Lo stesso fregio continua sotto l'ansa secondo un andamento circolare. Il collo è stato foggato a parte e inserito in un secondo momento: all'interno del collo è possibile sentire al tatto i segni di questa aggiunta. All'esterno, in prossimità della protuberanza, la superficie è stata lisciata e le tracce dell'aggiunta non sono più visibili (resta visibile forse una stecca). La superficie del corpo esterno del vaso è ben lisciata per cui non restano tracce di giunture o altri segni.

1624 Fasanella Masci 2016, 114.

1625 È noto che gli askoi nel V sec. a. C. in Grecia fossero foggati con la tecnica a stampo. Lo dimostrano alcuni esemplari di askoi attici con protome di anatra. Questi tipi di askoi nella prima metà del V sec. a.C. venivano foggati parzialmente o completamente a stampo. T. Schreiber ha riconosciuto all'interno di questi askoi attici i segni dell'aggiunta dell'argilla fresca e le striature per schiacciare l'argilla nello stampo. Si veda Schreiber 1999, 93–97.

1622 I segni della lisciatura dei cordoli con un ciottolo sono presenti una tazza e una scodella da Torre Mordillo: Fasanella Masci 2016, Cat. TM 14c.

1623 Zancani Montuoro 1977–1979, tav. 49.

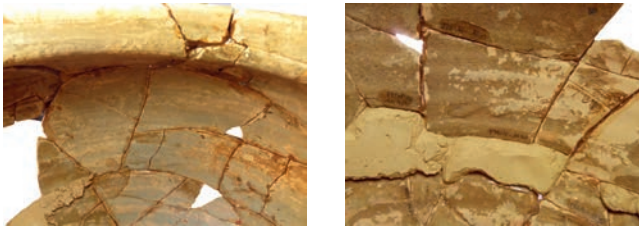


Fig. 8.11 Cratere di tipo B della tomba De Leo 1 (DL1/1), particolare dell'interno del vaso con i segni della mal riuscita congiunzione di due cordoli.

8.4.2 Tipo B: vasi enotrio-euboici foggati con il tornio o rifiniti con la base rotante

Il tipo B comprende esemplari estranei al repertorio locale o che riproducono forme d'influenza greca/euboica associate ad elementi del repertorio locale. Si tratta di vasi cosiddetti enotrio-euboici: crateri, skyphoi, bicchieri e una oinochoe.

Nell'area Strada sono state individuate cinque tombe del tipo a fossa monumentale con vasi di tipo B: Strada 2, Strada 4, Strada 5, Strada 8 e Strada 16. Vasi di tipo B sono presenti anche nella tomba De Leo 1.

Crateri

Il vaso crateroide dalla tomba Strada 2 (S2/1, tav. 13) con due anse a maniglia, di cui una frammentaria, impostate obliquamente sulla spalla presenta labbro piatto con una leggera scanalatura esterna, l'orlo dritto, corpo globulare schiacciato e piede conico svasato. Restano tracce di pittura rossastra, probabilmente una banda, in prossimità dell'attacco dell'ansa; altre tracce di pittura bruna sono visibili sul piede e sulla parte inferiore della pancia. Dallo studio delle tracce macroscopiche individuate, il vaso S2/1 sembra foggato in due o più parti: la parte superiore con il tornio e la parte inferiore a cercine rifinita con il tornio. Le tracce di questa tecnica di foggatura sono visibili all'interno del vaso: la parte superiore presenta una superficie regolare senza alcuna presenza delle ondulature che si trovano invece nella parte inferiore del vaso. Nella parte inferiore sono visibili alcune scanalature fra due zone convesse, causate dalla mal riuscita congiunzione di due cordoli¹⁶²⁶.

Il cratere globulare su piede con anse teriomorfe della Tomba De Leo 1 (DL1/1, fig. 8.11, tav. 79) ha piede a stelo campanulato cavo, vasca larga e profonda e anse oblique bifore a bastoncino collegate al nastro verticale. Il cratere è stato rifinito con la base rotante e alcune delle macro tracce di questa lavorazione sono riconoscibili all'interno del vaso. All'interno dell'ansa è visibile una porzione di argilla forse causata dall'inserimento dell'ansa e dall'opera di rifinitura. Anche intorno all'attaccatura delle anse sono visibili i segni della lisciatura, mentre sotto le anse una giuntura costituisce forse l'attacco di questa parte del vaso al corpo (fig. 8.11). Sulla parte destra dell'ansa è inoltre visibile un'impronta digitale. Il vaso trova confronti per la forma dell'ansa e dei bottoni plastici sull'orlo

1626 Si rimanda al capitolo 8.2.3.



Fig. 8.12 Attingitoio di tipo B della tomba Strada 5 (S5/2).

con crateri greci databili al Geometrico Tardo¹⁶²⁷. In particolare questo tipo di decorazione plastica trova precisi confronti con un cratere su alto piede dal Santuario di Apollo ad Eretria¹⁶²⁸.

Bicchieri/attingitoi

Alla produzione enotrio-euboica appartiene l'attingitoio S5/2 (fig. 8.12, tav. 26), rinvenuto nella tomba Strada 5 all'interno dell'olla biconica su piede di produzione locale¹⁶²⁹. L'esemplare presenta orlo leggermente svasato, collo leggermente concavo e corpo sferico con piede circolare non distinto con ansa a nastro verticale impostata sull'orlo e sulla pancia. (fig. 8.12). Sotto l'orlo sono presenti due bande orizzontali che delimitano il fregio principale composto da una banda ondulata del tipo *Wavy Bands Style*, seguita da una parte a risparmio sopra il piede. L'ansa è decorata con tratti orizzontali e il fregio è chiuso in prossimità delle anse, peculiarità che si può considerare una caratteristica propriamente locale. L'attingitoio fa parte della produzione enotrio-euboica in quanto combina la forma locale con un tipo di decorazione di influenza greca. L'attingitoio è confrontabile sia per quanto riguarda la decorazione che le caratteristiche tecnologiche con un bicchiere ritrovato sul Timpone Motta¹⁶³⁰. Differisce leggermente nella forma, soprattutto nella parte superiore. Questa è paragonabile ad un altro bicchiere frammentario ritrovato sul Timpone Motta¹⁶³¹.

Brocca oinochoe

Una forma molto particolare è caratterizzata da un vaso ibrido sia per tipologia che per foggatura rinvenuto nella tomba infantile Strada 8. Si tratta dell'oinochoe askoide con ansa a nastro verticale impostata sull'orlo e sulla spalla (S8/1, tav. 39). L'esemplare ha bocca trilobata, collo conico, corpo askoide globulare schiacciato e base ad anello irregolare (fig. 8.13). Esso è

1627 Si veda la trattazione del pezzo nel capitolo 3.2.1 »Krater«.

1628 Verdan 2013, fig. 204 tav. 82.

1629 Un altro esemplare di bicchiere/attingitoio proveniente dalla tomba Strada 4 (S4/3) si deve annoverare in questo gruppo. L'esemplare in questione presenta tracce di tornitura all'interno, si veda il capitolo 3.2.1 »Tasse«.

1630 Kleibrink u. a. 2012a, 55 n. 15.

1631 Kleibrink u. a. 2012a, 56 n. 16.



Fig. 8.13 Brocca oinochoe della tomba Strada 8 (S8/1) e particolare della giuntura.

foggiato in due parti: la parte superiore è eseguita con il tornio, mentre il corpo è foggato a mano o probabilmente con l'ausilio di un supporto. All'interno, nel punto di massima espansione, è visibile la zona di congiunzione tra le due parti e all'esterno è presente una solcatura. Frammenti pertinenti a due differenti oinochoai simili sono stati ritrovati sul Plateau 1 del Timpone Motta¹⁶³². Il nostro esemplare si avvicina al tipo arrotondato con collo stretto e bocca trilobata e decorato con serie di bande orizzontali di vario spessore. Dall'analisi macroscopica eseguita sugli esemplari in questione, sembrano appartenere anch'essi ai prodotti locali di ceramica enotria-euboica. Non sappiamo tuttavia se la forma del corpo sia paragonabile a quella dell'esemplare S8/1, in quanto non restano frammenti del corpo del vaso, ma con buone probabilità si tratta di una forma simile. Per questo tipo di oinochoe è stato trovato un confronto con alcuni esemplari ritrovati in tombe di Pithekoussai¹⁶³³.

Skyphoi

Nella tomba De Leo 1 è stato rinvenuto uno skyphos frammentario con anse a maniglia impostate obliquamente alla pancia e orlo dritto (DL1/3, tav. 80). Si tratta di una forma attestata nelle produzioni enotria-euboiche della Sibaritide. In particolare per le misure si avvicina molto ad uno skyphos geometrico di Torre Mordillo¹⁶³⁴.

Un altro skyphos dello stesso tipo proviene dalla tomba Strada 16 (S16/2, tav. 66). L'esemplare presenta anse a maniglia orizzontale impostate sulla spalla, orlo dritto e labbro convesso. La decorazione è mal conservata, tuttavia si riconoscono tracce di due o tre bande orizzontali e una banda ondulata sotto l'orlo. Sul corpo del vaso restano tracce di pittura di colore scuro, all'interno della vasca si riconosce una linea risparmiata all'altezza dell'orlo, l'interno era probabilmente completamente verniciato¹⁶³⁵.

Entrambi i vasi hanno una forma estranea al repertorio vascolare tradizionali e presentano all'interno della vasca le tracce della rifinitura o foggatura con il tornio.

8.4.3 Tipo C: vasi con influenze da altri centri indigeni dell'Italia meridionale foggati a mano o a cercine

I tre vasi ceramici rinvenuti nella tomba Strada 17 sono eseguiti a cercine e la loro foggatura presenta influenze da altri centri indigeni dell'Italia Meridionale.

Bicchiere

Il bicchiere S17/3 (tav. 70) è privo di decorazione ed è caratterizzato da un corpo molto arrotondato. È stato foggato a mano con la tecnica a cercine. Questa forma lo differenzia dallo stesso tipo di bicchiere biconico con corpo schiacciato attestato nella produzione locale e lo avvicina alla produzione dei bicchieri/atingitoidi del tipo B dell'VIII sec. a.C. ritrovati in Basilicata¹⁶³⁶. Esempari di questa forma sono generalmente decorati con un fregio a rete sotto l'orlo, lasciando a risparmio la parte dell'ansa. Tale forma vascolare, nella quale le parti del corpo del vaso non sono differenziate, presenta un elemento decorativo posto solamente sotto l'orlo. Se la mia intuizione è giusta allora si potrebbe datare tra la metà dell'VIII e la fine dello stesso secolo. Forme molto globulari si ritrovano anche tra gli attingitoidi di Borgo Nuovo a Taranto, tuttavia con un tipo di ansa differente¹⁶³⁷.

Brocca

La brocca S17/2 (tav. 70) è stata foggata con la stessa tecnica a cercine e presenta anch'essa corpo globulare. La forma molto globulare della brocca ne fa un esemplare non molto comune tra le forme del Geometrico Medio enotrio. L'esemplare ha pareti molto sottili e l'argilla è di colore giallino chiaro. Non restano tracce di decorazione a parte un piccolo segno a forma di raggio circolare sulla pancia, tuttavia non è possibile ricostruire la decorazione. Al centro del corpo del vaso è presente un foro stato ricavato nell'argilla fresca, le cui cause o scopo sono sconosciute. Potrebbe trattarsi di un foro eseguito per una funzione specifica legata al recipiente. Oppure poteva nel foro poteva essere inserita una *applique* di materiale deperibile (ad esempio legno) di cui non è rimasta traccia¹⁶³⁸.

Olla

L'olla S17/1 (tav. 70) presenta una forma che ricorda le produzioni della Lucania occidentale tra la fine dell'VIII sec. a.C. e gli inizi del VII sec. a.C., come mostrano alcuni paragoni da Sala Consilina¹⁶³⁹. Questo tipo di olla è contraddistinto da una forma leggermente biconica con collo troncoconico e anse orizzontali a bastoncello impostate verticalmente sulla pancia. Non restano tracce della decorazione. La forma è in partico-

1632 Jacobsen 2007, fig. 4.

1633 Si tratta della tomba 309A. Cfr. Jacobsen 2007.

1634 Jacobsen u. a. 2009, 203–222.

1635 Per gli esemplari S16/2 e DL1/3 si veda anche la trattazione nel capitolo 3.2.1 »Skyphos«.

1636 Nava u. a. 2009, tav. 8.

1637 Lo Porto 2004.

1638 Si veda de La Genière 2012, 31 fig. 2.

1639 Yntema 1990, 126 fig. 99 forma 1/7 B.

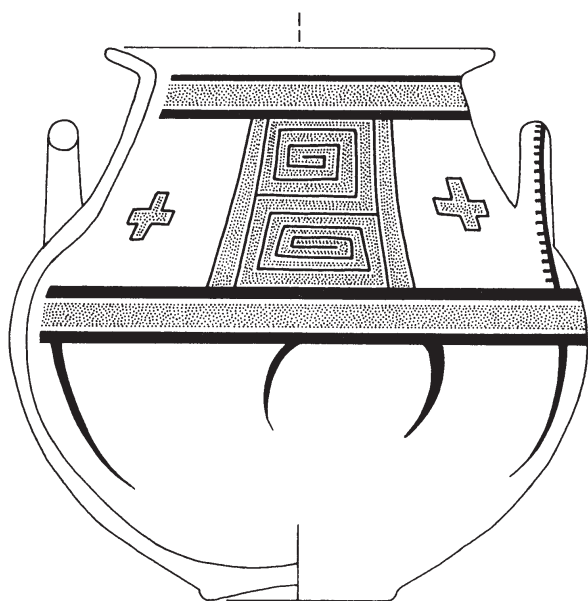


Fig. 8.14 Vaso da Sala Consilina, 625–585 a. C.

lare le anse di questo tipo sembrano associate di frequente a decorazioni con motivi a tenda. L'olla S17/1 è stata foggata a mano e il piede sembra sia stato manufatto a parte utilizzando un tipo di argilla meno depurata. Tra le ceramiche attestate nelle tombe della necropoli di Macchiabate, un altro esemplare presenta influenze della tradizione vascolare geometrica di altre regioni dell'Italia meridionale. Si tratta dell'olla cratera dalla tomba Lettere C, associata ad un attingitoio di forma locale¹⁶⁴⁰. L'olla cratera è stata paragonata con un esemplare proveniente dalla tomba 8 di Ortona e databile all'VIII sec. a.C., potrebbe quindi attestare un'influenza della produzione geometrica della Daunia¹⁶⁴¹.

8.5 Conclusioni

Lo studio della foggatura delle ceramiche provenienti dalle aree Strada e De Leo ha portato all'individuazione di vasi di tradizione locale (Tipo A), di produzioni miste caratterizzate dalla combinazione di elementi locali ed elementi all'otri (Tipo B) e di vasi che mostrano influenze da altre zone dell'Italia Meridionale (Tipo C). La maggior parte dei vasi analizzati appartiene alla tradizione geometrica enotria dell'VIII sec. a.C.: vasi biconici, attingitoi e askoi. Altri presentano caratteri tecnologici e tipologici misti del tipo enotrio-euboico e altri ancora presentano le caratteristiche delle diverse produzioni geometriche locali dell'Italia meridionale.

La maggior parte delle tombe oggetto del presente studio contiene vasi di tradizione locale (Tipo A), ossia sei tombe a fossa monumentale e tre tombe a fossa semplice (Strada 6, 7, 11, 12, 13, 14, 15, 18, 19). Le produzioni miste di tipo B sono attestate in sei tombe a fossa monumentale (Strada 2, 4, 5, 8,

16 e De Leo 1), mentre le produzioni 'interregionali' (tipo C) si trovano in un solo corredo di una tomba a fossa monumentale (Strada 17).

Come si spiegano queste differenze? È possibile postulare che i vasi del corredo abbiano agito come marcatori di identità – indicando quindi sepolture di immigrati provenienti da altre zone dell'Italia Meridionale? Per il momento possiamo solo sottolineare le differenze rilevate e ipotizzare l'esistenza di differenti gruppi familiari sepolti nell'Area Strada. Risulta chiaramente che i vasi sono di forme e tecniche diverse, per cui si può concludere l'esistenza di differenti procedure di produzione e probabilmente di workshops o vasai distinti.

Quali sono state le ragioni che hanno spinto un gruppo di vasai locali a produrre diversi *sets* da mensa di tradizione ceramica differente? Per quale motivo il tornio da vasaio, sebbene usato per produrre la ceramica enotrio-euboica, non è stato adottato nella produzione dei vasi di tradizione enotria? Analizzando le caratteristiche macroscopiche del gruppo di ceramica enotrio-euboica e alla luce di un'accurata analisi tecnologica (analisi radiografica e tomografica) di entrambi i materiali sono da rivedere alcune ipotesi interpretative sulle tecnologie di produzione¹⁶⁴². Per il momento non possiamo essere sicuri se dietro al tornio da vasaio ci fossero dei vasai euboici o enotri, anche perché le importazioni euboiche nel Santuario di Timpone Motta o nelle tombe di Macchiabate sono scarse¹⁶⁴³. I ceramisti locali possono aver appreso le tecnologie produttive di questa ceramica non necessariamente a Francavilla Marittima, perché anche in altri siti sono state ritrovate classi ceramiche dello stesso tipo (Pontecagnano, Pithekoussai e Canale Ianchina). Tuttavia è più che evidente che i ceramisti locali hanno deciso di non abbandonare il loro tradizionale metodo di foggatura a cercine o di riprodurre completamente le nuove ceramiche di tipo greco.

La ceramica geometrica enotria, evidentemente, era parte fondamentale della loro identità, che non erano disposti a cambiare, anche se la produzione al tornio era molto più veloce con un conseguente meno dispendio di tempo¹⁶⁴⁴.

Marianna Fasanella Masci

1640 Zancani Montuoro 1977–1979, tav. 8 a, 1.

1641 Iker 1984.

1642 Si veda Fasanella Masci *im Druck*.

1643 Frammenti euboici databili tra il Geometrico Medio e il Geometrico Tardo I sono stati ritrovati sul Timpone Motta e rappresentano la prima attestazione di questa ceramica lungo la costa ionica dell'Italia meridionale: Jacobsen – Handberg 2010, 21.

1644 Fasanella Masci 2016, 40–46.

9 Zusammenfassung

Einführung und Ausgangslage

Nach vierzigjährigem Unterbruch nahm ein Team der Universität Basel im Sommer 2009 die archäologischen Untersuchungen in der Macchiabate-Nekropole von Francavilla Marittima wieder auf und setzte damit die Arbeiten von Paola Zancani Montuoro aus der Zeit von 1963–1969 fort. Ziel der Untersuchungen war es, anhand ausgewählter und sorgfältig dokumentierter Grabungsbefunde ergänzendes Wissen zu den von P. Zancani Montuoro erforschten Gräbern zu gewinnen. Ausserdem sollten Fragen zur Organisation der Nekropole geklärt sowie ergänzende Informationen zur Beurteilung des umstrittenen Kulturwandels in der Sibaritide von der Eisenzeit in die archaische Epoche gewonnen werden. Zur Klärung der angesprochenen Fragen konzentrierten sich die Basler Ausgrabungen von Anbeginn auf das 'Areal Strada', eine Zone, die nordwestlich an das seit 1963 bekannte Grab Strada 1 anschliesst und ihren Namen von einem alten Pfad hat (*strada campestre*), der an dieser Stelle durch die Macchiabate verlief (Taf. 2 Nr. 12). Während der Ausgrabungen in diesem Bereich, die von 2009 bis 2016 dauerten, kam bei Landwirtschaftsarbeiten am Rande des benachbarten Grundstücks der Familie De Leo ein weiteres eisenzeitliches Grab zum Vorschein, Grab De Leo 1, das dank des Entgegenkommens der Familie De Leo 2014 zusammen mit den Resten eines direkt anstossenden Kindergrabes, De Leo 2, freigelegt werden konnte (Taf. 2 Nr. 16). Diese Gräber bilden – zusammen mit einer Neubewertung des von P. Zancani Montuoro untersuchten Grabes Strada 1 (Kap. 2) – den Inhalt der vorliegenden Publikation.

Nach einem Überblick über die Forschungsgeschichte zur Macchiabate-Nekropole und einleitenden Bemerkungen zur Fragestellung des Projektes (Kap. 1) wird in Kapitel 2 das bereits 1963 freigelegte Grab Strada 1 in einer neuen Untersuchung präsentiert. Im Anschluss daran werden die vom Basler Projekt zwischen 2009 und 2016 in den Arealen Strada und De Leo untersuchten Gräber unter Berücksichtigung ihrer Struktur, der Bestattung und ihrer Beigaben und Merkmale sowie ihrer Datierung vorgelegt (Kap. 3.1). Die Funde aus den Gräbern werden in Kapitel 3.2 typologisch untersucht und ausgewertet. Kapitel 4 ist den Bestattungssitten gewidmet und wertet die funeren Bräuche und die Beigabenzusammensetzung der Männer-, Frauen- und Kindergräber aus. Eine Kontextualisierung der Befunde im Rahmen der Hinterlassenschaften in Francavilla Marittima und der Sibaritide wird in Kapitel 5 angestrebt. Dabei werden zunächst die Grabarchitektur, die Organisation und die Chronologie der behandelten Bestattungsgruppen sowie die Raumbezüge und Entwicklung der ganzen Nekropole behandelt (Kap. 5.1, 5.2, 5.3). Die Bestattungsgruppen der Macchiabate-Nekropole stehen im Zen-

trum von Kapitel 5.4, insbesondere ihre Deutung im Hinblick auf die gesellschaftliche Struktur sowie ihre chronologische Entwicklung. Im folgenden Kapitel 5.5 wird die Macchiabate-Nekropole im Kontext der Hinterlassenschaften in Francavilla Marittima – mit einem besonderen Augenmerk auf der Frage nach den Auswirkungen der Ankunft der Griechen auf die einheimische Gesellschaft am Ende des 8. Jahrhunderts v. Chr. – analysiert. Schliesslich bilden die unterschiedlichen Formen des Kulturaustausches mit den Griechen, aber auch mit anderen einheimischen Gruppen, das Thema von Kapitel 5.6. Die Kapitel 6 und 7 sind den anthropologischen und naturwissenschaftlichen Analysen an den Skeletten und Funden der Basler Grabungen gewidmet. Ein Exkurs bildet Kapitel 8 zur Herstellung der feinkeramischen Gefässe aus Francavilla Marittima.

Fragestellung und Topographie

Das Gräberfeld, zu dem die hier präsentierten Gräber gehören, liegt auf einer marinen, nach Osten und Nordosten schräg abfallenden Hangterrasse am Westrand der grossen Schwemmebene der Sibaritide (Taf. 1. 2). Im Westen schliesst, getrennt durch das kleine, aber markante Tälchen der Dardania, der Timpone Motta von Francavilla Marittima an, auf dem die zugehörige Siedlung der Eisenzeit und der anschliessenden archaischen Zeit liegt. Er bildet einen Ausläufer des Pollino-Gebirges und markiert zugleich die Stelle, an welcher der Fluss Raganello das Gebirgsmassiv verlässt und in die Ebene mündet. Das Flussbett bildet die südliche Grenze sowohl des Siedlungsareals als auch der Nekropole. Während die Grenze des Gräberfeldes im Süden und Westen durch die Topographie deutlich fassbar ist, ist seine Ausdehnung nach Norden und Osten schwerer zu bestimmen. Sporadische Oberflächenfunde und Informationen aus der Vergangenheit sprechen dafür, dass sich das Gräberfeld im Norden bis in die Flur Pietra Catania, etwa auf halbem Weg zum heutigen Dorf von Francavilla Marittima, und im Osten über die moderne Strasse S.S. 105/S.P. 263 hinweg in die Fluren I Rossi und Saladino erstreckte (vgl. Kap. 1 und 5.2.1, insb. Taf. 2). Es umfasst damit ein Gebiet von 15 bis 20 Hektaren, das nach allem, was wir heute wissen, bereits in der Eisenzeit weiträumig als Bestattungsort genutzt wurde.

Bis heute werden die Randbereiche der Nekropole landwirtschaftlich genutzt. Das Zentrum in der Flur Macchiabate hingegen steht als Teil des archäologischen Parkes von Francavilla Marittima unter Schutz. Dazu gehört auch das Areal Strada, das seinerseits in der Mitte dieser von Macchia überwachsenen archäologischen Schutzzone liegt.

Die hier untersuchten Gräber lagen unmittelbar unter der heutigen Erdoberfläche. Teilweise zeichneten sich ihre obersten Steinlagen bereits an der Oberfläche ab (Abb. 1.2). Um die Verteilung der Gräber im Bestattungsareal Strada zu klären und gleichzeitig auch die Gesamtausdehnung der Nekropole zu ermitteln, wurden in den Jahren 2009, 2012 und 2015 geophysikalische Untersuchungen durchgeführt. Dabei wurde in den Aussenbereichen der Nekropole mehrheitlich mit der Geomagnetik gearbeitet, während im Areal Strada das Georadar zum Einsatz kam. Im Ergebnis entstand hier das Bild einer lockeren, aber gleichmässigen Streuung von grossen steingebauten Einzelgräbern, die sich in mehr oder weniger gleicher Orientierung (Nordwest–Südost) dem Hangverlauf folgend über das gesamte Untersuchungsgebiet verteilten (Taf. 5). Bereits anhand des Radarbildes wird ersichtlich, dass wir im Areal Strada eine Bestattungsgruppe fassen, der auch das in der früheren Literatur gerne als isoliertes Einzelgrab verstandene Grab Strada 1 angehört. Dem Eindruck einer linearen Reihung der Gräber, den die Ausgrabungen noch verstärkt haben, ist dabei mit Vorsicht zu begegnen. Er verdankt sich zum einen der Lage der Gräber auf einer natürlichen, dem Abhang folgenden Geländeerippe. Zum anderen ist er dem Umstand geschuldet, dass sich geophysikalische Untersuchungsmethoden nur in Bereichen anwenden lassen, die keine oder nur eine sehr geringe Vegetation aufweisen, wie dies im Areal Strada der Fall war. Ob sich der Bestattungsplatz östlich und westlich des erforschten Teils des Areals Strada unter der angrenzenden Macchia weiter ausdehnt, ist deshalb ungewiss. Fest steht jedoch, dass sich südlich des Grabes Strada 1, auf dem Areal des Hofes der Familie De Leo, weitere eisenzeitliche Gräber befinden. Spuren in Form von Keramik und Bronzefragmenten fanden sich im Aushub eines Leitungskanals, der im Frühjahr 2015 angelegt wurde.

Architektur und Ausstattung der Gräber

Insgesamt wurden im Areal Strada von der Universität Basel 18 Gräber freigelegt (Taf. 4). Eines davon, Strada 10, bestand aus einem grossen, liegend deponierten Pithos aus Impasto, der trotz fehlender Knochen in seinem Inneren als Enchytrismos eines Kleinkindes gedeutet wird. Die verbleibenden 17 Gräber verteilen sich auf 11 Erwachsene und 6 Kinder, wobei die Grenze am Ende der Altersstufe *Infans II* (ca. 12 Jahre) gezogen wird, im Wissen darum, dass das biologische und das soziale Alter nicht deckungsgleich sind. Hinzu kommt das bereits in den 1960er Jahren untersuchte Grab Strada 1, das einem erwachsenen Individuum zugeschrieben wird (siehe Kap. 2). Wie bereits erwähnt konnten im Jahre 2014 an der Grenze zum Grundstück der Familie De Leo zwei weitere Gräber untersucht werden (De Leo 1 und 2, Taf. 78).

Die Gräber des Areals Strada gliedern sich in drei Typen (vgl. Kap. 5.1). Am zahlreichsten sind die Gräber vom Typus der 'monumentalen Fossagräber'. Sie zeichnen sich durch eine mit grossen Flusskieseln ausgekleidete ovale bzw. langrechteckige

Grabgrube mit gerundeten Ecken und einen ganz oder in Teilen mit flachen Kieseln ausgekleideten Boden aus (siehe Abb. 3.3; 3.6; 3.8; 3.22; 3.31; 3.38; 3.42; 3.55; 3.57; 3.71). Die Grabgruben sind jeweils mit grossen Steinen verfüllt, deren schräg zur Mitte hin abfallende Ausrichtung darauf hindeutet, dass die Verstorbenen ursprünglich in einer Kiste bzw. einem Sarg aus vergänglichem Material beigesetzt waren (siehe Abb. 5.2; 5.3). Dem Typus der 'monumentalen Fossagräber' gehören sowohl Kinder- als auch Erwachsenengräber an; erstere sind lediglich etwas kleiner (Kindergräber: Strada 8, 12, 18 und 19; Erwachsenengräber: Strada 2, 4, 5, 11 und 13–17). Der zweite Grabtypus – einfache Fossagräber – besteht aus einer einfachen Steinschüttung, die über dem Leichnam aufgebracht wurde (siehe Abb. 3.14; 3.18). Wiederum ist die Grabform sowohl für Kinder als auch für Erwachsene belegt (Kindergräber: Strada 3 und 9; Erwachsenengräber: Strada 6 und 7). Die dritte Grabform bildet der Enchytrismos in Form eines grossen Pithos, der für Neugeborene und Säuglinge gewählt wurde (Strada 10, Abb. 3.28; 3.29; Taf. 42).

Die Gräber enthielten jeweils eine einzige Körperbestattung. Die Verstorbenen waren – mit Ausnahme von Grab Strada 15 – in Hockerposition, d. h. mit dem Oberkörper in Rückenlage und angewinkelten Beinen, beigesetzt. Die Arme waren in der Regel angewinkelt und die Hände auf das Becken gelegt. Dies gilt mit Sicherheit für die Mehrzahl der Erwachsenen, deren Knochen trotz insgesamt sehr schlechter Erhaltung in den meisten Fällen eine annähernde Rekonstruktion des Leichnams erlaubten. Bei den Kindergräbern war die Ausgangslage schlechter, da hier die Knochen zumeist bis auf kleinste Fragmente vergangen waren. Gleichwohl legten die vorhandenen Indizien die Annahme nahe, dass auch die Kinder aller Altersstufen mit angewinkelten Beinen beigesetzt wurden. Die Überreste des Kindes aus dem Grab Strada 12 sprechen dafür, dass die Arme wie bei den Erwachsenen auf dem Unterleib gefaltet waren (vgl. Kap. 6).

Die sich zur Mitte der Grabgrube hin absenkenden Steine der Verfüllung der 'monumentalen Fossagräber' sprechen wie erwähnt dafür, dass die Verstorbenen in einem Behälter aus vergänglichem Material bestattet waren, am ehesten in einer Holzkiste oder hölzernen Grabkammer (siehe Abb. 5.3). In der Annahme, dass auch die beigegebenen Tongefässe im Inneren dieses Behälters platziert waren, lässt sich für diesen eine Minimalhöhe von ca. 30–40 cm postulieren. In mehreren Fällen wies der Boden des Grabes nur eine partielle Pflasterung mit Steinen aus, die möglicherweise der Position des Behälters entsprach. Besonders deutlich ist dies im Falle des Kindergrabes Strada 8 erkennbar, wo nur ein kleines rechteckiges Feld (1.4 x 0.8 m) des Bodens mit Steinen ausgekleidet war, auf denen sich der Leichnam und die Beigaben befanden (Abb. 3.22, Taf. 37).

Beim Einsturz der Grabkammer ist es in vielen Fällen zu teils erheblichen Verlagerungen der Skelettreste und der Beigaben

gekommen. Besonders deutlich wurde dies im Grab Strada 2, wo Reste des Schädels über eine grössere Fläche verstreut im Grab lagen (Taf. 10). Spuren grosser Zerstörung wies auch das Grab Strada 4 auf (vgl. Kap. 3.1.4). Es handelte sich dabei um das einzige Grab im Areal Strada, in dessen Verfüllung sich bis dicht unter der Oberfläche Reste von Zierknöpfen, Bronzedraht, Ringlein, Spiralen und Bernsteinperlen fanden. Auch die Olla S4/2 war kleinteilig fragmentiert und über einen grossen Bereich des Grabbodens verstreut (Taf. 16). Die starke Streuung der Funde könnte auf eine nachträgliche Störung der Bestattung hinweisen. Es ist nicht auszuschliessen, dass das Grab Opfer einer modernen Beraubung geworden ist, allerdings ist dies keineswegs die einzige Erklärung für die Besonderheit des Befundes. Auch eine antike Störung ist denkbar, zumal in der Verfüllung nichts gefunden wurde, was auf einen rezenten Eingriff hätte schliessen lassen.

Im Unterschied zum Grab Strada 4 fanden sich in allen anderen Gräbern die Reste der Bestattung und ihrer Ausstattung stets im untersten Stratum der Verfüllung, wobei die Funde in der Höhe bisweilen bis zu 15 cm voneinander differieren konnten – eine Differenz, die angesichts des postulierten Leer-raumes in den Gräbern und des Verfüllungsprozesses der Grabkammern durch Sediment und Gestein durchaus im Bereich des Erwartbaren liegt. Vereinzelt ist es möglich, dass Grabbeigaben auch ausserhalb des Bestattungsbehälters deponiert waren, etwa auf der Abdeckung des Behälters aus vergänglichem Material oder in der Verfüllung. Eine solche Rekonstruktion ist im Falle von Grab Strada 15 für einige der Keramikgefässe naheliegend (vgl. Kap. 3.1.15).

Grundsätzlich zeichnen sich die Gräber der Macchiabate-Ne-kropole durch eine ausgeprägte Konformität im Grabbrauch-tum aus. Frauen werden mit mehr oder weniger reichem Trachtschmuck beigesetzt, vereinzelt ergänzt um Geräte der Textilproduktion (Webgewichte, Spinnwirtel; Kap. 4.3). Die Trachtausstattung der Männer ist deutlich zurückhaltender und beschränkt sich in der Regel auf einige Fibeln aus Eisen und Bronze. Waffen und Werkzeuge aus Eisen und seltener aus Bronze ergänzen das männliche Grabinventar. Im Einzelnen offenbart sich eine grosse Variabilität in der Zusammenstellung des Trachtschmucks und der Grabausstattung, zu der auch die Gefässe gehören (Kap. 4.2). Letztere unterliegen einer besonders strengen, für Männer- und Frauengräber gleichermassen geltenden Normierung. Dazu gehört die regelhafte Kombination eines grösseren Behälters, in der Regel einer Olla oder einer Kanne, mit einer kleinen Tasse, die zumeist im Innern des grossen Behälters deponiert war. Beide Gefässe gehören üblicherweise der handgefertigten einheimischen Keramik an.

Von dieser Standardausstattung weichen drei Gräber im Areal Strada ab: die Gräber Strada 4 und Strada 11 enthielten jeweils zwei Ollae, jeweils eine davon mit einer Tasse im Innern (Taf. 19. 47. 48). Noch weiter entfernt sich das Grab Strada 2 von der Norm. Anstelle der Olla oder der Kanne enthielt dieses Grab ein kraterartiges Gefäss, das partiell auf der Drehscheibe getöpft wurde und in unverkennbarer Abhängigkeit zu

griechischen Gefässformen steht (S2/1, Taf. 13). Es gehört der sog. oino-trisch-euböischen Keramik an, die von griechischen – und möglicherweise auch lokalen – Töpfern vor Ort in Francavilla Marittima produziert wurde. Auch in seinem Inneren fand sich die obligatorische Tasse. Ein viertes Grab, das hier zu erwähnen ist, ist das Grab De Leo 1, in dem anstelle einer Olla oder eines Kruges ein nach griechischem Vorbild getöpfter Krater beigegeben war (DL1/1, Taf. 79). Die handgemachte Tasse stand in diesem Fall ausserhalb des grossen Gefässes (vgl. Kap. 5.6).

Kindergräber unterscheiden sich von den Gräbern der Erwachsenen durch das Fehlen des Standardsets von Grossgefäss und Tasse. An ihrer Stelle enthalten sie – ebenfalls regelhaft – einen Askos. Wie in den Erwachsenengräbern die Olla oder der Krug wurden die Gefässe in der Regel bei den Füissen der verstorbenen Kinder deponiert. Im Areal Strada sind Askoi in den Gräbern Strada 8, 12, 18 und 19 nachgewiesen. Im Grab Strada 8 fand sich direkt neben dem Askos zu Füissen der Bestattung eine Kanne mit Kleeblattmündung, die der vor Ort gefertigten sog. oino-trisch-euböischen Ware zuzurechnen ist (S8/1, Taf. 39). Das Gefäss besitzt einen auffallend gedrun-genen, linsenförmigen Körper, der kaum zufällig an die Form des Askos erinnert. Die Annahme bietet sich daher an, dass die Kanne in der gleichen Funktion wie der Askos in das Kinder-grab gelegt wurde. Wir hätten es demzufolge mit einer vermutlich bewussten ‘Zweisprachigkeit’ des Grabinventars zu tun. Als einzige Bestattungsform ist der Enchytrismos beigegebenlos (Kap. 4.4).

Neben den überlieferten Beigaben ist in den Gräbern von Francavilla Marittima auch mit Objekten aus organischem Material zu rechnen, die sich nicht erhalten haben. Dazu gehören insbesondere die Textilien, die zum einen als Gewänder getragen, zum anderen aber auch separat neben dem Leichnam deponiert wurden, wie dies die öfters neben dem Körper aufgefundenen Fibeln bezeugen (vgl. Strada 5, Kap. 3.1.5).

Die Grabbeigaben und ihre Typologie

Unter den keramischen Beigaben nehmen die Grossgefässe und Tassen, die das oben bereits beschriebene Standardset der oino-trischen Gräber bilden, eine zentrale Rolle ein. Insgesamt wurden sechs Ollae in vier Gräbern gefunden (Strada 4, 5, 11, 17). In zwei Fällen waren sie paarweise beigegeben. Zweimal tauchten sie als Einzelstücke auf. Sieben Gräber enthielten anstelle der Olla eine grosse Kanne (Strada 6, 7, 8, 13, 14, 15, 17), wiederum in der Regel mit einer kleinen Tasse in ihrem Innern. Ollae, Kannen und Tassen sind in der überwiegenden Mehrheit handgetöpft oder in gemischter Technik hergestellt (vgl. Kap. 8). Dies gilt für alle Ollae aus dem Areal Strada ebenso wie für die Kannen, abgesehen vom Exemplar mit Kleeblattmündung aus dem Grab Strada 8. Leider hat sich die bemalte Dekoration der Feinkeramik nur in wenigen Fällen so gut erhalten, dass man die Dekorationsmuster mit einer gewissen Sicherheit rekonstruieren kann. So weisen zwei Ollae mit klar abgesetztem Hals (Form 1, S4/1, S11/1, Taf. 19. 47) eine

Bemalung mit geometrischen Mustern der *a tenda*-Klasse im *stile vuoto* auf, die als charakteristisch für die spätgeometrische Epoche in der Sibaritide gilt. Ein drittes Exemplar (Form 2, Olla S11/2, Taf. 48) weist Bemalungsmuster des etwas früher zu datierenden *stile a bande ondulate* auf (Kap. 3.2.1 »Olla«). Eine ungewöhnliche Form auf hohem Fuss kennzeichnet die Olla S5/1 (Form 3, Taf. 26), die ebenfalls eine Verzierung im *stile a bande ondulate* aufweist. Die Kannen lassen sich in drei Formgruppen unterteilen, keine weist jedoch Spuren einer Bemalung auf (Kap. 3.2.1 »Kanne«). Auch die Mehrzahl der 12 Tassen aus den Arealen Strada und De Leo ist handgetöpft, doch gibt es von dieser Gefäßform auch scheibengedrehte Exemplare (S4/3 und S5/2, Taf. 19. 26). Insgesamt lassen sich die Tassen (inkl. *atingitoi*, *biccheri*, *boccali*, *brocchette*) in fünf verschiedene Formengruppen gliedern (vgl. Kap. 3.2.1 »Tasse«). Der ersten Gruppe gehören die Gefässe DL1/2, S15/2 und S16/1 an (Taf. 62. 66. 80). Charakteristisch sind der kugelige Körper, der abgesetzte, verdickte Hals sowie der nach aussen gebogene Rand und der Bandhenkel, der den Rand nicht übersteigt. Die zweite, nur in einem Exemplar (S2/2, Taf. 13) nachgewiesene Variante, besitzt einen bikonischen Körper und einen nach aussen gerichteten geraden Rand. Der Bandhenkel ist niedrig und übersteigt den Rand ebenfalls nicht. Das Exemplar weist Reste einer bemalten Verzierung im lokalen spätgeometrischen *stile a frange* auf. Die Formengruppe 3 besitzt einen linsenförmigen Körper und einen leicht gewölbten, abgesetzten Hals. Der vertikale Bandhenkel übersteigt den Rand in diesem Fall deutlich (S7/2, S11/3, S8/3, Taf. 36. 39. 48). Die vierte Gruppe umfasst die Tassen mit fließendem Übergang zwischen Körper und Hals (S17/3, S14/2, S13/2, Taf. 55. 58. 70). Der Körper ist eiförmig bis kugelig, der gerade Rand verläuft schräg nach oben und nach aussen. Der Bandhenkel übersteigt den Rand nur leicht. Die fünfte und letzte Gruppe besteht aus zwei Exemplaren, die auf der Töpferscheibe gedreht sind. Sie besitzen fließende Übergänge und einen sehr kurzen, geraden Rand (S4/3, S5/2, Taf. 19. 26). Der Bandhenkel überragt den Rand in beiden Fällen markant. Die Tasse S5/2 weist eine besondere Verzierung mit einer Wellenlinie auf dem Körper auf, die sich mit Exemplaren der sog. oinotrisch-euböischen Ware gut vergleichen lässt.

Ein typisches Gefäß der oinotrischen Feinkeramik ist die flache einhenklige Schale. Sie scheint in den Gräbern der Areale Strada und De Leo allerdings zu fehlen. Eine Schale aus dem Grab Strada 14 (S14/3, Taf. 58) besitzt einen aussergewöhnlichen vertikalen Henkel. Der kanonischen Form mit horizontal am Rand angesetzten Stabhenkeln entspricht dagegen die grobkeramische Schale S8/4 (Taf. 39). Eine weitere wichtige Kategorie der einheimischen Keramik stellen die Askoi dar, die in vier, möglicherweise sogar fünf Exemplaren (unsicher: DL2/1) aus den hier präsentierten Kindergräbern überliefert sind. Drei Exemplare weisen Bemalungsreste auf: Es handelt sich um ein Exemplar mit Mustern des *stile a bande ondulate* (S8/3, Taf. 39), einen Askos mit Dekoration des Typs *a frange* (S12/1, Taf. 53) sowie um ein drittes Exemplar, auf dem ledig-

lich Spuren von Streifen auf dem Henkel erhalten sind (S18/1, Taf. 75) (Kap. 3.2.1 »Askos«).

Neben den einheimischen Gefäßformen gibt es unter den Keramikbeigaben der Gräber in den Arealen Strada und De Leo auch diverse Fremdformen. Mehrheitlich gehören sie der sog. oinotrisch-euböischen Gattung an. Offen ist die Provenienz des Skyphos S16/2, der sich formal an die Skyphoi der korinthischen Thapsos-Gruppe anlehnt (Kap. 3.2.1 »Skyphos«, Taf. 66). Wegen der schlechten Erhaltung der Bemalung ist eine genauere Zuordnung nicht möglich. Falls er, wie man vermuten könnte, im unteren Bereich des Gefäßkörpers mit horizontalen Linien geschmückt ist, orientiert er sich an der älteren, spätgeometrischen Version der Thapsos-Skyphoi mit Metope und Liniendekor auf der unteren Gefäßhälfte. Falls er im unteren Bereich ganz gefirnisst wäre, wäre dies hingegen ein Indiz für seine Abhängigkeit von der jüngeren Thapsos-Gruppe, die kurz vor dem Beginn der frühprotokorinthischen Epoche entstand und bis an das Ende der Periode produziert wurde. Letztere ist im kolonialen Raum wesentlich zahlreicher und nicht zuletzt auch aus Sybaris bekannt, wo sie mit der Gründung der Kolonie um 720/710 v. Chr. in Verbindung gebracht wird. Eine Zuordnung unseres Skyphos zur einen oder anderen Gruppe ist nicht mehr möglich. Wichtig erscheint jedoch, dass sich das Gefäß an korinthischen Formen orientiert, was in der von euböisch-kykladischen Strömungen geprägten Formenwelt der Sibaritide ansonsten eher selten ist. Vergleichbare Imitationen von korinthischen Thapsos-Skyphoi der älteren und der jüngeren Gruppe sind im Golf von Neapel weit verbreitet. Es ist nicht ausgeschlossen, dass auch unser Gefäß von dort importiert wurde. Ein zweiter Skyphos (DL1/3, Taf. 80) wurde zusammen mit dem Krater DL1/1 im Grab De Leo 1 gefunden. Der Skyphos ist sehr schlecht erhalten und lässt sich nur allgemein der sog. oinotrisch-euböischen Gattung zuordnen. Deutlicher ist diese Zugehörigkeit hingegen für den scheibengedrehten Krater DL1/1 (Taf. 79), der mit den für diese Keramikgattung typischen konzentrischen Kreisen am Unterkörper und auf dem Deckel verziert ist. Mit seinem kugeligen Gefäßkörper und der stark eingezogenen Schulter orientiert er sich an attischen und euböischen Gefässen am Übergang von Mittelgeometrisch II zu Spätgeometrisch I. Nach der herkömmlichen Chronologie ergibt sich damit eine Datierung des Gefässes von Francavilla Marittima um die Mitte des 8. Jahrhunderts v. Chr. Die einfache geometrische Verzierung scheint diesen Ansatz zu bestätigen (Kap. 3.2.1 »Krater«).

Ebenfalls sehr stark dem griechischen Formenrepertoire verpflichtet ist das kraterartige Grossgefäß S2/1 (Kap. 3.2.1 »Kraterartiges Gefäß«, Taf. 13). Sein Fuss ist auf der Töpferscheibe gedreht, während der Körper vermutlich von Hand gefertigt und partiell überdreht ist. Der Rand ist wiederum scheibengedreht. Mit seinem hohen Fuss, dem bauchigen Körper und dem kurzen, gerade aufragenden Rand nimmt das Gefäß Elemente des griechischen Kraters auf. Umgekehrt offenbaren sich in der unteretzten bikonischen Form des Gefäßkörpers Reminiszenzen des einheimischen Formenkanons, namentlich

der Ollae. Das Gefäss ist also eine 'hybride' Schöpfung, in der sich fremde und einheimische Merkmale miteinander verbinden.

Neben den Gefässbeigaben stellt der Trachtschmuck die zweite grosse Fundkategorie in den oinotrischen Gräbern dar. Das Formen- und Typenrepertoire, dem wir in den Gräbern der Areale Strada und De Leo begegnen, deckt sich weitgehend mit dem Formenspektrum der älteren Grabungen. Unter den Fibeln aus Bronze und Eisen beherrschen die Schlangenfibeln das Feld. Sie sind ein wichtiger Zeiger für die Datierung der Gräber in die Stufe IFe2A2–2B. Andere Fibeltypen, wie die in Francavilla Marittima ebenfalls verbreiteten Vierspiralfibeln, die Schildfibeln oder die Fibeln mit Knochenauflagen, sind dagegen deutlich seltener. Ein Unikat stellt die Bügelfibel S6/2 (Taf. 33) dar, die in Francavilla Marittima nur durch dieses Exemplar vertreten ist (Kap. 3.2.5 und 3.2.8).

Eine weitere Besonderheit markieren grosse bronzene Zierscheiben mit durchlochter Mitte, die regelhaft in den Gräbern von erwachsenen Frauen auftreten. Sie sind bekannt als sog. *dischi compositi* und liegen in der Regel im Bauchbereich, weshalb sie gerne mit dem Gürtel in Verbindung gebracht werden. Allerdings ist bis heute ungewiss, wie sie an diesem befestigt waren, da sie keine Befestigungsvorrichtung besitzen. Von P. Zancani Montuoro wurden die Zierscheiben mit den *cupolini* in Verbindung gebracht, gewölbten Bronzescheiben mit einer Öse auf der Rückseite, die häufig in denselben Frauengräbern der Macchiabate zu finden sind, obwohl sie nie in direktem Zusammenhang mit den Zierscheiben stehen. Da der Durchmesser der *cupolini* meist auf die Zierscheiben abgestimmt zu sein scheint, interpretierte P. Zancani Montuoro die beiden Elemente als Teil desselben Gürtelornaments: ein *disco composito*, das sich aus der grösseren Zierscheibe und dem kleineren *cupolino* zusammensetzt (Kap. 3.2.6 »Disco composito«). Im Areal Strada sind unter den 6 mutmasslichen Frauengräbern zwei mit einer bronzenen Zierscheibe ausgestattet (Strada 6 und 14, Taf. 33. 59), *cupolini* fehlen in beiden Fällen.

Insbesondere zum Trachtschmuck der Frauen gehören ausserdem Halsreife (S6/5. 6, Taf. 33. 34), Radanhänger (S11/6, Taf. 49), Schleifenringe (S6/7. 8; S11/14; S14/15. 16; z.B. Taf. 59) sowie eine Zierscheibe aus Eisen (S13/12, Taf. 55). Beliebte waren des Weiteren Anhänger und Perlen verschiedenster Formen aus Bronze und seltener aus Eisen, vor allem bei Frauen, aber auch bei Kindern. Doppelspiralanhänger (S4/16–19, S8/9, S18/3, DL2/3, z.B. Taf. 21), Ringanhänger (24 Exemplare), Bommeln (S8/8, DL2/2, z.B. Taf. 40), zylindrische Perlen aus Bronze und aus Eisen (S13/7. 8; S13/10. 11, z.B. Taf. 55) sowie zahlreiche Draht- und Spiralperlen sind unter den häufigsten Funden (Kap. 3.2.6 und 3.2.9). Zum Trachtschmuck der Frauen und in kleinerer Masse der Kinder gehören ferner zahlreiche Bronzeketten und Fingerspiralen aus Bronze und aus Eisen (S3/3. 4; S4/33–41; S19/4–8; S4/65; S19/13; z.B. Taf. 14. 21). Von Hauben oder Schleiern stammen schliesslich diverse Zierscheiben und Appliken (S2/24–27, S11/16–19, S11/46, z.B. Taf. 14) sowie Hunderte von

bronzenen Zierknöpfen, die in den Frauengräbern des Areals Strada *in situ* dokumentiert werden konnten (siehe besonders die Gräber Strada 2, 4 und 11).

Ein seltener Fund stellt der anthropomorphe Anhänger S8/7 dar (Taf. 40), der nur gerade 3.1 cm hoch ist. Wie die *dischi compositi* gehört er zu einer Fundgattung, die besonders eng mit Francavilla Marittima verbunden ist. Von den ca. 50 bekannten Exemplaren stammen alleine 11 nachweislich aus Francavilla Marittima, die meisten davon aus den Gräbern der Macchiabate-Nekropole (siehe Tab. 2.4). In der Forschung geht man aufgrund der Überlieferungslage allgemein davon aus, dass sich in Francavilla Marittima ein Produktionszentrum dieser anthropomorphen Anhänger befand. Das Exemplar aus dem Grab Strada 8, das aus der gleichen Gussform stammt wie die beiden Figürchen aus dem benachbarten Grab Strada 1, bestätigt diese Vermutung. Es handelt sich ausserdem um den bislang einzigen bekannten Beleg aus einem Kindergrab. Ohne dass wir die Identität des dargestellten menschlichen Paares genau benennen können, darf davon ausgegangen werden, dass die Figuren eine religiöse Dimension besaßen und wohl dazu bestimmt waren, das Kind vor Unheil und Gefahren zu beschützen (vgl. Kap. 2 und 3.2.6 »Kleinformatige Anhänger«).

Apotropäische Kräfte dürfte man auch dem Bernstein nachgesagt haben, der in den Gräbern von Francavilla Marittima überaus zahlreich ist. Zumeist handelt es sich um kleine Perlen und mehr oder weniger tropfenförmige Anhänger, die auf Textilien aufgenäht bzw. auf Ketten aufgezogen und angehängt waren (Kap. 3.2.12, z.B. Taf. 50). Vereinzelt sind sie auch als Schmuck von Ohrringen belegt, wie etwa im Falle von Grab Strada 6, in dem eine Bernsteinperle (S6/12) in unmittelbarer Nähe eines Schleifenrings beim Kopf gefunden wurde. Objekte aus Bernstein, vorzugsweise Perlen und Kettenanhänger, sind nahezu ausschliesslich auf Frauen- und Kindergräber beschränkt. In Männergräbern kommt das Material nur ganz vereinzelt vor, Ausnahmen stellen die Männergräber Strada 16 und De Leo 1 dar.

Neben dem Bernstein kommen vereinzelte Perlen aus Glas vor. Dieser Werkstoff ist im 8. Jahrhundert v. Chr. in Italien noch sehr selten und dürfte in vielen Fällen importiert sein. In den hier vorgelegten Gräbern der Areale Strada und De Leo kommen Glasperlen insgesamt vier Mal vor (Strada 2, 4, 6, 14). Sie bestehen in der Mehrzahl aus farbigem, opakem Glas. Im Grab Strada 2 sind zwei Ringperlen aus braunem und gelbtürkisem Glas nachgewiesen (S2/40. 41; Taf. 14). Zwei weisse, ebenfalls opake Perlen sind in den Gräbern Strada 4 (S4/70) und Strada 11 (S11/42) belegt. Drei sehr kleine Exemplare aus dem Grab Strada 14 gehören zur Form der Ringaugenperlen (S14/18–20, Taf. 59). Sie sind aus blauem Glas gefertigt, Reste der weisslichen eingelegten Fäden sind nur in einem Fall erhalten. Eine Besonderheit stellt die transluzide, leicht grünlich gefärbte Perle S6/13 dar (Kap. 3.2.13, Taf. 34).

Unter den Gefässbeigaben ragen die Metallgefässe besonders heraus. Exzeptionell sind die Reste einer kleinen vergoldeten Silberschale aus dem Grab Strada 4 (S4/63, Taf. 22). Obwohl

sich vom Gefäss nur geringe Reste erhalten haben, ruft der Fund den Vergleich mit der bekannten levantinischen Bronzeschale aus dem Grab Strada 1 wach. Ob auch die nur etwa halb so grosse Silberschale aus dem Orient importiert ist, ist allerdings nicht mit Sicherheit zu bestimmen. Zwar besitzt das Gefäss in den sog. phönizischen Silberschalen, die oftmals ebenfalls vergoldet sind, typologisch nahe Verwandte; es fehlen allerdings exakte Parallelen sowohl für die Art des Dekors mit frei im glatten Schalengrund platziertem Riefenband als auch für die Form mit flachem Boden und vergleichsweise scharfem Wandknick. Die Seltenheit von Objekten aus Silber im oinotrischen Kulturkreis spricht jedoch – zusammen mit den Resten der Vergoldung – dafür, dass die Schale als Import anzusehen ist. Die Isotopensignatur könnte auf eine mögliche Provenienz des Metalls aus Nordspanien hindeuten, doch ist der Wert mit grosser Unsicherheit behaftet (Siehe Kap. 3.2.11 und 7.1).

Neben der Silberschale sind drei weitere aus Bronze gefertigte Metallschalen zu erwähnen. Sie sind alle drei als Kalottenschalen zu identifizieren, ein Gefässtyp der bereits aus den Grabungen von P. Zancani Montuoro bekannt ist (Kap. 3.2.4 »Schale«). Auch hier stellt sich die Frage nach der Scheidung von Importen und lokaler Produktion. Formale und technologische Gesichtspunkte (Randbildung und Omphalos) sprechen dafür, dass zumindest die Schale DL1/5 und wohl auch S4/15 (angelöteter Henkel) als Importstücke nach Francavilla Marittima gelangt sind. Die Schale S17/4 (Taf. 70), die keinen Omphalos besessen zu haben scheint, wurde aufgrund ihrer besonderen, verdickten Randbildung in Zusammenhang mit zypriotischen Produktionen gebracht.

Ähnliche Unsicherheiten begleiten auch die Herkunftsdiskussion des Bronzekessels aus dem Grab De Leo 1 (Kap. 3.2.4 »Kessel«, Taf. 81). Während P. Zancani Montuoro den typologisch übereinstimmenden, jedoch noch um einiges grösseren Kessel aus dem Grab Temparella 87 als Importstück aus dem östlichen Mittelmeerraum ansah, gelten die Kessel mit vertikaler Wandung und nach innen gebogenem Rand heute als Produkte italischer Manufaktur. Ob in den Werkstätten griechische Bronzeschmiede gearbeitet haben oder ob einheimische Handwerker die Technologie der Fertigung von grossen Bronzegefässen aus einem Stück aus Griechenland übernommen haben, lässt sich nicht mit Sicherheit beantworten. Immer deutlicher zeichnet sich jedoch ab, dass entsprechendes Know-how in verschiedenen Kontaktzonen der griechisch-indigenen Welt in Italien vorhanden war. Der Golf von Neapel mit den bekannten Kesseln von Pontecagnano, San Marzano sul Sarno und Cumae war eines dieser Zentren, der Golf von Tarent mit nunmehr 3 Exemplaren aus der Macchiabate-Nekropole (eines davon ein Streufund) und weiteren Belegen bis hin nach Santa Maria d'Anglona ein anderes.

Dass zwischen diesen beiden Räumen intensive Kontakte nicht nur über das Meer, sondern auch über Land bestanden, belegt auf eindrückliche Weise die Lanze mit Bronzespitze und Bronzeschuh aus dem Grab Strada 5 (S5/10, Taf. 27). Die Lanzenspitze ist mit einem Dekor aus fein eingravierten Zickzacklinien und Kreismustern verziert und lässt sich dem von Anna

Maria Bietti Sestieri definierten Typus *Cassino* zuordnen, dessen Verbreitungsgebiet mit einem Schwerpunkt in Kampanien über die südlich davon gelegenen Täler des Apennins bis an das Ionische Meer reicht. Aufgrund ihrer feinen Ausführung ist die Lanze nicht als Waffe für den Kampf anzusehen, sondern dürfte vielmehr als Insigne und Rangabzeichen gedient haben (Kap. 3.2.7). Ihre Besitzer gehörten offenbar einer mobilen Kriegerelite an, die über den Gebirgskamm hinweg in engem gegenseitigem Kontakt standen. Letzteres hat sich nicht zuletzt in der diesseits und jenseits des Apennins belegten Sitte, sich mit Bronzekesseln bestatten zu lassen, niedergeschlagen.

Neben der Bronzelanze ist der Grabherr von Grab Strada 5 noch mit zwei eisernen Lanzen (S5/24 und S5/25, Taf. 30) bestattet worden. Sie sind leider zu schwer beschädigt, als dass eine typologische Einordnung noch möglich wäre. Gleichwohl veranschaulichen sie exemplarisch die Bedeutung der Lanze als Symbol der kriegerischen Leistungsfähigkeit des aristokratischen Mannes in der oinotrischen Gesellschaft. Eisenlanzen sind in den Gräbern der Macchiabate-Nekropole des Öfteren belegt. Ein besonders gut erhaltenes, mit einem Halterungselement aus Bronze versehenes Exemplar stammt aus dem Grab Strada 17 (S17/17, Taf. 73), ein weiteres aus dem Grab Strada 16 (S16/10, Kap. 3.2.10). Bemerkenswert ist hingegen die Seltenheit von Dolchen und Schwertern, die generell als Attribute der obersten Führungselite eisenzeitlicher Gesellschaften gelten. Im Areal Strada war nur der Mann im Grab Strada 17 mit einem Schwert ausgestattet. Es handelt sich um ein Griffdornsword von ca. 60 cm Länge (S17/15, Taf. 72).

Ob auch die Schaftlochäxte als Waffen zu gelten haben, ist ungewiss. Sie stellen ein weiteres Kennzeichen der männlichen Anführer dar. In den Arealen Strada und De Leo sind zwei Exemplare belegt, eines aus dem Grab Strada 17 (S17/18, Taf. 73) und ein weiteres aus dem Grab De Leo 1 (DL1/12, Taf. 82). Formal weisen sie wenig Besonderheiten auf. Ihre Funktion kann sowohl im Bereich des Kampfes als auch des Handwerks und des Opfers zu suchen sein. Mit der Holzverarbeitung lässt sich hingegen die Dechsel S17/19 (Taf. 73) in Verbindung bringen. Sie ist das einzige gesicherte Handwerkzeug aus den hier besprochenen Gräbern. Es ist allerdings nicht ausgeschlossen, dass sich weitere Arbeitsgeräte unter den diversen Eisenobjekten verbergen, die in sehr schlechtem Zustand und starker Fragmentierung in den Gräbern Strada 5 und Strada 16 gefunden wurden. Welche Arbeitsgeräte dabei in Frage kommen, lässt sich wegen der schlechten Erhaltung allerdings nicht sagen (Kap. 3.2.10 »Äxte und Beile aus Eisen«).

Zahlreich sind in den Gräbern der Areale Strada und De Leo, wie überhaupt in der Macchiabate-Nekropole als Ganzes, auch die Messer belegt. Eisenklingen unterschiedlicher Grösse liegen aus den Gräbern Strada 5 (S5/26 und S5/27), Strada 8 (S8/34), Strada 15 (S15/4), Strada 16 (S16/9, Taf. 67), Strada 17 (S17/20) und De Leo 1 (DL1/13) vor. Sie stammen mehrheitlich aus Männergräbern, in mindestens einem Fall aber auch aus einem Kindergrab (Strada 8). Anderswo in der Nekropole wurden Messer auch in Frauengräbern (z. B. Temparella 8) gefunden. Sie sind somit nicht nur mit unterschiedlichen

Altersklassen und Geschlechtern verbunden, sondern stammen ebenso aus Gräbern von sehr unterschiedlichem Ausstattungsreichtum. Beides spricht dafür, dass wir in den Messern multifunktionale Geräte vor uns haben, die sowohl im Alltag des Mannes (Jagd, Landwirtschaft, Handwerk, Opfer) als auch der Frau (Textilverarbeitung, Haushalt) eine wichtige Rolle gespielt haben. Das Messer aus dem Kindergrab Strada 8 nimmt dabei eine besondere Stellung ein. Es wurde direkt neben der Impastoschale S8/4 gefunden und dürfte zum Zerteilen einer Speise gedient haben. Wiewohl funktionstüchtig, ist die Klinge in diesem Fall auffallend kurz (Kap. 3.2.10 »Eisenmesser und Klinge«).

Schliesslich sind die Geräte aus Ton zu erwähnen, die in Zusammenhang mit der Herstellung und Verarbeitung von Textilien stehen. Aus den zwei Frauengräbern Strada 2 und Strada 4 stammen insgesamt vier Spinnwirtel (fünfeckige bikonische Spinnwirtel S2/6 und S4/7; sechseckiges bikonisches Exemplar S4/6 und kugelige Spinnwirtel mit eingeritzter Dekoration S4/8; Taf. 14. 20). Nur im Grab Strada 4, in dem ein etwa 12-jähriges Mädchen bestattet war, wurden Webgewichte gefunden (Taf. 20). Es handelt sich um mindestens vier zum Teil sehr fragmentierte Exemplare, darunter zwei tropfenförmige (S4/10. 11) und ein besonderes Exemplar mit Labyrinthmuster (S4/9). Die Geräte und insbesondere das Webgewicht mit Labyrinth finden Entsprechungen unter den Funden aus dem Gebäude Vb auf dem Timpone Motta (Kap. 3.2.3).

Bestattungssitten

Die schlechte Erhaltung der Knochen verunmöglicht in der Mehrzahl der Fälle eine zweifelsfreie anthropologische Geschlechtsbestimmung der Bestattungen. Unter Zuhilfenahme der archäologischen Indizien war es gleichwohl möglich, Aufschlüsse über das Geschlecht der Verstorbenen zu gewinnen. Die insgesamt 21 hier präsentierten Bestattungen teilen sich in 8 Kinder von unbestimmtem Geschlecht (7 aus dem Areal Strada inklusive dem Enchytrismos Strada 10 und eines aus dem Areal De Leo) und 12 Erwachsene (11 aus dem Areal Strada inklusive Strada 1 und ein Individuum aus dem Areal De Leo). Zu diesen 12 kommt das Individuum der Altersklasse infans II aus dem Grab Strada 4, das zwischen dem subadulten und dem sozialen Erwachsenenalter liegt. Aufgrund der Grabausstattung gilt das ca. 12-jährige Mädchen als erwachsen. Die Gräber der übrigen Erwachsenen gliedern sich in sechs tendenziell weibliche und sechs tendenziell männliche Bestattungen (Kap. 4.1). Obschon der gewählte Ausschnitt mit 21 Bestattungen im Grunde zu klein ist, um als repräsentativ für die ganze Nekropole zu gelten, wirft die Zusammensetzung der Alters- und Geschlechtsgruppen doch ein erhellendes Licht auf die Bestattungsgemeinschaft, die auf der Macchiabate-Nekropole in der Eisenzeit ihre Verstorbenen bestattete. Während man in der älteren Literatur des Öfteren ein Ungleichgewicht von Frauen- und Männerbestattungen konstatierte, zeigt der hier veröffentlichte Ausschnitt ein ausgewogenes Bild der Geschlechter. Nicht zuletzt ist dies den anthropologischen Unter-

suchungen zu verdanken, die es erlaubt haben, diverse Gräber (Strada 7 und Strada 15) als tendenziell männlich zu bestimmen, die aufgrund fehlender 'männlicher' Attribute (Waffen, Werkzeuge) ansonsten leicht der weiblichen Sphäre zugerechnet worden oder unbestimmt geblieben wären. Mit einem Anteil von ca. 40 % entspricht auch die Anzahl der Kindergräber in etwa dem in prähistorischen Gesellschaften zu erwartenden Durchschnitt.

Wie bereits erwähnt unterscheiden sich Männer und Frauen in den Gräbern von Francavilla Marittima am deutlichsten in der Trachtausstattung. Während bei den Frauen auf möglichst vielfältigen und reichen Trachtschmuck Wert gelegt wird, beschränkt sich dieser bei den Männern in der Regel auf einige wenige Fibeln und den einen oder anderen Anhänger aus Metall. Kennzeichnend für die Männergräber sind, wie auch in anderen Regionen Italiens, Waffen und Werkzeuge aus Eisen (und vereinzelt aus Bronze). Was erstere anbetrifft, wird in der Regel von einer sozialen Abstufung zwischen denjenigen Personen ausgegangen, die ein Schwert oder einen Dolch tragen, und jenen, die mit einer Lanze ausgestattet sind. Da die Lanzenträger in eisenzeitlichen Nekropolen in der Regel wesentlich häufiger sind als die Schwertträger, gelten letztere als höher gestellte Anführer, während die Lanzenträger gerne als diesen unterstellte 'Krieger' angesehen werden. In Francavilla Marittima lässt sich eine solche Scheidung jedoch nicht bestätigen. Dolch- und Schwertträger sind bislang sehr selten. Dem Verstorbenen aus dem Grab Temparella 87 lässt sich nun der Schwertträger aus dem Grab Strada 17 zur Seite stellen, ausserdem auch die beiden neu gefundenen Schwertgräber im Areal Est (Gräber Est 1 und Est 6). Während damit die Zahl der Schwertträger in den letzten Jahren stark angewachsen ist, bleibt die Zahl der Lanzenträger vergleichsweise gering; nur gerade drei der sechs mutmasslichen Männer in den Arealen Strada und De Leo waren mit einer (oder mehreren) Lanzen ausgestattet: Strada 5, Strada 16 (?) und Strada 17. Insgesamt ergibt sich damit, was die Waffen angeht, ein eher heterogenes Bild. Die soziale Stratifizierung der Männer scheint sich nicht alleine in der Waffenausstattung abzubilden, sondern schliesst ebenso andere Faktoren wie Handwerk, Landbesitz, Kontrolle über Rohstoffe und Gastfreundschaft mit ein, die in der Beigabe von Werkzeugen, Importprodukten oder umfangreichen Geschirrgarnituren zum Ausdruck gebracht wurden. Die Bestattungsgemeinschaft von Francavilla Marittima unterscheidet sich dadurch von den meisten anderen eisenzeitlichen Gruppen im südlichen Italien (Kap. 4.2).

Frauen werde in der oinotrischen Gesellschaft bevorzugt über Kleidung und Schmuck in ihrer gesellschaftlichen Rolle definiert. Diese kann in der Macchiabate-Nekropole stark variieren, von relativ bescheidenen Gräbern mit wenigen Fibeln als einzigem Schmuck bis hin zu Bestattungen, die regelrecht unter ihrem Schmuck 'begraben' sind. Letzteres gilt insbesondere für die im Grab Temparella 60 bestattete Frau, die nicht nur mit sehr umfangreichem Körperschmuck versehen war, sondern auch ein Gewand trug, das mit über tausend kleinen Zierknöpfen aus Bronze geschmückt war. Die Frauengräber in den

Arealen Strada und De Leo erreichen diesen Ausstattungsluxus zwar nicht, jedoch trugen die in den Gräbern Strada 2, Strada 4 und Strada 11 bestatteten Frauen wohl ebenfalls beeindruckende Gewänder bzw. Schleier, die mit mehreren Hundert Bronzekeramikknöpfen und, im Falle von Grab Strada 11, auch mit einer Vielzahl von winzigen Bernsteinperlen bestickt waren. In beiden Fällen legt das ausserordentlich kleine und feine Format der Zierknöpfe und Perlen den Schluss nahe, dass auch die textilen Stoffe, auf die sie aufgenäht waren, von feinsten Qualität gewesen sein müssen. Damit offenbart sich – wenn auch auf indirektem Weg – die Tatsache, dass nicht alleine der Trachtschmuck, sondern auch die Textilkunst für den im Tod repräsentierten Status der Frauen eine massgebliche Rolle spielte. Spinnwirtel und Webgewichte, wie sie in den Gräbern Strada 2 und Strada 4 belegt sind, unterstreichen zusätzlich die Verantwortung der Frauen für die Pflege der Kleidung und des Haushalts im Allgemeinen (Kap. 4.3).

Beide Geschlechter treten damit in ihrer spezifischen sozialen Position in vergleichbarer Weise in Erscheinung. 'Reiche' und 'ärmere' Gräber existieren in beiden Gruppen nebeneinander. Für die Kindergräber liess sich Ähnliches feststellen. Auch unter ihnen gibt es solche, die durch ihren Ausstattungsluxus weit über die anderen herausragen (vgl. Strada 8 mit Strada 3) (Kap. 4.4). Es hat deshalb in der Vergangenheit auch nicht an Versuchen gefehlt, aus dem Ausstattungsmuster der Gräber auf die soziale Organisation der Gesellschaft zu schliessen.

In der Annahme, dass die verschiedenen Bestattungsareale Verwandtschaftsgruppen repräsentieren, wurden nahe beieinander liegende Bestattungen gerne als aus den Eltern und ihren Kindern bestehende Kernfamilien gedeutet. Dieses Modell, das bereits in seiner von modernen Verhältnissen geprägten Grundthese der 'Kleinfamilie' problematisch ist (vgl. Kap. 5.4.2), lässt sich in den Arealen Strada und De Leo nicht bestätigen. Weder die Anordnung der Gräber noch ihre Aufteilung nach Geschlechtern und Alter unterstützt die Annahme, dass die Verstorbenen ihren Bestattungsplatz aufgrund interner familiärer Verbindungen (Mutter, Vater, Kinder) gefunden hätten. Vielmehr sind die Gräber mehrheitlich in einem losen Abstand zueinander platziert, wobei sowohl Frauen als auch Männer teils neben gleichgeschlechtlichen, teils neben andersgeschlechtlichen Bestattungen zu liegen kommen (Taf. 4).

Einige Grabstrukturen sind durch einen direkten Kontakt miteinander verbunden, es handelt sich dabei um die Gräber Strada 13, 14 und 15 und um die beiden Fossagräber Strada 6 und 7 (Abb. 3.14; 3.40). Auffällig ist ausserdem, dass bestimmte Kindergräber – Strada 18 und De Leo 2 – näher an die Gräber von Erwachsenen anschliessen, als dies aufgrund der topographischen Gegebenheiten notwendig gewesen wäre. Man darf daraus mit einer gewissen Zuversicht schliessen, dass diese Kinder bewusst 'im Schutz' von Erwachsenen bestattet wurden. Über das soziale und biologische Verhältnis zwischen den betreffenden Kindern und den Erwachsenen – in beiden Fällen handelt es sich um Männer – besagt die Lage der Gräber allerdings nichts (Kap. 5.2 und 5.4).

Nur wenig wissen wir über die Rituale, die am Grab stattfanden. Immerhin gibt es diverse Indizien dafür, dass mit der Deponierung des Leichnams das rituelle Geschehen nicht abgeschlossen war. So finden sich verschiedentlich Hinweise, dass während der Zuschüttung der Gräber Objekte intentionell in der Steinverfüllung deponiert wurden. Dazu gehört etwa eine Bernsteinperle, die rund 40 cm über der Bestattung von Grab Strada 2 als Einzelfund in der Verfüllung zu Tage trat (S2/35). Eine Bernsteinperle und eine Bronzefibel aus der Verfüllung von Grab Est 6 bestätigt das Vorkommen derartiger Deponierungen. Mit Aktivitäten während der Bestattungszeremonie könnte auch die Präsenz von zerscherbten grobkeramischen Gefässen zu begründen sein, die in verschiedenen Gräbern zu beobachten war. Im Grab Strada 15 fanden sich zusammenpassende Fragmente von drei grobkeramischen Gefässen – eine Schale und zwei Vorrats- oder Kochgefässe (S15/8–10) – die in einer Scherbenansammlung in den Verfüllungsschichten direkt oberhalb der Bestattung lagen. Da sie – im Gegensatz zu anderen Grobkeramikscherven aus derselben Verfüllung – keine Erosionsspuren aufweisen, erscheint es denkbar, dass sie für rituelle Handlungen bei der Bestattung oder eher noch während der Aufschüttung des Grabes verwendet wurden. Überhaupt legt die hohe Zahl von teilweise stark verwaschenen Grobkeramikscherven in der Verfüllung der Gräber die Vermutung nahe, dass in der Umgebung der Gräber mit der Präsenz von nicht mehr gebrauchten Grobkeramikgefässen zu rechnen ist, die bei der Neuanlage von Gräbern als willkommenes Füllmaterial dienten (vgl. Kap. 3.1.15). Masse und Form zeigen, dass die Scherven nur ausnahmsweise von grossen Pithoi stammen, wie sie für die Enchytrismos-Bestattungen verwendet wurden. Auffällig ist besonders die Präsenz von kleinen Pithoi und Kochtöpfen sowie der Henkelschale S15/8, von der oben die Rede war. Ein nahezu ganz erhaltener kleiner Pithos, der zwischen den Gräbern Est 9 und Est 10 gefunden wurde, könnte eine Vorstellung von der Präsenz dieses 'Ritualgeschirrs' geben.

Die Gräber der Areale Strada und De Leo im Kontext

Die Macchiabate-Nekropole von Francavilla Marittima gehört zu den grössten Gräberfeldern der Eisenzeit in Süditalien. Ihre Lage auf einer Hangterrasse etwas unterhalb der Siedlung, aber gut 100 bis 150 m über der Schwemmebene der Sibaritide, ist mit Bedacht gewählt, sind doch die Gräber sowohl von der Ebene als auch von der Siedlung her deutlich sichtbar (Taf. 1, 2; 2). Obschon wir über das antike Wegnetz und den Zugang zur Siedlung auf dem Timpone Motta nur wenig wissen, darf davon ausgegangen werden, dass die Gräber bewusst so platziert wurden, dass die Besucher der Siedlung sie passieren mussten. Bis heute ist unklar, wo die ältesten Bereiche der Nekropole liegen und ob es so etwas wie eine räumliche Belegungsabfolge der Macchiabate-Terrasse gibt. Diese Frage ist eng verbunden mit der Frage nach der Struktur der Nekropole an sich. Bedingt durch die topographischen Gegebenheiten, den Bewuchs und

die schiere Grösse der Nekropole hatte P. Zancani Montuoro ihre Grabungen auf sechs verschiedene Areale (Temparella, Cerchio Reale, Vigneto, Uliveto, Lettere und Cima) ausgerichtet, die teilweise in erheblicher Distanz zueinander liegen. Die jüngere Forschung hat auf dieser Grundlage das Modell einer in Gruppen strukturierten Siedlungsgemeinschaft entwickelt, die ihre Toten in nach Grossfamilien bzw. Clans getrennten Arealen auf der Macchiabate-Nekropole bestattet hat. Der scheinbar kreisförmige Temparella-Tumulus – ein Hügel entstanden durch archaische Gräber, die über Bestattungen der frühen Eisenzeit angelegt worden sind – und der entsprechend geformte ‘Cerchio Reale’ begründeten das Bild von mehr oder weniger kreisförmigen Bestattungsarealen und Tumuli – ein Bild, von dem auch die Forschungen des Basler Projekts lange Zeit geprägt waren. Dieses Bild ist jedoch trügerisch, da die Grenzen der Areale in der Mehrzahl der Fälle unbekannt und die Bereiche dazwischen weitgehend unerforscht sind. Gerade das Gräberareal Strada, obwohl wahrscheinlich nicht in seiner Vollständigkeit bekannt, weicht in seiner langgezogenen, an einer natürlichen Geländerippe orientierten Form von diesem Schema deutlich ab. Die Vermutung erscheint deshalb nicht unbegründet, dass auch andere Bestattungsareale weniger regelmässig waren als bislang vermutet und dass wir anstelle von kreisförmigen Bestattungspätzen und Tumuli mit unregelmässigen Strukturen zu rechnen haben, die massgeblich durch den Geländeverlauf und individuelle Entscheidungsprozesse der Bestattenden geprägt sind. Gleichzeitig stellt sich die Frage, inwiefern das Modell der räumlich voneinander separierten Bestattungsareale tatsächlich der antiken Realität entspricht oder ob es nicht viel mehr der modernen Auswahl der Grabungspätze geschuldet ist. So stossen etwa die beiden Areale Temparella und Cerchio Reale direkt aneinander an, was in der Eisenzeit, als der Temparella-Hügel noch nicht existierte, zu einem völlig anderen Bild der Nekropole geführt haben muss. Damit soll nicht gesagt sein, dass die Macchiabate-Nekropole lückenlos mit Gräbern ‘übersät’ war. Gerade am Nordrand des Areals Strada zeichnet sich in den Georadarbildern eine freie Zone ab. Gleichwohl scheint es geboten, die Belegung der Nekropole freier zu denken, als dies bis anhin der Fall war. Nichts ist schliesslich bisher über die Binnenerschliessung des Gräberfeldes bekannt. Weder konnten Wege noch von der Allgemeinheit genutzte Plätze für den Grabkult identifiziert werden (Kap. 5.4).

In der älteren Literatur wurde das Grab Strada 1 gerne als eines der ältesten der Nekropole angesehen und je nach Chronologiemodell noch in das 9. oder an den Beginn des 8. Jahrhunderts v. Chr. datiert. Die Frage nach der relativen und absoluten Chronologie der benachbarten Gräber im Areal Strada stand deshalb von Anfang an im Vordergrund des Basler Projektes. Insgesamt schliessen sich die neu erforschten Gräber zu einer zeitlich kohärenten Gruppe in der Stufe IFe2A2–2B zusammen, der auch das Grab Strada 1 angehört (Kap. 5.3). Anhand von typologischen Merkmalen des Trachtschmucks und der Keramik lassen sich innerhalb dieser Stufe eine ältere, eine

mittlere und eine jüngere Gruppe von Gräbern unterscheiden. Der älteren lassen sich die Gräber Strada 1 und Strada 5 – beide mit Gefässen mit Verzierung im *stile a bande ondulate*, jedoch mit Schlangenfibern *a gomito* – sowie vermutlich die Gräber Strada 6, Strada 7 und Strada 15 zuweisen. Auch das Grab De Leo 1 gehört dieser Stufe an, wie nicht zuletzt die in Torre Mordillo (Spezzano Albanese) zu den Leitformen gehörende Schlangenfibel vom Typ Lo Schiavo 341, aber auch die frühe Form der Tasse DL1/2 bezeugen. Dem mittleren Horizont gehören die Gräber Strada 2, Strada 4, Strada 8, Strada 11 und Strada 12 an. Sie beinhalten alle Gefässe mit *a frange*-Verzierung oder mit *a tenda*-Ornamenten des *stile vuoto*. Ungefähr zeitgleich sind die Gräber Strada 13 und 14 zu datieren. Zur letzten Belegungsphase des Areals Strada gehören die Gräber Strada 17 und Strada 16 und wohl auch das mit Bezug auf diese beiden Gräber positionierte Kindergrab Strada 18.

Die absolute Datierung der Gräber ergibt sich am ehesten anhand der Importe und Fremdformen. Dazu gehört der Krater aus Grab De Leo 1 (DL1/1, Taf. 79), der um die Mitte des 8. Jahrhunderts v. Chr. zu datieren ist, und der Skyphos S16/2 (Taf. 66), der als Imitation eines Thapsos-Skyphos in die letzten beiden Jahrzehnte des 8. Jahrhunderts v. Chr. datiert. Die beiden Gefässe markieren in etwa das obere und das untere zeitliche Ende der hier untersuchten Gräber.

Die genannten Indizien geben nur vage Anhaltspunkte für die Datierung der einzelnen Gräber. Eine genaue Belegungsabfolge lässt sich damit nicht gewinnen. Gleichwohl ergibt sich aus den vorhandenen Hinweisen eine grobe Dreiteilung des Areals Strada. Die ältesten Gräber gruppieren sich im südöstlichen Teil des Areals, eine mittlere Gruppe konzentriert sich in der Mitte der Strada, die jüngsten Gräber schliesslich liegen am nordwestlichen Rand. Ohne die chronologische Aussagekraft der Grabinventare überzubewerten, zeichnet sich damit aufs Ganze gesehen für das Areal Strada eine Belegungstendenz von Südosten nach Nordwesten ab (siehe Taf. 4).

Wir haben eingangs bereits darauf hingewiesen, dass man in der Forschung allgemein davon ausgeht, dass die Sepulkraltopographie der Nekropole die Sozialstruktur der Bestattungsgemeinschaft im Leben widerspiegelt. Konkret wird ein Modell favorisiert, das von der Existenz von diversen Grossfamilien und Clans ausgeht, deren Angehörige in den unterschiedlichen Arealen der Macchiabate-Nekropole bestattet wurden. Auf die Bedeutung von Abstammung und familiärer Bindung weisen nicht zuletzt die zahlreichen Kindergräber, darunter auch solche von herausgehobenem Status wie die Gräber Strada 8 oder Temparella 69. Ausserdem unterstreicht die agglutinierende Bauweise mancher Gräber (Strada 13, 14, 15) und die namentlich in den Arealen Temparella und Uliveto feststellbare Überlagerung der Monumente die grosse Bedeutung, die der biologischen und/oder sozialen Kohäsion der Bestattungsgruppen zukam. Die Zugehörigkeit zur Bestattungsgemeinschaft lässt sich aber nicht allein auf den durch Abstammung generierten Status der Verstorbenen reduzieren. Bemerkenswert ist nämlich, dass die Gräber in den verschie-

denen Bestattungsarealen z. T. grosse Unterschiede in der Ausstattung aufweisen. Neben reichen Gräbern mit Importen und anderen Luxusgütern gibt es solche mit eher durchschnittlichen und nicht zuletzt solche mit bemerkenswert wenigen Trachtattributen und Beigaben. Trotz der Problematik, die mit der sozialen Interpretation von Grabinventaren verbunden ist, spricht im Falle der Macchiabate-Nekropole einiges dafür, dass hier Menschen von unterschiedlichem Status beerdigt wurden. Neben der Grabausstattung als solcher kann dabei auch auf die unterschiedliche Grabarchitektur, die Grösse der Gräber und den Umfang und das Gewicht des zur Verfüllung eingebrachten Steinmaterials verwiesen werden. Die Annahme erscheint somit plausibel, dass die verschiedenen Bestattungsareale von Gemeinschaften benutzt wurden, die sich aus Angehörigen unterschiedlicher gesellschaftlicher Klassen zusammensetzten. Gentilizisch strukturierte Familienverbände, die auch sozial niedriger gestellte 'Angehörige' bzw. biologisch nicht verwandte 'Abhängige' miteinschlossen, kommen hierfür am ehesten in Frage (Kap. 5.4).

Nicht verbindlich zu beantworten ist die Frage, ob auf der Macchiabate-Nekropole die gesamte auf dem Timpone Motta und seinen Abhängen lebende Siedlungsgemeinschaft bestattet wurde oder ob das Gräberfeld einer ausgewählten Gruppe vorbehalten war, z. B. den aristokratischen Familien. Die starke soziale Durchmischung der Nekropole und der Umstand, dass Männer, Frauen und Kinder im Areal Strada in etwa nach den zu erwartenden Parametern vertreten sind, könnte dafür sprechen, dass die Siedlungsgemeinschaft als Ganze auf der Macchiabate-Nekropole ihre letzte Ruhe fand. Auch die Grösse der Nekropole liesse sich in diesem Sinne deuten, obschon sich die tatsächliche Belegung der Nekropole und ihre Dichte zum gegenwärtigen Zeitpunkt nur schwer bemessen lässt. Wenn man davon ausgeht, dass die verschiedenen Bestattungsareale von jeweils einzelnen hierarchisch strukturierten Familiengruppen mit einer kleinen Zahl von 'Anführern' an der Spitze frequentiert wurden, hätte vermutlich ein grosser Teil der Siedlungsgemeinschaft von Francavilla Marittima seine letzte Ruhe in der Macchiabate-Nekropole gefunden. Unklar bleibt dabei allerdings die Frage nach dem Bestattungsort der ärmeren Bevölkerung (bzw. von etwaigen Subalternen oder nicht in Freiheit lebenden Individuen), die sich zahlenmässig in den überlieferten Gräbern vermutlich nur zu Teilen widerspiegelt. Ob sie an einem bislang unbekanntem Ort oder in einer archäologisch nicht nachweisbaren Form beigesetzt wurde, muss an dieser Stelle unbeantwortet bleiben.

Aufgrund ihres spezifischen Kontextes spielen die Gräber der Macchiabate-Nekropole in der Diskussion um den kulturellen Austausch zwischen den indigenen Kulturen Süditaliens und den in diesen Raum einwandernden Griechen und Orientalen eine besondere Rolle (Kap. 5.5). Massgebend ist dabei die Nähe der Nekropole und der zugehörigen Siedlung auf dem Timpone Motta zur griechischen Kolonie Sybaris, die um 720/710 v. Chr. gegründet wurde, bzw. die Rolle von Francavilla Marittima als zentraler Knotenpunkt in einem transmedi-

terranean Kulturgeflecht lange bevor sich die Kolonie dauerhaft als Metropole in der Sibaritide etablierte. Die neu erforschten Gräber bestätigen hier im Wesentlichen den anhand der älteren Funde gewonnen Eindruck grosser Vielfalt in der Art und Weise, wie die einheimischen Eliten auf die Ankunft des Fremden reagierten. Während namentlich in den Frauentrachten die indigene Identität mit Nachdruck betont wird, zeichnet sich in verschiedenen Einzelobjekten ein kreativer Umgang mit den Impulsen von aussen ab. Hervorzuheben ist im vorliegenden Zusammenhang das kraterartige Gefäss S2/1 (Taf. 13), in dem sich formale und technische Elemente der scheibengedrehten griechischen Keramik zusammen mit solchen der handgefertigten einheimischen Ware manifestieren. Eine kleine Gruppe von Persönlichkeiten ging sogar noch einen Schritt weiter und öffnete sich gegenüber dem Fremden soweit, dass sie zu eigentlichen Teilhabern einer neuen transmediterranen Kulturkoiné wurden. Der mit Krater, Bronzekessel, Bronzeschale und Skyphos im Grab De Leo 1 beigesetzte Mann (Abb. 5.10) nimmt bislang diesbezüglich in der Macchiabate-Nekropole eine singuläre Stellung ein. Immer deutlicher kristallisiert sich dank der neuen Funde die Erkenntnis heraus, dass an dem Prozess der Kulturbegegnung, wie er exemplarisch in den Gräbern des 8. Jahrhunderts v. Chr. in Francavilla Marittima sichtbar wird, nicht alleine Griechen und Oinotrier beteiligt waren, sondern dass der Austausch auch Menschen aus vielen anderen Kulturräumen betraf, wofür exemplarisch auf die aus Kampanien stammende Lanzenspitze S5/10 hingewiesen sei (Taf. 27).

Mit den Gräbern Strada 16 und 17 am nordwestlichen Rand der Strada kommt die Benutzung des Areals am Ende des 8. Jahrhunderts v. Chr. zum Erliegen. Dieser Befund bestätigt die Vermutung, dass um die Wende vom 8. zum 7. Jahrhundert v. Chr. mit tiefgreifenden Veränderungen in der Frequentation der Nekropole zu rechnen ist. Neben dem Areal Strada werden auch die Areale Cerchio Reale und Vigneto zu diesem Zeitpunkt aufgegeben (siehe Taf. 2). Andernorts setzt sich die Belegung zwar im frühen 7. Jahrhundert v. Chr. noch fort, doch nimmt die Zahl der Gräber auch dort rapide ab. Es liegt auf der Hand, den Rückgang bzw. Abbruch der Bestattungstätigkeit mit den Veränderungen im einheimischen Kulturgefüge in Verbindung zu bringen, die mit der 'Gründung' von Sybaris um 720/710 v. Chr. einhergegangen sind.

Welche Gründe dafür verantwortlich sind, dass ein Teil der Bestattungsareale am Ende des 8. Jahrhunderts v. Chr. aufgegeben wird, während andere in reduzierter Form noch im 7. Jahrhundert v. Chr. weitergenutzt werden, kann an dieser Stelle nicht im Einzelnen diskutiert werden. Insgesamt verstärken die Ergebnisse im Areal Strada jedoch den Eindruck eines Einschnitts im kulturellen Gefüge der lokalen Bevölkerung an der Wende vom 8. zum 7. Jahrhundert v. Chr. Gewalt, wie sie nach Meinung verschiedener Gelehrter die Expansion der Griechen begleitet haben mag, kann ein Grund dafür gewesen sein, die Sogwirkung der 'Kolonie' ein anderer. In jedem Fall darf aus dem Belegungsrückgang in der Nekropole nicht zwingend auf den Abbruch der Siedlung auf dem Timpone Motta

geschlossen werden. Vielmehr kann der mit der permanenten Niederlassung der Griechen in der Sibaritide verbundene kulturelle Wandel ganz allgemein dazu geführt haben, dass mit dem Verlust der kulturellen und territorialen Vorherrschaft über die Sibaritide die Zurschaustellung der Macht in Form von monumentalen Grabanlagen durch die einheimischen Eliten obsolet wurde. Es ist vor diesem Hintergrund vielleicht kein Zufall, dass ziemlich genau zur selben Zeit, am Beginn des 7. Jahrhunderts v. Chr., die Bau- und Votivtätigkeit im Heiligtum auf dem Timpone Motta aufblüht.

Martin A. Guggisberg, Camilla Colombi

10 English summary

Introduction and Starting Point

In the summer of 2009, a team from the University of Basel resumed the archaeological research on the Macchiabate-necropolis of Francavilla Marittima continuing the work of Paola Zancani Montuoro after an interruption of forty years. The aim of the research was to gain further information about the graves investigated by P. Zancani Montuoro during the years 1963–1969 through selected and carefully documented excavation findings. A further aim was to bring clarity to questions concerning the organization of the necropolis and to obtain additional information for the analysis of the controversially debated cultural change in the Sibaritide from the Iron Age to the Archaic Period. From the start, to clarify the raised issues, the Basel excavations concentrated on the ‘Area Strada’. This zone, whose name comes from an old path (‘Strada Campestre’) which passed through the Macchiabate at that very spot, is adjacent to the Northwest to the grave Strada 1 that was discovered in 1963 (pl. 2 no. 12). During the excavations in this area, which lasted from 2009 to 2016, agricultural work on the edge of the neighboring property of the De Leo family led to the discovery of another Iron Age grave, De Leo 1, which, thanks to the support of the De Leo family, was uncovered along with the remains of a directly adjoining child’s grave, De Leo 2, in 2014 (pl. 2 no. 16). These graves, along with a reassessment of the grave Strada 1 (Chpt. 2) that had previously been investigated by P. Zancani Montuoro, form the content of the present publication.

Chapter 1 consists of an overview of the research history of the Macchiabate-necropolis and introductory remarks on the central inquiry of the project. In Chapter 2, the new research of the grave Strada 1, which was uncovered in 1963, is introduced. Subsequently, the structure, the burial, the grave goods, and characteristics, as well as the dating (Chpt. 3.1) of the graves investigated by the Basel project between 2009 and 2016 in the Area Strada and the Area De Leo is presented. The finds from the graves will be examined typologically and evaluated in Chapter 3.2. Chapter 4 is devoted to funeral customs and analyzes the burial practice and the composition of the grave goods in the graves of the men, women, and children. The aim of Chapter 5 is the contextualization of the findings within the framework of the archaeological remains in Francavilla Marittima and the Sibaritide. The architecture of the graves, the organization and the chronology of the addressed burial groups, as well as the spatial relationships and development of the entire necropolis, are dealt with first (chpts. 5.1, 5.2, 5.3). The Macchiabate-necropolis burial groups, particularly their interpretation concerning the social structure and their chronological development, are the focal point of Chapter 5.4.

In the following Chapter 5.5, the Macchiabate-necropolis is examined within the context of the archaeological remains in Francavilla Marittima with special consideration of the effects the arrival of the Greeks at the end of the 8th century BC had on the indigenous society. Finally, the different types of cultural exchange with the Greeks, but also with other local groups, are the subject of Chapter 5.6. Chapters 6 and 7 are devoted to the anthropological and scientific analysis of skeletal remains and finds from the Basel excavations. An excursus on the production of fine ware from Francavilla Marittima can be found in Chapter 8.

Central Inquiry and Topography

The burial ground to which the graves dealt with here belong, lies on a marine, east- and northeast-sloping mountain terrace on the western edge of the large alluvial plain of the Sibaritide (pls. 1, 2). To the West, separated by the small but prominent valley of the Dardania, is the Timpone Motta di Francavilla Marittima on which the corresponding settlement of the Iron Age and the subsequent Archaic Period lies. It is part of the foothills of the Pollino Mountains and also marks the point where the Raganello River leaves the mountains and flows into the plain. The riverbed forms the southern boundary of the settlement as well as that of the necropolis. While the boundary of the burial ground is clearly comprehensible in the South and West through the topography of the terrain, its extension to the North and East is more difficult to determine. Sporadic surface finds and information from the past suggest that the burial ground extended into the Pietra Catania area about halfway to today’s village of Francavilla Marittima in the North and into the Rossi and Saladino area via the modern road S.S. 105 / m.p. 263 in the East (see chpts. 1 and 5.2.1, esp. pl. 2). The necropolis covers an area of 15 to 20 hectares that, according to what we know today, was already widely used as a burial site in the Iron Age.

Peripheral areas of the necropolis are still being used for agriculture. However, the center in the Macchiabate field is under protection as part of the archaeological park of Francavilla Marittima. This also includes the Area Strada, which lies in the middle of this protected archaeological zone overgrown by *macchia*.

The graves examined here were located directly below today’s ground level and some of their uppermost stone layers were already visible on the surface (fig. 1.2). In 2009, 2012, and 2015, geophysical surveys were carried out to illuminate the dispersion of the graves in the Strada burial site as well as the

expansion of the necropolis as a whole. While most of the work in the periphery of the necropolis was based on geomagnetism, geo-radar was used for the Area Strada. The result was an image of loosely, but evenly spread out large stone-built individual graves, which were distributed across the entire studied area in a mostly identical orientation (NW-SE) following the slope (pl. 5). It was already clear from the geo-radar image of the Area Strada that this was a burial group including also grave Strada 1, which had often been regarded as an isolated single grave in earlier literature. However, the impression of a linear arrangement of the graves, which the excavations have substantiated, should be considered cautiously. On the one hand, this arrangement is owed to the positioning of the graves on the natural terrain following the slope. On the other hand, it is because geophysical investigation methods can only be used in areas that have little or no vegetation, as was the case in the Strada area. It is therefore uncertain, whether the burial site expands further eastwards and westwards of the Strada under the bordering *macchia*. However, it is certain that south of the grave Strada 1, in the area of the De Leo family's property, there are further Iron Age graves. Traces of such graves were found in the form of pottery and bronze fragments in the excavated material of a cable duct that was created in the spring of 2015.

Architecture and Burial Rites

A total of 18 graves were uncovered in the Area Strada during the excavations of the University of Basel (2009–2016) (pl. 4). One of them, grave Strada 10, consisted of a large pithos that was laid on its side, which, despite the lack of bones inside, is interpreted as an *enchytrismos* of a small child. The remaining 17 graves are those of eleven adults and six children, whereby the start of adulthood is drawn at the end of the age category *Infans II* (approximately 12 years), in knowing that biological and social age are not congruent. In addition to those, there is the grave Strada 1, which was examined in the 1960s and is attributed to an adult individual. As already mentioned, two more graves of an adult and a child were examined on the border of the De Leo family's property (graves De Leo 1 and 2, pl. 78) in 2014.

The graves of the Area Strada are divided into three types (see Chpt. 5.1). The graves of the 'monumental fossa grave' type are most numerous. They are characterized by an oval or long rectangular burial pit with rounded corners and lined with large river pebbles and a floor entirely or partially lined with flat pebbles (see figs. 3.3; 3.6; 3.8; 3.22; 3.31; 3.38; 3.42; 3.55; 3.57; 3.71). The burial pits were each filled with large stones, whose orientation of slanting towards the center indicates that the deceased were originally buried in cases or coffins made of perishable materials (see fig. 5.3). This type of 'monumental fossa grave' includes both child and adult burials, the former being only slightly smaller (children's graves: Strada 8, 12, 18 and 19; adult graves: Strada 2, 4, 5, 11 and 13–17). The second type of grave – called fossa grave – consists of a simple stone-fill

that was placed over the body (see figs. 3.14; 3.18). As before, this shape of the grave is attested for both children and adults (children's graves: Strada 3 and 9; adult graves Strada 6 and 7). The third grave form is the *enchytrismos* in the form of a large pithos, which was custom for premature infants and newborns (grave Strada 10, figs. 3.28; 3.29; pl. 42).

The graves contained only one body each. With the exception of the grave Strada 15, the deceased were buried in a flexed position, i.e. with the upper body supine and with legs contracted to one side. The arms are usually bent, and the hands placed on the pelvis. This is certainly true for most adults, whose bones, despite their overall poor condition, in most cases still allowed for an approximate reconstruction of the position of the body. The condition of the children's graves was worse since most of the bones here had decomposed down to the smallest fragments. Nevertheless, the existing evidence suggests that children of all ages were buried with their legs bent. The remains of the child from the grave Strada 12 indicate that the arms were folded on the abdomen as in the case of the adults (see Chpt. 6).

As mentioned before, the stones of the backfill of the 'monumental fossa graves' which slant downwards towards the center of the burial pit, indicate that the deceased were buried in a case made of perishable materials, most likely a wooden case or wooden burial chamber (see fig. 5.3). Assuming that the pottery included in the burial was also placed inside, a minimum height of approximately 30–40 cm can be postulated for the case. In several graves, the bottom was only partially paved with stones, which may have corresponded to the position of the case. This can be seen clearly in the child's grave Strada 8, where only a small rectangular field (1.4 x 0.8 m) on the ground was lined with stones on which the body and the remains were found (fig. 3.22, pl. 37).

When the burial chamber collapsed, the skeletal remains and the grave goods often shifted considerably. This was particularly evident in the grave Strada 2, where the remains of the skull were scattered over a larger area (pl. 10). The grave Strada 4 also showed traces of considerable destruction (see Chpt. 3.1.4). It is the only example in the Area Strada, where there were remains of decorative buttons, bronze wire, rings, spirals, and amber beads scattered throughout the backfill nearly reaching the surface. The *olla* S4/2 was also found scattered over a large area of the grave floor in small fragments (pl. 16). The wide dispersion of the finds could indicate a subsequent disturbance of the burial. It cannot be ruled out that the grave fell victim to modern interference, but this is by no means the only possible explanation for the peculiarity of the finding. An ancient disturbance is also conceivable, especially since nothing was found in the fill that would have suggested a recent interference.

In contrast to grave Strada 4, in all other graves, the remains of the burial and their grave goods were always found

in the lowest stratum of the backfill, whereby the height of the finds could sometimes differ by up to 15 cm. These height differences are well within the range of what can be expected given the postulated empty space within the graves and the process of backfilling the grave chambers with sediment and rock. It could also be possible that grave goods were occasionally deposited outside the burial chamber, for example on the cover of the case or in the backfill. Such a reconstruction is obvious in the grave Strada 15, in which some of the pottery was deposited above the case made of perishable materials or were thrown into the backfill (see Chpt. 3.1.15).

In general, the graves of the Macchiabate-necropolis are characterized by pronounced conformity in the funerary customs. Women are buried with dress ornaments varying in richness, occasionally accompanied by tools for textile production (loom weights, spindle whorls; Chpt. 4.3). The extent of the men's dress ornaments is much more reserved and is usually limited to a few iron and bronze fibulae. Weapons and tools made of iron and more rarely bronze, complete the inventory of male burials. In detail, a great variability is revealed in the composition of the dress ornaments and grave goods, which also include pottery (Chpt. 4.2). The latter is subject to a particularly strict standardization that applies equally to male and female burials. This includes the regular combination of a larger vessel, usually an *olla* or a jug, and a small cup, which was usually stored inside the large vessel. Both vessels are usually handmade local pottery.

Three graves in the Area Strada differ from this standard composition: Grave Strada 4 and Strada 11 each contained two *ollae* of which one of them contained a cup (pls. 19. 47. 48). Grave Strada 2 differs further from the standard composition. Instead of the *olla* or the jug, this grave contained a crater-like vessel, which was partially made on the potter's wheel and is unmistakably linked to Greek vessel shapes (S2/1, pl. 13). It belongs to the so-called Oinotrian-Euboean pottery, which was produced locally by Greek and possibly also local potters in Francavilla Marittima. The obligatory cup was also found inside. A fourth grave to be mentioned here is the grave De Leo 1, in which, instead of an *olla* or jug, a Greek-style crater was added (DL1/1, pl. 79). In this case, the handmade cup was found outside the large vessel (see Chpt. 5.6).

Children's graves differ from adult graves in that there is no standard set of a large vessel and cup. Instead, as a rule, they contain an askos. As in the case of the *olla* or the jug in the adult graves, the vessels were usually deposited at the feet of the deceased children. In the Area Strada, askoi are found in the graves Strada 8, 12, 18 and 19. In the grave Strada 8, directly next to the askos at the foot of the burial, a jug with a trefoil mouth was found, which can be attributed to the so-called Oinotrian-Euboean pottery that was made on-site (S8/1, pl. 39). The vessel has a strikingly compact, lenticular body that is hardly accidentally akin to the shape of the askos. Therefore, it is reasonable to assume that the jug was placed in the child's grave with the same function as the askos. Consequently, we

would be dealing with a presumably deliberate 'bilingualism' of the grave goods. The only form of burial without offerings is the *enchytrismos* (Chpt. 4.4).

In addition to the traditional grave goods, it can also be expected that objects made of organic materials that have not survived were in the graves of Francavilla Marittima. In particular, this includes the textiles, which were worn as clothing, but also deposited separately next to the body, as attested by the fibulae that are often found next to the body (see Strada 5, Chpt. 3.1.5).

Grave Goods and their Typology

Among the grave goods made of pottery, the large vessels and cups that form the standard set in Oinotrian burials play a central role, as already described above. A total of six *ollae* were found in four graves (Strada 4, 5, 11, 17). In two cases, they were added in pairs and twice they appear as individual pieces. Seven graves contained a large jug (Strada 6, 7, 8, 13, 14, 15, 17) instead of the *olla*, again usually encompassing a small cup. The vast majority of *ollae*, jugs, and cups are hand-made or made using a mixed technique (cf. Chpt. 8). This applies to all the *ollae* as well as the jugs from the Area Strada, except for the jug with the trefoil mouth from grave Strada 8. Unfortunately, the matt-painted decoration of fine ware has only been preserved well enough for the decoration patterns to be reconstructed with certainty in a few cases. For example, two *ollae* with a distinctively offset neck (form 1, S4/1, S11/1, pls. 19. 47) are painted with geometric patterns of the *a tenda* category in the *a vuoto* style, which is considered to be characteristic of the Late Geometric Period in the Sibaritide. A third example (S11/2, form 2, pl. 48) shows painting patterns of the style *a bande ondulate*, which can be dated earlier. The *olla* S5/1 (form 3, pl. 26) is characterized by an unusual form with a high foot, which also features the *bande ondulate* style (Chpt. 3.2.1 »Olla«). The jugs can be divided into three form groups, but none of them show traces of painting (Chpt. 3.2.1 »Kanne«). The majority of the 12 cups from the Area Strada and Area De Leo are hand-made, but there are also wheel-turned examples of this shape (S4/3 and S5/2, pls. 19. 26, Chpt. 3.2.1 »Tasse«). In total, the cups (including the *atingittoi*, *biccheri*, *boccali* and *brocchette* called shapes) can be divided into five different shape groups. The vessels DL1/2, S15/2 and S16/1 belong to the first group (pls. 62. 66. 80). The spherical body, the offset, thick neck, as well as the outward curved rim and the strap-handle, which does not exceed the rim, are the characteristics of the first group. The second group, which has only been attested through one example (S2/2, pl. 13), has a biconical body and an outwards-facing straight rim. The strap-handle is low and does not exceed the rim. This example has remains of a matt-painted ornament of the local Late Geometric style *a frange*. The third form group has a lenticular body and a slightly arched, offset neck. In this case, the vertical strap-handle distinctively exceeds the rim (S7/2, S11/3, S8/3, pls. 36. 39. 48). The fourth group consists of cups with a smooth transition

between body and neck (S17/3, S14/2, S13/2, pls. 55. 58. 70). The body is ovoid to spherical; the straight rim runs obliquely upwards and outwards. The strap-handle only slightly exceeds the rim. The fifth and last group consists of two examples that were turned on the potter's wheel. They have smooth transitions and a very short straight rim (S4/3, S5/2, pls. 19. 26). The strap-handle exceeds the rim profoundly in both cases. The S5/2 cup has a particular decoration with a wavy line on the body, which can easily be compared to examples of the so-called Oinotrian-Euboean pottery.

A typical vessel of fine Oinotrian ware is the flat, single-handed bowl. However, it seems to be missing from the graves of the Area Strada and Area De Leo. A bowl from the grave Strada 14 (S14/3, pl. 58) has an exceptional vertical handle. The coarse ware bowl S8/4 (pl. 39) corresponds to the canonical form with a horizontally attached bar handle. Another important category of indigenous pottery is the askos, of which four, possibly even five (unsure: DL2/1) examples have survived from the children's graves presented here. Three different examples show remains of a matt-painted decoration: one with patterns of the style *a bande ondulate* (S8/3, pl. 39), an askos with the decoration of the *type a frange* (S12/1, pl. 53) and a third that merely has traces of stripes on the handle (S18/1, pl. 75) (Chpt. 3.2.1 »Askos«).

In addition to the indigenous vessel forms, there are also various foreign forms among the grave goods in the Area Strada and the Area De Leo. The majority of these belong to the so-called Oinotrian-Euboean class. The provenance of the skyphos S16/2 whose form is based on that of the skyphoi of the Corinthian-Thapsos-group is unclear (Chpt. 3.2.1 »Skyphos«, pl. 66). Due to the poor preservation of the painted decoration, a more precise allocation is not possible. If, as one might assume, it is adorned with horizontal lines in the lower area of the vessel body, the skyphos S16/2 might be based on the older, late-geometric version of the Thapsos-skyphoi with a metope and line decoration on the lower half of the vessel. On the other hand, if the skyphos were completely black-coated in the lower part, this would be an indication of its relation to the younger Thapsos-group, which emerged shortly before the beginning of the Early Protocorinthian Period and continued to be produced until the end of the period. The latter are much more numerous in the colonial area and are also well known from Sybaris, where they are associated with the founding of the colony around 720/710 BC.

Unfortunately, it is no longer possible to assign our skyphos to one or the other group. However, it seems to be of importance that the vessel is based on Corinthian shapes, which is otherwise rather rare in the Sibaritide usually characterized by Euboean-Cycladic shapes. Similar imitations of Corinthian Thapsos-skyphoi of the older and the younger group are widespread throughout the Gulf of Naples. It cannot be excluded that our vessel was also imported from there. A second skyphos (DL1/3, pl. 80) was found along with the crater DL1/1 in the grave De Leo 1. The skyphos is very poorly preserved and can only broadly be assigned to the so-called Oinotrian-Euboean

class. This affiliation, on the other hand, is clearer for the wheel-turned crater DL1/1 (pl. 79), which is decorated with concentric circles typical of this type of pottery on the lower body and the lid. With its spherical body and the strongly indented shoulder, it is based on Attic and Euboean vessels at the transition from the Middle Geometric II to Late Geometric I Period. According to conventional chronology, the vessel from Francavilla Marittima is to be dated around the middle of the 8th century BC. The simple geometric ornamentation seems to confirm this approach (Chpt. 3.2.1 »Krater«).

The large crater-like vessel S2/1 is also very much committed to the Greek repertoire of forms (Chpt. 3.2.1 »Kraterartiges Gefäß«, pl. 13). Its foot is wheel-turned, while the body is probably hand-made and partially jollied. The rim is again wheel-turned. With its high base, bulbous body and short, straight rim, the vessel takes up elements of the Greek crater, whilst reminiscences of the indigenous canon of forms, namely the *ollae*, are revealed in the stocky, biconical shape of the vessel body. Therefore, the vessel is a 'hybrid' creation in which foreign and indigenous characteristics are combined.

In addition to the pottery grave goods, dress ornaments comprise the second-largest find category in the Oinotrian graves. The repertoire of shapes and types that we encounter in the graves of the Area Strada and the Area De Leo largely coincides with the range of shapes from the older excavations. Among the bronze and iron fibulae, the serpentine fibulae dominate. They are an important pointer for the dating of the graves to the IFe2A2–2B phase. Other types of fibulae that are also found in Francavilla Marittima, such as the four-spiral fibulae, the fibulae with large oval shielded arch, and the fibulae with bone elements are much rarer. The S6/2 bow fibula (pl. 33) is a unique piece, which is only represented in Francavilla Marittima by this one example (chpts. 3.2.5, 3.2.8).

Another distinctive feature is the large bronze decorative disc with a perforated center, which regularly appears in the graves of adult women. They are usually known as *dischi compositi* and are found in the abdominal area. Therefore, they are often associated with a belt. However, it is still uncertain how they were attached since they have no mechanism for fastening. P. Zancani Montuoro associated the discs with the *cupolini*. These are vaulted bronze discs with an eyelet on the back, that are often found in the same female burials of the Macchiabate-necropolis, even if they are never found in a direct connection to each other. Because the *cupolini* seem to match the discs in size, P. Zancani Montuoro interpreted both elements as part of one belt ornament: a *disco composito* (Chpt. 3.2.6 »Disco composito«). In the Area Strada, two of the six supposedly female graves are equipped with a large bronze decorative disc (Strada 6 and 14, pls. 33. 59) but *cupolini* are missing in both cases.

The dress ornaments, especially for women, also include neck-rings (S6/5. 6; pls. 33. 34), wheel pendants (S11/6, pl. 49), spiral rings (S6/7. 8; S11/14; S14/15. 16; e.g. pl. 59) and decorative discs made of iron (S13/12, pl. 55). Pendants and

pearls of various shapes made of bronze and less commonly of iron were also popular, especially for women but also for children. Spectacle pendants (S4/16–19, S8/9, S18/3, DL2/3, e.g. pl. 21), ring pendants (24 examples), globular pendants (S8/8, DL2/2, e.g. pl. 40), cylindrical beads made of bronze and iron (S13/7. 8; S13/10. 11; e.g. pl. 55) and numerous biconical and cylindrical spiral beads are among the most common finds (chpts. 3.2.6 and 3.2.9). The dress ornaments of women and, to a smaller extent of children, also include numerous neck rings and spirals for digits made of bronze and iron (S3/3. 4; S4/33–41; S19/4–8; S4/65; S19/13; e.g. pls. 14. 21). Various ornamental discs and appliqués (S2/24–27, S11/16–19, S11/46, e.g. pl. 14) as well as hundreds of bronze ornamental buttons, which were documented *in situ* in the female graves in the Area Strada (see especially Strada 2, 4 and 11), come from hoods or veils.

The anthropomorphic pendant S8/7 (pl. 40), which is just 3.1 cm high, is a rare find. Like the large bronze discs, it belongs to a type that is particularly closely associated with Francavilla Marittima. Of the approximately 50 known pieces, 11 can be proven to come from Francavilla Marittima, most of them from the graves of the Macchiabate-necropolis (see table 2.4). In terms of tradition, research generally assumes that there was a production center for these anthropomorphic pendants in Francavilla Marittima. The pendant from the grave Strada 8, which comes from the same mold as the two figurines from the neighboring grave Strada 1, confirms this assumption. It is also the only known example from a child's grave. Without being able to state the exact identity of the human couple depicted, it can be assumed that the figures had a religious dimension and probably were meant to protect the child from harm and danger (see chpts. 2 and 3.2.6 »Kleinformatige Anhänger«).

Apotropaic forces were also said to have been attributed to amber, which is extremely plentiful in the graves of Francavilla Marittima. These finds are mostly small pearls and more or less teardrop-shaped pendants, which were sewn onto textiles or strung together and attached (Chpt. 3.2.12, e.g. pl. 50). Occasionally, they were also used as jewelry for earrings, such as in the case of the grave Strada 6, in which an amber bead (S6/12) was found in the immediate vicinity of a spiral ring by the skull. Objects made of amber, preferably pearls and necklace pendants, are almost exclusively restricted to graves of women and children. The material only occurs sporadically in men's graves, with the exception of the men's graves Strada 16 and De Leo 1.

In addition to the amber, there are also isolated glass beads. The material was still very rare in Italy in the 8th century BC and may have been imported in many of the cases. In the graves of the Area Strada and the Area De Leo presented here, glass beads occur four times in total (graves Strada 2, Strada 4, Strada 6, Strada 14). The majority consist of colored opaque glass. Grave Strada 2 shows two ring beads made of brown and yellow-turquoise glass (S2/40. 41, pl. 14). Two white opaque pearls are found in the graves Strada 4 (S4/70) and Strada 11 (S11/42). In grave Strada 14 three very small eye beads made

of blue glass have been found (S14/18–20, pl. 59). The threads once inserted are partially conserved in one example. A noteworthy example is the translucent, slightly greenish colored pearl S6/13 (Chpt. 3.2.13, pl. 34).

Metal vessels stand out noticeably amongst the grave goods. The remains of a small gold-plated silver bowl from the grave Strada 4 (S4/63, pl. 22) are exceptional. Although only a few remains of the vessel have survived, the find evokes comparison with the well-known Levantine bronze bowl from the grave Strada 1. However, it cannot be determined with certainty whether the silver bowl, which is only about half the size of the bronze vessel, was imported from the Orient. The bowl is closely related to the so-called Phoenician silver bowls, which are often also gold-plated. However, there are no exact parallels both in the type of decor, with a groove band placed freely in the smooth shell base, or in the shape with a flat bottom and a carinated wall. The rarity of objects made of silver in the Oionotrian culture, along with the remains of the gilding, suggests that the bowl is an import. The isotope signature could indicate a possible provenance of the metal from northern Spain, but the value is subject to great uncertainty (see chpts. 3.2.11 and 7.1).

In addition to the silver bowl, three other metal bowls made of bronze are worth mentioning. All three of them are of hemispherical shape, a type of vessel that is already well known from the excavations by P. Zancani Montuoro (Chpt. 3.2.4 »Schale«). Here too, the question arises as to the distinction between imports and local productions. Formal and technological considerations (rim shape and *omphalos*) suggest that at least the bowl DL1/5 and probably also S4/15 (soldered handle) were imported into Francavilla Marittima. The bowl S17/4 (pl. 70), which seems not to have had an *omphalos*, can possibly be linked to Cypriot productions due to its special, thickened rim formation.

Similar uncertainties also surround the discussion of the origin of the bronze cauldron from the grave De Leo 1 (Chpt. 3.2.4 »Kessel«, pl. 81). While P. Zancani Montuoro viewed the typologically fitting but much larger cauldron from the grave Temparella 87 as an import from the eastern Mediterranean due to its typological congruency, the cauldrons with vertical walls and inward curving rims are considered today to be products of Italic manufacture. It cannot be said with certainty whether Greek bronze-smiths worked in the local workshops or whether local artisans took over the technology of manufacturing large bronze vessels from Greece. It is becoming increasingly clear, however, that the corresponding know-how was available in various contact zones in the Greek-indigenous world in Italy. The Gulf of Naples, with the well-known cauldrons of Pontecagnano, San Marzano sul Sarno and Cumae, was one of these centers. The Gulf of Taranto, with what are now three examples from the Macchiabate-necropolis (one of which is a stray find) and further evidence all the way to Santa Maria d'Anglona, was another such center.

The spear with a bronze spearhead and bronze spearbutt from the grave Strada 5 (S5/10, pl. 27) impressively demonstrates that there was intensive contact not only by sea but also by land between these two areas. The spearhead is adorned with a pattern of finely engraved zigzag lines and circle patterns and can, therefore, be assigned to the *Cassino* type as defined by Anna Maria Bietti Sestieri. The distribution area of this type is concentrated in Campania and extends across the valleys of the Apennines to the South on to the Ionian Sea. Due to its fine design, the spear should not be regarded as a weapon for combat, but rather as an insignia and badge of rank (Chpt. 3.2.7). Its owner probably belonged to a mobile warrior elite who was in close contact with each other across the mountain ridge. Evidence for these networks is further reflected in the common custom on both sides of the Apennines of burying the deceased with bronze cauldrons.

In addition to the bronze spear, the grave Strada 5 was also equipped with two iron spears (S5/24, 25, pl. 30). Unfortunately, they are too badly damaged for a typological classification to be possible. Nevertheless, they exemplify the importance of the spear as a symbol of the aristocratic man's martial performance in Oinotrian society. Iron spears are often found in the graves of the Macchiabate-necropolis. A particularly well-preserved spearhead with a bronze fitting comes from grave Strada 17 (S17/17, pl. 73) and a fragmentary one from grave Strada 16 (S16/10) (Chpt. 3.2.10). What is remarkable is the rarity of daggers and swords, which are generally considered to be the attribute of the ruling elite of Iron Age societies. In the Area Strada, only the man buried in the grave Strada 17 was equipped with an iron sword. It is a rod-tanged sword of about 60 cm in length (S17/15, pl. 72).

It is uncertain whether the shaft-hole axes are also considered to be weapons. They represent another attribute of the male leaders. Two axes were found in the graves Strada 17 (S17/18, pl. 73) and De Leo 1 (DL1/12, pl. 82). There are only a few characteristic features concerning the shape. Their function can be attributed to combat as well as artisanry and sacrifice. The adze S17/19 (pl. 73) can be associated with wood processing. It is the only attested tool from the graves discussed here. However, it is not out of the question that further tools may be hidden among the various iron objects that were found in very fragmented and in very bad condition in the graves Strada 5 and Strada 16. Due to the poor condition, it is not possible to say which tools they represent (Chpt. 3.2.10 »Äxte und Beile aus Eisen«).

Knives are also numerous in the graves of the Area Strada and the Area De Leo, as in the Macchiabate-necropolis as a whole. Iron blades of different sizes were found in the graves Strada 5 (S5/26 and S5/27), Strada 8 (S8/34), Strada 15 (S15/4), Strada 16 (S16/9, pl. 67), Strada 17 (S17/20) and De Leo 1 (DL1/13). The majority of these come from men's graves, but in at least one case, also from a child's grave (Strada 8). Elsewhere in the necropolis, knives were also found in women's graves (e.g. Temparella 8). They are not only associated with different age groups and genders but also come from

graves with a very different wealth of grave goods. This indicates that knives were multifunctional tools that played an important role in everyday life (hunting, agriculture, handicrafts, sacrifice, textile processing, household). The knife from the child's grave Strada 8, must have had a special function. It was found right next to the S8/4 impasto bowl and may have been used to cut food. Although functional, the blade is strikingly short in this case (Chpt. 3.2.10 »Eisenmesser und Klinge«).

Clay tools that relate to the production and processing of textiles are the final category to be mentioned. A total of four spindle whorls (pentagonal biconical spindle whorls S2/6 and S4/7; hexagonal biconical spindle whorls S4/6 and spherical spindle whorls with an incised decoration S4/8; pls. 14, 20) come from two female burials, the graves Strada 2 and Strada 4. Loom weights were only found in the grave Strada 4, in which an approximately 12-year-old girl was buried. There are at least four very fragmented loom weights (pl. 20), including two teardrop-shaped loom weights (S4/10–11) and an exceptional example with a labyrinth pattern (S4/9). The tools and in particular the loom weight with a labyrinth pattern find parallels among the finds from the building Vb on the Timpone Motta (Chpt. 3.2.3).

Funerary Customs

In most cases, the definite determination of the anthropological gender of the burials is impossible due to the poor preservation of the bones. Nevertheless, with the help of archaeological evidence, it is possible to gather information concerning the gender of the deceased. The total of 21 burials presented here is divided into eight children's graves of indefinite gender (7 of the Area Strada, including the *enchytrismos* grave Strada 10 and one from the Area De Leo) and twelve adults (eleven from the Area Strada, including grave Strada 1 and one from the Area De Leo). In addition to these 12, is the *Infans II* from the grave Strada 4, which lies in between the subadult and the social adulthood. Because of the grave goods, the approximately 12-year-old girl from Strada 4 is considered to be an adult. The remaining adult graves are divided into six tendentially female and six tendentially male burials (Chpt. 4.1). Although the selected section with 21 burials is too small to be representative of the entire necropolis, the composition of the age and gender groups shed some light on the community that buried their deceased in the Macchiabate-necropolis in the Iron Age. While in previous literature an imbalance between female and male burials was documented, the excerpt published here shows a balanced picture of the genders. Anthropological studies have made it possible to determine various graves (Strada 7 and Strada 15) as tendentially male, which were otherwise attributed to the female sphere or would have remained indefinite due to the lack of 'male' attributes (weapons, tools). The number of children's graves corresponds approximately to the average that is to be expected in prehistoric societies with an amount of roughly 40%. As previously mentioned, men and women in the graves of

Francavilla Marittima differ most distinctly in their dress. In female burials, diversity and richness in dress ornaments were greatly valued, while in male burials dress ornaments were limited to a few fibulae and even fewer pendants made of metal. As in other regions of Italy, the graves of the men are characterized by weapons and tools made of iron (and occasionally bronze). As far as the former is concerned, it is usually assumed that there is a social distinction between those who carry a sword or a dagger and those who are equipped with a spear. Since in most Iron Age necropoleis the spear-bearers are generally much more common than the sword-bearers, the latter are generally considered to be higher-ranking leaders, while the spear-bearers are often seen as 'warriors' under their rule. Such a distinction cannot be confirmed in Francavilla Marittima. Dagger and sword carriers have so far been very rare: to the deceased from the grave Temparella 87 the sword-bearer from the grave Strada 17 can now be added, as well as the two newly found sword graves in the Area Est (Est 1 and Est 6). While the number of sword-bearers has increased significantly in recent years, the number of spear-bearers has remained comparatively low, only three of the six suspected men in the Area Strada and Area De Leo were equipped with one (or more) spears: graves Strada 5, Strada 16 (?) and Strada 17. Overall, this shows a rather heterogeneous picture when it comes to weapons. The social distinction of men does not appear to be reflected in the weaponry alone but also includes other factors such as handicraft, land ownership, control over raw materials and hospitality, which were expressed in grave goods such as tools, imports or extensive tableware sets. In this, the Francavilla Marittima burial community differs from most other Iron Age groups in Southern Italy (Chpt. 4.2).

In Oinotrian society, women are preferably defined in their social role by their dress ornaments. These can vary greatly in the Macchiabate-necropolis, from relatively modest graves with only a few fibulae to burials that are completely covered by their jewelry. The latter applies in particular to the woman buried in the grave Temparella 60, who was not only buried along with very extensive jewelry but also wore a robe adorned with over a thousand small bronze decorative buttons. The women's graves in the Area Strada and Area De Leo do not attain this luxury, but the women buried in the graves Strada 2, Strada 4 and Strada 11 also wore impressive robes or veils, with several hundred bronze buttons and, in the case of grave Strada 11, the robes or veils were also embroidered with a variety of tiny amber beads. In both cases, the extraordinarily small and fine shape of the decorative buttons and beads suggests that the textiles to which they were sewn must have been of the finest quality. This reveals, albeit indirectly, the fact that not only dress ornaments but also textile art played a significant role in the status of women represented in their death. Spindle whorls and loom weights, such as those found in the graves Strada 2 and Strada 4, also underline the women's responsibility for clothing and the household in general (Chpt. 4.3).

Therefore, the social position of both genders is represented comparably. 'Rich' and 'poorer' graves exist side by side in

both groups. The same could be said for the children's graves, some of which stand out from the rest due to their luxurious grave goods (see Strada 8 vs. Strada 3) (Chpt. 4.4). In the past, there was no lack of attempt to draw conclusions concerning the social organization of society from the patterns in the compositions of the grave goods.

Along with the assumption that the various burial sites represent kinship groups, burials located close to each other were often interpreted as nuclear families consisting of the parents and their children. This model, which is already problematic in its basic thesis of the 'small family', which is characterized by modern conditions, cannot be confirmed in the Area Strada and Area De Leo (see Chpt. 5.4.2). Neither the arrangement of the graves nor their division according to gender and age supports the assumption that the place of burial selected for the deceased was due to internal family relations (mother, father, children). Rather, most of the graves are placed at a loose distance from each other, with both women and men sometimes lying next to same-gender and sometimes next to opposite-gender burials (pl. 4). Some burials are connected through direct contact (graves Strada 13, 14 and 15 and the two fossa-graves Strada 6 and 7; see figs. 3.14; 3.40). What is noteworthy is that certain children's graves, Strada 18 and De Leo 2, are closer to the graves of adults than would have been necessary due to the topographical conditions. One can conclude with some confidence that these children were deliberately buried 'under the protection' of adults. The location of the graves says nothing about the social and biological relationship between the children in question and the adults, both of whom are male (chpts. 5.2, 5.4).

We know little about the rituals that took place at the grave. Still, there are different implications that the ritual process was not completed with the placing of the body. There are various indications that objects were intentionally deposited in the stone backfill while the graves were being filled up. This includes, for example, an amber pearl, which was found about 40 cm above the burial of the grave Strada 2 as a single find in the backfill (S2/35). An amber pearl and a bronze fibula from the backfill of the grave Est 6 confirm the occurrence of such deposits. Correspondingly the presence of broken coarse ware pottery in the backfill of some of the graves might also be the result of ritual activities happening during the burial ceremonies. Matching fragments of three coarse ware vessels, a bowl and two storage or cooking vessels (S15/8–10), were found, for instance, in grave Strada 15, in the backfill layers directly above the burial. On the contrary to other coarse ware sherds from the same backfill, these fragments, lying near to each other, show no traces of erosion, making it likely that they belong to vessels used for ritual acts at the moment of the funeral. More in general, the high number of strongly washed-out coarse ware sherds in the backfilling of the graves suggests that coarse ware pottery no longer used was present in the vicinity of the graves serving as a welcome material for the backfilling

of the grave pits (see Chpt. 3.1.15). Their dimension and shape suggest that they originate only seldomly from large pithoi, such as those used for the *enchytrismos*-burials. Rather they belong to small pithoi, cooking pots and bowls, such as the one handled bowl S15/8 mentioned above. An almost completely preserved, small pithos, which was found between the graves Est 9 and Est 10, could give an idea of the presence of this 'ritual tableware'.

The Graves of the Area Strada and Area De Leo in Context

The Macchiabate-necropolis of Francavilla Marittima is one of the largest burial sites of the Iron Age in Southern Italy. The location on a hillside terrace, a little below the settlement and 100 to 150 m above the alluvial plain of the Sibaritide, is carefully chosen, as the graves are clearly visible both from the plain and from the settlement (pls. 1, 2; 2). Although we know little about the ancient network of paths and access routes to the settlement on the Timpone Motta, it can be assumed that the graves were deliberately placed in such a way that visitors to the settlement had to pass through them. It is still unclear where the oldest areas of the necropolis are and whether there is a spatial chronology of occupancy on the Macchiabate-terrace. This question is closely related to the issue of the structure of the necropolis itself. Due to the topographical conditions, the vegetation, and the sheer size of the necropolis, P. Zancani Montuoro had arranged her excavations on six different areas (Temparella, Cerchio Reale, Vigneto, Uliveto, Lettere and Cima), some of which are at a considerable distance from each other. On this basis, recent research has developed the model of a settlement community structured into groups of large families or clans that buried their dead in separated areas on the Macchiabate-necropolis. The seemingly circular Temparella tumulus – that was built by putting archaic graves on the top of graves from the Early Iron Age – and the correspondingly shaped 'Cerchio Reale' established the picture of more or less circular burial sites and tumuli, a picture that also shaped the research of the Basel project for a long time. But this picture is illusive because the limits of the areas are mostly unknown and the places in between have not been investigated. However, the Area Strada – even if probably not entirely known – in its elongated shape, which is based on natural terrain, deviates significantly from this scheme. Therefore, the guess may be made that the other burial sites were also less regular than previously suspected and that instead of circular burial sites and tumuli, the Macchiabate-necropolis plateau was covered by irregular structures that are essentially shaped by the course of the natural terrain and the individual decision-making processes of the persons in charge of the funeral. At the same time, the question arises to what extent the model of the spatially separated burial sites actually corresponds to ancient reality or whether it is due more to the modern selection of the excavation sites. For example, the two areas of Temparella and Cerchio Reale

adjoin directly, which must have led to a completely different picture of the necropolis particularly in the Iron Age, before the Temparella tumulus existed in its present height. This is not to say that the Macchiabate-necropolis was 'littered' all over with graves. There is, for instance, in the geo-radar images a zone on the northern edge of the Area Strada that is without grave structures. Nevertheless, it seems necessary to rethink the structure of occupancy of the necropolis as freer than has been the case up to now. After all, nothing is known so far about the development within the burial ground. Neither paths nor places shared by the burial community for the grave cult could be identified (Chpt. 5.4).

In earlier literature, the grave Strada 1 was often regarded as one of the oldest in the necropolis, and depending on the chronological model, it was built in the 9th or early 8th century BC. Therefore, the question of the relative and absolute chronology of the neighboring graves in the Area Strada was the focus of the Basel project from the start. Overall, the newly researched graves form a chronologically coherent group in the IFe2A2–2B phase, which also includes the grave Strada 1 (Chpt. 5.3). On the basis of typological features of dress ornaments and pottery, an older, a middle and a younger group of graves can be distinguished within this phase. The graves Strada 1 and Strada 5 (both with vessels decorated in the style *a bande ondulate* but with serpentine fibulae *a gomito*) and presumably the graves Strada 6, Strada 7 and Strada 15 can be attributed to the older group. The grave De Leo 1 also belongs to this phase, as evidenced by the serpentine fibula of the type *Lo Schiavo* 341, one of the leading types in Torre Mordillo, and also by the early form of the DL1/2 cup. The graves Strada 2, Strada 4, Strada 8, Strada 11 and Strada 12 belong to the middle phase. They contain vessels with *a frange* decoration or with *a tenda* ornaments of the *vuoto* style. The graves Strada 14 and 13 can be dated around the same time. The graves Strada 17 and Strada 16 belong to the last occupancy phase of the Area Strada and probably also the child grave Strada 18 that was positioned in relation to these two graves.

The imports and foreign forms form the best basis for absolute dating of the graves. This includes the crater from the grave De Leo 1 (DL1/1, pl. 79), which can be dated to about the middle of the 8th century BC, and the skyphos S16/2 (pl. 66), which as an imitation of a Thapsos-skyphos is to be dated to the last two decades of the 8th century BC. The two vessels roughly mark the upper and lower chronological phases of the graves examined here.

The given indications only allow for a vague dating of the individual graves. An exact sequence of occupation cannot be obtained with the above-mentioned indications. Nevertheless, there emerges a rough three-way chronological division of the Area Strada from the available evidence. The oldest graves are grouped in the southern part of the area, the middle group is concentrated in the middle of the Strada, and the youngest graves are situated in the north. Without overestimating the chronological significance of the grave inventories, there

emerges an overall trend of occupancy for the Area Strada going from South to North (see pl. 4).

We already pointed out that research generally assumes that the funerary topography of the necropolis reflects the social structure of the burial community in life. Specifically, a model is favored that assumes the existence of various large families and clans, whose relatives were buried in the different areas of the Macchiabate-necropolis. The numerous children's graves, including those of prominent status, such as the graves Strada 8 or Temparella 69, point to the importance of kinship and family ties. In addition, the agglutinating construction of some graves (Strada 13, 14, 15) and especially the ascertainable overlapping of the monuments in the Temparella and Uliveto areas, underlines the great importance attached to the biological and/or social cohesion of the burial groups. The affiliation to a specific burial community cannot, however, be reduced solely to the status generated by the descent of the deceased. It is remarkable that some of the graves in the various burial sites show great differences with regard to their grave goods. In addition to rich graves with imports and other luxury goods, there are also those with rather average and those with remarkably few dress ornaments and grave goods. Despite the problems associated with the social interpretation of grave inventories, there is some evidence in the case of the Macchiabate-necropolis that people of different status were buried here. In addition to the grave goods as such, the different grave architectures, the size of the graves, and the extent and weight of the stone material used for backfilling should also be noted. It seems plausible therefore to assume that the various burial sites were used by communities that consisted of members of different social classes. It is most conceivable that these communities were composed of large family units structured according to a 'gentilician' system, which also included socially lower 'relatives' or biologically unrelated 'dependents' (Chpt. 5.4).

There is no definitive answer to the question of whether the entire settlement community living on the Timpone Motta and its slopes was buried on the Macchiabate-necropolis, or whether the burial ground was reserved for a selected group, e.g. the aristocratic families. The strong social mixture of the necropolis and the fact that men, women, and children are represented in the Area Strada roughly according to natural parameters could suggest that the whole settlement community found its last resting place on the Macchiabate-necropolis. The size of the necropolis could also be interpreted in this sense, although the actual extent of occupancy of the necropolis and its density is difficult to assess. If one assumes that the various burial sites were frequented by individual hierarchically structured family groups with a small number of 'leaders', a large part of the Francavilla Marittima settlement community would probably have found its final resting place on the Macchiabate-necropolis. However, the question of the place of burial of the poorer population (i.e. subalterns or individuals who did not live in freedom), that is probably only partially represented in the number of recorded graves, remains unclear.

It remains unanswered whether these people were buried in an unknown location or in an archaeologically undetectable way.

Due to their specific context, the graves of the Macchiabate-necropolis play an important role in the discussion about the cultural exchange between the indigenous cultures of Southern Italy and the Greeks and Orientals immigrating to this area (Chpt. 5.5). The decisive factor is the proximity of the necropolis and the associated settlement on the Timpone Motta to the Greek colony of Sybaris, founded around 720/710 BC, as well as the role of Francavilla Marittima as a central node in a trans-Mediterranean cultural network long before the colony established itself permanently as a metropolis in the Sibaritide. The newly researched graves and the older finds essentially confirm the impression of great diversity in the way in which the local elites reacted to the arrival of the foreigner. While the indigenous identity is particularly emphasized in the women's dress, a creative way of dealing with impulses from the outside is evident in various individual objects. In this context, the crater-like vessel S2/1 should be noted, in which formal and technical elements of the wheel-thrown Greek pottery are manifested along with those of the hand-made local pottery (pl. 13). A small group of personalities even went one step further and opened up enough to the foreign to become actual participants of a new trans-Mediterranean cultural *koiné*. Thus far, in this regard, the man buried with the crater, bronze cauldron, bronze bowl and skyphos in the grave De Leo 1 has held a singular position in the Macchiabate-necropolis (fig. 5.10). Thanks to the new finds, it is becoming increasingly clear that not only Greeks and Oinotrians were involved in the process of cultural encounter, but the exchange also affected people from many other cultural areas, for which the S5/10 spearhead imported from Campania is exemplary (pl. 27).

The usage of the Area Strada as a burial ground came to a halt at the end of the 8th century BC with the graves Strada 16 and 17 on its northern edge. This finding confirms the assumption that profound changes in the frequenting of the necropolis can be expected around the turn of the 8th to the 7th century BC. In addition to the Area Strada, the Cerchio Reale and Vigneto areas were also abandoned at this time (see pl. 2). Elsewhere, occupancy continued in the early 7th century BC, but the number of graves there also rapidly decreased. The association of the decline or discontinuation of burial activity with the changes in the local cultural structure that were linked to the 'foundation' of Sybaris around 720/710 BC is obvious.

The reasons why some of the burial grounds were abandoned at the end of the 8th century BC, while others were still used in a reduced manner in the 7th century BC, cannot be discussed in detail here. Overall, however, the results in the Area Strada reinforce the impression of a change in the cultural fabric of the local population at the turn of the 8th to 7th centuries BC. Violence, which according to various scholars may have accompanied the expansion of the Greeks, may have been one reason, the pull effect of the 'colony' another. In any case,

the decline in occupancy in the necropolis does not necessarily mean the discontinuation of settlement on the Timpone Motta. Rather, the cultural change associated with the permanent settlement of the Greeks in the Sibaritide could have led to the loss of cultural and territorial hegemony over the Sibaritide, and therefore the display of power in the form of monumental graves by the local elites became obsolete. With this in mind, it may not be a coincidence that at almost the same time, at the beginning of the 7th century BC, the construction and votive activity in the sanctuary on the Timpone Motta flourished.

Martin A. Guggisberg, Camilla Colombi;
translation Naomi L. Monch

11 Riassunto italiano

Introduzione

Dopo un'interruzione di 40 anni, nell'estate del 2009 un team dell'Università di Basilea ha ripreso le indagini archeologiche nella necropoli di Macchiabate a Francavilla Marittima, già oggetto di scavi sistematici da parte di Paola Zancani Montuoro tra il 1963 e il 1969.

Scopo principale delle indagini era l'acquisizione di dati complementari a quelli raccolti durante le ricerche Zancani Montuoro, attraverso lo scavo di nuovi contesti archeologici selezionati e accuratamente documentati. S'intendeva inoltre precisare l'organizzazione topografica del sepolcreto, come anche acquisire nuovi elementi atti a chiarire il tanto discusso nodo della svolta nelle forme di rappresentazione funeraria (e più ampiamente 'culturale') in Sibaritide alla transizione tra età del ferro e periodo arcaico.

Al fine di fornire risposte soddisfacenti a tali interrogativi, gli scavi dell'Università di Basilea si sono concentrati sin dall'inizio nell'area denominata 'Strada': un settore a nord-ovest della nota tomba Strada 1, già esplorata da P. Zancani Montuoro nel 1963, il cui nome deriva dalla vecchia strada campestre che attraversava questo tratto della necropoli (tav. 2 n. 12).

In questa stessa zona, sul limite del terreno appartenente alla famiglia De Leo è emersa nel corso di lavori agricoli un'altra tomba dell'età del ferro (tomba De Leo 1): nel 2014 grazie alla cortesia della famiglia De Leo è stato possibile indagarla assieme a una seconda tomba infantile adiacente (De Leo 2) (tav. 2 n. 16).

Le tombe indagate tra il 2009 e il 2016 nelle aree Strada e De Leo, oltre a una nuova edizione della tomba Strada 1 degli scavi Zancani Montuoro, costituiscono l'oggetto di questa pubblicazione.

Il capitolo 1 illustra in una breve sintesi la storia della ricerca nella necropoli di Macchiabate e propone alcune considerazioni preliminari sui propositi del progetto di ricerca, mentre il capitolo 2 accoglie la nuova edizione integrale della tomba Strada 1.

I capitoli seguenti sono dedicati alle tombe delle aree Strada e De Leo indagate dall'Università di Basilea tra il 2009 e il 2016. Esse sono analizzate tanto dal punto di vista della tipologia delle strutture funerarie, quanto sotto il profilo della caratterizzazione crono-tipologica dei corredi (cap. 3.1); la tipologia dei reperti è illustrata nel capitolo 3.2. Il capitolo 4 è dedicato all'esame del rituale funerario e delle associazioni di corredo maschili, femminili e infantili. Nel capitolo 5 si propone un'interpretazione dei contesti di nuovo scavo nel più ampio quadro dei rinvenimenti di Francavilla Marittima e della Sibaritide: i paragrafi 5.1, 5.2, 5.3 discutono in particolare l'architettura funeraria, l'organizzazione topografica, la cronologia dei grup-

pi funerari e le loro relazioni spaziali nel quadro dello sviluppo topografico della necropoli; cronologia e struttura sociale dei gruppi funerari sono al centro dell'attenzione del capitolo 5.4; nel successivo capitolo 5.5 la necropoli di Macchiabate è contestualizzata nel più ampio quadro dei rinvenimenti da Francavilla Marittima, con particolare attenzione al tema dell'impatto dell'arrivo dei Greci della fine dell'VIII sec. a.C. sulle locali comunità indigene; infine, le diverse forme di scambio culturale con i Greci e anche con gli altri gruppi indigeni del Mezzogiorno formano il contenuto del capitolo 5.6.

I capitoli 6 e 7 sono dedicati allo studio antropologico dei resti scheletrici e ad altre analisi scientifiche condotte sui reperti degli scavi 2009–2016. Il capitolo 8 accoglie un excursus sulla manifattura dei vasi in ceramica depurata da Francavilla Marittima.

Obiettivi della ricerca e quadro topografico

La necropoli cui appartengono le tombe illustrate in questa sede è impiantata su un terrazzamento marino in leggero declivio da ovest verso est, al limite occidentale della grande pianura alluvionale della Sibaritide (tavv. 1. 2). La stretta e profonda incisione del vallone Dardanìa separa la necropoli dal Timpone Motta, sede del rispettivo insediamento dell'età del ferro e di epoca arcaica.

Il Timpone Motta, che costituisce una delle estreme propaggini meridionali del Pollino, marca il punto in cui il fiume Raganello abbandona l'ambiente montano per sboccare nella pianura costiera. Il grande alveo del fiume delimita a sud l'area della necropoli, estesa a ovest sino alle pendici del Timpone Motta. I limiti nord ed est dell'area funeraria non sono invece marcati da chiari elementi topografici e risultano pertanto più difficili da stimare: ritrovamenti sporadici e tradizioni orali raccolte *in loco* suggeriscono comunque un'estensione della necropoli verso nord sino alla contrada Pietra Catania, circa a metà della strada verso il moderno borgo di Francavilla Marittima, e ad est oltre la SS 105/SP 263, attraverso le contrade Rossi e Saladino (cap. 1 e cap. 5.2.1., in particolare tav. 2). L'area così delimitata, estesa tra i 15 e i 20 ettari, fu verosimilmente in larga parte impiegata come necropoli già durante l'età del ferro.

Le aree periferiche della necropoli sono tuttora soggette a lavori agricoli; il segmento centrale della contrada Macchiabate, che comprende anche il settore Strada, appartiene invece al Parco Archeologico di Francavilla Marittima ed è pertanto sottoposto a tutela.

Le tombe pubblicate in questa sede si trovavano immediatamente sotto l'odierno piano di campagna: in alcuni casi le

pietre di copertura affioravano già in superficie (fig. 1.2). Negli anni 2009, 2012 e 2015 sono state effettuate indagini geofisiche per chiarire la distribuzione delle tombe nell'area Strada e per fare contemporaneamente luce sull'ampiezza complessiva della necropoli. Nelle zone ai limiti della necropoli si è lavorato prevalentemente con la geomagnetica, mentre nell'area Strada si è proceduto con indagini georadar. In quest'ultimo settore il georadar ha rivelato una dispersione a bassa densità ma regolare di grandi tombe con copertura in pietrame, distribuite per tutta l'area indagata secondo l'andamento del pendio e accomunate dal medesimo orientamento (nordovest-sudest) (tav. 5). Già attraverso l'immagine radar è percepibile l'esistenza in questo settore della necropoli di un raggruppamento di sepolture: vi appartiene anche la tomba Strada 1, in passato considerata isolata. Sebbene rafforzata anche dai successivi scavi, l'impressione di un regolare allineamento delle tombe è da considerare con cautela, essendo in parte condizionato dalla geomorfologia dell'area e dall'andamento del pendio. L'area indagata con georadar è circondata da settori con ampia copertura arbustiva: non è stato quindi possibile precisare l'estensione di questo raggruppamento di sepolture verso est e ovest. È comunque certo che a sud della tomba Strada 1, nella zona del cortile della famiglia De Leo, si trovino altre tombe risalenti all'età del ferro: lo confermano i frammenti ceramici e di oggetti in bronzo venuti alla luce nella primavera del 2015 durante uno scavo per l'impianto di un condotto.

Architettura e riti funerari

Le tombe messe in luce nell'area Strada durante gli scavi dell'Università di Basilea sono complessivamente 18 (tav. 4). Una di queste è costituita da un grande pithos d'impasto rinvenuto in posizione distesa (Strada 10), interpretabile come enchytrismòs infantile nonostante l'assenza di resti ossei al suo interno. Le 17 rimanenti tombe si suddividono in 11 sepolture di adulti e 6 di bambini, in cui il limite viene posto alla fine della fascia di età infans II (ca. 12 anni), nella consapevolezza che l'età biologica e quella sociale non sono sempre congruenti. A queste si aggiunge la tomba presumibilmente di adulto Strada 1, già indagata negli anni 1960. Altre due tombe, una maschile e una infantile, scavate nel 2014 sono ubicate nell'area confinante con la proprietà De Leo (De Leo 1 e 2, tav. 78).

Le tombe dell'area Strada si suddividono in tre tipi distinti (cap. 5.1). Il tipo più frequente, 'a fossa monumentale', è contraddistinto da una fossa ovale o rettangolare arrotondata rivestita di grandi ciottoli fluviali sulle pareti e pavimentata in maniera parziale o coprente con ciottoli piatti (cfr. figg. 3.3; 3.6; 3.8; 3.22; 3.31; 3.38; 3.42; 3.55; 3.57; 3.71). Le fosse sono colmate con grandi pietre, la cui disposizione in strati obliqui inclinati verso il centro lascia supporre che i defunti fossero originariamente deposti in casse o bare in materiale deperibile (cfr. fig. 5.3). Al tipo delle tombe a fossa monumentali appartengono deposizioni sia infantili, sia di adulti; le tombe infantili si distinguono per le dimensioni leggermente inferiori

(tombe infantili: Strada 8, 12, 18, e 19; tombe di adulti: Strada 2, 4, 5, 11 e 13-17). Il secondo tipo di tomba è a fossa semplice, scavata nel terreno e non rivestita di pietre, caratterizzata da una copertura di pietre poste al di sopra della deposizione (cfr. figg. 3.14; 3.18). Anch'esso è impiegato per infanti (Strada 3 e 9) e per sepolture di adulti (Strada 6 e 7). Il terzo e ultimo tipo di tomba è rappresentato dalla sepoltura a enchytrismòs entro pithos, riservata a neonati e bambini (Strada 10, figg. 3.28; 3.29; tav. 42).

Ciascuna tomba ospitava una singola deposizione. Con l'eccezione della tomba Strada 15, i defunti erano tutti deposti in posizione rannicchiata, con il torso supino e le gambe piegate; le braccia sono di norma flesse al gomito, le mani appoggiate sul bacino, come ben documentato nella maggior parte delle tombe di adulti, i cui resti ossei hanno consentito nonostante il pessimo stato di conservazione una ricostruzione approssimativa della salma. Per le tombe infantili non sopravvivono in genere che minuscoli frammenti ossei, ma numerosi indizi lasciano supporre che anche i bambini di tutte le fasce d'età fossero deposti con le gambe piegate. I resti ossei della tomba infantile Strada 12 inducono inoltre a ritenere che le braccia dell'inumato fossero flesse e appoggiate sul bacino, come per gli adulti (cfr. cap. 6).

Come già accennato, dall'andamento obliquo degli strati di riempimento in pietrame, inclinati verso il centro della fossa, è possibile dedurre che i defunti fossero inumati in un contenitore di materiale deperibile, probabilmente una cassa o una più ampia camera lignea (fig. 5.3): supponendo che anche il corredo ceramico si trovasse all'interno, l'altezza minima della cassa sarebbe stimabile in circa 30-40 cm. È possibile che la pavimentazione parziale in ciottoli, riscontrata in più casi all'interno delle fosse, corrispondesse alla posizione della cassa: ciò sembra particolarmente evidente nel caso della tomba infantile Strada 8, dove solo un piccolo campo rettangolare di 1.4 x 0.8 m, sul quale giaceva il corpicino assieme al corredo, era pavimentato con ciottoli (fig. 3.22, tav. 37).

Con il disfacimento della carpenteria lignea i resti scheletrici e gli oggetti di corredo hanno subito in molti casi danneggiamenti e spostamenti anche significativi, come nel caso della tomba Strada 2, dove i resti del cranio erano sparsi in un'area di grandi dimensioni (tav. 10). Anche la tomba Strada 4 presentava evidenti tracce di alterazioni post-deposizionali (cap. 3.1.4), ed è l'unico contesto dall'area Strada in cui frammenti di bottoncini, piccoli anelli, spirali in filo di bronzo e perle d'ambra sono stati rinvenuti sparsi nell'intero riempimento fin quasi all'altezza della superficie. Anche l'olla S4/2 presentava un alto grado di frammentazione ed era sparsa per tutto il fondo della tomba (tav. 16). Questa dispersione caotica dei reperti potrebbe indicare che la sepoltura sia stata disturbata, forse in seguito a un saccheggio moderno, che non costituisce tuttavia l'unica spiegazione possibile per le particolarità di questo contesto archeologico. Non è escluso che la tomba possa essere sta-

ta danneggiata già in antico: il riempimento è risultato infatti privo di indicatori di un intervento recente.

Con l'eccezione della tomba Strada 4, i resti scheletrici e i corredi delle altre tombe sono stati rinvenuti tutti nello strato più profondo del riempimento, a quote spesso divergenti fino a 15 cm l'uno dall'altro: una differenza che non sorprende, considerate le alterazioni provocate dopo la dissoluzione dell'armatura lignea dal progressivo riempimento degli spazi vuoti a opera del sedimento e del pietrame di copertura. In alcuni casi è possibile che gli oggetti di corredo si trovassero al di fuori della carpenteria lignea, al di sopra di essa o direttamente nel riempimento: una ricostruzione del genere sembra plausibile in particolare nel caso dei vasi della tomba Strada 15 (cap. 3.1.15).

Le tombe di Macchiabate si distinguono per l'accentuata conformità al medesimo rito funerario. Le donne venivano sepolte con una parure più o meno ricca, in alcuni casi in associazione a strumenti legati a filatura e tessitura (fusaiole, pesi da telaio; cap. 4.3). La parure maschile, più discreta, è solitamente limitata ad alcune fibule in bronzo e ferro; armi e strumenti in ferro o più raramente in bronzo completano i corredi maschili. Un'analisi di dettaglio rivela comunque un'ampia variabilità nelle associazioni della parure e della restante suppellettile (cap. 4.2).

Il vasellame ceramico è soggetto a una standardizzazione particolarmente rigida, che interessa le sepolture di entrambi i generi, espressa dalla regolare associazione tra un vaso chiuso di grandi dimensioni (di solito un'olla o una brocca) e una piccola tazza spesso deposta al suo interno; entrambi i vasi appartengono di solito alla ceramica indigena lavorata a mano.

Tre tombe dell'area Strada si discostano da questa associazione standard di vasellame: le tombe Strada 4 e 11 presentavano due olle ciascuna, una delle quali conteneva una tazza (tavv. 19. 47. 48). La tomba Strada 2 si allontana ancora di più dalla norma, vista la presenza al posto della consueta olla o brocca di un vaso simile a un cratere, parzialmente lavorato al tornio e inconfondibilmente ispirato a forme greche (S2/1, tav. 13): questo vaso appartiene alla classe della cosiddetta ceramica 'enotrio-euboica', prodotta in loco a Francavilla Marittima da vasai greci e forse anche locali, e conteneva al suo interno la consueta tazza. La tomba De Leo 1 conteneva infine un cratere plasmato seguendo i modelli greci (DL1/1, tav. 79); la tazza modellata a mano si trovava in questo caso non all'interno bensì accanto al cratere (cfr. cap. 5.6).

Le tombe infantili si distinguono per l'assenza di questo set standard di due contenitori, generalmente sostituiti da un askos. Come nelle sepolture di adulti, anche nelle tombe infantili i vasi erano solitamente deposti ai piedi del defunto. Nell'area Strada l'askos ricorre nelle tombe Strada 8, 12, 18 e 19. Nella prima di esse fu deposta accanto all'askos presso i piedi dell'inumato anche una brocca trilobata in ceramica 'enotrio-euboica' (S8/1, tav. 39). Quest'ultimo vaso ha un corpo vistosamente tozzo e lenticolare, che ricorda non a caso la forma dell'askos: è pertanto ipotizzabile che ne replichi la funzione.

L'unica sepoltura priva di corredo è quella a enchytrismòs (cap. 4.4).

Oltre ai reperti conservati, è ragionevole ipotizzare che i corredi comprendessero anche manufatti in materiale organico come i tessuti, in parte indossati sotto forma di abiti e in parte deposti accanto alla salma, come indicato dalle fibule trovate accanto agli scheletri (cfr. Strada 5, cap. 3.1.5).

Composizione dei corredi e tipologia dei reperti

I contenitori di grandi dimensioni e le tazze, che formano il set ceramico standard delle tombe enotrie, ricoprono un ruolo centrale nel vasellame di corredo. Complessivamente sono state ritrovate sei olle in quattro tombe (Strada 4, 5, 11, 17), deposte in due casi in coppia e in altri due singolarmente. Sette tombe contenevano al posto dell'olla una grande brocca (Strada 6, 7, 8, 13, 14, 15, 17), sempre contenente una piccola tazza. Olle, brocche e tazze sono generalmente modellate a mano o in tecnica mista (cfr. cap. 8), con l'eccezione della brocca trilobata dalla tomba Strada 8, realizzata al tornio. Anche le 12 tazze attestate sono per lo più modellate a mano, tra di esse figurano due esemplari torniti (S4/3 e S5/2). Solo in pochi casi la conservazione della decorazione dipinta consente di ricostruire con sicurezza le sintassi ornamentali: due olle con collo distinto (forma 1, S4/1 e S11/1, tavv. 19. 47) presentano una decorazione geometrica della classe 'a tenda' in 'stile vuoto', caratteristica soprattutto della fase tardo-geometrica della Sibaritide. Un terzo esemplare (S11/2, forma 2, tav. 48) presenta una decorazione appartenente allo stile 'a bande ondulate', leggermente più antico. La presenza di un alto piede fenestrato caratterizza la particolare olla S5/1 (forma 3, tav. 26) decorata anch'essa con motivi appartenenti allo stile 'a bande ondulate' (cap. 3.2.1 »Olla«). Le brocche si possono suddividere in tre raggruppamenti formali, nessun esemplare conserva tuttavia tracce di decorazione dipinta (cap. 3.2.1 »Kanne«). Le tazze (di cui fanno parte anche gli esemplari definiti attingitoidi, bicchieri, boccali e brocchette, cfr. cap. 3.2.1 »Tasse«) si strutturano complessivamente in cinque gruppi formali. Al primo appartengono i vasi DL1/2, S15/2 e S16/1, con corpo sferoidale, collo distinto e rigonfio, orlo svasato e un'ansa a nastro che non supera in altezza l'orlo (tavv. 62. 66. 80). La seconda forma è attestata da un solo esemplare (S2/2, tav. 13) con corpo biconico e orlo a imbuto, che conserva tracce di decorazione dipinta nello stile locale tardo-geometrico 'a frange'; anche in questo caso l'ansa a nastro non è sopraelevata. Il gruppo 3 si caratterizza per il corpo lenticolare e il collo leggermente distinto e rigonfio; l'ansa verticale a nastro sormonta nettamente l'orlo (S7/2, S11/3, S8/3, tavv. 36. 39. 48). La forma 4 raggruppa le tazze a profilo continuo con corpo tra ovoide e globulare e orlo svasato; l'ansa a nastro sormonta leggermente l'orlo (S17/3, S14/2, S13/2, tavv. 55. 58. 70). Il quinto e ultimo gruppo consiste di due esemplari torniti, a profilo continuo e con breve orlo verticale; in entrambi i casi l'ansa a nastro è decisamente sopraelevata (S4/3, S5/2, tavv. 19. 26). La tazza S5/2 presenta un particolare ornato a linee ondulate sul corpo, ben

comparabile con gli esemplari della ceramica 'enotrio-euboica'. Tra i vasi tipici del repertorio della ceramica depurata enotria, le scodelle con ansa a maniglia sono assenti dalle tombe Strada e De Leo. Una scodella dalla tomba Strada 14 possiede una peculiare ansa verticale (S14/3, tav. 58). Alla forma canonica con maniglia a sezione circolare impostata sull'orlo appartiene invece la scodella in ceramica d'impasto S8/4 (tav. 39).

Tra i quattro o cinque askoi in ceramica enotria provenienti dalle tombe infantili di nuova indagine (esemplare dubbio: DL2/1), tre esemplari conservano tracce di decorazione dipinta, 'a bande ondulate' (S8/3, tav. 39) e 'a frange' (S12/1, tav. 53), mentre sul terzo esemplare sopravvivono solo tracce di bande sull'ansa (S18/1, tav. 75) (cap. 3.2.1 »Askos«).

Tra le forme della classe 'enotrio-euboica', rimane in sospeso la provenienza dello Skyphos S16/2, che si avvicina formalmente al gruppo corinzio di Thapsos (cap. 3.2.1 »Skyphos«, tav. 66). La pessima conservazione della decorazione non consente un'attribuzione più precisa: se fosse decorato nella parte inferiore del corpo con linee orizzontali, com'è ipotizzabile, si avvicinerebbe alla versione più antica, tardo-geometrica, degli skyphoi di Thapsos con pannello e decorazione lineare sulla metà inferiore del vaso. Se fosse completamente verniciato nella parte inferiore, potrebbe essere accostato al gruppo più recente, ben conosciuto nel Protocorinzio antico e molto diffuso in ambito coloniale anche a *Sybaris*, dov'è collegato alla fondazione della colonia intorno al 720/710 a.C. Una chiara attribuzione del nostro skyphos all'uno o all'altro gruppo non è purtroppo possibile. Sembra tuttavia importante sottolineare come il vaso si orienti alle forme corinzie, cosa piuttosto rara nel repertorio sibarita, influenzato soprattutto dal repertorio euboico-cicladico: simili imitazioni di skyphoi di Thapsos sono molto diffuse nell'area del Golfo di Napoli, e non è da escludere che anche il nostro vaso sia stato importato da quella zona.

Un secondo skyphos è stato rinvenuto nella tomba De Leo 1 (DL1/3, tav. 80) assieme al cratere DL1/1: l'esemplare è assai mal conservato e può solo genericamente essere attribuito alla classe 'enotrio-euboica'. In miglior stato di conservazione è il cratere DL1/1 (tav. 79), tornito e decorato con cerchi concentrici sulla parte inferiore del corpo e sul coperchio, secondo una sintassi ornamentale tipica di questa forma. Il corpo sferoidale e la breve spalla nettamente rientrante sono ispirati a modelli attici ed euboici databili a cavallo tra la fine del Geometrico medio II e l'inizio del Geometrico recente I, corrispondente in cronologia tradizionale alla metà dell'VIII sec. a.C. Allo stesso orizzonte rinvia anche la decorazione geometrica del vaso (cap. 3.2.1 »Krater«).

Anche il vaso crateroide S2/1 mostra forti legami con il repertorio formale greco (cap. 3.2.1 »Kraterartiges Gefäss«, tav. 13): il piede è tornito, mentre il corpo sembra essere stato modellato a mano e poi rifinito al tornio, in particolare sull'orlo. L'alto piede e il breve orlo verticale sono senz'altro ispirati alla forma del cratere greco, ma la tozza forma biconica del corpo del vaso rivela reminiscenze di olle indigene: il vaso è dunque una creazione 'ibrida', che mescola tratti indigeni e allogeni.

Gli oggetti di parure formano il secondo grande insieme di reperti provenienti dalle tombe enotrie di Macchiabate. Il repertorio formale e tipologico delle tombe delle aree Strada e De Leo combacia con quello degli scavi degli anni 1960. Tra le fibule in bronzo e ferro le serpeggianti dominano il campo e costituiscono un indicatore cronologico importante per la datazione delle tombe nelle fasi IFe2A2-2B. Altri tipi di fibule, come quelle a quattro spirali, con arco scudato o con applicazioni in osso sono più rare; la fibula ad arco ingrossato S6/2 (tav. 33) costituisce un *unicum* (cap. 3.2.5. e cap. 3.2.8).

Tra le peculiarità del costume femminile di Francavilla Marittima spiccano alcuni grandi dischi troncoconici in lamina di bronzo dal margine superiore ribattuto intorno a un ampio foro centrale, conosciuti come 'dischi compositi' e regolarmente deposti nelle tombe di donne adulte all'altezza del ventre e pertanto generalmente considerati come elementi di cintura, nonostante siano privi di asole o altri elementi di fissaggio. P Zancani Montuoro associò a questi dischi i cosiddetti 'cupolini', piastre convesse in bronzo con un occhiello sulla faccia interna rinvenute sovente nei medesimi corredi femminili di Macchiabate, sebbene mai in associazione diretta con i grandi dischi. Il diametro dei cupolini, spesso complementare a quello dell'apertura sommitale del disco, la indusse a interpretare questi due elementi come parti di un medesimo ornamento di cintura: un 'disco composito', composto dalla somma di un grande elemento anulare e di un cupolino (cap. 3.2.6 »Disco composito«). Delle sei tombe femminili dall'area Strada, due contenevano il disco in lamina, privo però di cupolini (Strada 6 e 14, tavv. 33, 59).

Alla parure delle donne appartengono inoltre le goliere (S6/5 e 6, tavv. 33, 34), i pendagli a ruota (S11/6, tav. 49), le spirali in bronzo/fermatrecce (S6/7 e 8, S11/14, S14/15 e 16, p.es. tav. 59) e anche una piastra decorativa in ferro (S13/12, tav. 55). Pendenti e perle in bronzo e più raramente in ferro erano inoltre molto frequenti nelle deposizioni femminili, ma anche di subadulti: spiccano per frequenza i pendagli a doppia spirale (S4/16-19, S8/9, S18/3, DL2/3, p.es. tav. 21), quelli di anelli (24 esemplari), i pendenti a goccia (S8/8, DL2/2, p.es. tav. 40), le perle cilindriche di bronzo e ferro (S13/7 e 8, S13/10 e 11, p.es. tav. 55) e numerose altre in filo di bronzo avvolto a spirale (cap. 3.2.6 e cap. 3.2.9).

Alla parure femminile e più raramente anche a quella dei bambini appartengono numerose catenelle in bronzo e anelli digitali a spirale in bronzo e ferro (S3/3 e 4, S4/33-41, S19/4-8, S4/65, S19/13, p.es. tavv. 14, 21). Fanno parte di copricapi infine diverse borchie e lamine (S2/24-27, S11/16-19, S11/46, p.es. tav. 13), oltre alle centinaia di bottoncini in bronzo documentati *in situ* in connessione con il capo della defunta nelle tombe femminili di nuovo scavo dell'area Strada (in particolare Strada 2, 4 e 11).

Un ritrovamento più raro e particolare è rappresentato dal pendaglio a coppia antropomorfa S8/7 (tav. 40), alto appena 3,1 cm: come i 'dischi compositi', anche questo pendaglio appartiene a una classe di reperti particolarmente legata a Francavilla Marittima. Degli oltre 50 esemplari conosciuti, 11

provengono da Francavilla Marittima e per la maggior parte da tombe di Macchiabate, una circostanza che ha suggerito a molti studiosi d'individuare proprio in Francavilla Marittima uno dei centri produttori di tali pendagli (cfr. tabella 2.4). L'esemplare dalla tomba Strada 8 conferma questa supposizione, poiché sembrerebbe derivare dalla stessa matrice della coppia di pendagli della vicina tomba Strada 1. Si tratta dell'unico esemplare proveniente da una tomba infantile: è probabile che questo amuleto rivestisse un valore apotropaico nei confronti del bambino defunto (cap. 2 e cap. 3.2.6 »Kleinformatiger Anhänger«).

Un analogo potere apotropaico è ipotizzabile anche per l'ambra, frequentissima nelle tombe di Francavilla Marittima: nella maggior parte dei casi si tratta di piccole perle e di pendagli a goccia, applicati agli abiti o sospesi a collane (cap. 3.2.12, p.es. tav. 50). Nella tomba Strada 6 le perle d'ambra (S6/12) sono state rinvenute vicino al cranio, in prossimità di una spirale in bronzo, e furono pertanto probabilmente impiegate come orecchini. Gli ornamenti in ambra si concentrano nelle tombe femminili e di bambini, mentre appaiono solo sporadicamente tra i maschi, come nel caso delle tombe Strada 16 e De Leo 1.

Accanto all'ambra compaiono sporadicamente anche perle di vetro: si tratta di un materiale ancora molto raro nella Calabria dell'VIII sec. a.C., probabilmente in gran parte importato. Perle in vetro ricorrono in quattro corredi di nuovo scavo delle aree Strada e De Leo. Si tratta per lo più di perle in vetro opaco colorato: due vaghi ad anello in vetro marrone e turchese giallognolo provengono dalla tomba Strada 2 (S2/40.41, tav. 14); le sepolture Strada 4 e 11 contenevano ciascuna una perla bianca opaca (S4/70, S11/42). Tre piccoli esemplari in vetro blu dalla tomba Strada 14 appartengono alla classe delle perle a occhio (S14/18-20, tav. 59). Resti dell'intarsio in pasta vitrea bianca si sono conservati in un unico esemplare. La perla S6/13 spicca per il colore verdazzurro translucido (cap. 3.2.13, tav. 34).

Tra il vasellame di lamina metallica, eccezionale è il rinvenimento nella tomba Strada 4 di una coppa di argento dorato (S4/63, tav. 22), purtroppo documentata solo da piccoli frammenti, che richiama la celebre coppa 'fenicia' della tomba Strada 1. La provenienza dall'Oriente di questa nuova piccola coppa dorata, grande appena la metà di quella rinvenuta da P. Zancani Montuoro, non può essere stabilita con certezza.

Sebbene essa riveli una certa parentela formale con le coppe d'argento e d'argento dorato 'fenicie', mancano confronti puntuali sia per la decorazione, con un fregio di scanalature disposte sul fondo, sia per la forma caratterizzata dal fondo piano e dalla parete della vasca verosimilmente distinta dal fondo tramite carenatura.

La rarità degli oggetti in argento nel mondo enotrio come anche le tracce di doratura costituiscono un indizio a favore dell'importazione. La sigla d'isotopi sembra indicare una provenienza del metallo dal Nord della Spagna, tuttavia i valori sono caratterizzati da grande incertezza (cap. 3.2.11; cap. 7.1).

Oltre alla coppa d'argento sono da menzionare altre tre coppe di lamina bronzea appartenenti alla foggia a calotta, già documentata dagli scavi Zancani Montuoro (cap. 3.2.4 »Schale«). Anche in questo caso è opportuno domandarsi se le coppe siano state importate o prodotte localmente: alcuni aspetti formali e tecnologici (forma dell'orlo; presenza dell'omphalos) indicano che almeno la coppa DL1/5 e probabilmente anche la coppa ansata S4/15 sono state importate a Francavilla Marittima dall'Oriente. La coppa S17/4 (tav. 70), apparentemente priva di omphalos, può essere rapportata al repertorio cipriota per via dell'orlo ingrossato.

Altrettanto incerta è la provenienza del calderone in bronzo dalla tomba De Leo 1 (cap. 3.2.4 »Kessel«, tav. 81). Mentre P. Zancani Montuoro considerava come un'importazione dal Mediterraneo orientale il calderone dalla tomba Temparella 87, tipologicamente identico ma di maggiori dimensioni, i calderoni con pareti verticali e orlo rientrante sono oggi generalmente ritenuti prodotti di manifattura italiana, pur nell'impossibilità di stabilire un'eventuale compresenza di artigiani indigeni e greci nelle officine di fabbricazione. Si delinea in modo sempre più chiaro che le aree di diffusione del *know-how* tecnologico necessario per la lavorazione di tali contenitori sono in chiaro rapporto con i diversi distretti di contatto tra mondo indigeno e greco in Italia meridionale: uno di essi era il golfo di Napoli, con i famosi calderoni da San Marzano sul Sarno, Cuma e Pontecagnano; l'altro era l'Alto Ionio, che con i tre esemplari da Macchiabate (uno dei quali di provenienza sporadica) e altri rinvenimenti sino a Santa Maria d'Anglona (Tursi) si configura come uno dei distretti di veicolazione tecnologica.

Oltre che attraverso le rotte marittime, l'esistenza di contatti intensivi via terra tra Sibaritide e golfo di Napoli è dimostrata dalla lancia con punta e puntale in bronzo della tomba Strada 5 (S5/10, tav. 27): decorata con sottili linee incise a zigzag e con cerchielli, la punta di lancia va assegnata al tipo Cassino di Anna Maria Bietti Sestieri, la cui diffusione va dalla Campania attraverso le valli appenniniche della Campania interna fino al Mar Ionio. La raffinata manifattura ne suggerisce l'impiego come insegna distintiva di rango piuttosto che come arma funzionale per il combattimento (cap. 3.2.7). I proprietari di questo tipo di oggetti appartenevano a una élite guerriera a stretto contatto reciproco sui due versanti dell'Appennino, come ben riflesso in ultima analisi anche nella comune consuetudine di includere calderoni bronzei nei propri prestigiosi corredi. L'individuo deposto nella tomba Strada 5 era armato anche con altre due lance in ferro (S5/24 e S5/25, tav. 30). Nonostante il pessimo stato di conservazione non ne consenta un inquadramento tipologico preciso, esse esplicitano in maniera esemplare il significato della lancia come simbolo della capacità guerriera dell'uomo aristocratico nella società enotria. Le lance in ferro sono frequenti nelle tombe di Macchiabate: un esemplare estremamente ben conservato, con elemento di rinforzo in bronzo alla base, proviene dalla tomba Strada 17 (S17/17, tav. 73), un altro dalla tomba Strada 16 (S16/10) (cap. 3.2.10). Da segnalare è invece la rarità di daghe e spade,

generalmente ritenuti attributi del segmento maschile apicale delle società dell'età del ferro. Nell'area Strada solo il maschio adulto della tomba Strada 17 era seppellito con una spada a codolo lunga circa 60 cm (S17/15, tav. 72). È incerto se anche le asce a occhio siano da considerare armi: si tratta infatti di oggetti polifunzionali, impiegabili tanto nell'ambito del combattimento quanto nella sfera dell'artigianato e del sacrificio. Questa classe di manufatti, che costituisce un altro dei segni distintivi degli uomini più importanti, è documentata nelle aree Strada e De Leo da due esemplari (S17/18, DL1/12, tavv. 73, 82). L'ascia piatta a codolo S17/19 (tav. 73) può invece essere messa in relazione con la lavorazione del legno e rappresenta l'unico utensile rinvenuto nelle tombe pubblicate in questa sede; la presenza di altri strumenti da lavoro tra i vari oggetti di ferro, in pessimo stato, rinvenuti nelle tombe Strada 5 e 16 non può comunque essere esclusa (cap. 3.2.10 »Äxte und Beile aus Eisen«).

I coltelli sono frequenti nelle aree Strada e De Leo, come più in generale nell'intera necropoli di Macchiabate. Lame in ferro di varie dimensioni ricorrono nelle tombe maschili Strada 5 (S5/26 e S5/27), 15 (S15/4), 16 (S16/9, tav. 67), 17 (S17/20) e De Leo 1 (DL1/13), e anche nella tomba infantile Strada 8 (S8/34). In altre aree della necropoli i coltelli sono attestati anche in tombe femminili (per es. Temparella 8). La distribuzione di questa classe di oggetti interessa sepolture divergenti per genere, età e grado di complessità del corredo, una varietà indicativa della multifunzionalità del coltello sia nella vita quotidiana maschile (caccia, agricoltura, artigianato, sacrificio) che nella sfera femminile (lavorazione tessile, attività domestiche). Il coltello della tomba infantile Strada 8, ritrovato immediatamente accanto alla scodella d'impasto S8/4, potrebbe essere stato impiegato anche per il taglio di cibi: si tratta di un oggetto ancora funzionale, nonostante le dimensioni vistosamente ridotte della lama (cap. 3.2.10 »Eisenmesser und Klinge«).

Va infine menzionato lo strumentario in ceramica per la produzione di filati e la lavorazione di tessuti. Dalle due tombe femminili Strada 2 e Strada 4 provengono complessivamente quattro fusaiole (tavv. 14, 20), tre biconiche pentagonali (S2/6 e S4/7) o esagonali (S4/6) e una sferoidale con decorazione incisa (S4/8). Pesi da telaio provengono esclusivamente dalla tomba Strada 4 (tav. 20), nella quale era sepolta una ragazza di 12 anni: si tratta di almeno quattro esemplari in parte fortemente frammentari, due dei quali a goccia (S4/10 e 11), e uno con particolare ornato a labirinto (S4/9). Le fusaiole e soprattutto il peso da telaio con labirinto trovano riscontri tra i ritrovamenti dell'edificio Vb sul Timpone Motta (cap. 3.2.3).

Costume funerario

Soltanto in pochi casi, lo stato di conservazione delle ossa ha permesso di stabilire con certezza il genere antropologico delle sepolture. La composizione dei corredi fornisce tuttavia indizi utili a stabilire il genere dei defunti. Le 21 sepolture qui illustrate si suddividono in 8 tombe infantili di genere indefinito (7 dall'area Strada incluso l'enchytrismòs Strada 10 e

una dall'area De Leo) e in 12 tombe di adulti (11 dall'area Strada inclusa la tomba Strada 1 e una dall'area De Leo). A queste si aggiunge l'infans II della tomba Strada 4 (circa 12 anni) che si colloca a cavallo tra l'età subadulta e l'età sociale adulta, vista la composizione del corredo confrontabile a tutti gli effetti con quella delle donne adulte. Le tombe di adulti si suddividono in sei sepolture tendenzialmente femminili e sei tendenzialmente maschili (cap. 4.1). Nonostante il campione di 21 sepolture sia troppo piccolo per essere considerato rappresentativo dell'intera necropoli, il nostro gruppo di sepolture aiuta comunque a far luce sulla composizione della popolazione funeraria di Macchiabate: mentre infatti nelle tombe degli scavi Zancani Montuoro si osserva uno squilibrio a favore delle sepolture femminili, il campione qui pubblicato rivela un rapporto equilibrato tra i due generi, certo anche grazie alle analisi antropologiche, che hanno consentito di determinare alcune tombe prive di armi e strumenti come maschili (Strada 7 e 15). La percentuale di subadulti, pari al 40% circa del totale, riflette la mortalità infantile attesa nelle società preistoriche.

Come illustrato in precedenza, nelle tombe di Francavilla Marittima donne e uomini si distinguono nettamente in particolare nella parure: ricche le prime, limitate ad alcune fibule e a qualche pendaglio in bronzo le altre. Le armi e gli attrezzi in ferro (o più raramente bronzo) sono tipici delle sepolture maschili, come anche in altre regioni d'Italia. È opinione comune che la spada o daga distingua individui di rango sociale superiore rispetto a quelli armati di lancia: poiché i portatori di lancia nelle necropoli dell'età del ferro sono più frequenti dei portatori di spada, questi ultimi sono considerati capi di rango maggiore, e gli altri come i loro 'guerrieri' subordinati. Le evidenze dalla Macchiabate non sembrano confermare questa distinzione. Le tombe di portatori di spada o daga finora conosciute sono poche, tuttavia anche quelle di portatori di lancia non sono numerose. Al portatore di daga della tomba Temparella 87 si aggiungono l'armato di spada della tomba Strada 17 e i due portatori di spada di recentissima scoperta dell'area Est (Est 1 e 6). Tuttavia, mentre il numero degli armati di spada è aumentato negli ultimi anni, quello dei portatori di lancia rimane basso: solo tre dei sei presunti uomini nelle aree Strada e De Leo erano muniti di una (o più) lance (Strada 5, 16(?) e 17). Le armi rivelano dunque un quadro complessivamente eterogeneo: la stratificazione sociale degli uomini non sembra veicolata solamente attraverso di esse, ma anche mediante altri fattori come l'artigianato, la proprietà terriera, il controllo sulle materie prime e i valori di ospitalità espressi attraverso oggetti di corredo come utensili, importazioni e ampi set di vasellame. La comunità funeraria di Francavilla Marittima sembra quindi forse distinguersi da altri gruppi dell'età del ferro nel Sud Italia (cap. 4.2).

Le donne della società enotria sono definite nel loro ruolo sociale prevalentemente attraverso il loro costume. A Macchiabate ne sono note ampie variazioni, da tombe relativamente umili con poche fibule come unico ornamento a sepolture di donne quasi seppellite dai propri monili, come nella Temparel-

la 60, in cui ai numerosi ornamenti si somma anche un abito ricoperto di oltre mille bottoncini di bronzo. Le tombe femminili nelle aree Strada e De Leo non raggiungono un simile lusso, sebbene anche le donne deposte nelle tombe Strada 2, 4 e 11 indossassero veli alquanto eccezionali, ricamati con centinaia di bottoncini in bronzo e anche con un grande numero di piccolissime perle d'ambra (Strada 11). Le minuscole dimensioni di bottoncini e perle d'ambra suggerisce che le stoffe su cui questi monili erano ricamati fossero di qualità eccezionale: un indicatore indiretto dell'importanza dei prodotti tessili nel veicolare lo status femminile nella rappresentazione funeraria. Fusaiole e pesi da telaio, attestati nelle tombe Strada 2 e Strada 4, indicano il ruolo delle donne nella manifattura tessile e più in generale nelle attività domestiche (cap. 4.3)

Corredi 'ricchi' e 'poveri' coesistono nelle sepolture di entrambi i generi. Anche le tombe infantili si prestano a simili osservazioni: tombe con ricco corredo come la Strada 8 si distinguono di gran lunga da altre più semplici (per esempio Strada 3) (cap. 4.4). In passato non sono mancati tentativi di trarre delle conclusioni riguardo all'organizzazione sociale sulla base delle combinazioni di corredo.

Nella supposizione che le varie aree funerarie rappresentino dei gruppi di parentela, le sepolture in stretta prossimità sono state spesso interpretate come famiglie nucleari composte da genitori e figli. Questo modello, problematico nella sua ipotesi di base influenzata dalle società moderne che implica l'esistenza di famiglie nucleari anche in epoca antica non sembra trovare conferma nelle aree Strada e De Leo (cfr. cap. 5.4.2). Sia la collocazione delle tombe, sia la loro suddivisione in base al genere e all'età non sembrano riflettere legami di tipo strettamente familiare (madre, padre, figli). Le tombe sono piuttosto disposte a una certa distanza le une dalle altre, contigue sia a deposizioni del medesimo genere che a quelle di genere opposto (tav. 4). Alcune sepolture sono collocate a diretto contatto tra loro, si tratta della Strada 13, 14, e 15 e delle due tombe a fossa Strada 6 e 7 (figg. 3.14; 3.40). Si distinguono inoltre alcune tombe infantili (Strada 18 e De Leo 2) situate immediatamente accanto a tombe di adulti, verosimilmente poiché posti in maniera intenzionale sotto la loro 'protezione'. Il posizionamento delle tombe non fornisce però indicazioni riguardo al rapporto sociale e biologico tra i bambini e gli adulti in questione, in entrambi i casi uomini (cap. 5.2; cap. 5.4). I rituali che avevano luogo all'atto del seppellimento ci sono pressoché sconosciuti: diversi indizi rivelano comunque come non fosse la deposizione del defunto a concludere i riti di sepoltura. Alcuni oggetti furono depositi nel riempimento di pietrame nelle fasi di obliterazione della sepoltura. Una perla d'ambra è stata rinvenuta isolata nel riempimento circa 40 cm al di sopra del piano di deposizione della tomba Strada 2 (S2/35). Una perla d'ambra e una fibula in bronzo provenienti dal riempimento della tomba Est 6 confermano lo svolgimento di tali pratiche.

Anche la presenza di vasi frammentati in ceramica d'impasto, rinvenuti nei riempimenti di diverse tombe, potrebbe spiegarsi con le attività svolte durante la cerimonia di sepol-

tura: nella tomba Strada 15 è stato rinvenuto un ammasso di frammenti ricomponibili pertinenti a tre vasi in ceramica d'impasto, una scodella e due contenitori per derrate o da cucina (S15/8–10), frammentati negli strati di riempimento al di sopra del piano di deposizione della sepoltura. Gli spigoli vivi distinguono questi frammenti da altri rinvenuti nello stesso riempimento: è probabile che siano stati usati per rituali durante la deposizione o forse all'atto di chiusura della tomba. L'alto numero di frammenti di ceramica d'impasto a margini fortemente erosi rinvenuti tra le pietre di copertura suggerisce che nelle vicinanze delle tombe fossero presenti contenitori in ceramica grezza non più in uso, impiegati come materiale di riempimento delle strutture tombali (cfr. cap. 3.1.15).

Peso e forma dei cocci dimostrano che solo raramente questi ultimi appartenevano a grandi pithoi, come quelli utilizzati per le sepolture a enchytrismòs, mentre più frequenti sono i piccoli pithoi e le olle da cucina come anche la coppa ansata in impasto S15/8, menzionata precedentemente. Un piccolo pithos conservatosi quasi per intero e ritrovato tra le tombe Est 9 e 10 potrebbe dare un'idea della presenza di questo 'vasellame rituale' nel tessuto della necropoli.

Contestualizzazione delle tombe delle aree Strada e De Leo

La necropoli di Macchiabate presso Francavilla Marittima è una delle principali aree sepolcrali dell'età del ferro dell'Italia meridionale. La sua posizione su una terrazza al di sotto dell'insediamento ma ca. 100–150 m al di sopra della piana alluvionale della Sibaritide fu scelta accuratamente, affinché le tombe fossero ben visibili sia dalla pianura che dall'abitato (tavv. 1, 2; 2). Nonostante le nostre conoscenze sulle antiche vie di accesso al Timpone Motta siano limitate, possiamo supporre che la necropoli fosse ubicata in una posizione tale da renderne obbligatorio il transito per poter accedere all'abitato.

Per quanto concerne la struttura del sepolcreto, non sappiamo dove si trovino le sepolture più antiche, né se sia leggibile una chiara stratigrafia orizzontale nella progressiva occupazione del terrazzamento su cui è impostata la necropoli. Le condizioni topografiche, la vegetazione e l'estensione molto ampia della necropoli hanno spinto P. Zancani Montuoro a concentrare i suoi scavi in sei diverse zone (Temparella, Cerchio Reale, Vigneto, Uliveto, Lettere e Cima), poste anche a grandi distanze le une dalle altre. La letteratura scientifica recente ha proposto sulla base dei risultati di questi scavi un modello di comunità strutturata in gruppi che seppelliscono i propri defunti nelle rispettive aree di pertinenza, secondo un'articolazione per grandi gruppi familiari o clan. Il tumulo apparentemente circolare della Temparella, elevato in altezza grazie all'impostazione di tombe più recenti al di sopra di quelle dell'età del ferro, e il Cerchio Reale, di forma simile, restituiscono un'immagine della necropoli dalla quale anche le indagini del progetto dell'Università di Basilea sono state condizionate per lungo tempo. Quest'immagine è però ingannevole, dato

che nella maggior parte dei casi i confini tra le aree non sono chiari e le zone situate tra le aree funerarie sono inesplorate. L'area Strada, sebbene non se ne conosca l'estensione completa, con la sua forma allungata, allineata al profilo geomorfologico del pendio, si allontana tuttavia nettamente da questo schema: non sembra dunque immotivato supporre che anche gli altri nuclei funerari siano di forma meno regolare rispetto a quanto finora presunto, e che al posto di tumuli circolari siano da ipotizzare aggregati di tombe di forma più irregolare, condizionati in modo determinante dall'andamento del terreno e dalle scelte dei gruppi sociali che vi seppelliscono. Allo stesso tempo viene da domandarsi quanto questo modello di aree funerarie ben distinte spazialmente corrisponda effettivamente alla realtà antica, o se non sia invece influenzato dalla delimitazione moderna dei settori di indagine. Le aree Temparella e Cerchio Reale ad esempio sono limitrofe, un fatto che durante l'età del ferro, quando la collinetta della Temparella non si era ancora formata, doveva restituire un'immagine alquanto diversa della necropoli rispetto a quella attuale. Con questo non si vuole ipotizzare che l'intera contrada Macchiabate fosse ricoperta di tombe: proprio al limite nord dell'area Strada si delinea nelle immagini georadar una zona priva di sepolture; è comunque ipotizzabile un'organizzazione spaziale della necropoli più libera rispetto a quanto prospettato sinora. La viabilità interna alla necropoli e l'eventuale esistenza di aree specificamente dedicate ai culti sepolcrali ci sono del tutto ignote (cap. 5.4).

Nella letteratura scientifica meno recente la tomba Strada 1 è generalmente considerata come una delle sepolture più antiche della necropoli, e datata ancora nel IX o all'inizio dell'VIII sec. a.C. a seconda dello schema cronologico di riferimento. La cronologia relativa e assoluta delle tombe dell'area Strada è stata per questo sin dall'inizio un tema di primo piano per il progetto dell'Università di Basilea. Le tombe di nuova indagine definiscono un gruppo nel complesso cronologicamente omogeneo, inquadrabile nel IFe2A2-2B, cui appartiene anche la tomba Strada 1 (cap. 5.3). Sulla base della tipologia di monili e ceramica è possibile distinguere in questo insieme tre gruppi di tombe cronologicamente distinti: uno più antico, uno medio e uno recente.

Al gruppo più antico appartengono le tombe Strada 1 e 5 – entrambe con vasi decorati in stile 'a bande ondulate' e con fibule serpeggianti a gomito – come anche probabilmente le tombe Strada 6, 7 e 15. Anche la tomba De Leo 1 risale a quest'orizzonte, come indicato dalla fibula serpeggiante in bronzo del tipo Lo Schiavo 341, caratteristico di Torre Mordillo, e dalla forma piuttosto antica della tazza DL1/2. A un orizzonte medio appartengono le tombe Strada 2, 4, 8, 11 e 12, che contengono vasi con ornati 'a frange' o 'a tenda' dello 'stile vuoto'; all'incirca contemporanee a queste sono le tombe Strada 14 e 13. All'ultimo orizzonte di occupazione dell'area Strada appartengono le tombe 16 e 17, come forse anche la tomba infantile a loro prossima (Strada 18).

La datazione assoluta delle tombe può essere stabilita sulla base delle importazioni e delle forme allogene, come il cratere

dalla tomba De Leo 1 (DL1/1, tav. 79), da datare attorno alla metà dell'VIII sec. a.C., e lo skyphos S16/2 (tav. 66), imitazione di uno skyphos di Thapso e inquadrabile negli ultimi decenni dell'VIII sec. a.C.: questi vasi delimitano all'incirca il margine cronologico superiore e inferiore delle tombe indagate in questa sede.

Nonostante sia difficile sulla base di questi dati evincere una puntuale sequenza di occupazione, gli indizi disponibili suggeriscono una approssimativa tripartizione dell'area Strada: le tombe più antiche si raggruppano a sud, un gruppo mediano nel settore centrale, le tombe più recenti al limite nord dell'area indagata. Senza sopravvalutare la precisione nella cronologia delle singole deposizioni, sembra delinearci tuttavia una tendenza alla progressiva occupazione da sud a nord (cfr. tav. 4).

Come già accennato, nel dibattito scientifico si parte generalmente dal presupposto che la topografia funeraria rispecchi la struttura sociale della comunità dei vivi. Si favoriscono soprattutto modelli basati sull'esistenza di grandi nuclei familiari o clan, ciascuno ospitato in un settore diverso della necropoli. Le numerose tombe infantili, tra cui alcune distinte per il prestigioso status (Strada 8, Temparella 69), indicano l'importanza dei legami familiari di discendenza. Inoltre l'agglutinamento di alcune sepolture (Strada 13, 14, 15) e soprattutto le sovrapposizioni documentate nelle aree Temparella e Uliveto sottolineano la grande importanza data alla coesione biologica e/o sociale nella costruzione dei gruppi funerari.

La pertinenza del defunto ad una comunità funeraria non dipende però soltanto da discendenza e consanguineità. Nelle varie aree della necropoli si riscontrano differenze anche sensibili nella composizione dei corredi: accanto a tombe ricche d'importazioni e altri oggetti di prestigio ve ne sono altre con parure più ridotte, e alcune anche notevolmente povere di oggetti di parure e vasellame. Nonostante la problematica insita nell'interpretazione degli oggetti di corredo come indicatori di posizione sociale, molti dati concorrono nell'indicare come i defunti di Macchiabate godessero di status sociali distinti: oltre ai corredi, anche l'architettura funeraria, le dimensioni delle tombe e il volume e peso del pietrame utilizzato per il riempimento possono rappresentare variabili utili in tal senso. La supposizione che le zone funerarie fossero usate da gruppi sociali articolati al loro interno in classi sembra dunque plausibile: si tratta verosimilmente di gruppi familiari strutturati in modo gentilizio e comprendenti anche membri di rango sociale inferiore, sottoposti non necessariamente legati ai primi da vincoli di consanguineità (cap. 5.4).

È difficile stabilire se Macchiabate abbia accolto l'intera comunità residente sul Timpone Motta o se la necropoli fosse invece riservata a un gruppo eletto, come le famiglie aristocratiche. Le percentuali 'demografiche' di uomini, donne e bambini e la rappresentazione funeraria di diverse classi sociali potrebbero parlare a favore di un impiego della necropoli come ultima dimora per l'intera comunità di Francavilla Marittima. Anche le dimensioni dell'area funeraria potrebbero costituire un indicatore in tal senso, benché l'estensione e la densità della

necropoli durante l'età del ferro non siano facilmente stimabili. Presupponendo che le diverse aree fossero pertinenti a singoli gruppi familiari strutturati gerarchicamente, con un esiguo numero di 'capi' al potere, una gran parte della comunità di Francavilla Marittima avrebbe trovato spazio per il riposo eterno a Macchiabate. Le classi sociali inferiori (individui subalterni o anche di condizione non libera) sembrano tuttavia rispecchiarsi solo in minima parte nel numero di tombe conservate e furono forse sepolte in un luogo finora non indagato o in forme archeologicamente non visibili.

Per via del loro contesto di appartenenza, le tombe di Macchiabate rivestono un ruolo centrale nella dibattuta problematica dei rapporti tra le comunità indigene dell'Italia meridionale e i Greci e Levantini immigrati nelle stesse zone (cap. 5.5). La prossimità della necropoli e dell'insediamento di Timpone Motta alla colonia greca di *Sybaris*, fondata nel 720/710 a.C., come anche il ruolo che il sito di Francavilla Marittima ricopre come snodo centrale nella rete culturale mediterranea già ben prima dell'arrivo dei coloni greci e del consolidamento dell'insediamento greco come metropoli di importanza regionale, sono elementi determinanti in questo dibattito. Le nuove tombe indagate confermano l'impressione, già evinta sulla base dei vecchi scavi, di un ampio ventaglio di reazioni delle élites indigene al contatto con gli elementi allogegni. Mentre il costume femminile continua ad accentuare soprattutto l'identità indigena, diversi oggetti rivelano forme di ibridazione con impulsi provenienti dall'esterno: nel vaso crateroide S2/1 elementi formali e tecnici della ceramica greca tornita si associano a caratteristiche tipiche della ceramica indigena lavorata a mano (tav. 13). Un piccolo gruppo di figure sociali fece un passo in più e si aprì verso gli impulsi esterni al punto da aderire a una sorta di nuova *koiné* culturale mediterranea: l'individuo sepolto con bacino e coppa in bronzo, cratere e skyphos nella tomba De Leo 1 ne è una chiara dimostrazione (fig. 5.10). I nuovi ritrovamenti di Francavilla Marittima illustrano in modo esemplare la multiformità e ampiezza dei processi d'interazione culturale dell'VIII sec. a.C., in cui agirono come protagonisti non solo Enotri e Greci, ma anche personaggi provenienti da altri *background* culturali, come nel caso della tomba Strada 5 e della sua cuspide di lancia di tipo campano (tav. 27).

Nei decenni finali dell'VIII sec. a.C., con la deposizione delle tombe Strada 16 e 17 al margine nord dell'area indagata, l'occupazione di questo settore della necropoli subisce un arresto. Questo dato conferma l'ipotesi che la frequentazione della necropoli subisca cambiamenti radicali intorno al passaggio tra VIII e VII sec. a.C.: oltre all'area Strada, anche i settori di Cerchio Reale e Vigneto sono abbandonati nel medesimo orizzonte (cfr. tav. 2). In altre aree l'occupazione si estende sino al principio del VII sec., ma il numero delle tombe diminuisce drasticamente. Tale contrazione delle attività funerarie è da collegare ai cambiamenti socio-culturali della compagine indigena che accompagnarono l'arrivo dei Greci a *Sybaris* intorno al 720/10 a.C.

Non è possibile discutere in dettaglio in questa sede quali siano state le cause di questo abbandono selettivo di alcune aree della necropoli alla fine dell'VIII sec. a.C.; complessivamente i risultati delle indagini nell'area Strada rafforzano comunque l'impressione di una cesura nella compagine socio-culturale indigena al passaggio tra VIII e VII sec. a.C. La violenza, che secondo l'opinione di alcuni studiosi ha accompagnato l'espansione dei Greci, potrebbe essere una delle cause di tale discontinuità, l'effetto di richiamo esercitato della colonia un'altra. In ogni caso la contrazione nell'uso della necropoli non dimostra il totale abbandono dell'abitato sul Timpone Motta: la svolta culturale correlata all'insediamento permanente dei Greci in Sibaritide potrebbe piuttosto aver reso obsolete le tradizionali forme indigene di sfoggio del potere sotto forma di grandi installazioni sepolcrali, proprio a causa della perdita del predominio culturale e territoriale sulla Sibaritide. In questo contesto, non è quindi forse un caso che proprio all'inizio del VII sec. a.C. fioriscano le attività edilizie e votive nel santuario di Timpone Motta.

Martin A. Guggisberg, Camilla Colombi;
traduzione Ilaria Gullo, Francesco Quondam

Literaturverzeichnis

- Abbate 2014
S. Abbate, L'armamento del guerriero in Calabria durante la prima età del ferro, nel Quadro dell'Italia meridionale, in: Cerzoso – Vanzetti 2014, 77–84
- Abbate Edlmann u. a. 1994
M. L. Abbate Edlmann – L. de Luca – S. Lazzeri, Atlante anatomico degli alberi ed arbusti della macchia mediterranea (Florenz 1994)
- Adamesteanu u. a. 1971
D. Adamesteanu – E. Lissi Caronna – R. R. Holloway – J.-P. Morel – G. Tocco, Popoli anellenici in Basilicata. Ausstellungskatalog Potenza (Potenza 1971)
- Adler 1967
P. Adler, Die Chronologie der Gebissentwicklung, in: E. Harndt – H. Weyer (Hrsg.), Zahn-, Mund- und Kieferheilkunde im Kindesalter (Berlin 1967) 38–74
- Agostino 2011
R. Agostino, Il basso Tirreno reggino tra l'età del Bronzo e del Ferro, in: G. De Sensi Sestito – S. Mancuso (Hrsg.), Enotri e Brettii in Magna Grecia. Modi e forme di interazione culturale (Soveria Mannelli 2011) 77–93
- Agostino 2013
R. Agostino, Le grotticelle di Calanna. Una necropoli dell'età del Ferro nell'area dello Stretto (Soveria Mannelli 2013)
- Åkerström 1943
Å. Åkerström, Der geometrische Stil in Italien. Archäologische Grundlagen der frühesten historischen Zeit Italiens, *OpArch* 9 (Uppsala 1943)
- Albanese Procelli 1982
R. M. Albanese Procelli, Calderoni bronzei ad orlo orizzontale interno da Siracusa, *BdA* 15, 1982, 53–60
- Albanese Procelli 1992
R. M. Albanese Procelli, La necropoli di Madonna del Piano presso Grammichele. Osservazioni sul rituale funerario, *Kokalos* 38, 1992, 33–68
- Albanese Procelli 1993
R. M. Albanese Procelli, Ripostigli di bronzi della Sicilia nel Museo Archeologico di Siracusa (Palermo 1993)
- Albanese Procelli 2003
R. M. Albanese Procelli, Sicani, Siculi, Elimi. Forme di identità, modi di contatto e processi di trasformazione, *Biblioteca di Archeologia* 33 (Mailand 2003)
- Albanese Procelli u. a. 2014/2015
R. M. Albanese Procelli – S. Chilardi – P. Fragnoli – E. Giuffré – A. Giumlia-Mair – S. La Piana – F. Lo Schiavo – S. Levi, Grammichele (Catania). Necropoli in contrada Madonna del Piano. Campagne di scavo 1970–1971, *NSc* 25/26, 2014/2015, 69–746
- Alberici – Harlow 2007
L. A. Alberici – M. Harlow, Age and Innocence. Female Transitions to Adulthood in Late Antiquity, in: A. Cohen – J. B. Rutter (Hrsg.), *Constructions of Childhood in Ancient Greece and Italy*, *Hesperia Suppl.* 41 (Princeton 2007) 193–203
- Albore Livadie 1977–1979
C. Albore Livadie, Tre calderoni di bronzo da vecchi scavi cumani: tradizione di elites e simboli di prestigio, *AttiMemMagnaGr* 18–20, 1977–1979, 127–148
- Albore Livadie 1989
C. Albore Livadie, La tomba 201 della necropoli sud-occidentale di Calatia, in: Maddaloni. *Archeologia, arte e storia. Attività del gruppo archeologico calatino F. Imposimato 1982–1986* (Neapel 1989) 13–40
- Albore Livadie 2012
C. Albore Livadie, L'attività metallurgica. Le forme di fusione, le armi e gli strumenti da taglio e da lavoro, in: Cicirelli – Albore Livadie 2012, 142–147
- Alder – Matt 2010
C. Alder – Ch. Ph. Matt, Der mittelalterliche Friedhof der ersten jüdischen Gemeinde in Basel, *Materialhefte zur Archäologie in Basel* 21 (Basel 2010)
- Almagro-Gorbea 2015
M. Almagro-Gorbea, Los cuencos decorados fenicios o 'Phoenician bowls', in: J. Jiménez Ávila 2015, 57–90
- Alt 2012
K. W. Alt, Altern und Tod – ein Fehler der Natur oder genetisches Programm, in: Röder u. a. 2012, 339–357
- Altieri 2016
P. Altieri (Hrsg.), *Atti della XII Giornata Archeologica Francavilliese. Francavilla Marittima, 31 ottobre 2013* (Castrovillari 2016) 132–145
- Álvarez-Mon 2010
J. Álvarez-Mon, The Arjān Tomb. At the Crossroads of the Elamite and the Persian Empires, *Acta Iranica* 49 (Löwen 2010)
- Amadasi 1991
M. G. Amadasi, Coppe "orientali" nel Mediterraneo occidentale: qualche nota, *ScAnt* 5, 1991, 409–415
- Amann 2000
P. Amann, Die Etruskerin. Geschlechterverhältnis und Stellung der Frau im frühen Etrurien (9.–5. Jh. v. Chr.), *Archäologische Forschungen* 5 (Wien 2000)
- Andriani 1985
M. Andriani, Appendice. La necropoli di Valle Sorigliano, in: Bianco – Tagliente 1985, 53–56
- Antonaccio 2003
C. Antonaccio, Hybridity and the Cultures within Greek Culture, in: C. Dougherty – L. Kurke (Hrsg.), *The Cultures within Ancient Greek Culture. Contact, Conflict, Collaboration* (Cambridge 2003) 57–74
- Antonaccio 2013
C. Antonaccio, Networking in the Middle Ground? The Greek Diaspora, Tenth to Fifth Century BC, in: W. Paul van Pelt (Hrsg.), *Archaeology and Cultural Mixture. Archaeological Review from Cambridge* 28, 2013, 237–251
- Arancio 2001
M. L. Arancio, La prima età del ferro, in: Trucco – Vagnetti 2001, 275–292
- Arancio u. a. 2001
M. L. Arancio – V. Buffa – I. Damiani – F. Trucco, Le campagne di scavo 1987–1990. Stratigrafia e strutture, in: Trucco – Vagnetti 2001, 19–59

Attema 2012

P. A. J. Attema, Investigating Indigenous and Greek Space in the Sibaritide (S. Italy), in: J. Bergemann (Hrsg.), *Griechen in Übersee und der historische Raum. Internationales Kolloquium Universität Göttingen, Archäologisches Institut*, 13.–16. Oktober 2010, *Göttinger Studien zur Mediterranen Archäologie* 3 (Rahden 2012) 189–205

Attema u. a. 2005

P. A. J. Attema – A. Nijboer – A. Zifferero (Hrsg.), *Papers in Italian Archaeology 6. Communities and Settlements from the Neolithic to the Early Medieval Period. Proceedings of the 6th Conference of Italian Archaeology held at the University of Groningen, Groningen Institute of Archaeology, The Netherlands, April 15–17, 2003*, BARIntSer 1452 (Oxford 2005)

Attema u. a. 2010

P. A. J. Attema – G.-J. L. M. Burgers – P. M. van Leusen, *Regional Pathways to Complexity. Settlement and Land-Use Dynamics in Early Italy from the Bronze Age to the Republican Period*, Amsterdam Archaeological Studies 15 (Amsterdam 2010)

Aurino – Gobbi 2012

P. Aurino – A. Gobbi, Pontecagnano prima dei principi: Il tumulo dei guerrieri e la fine della prima età del ferro, in: N. Negroni Catacchio (Hrsg.), *L' Etruria dal Paleolitico al Primo Ferro, lo stato delle ricerche. Preistoria e protostoria in Etruria. Atti del decimo incontro di studi, Valentano (VT) – Pitigliano (GR)*, 10–12 settembre 2010 (Mailand 2012) 801–836

Babbi 2008

A. Babbi, *La piccola plastica fittile antropomorfa dell'Italia antica. Dal bronzo finale all'orientalizzante, Mediterranea Suppl. 1* (Pisa 2008)

Babbi – Peltz 2013

A. Babbi – U. Peltz, *La tomba del Guerriero di Tarquinia. Identità elitaria, concentrazione del potere e networks dinamici nell'avanzato VIII sec. a.C., Monographien des Römisch-Germanischen Zentralmuseums 109* (Mainz 2013)

Bach 1965

H. Bach, Zur Berechnung der Körperhöhe aus den Gliedmassenknochen weiblicher Skelette, *Anthropologischer Anzeiger* 29, 1965, 12–21

Backe-Dahmen 2008

A. Backe-Dahmen, *Die Welt der Kinder in der Antike* (Mainz 2008)

Bailo Modesti 1982

G. Bailo Modesti, Oliveto-Cairano. L'emergere di un potere politico, in: G. Gnoli – J.-P. Vernant (Hrsg.), *La mort, les morts dans les sociétés anciennes* (Paris 1982) 241–256

Bailo Modesti – Gastaldi 1999

G. Bailo Modesti – P. Gastaldi (Hrsg.), *Prima di Pithecusa. I più antichi materiali greci del Golfo di Salerno. Ausstellungskatalog Pontecagnano Faiano (Neapel 1999)*

Bailo Modesti u. a. 1999

G. Bailo Modesti – F. Ferranti – D. Gatti – R. Guglielmino – L. Incerti – S. T. Levi – M. Lo Zupone – M. Mancusi – M. A. Orlando – A. M. Tunzi Sisto – A. Vanzetti, *Strutture morfologiche e funzionali delle classi vascolari del Bronzo finale e della prima età del ferro in Italia meridionale*, in: D. Cocchi Genick (Hrsg.), *Criteri di nomenclatura e di terminologia inerenti alla definizione delle forme vascolari del Neolitico/Eneolitico e del Bronzo/Ferro. Atti del Congresso, Lido di Camaiore, 26–29 marzo 1998* (Florenz 1999) 441–467

Baker u. a. 2005

B. J. Baker – T. L. Dupras – M. W. Tocheri, *The Osteology of Infants and Children* (College Station 2005)

Bärbel 2004

B. Bärbel, *Archäologie und Chronologie. Eine Einführung* (Darmstadt 2004)

Barnett 1967

R. D. Barnett, *Layard's Nimrud bronzes and their inscriptions*, *Eretz-Israel* 8, 1967, 1–7

Barnett 1974

R. D. Barnett, *The Nimrud Bowls in the British Museum*, *RStFen* 2, 1974, 11–33

Barraux 1993

R. Barraux, *Die Geschichte der Dalai Lamas. Göttliches Mitleid und irdische Politik* (Solothurn 1993)

Barresi – Kysela 2015

L. Barresi – J. Kysela, *Antropomorfní závěšek z Jaroměře*, *Studia Hercynia* 19, 1–2, 122–142

Barresi – Kysela 2016

L. Barresi – J. Kysela, *Un pendaglio di bronzo dal Museo Nazionale di Praga*, in: Altieri 2016, 132–145

Bärtels 2003

A. Bärtels, *Pflanzen des Mittelmeerraumes* (Stuttgart 2003)

Bartoloni 1987

G. Bartoloni, *Le comunità dell'Italia centrale tirrenica e la colonizzazione greca in Campania*, in: M. Cristofani (Hrsg.), *Etruria e Lazio arcaico. Atti dell'incontro di studio, 10–11 novembre 1986, Quaderni del Centro di studio per l'archeologia etrusco-italica* 15 (Rom 1987) 37–53

Bartoloni 2003

G. Bartoloni, *Le società dell'Italia primitiva. Lo studio delle necropoli e la nascita delle aristocrazie* (Rom 2003)

Bartoloni 2006

G. Bartoloni, *Madri di Principi*, in: P. Amann – M. Pedrazzi – H. Tauber (Hrsg.), *Italo-Tusco-Romana. Festschrift für Luciana Aigner-Foresti* (Wien 2006) 13–22

Bartoloni 2007

G. Bartoloni, *La società e i ruoli femminili nell'Italia preromana*, in: Von Eles 2007a, 13–24

Bartoloni u. a. 1980

G. Bartoloni – A. M. Bietti Sestieri – M. A. Fugazzola Delpino – C. Morigi Govi – F. Parise Badoni (Hrsg.), *Materiali dell'età del Bronzo finale e della Prima età del Ferro, Dizionario terminologici 1* (Florenz 1980)

Bartoloni – Delpino 2004

G. Bartoloni – F. Delpino (Hrsg.), *Oriente e occidente. Metodi e discipline a confronto. Riflessioni sulla cronologia dell'età del ferro in Italia. Atti dell'incontro di studi. Roma, 30–31 ottobre 2003*, *Mediterranea* 1 (Pisa 2004)

Beck – Hartnett 1993

C. W. Beck – H. Hartnett, *Sicilian Amber*, in: C. W. Beck – J. Bouzek (Hrsg.), *Amber in Archaeology. Proceedings of the Second International Conference on Amber in Archaeology, Liblice 1990* (Prag 1993) 36–47

Bedini 1976

A. Bedini, *Tomba CI*, in: G. Colonna – G. Bartoloni – E. Colonna di Paolo – F. Melis (Hrsg.), *Civiltà del Lazio primitivo. Ausstellungskatalog Rom* (Rom 1976) 287 f.

Bedini – Cordano 1975

A. Bedini – F. Cordano, *Castel di Decima (Roma). La necropoli arcaica*, *NSc* 29, 1975, 369–408

Bedini – Cordano 1977

A. Bedini – F. Cordano, *L'ottavo secolo nel Lazio e l'inizio dell'Orientalizzante antico alla luce di recenti scoperte nella necropoli di Castel di Decima*, *PP* 32, 1977, 274–311

- Belardelli 1994
C. Belardelli, *Ceramica grigia*, in: Peroni – Trucco 1994, 682
- Bellia 2009
A. Bellia, *Strumenti musicali e oggetti sonori dell'età del ferro in Sicilia e nell'Italia meridionale (IX–VII sec. a.C.)*, *Sicilia Antiqua* 6, 2009, 9–56
- Bellintani – Angelini 2012
P. Bellintani – I. Angelini, *L'origine delle ambre di Poggiomarino. Dati preliminari e obiettivi della ricerca archeometrica*, in: Cicerelli – Albore Livadie 2012, 162–164
- Benedetti – Cardosa 2006
L. Benedetti – M. Cardosa, *Manufatti d'ambra nella Calabria protostorica*, in: *Atti della XXXIX riunione scientifica. Materie prime e scambi nella preistoria italiana nel cinquantenario della fondazione dell'Istituto Italiano Preistoria e Protostoria*. Firenze, 25–27 novembre 2004 (Firenze 2006) 1573–1587
- Benedettini 2000
G. M. Benedettini, *Definizione delle forme ceramiche*, in: F. Parise Badoni (Hrsg.), *Ceramiche d'impasto dell'età orientalizzante in Italia. Dizionario terminologici*. Nuova serie 1 (Roma 2000) 55–58
- Bentini – Boiardi 2007
L. Bentini – A. Boiardi, *Le ore della Bellezza*, in: Von Eles 2007a, 127–138
- Bérard 1970
C. Bérard, *L'Hérôon à la porte de l'ouest, Eretria 3* (Bern 1970)
- Berggren 1981
G. Berggren, *Atlas of Seeds* (Stockholm 1981)
- Bergonzi u. a. 1982a
G. Bergonzi – A. Cardarelli – P. G. Guzzo – R. Peroni – L. Vagnetti, *Ricerche sulla protostoria della Sibaritide 1*, *Cahiers du Centre Jean Bérard* 7 (Napoli 1982)
- Bergonzi u. a. 1982b
G. Bergonzi – V. Buffa – A. Cardarelli – C. Giardino – R. Peroni – L. Vagnetti, *Ricerche sulla protostoria della Sibaritide 2*, *Cahiers du Centre Jean Bérard* 8 (Napoli 1982)
- Bergonzi 2007
G. Bergonzi, *Donne del Piceno dall'età del ferro all'Orientalizzante*, in: Von Eles 2007a, 87–95
- Bernabò-Brea u. a. 1969
L. Bernabò-Brea – E. Militello – S. La Piana, Mineo (Catania). *La necropoli detta Molino della Badia. Nuove tombe in contrada Madonna del Piano*, *NSc* 23, 1969, 210–276
- Bernardi 1992
M. Bernardi (Hrsg.), *Archeologia del paesaggio*. IV ciclo di lezioni sulla ricerca applicata in archeologia, Certosa di Pontignano (Siena), 14–26 gennaio 1991 (Firenze 1992)
- Bernardini – Botto 2010
P. Bernardini – M. Botto, *I bronzi "fenici" della penisola italiana e della Sardegna*, *RStFen* 38, 2010, 17–117
- Bernardini – Botto 2015
P. Bernardini – M. Botto, *The "Phoenician" Bronzes from the Italian Peninsula and Sardinia*, in: Jiménez Ávila 2015, 295–373
- Bertani – Saltini 1994
M. G. Bertani – A. C. Saltini, *Gli altri oggetti di corredo*, in: M. Forte (Hrsg.), *Il dono delle Eliadi. Ambre e oreficerie dei principi etruschi di Verucchio*, *StDocA. Quaderni* 4, *Ausstellungskatalog Verucchio* (Rimini 1994) 39–47
- Bertsch 1941
K. Bertsch, *Früchte und Samen* (Stuttgart 1941)
- Bettelli 2009
M. Bettelli, *Le ceramiche figuline dell'età del bronzo. Importazioni, imitazioni e derivazioni locali*, in: Bettelli u. a. 2009, 17–35
- Bettelli u. a. 2009
M. Bettelli – C. De Faveri – M. Osanna (Hrsg.), *Prima delle colonie. Organizzazione territoriale e produzioni ceramiche specializzate in Basilicata e in Calabria settentrionale ionica nella prima età del ferro*. *Atti delle Giornate di Studio*. Matera, 20–21 novembre 2007 (Venosa 2009)
- Bevölkerung der Schweiz 2016
Die Bevölkerung der Schweiz 2016, Eidgenössisches Departement des Inneren EDI, Bundesamt für Statistik BFS (Neuenburg 2017)
- Bianco 1993
S. Bianco, *L'armamento protostorico italico*, in: A. Bottini (Hrsg.), *Armi. Gli strumenti della guerra in Lucania*. *Ausstellungskatalog Melfi* (Bari 1993) 3–17
- Bianco 2011
S. Bianco, *Enotria. Processi formative e comunità locali. La necropoli di Guardia Perticara* (Lagonegro 2011)
- Bianco 2012
S. Bianco, *The Oenotrian Princesses of the Eighth Century BC*, in: N. C. Stampolidis – M. Giannopoulou (Hrsg.), *'Princesses' of the Mediterranean in the Dawn of History* (Athen 2012) 158–173
- Bianco 2018
S. Bianco, *Guardia Perticara (PZ). Un pendente bronzeo a coppia antropomorfa dalla necropoli enotria di contrada San Vito*, in: Colelli – La Rocca 2018, 61–73
- Bianco u. a. 1996
S. Bianco – A. Bottini – A. Pontrandolfo – A. Russo Tagliente – E. Setari (Hrsg.), *I Greci in Occidente. Greci, Enotri e Lucani nella Basilicata meridionale*. *Ausstellungskatalog Policoro* (Napoli 1996)
- Bianco Peroni 1970
V. Bianco Peroni, *Die Schwerter in Italien. Le spade nell'Italia continentale*, *PBF* 4, 1 (München 1970)
- Bianco Peroni 1976
V. Bianco Peroni, *Die Messer in Italien*, *PBF* 7, 2 (München 1976)
- Bianco – Tagliente 1985
S. Bianco – M. Tagliente (Hrsg.), *Il Museo Nazionale della Siritide di Policoro. Archeologia della Basilicata meridionale* (Bari 1985)
- Bietti Sestieri 1992a
A. M. Bietti Sestieri, *The Iron Age Community of Osteria dell'Osa. A Study of Socio-Political Development in Central Thyrrenian Italy*, *New Studies in Archaeology* (Cambridge 1992)
- Bietti Sestieri 1992b
A. M. Bietti Sestieri (Hrsg.), *La necropoli laziale di Osteria dell'Osa* (Rom 1992)
- Bietti Sestieri 2006
A. M. Bietti Sestieri, *Fattori di collegamento interregionale nella prima Età del Ferro: Indizi di un'ideologia condivisa, legata alle armi, dal Lazio meridionale alla Puglia*, *RScPreist* 56, 2006, 505–533
- Bietti Sestieri 2014
A. M. Bietti Sestieri, *Dall'età del bronzo all'età del ferro. Il contesto archeologico della più antica Italia (II)*, in: K. Mannino – A. Siciliano (Hrsg.), *Da Italia a Italia. Le radici di un'identità*, *CMGr* 51 (Taranto 2014) 107–133
- Bietti Sestieri – De Santis 2008
A. M. Bietti Sestieri – A. De Santis, *Relative and Absolute Chronology of Latium Vetus from Bronze Age to the Transition to the Orientalizing Period*, in: D. Brandherm – M. Trachsel (Hrsg.), A

- New Dawn for the Dark Age? Shifting Paradigms in Mediterranean Iron Age Chronology. Proceedings of the XV World Congress (Lisbon 4–9 September 2006) of the International Union for Prehistoric and Protohistoric Sciences, BARIntSer 1871 (Oxford 2008) 119–135
- Bietti Sestieri – De Santis 2012
A. M. Bietti Sestieri – A. De Santis, Elementi di continuità rituale in Etruria meridionale, Lazio e Campania fra l'età del bronzo finale e la prima età del ferro, in: N. Negrone Catacchio (Hrsg.), *L'Etruria dal Paleolitico al Primo Ferro. Lo stato delle ricerche. Preistoria e protostoria in Etruria. Atti del decimo incontro di studi II* (Mailand 2012) 635–650
- Bietti Sestieri – Macnamara 2007
A. M. Bietti Sestieri – E. Macnamara, *Prehistoric Metal Artefacts from Italy (3500–720 BC) in the British Museum* (London 2007)
- Binford 1971
L. Binford, Mortuary Practices: Their Study and Their Potential, in: J. A. Brown (Hrsg.), *Approaches to the Social Dimensions of Mortuary Practices, Memoirs of the Society for American Archaeology* 25 (Washington 1971) 6–29
- Blandin 2007
B. Blandin, Les pratiques funéraires d'époque géométrique à Érétrie, *Eretria* 17, 2 (Gollion 2007)
- Blandin 2010
B. Blandin, Les enfants et la mort en Eubée au début de l'âge du fer, in: Guimier-Sorbets – Morizot 2010, 47–65
- Bocquet-Appel 2008
J.-P. Bocquet-Appel, La paléodémographie. 99,99 % de l'histoire démographique des hommes (Paris 2008)
- Booth 2015
T. J. Booth, An Investigation Into the Relationship Between Funerary Treatment and Bacterial Bioerosion in European Archaeological Human Bone, *Archaeometry* 58, 3, 2016, 484–499
- Botto 2008
M. Botto, Le più antiche presenze fenicie nell'Italia meridionale, *RStFen* 36, 2008, 157–179
- Brandherm – Trachsel 2008
D. Brandherm – M. Trachsel (Hrsg.), *A New Dawn for the Dark Age? Shifting Paradigms in Mediterranean Iron Age Chronology. Proceedings of the XV World Congress (Lisbon 4–9 September 2006) of the International Union for Prehistoric and Protohistoric Sciences, BARIntSer 1871* (Oxford 2008)
- Brather 2007
S. Brather, Von der »Tracht« zur »Kleidung«: Neue Fragestellungen und Konzepte in der Archäologie des Mittelalters, *Zeitschrift für Archäologie des Mittelalters* 35, 2007, 185–206
- Brather 2014
S. Brather, Gräber – ein Spiegel der Geschlechterrollen im Alltag?, in: B. Röder (Hrsg.), *Ich Mann. Du Frau. Feste Rollen seit Urzeiten?* (Freiburg i. Br. 2014) 154–163
- Breitinger 1938
E. Breitinger, Zur Berechnung der Körperhöhe aus den langen Gliedmassenknochen, *Anthropologischer Anzeiger* 14, 1938, 249–274
- Brocato 2011
P. Brocato (Hrsg.), *La necropoli enotria di Macchiabate a Francavilla Marittima (Cs). Appunti per un riesame degli scavi, Ricerche Università degli studi della Calabria Suppl. 1* (Arcavacata di Rende 2011)
- Brocato 2014
P. Brocato (Hrsg.), *Studi sulla necropoli di Macchiabate a Francavilla Marittima (Cs) e sui territori limitrofi, Ricerche Università degli Studi della Calabria Suppl. 5* (Arcavacata di Rende 2014)
- Brocato 2015
P. Brocato (Hrsg.), *Note di archeologia calabrese, Paesaggi antichi 1* (Cosenza 2015)
- Brocato 2020
P. Brocato, Scavi nell'abitato del Timpone della Motta di Francavilla Marittima (CS): risultati preliminari della campagna 2019, *Fasti Online Documents&Research* 462, 2020, 1–18
- Brocato – Caruso 2009
P. Brocato – F. Caruso, Elementi dell'ideologia religiosa delle necropoli dell'Età del Ferro in Calabria e contatti con l'Oriente, *RStFen* 37, 2009, 199–212
- Brocato – Caruso 2011
P. Brocato – F. Caruso, Elementi dell'ideologia religiosa dai corredi delle necropoli dell'età del Ferro della Calabria, in: G. De Sensi Sestito – S. Mancuso (Hrsg.), *Enotri e Brettii in Magna Grecia. Modi e forme di interazione culturale* (Soveria Mannelli 2011) 359–75
- Brocato – Taliano Grasso 2011
P. Brocato – A. Taliano Grasso, Simboli per riti di pace nella Calabria pregreca. Alcune osservazioni sui pendenti a coppia antropomorfa, in: C. Masseria – D. Loscalzo (Hrsg.), *Miti di Guerra, riti di pace. La guerra e la pace: un confronto interdisciplinare. Atti del convegno (Torgiano 4 maggio 2009 e Perugia 5–6 maggio 2009)*, *Bibliotheca Archeologica* 22 (Bari 2011) 147–159
- Brocato u. a. 2019
P. Brocato – L. Altomare – C. Capparelli – M. Perri, Scavi nell'abitato del Timpone della Motta di Francavilla Marittima (CS): risultati preliminari della campagna 2018, *Fasti Online Documents&Research* 452, 2019, 1–23
- Bruhlin 2009
S. Bruhlin, Cyclododecan. Neue Erkenntnisse zum Sublimationsprozess und der Elimination des Produktes, *Archäologie Bern. Jahrbuch des Archäologischen Dienstes des Kantons Bern*, 2009, 124–127
- Brun u. a. 2009
J.-P. Brun – H. Duda – P. Munzi – M. Torino, Le recenti indagini del Centre Jean Bérard nella necropoli preellenica, in: A. Alessio – M. Lombardo – A. Siciliano (Hrsg.), *Cuma, CMGr* 48 (Tarent 2009) 353–382
- Brunelli u. a. 2013
D. Brunelli – S. T. Levi – P. Fragnoli – A. Renzulli – P. Santi – E. Paganelli – M. C. Martinelli, Bronze Age Pottery from the Aeolian Islands: Definition of Temper Compositional Reference Units by an Integrated Mineralogical and Microchemical Approach, *Applied Physics A* 113, 2013, 855–863
- Buchner – Ridgway 1993
G. Buchner – D. Ridgway, Pithekoussai I, *La necropoli: Tombe 1–723 scavate dal 1952 al 1961, MonAnt* 55 (Rom 1993)
- Buffa 1994
V. Buffa, *Necropoli*, in: Peroni – Trucco 1994, 737–755
- Bulla 1998
A. Bulla, Untersuchungen zur Frage der geschlechtsspezifischen Beigabenausstattung bandkeramischer Gräber Mitteleuropas unter besonderer Berücksichtigung der Inventare anthropologisch bestimmter Frauenbestattungen (Aachen 1998)
- Buranelli 1979
F. Buranelli, Utensili per la lavorazione del legno in due tombe villanoviane da Veio, *ArchCl* 31, 1979, 1–17
- Burgers 2004
G.-J. L. M. Burgers, Western Greeks in Their Regional Setting. Rethinking Early Greek-Indigenous Encounters in Southern Italy. *AncWestEast* 3, 2004, 252–282

- Burkhardt 2013
N. Burkhardt, Bestattungssitten zwischen Tradition und Modifikation. Kulturelle Austauschprozesse in den griechischen Kolonien in Unteritalien und Sizilien vom 8. bis zum 5. Jh. v. Chr., *Italiká 2* (Wiesbaden 2013)
- Burmeister 1997
S. Burmeister, Zum sozialen Gebrauch von Tracht: Aussagemöglichkeiten hinsichtlich des Nachweises von Migrationen, *Ethnographisch-Archäologische Zeitschrift* 38, 2, 1997, 177–203
- Burmeister 2013
S. Burmeister, Migration und Ethnizität. Zur Konzeptualisierung von Mobilität und Identität, in: M. K. H. Eggert – U. Veit (Hrsg.), *Theorie in der Archäologie. Zur jüngeren Diskussion in Deutschland*. Tübinger Archäologische Taschenbücher 10 (Münster 2013) 229–267
- Butzer 1971
K. W. Butzer, *Environment and Archeology: An Ecological Approach to Prehistory* (Chicago 1971)
- Butzer 1982
K. W. Butzer, *Archaeology as Human Ecology* (Cambridge 1982)
- Cambini 1967
A. Cambini, Micrografia comparata dei legni del genere *Quercus*. Riconoscimento microscopico del legno delle querce italiane. Contributi scientifico-pratici per una migliore conoscenza ed utilizzazione del legno 10 (Rom 1967)
- Campanelli 2011
A. Campanelli (Hrsg.), *Dopo lo tsunami. Salerno antica*. Ausstellungskatalog Salerno (Neapel 2011)
- Camporeale 1967
G. Camporeale, La tomba del Duce, *Monumenti etruschi* 1 (Florenz 1967)
- Canciani 1976
F. Canciani, Tre nuovi vasi „italo-geometrici“ del Museo di Villa Giulia, *Prospettiva* 4, 1976, 26–29
- Caneva 2005
G. Caneva (Hrsg.), *La biologia vegetale per i beni culturali II. Conoscenza e valorizzazione* (Florenz 2005)
- Cannavò – Levi 2018
V. Cannavò – S. T. Levi, *Atlas Of Ceramic Fabrics 1. Italy: North-East, Adriatic, Ionian. Bronze Age. Impasto* (Oxford 2018)
- Caramiello – Arobba 2003
R. Caramiello – D. Arobba (Hrsg.), *Manuale di archeobotanica. Metodiche di recupero e studio* (Mailand 2003)
- Carancini 1975
G. L. Carancini, *Die Nadeln in Italien. Gli spilloni nell'Italia continentale*, PBF 13, 2 (München 1975)
- Carancini 1984
G. L. Carancini, *Le asce nell'Italia continentale*, PBF 9, 12 (München 1984)
- Cardosa 1998
M. Cardosa, Nuovi dati sull'età del Ferro nella Calabria meridionale jonica, in: C. Arias – A. Bietti – L. Castelletti – C. Peretto (Hrsg.), *Proceedings of the 13th U.I.S.P.P. Congress 1996*, Band 4 (Forlì 1998) 563–570
- Cardosa 2017a
M. Cardosa, I grandi insediamenti su pianoro della Locride, in: L. Cicala – M. Pacciarelli (Hrsg.), *Centri fortificati indigeni della Calabria dalla protostoria all'età ellenistica*. Atti del convegno internazionale, Napoli, 16/17 gennaio 2014 (Neapel 2017) 81–89
- Cardosa 2017b
M. Cardosa, Gli insediamenti indigeni di VII–VI secolo sul promontorio di Tropea (da Torre Galli a Vibo Valentia), in: L. Cicala – M. Pacciarelli (Hrsg.), *Centri fortificati indigeni della Calabria dalla protostoria all'età ellenistica*. Atti del convegno internazionale, Napoli, 16/17 gennaio 2014 (Neapel 2017) 155–167
- Cardosa – Ponticiello 2014
M. Cardosa – S. Ponticiello, Paolo Orsi e la protostoria della Calabria, in: A. Guidi (Hrsg.), *150 anni di preistoria e protostoria in Italia*. Atti della XLVI riunione scientifica dell'Istituto Italiano di Preistoria e Protostoria Roma 2011 (Florenz 2014) 775–781
- Carrara Jacoli 1994
M. Carrara Jacoli, Bellolucio, in: Peroni – Trucco 1994, 682–717
- Carrara – Guzzo 1981
M. Carrara – P. G. Guzzo, Roggiano Gravina (Cosenza). Località Prunetta. Scavo di una necropoli dell'età del ferro, *NSc* 35, 1981, 443–490
- Caruso 2011
F. Caruso, Distribuzione delle tombe per sesso nelle diversi fasi, in: Brocato 2011, 210–217
- Castelfranco 1876
P. Castelfranco, Due periodi della 1° età del ferro nella necropoli di Golasecca, *BPI* 2, 1876, 87–106
- Castelletti 1990
L. Castelletti, Legni e carboni in archeologia, in: Mannoni – Molinari 1990, 321–394
- Castelletti – Tozzi 1985
L. Castelletti – C. Tozzi, Archeologia e ricostruzione ambientale: la situazione italiana, in: A. Moroni – A. Anelli – O. Ravera (Hrsg.), *Atti del secondo congresso nazionale della Società Italiana di Ecologia*. Padova, 25–28 giugno 1984 (Parma 1985) 909–912
- Causey 2011
F. Causey, *Amber and the Ancient World* (Los Angeles 2011)
- Cavalcanti 1974
O. Cavalcanti, *La zona archeologica di Torano Castello (Grottaferrata 1974)*
- Cerchiai 1985
L. Cerchiai, Una tomba principesca del periodo orientalizzante antico a Pontecagnano, *StEtr* 53, 1985, 27–42
- Cerchiai u. a. 2012/2013
L. Cerchiai – B. D'Agostino – C. Pellegrino – C. Tronchetti – M. Parasole – L. Bondioli – A. Sperduti, Monte Vetrano (Salerno) tra Oriente e Occidente. A proposito delle tombe 74 e 111, *AION ArchStAnt* 19/20, 73–108
- Cerzoso – Quondam 2014
M. Cerzoso – F. Quondam, La storia della collezione, in: Cerzoso – Vanzetti 2014, 5–16
- Cerzoso – Vanzetti 2014
M. Cerzoso – A. Vanzetti (Hrsg.), *Museo dei Brettii e degli Enotri*. Ausstellungskatalog Cosenza (Soveria Mannelli 2014)
- Chapman 2013
R. Chapman, Death, Burial, and Social Representation, in: Tarlow – Nilsson Stutz 2013, 47–57
- Chiartano 1977
B. Chiartano, La necropoli dell'età del ferro dell'Incoronata e di S. Teodoro (Scavi 1970–1974), *NSc* 31 Suppl. (Rom 1977) 9–190
- Chiartano 1994
B. Chiartano, La necropoli dell'età del ferro dell'Incoronata e di S. Teodoro (Scavi 1978–1985) Volume I e II, *Deputazione di storia patria per la Lucania*. Quaderni di archologia e storia antica 6 e 7 (Galatina 1994)
- Chiartano 1996
B. Chiartano, La necropoli dell'età del ferro dell'Incoronata e di S. Teodoro (Scavi 1986–1987) Volume III, *Deputazione di storia*

- patria per la Lucania. Quaderni di archologia e storia antica 9 (Galatina 1996)
- Chunshu u. a. 1996
W. Chunshu – Y. Mingcai – Z. Wenhua – C. Qinghua – G. Tiejin, Chinese Synthetic Silicate and Limestone Certified Reference Materials for Spectral Analysis, *Geostandards and Geoanalytical Research* 20, 1996, 57–64
- Cicirelli – Albore Livadie 2012
C. Cicirelli – C. Albore Livadie (Hrsg.), L'abitato protostorico di Poggiomarino. Località Longola. Campagne di scavo 2000–2004, *Studi della Soprintendenza Archeologica di Pompei* 32 (Rom 2012)
- Cinquantaquattro 2001
T. Cinquantaquattro, L'Agro Picentino e la necropoli di località Casella. Pontecagnano 2, 6. *AION ArchStAnt Quad* 13 (Neapel 2001)
- Coldstream 1987
J. N. Coldstream, The Greek Geometric and Archaic Imports, in: V. Karageorghis – O. Picard – Chr. Tytgat (Hrsg.), La nécropole d'Amathonte. Tombes 113–367. II. Céramiques non chypriotes, *Etudes chypriotes* 8 (Nikosia 1987)
- Coldstream – Catling 1996
J. N. Coldstream – H. W. Catling, Knossos North Cemetery. Early Greek Tombs, *BSA Suppl.* 28 (London 1996)
- Colelli 2012
B. Colelli, Ceramica d'Impasto da Francavilla Marittima. Ceramica grigia, altre produzioni ceramiche e circolazione di merci e modelli nella Sibaritide (e in Italia meridionale) nell'età del Ferro (Diss. Universität Groningen 2012)
- Colelli 2014a
C. Colelli, La ceramica grigia, in: Brocato 2014, 228–229
- Colelli 2014b
C. Colelli, Le forme, in: Brocato 2014, 240–252
- Colelli 2014c
C. Colelli, La 'questione Lagaria' e le ricerche archeologiche a Francavilla Marittima, in: Brocato 2014, 285–312
- Colelli 2015a
C. Colelli, Topografia e viabilità dell'insediamento del Timpone della Motta, in: Brocato 2015, 59–81
- Colelli 2015b
C. Colelli, Riflessioni sulla Calabria settentrionale nell'età del ferro, in: Brocato 2015, 83–105
- Colelli 2016
C. Colelli, Bronzo finale e prima età del Ferro nella Media Valle del Crati, in: C. La Serra, I Percorsi della Memoria 2014. Atti dei Seminari di Studio (San Nicolò di Ricadi 2016) 1–26
- Colelli 2017
C. Colelli, Lagaria. Mito, storia e archeologia, *Ricerche Università degli Studi della Calabria Suppl.* 7 (Arcavacata di Rende 2017)
- Colelli 2018
C. Colelli, De Santis e Laviola: due collezioni per Lagaria, in: Malacrino u. a. 2018, 35–44
- Colelli 2019
C. Colelli, Francavilla, Sibari e la Sibaritide nella collezione De Santis, in: G. Mittica (Hrsg.), Francavilla Marittima. Un patrimonio ricontestualizzato (Vibo Valentia 2019) 49–58
- Colelli – Fera 2013
C. Colelli – A. Fera, Bronze Chalcophones in Southern Italy Iron Age: a Mark of Identity?, *BARIntSer* 2581 (Oxford 2013) 823–832
- Colelli – Jacobsen 2013
C. Colelli – J. K. Jacobsen, Excavation on the Timpone della Motta. Francavilla Marittima (1991–2004) II. Iron Age Impasto Pottery, *Bibliotheca Archeologica* 33 (Bari 2013)
- Colelli – La Marca 2015
C. Colelli – A. La Marca, Considerazioni su alcuni bronzi protostorici provenienti dai territori di Luzzi e Bisignano (Cosenza), *Hesperia* 32, 2015, 11–30
- Colelli – La Rocca 2018
C. Colelli – A. La Rocca (Hrsg.), Il Pollino. Barriera naturale e crocevia di culture. Giornate internazionali di archeologia. San Lorenzo Bellizzi, 16–17 aprile 2016, *Ricerche* 12 (Rossano 2018)
- Colelli u. a. 2014
C. Colelli – J. K. Jacobsen – G. Mittica, Produzioni ceramiche, forme e funzioni tra l'VIII e gli inizi del VII secolo a.C. a Francavilla Marittima (CS), in: Brocato 2014, 219–258
- Carter 2006
J. C. Carter, *Discovering the Greek Countryside at Metaponto* (Ann Arbor 2006)
- Colombi 2018
C. Colombi, La necropoli di Vetulonia nel periodo orientalizzante, *Italiká* 5 (Wiesbaden 2018)
- Colombi – Guggisberg 2016
C. Colombi – M. A. Guggisberg, Indigeni e greci prima e dopo Sibari. Nuovi dati sulla continuità d'occupazione della necropoli di Macchiabate di Francavilla Marittima, *RIA* 69, 2016, 53–66
- Colombi u. a. 2018
C. Colombi – I. M. Villa – M. A. Guggisberg, Identità e isotopi: il contributo delle analisi scientifiche all'interpretazione della necropoli enotria di Francavilla Marittima, in: E. Herring – E. O'Donoghue (Hrsg.), *The Archaeology of Death. Proceedings of the Seventh Conference of Italian Archaeology Held at the National University of Ireland, Galway, April 16–18, 2016. Papers in Italian Archaeology* 7 (Oxford 2018) 217–226
- Colonna u. a. 1976
G. Colonna – G. Bartoloni – E. Colonna di Paolo – F. Melis (Hrsg.), *Civiltà del Lazio primitivo. Ausstellungskatalog Rom* (Rom 1976)
- Colucci Pescatori 1971
G. Colucci Pescatori, Cairano (Avellino). Tombe dell'età del ferro, *NSc* 25, 1971, 481–537
- Condie 2015
K. C. Condie, *Plate Tectonics and Crustal Evolution* (Amsterdam 2015)
- Conte u. a. 2019
S. Conte – I. Matarese – G. Vezzalini – M. Pacciarelli – T. Scarno – A. Vanzetti – B. Gratuze – R. Arletti, How much is known about glassy materials in Bronze and Iron Age Italy? New data and general overview, *Archaeological and Anthropological Sciences* 11, 2019, 1813–1841, < <https://doi.org/10.1007/s12520-018-0634-6> > (zuletzt aufgerufen am 20.11.2020)
- Cordano 1971
F. Cordano, *Fonti greche e latine per la storia dei Lucani e Brettii e di altre genti indigene della Magna Grecia* (Potenza 1971)
- Costabile 2007
F. Costabile, La necropoli protostorica di Calanna in Calabria, in: F. Costabile, *Enigmi delle civiltà antiche dal Mediterraneo al Nilo. Atene, la Magna Grecia, l'impero di Roma 1. Dalla preistoria all'età ellenistica* (Reggio Calabria 2007) 29–45
- Costanzo 2012
D. Costanzo, Il tempio arcaico di Punta Alice (Cirò Marina, KR), in: V. Nizzo (Hrsg.) *Antropologia e archeologia a confronto. Rappresentazioni e pratiche del sacro: atti dell'Incontro Internazionale di studi, Roma, Museo Nazionale Preistorico Etnografico „Luigi Pigorini“*, 20–21 maggio 2011 (Rom 2012) 573–585

- Costanzo 2016
D. Costanzo, Le tombe infantili della necropoli di Macchiabate. Materiali, contesti e proposte interpretative, in: Altieri 2016, 55–67
- Coulié 2013
A. Coulié, La céramique grecque aux époques géométrique et orientalisante (XIe–VIe siècle av. J.-C.). Les manuels d'art et d'archéologie antiques. La céramique grecque 1 (Paris 2013)
- Courbin 1966
P. Courbin, La céramique géométrique de l'Argolide. Bibliothèque des Ecoles françaises d'Athènes et de Rome 208 (Paris 1966)
- Cristofani – Martelli 1983
M. Cristofani – M. Martelli (Hrsg.), L'oro degli Etruschi (Novara 1983)
- Cultraro 2007
M. Cultraro, Evidence of Amber in Bronze Age Sicily. Local Sources and the Balkan-Mycenaean Connection, in: Galanaki u. a. 2007, 377–389
- Cuomo di Caprio 2007
N. Cuomo di Caprio, La ceramica in archeologia 2. Antiche tecniche di lavorazione e moderni metodi di indagine, *Studia archaeologica* 144 (Rom 2007)
- Cuozzo 2005
M. Cuozzo, Community Norms and Inter-Group Dialectics in the Necropoleis of Campania, During the Orientalizing Period, in: P. A. J. Attema – A. Nijboer – A. Zifferero (Hrsg.), *Papers in Italian Archaeology* 6. Communities and Settlements from the Neolithic to the Early Medieval Period. Proceedings of the 6th Conference of Italian Archaeology held at the University of Groningen, Groningen Institute of Archaeology, The Netherlands, April 15–17, 2003, *BARIntSer* 1452 (Oxford 2005) 92–102
- Cuozzo – Pellegrino 2016
M. Cuozzo – C. Pellegrino, Culture meticce, identità etnica, dinamiche di conservatorismo e resistenza: questioni teoriche e casi di studio dalla Campania, in: *Donnellan* u. a. 2016b, 117–136
- Curtis 2013
J. Curtis, An Examination of Late Assyrian Metalwork. With Special Reference to Nimrud (Oxford 2013)
- Curtis – Reade 1995
J. E. Curtis – J. E. Reade (Hrsg.), *Art and Empire: Treasures from Assyria in the British Museum* (London 1995)
- Cygielman 2000
M. Cygielman, Vetulonia. Museo civico archeologico "Isidoro Falchi". Guida (Florenz 2000)
- Cygielman – Pagnini 2006
M. Cygielman – L. Pagnini, La Tomba del Tridente a Vetulonia, *Monumenti Etruschi* 9 (Pisa 2006)
- Czarnetzki 1996
A. Czarnetzki (Hrsg.), *Stumme Zeugen ihrer Leiden. Paläopathologische Befunde* (Tübingen 1996)
- D'Agostino 1968
B. D'Agostino, Pontecagnano. Tombe orientalizzanti in contrada S. Antonio, *NSc* 22, 1968, 75–196
- D'Agostino 1970
B. D'Agostino, Tombe della prima età del ferro a S. Marzano sul Sarno, *MEFRA* 82, 1970, 571–619
- D'Agostino 1974a
B. D'Agostino, La civiltà del Ferro nell'Italia meridionale e nella Sicilia, in: B. D'Agostino – G. Colonna – P. E. Arias, *Popoli e Civiltà dell'Italia Antica* 2 (Roma 1974) 11–91
- D'Agostino 1974b
B. D'Agostino, Pontecagnano, in: G. Bailo Modesti – B. D'Agostino – P. Gastaldi (Hrsg.), *Seconda Mostra della Preistoria e Protostoria nel Salernitano* (Salerno 1974) 87–107
- D'Agostino 1977
B. D'Agostino, Tombe «Principesche» dell'orientalizzante antico da Pontecagnano, *MonAnt* 49, 1977, 2–110
- D'Agostino 1979
B. D'Agostino, Le necropoli protostoriche della valle del Sarno. La ceramica di tipo greco, *AION ArchStAnt* 1, 1979, 59–75
- D'Agostino 2010
B. D'Agostino, Osservazioni al convegno, *Meetings between Cultures in the Ancient Mediterranean*. XVII International Congress of Classical Archaeology, Rome 2008, September 22–26, *BA online* 2010, 77–82
- D'Agostino – Gastaldi 1988
B. D'Agostino – P. Gastaldi (Hrsg.), Pontecagnano II. La Necropoli del Picentino. 1. Le tombe della Prima Età del Ferro, *AION ArchStAnt Quad* 5 (Neapel 1988)
- D'Agostino – Gastaldi 2012
B. D'Agostino – P. Gastaldi, Pontecagnano nel terzo quarto dell'VIII secolo a.C., in: C. Chiaramonte Treré – G. Bagnasco Gianni – F. Chiesa (Hrsg.), *Munera Amicitiae. Scritti in onore di Maria Bonghi Jovino*, *Quaderni di Acme* 134, 2012, 389–433
- D'Agostino – Gastaldi 2016
B. D'Agostino – P. Gastaldi, Pontecagnano III. Dizionario della cultura materiale. 1. La Prima Età del Ferro (Salerno 2016)
- D'Andrea – Colelli 2018
M. D'Andrea – C. Colelli, Due vasi a bombarda da Drapia (VV), in: M. D'Andrea – M. Corrado (Hrsg.), *Achille Solano. Ricercatore gentiluomo. Atti della giornata di studio*, Nicotera, 25 aprile 2015 (Vibo Valentia 2018) 13–40
- D'Anna u. a. 2011
R. A. D'Anna – M. Pacciarelli – L. Rota, Una tomba di alto rango dell'VIII secolo a.C. da San Marzano sul Sarno, in: O Paoletti (Hrsg.), *Gli etruschi e la Campania settentrionale. Atti del XXVI convegno di studi etruschi et italici*. Caserta, Santa Maria Capua Vetere, Capua, Teano, 11–15 Novembre 2007 (Pisa 2011) 591–602
- Dasen 2012
V. Dasen, Cherchez l'enfant ! La question de l'identité à partir du matériel funéraire, in: A. Hermary – C. Dubois (Hrsg.), *L'enfant et la mort dans l'antiquité III. Le matériel associé aux tombes d'enfants. Actes de la table ronde internationale organisée à la Maison Méditerranéenne des Sciences de l'Homme (MMSH) d'Aix-en-Provence 20–22 janvier 2011*, *Bibliothèque d'Archéologie Méditerranéenne et Africaine* 12 (Arles 2012) 9–22
- Dasen 2013
V. Dasen, Naissance et petite enfance dans l'Antiquité. Nouvelles approches, in: *La petite enfance dans le monde grec et romain. Dossiers d'Archéologie* 356, 2013, 2–7
- Dasen 2014
V. Dasen, *Veni, vidi, ludique. Le jeu de la vie*, *Ausstellungskatalog Nyon* (Nyon 2014)
- David-Elbiali – Dunning 2004
M. David-Elbiali – C. Dunning, Il quadro cronologico relativo e assoluto nell'ambito nord-alpino tra 1000 e 700 a.C., in: Bartoloni – Delpino 2004, 145–198
- Davison 1961
J. M. Davison, *Attic Geometric Workshops*, *YaleClSt* 16 (New Haven 1961)

- De Haan 2008
N. de Haan, Umberto Zanotti Bianco and the Archaeology of Magna Grecia During the Fascist Era, in: N. de Haan – M. Eickhoff – M. Schwegman (Hrsg.), *Archaeology and National Identity in Italy and Europe 1800–1950*, *Fragmenta. Journal of the Royal Netherlands Institute in Rome* 2 (Turnhout 2008) 233–249
- De Haan 2016
N. de Haan, Umberto Zanotti Bianco (1889–1963), in: G. Brands – M. Maischberger (Hrsg.), *Lebensbilder. Klassische Archäologen und der Nationalsozialismus*, *MKT* 2, 2 (Rahden 2016) 251–268
- Dehl 1984
C. Dehl, Die korinthische Keramik des 8. und frühen 7. Jhs. v. Chr. in Italien: Untersuchungen zu ihrer Chronologie und Ausbreitung. *AM Beiheft* 11 (Berlin 1984)
- De Juliis 1996
E. M. De Juliis, *Magna Grecia. L'Italia meridionale dalle origini leggendarie alla conquista romana* (Bari 1996)
- De Lachenal 2007
L. De Lachenal, Francavilla Marittima per una storia degli studi, in: F. van der Wielen-van Ommeren – L. de Lachenal (Hrsg.), *La dea di Sibari e il santuario ritrovato. Studi sui rinvenimenti dal Timpone Motta di Francavilla Marittima. I.1. Ceramiche di importazione, di produzione coloniale e indigena*, *BdA Volume speciale* (Rom 2007) 15–81
- De La Genière 1968
J. de La Genière, *Recherches sur l'âge du fer en Italie méridionale*. Sala Consilina, Bibliothèque de l'Institut Français de Naples 1 (Neapel 1968)
- De La Genière 1971
J. de La Genière, Amendolara (Cosenza). Campagne del 1967 e 1968 (Relazione preliminare), *NSc* 25, 1971, 439–475
- De La Genière 1973a
J. de La Genière, Bilan de dix années de recherches dans le Nord de la Calabre, *CRAI* 117, 1973, 140–154
- De La Genière 1973b
J. de La Genière, A propos de quelques Mobiliers Funéraires d'Amendolara, *MEFRA* 85, 1973, 7–58
- De La Genière 1977
J. de La Genière, Torano Castello (Cosenza). Scavi nella necropoli (1965) e saggi in contrada Cozzo la Torre (1967), *NSc* 31, 1977, 389–422
- De La Genière 1994
J. de La Genière, L'exemple de Francavilla Marittima. La nécropole de Macchiabate, secteur de la Temparella, in: J. de La Genière (Hrsg.), *Nécropoles et sociétés antiques* (Grèce, Italie, Languedoc), *Actes du Colloque International du Centre de Recherches Archéologiques de l'Université de Lille III*. Lille, 2–3 Décembre 1991, *Cahiers du Centre Jean Bérard* 18 (Neapel 1994) 153–163
- De la Genière 2012
J. de La Genière, Amendolara. La Nécropole de Paladino Ouest, *Collection du Centre Jean Bérard* 39 (Neapel 2012)
- De La Genière – Pierobon 1980
J. de La Genière – R. Pierobon, Amendolara (Cosenza). La necropoli di Mangosa, *NSc* 34, 1980, 305–393
- Delpino 1977
F. Delpino, La prima età del ferro a Bisenzio. Aspetti della cultura villanoviana nell'Etruria meridionale interna, *MemLinc* 45, 1977, 451–493
- Delpino 2003
F. Delpino, Datazioni problematiche: considerazioni sulla cronologia delle fasi villanoviane, in: A. Maggiani – V. Bellelli (Hrsg.), *Miscellanea etrusco-italica III*, *Quaderni di Archeologia Etrusco-Italica* 29 (Rom 2003) 9–35
- De Marinis 2004
R. C. De Marinis, Cronologia relativa, cross-dating e datazione cronometriche tra bronzo finale e primo ferro, in: Bartoloni – Delpino 2004, 15–52
- De Natale 1992
S. De Natale, Pontecagnano. II. La necropoli di S. Antonio-Propr. ECI. 2. Tombe della Prima Età del Ferro, *AION ArchStAnt Quad* 8 (Neapel 1992)
- De Natale 2016
S. De Natale, Pontecagnano. II. 7. La necropoli del Picentino. Tombe della Prima Età del Ferro dalla proprietà Colucci, *Collection du Centre Jean Bérard* 46 (Neapel 2016)
- De Neef 2016
W. de Neef, *Surface <> Subsurface. A Methodological Study of Metal Age Settlement and Land Use in Calabria (Italy)* (Groningen 2016)
- Depalmas 2006
A. Depalmas (Hrsg.), *Una terra sul fiume. Indagini archeologiche a Tadasuni* (Dolianova 2006)
- De Santis 1960
T. De Santis, *Preistoria e Sibaritide* (Cosenza 1960)
- De Santis 1964
T. De Santis, *La scoperta di Lagaria* (Corigliano Calabro 1964)
- De Santis 2005
A. De Santis, A Research Project on the Earliest Phases of the Latial Culture, in: Attema u. a. 2005, 156–163
- Descœudres 1981
J.-P. Descœudres, *CVA Basel* 1 (Bern 1981)
- De Siena 1990
A. De Siena, Contributi archeologici alla definizione della fase protocoloniale del Metapontino, *BBasil* 6, 1990, 71–88
- D'Henry 1973
G. D'Henry, Il territorio a nord del Sele, in: *Economia e società nella Magna Grecia*, *CMGr* 12 (Neapel 1973) 295–296
- Dietler 1999
M. Dietler, Consumption, Cultural Frontiers, and Identity: Anthropological Approaches to Greek Colonial Encounters, in: *Confini e frontiera nella grecità d'Occidente*, *CMGr* 37 (Tarent 1999) 475–501
- Di Stefano 2001
G. Di Stefano, Un nuovo bronzetto figurato indigeno da Castiglione (Ragusa), in: M. C. Martinelli – U. Spigo (Hrsg.), *Studi di Preistoria e Protostoria in onore di Luigi Bernabò Brea*, *Quaderni del museo archeologico regionale eoliano "Luigi Bernabò Brea" Suppl.* 1 (Palermo 2001) 331–337
- Di Stefano 2004
G. Di Stefano, Figurine umane doppie dell'età del ferro in Sicilia. Il caso Castiglione, in: *Atti della XXXVII Riunione Scientifica. Preistoria e protostoria della Calabria. Scalea, Papisidero, Praia a Mare, Tortora*, 29 Settembre – 4 Ottobre 2002 (Florenz 2004) 877–881
- Dimbleby 1978
G. W. Dimbleby, *Plants and Archaeology* (London 1978)
- Dincauze 2000
D. F. Dincauze, *Environmental Archaeology: Principles and Practice* (Cambridge 2000)
- Donnellan 2016
L. Donnellan, 'Greek colonisation' and Mediterranean Networks: Patterns of Mobility and Interaction at Pithekoussai, *Journal of Greek Archaeology* 1, 2016, 109–148

- Donnellan u. a. 2016a
L. Donnellan – V. Nizzo – G.-J. Burgers (Hrsg.), Contexts of Early Colonization. Acts of the Conference Contextualizing Early Colonization. Archaeology, Sources, Chronology and Interpretative Models between Italy and the Mediterranean I, Papers of the Royal Netherlands Institute in Rome 64 (Rom 2016)
- Donnellan u. a. 2016b
L. Donnellan – V. Nizzo – G.-J. Burgers (Hrsg.), Conceptualising Early Colonisation, Contextualising Early Colonisation II (Brüssel 2016)
- Dore 2004
A. Dore, Il Villanoviano I–III di Bologna: problemi di cronologia relativa e assoluta, in: Bartoloni – Delpino 2004, 255–292
- Drago Troccoli 2009
L. Drago Troccoli, Il Lazio tra la I età del ferro e l'Orientalizzante. Osservazioni sulla produzione ceramica e metallica tra il II e il IV periodo, l'origine dell'impasto rosso e i rapporti con Greci, Fenici e Sardi, in: L. Drago Troccoli (Hrsg.), Il Lazio dai colli Albani ai Monti Lepini tra preistoria ed età moderna (Rom 2009) 229–288
- Duday 2009
H. Duday, The Archaeology of the Dead. Lectures in Archaeothanatology (Oxford 2009)
- Eger 2012
Ch. Eger, Spätantikes Kleidungszubehör aus Nordafrika 1. Trägerkreis, Mobilität und Ethnos im Spiegel der Funde der spätesten römischen Kaiserzeit und der vandalischen Zeit, Münchner Beiträge zur Provinzialrömischen Archäologie 5 (Wiesbaden 2012)
- Eggert 2008
M. K. H. Eggert, Prähistorische Archäologie. Konzepte und Methoden ³(Tübingen 2008)
- Eggert 2012
M. K. H. Eggert, Prähistorische Archäologie. Konzepte und Methoden ⁴(Tübingen 2012)
- Eggert – Samida 2013
M. K. H. Eggert – S. Samida, Ur- und frühgeschichtliche Archäologie ²(Tübingen 2013)
- Eibl-Eibesfeldt 1995
I. Eibl-Eibesfeldt, Die Biologie des menschlichen Verhaltens. Grundriss der Humanethnologie ³(München 1995)
- Ekengren 2013
F. Ekengren, Contextualizing Grave Goods. Theoretical Perspectives and Methodological Implications, in: Tarlow – Nilsson Stutz 2013, 173–192
- Elia – Meirano 2012
D. Elia – V. Meirano, La typologie des tombes d'enfants dans les colonies grecques d'Italie du Sud. Problèmes et cas d'études, in: Nenna 2012, 429–457
- Esposito 1999
A. M. Esposito (Hrsg.), Principi guerrieri. La necropoli etrusca di Casale Marittimo. Ausstellungskatalog Cecina (Mailand 1999)
- Evans 1978
J. G. Evans, An Introduction to Environmental Archaeology (London 1978)
- Fabbricotti u. a. 1972
E. Fabbricotti – F. Healey – S. Paton – L. Berni Brizio – M. Meagher – M. Pandolfini – G. Bartoloni – A. Emiliozzi – C. Franco – A. Morandi – M. Buchanan, Veio (Isola Farnese). Continuazione degli scavi nella necropoli villanoviana in località 'Quattro Fontanili', NSc 26, 1972, 195–384
- Fabbricotti u. a. 1975
E. Fabbricotti – M. Bedello, Veio (Isola Farnese). Continuazione degli scavi nella necropoli villanoviana in località 'Quattro Fontanili', NSc 29, 1975, 63–184
- Facella 2010
A. Facella, Greci e popolazioni locali nella Kauloniatide. Dai primi contatti all'occupazione della chora in età arcaica, in: L. Lepore – P. Turi (Hrsg.), Caulonia tra Crotona e Locri. Atti del Convegno Internazionale Firenze 30 maggio–1 giugno 2007 (Florenz 2010) 31–43
- Facella – Quondam 2017
A. Facella – F. Quondam, La necropoli di Franchi e la prima età del Ferro nel territorio di Kaulonia, in: M. C. Parra (Hrsg.), Kaulonia, Caulonia, Stilida (e oltre) 4. Il santuario di Punta Stilo. Studi e ricerche (Pisa 2017) 289–320
- Falsone 1988
G. Falsone, Phoenicia as a Bronzeworking Centre in the Iron Age, in: J. Curtis (Hrsg.), Bronzeworking Centres of Western Asia c. 1000–539 B.C. (London 1988) 227–250
- Falsone 1992
G. Falsone, Nuove coppe metalliche di fattura orientale, VicOr 8, 1989, 83–112
- Fasanella Masci 2016
M. Fasanella Masci, La produzione della ceramica geometrica enotria nella Sibaritide durante l'età del ferro. Studio comparativo sulle tecnologie di foggatura (Diss. Universität Groningen 2016)
- Fasanella Masci 2018
M. Fasanella Masci, La foggatura della ceramica: aspetti tecnologici e culturali, in: Atti della XVI Giornata Archeologica Francavillese (Rende 2018) 35–49
- Fasanella Masci im Druck
M. Fasanella Masci, New Perspective on Pottery Studies: Understanding the Cultural Interactions between Greeks and the Indigenous Populations of Southern Italy, BARIntSer (im Druck)
- Fasanella Masci – Barresi 2009
M. Fasanella Masci – L. Barresi, Studi preliminari sulle tecniche di foggatura della ceramica enotria di tipo geometrico di Francavilla Marittima, in: Atti della VII Giornata Archeologica Francavillese (Castrovillari 2009) 23–50
- Fasnacht 1998
W. Fasnacht, Bronzetechnologie, SPM III (Basel 1998) 232–241
- Fasti 2016
FastiOnline, Macchiabate <http://www.fastionline.org/excavation/micro_view.php?fst_cd=AIAC_2378&curcol=main_column> (zuletzt aufgerufen am 20.11.2020)
- Feldmann 2015
M. Feldmann, Speaking Bowls: Early Iron Age Decorated Metal Bowls and the Inscription of Memory and Identity, in: M.-A. Maïla Afeiche (Hrsg.), Cult and Ritual on the Levantine Coast and its Impact on the Eastern Mediterranean Realm. Proceedings of the International Symposium, Beirut 2012, BAAL 10 (Beirut 2015) 297–313
- Ferembach u. a. 1979
D. Ferembach – I. Schwidetzky – M. Stloukal, Empfehlungen für die Alters- und Geschlechtsdiagnose am Skelett, Homo 30, 2, 1979, 1–32
- Ferranti 2004
F. Ferranti, L'orizzonte tardo-geometrico enotrio alla vigilia delle fondazioni coloniali greche, in: Bartoloni – Delpino 2004, 441–452
- Ferranti 2005
F. Ferranti, La sequenza cronologica della necropoli della prima età del ferro dell'Incoronata di Metaponto, in: Attema u. a. 2005, 457–464
- Ferranti 2009
F. Ferranti, Nascita, evoluzione e distribuzione di una produzione

- specializzata. Il caso della ceramica geometrica enotria della I età del ferro, in: Bettelli u. a. 2009, 37–74
- Ferranti 2014
F. Ferranti, Il vasellame in ceramica depurata, in: Cerzoso – Vanzetti 2014, 85–90
- Ferranti – Quondam 2006a
F. Ferranti – F. Quondam, Circolazione di una classe specializzata: la ceramica geometrica dell'età del ferro dell'Italia meridionale, in: D. Cocchi Genick (Hrsg.), Atti della XXXIX riunione scientifica. Materie prime e scambi nella preistoria italiana nel cinquantenario della fondazione dell'Istituto Italiano di Preistoria e Protostoria. Firenze, 25–27 novembre 2004 (Florenz 2006) 1185–1198
- Ferranti – Quondam 2006b
F. Ferranti – F. Quondam, La prima età del Ferro in Sibaritide. Una rassegna delle sepolture, in: Studi di Protostoria in onore di Renato Peroni (Borgo San Lorenzo 2006) 590–601
- Ferranti – Quondam 2015
F. Ferranti – F. Quondam, Status nelle comunità costiere dell'alto Ionio nella Prima Età del Ferro, in: Saltini Semerari – Burgers 2015, 48–87
- Ferranti u. a. 2004
F. Ferranti – S. T. Levi – M. De Marco, L'evoluzione stilistica della ceramica geometrica Enotria dell'Alto Jonio, in: Atti della XXXVII Riunione Scientifica. Preistoria e protostoria della Calabria. Scalea, Papisidero, Praia a Mare, Tortora, 29 Settembre – 4 Ottobre 2002 (Florenz 2004) 541–555
- Ferro 2017
D. Ferro, Fibula in argento da Torre di Satriano, BdA 100, 2015, 20–23
- Fiorelli 1879
G. Fiorelli, Francavilla Marittima, NSc 4, 1879, 155–156
- Fiorelli 1882
G. Fiorelli, Nuragus, NSc 7, 1882, 305–311
- Flinders Petrie 1899
W. M. Flinders Petrie, Sequences in Prehistoric Remains, Journal of the Anthropological Institute of Great Britain and Ireland 29, 1899, 295–301
- Flinders Petrie 1930
W. M. Flinders Petrie, Beth-Pelet I. Tell Fara, British School of Archaeology in Egypt 48 (London 1930)
- Foderaro 1882
G. Foderaro, Sepolcro e oggetti di bronzo di Cricchi nel Catanzarese, BPI 8, 1882, 92–100
- Formigli 2003
E. Formigli (Hrsg.), Fibulae. Dall'età del bronzo all'alto Medioevo, tecnica e tipologia (Florenz 2003)
- Forte 1994
M. Forte (Hrsg.), Il dono delle Eliadi. Ambre e oreficerie dei principi etruschi di Verucchio, StDocA. Quaderni 4. Ausstellungskatalog Verucchio (Rimini 1994)
- Foti 1962
G. Foti, La tarda età del Bronzo e la prima età del Ferro in Calabria, Klearchos 4, 1962, 32–37
- Foti 1964
G. Foti, La documentazione archeologica in Calabria, in: Metropoli e colonie di Magna Grecia, CMGr 3 (Neapel 1964) 175–181
- Foti u. a. 1970
G. Foti – P. G. Guzzo – R. Spadea – A. Bedini – L. Rota – F. Daddi – E. A. Arslan, Sibari. Scavi al Parco del Cavallo (1960–1962; 1969–1970) e agli Stombi (1969–1970), NSc 24 Suppl. 3 (Rom 1970)
- Francovich – Manacorda 2000
R. Francovich – D. Manacorda (Hrsg.), Dizionario di archeologia (Rom 2000)
- Frasca 1981
M. Frasca, La necropoli di Monte Finocchito, in: Contributi alla conoscenza dell'età del ferro in Sicilia. Monte Finocchito e Polizzello, CronA 20, 1981, 13–102
- Frasca 1992
M. Frasca, Tra Magna Grecia e Sicilia. Origine e sopravvivenza delle coppie-amuleto a figura umana, BdA 76, 1992, 19–27
- Frasca – Taliano Grasso 1994
M. Frasca – A. Taliano Grasso, Bronzi dell'età del Ferro da Piano di Bucita (Rossano), RStorCal 15, 1/2, 1994, 53–72
- Frey 1985
O.-H. Frey, Untersuchungen des vorgeschichtlichen Seminars Marburg bei S. Maria d'Anglona am Golf von Tarent, in: M. Liverani – A. Palmieri – R. Peroni (Hrsg.), Studi di paletnologia in onore di Salvatore M. Puglisi (Rom 1985) 571–577
- Frey 1991
O.-H. Frey, Eine Nekropole der frühen Eisenzeit bei Santa Maria d'Anglona, Deputazione di storia patria per la Lucania. Quaderni di archeologia e storia antica 1 (Galatina 1991)
- Fries 2007
J. E. Fries, "Sag mir, wo die Gräber sind" – Kleine Brandgräber der Hallstattzeit und die soziale Pyramide, in: P. Trebsche – I. Balzer – C. Eggel – J. K. Koch – H. Nortmann – J. Wiethold (Hrsg.), Die unteren Zehntausend – auf der Suche nach den Unterschichten der Eisenzeit. Beiträge zur Sitzung der AG Eisenzeit während der Jahrestagung des West- und Süddeutschen Verbandes für Altertumsforschung e. V. in Xanten 2006, Beiträge zur Ur- und Frühgeschichte Mitteleuropas 47 (Langenweissbach 2007) 19–30
- Galanaki u. a. 2007
I. Galanaki – H. Tomas – Y. Galanakis – R. Laffineur (Hrsg.), Between the Aegean and Baltic Seas. Prehistory across Borders. Proceedings of the International Conference Bronze and Early Iron Age Interconnections and Contemporary Developments between the Aegean and the Regions of the Balkan Peninsula, Central and Northern Europe. University of Zagreb, 11–14 April 2005, Aegaeum 27 (Lüttich 2007)
- Galli u. a. 1936
E. Galli – G. D'Ippolito – E. Bracco, Francavilla Marittima. Scoperte archeologiche fortuite, NSc 12, 1936, 77–84
- Gallo 1945
G. Gallo, Bruzio Antico. I trovamenti preellenici presso Bisignano, Brutium 24, 1–2, 1945, 6
- Gamba 2011
M. Gamba, Bronzetto raffigurante coppia abbracciata, in: C. Bertelli (Hrsg.), Restituzioni. Tesori d'arte restaurati 2011. Ausstellungskatalog Florenz (Venedig 2011) 52–56
- Gamba 2013
M. Gamba, Pendaglio a coppia abbracciata, in: M. Gamba – G. Gambacurta – A. Ruta Serafini – V. Tiné – F. Veronese (Hrsg.), Venetkens. Viaggio nella terra dei Veneti antichi. Ausstellungskatalog Padua (Venedig 2013) 265
- Gastaldi 1979
P. Gastaldi, Le necropoli protostoriche della Valle del Sarno: proposta per una suddivisione in fasi, AION ArchStAnt 1, 1979, 13–58
- Gatto 2005
A. Gatto, Pirofite attive e passive, in: Gli incendi e le pirofite, Sicilia Foreste Suppl. 28, 2005, 85–227
- Gaucci 2009
A. Gaucci, Coppa da una tomba villanoviana di Vetulonia: fenicia o siriana?, Ocnus 17, 2009, 29–43

- Gazzulla Barreda u. a. 2016
M. F. Gazzulla Barreda – M. Rodrigo Edo – M. Orduña Cordero – M. J. Ventura Vaquer, Determination of Minor and Trace Elements in Geological Materials Used as Raw Ceramic Materials, *Boletín de la Sociedad Española de Cerámica y Vidrio* 55, 2016, 185–196
- Genovese 2009
G. Genovese, Nostoi, tradizioni eroiche e modelli mitici nel meridione d'Italia, *StA* 169 (Rom 2009)
- Gentili 1994
G. V. Gentili, La necropoli sotto la Rocca Malatestiana (Fondo Lippi). La tomba 47, in: Forte 1994, 67–99
- Gessner 2005
K. Gessner, Vom Zierrat zum Zeichen von Identitäten. Soziokulturelle Betrachtungen auf der Grundlage des endneolithischen Schmucks im Mittelelbe-Saale-Gebiet, *Ethnographisch-Archäologische Zeitschrift* 46, 1, 2005, 1–26
- Giardino 2005
C. Giardino, Metallurgy in Italy between the Late Bronze Age and the Early Iron Age. The Coming of Iron, in: Attema u. a. 2005, 491–505
- Giorgi – Martinelli 1988
M. Giorgi – S. Martinelli, Catalogo delle tombe dall'area dell'abitato urbano: A-98, in: M. Giorgi – S. Martinelli – M. Osanna – A. Russo (Hrsg.), *Forentum 1. Le necropoli di Lavello, Leukania 1 (Venosa 1988)* 46–92
- Giumlia-Mair 1998
A. Giumlia-Mair, The Construction Techniques of the Bronzes from Santa Lucia, in: Mordant u. a. 1998, 169–182
- Giumlia-Mair 2002
A. Giumlia-Mair, Argento. Il metallo della Luna, in: Giumlia-Mair – Rubinic 2002, 123–131
- Giumlia-Mair – Rubinic 2002
A. Giumlia-Mair – M. Rubinic (Hrsg.), *Le arti di Efesto. Capolavori in metallo dalla Magna Grecia. Ausstellungskatalog Triest (Cinisello Balsamo 2002)*
- Gjerstad u. a. 1934
E. Gjerstad – J. Lindros – E. Sjöqvist – A. Westholm, Finds and Results of the Excavations in Cyprus 1927–1931, *SCE* 1 (Stockholm 1934)
- Gjerstad u. a. 1935
E. Gjerstad – J. Lindros – E. Sjöqvist – A. Westholm, Finds and Results of the Excavations in Cyprus 1927–1931, *SCE* 2 (Stockholm 1935)
- Gjerstad 1956
E. Gjerstad, *Early Rome II. The Tombs* (Lund 1956)
- Gleba 2008
M. Gleba, *Textile Production in Pre-Roman Italy* (Oxford 2008)
- Gleba 2012
M. Gleba, Italy. Iron Age, in: M. Gleba – U. Mannering (Hrsg.), *Textiles and Textile Production in Europe. From Prehistory to AD 400* (Oxford 2012) 215–241
- Gleba 2013
M. Gleba, Transformations in Textile Production and Exchange in pre-Roman Italy, in: Gleba – Pászókai-Szeöke 2013, 1–18
- Gleba 2015
M. Gleba, Women and textile production in Early Iron Age Southern Italy, in: Saltini Semerari – Burgers 2015, 102–117
- Gleba – Horsnaes 2011
M. Gleba – H. W. Horsnaes (Hrsg.), *Communicating Identity in Italic Iron Age Communities* (Oxford 2011)
- Gleba – Pászókai-Szeöke 2013
M. Gleba – J. Pászókai-Szeöke (Hrsg.), *Making Textiles in Pre-Roman and Roman Italy. Peoples, Places, Identities, Ancient Textiles Series 13* (Oxford 2013)
- Graen 2011
D. Graen (Hrsg.), *Tod und Sterben in der Antike* (Stuttgart 2011)
- Granese 2006
M. T. Granese, Culto e pratiche rituali nel santuario arcaico di Francavilla Marittima (Sibari – CS), *ASAtene* 84, 2006, 417–463
- Grasso 2015
M. Grasso, *Costruire la democrazia. Umberto Zanotti Bianco tra meridionalismo ed europeismo* (Rom 2015)
- Grasso 2017
M. Grasso, Mazzini tra fascismo e antifascismo: un carteggio inedito su un volume di Umberto Zanotti Bianco, *ArchStorCal* 83, 2017, 207–239
- Graw – Wahl 2001
M. Graw – J. Wahl, Morphometrische und morphognostische Geschlechtsdiagnostik an der menschlichen Schädelbasis, in: M. Oehmichen – G. Geserick (Hrsg.), *Osteologische Identifikation und Altersschätzung, Research in Legal Medicine* 26 (Lübeck 2001)
- Greco – Lombardo 2012
E. Greco – M. Lombardo, La colonizzazione greca: modelli interpretativi nel dibattito attuale, in: Lombardo 2012, 35–60
- Grömer u. a. 2012
K. Grömer – H. Rösel-Mautendorfer – H. Mückler, Immobilisierung durch Kleidung, *MANthRWien* 142, 2012, 137–158
- Grosskopf 1990
B. Grosskopf, Individualaltersbestimmung mit Hilfe von Zuwachsringen im Zement bodengelagerter menschlicher Zähne, *Zeitschrift für Rechtsmedizin* 103, 1990, 351–359
- Grosskopf – McGlynn 2011
B. Grosskopf – G. McGlynn, Age Diagnosis Based on Incremental Lines in Dental Cementum: A Critical Reflection, *Anthropologischer Anzeiger* 68, 2007, 275–289
- Grove Saxkjær 2017
S. Grove Saxkjær, The Emergence and Marking of Ethnic Identities: Case Studies from the Sibaritide Region, *AnalRom* 42 (2017) 7–22
- Grove Saxkjær – Jacobsen 2014
S. Grove Saxkjær – J. K. Jacobsen, Observations on Greek and Greek-Inspired Pottery in the Macchiabate Necropolis, in: Brocato 2014, 259–284
- Grupe u. a. 2005
G. Grupe – K. Christiansen – I. Schröder – U. Wittwer-Backofen, *Anthropologie. Ein einführendes Lehrbuch* (Heidelberg 2005)
- Grupe u. a. 2015
G. Grupe – M. Harbeck – G. C. McGlynn, *Prähistorische Anthropologie* (Berlin 2015),
- Grzonkowski 2004
J. Grzonkowski, *Bernstein* (Hamburg 2004)
- Guggisberg 2016
M. A. Guggisberg, Local identity and cultural exchange in (pre-) colonial Francavilla Marittima: the Macchiabate necropolis in the light of new excavations, in: Donnellan u. a. 2016a, 237–246
- Guggisberg 2018
M. A. Guggisberg, Returning Heroes: Greek and Native Interaction in (Pre-)Colonial South Italy and Beyond, *OxfJA* 37, 2018, 165–183

- Guggisberg im Druck a
M. A. Guggisberg, Interazioni tra indigeni e greci nella Sibaritide precoloniale: nuovi dati da Francavilla Marittima, in: L'area tra Bradano e Sinni nel quadro delle dinamiche insediative e relazionali tra Greci e popolazioni locali nell'arco ionico (VIII–V sec. a.C.), *CMGr* 56 (im Druck)
- Guggisberg im Druck b
M. A. Guggisberg, Fibeln, figürliche Anhänger und Ringe: Trachtschmuck und Identitätsbildung im eisenzeitlichen Kalabrien, in: V. Sossau – K. Riehle (Hrsg.), *Mistaken Identity*. Tagung Universität Tübingen 2016 (im Druck)
- Guggisberg u. a. 2010
M. A. Guggisberg – C. Colombi – N. Spichtig, Basler Ausgrabungen in Francavilla Marittima (Kalabrien). Bericht über die Kampagne 2009, *AntK* 53, 2010, 101–113
- Guggisberg u. a. 2011a
M. A. Guggisberg – C. Colombi – N. Spichtig, Basler Ausgrabungen in Francavilla Marittima (Kalabrien). Bericht über die Kampagne 2010, *AntK* 54, 2011, 62–70
- Guggisberg u. a. 2011b
M. A. Guggisberg – C. Colombi – N. Spichtig, Francavilla Marittima, Scavi dell'Università di Basilea nella necropoli di Macchiabate 2009–2010, in: *Atti della IX Giornata Archeologica Francavillense* (Castrovillari 2011) 93–102
- Guggisberg u. a. 2012a
M. A. Guggisberg – C. Colombi – N. Spichtig, Basler Ausgrabungen in Francavilla Marittima (Kalabrien). Bericht über die Kampagne 2011, *AntK* 55, 2012, 100–111
- Guggisberg u. a. 2012b
M. A. Guggisberg – C. Colombi – N. Spichtig, Gli scavi dell'Università di Basilea nella necropoli enotria di Francavilla Marittima, *BdA* 97, 2012, 1–18
- Guggisberg u. a. 2013
M. A. Guggisberg – C. Colombi – N. Spichtig, Basler Ausgrabungen in Francavilla Marittima (Kalabrien). Bericht über die Kampagne 2012, *AntK* 56, 2013, 62–71
- Guggisberg u. a. 2014
M. A. Guggisberg – C. Colombi – N. Spichtig, Basler Ausgrabungen in Francavilla Marittima (Kalabrien). Bericht über die Kampagne 2013, *AntK* 57, 2014, 78–91
- Guggisberg u. a. 2015a
M. A. Guggisberg – C. Colombi – N. Spichtig, Basler Ausgrabungen in Francavilla Marittima (Kalabrien). Bericht über die Kampagne 2014, *AntK* 58, 2015, 97–110
- Guggisberg u. a. 2015b
M. A. Guggisberg – C. Colombi – N. Spichtig, Auf den Spuren der ersten Griechen in Italien. Basler Ausgrabungen in Francavilla Marittima, *Archäologie Schweiz* 38, 3, 2015, 16–23
- Guggisberg u. a. 2016
M. A. Guggisberg – C. Colombi – N. Spichtig, Basler Ausgrabungen in Francavilla Marittima (Kalabrien). Bericht über die Kampagne 2015, *AntK* 59, 2016, 53–65
- Guggisberg u. a. 2017
M. A. Guggisberg – C. Juon – N. Spichtig, Basler Ausgrabungen in Francavilla Marittima, Kalabrien. Bericht über die Kampagne 2016, *AntK* 60, 2017, 80–90
- Guggisberg u. a. 2018a
M. A. Guggisberg – M. Imbach – N. Spichtig, Basler Ausgrabungen in Francavilla Marittima (Kalabrien). Bericht über die Kampagne 2017, *AntK* 61, 2018, 73–87
- Guggisberg u. a. 2018b
M. A. Guggisberg – C. Colombi – C. Juon, Tra mar Ionio e mar Tirreno: Francavilla Marittima e la rete di comunicazioni transappenninica in età precoloniale, in: C. Colelli – A. Larocca (Hrsg.), *Il Pollino. Barriera naturale e crocevia di culture*. Giornate internazionali di archeologia. San Lorenzo Bellizzi, 16–17 aprile 2016 (Arcavacata di Rende 2018) 49–59
- Guggisberg u. a. 2019
M. A. Guggisberg – M. Imbach – N. Spichtig, Basler Ausgrabungen in Francavilla Marittima, Kalabrien. Bericht über die Kampagne 2018, *AntK* 62, 2019, 96–108
- Guidi 1993
A. Guidi, La necropoli veiente dei Quattro Fontanili nel quadro della fase recente della prima età del ferro italiana (Florenz 1993)
- Guimier-Sorbets – Morizot 2010
A.-M. Guimier-Sorbets – Y. Morizot (Hrsg.), *L'enfant et la mort dans l'antiquité I. Nouvelles recherches dans les nécropoles grecques. Le signalement des tombes d'enfants*, *Travaux de la Maison René-Ginouès* 12 (Paris 2010)
- Guzzo 1975
P. G. Guzzo, Paludi (Cosenza). Località Castiglione. Necropoli dell'età del ferro, *Klearchos* 17, 1975, 97–177
- Guzzo 1982
P. G. Guzzo, Materiali per un catalogo del Museo civico di Cosenza, *ArchStorCal* 49, 1982, 97–116
- Guzzo 1984
P. G. Guzzo, La Sibaritide e Sibari nell'VIII e nel VII sec. a.C., *ASAtene* 60, 1984, 237–250
- Guzzo 1987
P. G. Guzzo, L'archeologia delle colonie arcaiche, in: S. Settis (Hrsg.), *Storia della Calabria. 1. La Calabria antica* (Rom 1987) 137–226
- Guzzo 1988
P. G. Guzzo, La campagna di scavi nella Sibaritide condotta da Luigi Viola nel 1887–1888, *ArchStorCal* 55, 1988, 5–41
- Guzzo 2011
P. G. Guzzo, Fondazioni greche. L'Italia meridionale e la Sicilia (VIII e VII sec. a.C.) (Rom 2011)
- Guzzo 2014
P. G. Guzzo, Dalle fibule all'identità? Il caso di Pithecusa, in: G. Greco – B. Ferrara (Hrsg.) *Segni di appartenenza e identità di comunità nel mondo indigeno*. Atti seminario Napoli 6/7 luglio 2012, *Quaderni del Centro studi Magna Grecia* 18 (Neapel 2014) 75–87
- Guzzo 2014/2015
P. G. Guzzo, Umberto Zanotti Bianco e l'esplorazione archeologica di Sibari, *AttiMemMagnaGr* 6, 2014/2015, 27–50
- Guzzo 2016
P. G. Guzzo, De Pithécusses à Pompéi. Histoires de fondations. Quatre conférences au Collège de France (Paris 2014), *Études* (Centre Jean Bérard) 10 (Neapel 2016)
- Guzzo – Vincentelli 1981
P. G. Guzzo – I. Vincentelli, Materiali archeologici indigeni e di importazione dagli scavi Foderaro a Crichi (CZ), *ArchStorCal* 48, 1981, 9–30
- Guzzo u. a. 1994
P. G. Guzzo – S. Moscati – G. Susini (Hrsg.), *Antiche Genti d'Italia*. Ausstellungskatalog Rimini (Rom 1994)
- Haagsma 1996
B. J. Haagsma, Survey in de Sibaritide, Calabrië. Een preliminair verslag drie campagnes, *TMA* 17, 1996, 47–52
- Haevernick 1987
T. E. Haevernick, Glasperlen der vorrömischen Eisenzeit II. Ringaugenperlen und verwandte Perlengruppen, *Maarburger Studien zur Vor- und Frühgeschichte* 9 (Marburg 1987)

- Hansen 2014
S. Hansen, *Relative Chronologie*, in: Mölders – Wolfram 2014, 251–254
- Hasserodt 2009
M. Hasserodt, *Griechische und orientalische Metallphialen des frühen ersten Jahrtausends v. Chr. in Griechenland*, AMS 62 (Bonn 2009)
- Hauptmann – Pingel 2008
A. Hauptmann – V. Pingel (Hrsg.), *Archäometrie. Methoden und Anwendungsbeispiele* (Stuttgart 2008)
- Hencken 1968
H. Hencken, *Tarquinia, Villanovans and Early Etruscans*, American School of Prehistoric Research Bulletin 23 (Cambridge MA 1968)
- Hermayr – Satre 2012
A. Hermayr – S. Satre, *Les critères d'identification des tombes d'enfants. Études antérieures et perspectives*, in: Nenna 2012, 561–570
- Herring 2008
E. Herring, *Greek Traders in Native Contexts in Iron Age Southeastern Italy: From Interaction to Marginality*, JMedA 21, 1, 2008, 111–132
- Herrmann u. a. 1990
A. Herrmann – G. Grupe – S. Hummel – H. Piepenbrink – H. Schutkowski, *Prähistorische Anthropologie. Leitfaden der Feld- und Labormethoden* (Berlin 1990)
- Herrmann u. a. 2009
G. Herrmann – S. Laidlaw – H. Coffey, *Ivories from the North West Palace (1845–1992), Ivories from Nimrud 4* (Oxford 2009)
- Hirschberg 1965
W. Hirschberg (Hrsg.), *Wörterbuch der Völkerkunde* (Stuttgart 1965)
- Hodos 2006
T. Hodos, *Local Responses to Colonization in the Iron Age Mediterranean* (London 2006)
- Hofmann 2008
K. P. Hofmann, *Der rituelle Umgang mit dem Tod. Untersuchungen zu bronze- und früheisenzeitlichen Brandbestattungen im Elbe-Weser-Dreieck* (Oldenburg 2008)
- Hofmann 2014a
K. P. Hofmann, *Geschlechterforschung*, in: Mölders – Wolfram 2014, 111–114
- Hofmann 2014b
K. P. Hofmann, *Gräberanalyse*, in: Mölders – Wolfram 2014, 115–118
- Hölbl 1979
G. Hölbl, *Beziehungen der ägyptischen Kultur zu Altitalien*, EPRO 62 (Leiden 1979)
- Howes Smith 1986
P. H. G. Howes Smith, *A study of 9th–7th century metal bowls from Western Asia*, IrAnt 21, 1986, 1–88
- Hummel 2008
S. Hummel, *Alte DNA*, in: Hauptmann – Pingel 2008, 67–88
- Huth 2010
C. Huth, Frög – Sopron – Nové Koariská. Überlegungen zum Quellenwert früheisenzeitlicher Grabbeigaben, in: E. Miroayová – C. Pare – S. Stegmann-Rajtár (Hrsg.), *Das nördliche Karpatenbecken in der Hallstattzeit. Wirtschaft, Handel und Kommunikation in früheisenzeitlichen Gesellschaften zwischen Ostalpen und Westpannonien*, Archaeolingua 38 (Budapest 2017) 173–190
- Iaia 1999
C. Iaia, *Simbolismo funerario e ideologia alle origini di una civiltà urbana. Forme rituali nelle sepolture "villanoviane" a Tarquinia e Vulci, e nel loro entroterra, Grandi contesti e problemi della protostoria italiana 3* (Florenz 1999)
- Iaia 2006
C. Iaia, *Strumenti da lavoro nelle sepolture dell'età del ferro italiana*, in: *Studi di protostoria in onore di Renato Peroni* (Borgo San Lorenzo 2006) 190–201
- Iaia 2007
C. Iaia, *Identità e comunicazione nell'abbigliamento femminile dell'area circumadriatica fra IX e VII secolo a.C.*, in: Von Eles 2007a, 25–36
- Ialongo 2011
N. Ialongo, *Il santuario nuragico di Monte S. Antonio di Siligo (SS). Studio analitico dei complessi cultuali della Sardegna protostorica. Tesi di dottorato di ricerca in Archeologia Preistorica, XXII ciclo*, Sapienza Università di Roma (2011, unpubliziert)
- Iannelli 2011
M. A. Iannelli, *L'ultimo dono alla principessa*, in: Campanelli 2011, 166–183
- Iker 1984
R. Iker, *Ordonia VII.1. Les tombes dauniennes, Études de philologie, d'archéologie et d'histoire anciennes 24* (Brüssel 1984)
- Inall 2014
Y. Inall, *Spoiling for a Fight. Using Spear Typologies to Identify Aspects of Warrior Identity and Fighting Style in Iron Age South Italy*, in: C. N. Poca – S. Stoddart (Hrsg.), *Fingerprinting the Iron Age. Approaches to Identity in the European Iron Age. Integrating South-Eastern Europe into the Debate* (Oxford 2014) 241–253
- Isler 1982
H. P. Isler, *Ein geometrischer Krater aus Vulci*, AntK 25, 1982, 173–177
- Isler 1983
H. P. Isler, *Ceramisti greci in Etruria in epoca tardogeometrica*, NumAntCl 12, 1983, 9–48
- Jacobsen 2007
J. K. Jacobsen, *Greek Pottery on the Timpone della Motta and the Sibaritide c. 780 to 620 BC. Reception, Distribution and an Evaluation of Greek Pottery as a Source Material for the Study of Greek Influence Before and After the Founding of Ancient Sybaris* (Diss. Universität Groningen 2007)
- Jacobsen – Handberg 2010
J. K. Jacobsen – S. Handberg, *Excavation on the Timpone della Motta. Francavilla Marittima (1992–2004) I. The Greek Pottery*, Bibliotheca Archeologica 21 (Bari 2010)
- Jacobsen – Handberg 2012
J. K. Jacobsen – S. Handberg, *A Greek enclave at the Iron Age settlement of Timpone della Motta*, in: Lombardo 2012, 683–718
- Jacobsen – Mittica 2014
J. K. Jacobsen – G. Mittica, *La produzione di ceramica enotrio-euboica*, in: Brocato 2014, 233–235
- Jacobsen u. a. 2008/2009
J. K. Jacobsen – S. Handberg – G. P. Mittica, *An Early Euboean Pottery Workshop in the Sibaritide*, AION ArchStAnt 15/16, 2008/2009, 89–96
- Jacobsen u. a. 2009
J. K. Jacobsen – G. P. Mittica – S. Handberg, *Oinotrian-Euboean Pottery in the Sibaritide. A Preliminary Report*, in: Bettelli u. a. 2009, 203–222
- Jacobsen u. a. 2015a
J. K. Jacobsen – C. Colelli – G. Mittica – S. Handberg, *Pottery Workshop Organization and Transformation at the Archaeolo-*

- gical Site of Timpone della Motta Between 800 and 650 BC. A Case Study from Northern Calabria, Southern Italy, in: R. Gül Gürtekin-Demir – H. Cevizoglu – Y. Polat – G. Polat (Hrsg.), *Keramos. Ceramics: A Cultural Approach*, Proceedings of the First International Conference at Ege University, May 9–13, 2011, İzmir (Ankara 2015) 158–167
- Jacobsen u. a. 2015b
J. K. Jacobsen – F. Ippolito – G. P. Mittica – S. Handberg, Greek and Greek style pottery in the Sibaritide during the 8th century B. C., in: Saltini Semerari – Burgers 2015, 151–175
- Jacobsen u. a. 2017
J. K. Jacobsen – S. Grove Saxkjær – G. P. Mittica, Observations on Euboean Koinai in Southern Italy, in: S. Handberg – A. Gado-lou (Hrsg.), *Material Koinai in the Greek Early Iron Age and Archaic Period*. Acts of an International Conference at the Danish Institute at Athens, 30 January – 1 February 2015, Monographs of the Danish Institute at Athens 22 (Aarhus 2017) 169–190
- Jacomot 2006
S. Jacomet, *Identification of Cereal Remains from Archaeological Sites 2* (Basel 2006)
- Jacomot u. a. 1989
S. Jacomet – C. Brombacher – M. Dick, *Archäobotanik am Zürichsee: Ackerbau, Sammelwirtschaft und Umwelt von neolithischen und bronzezeitlichen Seeufersiedlungen im Raum Zürich*. Ergebnisse von Untersuchungen pflanzlicher Makroreste der Jahre 1979–1988. *Berichte der Zürcher Denkmalpflege, Monographien 7* (Zürich 1989)
- Jensen – Høilund Nielsen 1997
C. K. Jensen – K. Høilund Nielsen (Hrsg.), *Burial & Society. The Chronological and Social Analysis of Archaeological Burial Data* (Aarhus 1997)
- Jiménez Ávila 2015
J. Jiménez Ávila (Hrsg.), *Phoenician Bronzes in Mediterranean*, *Bibliotheca Archaeologica Hispana 45* (Madrid 2015)
- Jones u. a. 2014
R. Jones – S. T. Levi – M. Bettelli – L. Vagnetti, *Italo–Mycenaean Pottery: The Archaeological and Archaeometric Dimensions*, *In-cunabula Graeca 103* (Rom 2014)
- Junker – Tauchert 2015
K. Junker – S. Tauchert, *Helens Töchter. Frauen und Mode im Frühen Griechenland*, *Zaberns Bildbände zur Archäologie, Sonderbände der Antiken Welt* (Darmstadt 2015)
- Kaur u. a. 2012
S. Kaur – E. Stout – T. Kaur – V. Estridge, *Infrared Spectroscopy of Amber Samples from the Artemision Excavations of 1904/1905*, *Anatolia Antiqua 20*, 2012, 39–43
- Kern 2010
A. Kern, *Anmerkungen zu den Kindergräbern im Hallstätter Gräberfeld*, *MANthrWien 140*, 2010, 69–83
- Kilian 1964
K. Kilian, *Archäologische Forschungen in Lukanien I. Untersuchungen zu früheisenzeitlichen Gräbern aus dem Vallo di Diano*, *RM Suppl. 10* (Heidelberg 1964)
- Kilian 1970
K. Kilian, *Archäologische Forschungen in Lukanien III. Früheisenzeitliche Funde aus der Südostnekropole von Sala Consilina (Provinz Salerno)*, *RM Suppl. 15* (Heidelberg 1970)
- Kilian-Dirlmeier 1979
I. Kilian-Dirlmeier, *Anhänger in Griechenland von der mykenischen bis zur spätgeometrischen Zeit (Griechisches Festland, Ionische Inseln, dazu Albanien und Jugoslawisch Mazedonien)*, *PBF 11, 2* (München 1979)
- Kinne 2009
A. Kinne, *Tabellen und Tafeln zur Grabungstechnik* (Dresden 2009)
- Kistler 1998
E. Kistler, *Die “Opferrinne-Zeremonie”. Bankettideologie am Grab, Orientalisierung und Formierung einer Adelsgesellschaft in Athen* (Stuttgart 1998)
- Kleibrink 1997
M. Kleibrink, *Dark Age or Ferro I? A Tentative Answer for the Sibarite and Metapontine Plains*, in: M. Kleibrink (Hrsg.), *Debating Dark Ages*, *Caeculus 3* (Groningen 1997) 63–89
- Kleibrink 2000
M. Kleibrink, *Early Cults in the Athenaion at Francavilla Marittima as evidence for a pre-colonial circulation of nostoi stories*, in: F. Krinzinger (Hrsg.), *Die Ägäis und das westliche Mittelmeer. Beziehungen und Wechselwirkungen 8. bis 5. Jh. v. Chr. Akten des Symposions*. Wien 24. bis 27. März 1999, *DenkschrWien 288 = AF 4* (Wien 2000) 165–184
- Kleibrink 2003
M. Kleibrink, *Dalla lana all’acqua. Culto e identità nell’Athenaion di Lagaria, Francavilla Marittima* (Rossano 2003)
- Kleibrink 2004a
M. Kleibrink, *Aristocratic Tombs and Dwellings of the VIIIth Century BC at Francavilla Marittima*, in: *Atti della XXXVII Riunione Scientifica. Preistoria e protostoria della Calabria*. Scalea, Papisidero, Praia a Mare, Tortora, 29 Settembre – 4 Ottobre 2002 (Florenz 2004) 557–586
- Kleibrink 2004b
M. Kleibrink, *Towards an Archaeology of Oinotria, Observations on Indigenous Patterns of Religion and Settlement in the Coastal Plain of Sybaris (Calabria)*, in: P. Attema (Hrsg.), *Centralization, Early Urbanization, and Colonization in First Millenium B.C. Italy and Greece*, *BABesch Suppl. 9* (Löwen 2004) 29–96
- Kleibrink 2005
M. Kleibrink, *The early Athenaion at Lagaria (Francavilla Marittima) near Sybaris: an Overview of its Early-Geometric II and its Mid-7th Century BC Phases*, in: Attema u. a. 2005, 754–772
- Kleibrink 2006a
M. Kleibrink, *Athenaion context AC22A.11. A Useful Dating Peg for the Confrontation of Oenotrian and Corinthian Late and Sub Geometric Pottery from Francavilla Marittima*, in: *Studi di protostoria in onore di Renato Peroni (Borgo San Lorenzo 2006)* 146–153
- Kleibrink 2006b
M. Kleibrink, *Oenotrians at Lagaria near Sybaris. A Native Proto-urban Centralised Settlement. A Preliminary Report on the Excavation of Two Timber Dwellings on the Timpone della Motta near Francavilla Marittima (Lagaria), southern Italy*, *Accordia Specialist Studies on Italy 11* (London 2006)
- Kleibrink 2008
M. Kleibrink, *Indigenous Ware. Impasto, Undecorated, Matt-Painted*, in: Van der Wielen-van Ommeren – De Lachenal 2008, 171–206
- Kleibrink 2009
M. Kleibrink, *La dea e l’eroe. Culti sull’acropoli del Timpone della Motta, a Francavilla Marittima, presso l’antica Sybaris*, in: *Atti della VII Giornata Archeologica Francavillese (Castrovillari 2009)* 1–22
- Kleibrink 2010
M. Kleibrink, *Parco Archeologico “Lagaria” a Francavilla Marittima presso Sibari*. Guida (Rossano 2010)

- Kleibrink 2011a
M. Kleibrink, Archeological Park "Lagaria" Francavilla Marittima (near Sybaris). Guide (Rossano 2011)
- Kleibrink 2011b
M. Kleibrink, Nuovi dati sulle tombe enotrie di rango a Francavilla Marittima. L'area di sepoltura di Macchiabate e l'insediamento enotrio di Timpone della Motta, in: A. Naso (Hrsg.), *Tumuli e Sepolture Monumentali nella Protostoria Europea. Atti del convegno internazionale. Celano, 21–24 settembre 2000*, RGZM-Tagungen 5 (Mainz 2011) 201–221
- Kleibrink 2015a
M. Kleibrink, Excavations at Francavilla Marittima 1991–2004. Matt-Painted Pottery from the Timpone della Motta. Volume 3: The Fringe Style, BARIntSer 2733 (Oxford 2015)
- Kleibrink 2015b
M. Kleibrink, Excavations at Francavilla Marittima 1991–2004. Matt-Painted Pottery from the Timpone della Motta. Volume 4: The Miniature Style, BARIntSer 2734 (Oxford 2015)
- Kleibrink 2016a
M. Kleibrink, Into Bride Ritual as an Element of Urbanization: Iconographic Studies of Objects from the Timpone Della Motta, Francavilla Marittima, in: *Mouseion: Journal of the Classical Association of Canada*, 13, 2, 2016 (Toronto 2016) 235–292
- Kleibrink 2016b
M. Kleibrink, Simboli Solari sui Pesi da Telaio e su Tessuti a Francavilla Marittima, in: *Altieri 2016*, 189–203
- Kleibrink 2016c
M. Kleibrink, Excavations at Francavilla Marittima 1991–2004. Finds Related to Textile Production from the Timpone della Motta. Volume 5: Spindle Whorls, BARIntSer 2806 (Oxford 2016)
- Kleibrink 2017
M. Kleibrink, Excavations at Francavilla Marittima 1991–2004. Finds Related to Textile Production from the Timpone della Motta. Volume 6: Loom Weights, BARIntSer 2848 (Oxford 2017)
- Kleibrink – Barresi 2009
M. Kleibrink – L. Barresi, On the "Undulating Band" Style in Oinotrian Geometric Matt-painted Pottery from the 'Weaving House' on the Acropolis of the Timpone della Motta, Francavilla Marittima, in: *Bettelli u. a. 2009*, 223–237
- Kleibrink – Fasanella Masci 2012
M. Kleibrink – M. Fasanella Masci, Brevi cenni sulla ceramica prodotta a Francavilla-Lagaria nell'ottavo secolo a.C. (Periodo Medio-Geometrico), in: *P. Altieri (Hrsg.), Atti della X Giornata Archeologica Francavillese (Castrovillari 2012)* 78–95
- Kleibrink – Weistra 2013
M. Kleibrink – E. Weistra, Una dea della rigenerazione, della fertilità e del matrimonio. Per una ricostruzione della dea precolombiana della Sibaritide, in: *G. Delia – T. Masneri (Hrsg.), Sibari. Archeologia, storia, metafora (Castrovillari 2013)* 35–55
- Kleibrink u. a. 2004
M. Kleibrink – J. K. Jacobsen – S. Handberg, Water for Athena: Votive Gifts at Lagaria (Timpone della Motta, Francavilla Marittima, Calabria), *WorldA* 36, 2004, 43–67
- Kleibrink u. a. 2012a
M. Kleibrink – L. Barresi – M. Fasanella Masci, Excavations at Francavilla Marittima 1991–2004. Matt-Painted Pottery from the Timpone della Motta. Volume 1: The Undulating Bands Style, BARIntSer 2423 (Oxford 2012)
- Kleibrink u. a. 2012b
M. Kleibrink – L. Barresi – M. Fasanella Masci, The 'Crosshatched Bands Style' and the 'Undulating Bands Style': Two Italic Middle Geometric Matt-painted Pottery Styles from the Timpone della Motta (Francavilla Marittima), *AntK* 55, 2012, 3–24
- Kleibrink u. a. 2013
M. Kleibrink – M. Fasanella Masci – L. Barresi, Excavations at Francavilla Marittima 1991–2004. Matt-Painted Pottery from the Timpone della Motta. Volume 2: The Cross-Hatched Bands Style, BARIntSer 2553 (Oxford 2013)
- Knapp – Van Dommelen 2014
A. B. Knapp – P. Van Dommelen (Hrsg.), *The Cambridge Prehistory of the Bronze and Iron Age Mediterranean* (Cambridge 2014)
- Knigge 1988
U. Knigge, *Der Kerameikos von Athen. Führung durch Ausgrabungen und Geschichte* (Athen 1988)
- Knussmann 1988
R. Knussmann (Hrsg.), *Anthropologie. Handbuch der Vergleichenden Biologie des Menschen. Wesen und Methoden der Anthropologie 1. Wissenschaftstheorie, Geschichte, morphologische Methoden* (Stuttgart 1988)
- Koch 2010
L. C. Koch, Die Glasbügelfibeln des 8. und 7. Jahrhunderts v. Chr. aus Etrurien. Ein Beitrag zur eisenzeitlichen Glastechnik und zu den Bestattungssitten des Orientalisanten, *UPA* 190 (Bonn 2010)
- Koch 2011
L. C. Koch, Früheisenzeitliches Glas und Glasfunde Mittelitaliens. Eine Übersicht von der Villanovazeit bis zum Orientalisanten und eine Analyse der Glasperlen als Grabbeigabe des Gräberfeldes Quattro Fontanili in Veji, *Bochumer Forschungen zur Ur- und Frühgeschichtlichen Archäologie* 4 (Rahden 2011)
- Koch 2013
L. C. Koch, Kleine Mädchen in grossen gesellschaftlichen Rollen? Überlegungen zu besonderen Kindergräbern in der Früheisenzeit in Mittelitalien, in: *S. Wefers – J. E. Fries – J. Fries-Knoblach – Ch. Later – U. Rambuscheck – P. Trebsche – J. Wiethold (Hrsg.), Bilder – Räume – Rollen. Beiträge zur gemeinsamen Sitzung der AG Eisenzeit und der AG Geschlechterforschung während des 7. Deutschen Archäologenkongresses in Bremen 2011, Beiträge zur Ur- und Frühgeschichte Mitteleuropas* 72 (Langenweissbach 2013) 143–157
- Kourou 1994
N. Kourou, Corinthian Wares and the West, *Pact* 40, 1994, 27–53
- Kourou 2004
N. Kourou, Greek Imports in Early Iron Age Italy, in: *Bartoloni – Delpino 2004*, 497–515
- Kowarik u. a. 2009
K. Kowarik – H. Reschreiter – G. Wurzer – R. Totschnig – A. Rausch, Agenten im Hallstätter Salzbergwerk. Agentenbasierte Simulation für den bronzezeitlichen Salzbergbau in Hallstatt/OÖ. Interpretierte Eisenzeiten. Fallstudien, Methoden, Theorien. Tagungsbeiträge der 3. Linzer Gespräche zur interpretativen Eisenzeitarchäologie, *Studien zur Kulturgeschichte von Oberösterreich* 22 (Linz 2009) 429–440
- Kraus 2006
B. Kraus, Befund Kind. Überlegungen zu archäologischen und anthropologischen Untersuchungen von Kinderbestattungen, *Archäologische Berichte* 19 (Bonn 2006)
- Kübler 1943
K. Kübler, Neufunde aus der Nekropole des 11. und 10. Jahrhunderts, *Kerameikos* 4 (Berlin 1943)
- Kübler 1954
K. Kübler, Die Nekropole des 10. bis 8. Jahrhunderts, *Kerameikos* 5 (Berlin 1954)

- Kümmel 2009
Ch. Kümmel, Ur- und frühgeschichtlicher Grabraub. Archäologische Interpretation und kulturanthropologische Erklärung, *Tübinger Schriften zur Ur- und Frühgeschichtlichen Archäologie* 9 (Münster 2009)
- Kunze 1931
E. Kunze, *Kretische Bronzereliefs* (Stuttgart 1931)
- Kus 2013
S. Kus, Death and the Cultural Entanglements of the Experienced, the Learned, the Expressed, the Contested, and the Imagined, in: Tarlow – Nilsson Stutz 2013, 59–75
- Laneri 2009
N. Laneri, Biografia di un vaso. Tecniche di produzione del vasellame ceramico nel Vicino Oriente antico tra il V e il II millennio a.C., *Tekmeria* 10 (Capaccio Paestum 2009)
- Langscheidt 1983
F. Langscheidt, Diskriminanzanalytische Geschlechtsbestimmung an Hand von Zahnmassen - unter Verwendung von Verfahren zur angenähert unverzerrten Schätzung der Trennstärke, *Homo* 34, 1983, 21–33
- Largo 2009
R. H. Largo, *Babyjahre. Entwicklung und Erziehung in den ersten vier Jahren* (München 2009)
- La Rocca 1978
E. La Rocca, Crateri in argilla figulina del Geometrico Recente a Vulci. Aspetti della produzione ceramica d'imitazione euboica nel Villanoviano avanzato, *MEFRA* 90, 1978, 465–514
- La Rocca 2009
L. La Rocca, La necropoli dell'età del ferro in località Chiane di Serra Aiello, in: G. F. La Torre (Hrsg.), *Dall'Oliva al Savuto. Studi e ricerche sul territorio dell'antica Temesa. Atti del Convegno, Campora San Giovanni (Amantea, CS), 15–16 settembre 2007* (Pisa 2009) 57–77
- Laurito 2015
R. Laurito, *TexSEt. Textile Technology in Central Tyrrhenian Italy from Late Prehistory to the Etruscan Period*, *Archaeological Textiles Review* 57, 2015, 111–113
- Layard 1853
A. H. Layard, *A Second Series of the Monuments of Nineveh* (London 1853)
- Levi 1999
S. T. Levi, *Produzione e circolazione della ceramica nella Sibaritide protostorica I. Impasto e Dolii* (Firenze 1999)
- Levi 2010
S. T. Levi, *Dal coccio al vasaio. Manifattura, tecnologia e classificazione della ceramica* (Bologna 2010)
- Levi u. a. 1998
S. T. Levi – R. E. Jones – L. Lazzarini – M. Sonnino – L. Vagnetti, *The Production and Distribution of Protohistoric Pottery in Italy: the Case of the Plain of Sybaris*, in: C. Arias – A. Bietti – L. Castelletti – C. Peretto (Hrsg.), *Proceedings of the 13th U.I.S.P.P. Congress 1996, Band 4* (Forlì 1998) 435–444
- Levi u. a. 1999
S. T. Levi – S. Bianco – M. A. Castagna, *Produzione e circolazione della ceramica nella Sibaritide protostorica. I. Impasto e dolii, Grandi contesti e problemi della protostoria italiana 1* (Firenze 1999)
- Levi u. a. 2019
S. T. Levi – V. Cannavò – D. Brunelli, *Atlas of Ceramic Fabrics 2. Italy: Southern Tyrrhenian. Neolithic – Bronze Age* (Oxford 2019)
- Lewis 2007
M. E. Lewis, *The Bioarchaeology of Children. Perspectives from Biological and Forensic Anthropology* (Cambridge 2007)
- Lillehammer 1989
G. Lillehammer, *A Child is Born. The Child's World in an Archaeological Perspective*, *Norwegian Archeological Review* 22, 1989, 89–105
- Le Fèvre-Lehœrff 1998
A. Le Fèvre-Lehœrff, *Évolution de la métallurgie du bronze en Italie centrale du XIIIe au VIIIe siècle avant notre ère. Premières données*, in: Mordant u. a. 1998, 145–156
- Lipkin 2012
S. Lipkin, *Textile-Making in Central Tyrrhenian Italy from the Final Bronze Age to the Republican Period*, *BARIntSer* 2369 (Oxford 2012)
- Lipkin 2013
S. Lipkin, *Textile Making in Central Tyrrhenian Italy – Questions Related to Age, Rank and Status*, in: Gleba – Pászókaï-Szeöke 2013, 19–29
- Lippitsch – Grupe 2007
A. Lippitsch – G. Grupe, *Variability of the Apposition of the Acellular, Extrinsic Fibre Cementum and its Influence on the Tooth Cementum Annulation Technique in Humans: The Influence of Physical Demands and Functional Morphology*, in: G. Grupe – G. McGlynn – J. Peters (Hrsg.), *Skeletal Series and their Socio-Economic Context, Documenta Archaeobiologiae* 5 (Rahden 2007) 87–112
- Lippolis 2002
E. Lippolis, *Produzione e circolazione degli oggetti in argento*, in: Giunilia-Mair – Rubinič 2002, 115–121
- Lombardo 2012
M. Lombardo (Hrsg.), *Alle origini della Magna Grecia. Mobilità, migrazioni, fondazioni*, *CMGr* 50 (Tarent 2012)
- Lo Porto 1969
F. G. Lo Porto, *Metaponto. Tombe a tumulo dell'età del ferro scoperte nel suo entroterra*, *NSc* 23, 1969, 121–170
- Lo Porto 2004
F. G. Lo Porto, *Il deposito prelaconico di Borgo Nuovo a Taranto*, *MonAnt* 62 (Rom 2004)
- Lo Schiavo 2008
F. Lo Schiavo, *Nuovi documenti dell'età del ferro dalla Calabria tirrenica e dal suo entroterra*, in: G. De Sensi Sestito (Hrsg.), *La Calabria tirrenica nell'antichità. Nuovi documenti e problematiche storiche. Atti del convegno (Rende, 23–25 novembre 2000)* (Soveria Mannelli 2008) 9–52
- Lo Schiavo 2010
F. Lo Schiavo, *Le Fibule dell'Italia meridionale e della Sicilia dall'età del bronzo recente al VI secolo a.C.*, *PBF* 14, 14 (Stuttgart 2010)
- Lugli – Pracchia 1995
F. Lugli – S. Pracchia, *Modelli e finalità nello studio della produzione del carbone di legna in archeologia*, *Origini* 18, 1995, 425–479
- Luppino 2003
S. Luppino, *Phoenician Phiale with Handle*, in: Stampolidis 2003, 438
- Luppino u. a. 2004
S. Luppino – F. Ferranti – R. Peroni – A. Schiappelli – A. Vanzetti, *L'età del ferro a Bisignano*, in: *Atti della XXXVII Riunione Scientifica. Preistoria e protostoria della Calabria. Scalea, Papsidero, Praia a Mare, Tortora, 29 Settembre – 4 Ottobre 2002* (Firenze 2004) 525–539

- Luppino u. a. 2012
S. Luppino – F. Quondam – M. T. Granese – A. Vanzetti, *Sibaritide. Riletture di alcuni contesti funerari tra VIII e VII sec. a.C.*, in: Lombardo 2012, 645–682
- Maas 1978
M. Maas, *Die geometrischen DreifüÙe von Olympia*, OF 10 (Berlin 1978)
- Madsen 2007
S. Madsen, CAPCA <www.archaeoinfo.dk/capca.htm> (28.08.2016)
- Maggiani 1973
A. Maggiani, *Coppa fenicia da una tomba villanoviana di Vetulonia*, *StEtr* 41, 1973, 73–95
- Maggiani 2002
A. Maggiani, *Una brocchetta bronzea da Vetulonia*, in: *Etruria e Sardegna centro-settentrionale tra l'età del bronzo finale e l'arcaismo. Atti del XXI Convegno di Studi Etruschi ed Italici. Sassari, Alghero, Oristano, Torralba, 13–17 ottobre 1998* (Pisa 2002) 411–418
- Maièrù 2003
P. Maièrù, *Castiglione di Paludi. Viaggio nella memoria* (Paludi 2003)
- Maish u. a. 2012
J. Maish – H. Khanjian – M. Schilling, *Technical Essay. Analysis of Selected Ambers from the Collections of the J. Paul Getty Museum*, in: F. Causey (Hrsg.), *Ancient Carved Ambers in the J. Paul Getty Museum* (Los Angeles 2012) <<https://www.getty.edu/publications/ambers/>> (zuletzt aufgerufen am 20.11.2020)
- Maiuri 1962
A. Maiuri, *Greci e Italici nella Magna Grecia*, in: *Greci e Italici in Magna Grecia*, CMGr 1 (Neapel 1962) 7–27
- Malacrino – Costanzo 2018
C. Malacrino – D. Costanzo, *La collezione di Tanino de Santis al Museo Nazionale di Reggio Calabria*, in: *Malacrino u. a. 2018*, 45–56
- Malacrino – Musumeci 2019
C. Malacrino – M. Musumeci (Hrsg.), *Paolo Orsi. Alle origini dell'archeologia tra Calabria e Sicilia. Ausstellungskatalog Reggio Calabria* (Reggio Calabria 2019)
- Malacrino u. a. 2018
C. Malacrino – M. Paoletti – D. Costanzo (Hrsg.), *Tanino de Santis. Una vita per la Magna Grecia*, *Ausstellungskatalog Reggio Calabria* (Reggio Calabria 2018)
- Malkin 1998
I. Malkin, *The Returns of Odysseus. Colonization and Ethnicity* (Berkeley 1998)
- Malkin 2002
I. Malkin, *A Colonial Middle Ground: Greek, Etruscan and Local Elites in the Bay of Naples*, in: C. L. Lyons – J. K. Papadopoulos (Hrsg.), *The Archaeology of Colonialism* (Los Angeles 2002) 151–181
- Malnati 1984
L. Malnati, *Tombe arcaiche di S. Maria d'Anglona* (scavi 1972–1973), in: M. Castoldi – L. Malnati, *Studi e ricerche archeologiche in Basilicata*, *Quaderni di Acme* 4 (Mailand 1984) 41–95
- Manacorda 2004
D. Manacorda, *Prima lezione di archeologia* (Rom 2004)
- Mangani 2004
E. Mangani, *La Tomba 8 della necropoli di Canale*, in: *Atti della XXXVII Riunione Scientifica. Preistoria e protostoria della Calabria. Scalea, Papisidero, Praia a Mare, Tortora, 29 Settembre – 4 Ottobre 2002* (Florenz 2004) 861–866
- Mangani 2020
E. Mangani, *Materiali di bronzo dalla Calabria conservati al Museo Nazionale Preistorico Etnografico "L. Pigorini"*, in: R. Spadea – F. Lo Schiavo – M. L. Lazzarini (Hrsg.), *Tra Ionio e Tirreno. Orizzonti di archeologia. Omaggio a Elena Lattanzi* (Rom 2020) 147–156
- Mannoni – Molinari 1990
T. Mannoni – A. Molinari (Hrsg.), *Scienze in archeologia. Il ciclo di lezioni sulla ricerca applicata in archeologia. Certosa di Pontignano (Siena), 7–19 novembre 1988* (Florenz 1990) 321–394
- Mansel 1998
J. Mansel, *Studien zum Trachtzubehòr der älteren Eisenzeit am Golfe du Lion und im Ampurdán*, *Internationale Archäologie* 32 (Rahden 1998)
- Marino u. a. 2018
S. Marino – D. Pisarra – S. Tarantino – R. Laino, *Nuove ricerche e recenti ritrovamenti nell'Alto Cosentino*, in: F. Mollo – G. F. La Torre (Hrsg.), *Il Golfo di Policastro tra Enotri e Lucani. Insediamenti, assetto istituzionale, cultura materiale. Atti convegno Tortora 2016, (Soveria Mannelli 2018)* 71–124
- Markoe 1985
G. E. Markoe, *Phoenician Bronze and Silver Bowls from Cyprus and the Mediterranean*, *University of California Publications Classical Studies* 26 (Berkeley 1985)
- Markoe 2007
G. Markoe, *L'art du métal phénicien: les coupes décorées*, in: E. Fontan – H. Le Meaux (Hrsg.), *La Méditerranée des Phéniciens de Tyr à Carthage* (Paris 2007) 167–173
- Martelli 1987
M. Martelli (Hrsg.), *La ceramica degli etruschi. La pittura vascolare* (Novara 1987)
- Martelli 2008
M. Martelli, *Variazioni sul tema etrusco-geometrico*, *Prospettiva* 132, 2008, 2–30
- Martin 1914
R. Martin, *Lehrbuch der Anthropologie in systematischer Darstellung* (Jena 1914)
- Martin 1928
R. Martin, *Lehrbuch der Anthropologie* ²(Stuttgart 1928)
- Martino 1985
F. Martino, *Considerazioni su alcuni bronzi protostorici ed un bacino ad orlo perlato rinvenuti in Calabria*, *RStorCal* 6, 1985, 115–159
- Masotti u. a. 2013
S. Masotti – E. Succi-Leonelli – E. Gualdi-Russo, *Cremated Human Remains: Is Measurement of the Lateral Angle of the Meatus Acusticus Internus a Reliable Method of Sex Determination?*, *International Journal of Legal Medicine* 127, 2013, 1039–1044
- Mater 2005
B. M. J. Mater, *Patterns in Pottery. A Comparative Study of Pottery Production in Salento, Sibaritide and Agro Pontino in the Context of Urbanization and Colonization in the First Millennium BC* (Amsterdam 2005)
- Matthäus 1980
H. Matthäus, *Die BronzegefäÙe der kretisch-mykenischen Kultur*, PBF 1 (München 1980)
- Matthäus 1985
H. Matthäus, *MetallgefäÙe und GefäÙuntersätze der Bronzezeit, der geometrischen und archaischen Periode auf Cypern*, PBF 8 (München 1985)
- Matthäus 2000
H. Matthäus, *Die Idäische Zeus-Grotte auf Kreta. Griechenland*

- und der Vordere Orient im frühen 1. Jahrtausend v. Chr., AA 2000, 517–547
- Matthäus 2001
H. Matthäus, Studies on the Interrelations of Cyprus and Italy during the 11th to 9th Centuries B.C.: a Pan-Mediterranean Perspective, in: L. Bonfante – V. Karagheroghis (Hrsg.), *Italy and Cyprus in Antiquity. 1500–450 BC. Proceedings of an International Symposium Held at the Italian Academy for Advanced Studies in America at Columbia University, November 16–18, 2000 (Nicosia 2001)* 153–214
- Matthäus 2009
H. Matthäus, Phoenician Metal-Work up to Date. Phoenician Metal Bowls with Figural Decoration in the Eastern Mediterranean, Near and Middle East and North Africa, in: M.-A. Maïla Afeiche (Hrsg.), *Interconnections in the Eastern Mediterranean. Lebanon in the Bronze and Iron Ages. Proceedings of the International Symposium, Beirut 2008, BAAL 6 (Beirut 2009)* 439–452
- Matthäus 2011
H. Matthäus, The Idaean Cave of Zeus: the Most Important Pan-Cretan Sanctuary, in: Rizza 2011, 109–132
- Matthäus 2019
H. Matthäus, Metalwork from Salamis: A Fresh Look on Old Finds. Typology, Style and Chronology of Phoenician Metal Bowls with Figural Decoration, in: S. Rogge – Chr. Ioannou – Th. Mavrojiannis (Hrsg.), *Salamis of Cyprus. History and Archaeology from the Earliest Times to Late Antiquity. Conference in Nicosia, 21–23 May 2015 (Münster 2019)* 246–264
- Mazarakis Ainian 2010
A. Mazarakis Ainian, Tombes d'enfants à l'intérieur d'habitats au début de l'âge du fer dans le monde grec, in: Guimier-Sorbets – Morizot 2010, 67–96
- Meiggs 1982
R. Meiggs, *Trees and Timber in the Ancient Mediterranean World* (Oxford 1982)
- Melandri 2011
G. Melandri, L'età del Ferro a Capua. Aspetti distintivi del contesto culturale e suo inquadramento nelle dinamiche di sviluppo dell'Italia protostorica, BARIntSer 2265 (Oxford 2011)
- Mercuri 2004
L. Mercuri, Eubéens en Calabre à l'époque archaïque. Formes de contacts et d'implantation, BEFAR 321 (Rom 2004)
- Mercuri 2012
L. Mercuri, Calabria e area euboica, in: Lombardo 2012, 969–984
- Mertens – Schläger 1980–1982
D. Mertens – H. Schläger, Francavilla Marittima. Acropoli sulla Motta, AttiMemMagnaGr 21–23, 1980–1982, 141–171
- Metzner-Nebelsick 2010
C. Metzner-Nebelsick, Weibliche Eliten in den vorchristlichen Metallzeiten, AiD 6, 2010, 18–22
- Meyer-Orlac 1982
R. Meyer-Orlac, *Mensch und Tod. Archäologischer Befund. Grenzen der Interpretation (Höhenschäftlarn 1982)*
- Michalaki-Kollia 2010
M. Michalaki-Kollia, Un ensemble exceptionnel d'Enchytrismes de nouveau-nés, de foetus e de nourrissons découvert dans l'île d'Astypalée, en Grèce: cimetière de bébés ou sanctuaire? (première approche), in: Guimier-Sorbets – Morizot 2010, 161–205
- Milanese 1996
A. Milanese, Il Museo Santangelo. Storia delle raccolte di antichità, in: S. De Caro – M. Borriello (Hrsg.), *I Greci in Occidente. La Magna Grecia nelle collezioni del Museo Archeologico di Napoli, Ausstellungskatalog Napoli (Neapel 1996)* 171–186
- Miles 1963
A. E. W. Miles, Dentition in the Assessment of Individual Age in Skeletal Material, in: D. W. Brothwell (Hrsg.), *Dental Anthropology (Oxford 1963)* 191–210
- Milletti – Lo Schiavo 2018
M. Milletti – F. Lo Schiavo, Tra la Sardegna e la penisola: il contributo di Luciana Drago allo studio dei traffici tirrenici dell'età del ferro, in: M. P. Baglione – G. Bartoloni – C. Carlucci – L. M. Michetti (Hrsg.), *Le vite degli altri. Ideologia funeraria in Italia centrale tra l'età del Ferro e l'Orientalizzante. Giornata di studio in ricordo di Luciana Drago Troccoli. Roma, 11 maggio 2017, ScAnt 24, 2, 2008, 31–49*
- Mills u. a. 1984
J. S. Mills – R. White – L. J. Gough, The Chemical Composition of Baltic Amber, *Chemical Geology* 47, 1984, 15–39
- Minto 1921
A. Minto, Marsiliana d'Albegna. Le scoperte archeologiche del Principe Don Tommaso Corsini (Firenze 1921)
- Mittica 2019
G. P. Mittica (Hrsg.), *Francavilla Marittima. Un patrimonio ri-contestualizzato. Catalogo della mostra a Francavilla Marittima (Vibo Valentia 2019)*
- Mölders – Wolfram 2014
D. Mölders – S. Wolfram (Hrsg.), *Schlüsselbegriffe der Prähistorischen Archäologie, Tübinger Archäologische Taschenbücher 11 (Münster 2014)*
- Mollo 2007
F. Mollo, Catalogo, in: R. Agostino – F. Mollo (Hrsg.), *Alla ricerca di Temesa omerica. Primi dati dalla necropoli Chiane di Serra Aiello (Scilla 2007)* 43–71
- Montelius 1903
O. Montelius, *Die älteren Kulturperioden im Orient und in Europa* (Stockholm 1903)
- Mordant u. a. 1998
C. Mordant – M. Pernot – V. Rychner (Hrsg.), *L'atelier du bronzier en Europe du XXe au VIIIe siècle avant notre ère. Actes du colloque international «Bronze '96». Neuchâtel et Dijon, 1996. Tome II (session de Dijon). Du minerai au métal, du métal à l'objet* (Paris 1998)
- Morris 1987
I. Morris, *Burial and Ancient Society. The Rise of the Greek City-State, New Studies in Archaeology* (Cambridge 1987)
- Morris 2000
I. Morris, *Archaeology as Cultural History. Words and Things in Iron Age Greece* (Oxford 2000)
- Motta 2000a
L. Motta, s. v. Ambientale, archeologia, in: Francovich – Manacorda 2000, 3
- Motta 2000b
L. Motta, s. v. Archeobotanica, in: Francovich – Manacorda 2000, 14–18
- Motta 2000c
L. Motta, s. v. Bioarcheologia, in: Francovich – Manacorda 2000, 44–46
- Müller-Karpe 1959
H. Müller-Karpe, Beiträge zur Chronologie der Urnenfelderzeit nördlich und südlich der Alpen, RGF 22 (Berlin 1959)
- Müller – Zimmermann 1997
J. Müller – A. Zimmermann (Hrsg.), *Archäologie und Korrespondenzanalyse. Beispiele, Fragen, Perspektiven, Internationale Archäologie 23 (Espelkamp 1997)*

- Naso 2011
A. Naso (Hrsg.), *Tumuli e Sepolture Monumentali nella Protostoria Europea. Atti del convegno internazionale, Celano, 21–24 settembre 2000, RGZM-Tagungen 5 (Mainz 2011)*
- Nava u. a. 2007
M. L. Nava – M. Osanna – C. De Faveri (Hrsg.), *Antica Flora Lucana. Repertorio storico-archeologico (Venosa 2007)*
- Nava u. a. 2009
M. L. Nava – S. Bianco – P. Macri – A. Preite, *Appunti per una tipologia della ceramica enotria. Le forme vascolari, le decorazioni, le imitazioni e le importazioni. Lo stato degli studi*, in: Bettelli u. a. 2009, 247–308
- Neeft 1981
C. W. Neeft, *Observations on the Thapsos Class*, MEFRA 93, 1981, 7–88
- Negroni Catacchio 2003
N. Negroni Catacchio, *Le ambre picene. Indagine sui manufatti non figurati e contatti e scambi con le aree adriatiche*, in: *I piceni e l'Italia medio-adriatica. Atti del XXII convegno di studi etruschi ed italici. Ascoli Piceno, Teramo, Ancona, 9–13 aprile 2000 (Pisa 2003)* 451–469
- Negroni Catacchio 2009
N. Negroni Catacchio, *Amber as Prestige and Social Indicator in Late Prehistoric Italy*, in: A. Palavestra – C. W. Beck – J. M. Todd (Hrsg.), *Amber in Archaeology. Proceedings of the Fifth International Conference on Amber in Archaeology. Belgrade 2006 (Belgrad 2009)* 190–209
- Negroni Catacchio u. a. 2006
N. Negroni Catacchio – A. Massari – B. Raposso, *L'ambra come indicatore di scambi nell'Italia pre e protostorica*, in: *Atti della XXXIX riunione scientifica. Materie prime e scambi nella preistoria italiana nel cinquantenario della fondazione dell'Istituto Italiano Preistoria e Protostoria. Firenze, 25–27 novembre 2004 (Firenze 2006)* 1439–1476
- Nenna 2012
M.-D. Nenna (Hrsg.), *L'Enfant et la mort dans l'Antiquité II. Types de tombes et traitement du corps des enfants dans l'antiquité gréco-romaine. Actes de la table ronde internationale organisée à Alexandrie, Centre d'Études Alexandrines, 12–14 novembre 2009, Études Alexandrines 26 (Alexandria 2012)*
- Neri 2000
D. Neri, *Le coppe fenicie della tomba Bernardini nel Museo di Villa Giulia, Monumenti fenici 2 (La Spezia 2000)*
- Nijboer 1998
A. J. Nijboer, *From Household Production to Workshops. Archaeological Evidence for Economic Transformations, Pre-Monetary Exchange and Urbanisation in Central Italy from 800 to 400 BC.* (Diss. Universität Groningen 1998)
- Nijboer 2004
A. J. Nijboer, *La cronologia assoluta dell'età del Ferro nel Mediterraneo, dibattito sui metodi e sui risultati*, in: Bartoloni – Delipino 2004, 527–556
- Nijboer 2006
A. J. Nijboer, *Coppe di tipo Peroni and the Beginnings of the Orientalizing Phenomenon in Italy during the late 9th century BC*, in: *Studi di Protostoria in onore di Renato Peroni (Borgo San Lorenzo 2006)* 288–304
- Nijboer 2016
A. J. Nijboer, *Is the Tangling of Events in the Mediterranean around 770–60 B.C. in the Conventional Absolute Chronology (CAC) a Reality or a Construct?*, in: *Donnellan u. a. 2016a*, 35–47
- Nijboer – van der Pflucht 2008
A. J. Nijboer – H. van der Pflucht, *The Iron Age in the Mediterranean. Recent Radiocarbon Research at the University of Groningen*, in: D. Brandherm – M. Trachsel, *A New Dawn for the Dark Age? Shifting Paradigms in Mediterranean Iron Age Chronology, Proceedings of the XV World Congress of the International Union for Prehistoric and Protohistoric Sciences, Lisbon, 4–9 settembre 2006, BARIntSer 1871 (Oxford 2008)* 103–118
- Nisbet 1990
R. Nisbet, *Paletnobotanica*, in: *Mannoni – Molinari 1990*, 277–309
- Nizzo 2007
V. Nizzo, *Ritorno ad Ischia. Dalla stratigrafia della necropoli di Pithekoussai alla tipologia dei materiali*, *Collection du Centre Jean Bérard 26 (Neapel 2007)*
- Nizzo 2016
V. Nizzo, *Cronologia versus Archeologia. L' "ambiguo" scorrere del tempo alle soglie della "colonizzazione": i casi di Cuma e Pithekoussai*, in: *Donnellan u. a. 2016a*, 49–72
- Ogden 1992
J. Ogden, *Ancient Jewellery (Berkley 1992)*
- Onnis 2009a
E. Onnis, *The Nimrud Bowls: New Data from the Analysis of the Objects, Iraq 71, 2009*, 139–150
- Onnis 2009b
E. Onnis, *Levantine Iconology: Was there a Conscious Figurative Programme in the Decoration of the "Phoenician Metal Bowls"?*, in: M.-A. Maïla Afeiche (Hrsg.), *Interconnections in the Eastern Mediterranean. Lebanon in the Bronze and Iron Ages. Proceedings of the International Symposium, Beirut 2008, BAAL 6 (Beirut 2009)* 499–514
- Onnis 2014a
E. Onnis, *Héritage et évolution du «style international» dans les coupes «phéniciennes» en métal*, in: M. Casanova – M. H. Feldman (Hrsg.), *Les produits de luxe au Proche-Orient ancien, aux âges du Bronze et du Fer (Paris 2014)* 215–224
- Onnis 2014b
E. Onnis, *The Influence of the Physical Medium on the Decoration of a Work of Art: A Case Study of the "Phoenician" Bowls*, in: B. A. Brown – M. H. Feldman (Hrsg.), *Critical Approaches to Ancient Near Eastern Art (Boston 2014)* 159–184
- Osanna – Guzzo 2017
M. Osanna – P. G. Guzzo, *Monili in materiale prezioso dall'anakton di Torre di Satriano, BdA, 100, 2015*, 1–14
- Orsi 1888
P. Orsi, *Studi illustrativi sui bronzi arcaici trovati nell'antro di Zeus Ideo, Museo Italiano di Antichità Classica 2, 1888*, coll. 769–904
- Orsi 1912
P. Orsi, *Locri Epizefirii. Necropoli sicula di Canale, Janchina, Patariti, NSc 1912 suppl.*, 22–56
- Orsi 1913
P. Orsi, *Piccoli bronzi e marmi inediti nel Museo di Siracusa, Ausonia 8, 1913*, 44–75
- Orsi 1915
P. Orsi, *Necropoli sicula a Pozzo di Gotto in quel di Castoreale (Messina), BPI 41, 1915*, 71–84
- Orsi 1919
P. Orsi, *Taormina. Necropoli sicula al Cocolonazzo di Mola, NSc 16, 1919*, 360–369
- Orsi 1926
P. Orsi, *Le necropoli preelleniche Calabresi di Torre Galli e di Canale, Ianchina, Patariti, MonAnt 31 (Mailand 1926)*

- Orsi 1932
P. Orsi, *Templum Apollinis Alaei ad Crimisa promontorium*, *AttiMemMagnaGr* 1932, 7–182
- Osanna 1992
M. Osanna, *Chorai coloniali da Taranto a Locri. Documentazione archeologica e ricostruzione storica* (Rom 1992)
- Osanna 2014
M. Osanna, *The Iron Age in South Italy. Settlement, Mobility and Culture Contact*, in: Knapp – Van Dommelen 2014, 230–248
- Osanna – Russo 1988
M. Osanna – A. Russo, *Catalogo delle tombe del settore sud della necropoli in contrada Casino*, in: M. Giorgi – S. Martinelli – M. Osanna – A. Russo (Hrsg.), *Forentum 1. Le necropoli di Lavello, Leukania 1* (Venosa 1988) 98–140
- Pacciarelli 1999a
M. Pacciarelli, *Torre Galli: La necropoli della prima età del ferro* (scavi Paolo Orsi 1922–23) (Soveria Mannelli 1999)
- Pacciarelli 1999b
M. Pacciarelli, *La necropoli protostorica di Castellace e considerazioni sui processi culturali dei secoli XII–X a.C.*, in: L. Costamagna – P. Visonà (Hrsg.), *Oppido Mamertina. Ricerche archeologiche nel territorio e in contrada Mella* (Rom 1999) 35–80
- Pacciarelli 2000
M. Pacciarelli, *Dal villaggio alla città. La svolta protourbana del 1000 a.C. nell'Italia tirrenica*, *Grandi contesti e problemi della protostoria italiana* 4 (Firenze 2000)
- Pacciarelli 2004a
M. Pacciarelli, *La prima età del ferro in Calabria*, in: *Atti della XXXVII Riunione Scientifica. Preistoria e protostoria della Calabria*. Scalea, Papisidero, Praia a Mare, Tortora, 29 Settembre – 4 Ottobre 2002 (Firenze 2004) 447–475
- Pacciarelli 2004b
M. Pacciarelli, *Osservazioni sulla cronologia assoluta del bronzo finale e della prima età del ferro*, in: Bartoloni – Delpino 2004, 81–90
- Pacciarelli 2007
M. Pacciarelli, *Identità di genere e corredi femminili nelle grandi necropoli della prima età del ferro dell'Italia meridionale*, in: Von Eles 2007a, 117–126
- Pacciarelli 2010
M. Pacciarelli, *Forme di complessità sociale nelle comunità protourbane dell'Etruria meridionale*, in: P. Fontaine (Hrsg.), *L'Étrurie et l'Ombrie avant Rome. Cité et territoire. Actes du colloque international*, Louvain-la-Neuve 13–14 février 2004, *Artes* (Institut historique belge de Rome) 1 (Brüssel 2010) 17–33
- Pacciarelli 2018
M. Pacciarelli, *Paolo Orsi e la necropoli di Torre Galli*, in: Malacrino u. a. 2018, 155–161
- Pacciarelli u. a. 2017
M. Pacciarelli – C. Iaia – I. Matarese, *Torre Galli. Le campagne di scavo 2012–2013*, in: L. Cicala – M. Pacciarelli (Hrsg.), *Centri fortificati indigeni della Calabria dalla protostoria all'età ellenistica*. *Atti del convegno internazionale*, Napoli, 16/17 gennaio 2014 (Neapel 2017) 81–89
- Pace 2006
R. Pace, *La necropoli di Macchiabate: progetto di valorizzazione e fruizione*, in: *Atti della V Giornata Archeologica Francavillese* (Francavilla Marittima 2006) 38–42
- Pace 2008a
R. Pace, *La "riscoperta" della necropoli di Macchiabate. Primi risultati*, in: *Atti della VI Giornata Archeologica Francavillese* (Castrovillari 2008) 6–16
- Pace 2008b
R. Pace, *Orientalia a Francavilla Marittima*, in: M. Intrieri – S. Ribichini (Hrsg.), *Fenici e Italici, Cartagine e la Magna Grecia. Popoli a contatto, culture a confronto*. *Atti del convegno internazionale*, Cosenza, 27–28 maggio 2008, *RStFen* 36, 2008, 81–107
- Pace 2014
R. Pace, *La tombe Strada de Francavilla Marittima et les modes de représentations funéraires de femmes éminentes dans une communauté indigène de la Calabre au VIIIe s. av. J.-C.*, *Pallas* 94, 2014, 123–137
- Padula 1977
V. Padula, *Calabria prima e dopo l'Unità 2*. Herausgegeben von A. Marinari (Bari 1977)
- Palavestra 2007
A. Palavestra, *Was there an Amber Route?*, in: Galanaki u. a. 2007, 349–355
- Pany-Kucera u. a. 2010
D. Pany-Kucera – H. Reschreiter – A. Kern, *Auf den Kopf gestellt? – Überlegungen zu Kinderarbeit und Transport im prähistorischen Salzbergwerk Hallstatt*, *MAnthrWien* 140, 2010, 39–68
- Paoletti 2018a
M. Paoletti, *La pelike del pittore De Santis*, in: Malacrino u. a. 2018, 75–84
- Paoletti 2018b
M. Paoletti, *Tanino de Santis. Un giornalista prestatato all'archeologia*, in: Malacrino u. a. 2018, 15–20
- Papadopoulos 2003
J. K. Papadopoulos, *La dea di Sibari e il santuario ritrovato. Studi sui rinvenimenti dal Timpone Motta di Francavilla Marittima II.1. The Archaic Votive Metal Objects*, *BdA Volume speciale* (Rom 2003)
- Papadopoulos u. a. 2014
J. K. Papadopoulos – S. P. Morris – L. Bejko – L. A. Schepartz (Hrsg.), *The Excavation of the Prehistoric Burial Tumulus at Lofkënd, Albania*, *Monumenta Archaeologica* 34 (Los Angeles 2014)
- Papadopoulou u. a. 2004
D. N. Papadopoulou – G. A. Zachariadis – A. N. Anthemidis – N. C. Tsirliganis – J. A. Stratis, *Microwave-assisted versus Conventional Decomposition Procedures Applied to a Ceramic Potsherd Standard Reference Material by Inductively Coupled Plasma Atomic Emission Spectrometry*, *Analytica Chimica Acta* 505, 2004, 173–181
- Pappalardo 2001
E. Pappalardo, *I bronzi dell'Antro Ideo nel contesto della produzione cretese coeva*, *CretAnt* 2, 2001, 169–198
- Pappalardo 2011a
E. Pappalardo, *Tra Cnosso e l'Antro Ideo: iconografie e rapporti con l'Oriente*, in: Rizza 2011, 193–207
- Pappalardo 2011b
E. Pappalardo, *Itinerant Iconographies: The Case of the Bronze Pateras with Scene of Procession*, in: H. Matthäus – N. Oettinger – S. Schröder (Hrsg.), *Der Orient und die Anfänge Europas. Kulturelle Beziehungen von der späten Bronzezeit bis zur frühen Eisenzeit*, *Philippika* 42 (Wiesbaden 2011) 229–240
- Pappalardo 2016
E. Pappalardo, *Cretan Bronze Work. Nothing to do with Urartu?*, *Mesopotamia* 51, 2016, 41–53
- Parasole 2012/2013
M. Parasole, *Le coppe „fenicio-cipriote“: note sulla produzione*, *AION ArchStAnt* 19/20, 2012/2013, 109–125

- Pareti 1947
L. Pareti, La tomba Regolini-Galassi del Museo Gregoriano Etrusco e la civiltà dell'Italia centrale nel sec. VII a.C. (Rom 1947)
- Pasqui 1888
A. Pasqui, Territorio di Sibari. Scavi nella necropoli di Torre Mordillo nel comune di Spezzano Albanese, NSc 1888, 239–268. 462–481. 575–593. 648–671
- Pekridou-Gorecki 1989
A. Pekridou-Gorecki, Mode im antiken Griechenland. Textile Fertigung und Kleidung (München 1989)
- Pernicka 2013
E. Pernicka, Chemische und Bleisotopenanalysen an zwei Silbergefäßen aus einem eisenzeitlichen Kriegergrab bei Tarquinia, in: Babbi – Peltz 2013, 179–181
- Peroni 1979
R. Peroni, Osservazioni sulla cronologia della prima età del ferro nell'Italia continentale, in: V. Bianco Peroni, I rasoi nell'Italia continentale, PBF 8, 2 (München 1979)
- Peroni 1987
R. Peroni, La Protostoria, in: S. Settis (Hrsg.), Storia della Calabria 1. La Calabria antica (Rom 1987) 67–136
- Peroni 1989
R. Peroni, Enotri, Ausoni, Itali e altre popolazioni dell'estremo sud d'Italia, in: G. Pugliese Carratelli (Hrsg.), Italia. Omnium terrarum parens. La civiltà degli Enotri, Choni, Ausoni, Sanniti, Lucani, Brettii, Sicani, Siculi, Elimi, Antica Madre 12 (Mailand 1989) 111–189
- Peroni 1994
R. Peroni, Le comunità enotrie della Sibaritide ed i loro rapporti con i navigatori egei, in: Peroni – Trucco 1994, 831–879
- Peroni 1996
R. Peroni, L'Italia alle soglie della storia (Rom 1996)
- Peroni – Trucco 1994
R. Peroni – F. Trucco (Hrsg.), Enotri e Micenei nella Sibaritide, Magna Grecia 8 (Tarent 1994)
- Peroni – Vanzetti 2004
R. Peroni – A. Vanzetti, Intorno alla cronologia della prima età del ferro italiana. Da H. Müller-Karpe a Ch. Pare, in: Bartoloni – Delpino 2004, 53–80
- Peroni – Vanzetti 2006
R. Peroni – A. Vanzetti, La sociologia della ritualità funeraria tra età del bronzo e del ferro in Italia, in: P. von Eles (Hrsg.), La ritualità funeraria tra età del ferro e orientalizzante in Italia. Atti del convegno, Verucchio, 26–27 giugno 2002 (Pisa 2006) 25–39
- Picón u. a. 2007
C. A. Picón – J. R. Mertens – E. J. Milleker – Ch. S. Lightfoot – S. Hemingway, Art of the Classical World in the Metropolitan Museum of Art: Greece, Cyprus, Etruria, Rome (New York 2007)
- Pignatti 1982
S. Pignatti, Flora d'Italia (Bologna 1982)
- Pincelli – Morigi Govi 1975
R. Pincelli – C. Morigi Govi, La necropoli villanoviana di San Vitale, Cataloghi delle collezioni del museo civico archeologico di Bologna 1 (Bologna 1975)
- Piranomonte 2000
M. Piranomonte (Hrsg.), Nel cuore dell'Enotria. La necropoli italica di Guardia Perticara. Ausstellungskatalog Viterbo (Rom 2000)
- Piranomonte 2001
M. Piranomonte (Hrsg.), Genti in arme. Aristocrazie guerriere della Basilicata antica, Ausstellungskatalog Rom (Rom 2001)
- Pohl 1972
I. Pohl, The Iron Age Necropolis of Sorbo at Cerveteri, Skrifter utgivna av Svenska Institutet i Rom 32 (Lund 1972)
- Poli – Trocchi 2007
P. Poli – T. Trocchi, Le ore dei Lavori, in: Von Eles 2007a, 139–148
- Ponticiello 2019
S. Ponticiello, L'insediamento dell'età del Ferro, in: R. Agostino – M. M. Sica (Hrsg.), Tra il Torbido e il Condojanni. Indagini archeologiche nella Locride per i lavori ANAS della nuova 106 (2007–2013) (Soveria Mannelli 2019) 166–170
- Popa – Stoddart 2014
C. N. Popa – S. Stoddart (Hrsg.), Fingerprinting the Iron Age. Approaches to Identity in the European Iron Age. Integrating South-Eastern Europe into the Debate (Oxford 2014)
- Popham u. a. 1980
M. R. Popham – L. H. Sackett – P. G. Themelis, Lefkandi I. The Iron Age. The Settlement. The Cemeteries, BSA Suppl. 11 (London 1980)
- Procopio 1962
G. Procopio, La necropoli preellenica di Calanna, Klearchos 4, 1962, 21–31
- Quast 2011
D. Quast (Hrsg.), Weibliche Eliten in der Frühgeschichte. Internationale Tagung vom 13. bis zum 14. Juni 2008 im RGZM im Rahmen des Forschungsschwerpunktes «Eliten», RGZM-Tagungen 10 (Mainz 2011)
- Quast 2014
D. Quast, Bernsteinutzung in der frühen Eisenzeit zwischen Ostsee und Alpen, in: D. Quast – M. Erdrich (Hrsg.), Die Bernsteinstrasse, AiD Sonderheft 4, 2014, 29–33
- Quilici u. a. 1968/1969
L. Quilici – G. Foti – S. Quilici Gigli – C. Pala – G. M. De Rossi, Carta archeologica della piana di Sibari, AttiMemMagnaGr 9/10, 1968/1969, 89–155
- Quinn 2013
P. S. Quinn, Ceramic Petrography. The Interpretation of Archaeological Pottery & Related Artefacts in Thin Section (Oxford 2013)
- Quondam 2009
F. Quondam, La necropoli di Francavilla Marittima: tra mondo indigeno e colonizzazione greca, in: Bettelli u. a. 2009, 139–178
- Quondam 2011
F. Quondam, La necropoli della prima età del ferro di Francavilla Marittima (CS). Scavi Zancani Montuoro (1963–1969) (Tesi di specializzazione Rom 2011, unpubbliert)
- Quondam 2014
F. Quondam, Il mondo indigeno della Sibaritide all'alba della colonizzazione greca, RIA 69, 2014, 15–52
- Quondam 2016
F. Quondam, La Sibaritide prima e dopo la fondazione di Sibari, in: Donnellan u. a. 2016a, 247–260
- Quondam 2017a
F. Quondam, Il mondo indigeno della Locride tra Primo Ferro ed età arcaica, in: A. Pontrandolfo – M. Scafuro (Hrsg.), Dialoghi sull'Archeologia della Magna Grecia e del Mediterraneo. Atti del I Convegno Internazionale di Studi, Paestum 7–9 settembre 2016, (Paestum 2017) 749–759
- Quondam 2017b
F. Quondam, Il mondo enotrio e la chora sibarita: processi di integrazione e dinamiche identitarie, in: Ibridazione e integrazione in Magna Grecia: Forme, modelli, dinamiche, CMGr 54 (Tarent 2017) 407–439

- Quondam 2018
F. Quondam, Paolo Orsi e le necropoli protostoriche della Locride, in: Malacrino u. a. 2018, 163–171
- Quondam – Ferranti 2014
F. Quondam – F. Ferranti, Le fibule, in: Cerzoso – Vanzetti 2014, 71–76
- Rainey – Lericci 1967
F. G. Rainey – C. M. Lericci, The Search for Sybaris 1960–1965 (Rom 1967)
- Randall-Maclver 1927
D. Randall-Maclver, The Iron Age in Italy. A Study of those Aspects of the Early Civilization which are neither Villanovan nor Etruscan (Oxford 1927)
- Renfrew – Bahn 1995
C. Renfrew – P. Bahn, Archeologia. Teorie, metodi, pratica (Bologna 1995)
- Renfrew – Bahn 2009
C. Renfrew – P. Bahn, Basiswissen Archäologie. Theorien, Methoden, Praxis (Darmstadt 2009)
- Renz – Radlanski 2006
H. Renz – H. J. Radlanski, Incremental Lines in Root Cementum of Human Teeth – a Reliable Age Marker?, Homo 57, 2006, 29–50
- Reusser 1988
Ch. Reusser, Etruskische Kunst (Basel 1988)
- Richter 2014
C. Richter, Absolute Chronologie, in: Mölders – Wolfram 2014, 13–18
- Ridgway 2001/2002
D. Ridgway, Archaeology in Sardinia and South Italy 1995–2001, ARepLond 48, 2001/2002, 117–138
- Rizza 2011
G. Rizza (Hrsg.), Identità culturale, etnicità, processi di trasformazione a Creta fra Dark Age e Arcaismo. Per i cento anni dello scavo di Priniàs 1906–2006. Atti del Convegno di Studi, Atene 9–12 novembre 2006 (Palermo 2011)
- Rizzotto 2015
L.-C. Rizzotto, “Sein zum Tode...”. Untersuchungen zu den gesellschaftlichen Strukturen anhand der Nekropolen und Gräber der protogeometrischen und gemotrischen Epoche aus Mittel- und Ostkreta, BARIntSer 2749 (Oxford 2015)
- Robb 2013
J. Robb, Creating Death. An Archaeology of Dying, in: Tarlow – Nilsson Stutz 2013, 441–457
- Röder u. a. 1996
B. Röder – J. Hummel – B. Kunz, Göttinnendämmerung. Das Matriarchat aus archäologischer Sicht (München 1996)
- Röder 2010
B. Röder, Perspektiven für eine theoriegeleitete prähistorische Kindheitsforschung, MAnthrWien 140, 2010, 1–22
- Röder 2012
B. Röder, Von der Urgeschichte bis nach Sulawesi: die kulturelle Vielfalt des Alter(n)s, in: Röder u. a. 2012, 15–49
- Röder 2015
B. Röder, Jäger sind anders – Sammlerinnen auch. Zur Deutungsmacht des bürgerlichen Geschlechter- und Familienmodells in der Prähistorischen Archäologie, in: T. L. Kienlin (Hrsg.), Fremdheit – Perspektiven auf das Andere, UPA 264 (Bonn 2015) 237–253
- Röder u. a. 2012
B. Röder – W. De Jong – K. W. Alt (Hrsg.), Alter(n) anders denken. Kulturelle und biologische Perspektiven, Kulturgeschichte der Medizin 2 (Köln 2012)
- Rösing u. a. 2007
F. W. Rösing – M. Graw – M. Marré – S. Ritz-Timme – M. A. Rothschild – K. Röttscher – A. Schmeling – I. Schröder – G. Geserick, Recommendations for the Forensic Diagnosis of Sex and Age from Skeletons, HOMO 58, 2007, 75–89
- Roux – Courty 1998
V. Roux – M. A. Courty, Identification of Wheel-fashioning Methods: Technological Analysis of 4th–3rd Millennium BC Oriental Ceramics, JASc 25, 1998, 747–763
- Roux 2003
V. Roux, Ceramic Standardization and Intensity of Production: Quantifying Degrees of Specialization, American Antiquity 68, 2003, 768–782
- Ruby 1995
P. Ruby, Le crépuscule des marges. Le premier âge du fer à Sala Consilina, Collection du Centre Jean Bérard 12 = BEFAR 290 (Rom 1995)
- Ruckl – Jacobs 2016
S. Ruckl – L. Jacobs, “With a Little Help from My Wheel”. Wheel-coiled Pottery in Protogeometric Greece, Hesperia 85, 2016, 297–321
- Rudnick – Gao 2003
R. L. Rudnick – S. Gao, Composition of the Continental Crust, in: H. D. Holland – K. K. Turekian (Hrsg.), Treatise on Geochemistry 3 (Amsterdam 2003) 1–64
- Russo 2007
M. Russo (Hrsg.), Paola Zancani Montuoro (1901–1987) (Castellammare di Stabia 2007)
- Rye 1981
O. S. Rye, Pottery technology. Principles and reconstruction. Manual on archeology 4. Australian National University (Washington-DC 1981)
- Salmena – Scavello 2014
A. Salmena – R. S. Scavello, Ceramica, in: Brocato 2014, 133–188
- Saltini Semerari 2015
G. Saltini Semerari, Towards a Gendered Basilicata, in: Saltini Semerari – Burgers 2015, 133–147
- Saltini Semerari – Burgers 2015
G. S. Saltini Semerari – G.-J. Burgers (Hrsg.), Early Iron Age Communities of Southern Italy, Papers of the Royal Netherlands Institute in Rome 63 (Rom 2015)
- Sannibale 1998
M. Sannibale, Le armi della collezione Gorga al Museo Nazionale Romano, Studia archaeologica 92 (Rom 1998)
- Sapouna-Sakellarakis 1998
S. Sapouna-Sakellarakis, Geometric Kyme. The excavation at Viglatouri, Kyme, on Euboea in: M. Bats – B. d’Agostino (Hrsg.), Euboica. L’Eubea e la presenza euboica in Calcidica e in Occidente. Atti del convegno internazionale di Napoli, 13–16 novembre 1996, Collection du Centre Jean Bérard 16 (Napoli 1998)
- Saraswati 1979
B. Saraswati, Pottery Making Cultures and Indian Civilization (Neu-Delhi 1979)
- Saraswati – Behura 1966
B. Saraswati – N. K. Behura, Pottery techniques in peasant India (Calcutta 1966)
- Scala 2011
S. Scala, Il sito di Monteverrano, l’evidenza di Boscariello, in: Campanelli 2011, 148–183
- Scavello 2015
R. S. Scavello, Strumenti di vinificazione dalla necropoli di Macchiabate (Francavilla Marittima), in: P. Brocato (Hrsg.), Note di archeologia calabrese, Paesaggi antichi 1 (Cosenza 2015) 75–81

- Sciaccia 2005
F. Sciaccia, Patere baccellate in bronzo. Oriente, Grecia, Italia in età orientalizzante, *Studia archaeologica* 139 (Rom 2005)
- Sciaccia 2010a
F. Sciaccia, Veio. La metallotecnica orientalizzante e i rapporti con l'Oriente, in: *Meetings between Cultures in the Ancient Mediterranean. XVII International Congress of Classical Archaeology, Rome 2008, September 22–26, BA online 2010, 5–19*
- Sciaccia 2010b
F. Sciaccia, Commerci fenici nel Tirreno orientale: uno sguardo dalle grandi necropoli, in: *Meetings between Cultures in the Ancient Mediterranean. XVII International Congress of Classical Archaeology, Rome 2008, September 22–26, BA online 2010, 45–61*
- Scheuer – Black 2000
L. Scheuer – S. Black, *Developmental Juvenile Osteology* (London 2000)
- Schiappelli 2014
A. Schiappelli, Torre del Mordillo. L'abitato, in: *Cerzoso – Vanzetti 2014, 55–59*
- Schiering 1983
W. Schiering, *Die griechischen Tongefässe. Gestalt, Bestimmung und Formenwandel* (Berlin 1983)
- Schindler 1998
M. P. Schindler, Der Depotfund von Arbedo TI und die Bronze-depotfunde des Alpenraums vom 6. bis zum Beginn des 4. Jh. v. Chr., *Antiqua* 30 (Basel 1998)
- Schneider u. a. 1979
L. Schneider – B. Fehr – K. H. Meyer, Zeichen, Kommunikation, Interaktion. Zur Bedeutung von Zeichen-, Kommunikations- und Interaktionstheorie für die Klassische Archäologie, *Hephaistos* 1, 1979, 7–41
- Schoch u. a. 1988
W. H. Schoch – B. Pawlik – F. H. Schweingruber, *Botanische Makroreste. Ein Atlas zur Bestimmung häufig gefundener und ökologisch wichtiger Pflanzensamen* (Bern 1988)
- Schour - Massler 1944
I. Schour – M. Massler, *The Development of Human Dentition* 2 (Chicago 1944)
- Schreiber 1999
T. Schreiber, *Athenian Vase Construction. A Potter's Analysis* (Malibu 1999)
- Schulz von Thun 2001
F. Schulz von Thun, *Miteinander reden* 35 (Reinbek 2001)
- Schuster-Brandis 2008
A. Schuster-Brandis, Steine als Schutz- und Heilmittel. Untersuchungen zu ihrer Verwendung in der Beschwörungskunst Mesopotamiens im 1. Jt. v. Chr., *AOAT* 46 (Münster 2008)
- Schutzkowski 1989
H. Schutzkowski, Beitrag zur Alters- und Geschlechtsdiagnose am Skelett nicht erwachsener Individuen, *Anthropologischer Anzeiger* 47, 1989, 1–9
- Schutzkowski 1990
H. Schutzkowski, Zur Geschlechtsdiagnose von Kinderskeletten. Morphognostische, metrische und diskriminanzanalytische Untersuchungen (Diss. Universität Göttingen 1990)
- Schweingruber 1978
F. H. Schweingruber, *Mikroskopische Holz-anatomie* (Birmensdorf 1978)
- Schweingruber 1990
F. H. Schweingruber, *Anatomie europäischer Hölzer* (Bern 1990)
- Serneels 1997
V. Serneels, Die Prozesskette der frühen Eisenindustrie, in: *Vereinigung des archäologisch-technischen Grabungspersonals der Schweiz VATG (Hrsg.), Grabungstechnik. Erze, Schlacken, Eisen. Einführungskurs zum Studium der frühen Eisenmetallurgie und der Bestimmung der Abfälle dieser Industrie* (Basel 1997) 9–12
- Serneels 1999
V. Serneels, Eisen, SPM IV (Basel 1999) 172–180
- Sjøvold 1988
T. Sjøvold, Geschlechtsdiagnose am Skelett, in: *Knussmann 1988, 444–480*
- Small 1976
A. M. Small, The Iron Age Pottery, Sites A and F, in: *L. Du Toit – P. G. Dorrell – A. M. Small, Gravina Di Puglia, 3, 1. Houses and a Cemetery of the Iron Age and Classical Periods, BSR* 44, 1976, 76–132
- Smith 2006
Ch. J. Smith, *The Roman Clan. The Gens from Ancient Ideology to Modern Anthropology* (Cambridge 2006)
- Sommella u. a. 1969
P. Sommella – C. F. Giuliani – M. Fenelli – M. Guaitoli – G. Fiorani – F. Piccarreta, Sibari. Saggi di scavo al Parco del Cavallo (1969), *NSc* 1969 Suppl. 1, 50–96
- Sossau 2015
V. Sossau, The Cultic Fingerprint of the Phoenicians in the Early Iron Age West?, in: *E. Kistler – B. Öhlinger – M. Mohr – M. Hornes (Hrsg.), Sanctuaries and the Power of Consumption. Networking and the Formation of Elites in the Archaic Western Mediterranean World. Proceedings of the International Conference in Innsbruck, 20th–23rd March 2012, Philippika* 92 (Wiesbaden 2015) 21–42
- Spadea 1992
R. Spadea, Per una carta archeologica del territorio di Cricchi in provincia di Catanzaro, *AttiMemMagnaGr* 1, 1992, 185–193
- Stadler 2014
R. Stadler, Die Tracht der frühkeltischen Frau. Eine Rekonstruktion nach Vorbildern aus Südwestdeutschland, *Porträt Archäologie* 6 (Esslingen 2014)
- Stampolidis 2003
N. Stampolidis (Hrsg.), *Sea Routes... From Sidon to Huelva. Interconnections in the Mediterranean, 16th–6th c. BC. Ausstellungskatalog Athen* (Athen 2003)
- Stampolidis 2012
N. Stampolidis (Hrsg.), "Princesses" of the Mediterranean in the Dawn of History. *Ausstellungskatalog Athen* (Athen 2012)
- Steinert 2015
U. Steinert, Von inneren Räumen und 'blühenden' Landschaften. Der weibliche Körper in der babylonischen Medizin, *AW* 2, 2015, 19–25
- Stloukal – Hanakova 1978
M. Stloukal – H. Hanakova, Die Länge der Längsknochen altslawischer Bevölkerungen unter besonderer Berücksichtigung von Wachstumsfragen, *Homo* 29, 1978, 53–69
- Stockhammer 2012
Ph. W. Stockhammer, Conceptualizing Cultural Hybridization in Archaeology, in: *Ph. W. Stockhammer (Hrsg.), Conceptualizing Cultural Hybridization. A Transdisciplinary Approach* (Berlin 2012) 43–58
- Stoop 1974–1976
M. W. Stoop, Acropoli sulla Motta, *AttiMemMagnaGr* 15–17, 1974–1976, 107–174

- Szilvássy 1988
J. Szilvássy, Altersdiagnose am Skelett, in: Knussmann 1988, 421–435
- Tagliente 1985
M. Tagliente, Elementi del banchetto in un centro arcaico della Basilicata (Chiaromonte), *MEFRA* 97, 1985, 159–191
- Taliano Grasso – Pisarra 2018
A. Taliano Grasso – D. Pisarra, I pendagli a coppia antropomorfa, *AttiMemMagnaGr* 3, 2018, 261–289
- Tarlow – Nilsson Stutz 2013
S. Tarlow – L. Nilsson Stutz (Hrsg.), *The Oxford Handbook of the Archaeology of Death and Burial* (Oxford 2013)
- Teržan 1994
B. Teržan, Überlegungen zum sozialen Status des Handwerkers in der frühen Eisenzeit Südosteuropas, in: C. Dobiat (Hrsg.), *Festschrift für Otto-Herman Frey zum 65. Geburtstag*, Marburger Studien zur Vor- und Frühgeschichte 16 (Marburg 1994) 659–669
- Tiné 1962
S. Tiné, Successione delle culture preistoriche in Calabria alla luce dei recenti scavi in provincia di Cosenza, *Klarchos* 4, 1962, 38–48
- Toms 1986
J. Toms, The Relative Chronology of the Villanovan Cemetery of Quattro Fontanili at Veii, *AION ArchStAnt* 8, 1986, 41–97
- Topa 1927
D. Topa, Le civiltà primitive della Brettia. *Paletnologia* (Palma 1927; Nachdr. Sala Bolognese 1980)
- Trachsel 2004
M. Trachsel, Untersuchungen zur relativen und absoluten Chronologie der Hallstattzeit, *UPA* 104 (Bonn 2004)
- Treasures from the South of Italy 1998
Treasures from the South of Italy. Greeks and Indigenous People in Basilicata. Ausstellungskatalog Strassburg (Mailand 1998)
- Trucco – Vagnetti 2001
F. Trucco – L. Vagnetti (Hrsg.), *Torre Mordillo 1987–1990. Le relazioni egee di una comunità protostorica della Sibaritide*, *Incunabula Graeca* 101 (Rom 2001)
- Ubelaker 1978
D. H. Ubelaker, *Human Skeletal Remains. Excavation, Analysis, Interpretation* (Chicago 1978)
- Ubelaker 1989
D. H. Ubelaker, *Human Skeletal Remains. Excavation, Analysis, Interpretation* ²(Washington DC 1989)
- Uhl 1997
A. Uhl, Anthropologische Auswertung der hoch- und spätmittelalterlichen Skelette aus der ehemaligen St. Andreaskirche (BS), *JberBasel* 1997, 47–165
- Ulrich-Bochsler 1994
S. Ulrich-Bochsler, Bütigen – Köniz – Unterseen. Anthropologische Untersuchungen an früh- und hochmittelalterlichen Skeletten (Bern 1994)
- Ulrich-Bochsler – Meyer 1992
S. Ulrich-Bochsler – L. Meyer, Die anthropologischen Forschungen, in: P. Eggenberger – M. Bossert – S. Ulrich-Bochsler, *Walkringen. Reformierte Pfarrkirche. Die Ergebnisse der Bauforschungen von 1986/87* (Bern 1992) 91–125
- Ulrich-Bochsler – Meyer 1994
S. Ulrich-Bochsler, Die anthropologischen Forschungen, in: P. Eggenberger – S. Ulrich-Bochsler, *Steffisburg. Reformierte Pfarrkirche. Die Ergebnisse der archäologischen Forschungen von 1980 und 1982* (Bern 1994) 101–160
- Ulrich-Bochsler – Schäublin 1991
S. Ulrich-Bochsler – E. Schäublin, Anthropologische Befunde, in: P. Eggenberger – M. Rast Cotting – S. Ulrich-Bochsler, *Wangen an der Aare. Reformierte Pfarrkirche. Ehemaliges Benediktinerpriorat. Ergebnisse der Bauforschungen von 1980/81* (Bern 1991) 73–100
- Ulrich-Bochsler u. a. 1993
S. Ulrich-Bochsler – A. Cueni – L. Meyer – Chr. Simon – G. Hotz, Vereinigung des archäologisch-technischen Grabungspersonals der Schweiz VATG (Hrsg.), *Grabungstechnik. Einführung in die Archäoanthropologie für das archäologisch-technische Grabungspersonal* (Basel 1993)
- Universität Basel 2016
Universität Basel, 3D-Animation eines Kindergrabes aus dem 8. Jh. v. Chr., Francavilla Marittima, <<https://www.youtube.com/watch?v=wnXbfeuRW0E>> (zuletzt aufgerufen am 20.11.2020)
- Vach u. a. in Vorbereitung
W. Vach – C. Alder – S. Pichler, *Analysing Coarsened Categorical Data with or without Probabilistic Information*, in: *The Stata Journal* (in Vorbereitung)
- Vallois 1937
H. V. Vallois, La durée de la vie chez l'homme fossile, *L'Anthropologie* 47, 1937, 499–532
- Van der Wielen-van Ommeren – De Lachenal 2007
F. van der Wielen-van Ommeren – L. de Lachenal (Hrsg.), *La dea di Sibari e il santuario ritrovato. Studi sui rinvenimenti dal Timpone Motta di Francavilla Marittima I.1 Ceramiche di importazione, di produzione coloniale e indigena 1*, *BdA volume speciale* (Rom 2007)
- Van der Wielen-van Ommeren – De Lachenal 2008
F. van der Wielen-van Ommeren – L. de Lachenal (Hrsg.), *La dea di Sibari e il santuario ritrovato. Studi sui rinvenimenti dal Timpone Motta di Francavilla Marittima I.2. Ceramiche di importazione, di produzione coloniale e indigena 2*, *BdA volume speciale* (Rom 2008)
- Van Dommelen 2014
P. A. R. van Dommelen, *Moving on: Archaeological Perspectives on Mobility and Migration*, *WorldA* 46, 2014, 477–483
- Van Gennep 2005
A. van Gennep, *Übergangsriten. Les rites de passages* ³(Frankfurt 2005)
- Van Leusen u. a. in Vorbereitung
P. M. van Leusen – P. A. J. Attema – N. Oome – L. Alessandri – F. Ippolito – W. de Neef, *Site Catalogue of the Raganello Archaeological Project. Raganello Basin Series volume 1*, in Vorbereitung
- Vanzetti 2006
A. Vanzetti, Indagini sulle strutture sociali nell'Italia protostorica mediante diagrammi di tipo rank-size applicati a contesti funerari, in: *Studi di Protostoria in onore di Renato Peroni* (Borgo San Lorenzo 2006) 609–623
- Vanzetti 2008
A. Vanzetti, Appunti per l'indagine sulle deposizioni umane in abitato durante la protostoria europea, in: G. Bartoloni – M. G. Benedettini (Hrsg.), *Sepolti tra i vivi. Evidenza ed interpretazione di contesti funerari in abitato. Atti del convegno internazionale, Roma, 26–29 aprile 2006, Scienze dell'antichità. Storia Archeologia Antropologia* 14 (2007–2008) (Rom 2008) 745–769
- Vanzetti 2009
A. Vanzetti, Notazioni sulla fine dell'età del ferro precoloniale nella Piana di Sibari, in: Bettelli u. a. 2009, 179–202
- Vanzetti 2014a
A. Vanzetti, *Pregnanza archeologica della necropoli di Torre Mordillo*, in: Cerzoso – Vanzetti 2014, 60–64

- Vanzetti 2014b
A. Vanzetti, Caratteri della necropoli di Torre Mordillo, in: Cerzoso – Vanzetti 2014, 65–70
- Veit 2008
U. Veit, Zur Einführung, in: Ch. Kümmel – B. Schweizer – U. Veit (Hrsg.), Körperinszenierung – Objektsammlung – Monumentalisierung. Totenritual und Grabkult in frühen Gesellschaften. Archäologische Quellen in kulturwissenschaftlicher Perspektive, Tübinger Archäologische Taschenbücher 6 (Münster 2008) 17–30
- Vella 2010
N. Vella, “Phoenician” Metal Bowls: Boundary Objects of the Archaic Period, in: Meetings between Cultures in the Ancient Mediterranean. XVII International Congress of Classical Archaeology, Rome 2008, September 22–26, BA online 2010, 22–37
- Venniro 2018
L. M. Venniro, Umberto Zanotti Bianco tra l’Italia e la Russia. L’epistolario di padre Giuseppe Trinchero, il carteggio di Anna Kolpinskaja, il viaggio in Russia nel 1922 (Reggio Calabria 2018)
- Verdan 2013
S. Verdan, Le sanctuaire d’Apollon Daphnéphoros à l’époque géométrique, Eretria 22 (Gollion 2013)
- Verdan u. a. 2008
S. Verdan – A. Kenzelmann Pfyffer – C. Léderrey, Céramique géométrique d’Erétrie, Eretria 20 (Gollion 2008)
- Villa 2001
I. M. Villa, Radiogenic Isotopes in Fluid Inclusions, Lithos 55, 2001, 115–124
- Villa 2009
I. M. Villa, Lead Isotopic Measurements in Archeological Objects, Archaeological and Anthropological Sciences 1, 2009, 149–153
- Villa u. a. 2006
I. M. Villa – G. Ruggieri – M. Puxeddu – G. Bertini, Geochronology and Isotope Transport Systematics in a Subsurface Granite from the Larderello-Travale Geothermal System (Italy), Journal of Volcanology and Geothermal Research 152, 2006, 20–50
- Vink 1994/1995
M. Vink, Confrontatie of Coexistentie?, TMA 14, 1994/1995, 16–25
- Vistoli 2012
F. Vistoli, Montuoro, Paola, Dizionario Biografico degli Italiani 76 (Rom 2012) 382–384
- Vlachou 2007
V. Vlachou, Oropos: The Infant and Child Inhumations from the Settlement (Late 8th – Early 7th Centuries BC), in: A. Mazarakis Ainian (Hrsg.), Oropos and Euboea in the Early Iron Age. Acts of an International Round Table, University of Thessaly, June 18–20, 2004 (Volos 2007) 213–240
- Vlad Borrelli 2010
L. Vlad Borrelli, L’eredità di Paola Zancani M., in: F. Senatore – M. Russo (Hrsg.), Sorrento e la penisola sorrentina tra italici, etruschi e greci nel contesto della Campania antica (Rom 2010) 133–146
- Von Eles 2002
P. von Eles (Hrsg.), Guerriero e sacerdote. Autorità e comunità nell’età del ferro a Verucchio. La Tomba del Trono, Quaderni di Archeologia dell’Emilia Romagna 6 (Florenz 2002)
- Von Eles 2007
P. von Eles (Hrsg.), Le ore e i giorni delle donne. Dalla quotidianità alla sacralità tra VIII e VII secolo a.C. Ausstellungskatalog Verucchio (Verucchio 2007)
- Von Eles 2010
P. von Eles, Verucchio, Museo Civico Archeologico, in: B. Orsini (Hrsg.), Le lacrime delle ninfe. Tesori d’ambra nei musei dell’Emilia-Romagna (Bologna 2010) 166–197
- Von Rummel 2007
Ph. von Rummel, Habitus barbarus. Kleidung und Repräsentation spätantiker Eliten im 4. und 5. Jahrhundert. Ergänzungsbände zum Reallexikon der germanischen Altertumskunde 55 (Berlin 2007)
- Waarsenburg 1995
D. J. Waarsenburg, The Northwest Necropolis of Satricum. An Iron Age Cemetery in Latium Vetus, Scrinium 8 = Satricum 3 (Amsterdam 1995)
- Wahl 2008
J. Wahl, Prähistorische Anthropologie zwischen Massband und PCR – Der Stellenwert konventioneller Methoden im Angesicht moderner Analyseverfahren, in: Hauptmann – Pingel 2008, 32–45
- Ward-Perkins u. a. 1963
J. B. Ward-Perkins – R. A. Staccioli – A. De Agostino – A. P. Vianello – D. Ridgway – J. Close-Brooks – M. T. Amorelli Falconi – G. Alciati – P. Passarello, Veio (Isola Farnese). Scavi in una necropoli villanoviana in località ‘Quattro Fontanili’, NSc 17, 1963, 77–279
- Ward-Perkins u. a. 1965
J. B. Ward-Perkins – R. A. Staccioli – J. Close-Brooks – A. Cavallotti Batchvarova – P. Passarello, Veio (Isola Farnese). Continuazione degli scavi nella necropoli villanoviana in località ‘Quattro Fontanili’, NSc 19, 1965, 49–236
- Ward-Perkins u. a. 1967
J. B. Ward-Perkins – R. A. Staccioli – M. Torelli – A. Cavallotti Batchvarova – M. T. Falconi Amorelli – P. Passarello, Veio (Isola Farnese). Continuazione degli scavi nella necropoli villanoviana in località ‘Quattro Fontanili’, NSc 21, 1967, 87–286
- Ward-Perkins u. a. 1970
J. B. Ward-Perkins – M. T. Falconi Amorelli – A. Batchvarova – M. Wheeler – E. Fabbicotti – M. A. Meagher – M. Torelli – M. C. Franco – P. Mallett – A. Wachter, Veio (Isola Farnese). Continuazione degli scavi nella necropoli villanoviana in località ‘Quattro Fontanili’, NSc 24, 1970, 178–329
- Warneke 1999
T. F. Warneke, Hallstatt- und frühlatènezeitlicher Anhänger-schmuck. Studien zu Metallanhängern des 8.–5. Jahrhunderts v. Chr. zwischen Main und Po, Internationale Archäologie 50 (Rahden 1999)
- Weidig 2014
J. Weidig, Bazzano – ein Gräberfeld bei L’Aquila (Abruzzen). Die Bestattungen des 8.–5. Jahrhunderts v. Chr. Untersuchungen zu Chronologie, Bestattungsbräuchen und Sozialstrukturen im apenninischen Mittelitalien, Monographien des Römisch-Germanischen Zentralmuseums 112 (Mainz 2014)
- Weidig 2015
J. Weidig, Un banchetto funebre intorno alla sepoltura? Il rito della frammentazione del vasellame ceramico nelle tombe arcaiche dell’Italia centrale: il caso di Bazzano presso L’Aquila, in: A. Esposito (Hrsg.), Autour du “banquet”. Modèles de consommation et usages sociaux (Dijon 2015) 115–131
- Weidig – Bruni 2015
J. Weidig – N. Bruni, Strutture tombali plurime a Spoleto. Elementi di differenze cronologiche, sociali e gruppi familiari nel VII sec. a.C., AnnFaina 22, 2015, 535–571

- Weiss-Krejci 2013
E. Weiss-Krejci, *The Unburied Dead*, in: Tarlow – Nilsson Stutz 2013, 281–301
- Whitbread 1989
I. K. Whitbread, *A Proposal for the Systematic Description of Thin Sections Towards the Study of Ancient Ceramic Technology*, in: Y. Maniatis (Hrsg.), *Archaeometry: Proceedings of the 25th International Symposium (Amsterdam 1989)* 127–138
- Whitehouse 2015
R. D. Whitehouse, *Investigating Gender in the Italian Iron Age*, in: Saltini Semerari – Burgers 2015, 91–101
- Winter 1981
I. J. Winter, *Is there a South Syrian Style of Ivory Carving in the Early First Millennium B.C.?*, *Iraq* 43, 1981, 101–130
- Winter 1988
I. J. Winter, *North Syria as a Bronzeworking Centre in the Early First Millennium B.C.: Luxury Commodities at Home and Abroad*, in: J. Curtis (Hrsg.), *Bronzeworking Centres of Western Asia c. 1000–539 B.C.* (London 1988) 193–225
- Wittke u. a. 2007
A.-M. Wittke – E. Olshausen – R. Szydlak, *Historischer Atlas der antiken Welt*, DNP Suppl. 3 (Stuttgart 2007)
- Wolfe 1998
J. Wolfe, *Analysis of Iron Age Bronze Fibulae from Southern Italy in the Collection of the Harvard University Art Museums* (Dissertation Straus Center for Conservation and Technical Studies 1998, unpubliziert)
- Xagorari-Gleissner 2008
M. Xagorari-Gleissner, *Tod und Bestattung. Der Weg hinab ins nächtliche Dunkel*, in: K. Horst – C. Hattler (Hrsg.), *Zeit der Helden. Die „dunklen Jahrhunderte“ Griechenlands 1200–700 v. Chr.* Ausstellungskatalog Karlsruhe (Darmstadt 2008)
- Yntema 1990
D. Yntema, *The Matt-Painted Pottery of Southern Italy. A General Survey of the Matt-Painted Pottery Styles of Southern Italy During the Final Bronze Age and the Iron Age*, Università di Lecce. Dipartimento di Scienze dell'Antichità. Settore storico-archeologico, Collana del Dipartimento 4 (Galatina 1990)
- Yntema 2000
D. Yntema, *Mental Landscapes of Colonization: The Ancient Written Sources and the Archaeology of Early Colonial-Greek Southeastern Italy*, *BABesch* 75, 2000, 1–49
- Zancani Montuoro 1966
P. Zancani Montuoro, *Coppie dell'età del ferro in Calabria*, *Klarchos* 8, 1966, 197–224
- Zancani Montuoro 1970/1971a
P. Zancani Montuoro, *Francavilla Marittima, Necropoli di Macchiabate, Coppa di bronzo sbalzata*, *AttiMemMagnaGr* 11/12, 1970/1971, 7–36
- Zancani Montuoro 1970/1971b
P. Zancani Montuoro, *Statuetta dedalica incompleta*, *AttiMemMagnaGr* 11/12, 1970/1971, 67–74
- Zancani Montuoro 1974–1976
P. Zancani Montuoro, *Francavilla Marittima. Necropoli*, *AttiMemMagnaGr* 15–17, 1974–1976, 9–106
- Zancani Montuoro 1977–1979
P. Zancani Montuoro, *Francavilla Marittima. Necropoli di Macchiabate*, *AttiMemMagnaGr* 18–20, 1977–1979, 7–91
- Zancani Montuoro 1980–1982
P. Zancani Montuoro, *Francavilla Marittima. Necropoli e ceramico a Macchiabate. Zona T (Temparella)*, *AttiMemMagnaGr* 21–23, 1980–1982, 7–129
- Zancani Montuoro 1983/1984
P. Zancani Montuoro, *Francavilla Marittima. Necropoli di Macchiabate. Zona T (Temparella, continuazione)*, *AttiMemMagnaGr* 24/25, 1983/1984, 7–110
- Zauber in Bernstein 2010
Zauber in Bernstein. *Schmuck und Amulette aus der Basilikata*. Ausstellungskatalog Zürich (Zürich 2010)
- Zervos 1954
C. Zervos, *La civilisation de la Sardaigne, du début de l'énéolithique à la fin de la période nouragique* (Paris 1954)
- Zevi 1976
F. Zevi, in: G. Colonna – G. Bartoloni – E. Colonna di Paolo – F. Melis (Hrsg.), *Civiltà del Lazio primitivo*. Ausstellungskatalog Rom (Rom 1976) 287
- Zoppi 2009
S. Zoppi, *Umberto Zanotti Bianco. Patriota, educatore, meridionalista: il suo progetto e il nostro tempo* (Soveria Mannelli 2009)

Abbildungsnachweise

Kapitel 1

Abb. 1.1: Sven Billo, Francavilla-Projekt Universität Basel.

Abb. 1.2; 1.3: Francavilla-Projekt Universität Basel.

Kapitel 2

Abb. 2.1: Accademia Nazionale dei Lincei. Publikation mit freundlicher Genehmigung des Archivio dell'Accademia Nazionale dei Lincei.

Abb. 2.2; 2.3: Francavilla-Projekt Universität Basel.

Tab. 2.4: Francesco Quondam.

Abb. 2.5: Pasqui 1888, 256 Taf. 15, 22.

Abb. 2.6: Zeichnung Francesco Quondam; Umzeichnung Brigitte Gubler, Zürich.

Abb. 2.7: Taliano Grasso – Pisarra 2018, 286 Nr. 22 Taf. 4, 41; Umzeichnung Brigitte Gubler, Zürich.

Abb. 2.8: Kleibrink – Weistra 2013, 40 Abb. 9; Umzeichnung Brigitte Gubler, Zürich.

Abb. 2.9: Kleibrink 2006, 122 Abb. 38b; Umzeichnung Brigitte Gubler, Zürich.

Abb. 2.10–12; 2.28–30: Zeichnung Brigitte Gubler, Zürich, Francavilla-Projekt Universität Basel.

Abb. 2.13: Zancani Montuoro 1983/1984, tav. 73a; Umzeichnung Brigitte Gubler, Zürich.

Abb. 2.14–18: de La Genière 1977, 402 Nr. 48 Abb. 15; Umzeichnung Brigitte Gubler, Zürich.

Abb. 2.19: Taliano Grasso – Pisarra 2018, 284 Nr. 13 Taf. 1, 16; Umzeichnung Brigitte Gubler, Zürich.

Abb. 2.20: Taliano Grasso – Pisarra 2018, 285 Nr. 19 Taf. 2, 20; Umzeichnung Brigitte Gubler, Zürich.

Abb. 2.21: Guzzo u. a. 1994, 174 Nr. 694; Umzeichnung Brigitte Gubler, Zürich.

Abb. 2.22: Frasca 1992, 21 Abb. 6; Umzeichnung Brigitte Gubler, Zürich.

Abb. 2.23: Taliano Grasso – Pisarra 2018, 289 Nr. 41 Taf. 11, 40; Umzeichnung Brigitte Gubler, Zürich.

Abb. 2.24: Frasca 1992, 21, Abb. 3; Umzeichnung Brigitte Gubler, Zürich.

Abb. 2.25: Frasca 1992, 21, Abb. 7; Umzeichnung Brigitte Gubler, Zürich.

Abb. 2.26: Zancani Montuoro 1983/1984, Taf. 74b; Umzeichnung Brigitte Gubler, Zürich.

Abb. 2.27: Zancani Montuoro 1966, 216–220 Abb. 9; Umzeichnung Brigitte Gubler, Zürich.

Abb. 2.31: Taliano Grasso – Pisarra 2018, 285 Nr. 17 Taf. 2, 19; Umzeichnung Brigitte Gubler, Zürich.

Abb. 2.32: Zeichnung Marco Pacciarelli; Umzeichnung Brigitte Gubler, Zürich.

Abb. 2.33; Bianco 2018, Taf. 1a; Umzeichnung Brigitte Gubler, Zürich.

Abb. 2.34: Spadea 1992, Taf. 36,1; Umzeichnung Brigitte Gubler, Zürich.

Abb. 2.35: Zancani Montuoro 1983/1984, Taf. 74a; Umzeichnung Brigitte Gubler, Zürich.

Abb. 2.36: Zancani Montuoro 1983/1984, Taf. 73d; Umzeichnung Brigitte Gubler, Zürich.

Abb. 2.37: Frasca 1992, 21 Abb. 11; Umzeichnung Brigitte Gubler, Zürich.

Abb. 2.38: Di Stefano 2004, 877 f. Abb. 1; Umzeichnung Brigitte Gubler, Zürich.

Abb. 2.39: Gamba 2013, 264, Abb. 5, 5; Umzeichnung Brigitte Gubler, Zürich.

Abb. 2.40: Zancani Montuoro 1970/1971a, Taf. 8; Wiederauflage mit freundlicher Genehmigung der Società Magna Grecia.

Abb. 2.41: Layard 1853, Taf. 62 b; Umzeichnung Brigitte Gubler, Zürich.

Abb. 2.42: Flinders Petrie 1930, Taf. 28, 824; Umzeichnung Brigitte Gubler, Zürich.

Abb. 2.43; Layard 1853, Taf. 60.

Abb. 2.44; Layard 1853, Taf. 59 c.

Abb. 2.45; Layard 1853, Taf. 61 a.

Abb. 2.46; Orsi 1888, 718, Atlante Taf. 7.

Abb. 2.47; Layard 1853, Taf. 64.

Abb. 2.48; Kunze 1931, 7 f. Nr. 5 Taf. 7.

Abb. 2.49; Maggiani 1973, Abb. 2; Wiederauflage mit Genehmigung von Adriano Maggiani.

Abb. 2.50; Bartoloni 1987, 38–41, Abb. 8–11; Wiederauflage mit Genehmigung des Museo Archeologico Nazionale di Firenze (Direzione Regionale Musei della Toscana). Jede weitere Reproduktion oder Vervielfältigung ist untersagt.

Abb. 2.51; Bedini – Cordano 1975, Abb. 18.

Abb. 2.52; Pincelli – Morigi Govi 1975, 454 f. Abb. 68, 8 Wiederauflage mit Genehmigung des Museo Civico Archeologico di Bologna.

Abb. 2.53; Drago Troccoli 2009, 259 f. Abb. 11; Wiederauflage mit Genehmigung von Francesco Buranelli.

Abb. 2.54; Maggiani 2002, 411 Taf. 1 a; Wiederauflage mit Genehmigung des Museo Archeologico Nazionale di Firenze (Direzione Regionale Musei della Toscana). Jede weitere Reproduktion oder Vervielfältigung ist untersagt.

Abb. 2.55; Zervos 1954, 156 Abb. 164.

Abb. 2.56; Fiorelli 1882, Taf. 18, 9; Umzeichnung Brigitte Gubler, Zürich.

Abb. 2.57–59: Funde aus Vetulonia im Museo Archeologico Nazionale di Firenze. Wiederauflage mit Genehmigung des Museo Archeologico Nazionale di Firenze (Direzione Regionale Musei della Toscana). Jede weitere Reproduktion oder Vervielfältigung ist untersagt.

Abb. 2.60–64: Valentina Cannavò.

Kapitel 3

Abb. 3.1–3.79: Francavilla-Projekt Universität Basel.

Abb. 3.80: Paris, Musée du Louvre, CA6827; Photo ©RMN-Grand Palais (musée du Louvre), Stéphane Maréchal.

Abb. 3.81: Zürich, Archäologische Sammlung der Universität, Inv. 3779. © Archäologische Sammlung der Universität Zürich. Foto: F. Tomio.

Abb. 3.82: Basel, Antikenmuseum Basel und Sammlung Ludwig, BS 406.1963. © Antikenmuseum Basel und Sammlung Ludwig.

Abb. 3.83: Museo Nazionale Archeologico della Sibaritide. Zeichnung Francesco Quondam.

Abb. 3.84: Zeichnung Brigitte Gubler, Zürich, Francavilla-Projekt Universität Basel.

Tab. 3.85: Corinne Juon.

Kapitel 4

Tab. 4.1–4.5: Camilla Colombi.

Tab. 4.6: Sven Billo.

Tab. 4.7: Corinne Juon.

Abb. 4.8: Zeichnung Brigitte Gubler, Zürich, Francavilla-Projekt Universität Basel.

Kapitel 5

Tab. 5.1: Marta Billo-Imbach.

Abb. 5.2: Francavilla-Projekt Universität Basel.

Abb. 5.3: Ikonaut Brugg GmbH.

Abb. 5.4: Sven Billo, Francavilla-Projekt Universität Basel.

Abb. 5.5: Zancani Montuoro 1977–1979, 28 Abb. 9; Wiederauflage mit freundlicher Genehmigung der Società Magna Grecia.

Abb. 5.6: Zancani Montuoro 1977–1979, 74 Abb. 26; Wiederauflage mit freundlicher Genehmigung der Società Magna Grecia.

Abb. 5.7: Zancani Montuoro 1977–1979, 46 Abb. 16; Wiederauflage mit freundlicher Genehmigung der Società Magna Grecia.

Abb. 5.8: Zancani Montuoro 1974–1976, Beilage; Wiederauflage mit freundlicher Genehmigung der Società Magna Grecia.

Tab. 5.9: Camilla Colombi.

Abb. 5.10: Foto Victor S. Brigola, Stuttgart.

Kapitel 6

Tab. 6.1; 6.5; 6.6; Abb. 6.2; 6.3; 6.4: Cornelia Alder.

Kapitel 7

Tab. 7.1: Camilla Colombi nach Vorlage von Philippe Rentzel.

Tab. 7.2: Camilla Colombi nach Vorlage von Amélie Alterauge.

Tab. 7.3: Camilla Colombi nach Vorlage von Igor M. Villa.

Tab. 7.4: Camilla Colombi nach Vorlage von Donatella Novellis.

Abb. 7.5; 7.6; Tab. 7.7: Igor M. Villa.

Abb. 7.8; 7.9; 7.11; 7.12; 7.13; 7.14; Tab. 7.10; 7.15: Amber Research Laboratory, Vasar College, New York.

Kapitel 8

Abb. 8.1, links: Cuomo di Caprio 2007, 166 Abb. 27; rechts: Fasanella Masci 2016, 56 Abb. 2.1a.

Abb. 8.2, links: Cuomo di Caprio 2007, 168 Abb. 29; rechts: Fasanella Masci 2016, 56 Abb. 2.1b.

Abb. 8.3 links; 8.10 oben rechts; 8.11: Marianna Fasanella Masci.

Abb. 8.3, rechts: Fasanella Masci 2016, 56 Abb. 2.1f.

Abb. 8.4, links: Saraswati 1979; rechts: Fasanella Masci 2016, 56 Abb. 2.1c.

Abb. 8.5, links: Ruckl – Jacobs 2016, 306 Abb. 9; Wiedervorlage mit Genehmigung der British School in Athens und dank S. Ruckl, der das Foto gemacht hat; rechts: Fasanella Masci 2016, 35 Abb. 1.9.

Abb. 8.6, links: Cuomo di Caprio 2007, 194 Abb. 51; rechts: Fasanella Masci 2016, 111 Abb. 3.20.

Abb. 8.7 links; 8.8 links; 8.9; 8.10 oben links; 8.12; 8.13: Francavilla-Projekt Universität Basel.

Abb. 8.7, rechts: Kleibrink u. a. 2012a, 87 Abb. 123.

Abb. 8.8, rechts: Small 1976, 90 Abb. 14 Nr. 61.

Abb. 8.10, unten: Kleibrink – Fasanella Masci 2012, 84 Abb. 11a.

Abb. 8.14: Yntema 1990, 140 Abb. 113.

Tafeln

Taf. 1,1: Camilla Colombi auf der Basis von OpenStreetMap (Lizenz CC-BY-SA).

Taf. 1,2: Camilla Colombi auf der Basis von Carta Tecnica Regionale della Regione Calabria (Lizenz IODL2.0).

Taf. 2: Camilla Colombi auf der Basis von Carta Tecnica Regionale della Regione Calabria (Lizenz IODL2.0).

Taf. 4: Francavilla-Projekt Universität Basel.

Taf. 5: Eastern Atlas GmbH & Co. KG, Berlin (B. Ullrich), Bearbeitung: Camilla Colombi.

Taf. 6,1; 6,2: Publikation mit freundlicher Genehmigung des Archivio dell'Accademia Nazionale dei Lincei.

Taf. 6,3: Zancani Montuoro 1970/1971a, 11 Abb. 1. Wiederauflage mit freundlicher Genehmigung der Società Magna Grecia; Bearbeitung: Francavilla-Projekt Universität Basel.

Taf. 7,1: Foto Lello Chiappetta, Cosenza, mit Genehmigung des Museo Nazionale Archeologico della Sibaritide.

Taf. 7,2: Zancani Montuoro 1970/1971a, Taf. 8; Wiederauflage mit freundlicher Genehmigung der Società Magna Grecia. Ergänzt durch Brigitte Gubler, Zürich.

Taf. 8; 9: Zeichnungen Brigitte Gubler, Zürich, nach Vorlagen von Francesco Quondam.

Taf. 10–83: Pläne und Fotos Francavilla-Projekt Universität Basel; Zeichnungen Brigitte Gubler, Zürich.

Kontaktdaten der Autorinnen und Autoren

Cornelia Alder, Dr. des., Universität Basel, Departement Umweltwissenschaften, Integrative Prähistorische und Naturwissenschaftliche Archäologie (IPNA), Spalenring 145, CH–4055 Basel
cornelia.alder-at-unibas.ch

Sven Billo, MA, Archäologische Bodenforschung des Kantons Basel-Stadt, Petersgraben 11, CH–4001 Basel
sven.billo-at-bs.ch

Marta Billo-Imbach, MA, Universität Basel, Departement Altertumswissenschaften, Fachbereich Klassische Archäologie, Petersgraben 51, CH–4051 Basel
marta.imbach-at-unibas.ch

Valentina Cannavò, PhD, Università di Modena e Reggio Emilia, Dipartimento di Scienze Chimiche e Geologiche, Via Campi 103, IT–41125 Modena
valentinacannavo-at-gmail.com

Camilla Colombi, Dr., Deutsches Archäologisches Institut, Abteilung Rom, via Sicilia 136, IT–00187 Roma
camilla.colombi-at-dainst.de

Marianna Fasanella Masci, Dr., Université de Lausanne, Section d'archéologie et des sciences de l'Antiquité (ASA), Quartier UNIL-Chamberonne, CH–1015 Lausanne
mfasanellamasci-at-gmail.com

Martin A. Guggisberg, Prof. Dr., Universität Basel, Departement Altertumswissenschaften, Fachbereich Klassische Archäologie, Petersgraben 51, CH–4051 Basel
martin-a.guggisberg-at-unibas.ch

Pier Giovanni Guzzo, Accademia Nazionale dei Lincei / Istituto Nazionale di Archeologia e Storia dell'Arte, via Mogadiscio 7, I–00199 Roma
pietrogiovanniguzzo-at-gmail.com

Corinne Juon, MA, Kantonales Amt für Archäologie Wallis, Rue de la Piscine 10, CH–1950 Sitten
corinne.juon-at-admin.vs.ch

Sarjit Kaur, Edith Stout, Tianyi Li, Kryzel Bonifacio, Lucy Morse, Vasar College, Department of Chemistry, Amber Research Laboratory, Raymond Avenue, USA–12604 Poughkeepsie, New York

Donatella Novellis, dott.ssa, già Università degli Studi del Salento, Laboratorio di Archeobotanica e Paleoecologia
donatella.novellis-at-gmail.com

Francesco Quondam, dott., Universität Basel, Departement Altertumswissenschaften, Fachbereich Klassische Archäologie, Petersgraben 51, CH–4051 Basel
francesco.quondam-at-unibas.ch

Igor M. Villa, Prof. Dr., Università di Milano Bicocca, Centro Universitario Datazioni e Archeometria, piazza della Scienza 4, I–20126 Milano / Universität Bern, Institut für Geologie, Baltzerstrasse 1+3, CH–3012 Bern

Katalog

Strada 1		Tavv. 6–9	
Disturbata		Scavo 25/26 giugno 1963	
<i>Tipologia tombale:</i>	Tomba a fossa monumentale	Struttura a contorno absidato, con perimetro bordato da ricorsi di grandi ciottoli	Tomba 3.10 x 2.20 m circa
	Pavimento in ciottoli	Pavimentazione in ciottoli piani	Pavimentazione 2.50 x 1.20 m circa
	Orientamento NO-SE		
<i>Rito di sepoltura:</i>	Inumazione	Posizione rannicchiata o supino-rattratta, non precisabile	Orientamento NO-SE
<i>Antropologia:</i>	Età indet.	Scarsi resti ossei, forse pertinenti alle gambe	–
	Genere indet.		
Zancani Montuoro 1970/1971a, 9–36		IFe2A terminale – 2B iniziale	

S1/1	Anforetta	Tavv. 7. 8
<i>Inv. ministeriale:</i>	68385	
<i>Materiale:</i>	Ceramica d'impasto semidepurato, marrone rossiccio (5YR 4/4); superficie esterna steccata e lucidata, marrone rossiccio (5YR 4/4) virante a nero (7.5YR 2/0)	
<i>Fattura:</i>	A mano; decorazione impressa a falsa cordicella e a cerchielli	
<i>Stato di conservazione:</i>	In 15 frammenti solo in minima parte ricomponibili; oltre a quelli illustrati si contano 1 frammento di collo e 6 del corpo	
<i>Dimensioni:</i>	Alt. ric. 14.5 cm; diam. max. 18.5 cm	
<i>Descrizione:</i>	Anforetta con imboccatura larga, orlo svasato, breve collo troncoconico distinto appena rigonfio e corpo lenticolare, con ampia spalla tesa; coppia di anse a sottile e largo nastro piatto, appena sopraelevato, impostate dall'orlo alla massima espansione	
<i>Decorazione:</i>	Sulla spalla, serie distanziata di tre metope quadrangolari a falsa cordicella campite con fitte linee oblique, marginate inferiormente da una linea e superiormente da un fascio di tre linee a falsa cordicella, piegate ad angolo retto a lato dell'ansa. Sull'ansa, fasci di tre linee a falsa cordicella lungo i margini e alla base, con coppia di cerchielli impressi presso le intersezioni	
<i>Bibliografia:</i>	Zancani Montuoro 1970/1971a, 12 tav. II, A; Quondam 2014, 25 fig. 6, 1	IFe2A terminale – 2B iniziale

S1/2	Dolio	Tavv. 7. 8
<i>Inv. ministeriale:</i>	68384	
<i>Materiale:</i>	Ceramica figulina con clasti; superficie abrasa giallo-rossiccia (5YR 6/6-8)	
<i>Fattura:</i>	Al tornio	
<i>Stato di conservazione:</i>	Ricompuesto da più frammenti, con qualche integrazione	
<i>Dimensioni:</i>	Alt. 54 cm; diam. max. 41.5 cm; diam. orlo 27.2 cm; diam. fondo 10.5 cm	
<i>Descrizione:</i>	Dolio a colletto con corpo ovoide. Labbro arrotondato, orlo distinto svasato e ricurvo; breve colletto appena svasato, a profilo rettilineo, distinto dal corpo ovoide, rastremato verso il piccolo fondo a tacco; serie di quattro prese a linguetta impostate alla base del colletto	
<i>Bibliografia:</i>	Zancani Montuoro 1970/1971a, 12 tav. 1, D	IFe2A terminale – 2B iniziale

S1/3	Frammenti di orecchino/fermatrecce	Tav. 8
<i>Inv. ministeriale:</i>	S.N.I.	
<i>Materiale:</i>	Bronzo	
<i>Fattura:</i>	Fusione e martellatura	
<i>Stato di conservazione:</i>	Si conservano 2 frammenti non ricomponibili	
<i>Dimensioni:</i>	Diam. 2 cm	

<i>Descrizione:</i>	Due frammenti di filo di bronzo a sezione circolare, verosimilmente pertinenti a un orecchino/fermatrecce a spirale	
<i>Bibliografia:</i>	Zancani Montuoro 1970/1971a, tav. 2, B	IFe2A terminale – 2B iniziale

S1/4	Cinque bottoncini	Tav. 8
<i>Inv. ministeriale:</i>	68396	
<i>Materiale:</i>	Bronzo	
<i>Fattura:</i>	Fusione e martellatura	
<i>Stato di conservazione:</i>	2 esemplari integri, 3 frammentari (non illustrati)	
<i>Dimensioni:</i>	Alt. 0.4 cm; diam. 0.6 cm	
<i>Descrizione:</i>	5 bottoncini a calotta appiattita con piccola asola interna	
<i>Bibliografia:</i>	Zancani Montuoro 1970/1971a, 14 fig. 2, m e tav. 2, B	IFe2A terminale – 2B iniziale

S1/5	Collana	Tavv. 7. 8
<i>Inv. ministeriale:</i>	68404–68409	
<i>Materiale:</i>	Ambra	
<i>Fattura:</i>	Intaglio e levigatura	
<i>Stato di conservazione:</i>	Prevalentemente integri i vaghi; generalmente lacunosi dell'apice i pendenti. Ambra degradata e opacizzata, friabile, con numerose microfratture	
<i>Dimensioni:</i>	Vaghi: alt. 0.35–1 cm; diam. max. 1.2–1.4 cm; pendenti: dim. min. 1.8 x 1 cm; dim. max. 3.7 x 2.6 cm	
<i>Descrizione:</i>	Collana composta da almeno 33 pendenti e vaghi d'ambra. I 19 pendenti illustrati (altri 7 esemplari, estremamente lacunosi, non sono riprodotti), sono di forma circolare o allungata, a contorno arrotondato o poligonale, generalmente lacunosi del foro trasversale sommitale. Tra i vaghi, un esemplare è discoidale, due sono graduati, un quarto è globulare mentre il quinto, di forma sub-cilindrica, si distingue per la doppia perforazione. Tipi I, 1 e 2 (vaghi) e A, I–IV (pendenti) di Benedetti – Cardosa 2006	
<i>Decorazione:</i>	Possibile coppella mediana su uno dei pendenti	
<i>Bibliografia:</i>	Zancani Montuoro 1970/1971a, 14 tav. 2, C	IFe2A terminale – 2B iniziale

S1/6	Vago	Tavv. 7. 8
<i>Inv. ministeriale:</i>	68403	
<i>Materiale:</i>	Vetro	
<i>Fattura:</i>	Fusione	
<i>Stato di conservazione:</i>	Lacunoso	
<i>Dimensioni:</i>	Alt. 0.8 cm; diam. max. 1.1 cm; diam. foro 0.45 cm	
<i>Descrizione:</i>	Vago globulare in vetro incolore	
<i>Bibliografia:</i>	Zancani Montuoro 1970/1971a, 14 tav. 2, C	IFe2A terminale – 2B iniziale

S1/7	Collare	Tavv. 7. 9
<i>Inv. ministeriale:</i>	68387	
<i>Materiale:</i>	Bronzo	
<i>Fattura:</i>	Fusione e martellatura; incisioni a bulino	
<i>Stato di conservazione:</i>	Si conservano 2 frammenti non ricomponibili	
<i>Dimensioni:</i>	–	
<i>Descrizione:</i>	Coppia di frammenti di filo di bronzo, verosimilmente pertinenti a un collare con capi revoluti. Tipo 13a di Guzzo 1975	
<i>Decorazione:</i>	Serie continua di fitte incisioni anulari su entrambi i frammenti	
<i>Bibliografia:</i>	Zancani Montuoro 1970/1971a, 12 fig. 2, e tav. 2, B; Lo Schiavo 2010, 144 n. 405 tav. 39	IFe2A terminale – 2B iniziale

S1/8	Due pendagli a coppia antropomorfa	Tavv. 7. 9
<i>Inv. ministeriale:</i>	68401/68402	
<i>Materiale:</i>	Bronzo	

<i>Fattura:</i>	Fusione e martellatura	
<i>Stato di conservazione:</i>	1 esemplare integro (inv. 68401), il secondo (inv. 68402) lacunoso delle gambe e oggi più frammentario frammentario rispetto a quanto illustrato in Zancani Montuoro 1970/1971	
<i>Dimensioni:</i>	Inv. 68401: alt. 3.2 cm; largh. 1.8 cm. Inv. 68402: alt. cons. 2.7 cm; largh. 1.8 cm	
<i>Descrizione:</i>	2 pendagli raffiguranti una coppia di figure antropomorfe cinte in un abbraccio. Volti a contorno ovale congiunti alla sommità, con grandi occhi e naso in rilievo e bocca appena incavata, in un caso (inv. 68401, figura a sinistra) con evidenti bave di fusione; corpi a contorno subrettangolare congiunti all'altezza delle spalle, con tozzo collo e torace a profilo rettilineo o appena sinuoso; un braccio di ciascuna figura riposa sulla spalla dell'altra, quello libero dall'abbraccio, arcuato lungo i fianchi, forma invece un occhiello circolare per la sospensione; mani tozze e poco definite; gambe esili e flesse alle ginocchia, desinenti in grandi piedi dai dettagli anatomici appena accennati, raccordati da una barretta trasversale subrettangolare	
<i>Bibliografia:</i>	Zancani Montuoro 1970/1971a, 14 fig. 2, o-p tav. 2, B	IFe2A terminale – 2B iniziale

S1/9	Pendente	Tavv. 7. 9
<i>Inv. ministeriale:</i>	68400	
<i>Materiale:</i>	Bronzo	
<i>Fattura:</i>	Fusione e martellatura	
<i>Stato di conservazione:</i>	Lacunoso dell'apice forato	
<i>Dimensioni:</i>	Alt. cons. 1.2 cm; diam. max. 0.9 cm	
<i>Descrizione:</i>	Piccolo pendente globulare in bronzo lacunoso dell'apice forato	
<i>Bibliografia:</i>	Zancani Montuoro 1970/1971a, 14 fig. 2, q tav. 2, B	IFe2A terminale – 2B iniziale

S1/10	Frammenti di fibula a quattro spirali	Tav. 9
<i>Inv. ministeriale:</i>	68386	
<i>Materiale:</i>	Bronzo	
<i>Fattura:</i>	Fusione e martellatura	
<i>Stato di conservazione:</i>	Si conservano 9 frammenti non ricomponibili delle spirali e 1 frammento di risvolto della staffa	
<i>Dimensioni:</i>	–	
<i>Descrizione:</i>	9 frammenti di filo di bronzo a sezione circolare e uno di lamina pertinenti agli elementi a doppia spirale e al risvolto della staffa di una fibula a quattro spirali in bronzo. Tipo 447 di Lo Schiavo 2010 (?)	
<i>Bibliografia:</i>	Zancani Montuoro 1970/1971a, 12 fig. 2, b tav. 2, B	IFe2A terminale – 2B iniziale

S1/11	Frammento di fibula serpeggiante a occhiello	Tav. 9
<i>Inv. ministeriale:</i>	68388	
<i>Materiale:</i>	Bronzo	
<i>Fattura:</i>	Fusione e martellatura	
<i>Stato di conservazione:</i>	Si conserva 1 frammento del tratto anteriore dell'arco con l'occhiello e parte della staffa	
<i>Dimensioni:</i>	–	
<i>Descrizione:</i>	Fibula serpeggiante a occhiello in bronzo frammentaria. Tratto anteriore dell'arco piuttosto sviluppato, appena insellato, a sezione quadrangolare; molla a sezione quadrangolare; staffa a canale allungata, lacunosa del risvolto e della terminazione.	
<i>Bibliografia:</i>	Zancani Montuoro 1970/1971a, 12 fig. 2, f tav. 2, B	IFe2A terminale – 2B iniziale

S1/12	Anello digitale	Tav. 9
<i>Inv. ministeriale:</i>	68393	
<i>Materiale:</i>	Bronzo	
<i>Fattura:</i>	Fusione e martellatura	
<i>Stato di conservazione:</i>	Integro	
<i>Dimensioni:</i>	Alt. 1.7 cm; diam. 1.2 cm	
<i>Descrizione:</i>	Anello digitale a spirale di filo di bronzo a sezione rettangolare avvolto in 8 giri. Tipo VI.5.1b di Chiartano 1994	
<i>Bibliografia:</i>	Zancani Montuoro 1970/1971a, 12 fig. 2, n tav. 2, B	IFe2A terminale – 2B iniziale

S1/13	Coppia di anelli digitali	Tavv. 7. 9
<i>Inv. ministeriale:</i>	68390/68391	
<i>Materiale:</i>	Ferro	
<i>Fattura:</i>	Forgiatura	
<i>Stato di conservazione:</i>	1 esemplare integro (inv. 68390), il secondo lacunoso del 40% circa (inv. 68391)	
<i>Dimensioni:</i>	Alt. 1.1 e 1 cm; diam. 2.4 e 2.9 cm	
<i>Descrizione:</i>	Coppia di anelli digitali a fascia in ferro a sezione triangolare e piano-convessa	
<i>Bibliografia:</i>	Zancani Montuoro 1970/1971a, 13 fig. 2, a. b tav. 2, B	IFe2A terminale – 2B iniziale

S1/14	Anello da sospensione	Tav. 9
<i>Inv. ministeriale:</i>	68398	
<i>Materiale:</i>	Bronzo	
<i>Fattura:</i>	Fusione e martellatura	
<i>Stato di conservazione:</i>	Lacunoso del 50% circa	
<i>Dimensioni:</i>	Diam. 2.7 cm	
<i>Descrizione:</i>	Anello da sospensione in bronzo a sezione triangolare. Tipo 350A di D'Agostino – Gastaldi 2016	
<i>Bibliografia:</i>	Zancani Montuoro 1970/1971a, 14 fig. 2, h tav. 2, B	IFe2A terminale – 2B iniziale

S1/15	Coppia di pendagli di anelli	Tav. 9
<i>Inv. ministeriale:</i>	68399	
<i>Materiale:</i>	Bronzo	
<i>Fattura:</i>	Fusione e martellatura	
<i>Stato di conservazione:</i>	Si conservano 13 anelli in parte saldati tra loro, 9 dei quali integri e 4 lacunosi del 40–50%; altri 15 frammenti, 5 dei quali saldati tra loro, non sono riprodotti	
<i>Dimensioni:</i>	Diam. tra 1.4 e 1.6 cm	
<i>Descrizione:</i>	Gruppo di piccoli anelli a sezione lenticolare o romboidale, a volte con evidenti bave di fusione, pertinenti con ogni probabilità ad almeno una coppia di pendagli di anelli. Tipo III.A.6a di Chiartano 1994; tipo 350C2 di D'Agostino – Gastaldi 2016	
<i>Bibliografia:</i>	Zancani Montuoro 1970/1971a, 13 fig. 2, i tav. 2, B	IFe2A terminale – 2B iniziale

S1/16	Pendaglio ad anelli concentrici	Tavv. 7. 9
<i>Inv. ministeriale:</i>	S.N.I.	
<i>Materiale:</i>	Bronzo	
<i>Fattura:</i>	Fusione e martellatura	
<i>Stato di conservazione:</i>	Si conservano 2 frammenti non ricomponibili	
<i>Dimensioni:</i>	Diam. dell'anello esterno 4.5 cm circa	
<i>Descrizione:</i>	Due frammenti in bronzo a contorno circolare e sottile sezione triangolare, verosimilmente pertinenti a un pendaglio ad anelli concentrici; il frammento più grande conserva un tratto di filo di bronzo avvolto a spirale	
<i>Bibliografia:</i>	Zancani Montuoro 1970/1971a, 13 fig. 2, g tav. 2, B	IFe2A terminale – 2B iniziale

S1/17	Coppia di saltaleoni	Tavv. 7. 9
<i>Inv. ministeriale:</i>	68394/68395	
<i>Materiale:</i>	Bronzo	
<i>Fattura:</i>	Fusione e martellatura	
<i>Stato di conservazione:</i>	In 3 (inv. 68394) e 2 frammenti (inv. 68395); entrambi gli esemplari sono più frammentari rispetto a quanto illustrato in Zancani Montuoro 1970/1971	
<i>Dimensioni:</i>	Diam. 0.4 e 0.55 cm	
<i>Descrizione:</i>	Coppia di saltaleoni in filo di bronzo a sezione da piano-convessa a rettangolare avvolto a stretta spirale. Tipo 370E1a di D'Agostino – Gastaldi 2016	
<i>Bibliografia:</i>	Zancani Montuoro 1970/1971a, 14 fig. 2, s. t tav. 2, B	IFe2A terminale – 2B iniziale

S1/18	Spirale	Tavv. 7. 9
<i>Inv. ministeriale:</i>	68392	
<i>Materiale:</i>	Bronzo	
<i>Fattura:</i>	Fusione e martellatura	
<i>Stato di conservazione:</i>	In 2 frammenti non ricomponibili	
<i>Dimensioni:</i>	Alt. cons. 4.5 cm; diam. 1 cm	
<i>Descrizione:</i>	Stretta spirale in spesso filo di bronzo a sezione rettangolare	
<i>Bibliografia:</i>	Zancani Montuoro 1970/1971a, 14 fig. 2, 1 tav. 2, B	IFe2A terminale – 2B iniziale

S1/19	Fibula serpeggiante frammentaria	Tavv. 7. 9
<i>Inv. ministeriale:</i>	68389	
<i>Materiale:</i>	Ferro e bronzo	
<i>Fattura:</i>	Forgiatura; fusione e martellatura	
<i>Stato di conservazione:</i>	In 6 frammenti, lacunosa dell'occhiello/gomito e del tratto anteriore dell'arco con la staffa	
<i>Dimensioni:</i>	–	
<i>Descrizione:</i>	Fibula serpeggiante frammentaria in ferro; rivestimento in filo di bronzo avvolto a spirale attorno al tratto centrale dell'arco e allo spillone	
<i>Bibliografia:</i>	Zancani Montuoro 1970/1971a, 13 fig. 2, i tav. 2, B	IFe2A terminale – 2B iniziale

S1/20	Brocchetta	Tavv. 7. 8
<i>Inv. ministeriale:</i>	68382	
<i>Materiale:</i>	Ceramica figulina; superficie rosa (7.5YR 8/4), con patina marrone scuro (7.5YR 4/6)	
<i>Fattura:</i>	A mano. Decorazione dipinta in vernice nerastra opaca (2.5YR 3/0)	
<i>Stato di conservazione:</i>	Ricompuesto da più frammenti, con qualche integrazione sulla massima espansione	
<i>Dimensioni:</i>	Alt. 8.8 cm; diam. max. 9.5 cm; diam. orlo 6 cm; diam. fondo 4.4 cm	
<i>Descrizione:</i>	Brocchetta a corpo biconico con accenno di collo distinto. Labbro arrotondato, orlo distinto a imbuto; corpo biconico arrotondato, con accenno di collo distinto sinuoso; fondo non distinto, appena incavato; ansa a nastro insellato, appena sopraelevata, impostata dall'orlo alla massima espansione	
<i>Decorazione:</i>	Coppia di linee alla base dell'orlo; alla base del collo, coppia di sottili linee ondulate tra linee di margine	
<i>Bibliografia:</i>	Zancani Montuoro 1970/1971a, 12 tav. I, C; Quondam 2009, 150 s. fig. 2, 1	IFe2A terminale – 2B iniziale

S1/21	Orcio	Tavv. 7. 8
<i>Inv. ministeriale:</i>	68381	
<i>Materiale:</i>	Ceramica figulina marrone giallastra (10YR 8/4); superficie marrone giallastra (10YR 8/4), con patina irregolare marrone scuro (7.5YR 4/6)	
<i>Fattura:</i>	A mano; decorazione dipinta in vernice nerastra opaca (2.5YR 3/0)	
<i>Stato di conservazione:</i>	Ricompuesto da più frammenti, con ampie integrazioni nella parte superiore del corpo	
<i>Dimensioni:</i>	Alt. 31 cm; diam. max. 30 cm; diam. max. con le anse 39.5 cm; diam. orlo 16.5 cm; diam. fondo 9.5 cm	
<i>Descrizione:</i>	Orcio a collo troncoconico e corpo globulare. Labbro arrotondato, orlo distinto a imbuto, con spigolo interno accentuato; breve collo troncoconico distinto, a profilo rigonfio; corpo globulare; fondo piano appena distinto; coppia di maniglie a sezione sub-circolare impostate sulla massima espansione	
<i>Decorazione:</i>	Zancani 1970/1971, p. 12, nota 6, descrive „resti di fasce e linee curve nere“; allo stato attuale si conservano solamente tracce di due o forse tre linee orizzontali alla base del collo	
<i>Bibliografia:</i>	Zancani Montuoro 1970/1971a, 12 tav. I, C	IFe2A terminale – 2B iniziale

S1/22	Coppa	Tav. 7
<i>Inv. ministeriale:</i>	68383	
<i>Materiale:</i>	Bronzo	
<i>Fattura:</i>	Fusione e martellatura; decorazione a sbalzo e incisione	
<i>Stato di conservazione:</i>	Ricomposta da più frammenti, con ampie lacune intorno alla massima espansione	
<i>Dimensioni:</i>	Alt. 2.3 o 2.7 cm (senza ansa); diam. orlo min. 19 cm; max 19.7 cm	

<i>Descrizione:</i>	Coppa con ampia vasca lenticolare schiacciata e maniglia eretta. Labbro arrotondato, orlo distinto ingrossato e svasato; colletto svasato piuttosto sviluppato, distinto dall'ampia vasca lenticolare schiacciata; fondo non distinto; maniglia eretta a sezione circolare con attacco a piastra rettangolare allungata, sormontata da una coppia distanziata di piccole appendici globulari, assicurata alla vasca mediante due ribattini con rondelle in lamina di reimpiego all'interno della vasca. Una coppia di ritagli in lamina di reimpiego risarcisce inoltre due lacune presso l'orlo	
<i>Decorazione:</i>	Decorazione scandita in più registri concentrici marginati da file di punti a sbalzo. Sull'orlo, catena di fiori di loto a cinque petali alternati a boccioli, rivolta verso l'esterno del vaso e realizzata a incisione. Sulla vasca, serie di cinque registri figurati realizzati a sbalzo: il registro principale, più ampio e in posizione mediana, accoglie una processione di venti demoni e/o divinità egittizzanti sia antropomorfe, sia belluine, marginate da una coppia speculare di oranti; tutti i personaggi sono raffigurati stanti sul fianco sinistro, con la sola eccezione di uno degli oranti, rivolto sul fianco destro. Gli altri quattro registri, di minore ampiezza e disposti a coppie ai lati della scena principale, ospitano teorie di animali volti sul fianco sinistro: tori gradienti e ruminanti pascenti nei due registri più esterni, falchi appollaiati e lepri in corsa in quelli verso il centro del vaso, dove un fregio floreale di lettura incerta margina un tappeto di rosette sbalzate a sei petali. Sull'ansa, gruppi di incisioni anulari presso gli attacchi e nel tratto mediano tra i due globetti, a loro volta marcati da una „X“ incisa alla sommità; serie continua di brevi tacche oblique lungo i margini della piastra. Una delle rondelle interne conserva una piccola parte di un ornato a nastri paralleli distanziati campiti con tratti obliqui; lo stesso decoro a nastri paralleli, alternati a un nastro con campitura rettilinea o a una doppia fila di denti di lupo, si osserva in forma più estesa anche sui due ritagli in lamina che risarciscono l'orlo	
<i>Bibliografia:</i>	Zancani Montuoro 1970/1971a, 9–11. 14–33 tavv. A. III–XII	IX–VIII secolo a. C.

Strada 2			Taf. 10–14
Ungestört		Grabungsjahr 2009	
<i>Grabform:</i>	Monumentales Fossagrab	Gerundete, leicht apsidenförmige Grabgrube, Wände mit grossen gerundeten Steinen ausgekleidet	Grab 3.55 x 2.7 x 0.75 m
	Pflästerung	Boden mit Pflästerung aus flachen, gerundeten Flusskieseln	Pflästerung 2.14 x 1.10 m
	NW-SO-Ausrichtung		
<i>Bestattungsritus:</i>	Körperbestattung	Vermutlich Hocker	NW-SO?
<i>Anthropologie:</i>	Juvenil bis erwachsen; Tendenz adult	Nur kleine (< 3 cm) Knochenfragmente, hauptsächlich vom Schädel (<i>Os frontale</i> und <i>Os parietale</i>). Keine Zähne	14–40 Jahre
	Tendenziell weiblich		
Guggisberg u. a. 2010, 107–110 Abb. 5. 6 Taf. 20, 1–3. 5–7; Guggisberg u. a. 2012b, 3 f. Abb. 4; Guggisberg 2016			IFe2B

S2/1	Kraterartiges Gefäss	Taf. 13
<i>Vorausinv.:</i>	2009/851	
<i>Material:</i>	Feinkeramik, pink (7.5YR 7/4), Oberfläche: rot (2.5YR 5/6)	
<i>Herstellung:</i>	Kombinierte Technik (Handaufbau und langsam laufende Drehscheibe)	
<i>Erhaltung:</i>	Aus Fragmenten zusammengesetzt; ein Henkel fehlt	
<i>Masse:</i>	H 37.6 cm; Dm max. 30.75 cm; Dm Mündung 25 cm; Dm Fuss 20.9 cm; D 2.25 cm	
<i>Beschreibung:</i>	Kraterartiges Gefäss mit geradem, auf der Aussenseite verstärktem Rand. Der kurze Hals ist deutlich vom gerundet-doppelkonischen Gefässkörper abgesetzt. Der Hohlfuss ist konkav-konisch. Im Schulterbereich waren zwei schräg nach oben angesetzte, horizontale Stabhenkel angebracht, von denen nur noch einer erhalten ist. An einigen Stellen ist die rot glänzende Oberfläche erkennbar	
<i>Bemalung:</i>	Es sind keine Bemalungsspuren feststellbar	
<i>Bibliographie:</i>	Guggisberg u. a. 2010, 110; Guggisberg 2016, Abb. 5	IFe2B

S2/2	Tasse	Taf. 13
<i>Vorausinv.:</i>	Inv. 2009/907	
<i>Material:</i>	Feinkeramik, rötlich gelb (7.5YR 8/6)	

<i>Herstellung:</i>	Handaufgebaut und <i>matt-painted</i> (dunkelbraune Bemalung)	
<i>Erhaltung:</i>	Aus Fragmenten zusammengesetzt; 4 weitere Fragmente konnten nicht angefügt werden	
<i>Masse:</i>	H 7.65 cm; Dm Mündung 6.1 cm; Dm max. 9.2 cm; Dm Fuss 4 cm; D 0.5 cm	
<i>Beschreibung:</i>	Tasse mit gerundetem, ausbiegendem Rand. Der Gefäßkörper ist gerundet-doppelkonisch. Die Tasse steht auf einem Standfuss. Der vertikale Bandhenkel reicht von der Mündung bis zum maximalen Durchmesser	
<i>Bemalung:</i>	An Hals, Schulter und Henkel finden sich Bemalungsspuren von umlaufenden, schwarzen Linien (<i>stile a frange</i>)	
<i>Bibliographie:</i>	Guggisberg u. a. 2010, 110	IFe2B

S2/3	Wandscherbe	Taf. 13
<i>Vorausinv.:</i>	2009/53	
<i>Material:</i>	Feinkeramik	
<i>Herstellung:</i>	Wahrscheinlich handaufgebaut	
<i>Erhaltung:</i>	2 anpassende Fragmente	
<i>Masse:</i>	L 2.5 cm; B 2.2 cm	
<i>Beschreibung:</i>	Wandfragmente eines weiteren Gefäßes	
<i>Bibliographie:</i>	Unpubl.	IFe2

S2/4	Wandscherbe	Taf. 13
<i>Vorausinv.:</i>	2009/59	
<i>Material:</i>	Feinkeramik	
<i>Herstellung:</i>	Wahrscheinlich handaufgebaut	
<i>Erhaltung:</i>	1 Fragment	
<i>Masse:</i>	L 2.6 cm; B 2 cm	
<i>Beschreibung:</i>	Wandscherbe mit Bemalungsresten	
<i>Bibliographie:</i>	Unpubl.	IFe2

S2/5	Wandscherbe	Taf. 13
<i>Vorausinv.:</i>	2009/52	
<i>Material:</i>	Grobkeramik	
<i>Herstellung:</i>	Handaufgebaut	
<i>Erhaltung:</i>	1 Fragment	
<i>Masse:</i>	L 3.5 cm; B 2.9 cm	
<i>Beschreibung:</i>	Wandscherbe mit Fingertupfenleiste	
<i>Bibliographie:</i>	Unpubl.	IFe2

S2/6	Spinnwirtel	Taf. 14
<i>Vorausinv.:</i>	2009/457	
<i>Material:</i>	Grobkeramik, bräunliches Grau (10YR 4/1)	
<i>Herstellung:</i>	Handaufgebaut	
<i>Erhaltung:</i>	2 Fragmente	
<i>Masse:</i>	L 3.2 cm; B 2.3 cm	
<i>Beschreibung:</i>	Fünfeckiger, bikonischer Spinnwirtel	
<i>Bibliographie:</i>	Guggisberg u. a. 2010, 110	IFe2

S2/7	Schlangenfibel?	Taf. 14
<i>Vorausinv.:</i>	2009/363. 397. 801	
<i>Material:</i>	Bronze	
<i>Herstellung:</i>	Geschmiedet	
<i>Erhaltung:</i>	3 Fragmente	

<i>Masse:</i>	L max. 1.2 cm; B 0.2 cm; D 0.15 cm	
<i>Beschreibung:</i>	Bronzedraht mit bandförmigem Querschnitt. Evtl. Teil einer Fibel, Typ 353 oder 354 nach Lo Schiavo 2010	
<i>Bibliographie:</i>	Unpubl.	IFe2A–2B

S2/8	Vierspiralfibel	Taf. 14
<i>Vorausnu.:</i>	2009/62. 65. 132. 343. 452. 500. 723. 823. 842. 893	
<i>Material:</i>	Bronze, (Eisen)	
<i>Herstellung:</i>	Geschmiedet	
<i>Erhaltung:</i>	12 Fragmente	
<i>Masse:</i>	L (Fuss) 4.3 cm; B (Fuss) 0.7 cm; H (Fuss) 0.9 cm; D (Fuss) 0.2 cm; L (Nadel) 1.9 cm; Dm (Nadel) 0.2 cm	
<i>Beschreibung:</i>	Aufgrund des Fussfragments, der Spiralenbefestigung (eiserne Niete) sowie der zahlreichen Drahtfragmente als Vierspiralfibel rekonstruiert. Vermutlich Typ 447 nach Lo Schiavo 2010	
<i>Bibliographie:</i>	Unpubl.	IFe2A – erster Drittel 7. Jh. v. Chr.

S2/9	Doppelkonische Drahtperle	Taf. 14
<i>Vorausnu.:</i>	2009/494. 545	
<i>Material:</i>	Bronze	
<i>Herstellung:</i>	Aus Bronzedraht gewickelt	
<i>Erhaltung:</i>	2 Fragmente	
<i>Masse:</i>	L max. 0.4 cm; Dm max. 0.6 cm; D 0.12 cm	
<i>Beschreibung:</i>	An jedem Fragment sind drei sich verjüngende Windungen erhalten	
<i>Bibliographie:</i>	Guggisberg u. a. 2010, 110	IFe2

S2/10	Doppelgliedrige Kette	Taf. 14
<i>Vorausnu.:</i>	2009/112	
<i>Material:</i>	Bronze	
<i>Herstellung:</i>	Geschmiedet	
<i>Erhaltung:</i>	4 Fragmente	
<i>Masse:</i>	L max. 1.1 cm; Dm 0.6 cm	
<i>Beschreibung:</i>	Mindestens 3 Doppelglieder	
<i>Bibliographie:</i>	Guggisberg u. a. 2010, 110	IFe2

S2/11	Doppelgliedrige Kette	Taf. 14
<i>Vorausnu.:</i>	2009/113	
<i>Material:</i>	Bronze	
<i>Herstellung:</i>	Geschmiedet	
<i>Erhaltung:</i>	1 Fragment	
<i>Masse:</i>	L 1.5 cm; Dm 0.6 cm	
<i>Beschreibung:</i>	4 Doppelglieder	
<i>Bibliographie:</i>	Guggisberg u. a. 2010, 110	IFe2

S2/12	Doppelgliedrige Kette	Taf. 14
<i>Vorausnu.:</i>	2009/133	
<i>Material:</i>	Bronze	
<i>Herstellung:</i>	Geschmiedet	
<i>Erhaltung:</i>	1 Fragment	
<i>Masse:</i>	L 4.5 cm; Dm 0.6 cm	
<i>Beschreibung:</i>	12 Doppelglieder	
<i>Bibliographie:</i>	Guggisberg u. a. 2010, 110	IFe2

S2/13	Doppelgliedrige Kette	Taf. 14
<i>Vorausinv.:</i>	2009/152	
<i>Material:</i>	Bronze	
<i>Herstellung:</i>	Geschmiedet	
<i>Erhaltung:</i>	3 Fragmente	
<i>Masse:</i>	L 1.3 cm; Dm 0.5 cm	
<i>Beschreibung:</i>	4 ganze und 1 halbes Doppelglied	
<i>Bibliographie:</i>	Guggisberg u. a. 2010, 110	IFe2

S2/14	Doppelgliedrige Kette	Taf. 14
<i>Vorausinv.:</i>	2009/230	
<i>Material:</i>	Bronze	
<i>Herstellung:</i>	Geschmiedet	
<i>Erhaltung:</i>	3 Fragmente	
<i>Masse:</i>	L max. 3.6 cm; Dm 0.5 cm	
<i>Beschreibung:</i>	Die beiden grossen Fragmente haben 8 bzw. 15 Doppelglieder	
<i>Bibliographie:</i>	Guggisberg u. a. 2010, 110	IFe2

S2/15	Doppelgliedrige Kette	Taf. 14
<i>Vorausinv.:</i>	2009/249	
<i>Material:</i>	Bronze	
<i>Herstellung:</i>	Geschmiedet	
<i>Erhaltung:</i>	1 Fragment	
<i>Masse:</i>	L 1 cm; Dm 0.5 cm	
<i>Beschreibung:</i>	2 ganze und 2 halbe Doppelglieder	
<i>Bibliographie:</i>	Guggisberg u. a. 2010, 110	IFe2

S2/16	Doppelgliedrige Kette	Taf. 14
<i>Vorausinv.:</i>	2009/254. 258	
<i>Material:</i>	Bronze	
<i>Herstellung:</i>	Geschmiedet	
<i>Erhaltung:</i>	9 Fragmente	
<i>Masse:</i>	L 1 cm; Dm max. 0.6 cm	
<i>Beschreibung:</i>	4 ganze und 1 halbes Doppelglied sowie 6 fragmentierte Ringlein	
<i>Bibliographie:</i>	Guggisberg u. a. 2010, 110	IFe2

S2/17	Doppelgliedrige Kette	Taf. 14
<i>Vorausinv.:</i>	2009/358	
<i>Material:</i>	Bronze	
<i>Herstellung:</i>	Geschmiedet	
<i>Erhaltung:</i>	2 Fragmente	
<i>Masse:</i>	L 1.2 cm; Dm 0.6 cm	
<i>Beschreibung:</i>	3 Doppelglieder und 1 Einzelfragment	
<i>Bibliographie:</i>	Guggisberg u. a. 2010, 110	IFe2

S2/18	Doppelgliedrige Kette	Taf. 14
<i>Vorausinv.:</i>	2009/391	
<i>Material:</i>	Bronze	
<i>Herstellung:</i>	Geschmiedet	

<i>Erhaltung:</i>	1 Fragment	
<i>Masse:</i>	L 1.4 cm; Dm 0.6 cm	
<i>Beschreibung:</i>	5 Doppelglieder	
<i>Bibliographie:</i>	Guggisberg u. a. 2010, 110	IFe2

S2/19	Doppelgliedrige Kette	Taf. 14
<i>Vorausinv.:</i>	2009/458	
<i>Material:</i>	Bronze	
<i>Herstellung:</i>	Geschmiedet	
<i>Erhaltung:</i>	11 Fragmente	
<i>Masse:</i>	L 1.9 und 1.2 cm; Dm 0.5 cm	
<i>Beschreibung:</i>	Die beiden grösseren Fragmente haben 9 bzw. 3 Doppelglieder; zusätzlich 9 fragmentierte Ringlein	
<i>Bibliographie:</i>	Guggisberg u. a. 2010, 110	IFe2

S2/20	Doppelgliedrige Kette	Taf. 14
<i>Vorausinv.:</i>	2009/479	
<i>Material:</i>	Bronze	
<i>Herstellung:</i>	Geschmiedet	
<i>Erhaltung:</i>	2 Fragmente	
<i>Masse:</i>	L 1.4 und 1.2 cm; Dm 0.6 cm	
<i>Beschreibung:</i>	4 Doppelglieder und 1 Ringlein	
<i>Bibliographie:</i>	Guggisberg u. a. 2010, 110	IFe2

S2/21	Doppelgliedrige Kette	Taf. 14
<i>Vorausinv.:</i>	2009/497	
<i>Material:</i>	Bronze	
<i>Herstellung:</i>	Geschmiedet	
<i>Erhaltung:</i>	4 Fragmente	
<i>Masse:</i>	L 1 cm; Dm 0.5 cm	
<i>Beschreibung:</i>	3 zusammenhängende Ringlein und weitere fragmentierte Ringlein. Vermutlich war die Kette doppelgliedrig	
<i>Bibliographie:</i>	Guggisberg u. a. 2010, 110	IFe2

S2/22	Doppelgliedrige Kette	Taf. 14
<i>Vorausinv.:</i>	2009/584. 619. 681	
<i>Material:</i>	Bronze	
<i>Herstellung:</i>	Geschmiedet	
<i>Erhaltung:</i>	8 Fragmente	
<i>Masse:</i>	L max. 2.1 cm; Dm 0.5 cm	
<i>Beschreibung:</i>	12, 7, 6 und 2 Doppelglieder sowie 4 fragmentierte Ringlein	
<i>Bibliographie:</i>	Guggisberg u. a. 2010, 110	IFe2

S2/23	Ringlein (Doppelgliedrige Kette?)	Taf. 14
<i>Vorausinv.:</i>	2009/64. 72. 94. 103. 124. 126. 138. 142. 172. 175. 179. 208. 304. 305. 307. 311–313. 320. 325. 327. 345. 349. 352. 354. 373. 405. 459. 460. 664. 670. 900	
<i>Material:</i>	Bronze	
<i>Herstellung:</i>	Geschmiedet	
<i>Erhaltung:</i>	45 Fragmente und Splitter	
<i>Masse:</i>	Dm 0.5 cm	
<i>Beschreibung:</i>	Mehrere (33 Inventarnummern) sehr feine Ringlein. Anhand ihres Durchmessers lassen sie sich zu doppelgliedrigen Ketten rekonstruieren	
<i>Bibliographie:</i>	Guggisberg u. a. 2010, 110	IFe2

S2/24	Zierscheibe mit konzentrischen Kreisen	Taf. 14
<i>Vorausinv.:</i>	2009/83. 119. 193. 341. 346. 369. 371. 433. 469. 596	
<i>Material:</i>	Bronze	
<i>Herstellung:</i>	Geschmiedet	
<i>Erhaltung:</i>	19 Fragmente	
<i>Masse:</i>	L max. 0.9 cm; B max. 1 cm	
<i>Beschreibung:</i>	Gewellte Bronzeblechfragmente. Ein Fragment ist klar Mittelteil einer Zierscheibe mit konzentrischen Kreisen, die weiteren Fragmente wurden aufgrund ihrer Lage diesem Mittelteil zugeordnet. Entspricht Typ P4 nach Killian 1970	
<i>Bibliographie:</i>	Guggisberg u. a. 2010, 110	IFe2

S2/25	Zierscheibe mit konzentrischen Kreisen	Taf. 14
<i>Vorausinv.:</i>	2009/244. 323. 359. 388. 542. 789. 915	
<i>Material:</i>	Bronze	
<i>Herstellung:</i>	Geschmiedet	
<i>Erhaltung:</i>	15 Fragmente	
<i>Masse:</i>	Dm min. 2.9 cm; Radius der Kreise steigt von Kuppe zu Kuppe um 0.55 cm an	
<i>Beschreibung:</i>	Gewellte Bronzeblechfragmente. Ein Fragment ist klar Mittelteil einer Zierscheibe mit konzentrischen Kreisen, die weiteren Fragmente wurden aufgrund ihrer Lage diesem Mittelteil zugeordnet. Entspricht Typ P4 nach Killian 1970	
<i>Bibliographie:</i>	Guggisberg u. a. 2010, 110	IFe2

S2/26	Zierscheibe mit konzentrischen Kreisen	Taf. 14
<i>Vorausinv.:</i>	2009/63. 139. 380. 519. 589. 610. 614	
<i>Material:</i>	Bronze	
<i>Herstellung:</i>	Geschmiedet	
<i>Erhaltung:</i>	19 Fragmente	
<i>Masse:</i>	Dm min. 0.8 cm	
<i>Beschreibung:</i>	Gewellte Bronzeblechfragmente. Ein Fragment ist klar Mittelteil einer Zierscheibe mit konzentrischen Kreisen, die weiteren Fragmente wurden aufgrund ihrer Lage diesem Mittelteil zugeordnet. Entspricht Typ P4 nach Killian 1970	
<i>Bibliographie:</i>	Guggisberg u. a. 2010, 110	IFe2

S2/27	Zierscheibe mit konzentrischen Kreisen	ohne Abbildung
<i>Vorausinv.:</i>	2009/843. 850	
<i>Material:</i>	Bronze	
<i>Herstellung:</i>	Geschmiedet	
<i>Erhaltung:</i>	2 Fragmente	
<i>Masse:</i>	L max. 1.3 cm; B max. 1.2 cm	
<i>Beschreibung:</i>	Gewellte Bronzeblechfragmente. Ein Fragment ist klar Mittelteil einer Zierscheibe mit konzentrischen Kreisen, das weitere Fragment wurde aufgrund seiner Lage diesem Mittelteil zugeordnet. Entspricht Typ P4 nach Killian 1970	
<i>Bibliographie:</i>	Guggisberg u. a. 2010, 110	IFe2

S2/28	Bronzescheibe	Taf. 14
<i>Vorausinv.:</i>	2009/105. 264. 732	
<i>Material:</i>	Bronze	
<i>Herstellung:</i>	Geschmiedet	
<i>Erhaltung:</i>	3 Fragmente (2 Passfragmente)	
<i>Masse:</i>	L max. 4.4 cm; B max. 2 cm; D 0.2 cm	
<i>Beschreibung:</i>	Fragmente einer grossen Bronzescheibe. Evtl. in der Art eines <i>cono di lamelle</i> oder als Zierscheibe evtl. an einer Fibel	
<i>Bibliographie:</i>	Guggisberg u. a. 2010, 110	IFe2

S2/29	Zierknöpfe	Taf. 14
<i>Vorausnu.:</i>	2009/35. 49. 51. 60. 61. 66. 68–71. 74–81. 84–93. 95–102. 104. 106–111. 114. 115. 117. 118. 120–123. 125. 128–131. 134. 140. 141. 144. 145. 148–151. 153–171. 174. 176–178. 180–188. 190. 191. 194–197. 199. 202. 203. 205–207. 209–218. 221. 223–228. 231–233. 238–243. 250. 261–263. 265–271. 273–286. 288. 291. 292. 294–303. 309. 310. 316–319. 321. 322. 324. 329–336. 340. 342. 347. 348. 350. 351. 355–357. 360. 361. 364–367. 370. 372. 374–378. 381–387. 389. 390. 392–396. 398–404. 406. 408–415. 418–420. 422–432. 434–439. 441–451. 453–456. 461–464. 468. 470–472. 474–478. 480–492. 495. 496. 498. 499. 501–518. 520–541. 543. 544. 546–552. 554–564. 566–568. 570–578. 580–583. 585–588. 590–595. 597. 598. 600–603. 605–609. 611–613. 615–617. 620–624. 626–646. 648. 649. 655–657. 659–661. 663. 665–668. 673–679. 682. 684–695. 697–722. 724–726. 729–731. 733. 734. 736–746. 748. 752–788. 790. 792–800. 802–806. 808–822. 824–841. 844. 846–848. 852–860. 862. 870. 871. 875. 881. 883. 886–892. 894. 896–899. 903–906. 908–914. 916. 918–921. 553A&B. 565A&B. 579A&B. 604A&B. 732A. 850A	
<i>Material:</i>	Bronze	
<i>Herstellung:</i>	Geschmiedet	
<i>Erhaltung:</i>	769 Fragmente und Splitter	
<i>Masse:</i>	Dm max. 0.8 cm; Dm min. 0.2 cm	
<i>Beschreibung:</i>	657 unterschiedlich erhaltene Zierknöpfe	
<i>Bibliographie:</i>	Guggisberg u. a. 2010, 110	IFe2

S2/30	Blechfragment	Taf. 14
<i>Vorausnu.:</i>	2009/73	
<i>Material:</i>	Bronze	
<i>Herstellung:</i>	Geschmiedet	
<i>Erhaltung:</i>	3 Fragmente	
<i>Masse:</i>	L max. 0.4 cm; D 0.08 cm	
<i>Beschreibung:</i>	2 Blechfragmente	
<i>Bibliographie:</i>	Guggisberg u. a. 2010, 110	IFe2

S2/31	Blechfragment	Taf. 14
<i>Vorausnu.:</i>	2009/82	
<i>Material:</i>	Bronze	
<i>Herstellung:</i>	Geschmiedet	
<i>Erhaltung:</i>	1 Fragment	
<i>Masse:</i>	L 0.4 cm; B 0.4 cm; D 0.1 cm	
<i>Beschreibung:</i>	Kleines, dünnes Blechfragment	
<i>Bibliographie:</i>	Guggisberg u. a. 2010, 110	IFe2

S2/32	Unbestimmtes, zylindrisches Fragment	Taf. 14
<i>Vorausnu.:</i>	2009/625	
<i>Material:</i>	Bronze	
<i>Herstellung:</i>	Geschmiedet	
<i>Erhaltung:</i>	1 Fragment	
<i>Masse:</i>	L 0.6 cm; Dm 0.15 cm	
<i>Beschreibung:</i>	Aneinanderkorrodierte Ringlein, die eine Art zylindrisches Glied bilden. Auf der Innenseite der Ringe gibt es einen nicht bestimmaren Fortsatz. Evtl. ein Fibelteil oder eine Perle	
<i>Bibliographie:</i>	Guggisberg u. a. 2010, 110	IFe2

S2/33	Fibelfragmente mit Bronzedrahtumwicklung	Taf. 14
<i>Vorausnu.:</i>	2009/116. 137. 189. 308. 315. 328. 362. 421. 727	
<i>Material:</i>	Eisen, Bronze	
<i>Herstellung:</i>	Geschmiedet	

<i>Erhaltung:</i>	10 Fragmente	
<i>Masse:</i>	L max. 3.4 cm; Dm max. 0.7 cm	
<i>Beschreibung:</i>	Aufgrund Fundlage und vereinzelter Passfragmente zusammengehörige Fibelteile. 3 Fragmente sind mit Bronzedraht umwickelt. Das Ende der Nadel ist an den Fuss korrodiert. Öse oder Feder sind nicht erhalten	
<i>Bibliographie:</i>	Guggisberg u. a. 2010, 110	IFe2
S2/34	Unbestimmtes Fragment	Taf. 14
<i>Vorausnu.:</i>	2009/917	
<i>Material:</i>	Eisen?	
<i>Herstellung:</i>	Geschmiedet	
<i>Erhaltung:</i>	1 Fragment	
<i>Masse:</i>	L 0.9 cm; B 0.7 cm; H 0.4 cm	
<i>Beschreibung:</i>	Unbestimmbares klumpenförmiges Objekt, das auf der Innenseite der Schädelfragmente gefunden wurde	
<i>Bibliographie:</i>	Guggisberg u. a. 2010, 110	–
S2/35	Ovale Perle	Taf. 14
<i>Vorausnu.:</i>	2009/32	
<i>Material:</i>	Bernstein	
<i>Herstellung:</i>	Geschnitten, geschliffen oder gedrillt und poliert. Öse durch Bohren oder mit heisser Metallnadel	
<i>Erhaltung:</i>	4 Fragmente	
<i>Masse:</i>	L 1.6 cm; Dm 1.5 cm	
<i>Beschreibung:</i>	Hälfte einer ovalen Bernsteinperle	
<i>Bibliographie:</i>	Guggisberg u. a. 2010, 110	IFe2
S2/36	Tonnenförmige Perle	Taf. 14
<i>Vorausnu.:</i>	2009/849	
<i>Material:</i>	Bernstein	
<i>Herstellung:</i>	Geschnitten, geschliffen oder gedrillt und poliert. Öse durch Bohren oder mit heisser Metallnadel	
<i>Erhaltung:</i>	1 Fragment	
<i>Masse:</i>	L 0.9 cm; Dm 0.6 cm	
<i>Beschreibung:</i>	Fragment einer tonnenförmigen Perle	
<i>Bibliographie:</i>	Guggisberg u. a. 2010, 110	IFe2
S2/37	Spindelförmige Perle	Taf. 14
<i>Vorausnu.:</i>	2009/293	
<i>Material:</i>	Bernstein	
<i>Herstellung:</i>	Geschnitten, geschliffen oder gedrillt und poliert. Öse durch Bohren oder mit heisser Metallnadel	
<i>Erhaltung:</i>	1 Fragment und Splitter	
<i>Masse:</i>	L 1.2 cm; Dm 1.2 cm	
<i>Beschreibung:</i>	Fragment einer spindelförmigen Perle	
<i>Bibliographie:</i>	Guggisberg u. a. 2010, 110	IFe2
S2/38	Ringperlen	Taf. 14
<i>Vorausnu.:</i>	2009/749. 750. 866–868. 878. 880. 882. 885	
<i>Material:</i>	Bernstein	
<i>Herstellung:</i>	Geschnitten, geschliffen oder gedrillt und poliert. Öse durch Bohren oder mit heisser Metallnadel	
<i>Erhaltung:</i>	13 Fragmente und Splitter	
<i>Masse:</i>	Dm max. 0.6 cm	
<i>Beschreibung:</i>	9 ringförmige Perlen	
<i>Bibliographie:</i>	Guggisberg u. a. 2010, 110	IFe2

S2/39	Perlen	ohne Abbildung
<i>Vorausinv.:</i>	2009/344. 417. 493. 599. 662. 669. 671. 672. 683. 728. 751. 861. 863–865. 869. 872–874. 876. 877. 884	
<i>Material:</i>	Bernstein	
<i>Herstellung:</i>	Geschnitten, geschliffen oder gedrillt und poliert. Öse durch Bohren oder mit heisser Metallnadel	
<i>Erhaltung:</i>	34 Fragmente und Splitter	
<i>Masse:</i>	Dm max. 0.7 cm; Dm min. 0.2 cm	
<i>Beschreibung:</i>	22 unterschiedlich erhaltene Bernsteinperlen	
<i>Bibliographie:</i>	Guggisberg u. a. 2010, 110	IFe2

S2/40	Ringperle	Taf. 14
<i>Vorausinv.:</i>	2009/747	
<i>Material:</i>	Glas, braun	
<i>Herstellung:</i>	Gedreht, geschliffen, gedrillt und poliert. Öse durch Bohren	
<i>Erhaltung:</i>	Ganz	
<i>Masse:</i>	Dm 0.7 cm; Dm Bohrung 0.2 cm; D 0.4 cm	
<i>Beschreibung:</i>	Ringförmige Glasperle, braune verwitterte Oberfläche	
<i>Bibliographie:</i>	Guggisberg u. a. 2010, 110	IFe2

S2/41	Ringperle	Taf. 14
<i>Vorausinv.:</i>	2009/791	
<i>Material:</i>	Glas, gelb-türkis	
<i>Herstellung:</i>	Gedreht, geschliffen, gedrillt und poliert. Öse durch Bohren	
<i>Erhaltung:</i>	Ganz	
<i>Masse:</i>	Dm 0.6 cm; Dm Bohrung 0.2 cm; D 0.4 cm	
<i>Beschreibung:</i>	Ringförmige Glasperle; gelb-türkis schimmernd	
<i>Bibliographie:</i>	Guggisberg u. a. 2010, 110	IFe2

S2/42	Glasfragment	Taf. 14
<i>Vorausinv.:</i>	2009/569	
<i>Material:</i>	Glas, weiss	
<i>Herstellung:</i>	Gedreht, geschliffen, gedrillt und poliert	
<i>Erhaltung:</i>	Fragment	
<i>Masse:</i>	Dm 0.6 cm	
<i>Beschreibung:</i>	Weisses, opakes Glasfragment, evtl. Teil einer Perle	
<i>Bibliographie:</i>	Guggisberg u. a. 2010, 110	IFe2

Strada 3		Taf. 15	
Ungestört		Grabungsjahr 2009	
<i>Grabform:</i>	Fossagrab	Ovale Grabgrube, mit gerundeten Steinen verfüllt	Grube 1 x 0.80 x 0.40 m
	Keine Pflasterung		
	W-O-Ausrichtung		
<i>Bestattungsritus:</i>	Körperbestattung	Haltung unbestimmbar	W-O?
<i>Anthropologie:</i>	Infans I	Einzig die Zahnkrone eines Milchmolars des Unterkie- fers in der Grube	<6 Jahre
	Geschlecht unbestimmbar		
Guggisberg u. a. 2010, 110 f. Abb. 7 Taf. 20, 4; Guggisberg u. a. 2012b, 9 Abb. 10			IFe2

S3/1	Fibelnadel mit Drahtumwicklung	Taf. 15
<i>Vorausinv.:</i>	2009/192a	
<i>Material:</i>	Bronze	
<i>Herstellung:</i>	Gehämmert und mit abgeflachtem Draht umwickelt	

<i>Erhaltung:</i>	Fragmentiert	
<i>Masse:</i>	L 2.9 cm; D Umwicklung 0.14 cm	
<i>Beschreibung:</i>	Bronzestift, der mit flachem Bronzedraht umwickelt ist	
<i>Bibliographie:</i>	Guggisberg u. a. 2010, 111	IFe2

S3/2	Ring	Taf. 15
<i>Vorausinv.:</i>	2009/143	
<i>Material:</i>	Bronze	
<i>Herstellung:</i>	Gegossen	
<i>Erhaltung:</i>	3 Fragmente, 2/3 erhalten	
<i>Masse:</i>	L 0.8 cm; D Draht 0.1 cm	
<i>Beschreibung:</i>	Ring mit rhomboidem Querschnitt. Vergleichbar mit Ringen von Ringanhängern	
<i>Bibliographie:</i>	Guggisberg u. a. 2010, 111	IFe2

S3/3–4	Ringe	Taf. 15
<i>Vorausinv.:</i>	2009/192b	
<i>Material:</i>	Bronze	
<i>Herstellung:</i>	Gegossen	
<i>Erhaltung:</i>	11 Fragmente	
<i>Masse:</i>	Dm 1 cm; D Draht 0.1 cm	
<i>Beschreibung:</i>	2 Ringe mit rhomboidem Querschnitt. Vergleichbar mit Ringen von Ringanhängern	
<i>Bibliographie:</i>	Guggisberg u. a. 2010, 111	IFe2

S3/5	Fingerspirale	Taf. 15
<i>Vorausinv.:</i>	2009/236	
<i>Material:</i>	Bronze	
<i>Herstellung:</i>	Aus abgeflachtem Draht gewunden	
<i>Erhaltung:</i>	2 Fragmente	
<i>Masse:</i>	L 1 cm; Dm 1.2 cm; B Band 0.2 cm	
<i>Beschreibung:</i>	Zylindrische Spirale mit 6 Windungen aus flachem Draht. Typ S22 nach Ruby 1995	
<i>Bibliographie:</i>	Guggisberg u. a. 2010, 111	IFe2

S3/6	Fingerspirale	Taf. 15
<i>Vorausinv.:</i>	2009/259	
<i>Material:</i>	Bronze	
<i>Herstellung:</i>	Aus abgeflachtem Draht gewunden	
<i>Erhaltung:</i>	2 Fragmente	
<i>Masse:</i>	L 1.3 cm; Dm 1.1 cm; B Band 0.2 cm	
<i>Beschreibung:</i>	Zylindrische Spirale mit 5 Windungen aus flachem Draht. Typ S22 nach Ruby 1995	
<i>Bibliographie:</i>	Guggisberg u. a. 2010, 111	IFe2

S3/7	Beinplättchen	Taf. 15
<i>Vorausinv.:</i>	2009/192	
<i>Material:</i>	Bein	
<i>Herstellung:</i>	geschnitzt	
<i>Erhaltung:</i>	Aus 3 Fragmenten zusammengesetzt	
<i>Masse:</i>	L 2.4 cm; B 1.8 cm; D max. 0.5 cm; D min. 0.3 cm	
<i>Beschreibung:</i>	Fragmentiertes Beinplättchen wohl eines Fibelaufsatzes. Zum Rand hin abgeflacht, wie es typisch für diese Fibeln ist	
<i>Bibliographie:</i>	Unpubl.	IFe2

Strada 4		Taf. 16–22	
Evtl. gestört. Funde in der Verfüllung im SW		Grabungsjahr 2010	
<i>Grabform:</i>	Monumentales Fossagrab	Ovale Grabgrube, Wände mit grossen gerundeten Steinen ausgekleidet	Grab 3.3 x 2.7 x 0.6 m
	Pflasterung		
	NW-SO-Ausrichtung	Pflasterung aus flachen Flusskieseln	Pflasterung 2 x 1.40 m
<i>Bestattungsritus:</i>	Körperbestattung	Unbestimmbar (aufgrund Verteilung Skelettmaterial und Funde evtl. Hocker?)	NW-SO?
<i>Anthropologie:</i>	Infans II-Juvenil	Zahlreiche kleine, grösstenteils unbestimmbare Knochenfragmente. Bestimmung anhand der Kompakta und Diploë des <i>Os temporale</i> (?) sowie der Zähne	12 ± 30 Monate
	Geschlecht unbestimmbar; archäologisch weiblich		
Guggisberg u. a. 2011a, 63–69 Abb. 2 Taf. 15; Guggisberg u. a. 2012b, 4 f. Abb. 5; Guggisberg 2016			IFe2B

S4/1	Olla <i>a tenda</i>	Taf. 19
<i>Vorausinv.:</i>	2010/1084	
<i>Material:</i>	Feinkeramik, pink (7.5YR 8/4), Oberfläche rot (2.5YR 5/8)	
<i>Herstellung:</i>	Scheibengedreht (langsam drehende Töpferscheibe) und <i>matt-painted</i> (dunkelbraune Bemalung)	
<i>Erhaltung:</i>	Aus Fragmenten zusammengesetzt; 2 weitere Fragmente konnten nicht angesetzt werden	
<i>Masse:</i>	H 33.24 cm; Dm Mündung 15.3 cm; Dm max. 29.8 cm; Dm Fuss 9.8 cm; D 0.7 cm	
<i>Beschreibung:</i>	Olla mit ausbiegendem, flachem Rand. Der Gefässkörper ist gerundet-doppelkonisch mit ausgewölbter Schulter. Die Olla steht auf einem Standring. Am maximalen Durchmesser sind, leicht schräg nach oben, zwei horizontale Rundhenkel angesetzt	
<i>Bemalung:</i>	An Hals und Schulter ist die <i>matt-painted</i> Bemalung sichtbar. Am Hals sind dies drei umlaufende, konzentrische Linien unterhalb des ausbiegenden Randes. Auf der Schulter sind zwei dreiliniige <i>a tenda</i> -Motive (<i>stile vuoto</i>) zu erkennen, die oben von ebenfalls drei, unten von zwei umlaufenden, konzentrischen Linien eingefasst werden	
<i>Bibliographie:</i>	Guggisberg u. a. 2011a, 67	IFe2B

S4/2	Olla	Taf. 19
<i>Vorausinv.:</i>	2010/1085	
<i>Material:</i>	Feinkeramik, rötlich gelb (7.5YR 7/6)	
<i>Herstellung:</i>	Handaufgebaut und evtl. <i>matt-painted</i> (dunkelbraune Bemalung)	
<i>Erhaltung:</i>	Aus Fragmenten zusammengesetzt, der Boden konnte nicht restauriert werden; 36 weitere Fragmente konnten nicht angesetzt werden	
<i>Masse:</i>	H 34 cm; Dm Mündung 19.2 cm; Dm max. 31.2 cm; D 1 cm	
<i>Beschreibung:</i>	Olla mit ausbiegendem, rundem Rand. Der Gefässkörper ist gerundet-doppelkonisch. Die Schulter ist weniger stark ausgewölbt als bei S4/1. Am maximalen Durchmesser sind, leicht schräg nach oben, zwei horizontale Rundhenkel angesetzt. Der Boden konnte nicht restauriert werden	
<i>Bemalung:</i>	Evtl. Bemalungsreste (<i>a tenda</i> -Motive?) auf der Schulter	
<i>Bibliographie:</i>	Guggisberg u. a. 2011a, 67	IFe2B

S4/3	Tasse	Taf. 19
<i>Vorausinv.:</i>	2010/1082	
<i>Material:</i>	Feinkeramik, rötlich gelb (5YR 7/6)	
<i>Herstellung:</i>	Scheibengedreht	
<i>Erhaltung:</i>	Aus Fragmenten zusammengesetzt; 8 weitere Fragmente konnten nicht angesetzt werden	
<i>Masse:</i>	H mit Henkel 9.45 cm; H ohne Henkel 8.4 cm; Dm Mündung 5.25 cm; Dm Bauch 9.1 cm; Dm Fuss 5.6 cm; D 0.4 cm	
<i>Beschreibung:</i>	Tasse mit ausbiegendem, rundem Rand. Der Gefässkörper ist kugelförmig. Die Tasse steht auf einem Standfuss. Der vertikale Bandhenkel geht von der Gefässmündung nach oben (Schöpfgefäss?) und reicht dann bis zum maximalen Durchmesser hinunter	
<i>Bemalung:</i>	Es sind keine Bemalungsreste feststellbar	

<i>Bibliographie:</i>	Guggisberg u. a. 2011a, 67	IFe2B
S4/4	Wandscherbe (Dolium/Pithos?)	Taf. 19
<i>Vorausinv.:</i>	2010/1083	
<i>Material:</i>	Grobkeramik, rötlich gelb (5YR 7/6)	
<i>Herstellung:</i>	Handaufgebaut	
<i>Erhaltung:</i>	2 Fragmente	
<i>Masse:</i>	L 17.9 cm; B 13.7 cm; D 3.6 cm	
<i>Beschreibung:</i>	Grosses gewölbtes Wandfragment, vermutlich eines Pithos oder eines Doliums	
<i>Bibliographie:</i>	Guggisberg u. a. 2011a, 67	IFe
S4/5	Wandscherbe	Taf. 19
<i>Vorausinv.:</i>	2010/8. 9	
<i>Material:</i>	Grobkeramik, rötlich gelb (Kern) (5YR 7/8)	
<i>Herstellung:</i>	Handaufgebaut	
<i>Erhaltung:</i>	2 Passfragmente	
<i>Masse:</i>	L 21.6 cm; B 10.8 cm; D 3 cm	
<i>Beschreibung:</i>	2 anpassende Wandscherben. Die Wölbung lässt auf einen Pithos oder ein Dolium schliessen	
<i>Bibliographie:</i>	Guggisberg u. a. 2011a, 67	IFe
S4/6	Spinnwirtel	Taf. 20
<i>Vorausinv.:</i>	2010/556	
<i>Material:</i>	Grobkeramik, sehr dunkles Grau (2.5YR 3/0)	
<i>Herstellung:</i>	Handaufgebaut	
<i>Erhaltung:</i>	Ganz	
<i>Masse:</i>	H 2.7 cm; Dm 2.9 cm; Dm Öse 0.9 cm; Gewicht 14.86 g	
<i>Beschreibung:</i>	Bikonischer, sechskantiger Spinnwirtel	
<i>Bibliographie:</i>	Guggisberg u. a. 2011a, 66 f.	IFe2
S4/7	Spinnwirtel	Taf. 20
<i>Vorausinv.:</i>	2010/667	
<i>Material:</i>	Grobkeramik, sehr dunkles Grau (2.5YR 3/0)	
<i>Herstellung:</i>	Handaufgebaut	
<i>Erhaltung:</i>	2 Fragmente und Splitter	
<i>Masse:</i>	H max. 2.2 cm; Dm max. 2.8 cm; Dm Öse 0.6 cm; Gewicht ca. 16.47 g	
<i>Beschreibung:</i>	Bikonischer, fünfkantiger Spinnwirtel	
<i>Bibliographie:</i>	Guggisberg u. a. 2011a, 66 f.	IFe2
S4/8	Spinnwirtel	Taf. 20
<i>Vorausinv.:</i>	2010/748	
<i>Material:</i>	Grobkeramik, sehr dunkles Grau (2.5YR 3/0)	
<i>Herstellung:</i>	Handaufgebaut	
<i>Erhaltung:</i>	1 Fragment und Splitter	
<i>Masse:</i>	H 2.7 cm; B 2.2 cm; D 1.5 cm; Gewicht 5.11 g	
<i>Beschreibung:</i>	Fragment eines rundlichen Spinnwirtels, vermutlich mit eingeritzten Ornamenten verziert	
<i>Bibliographie:</i>	Guggisberg u. a. 2011a, 66 f.	IFe2A
S4/9	Webgewicht mit Labyrinth	Taf. 20
<i>Vorausinv.:</i>	2010/14	
<i>Material:</i>	Grobkeramik, rötlich braun (5YR 5/3)	

<i>Herstellung:</i>	Handaufgebaut	
<i>Erhaltung:</i>	2 Fragmente und Splitter	
<i>Masse:</i>	H 10.6 cm; B max. 8.6 cm; D OK 2.9 cm; D Fuss 3.8 cm; Dm Öse 0.8 cm; Gewicht 500 g (Original ca. 600 g)	
<i>Beschreibung:</i>	Grosses, trapezförmiges Webgewicht mit eingeritztem Labyrinth (zwei Eingänge) auf einer Seite, die andere Seite ist unverziert. Typ C nach Kleibrink 2016b	
<i>Bibliographie:</i>	Guggisberg u. a. 2011a, 66 f.	IFe2
S4/10	Webgewicht, tropfenförmig	Taf. 20
<i>Vorausnu.:</i>	2010/687	
<i>Material:</i>	Grobkeramik, pink (5YR 7/4)	
<i>Herstellung:</i>	Handaufgebaut	
<i>Erhaltung:</i>	Ganz	
<i>Masse:</i>	H 3.5 cm; Dm 2.9 cm; Dm Öse 0.4 cm; Gewicht 25 g	
<i>Beschreibung:</i>	Tropfenförmiges Webgewicht mit Öse an verjüngter Stelle	
<i>Bibliographie:</i>	Guggisberg u. a. 2011a, 66 f.	IFe2
S4/11	Webgewichtfragment	Taf. 20
<i>Vorausnu.:</i>	2010/670. 681	
<i>Material:</i>	Grobkeramik	
<i>Herstellung:</i>	Handaufgebaut	
<i>Erhaltung:</i>	2 Fragmente und Splitter	
<i>Masse:</i>	H max. 3.3 cm; B 2.3 cm; D 1.4 cm; Gewicht (total) 23.29 g	
<i>Beschreibung:</i>	Fragmente eines Webgewichts (vermutlich tropfenförmig). Evtl. gleiche Form wie S4/10	
<i>Bibliographie:</i>	Guggisberg u. a. 2011a, 66 f.	IFe2
S4/12	Webgewichtfragment?	ohne Abbildung
<i>Vorausnu.:</i>	2010/201	
<i>Material:</i>	Grobkeramik, rötlich braun (5YR 4/3)	
<i>Herstellung:</i>	Handaufgebaut	
<i>Erhaltung:</i>	1 Fragment	
<i>Masse:</i>	L 1.7 cm; B 1.3 cm; D 0.7 cm	
<i>Beschreibung:</i>	Vermutlich Fragment eines Webgewichts	
<i>Bibliographie:</i>	Guggisberg u. a. 2011a, 66 f.	IFe2
S4/13	Webgewichtfragment?	ohne Abbildung
<i>Vorausnu.:</i>	2010/308	
<i>Material:</i>	Grobkeramik, rötlich braun (5YR 4/3)	
<i>Herstellung:</i>	Handaufgebaut	
<i>Erhaltung:</i>	4 Fragmente und Splitter	
<i>Masse:</i>	L max. 2.5 cm; L min. 1 cm; B max. 1.3 cm; B min. 0.8 cm; D max. 1.1 cm; D min. 0.8 cm	
<i>Beschreibung:</i>	Vermutlich Fragmente eines Webgewichts	
<i>Bibliographie:</i>	Guggisberg u. a. 2011a, 66 f.	IFe2
S4/14	Webgewichtfragment?	ohne Abbildung
<i>Vorausnu.:</i>	2010/619. 886. 957. 960. 1041	
<i>Material:</i>	Grobkeramik, rötlich braun (5YR 4/3)	
<i>Herstellung:</i>	Handaufgebaut	
<i>Erhaltung:</i>	5 Fragmente und Splitter	
<i>Masse:</i>	L max. 2 cm; B max. 1.1 cm; D max. 0.9 cm	
<i>Beschreibung:</i>	Fragmente eines Webgewichts	

<i>Bibliographie:</i>	Guggisberg u. a. 2011a, 66 f.	IFe2
S4/15	Schale	Taf. 21
<i>Vorausinv.:</i>	2010/106. 110. 335. 416. 487. 932. 958. 1048. 1051. 1053. 1054	
<i>Material:</i>	Bronze	
<i>Herstellung:</i>	Geschmiedet	
<i>Erhaltung:</i>	12 Fragmente	
<i>Masse:</i>	L max. 4.4 cm; D (Verdickung am Rand) 0.2 cm; D 0.05 cm; Dm ca. 15 cm	
<i>Beschreibung:</i>	Stark fragmentierte Bronzeschale. Erkennbar sind 2 Fragmente eines verdickten Randes und vermutlich der Ansatz eines Henkels. Die übrigen Fragmente sind gewölbte, stark fragmentierte Bleche	
<i>Bibliographie:</i>	Unpubl.	IFe2
S4/16	Flacher Doppelspiralanhänger	Taf. 21
<i>Vorausinv.:</i>	2010/558	
<i>Material:</i>	Bronze	
<i>Herstellung:</i>	Geschmiedet	
<i>Erhaltung:</i>	Zusammengesetzt	
<i>Masse:</i>	L 2.5 cm; H 1.7 cm; Dm (einzelne Spirale) 1.3 cm; D (Spiraldraht) 0.2 cm	
<i>Beschreibung:</i>	Doppelspiralanhänger mit flachen Spiralen. Typ 3a1 nach Chiartano 1994	
<i>Bibliographie:</i>	Guggisberg u. a. 2011a, 66	IFe2
S4/17	Doppelspiralanhänger?	Taf. 21
<i>Vorausinv.:</i>	2010/278. 447	
<i>Material:</i>	Bronze	
<i>Herstellung:</i>	Geschmiedet	
<i>Erhaltung:</i>	3 Fragmente	
<i>Masse:</i>	Dm (Spirale) 1.1 cm; D (Spiraldraht) 0.1 cm	
<i>Beschreibung:</i>	Flache Spiralen, vermutlich Teile eines Doppelspiralanhängers. Evtl. Typ 3a1 nach Chiartano 1994	
<i>Bibliographie:</i>	Guggisberg u. a. 2011a, 66	IFe2
S4/18	Doppelspiralanhänger?	Taf. 21
<i>Vorausinv.:</i>	2010/354. 491	
<i>Material:</i>	Bronze	
<i>Herstellung:</i>	Geschmiedet	
<i>Erhaltung:</i>	2 Fragmente	
<i>Masse:</i>	Dm (Spirale) 1.6 cm; D (Spiraldraht) 0.1 cm	
<i>Beschreibung:</i>	Flache Spiralen, vermutlich Teile eines Doppelspiralanhängers. Evtl. Typ 3a1 nach Chiartano 1994	
<i>Bibliographie:</i>	Guggisberg u. a. 2011a, 66	IFe2
S4/19	Doppelspiralanhänger?	Taf. 21
<i>Vorausinv.:</i>	2010/703. 752. 789	
<i>Material:</i>	Bronze	
<i>Herstellung:</i>	Geschmiedet	
<i>Erhaltung:</i>	3 Fragmente	
<i>Masse:</i>	Dm (Spirale) 1.1 cm; D (Spiraldraht) 0.2 cm	
<i>Beschreibung:</i>	Fragmente einer Spirale, vermutlich Teile eines Doppelspiralanhängers. Evtl. Typ 3a1 nach Chiartano 1994	
<i>Bibliographie:</i>	Guggisberg u. a. 2011a, 66	IFe2
S4/20	Ringanhänger	Taf. 21
<i>Vorausinv.:</i>	2010/703	

<i>Material:</i>	Bronze	
<i>Herstellung:</i>	Geschmiedet	
<i>Erhaltung:</i>	1 Fragment	
<i>Masse:</i>	Dm (Ringe) 1.1 cm; D 0.2 cm	
<i>Beschreibung:</i>	Anhänger aus einer Gruppe von 6 Ringen, die von einem weiteren zusammengehalten werden. Alle Ringe haben einen rautenförmigen Querschnitt und annähernd die gleiche Grösse	
<i>Bibliographie:</i>	Unpubl.	IFe2

S4/21	Ringanhänger	Taf. 21
<i>Vorausnu.:</i>	2010/875	
<i>Material:</i>	Bronze	
<i>Herstellung:</i>	Geschmiedet	
<i>Erhaltung:</i>	2 Fragmente und Splitter	
<i>Masse:</i>	Dm (Ringe) 1.1 cm; D 0.2 cm	
<i>Beschreibung:</i>	Anhänger aus einer Gruppe von 5 Ringen, die von einem weiteren zusammengehalten werden. Alle Ringe haben einen rautenförmigen Querschnitt und annähernd die gleiche Grösse	
<i>Bibliographie:</i>	Unpubl.	IFe2

S4/22	Ringanhänger	Taf. 21
<i>Vorausnu.:</i>	2010/716	
<i>Material:</i>	Bronze	
<i>Herstellung:</i>	Geschmiedet	
<i>Erhaltung:</i>	1 Fragment	
<i>Masse:</i>	Dm (Ringe) 1.2 cm; D 0.2 cm	
<i>Beschreibung:</i>	Anhänger aus einer Gruppe von 4 Ringen, die von einem weiteren zusammengehalten werden. Alle Ringe haben einen rautenförmigen Querschnitt und annähernd die gleiche Grösse	
<i>Bibliographie:</i>	Unpubl.	IFe2

S4/23	Ringfragmente mit rautenförmigem Querschnitt (Ringanhänger?)	Taf. 21
<i>Vorausnu.:</i>	2010/36. 51. 55. 88. 141. 177. 183. 186. 187. 236. 240. 243. 258. 344. 368. 369. 409. 414. 430. 455. 465. 468. 476. 486. 492. 505. 518. 557. 566. 580. 582. 588. 595. 632. 652. 673. 682. 710. 731. 738. 749. 754. 770. 779. 791. 805. 811. 819. 847. 887. 919. 954. 962. 972. 985. 1004. 1006. 1039. 1052	
<i>Material:</i>	Bronze	
<i>Herstellung:</i>	Geschmiedet	
<i>Erhaltung:</i>	76 Fragmente und Splitter	
<i>Masse:</i>	Dm max. 1.3 cm; D 0.2 cm	
<i>Beschreibung:</i>	Mehrere (59 Inventarnummern) Ringfragmente mit rautenförmigem Querschnitt. Diese gehören wahrscheinlich zu Ringanhängern. Aufgrund der Anzahl Fragmente sind zwischen 3 und 5 Anhänger wahrscheinlich	
<i>Bibliographie:</i>	Unpubl.	IFe2

S4/24	Doppelkonische Drahtperle?	Taf. 21
<i>Vorausnu.:</i>	2010/277	
<i>Material:</i>	Bronze	
<i>Herstellung:</i>	Geschmiedet	
<i>Erhaltung:</i>	1 Fragment und Splitter	
<i>Masse:</i>	Dm 0.7 cm; D 0.2 cm	
<i>Beschreibung:</i>	3 ansteigende, sich verengende Windungen einer Drahtperle	
<i>Bibliographie:</i>	Unpubl.	IFe2

S4/25	Doppelkonische Drahtperle?	Taf. 21
<i>Vorausnu.:</i>	2010/460. 461	

<i>Material:</i>	Bronze	
<i>Herstellung:</i>	Geschmiedet	
<i>Erhaltung:</i>	2 Fragmente	
<i>Masse:</i>	Dm 0.4 cm; D 0.2 cm	
<i>Beschreibung:</i>	Ansteigende, sich verengende Windungen einer Drahtperle; vermutlich zu einer doppelkonischen Form zu ergänzen	
<i>Bibliographie:</i>	Unpubl.	IFe2

S4/26	Doppelgliedrige Kette	ohne Abbildung
<i>Vorausinv.:</i>	2010/105	
<i>Material:</i>	Bronze	
<i>Herstellung:</i>	Geschmiedet	
<i>Erhaltung:</i>	2 Fragmente und Splitter	
<i>Masse:</i>	L 1.1 cm; Dm 0.3 cm	
<i>Beschreibung:</i>	2 Doppelglieder vollständig erhalten	
<i>Bibliographie:</i>	Unpubl.	IFe2

S4/27	Doppelgliedrige Kette	ohne Abbildung
<i>Vorausinv.:</i>	2010/1015	
<i>Material:</i>	Bronze	
<i>Herstellung:</i>	Geschmiedet	
<i>Erhaltung:</i>	2 Fragmente und Splitter	
<i>Masse:</i>	Dm 0.3 cm	
<i>Beschreibung:</i>	Sehr feine Ringlein, 1 Doppelglied im Verbund	
<i>Bibliographie:</i>	Unpubl.	IFe2

S4/28	Ringlein (Doppelgliedrige Kette?)	Taf. 21
<i>Vorausinv.:</i>	2010/100. 121. 172. 244. 259. 271. 317. 321. 322. 440. 454. 575. 621. 709. 712. 715. 782. 802. 842. 857. 861. 877. 896. 905. 915	
<i>Material:</i>	Bronze	
<i>Herstellung:</i>	Geschmiedet	
<i>Erhaltung:</i>	44 Fragmente und Splitter	
<i>Masse:</i>	Dm 0.3 cm	
<i>Beschreibung:</i>	Mehrere (36 Inventarnummern) sehr feine Ringlein. Anhand ihres Durchmessers lassen sie sich zu doppelgliedrigen Ketten rekonstruieren	
<i>Bibliographie:</i>	Unpubl.	IFe2

S4/29	Ring	Taf. 21
<i>Vorausinv.:</i>	2010/47	
<i>Material:</i>	Bronze	
<i>Herstellung:</i>	Geschmiedet	
<i>Erhaltung:</i>	1 Fragment	
<i>Masse:</i>	L 0.7 cm	
<i>Beschreibung:</i>	Fragment eines Ringes mit rundem Querschnitt	
<i>Bibliographie:</i>	Unpubl.	IFe2

S4/30	Ring	Taf. 21
<i>Vorausinv.:</i>	2010/295	
<i>Material:</i>	Bronze	
<i>Herstellung:</i>	Geschmiedet	
<i>Erhaltung:</i>	2 Fragmente	

<i>Masse:</i>	Dm 1 cm; D 0.1 cm	
<i>Beschreibung:</i>	Dünnere Ring mit rundem Querschnitt	
<i>Bibliographie:</i>	Unpubl.	IFe2

S4/31	Ring	Taf. 21
<i>Vorausinv.:</i>	2010/963	
<i>Material:</i>	Bronze	
<i>Herstellung:</i>	Geschmiedet	
<i>Erhaltung:</i>	1 Fragment	
<i>Masse:</i>	Dm 1.1 cm; D 0.2 cm	
<i>Beschreibung:</i>	Dünnere Ring mit rundem Querschnitt. Der Ring scheint partiell mit Bronzedraht umwickelt gewesen zu sein	
<i>Bibliographie:</i>	Unpubl.	IFe2

S4/32	Ring	ohne Abbildung
<i>Vorausinv.:</i>	2010/637	
<i>Material:</i>	Bronze	
<i>Herstellung:</i>	Geschmiedet	
<i>Erhaltung:</i>	1 Fragment	
<i>Masse:</i>	L 0.5 cm	
<i>Beschreibung:</i>	Ring mit rundem Querschnitt	
<i>Bibliographie:</i>	Unpubl.	IFe2

S4/33	Fingerspirale	Taf. 21
<i>Vorausinv.:</i>	2010/207	
<i>Material:</i>	Bronze	
<i>Herstellung:</i>	Geschmiedet	
<i>Erhaltung:</i>	1 Fragment	
<i>Masse:</i>	L 2.8 cm; Dm 1.4 cm; D 0.1 cm	
<i>Beschreibung:</i>	Zylindrische Spirale mit 13 Windungen aus Draht mit flachem Querschnitt. Typ S22 nach Ruby 1995	
<i>Bibliographie:</i>	Guggisberg u. a. 2011a, 66	IFe2

S4/34	Fingerspirale	Taf. 21
<i>Vorausinv.:</i>	2010/524	
<i>Material:</i>	Bronze	
<i>Herstellung:</i>	Geschmiedet	
<i>Erhaltung:</i>	2 Fragmente	
<i>Masse:</i>	L (zusammengesetzt) 3.1 cm; Dm 1.5 cm; D 0.1 cm	
<i>Beschreibung:</i>	Zylindrische Spirale mit 13 Windungen aus Draht mit flachem Querschnitt. Typ S22 nach Ruby 1995	
<i>Bibliographie:</i>	Guggisberg u. a. 2011a, 66	IFe2

S4/35	Fingerspirale	Taf. 21
<i>Vorausinv.:</i>	2010/526	
<i>Material:</i>	Bronze	
<i>Herstellung:</i>	Geschmiedet	
<i>Erhaltung:</i>	1 Fragment	
<i>Masse:</i>	L 2.9 cm; Dm 1.5 cm; D 0.1 cm	
<i>Beschreibung:</i>	Zylindrische Spirale mit 12 Windungen aus Draht mit flachem Querschnitt. Typ S22 nach Ruby 1995	
<i>Bibliographie:</i>	Guggisberg u. a. 2011a, 66	IFe2

S4/36	Fingerspirale	Taf. 21
-------	---------------	---------

<i>Vorausinv.:</i>	2010/527	
<i>Material:</i>	Bronze	
<i>Herstellung:</i>	Geschmiedet	
<i>Erhaltung:</i>	1 Fragment	
<i>Masse:</i>	L 2.9 cm; Dm 1.5 cm; D 0.1 cm	
<i>Beschreibung:</i>	Zylindrische Spirale mit 12 Windungen aus Draht mit flachem Querschnitt. Typ S22 nach Ruby 1995	
<i>Bibliographie:</i>	Guggisberg u. a. 2011a, 66	IFe2

S4/37	Fingerspirale	Taf. 21
<i>Vorausinv.:</i>	2010/384	
<i>Material:</i>	Bronze	
<i>Herstellung:</i>	Geschmiedet	
<i>Erhaltung:</i>	1 Fragment & Splitter	
<i>Masse:</i>	L 2.7 cm; Dm 1.7 cm	
<i>Beschreibung:</i>	Zylindrische Spirale mit 9 Windungen aus Draht mit flachem Querschnitt. Typ S22 nach Ruby 1995	
<i>Bibliographie:</i>	Guggisberg u. a. 2011a, 66	IFe2

S4/38	Fingerspirale	Taf. 21
<i>Vorausinv.:</i>	2010/401	
<i>Material:</i>	Bronze	
<i>Herstellung:</i>	Geschmiedet	
<i>Erhaltung:</i>	2 Fragmente	
<i>Masse:</i>	L 0.6 cm; Dm 1.6 cm; D 0.1 cm	
<i>Beschreibung:</i>	Zylindrische Spirale mit 3 Windungen aus Draht mit flachem Querschnitt. Typ S22 nach Ruby 1995	
<i>Bibliographie:</i>	Guggisberg u. a. 2011a, 66	IFe2

S4/39	Fingerspirale	Taf. 21
<i>Vorausinv.:</i>	2010/326	
<i>Material:</i>	Bronze	
<i>Herstellung:</i>	Geschmiedet	
<i>Erhaltung:</i>	1 Fragment	
<i>Masse:</i>	Dm 1.6 cm; D 0.1 cm	
<i>Beschreibung:</i>	Fragmente einer Fingerspirale. Typ S22 nach Ruby 1995	
<i>Bibliographie:</i>	Guggisberg u. a. 2011a, 66	IFe2

S4/40	Fingerspirale	Taf. 21
<i>Vorausinv.:</i>	2010/525	
<i>Material:</i>	Bronze	
<i>Herstellung:</i>	Geschmiedet	
<i>Erhaltung:</i>	Fragment	
<i>Masse:</i>	L 3.6 cm; Dm 1.6 cm; D 0.1 cm	
<i>Beschreibung:</i>	Fragmente einer Fingerspirale mit ca. 12 Windungen. Typ S22 nach Ruby 1995	
<i>Bibliographie:</i>	Guggisberg u. a. 2011a, 66	IFe2

S4/41	Fingerspirale	Taf. 21
<i>Vorausinv.:</i>	2010/765	
<i>Material:</i>	Bronze	
<i>Herstellung:</i>	Geschmiedet	
<i>Erhaltung:</i>	8 Fragmente	

<i>Masse:</i>	Dm 1.4 cm; D 0.1 cm	
<i>Beschreibung:</i>	Fragmente von ca. 7 Windungen einer Fingerspirale. Typ S22 nach Ruby 1995	
<i>Bibliographie:</i>	Guggisberg u. a. 2011a, 66	IFe2

S4/42	Ringfragment mit flachem Querschnitt (Fingerspirale?)	Taf. 21
<i>Vorausnu.:</i>	2010/11. 45. 58. 66. 260. 342. 382. 561. 601. 644. 653. 664. 674. 683. 794. 823. 828. 952. 999	
<i>Material:</i>	Bronze	
<i>Herstellung:</i>	Geschmiedet	
<i>Erhaltung:</i>	26 Fragmente und Splitter	
<i>Masse:</i>	Dm max. 1.4 cm; D max. 0.2 cm	
<i>Beschreibung:</i>	Mehrere (18 Inventarnummern) Ringfragmente mit flachem Querschnitt. Vermutlich Fragmente von Fingerspiralen	
<i>Bibliographie:</i>	Guggisberg u. a. 2011a, 66	IFe2

S4/43	Zierknöpfe	Taf. 21
<i>Vorausnu.:</i>	2010/42. 67. 68. 77. 80. 82–85. 90–92. 103. 104. 112–114. 127. 128. 131. 140. 143. 152–154. 156. 158. 160. 162. 164–167. 171. 173. 174. 178. 180–182. 185. 189. 190. 192–194. 197–200. 205. 208. 210. 214. 221–229. 232–235. 238. 241. 247. 251. 253–257. 263–266. 269. 270. 276. 280. 282–287. 293. 294. 296. 297. 300. 302. 306. 307. 309. 310. 311. 313. 314. 320. 325. 328. 330. 334. 336. 340. 341. 345. 346. 348. 350. 351. 356. 357. 360. 361. 363–365. 370. 371. 378–380. 383. 388. 390. 392. 394–396. 399. 402–404. 406–408. 415. 419. 420. 422. 423. 426. 427. 433. 438. 439. 442–446. 449. 450. 453. 462–464. 466. 467. 472. 477–485. 488. 490. 493–498. 502–504. 508–510. 512–517. 519–521. 523. 532. 533. 535–537. 540. 541. 543. 546–550. 552. 567. 568. 570. 572. 574. 579. 583. 584. 586. 587. 589–593. 597. 598. 606–609. 612–615. 617. 620. 624. 625. 627. 629. 634. 635. 638–642. 645–650. 654–656. 658–660. 662. 663. 665. 666. 669. 671. 675. 676. 678. 679. 684–686. 688. 691–697. 699–705. 707. 708. 711. 713. 717. 719–721. 724–727. 729. 730. 732–737. 740. 742. 750. 753. 756. 762. 763. 767. 769. 771. 778. 786. 788. 792. 793. 795. 797. 798. 801. 806–810. 812. 813. 817. 818. 822. 825–827. 833–836. 840. 844. 846. 848. 850–855. 858. 859. 862–867. 869–872. 876. 881–885. 888. 890–892. 894. 900. 902–904. 908. 909. 911–913. 916. 917. 926. 927. 930. 931. 934. 935. 938. 942–945. 947. 949. 951. 955. 956. 959. 961. 964. 965. 967. 968. 971. 975. 977–980. 983. 984. 988. 990–998. 1000. 1002. 1003. 1008–1018. 1020. 1023. 1026. 1028. 1030. 1032–1037. 1040. 1042–1046. 1048. 1049. 1055–1059. 1061–1066. 1068. 1069. 1072–1075. 1079. 1080	
<i>Material:</i>	Bronze	
<i>Herstellung:</i>	Geschmiedet	
<i>Erhaltung:</i>	495 Fragmente und Splitter	
<i>Masse:</i>	Dm max. 0.9 cm; Dm min. 0.4 cm	
<i>Beschreibung:</i>	477 unterschiedlich fragmentiert erhaltene Zierknöpfe	
<i>Bibliographie:</i>	Guggisberg u. a. 2011a, 65	IFe2

S4/44	Röhrchen	Taf. 21
<i>Vorausnu.:</i>	2010/860	
<i>Material:</i>	Bronze	
<i>Herstellung:</i>	Geschmiedet	
<i>Erhaltung:</i>	1 Fragment	
<i>Masse:</i>	L 2.3 cm; Dm 0.4 cm	
<i>Beschreibung:</i>	Bronzeröhrchen, evtl. Teil einer Rassel	
<i>Bibliographie:</i>	Guggisberg u. a. 2011a, 65 f.	IFe2

S4/45	Röhrchen, zusammengedrückt	Taf. 21
<i>Vorausnu.:</i>	2010/329	
<i>Material:</i>	Bronze	
<i>Herstellung:</i>	Geschmiedet	
<i>Erhaltung:</i>	1 Fragment	

<i>Masse:</i>	L 2 cm; B 0.5 cm; D 0.25 cm	
<i>Beschreibung:</i>	Gebogener Stift, evtl. zusammengedrücktes Röhrchen; könnte Teil einer Rassel sein	
<i>Bibliographie:</i>	Guggisberg u. a. 2011a, 65 f.	IFe2

S4/46	Röhrchen, zusammengedrückt	Taf. 21
<i>Vorausinv.:</i>	2010/746	
<i>Material:</i>	Bronze	
<i>Herstellung:</i>	Geschmiedet	
<i>Erhaltung:</i>	1 Fragment	
<i>Masse:</i>	L 2 cm; B 0.6 cm; D 0.3 cm	
<i>Beschreibung:</i>	Dreieckiger Stift; könnte Teil einer Rassel sein	
<i>Bibliographie:</i>	Guggisberg u. a. 2011a, 65 f.	IFe2

S4/47	Röhrchen, zusammengedrückt	Taf. 21
<i>Vorausinv.:</i>	2010/216	
<i>Material:</i>	Bronze	
<i>Herstellung:</i>	Geschmiedet	
<i>Erhaltung:</i>	1 Fragment und Splitter	
<i>Masse:</i>	L 2.1 cm; B 0.4 cm; D 0.3 cm	
<i>Beschreibung:</i>	Könnte Teil einer Rassel sein	
<i>Bibliographie:</i>	Guggisberg u. a. 2011a, 65 f.	IFe2

S4/48	Röhrchen, zusammengedrückt	ohne Abbildung
<i>Vorausinv.:</i>	2010/511	
<i>Material:</i>	Bronze	
<i>Herstellung:</i>	Geschmiedet	
<i>Erhaltung:</i>	1 Fragment	
<i>Masse:</i>	L 0.6 cm; B 0.4 cm; D 0.3 cm	
<i>Beschreibung:</i>	Könnte Teil einer Rassel sein	
<i>Bibliographie:</i>	Guggisberg u. a. 2011a, 65 f.	IFe2

S4/49	Röhrchen, zusammengedrückt	Taf. 21
<i>Vorausinv.:</i>	2010/689	
<i>Material:</i>	Bronze	
<i>Herstellung:</i>	Geschmiedet	
<i>Erhaltung:</i>	2 anpassende Fragmente	
<i>Masse:</i>	L 1.3 cm; B 0.4 cm; D 0.2 cm	
<i>Beschreibung:</i>	Ein zusammengedrücktes Röhrchen, das vermutlich zu einer Rassel rekonstruiert werden kann	
<i>Bibliographie:</i>	Guggisberg u. a. 2011a, 65 f.	IFe2

S4/50	Blech	Taf. 21
<i>Vorausinv.:</i>	2010/78	
<i>Material:</i>	Bronze	
<i>Herstellung:</i>	Geschmiedet	
<i>Erhaltung:</i>	1 Fragment	
<i>Masse:</i>	L 0.9 cm; B 0.25 cm; D 0.1 cm	
<i>Beschreibung:</i>	Band mit flachem Querschnitt. Evtl. Fibelteil oder Teil einer Fingerspirale?	
<i>Bibliographie:</i>	Guggisberg u. a. 2011a, 65 f.	IFe2

S4/51	Blech	Taf. 21
<i>Vorausnu.:</i>	2010/698	
<i>Material:</i>	Bronze	
<i>Herstellung:</i>	Geschmiedet	
<i>Erhaltung:</i>	1 Fragment	
<i>Masse:</i>	L 0.9 cm; B 0.2 cm; D 0.1 cm	
<i>Beschreibung:</i>	Band mit flachem Querschnitt. Evtl. Fibelteil oder Teil einer Fingerspirale?	
<i>Bibliographie:</i>	Guggisberg u. a. 2011a, 65 f.	IFe2

S4/52	Draht	Taf. 21
<i>Vorausnu.:</i>	2010/15. 71. 109. 191. 301. 318. 319. 375. 381. 393. 431. 628. 633. 680. 714. 820. 841. 849. 1029. 1078	
<i>Material:</i>	Bronze	
<i>Herstellung:</i>	Geschmiedet	
<i>Erhaltung:</i>	24 Fragmente und Splitter	
<i>Masse:</i>	L max. 1.6 cm; D 0.2 cm	
<i>Beschreibung:</i>	Mehrere (20 Inventarnummern) Drahtfragmente mit rundem Querschnitt. Evtl. Teile von Doppelspiralanhängern oder einer Fibel	
<i>Bibliographie:</i>	Guggisberg u. a. 2011a, 65 f.	IFe2

S4/53	Draht	Taf. 21
<i>Vorausnu.:</i>	2010/6. 43. 50. 288. 292. 303. 337. 428. 441. 475. 581. 703	
<i>Material:</i>	Bronze	
<i>Herstellung:</i>	Geschmiedet	
<i>Erhaltung:</i>	13 Fragmente und Splitter	
<i>Masse:</i>	L max. 1.3 cm; D 0.2 cm	
<i>Beschreibung:</i>	Mehrere (11 Inventarnummern) Drahtfragmente mit flachem Querschnitt. Evtl. Teile von Fingerspiralen?	
<i>Bibliographie:</i>	Guggisberg u. a. 2011a, 65 f.	IFe2

S4/54	Stift	Taf. 21
<i>Vorausnu.:</i>	2010/60	
<i>Material:</i>	Bronze	
<i>Herstellung:</i>	Geschmiedet	
<i>Erhaltung:</i>	2 Fragmente	
<i>Masse:</i>	L max. 1.1 cm; D 0.2 cm	
<i>Beschreibung:</i>	Gerader Stift, vermutlich Fragment einer Fibelnadel	
<i>Bibliographie:</i>	Guggisberg u. a. 2011a, 65 f.	IFe2

S4/55	Stift	ohne Abbildung
<i>Vorausnu.:</i>	2010/230	
<i>Material:</i>	Bronze	
<i>Herstellung:</i>	Geschmiedet	
<i>Erhaltung:</i>	1 Fragment	
<i>Masse:</i>	L 0.8 cm; B 0.2 cm; D 0.1 cm	
<i>Beschreibung:</i>	Gerader Stift, könnte Teil einer Fibel sein	
<i>Bibliographie:</i>	Guggisberg u. a. 2011a, 65 f.	IFe2

S4/56	Spirale	Taf. 21
<i>Vorausnu.:</i>	2010/272. 274	
<i>Material:</i>	Bronze	
<i>Herstellung:</i>	Geschmiedet	

<i>Erhaltung:</i>	3 Fragmente und Splitter	
<i>Masse:</i>	Dm max. 0.5 cm	
<i>Beschreibung:</i>	Spiralförmiges, gewundenes Band mit flachem Querschnitt. 3 Windungen sind erhalten	
<i>Bibliographie:</i>	Guggisberg u. a. 2011a, 65 f.	IFe2

S4/57	Spirale	Taf. 21
<i>Vorausinv.:</i>	2010/358	
<i>Material:</i>	Bronze	
<i>Herstellung:</i>	Geschmiedet	
<i>Erhaltung:</i>	1 Fragment	
<i>Masse:</i>	L 1 cm; Dm 0.6 cm	
<i>Beschreibung:</i>	Spiralförmig gewundenes Band mit flachem Querschnitt. 3 Windungen sind erhalten	
<i>Bibliographie:</i>	Guggisberg u. a. 2011a, 65 f.	IFe2

S4/58	Unbestimmte Fragmente	Taf. 21
<i>Vorausinv.:</i>	2010/52. 76. 81. 122. 129. 159. 175. 215. 220. 231. 246. 249. 252. 267. 273. 333. 355. 362. 366. 451. 457. 559. 596. 603. 677. 706. 722. 723. 744. 751. 757. 764. 768. 772. 799. 800. 814. 815. 830. 832. 837–839. 843. 845. 856. 874. 893. 898. 923. 928. 948. 974. 1050	
<i>Material:</i>	Bronze	
<i>Herstellung:</i>	Geschmiedet	
<i>Erhaltung:</i>	48 Fragmente und Splitter	
<i>Masse:</i>	–	
<i>Beschreibung:</i>	Ca. 48 nicht ansprechbare Fragmente	
<i>Bibliographie:</i>	Guggisberg u. a. 2011a, 65 f.	–

S4/59	Schlangenfibel mit Bronzedrahtumwicklung	Taf. 22
<i>Vorausinv.:</i>	2010/136. 184. 323. 324. 500. 878	
<i>Material:</i>	Eisen, Bronze	
<i>Herstellung:</i>	Geschmiedet	
<i>Erhaltung:</i>	20 Fragmente	
<i>Masse:</i>	L max. 6 cm; B max. 1.1 cm; Dm 0.9 cm	
<i>Beschreibung:</i>	Feder mit bandförmigem Querschnitt sowie leicht gebogene Eisenstifte mit rundem Querschnitt, darunter solche mit und solche ohne Bronzedrahtumwicklung. Die Fundverteilung lässt auf eine Schlangenfibel mit Feder und Öse schließen. Es könnte sich um Typ 347 nach Lo Schiavo 2010 handeln	
<i>Bibliographie:</i>	Guggisberg u. a. 2011a, 65 f.	IFe2

S4/60	Fibelfragmente	Taf. 22
<i>Vorausinv.:</i>	2010/94. 327. 429	
<i>Material:</i>	Eisen	
<i>Herstellung:</i>	Geschmiedet	
<i>Erhaltung:</i>	3 Fragmente	
<i>Masse:</i>	L 2.7 cm; Dm 0.6 cm	
<i>Beschreibung:</i>	Fibelfuss mit einem Teil der Nadel darin; Eisenstifte	
<i>Bibliographie:</i>	Guggisberg u. a. 2011a, 68	IFe2

S4/61	Fibelfragment?	Taf. 22
<i>Vorausinv.:</i>	2010/49	
<i>Material:</i>	Eisen	
<i>Herstellung:</i>	Geschmiedet	
<i>Erhaltung:</i>	1 Fragment	

<i>Masse:</i>	L 1.3 cm; Dm 0.4 cm	
<i>Beschreibung:</i>	Gebogener Eisenstift	
<i>Bibliographie:</i>	Guggisberg u. a. 2011a, 65 f.	IFe2
S4/62	Spirale	Taf. 22
<i>Vorausnu.:</i>	2010/376. 605. 879	
<i>Material:</i>	Eisen	
<i>Herstellung:</i>	Geschmiedet	
<i>Erhaltung:</i>	5 Fragmente	
<i>Masse:</i>	L max. 2.1 cm; B max. 2.2 cm; D 0.3 cm; Dm 2.8 cm	
<i>Beschreibung:</i>	Eisenspirale mit bandförmigem Querschnitt. 2 Fragmente können zusammengesetzt werden	
<i>Bibliographie:</i>	Guggisberg u. a. 2011a, 65 f.	IFe2
S4/63	Schale	Taf. 22
<i>Vorausnu.:</i>	2010/576. 784. 873. 889. 910. 918. 920. 970. 989. 1001. 1019. 1047. 1071	
<i>Material:</i>	Silber, vergoldet	
<i>Herstellung:</i>	Geschmiedet	
<i>Erhaltung:</i>	19 Fragmente	
<i>Masse:</i>	L max. 1.8 cm; B max. 0.9 cm; D 0.1 cm; Dm ca. 13 cm	
<i>Beschreibung:</i>	Die meisten Fragmente sind flaches, unverziertes Silberblech, das einer runden Form zu folgen scheint. 1 Fragment könnte zu einem Omphalos gehören. Einige Fragmente sind gerippt	
<i>Bibliographie:</i>	Guggisberg u. a. 2011a, 68; Guggisberg 2016, Abb. 4	IFe2
S4/64	Anhänger	Taf. 22
<i>Vorausnu.:</i>	2010/133. 211. 289. 299. 352. 432. 501. 622. 922. 1038	
<i>Material:</i>	Bernstein	
<i>Herstellung:</i>	Geschnitten, geschliffen oder gedrillt und poliert. Öse durch Bohren oder mit heisser Metallnadel	
<i>Erhaltung:</i>	9 Fragmente und Splitter	
<i>Masse:</i>	L max. 2 cm; B max. 1.8 cm; D 0.5 cm; Dm Öse max. 0.3 cm	
<i>Beschreibung:</i>	7 unterschiedlich erhaltene Anhänger. Bei allen ist eine Seite sehr flach, während die andere leicht tropfenförmig verläuft	
<i>Bibliographie:</i>	Guggisberg u. a. 2011a, 63–66	IFe2
S4/65	<i>Distanziatori/Vaghi passafili</i>	Taf. 22
<i>Vorausnu.:</i>	2010/54. 218. 268. 385. 718. 790. 796. 966	
<i>Material:</i>	Bernstein	
<i>Herstellung:</i>	Geschnitten, geschliffen oder gedrillt und poliert. Öse durch Bohren oder mit heisser Metallnadel	
<i>Erhaltung:</i>	22 Fragmente und Splitter	
<i>Masse:</i>	L max. 2 cm; B max. 1.3 cm; D 0.6 cm; Dm Öse max. 0.3 cm	
<i>Beschreibung:</i>	8 unterschiedlich erhaltene, flache Bernsteine. Beide Seiten sind flach und die meisten haben ein bis zwei Ösen. Dies legt die Funktion als <i>distanziatori/vaghi passafili</i> nahe	
<i>Bibliographie:</i>	Guggisberg u. a. 2011a, 63–66	IFe2
S4/66	Tonnenförmige Perle	Taf. 22
<i>Vorausnu.:</i>	2010/144	
<i>Material:</i>	Bernstein	
<i>Herstellung:</i>	Geschnitten, geschliffen oder gedrillt und poliert. Öse durch Bohren oder mit heisser Metallnadel	
<i>Erhaltung:</i>	Fragment	
<i>Masse:</i>	L 1.9 cm; B 1 cm; D 0.9 cm	

<i>Beschreibung:</i>	Tonnenförmige, der Länge nach durchbohrte Perle	
<i>Bibliographie:</i>	Guggisberg u. a. 2011a, 63–66	IFe2

S4/67	Spindelförmige Perle	Taf. 22
<i>Vorausinv.:</i>	2010/132	
<i>Material:</i>	Bernstein	
<i>Herstellung:</i>	Geschnitten, geschliffen oder gedreht und poliert. Öse durch Bohren oder mit heisser Metallnadel	
<i>Erhaltung:</i>	3 Fragmente	
<i>Masse:</i>	L max 1.3 cm; B max. 1.2 cm; D 0.7 cm	
<i>Beschreibung:</i>	Spindelförmige, der Länge nach durchbohrte Perle	
<i>Bibliographie:</i>	Guggisberg u. a. 2011a, 63–66	IFe2

S4/68	Ringperlen	Taf. 22
<i>Vorausinv.:</i>	2010/53. 56. 61. 65. 145. 146. 298. 816. 941. 953. 987. 1070. 1076. 1077	
<i>Material:</i>	Bernstein	
<i>Herstellung:</i>	Geschnitten, geschliffen oder gedreht und poliert. Öse durch Bohren oder mit heisser Metallnadel	
<i>Erhaltung:</i>	16 Fragmente und Splitter	
<i>Masse:</i>	Dm max. 1.8 cm; Dm min. 0.6 cm	
<i>Beschreibung:</i>	13 unterschiedlich fragmentiert erhaltene Ringperlen	
<i>Bibliographie:</i>	Guggisberg u. a. 2011a, 63–66	IFe2

S4/69	Perlen	Taf. 22
<i>Vorausinv.:</i>	2010/48. 57. 59. 62. 64. 69. 72. 75. 87. 89. 116. 125. 148. 151. 188. 203. 209. 316. 331. 332. 338. 339. 372. 373. 386. 389. 400. 410. 412. 425. 452. 470. 499. 507. 545. 554. 569. 571. 573. 585. 594. 602. 631. 651. 672. 739. 741. 745. 783. 804. 868. 897. 899. 906. 921. 924. 936. 940. 981. 1005. 1022. 1043. 1060	
<i>Material:</i>	Bernstein	
<i>Herstellung:</i>	Geschnitten, geschliffen oder gedreht und poliert. Öse durch Bohren oder mit heisser Metallnadel	
<i>Erhaltung:</i>	107 Fragmente und Splitter	
<i>Masse:</i>	L max. 1.9 cm; B max. 1.7 cm; D max. 1.2 cm	
<i>Beschreibung:</i>	64 unterschiedliche Bernsteinperlen	
<i>Bibliographie:</i>	Guggisberg u. a. 2011a, 63–66	IFe2

S4/70	Perle?	Taf. 22
<i>Vorausinv.:</i>	2010/86	
<i>Material:</i>	Glas, weiss	
<i>Herstellung:</i>	Gedreht, geschliffen oder gedreht und poliert	
<i>Erhaltung:</i>	3 Fragmente	
<i>Masse:</i>	L max. 1.2 cm; B max. 0.7 cm; D max. 0.5 cm	
<i>Beschreibung:</i>	Weisse, stark verwitterte Glasfragmente, evtl. eine Perle	
<i>Bibliographie:</i>	Guggisberg u. a. 2011a, 63–66	IFe2

S4/71	Unbestimmtes Fragment	ohne Abbildung
<i>Vorausinv.:</i>	2010/130	
<i>Material:</i>	Glas/Quarz/Muskovit?	
<i>Herstellung:</i>	Gedreht, geschliffen oder gedreht und poliert	
<i>Erhaltung:</i>	1 Fragment	
<i>Masse:</i>	L 0.4 cm; B 0.2 cm; D max. 0.05 cm	
<i>Beschreibung:</i>	Material ist unklar. Flaches, transparentes Fragment	
<i>Bibliographie:</i>	Guggisberg u. a. 2011a, 63–66	–

Verfüllung Strada 4		
S4/72	Wandscherbe	ohne Abbildung
<i>Vorausinv.:</i>	2010/17	
<i>Material:</i>	Feinkeramik, rötlich gelb (5YR 6/6)	
<i>Herstellung:</i>	Handaufgebaut?	
<i>Erhaltung:</i>	4 Fragmente	
<i>Masse:</i>	L max. 2.6 cm; B max. 0.7 cm	
<i>Beschreibung:</i>	–	
<i>Bibliographie:</i>	Guggisberg u. a. 2011a, 67	IFe
S4/73	Wandscherbe	ohne Abbildung
<i>Vorausinv.:</i>	2010/25	
<i>Material:</i>	Feinkeramik, rötlich gelb (5YR 6/6)	
<i>Herstellung:</i>	Scheibengedreht?	
<i>Erhaltung:</i>	1 Fragment	
<i>Masse:</i>	L 0.9 cm; D 0.2 cm	
<i>Beschreibung:</i>	–	
<i>Bibliographie:</i>	Guggisberg u. a. 2011a, 67	–
S4/74	Zierknöpfe	ohne Abbildung
<i>Vorausinv.:</i>	2010/10. 40	
<i>Material:</i>	Bronze	
<i>Herstellung:</i>	Geschmiedet	
<i>Erhaltung:</i>	5 Fragmente und Splitter	
<i>Masse:</i>	–	
<i>Beschreibung:</i>	2 unterschiedlich erhaltene Zierknöpfe	
<i>Bibliographie:</i>	Unpubl.	IFe
S4/75	Draht	ohne Abbildung
<i>Vorausinv.:</i>	2010/38	
<i>Material:</i>	Bronze	
<i>Herstellung:</i>	Geschmiedet	
<i>Erhaltung:</i>	3 Fragmente	
<i>Masse:</i>	–	
<i>Beschreibung:</i>	Drahtfragmente mit flachem Querschnitt. Evtl. Teile von Fingerspiralen?	
<i>Bibliographie:</i>	Guggisberg u. a. 2011a, 65 f.	IFe
S4/76	Spirale	Taf. 22
<i>Vorausinv.:</i>	2010/23	
<i>Material:</i>	Bronze	
<i>Herstellung:</i>	Geschmiedet	
<i>Erhaltung:</i>	1 Fragment	
<i>Masse:</i>	Dm 0.9 cm; D 0.2 cm	
<i>Beschreibung:</i>	Spiralförmiges, gewundenes Band mit flachem Querschnitt	
<i>Bibliographie:</i>	Guggisberg u. a. 2011a, 65 f.	IFe
S4/77	Unbestimmte Fragmente	ohne Abbildung
<i>Vorausinv.:</i>	2010/35	
<i>Material:</i>	Bronze	

<i>Herstellung:</i>	Geschmiedet	
<i>Erhaltung:</i>	Splitter	
<i>Masse:</i>	–	
<i>Beschreibung:</i>	Nicht ansprechbare Splitter	
<i>Bibliographie:</i>	Guggisberg u. a. 2011a, 65 f.	–

S4/78	Stift mit Bronzedrahtumwicklung	Taf. 22
<i>Vorausinv.:</i>	2010/30	
<i>Material:</i>	Eisen, Bronze	
<i>Herstellung:</i>	Geschmiedet	
<i>Erhaltung:</i>	1 Fragment	
<i>Masse:</i>	L 2.6 cm; B 0.6 cm; Dm 0.6 cm	
<i>Beschreibung:</i>	Stift mit rundem Querschnitt und Bronzedrahtumwicklung	
<i>Bibliographie:</i>	Guggisberg u. a. 2011a, 65 f.	IFe

S4/79	Spindelförmige Perle	Taf. 22
<i>Vorausinv.:</i>	2010/44	
<i>Material:</i>	Bernstein	
<i>Herstellung:</i>	Geschnitten, geschliffen oder gedrillt und poliert. Öse durch Bohren oder mit heisser Metallnadel	
<i>Erhaltung:</i>	2 Fragmente	
<i>Masse:</i>	L max 3.1 cm; B max. 1.3 cm; D 1 cm	
<i>Beschreibung:</i>	Spindelförmige, der Länge nach durchbohrte Perle	
<i>Bibliographie:</i>	Guggisberg u. a. 2011a, 63–66	IFe

S4/80	Ringperlen	Taf. 22
<i>Vorausinv.:</i>	2010/16. 24. 39	
<i>Material:</i>	Bernstein	
<i>Herstellung:</i>	Geschnitten, geschliffen oder gedrillt und poliert. Öse durch Bohren oder mit heisser Metallnadel	
<i>Erhaltung:</i>	7 Fragmente und Splitter	
<i>Masse:</i>	Dm max. 1.5 cm; Dm min. 0.8 cm	
<i>Beschreibung:</i>	3 unterschiedlich erhaltene Ringperlen	
<i>Bibliographie:</i>	Guggisberg u. a. 2011a, 63–66	IFe

S4/81	Perlen	Taf. 22
<i>Vorausinv.:</i>	2010/26. 28. 29. 31. 32. 33. 34. 41	
<i>Material:</i>	Bernstein	
<i>Herstellung:</i>	Geschnitten, geschliffen oder gedrillt und poliert. Öse durch Bohren oder mit heisser Metallnadel	
<i>Erhaltung:</i>	10 Fragmente und Splitter	
<i>Masse:</i>	L max. 1.8 cm; B max. 1 cm; D max. 0.8 cm	
<i>Beschreibung:</i>	8 unterschiedliche Perlen	
<i>Bibliographie:</i>	Guggisberg u. a. 2011a, 63–66	IFe

Strada 5			Taf. 23–30
Ungestört		Grabungsjahr 2011	
<i>Grabform:</i>	Monumentales Fossagrab	Nahezu rechteckige Struktur mit abgerundeten Ecken. Wände mit grossen gerundeten Steinen ausgekleidet	Grab 4.30 x 2.80 x 0.75–0.85 m
	Pflästerung	Pflästerung aus flachen, gerundeten Flusskieseln	Pflästerung 3.30 x 1.45 m
	NW-SO-Ausrichtung		
<i>Bestattungsritus:</i>	Körperbestattung	Hockerlage; Rechte Seitenlage des Schädels	NW-SO, Kopf im NW
<i>Anthropologie:</i>	Spätadult	Grössere Fragmente des Schädels und mehrere Zähne; Rest des Skelettes stark fragmentiert (<i>Humerus</i> rechts, Rippen, <i>Femur</i> rechts und links, <i>Fibula</i> rechts und links, <i>Tibia</i> links)	Über 30 Jahre
	Tendenziell männlich (robuster Knochenbau)		
Guggisberg u. a. 2012a, 100–106 Abb. 2. 3 Taf. 13, 4; Guggisberg u. a. 2012b, 5–7 Abb. 6; Guggisberg 2016; Colombi – Guggisberg 2016, 58. 61 f.; Colombi u. a. 2018; Guggisberg u. a. 2018b			(Ende IFe2A) – Anfang IFe2B

S5/1	Olla auf hohem Fuss	Taf. 26
<i>Vorausinv.:</i>	2011/975	
<i>Material:</i>	Feinkeramik, rötlich gelb (7.5YR 8/6), Oberfläche: gelblich rot (5YR 5/8)	
<i>Herstellung:</i>	Gemischte Technik: Fuss auf Scheibe gedreht; Körper <i>a cercine</i> handaufgebaut und mit der langsamen Töpferscheibe fertiggestellt. Verzierung <i>matt-painted des stile a bande ondulate</i>	
<i>Erhaltung:</i>	Aus Fragmenten zusammengesetzt	
<i>Masse:</i>	H 34.8 cm; Dm max. 31.4 cm; Dm max. mit Henkeln 40.0 cm; Dm Mündung 20.9 cm; Dm Fuss 17.2 cm	
<i>Beschreibung:</i>	Ausladender Rand, vom Hals abgesetzt. Hals leicht gewölbt, von der niedrigen gerundeten Schulter abgesetzt. Konischer, leicht gerundeter Gefässunterkörper; hoher ausladender Fuss mit 3 dreieckigen Öffnungen; 2 schräge, horizontal angesetzte Bandhenkel am Übergang von Schulter zu Bauch. Die Henkel verjüngen sich nach oben und weisen eine Aussparung auf	
<i>Bemalung:</i>	Dunkelbraune Bemalungsspuren: 5 dreieckige Motive auf der Mündungsinenseite; 3 horizontale Bänder am Übergang zwischen Rand und Hals; horizontale Bänder und Wellenlinien am Übergang von Hals zu Schulter; 3 horizontale Streifen im oberen Bereich des Fusses, unterbrochen von trapezoidalen Aussparungen; 3 Horizontale Streifen auf dem unteren Fussende; 3 Streifen auf den Henkelansätzen	
<i>Bibliographie:</i>	Guggisberg u. a. 2012a, 103; Guggisberg u. a. 2012b, 7 Abb. 6	(IFe2A)–IFe2B

S5/2	Tasse	Taf. 26
<i>Vorausinv.:</i>	2011/976	
<i>Material:</i>	Feinkeramik, rötlich gelb (7.5YR 7/6), Oberfläche gelblich rot (5YR 5/8)	
<i>Herstellung:</i>	Scheibengedreht und bemalt, sog. oino-trisch-euböische Produktion mit Verzierung im <i>Wavy Bands Style</i>	
<i>Erhaltung:</i>	Ganz	
<i>Masse:</i>	H 5.9 cm; H mit Henkel 6.6 cm; Dm max. 7.3 cm; Dm Mündung 5.1 cm; Dm Fuss 4.4 cm	
<i>Beschreibung:</i>	Abgesetzter, schräg nach aussen verlaufender Rand; nicht abgesetzter Hals; abgerundete Schulter und abgerundeter Unterteil; flacher Boden mit Spuren der Töpferscheibe. Vertikal angesetzter Bandhenkel zwischen Schulter und Rand	
<i>Bemalung:</i>	Bemalungsspuren haben sich ‚im Negativ‘ erhalten: horizontales Band zwischen Hals und Rand sowie zwischen Hals und Schulter; Wellenlinie auf der Schulter; mehrere horizontale Bänder auf dem Henkel. Horizontale Bänder eventuell auch auf dem unteren Gefässkörper	
<i>Bibliographie:</i>	Guggisberg u. a. 2012b, 7 Abb. 6; Colombi – Guggisberg 2016, 62 Abb. 11	IFe2B

S5/3	Fuss einer Bronzefibel	Taf. 28
<i>Vorausinv.:</i>	2011/207	
<i>Material:</i>	Bronze	
<i>Herstellung:</i>	Geschmiedet	
<i>Erhaltung:</i>	1 Fragment	
<i>Masse:</i>	L 1.2 cm; B 0.9 cm; H 0.1 cm	

<i>Beschreibung:</i>	Fragment vom langen Fuss einer Bronzefibel; genauere typologische Einordnung nicht möglich	
<i>Bibliographie:</i>	Unpubl.	IFe2

S5/4	Ringanhänger	Taf. 28
<i>Vorausinv.:</i>	2011/478	
<i>Material:</i>	Bronze	
<i>Herstellung:</i>	Geschmiedet	
<i>Erhaltung:</i>	2 Fragmente	
<i>Masse:</i>	L 3.4 und 2.8 cm; B 2.0 und 1.6 cm; H 2.0 und 1.1 cm; Dm Ringe 1.2–1.4 cm; Dm Draht 0.2 cm	
<i>Beschreibung:</i>	2 Ringanhänger, bestehend aus jeweils 8 und 15 Ringen mit rautenförmigem Querschnitt. Befanden sich im Bereich des Schädels	
<i>Bibliographie:</i>	Guggisberg u. a. 2012a, 103	IFe2

S5/5	Ringanhänger	Taf. 28
<i>Vorausinv.:</i>	2011/323. 413. 433. 434. 599. 714. 834	
<i>Material:</i>	Bronze	
<i>Herstellung:</i>	Geschmiedet	
<i>Erhaltung:</i>	15 Fragmente	
<i>Masse:</i>	L max. 2.0 cm; B max. 1.8 cm; H max. 1.6 cm; Dm Ringe 1.4 cm; Dm Draht 0.2 cm	
<i>Beschreibung:</i>	Teil eines Ringanhängers, bestehend aus 8 Ringen, sowie Fragmente von weiteren Ringen mit rautenförmigem Querschnitt. Befanden sich im Beinbereich	
<i>Bibliographie:</i>	Guggisberg u. a. 2012a, 103	IFe2

S5/6	Ringanhänger	Taf. 28
<i>Vorausinv.:</i>	2011/607. 610. 627	
<i>Material:</i>	Bronze	
<i>Herstellung:</i>	Geschmiedet	
<i>Erhaltung:</i>	4 Fragmente	
<i>Masse:</i>	L 2.3 und 2.5 cm; B 2.3 und 2.0 cm; Dm Ringe 1.3 cm; Dm Draht 0.3 cm	
<i>Beschreibung:</i>	Teile von 2 Ringanhängern, bestehend aus 8 und 7 Ringen, sowie 2 Ringfragmente mit rautenförmigem Querschnitt. Befanden sich im Beinbereich	
<i>Bibliographie:</i>	Guggisberg u. a. 2012a, 103	IFe2

S5/7	Doppelkonische Drahtperle	Taf. 28
<i>Vorausinv.:</i>	2011/543	
<i>Material:</i>	Bronze	
<i>Herstellung:</i>	Geschmiedet	
<i>Erhaltung:</i>	2 Fragmente	
<i>Masse:</i>	L max. 0.5 cm; Dm 0.4–0.8 cm	
<i>Beschreibung:</i>	2 Fragmente einer doppelkonischen Drahtperle mit flachem Querschnitt, befanden sich nördlich des Schädels	
<i>Bibliographie:</i>	Unpubl.	IFe2

S5/8	Doppelkonische Drahtperle	Taf. 28
<i>Vorausinv.:</i>	2011/615	
<i>Material:</i>	Bronze	
<i>Herstellung:</i>	Geschmiedet	
<i>Erhaltung:</i>	1 Fragment	
<i>Masse:</i>	L 0.8 cm; Dm 0.5–0.7 cm	
<i>Beschreibung:</i>	Doppelkonische Drahtperle mit flachem Querschnitt, befand sich im östlichen Teil des Beinbereiches	
<i>Bibliographie:</i>	Unpubl.	IFe2

S5/9	Ringe	Taf. 28
<i>Vorausnu.:</i>	2011/231. 915	
<i>Material:</i>	Bronze	
<i>Herstellung:</i>	Geschmiedet	
<i>Erhaltung:</i>	4 Fragmente	
<i>Masse:</i>	L max. 0.6 cm; Dm Draht 0.15 cm	
<i>Beschreibung:</i>	4 Fragmente von kleinen Ringen, kamen an unterschiedlicher Stelle im Grab zum Vorschein	
<i>Bibliographie:</i>	Unpubl.	IFe2

S5/10	Lanze	Taf. 27
<i>Vorausnu.:</i>	2011/131 (Spitze). Inv. 2011/417. 871. 872. 878. 879. 881. 889. 906 (Lanzenschuh). Inv. 2011/133. 180. 181. 192. 202. 212. 267. 272. 275. 284. 290. 293. 294. 297. 300. 339. 363. 382. 384. 386. 396. 397. 398. 407. 411. 412. 416. 418–420. 441–444. 508. 520. 572. 626. 660. 667. 705. 716. 731. 739. 773. 799. 800. 843. 860. 893. 896. 904. 905 (Verkleidung des Schaftes)	
<i>Material:</i>	Bronze; Holz (wahrscheinlich Eiche)	
<i>Herstellung:</i>	Geschmiedet; eingeritzt und aufgeprägt	
<i>Erhaltung:</i>	Spitze ganz; Lanzenschuh aus Fragmenten zusammengesetzt; Verkleidung des Schaftes fragmentarisch (>100 Fragmente)	
<i>Masse:</i>	L gesamt (rekonstruiert) 200.0 cm; L Spitze 26.0 cm; B max. Spitze 4.6 cm; Dm max. Tülle 2.3 cm; L max. Schuh 11.2 cm; Dm max. Schuh 1.2 cm; D Blech Schuh 0.2 cm; L max. Verkleidung 4.0 cm; B max. Verkleidung 2.3 cm; D Blech Verkleidung 0.1 cm	
<i>Beschreibung:</i>	Spitze mit rund-ovaler Tülle und facettierter Mittelrippe; das Blatt ist durch einen gerundeten Ansatz breit angelegt und verjüngt sich nach oben mit geradlinigen, vor der etwas abgerundeten Spitze leicht eingezogenen Seiten; zwei Ösen an der Blattwurzel; in der durchlocherten Tülle Reste des Holzschafes. Der langgezogene konische Lanzenschuh besitzt am Tüllenansatz zwei Löcher zur Befestigung am Holzschafte und ist im sich verjüngenden unteren Teil voll gegossen. Der Holzschafte war mit einer Reihe von dünnen gewölbten Bronzeblechbändern verkleidet, die durch kleine Bronzeniete fixiert waren	
<i>Verzierung:</i>	Auf beiden Seiten der Spitze sind Reste einer geometrischen Ritzverzierung zu erkennen. Auf der Tülle der Lanzenspitze und des Lanzenschuhs sind Motive aus Punkten und Kreisen aufgeprägt. Form und Verzierung ermöglichen eine Einordnung in den Typ Cassino von Bietti Sestieri 2006	
<i>Bibliographie:</i>	Guggisberg u. a. 2012a, 101. 104–106. 109 Taf. 13, 5. 7. 9; Guggisberg u. a. 2012b, 6 f. Abb. 6; Guggisberg 2016, 239 f. Abb. 3; Colombi – Guggisberg 2016, 58 Abb. 9; Guggisberg u. a. 2018b	(IFe2A)–IFe2B

S5/11	Unbestimmte Fragmente	Taf. 28
<i>Vorausnu.:</i>	2011/185. 281. 327. 405. 406. 876. 877. 913	
<i>Material:</i>	Bronze	
<i>Herstellung:</i>	Geschmiedet	
<i>Erhaltung:</i>	19 Fragmente	
<i>Masse:</i>	L max. 4.9 cm; B max. 0.6 cm	
<i>Beschreibung:</i>	3 Blechfragmente und 16 unbestimmte Fragmente, die sich zu keinem Objekt rekonstruieren lassen	
<i>Bibliographie:</i>	Unpubl.	–

S5/12	Schlangenfibel <i>a gomito</i>	Taf. 28
<i>Vorausnu.:</i>	2011/347. 365–367	
<i>Material:</i>	Eisen	
<i>Herstellung:</i>	Geschmiedet	
<i>Erhaltung:</i>	6 Fragmente	
<i>Masse:</i>	L max. 8.8 cm; L Fuss 3.3 cm; Dm Nadel 0.7 cm; rekonstruierte Masse ca. 20.0 x 9.0 cm	
<i>Beschreibung:</i>	Fragmente einer Schlangenfibel, darunter Fuss, Feder und Bügel mit <i>gomito</i> . Befand sich zur linken Seite des Schädels	
<i>Bibliographie:</i>	Guggisberg u. a. 2012a, 101–103	IFe2A2–2B

S5/13	Schlangenfibel <i>a gomito</i>	Taf. 28
<i>Vorausinv.:</i>	2011/368–370	
<i>Material:</i>	Eisen	
<i>Herstellung:</i>	Geschmiedet	
<i>Erhaltung:</i>	8 Fragmente	
<i>Masse:</i>	L max. 4.5 cm; Dm Stifte Bügel 1.2 cm; Dm Nadel 0.5 cm	
<i>Beschreibung:</i>	Fragmente einer Schlangenfibel, darunter Bügel mit <i>gomito</i> . Befand sich zur linken Seite des Schädels	
<i>Bibliographie:</i>	Guggisberg u. a. 2012a, 101–103; Guggisberg u. a. 2012b, 6	IFe2A2–2B

S5/14	Schlangenfibel <i>a gomito</i> mit Bronzedrahtumwicklung	Taf. 28
<i>Vorausinv.:</i>	2011/414. 429. 438. 451. 525	
<i>Material:</i>	Eisen; Bronze	
<i>Herstellung:</i>	Geschmiedet	
<i>Erhaltung:</i>	8 Fragmente	
<i>Masse:</i>	L max. 3.3 cm; Dm Stifte 0.4 cm	
<i>Beschreibung:</i>	Fragmente einer Schlangenfibel mit Bronzedrahtumwicklung, darunter Bügel mit <i>gomito</i> . Befand sich zur rechten Seite des Schädels	
<i>Verzierung:</i>	Bronzedrahtumwicklung	
<i>Bibliographie:</i>	Guggisberg u. a. 2012a, 101–103; Guggisberg u. a. 2012b, 6	IFe2A2–2B

S5/15	Schlangenfibel mit Bronzedrahtumwicklung	Taf. 28
<i>Vorausinv.:</i>	2011/676. 735	
<i>Material:</i>	Eisen; Bronze	
<i>Herstellung:</i>	Geschmiedet	
<i>Erhaltung:</i>	5 Fragmente	
<i>Masse:</i>	L max. 2.2 cm; Dm Stifte 0.5–0.6 cm	
<i>Beschreibung:</i>	Fragmente einer Schlangenfibel mit Bronzedrahtumwicklung, darunter Fuss und Feder. Befand sich im Bereich des Oberkörpers. Genauere typologische Einordnung nicht möglich	
<i>Verzierung:</i>	Bronzedrahtumwicklung	
<i>Bibliographie:</i>	Guggisberg u. a. 2012a, 101–103; Guggisberg u. a. 2012b, 6	IFe2

S5/16	Schlangenfibel mit Bronzedrahtumwicklung mit doppeltem Nadelansatz	Taf. 28
<i>Vorausinv.:</i>	2011/895	
<i>Material:</i>	Eisen; Bronze	
<i>Herstellung:</i>	Geschmiedet	
<i>Erhaltung:</i>	5 Fragmente	
<i>Masse:</i>	L max. 1.9 cm; Dm Nadel 0.3–0.4 cm	
<i>Beschreibung:</i>	Fragmente einer Schlangenfibel mit Bronzedrahtumwicklung und Ansatz der doppelten Nadel. Befand sich im östlichen Teil des Beinbereiches	
<i>Verzierung:</i>	Bronzedrahtumwicklung	
<i>Bibliographie:</i>	Guggisberg u. a. 2012a, 101–103; Guggisberg u. a. 2012b, 6	IFe2A2–2B

S5/17	Bügel von Schlangenfibeln	Taf. 29
<i>Vorausinv.:</i>	2011/127. 128. 205. 461. 586. 592. 836. 845. 930. 931	
<i>Material:</i>	Eisen	
<i>Herstellung:</i>	Geschmiedet	
<i>Erhaltung:</i>	48 Fragmente	
<i>Masse:</i>	L max. 5.7 cm; Dm Stifte 0.4–0.7 cm	
<i>Beschreibung:</i>	Fragmente der Ösen oder Feder von mindestens 7 Schlangenfibeln, gefunden im Bereich des Oberkörpers. Genauere typologische Einordnung nicht möglich	
<i>Bibliographie:</i>	Guggisberg u. a. 2012a, 101–103; Guggisberg u. a. 2012b, 6	IFe2A2–2B

S5/18	Bügel von Schlangenfibern <i>a gomito</i>	Taf. 29
<i>Vorausnu.:</i>	2011/189. 390. 507. 523. 623. 775. 926. 950	
<i>Material:</i>	Eisen	
<i>Herstellung:</i>	Geschmiedet	
<i>Erhaltung:</i>	13 Fragmente	
<i>Masse:</i>	L max. 5 cm; Dm Stifte 0.4–0.7 cm	
<i>Beschreibung:</i>	Fragmente von Bügel <i>a gomito</i> von mindestens 7 Schlangenfibern. 6 befanden sich im Bereich des Oberkörpers, eine im Beinbereich	
<i>Bibliographie:</i>	Guggisberg u. a. 2012a, 101–103; Guggisberg u. a. 2012b, 6	IFe2A2–2B

S5/19	Fibelfüße	Taf. 29
<i>Vorausnu.:</i>	2011/306. 488. 513. 585. 613. 634. 651. 683. 724	
<i>Material:</i>	Eisen	
<i>Herstellung:</i>	Geschmiedet	
<i>Erhaltung:</i>	15 Fragmente	
<i>Masse:</i>	L max. 5 cm; H max. 1.2 cm	
<i>Beschreibung:</i>	Fragmente von Füßen von mindestens 7 (Schlangen)-Fibern, gefunden im Bereich des Oberkörpers. Genauere typologische Einordnung nicht möglich	
<i>Bibliographie:</i>	Guggisberg u. a. 2012a, 101–103; Guggisberg u. a. 2012b, 6	IFe2A2–2B

S5/20	Fibelfüße	Taf. 29
<i>Vorausnu.:</i>	2011/561. 618. 640. 796. 907	
<i>Material:</i>	Eisen	
<i>Herstellung:</i>	Geschmiedet	
<i>Erhaltung:</i>	11 Fragmente	
<i>Masse:</i>	L max. 4.0 cm; H max. 1.5 cm	
<i>Beschreibung:</i>	Fragmente von Füßen von mindestens 7 (Schlangen)-fibeln, gefunden im Beinbereich. Genauere typologische Einordnung nicht möglich	
<i>Bibliographie:</i>	Guggisberg u. a. 2012a, 101–103; Guggisberg u. a. 2012b, 6	IFe2

S5/21	Fibelfragmente	Taf. 29
<i>Vorausnu.:</i>	2011/221. 262. 289. 309. 312. 330. 334. 362. 371. 422. 447. 458. 470. 482. 485–487. 489–492. 515. 516. 532. 539. 551. 557. 559. 567. 568. 574. 584. 587. 591. 595. 596. 605. 609. 611. 616. 625. 642. 645. 649. 650. 655. 659. 662. 663. 707. 711. 713. 738. 740. 750. 755. 759. 760. 765–768. 786. 788. 798. 805. 810. 814–816. 828. 830. 833. 835. 839. 840. 844. 846. 847. 852. 854. 858. 863. 873. 887. 899. 914. 924. 925. 928. 929. 932–937. 939–944. 954. 956. 960. 961. 968. 969	
<i>Material:</i>	Eisen	
<i>Herstellung:</i>	Geschmiedet	
<i>Erhaltung:</i>	>100 Fragmente	
<i>Masse:</i>	L max. 4.5 cm; Dm 0.3–1.4 cm	
<i>Beschreibung:</i>	Fragmente von Eisenstiften, die wahrscheinlich zu Fibeln gehören. Typologische Einordnung nicht möglich. Gefunden im Bereich des Oberkörpers und des Kopfes des Verstorbenen	
<i>Bibliographie:</i>	Guggisberg u. a. 2012a, 101–103; Guggisberg u. a. 2012b, 6	IFe2

S5/22	Fibelfragmente	Taf. 29
<i>Vorausnu.:</i>	2011/193. 203. 214. 225. 288. 298. 310. 332. 335. 355. 383. 436. 466. 471. 493. 495. 506. 614. 629. 630. 687. 706. 779. 824. 885. 897. 900. 911. 921	
<i>Material:</i>	Eisen	
<i>Herstellung:</i>	Geschmiedet	
<i>Erhaltung:</i>	90 Fragmente	
<i>Masse:</i>	L max. 6.0 cm; Dm 0.4–1.3 cm	

<i>Beschreibung:</i>	Fragmente von Eisenstiften, die wahrscheinlich zu Fibeln gehören. Typologische Einordnung nicht möglich. Gefunden im Beinbereich und südlich des Skelettes	
<i>Bibliographie:</i>	Guggisberg u. a. 2012a, 101–103; Guggisberg u. a. 2012b, 6	IFe2

S5/23	Fibelfragmente mit Bronzedrahtumwicklung	Taf. 30
<i>Vorausnu.:</i>	2011/218. 264. 277. 287. 291. 345. 484. 521. 544. 548. 549. 564. 573. 776. 780. 783. 813. 822. 823. 837. 850. 920. 923. 945. 946. 964. 966	
<i>Material:</i>	Eisen, Bronze	
<i>Herstellung:</i>	Geschmiedet	
<i>Erhaltung:</i>	97 Fragmente	
<i>Masse:</i>	L max. 4.0 cm; Dm 0.1–0.7 cm	
<i>Beschreibung:</i>	Fragmente von Eisenstiften mit Bronzedrahtumwicklung, die wahrscheinlich zu Fibeln gehören. Typologische Einordnung nicht möglich. Gefunden im Bereich des Oberkörpers des Verstorbenen	
<i>Verzierung:</i>	Bronzedrahtumwicklung	
<i>Bibliographie:</i>	Guggisberg u. a. 2012a, 101–103; Guggisberg u. a. 2012b, 6	IFe2

S5/24	Lanzenspitze	Taf. 30
<i>Vorausnu.:</i>	2011/75. 80	
<i>Material:</i>	Eisen	
<i>Herstellung:</i>	Geschmiedet	
<i>Erhaltung:</i>	Aus Fragmenten zusammengesetzt	
<i>Masse:</i>	L 13.2 cm; B 2.4 cm; H max. 1.2 cm	
<i>Beschreibung:</i>	Klinge mit rautenförmigem Querschnitt. Aufgrund der Dimensionen und der Form als Lanzenspitzenfragment gedeutet	
<i>Bibliographie:</i>	Guggisberg u. a. 2012a, 101; Guggisberg u. a. 2012b, 6	IFe2

S5/25	Lanzenspitze	Taf. 30
<i>Vorausnu.:</i>	2011/71. 77. 78	
<i>Material:</i>	Eisen	
<i>Herstellung:</i>	Geschmiedet	
<i>Erhaltung:</i>	Aus Fragmenten zusammengesetzt	
<i>Masse:</i>	L 7.6 und 4.6 cm; B 2.0 und 1.6 cm	
<i>Beschreibung:</i>	Fragmente von Eisenblech, darunter mindestens 3 mit Mittelrippe und rautenförmigem Querschnitt sowie 1 Fragment der Tülle	
<i>Bibliographie:</i>	Guggisberg u. a. 2012a, 101; Guggisberg u. a. 2012b, 6	IFe2

S5/26	Messerklinge	Taf. 30
<i>Vorausnu.:</i>	2011/228	
<i>Material:</i>	Eisen	
<i>Herstellung:</i>	Geschmiedet	
<i>Erhaltung:</i>	1 Fragment	
<i>Masse:</i>	L 6 cm; B 1.4 cm; D 0.2–0.4 cm	
<i>Beschreibung:</i>	Fragment einer Eisenklinge mit nahezu dreieckigem Querschnitt und wohl einer Schneide. Die Klinge verjüngt sich nach oben hin und gehört wahrscheinlich zu einem Messer	
<i>Bibliographie:</i>	Guggisberg u. a. 2012a, 101	IFe2

S5/27	Klinge	Taf. 30
<i>Vorausnu.:</i>	2011/242	
<i>Material:</i>	Eisen	
<i>Herstellung:</i>	Geschmiedet	
<i>Erhaltung:</i>	Aus Fragmenten zusammengesetzt	

<i>Masse:</i>	L 8.6 cm; B 2.1 cm; D 0.3–0.5 cm	
<i>Beschreibung:</i>	Eisenklinge aus eher dünnem, gebogenem Blech. Die Klinge verjüngt sich nach oben hin und könnte zu einem Messer oder einem anderen Werkzeug gehören	
<i>Bibliographie:</i>	Guggisberg u. a. 2012a, 101	IFe2

S5/28	Fragmente von Eisenblech	ohne Abbildung
<i>Vorausnu.:</i>	2011/135. 139. 170. 171. 176. 190. 191. 197. 223. 224. 226. 227. 236. 321. 364	
<i>Material:</i>	Eisen	
<i>Herstellung:</i>	Geschmiedet	
<i>Erhaltung:</i>	>100 Fragmente	
<i>Masse:</i>	L max. 4.5 cm; B max. 1.2 cm	
<i>Beschreibung:</i>	Zahlreiche Blechfragmente, die wahrscheinlich zu den Objekten S5/24. 25 gehören	
<i>Bibliographie:</i>	Guggisberg u. a. 2012a, 101	IFe2

S5/29	Unbestimmte Fragmente	Taf. 30
<i>Vorausnu.:</i>	2011/313. 316. 550. 606. 612. 621. 656. 702. 703. 710. 734. 770. 778. 791. 797. 801. 818. 825. 853. 869. 919. 927	
<i>Material:</i>	Eisen	
<i>Herstellung:</i>	Geschmiedet	
<i>Erhaltung:</i>	>100 Fragmente	
<i>Masse:</i>	L max. 3.8 cm; B max. 2.5 cm; H max. 0.9 cm	
<i>Beschreibung:</i>	Zahlreiche unbestimmbare Fragmente und Splitter, die sich zu keinem Objekt rekonstruieren lassen. Gefunden im Bereich des Oberkörpers	
<i>Bibliographie:</i>	Unpubl.	–

S5/30	Unbestimmte Fragmente	Taf. 30
<i>Vorausnu.:</i>	2011/215. 256. 271. 328. 333. 403. 421. 425. 477. 499. 517. 518. 555. 580. 582. 679. 722. 723. 727. 756. 803. 855. 882. 957. 963. 965	
<i>Material:</i>	Eisen	
<i>Herstellung:</i>	Geschmiedet	
<i>Erhaltung:</i>	60 Fragmente	
<i>Masse:</i>	L max. 3.2 cm; B max. 2.5 cm ; H max. 0.5 cm	
<i>Beschreibung:</i>	Zahlreiche unbestimmbare Fragmente und Splitter, die sich zu keinem Objekt rekonstruieren lassen. Gefunden im Beinbereich	
<i>Bibliographie:</i>	Unpubl.	–

Verfüllung Strada 5		
S5/31	Stift- und Ringfragmente	ohne Abbildung
<i>Vorausnu.:</i>	2011/165. 360. 594	
<i>Material:</i>	Eisen	
<i>Herstellung:</i>	Geschmiedet	
<i>Erhaltung:</i>	11 Fragmente eines Stiftes; 3 Fragmente eines Ringes; 1 unbestimmtes Fragment	
<i>Masse:</i>	L max. 0.7 cm	
<i>Beschreibung:</i>	Fragmente aus dem zentralen Teil der Verfüllung. Sie lassen sich keinem Objekt zuschreiben	
<i>Bibliographie:</i>	Unpubl.	–

S5/32	Blech- und Ringfragmente	Taf. 30
<i>Vorausnu.:</i>	2011/55. 56. 113. 130. 175	
<i>Material:</i>	Eisen	
<i>Herstellung:</i>	Geschmiedet	
<i>Erhaltung:</i>	3 Blechfragmente und 2 Ringfragmente	

<i>Masse:</i>	L max. 2.8 cm; B max. 1.5 cm	
<i>Beschreibung:</i>	Fragmente aus dem westlichen Teil der Verfüllung. Sie lassen sich keinem Objekt zuschreiben	
<i>Bibliographie:</i>	Unpubl.	–

Strada 6			Taf. 31–34
Gestört. Teile der Grabstruktur im Süden, evtl. auch im Osten vermutlich durch Erosion abgetragen		Grabungsjahr 2011	
<i>Grabform:</i>	Fossagrab	Rechteckige oder ovale mit grossen, gerundeten Steinen abgedeckte Grabgrube	Grab 2.2 x 1.4 x 0.4 m
	Keine Pflasterung	Boden aus verdichteter Erde mit viel Grobgrus und -kies	–
	N-S-Ausrichtung		
<i>Bestattungsritus:</i>	Körperbestattung	Oberkörper in Rückenlage; evtl. Beinbocker	NW-SO, Kopf im NW
<i>Anthropologie:</i>	Adult, eher spätadult	Teile von Langknochen (Arme) und grosse Teile des Schädels und des Unterkiefers erhalten	31 ± 3.6 Jahre (TCA Analyse)
	Tendenziell weiblich (graziler Knochenbau)		
Guggisberg u. a. 2012a, 106–108 Abb. 4 Taf. 13, 3. 6. 8. 10. 11; Guggisberg u. a. 2012b, 9 f. Abb. 11. 12; Guggisberg 2016			Anfang IFe2B

S6/1	Gefäss (Kanne?)	Taf. 33
<i>Vorausinv.:</i>	2011/973	
<i>Material:</i>	Feinkeramik, rötlich gelb (7.5YR 8/6)	
<i>Herstellung:</i>	Handaufgebaut	
<i>Erhaltung:</i>	Zusammengesetzte Fragmente; nur der untere Teil ist erhalten	
<i>Masse:</i>	H 6.5 cm; Dm (Boden) 6.5 cm	
<i>Beschreibung:</i>	Unterteil eines geschlossenen Gefässes mit Standboden	
<i>Bemalung:</i>	Es sind keine Bemalungsspuren feststellbar	
<i>Bibliographie:</i>	Guggisberg u. a. 2012a, 106–108	IFe2

S6/2	Bügelfibel	Taf. 33
<i>Vorausinv.:</i>	2011/680	
<i>Material:</i>	Bronze	
<i>Herstellung:</i>	Geschmiedet	
<i>Erhaltung:</i>	Ganz	
<i>Masse:</i>	L 4.6 cm; L (Fuss) 0.7 cm; H 2.6 cm; D (Nadel) max. 0.2 cm; D (Bügel) max. 0.4 cm; Dm (Ring an Nadel) 0.9 cm	
<i>Beschreibung:</i>	Der Bügel hat einen runden Querschnitt und ist mit feinen, umlaufenden Einritzungen auf der gesamten Länge verziert. Mindestens teilweise war der Bügel auch mit einem Bronzeband spiralförmig umwickelt, von welchem noch zwei Windungen erhalten sind. Die kleine Feder ist doppelt gewunden. Der kurze Fuss ist symmetrisch-dreieckig. Die Nadel geht durch einen Bronzering mit flachem Querschnitt. Typ 79 (Variante B) nach Lo Schiavo 2010	
<i>Bibliographie:</i>	Guggisberg u. a. 2012a, 106–108	IFe2A–2B

S6/3	Schlangenfibel	Taf. 33
<i>Vorausinv.:</i>	2011/58. 62. 682	
<i>Material:</i>	Bronze	
<i>Herstellung:</i>	Geschmiedet	
<i>Erhaltung:</i>	2 Fragmente	
<i>Masse:</i>	L 7.8 cm; L (Fuss) 0.6 cm; Abstand (Fuss-Öse) 2 cm; Abstand (Öse-Feder) 3 cm; D 0.3 cm	
<i>Beschreibung:</i>	Unverzierte Fibel mit rundem Querschnitt an Bügel und Nadel, aber rechteckigem Querschnitt an Öse und Feder. Die Nadel ist abgebrochen und fragmentarisch erhalten. Typ 347 nach Lo Schiavo 2010	
<i>Bibliographie:</i>	Guggisberg u. a. 2012a, 106–108	IFe1B–2A

S6/4	<i>Disco composito</i>	Taf. 33
<i>Vorausnu.:</i>	2011/60	
<i>Material:</i>	Bronze	
<i>Herstellung:</i>	Geschmiedet	
<i>Erhaltung:</i>	Ganz	
<i>Masse:</i>	Dm (Aussen) 11.7 cm; Dm (Innen) 6 cm; B (Scheibe) 2.9 cm; H 1.3 cm; D max. 0.25 cm	
<i>Beschreibung:</i>	Der äussere Rand ist an mehreren Stellen abgesplittert, während der Innere deutlich besser erhalten ist. Die Scheibe ist nach etwas weniger als einem Drittel (von innen nach aussen) leicht (ca. 50°) geknickt	
<i>Bibliographie:</i>	Guggisberg u. a. 2012a, 106–108	IFe2

S6/5	Halsreif	Taf. 33
<i>Vorausnu.:</i>	2011/688	
<i>Material:</i>	Bronze	
<i>Herstellung:</i>	Geschmiedet	
<i>Erhaltung:</i>	Ganz	
<i>Masse:</i>	L (von Ende zu Ende, ohne Spiralen) ca. 23.8 cm; B (breiteste Stelle) 9.6 cm; Abstand (zwischen den Enden) 5.6 cm; H (spiralförmige Enden) 0.5 cm; Dm (Draht) 0.3 cm	
<i>Beschreibung:</i>	Der Reif hat einen runden Querschnitt, der an den Enden bandförmig wird. Die Enden sind spiralförmig (2 Windungen) gerollt. Spiralförmige Ritzverzierungen (schwächer als bei S6/6)	
<i>Bibliographie:</i>	Guggisberg u. a. 2012a, 106–108	IFe2

S6/6	Halsreif	Taf. 34
<i>Vorausnu.:</i>	2011/689	
<i>Material:</i>	Bronze	
<i>Herstellung:</i>	Geschmiedet	
<i>Erhaltung:</i>	Ganz	
<i>Masse:</i>	L (von Ende zu Ende, ohne Spiralen) ca. 27.5 cm; B (breiteste Stelle) 10.5 cm; Abstand (zwischen den Enden) 4.7 cm; H (Spiralförmige Enden) 0.4 cm; Dm (Draht) 0.3 cm	
<i>Beschreibung:</i>	Der Reif hat einen runden Querschnitt, der an den Enden bandförmig wird. Die Enden sind spiralförmig (2 Windungen) gerollt. Spiralförmige Ritzverzierungen (stärker als bei S6/5)	
<i>Bibliographie:</i>	Guggisberg u. a. 2012a, 106–108	IFe2

S6/7	Schleifenring?	Taf. 34
<i>Vorausnu.:</i>	2011/88. 743. 762. 777	
<i>Material:</i>	Bronze	
<i>Herstellung:</i>	Geschmiedet	
<i>Erhaltung:</i>	>20 Fragmente	
<i>Masse:</i>	L max. 2.6 cm; D 0.2 cm	
<i>Beschreibung:</i>	Mehr als 20 gebogene Drahtfragmente. Sie können vermutlich zu mehreren Schleifenringen rekonstruiert werden (evtl. sog. Spiralohrring). Mit den Drahtfragmenten wurde ein fragmentierter Bernstein (S6/12) gefunden	
<i>Bibliographie:</i>	Guggisberg u. a. 2012a, 106–108	IFe2

S6/8	Schleifenring?	Taf. 34
<i>Vorausnu.:</i>	2011/762. 777	
<i>Material:</i>	Bronze	
<i>Herstellung:</i>	Geschmiedet	
<i>Erhaltung:</i>	>21 Fragmente	
<i>Masse:</i>	L max. 3.5 cm; D max. 0.15 cm	
<i>Beschreibung:</i>	Ca. 21 gebogene Drahtfragmente. Sie können vermutlich zu einem Schleifenring rekonstruiert werden	
<i>Bibliographie:</i>	Guggisberg u. a. 2012a, 106–108	IFe2

S6/9	Zierknöpfe	Taf. 34
<i>Vorausinv.:</i>	2011/709. 728. 741. 742. 744–747. 761. 771	
<i>Material:</i>	Bronze	
<i>Herstellung:</i>	Geschmiedet	
<i>Erhaltung:</i>	Fragmentiert–ganz	
<i>Masse:</i>	Dm max. 0.8 cm; Dm min. 0.6 cm; H max. 0.3 cm	
<i>Beschreibung:</i>	9 unterschiedlich erhaltene Zierknöpfe	
<i>Bibliographie:</i>	Guggisberg u. a. 2012a, 106–108	IFe2
S6/10	Schlangenfibel (<i>a gomito?</i>)	Taf. 34
<i>Vorausinv.:</i>	2011/570. 681. 685	
<i>Material:</i>	Eisen	
<i>Herstellung:</i>	Geschmiedet	
<i>Erhaltung:</i>	22 Fragmente und Splitter	
<i>Masse:</i>	L max. 7 cm; Dm max. 0.9 cm	
<i>Beschreibung:</i>	Zersplitterte Schlangenfibel. Erkennbar sind ein Nadelfragment sowie Teile eines Bügels; evtl. mit Ansatz eines <i>gomito</i>	
<i>Bibliographie:</i>	Guggisberg u. a. 2012a, 106–108	IFe2
S6/11	Unbestimmtes Fragment	ohne Abbildung
<i>Vorausinv.:</i>	2011/541	
<i>Material:</i>	Eisen	
<i>Herstellung:</i>	Geschmiedet	
<i>Erhaltung:</i>	1 Fragment	
<i>Masse:</i>	–	
<i>Beschreibung:</i>	Sehr fein zersplittertes Eisenblech. Stammt aus der Blockbergung mit dem Gefäß S6/1	
<i>Bibliographie:</i>	Guggisberg u. a. 2012a, 106–108	–
S6/12	Unbestimmtes Fragment	Taf. 34
<i>Vorausinv.:</i>	2011/743	
<i>Material:</i>	Bernstein	
<i>Herstellung:</i>	Gedreht, geschliffen, gedrillt und poliert	
<i>Erhaltung:</i>	1 Fragment	
<i>Masse:</i>	L 0.7 cm; B 0.4 cm	
<i>Beschreibung:</i>	Bernsteinfragment, das beim Schleifenring (S6/7) gefunden wurde	
<i>Bibliographie:</i>	Guggisberg u. a. 2012a, 106–108	–
S6/13	Perle	Taf. 34
<i>Vorausinv.:</i>	2011/63	
<i>Material:</i>	Glas	
<i>Herstellung:</i>	Gedreht, geschliffen, gedrillt und poliert	
<i>Erhaltung:</i>	Ganz	
<i>Masse:</i>	Dm 1.6 cm; Dm (Öse) 0.4 cm	
<i>Beschreibung:</i>	Transluzide, kugelige Glasperle. An der Öse sind Ritz-/Schnittspuren erkennbar	
<i>Bibliographie:</i>	Guggisberg u. a. 2012a, 106–108; Guggisberg 2016, Abb. 6	IFe2

Unterhalb Grablege Strada 6		
S6/14	Wandscherben	Taf. 34
<i>Vorausinv.:</i>	2011/116. 970	
<i>Material:</i>	Feinkeramik, pink (5YR 8/4)	
<i>Herstellung:</i>	Handaufgebaut	
<i>Erhaltung:</i>	2 Fragmente	
<i>Masse:</i>	L max. 4.3 cm; B max. 3.2 cm; D 1 cm	
<i>Beschreibung:</i>	2 Wandscherben	
<i>Bibliographie:</i>	Guggisberg u. a. 2012a, 106–108	IFe
S6/15	Rand- und Wandscherben (Kochgefäß?)	Taf. 34
<i>Vorausinv.:</i>	2011/150–158. 174. 178. 179	
<i>Material:</i>	Grobkeramik, rötlich braun (2.5YR 5/4)	
<i>Herstellung:</i>	Handaufgebaut	
<i>Erhaltung:</i>	30 Fragmente	
<i>Masse:</i>	L max. 7.6 cm; B max. 5 cm; D max. 1.6 cm; Dm (Rand) >16 cm	
<i>Beschreibung:</i>	1 Randscherbe und mehrere Wandscherben (12 Inventarnummern). 2 Wandscherben mit Knuppe. Auf der Innenseite befindet sich eine schwarze Schicht. Unterhalb von Grab Strada 6 gefunden	
<i>Bibliographie:</i>	Guggisberg u. a. 2012a, 106–108	IFe
S6/16	Wandscherben (Kochgefäß?)	ohne Abbildung
<i>Vorausinv.:</i>	2011/159–162. 173. 875. 886	
<i>Material:</i>	Grobkeramik, rötlich braun (5YR 4/4)	
<i>Herstellung:</i>	Handaufgebaut	
<i>Erhaltung:</i>	7 Fragmente	
<i>Masse:</i>	L max. 6.3 cm; B max. 4.4 cm; D max. 1.3 cm	
<i>Beschreibung:</i>	Mehrere (7 Inventarnummern) Wandscherben mit schwarzer Schicht auf der Innenseite	
<i>Bibliographie:</i>	Guggisberg u. a. 2012a, 106–108	IFe
S6/17	Wandscherben (Kochgefäß?)	Taf. 34
<i>Vorausinv.:</i>	2011/119–123. 140	
<i>Material:</i>	Grobkeramik; dunkles, rötliches grau (5YR 4/2)	
<i>Herstellung:</i>	Handaufgebaut	
<i>Erhaltung:</i>	8 Fragmente	
<i>Masse:</i>	L max. 5.1 cm; B max. 3.9 cm; D 1.1 cm	
<i>Beschreibung:</i>	Mehrere (6 Inventarnummern) Wandscherben mit schwarzer Schicht auf der Innenseite	
<i>Bibliographie:</i>	Guggisberg u. a. 2012a, 106–108	IFe
S6/18	Wandscherbe (Kochgefäß?)	ohne Abbildung
<i>Vorausinv.:</i>	2011/141	
<i>Material:</i>	Grobkeramik, sehr dunkles Grau (2YR 3/0)	
<i>Herstellung:</i>	Handaufgebaut	
<i>Erhaltung:</i>	2 Fragmente	
<i>Masse:</i>	L max. 3.9 cm; B max. 2.8 cm	
<i>Beschreibung:</i>	Wandscherbe mit schwarzer Schicht auf der Innenseite	
<i>Bibliographie:</i>	Guggisberg u. a. 2012a, 106–108	IFe
S6/19	Wandscherben (Kochgefäß?)	ohne Abbildung
<i>Vorausinv.:</i>	2011/142. 143. 145. 146. 148	

<i>Material:</i>	Grobkeramik, rötlich braun (5YR 4/3)	
<i>Herstellung:</i>	Handaufgebaut	
<i>Erhaltung:</i>	6 Fragmente	
<i>Masse:</i>	L max. 5.6 cm; B 3.3 cm	
<i>Beschreibung:</i>	Sammelnummer für mehrere (5 Inventarnummern) Wandscherben mit schwarzer Schicht auf der Innenseite	
<i>Bibliographie:</i>	Guggisberg u. a. 2012a, 106–108	IFe

Strada 7		Taf. 35. 36	
Ungestört		Grabungsjahre 2011/2012	
<i>Grabform:</i>	Einfaches Fossagrab	In den Boden eingetiefte Grabgrube ohne Steinverkleidung. Abdeckung in Form von rechteckiger Steinsetzung	Grab 2.00 x 1.30 x 0.30 m
	–	Keine Pflasterung; Bestattung lag auf dünner Bettung aus Kies und Grobgrus	–
	N-S-Ausrichtung		
<i>Bestattungsritus:</i>	Körperbestattung	Sehr enge Hockerstellung auf der rechten Körperseite; rechte Seitenlage des Schädels	N-S, Kopf im N
<i>Anthropologie:</i>	Spätadult-matur	Skelett zu grossen Teilen erhalten (grosse Fragmente der Beinknochen, Fragmente des Beckens, Schädel und Gebiss)	Über 30 Jahre
	Tendenziell männlich (robuster Knochenbau)		
Guggisberg u. a. 2012a, 106 Taf. 13, 3; Guggisberg u. a. 2012b, 10 f. Abb. 12, 13; Guggisberg u. a. 2013, 66–68 Abb. 4 Taf. 12, 5; Colombi – Guggisberg 2016, 58			Anfang IFe2B

S7/1	Kanne	Taf. 36
<i>Vorausinv.:</i>	2011/972	
<i>Material:</i>	Feinkeramik, pink (7.5YR 7/4)	
<i>Herstellung:</i>	Handaufgebaut, wohl mit dunkelbrauner <i>matt-painted</i> Bemalung	
<i>Erhaltung:</i>	Aus Fragmenten zusammengesetzt; Henkel und Rand nur teilweise erhalten	
<i>Masse:</i>	H 21.5 cm; Dm max. 18.5 cm; Dm Mündung 11.7 cm; Dm Boden 7.9 cm	
<i>Beschreibung:</i>	Leicht ausladender Rand; leicht gewölbter, tronkokonischer Hals, abgesetzt von der gerundeten Schulter. Leicht gerundeter Unterkörper und flacher, leicht konkaver Boden. Vertikal angesetzter Stabhenkel zwischen Schulter und Rand (oberer Teil nicht erhalten)	
<i>Bemalung:</i>	Spuren von dunkler Bemalung: horizontales Band am Übergang von Hals zu Mündung; Spuren von Bemalung am Übergang von Schulter zu Hals	
<i>Bibliographie:</i>	Guggisberg u. a. 2012a, 106; Guggisberg u. a. 2012b, 11; Guggisberg u. a. 2013, 68	IFe2A–(2B)

S7/2	Tasse	Taf. 36
<i>Vorausinv.:</i>	2012/188	
<i>Material:</i>	Feinkeramik, rötlich gelb (5YR 6/8)	
<i>Herstellung:</i>	Handaufgebaut	
<i>Erhaltung:</i>	Aus Fragmenten zusammengesetzt; Hals und Rand nur teilweise erhalten	
<i>Masse:</i>	H 6.1 cm; H mit Henkel 8.7 cm; Dm max. 9.0 cm; Dm Boden 3.9 cm	
<i>Beschreibung:</i>	Zugespitzter gerader Rand; leicht gewölbter Hals; linsenförmiger Körper; angedeuteter Standring. Ein vertikal angesetzter Bandhenkel zwischen Schulter und Rand	
<i>Bemalung:</i>	Keine Bemalungsspuren erkennbar	
<i>Bibliographie:</i>	Guggisberg u. a. 2012b, 11; Guggisberg u. a. 2013, 68	IFe2A–2B1

Unterhalb Grablege Strada 7		
S7/3	Rand- und Wandscherben (zylindrische Olla)	Taf. 36
<i>Vorausinv.:</i>	2012/93–96	
<i>Material:</i>	Grobkeramik, <i>very dusky red</i> (2.5YR 2.5/2); Oberfläche rötlich braun bis rot (2.5YR 4/4 bis 4/8)	

<i>Herstellung:</i>	Handaufgebaut	
<i>Erhaltung:</i>	22 Fragmente	
<i>Masse:</i>	L max. 4.8 cm; B max. 4 cm; D 0.7–1.4 cm	
<i>Beschreibung:</i>	Gerader Rand, oben flach abschliessend. Körper nicht erhalten	
<i>Verzierung:</i>	Plastische halbkreisförmige Verzierung unterhalb des Randes. Typ Colelli a11; Verzierung Typ <i>lambda</i>	
<i>Bibliographie:</i>	Unpubl.	IFe2

S7/4	Wandscherben und unbestimmte Fragmente	ohne Abbildung
<i>Vorausinv.:</i>	2012/36. 52–55. 97. 319	
<i>Material:</i>	Grobkeramik, Oberfläche rot bis schwarz	
<i>Herstellung:</i>	Handaufgebaut	
<i>Erhaltung:</i>	14 Fragmente	
<i>Masse:</i>	L max. 5.1 cm; B max. 3.5 cm; D 0.4–1.6 cm	
<i>Beschreibung:</i>	6 Wandscherben und mehrere unbestimmbare Fragmente, die unterhalb der Grablege Strada 7 zum Vorschein kamen, jedoch nicht zum selben Gefäss gehören	
<i>Verzierung:</i>	Keine Verzierung erkennbar	
<i>Bibliographie:</i>	Unpubl.	–

Strada 8			Taf. 37–40
Ungestört		Grabungsjahr 2012	
<i>Grabform:</i>	Monumentales Fossagrab	Runde Grabgrube, Wände mit grossen gerundeten Steinen ausgekleidet	Grab 2.6 x 2.6 x 0.55–0.65 m
	Pflasterung	Auf einen Bereich in der Mitte des Grabes beschränkte Pflasterung mit kleinen gerundeten Steinen (grenzt im Nordwesten an die Wandung)	Pflasterung 1.4 x 0.80 m
	NW-SO-Ausrichtung		
<i>Bestattungsritus:</i>	Körperbestattung	Vermutlich linker Hocker	NW-SO, Kopf im NW
<i>Anthropologie:</i>	Infans I	Sehr schlechte Knochenerhaltung (Bestimmung anhand Zahndurchbruch und <i>Clavicula</i>)	2–3 Jahre ± 18 Monate
	Geschlecht unbestimmbar		
Guggisberg u. a. 2012b, 7–9 Abb. 7–9; Guggisberg u. a. 2013, 62–66 Abb. 2. 3 Taf. 12, 1–4. 6; Guggisberg im Druck b			Anfang IFe2B

S8/1	Kanne	Taf. 39
<i>Vorausinv.:</i>	2012/85. 259. 326	
<i>Material:</i>	Feinkeramik, rötlich gelber Ton (5YR 7/8)	
<i>Herstellung:</i>	Gemischte Technik (untere Hälfte scheibengedreht und obere Hälfte handaufgebaut)	
<i>Erhaltung:</i>	Aus Fragmenten zusammengesetzt (Inv. 2012/85 und 259 bei Restaurierung nicht verwendet)	
<i>Masse:</i>	H 19.5 cm; Dm max. 17.5 cm; Dm Mündung 8.2 cm; Dm Fuss 7.7–8 cm	
<i>Beschreibung:</i>	Kanne mit kleeblattförmigem Ausguss. Gerader Rand, konkaver Hals, linsenförmiger Körper. Profiliertes, leicht konkaver Standboden und randständiger, vertikal angesetzter Bandhenkel. Keine Bemalungsreste	
<i>Bemalung:</i>	Keine Bemalungsspuren erkennbar	
<i>Bibliographie:</i>	Guggisberg u. a. 2013, 66	IFe2B

S8/2	Askos	Taf. 39
<i>Vorausinv.:</i>	2012/60	
<i>Material:</i>	Feinkeramik, rötlich gelber Ton (7.5YR 7/6)	
<i>Herstellung:</i>	Handaufgebaut und <i>matt-painted</i> (dunkelbraune Bemalung)	
<i>Erhaltung:</i>	Aus Fragmenten zusammengesetzt	
<i>Masse:</i>	H 17.5 cm; Dm max. 17.5 cm; Dm Mündung 7.6 cm; Dm Boden 8 cm	

<i>Beschreibung:</i>	Geschlossenes Gefäß mit dezentriertem Ausguss mit ausbiegendem, abgerundetem Rand. Mündung beinahe horizontal. Tonnenförmiger Hals und kugeliger Körper. Buckel auf dem Rücken. Bandhenkel von Lippe zum hinteren Teil des Körpers. Leicht konkaver Standboden mit T-förmiger Ritzung auf der Unterseite	
<i>Bemalung:</i>	Bemalungsreste im Inneren der Mündung; möglicherweise Reste eines Vierecks mit konkaven Seiten (Ferranti u. a. 2004. 546–550: Motiv 15). Dekoration unterhalb der Lippe durch 3 (gewellte?) Bänder. Am Körper Bemalung im <i>stile a bande ondulate</i> der spätgeometrischen Phase: Fries mit gewellten Bändern, von Vierecken durchbrochen (Kleibrink u. a. 2012a, 25–27: Schema D1) oberhalb von Wellenbandfries. Weitere Bemalung im <i>stile a frange</i> der spätgeometrischen Phase: am Fries hängende, vertikale, gewellte Fransen. Drei Querstreifen auf der Mitte des Henkels	
<i>Bibliographie:</i>	Guggisberg u. a. 2013, 66	IFe2B

S8/3	Tasse	Taf. 39
<i>Vorausinv.:</i>	2012/324	
<i>Material:</i>	Feinkeramik, rötlich gelber Ton (7.5YR 7/6)	
<i>Herstellung:</i>	Handaufgebaut und <i>matt-painted</i> (dunkelbraune Bemalung)	
<i>Erhaltung:</i>	Aus Fragmenten zusammengesetzt	
<i>Masse:</i>	H mit Henkel 8.6 cm; Dm max. 9.3 cm; Dm Mündung 6.2 cm; Dm Fuss 4.1 cm	
<i>Beschreibung:</i>	Bikonische Tasse mit nach aussen gebogener Lippe und spitz zulaufendem Rand. Standring. Randständiger, vertikal angesetzter Bandhenkel verläuft bis auf die Stelle mit dem maximalen Durchmesser	
<i>Bemalung:</i>	Bemalung mit 2 parallelen Linien auf dem oberen Konus am Übergang zur Mündung; 3 parallele Linien auf dem unteren Konus am Übergang zum oberen; Bemalungsreste auf der Innenseite der Mündung und am Henkelansatz	
<i>Bibliographie:</i>	Guggisberg u. a. 2013, 66	IFe2A–2B1

S8/4	Schale	Taf. 39
<i>Vorausinv.:</i>	2012/73. 81. 115. 123. 124. 203. 250. 262. 325	
<i>Material:</i>	Grobkeramik, sehr dunkelgrauer bis schwarzer Ton (2.5YR 3/0 bis 2.5/0)	
<i>Herstellung:</i>	Handaufgebaut mit plastischem Dekor	
<i>Erhaltung:</i>	Aus Fragmenten zusammengesetzt und teilweise ergänzt (nicht alle Fragmente konnten für die Restaurierung verwendet werden)	
<i>Masse:</i>	H mit Henkel 6.55 cm; L 15 cm; Dm Mündung 13.8 cm; Dm Boden 6.25 cm	
<i>Beschreibung:</i>	Relativ tiefe, einhenkelige Schale mit eingebogener Lippe. Leicht konvexer Boden. Horizontal angesetzter Henkel mit rundem Querschnitt verläuft schräg nach oben. Typ f2 nach Colelli – Jacobsen 2013	
<i>Verzierung:</i>	Lippe mit schrägen, fortlaufenden Riefen (Kilian 1970, 208: Dekor F1)	
<i>Bibliographie:</i>	Guggisberg u. a. 2013, 66	IFe1B–2A

S8/5	Wandscherbe	Taf. 40
<i>Vorausinv.:</i>	2012/141	
<i>Material:</i>	Grobkeramik, gelblich roter Ton (5YR 5/6); rötlich gelber Kern (5YR 6/6)	
<i>Herstellung:</i>	Handaufgebaut	
<i>Erhaltung:</i>	Fragmentiert; in der Verfüllung	
<i>Masse:</i>	L 8.5 cm; B 6.6 cm; D 1.1 cm	
<i>Beschreibung:</i>	Dickwandige Wandscherbe eines grossen Gefässes	
<i>Bibliographie:</i>	Unpubl.	–

S8/6	Schlangenfibel	Taf. 40
<i>Vorausinv.:</i>	2012/106. 109. 114	
<i>Material:</i>	Bronze	
<i>Herstellung:</i>	Gegossen und gehämmert	
<i>Erhaltung:</i>	2 Fragmente	
<i>Masse:</i>	L 5.5 cm; B 3.1 cm	

<i>Beschreibung:</i>	Unverzierte Fibel mit quadratischem Querschnitt am Bügel und rechteckigem Querschnitt an Öse und Feder. Typ 351 nach Lo Schiavo 2010	
<i>Bibliographie:</i>	Guggisberg u. a. 2013, 64	IFe1B–2A

S8/7	Figürlicher Anhänger	Taf. 40
<i>Vorausinv.:</i>	2012/112	
<i>Material:</i>	Bronze	
<i>Herstellung:</i>	In zweischaliger Gussform gegossen	
<i>Erhaltung:</i>	Ganz	
<i>Masse:</i>	H 3.1 cm; B 1.8 cm	
<i>Beschreibung:</i>	Massiver Anhänger zweier nackter menschlicher Figuren. Diese stehen nebeneinander und haben je einen Arm über die Schulter des anderen gelegt. Jeweils äusserer Arm angewinkelt auf der Hüfte abgestützt. Angabe der Augen, Nase und Mund. Typ A nach Brocato – Taliano Grasso 2011	
<i>Bibliographie:</i>	Guggisberg u. a. 2013, 63. 65 f.	8. Jh. v. Chr.

S8/8	Geschlossene Bommel	Taf. 40
<i>Vorausinv.:</i>	2012/171	
<i>Material:</i>	Bronze	
<i>Herstellung:</i>	Massiv gegossen, Aufhängevorrichtung flach gehämmert und durchlocht	
<i>Erhaltung:</i>	Ganz, Abnutzungsspuren an der Aufhängevorrichtung	
<i>Masse:</i>	H 3 cm; Dm Kugel 1.25 cm	
<i>Beschreibung:</i>	Massiver, kugelförmiger Anhänger. Aufhängevorrichtung an einem Stiel mit dreieckigem Querschnitt. Spitz zulaufernder unterer Fortsatz	
<i>Bibliographie:</i>	Guggisberg u. a. 2013, 63	IFe2

S8/9	Flacher Doppelspiralanhänger	Taf. 40
<i>Vorausinv.:</i>	2012/132	
<i>Material:</i>	Bronze	
<i>Herstellung:</i>	Aus Bronzedraht gewickelt	
<i>Erhaltung:</i>	Aus 2 Fragmenten zusammengesetzt	
<i>Masse:</i>	L 2.8 cm; B 1.6 cm; Dm Spiralen 1.3 cm; Dm Draht 0.1 cm	
<i>Beschreibung:</i>	Doppelspiralanhänger mit flachen Spiralen. Typ 3a1 nach Chiartano 1994	
<i>Bibliographie:</i>	Guggisberg u. a. 2013, 63	IFe2

S8/10	Doppelspiralanhänger mit hervortretenden Konen	Taf. 40
<i>Vorausinv.:</i>	2012/129	
<i>Material:</i>	Bronze	
<i>Herstellung:</i>	Aus Bronzedraht gewickelt	
<i>Erhaltung:</i>	Ganz	
<i>Masse:</i>	L 2.1 cm; B 1.5 cm; H 0.9 cm; Dm Draht 0.1 cm	
<i>Beschreibung:</i>	Doppelspiralanhänger mit Spiralen, die auf einer Seite in Form von kleinen Konen mit je 7 Windungen hervortreten. Typ 4 nach Chiartano 1994	
<i>Bibliographie:</i>	Guggisberg u. a. 2013, 63	IFe2

S8/11	Doppelspiralanhänger mit hervortretenden Konen	Taf. 40
<i>Vorausinv.:</i>	2012/170	
<i>Material:</i>	Bronze	
<i>Herstellung:</i>	Aus Bronzedraht gewickelt	
<i>Erhaltung:</i>	2 Fragmente	
<i>Masse:</i>	H 0.45–0.5 cm; Dm Draht 0.1 cm	

<i>Beschreibung:</i>	Doppelspiralanhänger mit Spiralen, die auf einer Seite in Form von kleinen Konen mit je 6 Windungen hervortreten. Typ 4 nach Chiartano 1994	
<i>Bibliographie:</i>	Guggisberg u. a. 2013, 63	IFe2
S8/12	Ringanhänger	Taf. 40
<i>Vorausnu.:</i>	2012/134	
<i>Material:</i>	Bronze	
<i>Herstellung:</i>	Ringe gegossen	
<i>Erhaltung:</i>	Fragmentiert	
<i>Masse:</i>	Dm 1.1–1.3 cm; Querschnitt 0.1–0.25 cm	
<i>Beschreibung:</i>	Anhänger mit einer Gruppe von 5 Ringen, die von einem Ring zusammengehalten werden. Ringe von rhomboidem Querschnitt und annähernd gleicher Grösse	
<i>Bibliographie:</i>	Guggisberg u. a. 2013, 63	IFe2
S8/13	Ringanhänger	Taf. 40
<i>Vorausnu.:</i>	2012/135	
<i>Material:</i>	Bronze	
<i>Herstellung:</i>	Ringe gegossen	
<i>Erhaltung:</i>	Fragmentiert	
<i>Masse:</i>	Dm 1.2 cm; Querschnitt 0.1–0.2 cm	
<i>Beschreibung:</i>	Anhänger mit einer Gruppe von 4 Ringen, die von einem Ring zusammengehalten werden. Ringe von rhomboidem Querschnitt und annähernd gleicher Grösse	
<i>Bibliographie:</i>	Guggisberg u. a. 2013, 63	IFe2
S8/14	Ringanhänger	Taf. 40
<i>Vorausnu.:</i>	2012/110. 143a	
<i>Material:</i>	Bronze	
<i>Herstellung:</i>	Ringe gegossen	
<i>Erhaltung:</i>	Fragmentiert	
<i>Masse:</i>	Dm 0.9–1.3 cm; Querschnitt 0.1–0.2 cm	
<i>Beschreibung:</i>	Anhänger aus einer Gruppe von 5 Ringen, die von zwei Ringen zusammengehalten werden. Ringe von rhomboidem Querschnitt und annähernd gleicher Grösse. Zusammen mit S8/15 gefunden; Fragmente von 2 weiteren Ringen ermöglichen auch hier eine Ergänzung zu 7 angehängten Ringen, womit die beiden Ringanhänger ein Paar bilden würden	
<i>Bibliographie:</i>	Guggisberg u. a. 2013, 63	IFe2
S8/15	Ringanhänger	Taf. 40
<i>Vorausnu.:</i>	2012/143b	
<i>Material:</i>	Bronze	
<i>Herstellung:</i>	Ringe gegossen	
<i>Erhaltung:</i>	Fragmentiert	
<i>Masse:</i>	Dm 0.9–1.3 cm; Querschnitt 0.1–0.2 cm	
<i>Beschreibung:</i>	Anhänger mit einer Gruppe von 7 Ringen, die von 2 Ringen zusammengehalten werden. Ringe von rhomboidem Querschnitt und annähernd gleicher Grösse. Zusammen mit S8/14 gefunden	
<i>Bibliographie:</i>	Guggisberg u. a. 2013, 63	IFe2
S8/16	Ringanhänger	Taf. 40
<i>Vorausnu.:</i>	2012/235	
<i>Material:</i>	Bronze	
<i>Herstellung:</i>	Ringe gegossen	
<i>Erhaltung:</i>	Fragmentiert	

<i>Masse:</i>	Dm 1.8–2.1 cm; Querschnitt 0.3–0.4 cm	
<i>Beschreibung:</i>	Anhänger aus 6 Ringen, die von einem Ring zusammengehalten werden, und 1 Ringfragment. Ringe von rhomboidem Querschnitt und annähernd gleicher Grösse	
<i>Bibliographie:</i>	Guggisberg u. a. 2013, 63	IFe2

S8/17	Ringanhänger	Taf. 40
<i>Vorausinv.:</i>	2012/236	
<i>Material:</i>	Bronze	
<i>Herstellung:</i>	Ringe gegossen	
<i>Erhaltung:</i>	Ganz	
<i>Masse:</i>	Dm 1.8–2.1 cm; Querschnitt 0.3–0.4 cm	
<i>Beschreibung:</i>	Anhänger aus 4 Ringen, die von einem Ring zusammengehalten werden. Ringe von rhomboidem Querschnitt und unterschiedlicher Grösse. Unterscheiden sich von S8/12–16 durch ihre massivere Machart	
<i>Bibliographie:</i>	Guggisberg u. a. 2013, 63	IFe2

S8/18	Ringe	Taf. 40
<i>Vorausinv.:</i>	2012/159	
<i>Material:</i>	Bronze	
<i>Herstellung:</i>	Gegossen	
<i>Erhaltung:</i>	Fragmentiert	
<i>Masse:</i>	Dm 0.95 cm; Querschnitt 0.1–0.25 cm	
<i>Beschreibung:</i>	Gruppe von mindestens 6 zum Teil fragmentarisch erhaltenen Ringen, die möglicherweise Teile eines Ringanhängers waren. Ringe von rhomboidem Querschnitt und annähernd gleicher Grösse	
<i>Bibliographie:</i>	Guggisberg u. a. 2013, 63	IFe2

S8/19	Doppelkonische Drahtperle	Taf. 40
<i>Vorausinv.:</i>	2012/109. 169	
<i>Material:</i>	Bronze	
<i>Herstellung:</i>	Aus Bronzedraht gewickelt	
<i>Erhaltung:</i>	2 Fragmente	
<i>Masse:</i>	L 1.7 cm; Dm max. 1 cm; Dm Draht 0.1 cm	
<i>Beschreibung:</i>	Spindelförmige Drahtperle mit 12 Windungen. Laut Lage und Grösse ist Inv. 2012/109 Teil der beinahe intakten Perle Inv. 2012/169	
<i>Bibliographie:</i>	Guggisberg u. a. 2013, 63	IFe2

S8/20	Doppelkonische Drahtperle	Taf. 40
<i>Vorausinv.:</i>	2012/237	
<i>Material:</i>	Bronze	
<i>Herstellung:</i>	Aus Bronzedraht gewickelt	
<i>Erhaltung:</i>	Ganz	
<i>Masse:</i>	L 1.3 cm; Dm max. 0.9 cm; Dm Draht 0.1 cm	
<i>Beschreibung:</i>	Spindelförmige Drahtperle mit 10 Windungen	
<i>Bibliographie:</i>	Guggisberg u. a. 2013, 63	IFe2

S8/21	Kugelförmige Drahtperle	Taf. 40
<i>Vorausinv.:</i>	2012/133	
<i>Material:</i>	Bronze	
<i>Herstellung:</i>	Aus Bronzedraht gewickelt	
<i>Erhaltung:</i>	Ganz	
<i>Masse:</i>	Dm 0.7 cm; Dm Draht 0.1 cm	

<i>Beschreibung:</i>	Drahtperle mit 7 Windungen in Form einer Kugel	
<i>Bibliographie:</i>	Guggisberg u. a. 2013, 63	IFe2
S8/22	Spiralperle	Taf. 40
<i>Vorausinv.:</i>	2012/130	
<i>Material:</i>	Bronze	
<i>Herstellung:</i>	Aus Bronzedraht gewickelt	
<i>Erhaltung:</i>	Ganz	
<i>Masse:</i>	L 0.9 cm; Dm max. 0.5 cm; Dm Draht 0.1 cm	
<i>Beschreibung:</i>	Eher zylindrische Spiralperle mit 8 Windungen	
<i>Bibliographie:</i>	Guggisberg u. a. 2013, 63	IFe2
S8/23	Spiralperle	Taf. 40
<i>Vorausinv.:</i>	2012/252	
<i>Material:</i>	Bronze	
<i>Herstellung:</i>	Aus Bronzedraht gewickelt	
<i>Erhaltung:</i>	Aus 2 Fragmenten zusammengesetzt	
<i>Masse:</i>	L 1.4 cm; Dm max. 0.8 cm; Dm Draht 0.1 cm	
<i>Beschreibung:</i>	Eher zylindrische Spiralperle aus leicht abgeflachtem Draht mit 10 Windungen	
<i>Bibliographie:</i>	Guggisberg u. a. 2013, 63	IFe2
S8/24	Spiralperle	Taf. 40
<i>Vorausinv.:</i>	2012/272	
<i>Material:</i>	Bronze	
<i>Herstellung:</i>	Aus Bronzedraht gewickelt	
<i>Erhaltung:</i>	Ganz	
<i>Masse:</i>	L 1.6 cm; Dm max. 0.6 cm; Dm Draht 0.1 cm	
<i>Beschreibung:</i>	Eher zylindrische Spiralperle aus leicht abgeflachtem Draht mit 11 Windungen	
<i>Bibliographie:</i>	Guggisberg u. a. 2013, 63	IFe2
S8/25	Massiver Ring	Taf. 40
<i>Vorausinv.:</i>	2012/163	
<i>Material:</i>	Bronze	
<i>Herstellung:</i>	Massiv gegossen	
<i>Erhaltung:</i>	Ganz	
<i>Masse:</i>	Dm 3.2 cm; Querschnitt 0.6 cm	
<i>Beschreibung:</i>	Massiver Ring mit rundem Querschnitt	
<i>Bibliographie:</i>	Guggisberg u. a. 2013, 63	IFe2
S8/26–27	Massive Ringe	Taf. 40
<i>Vorausinv.:</i>	2012/164. 165	
<i>Material:</i>	Bronze	
<i>Herstellung:</i>	Massiv gegossen	
<i>Erhaltung:</i>	Ganz	
<i>Masse:</i>	Dm 1.2 cm; Querschnitt 0.5 cm und Dm 2.6 cm; Querschnitt 0.5 cm	
<i>Beschreibung:</i>	Massive Ringe mit rundem Querschnitt. Die Ringe S8/26 (klein) und S8/27 (gross) waren als Paar aufeinandergestellt	
<i>Bibliographie:</i>	Guggisberg u. a. 2013, 63	IFe2

S8/28	Massiver Ring	Taf. 40
<i>Vorausnu.:</i>	2012/167	
<i>Material:</i>	Bronze	
<i>Herstellung:</i>	Massiv gegossen	
<i>Erhaltung:</i>	Ganz	
<i>Masse:</i>	Dm 2.6 cm; Querschnitt 0.6 cm	
<i>Beschreibung:</i>	Massiver Ring mit rundem Querschnitt	
<i>Bibliographie:</i>	Guggisberg u. a. 2013, 63	IFe2

S8/29	Kniefibel mit Bronzedrahtumwicklung	Taf. 40
<i>Vorausnu.:</i>	2012/174. 178. 180. 214. 221. 295	
<i>Material:</i>	Eisen und Bronze	
<i>Herstellung:</i>	Geschmiedet und teilweise mit Bronzedraht umwickelt	
<i>Erhaltung:</i>	19 z. T. stark fragmentierte und korrodierte Fragmente	
<i>Masse:</i>	L max. 3.3 cm; B max. 2.5 cm	
<i>Beschreibung:</i>	Inv. 2012/180: Stift mit quadratischem Querschnitt und Bronzedrahtumwicklung; Inv. 2012/214: Knie; Inv. 2012/221: Feder; auf einem der Fragmente sind durch die Korrosion gefestigte Textilabdrücke zu erkennen	
<i>Bibliographie:</i>	Guggisberg u. a. 2013, 63 f.	IFe2

S8/30	Eisenfibel mit Bronzedrahtumwicklung	Taf. 40
<i>Vorausnu.:</i>	2012/110. 111. 117. 120. 121. 137. 186. 243. 260	
<i>Material:</i>	Eisen und Bronze	
<i>Herstellung:</i>	Geschmiedet und teilweise mit Bronzedraht umwickelt	
<i>Erhaltung:</i>	22 z. T. stark fragmentierte und korrodierte Fragmente	
<i>Masse:</i>	L max. 2.9 cm; B max. 2.1 cm	
<i>Beschreibung:</i>	Inv. 2012/120: Nadelfragment; Inv. 2012/137: Feder/Öse und Stift mit Bronzedrahtumwicklung; Inv. 2012/243: Feder/Öse; Inv. 2012/260: Nadelfragment	
<i>Bibliographie:</i>	Guggisberg u. a. 2013, 63 f.	IFe2

S8/31	Eisenfibel	Taf. 40
<i>Vorausnu.:</i>	2012/223. 238	
<i>Material:</i>	Eisen	
<i>Herstellung:</i>	Geschmiedet	
<i>Erhaltung:</i>	20 z. T. stark fragmentierte und korrodierte Fragmente	
<i>Masse:</i>	L max. 3.5 cm; B max. 2 cm	
<i>Beschreibung:</i>	Inv. 2012/238: Feder/Öse mit Nadelfragment	
<i>Bibliographie:</i>	Guggisberg u. a. 2013, 63 f.	IFe2

S8/32	Nadelfragmente	ohne Abbildung
<i>Vorausnu.:</i>	2012/241	
<i>Material:</i>	Eisen	
<i>Herstellung:</i>	Geschmiedet	
<i>Erhaltung:</i>	2 korrodierte Fragmente	
<i>Masse:</i>	L max. 1.4 cm; B max. 0.6 cm	
<i>Beschreibung:</i>	Die Fragmente lassen sich keiner der Fibeln eindeutig zuweisen	
<i>Bibliographie:</i>	Guggisberg u. a. 2013, 63 f.	IFe2

S8/33	Klinge	Taf. 40
<i>Vorausnu.:</i>	2012/116. 204. 239. 254	
<i>Material:</i>	Eisen	

<i>Herstellung:</i>	Geschmiedet	
<i>Erhaltung:</i>	Stark korrodierte Fragmente, z. T. mit Paraloid gefestigt	
<i>Masse:</i>	L max. 6.3 cm; B max. 2.2 cm; D max. 1.4 cm	
<i>Beschreibung:</i>	Die Fragmente Inv. 2012/116 und 204 gehören aufgrund ihrer Lage und Gestalt zur Klinge. Bei Inv. 2012/239 lassen sich in der Korrosion des grössten Fragmentes Fasern von Holz erkennen, woraus geschlossen werden kann, dass es sich bei den Fragmenten um Reste des Messergriffs handelt	
<i>Bibliographie:</i>	Guggisberg u. a. 2013, 66	IFe2

S8/34	Tropfenförmiger Anhänger	Taf. 40
<i>Vorausinv.:</i>	2012/207	
<i>Material:</i>	Bernstein	
<i>Herstellung:</i>	Geschnitten, geschliffen oder gedreht und poliert. Öse durch Bohren oder mit heisser Metallnadel	
<i>Erhaltung:</i>	Beschädigt	
<i>Masse:</i>	L 3.1 cm; B 1.4 cm	
<i>Beschreibung:</i>	Tropfenförmiger Anhänger mit durchbohrtem Kopfende, Öse nur partiell erhalten	
<i>Bibliographie:</i>	Guggisberg u. a. 2013, 64	IFe2

S8/35	Tonnenförmige Perle	ohne Abbildung
<i>Vorausinv.:</i>	2012/107	
<i>Material:</i>	Bernstein	
<i>Herstellung:</i>	Geschnitten, geschliffen oder gedreht und poliert. Öse durch Bohren oder mit heisser Metallnadel	
<i>Erhaltung:</i>	7 Fragmente	
<i>Masse:</i>	L 0.6 cm; B 0.4 cm	
<i>Beschreibung:</i>	Tonnenförmige, der Länge nach durchbohrte Perle (<i>vago a botticella sviluppata</i>). Typ IV.2 nach Benedetti – Cardosa 2006	
<i>Bibliographie:</i>	Guggisberg u. a. 2013, 64	IFe2

S8/36	Tonnenförmige Perle	ohne Abbildung
<i>Vorausinv.:</i>	2012/138	
<i>Material:</i>	Bernstein	
<i>Herstellung:</i>	Geschnitten, geschliffen oder gedreht und poliert. Öse durch Bohren oder mit heisser Metallnadel	
<i>Erhaltung:</i>	10 Fragmente	
<i>Masse:</i>	L 0.5 cm; B 0.4 cm; D 0.1 cm	
<i>Beschreibung:</i>	Tonnenförmige, der Länge nach durchbohrte Perle (<i>vago a botticella sviluppata</i>). Typ IV.2 nach Benedetti – Cardosa 2006	
<i>Bibliographie:</i>	Guggisberg u. a. 2013, 64	IFe2

S8/37	Spindelförmige Perle	ohne Abbildung
<i>Vorausinv.:</i>	2012/142	
<i>Material:</i>	Bernstein	
<i>Herstellung:</i>	Geschnitten, geschliffen oder gedreht und poliert. Öse durch Bohren oder mit heisser Metallnadel	
<i>Erhaltung:</i>	4 Fragmente	
<i>Masse:</i>	L 0.8 cm; B 0.4 cm; D 0.2 cm	
<i>Beschreibung:</i>	Spindelförmige, der Länge nach durchbohrte Perle (<i>vago fusiforme</i>). Typ VII nach Benedetti – Cardosa 2006	
<i>Bibliographie:</i>	Guggisberg u. a. 2013, 64	IFe2

S8/38–39	Perlen	ohne Abbildung
<i>Vorausinv.:</i>	2012/125. 160	
<i>Material:</i>	Bernstein	
<i>Herstellung:</i>	Geschnitten, geschliffen oder gedreht und poliert. Öse durch Bohren oder mit heisser Metallnadel	

<i>Erhaltung:</i>	13 Fragmente	
<i>Masse:</i>	L max. 0.8 cm; B max. 0.5 cm	
<i>Beschreibung:</i>	Bernsteinperlen; durch eine Bohrung identifiziert, aber mit unbestimmbarer Form	
<i>Bibliographie:</i>	Guggisberg u. a. 2013, 64	IFe2

S8/40	Unbestimmte Fragmente	ohne Abbildung
<i>Vorausinv.:</i>	2012/173. 191. 201. 209. 242	
<i>Material:</i>	Bernstein	
<i>Erhaltung:</i>	Sehr stark fragmentiert	
<i>Masse:</i>	Aufgrund der geringen Grösse nicht näher bestimmbar	
<i>Bibliographie:</i>	Unpubl.	–

Strada 9		Taf. 41	
Ungestört		Grabungsjahr 2012	
<i>Grabform:</i>	Fossagrab	Rechteckig-ovale Grabgrube	Grube 2.1 x 1.2 x 0.20 m
	Keine Pflasterung		
	N-S-Ausrichtung		
<i>Bestattungsritus:</i>	Körperbestattung	Vermutlich Hockerbestattung	N-S, Kopf im N
<i>Anthropologie:</i>	Infans II	Fragmentierte Langknochen, Schädel- und Zahnfragmente sowie kleinere, unbestimmte Knochenfragmente	8–9 Jahre ± 24 Monate
	Geschlecht unbestimmbar		
Guggisberg u. a. 2012b, 11; Guggisberg u. a. 2013, 68 f. Abb. 5		IFe2	

S9/1	Weite Spirale	Taf. 41
<i>Vorausinv.:</i>	2012/298	
<i>Material:</i>	Bronze	
<i>Herstellung:</i>	Gegossen und gehämmert, teilweise mit Punzverzierung	
<i>Erhaltung:</i>	6 Fragmente	
<i>Masse:</i>	Dm ca. 3.5 cm; B max. 0.2 cm; D 0.1 cm	
<i>Beschreibung:</i>	Weite Spirale aus flachem Draht mit eingepunzten Punkten	
<i>Bibliographie:</i>	Guggisberg u. a. 2013, 68	IFe2

S9/2	Gebogenes Band	Taf. 41
<i>Vorausinv.:</i>	2012/99	
<i>Material:</i>	Bronze	
<i>Herstellung:</i>	Gegossen und gehämmert	
<i>Erhaltung:</i>	4 Fragmente	
<i>Masse:</i>	L max. 1.3 cm; B max. 0.2 cm; D 0.1 cm	
<i>Beschreibung:</i>	Fragmente eines flachen Drahtes	
<i>Bibliographie:</i>	Guggisberg u. a. 2013, 68	IFe2

S9/3	Eisenstift	ohne Abbildung
<i>Vorausinv.:</i>	2012/104	
<i>Material:</i>	Eisen	
<i>Herstellung:</i>	Geschmiedet	
<i>Erhaltung:</i>	8 Fragmente	
<i>Masse:</i>	L max. 1.8 cm; B max. 0.6 cm	
<i>Beschreibung:</i>	Eisenstift mit einem zugespitzten und einem abgeflachten Ende	
<i>Bibliographie:</i>	Unpubl.	IFe2

Ausserhalb Strada 9		
S9/4	Olla	Taf. 41
<i>Vorausinv.:</i>	2012/61–68	
<i>Material:</i>	Grobkeramik, grauer Ton (7.5YR 4/0)	
<i>Herstellung:</i>	Handaufgebaut	
<i>Erhaltung:</i>	9 Fragmente	
<i>Masse:</i>	Dm Mündung ca. 14 cm; Dm Boden ca. 7 cm; Wandstärke 0.6–0.7 cm	
<i>Beschreibung:</i>	Leicht geschwungenes Profil, abgerundeter Rand und verdickte Lippe. Standboden	
<i>Bibliographie:</i>	Guggisberg u. a. 2013, 64	IFe2

Strada 10		Taf. 42, 43
Ungestört	Grabungsjahr 2013	
<i>Grabform:</i>	Enchytrismos	Ovale Grabgrube, Wände mit kleinen Steinen ausgekleidet
	NO-SW-Ausrichtung	
	keine Pflasterung	
<i>Bestattungsritus:</i>	Körperbestattung (?) in einem Pithos	
<i>Anthropologie:</i>	Keine Knochenhaltung	
Guggisberg u. a. 2014, 79 f. Abb. 2 Taf. 11, 4		IFe2

S10/1	Pithos <i>a bombarda</i>	Taf. 43
<i>Vorausinv.:</i>	2013/1971	
<i>Material:</i>	Grobkeramik, gelblich roter Ton (5YR 5/6)	
<i>Herstellung:</i>	Handaufgebaut mit plastischem Dekor	
<i>Erhaltung:</i>	Aus Fragmenten zusammengesetzt und teilweise ergänzt	
<i>Masse:</i>	H 60 cm; Dm max. 42 cm; Dm Mündung 39 cm; Dm Boden 13 cm	
<i>Beschreibung:</i>	Pithos <i>a bombarda</i> mit nach aussen gebogenem, spitz zulaufendem Rand. Typ e7 Variante 2 nach Colelli – Jacobsen 2013	
<i>Verzierung:</i>	Plastische Dekoration durch 4 Noppen (nur 3 erhalten) 3 cm unterhalb des Randes	
<i>Bibliographie:</i>	Guggisberg u. a. 2014, 79	IFe2

S10/2	Deckel	Taf. 43
<i>Vorausinv.:</i>	2013/420	
<i>Material:</i>	Konglomeratstein	
<i>Herstellung:</i>	Wohl in natürlicher Form belassen	
<i>Erhaltung:</i>	Ganz	
<i>Masse:</i>	Dm 32–35 cm; H 7 cm	
<i>Beschreibung:</i>	Gerundeter, flach-linsenförmiger Konglomeratstein	
<i>Bibliographie:</i>	Guggisberg u. a. 2014, 79	–

Strada 11		Taf. 44–50
Ungestört	Grabungsjahr 2013	
<i>Grabform:</i>	Monumentales Fossagrab	Langovale Grabgrube, Wände mit grossen gerundeten Steinen ausgekleidet
	Pflasterung	Die Pflasterung aus flachen Kiesel in der Grabmitte reicht nicht bis zu den Grabwänden im NW und SO
	NW-SO-Ausrichtung	
<i>Bestattungsritus:</i>	Körperbestattung	Schädel vermutlich in linker Seitenlage
		Grab 4.8 x 3.2 x 0.5–0.6 m
		Pflasterung 3.4 x 1.6–1.8 m
		NW-SO, Kopf im NW

<i>Anthropologie:</i>	Ab spätadult	Ein grosses Schädelfragment wurde im Block geborgen (Inv. 1570). Das postcraniale Skelett ist nur als Knochenstaub erhalten. Von den wenigen Zähnen sind zwei ansprechbar (Incisiven). Ihre Oberfläche ist allerdings stark erodiert, was die Beurteilung der Abrasion schwierig macht	Über 30 Jahre
	Geschlecht unbestimmbar; archäologisch weiblich		
Guggisberg u. a. 2014, 80–86 Abb. 3. 4 Taf. 11, 1. 3. 5. 7. 8			IFe2B

S11/1	Olla <i>a tenda</i>	Taf. 47
<i>Vorausinv.:</i>	2013/379	
<i>Material:</i>	Feinkeramik, sehr helles Braun (10YR 8/4)	
<i>Herstellung:</i>	Handaufgebaut und <i>matt-painted</i> (dunkelbraune Bemalung)	
<i>Erhaltung:</i>	Aus Fragmenten zusammengesetzt	
<i>Masse:</i>	H 40.8 cm; Dm (Mündung) 12.4 cm; Dm (Bauch) 36 cm; Dm (Boden) 10.9 cm; D 0.65 cm	
<i>Beschreibung:</i>	Olla mit leicht ausbiegendem, rundem Rand. Der konvex-konische Hals sitzt auf einem tonnenförmigen Körper. Der Standboden ist eingebogen. Am maximalen Durchmesser sind 2 horizontale Rundhenkel angesetzt. In der Olla lag die Tasse S11/3	
<i>Bemalung:</i>	Am Hals ist nicht genauer bestimmbare <i>matt-painted</i> Bemalung zu erkennen. Im Bereich der Schulter befinden sich 2 dreilinige <i>a tenda</i> -Motive (<i>stile vuoto?</i>), welche unten mit 2 umlaufenden Linien abgegrenzt werden	
<i>Bibliographie:</i>	Guggisberg u. a. 2014, 85 f.	IFe2B

S11/2	Olla mit Verzierung <i>a bande ondulate</i>	Taf. 48
<i>Vorausinv.:</i>	2013/180	
<i>Material:</i>	Feinkeramik, hellbraun (7.5YR 6/4)	
<i>Herstellung:</i>	Handaufgebaut und <i>matt-painted</i> (dunkelbraune Bemalung)	
<i>Erhaltung:</i>	Aus Fragmenten zusammengesetzt	
<i>Masse:</i>	H 37.65 cm; Dm (Mündung) 12.4 cm; Dm (Bauch) 33.3 cm; Dm (Boden) 11.1 cm; D 0.8 cm	
<i>Beschreibung:</i>	Olla mit ausbiegendem, rundem Rand. Der Gefässkörper ist gerundet-doppelkonisch. Die Olla steht auf einem Standboden. Am maximalen Durchmesser wurden 2 horizontale Rundhenkel angesetzt	
<i>Bemalung:</i>	An mehreren Stellen sind Bemalungsreste erkennbar: Auf der Randinnenseite 2 breite, die Mündung umlaufende Bänder. Am Übergang zwischen Rand und Hals 3 weitere umlaufende Bänder, von denen das mittlere im <i>stile a bande ondulate</i> gehalten ist. Am Übergang vom Hals zur Schulter sind 3 weitere Bänder fassbar. Direkt oberhalb der Henkel, beim maximalen Durchmesser, ist ein weiteres Band erkennbar	
<i>Bibliographie:</i>	Guggisberg u. a. 2014, 85 f.	IFe2A–2B

S11/3	Tasse	Taf. 48
<i>Vorausinv.:</i>	2013/1000	
<i>Material:</i>	Feinkeramik, rötlich gelb (7.5YR 8/6)	
<i>Herstellung:</i>	Handaufgebaut und <i>matt-painted</i> (dunkelbraune Bemalung)	
<i>Erhaltung:</i>	Aus Fragmenten zusammengesetzt	
<i>Masse:</i>	H (mit Henkel) 8.8 cm; H (ohne Henkel) 7 cm; Dm (Mündung) 6.3 cm; Dm (Bauch) 9.1 cm; Dm (Boden) 4.2 cm; D 0.35 cm	
<i>Beschreibung:</i>	Tasse mit ausbiegendem, verdicktem Rand. Der konvex-konische Hals geht in einen gewölbt-doppelkonischen Gefässkörper über. Die Tasse steht auf einem Standring. Der vertikale Bandhenkel geht von der Gefässmündung nach oben (Schöpfgefäss?) und reicht dann bis zum maximalen Durchmesser hinunter. Befand sich im Inneren der Olla S11/1	
<i>Bemalung:</i>	Am Übergang zwischen Rand und Hals befinden sich Bemalungsspuren von 1 bis 2 umlaufenden Bändern. Am Übergang zwischen Hals und Schulter sind 3 weitere aufgemalte, umlaufende Bänder erkennbar	
<i>Bibliographie:</i>	Guggisberg u. a. 2014, 85 f.	IFe2A–2B1

S11/4	Wandscherbe	ohne Abbildung
<i>Vorausinv.:</i>	2013/76	
<i>Material:</i>	Grobkeramik	
<i>Herstellung:</i>	Handaufgebaut	
<i>Erhaltung:</i>	2 Fragmente und Splitter	
<i>Masse:</i>	L 4.2 cm; B 2.7 cm; D 1.2 cm	
<i>Beschreibung:</i>	Stark verrundete und verwaschene Wandscherben	
<i>Bibliographie:</i>	Guggisberg u. a. 2014, 85 f.	IFe

S11/5	Wandscherbe	ohne Abbildung
<i>Vorausinv.:</i>	2013/297	
<i>Material:</i>	Grobkeramik	
<i>Herstellung:</i>	Handaufgebaut	
<i>Erhaltung:</i>	2 Fragmente	
<i>Masse:</i>	L 1.2 cm; B 1 cm; D 0.6 cm	
<i>Beschreibung:</i>	Stark verwaschene Wandscherben	
<i>Bibliographie:</i>	Guggisberg u. a. 2014, 85 f.	IFe

S11/6	Radanhänger (Blockbergung)	Taf. 49
<i>Vorausinv.:</i>	2013/558. 789. 1960	
<i>Material:</i>	Bronze	
<i>Herstellung:</i>	Gegossen, geschmiedet	
<i>Erhaltung:</i>	Fragment-ganz	
<i>Masse:</i>	Dm (Radanhänger) ca. 7.6 cm	
<i>Beschreibung:</i>	Vierspeichiger Radanhänger mit 3 konzentrischen Ringen. Der Anhänger ist mit einem flachen Bronzeband umwickelt. Dieses dient zur Befestigung mehrerer doppelgliedriger Ketten	
<i>Bibliographie:</i>	Guggisberg u. a. 2014, 82–84	IFe2

S11/7	Ringanhänger	Taf. 49
<i>Vorausinv.:</i>	2013/848	
<i>Material:</i>	Bronze, Eisen	
<i>Herstellung:</i>	Geschmiedet	
<i>Erhaltung:</i>	Ganz	
<i>Masse:</i>	D (Bronzeringe) 0.2 cm; Dm (Bronzeringe) max. 1.25 cm	
<i>Beschreibung:</i>	Anhänger mit einer Gruppe von 4 Ringen, die von einem Ring zusammengehalten werden. Ein weiterer Bronzering verbindet die Gruppe von Ringen mit einer Eisenöse. Diese Ringe haben alle annähernd die gleiche Grösse und einen rautenförmigen Querschnitt	
<i>Bibliographie:</i>	Guggisberg u. a. 2014, 84	IFe2

S11/8	Ringanhänger	Taf. 49
<i>Vorausinv.:</i>	2013/1400	
<i>Material:</i>	Bronze, Eisen	
<i>Herstellung:</i>	Geschmiedet	
<i>Erhaltung:</i>	Ganz	
<i>Masse:</i>	D (Bronzeringe) 0.2 cm; Dm (Bronzeringe) max. 1.25 cm	
<i>Beschreibung:</i>	Anhänger mit einer Gruppe von 5 Ringen, die von einem Ring zusammengehalten werden. Ein weiterer Bronzering verbindet die Gruppe von Ringen mit einer Eisenöse. Diese Ringe haben alle annähernd die gleiche Grösse und einen rautenförmigen Querschnitt	
<i>Bibliographie:</i>	Guggisberg u. a. 2014, 84	IFe2

S11/9	Doppelkonische Drahtperle	Taf. 49
<i>Vorausnu.:</i>	2013/1289	
<i>Material:</i>	Bronze	
<i>Herstellung:</i>	Geschmiedet	
<i>Erhaltung:</i>	Zusammengesetzt	
<i>Masse:</i>	L 0.8 cm; Dm max. 0.7 cm	
<i>Beschreibung:</i>	Doppelkonische Drahtperle mit 11 erhaltenen Windungen	
<i>Bibliographie:</i>	Guggisberg u. a. 2014, 84	IFe2

S11/10	Doppelkonische Drahtperle	Taf. 49
<i>Vorausnu.:</i>	2013/1417	
<i>Material:</i>	Bronze	
<i>Herstellung:</i>	Geschmiedet	
<i>Erhaltung:</i>	6 Fragmente	
<i>Masse:</i>	L max. 0.5 cm; Dm max. 0.7 cm	
<i>Beschreibung:</i>	Doppelkonische Drahtperle mit 5 erhaltenen Windungen	
<i>Bibliographie:</i>	Guggisberg u. a. 2014, 84	IFe2

S11/11	Doppelkonische Drahtperle	Taf. 49
<i>Vorausnu.:</i>	2013/1526. 1527	
<i>Material:</i>	Bronze	
<i>Herstellung:</i>	Geschmiedet	
<i>Erhaltung:</i>	2 Fragmente	
<i>Masse:</i>	L max. 1 cm; Dm max. 0.7 cm	
<i>Beschreibung:</i>	Doppelkonische Drahtperle mit 10 erhaltenen Windungen	
<i>Bibliographie:</i>	Guggisberg u. a. 2014, 84	IFe2

S11/12	Kettenfragmente	ohne Abbildung
<i>Vorausnu.:</i>	2013/419. 558. 666. 882. 999. 1891. 1917	
<i>Material:</i>	Bronze	
<i>Herstellung:</i>	Geschmiedet	
<i>Erhaltung:</i>	>20 Fragmente	
<i>Masse:</i>	–	
<i>Beschreibung:</i>	7 Teile von doppelgliedrigen Ketten. Sie gehören vermutlich zu denjenigen des Radanhängers S11/6	
<i>Bibliographie:</i>	Guggisberg u. a. 2014, 82–84	IFe2

S11/13	Ringlein	ohne Abbildung
<i>Vorausnu.:</i>	2013/357. 372. 441. 469. 471. 479. 510. 515. 589. 597. 614. 626. 641. 662. 691. 739. 765. 772. 777. 786. 815. 859. 948. 1029. 1047. 1284. 1302. 1313. 1323. 1395. 1868. 1898. 1902. 1903. 1915. 1932. 1984	
<i>Material:</i>	Bronze	
<i>Herstellung:</i>	Geschmiedet	
<i>Erhaltung:</i>	>60 Fragmente	
<i>Masse:</i>	–	
<i>Beschreibung:</i>	Mehrere Ringlein (37 Inventarnummern). Sie sind zu doppelgliedrigen Ketten zu rekonstruieren und gehören vermutlich zu den Ketten S11/6 bzw. S11/16	
<i>Bibliographie:</i>	Guggisberg u. a. 2014, 82–84	IFe2

S11/14	Schleifenringe?	Taf. 49
<i>Vorausnu.:</i>	2013/598. 610. 664. 872. 902. 907. 961. 1074. 1112. 1115. 1116. 1207. 1332. 1364. 1378. 1379. 1389. 1423. 1500. 1528. 1539. 1553. 1742	

<i>Material:</i>	Bronze	
<i>Herstellung:</i>	Geschmiedet	
<i>Erhaltung:</i>	33 Fragmente und Splitter	
<i>Masse:</i>	L max. 2.4 cm; D 0.1 cm	
<i>Beschreibung:</i>	Drahtfragmente aus dem Schulterbereich. Die längeren Stücke zeigen, dass der Draht gebogen war. Vermutlich handelt es sich um mindestens 2 Schleifenringe	
<i>Bibliographie:</i>	Guggisberg u. a. 2014, 82	IFe2

S11/15	Ring (Blockbergung)	Taf. 49
<i>Vorausinv.:</i>	2013/1570	
<i>Material:</i>	Bronze/Eisen?	
<i>Herstellung:</i>	Geschmiedet	
<i>Erhaltung:</i>	Ganz	
<i>Masse:</i>	–	
<i>Beschreibung:</i>	Massiver Ring. Das Material kann nicht eindeutig beurteilt werden, da er noch nicht aus dem Block geborgen wurde	
<i>Bibliographie:</i>	Guggisberg u. a. 2014, 82	IFe2

S11/16	Zierscheibe mit konzentrischen Kreisen (Blockbergung)	Taf. 49
<i>Vorausinv.:</i>	2013/1570	
<i>Material:</i>	Bronze	
<i>Herstellung:</i>	Geschmiedet	
<i>Erhaltung:</i>	Ganz	
<i>Masse:</i>	Dm ca. 4 cm	
<i>Beschreibung:</i>	Eine von 4 Zierscheiben mit konzentrischen Kreisen, die mit Zierknöpfen und dem Schädel im Block geborgen wurde	
<i>Bibliographie:</i>	Guggisberg u. a. 2014, 82	IFe2

S11/17	Zierscheibe mit konzentrischen Kreisen (Blockbergung)	Taf. 49
<i>Vorausinv.:</i>	2013/1570	
<i>Material:</i>	Bronze	
<i>Herstellung:</i>	Geschmiedet	
<i>Erhaltung:</i>	Ganz	
<i>Masse:</i>	Dm ca. 4 cm	
<i>Beschreibung:</i>	Eine von 4 Zierscheiben mit konzentrischen Kreisen, die mit Zierknöpfen und dem Schädel im Block geborgen wurde	
<i>Bibliographie:</i>	Guggisberg u. a. 2014, 82	IFe2

S11/18	Zierscheibe mit konzentrischen Kreisen (Blockbergung)	Taf. 49
<i>Vorausinv.:</i>	2013/1570	
<i>Material:</i>	Bronze	
<i>Herstellung:</i>	Geschmiedet	
<i>Erhaltung:</i>	Ganz	
<i>Masse:</i>	Dm ca. 4 cm	
<i>Beschreibung:</i>	Eine von 4 Zierscheiben mit konzentrischen Kreisen, die mit Zierknöpfen und dem Schädel im Block geborgen wurde	
<i>Bibliographie:</i>	Guggisberg u. a. 2014, 82	IFe2

S11/19	Zierscheibe mit konzentrischen Kreisen (Blockbergung)	Taf. 49
<i>Vorausinv.:</i>	2013/1570	
<i>Material:</i>	Bronze	

<i>Herstellung:</i>	Geschmiedet	
<i>Erhaltung:</i>	Ganz	
<i>Masse:</i>	Dm ca. 4 cm	
<i>Beschreibung:</i>	Eine von 4 Zierscheiben mit konzentrischen Kreisen, die mit Zierknöpfen und dem Schädel im Block geborgen wurde	
<i>Bibliographie:</i>	Guggisberg u. a. 2014, 82	IFe2

S11/20	Zierknöpfe	Taf. 49
<i>Vorausinv.:</i>	2013/206–209. 223. 234. 272. 273. 285. 296. 339. 351. 373. 424. 431. 432. 436–438. 440. 466. 468. 470. 474. 476. 484. 492. 495. 496. 514. 516. 524. 527–529. 533. 555. 582–586. 588. 593–595. 602. 603. 676. 726. 744. 762. 802. 806. 825. 862. 866. 916. 925. 939. 947. 952. 953. 984. 986. 1049. 1056. 1064. 1073. 1084. 1085. 1096. 1111. 1128. 1129. 1133. 1150. 1151. 1153. 1155. 1164. 1168–1172. 1176. 1180. 1196. 1197. 1232. 1246. 1247. 1250. 1264. 1265. 1269. 1286. 1290. 1314. 1339. 1363. 1376. 1380. 1396. 1402. 1438. 1466. 1496. 1547. 1556. 1566. 1588. 1605. 1606. 1608. 1612. 1617. 1631. 1669. 1680. 1704. 1728. 1736. 1738. 1758. 1763. 1800. 1805. 1836. 1888. 1962. 1963. 1967–1970. 1973. 1977. 1981. 1982	
<i>Material:</i>	Bronze	
<i>Herstellung:</i>	Geschmiedet	
<i>Erhaltung:</i>	162 Fragmente	
<i>Masse:</i>	Dm 0,5–0,8 cm	
<i>Beschreibung:</i>	Mehrere (141 Inventarnummern) einzeln inventarisierte Zierknöpfe, bevor die übrigen im Block (vgl. S11/21) geborgen wurden. Vermutlich waren alle auf demselben Kleidungsstück aufgenäht	
<i>Bibliographie:</i>	Guggisberg u. a. 2014, 84	IFe2

S11/21	Zierknöpfe (Blockbergung)	Taf. 49
<i>Vorausinv.:</i>	2013/1570	
<i>Material:</i>	Bronze	
<i>Herstellung:</i>	Geschmiedet	
<i>Erhaltung:</i>	Fragment-ganz	
<i>Masse:</i>	Dm 0,5–0,8 cm	
<i>Beschreibung:</i>	Ungefähr 200 Zierknöpfe, die mit dem Schädel im Block geborgen wurden. Vermutlich waren sie auf demselben Kleidungsstück aufgenäht wie diejenigen von S11/20	
<i>Bibliographie:</i>	Guggisberg u. a. 2014, 84	IFe2

S11/22	<i>Sonagliera</i> -Fragment?	Taf. 50
<i>Vorausinv.:</i>	2013/887	
<i>Material:</i>	Bronze	
<i>Herstellung:</i>	Geschmiedet	
<i>Erhaltung:</i>	1 Fragment	
<i>Masse:</i>	L 7.1 cm; D 0.1 cm; Dm 0.8 cm	
<i>Beschreibung:</i>	Rohr aus Bronzeblech. Teil einer Rassel	
<i>Bibliographie:</i>	Guggisberg u. a. 2014, 82–84	IFe2

S11/23	Fragment von <i>cono di lamelle</i>	Taf. 50
<i>Vorausinv.:</i>	2013/141. 600. 1224	
<i>Material:</i>	Bronze	
<i>Herstellung:</i>	Geschmiedet	
<i>Erhaltung:</i>	3 Fragmente	
<i>Masse:</i>	L max. 6.5 cm; B max. 2.2 cm; D 0.2 cm; Dm max. ca. 16 cm; Dm min. ca. 7.6 cm	
<i>Beschreibung:</i>	3 Fragmente unterschiedlicher Ringe eines <i>cono di lamelle</i> . Alle haben einen flachen Querschnitt	
<i>Bibliographie:</i>	Guggisberg u. a. 2014, 85	IFe2

S11/24	Bronzescheibe	Taf. 50
<i>Vorausinv.:</i>	2013/1040	
<i>Material:</i>	Bronze	
<i>Herstellung:</i>	Geschmiedet	
<i>Erhaltung:</i>	1 Fragment	
<i>Masse:</i>	L 2.3 cm; B 1.9 cm; D 0.3 cm; Dm ca. 4.6 cm	
<i>Beschreibung:</i>	Segment einer kleinen Bronzescheibe mit dreieckigem Querschnitt	
<i>Bibliographie:</i>	Guggisberg u. a. 2014, 80–86	IFe2

S11/25	Unbestimmte Fragmente	ohne Abbildung
<i>Vorausinv.:</i>	2013/236. 336. 548. 722. 759. 818. 819. 863. 899. 968. 1024. 1088. 1119. 1325. 1464. 1520. 1740. 1856. 1906	
<i>Material:</i>	Bronze	
<i>Herstellung:</i>	Geschmiedet	
<i>Erhaltung:</i>	14 Fragmente und Splitter	
<i>Masse:</i>	Dm 0,5–0,8 cm	
<i>Beschreibung:</i>	Mehrere (17 Inventarnummern) nicht genauer bestimmbare Bronzefragmente. In der Mehrzahl dürfte es sich um Fragmente von Zierknöpfen oder Ringlein handeln	
<i>Bibliographie:</i>	Guggisberg u. a. 2014, 84	–

S11/26	Schlangenfibeln (<i>a gomito</i>) mit Bronzedrahtumwicklung	Taf. 50
<i>Vorausinv.:</i>	2013/497. 505. 685. 770. 781. 794. 891. 923. 943. 957. 973. 1005. 1225. 1238. 1241. 1285. 1320. 1342. 1343. 1434. 1548. 1568. 1705. 1732. 1779. 1787. 1860. 1873. 1930. 1944	
<i>Material:</i>	Eisen, Bronze	
<i>Herstellung:</i>	Geschmiedet	
<i>Erhaltung:</i>	24 Fragmente	
<i>Masse:</i>	L max. 2.7 cm; Dm max. 0.7 cm	
<i>Beschreibung:</i>	Mehrere (30 Inventarnummern) Eisenfragmente, die zu mindestens 2 Eisenfibeln rekonstruiert werden können. Mit Bronzedraht umwickelte Stifte und der Ansatz eines <i>gomito</i> weisen auf eine Schlangenfibel hin	
<i>Bibliographie:</i>	Guggisberg u. a. 2014, 84f.	IFe2A2–2B

S11/27	Vierspiralfibel	Taf. 50
<i>Vorausinv.:</i>	2013/1075	
<i>Material:</i>	Eisen	
<i>Herstellung:</i>	Geschmiedet	
<i>Erhaltung:</i>	1 Fragment	
<i>Masse:</i>	L 5.3 cm; B 3 cm; H 0.9 cm; Dm (Stifte) 0.6 cm	
<i>Beschreibung:</i>	2 sich kreuzende Stifte mit Niete. Sie könnten den Mittelteil einer Vierspiralfibel bilden	
<i>Bibliographie:</i>	Guggisberg u. a. 2014, 84 f.	IFe2A

S11/28	Band, gebogen	Taf. 50
<i>Vorausinv.:</i>	2013/829. 1122. 1156	
<i>Material:</i>	Eisen	
<i>Herstellung:</i>	Geschmiedet	
<i>Erhaltung:</i>	3 Fragmente	
<i>Masse:</i>	L max. 1.9 cm; B max. 1.1 cm; D max. 0.55 cm	
<i>Beschreibung:</i>	3 Fragmente eines gebogenen Eisenbandes. Es könnte zu einem Ring gehören	
<i>Bibliographie:</i>	Guggisberg u. a. 2014, 84 f.	IFe2

S11/29	Bleche	Taf. 50
<i>Vorausinv.:</i>	2013/774. 779. 876. 896. 1194. 1344. 1367. 1537. 1688. 1734. 1786. 1803. 1807. 1815. 1818. 1840. 1885. 1908. 1913. 1922	

<i>Material:</i>	Eisen	
<i>Herstellung:</i>	Geschmiedet	
<i>Erhaltung:</i>	25 Fragmente und Splitter	
<i>Masse:</i>	L max. 2.9 cm; B max. 1.8 cm; D max. 0.4 cm	
<i>Beschreibung:</i>	Sammelnummer für mehrere (20 Inventarnummern) Eisenbleche	
<i>Bibliographie:</i>	Guggisberg u. a. 2014, 84 f.	IFe2

S11/30	Stifte	Taf. 50
<i>Vorausnu.:</i>	2013/592. 601. 697. 753. 1324. 1365. 1377. 1435. 1513. 1514. 1846. 1905	
<i>Material:</i>	Eisen	
<i>Herstellung:</i>	Geschmiedet	
<i>Erhaltung:</i>	16 Fragmente und Splitter	
<i>Masse:</i>	L max. 2.4 cm; B max. 0.8 cm; D max. 0.6 cm	
<i>Beschreibung:</i>	Mehrere (13 Inventarnummern) Eisenstifte, die nicht eindeutig als Fibelfragmente bestimmt werden konnten	
<i>Bibliographie:</i>	Guggisberg u. a. 2014, 84 f.	IFe2

S11/31	Unbestimmte Fragmente	ohne Abbildung
<i>Vorausnu.:</i>	2013/286. 674. 730. 734. 751A. 776. 799. 839. 850. 906. 978. 985. 1092. 1340. 1409. 1671. 1691. 1714. 1801. 1845. 1874. 1882. 1899. 1755B	
<i>Material:</i>	Eisen	
<i>Herstellung:</i>	Geschmiedet	
<i>Erhaltung:</i>	3 Fragmente und Splitter	
<i>Masse:</i>	L max. 2.4 cm; B max. 0.8 cm; D max. 0.6 cm	
<i>Beschreibung:</i>	Mehrere (13 Inventarnummern) nicht genauer ansprechbare Fragmente	
<i>Bibliographie:</i>	Guggisberg u. a. 2014, 84 f.	–

S11/32	Blech	Taf. 50
<i>Vorausnu.:</i>	2013/540. 888. 905. 1980	
<i>Material:</i>	Silber	
<i>Herstellung:</i>	Geschmiedet	
<i>Erhaltung:</i>	4 Fragmente	
<i>Masse:</i>	L max. 0.6 cm; D <0.1 cm	
<i>Beschreibung:</i>	4 sehr dünne Silberfragmente. Eine Form lässt sich aufgrund des Erhaltungszustandes nicht erkennen	
<i>Bibliographie:</i>	Guggisberg u. a. 2014, 84 f.	IFe2

S11/33	Anhänger	Taf. 50
<i>Vorausnu.:</i>	2013/1237. 1480. 1735	
<i>Material:</i>	Bernstein	
<i>Herstellung:</i>	Geschnitten, geschliffen oder gedreht und poliert	
<i>Erhaltung:</i>	3 Fragmente	
<i>Masse:</i>	L max. 2.1 cm; B max. 1.9 cm; D max. 1 cm	
<i>Beschreibung:</i>	3 Anhänger aus dem Bereich des Oberkörpers. Eine Seite ist jeweils flach, während die andere gewölbt ist. Die Bohrung ist bei keinem der Fragmente erhalten	
<i>Bibliographie:</i>	Guggisberg u. a. 2014, 84–86	IFe2

S11/34	Tonnenförmige Perlen	Taf. 50
<i>Vorausnu.:</i>	2013/683. 1572. 1798. 1893. 1896. 1941	
<i>Material:</i>	Bernstein	
<i>Herstellung:</i>	Geschnitten, geschliffen oder gedreht und poliert. Öse durch Bohren oder mit heisser Metallnadel	
<i>Erhaltung:</i>	6 Fragmente und Splitter	

<i>Masse:</i>	L max. 2.2 cm; B max. 1.2 cm; Dm max. 0.7 cm	
<i>Beschreibung:</i>	6 tonnenförmige Perlen aus dem Bereich des Oberkörpers	
<i>Bibliographie:</i>	Guggisberg u. a. 2014, 84–86	IFe2

S11/35	Tonnenförmige Perle	Taf. 50
<i>Vorausnu.:</i>	2013/1374	
<i>Material:</i>	Bernstein	
<i>Herstellung:</i>	Geschnitten, geschliffen oder gedriilt und poliert. Öse durch Bohren oder mit heisser Metallnadel	
<i>Erhaltung:</i>	4 Fragmente	
<i>Masse:</i>	L max. 1.9 cm; Dm max. 1.4 cm	
<i>Beschreibung:</i>	Tonnenförmige Perle aus dem südlichen Bereich des Grabes	
<i>Bibliographie:</i>	Guggisberg u. a. 2014, 84–86	IFe2

S11/36	Ringperlen	Taf. 50
<i>Vorausnu.:</i>	2013/646. 650. 656. 745. 747. 796. 823. 824. 920. 928. 1041. 1110. 1134. 1137. 1141. 1190. 1200. 1211. 1212. 1227. 1228. 1236. 1263. 1272. 1276. 1279. 1315. 1316. 1333. 1391. 1401. 1416. 1418. 1422. 1430. 1431. 1452. 1472. 1476. 1478. 1479. 1486. 1488. 1497. 1501. 1521. 1525. 1530. 1531. 1549. 1561. 1567. 1575. 1586. 1597. 1604. 1627. 1659. 1666. 1667. 1685. 1686. 1693. 1707. 1711. 1712. 1715. 1721. 1733. 1754. 1762. 1785. 1789. 1793. 1795. 1797. 1808. 1821. 1822. 1838. 1849. 1850. 1862. 1875. 1912. 1934. 1938. 1939. 1951	
<i>Material:</i>	Bernstein	
<i>Herstellung:</i>	Geschnitten, geschliffen oder gedriilt und poliert. Öse durch Bohren oder mit heisser Metallnadel	
<i>Erhaltung:</i>	>250 Fragmente und Splitter (17 ganz)	
<i>Masse:</i>	Dm max. 1.4 cm	
<i>Beschreibung:</i>	Mehrere (88 Inventarnummern) Ringperlen aus dem Bereich des Oberkörpers	
<i>Bibliographie:</i>	Guggisberg u. a. 2014, 84–86	IFe2

S11/37	Ringperlen	Taf. 50
<i>Vorausnu.:</i>	2013/149. 157. 159. 396. 422. 482. 508. 509. 625. 843–845. 1077. 1079. 1108. 1127. 1140. 1163. 1166. 1210. 1214	
<i>Material:</i>	Bernstein	
<i>Herstellung:</i>	Geschnitten, geschliffen oder gedriilt und poliert. Öse durch Bohren oder mit heisser Metallnadel	
<i>Erhaltung:</i>	54 Fragmente und Splitter (5 ganz)	
<i>Masse:</i>	Dm max. 1.2 cm	
<i>Beschreibung:</i>	Mehrere (21 Inventarnummern) Ringperlen aus dem südlichen Bereich des Grabes	
<i>Bibliographie:</i>	Guggisberg u. a. 2014, 84–86	IFe2

S11/38	Perlen	ohne Abbildung
<i>Vorausnu.:</i>	2013/426. 430. 483. 511. 581. 608. 624. 660. 667. 668. 671. 678. 680. 692. 701. 706. 707. 709. 716. 720. 721. 725. 731. 735. 737. 754. 766. 769. 800. 804. 846. 856. 877. 880. 892. 904. 912. 921. 922. 924. 935. 946. 950. 951. 979. 983. 987. 994. 996. 1006. 1007. 1014. 1018–1020. 1022. 1027. 1033. 1053. 1058–1060. 1063. 1069. 1086. 1095. 1099. 1109. 1118. 1123. 1130. 1132. 1143. 1148. 1152. 1157. 1159. 1177. 1179. 1213. 1215. 1229–1231. 1234. 1235. 1248. 1249. 1251–1253. 1266. 1275. 1282. 1283. 1287. 1288. 1294. 1299. 1300. 1303. 1306. 1307. 1310. 1317. 1319. 1334. 1337. 1341. 1345. 1346. 1348–1350. 1352. 1360. 1368. 1382. 1387. 1408. 1421. 1432. 1436. 1437. 1442–1449. 1451. 1453. 1454. 1458. 1459. 1463. 1465. 1468. 1474. 1475. 1477. 1481. 1482. 1490. 1492. 1494. 1502. 1503. 1512. 1515. 1529. 1540. 1541–1543. 1545. 1546. 1551. 1552. 1555. 1557–1560. 1562. 1564. 1565. 1569. 1573. 1577. 1585. 1587. 1607. 1609. 1611. 1614. 1619. 1622. 1625. 1636. 1638. 1639. 1644. 1648. 1662–1664. 1668. 1670. 1673. 1678. 1684. 1687. 1689. 1690. 1698. 1703. 1706. 1708. 1713. 1722. 1724. 1741. 1751. 1760. 1764. 1766–1769. 1771. 1774. 1776. 1781–1783. 1792. 1796. 1798. 1799. 1802. 1809. 1810. 1814. 1826. 1835. 1841. 1852. 1855. 1857. 1859. 1864. 1866. 1886. 1887. 1890. 1892. 1895. 1897. 1900. 1901. 1914. 1918. 1921. 1926. 1928. 1929. 1935. 1940. 1946. 1948. 1950. 1954–1956. 1964	
<i>Material:</i>	Bernstein	

<i>Herstellung:</i>	Geschnitten, geschliffen oder gedreht und poliert. Öse durch Bohren oder mit heisser Metallnadel	
<i>Erhaltung:</i>	>350 Fragmente und Splitter	
<i>Masse:</i>	L max. 1.2 cm; B max. 1 cm; Dm max. 1.1 cm	
<i>Beschreibung:</i>	Mehrere (258 Inventarnummern) nicht genauer bestimmbare Perlen aus dem Bereich des Oberkörpers	
<i>Bibliographie:</i>	Guggisberg u. a. 2014, 84–86	IFe2

S11/39	Perlen	ohne Abbildung
<i>Vorausnu.:</i>	2013/93. 94. 120. 121. 130–132. 144–148. 150. 152. 154. 155. 158. 380. 394. 401. 403. 421. 423. 425. 428. 433. 439. 467. 478. 493. 502. 504. 506. 604. 606. 612. 615. 616. 629. 847. 857. 884. 1091. 1121. 1139. 1144. 1147. 1158. 1160. 1165. 1181. 1182. 1193. 1195. 1199. 1201. 1209. 1223. 1331. 1336. 1372	
<i>Material:</i>	Bernstein	
<i>Herstellung:</i>	Geschnitten, geschliffen oder gedreht und poliert. Öse durch Bohren oder mit heisser Metallnadel	
<i>Erhaltung:</i>	>300 Fragmente und Splitter	
<i>Masse:</i>	L max. 1.2 cm; B max. 0.8 cm; Dm max. 2 cm	
<i>Beschreibung:</i>	Sammelnummer für mehrere (61 Inventarnummern) nicht genauer bestimmbare Perlen aus dem südlichen Bereich	
<i>Bibliographie:</i>	Guggisberg u. a. 2014, 84–86	IFe2

S11/40	Unbestimmte Fragmente	Taf. 50
<i>Vorausnu.:</i>	2013/375. 381. 395. 429. 473. 480. 481. 490. 500. 503. 507. 512. 517. 523. 525. 526. 530–532. 541. 543–547. 549. 551. 552. 587. 590. 591. 605. 607. 609. 613. 617. 627. 628. 630. 631. 634. 643. 647. 649. 652–655. 657. 658. 661. 663. 669. 672. 673. 675. 677. 684. 686. 687. 689. 698. 700. 702–705. 708. 710–714. 717–719. 723. 727–729. 732. 733. 736. 738. 740. 742. 743. 746. 748–752. 755–758. 760. 761. 763. 764. 767. 768. 771. 773. 775. 778. 780. 782. 784. 785. 787. 788. 790. 791–793. 795. 797. 798. 801. 803. 805. 807–814. 816. 817. 828. 830–834. 836–838. 840. 841. 851. 854. 860. 864. 865. 867–870. 873–875. 879. 881. 883. 885. 886. 889. 890. 893. 895. 897. 898. 900. 901. 903. 908–911. 913–915. 917. 918. 926. 927. 929–934. 936–938. 940–942. 944. 945. 949. 954–956. 958. 959. 962–967. 969. 972. 975. 976. 980–982. 988–993. 995. 997. 998. 1002–1004. 1008–1013. 1015–1017. 1021. 1023. 1025. 1026. 1028. 1030–1032. 1034–1039. 1042–1046. 1048. 1050–1052. 1054. 1055. 1057. 1061. 1062. 1065–1068. 1070. 1071. 1076. 1081–1083. 1087. 1089. 1090. 1093. 1094. 1097. 1098. 1100–1102. 1104. 1107. 1113. 1114. 1117. 1124–1126. 1131. 1135. 1136. 1138. 1142. 1145. 1146. 1149. 1161. 1162. 1167. 1173–1175. 1178. 1184–1189. 1191. 1192. 1198. 1202–1206. 1208. 1217–1222. 1226. 1233. 1242. 1244. 1254–1258. 1261. 1262. 1267. 1268. 1270. 1271. 1273. 1277. 1278. 1280. 1281. 1292. 1293. 1295–1298. 1301. 1304. 1305. 1308. 1309. 1311. 1312. 1318. 1321. 1322. 1326–1328. 1338. 1347. 1351. 1353–1359. 1361. 1362. 1366. 1369. 1370. 1375. 1381. 1383–1385. 1388. 1392–1394. 1399. 1403–1407. 1410. 1420. 1424–1429. 1433. 1450. 1456. 1457. 1461. 1462. 1467. 1469–1471. 1473. 1483–1485. 1487. 1489. 1491. 1493. 1495. 1498. 1499. 1504. 1508–1510. 1516. 1518. 1519. 1523. 1524. 1532–1534. 1538. 1550. 1554. 1563. 1571. 1574. 1578. 1579. 1582–1584. 1590–1596. 1598–1603. 1610. 1613. 1615. 1616. 1618. 1620. 1621. 1623. 1624. 1626. 1628–1630. 1632–1635. 1637. 1640–1643. 1645–1647. 1649–1658. 1660. 1661. 1665. 1672. 1674–1677. 1682. 1692. 1694–1697. 1699–1702. 1709. 1710. 1716–1720. 1723. 1725–1727. 1729–1731. 1737. 1743–1750. 1752. 1753. 1755A. 1756. 1757. 1759. 1761. 1770. 1772. 1173. 1775. 1777. 1778. 1780. 1784. 1788. 1790. 1791. 1794. 1804. 1806. 1811–1813. 1816. 1817. 1819. 1820. 1823–1825. 1827–1834. 1837. 1839. 1842–1844. 1847. 1851. 1853. 1854. 1858. 1861. 1863. 1865. 1867. 1869–1872. 1876–1881. 1883. 1884. 1889. 1894. 1904. 1907. 1909–1911. 1916. 1919. 1920. 1923–1925. 1931. 1933. 1936. 1937. 1942. 1943. 1945. 1947. 1949. 1952. 1953. 1957–1959. 1961. 1965.	
<i>Material:</i>	Bernstein	
<i>Herstellung:</i>	Geschnitten, geschliffen oder gedreht und poliert	
<i>Erhaltung:</i>	>350 Fragmente und Splitter	
<i>Masse:</i>	L max. 1.5 cm; B max. 1.1 cm; H max. 0.9 cm	
<i>Beschreibung:</i>	Sammelnummer für mehrere (633 Inventarnummern) nicht genauer bestimmbare Bernsteinfragmente aus dem Bereich des Oberkörpers	
<i>Bibliographie:</i>	Guggisberg u. a. 2014, 84–86	–

S11/41	Unbestimmte Fragmente	ohne Abbildung
<i>Vorausinv.:</i>	2013/78. 95. 118. 122–125. 133. 140. 142. 143. 151. 153. 156. 160. 352. 378. 392. 404. 405. 407. 408. 413. 415–418. 427. 435. 485. 486. 488. 489. 491. 499. 501. 534. 596. 599. 611. 618–621. 633. 635. 642. 645. 696. 835. 842. 849. 852. 853. 855. 858. 861. 871. 878. 1078. 1080. 1105. 1106. 1120. 1183. 1329. 1371. 1373. 1390. 1397. 1398. 1411–1415. 1419. 1439. 1455. 1460. 1505. 1506. 1517	
<i>Material:</i>	Bernstein	
<i>Herstellung:</i>	Geschnitten, geschliffen oder gedrillt und poliert	
<i>Erhaltung:</i>	>350 Fragmente und Splitter	
<i>Masse:</i>	L max. 1.5 cm; B max. 1.1 cm; H max. 0.5 cm	
<i>Beschreibung:</i>	Sammelnummer für mehrere (83 Inventarnummern) nicht genauer bestimmbare Bernsteinfragmente aus dem südlichen Bereich des Grabes	
<i>Bibliographie:</i>	Guggisberg u. a. 2014, 84–86	–

S11/42	Perle	Taf. 50
<i>Vorausinv.:</i>	2013/414	
<i>Material:</i>	Glas, weiss	
<i>Herstellung:</i>	Gedreht, geschliffen oder gedrillt und poliert	
<i>Erhaltung:</i>	3 Fragmente und Splitter	
<i>Masse:</i>	L 1.1 cm; B 1 cm; D 0.7 cm	
<i>Beschreibung:</i>	Glasfragmente einer opaken Perle. Die ursprüngliche Oberfläche ist wegerodiert	
<i>Bibliographie:</i>	Guggisberg u. a. 2014, 84–86	IFe2

S11/43	Perle	Taf. 50
<i>Vorausinv.:</i>	2013/632	
<i>Material:</i>	Glas, weiss	
<i>Herstellung:</i>	Gedreht, geschliffen oder gedrillt und poliert	
<i>Erhaltung:</i>	1 Fragment	
<i>Masse:</i>	L 0.7 cm; B 0.6 cm; D 0.5 cm	
<i>Beschreibung:</i>	Fragment einer opaken Perle. Die ursprüngliche Oberfläche ist wegerodiert	
<i>Bibliographie:</i>	Guggisberg u. a. 2014, 84–86	IFe2

Verfüllung Strada 11		
S11/44	Kettenfragmente	ohne Abbildung
<i>Vorausinv.:</i>	2013/264. 265. 294	
<i>Material:</i>	Bronze	
<i>Herstellung:</i>	Geschmiedet	
<i>Erhaltung:</i>	8 Fragmente	
<i>Masse:</i>	–	
<i>Beschreibung:</i>	3 Teile von doppelgliedrigen Ketten. Sie gehören vermutlich zu denjenigen von S11/6 und S11/16, wurden aber durch Bioturbation nach oben getragen	
<i>Bibliographie:</i>	Guggisberg u. a. 2014, 82–84	IFe2

S11/45	Ringlein	ohne Abbildung
<i>Vorausinv.:</i>	2013/287. 288. 293	
<i>Material:</i>	Bronze	
<i>Herstellung:</i>	Geschmiedet	
<i>Erhaltung:</i>	3 Fragmente	
<i>Masse:</i>	–	

<i>Beschreibung:</i>	3 Ringlein. Sie sind zu doppelgliedrigen Ketten zu rekonstruieren und gehören vermutlich zu den Ketten von S11/6 bzw. S11/16, wurden aber durch Bioturbation nach oben getragen	
<i>Bibliographie:</i>	Guggisberg u. a. 2014, 82–84	IFe2
S11/46	Applike	Taf. 50
<i>Vorausinv.:</i>	2013/205	
<i>Material:</i>	Bronze	
<i>Herstellung:</i>	Geschmiedet	
<i>Erhaltung:</i>	1 Fragment	
<i>Masse:</i>	H 0.6 cm; Dm 1.7 cm	
<i>Beschreibung:</i>	Buckelförmiges Bronzeblech mit 2 Befestigungslöchern an den Seiten	
<i>Bibliographie:</i>	Guggisberg u. a. 2014, 80–86	IFe2
S11/47	Unbestimmte Fragmente	ohne Abbildung
<i>Vorausinv.:</i>	2013/236. 336	
<i>Material:</i>	Bronze	
<i>Herstellung:</i>	Geschmiedet	
<i>Erhaltung:</i>	2 Fragmente und Splitter	
<i>Masse:</i>	Dm 0.5 cm	
<i>Beschreibung:</i>	2 nicht genauer bestimmbare Bronzefragmente. Es dürfte sich um Fragmente von Zierknöpfen oder Ringlein handeln, die durch Bioturbation nach oben getragen wurden	
<i>Bibliographie:</i>	Guggisberg u. a. 2014, 84	–
S11/48	Perle	ohne Abbildung
<i>Vorausinv.:</i>	2013/87	
<i>Material:</i>	Bernstein	
<i>Herstellung:</i>	Geschnitten, geschliffen oder gedreht und poliert. Öse durch Bohren oder mit heisser Metallnadel	
<i>Erhaltung:</i>	1 Fragment und Splitter	
<i>Masse:</i>	L 0.5 cm	
<i>Beschreibung:</i>	Nicht genauer bestimmbare Perle aus dem südlichen Bereich des Grabes, die vermutlich durch Bioturbation nach oben getragen wurde	
<i>Bibliographie:</i>	Guggisberg u. a. 2014, 84–86	IFe2
S11/49	Unbestimmte Fragmente	ohne Abbildung
<i>Vorausinv.:</i>	2013/117. 119. 262. 307. 337. 338	
<i>Material:</i>	Bernstein	
<i>Herstellung:</i>	Geschnitten, geschliffen oder gedreht und poliert	
<i>Erhaltung:</i>	5 Fragmente und Splitter	
<i>Masse:</i>	L max. 0.6 cm; B max. 0.3 cm	
<i>Beschreibung:</i>	Sammelnummer für mehrere (6 Inventarnummern) nicht genauer bestimmbare Bernsteinfragmente aus dem Bereich des Oberkörpers, die vermutlich durch Bioturbation nach oben getragen wurden	
<i>Bibliographie:</i>	Guggisberg u. a. 2014, 84–86	–
S11/50	Unbestimmte Fragmente	ohne Abbildung
<i>Vorausinv.:</i>	2013/86. 161. 165	
<i>Material:</i>	Bernstein	
<i>Herstellung:</i>	Geschnitten, geschliffen oder gedreht und poliert	
<i>Erhaltung:</i>	4 Fragmente und Splitter	
<i>Masse:</i>	L max. 0.7 cm	

<i>Beschreibung:</i>	4 nicht genauer bestimmbare Bernsteinfragmente aus dem südlichen Bereich, die vermutlich durch Bioturbation nach oben getragen wurden	
<i>Bibliographie:</i>	Guggisberg u. a. 2014, 84–86	–

Strada 12		Taf. 51–53	
Ungestört		Grabungsjahr 2013	
<i>Grabform:</i>	Monumentales Fossagrab	Rechteckig-ovale Grabgrube mit abgerundeten Ecken, Wände mit grossen gerundeten Steinen ausgekleidet	Grab 2.6 x 1.9 x 0.40 m
	Pflästerung	Auf einen Bereich in der Mitte des Grabes beschränkte Pflästerung mit mittelgrossen flachen Steinen (grenzt im Nordwesten an die Wandung)	Pflästerung 1.4 x 0.80–0.90 m
	NW-SO-Ausrichtung		
<i>Bestattungsritus:</i>	Körperbestattung	Vermutlich Rückenlage des Oberkörpers; Beinhocker (?)	NW-SO, Kopf im NW
<i>Anthropologie:</i>	Infans I	Schlechte Erhaltung der Knochen; einige Zähne (Bestimmung anhand Zahndurchbruch und Atlas)	4–6 Jahre ± 12 Monate
	Geschlecht unbestimmbar		
Guggisberg u. a. 2014, 86–89 Abb. 5. 6 Taf. 11, 2. 6			IFe2B

S12/1	Askos	Taf. 53
<i>Vorausinv.:</i>	2013/239. 659	
<i>Material:</i>	Feinkeramik, rötlich gelber Ton (7.5YR 7/6)	
<i>Herstellung:</i>	Handaufgebaut und <i>mat-painted</i> (dunkelbraune Bemalung)	
<i>Erhaltung:</i>	Aus Fragmenten zusammengesetzt	
<i>Masse:</i>	H 15.8 cm; Dm max. 15.6 cm; Dm Mündung 6 cm; Dm Boden 8 cm	
<i>Beschreibung:</i>	Geschlossenes Gefäss mit dezentriertem Ausguss mit ausbiegendem, abgerundetem Rand. Mündung beinahe horizontal. Tonnenförmiger, klar abgesetzter Hals und kugelig Körper. Schwach ausgeprägter Buckel auf dem Rücken. Bandhenkel von der Lippe zum hinteren Teil des Körpers, wo er verzapft ist. Standring	
<i>Bemalung</i>	Konkaves, ausgefülltes Viereck im Inneren der Mündung (Motiv 15 nach Ferranti u. a. 2004). Unterhalb der Lippe 2 horizontale Bänder. Körper mit Bemalung im <i>stile a frange</i> der spätgeometrischen Phase: 2 bis 3 horizontale Bänder mit daran hängenden vertikalen Streifengruppen. Je 3 Querstreifen am Henkelansatz und auf der Mitte des Henkels	
<i>Bibliographie:</i>	Guggisberg u. a. 2014, 89	IFe2B

S12/2	Schlangenfibel	Taf. 53
<i>Vorausinv.:</i>	2013/400	
<i>Material:</i>	Bronze	
<i>Herstellung:</i>	Gegossen und gehämmert	
<i>Erhaltung:</i>	2 Fragmente	
<i>Masse:</i>	L 10.1 cm; B 6.3 cm	
<i>Beschreibung:</i>	Unverzierte Fibel mit rundem Querschnitt am Bügel und bandförmigem Querschnitt an Öse und Feder. Typ 347 nach Lo Schiavo 2010	
<i>Bibliographie:</i>	Guggisberg u. a. 2014, 88	IFe1B–2B

S12/3	Schlangenfibel	Taf. 53
<i>Vorausinv.:</i>	2013/578	
<i>Material:</i>	Bronze	
<i>Herstellung:</i>	Gegossen und gehämmert	
<i>Erhaltung:</i>	Ganz	
<i>Masse:</i>	L 8.4 cm; B 4.9 cm	

<i>Beschreibung:</i>	Unverzierte Fibel mit rundem Querschnitt am Bügel und bandförmigem Querschnitt an Öse und Feder. Typ 347 nach Lo Schiavo 2010	
<i>Bibliographie:</i>	Guggisberg u. a. 2014, 88	IFe1B–2B
S12/4	Ringanhänger	Taf. 53
<i>Vorausnu.:</i>	2013/670	
<i>Material:</i>	Bronze	
<i>Herstellung:</i>	Ringe gegossen	
<i>Erhaltung:</i>	Ganz	
<i>Masse:</i>	Dm 1 cm; Querschnitt 0.1–0.2 cm	
<i>Beschreibung:</i>	Anhänger mit einer Gruppe von 4 Ringen, die von einem weiteren Ring zusammengehalten wird. Ringe von rhomboidem bis rundlichem Querschnitt und annähernd gleicher Grösse	
<i>Bibliographie:</i>	Guggisberg u. a. 2014, 88	IFe2
S12/5	Doppelkonische Drahtperle	Taf. 53
<i>Vorausnu.:</i>	2013/412	
<i>Material:</i>	Bronze	
<i>Herstellung:</i>	Aus Bronzedraht gewickelt	
<i>Erhaltung:</i>	Ganz	
<i>Masse:</i>	L 1 cm; Dm max. 0.8 cm; Dm Draht 0.1 cm	
<i>Beschreibung:</i>	Spindelförmige Drahtperle mit 10 Windungen	
<i>Bibliographie:</i>	Guggisberg u. a. 2014, 88	IFe2
S12/6	Massiver Ring	Taf. 53
<i>Vorausnu.:</i>	2013/665	
<i>Material:</i>	Bronze	
<i>Herstellung:</i>	Massiv gegossen	
<i>Erhaltung:</i>	Ganz	
<i>Masse:</i>	Dm 2.4 cm; Querschnitt 0.6 cm	
<i>Beschreibung:</i>	Massiver Ring mit rundem Querschnitt	
<i>Bibliographie:</i>	Guggisberg u. a. 2014, 88	IFe2
S12/7	Ringlein	ohne Abbildung
<i>Vorausnu.:</i>	2013/411	
<i>Material:</i>	Bronze	
<i>Erhaltung:</i>	Verschollen	
<i>Bibliographie:</i>	Unpubl.	–
S12/8	Stift	ohne Abbildung
<i>Vorausnu.:</i>	2013/410	
<i>Material:</i>	Bronze	
<i>Erhaltung:</i>	Verschollen	
<i>Bibliographie:</i>	Unpubl.	–
S12/9	Unbestimmtes Fragment	ohne Abbildung
<i>Vorausnu.:</i>	2013/237	
<i>Material:</i>	Eisen	
<i>Herstellung:</i>	Geschmiedet	
<i>Erhaltung:</i>	3 Fragmente	
<i>Masse:</i>	L 1.7 cm; B 0.7 cm	

<i>Beschreibung:</i>	Eisenfragmente von unbestimmter Form	
<i>Bibliographie:</i>	Unpubl.	–
S12/10	Rautenförmiger Stein	Taf. 53
<i>Vorausnu.:</i>	2013/388	
<i>Material:</i>	Stein	
<i>Herstellung:</i>	Abgeschliffene Kanten	
<i>Erhaltung:</i>	Ganz	
<i>Masse:</i>	L 3 cm; B 1.5 cm	
<i>Beschreibung:</i>	Spielstein?	
<i>Bibliographie:</i>	Unpubl.	–

Strada 13		Taf. 54, 55	
Ungestört; evtl. von Strada 14 überlagert		Grabungsjahr 2014	
<i>Grabform:</i>	Monumentales Fossagrab	Schmale ovale Grabgrube, die südliche und westliche Seite sind nur schwer erkennbar	Grab 3.6 x 1.8 x 0.4–0.5 m
	Teilweise Pflasterung	Die Ausdehnung des Bodens ist nicht klar fassbar und hat keine einheitliche Pflasterung	Boden ca. 2.8 x 0.80–1 m
	SW-NO-Ausrichtung		
<i>Bestattungsritus:</i>	Körperbestattung	Hockerbestattung auf der linken Seite	SW-NO, Kopf im SW
<i>Anthropologie:</i>	Adult	Vereinzelte Langknochenfragmente sowie <i>Cranium</i> inkl. <i>Mandibula</i> . 22 Zähne mit moderatem Abrasionsgrad	25–35 Jahre
	Tendenziell weiblich (Schädelmerkmale)		
Guggisberg u. a. 2015a, 97–99 Abb. 2 Taf. 17, 1			IFe2B

S13/1	Gefäß (Kanne?)	Taf. 55
<i>Vorausnu.:</i>	2014/165. 267. 330. 504. 573. 710. 711. 720. 821–823. 853. 872. 890. 1028. 1045. 1069. 1091. 1106	
<i>Material:</i>	Feinkeramik, gelb orange (7.5YR 8/8)	
<i>Herstellung:</i>	Kombinierte Technik (Handaufbau und langsame Drehscheibe) und <i>matt-painted</i>	
<i>Erhaltung:</i>	Mehrere Passscherben	
<i>Masse:</i>	B (Bandhenkel) 3.8 cm; Dm (Rand) ca. 9 cm; Dm (Standboden) ca. 12 cm	
<i>Beschreibung:</i>	Mehrere Scherben, die demselben Gefäßindividuum (vermutlich einer Kanne) zugeordnet werden können. Das Gefäß hatte einen ausbiegenden, runden Rand sowie einen Standboden. Ein vertikaler Bandhenkel kann ebenfalls dem Gefäß zugeordnet werden	
<i>Bemalung:</i>	Am Hals ist an einigen Stellen ein aufgemaltes schwarzes Band erkennbar	
<i>Bibliographie:</i>	Guggisberg u. a. 2015a, 97 f.	IFe2

S13/2	Tasse	Taf. 55
<i>Vorausnu.:</i>	2014/1701	
<i>Material:</i>	Feinkeramik, rötlich gelb (5YR 7/6)	
<i>Herstellung:</i>	Handaufgebaut	
<i>Erhaltung:</i>	Aus Fragmenten zusammengesetzt (nur eine Hälfte)	
<i>Masse:</i>	H (ohne Henkel) 6.1 cm; Dm (Rand) 4.8 cm	
<i>Beschreibung:</i>	Tasse mit nach aussen geknicktem Rand, kugeligem Bauch und Standboden. Ein vertikaler Bandhenkel konnte nicht angesetzt werden, da diese Hälfte nicht rekonstruiert werden konnte	
<i>Bemalung:</i>	Keine Bemalungsspuren erkennbar	
<i>Bibliographie:</i>	Guggisberg u. a. 2015a, 97 f.	IFe2B

S13/3	Doppelkonische Drahtperle	Taf. 55
<i>Vorausnu.:</i>	2014/1300	
<i>Material:</i>	Bronze	
<i>Herstellung:</i>	Geschmiedet	
<i>Erhaltung:</i>	2 Fragmente und Splitter	
<i>Masse:</i>	L 0.8 cm; Dm max. 0.7 cm	
<i>Beschreibung:</i>	Fragmente einer doppelkonischen Drahtperle mit flachem Querschnitt	
<i>Bibliographie:</i>	Guggisberg u. a. 2015a, 97 f.	IFe2

S13/4	Drahtperle	Taf. 55
<i>Vorausnu.:</i>	2014/1286	
<i>Material:</i>	Bronze	
<i>Herstellung:</i>	Geschmiedet	
<i>Erhaltung:</i>	2 Fragmente	
<i>Masse:</i>	Dm max. 0.6 cm	
<i>Beschreibung:</i>	Fragmente einer Drahtperle mit flachem Querschnitt, vermutlich war die ursprüngliche Form doppelkonisch	
<i>Bibliographie:</i>	Guggisberg u. a. 2015a, 97 f.	IFe2

S13/5	Drahtperle	Taf. 55
<i>Vorausnu.:</i>	2014/1508	
<i>Material:</i>	Bronze	
<i>Herstellung:</i>	Geschmiedet	
<i>Erhaltung:</i>	Ganz	
<i>Masse:</i>	L 0.8 cm; Dm 0.8 cm	
<i>Beschreibung:</i>	Fragment einer Drahtperle mit flachem Querschnitt, doppelkonische Form	
<i>Bibliographie:</i>	Guggisberg u. a. 2015a, 97 f.	IFe2

S13/6	Doppelgliedrige Kette	Taf. 55
<i>Vorausnu.:</i>	2014/1263	
<i>Material:</i>	Bronze	
<i>Herstellung:</i>	Geschmiedet	
<i>Erhaltung:</i>	1 Fragment	
<i>Masse:</i>	L 1.4 cm; Dm (Glieder) 0.5 cm	
<i>Beschreibung:</i>	Doppelgliedrige Kettenfragmente mit mindestens je 5 Gliedern	
<i>Bibliographie:</i>	Guggisberg u. a. 2015a, 97 f.	IFe2

S13/7	Zylindrisches Glied	Taf. 55
<i>Vorausnu.:</i>	2014/1298	
<i>Material:</i>	Bronze	
<i>Herstellung:</i>	Geschmiedet	
<i>Erhaltung:</i>	2 Fragmente	
<i>Masse:</i>	L 1.1 cm; Dm 0.6 cm	
<i>Beschreibung:</i>	Zylindrisches Glied, vermutlich Teil einer Kette	
<i>Bibliographie:</i>	Guggisberg u. a. 2015a, 97 f.	IFe2

S13/8	Zylindrisches Glied	Taf. 55
<i>Vorausnu.:</i>	2014/1556	
<i>Material:</i>	Bronze	
<i>Herstellung:</i>	Geschmiedet	

<i>Erhaltung:</i>	2 Fragmente	
<i>Masse:</i>	L 1 cm; Dm 0.6 cm	
<i>Beschreibung:</i>	Zylindrisches Glied, vermutlich Teil einer Kette	
<i>Bibliographie:</i>	Guggisberg u. a. 2015a, 97 f.	IFe2

S13/9	Schlangenfibel	Taf. 55
<i>Vorausinv.:</i>	2014/1214. 1252. 1551	
<i>Material:</i>	Eisen	
<i>Herstellung:</i>	Geschmiedet	
<i>Erhaltung:</i>	4 Fragmente	
<i>Masse:</i>	L max. 3.2 cm; Dm 0.45 cm	
<i>Beschreibung:</i>	Fragmente einer Schlangenfibel. Erhalten sind die Feder (oder evtl. Öse) sowie Teile der Nadel	
<i>Bibliographie:</i>	Guggisberg u. a. 2015a, 97 f.	IFe2

S13/10	Zylindrisches Glied	Taf. 55
<i>Vorausinv.:</i>	2014/1253	
<i>Material:</i>	Eisen	
<i>Herstellung:</i>	Geschmiedet	
<i>Erhaltung:</i>	1 Fragment	
<i>Masse:</i>	L 1.3 cm; Dm 1 cm; D 0.2 cm	
<i>Beschreibung:</i>	Zylindrisches Glied, evtl. Teil einer Kette	
<i>Bibliographie:</i>	Guggisberg u. a. 2015a, 97 f.	IFe2

S13/11	Zylindrisches Glied	Taf. 55
<i>Vorausinv.:</i>	2014/1536	
<i>Material:</i>	Eisen	
<i>Herstellung:</i>	Geschmiedet	
<i>Erhaltung:</i>	1 Fragment	
<i>Masse:</i>	L 1.4 cm; Dm 0.8 cm	
<i>Beschreibung:</i>	Zylindrisches Glied, evtl. Teil einer Kette	
<i>Bibliographie:</i>	Guggisberg u. a. 2015a, 97 f.	IFe2

S13/12	Scheibe	Taf. 55
<i>Vorausinv.:</i>	2014/1224. 1243. 1377	
<i>Material:</i>	Eisen	
<i>Herstellung:</i>	Geschmiedet	
<i>Erhaltung:</i>	7 Fragmente (zusammengesetzt)	
<i>Masse:</i>	Dm 10.8 cm; Dm (Loch) 3.5 cm; D 0.2 cm	
<i>Beschreibung:</i>	Scheibe mit spindelförmigem Querschnitt	
<i>Bibliographie:</i>	Guggisberg u. a. 2015a, 97 f.	IFe2

S13/13	Bleche	ohne Abbildung
<i>Vorausinv.:</i>	2014/1552. 1553	
<i>Material:</i>	Eisen	
<i>Herstellung:</i>	Geschmiedet	
<i>Erhaltung:</i>	2 Fragmente	
<i>Masse:</i>	L max. 0.9 cm; B max. 0.6 cm; D max. 0.3 cm	
<i>Beschreibung:</i>	Blechfragmente, evtl. Splitter der Scheibe S13/12	
<i>Bibliographie:</i>	Guggisberg u. a. 2015a, 97 f.	IFe2

S13/14	Unbestimmtes Fragment	ohne Abbildung
<i>Vorausinv.:</i>	2014/1278	
<i>Material:</i>	Bernstein	
<i>Herstellung:</i>	Geschnitten, geschliffen oder gedreht und poliert	
<i>Erhaltung:</i>	Splitter	
<i>Masse:</i>	–	
<i>Beschreibung:</i>	Zerfallenes Fragment	
<i>Bibliographie:</i>	Guggisberg u. a. 2015a, 97 f.	–

Verfüllung Strada 13		
S13/15	Rand-, Wand-, Boden- und Henkelfragmente	Taf. 55
<i>Vorausinv.:</i>	2014/17. 19. 23. 31. 33. 48. 49. 51. 54. 57. 63. 68. 71. 75. 76. 78. 94. 112. 163. 165. 267. 273. 294–296. 300. 305. 308. 318. 326–330. 350. 381. 502–504. 524. 565–567. 573. 578. 580. 708. 710. 711. 720. 745. 821–823. 872. 883. 913. 964. 1026. 1045–1047. 1069. 1088. 1104. 1106. 1109. 1126	
<i>Material:</i>	Feinkeramik, gelb-orange (7.5YR 8/8)	
<i>Herstellung:</i>	Handaufgebaut	
<i>Erhaltung:</i>	105 Fragmente und Splitter	
<i>Masse:</i>	L max. 8.7 cm; B max. 5.4 cm; D max. 1.3 cm	
<i>Beschreibung:</i>	Gefäßfragmente mit feiner Wandstärke. Im Grab Strada 13 befinden sie sich in der gesamten Verfüllung	
<i>Bibliographie:</i>	Unpubl.	–

S13/16	Rand-, Wand- und Bodenscherben	Taf. 55
<i>Vorausinv.:</i>	2014/47. 60. 77. 87. 105–108. 111. 162. 167. 270. 352. 569. 572. 712. 717. 722. 825. 830. 831. 847. 850. 851. 854. 860. 862. 864. 865. 870. 878–880. 885. 919. 922. 1012. 1025. 1027. 1062. 1063. 1084. 1090. 1121. 1129. 1130. 1138. 1157. 1158. 1162	
<i>Material:</i>	Feinkeramik, rötlich gelb (7.5YR 8/6)	
<i>Herstellung:</i>	Handaufgebaut	
<i>Erhaltung:</i>	76 Fragmente und Splitter	
<i>Masse:</i>	L max. 5.8 cm; B max. 3.7 cm; D max. 0.8 cm	
<i>Beschreibung:</i>	Gefäßfragmente mit feiner Wandstärke. Von S13/15 aufgrund der helleren Farbe unterschieden. Im Grab Strada 13 befinden sie sich in der gesamten Verfüllung	
<i>Bibliographie:</i>	Unpubl.	–

S13/17	Rand-, Wand- und Bodenscherben	Taf. 55
<i>Vorausinv.:</i>	2014/39. 41. 42. 45. 58. 59. 61. 91. 93. 278. 516. 735. 890. 891. 963. 1091. 1116. 1143. 1168. 1535	
<i>Material:</i>	Feinkeramik, beige (7.5YR 8/3)	
<i>Herstellung:</i>	Handaufgebaut	
<i>Erhaltung:</i>	61 Fragmente und Splitter	
<i>Masse:</i>	L max. 9.7 cm; B max. 7.8 cm; D max. 1.3 cm	
<i>Beschreibung:</i>	Gefäßfragmente mit mittlerer Wandstärke und ohne makroskopisch erkennbare Magerung	
<i>Bibliographie:</i>	Unpubl.	–

S13/18	Rand-, Wand- und Bodenscherben	ohne Abbildung
<i>Vorausinv.:</i>	2014/3. 15. 20. 46. 52. 718. 824. 1032	
<i>Material:</i>	Grobkeramik, rötlich gelb (5YR 6/8)	
<i>Herstellung:</i>	Handaufgebaut	
<i>Erhaltung:</i>	8 Fragmente und Splitter	
<i>Masse:</i>	L max. 7.8 cm; B max. 7 cm; D max. 2.8 cm	
<i>Beschreibung:</i>	Stark verwaschene Fragmente eines dickwandigen Gefäßes (Pithos?), die in den Verfüllungen der Gräber Strada 13 und Strada 14 (vgl. S14/25) gefunden wurden	
<i>Bibliographie:</i>	Unpubl.	–

S13/19	Unbestimmte Fragmente	ohne Abbildung
<i>Vorausnu.:</i>	2014/11. 22. 66. 69. 90. 149. 164. 169. 171. 265. 266. 268. 269. 271. 272. 274. 283. 284. 287. 297. 299. 301–304. 347. 349. 356. 357. 365. 374. 378. 380. 384. 388. 394. 501. 575. 586. 713–716. 719. 721. 742. 749. 826. 852. 1028. 1031. 1033. 1042. 1048. 1049. 1068. 1117. 1153. 1159. 1160. 1166. 1167. 1172. 1174. 1435. 1554	
<i>Material:</i>	Grobkeramik, rötlich gelb (5YR 7/6)	
<i>Herstellung:</i>	Handaufgebaut	
<i>Erhaltung:</i>	102 Fragmente und Splitter	
<i>Masse:</i>	L max. 3.9 cm; B max. 2.6 cm; D max. 1.2 cm	
<i>Beschreibung:</i>	Stark verwaschene, feine Kerne und Splitter, die in den Verfüllungen der Gräber Strada 13 und Strada 14 gefunden wurden (vgl. S14/25)	
<i>Bibliographie:</i>	Unpubl.	–

Strada 14		Taf. 56–59	
Ungestört, überlagert evtl. Strada 13		Grabungsjahr 2014	
<i>Grabform:</i>	Monumentales Fossagrab	Langovale Grabgrube, Wände mit gerundeten Steinen ausgekleidet	Grab 3.2 x 2 x 0.5 m
	Pflästerung	Dicht gesetzte kleine Steine auf dem gesamten Boden	Pflästerung 1.9 x 1 m
	NW-SO-Ausrichtung		
<i>Bestattungsritus:</i>	Körperbestattung	Beinhocker auf der rechten Seite	NW-SO, Kopf im NW
<i>Anthropologie:</i>	Matur	Sehr gute Skeletterhaltung. Geschlechtsbestimmung anhand <i>Cranium</i> und Becken; Altersbestimmung anhand des intravitalen Zahnverlusts, der Abrasion der verbleibenden Zähne sowie verschiedener Gelenke (u.a. <i>Acetabulum</i> und <i>Facies auricularis</i>)	40–60 Jahre
	Weiblich (Schädel- und Beckenmerkmale)		
Guggisberg u. a. 2015a, 99–101 Abb. 2 Taf. 17, 1–3. 5–7			IFe2B

S14/1	Kanne	Taf. 58
<i>Vorausnu.:</i>	2014/819	
<i>Material:</i>	Feinkeramik, rötlich gelb (7.5YR 8/6)	
<i>Herstellung:</i>	Handaufgebaut	
<i>Erhaltung:</i>	Aus Fragmenten zusammengesetzt	
<i>Masse:</i>	H 29.3 cm; Dm (Rand) 14.6 cm; Dm (Bauch) 20.4 cm; Dm (Boden) 9.2 cm; Dm (Henkel) 4 cm	
<i>Beschreibung:</i>	Kanne mit ausbiegendem, rundem Rand. Am Übergang zwischen Rand und Hals sind feine Streichspuren erkennbar. Der Gefäßkörper ist eiförmig. Die Kanne hat einen Standboden. Ein vertikaler Rundhenkel setzt an der Mündung an und reicht bis zum maximalen Durchmesser hinunter	
<i>Bemalung:</i>	Es sind keine Bemalungsreste erkennbar	
<i>Bibliographie:</i>	Guggisberg u. a. 2015a, 100–101	IFe2B

S14/2	Tasse	Taf. 58
<i>Vorausnu.:</i>	2014/1528	
<i>Material:</i>	Feinkeramik, bräunlich gelb (10YR 6/6)	
<i>Herstellung:</i>	Handaufgebaut und <i>matt-painted</i> (dunkelbraune Bemalung)	
<i>Erhaltung:</i>	Aus Fragmenten zusammengesetzt	
<i>Masse:</i>	H (ohne Henkel) 6.7 cm; H (mit Henkel) 7.05 cm; B (Henkel) 1.7 cm; Dm (Rand) 4.8 cm; Dm (Bauch) 7.8 cm; Dm (Boden) 4.6 cm	
<i>Beschreibung:</i>	Tasse mit leicht ausbiegendem, rundem Rand. Der konische Hals geht fließend in einen kugelförmigen Gefäßkörper über. Die Tasse hat einen Standboden. Ein vertikaler Bandhenkel geht von der Gefäßmündung leicht nach oben (Schöpfgefäß?) und reicht dann bis zum maximalen Durchmesser hinunter	
<i>Bemalung:</i>	Sehr feine Bemalungsspuren auf Rand, Hals (vermutlich umlaufende konzentrische Linie) und Henkel	
<i>Bibliographie:</i>	Guggisberg u. a. 2015a, 100–101	IFe2B

S14/3	Henkelschale	Taf. 58
<i>Vorausinv.:</i>	2014/1400	
<i>Material:</i>	Feinkeramik, sehr helles Braun (10YR 8/4)	
<i>Herstellung:</i>	Handaufgebaut	
<i>Erhaltung:</i>	Aus Fragmenten zusammengesetzt	
<i>Masse:</i>	H (ohne Henkel) 3.6 cm; H (mit Henkel) 7.3 cm; Dm (Rand) 12.5 cm; Dm (Bauch) 20.4 cm; Dm (Boden) 5.2 cm; Dm (Henkel) 4 cm	
<i>Beschreibung:</i>	Schale mit gerundetem Rand und Standboden. Vom Hals führt ein vertikaler Bandhenkel über die Mündung hinaus und wieder an den Rand	
<i>Bemalung:</i>	Es sind keine Bemalungsreste erkennbar	
<i>Bibliographie:</i>	Guggisberg u. a. 2015a, 100–101	IFe2

S14/4	Schlangenfibel	Taf. 58
<i>Vorausinv.:</i>	2014/1500	
<i>Material:</i>	Bronze	
<i>Herstellung:</i>	Geschmiedet	
<i>Erhaltung:</i>	Ganz	
<i>Masse:</i>	L 7.8 cm; Dm 0.5 cm	
<i>Beschreibung:</i>	Unverzierte Fibel mit rundem Querschnitt an Bügel und Nadel, aber rechteckigem Querschnitt an Öse und Feder. Die Fibel wurde offen gefunden. Typ 347 nach Lo Schiavo 2010	
<i>Bibliographie:</i>	Guggisberg u. a. 2015a, 100–101	IFe1B–2B

S14/5	Schildfibel	Taf. 58
<i>Vorausinv.:</i>	2014/1000	
<i>Material:</i>	Bronze	
<i>Herstellung:</i>	Geschmiedet	
<i>Erhaltung:</i>	Ganz (mit antiker Reparatur)	
<i>Masse:</i>	L 8.6 cm; B 9.5 cm; H 1.7 cm; Dm (Nadel) 0.3 cm; Gewicht 69 g	
<i>Beschreibung:</i>	Fibel mit ovaler Scheibe und hervorgehobener Mittelrippe, die mit einem eingeritzten Fischgrätmuster verziert ist. Die Feder wurde in der Antike mit einem Niet repariert, d. h. wieder an der Scheibe befestigt. Der Fuss ist kurz, dreieckig und symmetrisch. Die Fibel wurde geschlossen gefunden. Typ 420 nach Lo Schiavo 2010	
<i>Bibliographie:</i>	Guggisberg u. a. 2015a, 100–101	IFe1B–2B

S14/6	Schildfibel	Taf. 58
<i>Vorausinv.:</i>	2014/1533	
<i>Material:</i>	Bronze	
<i>Herstellung:</i>	Geschmiedet	
<i>Erhaltung:</i>	Ganz	
<i>Masse:</i>	L 6.15 cm; B 6.5 cm; H 1 cm; Dm (Nadel) 0.2 cm; Gewicht 21 g	
<i>Beschreibung:</i>	Fibel mit ovaler Scheibe und hervorgehobener Mittelrippe, die mit einem eingeritzten Fischgrätmuster verziert ist. Der Fuss ist kurz, dreieckig und symmetrisch. Die Fibel wurde geschlossen gefunden. Typ 420 nach Lo Schiavo 2010	
<i>Bibliographie:</i>	Guggisberg u. a. 2015a, 100 f.	IFe1B–2B

S14/7	Fibel mit rechteckigem Aufsatz aus Bein	Taf. 59
<i>Vorausinv.:</i>	2014/1531	
<i>Material:</i>	Bronze, Bein	
<i>Herstellung:</i>	Geschmiedet	
<i>Erhaltung:</i>	1 Fragment	
<i>Masse:</i>	L 4.4 cm; B 0.5 cm; H 0.8 cm	

<i>Beschreibung:</i>	Auf dem bandförmigen Bügel ist mittig eine Befestigungszwecke angebracht. Diese diente vermutlich zur Befestigung einer quadratischen oder rhomboiden Platte aus Elfenbein oder Knochen, obwohl der Aufsatz nicht erhalten ist. Der kleine Fuss ist dreieckig. Die Fibel wurde offen gefunden. Typ 426 nach Lo Schiavo 2010	
<i>Bibliographie:</i>	Guggisberg u. a. 2015a, 100 f.	IFe2
S14/8	Fibel mit rechteckigem Aufsatz aus Bein/Horn	Taf. 59
<i>Vorausinv.:</i>	2014/1532	
<i>Material:</i>	Bronze, Eisen	
<i>Herstellung:</i>	Geschmiedet	
<i>Erhaltung:</i>	1 Fragment	
<i>Masse:</i>	L 4.2 cm; B 0.5 cm; H 1.1 cm	
<i>Beschreibung:</i>	Auf dem bandförmigen Bügel ist mittig eine Befestigungszwecke angebracht. Diese diente vermutlich zur Befestigung einer quadratischen oder rhomboiden Platte aus Elfenbein oder Knochen, obwohl der Aufsatz nicht erhalten ist. Der kleine Fuss ist dreieckig. Die Fibel wurde offen gefunden. Typ 426 nach Lo Schiavo 2010	
<i>Bibliographie:</i>	Guggisberg u. a. 2015a, 100 f.	IFe2
S14/9	<i>Disco composito</i>	Taf. 59
<i>Vorausinv.:</i>	2014/999	
<i>Material:</i>	Bronze	
<i>Herstellung:</i>	Geschmiedet	
<i>Erhaltung:</i>	Ganz	
<i>Masse:</i>	Dm 12 cm; Dm (Loch) 6 cm; D 0.4 cm; Gewicht 49 g	
<i>Beschreibung:</i>	Die Scheibe hat ein kleines Loch (Aufhänger?). Im Gegensatz zu S6/44 ist die Rückseite flach	
<i>Bibliographie:</i>	Guggisberg u. a. 2015a, 100 f.	IFe2
S14/10	Ringanhänger	Taf. 59
<i>Vorausinv.:</i>	2014/1156. 1529. 1561	
<i>Material:</i>	Bronze	
<i>Herstellung:</i>	Geschmiedet	
<i>Erhaltung:</i>	20 Fragmente und Splitter	
<i>Masse:</i>	Dm max. 1.1 cm	
<i>Beschreibung:</i>	Mindestens 7 Ringlein mit rautenförmigem Querschnitt. Sie sind zu einem Ringanhänger zu rekonstruieren	
<i>Bibliographie:</i>	Guggisberg u. a. 2015a, 100 f.	IFe2
S14/11	Doppelkonische Drahtperle	Taf. 59
<i>Vorausinv.:</i>	2014/1558	
<i>Material:</i>	Bronze	
<i>Herstellung:</i>	Geschmiedet	
<i>Erhaltung:</i>	4 Fragmente	
<i>Masse:</i>	L 0.8 cm; Dm 0.7 cm	
<i>Beschreibung:</i>	Doppelkonische Drahtperle mit flachem Querschnitt	
<i>Bibliographie:</i>	Guggisberg u. a. 2015a, 100 f.	IFe2
S14/12	Doppelkonische Drahtperle	Taf. 59
<i>Vorausinv.:</i>	2014/1581. 1583	
<i>Material:</i>	Bronze	
<i>Herstellung:</i>	Geschmiedet	
<i>Erhaltung:</i>	11 Fragmente und Splitter	
<i>Masse:</i>	L 0.5 cm; Dm 0.6 cm	

<i>Beschreibung:</i>	Fragmentierte doppelkonische Drahtperle mit flachem Querschnitt	
<i>Bibliographie:</i>	Guggisberg u. a. 2015a, 100 f.	IFe2
S14/13	Drahtperle	ohne Abbildung
<i>Vorausinv.:</i>	2014/1114. 1541	
<i>Material:</i>	Bronze	
<i>Herstellung:</i>	Geschmiedet	
<i>Erhaltung:</i>	15 Fragmente und Splitter	
<i>Masse:</i>	Dm max. 0.5 cm	
<i>Beschreibung:</i>	Stark fragmentierte Drahtperle mit flachem Querschnitt, Form vermutlich doppelkonisch	
<i>Bibliographie:</i>	Guggisberg u. a. 2015a, 100 f.	IFe2
S14/14	Ring	Taf. 59
<i>Vorausinv.:</i>	2014/1530	
<i>Material:</i>	Bronze	
<i>Herstellung:</i>	Geschmiedet	
<i>Erhaltung:</i>	Ganz	
<i>Masse:</i>	Dm 2.7 cm; Dm (Loch) 1.3 cm; D 0.8 cm	
<i>Beschreibung:</i>	Unregelmässiger Ring mit rautenförmigem Querschnitt. Typ N3c nach Kilian 1970	
<i>Bibliographie:</i>	Guggisberg u. a. 2015a, 100 f.	–
S14/15	Schleifenring	Taf. 59
<i>Vorausinv.:</i>	2014/1576	
<i>Material:</i>	Bronze	
<i>Herstellung:</i>	Geschmiedet	
<i>Erhaltung:</i>	Ganz	
<i>Masse:</i>	Dm 4.6 cm; H 1.5 cm; Dm (Draht) 0.2 cm	
<i>Beschreibung:</i>	3 Spiralsringe mit je 3 doppelten Windungen aus Draht, deren Enden innen zusammengedreht sind	
<i>Bibliographie:</i>	Guggisberg u. a. 2015a, 100 f.	IFe2
S14/16	Schleifenring	Taf. 59
<i>Vorausinv.:</i>	2014/1579	
<i>Material:</i>	Bronze	
<i>Herstellung:</i>	Geschmiedet	
<i>Erhaltung:</i>	Ganz	
<i>Masse:</i>	Dm 4.2 cm; H 1.2 cm; Dm (Draht) 0.2 cm	
<i>Beschreibung:</i>	2 Spiralsringe mit je 3 doppelten Windungen aus Draht, deren Enden innen zusammengedreht sind	
<i>Bibliographie:</i>	Guggisberg u. a. 2015a, 100 f.	IFe2
S14/17	Ringlein	ohne Abbildung
<i>Vorausinv.:</i>	2014/873. 1696	
<i>Material:</i>	Bronze	
<i>Herstellung:</i>	Geschmiedet	
<i>Erhaltung:</i>	3 Fragmente und Splitter	
<i>Masse:</i>	Dm max. 0.8 cm	
<i>Beschreibung:</i>	Stark fragmentierte Ringlein mit rundem Querschnitt	
<i>Bibliographie:</i>	Guggisberg u. a. 2015a, 100 f.	IFe2

S14/18	Ringaugenperle	Taf. 59
<i>Vorausinv.:</i>	2014/1559	
<i>Material:</i>	Glas, blau	
<i>Herstellung:</i>	Gewickelt	
<i>Erhaltung:</i>	1 Fragment	
<i>Masse:</i>	Dm 0.7 cm; H 0.45 cm	
<i>Beschreibung:</i>	Ringförmige Perle mit 3 Ringaugen	
<i>Verzierung:</i>	Weisse Einlage der Ringaugen teilweise erhalten	
<i>Bibliographie:</i>	Guggisberg u. a. 2015a, 100 f.	IFe2

S14/19	Ringaugenperle	Taf. 59
<i>Vorausinv.:</i>	2014/1562	
<i>Material:</i>	Glas, blau	
<i>Herstellung:</i>	Gewickelt	
<i>Erhaltung:</i>	1 Fragment	
<i>Masse:</i>	Dm 0.75 cm; H 0.55 cm	
<i>Beschreibung:</i>	Ringförmige Perle mit 3 Ringaugen	
<i>Bibliographie:</i>	Guggisberg u. a. 2015a, 100 f.	IFe2

S14/20	Ringaugenperle	Taf. 59
<i>Vorausinv.:</i>	2014/1584	
<i>Material:</i>	Glas, blau	
<i>Herstellung:</i>	Gewickelt	
<i>Erhaltung:</i>	4 Fragmente	
<i>Masse:</i>	L max. 0.55 cm; B max. 0.3 cm; H max. 0.5 cm	
<i>Beschreibung:</i>	Fragmentierte, ringförmige Perle mit Ringaugen	
<i>Bibliographie:</i>	Guggisberg u. a. 2015a, 100 f.	IFe2

Verfüllung Strada 14		
S14/21	Wandscherben	ohne Abbildung
<i>Vorausinv.:</i>	2014/36. 56. 73. 80. 95–97. 331. 546. 551	
<i>Material:</i>	Feinkeramik, gelb-orange (7.5YR 8/8)	
<i>Herstellung:</i>	Handaufgebaut	
<i>Erhaltung:</i>	22 Fragmente und Splitter	
<i>Masse:</i>	L max. 6.8 cm; B max. 3.2 cm; D max. 0.6 cm	
<i>Beschreibung:</i>	Gefässfragmente mit feiner Wandstärke. Im Grab Strada 13 in der gesamten Verfüllung, im Grab Strada 14 nur an der Oberfläche gefunden	
<i>Bibliographie:</i>	Unpubl.	–

S14/22	Wandscherben	ohne Abbildung
<i>Vorausinv.:</i>	2014/152. 556. 571. 806. 841	
<i>Material:</i>	Feinkeramik, rötlich gelb (7.5YR 8/6)	
<i>Herstellung:</i>	Handaufgebaut	
<i>Erhaltung:</i>	8 Fragmente	
<i>Masse:</i>	L max. 5 cm; B max. 2.5 cm; D max. 0.4 cm	
<i>Beschreibung:</i>	Gefässfragmente mit feiner Wandstärke. Von S14/21 aufgrund der helleren Farbe unterschieden. Im Grab Strada 13 in der gesamten Verfüllung, im Grab Strada 14 nur an der Oberfläche gefunden	
<i>Bibliographie:</i>	Unpubl.	–

S14/23	Leistengefäß	Taf. 59
<i>Vorausinv.:</i>	2014/311. 590. 592. 593. 596–599. 702–706. 709. 783–786. 789. 790. 792. 793. 797. 801. 833–838. 882. 888. 926. 1056. 1057. 1173	
<i>Material:</i>	Grobkeramik, rötlich gelb (5YR 6/6)	
<i>Herstellung:</i>	Handaufgebaut	
<i>Erhaltung:</i>	37 Fragmente	
<i>Masse:</i>	L max. 6 cm; B max. 4.5 cm; D max. 2.1 cm; Dm (Rand) ca. >12 cm; Dm (Boden) ca. 6 cm	
<i>Beschreibung:</i>	Fragmente eines Gefäßes mit grober Magerung und gerundetem, leicht einbiegendem Rand und Standboden. Der Hals ist mit einer plastischen Leiste verziert	
<i>Bibliographie:</i>	Unpubl.	–

S14/24	Wandscherben	ohne Abbildung
<i>Vorausinv.:</i>	2014/1. 4. 6. 9. 12. 13. 21. 29. 37. 44. 50. 53. 55. 62. 64. 70. 72. 74. 81. 82. 150. 160. 161. 314. 315. 399. 540. 542. 555	
<i>Material:</i>	Grobkeramik, rötlich gelb (5YR 6/8)	
<i>Herstellung:</i>	Handaufgebaut	
<i>Erhaltung:</i>	67 Fragmente	
<i>Masse:</i>	L max. 8.5 cm; B max. 6 cm; D max. 2.1 cm	
<i>Beschreibung:</i>	Stark verwaschene Fragmente eines dickwandigen Gefäßes (Pithos?), wie sie auch in der Verfüllung von Grab Strada 13 gefunden wurden (vgl. S13/18)	
<i>Bibliographie:</i>	Unpubl.	–

S14/25	Unbestimmte Fragmente	ohne Abbildung
<i>Vorausinv.:</i>	2014/2. 10. 14. 30. 65. 67. 79. 85. 151. 153–155. 261. 309. 310. 313. 319. 323. 325. 333. 337. 382. 387. 391. 393. 539. 544. 549. 550. 552. 553. 558. 707. 848	
<i>Material:</i>	Grobkeramik, rötlich gelb (5YR 7/6)	
<i>Herstellung:</i>	Handaufgebaut	
<i>Erhaltung:</i>	39 Fragmente und Splitter	
<i>Masse:</i>	L max. 3.1 cm; B max. 3 cm; D max. 1 cm	
<i>Beschreibung:</i>	Stark verwaschene, feine Kerne und Splitter, wie sie auch in der Verfüllung von Grab Strada 13 gefunden wurden (vgl. S13/19)	
<i>Bibliographie:</i>	Unpubl.	–

Strada 15		Taf. 60–62	
Ungestört		Grabungsjahr 2014	
<i>Grabform:</i>	Monumentales Fossagrab	Langovale Grabgrube, Wände mit grossen gerundeten Steinen ausgekleidet	Grab 3.30 x 1.90 x 0.45 m
	Pflasterung NW-SO-Ausrichtung	Pflasterung aus flachen gerundeten Kieseln erstreckt sich nur auf der südlichen Hälfte des Bodens	Boden 2.10 x 1.10 m
<i>Bestattungsritus:</i>	Körperbestattung	Rückenlage des Oberkörpers und vermutlich der Beine; Rechte Seitenlage des Schädels	NW-SO, Kopf im NW
<i>Anthropologie:</i>	Spätmatur	Erhalten sind der Schädel mit Teilen des Gebisses, die linke Seite des Beckens und mehrere Langknochenfragmente der oberen und unteren Extremitäten	54 ± 3,7 Jahre (TCA-Analyse)
	Männlich (Schädel- und Beckenmerkmale)		
Guggisberg u. a. 2015a, 99 Abb. 2; 101–103 Taf. 17, 1. 4; Colombi – Guggisberg 2016, 58			Ende IFe2A – Anfang IFe2B

S15/1	Kanne	Taf. 62
<i>Vorausinv.:</i>	2014/395	
<i>Material:</i>	Feinkeramik, gelb (10YR 7/6), Oberfläche rötlich braun (5YR 4/4)	

<i>Herstellung:</i>	Handaufgebaut, wohl <i>mat-painted</i>	
<i>Erhaltung:</i>	Aus Fragmenten zusammengesetzt	
<i>Masse:</i>	H 25.7 cm; Dm max. 23 cm; Dm Mündung 13.5 cm; Dm Boden 9.2 cm; Wandstärke 0.9 cm	
<i>Beschreibung:</i>	Weit nach aussen gebogener Rand; abgesetzter und leicht gewölbter Hals; kugelige Bauch; leicht abgesetzter Boden. Vertikal angesetzter Stabhenkel zwischen Bauch und Rand	
<i>Bemalung:</i>	Schwarze Bemalung: Dreiecke im Inneren der Mündung	
<i>Bibliographie:</i>	Guggisberg u. a. 2015a, 102 f.	IFe2A

S15/2	Tasse	Taf. 62
<i>Vorausinv.:</i>	2014/1555	
<i>Material:</i>	Feinkeramik, gelb (10YR 7/6), Oberfläche rötlich braun (5YR 5/4)	
<i>Herstellung:</i>	Handaufgebaut	
<i>Erhaltung:</i>	Aus Fragmenten zusammengesetzt	
<i>Masse:</i>	H 8.9 cm; H mit Henkel 9.0 cm; Dm max. 9.1 cm; Dm Mündung 6.3 cm; Dm Boden 4.5 cm; Wandstärke 0.4 cm	
<i>Beschreibung:</i>	Leicht nach aussen gebogener Rand; abgesetzter Hals mit wulstförmiger Wölbung; linsenförmiger Bauch; leicht abgesetzter Standring mit konkavem Zentrum. Vertikal angesetzter Bandhenkel zwischen Bauch und Rand	
<i>Bemalung:</i>	Keine Bemalungsspuren erkennbar	
<i>Bibliographie:</i>	Guggisberg u. a. 2015a, 102 f.	IFe2A

S15/3	Stift mit Bronzedrahtumwicklung	Taf. 62
<i>Vorausinv.:</i>	2014/1212	
<i>Material:</i>	Eisen, Bronze	
<i>Herstellung:</i>	Geschmiedet	
<i>Erhaltung:</i>	1 Fragment	
<i>Masse:</i>	L 1.5 cm; B 0.9 cm; H 0.5 cm	
<i>Beschreibung:</i>	Stiftfragment mit Öse, stark korrodiert, teilweise mit Bronzedraht umwickelt. Vermutlich Fragment einer Fibel	
<i>Bibliographie:</i>	Guggisberg u. a. 2015a, 102	IFe2

S15/4	Klinge	Taf. 62
<i>Vorausinv.:</i>	2014/1211	
<i>Material:</i>	Eisen	
<i>Herstellung:</i>	Geschmiedet	
<i>Erhaltung:</i>	1 Fragment	
<i>Masse:</i>	L 5.9 cm; B 1.8 cm; D 0.35 cm	
<i>Beschreibung:</i>	Längliches Blechfragment mit rhomboidem Querschnitt, wohl Teil einer Messerklinge	
<i>Bibliographie:</i>	Guggisberg u. a. 2015a, 102	IFe2

Verfüllung Strada 15		
S15/5	Randscherbe (Tasse?)	Taf. 62
<i>Vorausinv.:</i>	2014/522	
<i>Material:</i>	Feinkeramik, beige	
<i>Herstellung:</i>	Wohl handaufgebaut	
<i>Erhaltung:</i>	1 Randfragment	
<i>Masse:</i>	L 2.5 cm; B 2.3 cm; Wandstärke 0.7 cm	
<i>Beschreibung:</i>	Verwaschenes Randfragment. Erkennbar sind die nach aussen gebogene Lippe und der Übergang zur Schulter, die eine Zuschreibung zu einer Tasse möglich machen. Kam im nördlichen Teil der Verfüllung zu Tage, ca. 15 cm oberhalb des Schädels	
<i>Bemalung:</i>	Keine Verzierung erkennbar	
<i>Bibliographie:</i>	Unpubl.	IFe2

S15/6	Verwaschene Wandscherben	Taf. 62
<i>Vorausnu.:</i>	2014/511. 536. 929	
<i>Material:</i>	Feinkeramik, beige-orange	
<i>Herstellung:</i>	Handaufgebaut	
<i>Erhaltung:</i>	4 Wandscherben	
<i>Masse:</i>	L max. 1.5 cm; B max. 0.8 cm; Wandstärke 0.2–0.5 cm	
<i>Beschreibung:</i>	Stark verwaschene Scherben aus Feinkeramik, die sich im südlichen Teil der Verfüllung zusammen mit den Fragmenten S15/8–11 befanden	
<i>Verzierung:</i>	Keine Verzierung erkennbar	
<i>Bibliographie:</i>	Unpubl.	–

S15/7	Verwaschene unbestimmte Fragmente und Kerne	ohne Abbildung
<i>Vorausnu.:</i>	2014/99. 173. 175. 187. 188. 201. 206. 213. 733. 734. 737. 739. 741. 746. 757. 763. 765–767. 771. 782	
<i>Material:</i>	Feinkeramik, beige-orange bis orangerot	
<i>Herstellung:</i>	Handaufgebaut	
<i>Erhaltung:</i>	2 Wandscherben; 1 Randscherbe; 19 unbestimmte Fragmente	
<i>Masse:</i>	L max. 2.2 cm; B max. 1.1 cm; Wandstärke max. 0.9 cm	
<i>Beschreibung:</i>	Stark verwaschene Scherben und Kerne aus Feinkeramik, die in den oberen Schichten der Grabverfüllung mit S15/12. 13 gefunden wurden	
<i>Verzierung:</i>	Keine Verzierung erkennbar	
<i>Bibliographie:</i>	Unpubl.	–

S15/8	Schale	Taf. 62
<i>Vorausnu.:</i>	2014/968. 1001. 1005	
<i>Material:</i>	Grobkeramik, rötlich braun (5YR 4/4); Oberfläche sehr dunkelgrau an der Innenseite (5YR 3/1), braun an der Aussenseite (7.5YR 4/2)	
<i>Herstellung:</i>	Handaufgebaut, Oberfläche geglättet	
<i>Erhaltung:</i>	2 Randfragmente, zusammengesetzt	
<i>Masse:</i>	L max. 8 cm; B 2.4 cm; Wandstärke 1.0 cm	
<i>Beschreibung:</i>	Nach innen gebogener Rand. Körper nicht erhalten. Die Scherben lagen am östlichen Rand des Grabes in der Verfüllung, ca. 20 cm oberhalb der Grablege. Die Form entspricht Typ f4 nach Colelli – Jacobsen 2013	
<i>Verzierung:</i>	Plastische, quer verlaufende Rillen im Randbereich. Die Verzierung entspricht Typ <i>chi</i> nach Colelli – Jacobsen 2013	
<i>Bibliographie:</i>	Unpubl.	IFe2

S15/9	Wandscherben (Olla?)	Taf. 62
<i>Vorausnu.:</i>	2014/577. 579. 813. 817. 820. 844. 871. 875–877. 923. 930. 942. 943. 946–952. 967. 970. 971. 974. 975. 980. 981. 986. 998. 1003. 1050. 1051. 1072–1074. 1076–1078	
<i>Material:</i>	Grobkeramik, gelblich dunkelbraun (10YR 4/4), Oberfläche rot (2.5YR 4/8)	
<i>Herstellung:</i>	Handaufgebaut, evtl. mit langsamer Töpferscheibe	
<i>Erhaltung:</i>	46 Wandscherben	
<i>Masse:</i>	L max. 11.7 cm; B max. 8 cm; Wandstärke 0.7–1.4 cm	
<i>Beschreibung:</i>	Mehrere Wandscherben, durch glatte Oberfläche und deutliche, horizontal verlaufende Rillen an der Innenseite charakterisiert. Gehören wohl zum selben grobkeramischen Gefäß. Die Scherben befanden sich in einem Bereich von ca. 60 x 65 x 10 cm im südöstlichen Bereich der Grabverfüllung, ca. 10 cm oberhalb der Grablege	
<i>Verzierung:</i>	Plastische vierkantige Knappe auf einer Wandscherbe. Die Verzierung entspricht Typ <i>kappa</i> nach Colelli – Jacobsen 2013	
<i>Bibliographie:</i>	Guggisberg u. a. 2015a, 103	IFe2

S15/10	Wandscherben	Taf. 62
<i>Vorausnu.:</i>	2014/814. 816. 944. 945. 962. 976. 1002. 1055. 1115	
<i>Material:</i>	Grobkeramik, gelblich rot (5YR 4/6), Oberfläche dunkelgrau (5YR 4/1)	

<i>Herstellung:</i>	Handaufgebaut	
<i>Erhaltung:</i>	9 Wandscherben	
<i>Masse:</i>	L max. 6.9 cm; B max. 3.2 cm; Wandstärke 0.8–1.0 cm	
<i>Beschreibung:</i>	Wandscherben mit glatter Oberfläche, jedoch ohne Rillen an der Innenseite. Gehören wahrscheinlich zum selben grobkeramischen Gefäß. Die Scherben befanden sich in einem Bereich von ca. 35 x 15 x 15 cm im südöstlichen Teil der Grabverfüllung	
<i>Bibliographie:</i>	Guggisberg u. a. 2015a, 103	–

S15/11	Verwaschene Wandscherben und unbestimmte Fragmente	ohne Abbildung
<i>Vorausinv.:</i>	2014/506. 510. 561. 564. 581. 857. 858. 881. 884. 886. 889. 915. 917. 966. 977. 978. 982. 985. 993. 994. 1004. 1006. 1007. 1009. 1013. 1014. 1017. 1018. 1034–1039. 1043. 1052. 1053. 1059. 1075. 1083. 1085–1087. 1092. 1093. 1097. 1099. 1100. 1175	
<i>Material:</i>	Grobkeramik, beige bis orangerot und braun	
<i>Herstellung:</i>	Handaufgebaut	
<i>Erhaltung:</i>	10 Wandscherben; 40 unbestimmte Fragmente	
<i>Masse:</i>	L max. 3 cm; B max. 2.85 cm; Wandstärke 1 cm	
<i>Beschreibung:</i>	Stark verwaschene Scherben und Kerne aus Grobkeramik, die sich im südlichen Teil der Verfüllung zusammen mit den Fragmenten S15/6 und S15/8–10 befanden	
<i>Bibliographie:</i>	Guggisberg u. a. 2015a, 103	–

S15/12	Verwaschene unbestimmte Fragmente und Kerne	ohne Abbildung
<i>Vorausinv.:</i>	2014/100. 101. 121–125. 128. 129. 132–138. 140–144. 156. 166. 176. 180. 181. 190. 191. 193–196. 200. 206–209. 212. 214. 216. 218. 227. 229–233. 237. 240. 243. 244. 250. 253. 254. 260. 316. 317. 320–322. 324. 332. 336. 354. 360. 363. 367. 369–371. 373. 389. 729–732. 738. 740. 748. 750. 751. 760. 764. 768. 769. 772. 774. 779. 787. 812. 1113	
<i>Material:</i>	Grobkeramik, beige-orange bis orangerot und orangebraun	
<i>Herstellung:</i>	Handaufgebaut	
<i>Erhaltung:</i>	1 Wandscherbe; 1 Randscherbe; 144 unbestimmte Fragmente	
<i>Masse:</i>	L max. 2.7 cm; B max. 1.8 cm; Wandstärke max. 1.5 cm	
<i>Beschreibung:</i>	Stark verwaschene Scherben und Kerne aus Grobkeramik, die in den oberen Schichten der Grabverfüllung mit S15/7 und S15/13 gefunden wurden	
<i>Bibliographie:</i>	Unpubl.	–

S15/13	Verwaschene dickwandige Wandscherben und Kerne	ohne Abbildung
<i>Vorausinv.:</i>	2014/89. 92. 98. 104. 109. 110. 113. 115–118. 126. 127. 130. 131. 146. 174. 179. 182–186. 189. 192. 197–199. 205. 210. 211. 215. 219–221. 224. 228. 234. 242. 245. 247. 335. 338. 342–344. 368. 372. 392. 744. 747. 756. 1107	
<i>Material:</i>	Grobkeramik, hellbraun bis orangerot	
<i>Herstellung:</i>	Handaufgebaut	
<i>Erhaltung:</i>	89 Wandscherben; 4 Randscherben; 44 unbestimmte Fragmente	
<i>Masse:</i>	L max. 12.4 cm; B max. 10.9 cm; Wandstärke 1.2–2.8 cm	
<i>Beschreibung:</i>	Verwaschene Scherben und Kerne aus Grobkeramik, die durch eine höhere Wanddicke gekennzeichnet sind. Sie kamen, so wie S15/7 und S15/12, in den oberen Schichten der Grabverfüllung zum Vorschein	
<i>Bibliographie:</i>	Unpubl.	–

S15/14	Wandscherben	Taf. 62
<i>Vorausinv.:</i>	2014/241. 726. 928. 1061. 1080	
<i>Material:</i>	Grobkeramik, hellbraun bis orangerot	
<i>Herstellung:</i>	Handaufgebaut	
<i>Erhaltung:</i>	5 Wandscherben	
<i>Masse:</i>	L max. 3.5 cm; B max. 2.2 cm; Wandstärke 1 cm	

<i>Beschreibung:</i>	Nicht verwaschene Grobkeramikscherben aus der Grabverfüllung, nicht zum selben Gefäß gehörig	
<i>Bibliographie:</i>	Unpubl.	–

S15/15	Randscherbe mit Fingertupfenleiste	Taf. 62
<i>Vorausnu.:</i>	2014/246	
<i>Material:</i>	Grobkeramik, braun	
<i>Herstellung:</i>	Handaufgebaut	
<i>Erhaltung:</i>	3 Randscherben	
<i>Masse:</i>	L 8.0 cm; B 6.9 cm; Wandstärke 2.2 cm	
<i>Beschreibung:</i>	Nach aussen gebogener, verwaschener Rand, dickwandig. Körper nicht erhalten	
<i>Verzierung:</i>	3 Fingertupfen in einer Reihe unterhalb des Randes	
<i>Bibliographie:</i>	Unpubl.	–

Strada 16		Taf. 63–67	
Bestattung ungestört (?), südlicher Bereich eventuell gestört		Grabungsjahr 2014	
<i>Grabform:</i>	Monumentales Fossagrab	Langovale, nahezu rechteckige Struktur. Die Wände und der Rand der Grabgrube bestehen aus zwei Steinreihen.	Grab 4.30 x 2.90 x 0.50 m
	Pflasterung	Pflasterung aus flachen gerundeten Steinen im zentralen Bereich des Grabbodens	Boden 3.30 x 1.90–2.10 m; Pflasterung 2.60 x 1.20 m
	NW-SO-Ausrichtung		
<i>Bestattungsritus:</i>	Körperbestattung	Linke Seitenlage des Schädels; Lage des Körpers kann nicht rekonstruiert werden	NW-SO, Kopf im NW
<i>Anthropologie:</i>	Frühadult	Erhalten sind der Schädel und Teile des Gebisses sowie schlecht erhaltene Fragmente der Langknochen der oberen und unteren Extremitäten	20–30 Jahre
	Geschlecht unbestimmbar; archäologisch eher männlich		
Guggisberg u. a. 2015a, 103 f. Abb. 3 Taf. 18, 1; Colombi – Guggisberg 2016, 61 f.			Ende IFe2B

S16/1	Tasse	Taf. 66
<i>Vorausnu.:</i>	2014/781. 933. 938. 972. 1067. 1081. 1095. 1108. 1206. 1238. 1260. 1264. 1379. 1382. 1394. 1401. 1408. 1439. 1460. 1466. 1468. 1476. 1479. 1481. 1486. 1492. 1494. 1499. 1506. 1509. 1513. 1700	
<i>Material:</i>	Feinkeramik, grau (10YR 6/1)	
<i>Herstellung:</i>	Handaufgebaut, <i>matt-painted</i>	
<i>Erhaltung:</i>	Aus Fragmenten zusammengesetzt	
<i>Masse:</i>	H max. 6.6 cm; H mit Henkel 7.8 cm; Dm max. 8.3 cm; Dm Mündung (rekonstruiert) 4.4 cm; Dm Boden 4.1 cm	
<i>Beschreibung:</i>	Rand nach aussen gewölbt; konischer, leicht gewölbter Hals; kugelige Körper; flacher, recht dicker Boden. Ein vertikaler Bandhenkel zwischen Bauch und Rand. Grosse Teile von Körper, Hals und Rand konnten nicht zusammengesetzt werden. Eventuell nachträglich verbrannt	
<i>Bemalung:</i>	Spuren von schwarzer Bemalung: ein horizontaler Streifen am Übergang vom Bauch zum Hals, ein horizontaler Streifen am Hals, Spuren von vertikalen Bändern um den Henkelansatz	
<i>Bibliographie:</i>	Guggisberg u. a. 2015a, 104	IFe2A

S16/2	Skyphos	Taf. 66
<i>Vorausnu.:</i>	2014/1703	
<i>Material:</i>	Feinkeramik, gelb (10YR 8/6), Oberfläche dunkelbraun (10YR 3/3)	
<i>Herstellung:</i>	Scheibengedreht und bemalt, sog. oino-trisch-euböische Produktion	
<i>Erhaltung:</i>	Aus Fragmenten zusammengesetzt	
<i>Masse:</i>	H 9.4 cm; Dm max. 16.1 cm; Dm Mündung 13.7 cm; Dm Boden 6.6 cm	

<i>Beschreibung:</i>	Rand sehr leicht nach aussen gebogen; gerundete Schulter; tronkotonischer Unterkörper; Boden leicht abgesetzt und leicht konkav. 2 horizontal angesetzte, schräge Stabhenkel auf der Schulter	
<i>Bemalung:</i>	Grau-schwarze Bemalungsspuren: 3 horizontale Streifen auf dem Hals; horizontaler Streifen auf den Henkeln. Auf dem Unterkörper sind eventuell horizontale Bänder erkennbar. Innenseite vollständig gefirnisst bis auf einen ausgeparten Streifen unterhalb der Mündung	
<i>Bibliographie:</i>	Guggisberg u. a. 2015a, 104; Colombi – Guggisberg 2016, 62	IFe2B2

S16/3	Ringe	Taf. 66
<i>Vorausinv.:</i>	2014/509. 1112. 1131. 1251	
<i>Material:</i>	Bronze	
<i>Herstellung:</i>	Geschmiedet	
<i>Erhaltung:</i>	8 Fragmente	
<i>Masse:</i>	L max. 2.3 cm	
<i>Beschreibung:</i>	Fragmente von 4 Bronzeringen, gefunden im südlichen Bereich der Bestattung. 1 Fragment mit bandförmigem Querschnitt, die anderen aus rundem Draht. Zuschreibung zu einem Objekt nicht möglich	
<i>Bibliographie:</i>	Unpubl.	IFe2

S16/4	Stifte	Taf. 66
<i>Vorausinv.:</i>	2014/541. 788	
<i>Material:</i>	Bronze	
<i>Herstellung:</i>	Geschmiedet	
<i>Erhaltung:</i>	2 Fragmente	
<i>Masse:</i>	L max. 0.7 cm; Dm max. 0.2 cm	
<i>Beschreibung:</i>	Fragmente von dünnen Bronzestiften, gefunden im südlichen Bereich der Bestattung	
<i>Bibliographie:</i>	Unpubl.	IFe2

S16/5	Verkleidung aus Bronzeblech	Taf. 66
<i>Vorausinv.:</i>	2014/148. 157. 178. 202. 236. 307. 505. 568. 574. 582. 755. 1110. 1245. 1324. 1473	
<i>Material:</i>	Bronze	
<i>Herstellung:</i>	Geschmiedet	
<i>Erhaltung:</i>	32 Fragmente und zahlreiche Splitter	
<i>Masse:</i>	L max. 3.5 cm; H Blechband 1.6 cm; D Blech 0.1 cm; Dm Schaft ca. 1.8 cm	
<i>Beschreibung:</i>	Mehrere Fragmente einer Spirale aus dünnem gewölbtem Bronzeblech, die wohl einen Holzschaff verkleidet haben. Entlang der Ränder einiger Fragmente ist eine Reihe von kleinen Löchern zu erkennen, die zur Befestigung der Bleche gedient haben	
<i>Bibliographie:</i>	Guggisberg u. a. 2015a, 103	IFe2

S16/6	Unbestimmte Fragmente	ohne Abbildung
<i>Vorausinv.:</i>	2014/158. 538. 979. 1222. 1232. 1265. 1282. 1319. 1437	
<i>Material:</i>	Bronze	
<i>Herstellung:</i>	Geschmiedet	
<i>Erhaltung:</i>	11 Fragmente und Splitter	
<i>Masse:</i>	L max. 0.9 cm	
<i>Beschreibung:</i>	Verschiedene unbestimmte Fragmente (evtl. Draht, Stift, Blech), die sich zu keinem Objekt rekonstruieren lassen	
<i>Bibliographie:</i>	Unpubl.	–

S16/7	Fibel mit Bronzedrahtumwicklung	Taf. 66
<i>Vorausinv.:</i>	2014/859. 898	
<i>Material:</i>	Eisen, Bronze	
<i>Herstellung:</i>	Geschmiedet	
<i>Erhaltung:</i>	2 Fragmente	

<i>Masse:</i>	L max. 1.9 cm	
<i>Beschreibung:</i>	Stift und Fibelfeder mit Bronzedrahtumwicklung, evtl. Teil einer Schlangenfibel. Genauere typologische Einordnung nicht möglich. Befanden sich im südlichen Teil der Bestattung	
<i>Verzierung:</i>	Bronzedrahtumwicklung	
<i>Bibliographie:</i>	Unpubl.	Ife2

S16/8	Ring	Taf. 66
<i>Vorausnu.:</i>	2014/1368	
<i>Material:</i>	Eisen	
<i>Herstellung:</i>	Geschmiedet	
<i>Erhaltung:</i>	2 Fragmente	
<i>Masse:</i>	L max. 1.6 cm; B max. 0.5 cm	
<i>Beschreibung:</i>	2 Ringfragmente mit rautenförmigem Querschnitt	
<i>Bibliographie:</i>	Unpubl.	Ife2

S16/9	Messer	Taf. 67
<i>Vorausnu.:</i>	2014/995A. 1409	
<i>Material:</i>	Eisen	
<i>Herstellung:</i>	Geschmiedet	
<i>Erhaltung:</i>	Aus Fragmenten zusammengesetzt	
<i>Masse:</i>	L 22.0 cm; B max. 2.5 cm; H max. 0.8 cm	
<i>Beschreibung:</i>	Grosse Klinge mit dreieckigem Querschnitt. Erkennbar ist eine stark korrodierte Schicht aus dünnerem Blech, die evtl. eine Scheide gebildet hat. Befand sich zur linken Seite des Schädels	
<i>Bibliographie:</i>	Guggisberg u. a. 2015a, 103	Ife2

S16/10	Klinge	Taf. 67
<i>Vorausnu.:</i>	2014/995B	
<i>Material:</i>	Eisen	
<i>Herstellung:</i>	Geschmiedet	
<i>Erhaltung:</i>	20 Fragmente und Splitter	
<i>Masse:</i>	L max. 4.8 cm; B max. 2.8 cm; H max. 0.9 cm	
<i>Beschreibung:</i>	Eisenblechfragmente, darunter der Teil einer Spitze, bildeten ein Objekt von mindestens 20 cm Länge. Keine Reste von Mittelrippe oder von weiteren Elementen, die eine Interpretation als Lanzenspitze erlauben können. Befand sich zur linken Seite des Schädels	
<i>Bibliographie:</i>	Unpubl.	Ife2

S16/11	Stiftfragmente	Taf. 67
<i>Vorausnu.:</i>	2014/514. 802. 804. 1144. 1148. 1254. 1325. 1369. 1374	
<i>Material:</i>	Eisen	
<i>Herstellung:</i>	Geschmiedet	
<i>Erhaltung:</i>	14 Fragmente	
<i>Masse:</i>	L max. 2.9 cm; Dm 0.3–0.8 cm	
<i>Beschreibung:</i>	Fragmente von Eisenstiften kamen an unterschiedlichen Stellen der Bestattung zum Vorschein. Zuschreibung zu einem Objekt nicht möglich	
<i>Bibliographie:</i>	Unpubl.	Ife2

S16/12	Blechfragmente	Taf. 67
<i>Vorausnu.:</i>	2014/1193. 1195. 1242. 1255. 1292	
<i>Material:</i>	Eisen	
<i>Herstellung:</i>	Geschmiedet	

<i>Erhaltung:</i>	24 Fragmente	
<i>Masse:</i>	L max. 4.6 cm; B max. 4.3 cm; H max. 0.9 cm	
<i>Beschreibung:</i>	Fragmente von dickem und korrodiertem Blech, dessen Form nicht rekonstruiert werden kann. Lagen zur rechten Seite des Schädels	
<i>Bibliographie:</i>	Unpubl.	IFe2

S16/13	Blechfragmente	Taf. 67
<i>Vorausinv.:</i>	2014/276. 807. 1044. 1111. 1145. 1150. 1230. 1299	
<i>Material:</i>	Eisen	
<i>Herstellung:</i>	Geschmiedet	
<i>Erhaltung:</i>	12 Fragmente	
<i>Masse:</i>	L max. 3.3 cm; B max. 2.6 cm; D max. 0.6 cm	
<i>Beschreibung:</i>	Fragmente von dickeren Blechen, die im nördlichen Teil der Bestattung zum Vorschein kamen. Zuschreibung zu einem Objekt nicht möglich	
<i>Bibliographie:</i>	Unpubl.	IFe2

S16/14	Blechfragmente	ohne Abbildung
<i>Vorausinv.:</i>	2014/1133. 1151. 1196. 1217. 1281. 1303. 1314. 1321	
<i>Material:</i>	Eisen	
<i>Herstellung:</i>	Geschmiedet	
<i>Erhaltung:</i>	8 Fragmente	
<i>Masse:</i>	L max. 1.7 cm; B max. 1.0 cm; D Blech 0.1–0.3 cm	
<i>Beschreibung:</i>	Fragmente von dünnen Blechen, die im nördlichen Teil der Bestattung zum Vorschein kamen. Zuschreibung zu einem Objekt nicht möglich	
<i>Bibliographie:</i>	Unpubl.	IFe2

S16/15	Unbestimmte Fragmente	ohne Abbildung
<i>Vorausinv.:</i>	2014/892. 1259. 1305. 1312	
<i>Material:</i>	Eisen	
<i>Herstellung:</i>	Geschmiedet	
<i>Erhaltung:</i>	5 Fragmente	
<i>Masse:</i>	L max. 1.2 cm; B max. 0.6 cm	
<i>Beschreibung:</i>	Unbestimmbare Eisenfragmente, deren Zuschreibung zu einem Objekt nicht möglich ist	
<i>Bibliographie:</i>	Unpubl.	–

S16/16	Applike und unbestimmte Fragmente	Taf. 67
<i>Vorausinv.:</i>	2014/587. 887. 957–959. 997. 1008. 1015. 1024. 1040. 1127. 1141. 1181. 1197. 1198	
<i>Material:</i>	Bernstein, dunkelrot–schwarz	
<i>Herstellung:</i>	Geschnitten, geschliffen oder gedreht	
<i>Erhaltung:</i>	6 Fragmente und zahlreiche Splitter	
<i>Masse:</i>	L max. 4.5 cm; B max. 2.6 cm; H max. 0.8 cm	
<i>Beschreibung:</i>	Ovale, leicht abgeflachte Bernsteinapplike ohne Durchlochung sowie zahlreiche Splitter und unbestimmbare Fragmente aus dem Bereich des Schädels. Sehr schlechte Oberflächenerhaltung	
<i>Bibliographie:</i>	Guggisberg u. a. 2015a, 103	IFe2

S16/17	Unbestimmte Fragmente	ohne Abbildung
<i>Vorausinv.:</i>	2014/277. 280. 285. 288. 1058. 1124. 1125. 1152. 1216. 1237. 1274. 1335. 1336	
<i>Material:</i>	Bernstein, dunkelrot–schwarz	
<i>Herstellung:</i>	Geschnitten, geschliffen oder gedreht	
<i>Erhaltung:</i>	10 Fragmente und zahlreiche Splitter	

<i>Masse:</i>	L max. 0.7 cm; B max. 0.6 cm; H max. 0.5 cm	
<i>Beschreibung:</i>	Splitter und unbestimmbare Bernsteinfragmente aus dem Bereich des Oberkörpers des Verstorbenen. Sehr schlechte Erhaltung	
<i>Bibliographie:</i>	Guggisberg u. a. 2015a, 103	–

S16/18	Unbestimmte Fragmente	ohne Abbildung
<i>Vorausinv.:</i>	2014/736. 1118. 1456. 570	
<i>Material:</i>	Bernstein, dunkelrot–schwarz	
<i>Herstellung:</i>	Geschnitten, geschliffen oder gedrillt	
<i>Erhaltung:</i>	Splitter	
<i>Masse:</i>	–	
<i>Beschreibung:</i>	Splitter und unbestimmbare Bernsteinfragmente aus dem südlichen und östlichen Teil des Grabes. Sehr schlechte Erhaltung	
<i>Bibliographie:</i>	Guggisberg u. a. 2015a, 103	–

Verfüllung Strada 16		
S16/19	Wandscherben und unbestimmte Fragmente	ohne Abbildung
<i>Vorausinv.:</i>	2014/291. 377. 508. 520. 528. 846. 1019. 1066. 1396. 1446	
<i>Material:</i>	Feinkeramik, beige-rosa bis rosarotes Orange	
<i>Herstellung:</i>	Wohl handaufgebaut	
<i>Erhaltung:</i>	4 Wandscherben und 10 unbestimmte Fragmente	
<i>Masse:</i>	L max. 2.7 cm; B max. 1.7 cm; H max. 0.8 cm	
<i>Beschreibung:</i>	Verwaschene Feinkeramikfragmente aus der Verfüllung	
<i>Bibliographie:</i>	Unpubl.	–

S16/20	Randscherben eines grobkeramischen Gefässes	Taf. 67
<i>Vorausinv.:</i>	2014/1184. 1204. 1256. 1288. 1378. 1385. 1417. 1450	
<i>Material:</i>	Grobkeramik, rötlich gelb (5YR 6/6), Oberfläche rötlich braun (5YR 5/3)	
<i>Herstellung:</i>	Handaufgebaut	
<i>Erhaltung:</i>	10 Randscherben	
<i>Masse:</i>	L max. 5.2 cm; B max. 3.4 cm; H max. 2.1 cm	
<i>Beschreibung:</i>	Randscherben mit grossem gerundetem, ausladendem Rand, die zum selben Gefäss gehören. Die Fragmente lagen in den untersten Schichten der Verfüllung, im südlichen Teil des Grabes. Entspricht der <i>coppa</i> oder <i>scodella con orlo estroflesso</i> f9 Variante 2 von Colelli – Jacobsen 2013	
<i>Bibliographie:</i>	Unpubl.	IFe2

S16/21	Scherben und unbestimmte Fragmente	ohne Abbildung
<i>Vorausinv.:</i>	2014/204. 249. 258. 259. 286. 513. 521. 533–535. 576. 583. 585. 588. 591. 753. 758. 761. 775. 791. 795. 800. 805. 809–811. 845. 856. 874. 897. 903. 910. 916. 921. 925. 934–936. 939. 955. 956. 961. 984. 987. 988. 1022. 1089. 1094. 1098. 1139. 1142. 1179. 1188. 1190. 1192. 1209. 1219. 1220. 1223. 1229. 1236. 1239. 1249. 1250. 1261. 1266–1270. 1273. 1275. 1276. 1285. 1289. 1291. 1295. 1297. 1301. 1302. 1307. 1320. 1323. 1338. 1347. 1349. 1352. 1354. 1355. 1360. 1367. 1373. 1380. 1395. 1398. 1403. 1407. 1412–1414. 1416. 1420–1423. 1426. 1428. 1430. 1440. 1441. 1444. 1449. 1454. 1455. 1465. 1469. 1470. 1474. 1475. 1478. 1480. 1482. 1484. 1489. 1491. 1495. 1497. 1498. 1501. 1504. 1510–1512. 1514	
<i>Material:</i>	Grobkeramik, orangerot bis braun	
<i>Herstellung:</i>	Handaufgebaut	
<i>Erhaltung:</i>	3 Wandscherben, 1 Bodenscherbe, 1 Randscherbe, >100 unbestimmte Fragmente	
<i>Masse:</i>	L max. 6.4 cm; B max. 3.5 cm; H max. 2.7 cm	
<i>Beschreibung:</i>	Verwaschene Scherben und Kerne, die in den untersten Schichten der Verfüllung im südlichen Teil des Grabes zu Tage kamen	
<i>Bibliographie:</i>	Unpubl.	–

S16/22	Scherben und unbestimmte Fragmente	ohne Abbildung
<i>Vorausinv.:</i>	2014/24. 25. 32. 34. 38. 40. 43. 114. 120. 203. 262. 339–341. 345. 346. 348. 351. 353. 355. 358. 361. 362. 364. 375. 376. 379. 383. 385. 396. 397. 512. 517. 519	
<i>Material:</i>	Grobkeramik, orangerot	
<i>Herstellung:</i>	Handaufgebaut	
<i>Erhaltung:</i>	16 Wandscherben, 54 unbestimmte Fragmente	
<i>Masse:</i>	L max. 9.6 cm; B max. 6.0 cm; H max. 1.5 cm	
<i>Beschreibung:</i>	Verwuschene Scherben und Kerne, die in den oberen Schichten der Verfüllung im südlichen Teil des Grabes zu Tage kamen	
<i>Bibliographie:</i>	Unpubl.	–

Strada 17		Taf. 68–73	
Ungestört		Grabungsjahr 2015	
<i>Grabform:</i>	Monumentales Fossagrab	Langovale Struktur; die Wände der Grabgrube sind zum Teil mit gerundeten Steinen ausgekleidet	Grab 4.70 x 2.40 x 0.45 m
	Pflasterung	Pflasterung aus flachen gerundeten Flusskieseln erstreckt sich über den mittleren Bereich des Grabbodens	Grabboden 3.00 x 1.80 m; Pflasterung 2.40 x 1.00 m
	SW-NO-Ausrichtung		
<i>Bestattungsritus:</i>	Körperbestattung	Hockerstellung oder Beinhocker auf der rechten Körperseite	SW-NO, Kopf im SW
<i>Anthropologie:</i>	(Spät) matur–senil	Teile des Schädels und des Gebisses; Fragmente von <i>Clavicula</i> , Unterarm- oder Handknochen; <i>Femur</i> links und rechts, Schien- und Wadenbeine links und rechts, Fussknochen	59 ± 5,1 Jahre (TCA-Analyse)
	Geschlecht unbestimmbar; archäologisch männlich		
Guggisberg u. a. 2016, 54–58. 63 Abb. 3 Taf. 7, 1, 2			Ende IFe2B

S17/1	Olla	Taf. 70
<i>Vorausinv.:</i>	2015/138	
<i>Material:</i>	Feinkeramik, grau (5Y 5/1), Oberfläche rötlich gelb (7.5YR 6/6)	
<i>Herstellung:</i>	Gemischte Technik: <i>a cercine</i> handaufgebaut und mit der langsamen Töpferscheibe fertiggestellt. Bemalung wohl <i>matt-painted</i>	
<i>Erhaltung:</i>	Aus Fragmenten zusammengesetzt	
<i>Masse:</i>	H 28.9–29.8 cm; Dm Mündung 15.8 cm; Dm Fuss 13.2 cm	
<i>Beschreibung:</i>	Rand schräg nach aussen gerichtet, setzt sich an der Innenseite scharf vom Hals ab. Körper regelmässig kugelig, ohne klare Abgrenzung zwischen Hals, Schulter und Bauch. Tronkokonischer, hoher Fuss. 2 am Bauch horizontal angesetzte, schräge bis vertikale Stabhenkel mit rundem Querschnitt	
<i>Bemalung:</i>	Dunkelbraune Bemalungsspuren: langgezogene Dreiecke im Mündungsinnen; Spuren von 2 horizontalen Streifen im Bereich der Schulter	
<i>Bibliographie:</i>	Guggisberg u. a. 2016, 58	IFe2B2

S17/2	Kanne	Taf. 70
<i>Vorausinv.:</i>	2015/245	
<i>Material:</i>	Feinkeramik, hellbraun (10YR 7/4), Oberfläche braun (7.5YR 5/4) und an der Innenseite rötlich gelb (7.5YR 7/6)	
<i>Herstellung:</i>	Wahrscheinlich <i>a cercine</i> handaufgebaut und mit der langsamen Töpferscheibe fertiggestellt	
<i>Erhaltung:</i>	Aus Fragmenten zusammengesetzt	
<i>Masse:</i>	H 15.5–16.2 cm; Dm max. 16.5 cm; Dm Mündung 7.5 cm; Dm Boden 6 cm	
<i>Beschreibung:</i>	Rand verdickt und nach aussen gerichtet; runder, kugelig Körper ohne klare Unterscheidung zwischen Hals, Schulter und Bauch; flacher Boden. Vertikal angesetzter Bandhenkel zwischen Bauch und Rand. Antikes Loch von 0.6 cm Dm auf der Vorderseite des Bauches	
<i>Bemalung:</i>	Keine Verzierung erkennbar	
<i>Bibliographie:</i>	Guggisberg u. a. 2016, 58	IFe2B2

S17/3	Tasse	Taf. 70
<i>Vorausinv.:</i>	2015/443	
<i>Material:</i>	Feinkeramik, rötlich gelb (7.5YR 7/6)	
<i>Herstellung:</i>	Handaufgebaut	
<i>Erhaltung:</i>	Ganz	
<i>Masse:</i>	H 8.2 cm; Dm max. 7.9 cm; Dm Mündung 6.1 cm; Dm Boden 4.1 cm	
<i>Beschreibung:</i>	Leicht schräg nach aussen gerichteter Rand; kurzer Hals durch leichte Kante von der Schulter getrennt; kugelige Körper; flacher Boden. Vertikal angesetzter Bandhenkel zwischen Bauch und Rand	
<i>Bemalung:</i>	Keine Verzierung erkennbar	
<i>Bibliographie:</i>	Guggisberg u. a. 2016, 58	Ife2B2

S17/4	Bronzeschale (Blockbergung)	Taf. 70
<i>Vorausinv.:</i>	2015/250. 252–254. 265. 445	
<i>Material:</i>	Bronze	
<i>Herstellung:</i>	Geschmiedet	
<i>Erhaltung:</i>	Stark fragmentiert; die Schale wurde in einem Gipsblock geborgen	
<i>Masse:</i>	Dm <i>in situ</i> ca. 16.0 cm; Blech von <0.1 cm Stärke	
<i>Beschreibung:</i>	Wohl kalottenförmige Schale mit vertikalen Wänden und verdicktem Rand. Der Rand ist stark verformt und der Boden sehr fragmentiert	
<i>Verzierung:</i>	Keine Verzierung erkennbar	
<i>Bibliographie:</i>	Guggisberg u. a. 2016, 58	Ife2

S17/5	Ringanhänger	Taf. 71
<i>Vorausinv.:</i>	2015/441	
<i>Material:</i>	Bronze	
<i>Herstellung:</i>	Geschmiedet	
<i>Erhaltung:</i>	1 Fragment	
<i>Masse:</i>	Dm Ringe 1.4 cm; Dm Draht 0.2 cm	
<i>Beschreibung:</i>	Anhänger bestehend aus 2 Ringen, an denen 3 Ketten mit mehreren Ringen hängen. Alle Ringe weisen einen rautenförmigen Querschnitt auf. Befand sich im Beinbereich	
<i>Bibliographie:</i>	Guggisberg u. a. 2016, 55	Ife2

S17/6	Ringanhänger	Taf. 71
<i>Vorausinv.:</i>	2015/436	
<i>Material:</i>	Bronze	
<i>Herstellung:</i>	Geschmiedet	
<i>Erhaltung:</i>	24 Fragmente	
<i>Masse:</i>	L 6.2 cm; Dm Ringe 1.3 cm; Dm Draht 0.2 cm	
<i>Beschreibung:</i>	Anhänger bestehend aus 2 Ringen, an denen 3 Serien aus 2 bzw. 3 Doppelringen hängen. Dazu 23 Fragmente von weiteren Ringen. Alle Ringe weisen einen rautenförmigen Querschnitt auf. Befanden sich im Beinbereich	
<i>Bibliographie:</i>	Guggisberg u. a. 2016, 55	Ife2

S17/7	Doppelkonische Drahtperle	Taf. 71
<i>Vorausinv.:</i>	2015/411	
<i>Material:</i>	Bronze	
<i>Herstellung:</i>	Geschmiedet	
<i>Erhaltung:</i>	Ganz	
<i>Masse:</i>	L 1.2 cm; Dm 0.8 cm; Dm Draht 0.1 cm	
<i>Beschreibung:</i>	Doppelkonische Drahtperle mit flachem Querschnitt. Befand sich im Beinbereich	
<i>Bibliographie:</i>	Guggisberg u. a. 2016, 55	Ife2

S17/8	Doppelkonische Drahtperle	Taf. 71
<i>Vorausinv.:</i>	2015/437	
<i>Material:</i>	Bronze	
<i>Herstellung:</i>	Geschmiedet	
<i>Erhaltung:</i>	Ganz	
<i>Masse:</i>	L 1.3 cm; Dm 1.0 cm; Dm Draht 0.1 cm	
<i>Beschreibung:</i>	Doppelkonische Drahtperle mit flachem Querschnitt. Befand sich im Beinbereich	
<i>Bibliographie:</i>	Guggisberg u. a. 2016, 55	IFe2
S17/9	Massiver Ring	Taf. 71
<i>Vorausinv.:</i>	2015/293	
<i>Material:</i>	Bronze	
<i>Herstellung:</i>	Gegossen	
<i>Erhaltung:</i>	Ganz	
<i>Masse:</i>	Dm 7.3 cm; H 1.0 cm; Gewicht ca. 100 g	
<i>Beschreibung:</i>	Voll gegossener Bronzering mit rundem Querschnitt. Kam unterhalb des Schädels zutage	
<i>Bibliographie:</i>	Guggisberg u. a. 2016, 55 f.	IFe2
S17/10	Verkleidung eines Holzschaftes	Taf. 71
<i>Vorausinv.:</i>	2015/251. 278. 409. 444. 448. 466. 468. 495. 496	
<i>Material:</i>	Bronze, Holz	
<i>Herstellung:</i>	Geschmiedet	
<i>Erhaltung:</i>	55 Fragmente	
<i>Masse:</i>	L max. 4.2 cm; B max. 2.1 cm; B einzelne Bänder 0.3–0.4 cm; Dm 2.2 cm	
<i>Beschreibung:</i>	Verkleidung eines wohl runden Schaftes bestehend aus mehreren gewölbten Bronzebändern. In einem der Fragmente hat sich ein Holzrest erhalten. Die Fragmente lagen in einer Reihe zur linken Seite der Beine des Verstorbenen und könnten zur Verkleidung des Schaftes der Axt S17/18 gehört haben	
<i>Bibliographie:</i>	Guggisberg u. a. 2016, 57	IFe2
S17/11	Schlangenfibel mit Bronzedrahtumwicklung, mit doppelter Feder und doppeltem Nadelansatz	Taf. 71
<i>Vorausinv.:</i>	2015/247. 401	
<i>Material:</i>	Eisen, Bronze	
<i>Herstellung:</i>	Geschmiedet	
<i>Erhaltung:</i>	23 Fragmente	
<i>Masse:</i>	L max. 6.7 cm	
<i>Beschreibung:</i>	Schlangenfibel mit doppelter Feder und doppelter Nadel. Feder und Nadel sind mit Bronzedraht umwickelt und durch eine Reihe von Häkchen aus Bronzedraht verbunden, so dass eine durchbohrte Verzierung entsteht	
<i>Verzierung:</i>	Bronzedrahtverzierung: Umwicklung und wellenförmige Drähte	
<i>Bibliographie:</i>	Guggisberg u. a. 2016, 55	Zweite Hälfte 8. Jh. v. Chr.
S17/12	Schlangenfibel mit Bronzedrahtumwicklung	Taf. 71
<i>Vorausinv.:</i>	2015/407. 460. 462. 483. 493. 497	
<i>Material:</i>	Eisen, Bronze	
<i>Herstellung:</i>	Geschmiedet	
<i>Erhaltung:</i>	11 Fragmente	
<i>Masse:</i>	L max. 5.5 cm; Dm Stifte 0.4–0.8 cm	
<i>Beschreibung:</i>	Fragmente einer Fibel mit Bronzedrahtumwicklung, darunter Fuss und Feder. Genauere typologische Einordnung nicht möglich	

<i>Verzierung:</i>	Bronzedrahtumwicklung	
<i>Bibliographie:</i>	Guggisberg u. a. 2016, 55	IFe2
S17/13	Stifte	Taf. 71
<i>Vorausnu.:</i>	2015/244. 269. 291	
<i>Material:</i>	Eisen	
<i>Herstellung:</i>	Geschmiedet	
<i>Erhaltung:</i>	3 Fragmente	
<i>Masse:</i>	L max. 4.8 cm; Dm 0.3–0.5 cm	
<i>Beschreibung:</i>	3 Stifffragmente, gefunden zur rechten Seite des Schädels. Könnten zu einer Fibel gehören	
<i>Bibliographie:</i>	Unpubl.	IFe2
S17/14	Stifte	Taf. 71
<i>Vorausnu.:</i>	2015/281. 415. 451. 455	
<i>Material:</i>	Eisen	
<i>Herstellung:</i>	Geschmiedet	
<i>Erhaltung:</i>	8 Fragmente	
<i>Masse:</i>	L max. 1.6 cm; Dm 0.3–0.4 cm	
<i>Beschreibung:</i>	Gruppe von Eisenstiften. Lag im Bereich des Oberkörpers des Verstorbenen. Könnten zu einer Fibel gehören	
<i>Bibliographie:</i>	Unpubl.	IFe2
S17/15	Schwert (Blockbergung)	Taf. 72
<i>Vorausnu.:</i>	2015/259. 410. 418. 419	
<i>Material:</i>	Eisen	
<i>Herstellung:</i>	Geschmiedet	
<i>Erhaltung:</i>	Fragmentarisch, im Gipsblock geborgen	
<i>Masse:</i>	L ca. 60.0 cm; L Klinge ca. 46.0 cm; L Griff ca. 12.0 cm; B ca. 4.0 cm	
<i>Beschreibung:</i>	Griffdornschild; Klinge mit rautenförmigem Querschnitt; schlecht erhaltener Griff, wohl als Griffdorn anzusprechen. Das fragmentierte Objekt wurde im Block geborgen. Bestimmung und Dokumentation wurden aufgrund der Röntgen- und CT-Bilder erstellt	
<i>Bibliographie:</i>	Guggisberg u. a. 2016, 56	IFe2
S17/16	Blechfragmente (Blockbergung)	ohne Abbildung
<i>Vorausnu.:</i>	2015/410	
<i>Material:</i>	Eisen	
<i>Herstellung:</i>	Geschmiedet	
<i>Erhaltung:</i>	Fragmentarisch, im Gipsblock geborgen	
<i>Masse:</i>	L ca. 9.2 cm; 14.0 cm; 9.6 cm; B ca. 3.6 cm	
<i>Beschreibung:</i>	Teilstücke eines Bleches und eines durchlochten Stiftes, die parallel zum Griff des Schwertes S17/15 lagen. Könnten Teil des Schwertes sein. Die Fragmente wurden zusammen mit S17/15 im Block geborgen. Bestimmung und Dokumentation wurden aufgrund der Röntgen- und CT-Bilder erstellt	
<i>Bibliographie:</i>	Unpubl.	IFe2
S17/17	Lanzenspitze	Taf. 73
<i>Vorausnu.:</i>	2015/292	
<i>Material:</i>	Eisen, Bronze	
<i>Herstellung:</i>	Geschmiedet	
<i>Erhaltung:</i>	Nahezu ganz, Oberfläche korrodiert	
<i>Masse:</i>	L 43.0 cm; B max. 5.5 cm; Dm Schaft 3.0 cm	

<i>Beschreibung:</i>	Langgezogenes, lanzettförmiges Blatt mit ausgeprägter Mittelrippe; rundförmige Tülle, von einem bronzenen Halterungselement ummantelt, das halbkreisförmige Einlassungen für eine Halterung am Holzschaft aufweist	
<i>Bibliographie:</i>	Guggisberg u. a. 2016, 55	IFe2
S17/18	Schaftlochaxt	Taf. 73
<i>Vorausnu.:</i>	2015/255	
<i>Material:</i>	Eisen	
<i>Herstellung:</i>	Geschmiedet	
<i>Erhaltung:</i>	Ganz	
<i>Masse:</i>	L 20.0 cm; B 5.0–7.8 cm; H 1.6–3.4 cm; D Klinge 0.4–1.6 cm; Gewicht 1050 g	
<i>Beschreibung:</i>	Schaftlochaxt mit elliptischem Loch, trapezförmiger Klinge und nicht verdicktem Axtrücken. Möglicherweise gehören zu diesem Werkzeug die Bleche zur Verkleidung des Holzschafes S17/10	
<i>Bibliographie:</i>	Guggisberg u. a. 2016, 57 f.	IFe2
S17/19	Dechsel	Taf. 73
<i>Vorausnu.:</i>	2015/435	
<i>Material:</i>	Eisen	
<i>Herstellung:</i>	Geschmiedet	
<i>Erhaltung:</i>	Ganz	
<i>Masse:</i>	L 15.3 cm; B Griff 2.1 cm; B Klinge 4.7–5.2 cm; H 0.4–0.8 cm; Gewicht 250 g	
<i>Beschreibung:</i>	Dechsel mit flacher, rechteckiger Klinge. Rechteckiger, sich leicht verjüngender Griffdorn	
<i>Bibliographie:</i>	Guggisberg u. a. 2016, 57 f.	IFe2
S17/20	Blechfragmente (Messerklinge?)	Taf. 73
<i>Vorausnu.:</i>	2015/258. 271. 276. 283–290. 402	
<i>Material:</i>	Eisen	
<i>Herstellung:</i>	Geschmiedet	
<i>Erhaltung:</i>	40 Fragmente und Splitter	
<i>Masse:</i>	L max. 2.3 cm; B max. 2.6 cm; D 0.1–0.4 cm	
<i>Beschreibung:</i>	Gruppe von mehreren Eisenblechfragmenten, lag in einem Bereich von ca. 20 cm Länge zur linken Seite des Verstorbenen. Könnten zu einer Messerklinge gehören	
<i>Bibliographie:</i>	Guggisberg u. a. 2016, 56	IFe2
S17/21	Blechfragmente	Taf. 73
<i>Vorausnu.:</i>	2015/279. 280. 446. 447	
<i>Material:</i>	Eisen	
<i>Herstellung:</i>	Geschmiedet	
<i>Erhaltung:</i>	4 Fragmente	
<i>Masse:</i>	L max. 4.8 cm; B max. 2.4 cm; D 0.2–0.5 cm	
<i>Beschreibung:</i>	Gruppe von Blechfragmenten, die zusammen in einem Bereich des Oberkörpers des Verstorbenen zum Vorschein kamen. Könnten zum selben Objekt gehören (Klinge?)	
<i>Bibliographie:</i>	Unpubl.	IFe2
S17/22	Blechfragmente	Taf. 73
<i>Vorausnu.:</i>	2015/262–264	
<i>Material:</i>	Eisen	
<i>Herstellung:</i>	Geschmiedet	
<i>Erhaltung:</i>	3 Fragmente	
<i>Masse:</i>	L max. 1.5 cm; B max. 1.4 cm; D 0.3 cm	

<i>Beschreibung:</i>	Gruppe von Blechfragmenten, die zusammen in einem Bereich des Oberkörpers des Verstorbenen zum Vorschein kamen. Könnten zum selben Objekt gehören	
<i>Bibliographie:</i>	Unpubl.	IFe2

S17/23	Unbestimmte Fragmente	Taf. 73
<i>Vorausinv.:</i>	2015/266. 464. 465	
<i>Material:</i>	Eisen	
<i>Herstellung:</i>	Geschmiedet	
<i>Erhaltung:</i>	4 Fragmente	
<i>Masse:</i>	L max. 1.9 cm; B max. 1.1 cm	
<i>Beschreibung:</i>	Unbestimmte Eisenfragmente, die verstreut im Grab zum Vorschein kamen	
<i>Bibliographie:</i>	Unpubl.	–

Verfüllung Strada 17		
S17/24	Wand- und Randscherben	Taf. 73
<i>Vorausinv.:</i>	2015/12. 99. 100. 111. 273. 274	
<i>Material:</i>	Grobkeramik; hellbraun, orange, grau, dunkelbraun-schwarz	
<i>Herstellung:</i>	Handaufgebaut	
<i>Erhaltung:</i>	5 Wandscherben, 1 Randscherbe, 1 unbestimmtes Fragment	
<i>Masse:</i>	L max. 5.9 cm; B max. 4.4 cm; H max. 2.6 cm	
<i>Beschreibung:</i>	Verwachsene Grobkeramikfragmente aus den oberen Verfüllungsschichten	
<i>Bibliographie:</i>	Unpubl.	–

Strada 18		Taf. 74. 75
Ungestört	Grabungsjahr 2015	
<i>Grabform:</i>	Fossagrab	Nahezu rechteckige Grabgrube, Wände aus einer Lage mittelgrosser Steine bestehend
	Pflästerung	
	NO-SW-Ausrichtung	
<i>Bestattungsritus:</i>	Körperbestattung	
<i>Anthropologie:</i>	Sehr wenige unbestimmbare Knochenfragmente erhalten	
Guggisberg u. a. 2016, 56 Abb. 3; 58 f. Taf. 7, 3		IFe2B2

S18/1	Askos	Taf. 75
<i>Vorausinv.:</i>	2015/140. 242. 434. 438. 578	
<i>Material:</i>	Feinkeramik, rötlich gelber Ton (7.5YR 7/6)	
<i>Herstellung:</i>	Handaufgebaut und wenige Reste von <i>matt-painted</i> Bemalung (dunkelbraun)	
<i>Erhaltung:</i>	Aus Fragmenten zusammengesetzt	
<i>Masse:</i>	H 15.3 cm; Dm max. 14.9 cm; Dm Mündung 7.9 cm; Dm Boden 8 cm	
<i>Beschreibung:</i>	Geschlossenes Gefäss mit dezentriertem Ausguss mit ausbiegendem, abgerundetem Rand. Mündung beinahe horizontal. Kugeliger Körper. Hals mit Form eines elliptischen Zylinders. Buckel auf dem Rücken. Bandhenkel von der Lippe zum hinteren Teil des Körpers, wo er sich in zwei Stränge teilt. Leicht konkav, abgesetzter Standboden	
<i>Bemalung:</i>	Bemalungsrest im Inneren der Mündung. Bemalungsreste am Übergang zwischen Hals und Körper	
<i>Bibliographie:</i>	Guggisberg u. a. 2016, 59	IFe2

S18/2	Vierspiralfibel	Taf. 75
<i>Vorausinv.:</i>	2015/275	
<i>Material:</i>	Bronze und Eisen	
<i>Herstellung:</i>	Gegossen und gehämmert	
<i>Erhaltung:</i>	Bronzefibel mit Eisenstift zur Befestigung eines Aufsatzes in der Mitte des Bügels	

<i>Masse:</i>	L 3.9 cm; B Bügel 0.4 cm	
<i>Beschreibung:</i>	Kurzer Fuss, bandförmige Feder mit einer Windung. Typ 441 nach Lo Schiavo 2010	
<i>Bibliographie:</i>	Guggisberg u. a. 2016, 59	IFe2A

S18/3	Flacher Doppelspiralanhänger	Taf. 75
<i>Vorausinv.:</i>	2015/268	
<i>Material:</i>	Bronze	
<i>Herstellung:</i>	Aus Bronzedraht gewickelt	
<i>Erhaltung:</i>	Ganz	
<i>Masse:</i>	L 4.1 cm; B 2.4 cm; Dm Spiralen 1.9 cm; Dm Draht 0.1 cm	
<i>Beschreibung:</i>	Doppelspiralanhänger mit flachen Spiralen aus 7 Windungen. Typ 3a1 nach Chiartano 1994	
<i>Bibliographie:</i>	Guggisberg u. a. 2016, 59	IFe2

S18/4	Ringanhänger	Taf. 75
<i>Vorausinv.:</i>	2015/272	
<i>Material:</i>	Bronze	
<i>Herstellung:</i>	Ringe gegossen	
<i>Erhaltung:</i>	14 Fragmente	
<i>Masse:</i>	Dm 1.2 cm; Querschnitt 0.15 cm	
<i>Beschreibung:</i>	Anhänger aus mind. 5 Ringen. Ringe von rhomboidem Querschnitt und gleicher Grösse	
<i>Bibliographie:</i>	Guggisberg u. a. 2016, 59	IFe2

S18/5	Ringanhänger	Taf. 75
<i>Vorausinv.:</i>	2015/261	
<i>Material:</i>	Bronze	
<i>Herstellung:</i>	Ringe gegossen	
<i>Erhaltung:</i>	9 Fragmente	
<i>Masse:</i>	Dm 1.3 cm; Querschnitt 0.1 cm; Ring zur Aufhängung mit grösserem Dm (1.5 cm)	
<i>Beschreibung:</i>	Anhänger aus mind. 4 Ringen, die von einem Ring zusammengehalten werden. Ringe von rhomboidem Querschnitt	
<i>Bibliographie:</i>	Guggisberg u. a. 2016, 59	IFe2

S18/6	Doppelkonische Drahtperle	Taf. 75
<i>Vorausinv.:</i>	2015/412	
<i>Material:</i>	Bronze	
<i>Herstellung:</i>	Aus Bronzedraht gewickelt	
<i>Erhaltung:</i>	Aus 2 Fragmenten zusammengesetzt	
<i>Masse:</i>	L 1.8 cm; Dm max. 0.9 cm; Dm Draht 0.1 cm	
<i>Beschreibung:</i>	Spindelförmige Drahtperle mit 13 Windungen	
<i>Bibliographie:</i>	Guggisberg u. a. 2016, 59	IFe2

Strada 19		Taf. 76. 77	
Ungestört		Grabungsjahr 2016	
<i>Grabform:</i>	Fossagrab	Nahezu kreisrunde Grabgrube; Wände aus einer zweilagigen Reihung gerundeter Steine und Blöcke bestehend	Grab 2.0 m x 2.0 m x 0.3 m
	Keine Pflasterung		
	NO-SW-Ausrichtung		
<i>Bestattungsritus:</i>	Körperbestattung	Vermutlich linke Hockerlage	N-S, Kopf im N
<i>Anthropologie:</i>	Infans I	Schlechte Erhaltung von Knochen und Zähnen (Bestimmung anhand Zahnentwicklung)	2–3 Jahre ± 8 Monate
	Geschlecht unbestimmbar		
Guggisberg u. a. 2017, 81 f. Abb. 2 Taf. 12, 1			IFe2

S19/1	Askos	Taf. 77
<i>Vorausinv.:</i>	2016/49	
<i>Material:</i>	Feinkeramik, rötlich gelber Ton (7.5YR 7/6)	
<i>Herstellung:</i>	Handaufgebaut	
<i>Erhaltung:</i>	Aus Fragmenten zusammengesetzt	
<i>Masse:</i>	H 13 cm; Dm max. 11.5 cm; Dm Mündung 5.8 cm; Dm Boden 6.2 cm	
<i>Beschreibung:</i>	Geschlossenes Gefäß mit dezentriertem Ausguss mit ausbiegendem, abgerundetem Rand. Mündung geneigt. Tonnenförmiger Hals und kugelige Körper. Unvollständiger Buckel (antiker Bruch) auf dem Rücken. Bandhenkel von der Lippe zum hinteren Teil des Körpers. Leicht konkaver, abgesetzter Standboden	
<i>Bemalung:</i>	Bemalungsreste am Übergang zwischen Hals und Körper	
<i>Bibliographie:</i>	Guggisberg u. a. 2017, 82	IFe2
S19/2	Ohrspirale	Taf. 77
<i>Vorausinv.:</i>	2016/46. 75	
<i>Material:</i>	Bronze	
<i>Herstellung:</i>	Aus rundem Draht gewunden	
<i>Erhaltung:</i>	4 Fragmente	
<i>Masse:</i>	Dm 2.6 cm; Dm Draht 0.1 cm	
<i>Beschreibung:</i>	Weite Spirale	
<i>Bibliographie:</i>	Guggisberg u. a. 2017, 82	IFe2
S19/3	Ohrspirale	Taf. 77
<i>Vorausinv.:</i>	2016/79	
<i>Material:</i>	Bronze	
<i>Herstellung:</i>	Aus rundem Draht gewunden	
<i>Erhaltung:</i>	2 Fragmente	
<i>Masse:</i>	Dm 2.6 cm; Dm Draht 0.1 cm	
<i>Beschreibung:</i>	Weite Spirale mit eineinhalb Windungen aus rundem Draht	
<i>Bibliographie:</i>	Guggisberg u. a. 2017, 82	IFe2
S19/4	Fingerspirale	Taf. 77
<i>Vorausinv.:</i>	2016/47	
<i>Material:</i>	Bronze	
<i>Herstellung:</i>	Aus abgeflachtem Draht gewunden	
<i>Erhaltung:</i>	7 Fragmente	
<i>Masse:</i>	L 2 cm; Dm 1.4 cm; B Band 0.25 cm	
<i>Beschreibung:</i>	Wohl einst zylindrische Spirale aus flachem Draht. Typ S22 nach Ruby 1995	
<i>Bibliographie:</i>	Guggisberg u. a. 2017, 82	IFe2
S19/5	Fingerspirale	Taf. 77
<i>Vorausinv.:</i>	2016/67	
<i>Material:</i>	Bronze	
<i>Herstellung:</i>	Aus abgeflachtem Draht gewunden	
<i>Erhaltung:</i>	4 Fragmente	
<i>Masse:</i>	L 0.9 cm; Dm 1.4 cm; B Band 0.2 cm	
<i>Beschreibung:</i>	Zylindrische Spirale mit 4 Windungen aus flachem Draht. Typ S22 nach Ruby 1995	
<i>Bibliographie:</i>	Guggisberg u. a. 2017, 82	IFe2

S19/6	Fingerspirale	ohne Abbildung
<i>Vorausinv.:</i>	2016/206	
<i>Material:</i>	Bronze	
<i>Herstellung:</i>	Aus abgeflachtem Draht gewunden	
<i>Erhaltung:</i>	10 Fragmente	
<i>Masse:</i>	L max. 0.5 cm; B Band 0.2 cm	
<i>Beschreibung:</i>	Fragmente von flachem Draht, wohl von einer Fingerspirale. Typ S22 nach Ruby 1995	
<i>Bibliographie:</i>	Guggisberg u. a. 2017, 82	IFe2

S19/7	Fingerspirale	Taf. 77
<i>Vorausinv.:</i>	2016/60	
<i>Material:</i>	Bronze	
<i>Herstellung:</i>	Aus abgeflachtem Draht gewunden	
<i>Erhaltung:</i>	4 Fragmente	
<i>Masse:</i>	L 1.6 cm; Dm 0,5 cm; B Band 0.2 cm	
<i>Beschreibung:</i>	Spirale mit mind. 7 Windungen aus flachem Draht, Knochen im Inneren. Unmittelbar bei S19/9 freigelegt	
<i>Bibliographie:</i>	Guggisberg u. a. 2017, 82	IFe2

S19/8	Fingerspirale	Taf. 77
<i>Vorausinv.:</i>	2016/61	
<i>Material:</i>	Bronze	
<i>Herstellung:</i>	Aus abgeflachtem Draht gewunden	
<i>Erhaltung:</i>	5 Fragmente	
<i>Masse:</i>	L 1.5 cm; Dm 1.4 cm; B Band 0.2 cm	
<i>Beschreibung:</i>	Spirale mit 5 Windungen aus flachem Draht	
<i>Bibliographie:</i>	Guggisberg u. a. 2017, 82	IFe2

S19/9	Fingerspirale	Taf. 77
<i>Vorausinv.:</i>	2016/99	
<i>Material:</i>	Bronze	
<i>Herstellung:</i>	Aus Draht gewunden	
<i>Erhaltung:</i>	2 Fragmente	
<i>Masse:</i>	L 1.1 cm; Dm 1 cm; B Band 0.2 cm	
<i>Beschreibung:</i>	Spirale mit 5 Windungen aus relativ dickem, rundem Draht. Auf 2 Seiten abgeflacht. Unmittelbar bei S19/7 freigelegt	
<i>Bibliographie:</i>	Guggisberg u. a. 2017, 82	IFe2

S19/10	Draht	ohne Abbildung
<i>Vorausinv.:</i>	2016/78	
<i>Material:</i>	Bronze	
<i>Herstellung:</i>	Aus rundem Draht gewunden	
<i>Erhaltung:</i>	2 Fragmente	
<i>Masse:</i>	L 0.5 cm; D Draht 0.1 cm	
<i>Beschreibung:</i>	Kurzger, gerader Stift aus Draht	
<i>Bibliographie:</i>	Guggisberg u. a. 2017, 82	IFe2

S19/11	Draht	ohne Abbildung
<i>Vorausinv.:</i>	2016/70	
<i>Material:</i>	Bronze	

<i>Herstellung:</i>	Aus rundem Draht gewunden	
<i>Erhaltung:</i>	16 Splitter	
<i>Masse:</i>	–	
<i>Beschreibung:</i>	Unbestimmte Drahtfragmente, die sich zu keinem Objekt rekonstruieren lassen	
<i>Bibliographie:</i>	Unpubl.	–

S19/12	Fibel mit Bronzedrahtumwicklung	ohne Abbildung
<i>Vorausinv.:</i>	2016/63. 83	
<i>Material:</i>	Eisen mit Bronze	
<i>Herstellung:</i>	Geschmiedet und mit Bronzedraht umwickelt	
<i>Erhaltung:</i>	15 Fragmente, z. T. mit Bronzedrahtumwicklung	
<i>Masse:</i>	Grösstes Fragment L 1.2 cm; B 0.5 cm	
<i>Beschreibung:</i>	Typ nicht definierbar	
<i>Bibliographie:</i>	Guggisberg u. a. 2017, 82	IFe2

S19/13	Fingerspirale	Taf. 77
<i>Vorausinv.:</i>	2016/57. 71	
<i>Material:</i>	Eisen	
<i>Herstellung:</i>	Geschmiedet und gewunden	
<i>Erhaltung:</i>	3 Fragmente	
<i>Masse:</i>	L 0.6 cm; Dm 1.5 cm; B Band 0.35 cm	
<i>Beschreibung:</i>	Zylindrische Spirale mit 2 Windungen. Typ S22 nach Ruby 1995	
<i>Bibliographie:</i>	Guggisberg u. a. 2017, 82	IFe2

S19/14	Fragment unbestimmt	ohne Abbildung
<i>Vorausinv.:</i>	2016/73	
<i>Material:</i>	Eisen	
<i>Herstellung:</i>	Geschmiedet	
<i>Erhaltung:</i>	2 Fragmente	
<i>Masse:</i>	L 0.8 cm; B 0.5 cm	
<i>Beschreibung:</i>	Trapezförmiges Fragment	
<i>Bibliographie:</i>	Guggisberg u. a. 2017, 82	–

S19/15	Anhänger	Taf. 77
<i>Vorausinv.:</i>	2016/45	
<i>Material:</i>	Bernstein	
<i>Herstellung:</i>	Geschnitten, geschliffen oder gedreht und poliert	
<i>Erhaltung:</i>	4 Fragmente	
<i>Masse:</i>	L 1.5 cm; B 0.7 cm	
<i>Beschreibung:</i>	Hinten flach	
<i>Bibliographie:</i>	Guggisberg u. a. 2017, 82	IFe2

S19/16	Anhänger	Taf. 77
<i>Vorausinv.:</i>	2016/80	
<i>Material:</i>	Bernstein	
<i>Herstellung:</i>	Geschnitten, geschliffen oder gedreht und poliert	
<i>Erhaltung:</i>	2 Fragmente	
<i>Masse:</i>	L 1.4 cm; B 0.9 cm	
<i>Beschreibung:</i>	Hinten flach. Vergleichbar mit S19/15	
<i>Bibliographie:</i>	Guggisberg u. a. 2017, 82	IFe2

S19/17	Anhänger	Taf. 77
<i>Vorausinv.:</i>	2016/205	
<i>Material:</i>	Bernstein	
<i>Herstellung:</i>	Geschnitten, geschliffen oder gedreht und poliert	
<i>Erhaltung:</i>	1 Fragment	
<i>Masse:</i>	L 1.3 cm; B 1 cm	
<i>Beschreibung:</i>	Hinten flach. Vergleichbar mit S19/15	
<i>Bibliographie:</i>	Guggisberg u. a. 2017, 82	IFe2

S19/18	Anhänger	Taf. 77
<i>Vorausinv.:</i>	2016/209	
<i>Material:</i>	Bernstein	
<i>Herstellung:</i>	Geschnitten, geschliffen oder gedreht und poliert	
<i>Erhaltung:</i>	2 Fragmente	
<i>Masse:</i>	L 1 cm; Dm 1 cm	
<i>Beschreibung:</i>	Tropfenförmig	
<i>Bibliographie:</i>	Guggisberg u. a. 2017, 82	IFe2

S19/19	Anhänger	Taf. 77
<i>Vorausinv.:</i>	2016/84	
<i>Material:</i>	Bernstein	
<i>Herstellung:</i>	Geschnitten, geschliffen oder gedreht und poliert	
<i>Erhaltung:</i>	4 Fragmente	
<i>Masse:</i>	L 1.9 cm; B 1.1 cm	
<i>Beschreibung:</i>	Hinten flach, vorne stark erhoben mit leichtem Grat	
<i>Bibliographie:</i>	Guggisberg u. a. 2017, 82	IFe2

S19/20	Perle mit Aufsatz	Taf. 77
<i>Vorausinv.:</i>	2016/200	
<i>Material:</i>	Bernstein	
<i>Herstellung:</i>	Geschnitten, geschliffen oder gedreht und poliert	
<i>Erhaltung:</i>	2 Fragmente	
<i>Masse:</i>	L 0.7 cm; B 0.4 cm	
<i>Beschreibung:</i>	Trapezoidaler Schnitt mit zentraler Bohrung und knopfartigem Aufsatz	
<i>Bibliographie:</i>	Guggisberg u. a. 2017, 82	IFe2

S19/21	Perle mit Aufsatz	Taf. 77
<i>Vorausinv.:</i>	2016/54	
<i>Material:</i>	Bernstein	
<i>Herstellung:</i>	Geschnitten, geschliffen oder gedreht und poliert	
<i>Erhaltung:</i>	2 Fragmente	
<i>Masse:</i>	L 0.6 cm; B 0.4 cm	
<i>Beschreibung:</i>	Zentrale Bohrung der Länge nach, im Schnitt ist eine Ecke erkennbar. Wahrscheinlich vergleichbar mit S19/20	
<i>Bibliographie:</i>	Guggisberg u. a. 2017, 82	IFe2

S19/22	Unbestimmte Fragmente	ohne Abbildung
<i>Vorausinv.:</i>	2016/96. 202. 204	
<i>Material:</i>	Bernstein	
<i>Herstellung:</i>	Geschnitten, geschliffen oder gedreht und poliert	
<i>Erhaltung:</i>	7 Fragmente	

<i>Masse:</i>	L max. 1.9 cm; B max. 1.1 cm	
<i>Beschreibung:</i>	Fragmente ohne erkennbare Bohrungen	
<i>Bibliographie:</i>	Unpubl.	–

De Leo 1		Taf. 78–82	
Bestattung ungestört; Verfüllungsschicht teilweise bereits abgetragen		Grabungsjahr 2014	
Grabform:	Monumentales Fossagrab	Ovale Grabgrube, Wände mit grossen gerundeten Steinen ausgekleidet, NW-Rand nicht vollständig erfasst	Grab 3.6 x 2.9 x 0.4 m
	Pflästerung	Pflästerung aus flachen Flusskieseln	Pflästerung ca. 2 x 1 m
	NW-SO-Ausrichtung		
Bestattungsritus:	Körperbestattung	Beinhocker auf der rechten Seite	NW-SO, Kopf im NW
Anthropologie:	Spät matur–senil	Knochen gut konserviert bis teilweise zersetzt. Geschlechtsbestimmung anhand des abgesetzten <i>Planum nuchale</i> und des prominenten <i>Mentum</i> ; Altersbestimmung aufgrund der moderaten Zahnabrasion und TCA	57 ± 5,5 Jahre (TCA-Analyse)
	Eher männlich (Schädelmerkmale)		
Guggisberg u. a. 2015a, 104–107 Abb. 4 Taf. 18, 2–8; Guggisberg u. a. 2015b, 21–23 Abb. 10, 11; Guggisberg 2018, 168–171 Abb. 3–5; Guggisberg u. a. 2018b, 55 Abb. 8; Guggisberg im Druck a			Ende IFe2A - Anfang IFe2B

DL1/1	Krater mit Deckel	Taf. 79
<i>Vorausinv.:</i>	2014/439. 688. 1704	
<i>Material:</i>	Feinkeramik, Oberfläche rötlich gelb (7.5YR 7/6–5YR 7/6), Kern rötlich gelb (5YR 7/6), Firnis innen hellgrau-grau (N7–N6), Bemalung aussen braun (7.5YR 5/4)	
<i>Herstellung:</i>	Auf der Drehscheibe getöpft	
<i>Erhaltung:</i>	Aus Fragmenten zusammengesetzt, bis auf wenige Fehlstellen des Gefässes und die Mittelpartie des Deckels ganz	
<i>Masse:</i>	Krater: H 39.6 cm; H mit Deckel 43.2 cm; Dm (Rand) 23.5 cm; Dm (Bauch) 34.6 cm; Dm (Boden) 19.3 cm; Dm (Henkel) 1.9 cm. Deckel: Dm 23.5 cm; H erhalten 4.2 cm	
<i>Beschreibung:</i>	Krater mit Deckel. Gefäss auf hohem Fuss mit bauchigem Körper, abgesetztem Rand und 2 stierkopfförmigen Kompositenhenkeln. Markante Drehrielen auf der Innenseite, aussen glatt	
<i>Bemalung:</i>	Bemalung stark abgerieben, stellenweise aber noch erkennbar. Auf der Schulter ein grosses Mäandermuster, das im Einzelnen jedoch nicht mehr genau zu rekonstruieren ist; auf der Körperunterseite ein Fries mit konzentrischen Kreisen; Chevrondekoration auf den Henkeln; Fuss mit Resten von diagonalen Linien im oberen und 3 horizontalen Bändern im unteren Bereich. Auf dem Deckel ein Fries von insgesamt 8 konzentrischen Kreisen	
<i>Bibliographie:</i>	Guggisberg u. a. 2015a, 106 Taf. 18, 2–4; Guggisberg u. a. 2015b, 23 Abb. 11	Um 750 v. Chr.

DL1/2	Tasse	Taf. 80
<i>Vorausinv.:</i>	2014/1686	
<i>Material:</i>	Feinkeramik, Oberfläche dunkelorange-braun (7.5YR 4/4), Kern hellbraun (10YR 7/4)	
<i>Herstellung:</i>	Von Hand gefertigt	
<i>Erhaltung:</i>	Aus Fragmenten zusammengesetzt, ganz	
<i>Masse:</i>	H 8.2 cm; Dm 6.4 cm (Rand); 8.4 cm (Bauch); 5.0 cm (Boden)	
<i>Beschreibung:</i>	Tasse/Kännchen mit leicht nach aussen gebogenem Rand, abgesetztem Hals mit Wulst, kugeligem Bauch und leicht abgesetztem flachem Boden; vertikaler Bandhenkel vom Rand zum Bauch	
<i>Bemalung:</i>	Ohne erkennbare Bemalungsspuren	
<i>Bibliographie:</i>	Guggisberg u. a. 2015a, 106	IFe2A

DL1/3	Skyphos	Taf. 80
<i>Vorausinv.:</i>	2014/1708	
<i>Material:</i>	Feinkeramik, Oberfläche rötlich gelb (5YR 6/6), Kern rötlich gelb (7.5YR 8/6)	
<i>Herstellung:</i>	Von Hand gefertigt?	
<i>Erhaltung:</i>	Stark fragmentiert, Unterteil und Boden fehlen weitgehend	

<i>Masse:</i>	H ca. 6.6 cm; Dm (Rand) 9.2 cm; Dm (Bauch) 10.0 cm; Dm (Henkel) 0.9 x 1.2 cm	
<i>Beschreibung:</i>	Skyphos mit leicht nach aussen gebogenem Rand, gerundeter Schulter und einziehendem Unterteil; horizontal angesetzte, schräge Stabhenkel, unregelmässig	
<i>Bemalung:</i>	Bemalung nicht erhalten	
<i>Bibliographie:</i>	Guggisberg u. a. 2015a, 106	IFe2

DL1/4	Kessel	Taf. 80
<i>Vorausinv.:</i>	2014/1707	
<i>Material:</i>	Feines Bronzeblech	
<i>Herstellung:</i>	Getrieben und gehämmert	
<i>Erhaltung:</i>	Teilweise stark beschädigt und verbogen	
<i>Masse:</i>	H 27.4 cm; Dm 46.0 cm (Rand)	
<i>Beschreibung:</i>	Kessel mit senkrechter Wandung und schräg nach innen umgebogenem Rand. Vereinzelt sind auf der Oberfläche Reste von Textilien erhalten	
<i>Bibliographie:</i>	Guggisberg u. a. 2015a, 107; Guggisberg u. a. 2018b, 55 Abb. 8; Guggisberg 2018, 169–171 Abb. 5	IFe2

DL1/5	Schale mit Omphalos	Taf. 80
<i>Vorausinv.:</i>	2014/1706	
<i>Material:</i>	Feines Bronzeblech	
<i>Herstellung:</i>	Getrieben und gehämmert	
<i>Erhaltung:</i>	Rand vollständig, Omphalos zum Teil erhalten, Teile der Wandung fehlen	
<i>Masse:</i>	Dm Rand 14.6 cm; H 5 cm	
<i>Beschreibung:</i>	Flache Bronzeschale mit Omphalos. Der Rand ist zur Innenseite hin verdickt mit dreieckigem Querschnitt, wohl gehämmert. Auf der Aussenseite ist unter dem Rand eine feine horizontale Rille erkennbar	
<i>Bibliographie:</i>	Guggisberg u. a. 2015a, 106	IFe2

DL1/6	Schlangenfibel	Taf. 81
<i>Vorausinv.:</i>	2014/1611	
<i>Material:</i>	Bronze	
<i>Herstellung:</i>	Geschmiedet	
<i>Erhaltung:</i>	Ganz	
<i>Masse:</i>	L 19.0 cm; H 9.5 cm; Dm 0.5 cm; Gewicht 51 g	
<i>Beschreibung:</i>	Fibel mit rundem Querschnitt an Feder, Öse und Bügel. Der Bügel ist mit einem eingeritzten Fischgrätmuster verziert. Die Fibel wurde offen gefunden. Typ 341 nach Lo Schiavo 2010	
<i>Bibliographie:</i>	Guggisberg u. a. 2015a, 105 Taf. 18, 8	(IFe1A)–IFe2A

DL1/7	Schlangenfibel	Taf. 81
<i>Vorausinv.:</i>	2014/1674	
<i>Material:</i>	Bronze	
<i>Herstellung:</i>	Geschmiedet	
<i>Erhaltung:</i>	Ganz	
<i>Masse:</i>	L 10.5 cm; H 5.8 cm; Dm 0.4 cm; Gewicht 10.7 g	
<i>Beschreibung:</i>	Fibel mit rundem Querschnitt an Feder, Öse und Bügel. Die Fibel war geöffnet. Typ 343 nach Lo Schiavo 2010	
<i>Bibliographie:</i>	Guggisberg u. a. 2015a, 105	IFe1B–2A

DL1/8	Schlangenfibel	Taf. 81
<i>Vorausinv.:</i>	2014/1678. 673 (Nadelspitze)	
<i>Material:</i>	Bronze	
<i>Herstellung:</i>	Geschmiedet	
<i>Erhaltung:</i>	Ganz bis auf die abgebrochene, jedoch erhaltene Nadelspitze	

<i>Masse:</i>	L 9.3 cm; H 4.6 cm; Dm 0.4 cm; Gewicht 7.7 g	
<i>Beschreibung:</i>	Fibel mit rundem Querschnitt an Feder, Öse und Bügel. Die Fibel war geöffnet. Typ 343 nach Lo Schiavo 2010	
<i>Bibliographie:</i>	Guggisberg u. a. 2015a, 105	IFe1B–2A

DL1/9	Ring	Taf. 81
<i>Vorausinv.:</i>	2014/1610	
<i>Material:</i>	Bronze	
<i>Herstellung:</i>	Geschmiedet	
<i>Erhaltung:</i>	Ganz	
<i>Masse:</i>	Dm 8.8 cm; D 0.95–1.05 cm; Gewicht 161 g	
<i>Beschreibung:</i>	Intakter Ring, unverziert, massiv	
<i>Bibliographie:</i>	Guggisberg u. a. 2015a, 106 Taf. 18, 7	IFe2

DL1/10	Schlangenfibel (<i>a gomito?</i>)	Taf. 81
<i>Vorausinv.:</i>	2014/1613. 1665. 1676. 1679	
<i>Material:</i>	Eisen	
<i>Herstellung:</i>	Geschmiedet	
<i>Erhaltung:</i>	3 identifizierbare Fragmente sowie diverse Stiftfragmente und Splitter	
<i>Masse:</i>	Dm Feder 1.0 cm	
<i>Beschreibung:</i>	Zersplitterte Schlangenfibel. Erkennbar sind die Feder, der Bügel, wohl mit Ansatz des <i>gomito</i> , sowie der Fuss	
<i>Bibliographie:</i>	Guggisberg u. a. 2015a, 105	IFe2A2–2B

DL1/11	Schlangenfibel (<i>a gomito?</i>)	Taf. 81
<i>Vorausinv.:</i>	2014/1660. 1665	
<i>Material:</i>	Eisen	
<i>Herstellung:</i>	Geschmiedet	
<i>Erhaltung:</i>	3 identifizierbare Fragmente sowie 28 Stiftfragmente und Splitter	
<i>Masse:</i>	L max. 3.0 cm (Bügelfragment mit Ansatz von <i>gomito</i>)	
<i>Beschreibung:</i>	Zersplitterte Schlangenfibel. Erkennbar ist ein Rest der Feder, des Bügels, wohl mit Ansatz des <i>gomito</i> , sowie der Nadel	
<i>Bibliographie:</i>	Guggisberg u. a. 2015a, 105	IFe2A2–2B

DL1/12	Schaftlochaxt	Taf. 82
<i>Vorausinv.:</i>	2014/656	
<i>Material:</i>	Eisen	
<i>Herstellung:</i>	Geschmiedet	
<i>Erhaltung:</i>	Ganz	
<i>Masse:</i>	L 17.0 cm; B 5.1–6.2 cm; H (max.) 4.2 cm; Dm max. Schaftloch oben 5.3 cm; Dm max. Schaftloch unten 4.7 cm; Gewicht 875 g	
<i>Beschreibung:</i>	Eiserne Schaftlochaxt mit beidseitiger rippenförmiger Stauchung im Nacken (Abnutzung?)	
<i>Bibliographie:</i>	Guggisberg u. a. 2015a, 105	IFe2

DL1/13	Messer (?)	Taf. 82
<i>Vorausinv.:</i>	2014/659. 663–668. 674–676 (Stift). 677–679. 681. 682. 689. 691. 692. 1600	
<i>Material:</i>	Eisen	
<i>Herstellung:</i>	Geschmiedet	
<i>Erhaltung:</i>	41 Fragmente und diverse Splitter	
<i>Masse:</i>	L max. 2.5 cm	
<i>Beschreibung:</i>	Länglich flaches Gerät aus Eisen, in zahlreiche Fragmente zerbrochen, unbestimmt, vielleicht ein Messer	
<i>Bibliographie:</i>	Unpubl.	IFe2

DL1/14	Anhänger	Taf. 82
<i>Vorausinv.:</i>	2014/1659	
<i>Material:</i>	Bernstein	
<i>Herstellung:</i>	Geschnitten, geschliffen oder gedreht und poliert	
<i>Erhaltung:</i>	Ganz	
<i>Masse:</i>	L 2.0 cm; B 1.7 cm; H 0.6 cm	
<i>Beschreibung:</i>	Intakter, tropfenförmiger Anhänger mit regelmässig gewölbter Vorder- und flacher Rückseite. Horizontale Bohrung im abgesetzten oberen Abschnitt	
<i>Bibliographie:</i>	Guggisberg u. a. 2015a, 105	IFe2

DL1/15	Anhänger (?)	ohne Abbildung
<i>Vorausinv.:</i>	2014/1636	
<i>Material:</i>	Bernstein	
<i>Herstellung:</i>	Geschnitten, geschliffen oder gedreht und poliert	
<i>Erhaltung:</i>	1 Fragment, verschollen	
<i>Masse:</i>	unbestimmt	
<i>Beschreibung:</i>	unbestimmt	
<i>Bibliographie:</i>	Guggisberg u. a. 2015a, 105	IFe2

DL1/16	Fragmentierter Standfuss	Taf. 82
<i>Vorausinv.:</i>	2014/404	
<i>Material:</i>	Feinkeramik, Oberfläche gelblich rot (5YR 5/6), Kern rötlich gelb (5YR 7/8)	
<i>Herstellung:</i>	Auf der Drehscheibe getöpfert	
<i>Erhaltung:</i>	Aus mehreren Fragmenten zusammengesetzt, eines davon kam bei der Oberflächenreinigung des Areals von Grab de Leo 1 zum Vorschein	
<i>Masse:</i>	H 4.9 cm; L 14.7 cm; B 10.8 cm; Dm Boden 6.1 cm	
<i>Beschreibung:</i>	Bodenfragment eines grossen scheibengedrehten Gefässes mit Ansatz des Standfusses; Boden siebartig perforiert; die insgesamt 31 kleinen Löcher sind in 3 Kreisen konzentrisch angeordnet; die Perforationen sind sorgfältig von aussen nach innen eingestochen worden	
<i>Bemalung:</i>	Die Oberfläche weist eine gleichmässige dunkle Färbung auf, die entweder von einem Überzug stammen könnte oder durch die Lagerung im Boden zustande gekommen ist	
<i>Bibliographie:</i>	Unpubl.	IFe2

De Leo 2		Taf. 78. 83
Nur Bereich im NW des Grabes angeschnitten (Notgrabung am Rande des Feldes Anna De Leo)		Grabungsjahr 2014
Grabform:	Monumentales Fossagrab?	Rechteckige Grabgrube mit abgerundeten Ecken, Wände mit grossen gerundeten Steinen ausgekleidet
	Pflasterung	Pflasterung mit mittelgrossen flachen Steinen
	NW-SO-Ausrichtung (?)	
Bestattungsritus:	Körperbestattung	Linke Seitenlage des Schädels
Anthropologie:	Infans I	Schlechte Erhaltung von Knochen und Zähnen (Bestimmung anhand Zahnentwicklung)
	Geschlecht unbestimmbar	
Guggisberg u. a. 2015a, 104 Abb. 4; 108		IFe2(B)

DL2/1	Askos / Krug	Taf. 83
<i>Vorausinv.:</i>	2014/440. 1702	
<i>Material:</i>	Feinkeramik, rötlich gelber Ton (5YR 6/6)	

<i>Herstellung:</i>	Handaufgebaut	
<i>Erhaltung:</i>	Untere Gefässhälfte aus Fragmenten zusammengesetzt. Keine diagnostischen Fragmente	
<i>Masse:</i>	H min. 7.5 cm; Dm max. 16.3 cm; Dm Boden 8.8 cm	
<i>Beschreibung:</i>	Gefäss mit kugeligem Körper und abgesetztem Standboden	
<i>Bibliographie:</i>	Guggisberg u. a. 2015, 108	IFe2

DL2/2	Geschlossene Bommel	Taf. 83
<i>Vorausinv.:</i>	2014/611	
<i>Material:</i>	Bronze	
<i>Herstellung:</i>	Massiv gegossen, Aufhängevorrichtung flach gehämmert und durchlocht	
<i>Erhaltung:</i>	Beschädigte Aufhängevorrichtung	
<i>Masse:</i>	L 2.4 cm; Dm Kugel 1.5 cm	
<i>Beschreibung:</i>	Massiver, kugelförmiger Anhänger. Aufhängevorrichtung an einem Stiel mit dreieckigem Querschnitt. Unterer Fortsatz mit abgerundeter Spitze	
<i>Bibliographie:</i>	Guggisberg u. a. 2015, 108	IFe2

DL2/3	Flacher Doppelspiralanhänger	Taf. 83
<i>Vorausinv.:</i>	2014/613	
<i>Material:</i>	Bronze	
<i>Herstellung:</i>	Aus Bronzedraht gewickelt	
<i>Erhaltung:</i>	Ganz	
<i>Masse:</i>	L 3.3 cm; B 2.2 cm; Dm Spiralen 1.5 cm; Dm Draht 0.15 cm	
<i>Beschreibung:</i>	Doppelspiralanhänger mit flachen Spiralen. Typ 3a1 nach Chiartano 1994	
<i>Bibliographie:</i>	Guggisberg u. a. 2015, 108	IFe2

DL2/4	Ringanhänger	Taf. 83
<i>Vorausinv.:</i>	2014/612	
<i>Material:</i>	Bronze	
<i>Herstellung:</i>	Ringe gegossen	
<i>Erhaltung:</i>	4 Fragmente	
<i>Masse:</i>	Dm 1.6 cm; Querschnitt 0.15 cm	
<i>Beschreibung:</i>	Kettenähnlicher Anhänger aus 5 Ringpaaren, die auf beiden Seiten mit je einer Gruppe von 3 Ringen abgeschlossen werden. Dazu 2 fragmentierte Ringe mit unbekannter Position innerhalb des Anhängers. Ringe von rundovalem Querschnitt und annähernd gleicher Grösse	
<i>Bibliographie:</i>	Guggisberg u. a. 2015, 108	IFe2

DL2/5	Ring	Taf. 83
<i>Vorausinv.:</i>	2014/619	
<i>Material:</i>	Bronze	
<i>Herstellung:</i>	Gegossen	
<i>Erhaltung:</i>	Ganz	
<i>Masse:</i>	Dm 1.3 cm; Querschnitt 0.2 cm	
<i>Beschreibung:</i>	Ring von rhomboidem Querschnitt, der möglicherweise Teil eines Ringanhängers war. Die Entfernung zu DL2/5 betrug ca. 10 cm, darum würde es sich um einen weiteren Ringanhänger gehandelt haben	
<i>Bibliographie:</i>	Guggisberg u. a. 2015, 108	IFe2

DL2/6	Spindelförmige Drahtperle	Taf. 83
<i>Vorausinv.:</i>	2014/614	
<i>Material:</i>	Bronze	
<i>Herstellung:</i>	Aus Bronzedraht gewickelt	

<i>Erhaltung:</i>	2 Fragmente	
<i>Masse:</i>	L 0.9 cm; Dm max. 0.6 cm; Dm Draht 0.1 cm	
<i>Beschreibung:</i>	Spindelförmige Drahtperle mit Windungen	
<i>Bibliographie:</i>	Guggisberg u. a. 2015, 108	IFe2

DL2/7	Kugelförmige bis ellipsoide Drahtperle	ohne Abbildung
<i>Vorausinv.:</i>	2014/601	
<i>Material:</i>	Bronze	
<i>Herstellung:</i>	Aus Bronzedraht gewickelt	
<i>Erhaltung:</i>	Nach Restaurierung nur noch 1 Drahtfragment	
<i>Masse:</i>	L max. 0.6 cm; Dm Draht 0.15 cm	
<i>Beschreibung:</i>	Drahtperle von kugeliger bis ellipsoider Form	
<i>Bibliographie:</i>	Guggisberg u. a. 2015, 108	IFe2

DL2/8	Tropfenförmiger Anhänger	Taf. 83
<i>Vorausinv.:</i>	2014/600	
<i>Material:</i>	Bernstein	
<i>Herstellung:</i>	Geschnitten, geschliffen oder gedriilt und poliert. Öse durch Bohren oder mit heisser Metallnadel	
<i>Erhaltung:</i>	Aus Fragmenten zusammengesetzt	
<i>Masse:</i>	L 1.8 cm; B 0.4–1 cm	
<i>Beschreibung:</i>	Tropfenförmiger Anhänger mit durchbohrtem Kopfende	
<i>Bibliographie:</i>	Guggisberg u. a. 2015, 108	IFe2

DL2/9	Anhänger	Taf. 83
<i>Vorausinv.:</i>	2014/607	
<i>Material:</i>	Bernstein	
<i>Herstellung:</i>	Geschnitten, geschliffen oder gedriilt und poliert	
<i>Erhaltung:</i>	1 Fragment	
<i>Masse:</i>	L 1 cm; B 0.9 cm	
<i>Beschreibung:</i>	Anhänger (keine Bohrung durch die Achse) mit rundlichem Schnitt	
<i>Bibliographie:</i>	Guggisberg u. a. 2015, 108	IFe2

DL2/10	Spindelförmige Perle	Taf. 83
<i>Vorausinv.:</i>	2014/608	
<i>Material:</i>	Bernstein	
<i>Herstellung:</i>	Geschnitten, geschliffen oder gedriilt und poliert. Öse durch Bohren oder mit heisser Metallnadel	
<i>Erhaltung:</i>	Ganz	
<i>Masse:</i>	L 1.35 cm; Dm 0.5–0.7 cm	
<i>Beschreibung:</i>	Spindelförmige, der Länge nach durchbohrte Perle (<i>vago fusiforme</i>). Typ VII nach Benedetti – Cardoso 2006	
<i>Bibliographie:</i>	Guggisberg u. a. 2015, 108	IFe2

Index

Deutsch	Italiano	Seiten/pagine
Amphore	Anfora, anforetta	23. 33. 167. 173. 175. 315
Anhänger	Pendaglio	20. 23. 26–32. 56. 64–65. 69–70. 88. 90–92. 97–99. 127–134. 137. 147–150. 167. 172. 188. 259. 261. 270. 279–281. 316–318. 333–334. 342. 347. 360–362. 365. 369–370. 374. 380. 400. 405. 408–409. 413–415
Areal Cerchio Reale	Area Cerchio Reale	12. 15. 20. 25. 27–28. 52. 56–57. 67. 70. 82. 86–89. 96. 100–101. 103–105. 107. 110–111. 113. 125–127. 129–130. 132–136. 140–141. 143. 145–147. 154–155. 157. 163. 169. 171. 174. 178. 185–186. 189. 191. 193–194. 196. 263–264. 273–274. 282–284
Areal Cima	Area Cima	12. 15. 23. 123. 126. 178. 188. 194–195. 202. 263. 273. 282
Areal Collina	Area Collina	18. 169. 178. 181. 185. 190. 196. 202
Areal De Leo	Area De Leo	17–18. 46. 93. 98. 113. 172. 178. 207. 217. 221. 245. 254. 261. 266. 268–273. 276. 279–282
Areal Est	Area Est	17. 23. 25–28. 32. 47–49. 57. 62. 64–65. 68. 80. 82. 84. 86–91. 96. 99. 106. 116–117. 124–128. 131–137. 140–141. 143–144. 146. 150. 152. 154. 158. 160. 164. 168–170. 174. 178. 181–182. 185. 190. 193–196. 198. 200–201. 261–262. 272–273. 281–282
Areal Lettere	Area Lettere	12. 15. 20. 22. 33. 80. 82. 96. 105. 109–111. 124. 126–128. 132–133. 155–156. 163. 169. 174. 178. 185. 195. 202. 250. 254. 263. 273. 282
Areal Temparella	Area Temparella	55. 62. 70. 80. 82. 88–89. 97. 99. 105. 109. 113–114. 116–117. 120–121. 124–127. 131–132. 135. 140. 146–147. 163. 168. 171. 174. 178. 181. 185. 188. 191–193. 196–197. 200. 263. 283
Areal Uliveto	Area Uliveto	12. 15. 23–24. 57. 80. 87–89. 100–101. 106–108. 111. 113–114. 120–122. 124. 127–128. 133. 144. 147. 149. 155–156. 162. 169. 173–174. 178. 185. 188–189. 191. 193. 195–196. 200–203. 247. 263. 273–274. 282–283
Areal Vigneto	Area Vigneto	12. 15. 22. 24–25. 56–57. 62–63. 80. 82. 86–89. 95–97. 99. 105. 107. 110. 116–117. 123–127. 132–136. 140. 144–145. 150. 154–156. 163. 168–169. 174. 178. 185. 188. 194. 196. 248. 263–264. 273–274. 282. 284
Askos	Askos	12. 64–65. 72. 80. 91–92. 96. 99. 106–108. 113. 129. 133. 136. 139. 157. 172. 177. 188. 191. 216. 243. 245. 247–248. 251–252. 254. 257–258. 268–269. 278–279. 358. 379. 404. 406. 413
<i>Attingitoio</i> (siehe Tasse)	Attingitoio (vedi tazza)	
Belegungsabfolge	Sequenza di occupazione	188. 191–193. 195–199. 262–264. 174–175. 273. 282–284
Bernstein	Ambra	20. 23–24. 26–27. 37. 39. 49–50. 52. 59. 64. 68–69. 70. 74. 81–82. 84. 92. 99. 116. 128. 147–149. 152–154. 156. 166. 168–169. 171–172. 199. 206. 226. 245. 257. 259. 262. 277. 280. 282. 316. 327–328. 342–343. 345. 354–355. 365–366. 374–379. 384. 397–398. 408–409. 413. 415
Bestattungsgruppe	Gruppo di sepolture	16. 18. 53. 93. 154. 157. 160. 165. 168. 185–188. 190–193. 195–196. 198. 200. 203. 255. 256. 263. 272–274. 277. 281
<i>Bicchieri</i> (siehe Tasse)	Bicchieri (vedi tazza)	
<i>Boccale</i> (siehe Tasse)	Boccale (vedi tazza)	
<i>Brocchetta</i> (siehe Tasse)	Brocchetta (vedi tazza)	
Bronzegefäß	Vaso bronzeo	24. 40–42. 52. 93. 117. 120–121. 154. 157. 166–169. 191. 260
Bügelfibel	Fibula ad arco	25. 39. 59–60. 123. 259. 279. 353
Dechsel	Ascia a lama piatta	84. 88–89. 145. 157. 163. 260. 271. 281. 403
<i>Disco Composito</i>	Disco composito	15. 59–60. 74–76. 126–127. 150. 166–168. 259. 269. 279. 354. 387
Dolium	Dolium, dolio	20. 23–24. 33. 50. 157. 167. 175. 315. 331

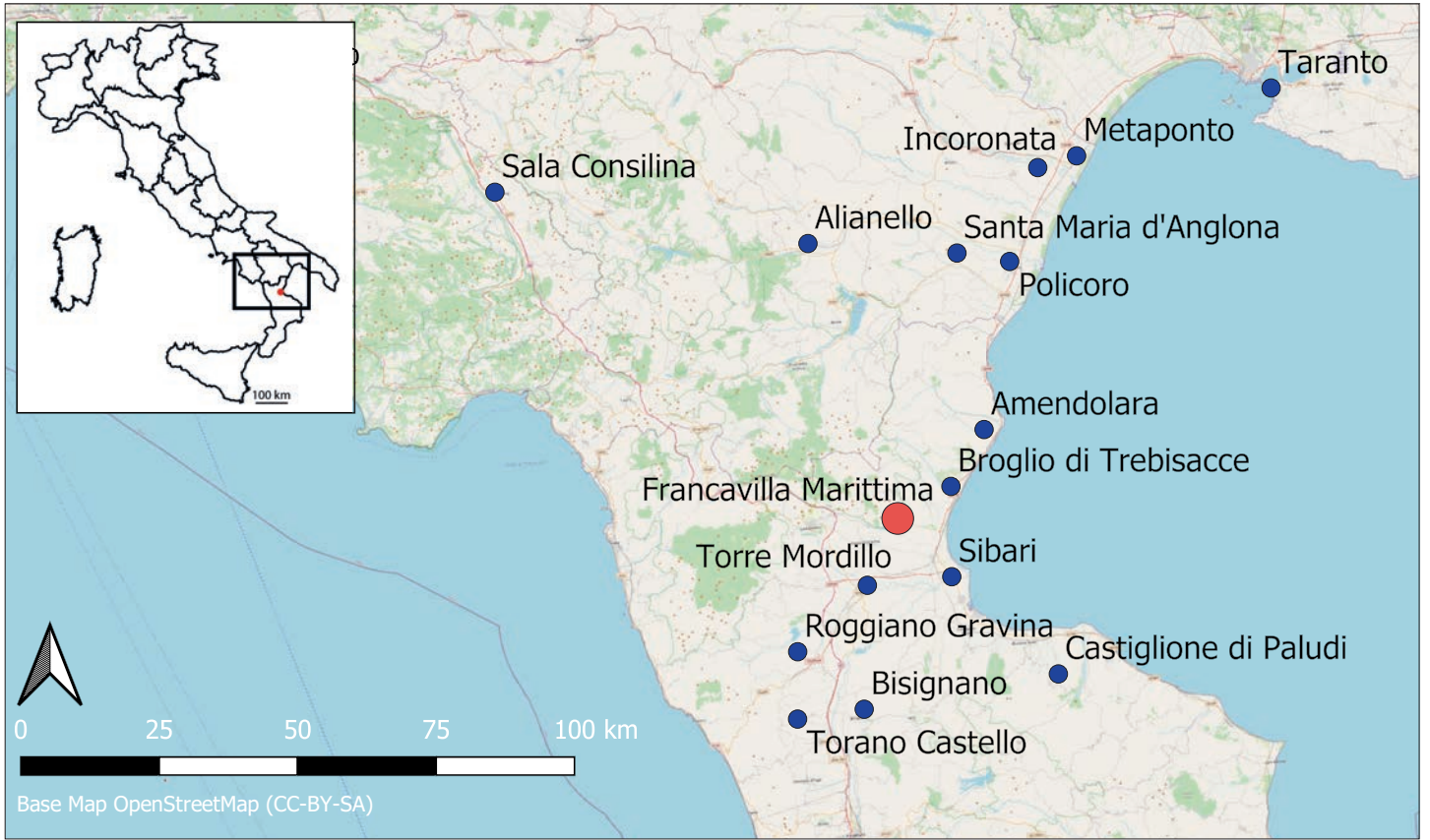
Deutsch	Italiano	Seiten/pagine
Doppelspiralanhänger	Pendaglio a doppia spirale	51–52. 64. 90–91. 98–99. 128–129. 169. 172. 259. 279. 333. 340. 360–361. 405. 414
Drahtperle, spindel-förmig	Spirale fusiforme, perla a spirale	48. 56. 69. 72. 74. 76. 87–88. 90. 98–99. 130. 132. 134. 142. 154. 156. 167. 322. 334–335. 347. 362. 370. 380. 382. 387–388. 400–401. 405. 414–415
Drehscheibe	Tornio	104. 112–113. 204. 241–246. 249. 252–254. 257–258. 264. 278–279. 315. 320. 330. 344. 346. 358. 381. 394. 410. 413
Enchytrismos	Enchytrismos	57. 60. 62. 66. 80. 114. 154. 171–178. 181. 190. 194–196. 199. 203. 207. 212. 225. 245. 256–257. 261–262. 267–268. 271. 273. 277–278. 282. 367
Feinkeramik	Ceramica depurata, figulina	24. 33. 54. 60. 62. 64. 72. 74. 76. 78–80. 83. 89. 92. 94. 99. 101. 107. 109–111. 113. 153. 158. 199. 227. 241. 245. 248. 255. 257–258. 266. 268. 276. 279. 315. 319–321. 330. 344. 346. 353. 356–359. 368. 379. 381. 384–386. 389–392. 394. 398–400. 404. 406. 410. 413
Fibel mit Aufsatz aus Bein oder Knochen	Fibula con placchetta quadrangolare d'avorio o d'osso	25. 51. 76–77. 84. 125. 142. 194. 386–387
Figürlicher Anhänger	Pendaglio a coppietta	27–31. 64–65. 130–131. 167. 172. 188. 259. 270. 279. 316. 360
Fingerspirale	Spirale digitale	15. 20. 23. 32. 50. 52. 58. 92. 135–136. 142–143. 166–169. 259. 270. 279. 317. 329. 336–340. 342. 344. 406–408
Frauengrab	Tomba femminile	23–27. 32. 37. 40. 42. 49. 67. 74. 82. 84. 86. 96. 99. 109. 111. 116. 122–123. 125–127. 132. 134–137. 140–141. 146. 148. 152. 154. 165–169. 174. 179. 190. 203. 257. 259–261. 268–272. 279–282
Gerät	Utensile	52. 55–56. 82–84. 86. 88–89. 97–98. 107. 115–116. 122. 125. 129. 130. 132–134. 138. 143. 145–146. 152–155. 157–164. 166–169. 180. 190. 193. 203–204. 206. 257. 260–261. 281. 352. 403. 412
Geschlecht	Genere	29. 48–49. 51–52. 54. 59–60. 68. 74–75. 78. 81. 84. 86. 90. 96. 115–116. 122. 130–131. 152–154. 156. 162. 165–166. 170–171. 173. 178–179. 190–191. 198. 203. 206–217. 219–222. 224. 261–262. 281–282
Gesundheit	Salute	209. 221. 224
Glas	Vetro	20. 23–24. 26. 37. 43. 49. 59. 70. 76. 116. 149–152. 166. 167–169. 199. 206. 259. 270. 280. 316. 328. 343. 355. 377. 389
Grab De Leo 1	Tomba De Leo 1	17–18. 83–84. 86. 88. 93–99. 101. 103–104. 112–113. 117. 119–123. 134. 139. 145–149. 153–155. 158. 162–164. 172–173. 178. 187–190. 194. 200. 204–208. 216–219. 221. 223. 225–226. 231. 235. 250. 252–260. 263–264. 266–271. 273–274. 276–281. 283–284. 410–413
Grab De Leo 2	Tomba De Leo 2	17–18. 72. 93. 98–99. 108–109. 128–129. 131–133. 147. 171–173. 177. 187–188. 207. 216–218. 223. 255. 262. 266. 272. 276. 282. 413–415
Grab Strada 1	Tomba Strada 1	16–17. 19–42. 44–45. 64–65. 109–110. 121–122. 124. 126–127. 130–131. 135–136. 147–150. 178–179. 183. 187–190. 245. 255–256. 259–261. 263. 266–267. 270–271. 273. 276–277. 280–281. 283. 315–320
Grab Strada 2	Tomba Strada 2	26. 46–50. 52. 69. 100. 104. 110. 116. 126. 132. 136–137. 142. 147–150. 153. 168. 178–180. 188. 190. 204–208. 217. 222. 225–226. 229–230. 235. 239. 250. 252. 254. 256–257. 259. 261–263. 267–268. 270–273. 277–283. 320–327
Grab Strada 3	Tomba Strada 3	49–50. 109. 125. 133. 135–136. 171. 178–179. 188. 190. 207–208. 217–218. 222. 225. 230. 245. 256. 262. 267. 272. 277. 282. 328–329
Grab Strada 4	Tomba Strada 4	12. 50–53. 63. 69–70. 116–117. 119. 121–122. 128–129. 132–133. 135. 137. 142. 146–148. 150. 153–154. 166. 168–169. 171. 173. 177–179. 188. 190. 200. 207. 209–210. 217–218. 221–222. 225–227. 230. 233–235. 246. 252. 256–257. 259. 261–263. 267–268. 270–273. 277–278. 280–282. 330–345
Grab Strada 5	Tomba Strada 5	24. 53–56. 65. 83. 86–87. 90. 95. 100. 113. 130. 132–133. 138–140. 142. 144. 146. 153. 155. 160. 162. 164. 178–179. 188. 190–191. 198. 204–205. 207. 209–210. 217. 221–222. 225–227. 230. 234. 246–247. 252. 256–257. 260–261. 263. 268. 271–273. 278. 280–281. 284. 346–353

Deutsch	Italiano	Seiten/pagine
Grab Strada 6	Tomba Strada 6	25–26. 53. 57–60. 62. 65. 75. 109. 114. 123–124. 126–127. 135. 139. 149–150. 153. 166. 168–169. 178–179. 181–182. 188. 190–191. 207. 210. 217–219. 221–222. 225–226. 231. 234. 247–248. 254. 256–257. 259. 262–263. 267–270. 272–273. 277–280. 282–283. 353–357
Grab Strada 7	Tomba Strada 7	53. 58. 60–62. 65. 80. 109–110. 114–115. 153–155. 178–179. 182. 188. 190. 207. 210. 217. 221–222. 225–226. 233–235. 247–249. 256. 261–263. 271. 273. 281. 357–358
Grab Strada 8	Tomba Strada 8	24. 27. 61–64. 70. 72. 78–79. 92. 98–99. 106–110. 115. 124. 128–133. 139. 142. 146–148. 170–173. 177. 178–179. 181–182. 188. 190. 199–200. 207. 211. 217–218. 221–222. 225–226. 231. 249. 252–253. 256–257. 259–263. 267–268. 270–274. 277–278. 280–283. 358–366
Grab Strada 9	Tomba Strada 9	53. 58. 60. 62. 65. 114. 136. 171. 173. 178–179. 182. 188. 190. 207. 212. 217–218. 221–222. 234. 245. 256. 366–367
Grab Strada 10	Tomba Strada 10	57. 60. 62. 66–67. 113. 151. 171. 174. 178–179. 188. 190. 207. 212. 217–218. 221–222. 225. 245. 256. 261. 267. 271. 277. 281. 367
Grab Strada 11	Tomba Strada 11	32. 48–49. 52. 61–62. 67–70. 72. 82. 110. 127. 129. 132–133. 135–137. 139. 142. 147–150. 153–154. 166. 168. 178–179. 188. 207. 212. 217. 222. 225–226. 229. 231–232. 234. 236. 246. 256–257. 259. 262–263. 268. 270. 272–273. 282. 367–379
Grab Strada 12	Tomba Strada 12	70–72. 91. 99. 107–108. 124. 129. 132–133. 151. 170–172. 178–179. 188. 207. 212. 217. 223. 225. 231. 234. 251. 256–257. 263. 267. 273. 277. 379–381
Grab Strada 13	Tomba Strada 13	70. 72–75. 77. 79–80. 83. 109. 116. 132. 142–143. 153. 168–169. 172. 178–179. 182. 188. 190–191. 207. 213. 217. 223. 225. 229. 231. 234. 250. 256. 262–263. 272. 274. 282–283. 381–385. 389–390
Grab Strada 14	Tomba Strada 14	25. 72–77. 79–80. 83. 111. 116. 124–126. 129. 132–133. 135. 150. 153–154. 166. 168–169. 172. 178–179. 182. 188. 190–191. 206–207. 213. 217. 221. 223. 225–226. 231. 234. 247–248. 250–251. 258–259. 262–263. 269–270. 273. 279–280. 283. 381. 384–390
Grab Strada 15	Tomba Strada 15	60. 62. 72–75. 77–80. 83. 115. 142. 146. 153–155. 158. 162. 172. 178–179. 182. 188. 190–191. 207. 214. 217–219. 221. 223. 225. 231. 234. 247–248. 250. 256–257. 260–263. 267–268. 271–273. 277–278. 282. 390–394
Grab Strada 16	Tomba Strada 16	57. 75. 79. 80–84. 90–91. 99. 109. 111–112. 115. 121. 133. 142. 144. 146–149. 153–155. 158. 162. 172. 178–179. 188. 190. 201. 207. 214. 217. 223. 225–226. 231. 252–253. 256. 259–261. 263–264. 270–274. 280. 284. 394–399
Grab Strada 17	Tomba Strada 17	18. 55–57. 74. 83–91. 95–97. 99. 101. 105. 119–122. 130. 132. 134. 140–146. 153. 155. 158. 162–163. 172. 178–179. 181. 187–188. 190–192. 198. 200–201. 207. 215. 217–219. 221. 223–225. 229. 231–232. 234. 253–254. 256. 260–261. 263–264. 271–273. 280–281. 399–404
Grab Strada 18	Tomba Strada 18	74. 85. 90–91. 99. 107. 125. 128–129. 132. 170–172. 178–179. 187–188. 201. 207. 215. 217–218. 221. 223. 225. 229. 231. 251. 256–257. 262–263. 272–273. 282–283. 404–405
Grab Strada 19	Tomba Strada 19	51. 70. 91–92. 107. 135. 142. 147. 149. 170–171. 173. 178–179. 187–188. 207. 215–218. 223. 225. 256–257. 405–410
Grabhügel (siehe Tumulus)		
Gräbergruppe (siehe Bestattungsgruppe)	Gruppo tombale (vedi gruppo di sepolture)	
Grobkeramik (siehe Impasto)	Ceramica grezza (vedi impasto)	
Halsreif	Collare, goliera	25–26. 59. 127. 166–167. 188. 259. 279. 316. 354
Holzkröte, Holzkammer	Cassa lignea, camera lignea	48. 50. 53–54. 70. 81. 83–85. 88. 93–94. 178. 181. 183. 256–257. 277–278
Identität	Identità	42. 133. 165. 190. 202. 204–205. 236. 241. 254. 259. 264. 270. 274. 284

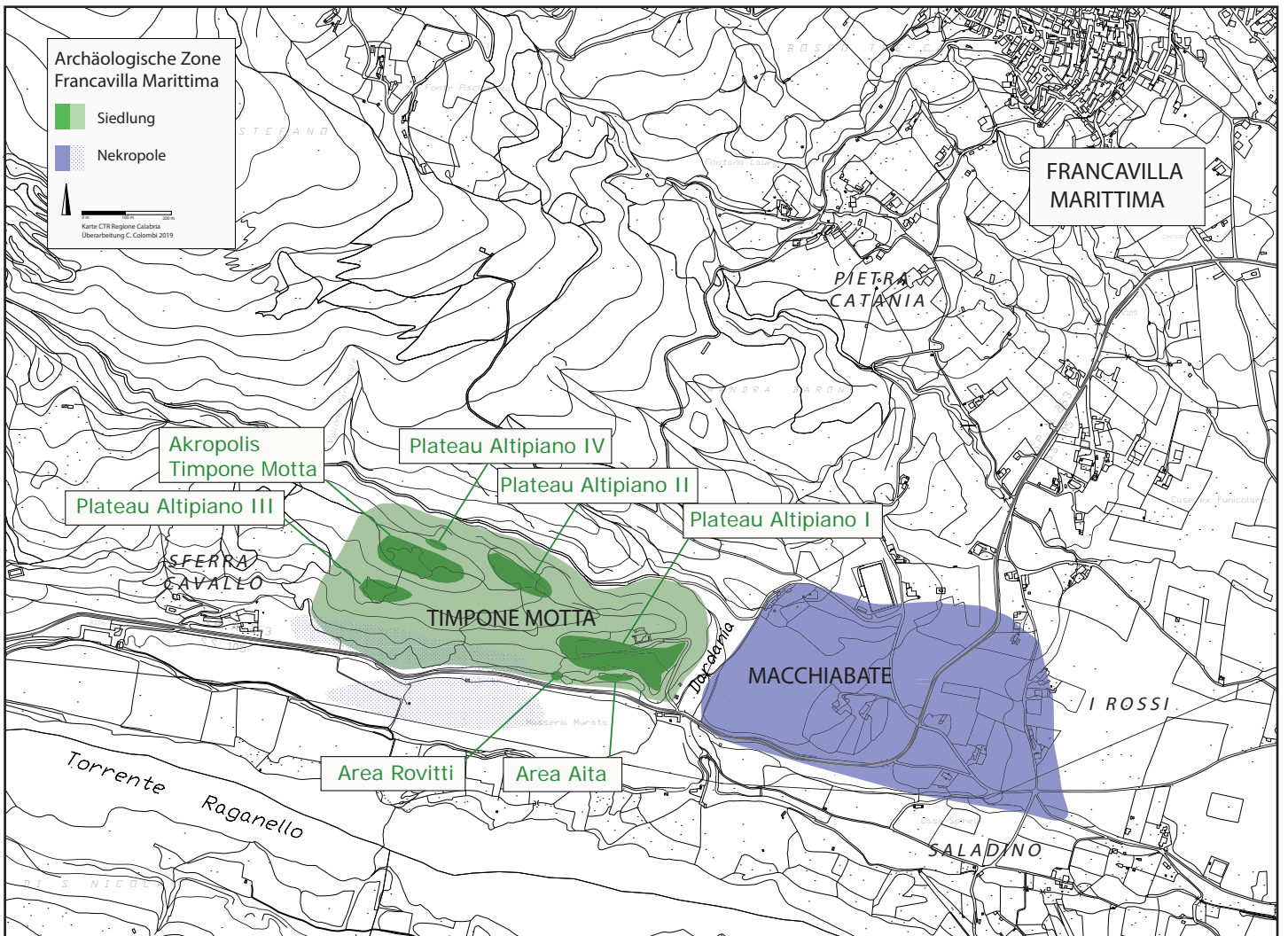
Deutsch	Italiano	Seiten/pagine
Impasto	Impasto	13. 24. 33. 43. 50. 58. 61–62. 64–67. 72. 74–75. 79–80. 83. 89. 94. 107–109. 111. 113–115. 117. 162. 171. 173–175. 181. 189. 199–201. 241. 249. 256. 258. 261–262. 271. 277. 279. 281–282. 315. 321. 331–332. 356–359. 367. 369. 384–385. 390. 392–394. 398–399. 404
Isotopen	Isotopi	12. 147. 200. 207. 209. 220. 225–227. 232–235. 260. 270. 280
Kanne	Brocca	15. 32. 60. 62. 64. 73–74. 76–80. 88–90. 99. 101. 105–106. 108–110. 157. 166–167. 190. 203–205. 231. 243. 245–250. 252–253. 257–258. 268. 278. 353. 357–358. 381. 385. 390. 399. 413
Kessel	Calderone	24. 35. 41–42. 96–98. 117–119. 122–123. 164. 180. 198. 205. 260. 264. 270. 280. 411
Kette	Collana, catenella	15. 20. 23. 26–27. 32. 48–49. 52. 56. 64. 68–70. 72. 74. 76. 82. 84. 87. 92. 97. 99. 115. 127–133. 135. 137. 142. 147–149. 153. 154. 156. 167–168. 172. 177. 259. 279–280. 316. 322–323. 324. 335. 369–370. 377–378. 382–383. 400. 414
Kindergrab	Tomba infantile	17. 23. 26–28. 50. 63–65. 78–79. 93. 99. 106. 107. 109. 115. 123. 128–129. 133. 135. 143. 146–148. 160. 162. 164. 170–171. 172. 173. 176–177. 179. 188. 190. 192. 198–200. 251–252. 255–263. 276–283
Klinge	Lama	54–55. 78. 82–84. 87. 88. 89–90. 97. 116. 143–144. 145. 146. 152. 154–155. 159–160. 162–163. 260. 261. 271. 281. 351–352. 364–365. 391. 396. 402–403
Körperhöhe	Altezza corporea	54. 59–60. 67. 75. 78. 81. 174. 207–217. 220–222. 224
Krater (und kraterartiges Gefäß)	Cratere (e vaso crateroide)	17. 49. 93–94. 96–98. 100. 101–104. 109. 113. 157. 164. 186. 188–190. 194. 200. 204–205. 244–245. 247–248. 250. 252. 254. 257–258. 263–264. 268–269. 274. 278–279. 283–284. 320. 410
Lanze, Bronze	Lancia, bronzo	54. 55–56. 57. 83. 86. 88. 130. 134. 138–140. 154. 155. 156–157. 158–160. 161–162. 163–164. 175. 190. 191. 198. 204. 227. 260–261. 264. 268. 269. 271. 274. 278. 279. 280–281. 284. 348
Lanze, Eisen	Lancia, ferro	54. 55. 56–57. 82–84. 86. 87–88. 89–90. 95–96. 98. 133–134. 139. 143–144. 145–146. 154. 155. 156–157. 158–160. 161–162. 163–164. 175. 260–261. 271. 280–281. 351. 396. 402
Männergrab	Tomba maschile	32. 67. 78. 80. 82. 86. 89–90. 95. 97. 99. 106. 111. 122–123. 127. 132–134. 137–141. 143–144. 147–149. 152. 154–164. 168. 172–173. 179. 185. 190. 198. 203. 259–261. 268. 271–272. 277. 281
Messer	Coltello	55. 64. 78. 82. 84. 88–89. 96–97. 116. 134. 144–146. 152. 155. 157–158. 160. 162–163. 167. 260–261. 271. 281. 351–352. 364–365. 391. 396. 403. 412
Monumentales Fossagrab	Tomba a fossa monumentale	51. 63. 65. 72–73. 75. 90. 93. 156. 169. 171. 176. 178–180. 182. 190. 245–247. 252. 254. 256. 267. 275. 277. 315. 320. 330. 346. 358. 367. 379. 381. 385. 390. 394. 399. 410. 413
Oinotrisch–euböische Keramik	Ceramica enotrio–euboica	54. 57. 84. 100–101. 103–104. 106. 108. 111–112. 157. 164. 189. 199–201. 204–205. 241. 244–245. 247. 251–254. 257–258. 278–279. 346. 394
Olla	Olla, orcio	15. 20. 23. 33. 49. 51–52. 54–55. 57. 61. 69–70. 79. 88–90. 99–102. 104–106. 108–110. 113–115. 119. 133. 139. 157. 166–167. 181. 188. 190. 203–205. 227. 230. 242–250. 253–254. 257–259. 267–269. 277–279. 282. 319. 330. 346. 357. 367–368. 392. 399
Pithos	Pithos	51. 58. 62. 65–67. 79–80. 113–115. 119. 151. 157. 171. 173–176. 181. 194. 199. 212. 218. 225. 256. 262. 267. 273. 277. 282. 331. 367. 384. 390
Radanhänger	Pendaglio a ruota, pendaglio ad anelli concentrici	32. 68–70. 127–128. 132. 166–168. 259. 269. 279. 318. 369–370. 377
Ring, Bronze	Anello, bronzo	15. 20. 23. 27. 29. 32. 48. 50. 52. 60. 64. 66. 69–70. 72. 76. 81. 86–88. 95–98. 123. 127–129. 132–134. 137. 142. 154. 156. 167. 187. 215. 257. 277. 279. 317–318. 323–324. 326. 329. 334–336. 347–348. 353. 361–364. 369–371. 373. 377–378. 380. 387–388. 395. 400–401. 405. 412. 414
Ring, Eisen	Anello, ferro	53. 81. 142. 318. 371. 373. 396
Ringanhänger	Pendaglio ad anelli	32. 52. 56. 64. 69. 72. 76. 87–88. 90. 98–99. 128–130. 132–134. 138. 154. 156. 166–168. 259. 318. 329. 333–334. 347. 361–362. 369. 380. 387. 400. 405. 414

Deutsch	Italiano	Seiten/pagine
Schaftlochaxt	Ascia ad occhio	56. 83–84. 88–89. 95. 97. 130. 144–145. 155. 157. 159. 162–164. 260. 271. 281. 401. 403. 412
Schale, Bronze	Coppa, bronzo	12. 16. 20–21. 23–24. 33–41. 51–52. 89–90. 97. 105. 119–123. 147. 164. 167. 190–191. 195. 198. 201. 205. 260. 264. 270. 280. 284. 319–320. 333. 400. 411
Schale, Feinkeramik	Scodella, ceramica depurata	54. 57. 76. 100. 108. 110–111. 120. 157. 167. 190. 200. 202. 204–205. 245. 247. 251. 258. 262. 269. 279. 386
Schale, Grobkeramik	Scodella, ceramica grezza	64–65. 79–80. 83. 111. 114–115. 146. 162. 258. 261–262. 269. 271–273. 279. 281–282. 359. 392–393. 398
Schale, Silber	Coppa, argento	12. 51–52. 122. 260. 146–147. 190. 227. 259–260. 270. 280. 342
Schildfibel	Fibula ad arco scudato	15. 25. 76–77. 124–125. 188. 259. 279. 386
Schlangenfibel, Bronze	Fibula serpeggiante, bronzo	25. 48. 59–60. 64–65. 69. 72. 76–77. 95. 98. 123–125. 129. 132. 140–141. 152. 155. 170. 175. 188–190. 194–195. 198. 200. 259. 263. 279. 283. 317. 319. 321. 322. 353. 359. 379. 386. 411
Schlangenfibel, Eisen	Fibula serpeggiante, ferro	20–21. 23. 25. 48. 51–52. 54–55. 57. 68. 74. 78. 81. 86–87. 90. 95. 101. 124. 138–142. 144. 152–153. 155. 158–159. 164. 188. 259. 263. 279. 283. 319. 341. 348–350. 355. 373. 383. 396. 401. 412
Schleifenring	Orecchino, fermatrecce	13. 26. 59–60. 76. 84. 134–135. 149. 166–167. 259. 269. 279. 315. 354–355. 370–371. 388
Schwert	Spada	56. 86–90. 98. 134. 143–145. 154–164. 190–192. 198. 201. 260–261. 271–272. 279. 280–281. 402
Sibaritide	Sibaritide	9. 13. 15–17. 19–20. 24–25. 27–28. 30–31. 33–34. 50. 60. 84. 97. 100–101. 104. 107. 112–113. 117–119. 125. 139. 165. 171. 176–177. 189. 196. 198. 201. 204. 207. 211. 241. 243–245. 247. 250–251. 253. 255. 258. 262. 264–266. 268–269. 273–276. 278. 280. 282. 284
Silber	Argento	12. 35. 52. 69–70. 116. 122. 140–141. 146–147. 169. 190. 227. 259–260. 270. 280. 342. 374
Skyphos	Skyphos	57. 83–84. 91. 97. 110–113. 123. 157. 188. 190. 200–201. 203. 245. 251–253. 258. 263–264. 269. 273–274. 279. 283–284. 394. 410–411
Spinnwirtel	Fuseruola	49. 52. 115–117. 150. 152–153. 167–169. 190. 199. 203. 257. 261–262. 268. 271–272. 278. 281–282. 321. 331
Spirale (siehe auch Fingerspirale, Drahtperle, Spiralperle)	Spirale (vedi anche spirale digitale, spirale fusiforme, saltaleone)	15. 24–26. 32. 41. 50. 56. 65. 82. 87–88. 91–92. 125–126. 128–129. 132. 135–136. 138. 143. 167. 172–173. 257. 279–280. 315. 317–319. 322. 329. 333. 336–337. 340–342. 344. 360–361. 366. 395. 405–408. 414
Spiralperle	Saltaleone	32. 64. 132. 259. 318. 363
Sybaris (siehe auch Sibaritide)	Sibari (vedi anche Sibaritide)	11–12. 15–17. 19. 21. 42–45. 112. 174. 184. 189–190. 201–204. 235. 258. 264. 269. 274. 279
Tasse (inkl. <i>atingitoio</i> , <i>bicchiere</i> , <i>boccale</i> , <i>brocchetta</i>)	Tazza (anche attingitoio, bicchiere, boccale, brocchetta)	20. 23. 32. 49. 52. 54. 57. 60–62. 64–65. 67. 69. 74. 76–80. 83–84. 88–89. 97–99. 105–106. 108–111. 157–158. 166–167. 187–188. 190. 203–205. 242–245. 247–254. 257–258. 263. 268. 278. 283. 319–321. 330. 346. 357. 359. 368. 381. 385. 391. 394. 400. 410
Timpone Motta	Timpone Motta	9. 12. 14–15. 17. 19–20. 26–28. 33. 57. 67. 79. 84. 101. 103–105. 107–109. 111–117. 121. 124–126. 129–131. 133. 136–137. 150. 172. 176. 184–190. 192–194. 199–206. 229. 235–236. 242–244. 246–255. 261–262. 264–266. 271. 273–276. 281–284
Timpone Motta, Gebäude V	Timpone Motta, edificio V	67. 111. 114. 116–117. 165. 172. 190. 192–193. 199–200. 261. 281
Trachtbestandteil	Elemento della <i>parure</i> , elemento del costume	22. 24–26. 32. 42. 52. 54–56. 59. 65. 70. 72. 77. 81. 84. 86. 92. 95. 97. 126. 130. 133–135. 137. 142. 152–156. 164–166. 169. 172. 190. 204. 206. 208. 257. 259. 261–263. 266. 268. 271. 278–279. 281. 283–284
Tumulus	Tumulo	16. 47. 178. 181. 184. 186. 191. 263. 273. 282–283
Verletzung	Ferita	86. 215. 221. 223–224
Vierspiralfibel	Fibula a quattro spirali	15. 24–26. 48–49. 51. 68. 91. 125–126. 128–129. 139. 142. 166. 170. 188–189. 259. 279. 317. 322. 373. 404

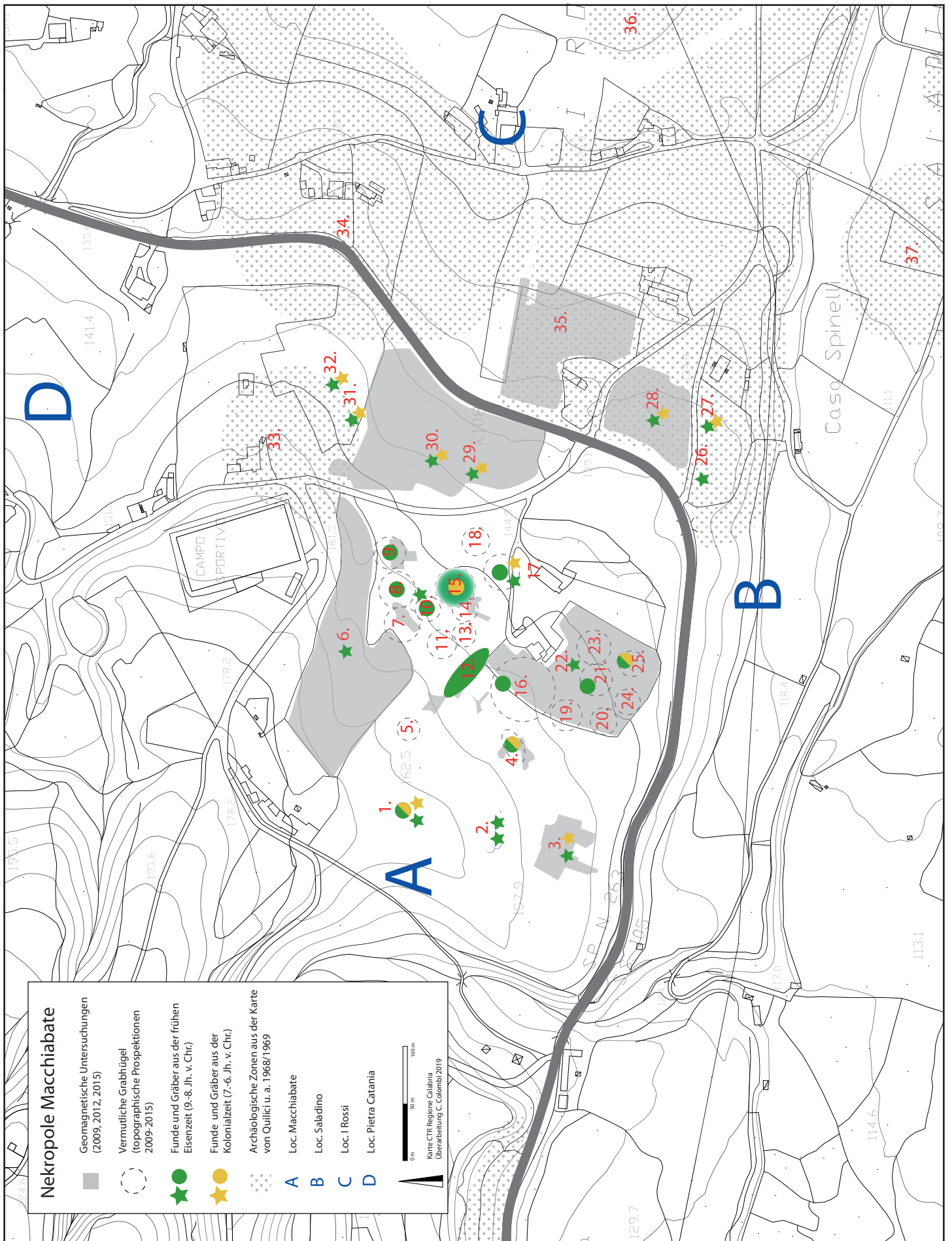
Deutsch	Italiano	Seiten/pagine
Waffengrab	Tomba con armi	56. 116. 152. 154–155. 157–162. 198. 201
Webgewicht	Peso da telaio	50–52. 58. 116–117. 152. 167–169. 190. 193. 199. 203. 257. 261–262. 268. 271–272. 278. 281–282. 331–332
Werkzeug (siehe Gerät)		
Zierknopf	Bottoncino	20. 23. 26. 48–50. 52. 56. 59. 68–70. 84. 136–137. 149. 167. 212. 257. 259. 261–262. 267. 270. 272. 277. 279. 282. 316. 326. 338. 344. 355. 371–373. 378
Zierscheibe	Disco decorativo, borchia di lamina sbalzata	24. 48–49. 68–70. 136–137. 143. 169. 259. 270. 279. 325. 371–372



1 Karte Untertaliens mit archäologischen Stätten



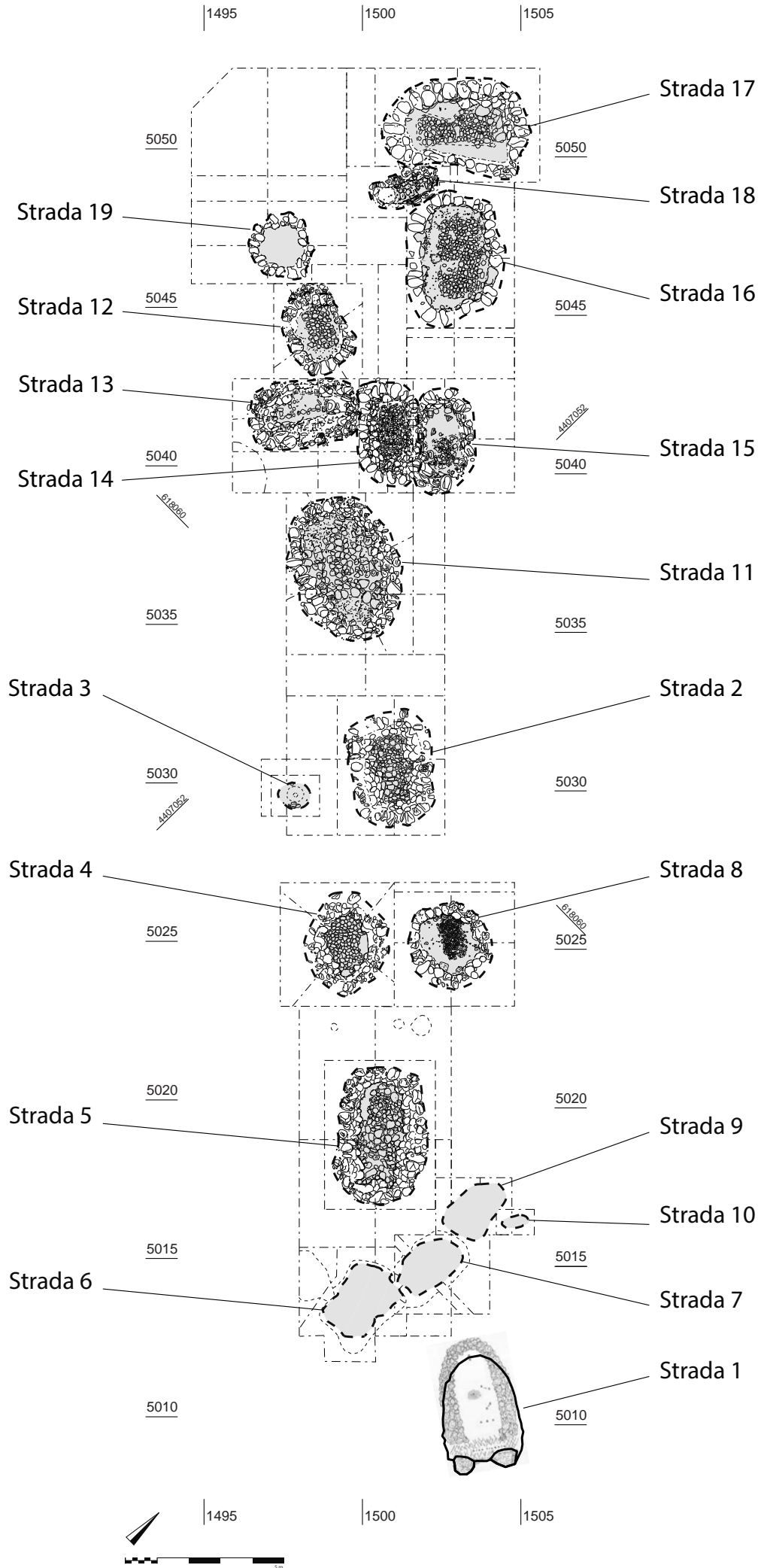
2 Archäologische Zonen von Francavilla Marittima






Ausdehnung der Macchiabate-Nekropole mit Lage der Fundstellen

- Legende Ausdehnung Nekropole Macchiabate:
1. Areal Cima, schlecht erhaltenes eisenzeitliches Grab mit Impasto-Scherben und bronzener Schlangenfibel; überlagert von zwei späteren Gräbern mit Skelettresten und nicht näher definierbaren Keramikscherben: Zancani Montuoro 1977–1979, 44 f. Streufunde aus der Eisenzeit und der archaischen Zeit (Impasto, Pithoi, bronzene Ornamente, Spinnwirrel, Ziegel); Surveys Universität Groningen 1998; Van Leusen u. a. in Vorbereitung, Nr. 9c.
 2. Streufunde aus der Eisenzeit (Bernsteinperlen, Eisenring), wohl aus zerstörten Gräbern: topographische Surveys Universität Basel 2015.
 3. Sog. Area Vuota bzw. Scacco Grande, Streufunde aus der Eisenzeit und der archaischen Zeit (Impasto, Pithoi, Fragmente von Feinkeramik und Amphoren, bronzene Ornamente, Ziegel); Surveys Universität Groningen 1998; Van Leusen u. a. in Vorbereitung, Nr. 9d; geomagnetische Surveys Universität Basel/Eastern Atlas GmbH & Co. KG, Berlin 2015; vgl. Zancani Montuoro 1977–1979, 45; keine antiken Reste sichtbar.
 4. Areal Collina, Gräbergruppe der Eisenzeit und der archaischen Zeit (Gräber 1–10), Ausdehnung unbekannt: topographische Surveys Universität Basel 2015; geophysikalische Messungen Eastern Atlas GmbH & Co. KG, Berlin 2015; Ausgrabungen Universität Basel seit 2018.
 5. Möglicher Grabhügel/Bestattungsgruppe, Ausdehnung und Datierung unbekannt: topographische Surveys Universität Basel 2009–2015.
 6. Streufunde der Eisenzeit (bronzene Schlangenfibel, eiseme Lanzenspitze, Grob- und Feinkeramikscherben): geomagnetische Surveys Universität Basel/Eastern Atlas GmbH & Co. KG, Berlin 2009.
 7. Möglicher Grabhügel/Bestattungsgruppe, Ausdehnung und Datierung unbekannt: topographische Surveys Universität Basel 2009–2015; geophysikalische Messungen Eastern Atlas GmbH & Co. KG, Berlin 2015.
 8. Möglicher Grabhügel/Bestattungsgruppe, Ausdehnung und Datierung unbekannt: topographische Surveys Universität Basel 2009–2015. In diesem Areal: mindestens ein zerstörtes eisenzeitliches Grab: Rettungsgrabung Universität Basel 2015; Guggisberg u. a. 2016.
 9. Areal Est, Gräbergruppe der Eisenzeit (Gräber 1–17), Ausdehnung des Hügel-/Gräbergruppe unbekannt: geophysikalische Messungen Eastern Atlas GmbH & Co. KG, Berlin 2015; Ausgrabungen Universität Basel seit 2015; Guggisberg u. a. 2016; 2017; 2018a; 2019.
 10. Areal Cerchio Reale, Gräbergruppe der Eisenzeit (Gräber A, 1–13), Ausdehnung des Hügel-/Gräbergruppe unbekannt: Ausgrabungen P. Zancani Montuoro; Zancani Montuoro 1974–1976, 93–106; Zancani Montuoro 1977–1979, 27–45. Streufund aus der Eisenzeit (feinkeramischer Krater): Quondam 2016.
 11. Möglicher Grabhügel/Bestattungsgruppe, Ausdehnung und Datierung unbekannt: topographische Surveys Universität Basel 2009–2015.
 12. Areal Strada, eisenzeitliches Grab (Strada 1): Ausgrabungen P. Zancani Montuoro 1963 (Zancani Montuoro 1970/1971 a); Gräbergruppe der Eisenzeit (Gräber 2–19); Ausgrabungen Universität Basel 2009–2016; geophysikalische Messungen Universität Basel/Eastern Atlas GmbH & Co. KG, Berlin 2009, 2012; Guggisberg u. a. 2010; 2011a; 2012a; 2012b; 2013; 2014; 2015a; 2016; 2017.
 13. Möglicher Grabhügel/Bestattungsgruppe, Ausdehnung und Datierung unbekannt: topographische Surveys Universität Basel 2009–2015.
 14. Möglicher Grabhügel/Bestattungsgruppe, Ausdehnung und Datierung unbekannt: topographische Surveys Universität Basel 2009–2015.
 15. Areal Temparella, Gräbergruppe der Eisenzeit, der archaischen und klassischen Zeit (Gräber 1–93), entspricht ca. der Hälfte eines markanten Hügel; Ausgrabungen P. Zancani Montuoro; Zancani Montuoro 1974–1976, 9–82; Zancani Montuoro 1980–1982; Zancani Montuoro 1983–1984, 7–110.
 16. Areal De Leo, zwei eisenzeitliche Gräber (1–2); Ausgrabungen Universität Basel 2014; Guggisberg u. a. 2015. Mögliche Ausdehnung des Grabhügel-/Bestattungsgruppe: topographische Surveys Universität Basel 2009–2015.
 17. Areal Lettere, Gräbergruppe der Eisenzeit (Gräber A–D), Streufunde der Eisenzeit und der archaischen Zeit (Complesso Primo); Ausgrabungen P. Zancani Montuoro; Zancani Montuoro 1977–1979, 10–26. Mögliche Ausdehnung des Grabhügel-/Bestattungsgruppe: topographische Surveys Universität Basel 2009–2015.

18. Möglicher Grabhügel/Bestattungsgruppe, Ausdehnung und Datierung unbekannt: topographische Surveys Universität Basel 2009–2015.
19. Möglicher Grabhügel/Bestattungsgruppe, Ausdehnung und Datierung unbekannt: topographische Surveys Universität Basel 2009–2015.
20. Möglicher Grabhügel/Bestattungsgruppe, Ausdehnung und Datierung unbekannt: topographische Surveys Universität Basel 2009–2015.
21. Areal Vigneto, Gräbergruppe der Eisenzeit (Gräber 1–7); Ausgrabungen P. Zancani Montuoro; Zancani Montuoro 1977–1979, 73–91. Mögliche Ausdehnung des Hügel-/Gräbergruppe: topographische Surveys Universität Basel 2009–2015.
22. Streufunde der Eisenzeit (Fragmente von Feinkeramik, geometrischer Skyphos, Bronzeringe): topographische Surveys Universität Basel 2009; Guggisberg u. a. 2010.
23. Möglicher Grabhügel/Bestattungsgruppe, Ausdehnung und Datierung unbekannt: topographische Surveys Universität Basel 2009–2015.
24. Möglicher Grabhügel/Bestattungsgruppe, Ausdehnung und Datierung unbekannt: topographische Surveys Universität Basel 2009–2015.
25. Areal Oliveto, Gräbergruppe der Eisenzeit und der archaischen Zeit (Gräber 1–16); Ausgrabungen P. Zancani Montuoro; Zancani Montuoro 1977–1979, 46–72. Mögliche Ausdehnung des Hügel-/Gräbergruppe: topographische Surveys Universität Basel 2009–2015.
26. Streufunde aus der Eisenzeit (bronzene Ornamente, Steinblöcke): Surveys Universität Groningen 1998; Van Leusen u. a. in Vorbereitung, Nr. 9d.
27. Streufunde aus der Eisenzeit und der archaischen Zeit (Impasto, Fragmente von Grob- und Feinkeramik, ionische Schale, Spinnwirrel, Steinblöcke), evtl. auch aus hellenistischer Zeit: Surveys Universität Groningen 2001; Van Leusen u. a. in Vorbereitung Nr. 9e.
28. Streufunde aus der Eisenzeit (Scherben aus Impasto, *math-painted* Keramik, Pithos), der archaischen und klassischen Zeit (korinthische Keramik, rotfigurige Keramik) und der hellenistisch-frühkaiserzeitlichen Epoche (Schwarzfirnisware, Terra Sigillata) sowie nicht näher datierbare Funde (Grob- und Feinkeramikscherben, Ziegel, Steinblöcke). Surveys Universität Groningen 1995 und 2001; Van Leusen u. a. in Vorbereitung Nr. 9a/9b. Die Präsenz von Gräbern im grau schraffierten Bereich ist auch anhand der 2009 durchgeführten geomagnetischen Surveys der Universität Basel/Eastern Atlas GmbH & Co. KG, Berlin anzunehmen.
29. Streufunde aus der Eisenzeit und der archaischen Zeit sowie evtl. aus hellenistischer Zeit (Impasto, Grob- und Feinkeramikscherben, *banded ware*, Schwarzfirnisware, Gerölle), wohl mit mindestens sechs Gräbern in Zusammenhang zu bringen: Surveys Universität Groningen 2002 und 2004; Van Leusen u. a. in Vorbereitung Nr. 9h.
30. Streufunde aus der Eisenzeit und der archaischen Zeit (Impasto, Grob- und Feinkeramikscherben, *math-painted* Keramik, Gerölle): Surveys Universität Groningen 2004; Van Leusen u. a. in Vorbereitung Nr. 9i.
31. Streufunde aus der Eisenzeit und der archaischen Zeit (Impasto, Webgewicht mit Labyrinthmuster, Grob- und Feinkeramikscherben, *banded ware*, Gerölle): Surveys Universität Groningen 2002 und 2004; Van Leusen u. a. in Vorbereitung Nr. 9g.
32. Streufunde aus der Eisenzeit und der archaischen Zeit: Surveys Universität Groningen 2002 und 2004; Van Leusen u. a. in Vorbereitung Nr. 202.
33. Zone mit Streuung hellenistisch-römischer Keramik: Quilici u. a. 1968/1969, 110 Nr. 142.
34. Entlang der Strasse war eine Zone mit Streuung von Keramikscherben und Resten von eisenzeitlichen Gräbern: Quilici u. a. 1968/1969, 109 Nr. 140.
35. Die gepunktete Zone gehörte laut Quilici u. a. 1968/1969, 109 Nr. 139 zur Nekropole der Macchiabate. Der grau schraffierte Bereich wurde durch geomagnetische Surveys der Universität Basel/Eastern Atlas GmbH & Co. KG, Berlin im Jahre 2009 untersucht, lieferte jedoch keine eindeutigen Hinweise auf die Präsenz von Gräbern.
36. Ortschaft Saladino, Zone mit Streuung von hellenistisch-römischer Keramik sowie eisenzeitlichen Gräbern: Quilici u. a. 1968/1969, 104 Nr. 47.
37. Ortschaft Pantano, Zone mit Streuung von hellenistisch-römischer Keramik: Quilici u. a. 1968/1969, 109 Nr. 137–138.

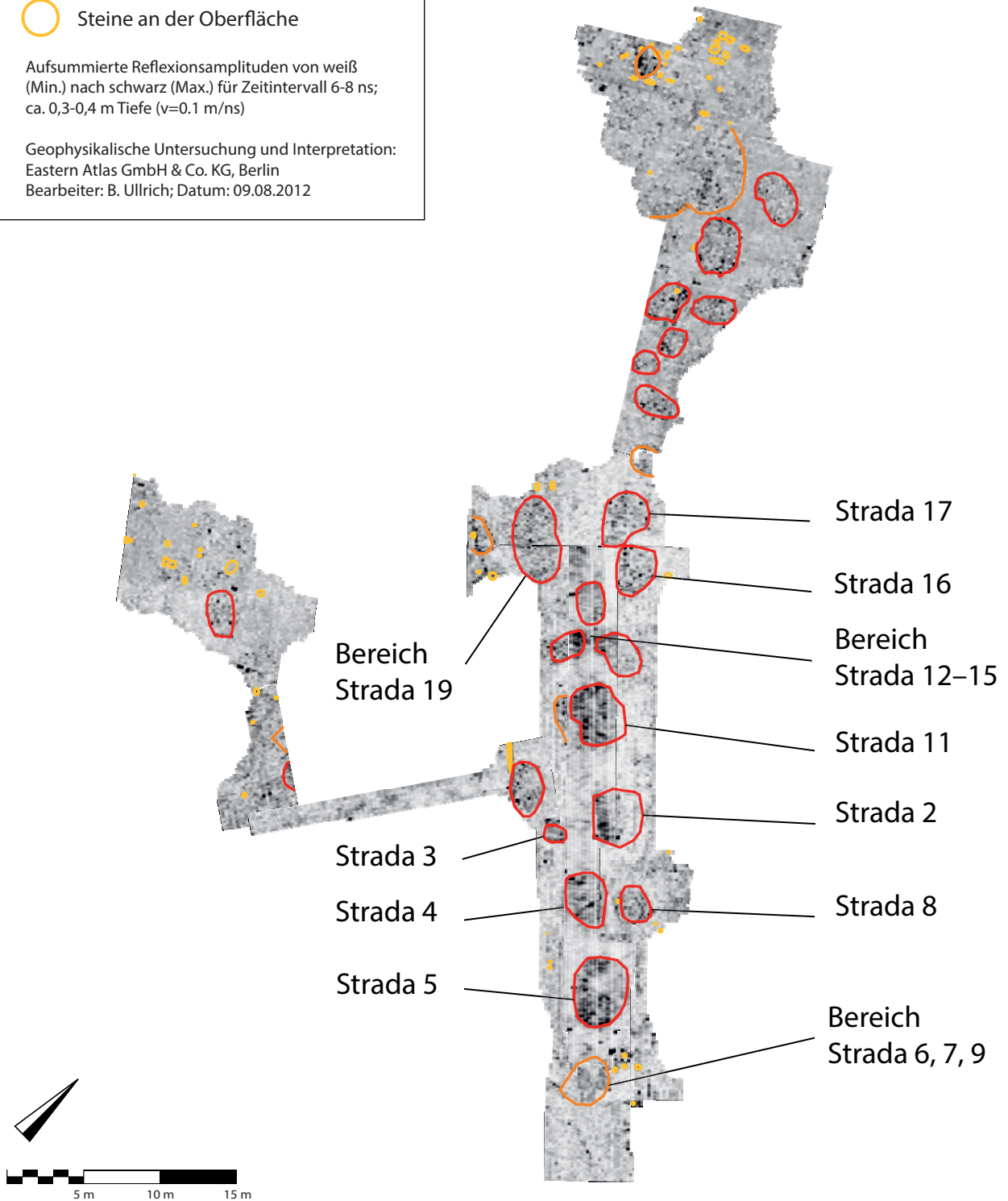


Nekropole Macchiabate
Areal Strada
Georadarmessungen (500 MHz)

-  Grabstrukturen
-  Weitere Strukturen
-  Steine an der Oberfläche

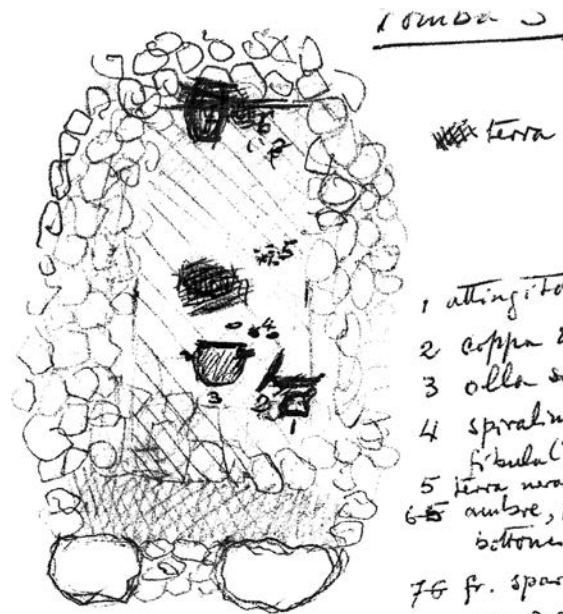
Aufsummierte Reflexionsamplituden von weiß (Min.) nach schwarz (Max.) für Zeitintervall 6-8 ns; ca. 0,3-0,4 m Tiefe ($v=0.1$ m/ns)

Geophysikalische Untersuchung und Interpretation:
Eastern Atlas GmbH & Co. KG, Berlin
Bearbeiter: B. Ullrich; Datum: 09.08.2012



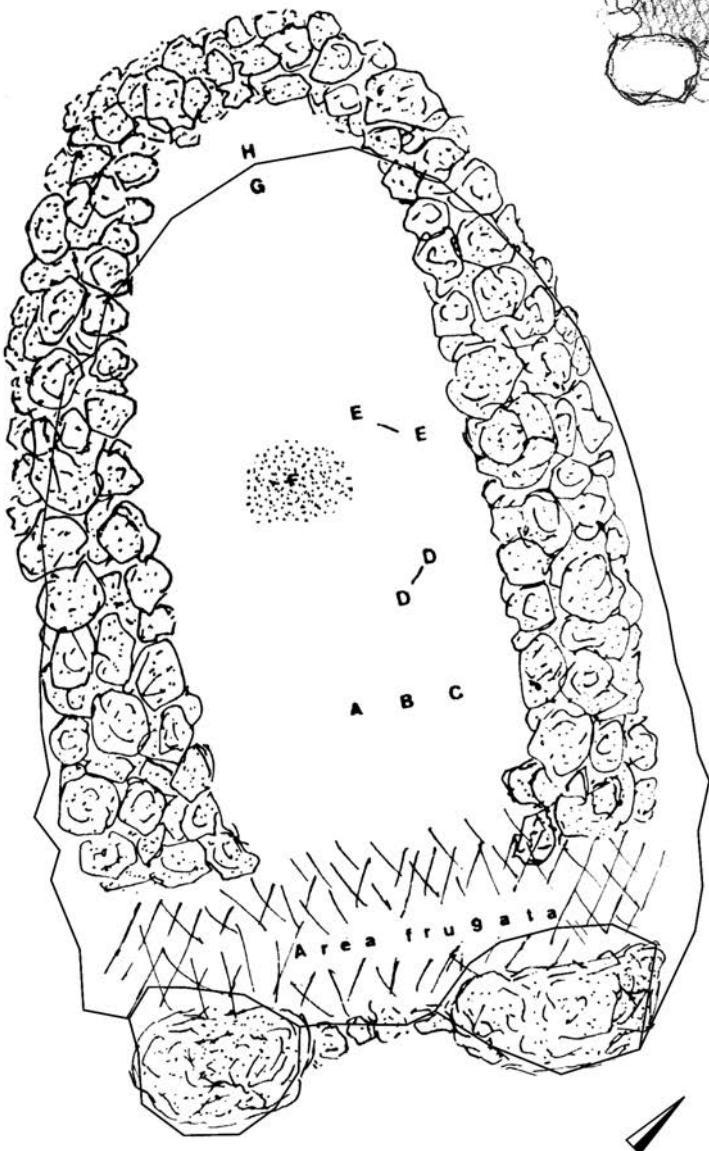


1 Tomba Strada 1. Schizzo misurato dal taccuino di scavo 1963 di P. Zancani Montuoro



- 1 attingitoro (12 cm. di fond)
- 2 coppa di bronzo
- 3 olla sottile sfogliata
- 4 spirulina e anelli di br. fibula (?) e anelli di ferro
- 5 terra nera
- 6-8 anelli, fr. metallici, fibule istrone di br.
- 7-8 fr. sparsi in alto di vas con incisioni
- 8-7 pithos o vaso a bocca

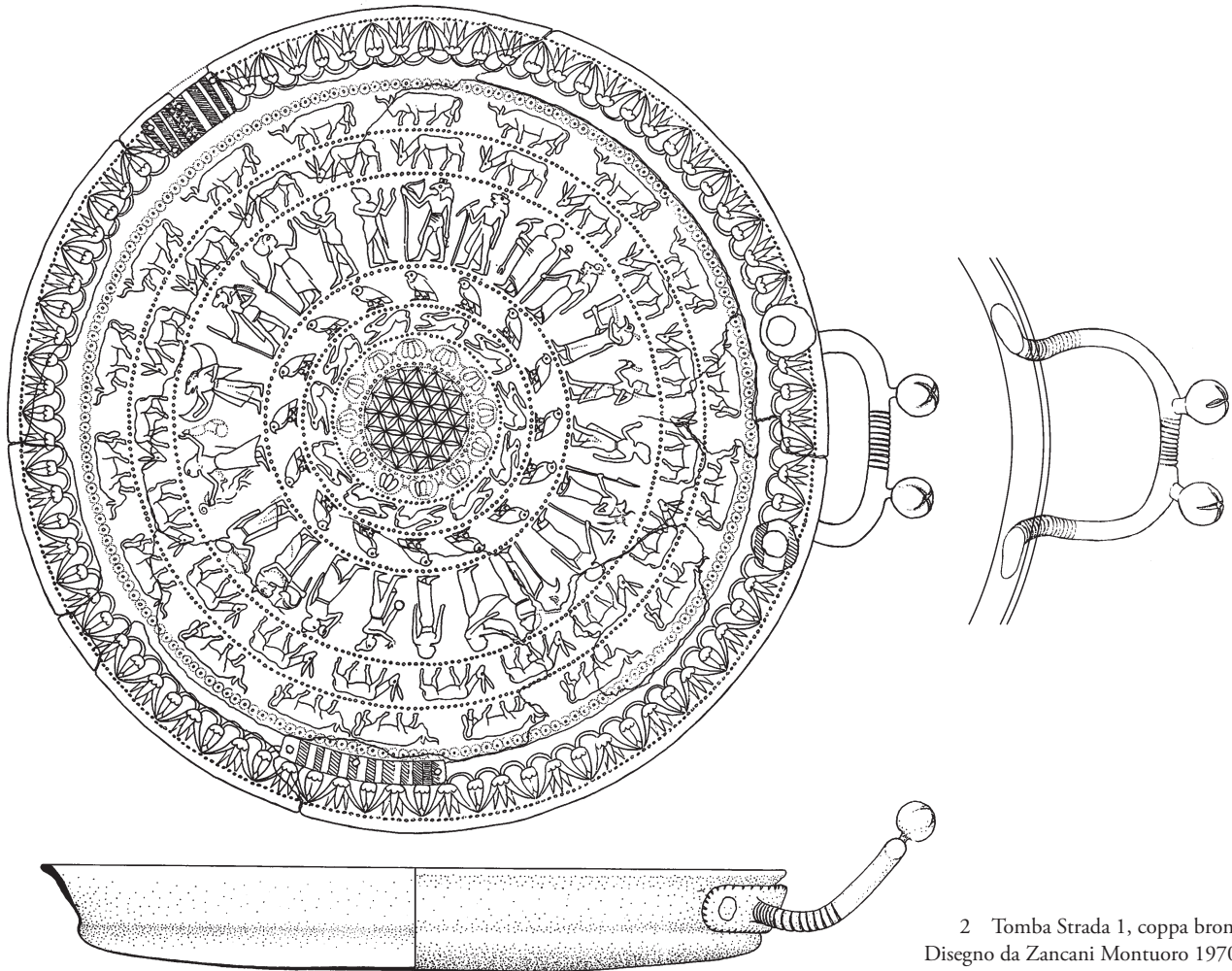
2 Tomba Strada 1. Minuta della pianta redatta per la relazione alla Soprintendenza Archeologica della Calabria (1963)



3 Tomba Strada 1. La pianta edita. Da Zancani Montuoro 1970/1971a, 11 fig. 1. Sovrapposto a fil di ferro il profilo attuale della sepoltura (rilievo Francavilla-Projekt Universität Basel)

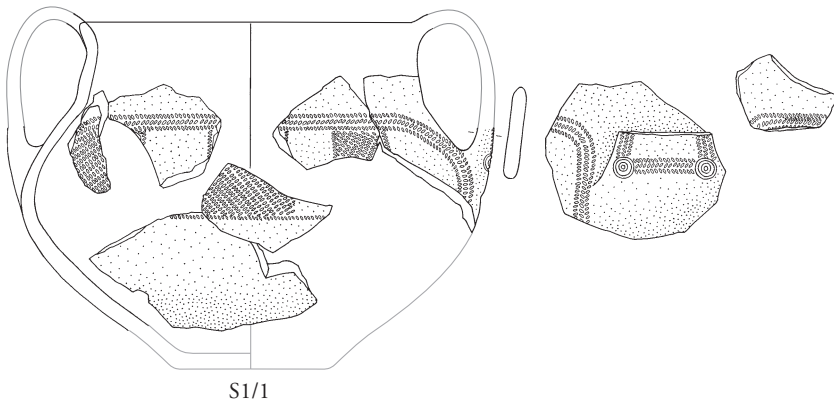


1 Corredo della tomba Strada 1 nel Museo Nazionale Archeologico della Sibaritide (Sibari)

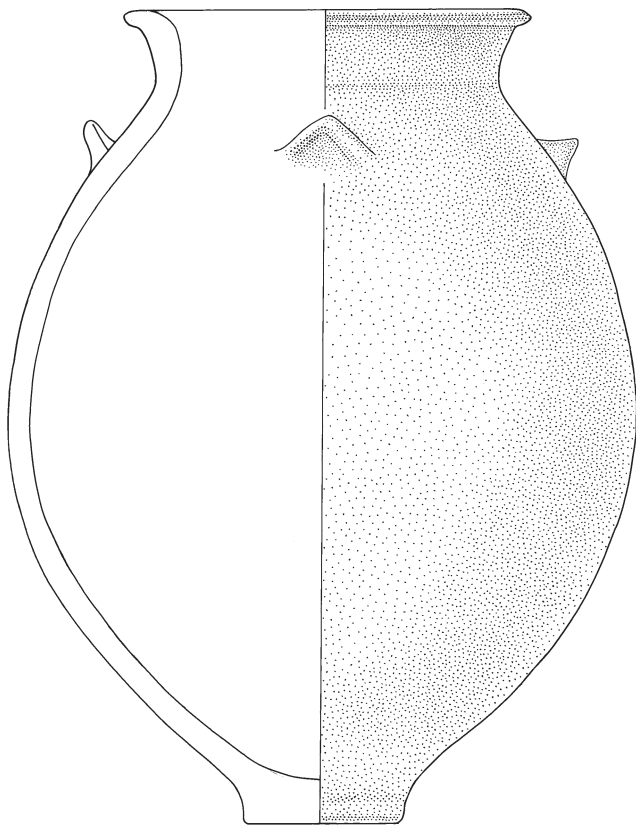


S1/22

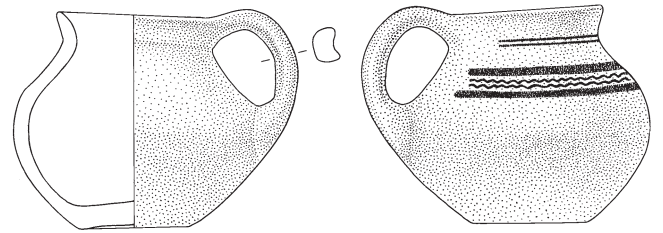
2 Tomba Strada 1, coppa bronzea (S1/22) 1:2. Disegno da Zancani Montuoro 1970/1971a, tav. 8 e nuova ricostruzione grafica dell'ansa vista dall'alto (Brigitte Gubler, Zürich)



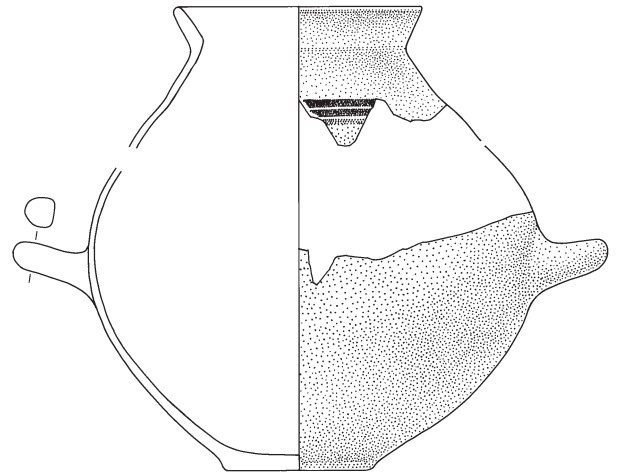
S1/1



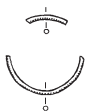
S1/2



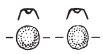
S1/20



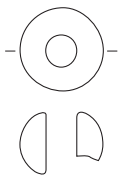
S1/21



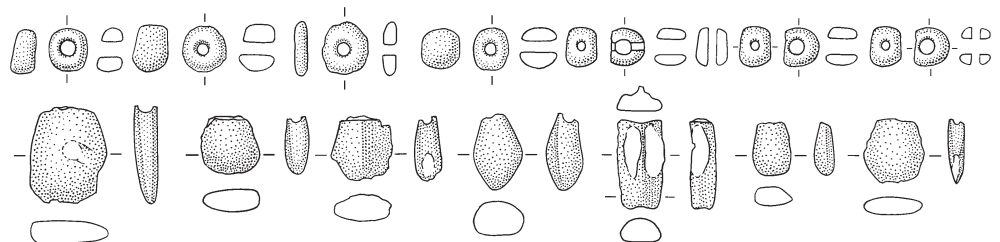
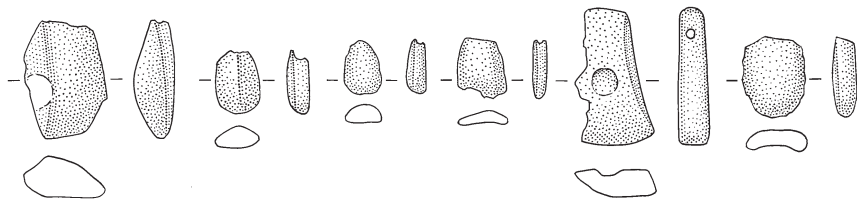
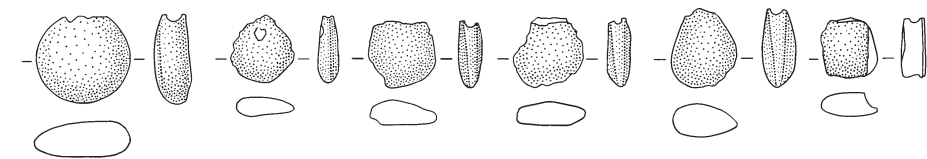
S1/3



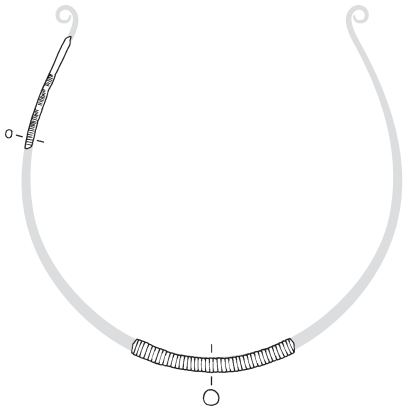
S1/4



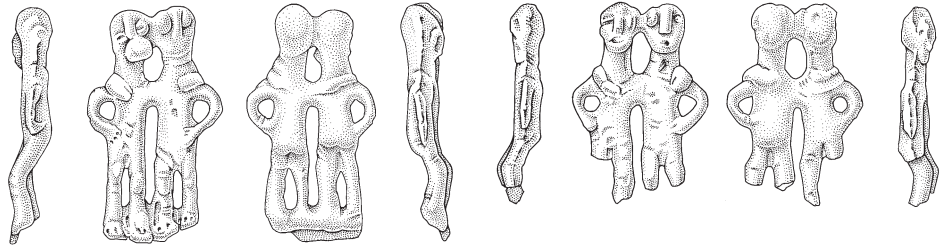
S1/6



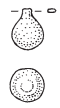
S1/5



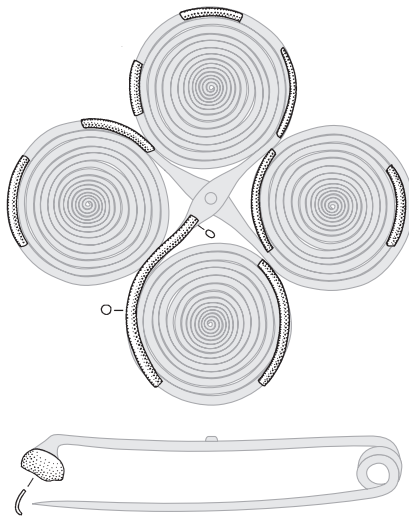
S1/7



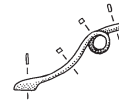
S1/8



S1/9



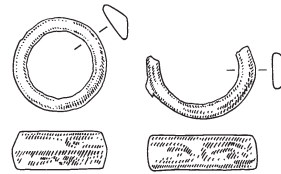
S1/10



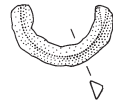
S1/11



S1/12



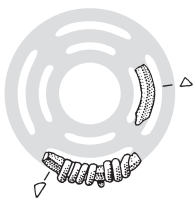
S1/13



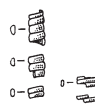
S1/14



S1/15



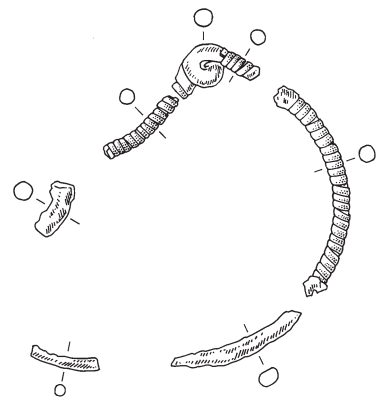
S1/16



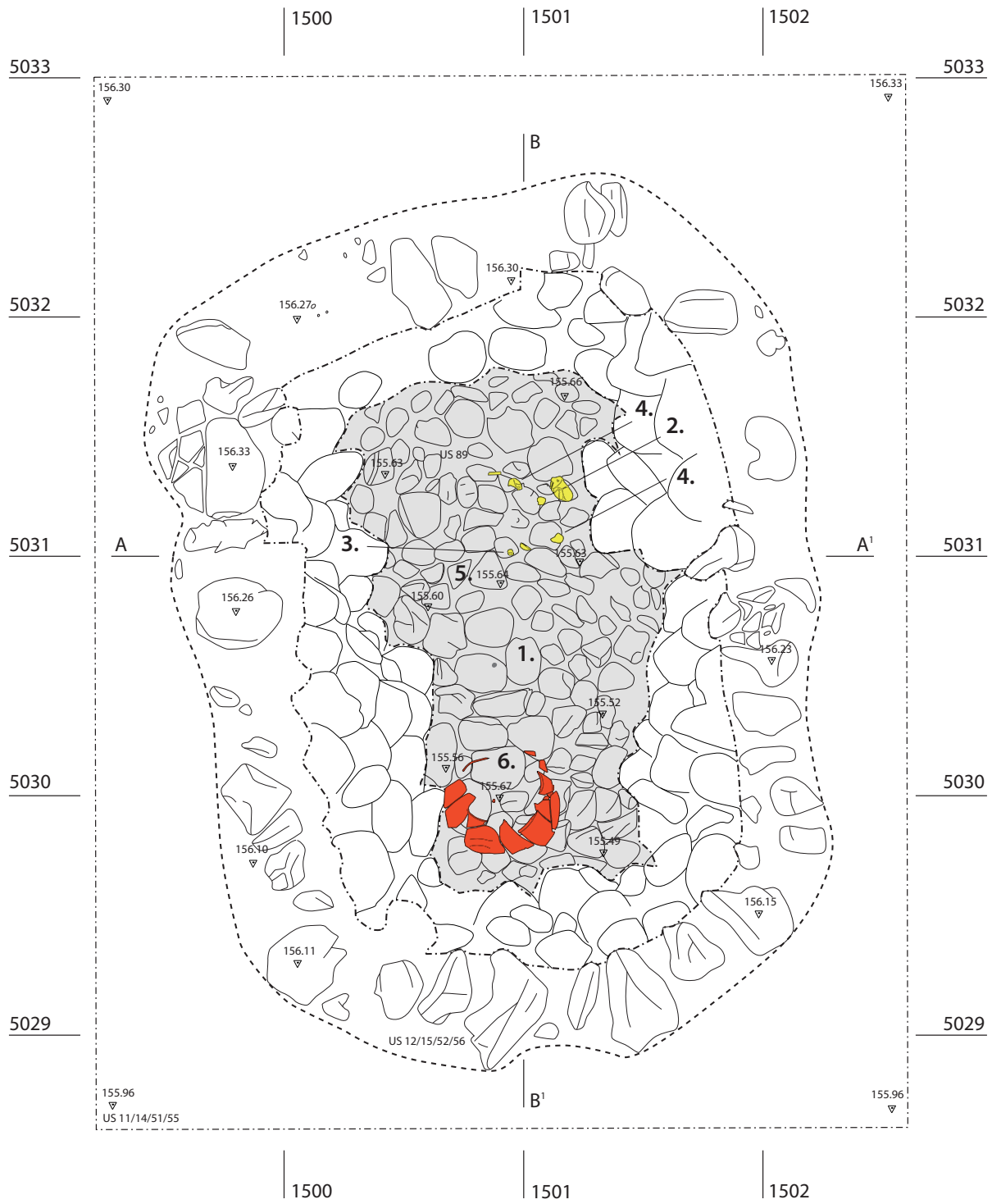
S1/17



S1/18



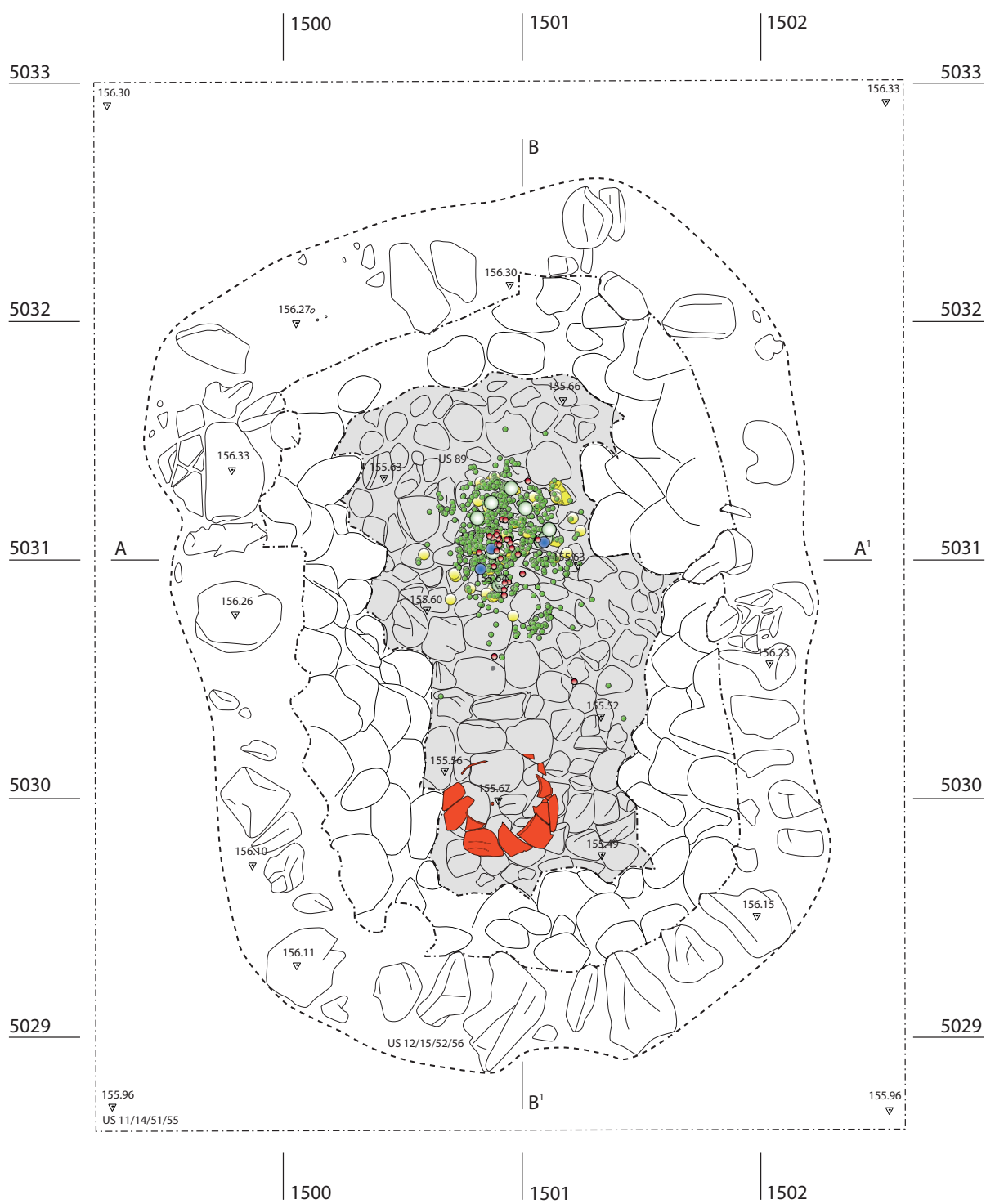
S1/19



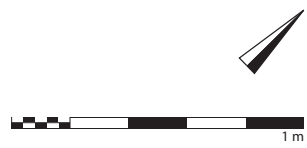
- Grab Strada 2
1. Plattenboden
 2. Schädelfragmente
 3. Flache Knochenfragmente
 4. Knochenfragmente
 5. Spinnwirtel S2/6
 6. Gefäss S2/1 mit Tasse S2/2

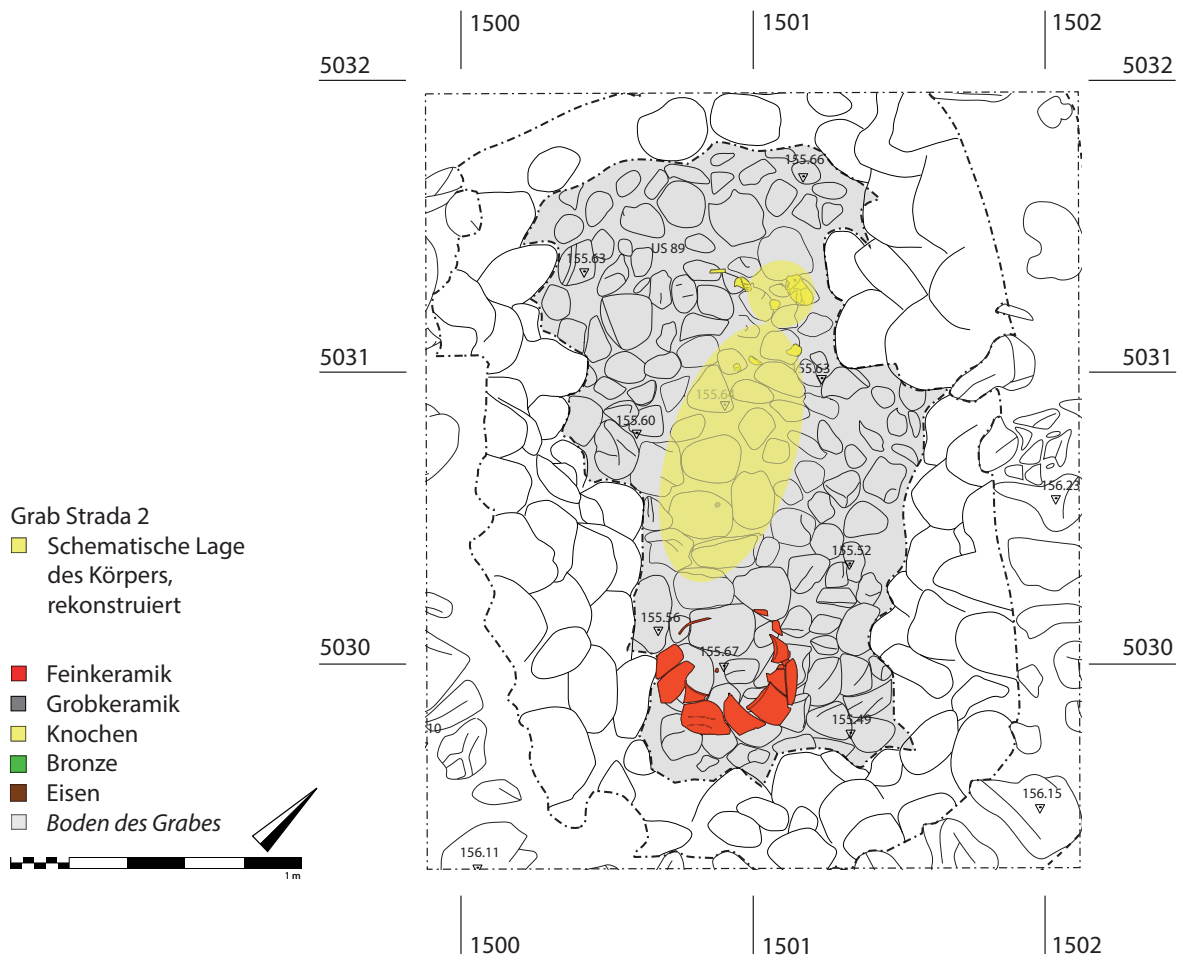
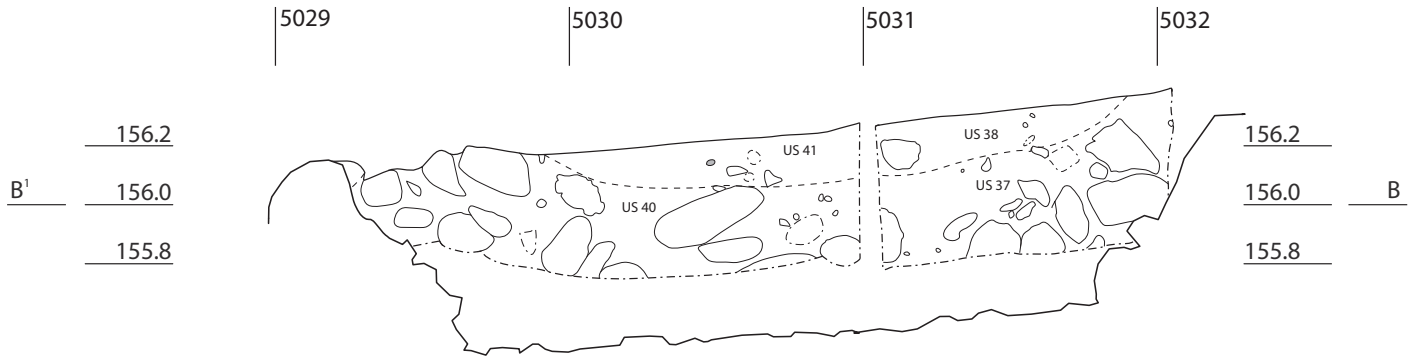
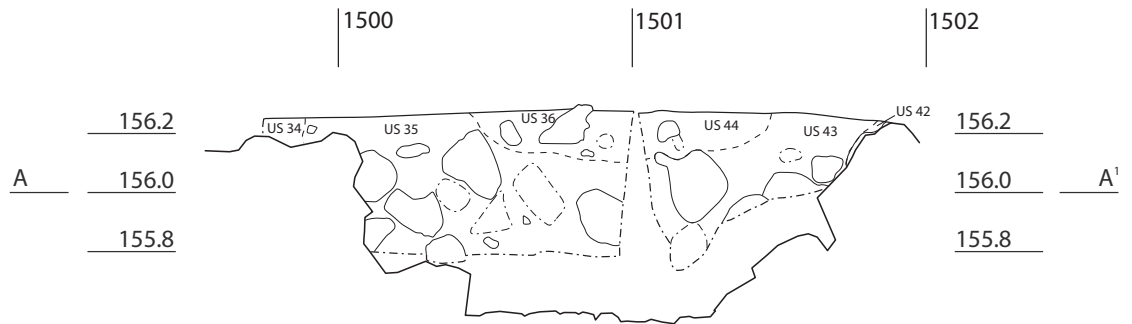
- Feinkeramik
- Grobkeramik
- Knochen
- Bronze
- Eisen
- Boden des Grabes





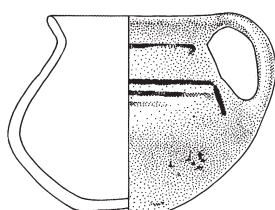
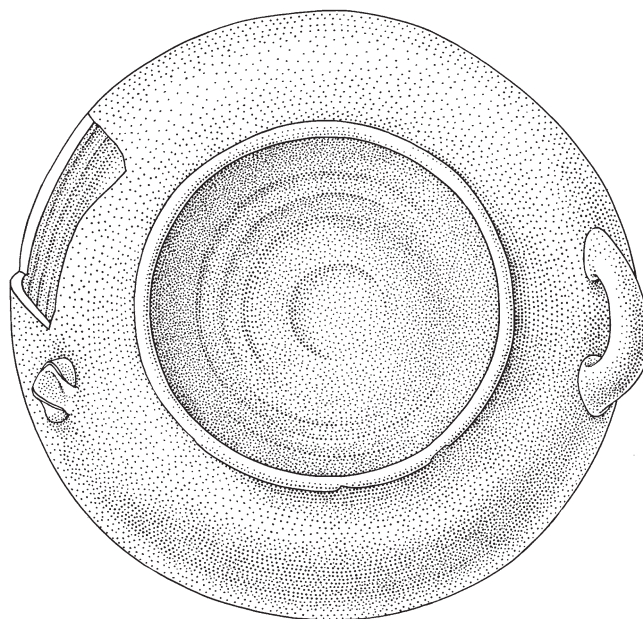
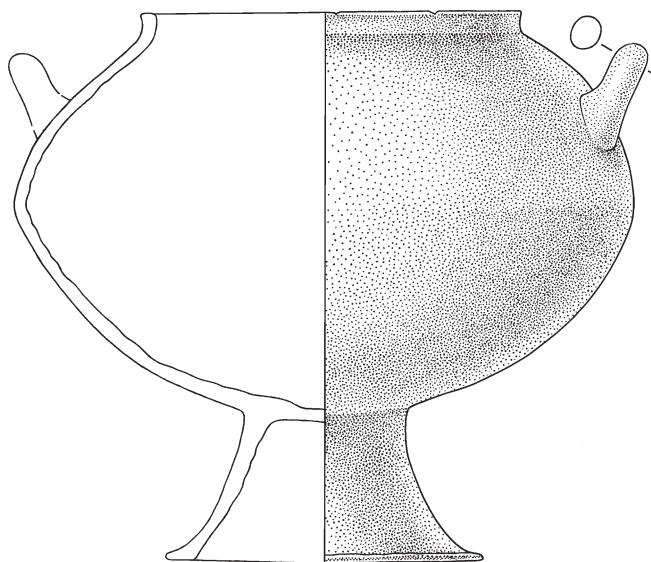
- Feink Keramik
- Knochen
- Bronzezierknopf
- Bronzescheibe
- Bernstein
- Glas
- Boden des Grabes



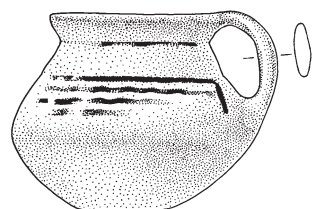
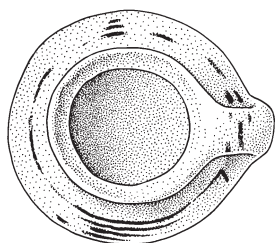




S2/1



S2/2



S2/3



S2/4



S2/5

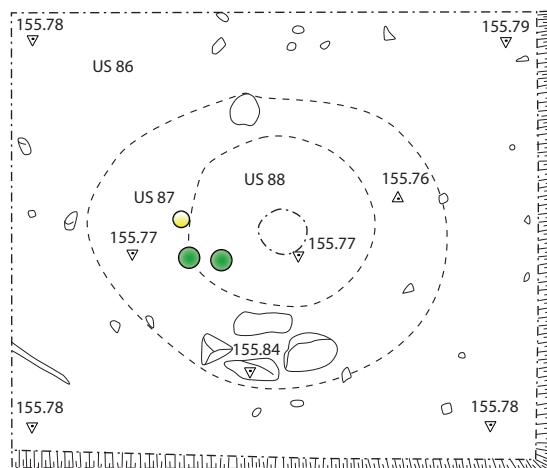


1497

1498

5030

5030



5029

1497

1498

5029

Grab Strada 3

-  Zahn
-  Bronzespirale



S3/1



S3/2



S3/3-4



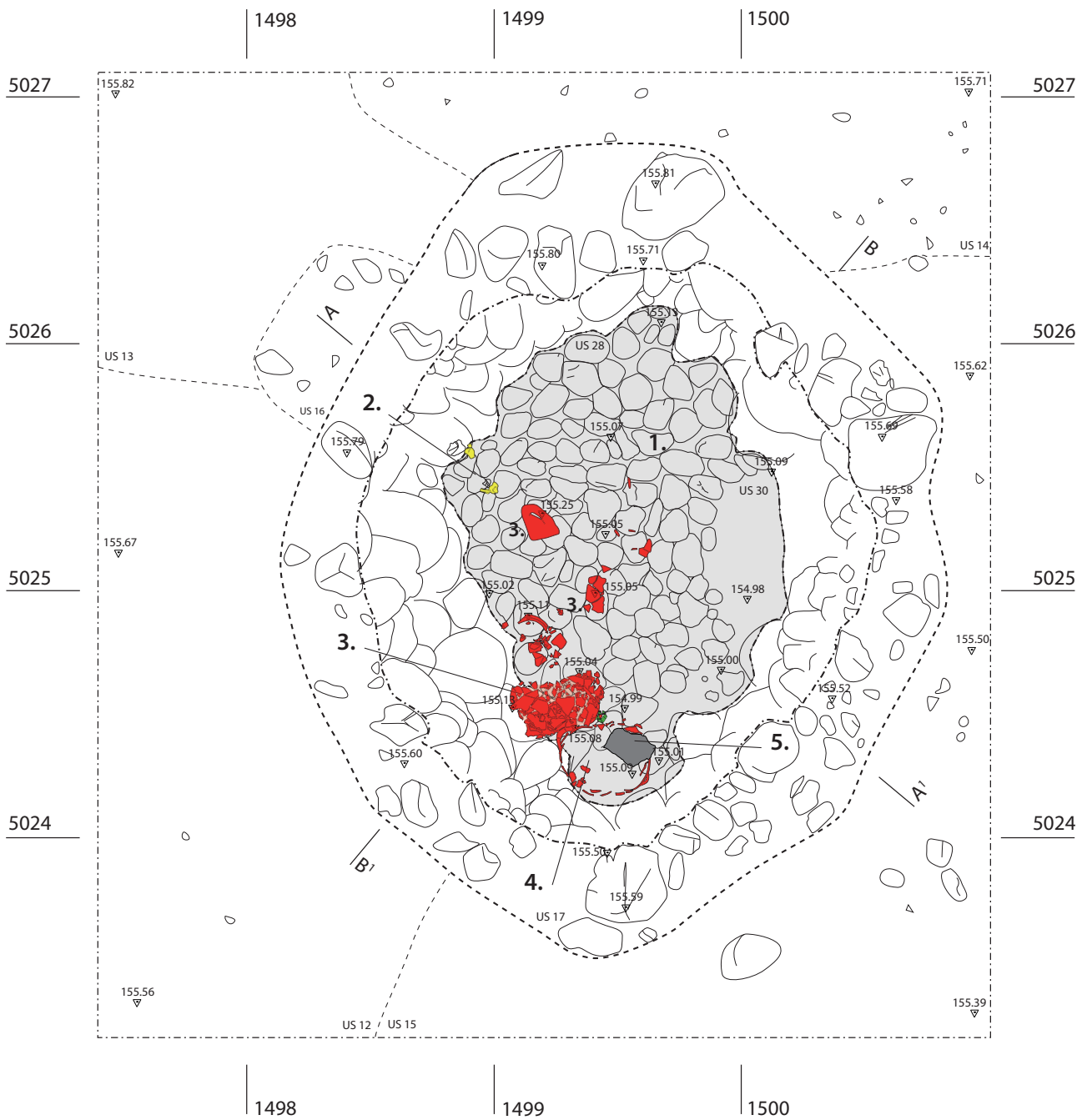
S3/5



S3/6



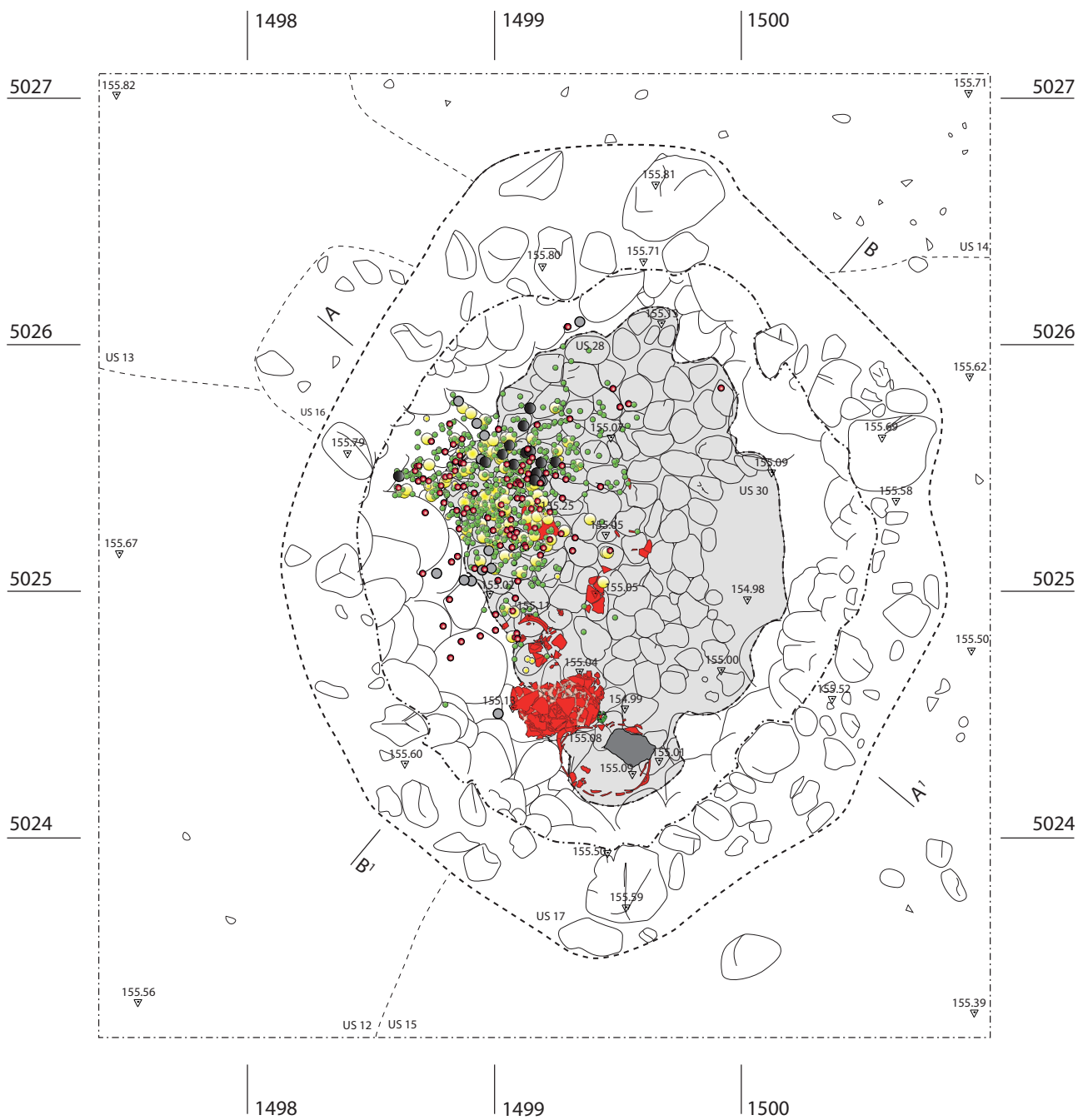
S3/7



- Grab Strada 4
 1. Plattenboden
 2. Knochenfragmente (Schädel)
 3. Olla S4/2
 4. Olla S4/1 mit Tasse S4/3
 5. Wandscherbe Dolium S4/5

- Feinkeramik
- Grobkeramik
- Knochen
- Bronze
- Eisen
- Boden des Grabes

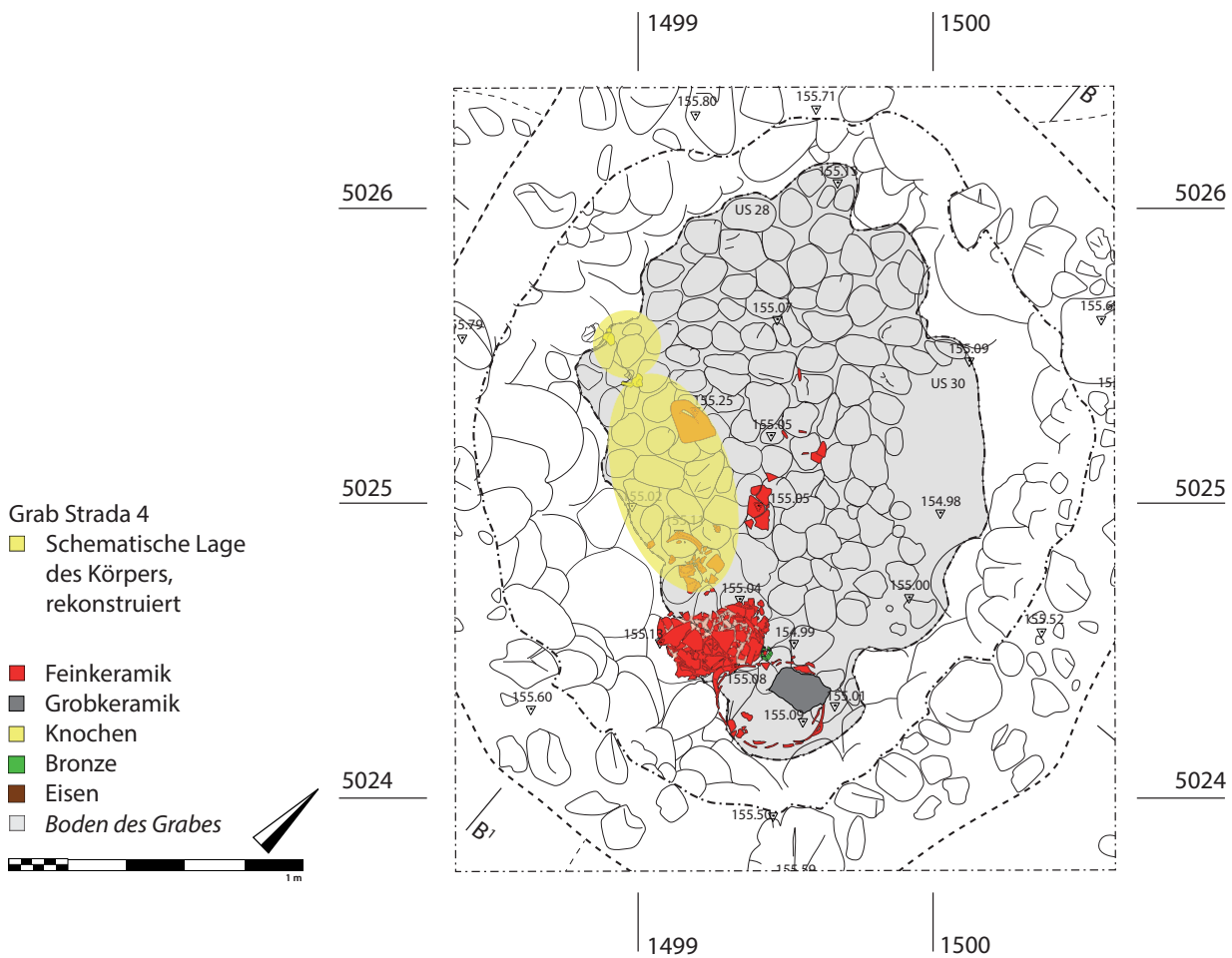
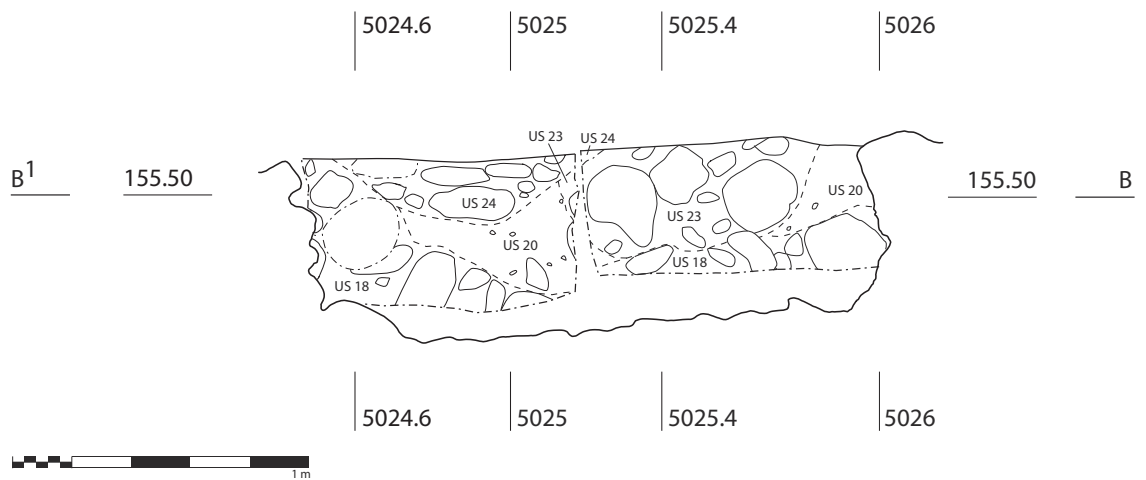
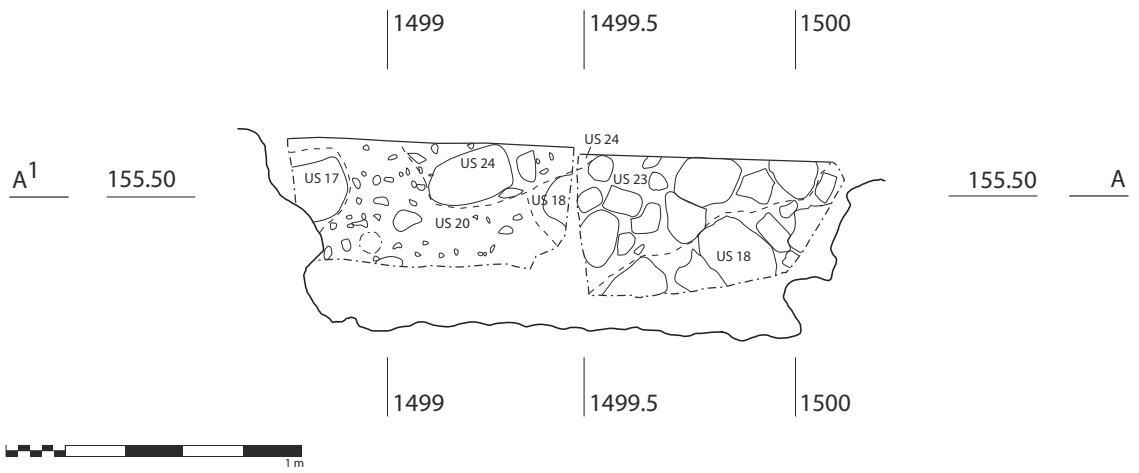




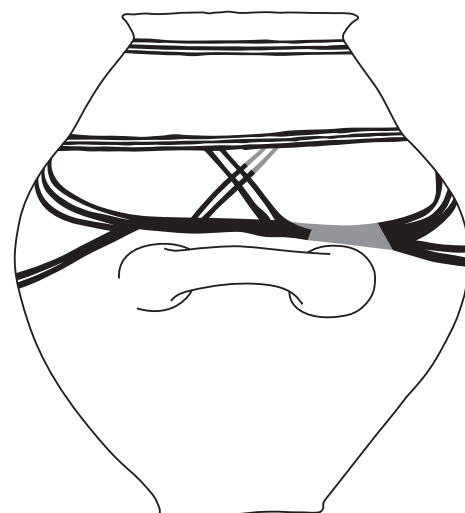
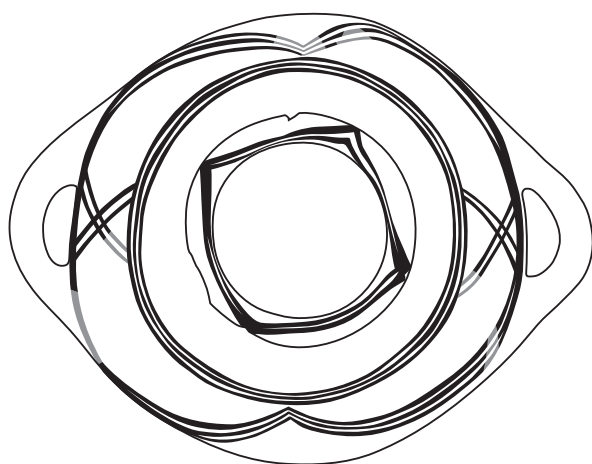
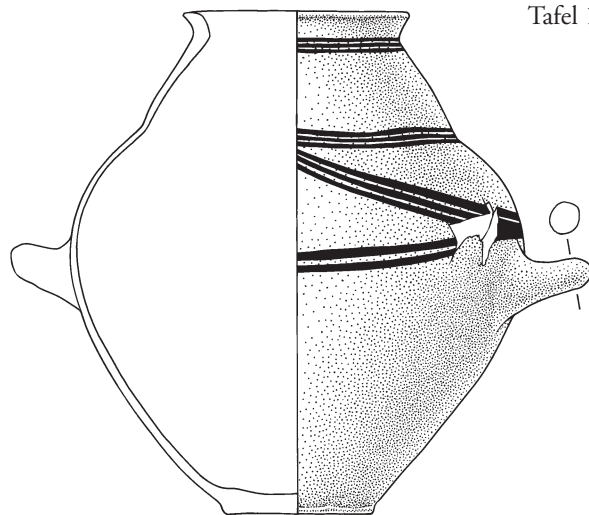
Grab Strada 4, Verteilung Funde (Auswahl)

- | | |
|---|--|
| ■ Feinkeramik | ● Spinnwirtel, Webgewichte |
| ■ Grobkeramik | ● Bronzezierknopf |
| ■ Knochen | ● Bernstein |
| ● Zähne | ● Fragmente Silberschale |
| ■ Bronze | ■ Boden des Grabes |

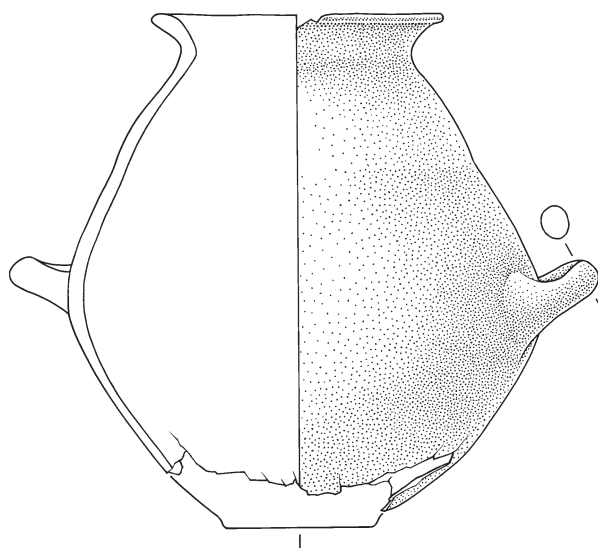




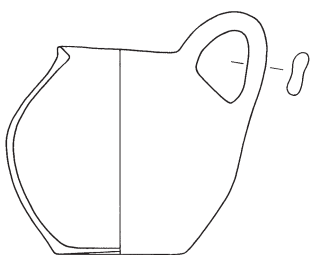
Grab Strada 4. Grabprofile und schematische Lage des Körpers



S4/1



S4/2



S4/3



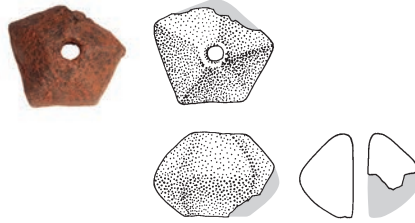
S4/4



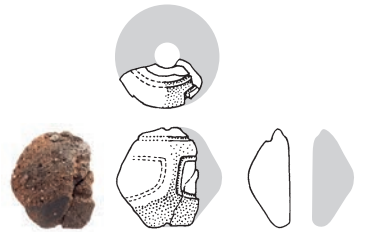
S4/5



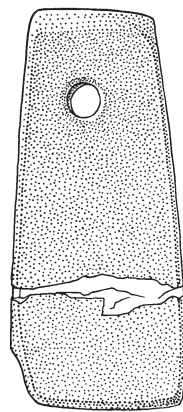
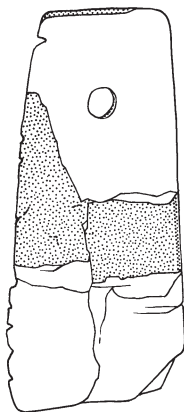
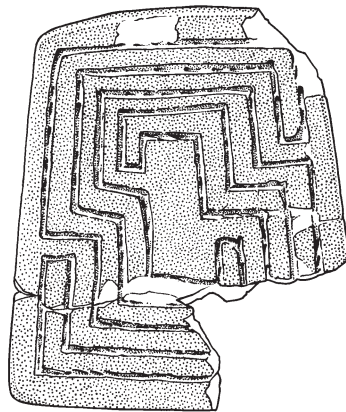
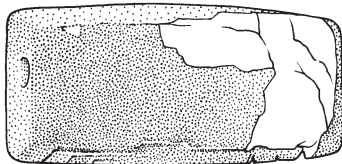
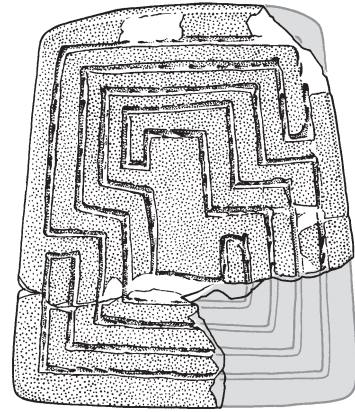
S4/6



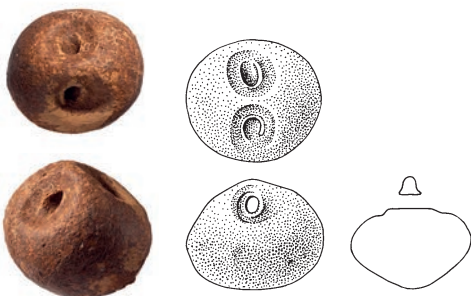
S4/7



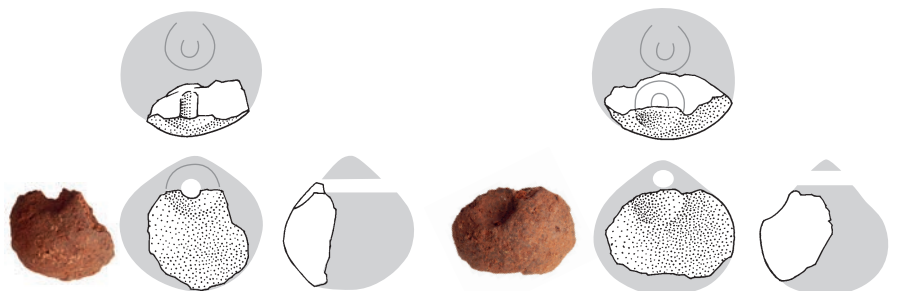
S4/8



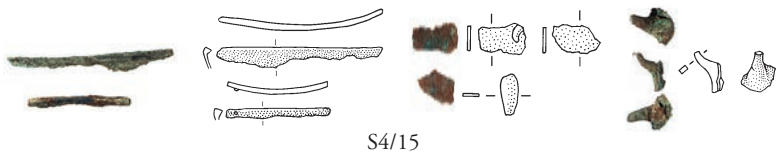
S4/9



S4/10



S4/11



S4/15



S4/16



S4/17



S4/18



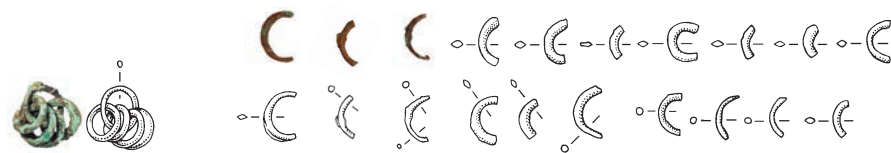
S4/19



S4/20



S4/21



S4/22

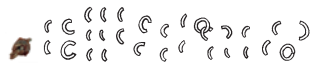
S4/23



S4/24



S4/25



S4/28



S4/29



S4/30



S4/31



S4/33



S4/34



S4/35



S4/36



S4/37



S4/38



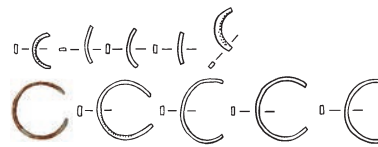
S4/39



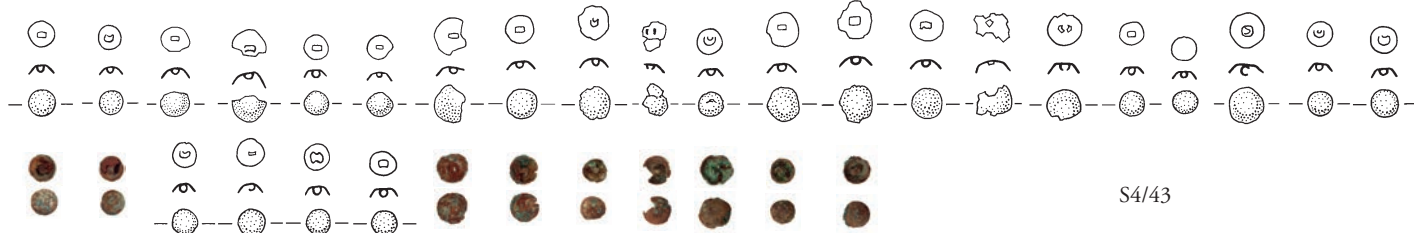
S4/40



S4/41



S4/42



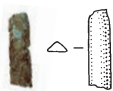
S4/43



S4/44



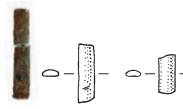
S4/45



S4/46



S4/47



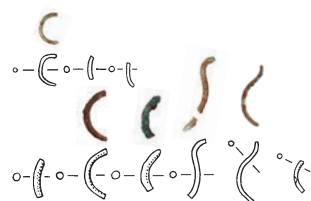
S4/49



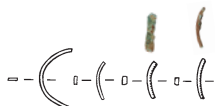
S4/50



S4/51



S4/52



S4/53



S4/54



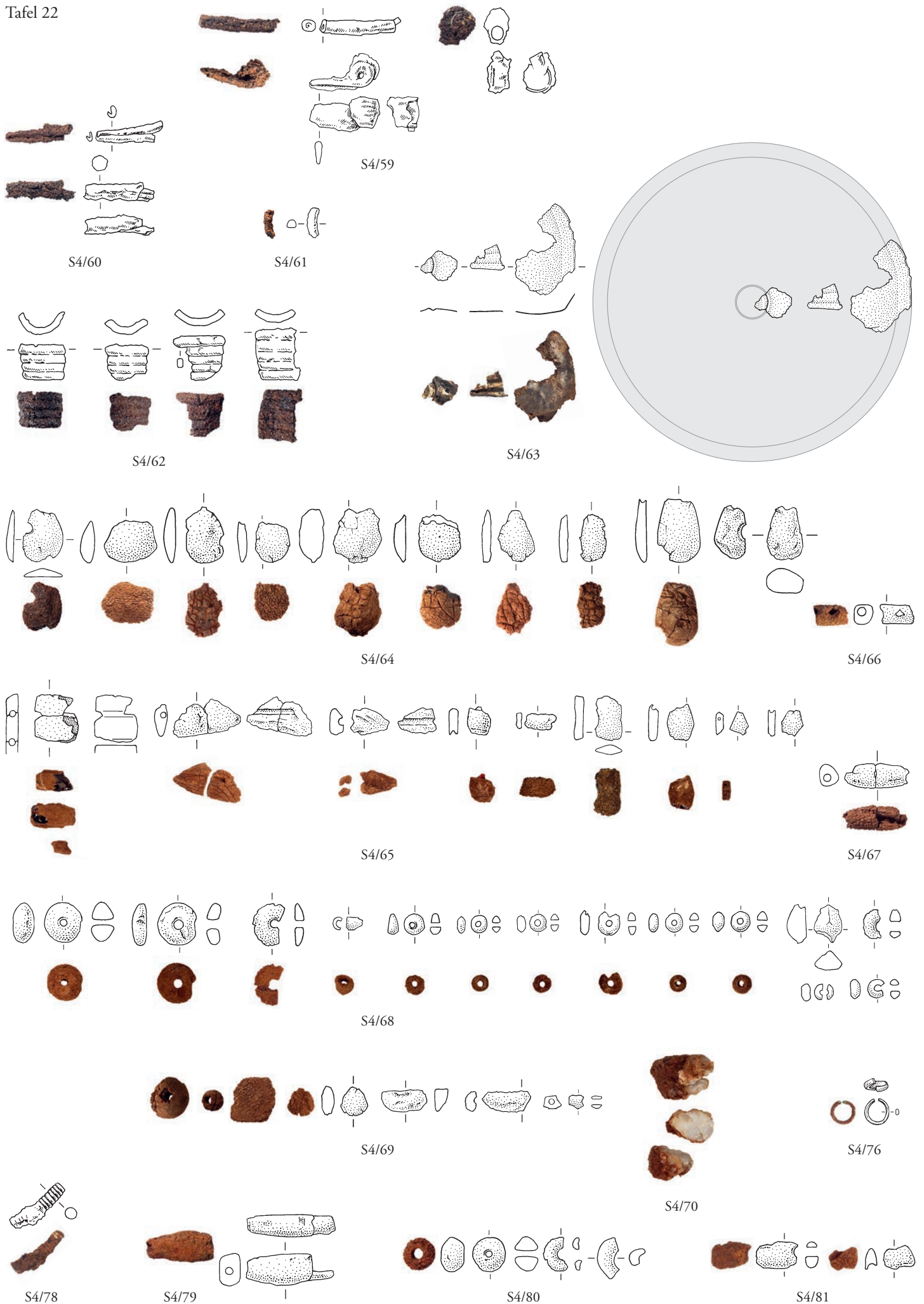
S4/56



S4/57



S4/58



5021

5021

5020

5020

5019

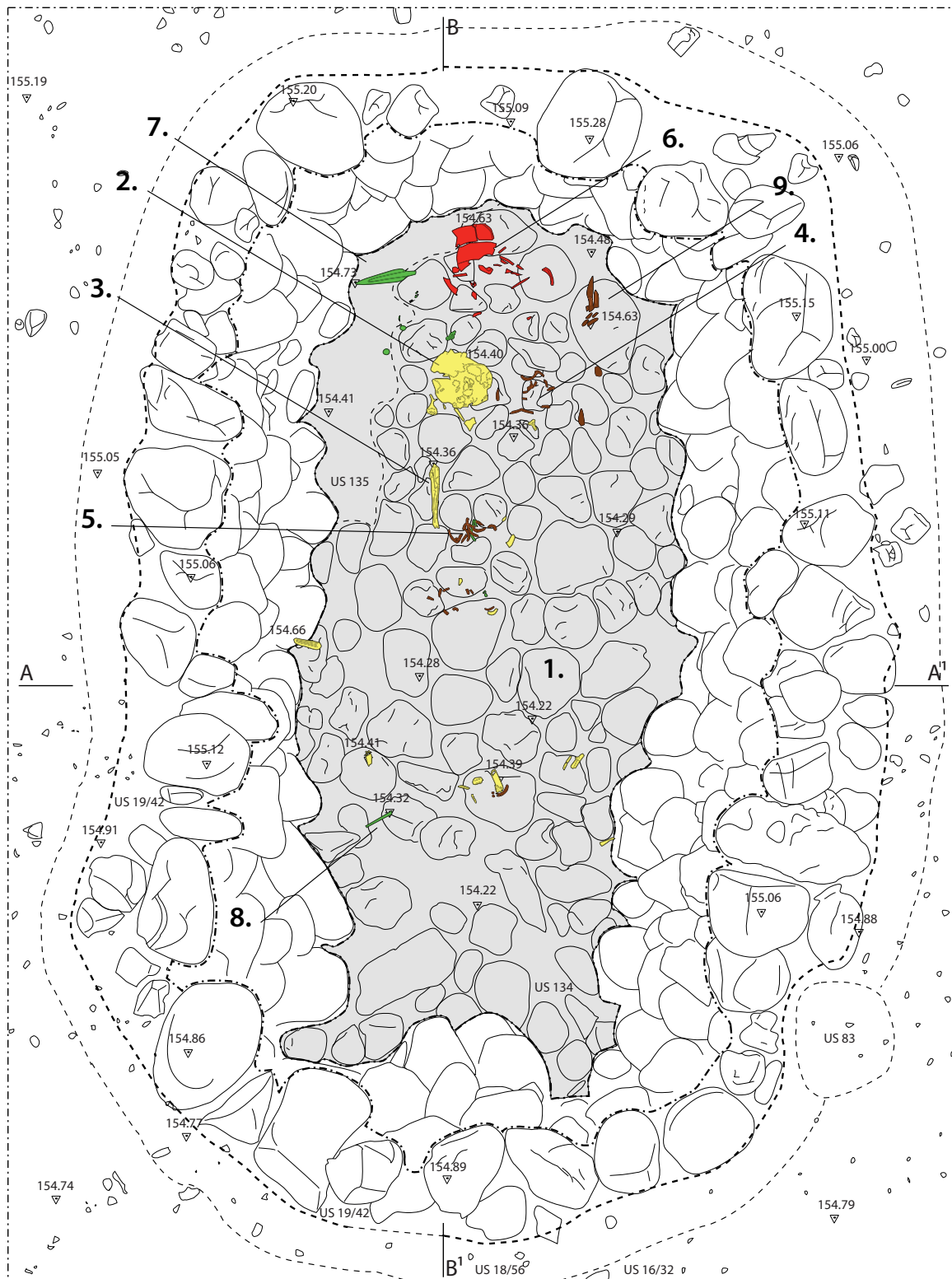
5019

5018

5018

5017

5017



Grab Strada 5

1. Plattenboden
2. Schädel
3. Fragmente eines Armes
4. Eiserne Fibelfragmente S5/12 und 13
5. Eiserne Fibelfragmente S5/17–19
6. Olla S5/1 mit Tasse S5/2
7. Bronzene Lanzen spitze S5/10
8. Bronzener Lanzen schuh S5/10
9. Eiserne Lanzen spitzen S5/24 und 25

- Feinkeramik
- Grobkeramik
- Knochen
- Bronze
- Eisen
- Boden des Grabes



5021

5021

5020

5020

5019

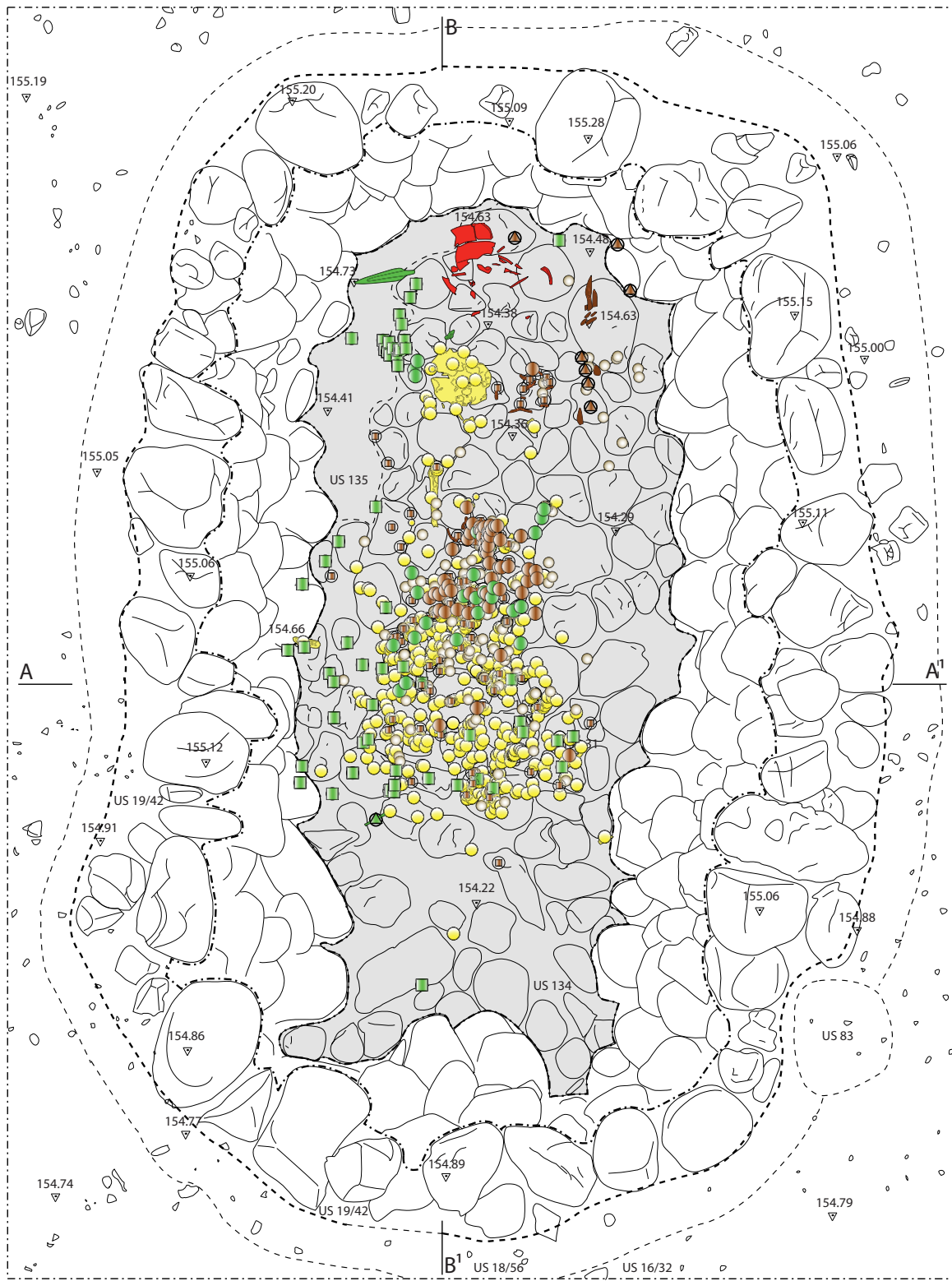
5019

5018

5018

5017

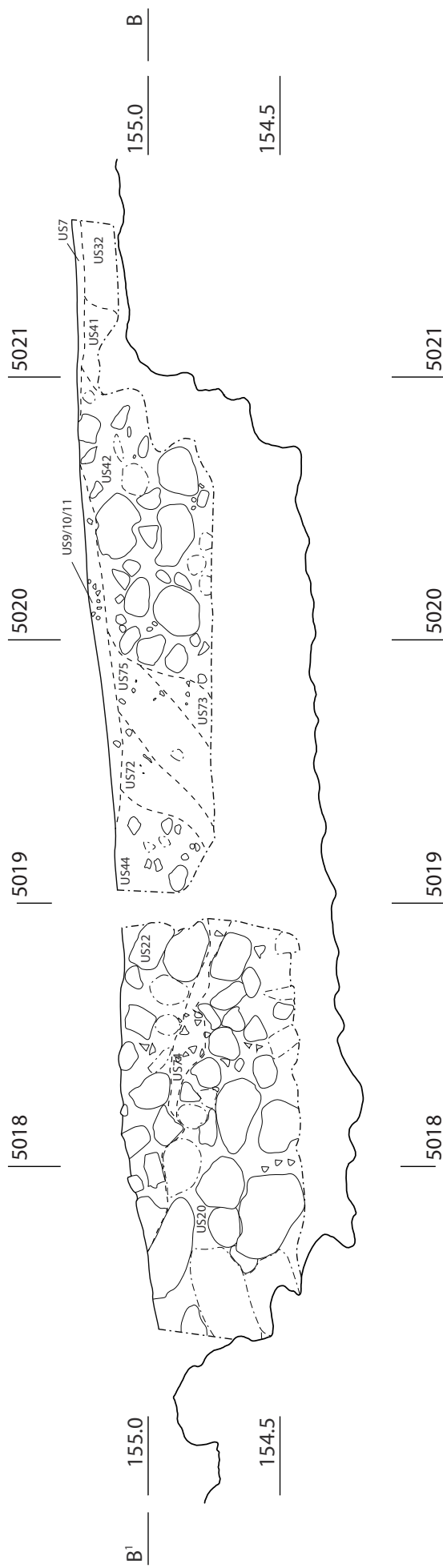
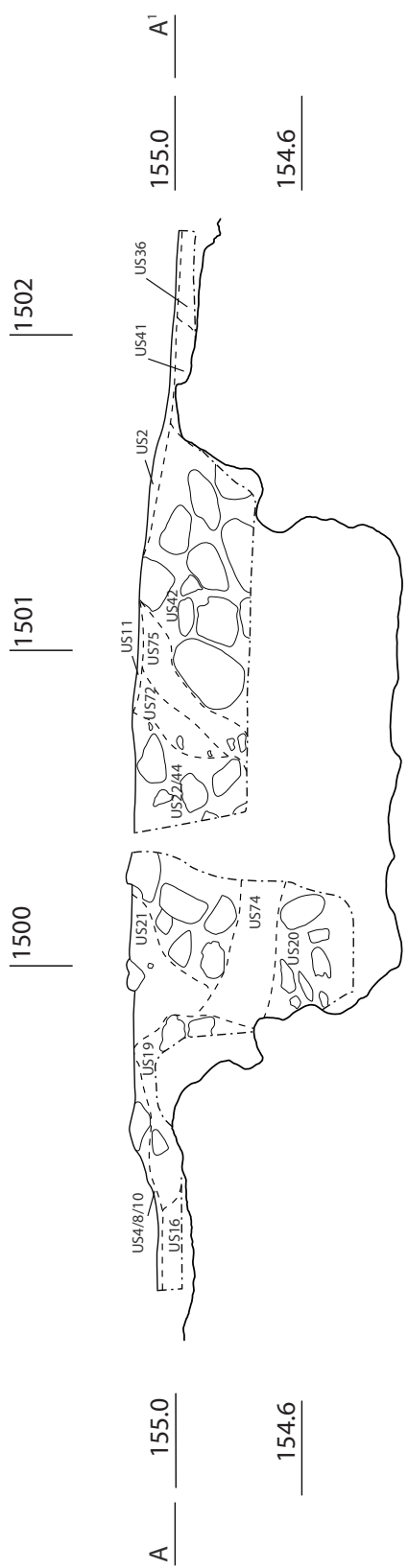
5017

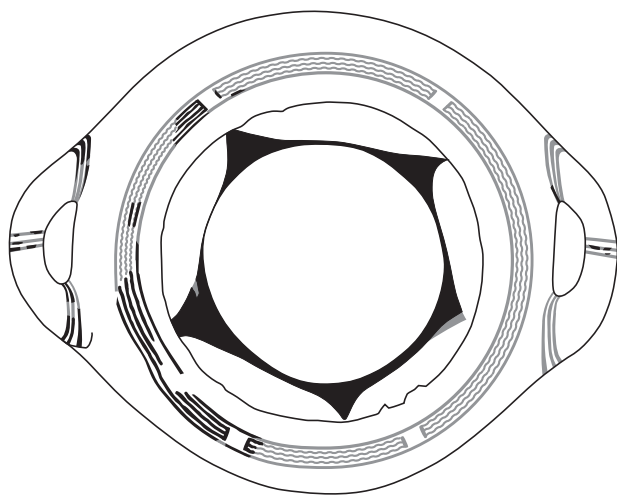
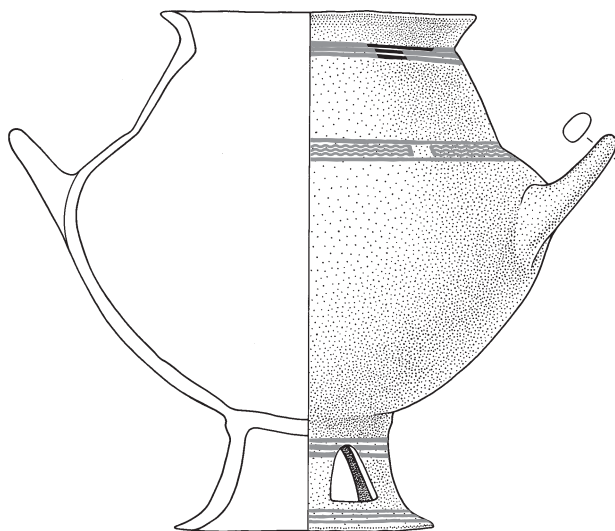


Grab Strada 5, Verteilung Funde (Auswahl)

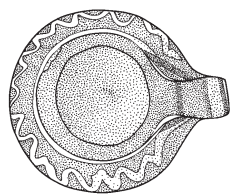
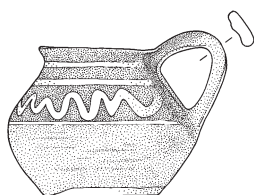
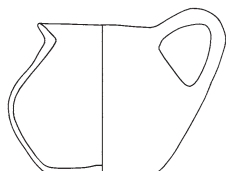
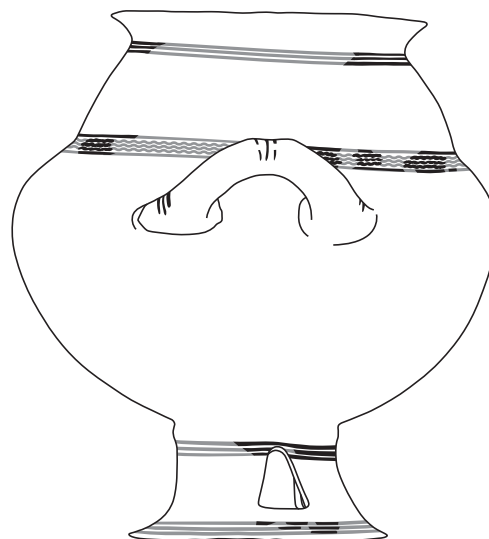
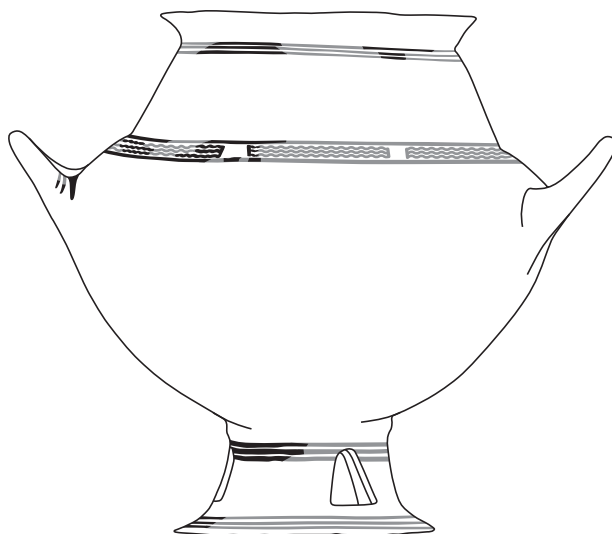
- | | |
|--|--|
| ■ Feinkeramik | ● Bronzefibel |
| ● Knochen | ● Eisen |
| ● Zahn | ● Eisenklinge |
| ■ Bronze | ● Eisenfibel |
| ■ Bronzeblech | ● Eisenstift |
| | ■ Boden des Grabes |



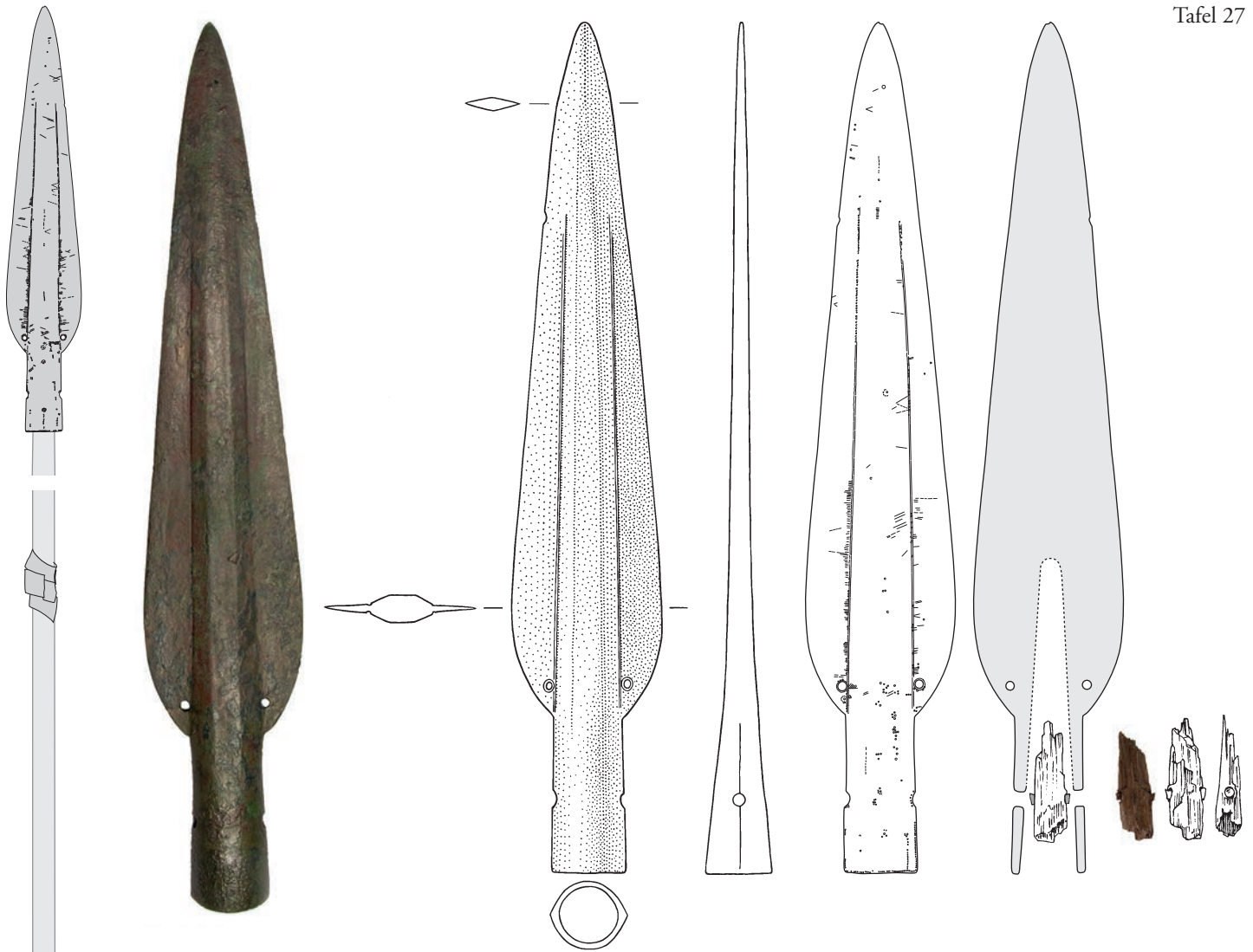




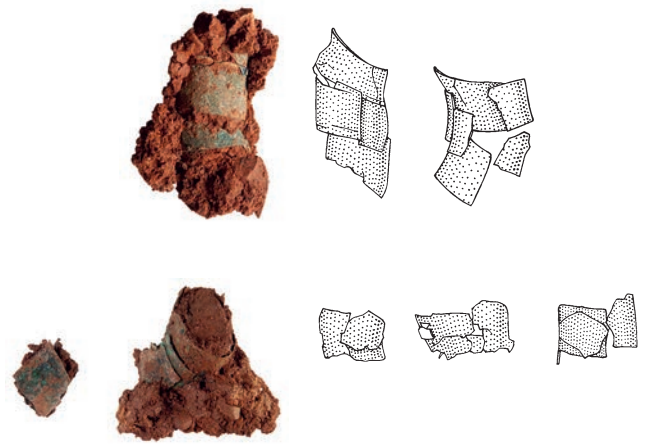
S5/1



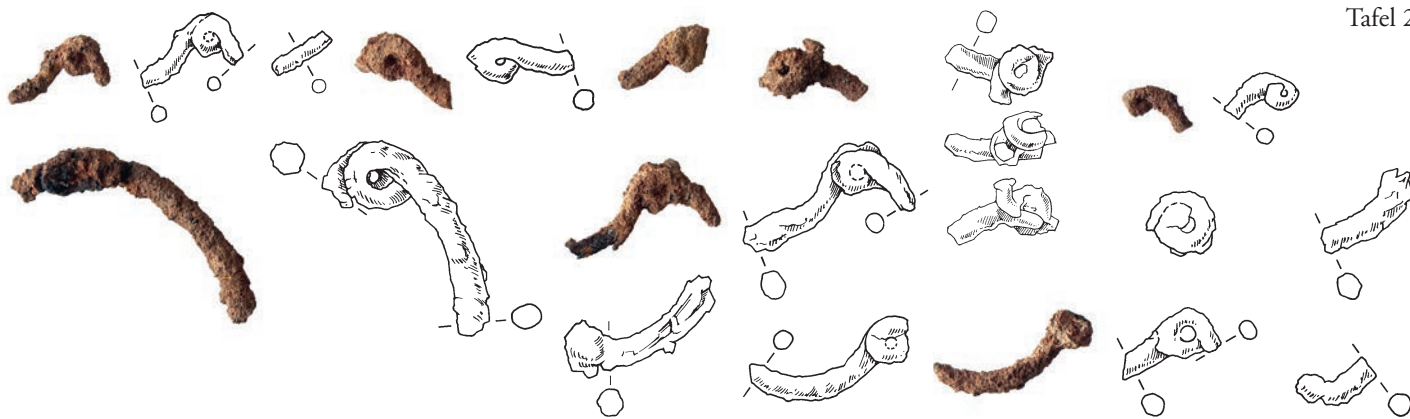
S5/2



S5/10







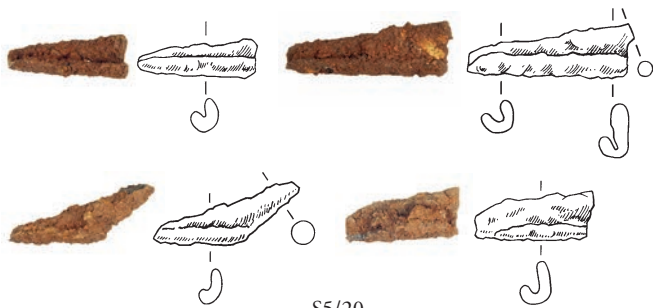
S5/17



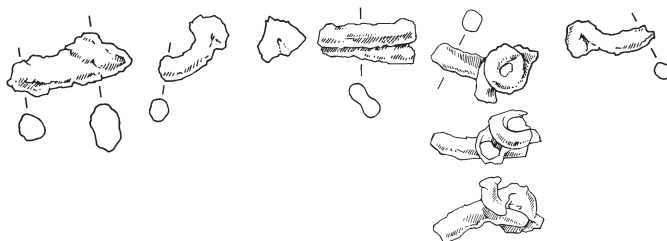
S5/18



S5/19



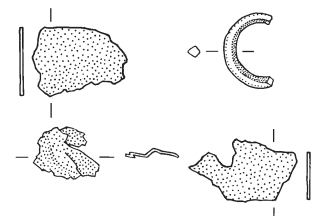
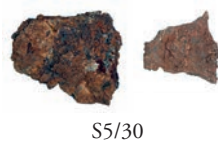
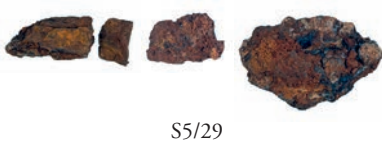
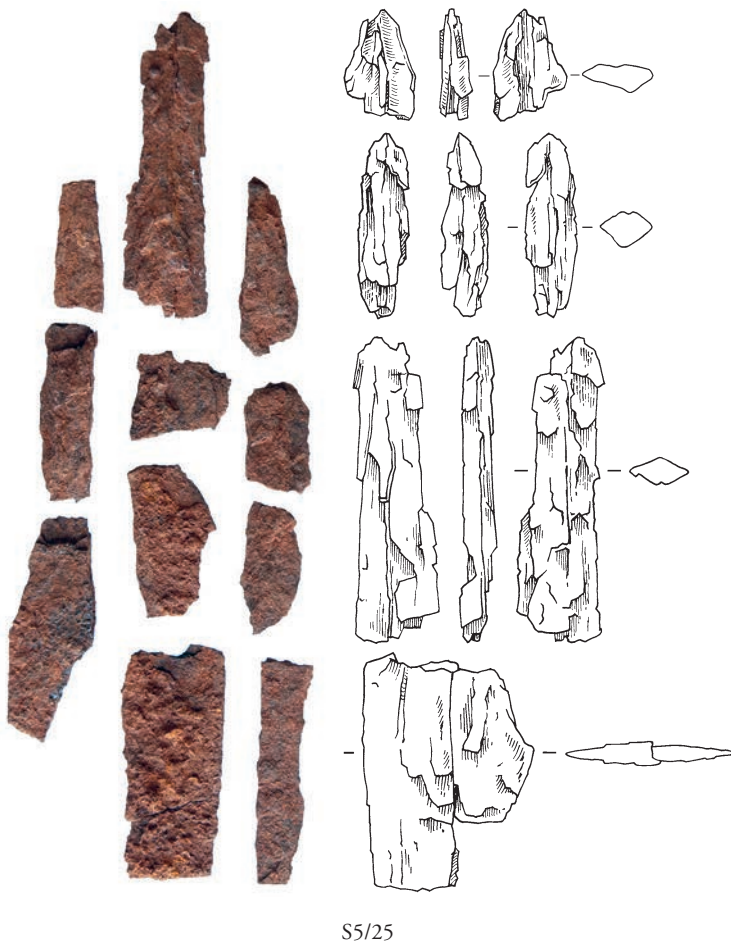
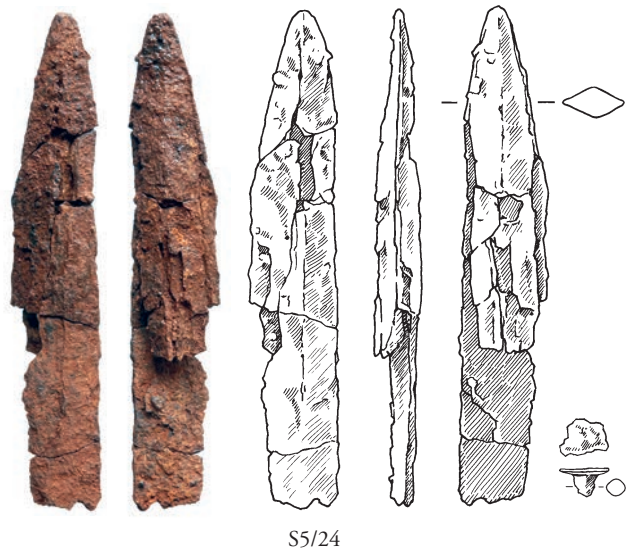
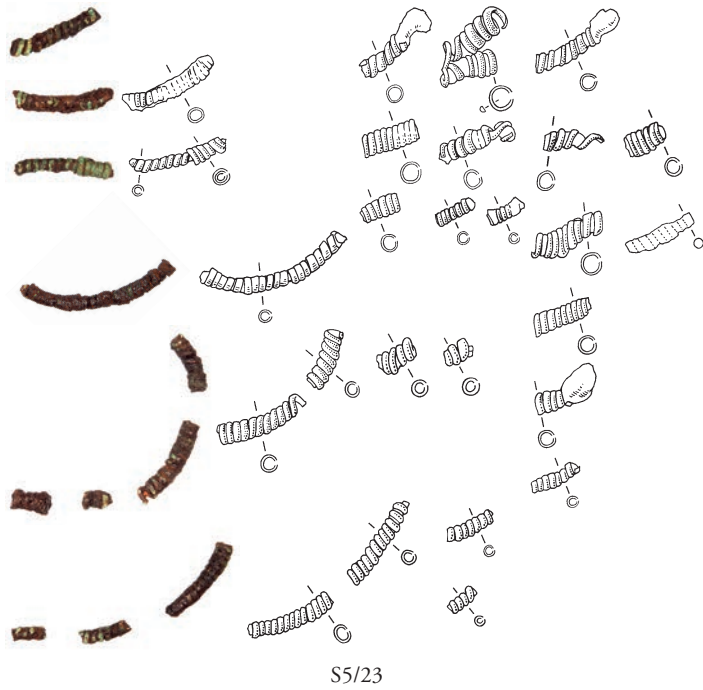
S5/20

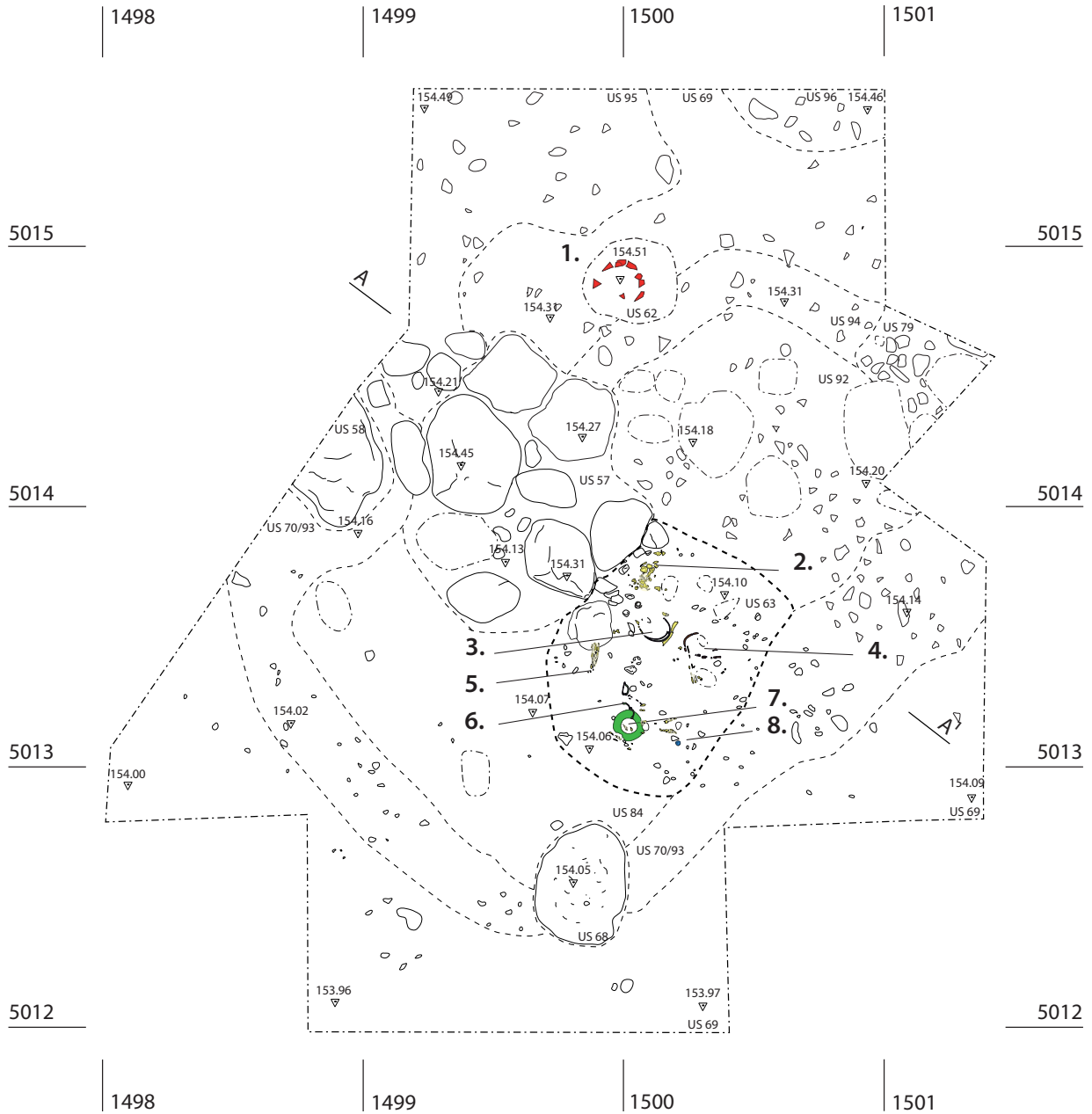


S5/21



S5/22

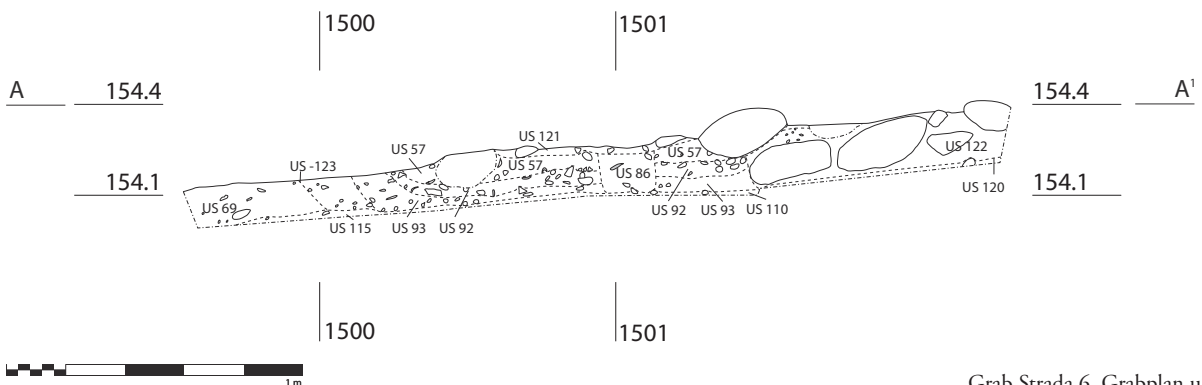
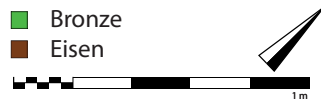


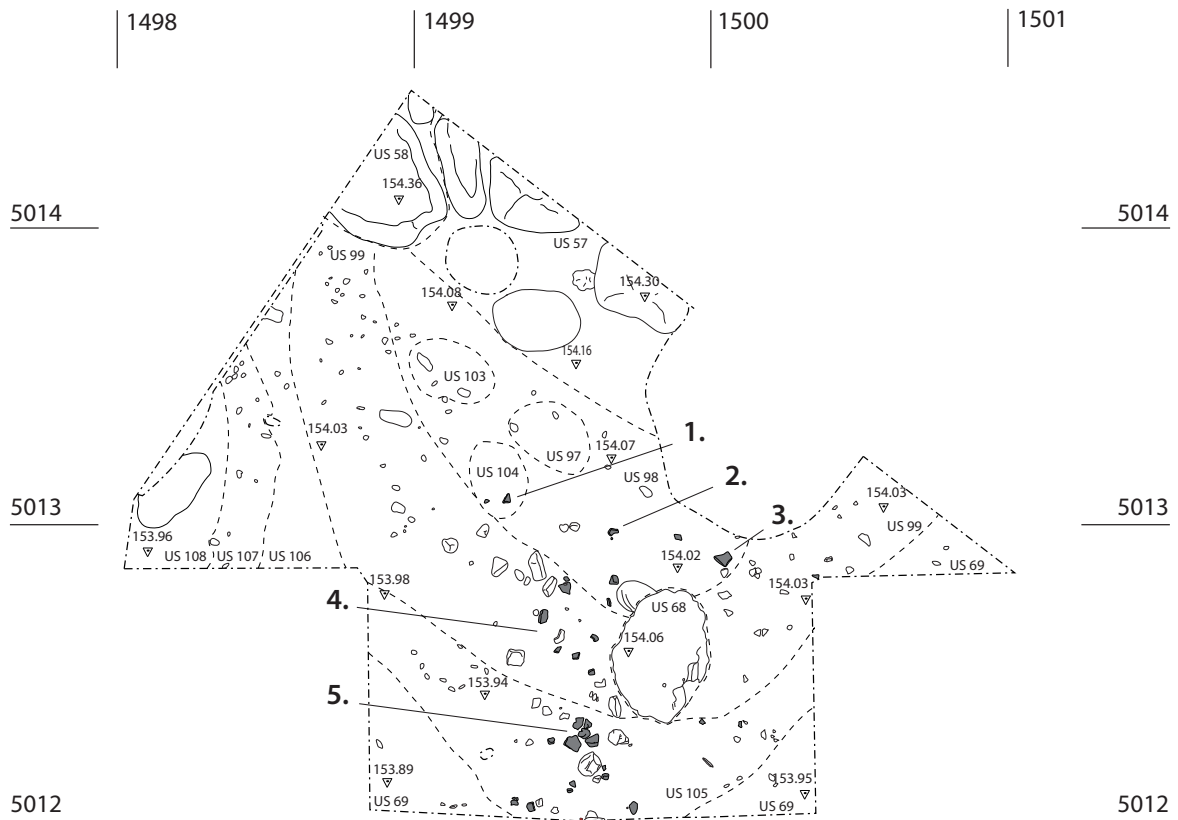


Grab Strada 6

1. Fragmente von Gefäß S6/1
2. Schädel
3. Halsreifen S6/5-6 und Schleifenringe S6/7-8
4. Schlangenfibel S6/10
5. Armknochen
6. Bronzefibeln S6/2 und S6/3
7. Bronzescheibe S6/4
8. Glasperle S6/13

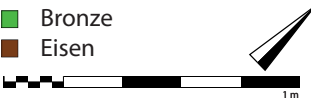
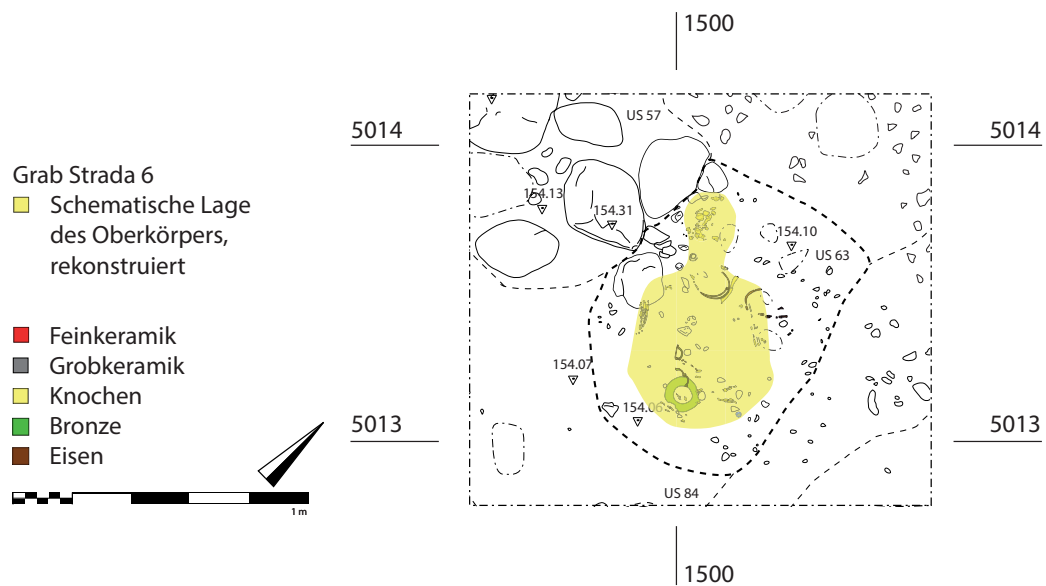
- Feinkeramik
- Grobkeramik
- Knochen
- Bronze
- Eisen





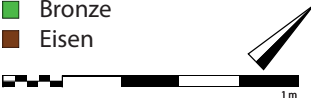
- Unterhalb der Bestattung Strada 6
1. Grobkeramische Wandscherbe S6/18
 2. Grobkeramische Wandscherben S6/17
 3. Grobkeramische Rand- und Wandscherben S6/16
 4. Grobkeramische Wandscherben S6/19
 5. Grobkeramische Wandscherben S6/15

- Feinkeramik
- Grobkeramik
- Knochen
- Bronze
- Eisen

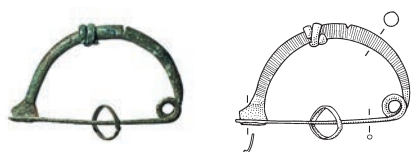
- Grab Strada 6
- Schematische Lage des Oberkörpers, rekonstruiert

- Feinkeramik
- Grobkeramik
- Knochen
- Bronze
- Eisen

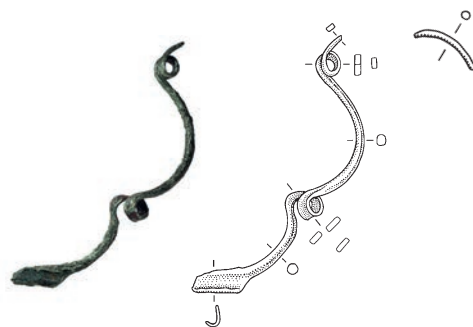




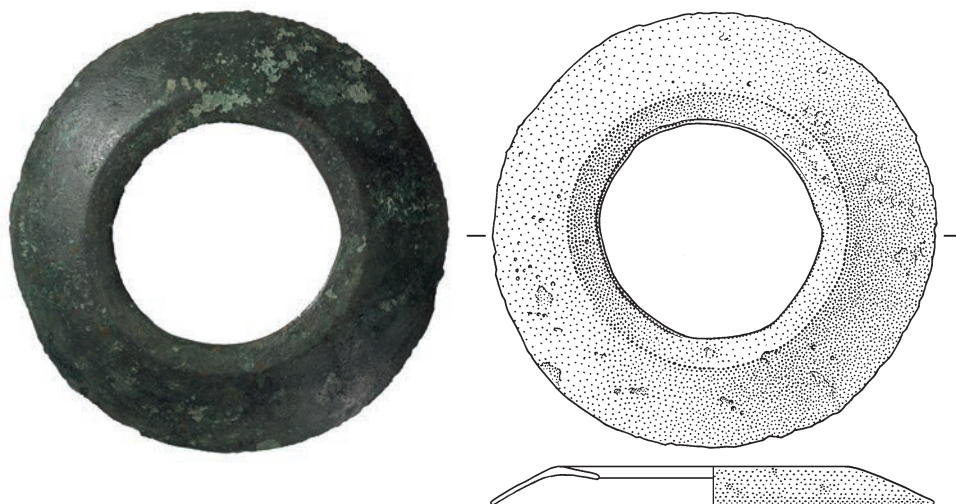
S6/1



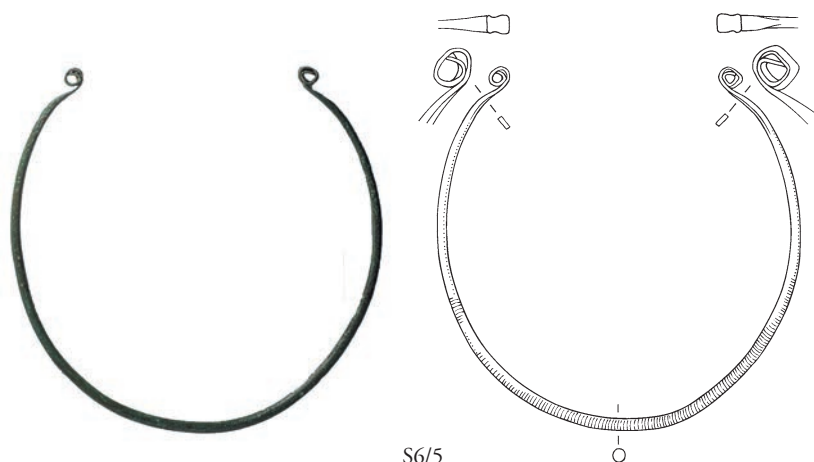
S6/2



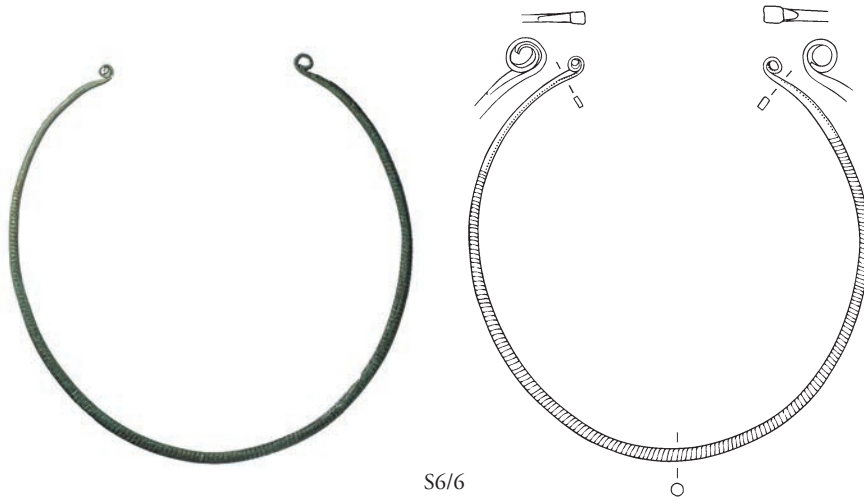
S6/3



S6/4



S6/5



S6/6

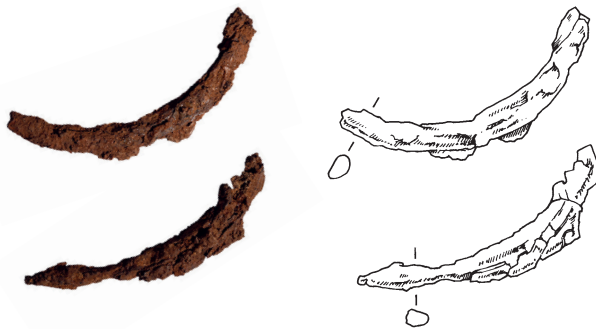


S6/7

S6/8



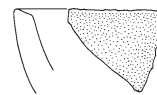
S6/9



S6/10



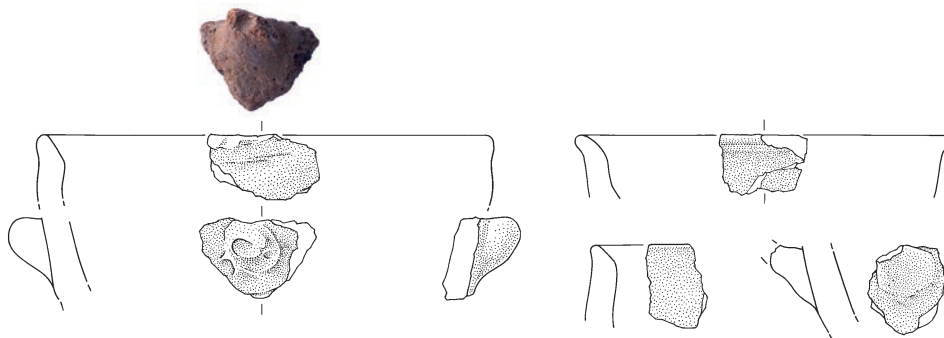
S6/12



S6/14



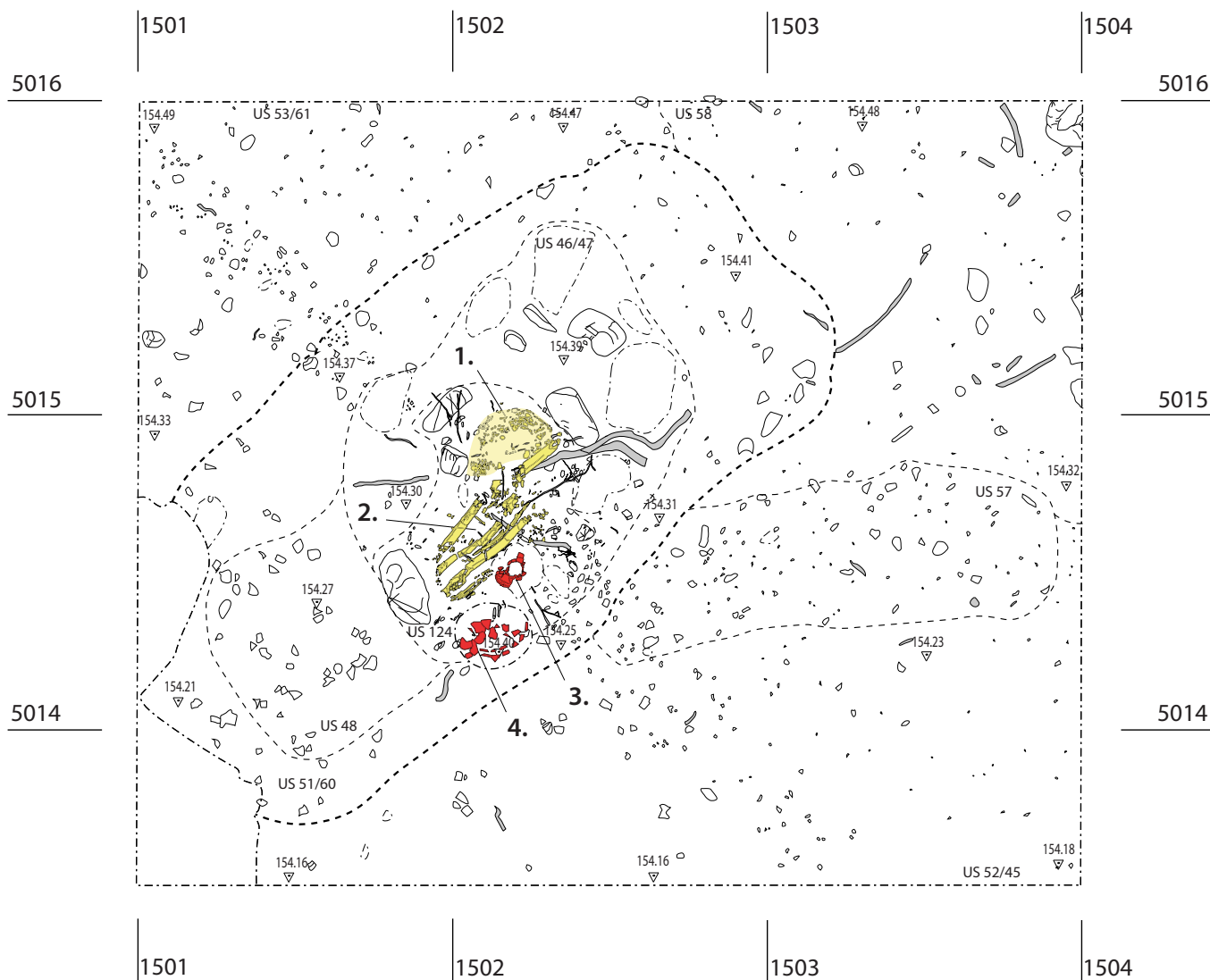
S6/13



S6/15





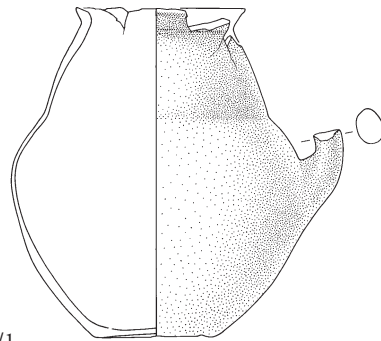
S6/17



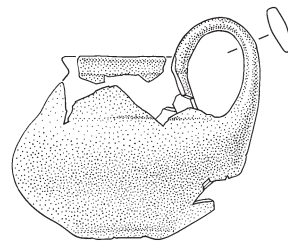
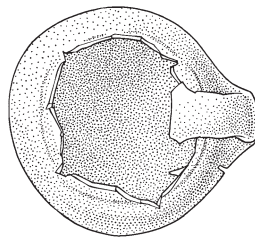
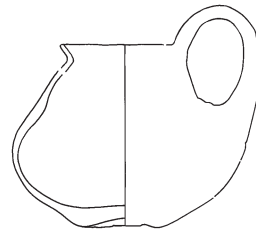
Grab Strada 7
 1. Schädel
 2. Langknochen
 3. Tasse S7/2
 4. Kanne S7/1

- Feinkeramik
- Grobkeramik
- Knochen
- Bronze
- Eisen
- Wurzeln


 1m



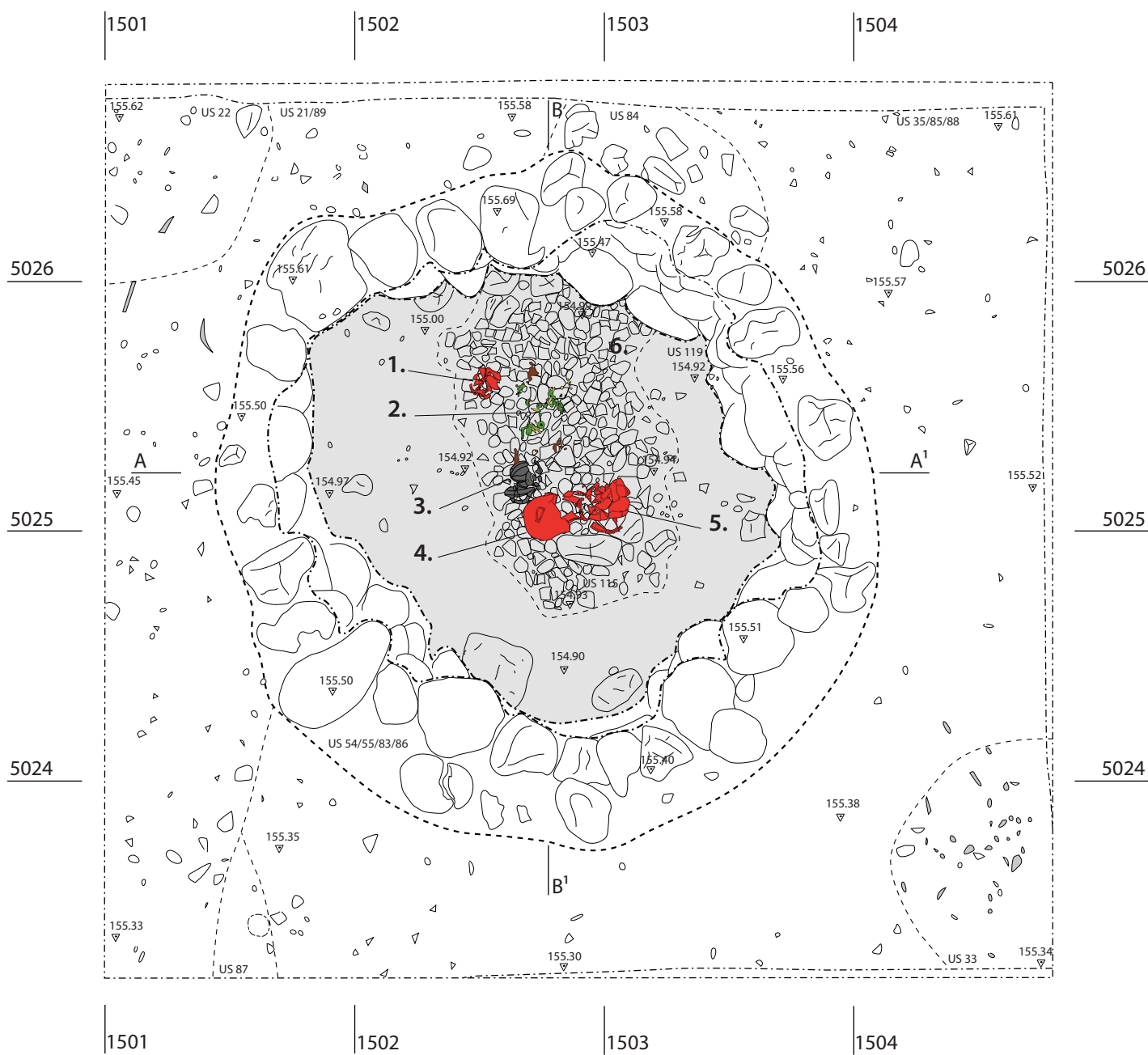
S7/1



S7/2



S7/3

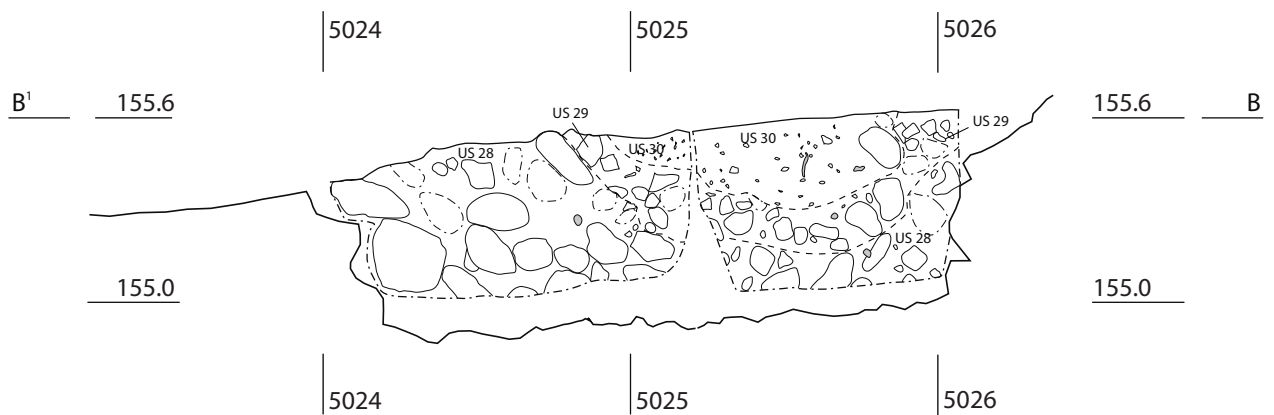
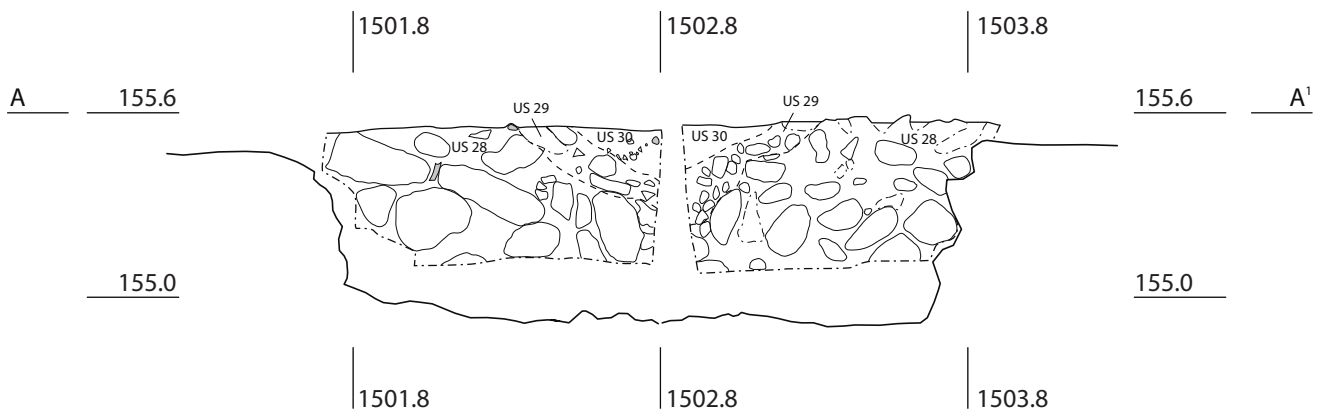


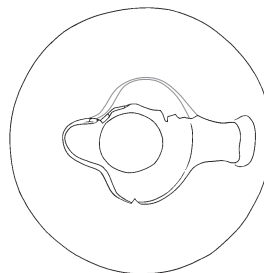
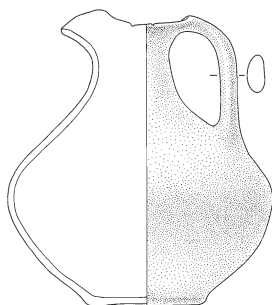
Grab Strada 8

1. Tasse S8/3
2. Anhänger und Ringe S8/7–28
3. Schale S8/4 und Klinge S8/33
4. Askos S8/2
5. Kanne S8/1
6. Gepflasterter Boden

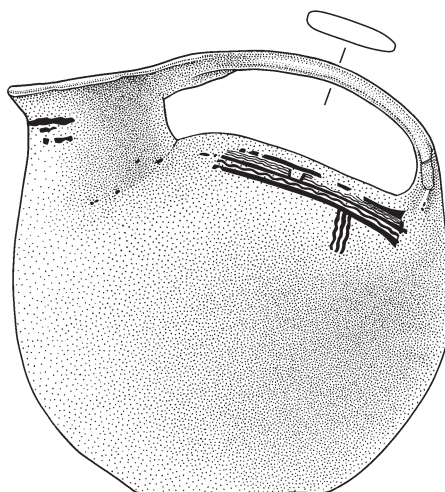
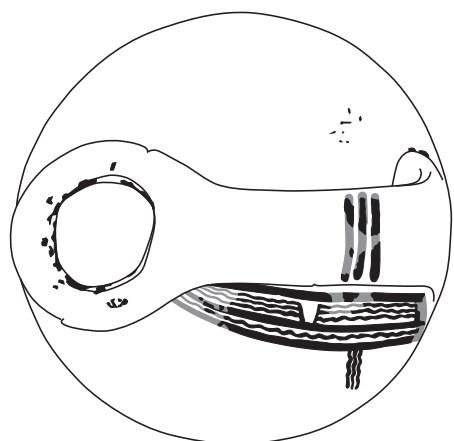
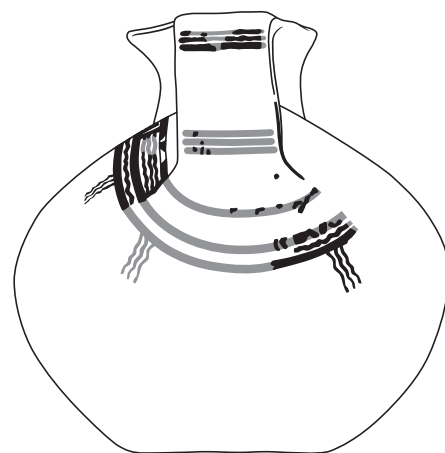
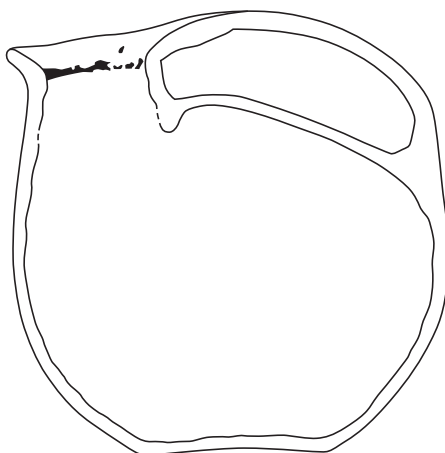
- Feink Keramik
- Grobkeramik
- Knochen
- Bronze
- Eisen
- Boden des Grabes



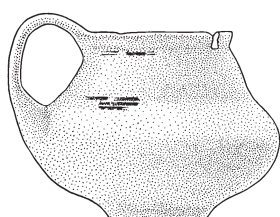
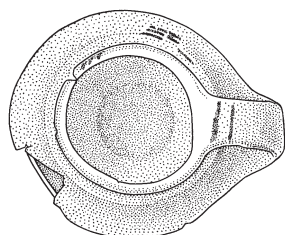
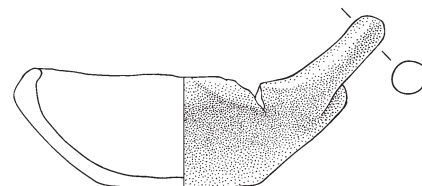
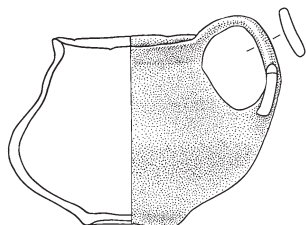




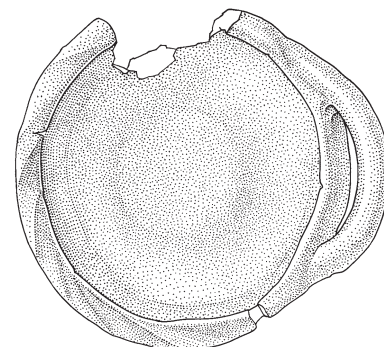
S8/1



S8/2



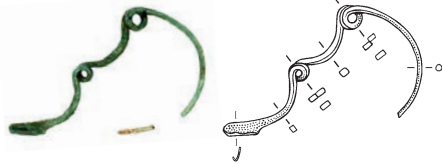
S8/3



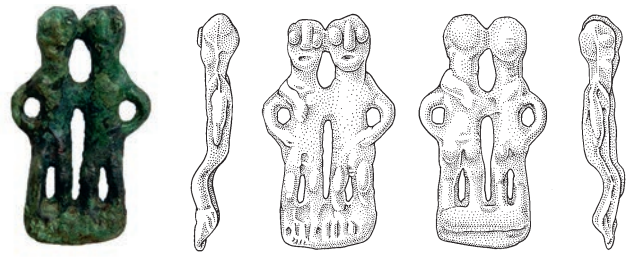
S8/4



S8/5



S8/6



S8/7



S8/8



S8/9



S8/10



S8/11



S8/12



S8/13



S8/14



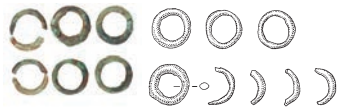
S8/15



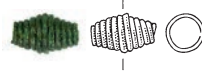
S8/16



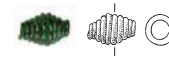
S8/17



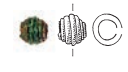
S8/18



S8/19



S8/20



S8/21



S8/22



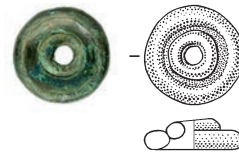
S8/23



S8/24



S8/25



S8/26-27



S8/28



S8/29



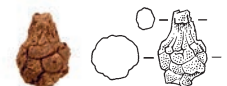
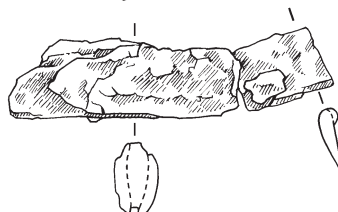
S8/30



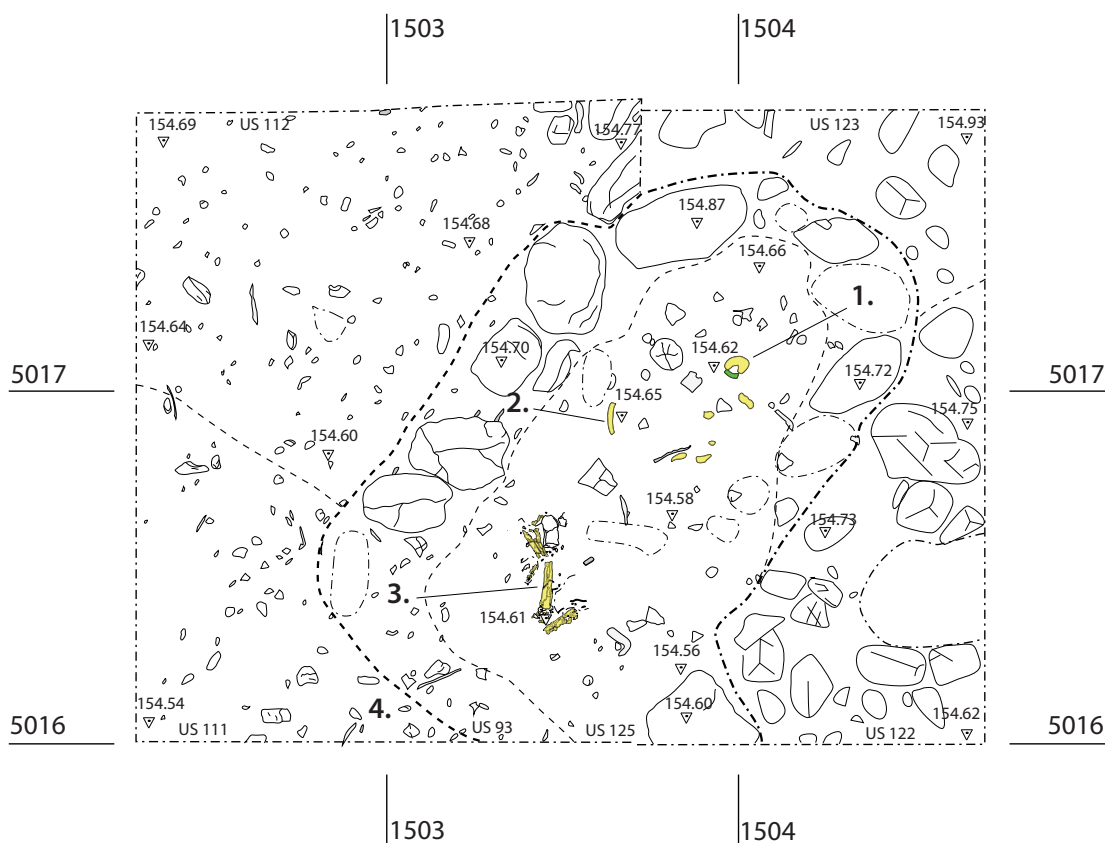
S8/31



S8/32



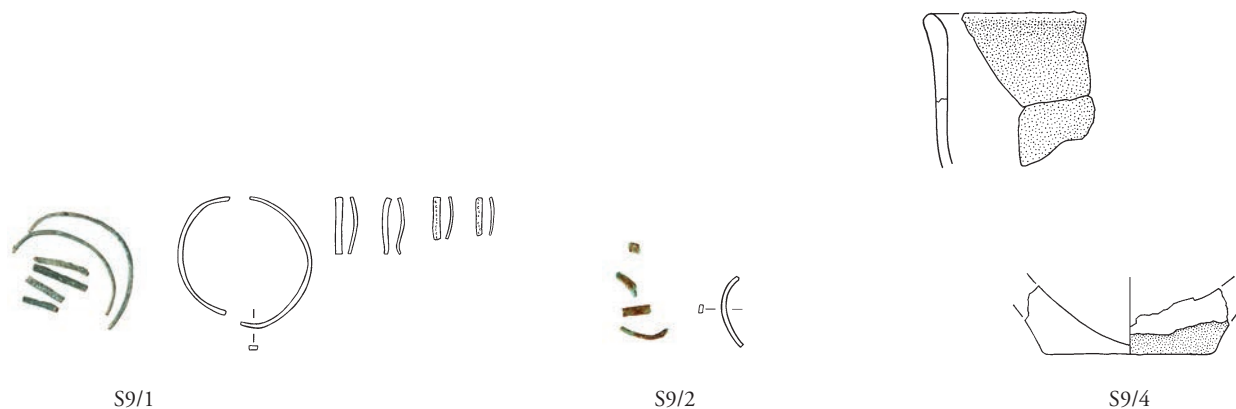
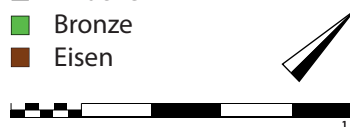
S8/34

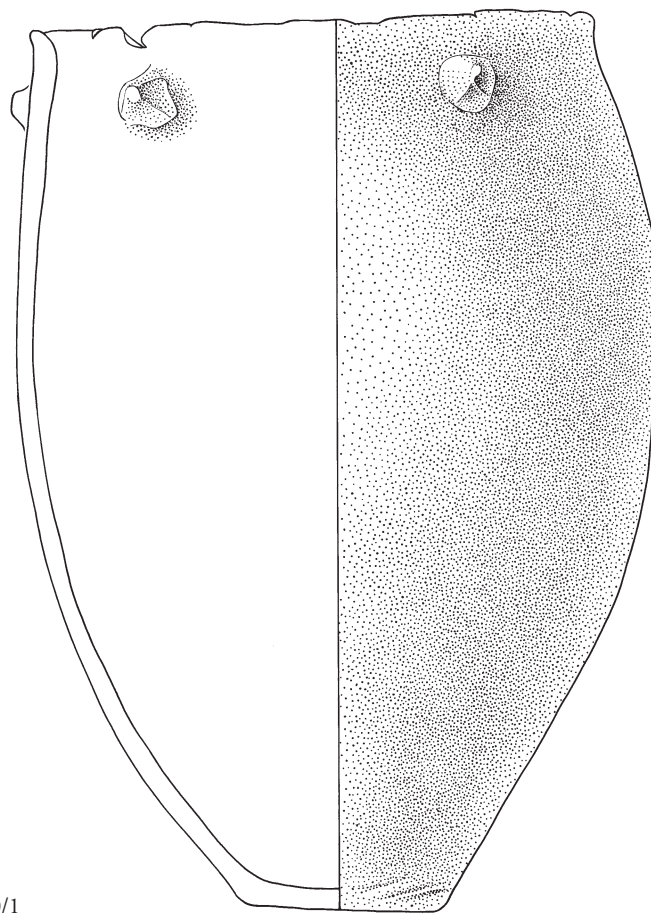


Grab Strada 9

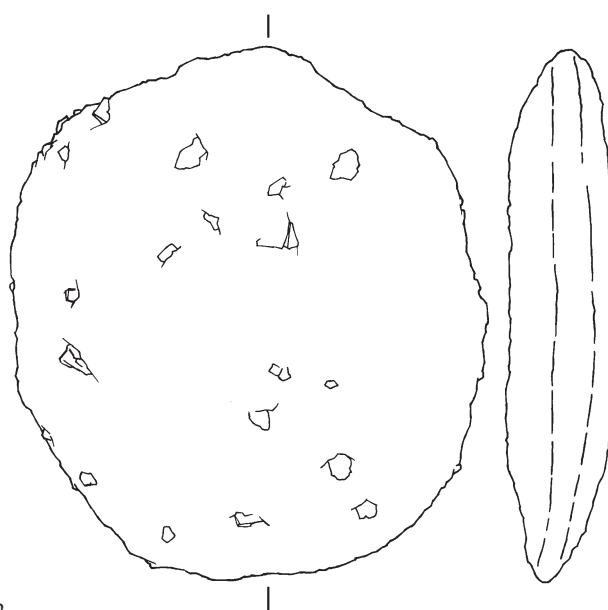
- 1. Schädel und Spirale S9/1
- 2. Armknochen und Band S9/2
- 3. Beinknochen
- 4. Auffindungsbereich der Scherben von S9/4

- Feinkeramik
- Grobkeramik
- Knochen
- Bronze
- Eisen

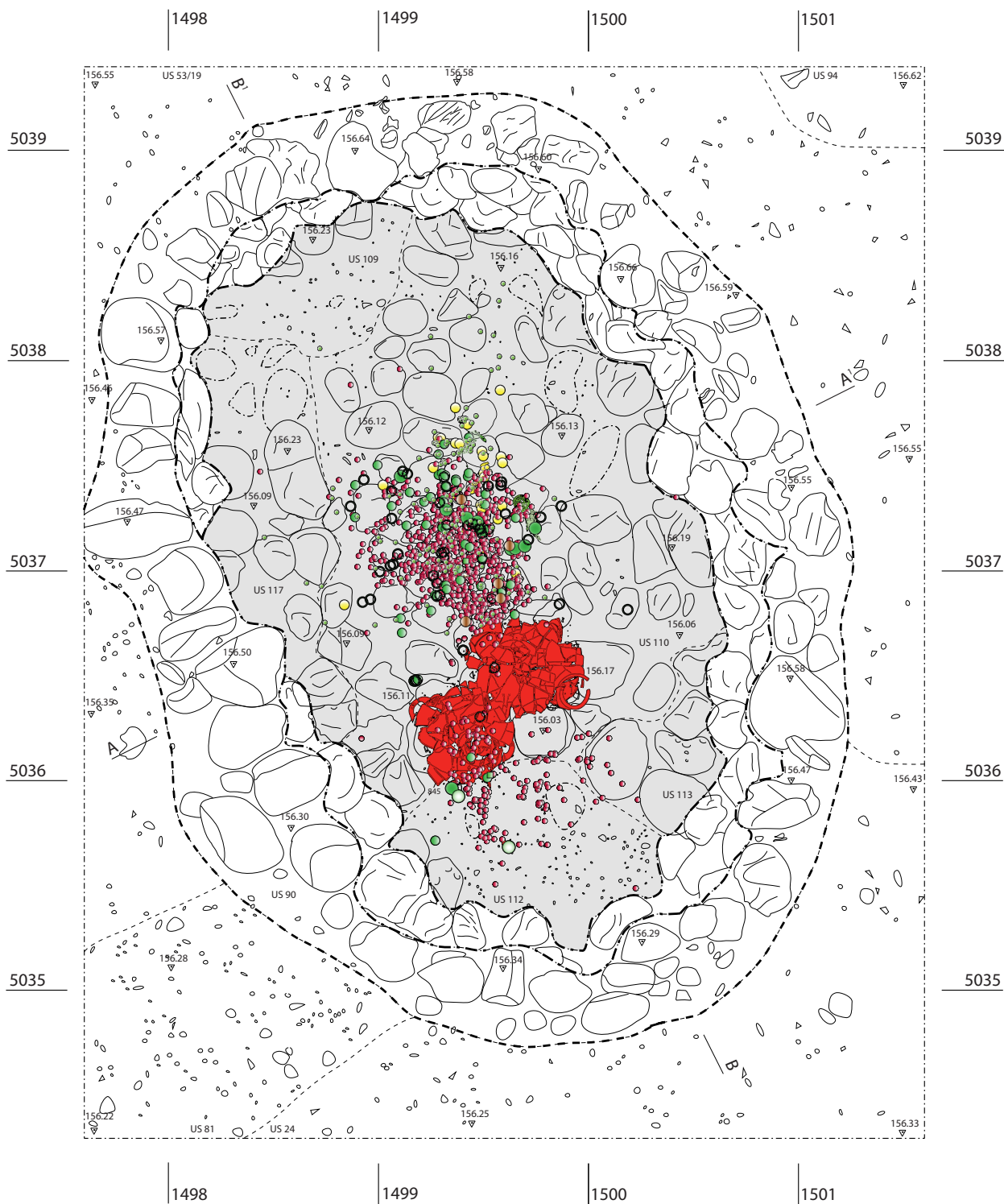




S10/1



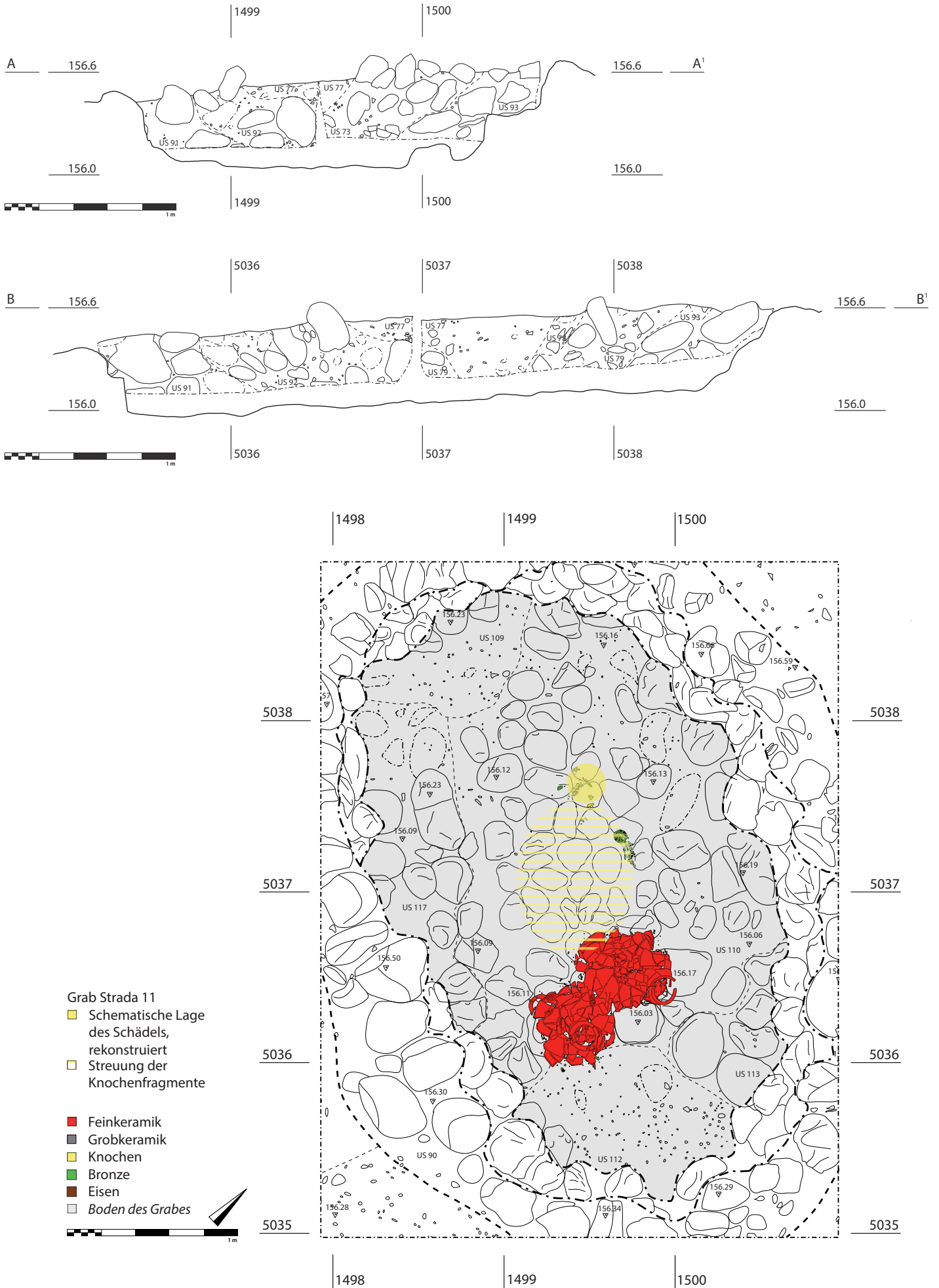
S10/2



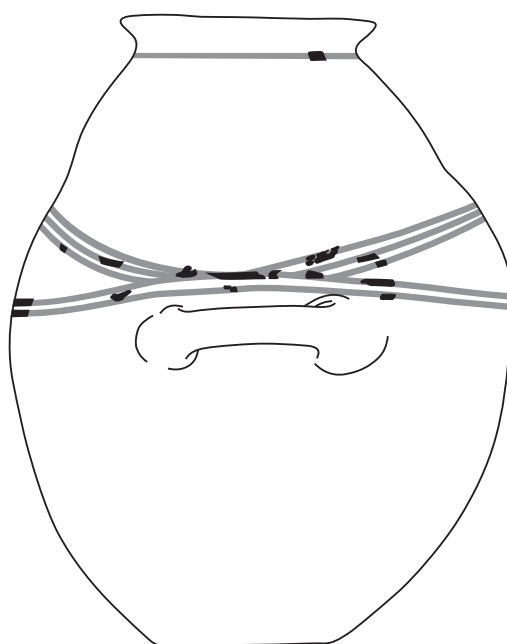
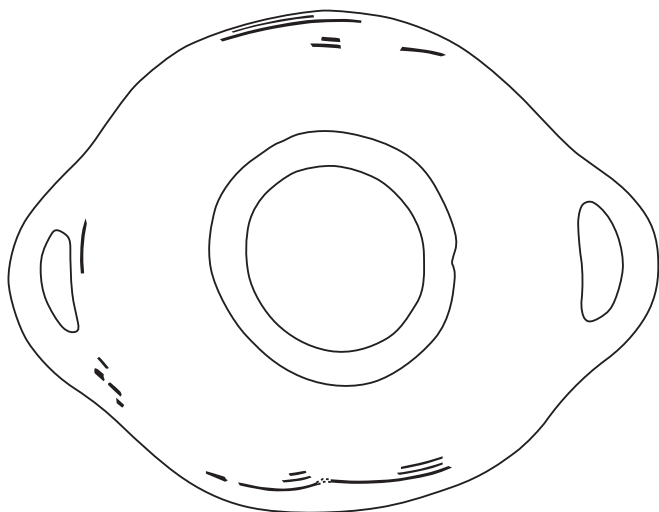
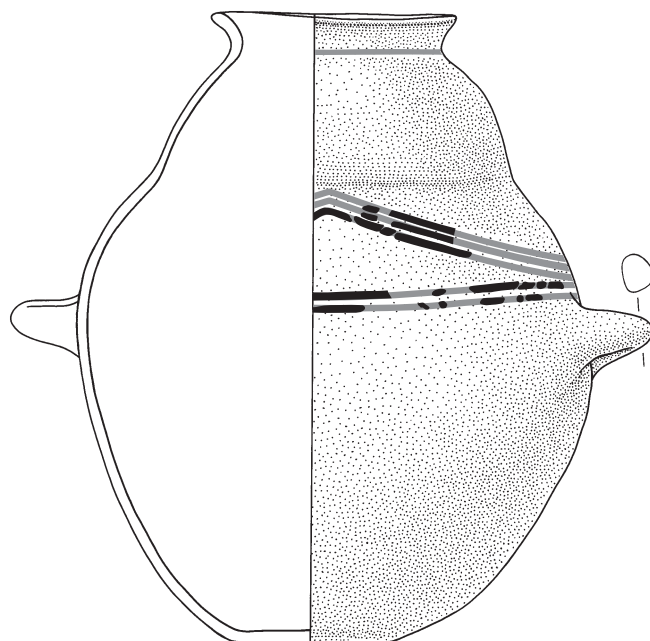
Grab Strada 11, Verteilung Funde (Auswahl)

- | | |
|-----------------|------------------------|
| ■ Feinkeramik | ● Bronzekette |
| ■ Knochen | ● Bronzezierknopf |
| ● Zähne | ■ Bronzefragmente |
| ● Bronzescheibe | ● Bernstein |
| ○ Bronzering | ● Fragmente Eisenfibel |

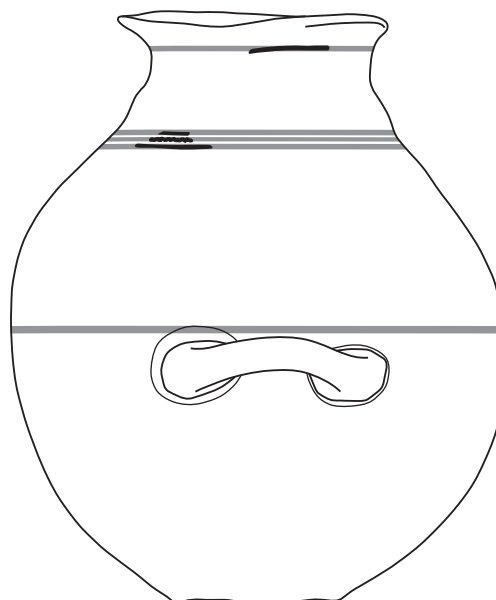
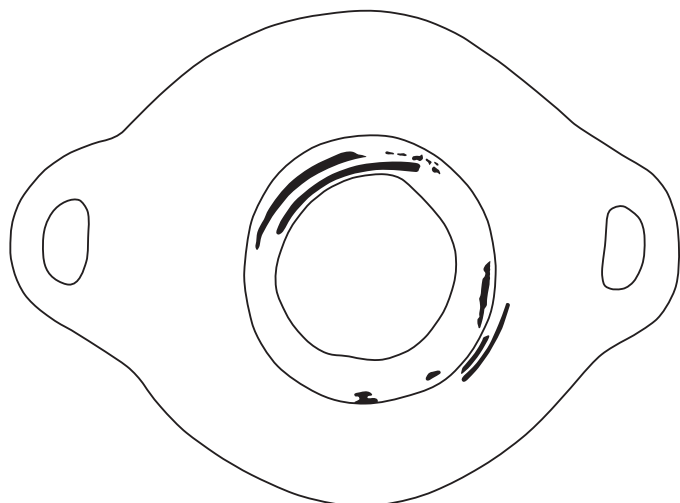
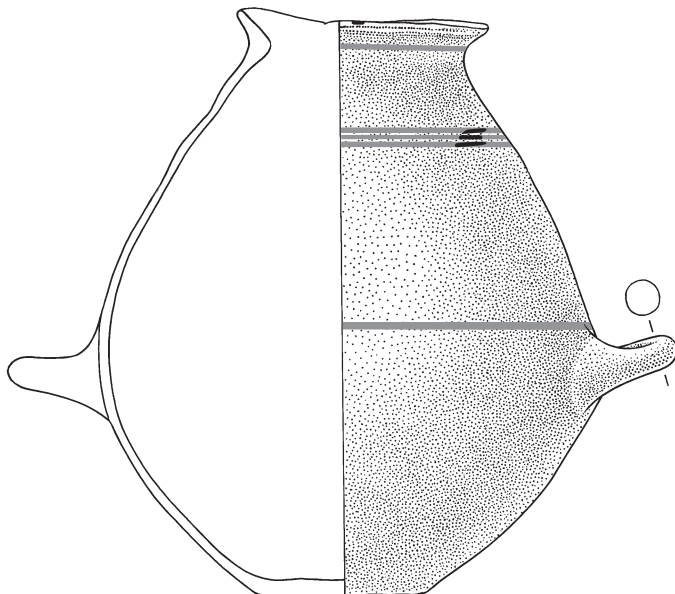




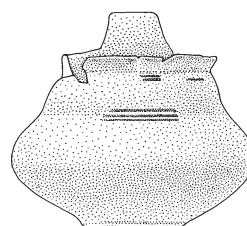
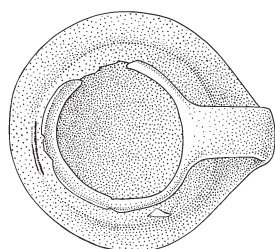
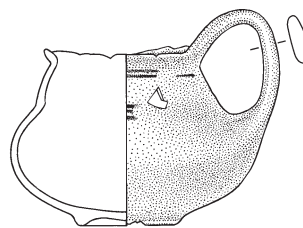
Grab Strada 11. Grabprofile und schematische Lage des Körpers



S11/1



S11/2



S11/3



S11/7



S11/8



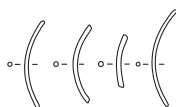
S11/9



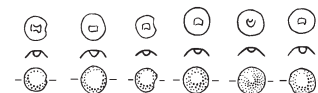
S11/10



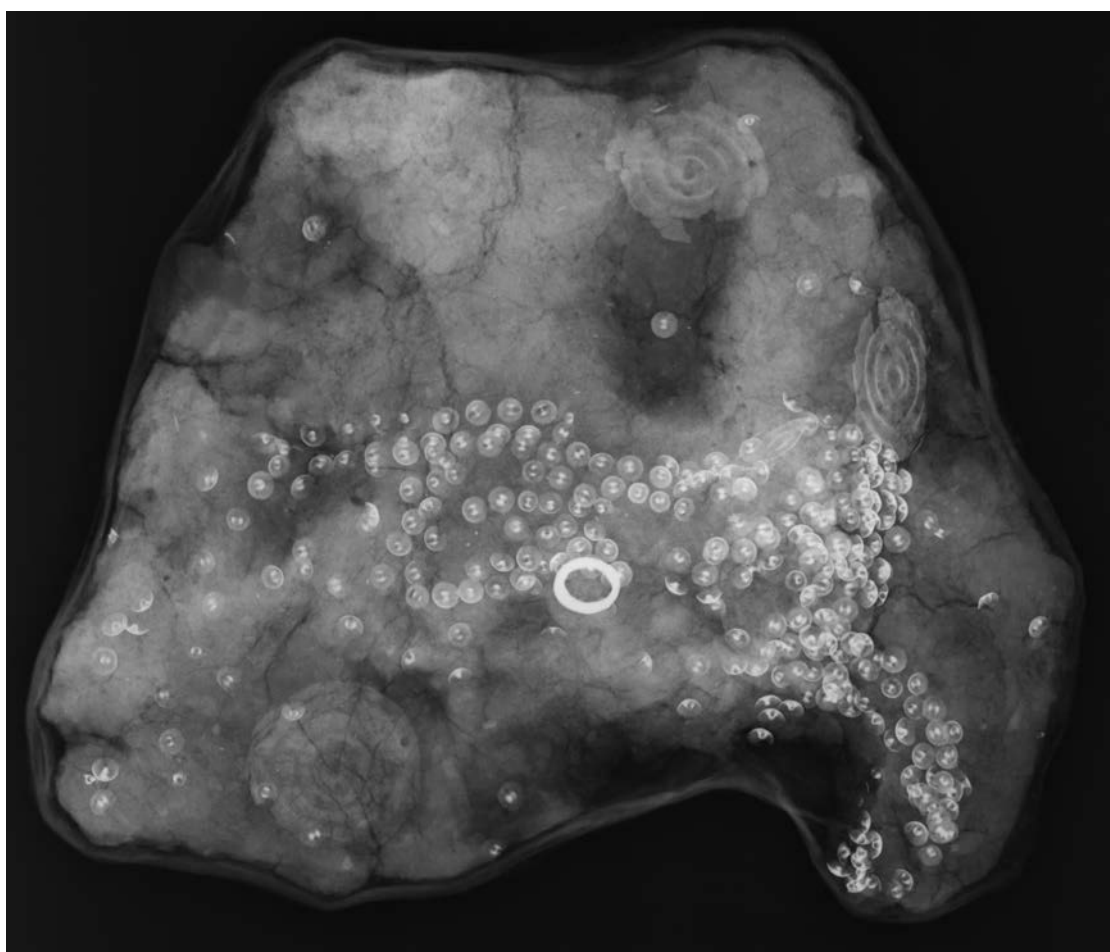
S11/11



S11/14



S11/20



S11/15

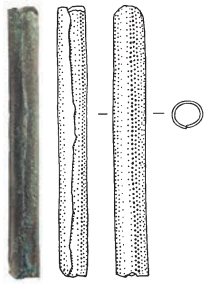
S11/16

S11/17

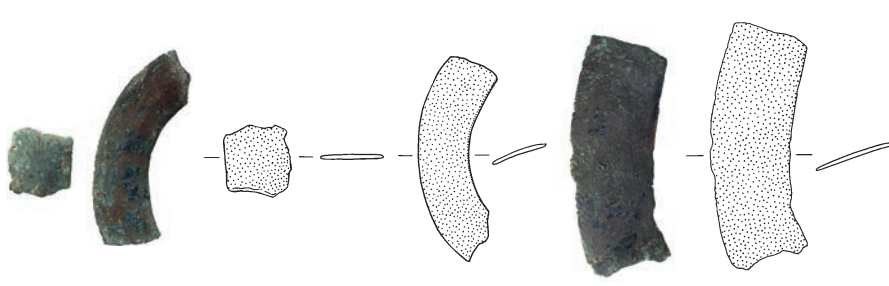
S11/18

S11/19

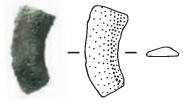
S11/21



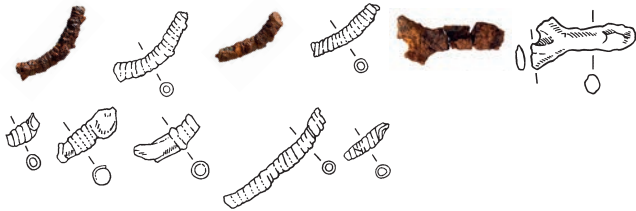
S11/22



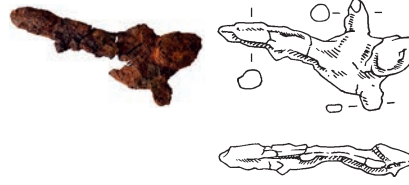
S11/23



S11/24



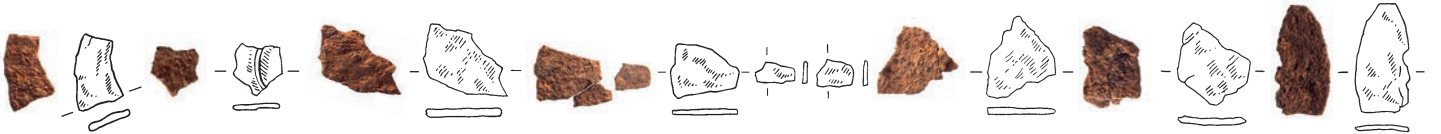
S11/26



S11/27



S11/28



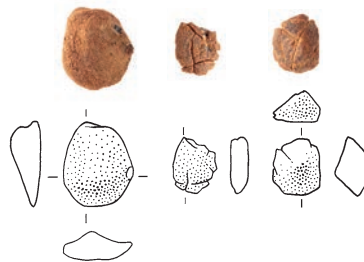
S11/29



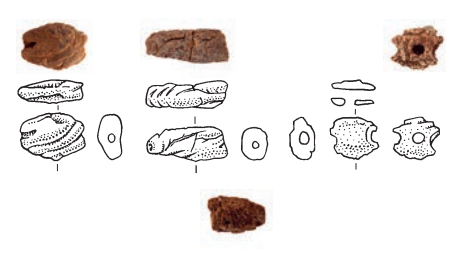
S11/30



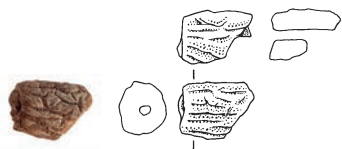
S11/32



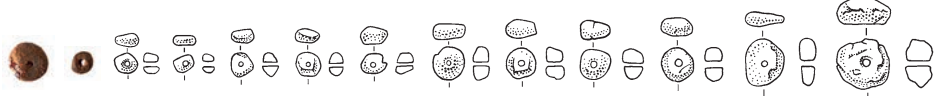
S11/33



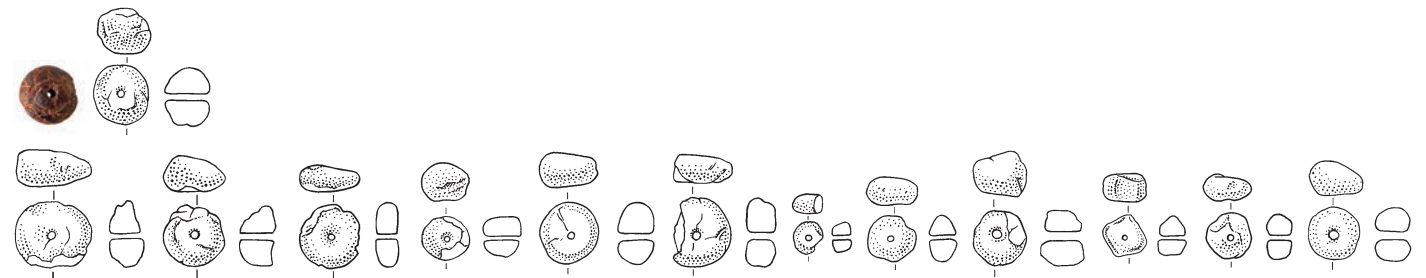
S11/34



S11/35



S11/36



S11/37



S11/40

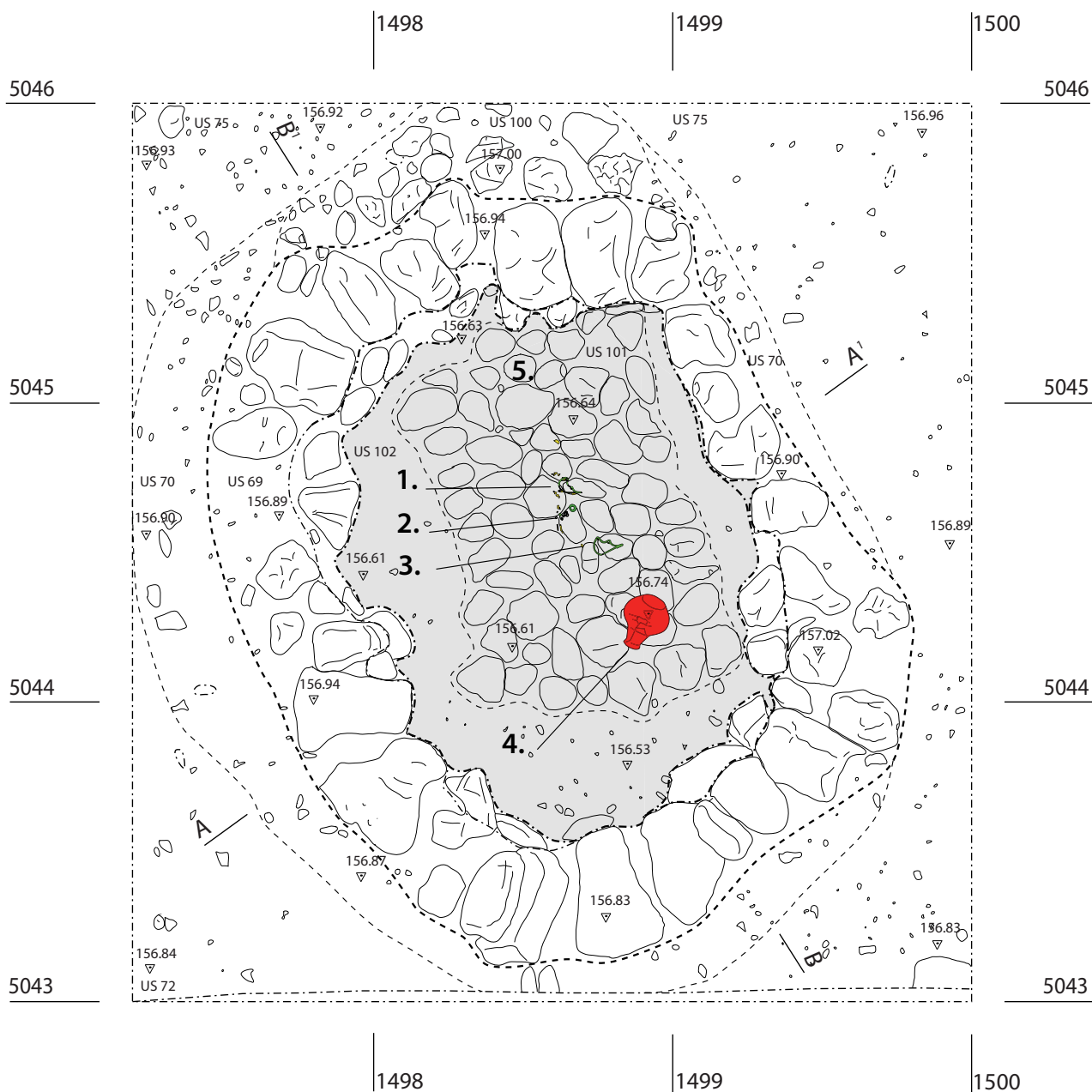
S11/42



S11/43



S11/46

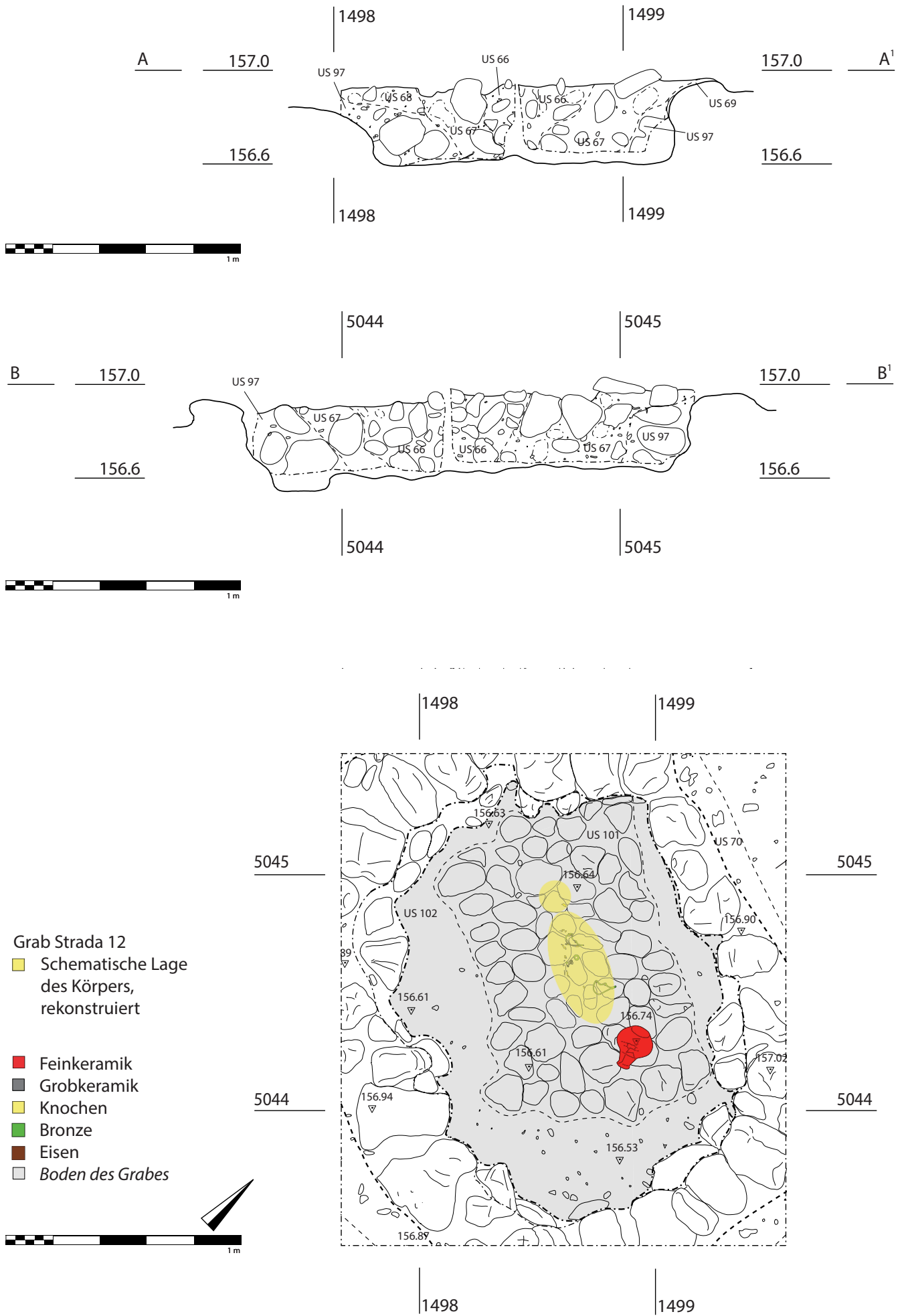


Grab Strada 12

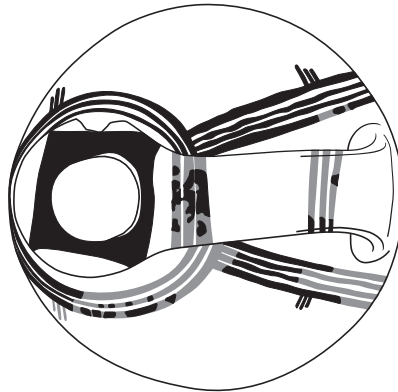
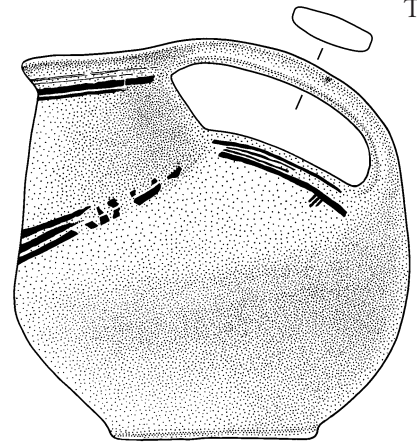
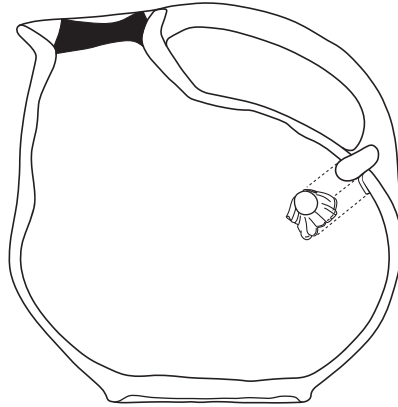
1. Bronzefibel S12/3
2. Anhänger S12/4-7
3. Bronzefibel S12/2
4. Askos S12/1
5. Plattenboden unterhalb der Grablege

- Feink Keramik
- Grobkeramik
- Knochen
- Bronze
- Eisen
- Boden des Grabes

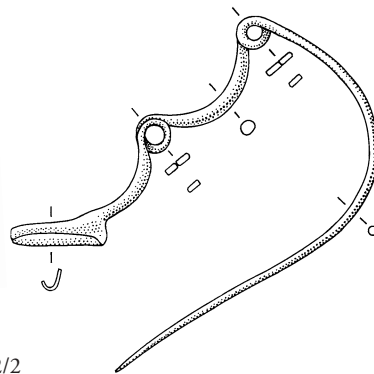




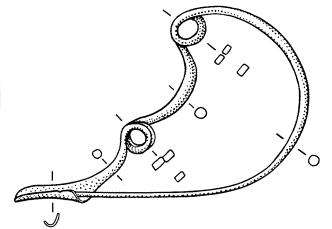
Grab Strada 12. Grabprofile und schematische Lage des Körpers



S12/1



S12/2



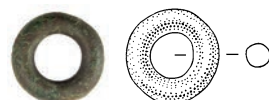
S12/3



S12/4



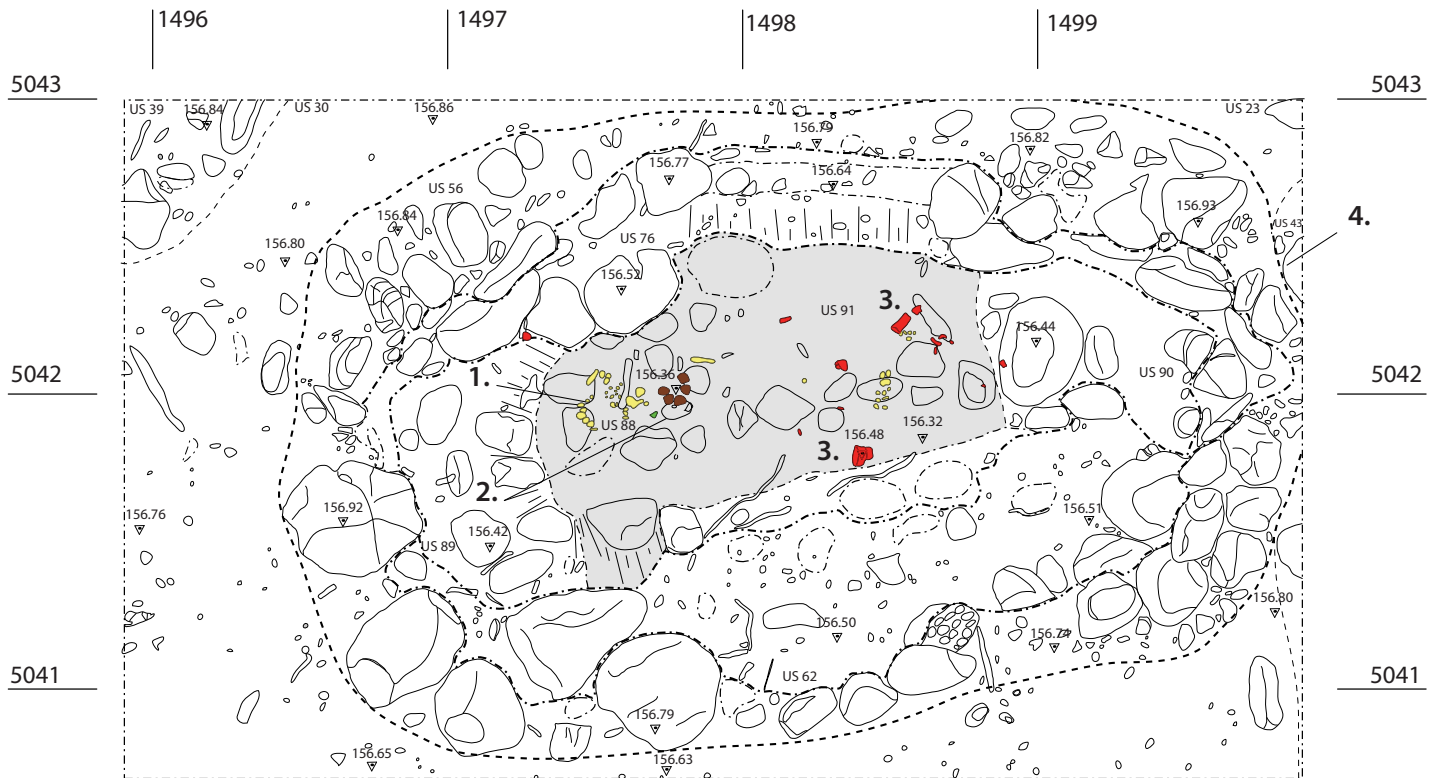
S12/5



S12/6



S12/10



Grab Strada 13

- 1. Schädel
- 2. Kettenelemente S13/3-8 und 10-11,
Fibel S13/9, Scheibe S13/12
- 3. Fragmente des Gefäßes S12/1
- 4. Umrandung Grab Strada 14

- Feinkeramik
- Grobkeramik
- Knochen
- Bronze
- Eisen
- Boden des Grabes



Grab Strada 13

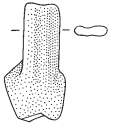
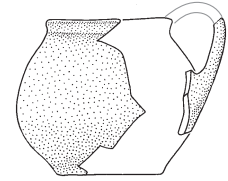
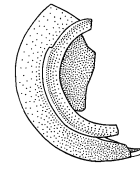
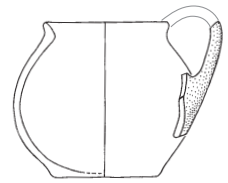
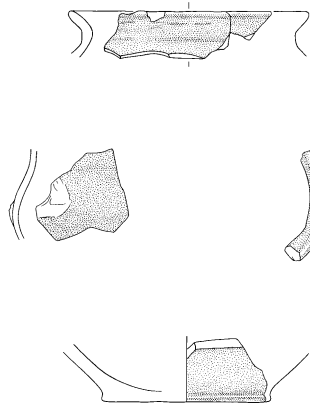
- Schematische Lage
des Körpers,
rekonstruiert

- Feinkeramik
- Grobkeramik
- Knochen
- Bronze
- Eisen
- Boden des Grabes





S13/1



S13/2



S13/3



S13/4



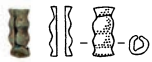
S13/5



S13/6



S13/7



S13/8



S13/9



S13/10



S13/11



S13/12



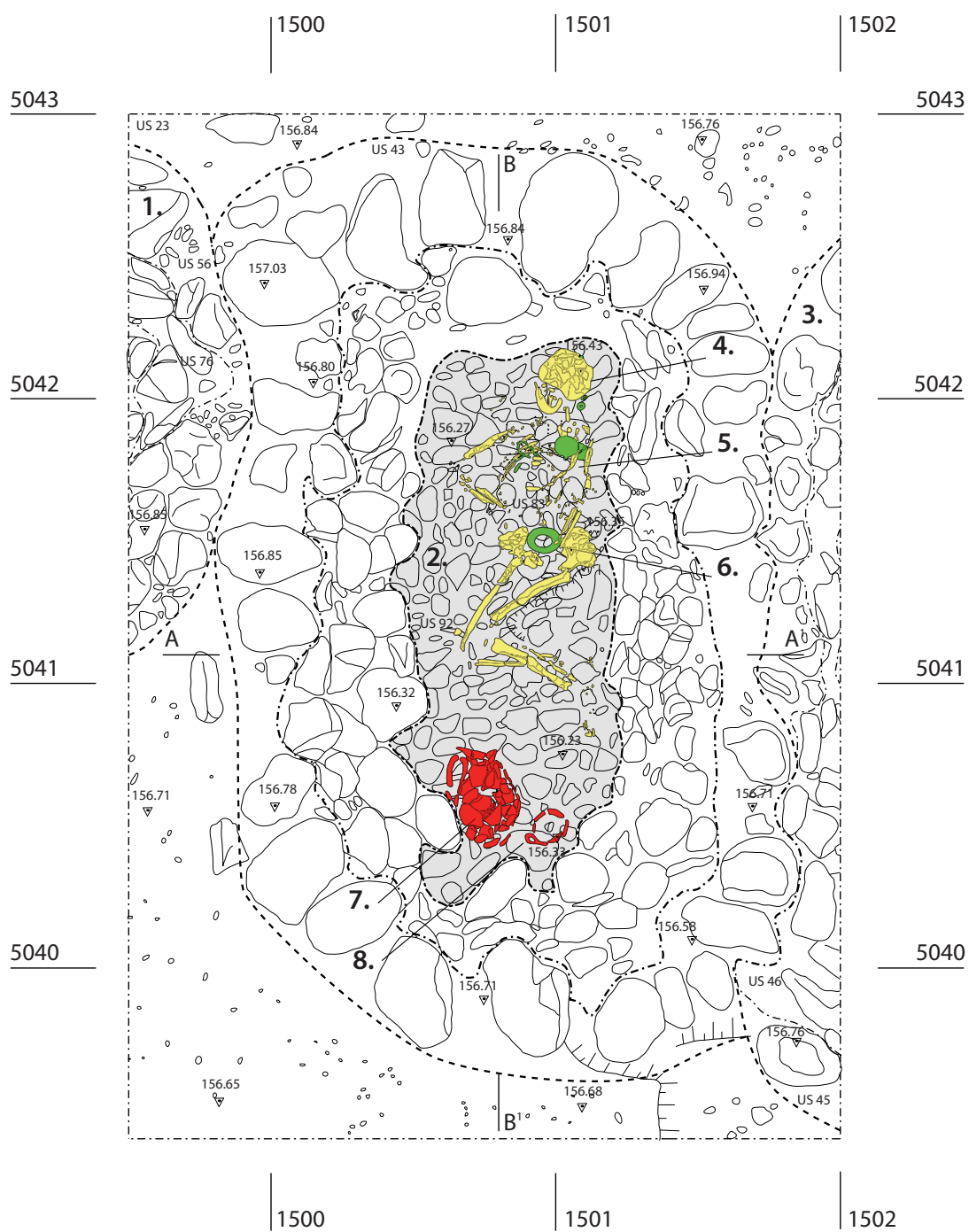
S13/15



S13/16



S13/17

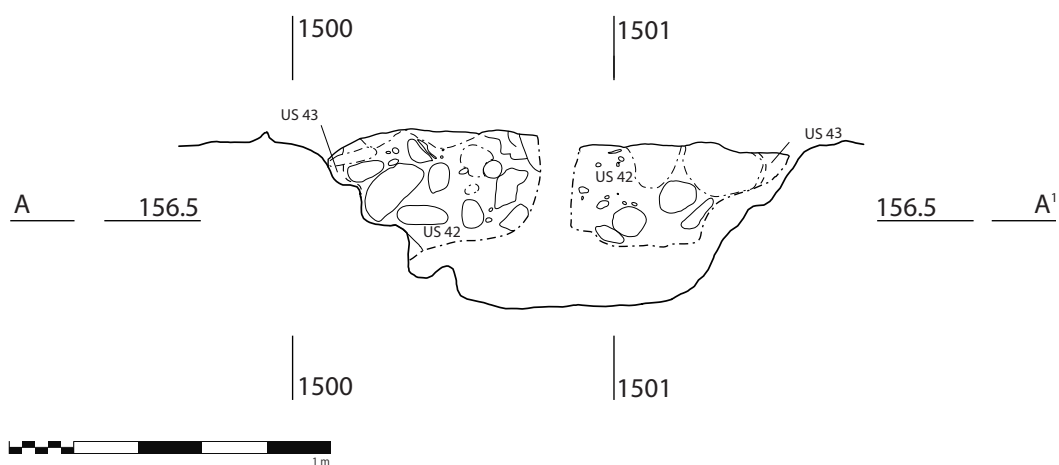
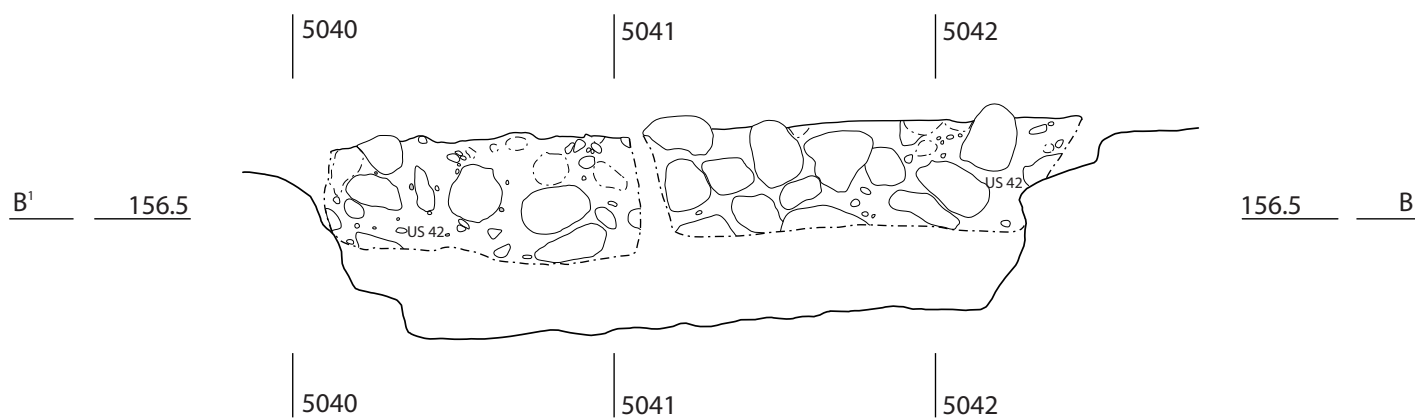


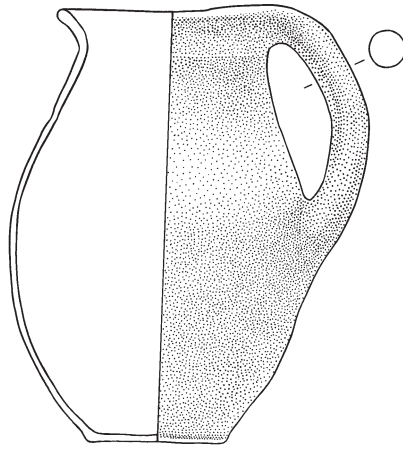
Grab Strada 14

1. Umrandung Strada 13
2. Gepflasterter Boden
3. Umrandung Strada 15
4. Schädel mit Kettenteilen und Schleifenringen S14/10–16
5. Brustbereich mit Bronzefibeln S14/4–8
6. Becken mit Bronzescheibe S14/9
7. Kanne und Tasse S14/1–2
8. Henkelschale S14/3

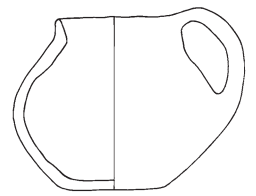
- Feinkeramik
- Grobkeramik
- Knochen
- Bronze
- Eisen
- Boden des Grabes



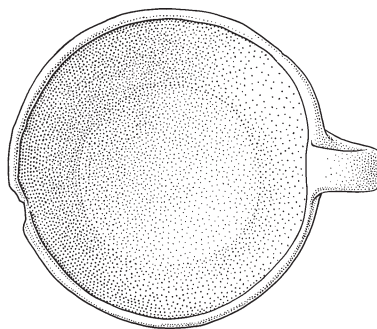
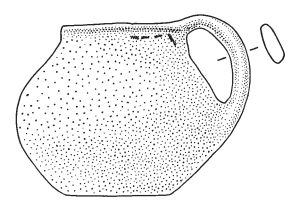
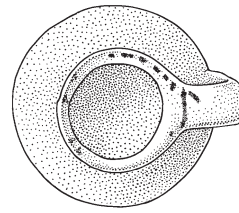
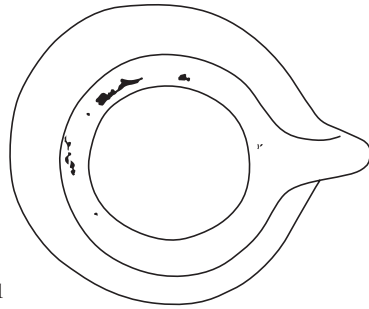




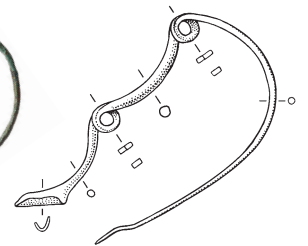
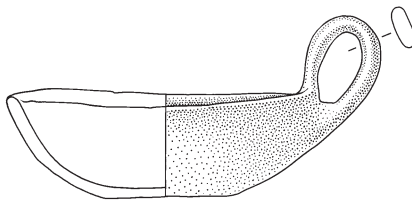
S14/1



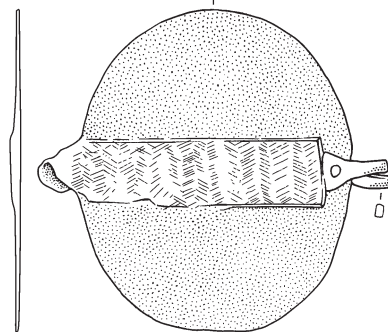
S14/2



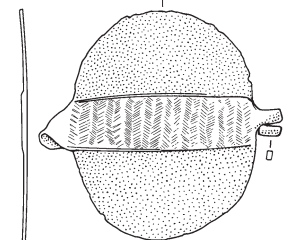
S14/3



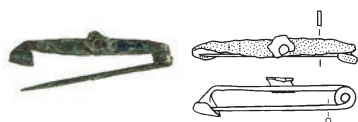
S14/4



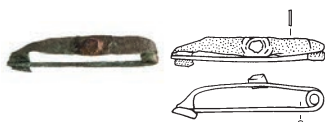
S14/5



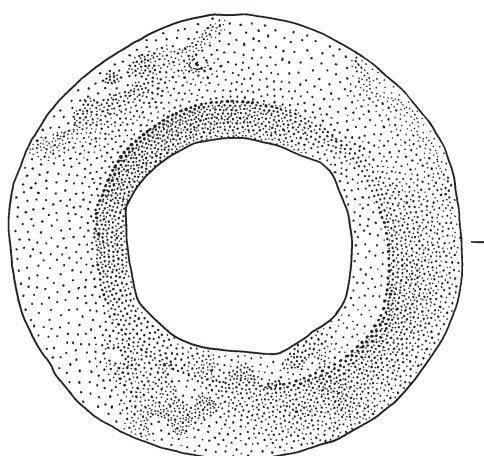
S14/6



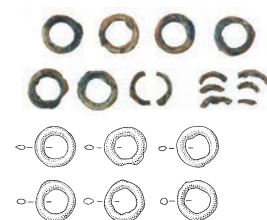
S14/7



S14/8



S14/9



S14/10



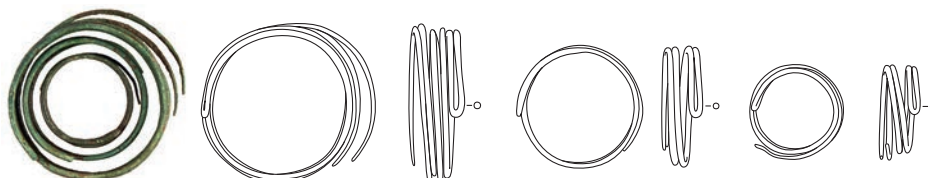
S14/11



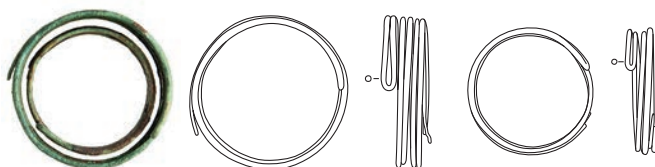
S14/12



S14/14



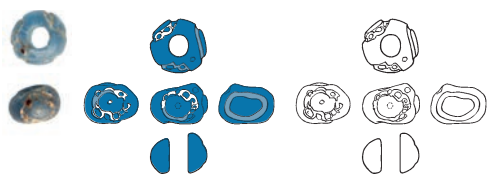
S14/15



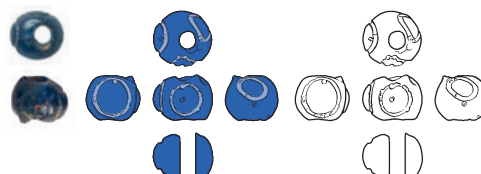
S14/16



S14/20



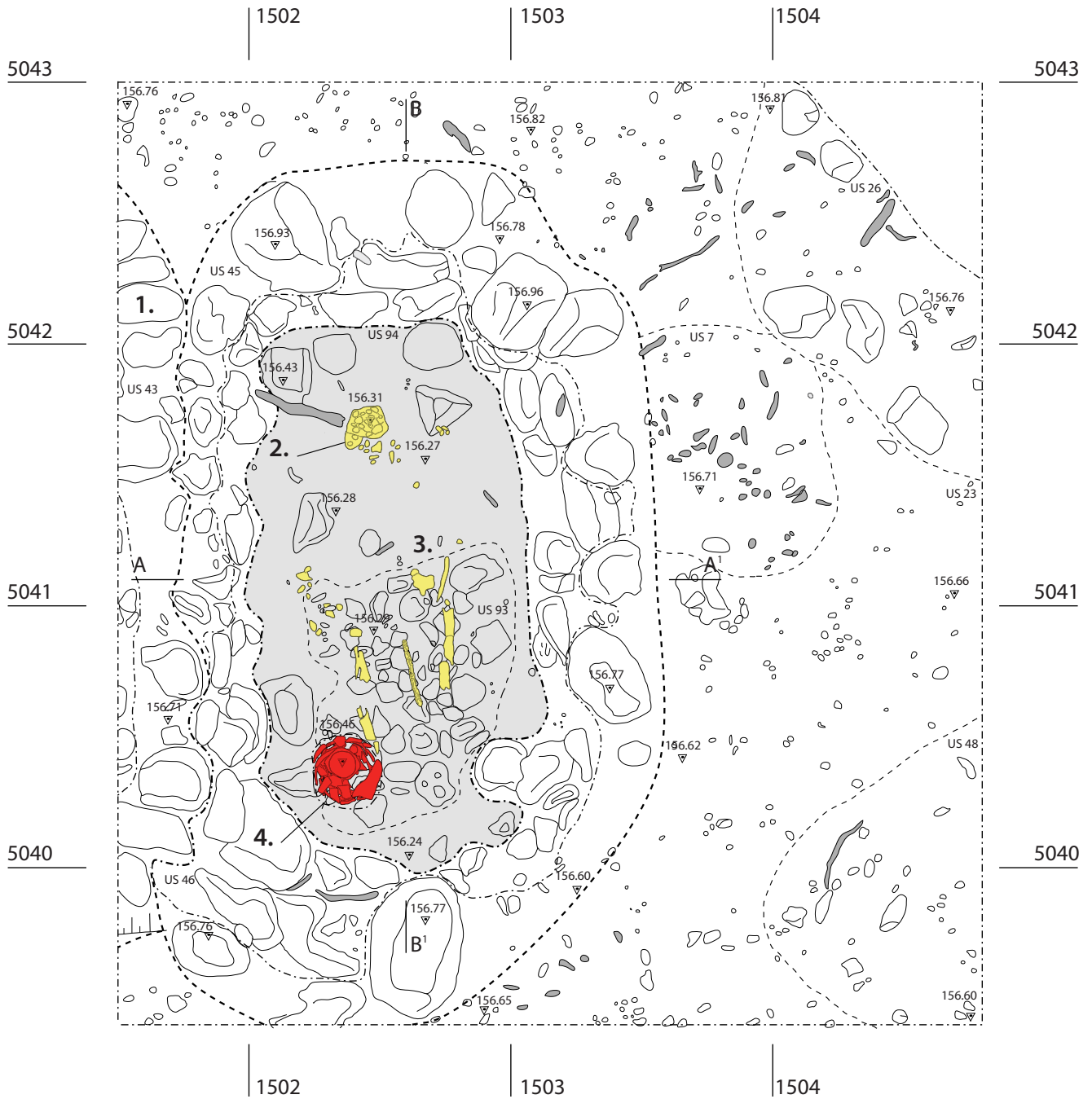
S14/18



S14/19



S14/23

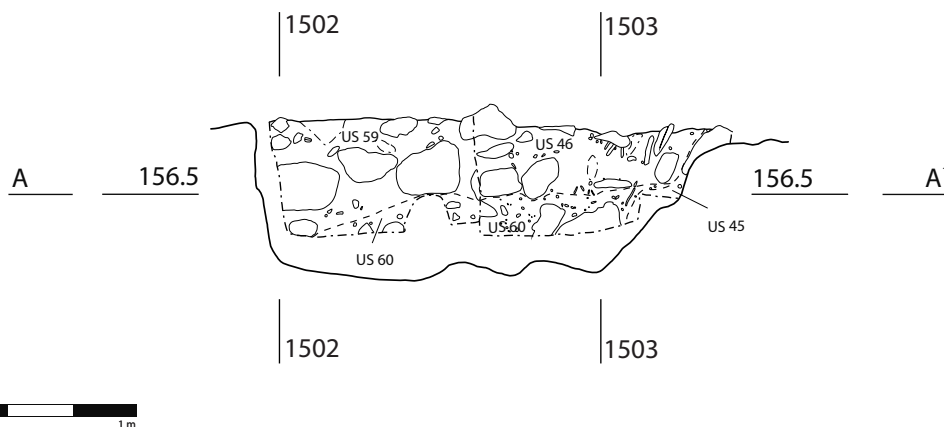
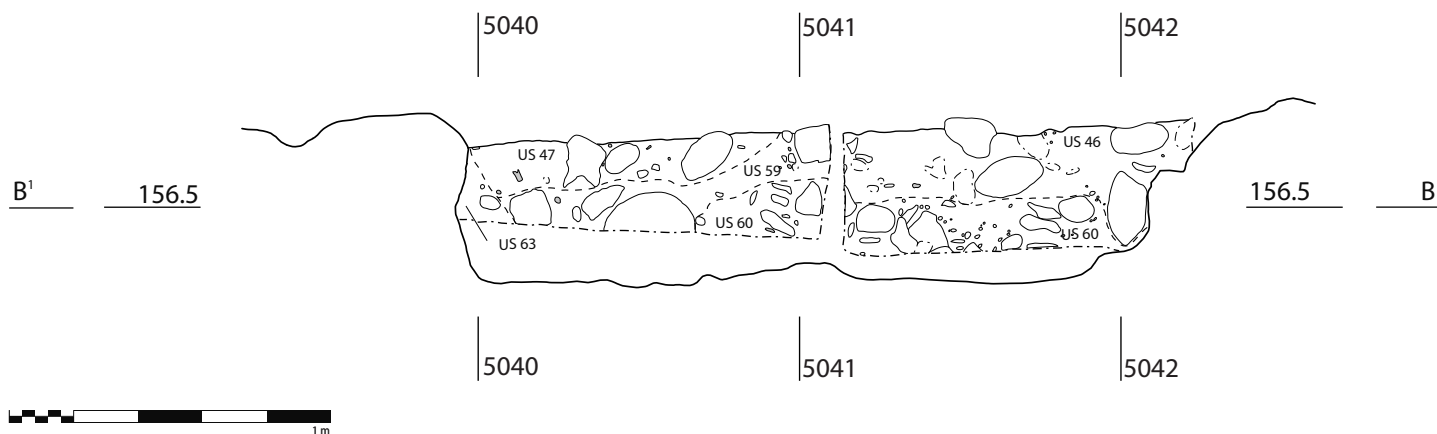


Grab Strada 15

1. Umrandung Grab Strada 14
2. Schädel
3. Becken und Beinknochen
4. Kanne S15/2 mit Tasse S15/2

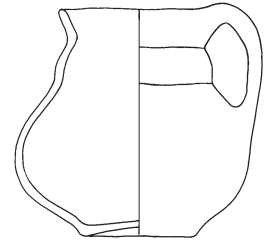
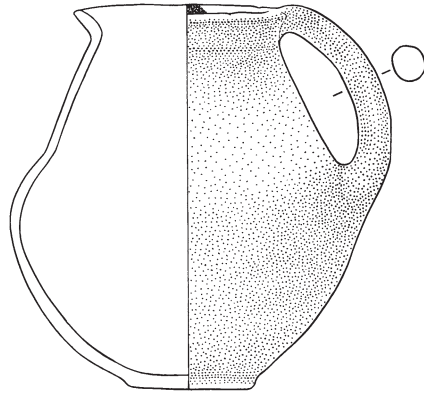
- Feinkeramik
- Grobkeramik
- Knochen
- Bronze
- Eisen
- Boden des Grabes
- Wurzel

1m

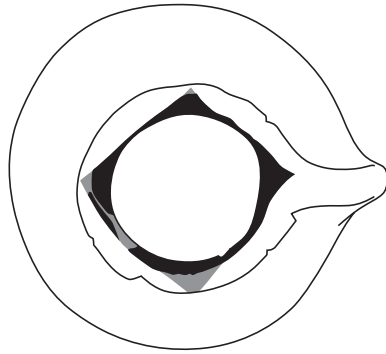
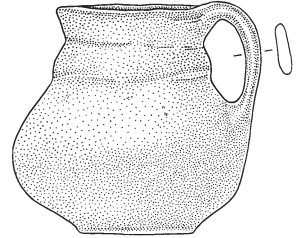
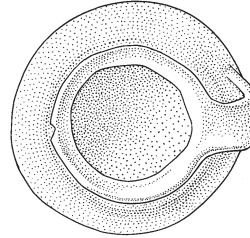




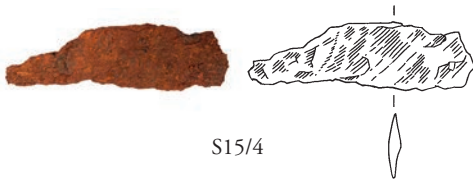
S15/1



S15/2



S15/3



S15/4



S15/5



S15/6



S15/8



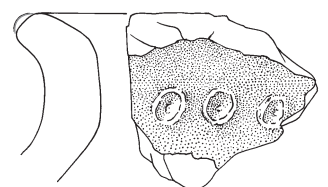
S15/9



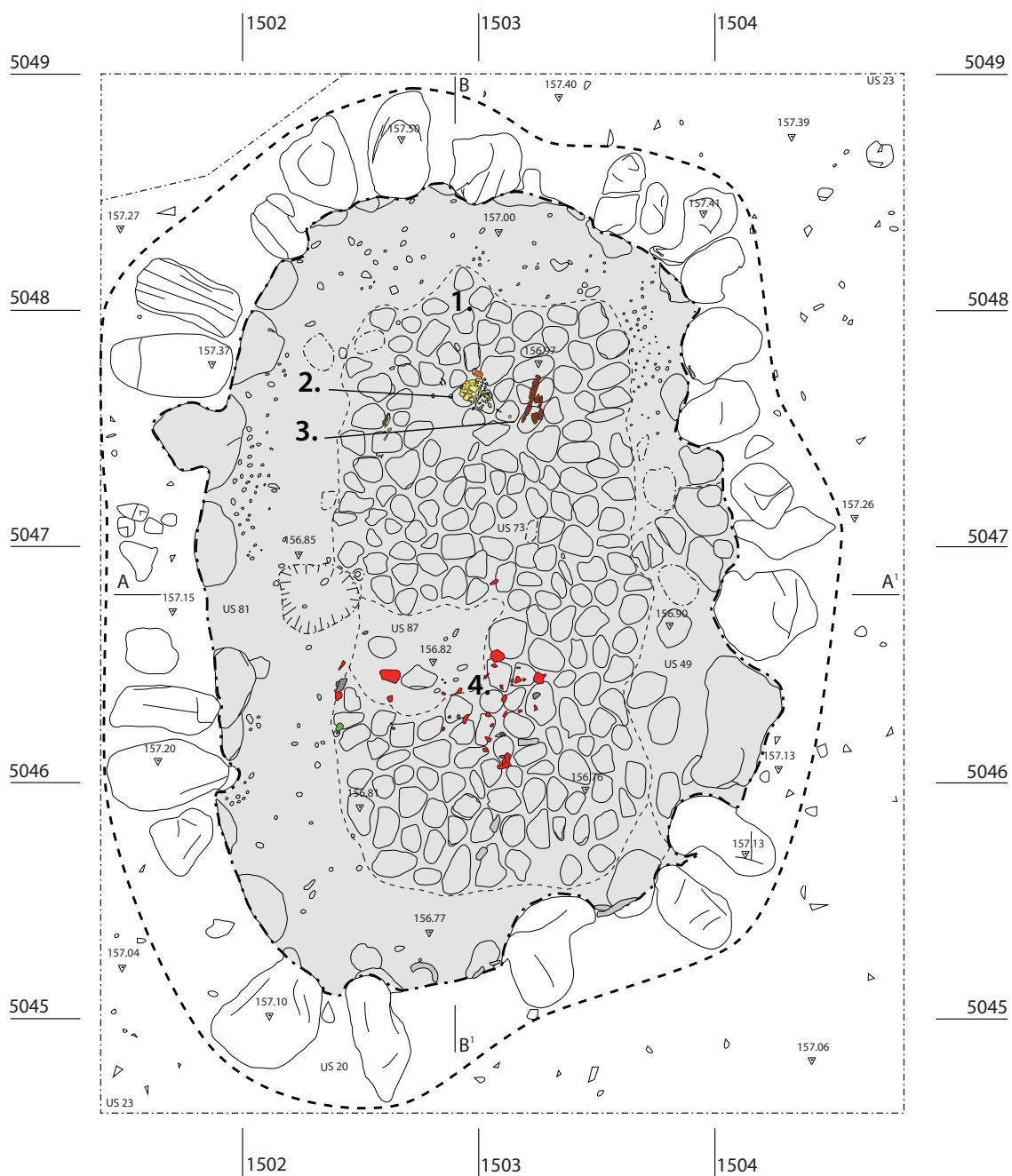
S15/10



S15/14



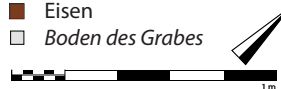
S15/15

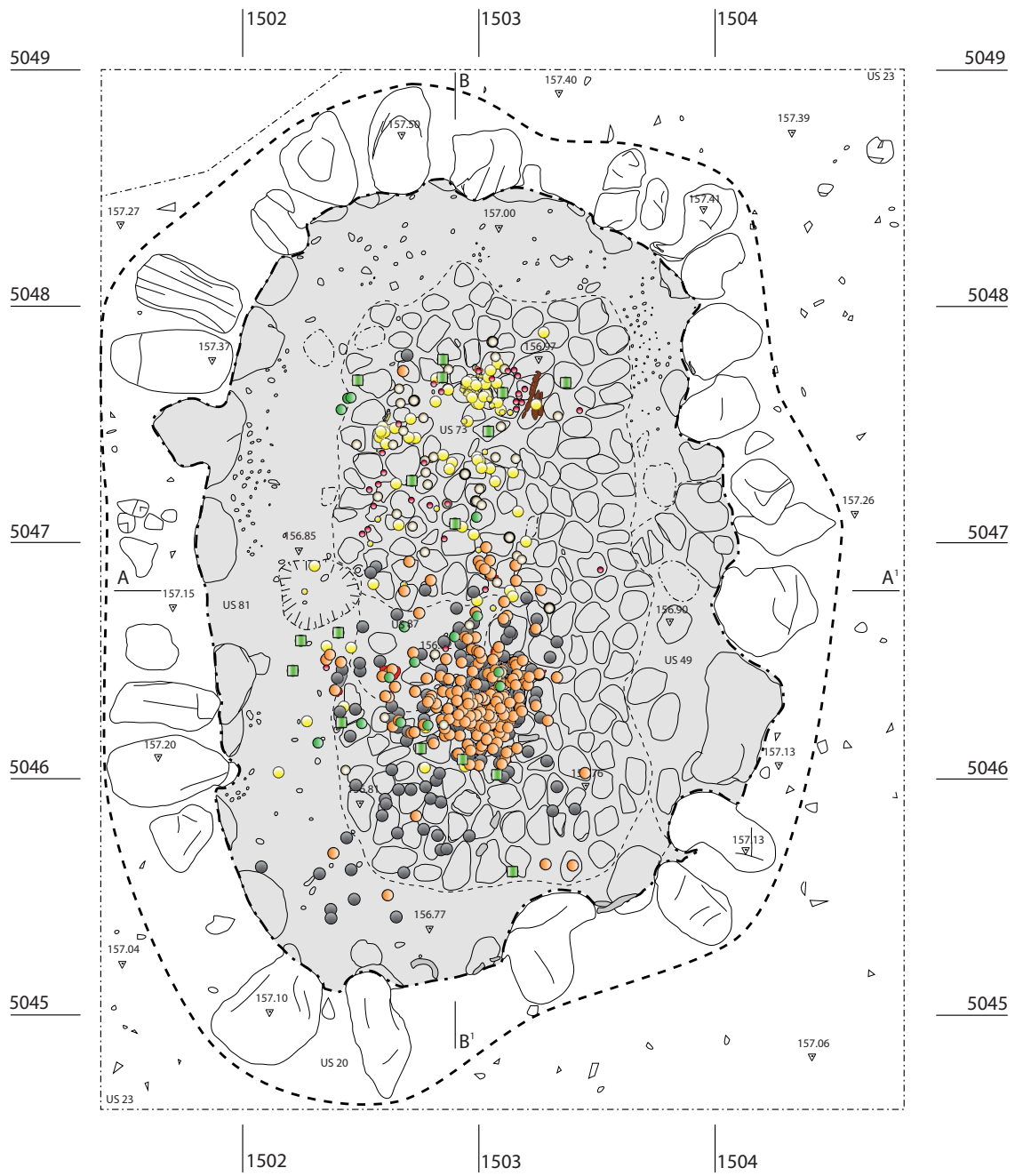


Grab Strada 16

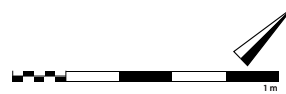
1. Plattenboden
2. Schädel mit Bernsteinfragmenten S16/16
3. Messer und Klinge S16/9-10
4. Fragmente der Gefäße S16/1-2

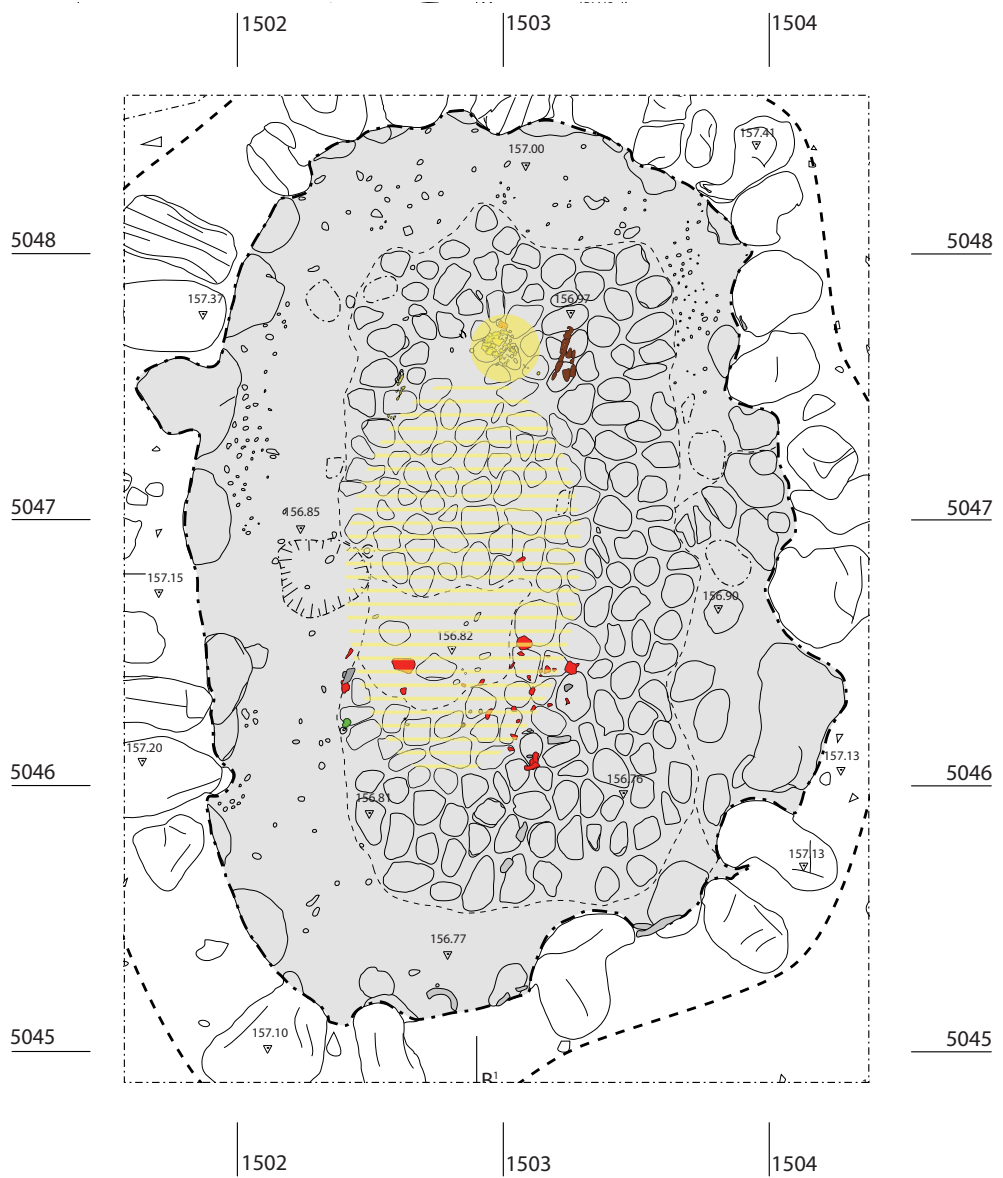
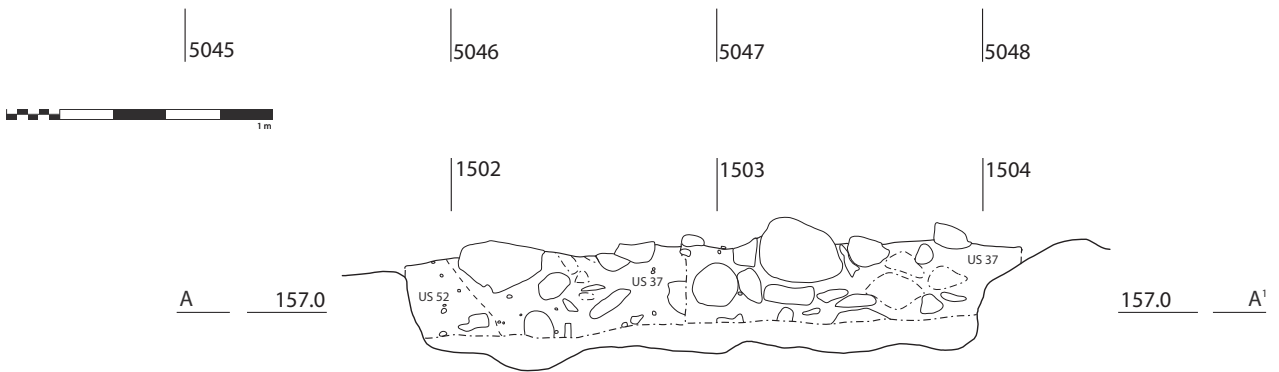
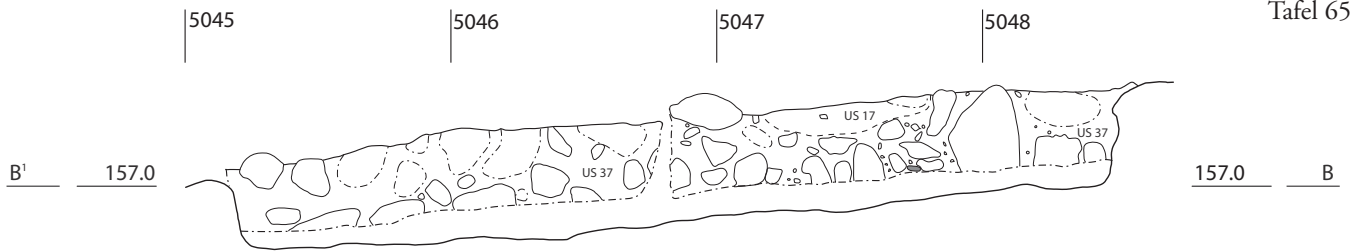
- Feinkeramik
- Grobkeramik
- Knochen
- Bronze
- Eisen
- Boden des Grabes





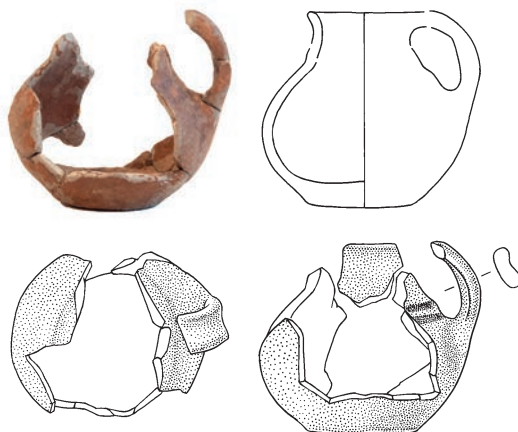
- Grab Strada 16, Verteilung Funde (Auswahl)
- Feinkeramik
 - Grobkeramik
 - Knochen
 - Zahn
 - Bernstein
 - Bronzefragment
 - Bronzeblech
 - Eisenfragment
 - Boden des Grabes





Grab Strada 16
 ■ Schematische Lage
 des Schädels,
 rekonstruiert
 ■ Streuung der
 Knochenfragmente

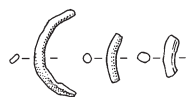
■ Feinkeramik
 ■ Grobkeramik
 ■ Knochen
 ■ Bronze
 ■ Eisen
 □ Boden des Grabes



S16/1



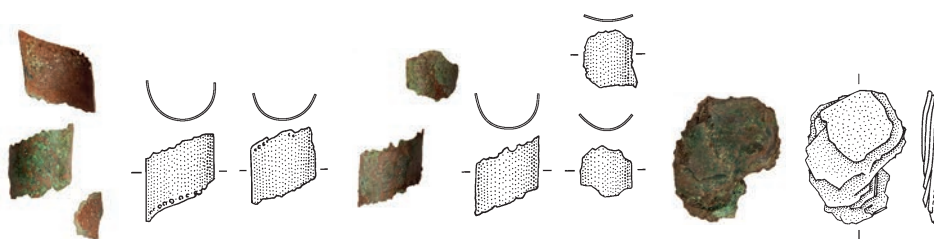
S16/2



S16/3



S16/4



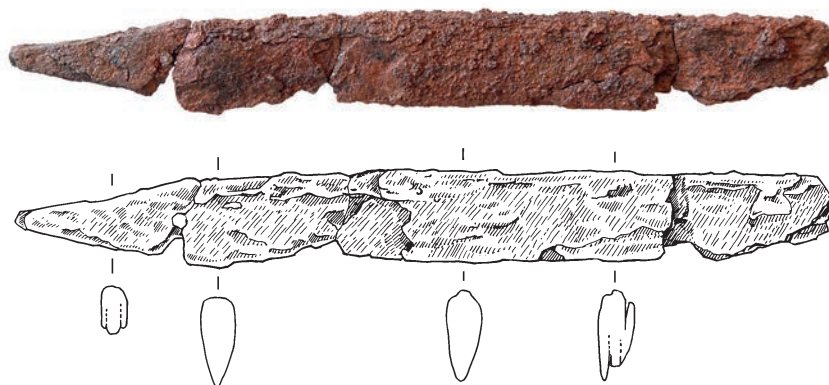
S16/5



S16/7



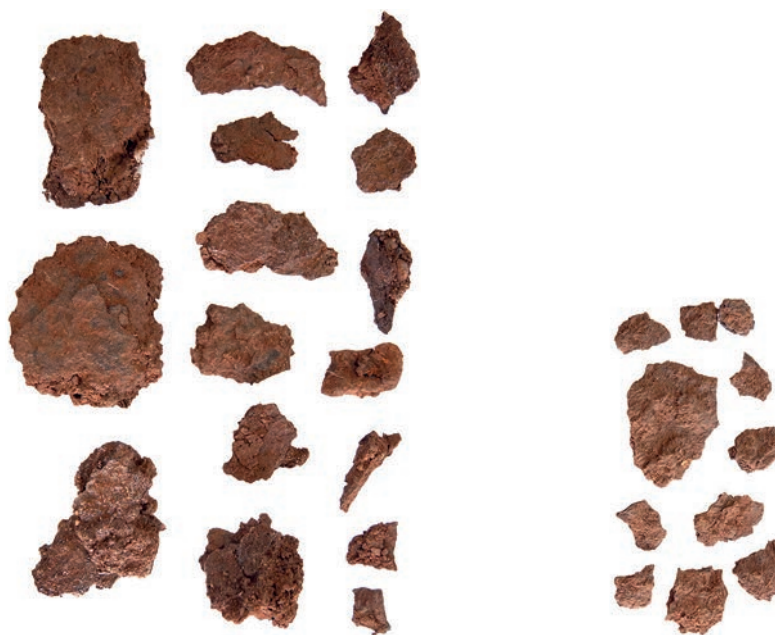
S16/8



S16/9



S16/10

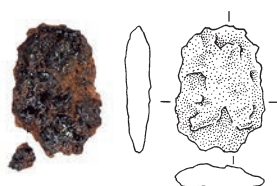


S16/12

S16/13



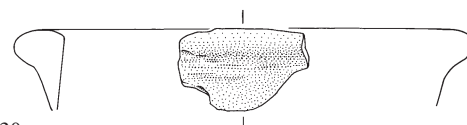
S16/11

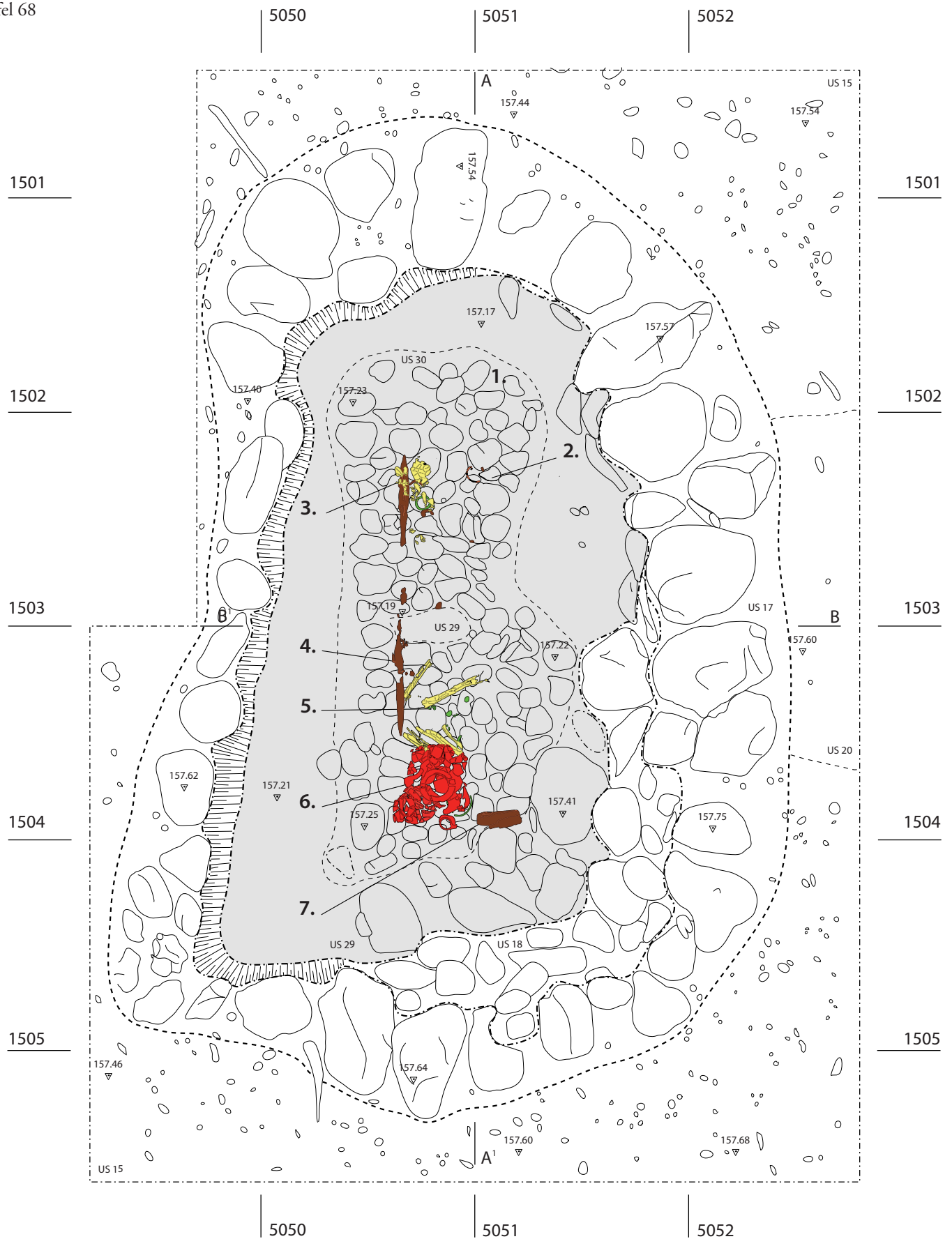


S16/16



S16/20



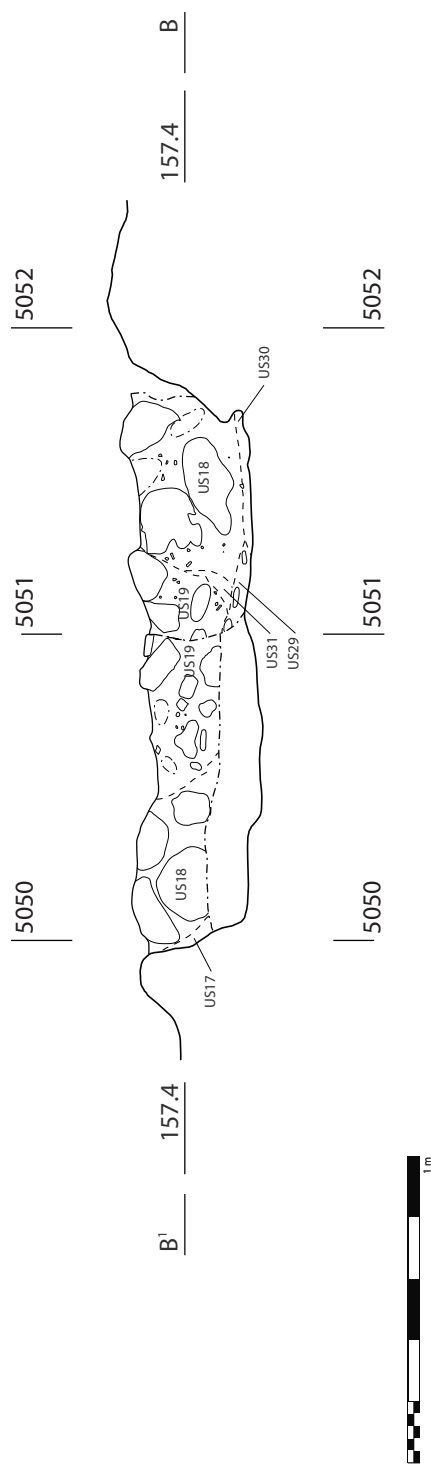
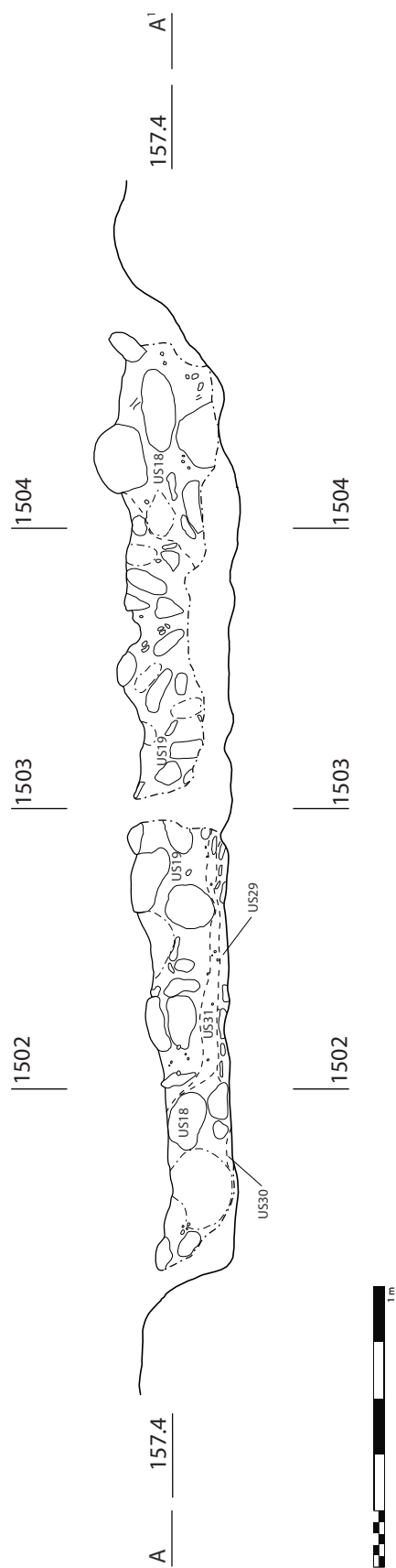


Grab Strada 17

1. Plattenboden
2. Schlangenfibel S17/11
3. Schädel mit Bronzering S17/9 und Lanzenspitze S17/17
4. Schwert S17/15
5. Beinknochen, Anhänger und Perlen S17/5-8
6. Olla, Tasse und Kanne S17/1-3, Bronzeschale S17/4
7. Schaftlochaxt S17/18 und Dechsel S17/19

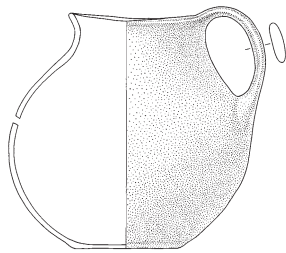
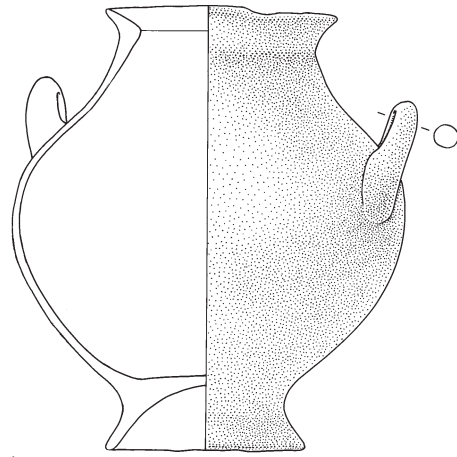
- Feinkeramik
- Grobkeramik
- Knochen
- Bronze
- Eisen
- Boden des Grabes



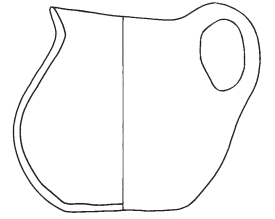




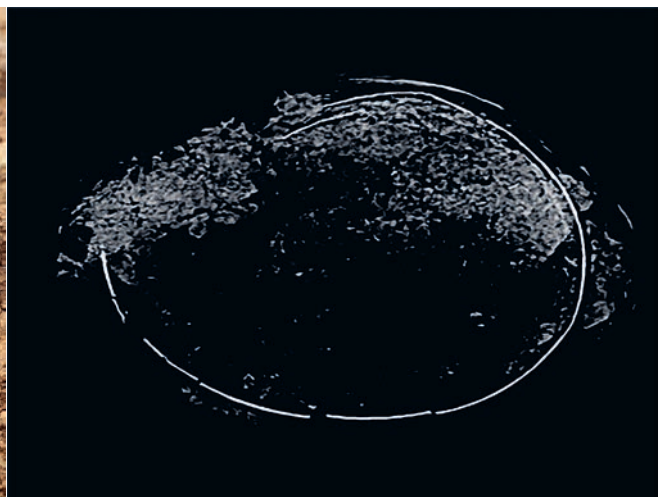
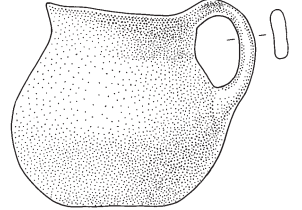
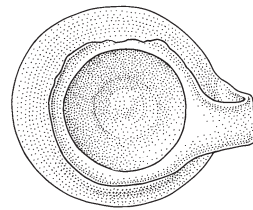
S17/1



S17/2



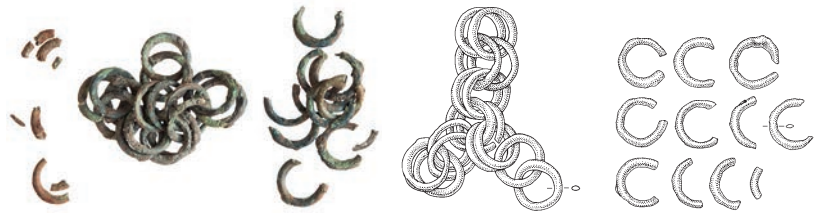
S17/3



S17/4



S17/5



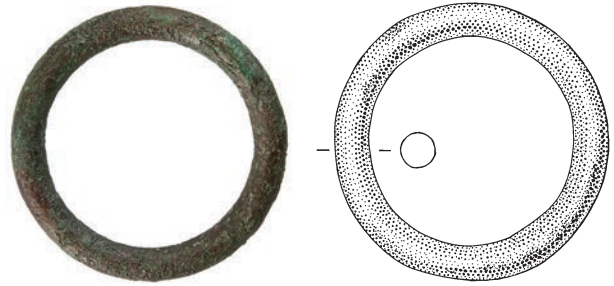
S17/6



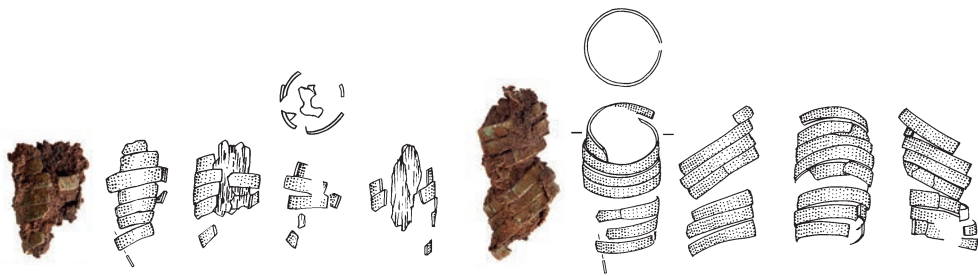
S17/7



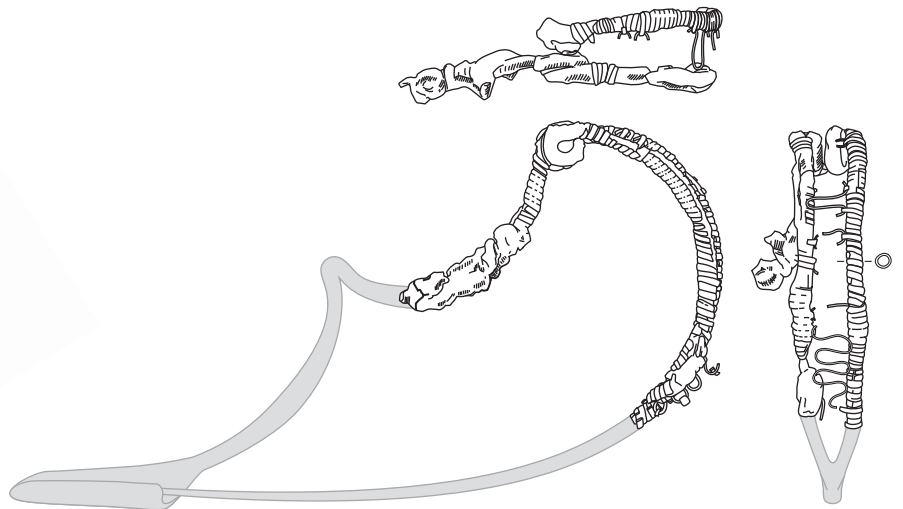
S17/8



S17/9



S17/10



S17/11



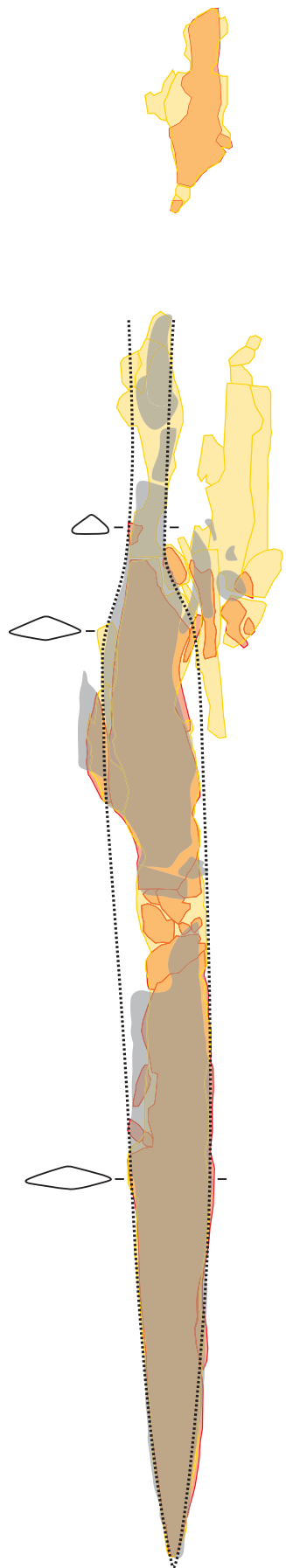
S17/12



S17/13



S17/14

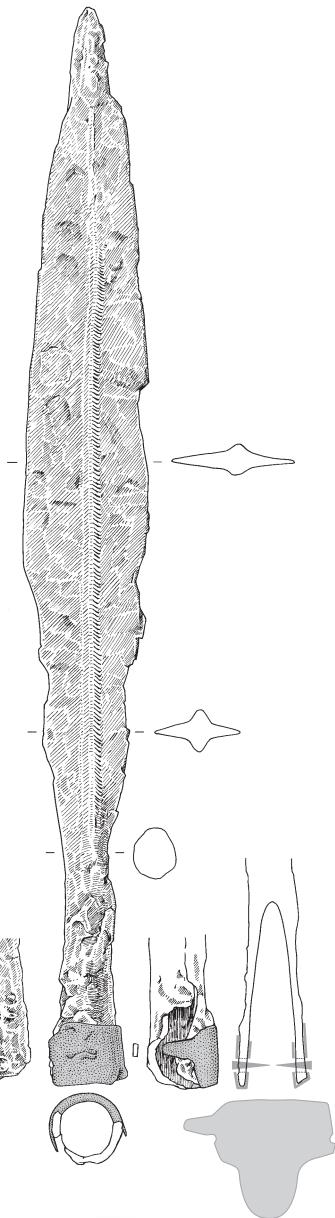


- anhand Röntgenbild gezeichnet
- anhand Grabungsfotos gezeichnet
- aus dem Grabungsplan entnommen
- aus CT-Bildern entnommen

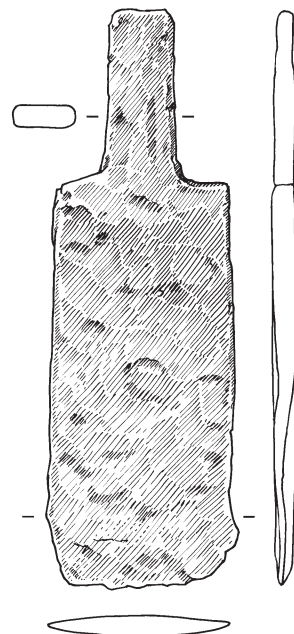
S17/15, S17/16



S17/17



S17/19



S17/20



S17/21



S17/22



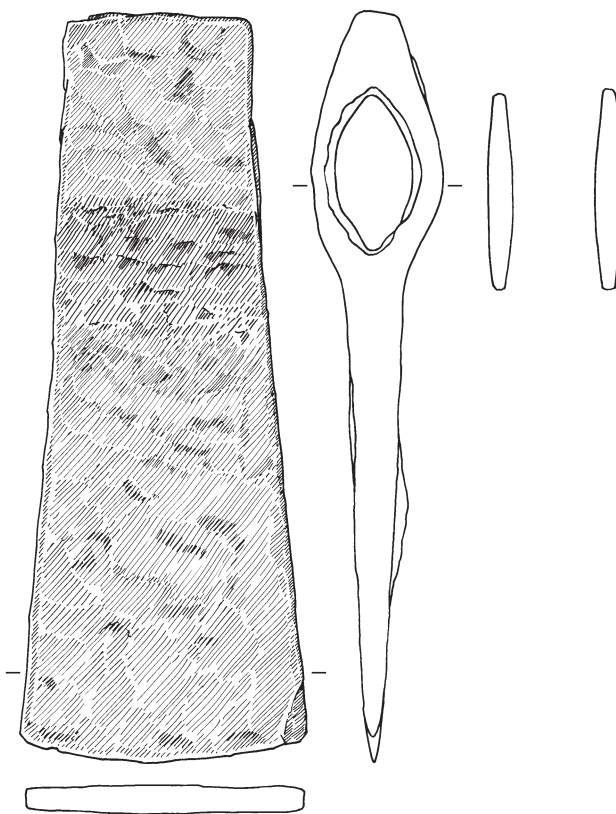
S17/23

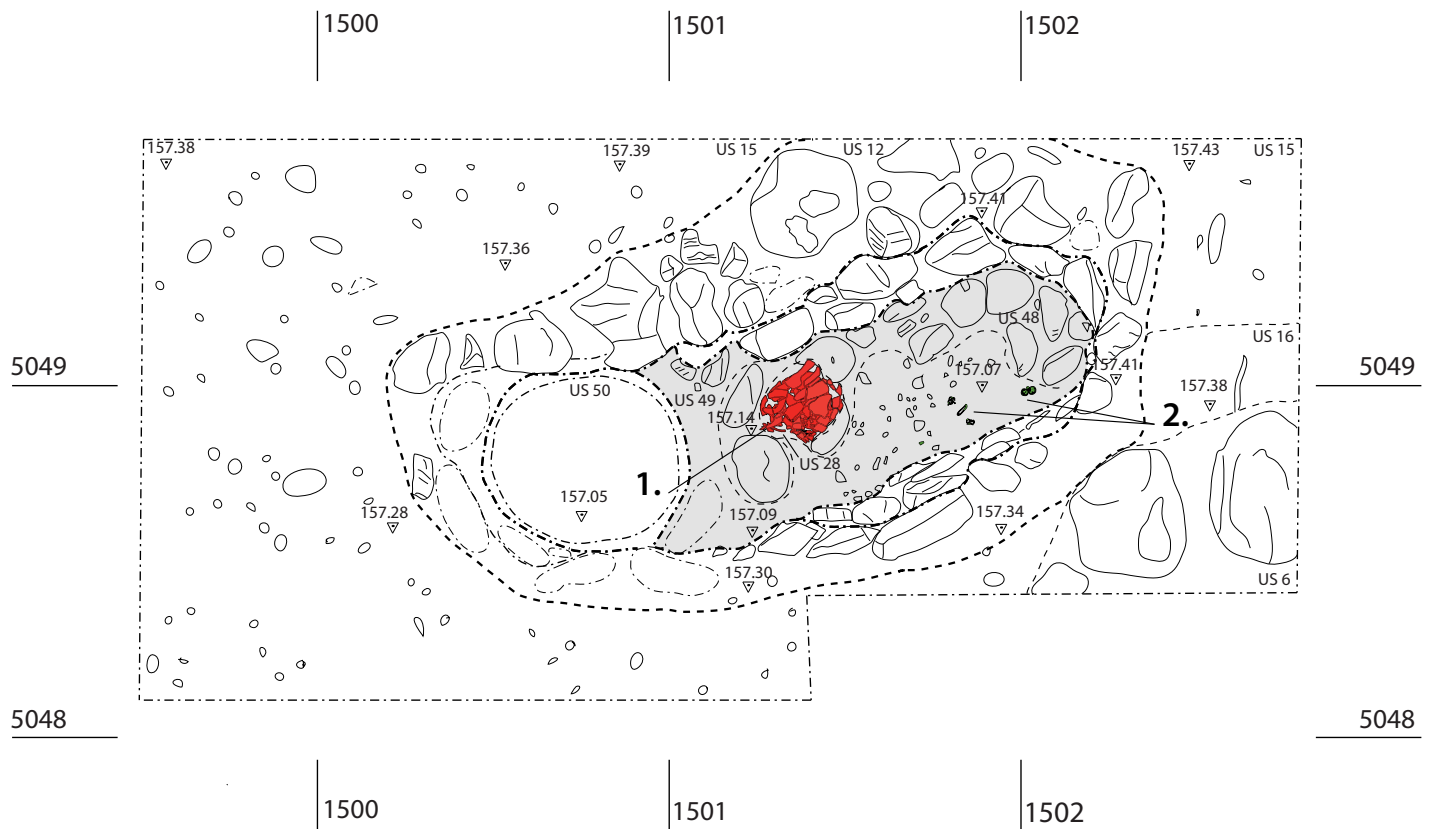


S17/24



S17/18





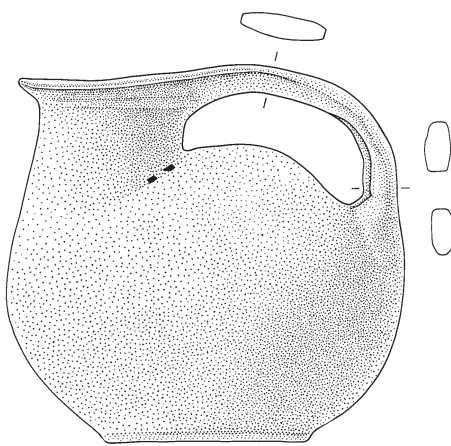
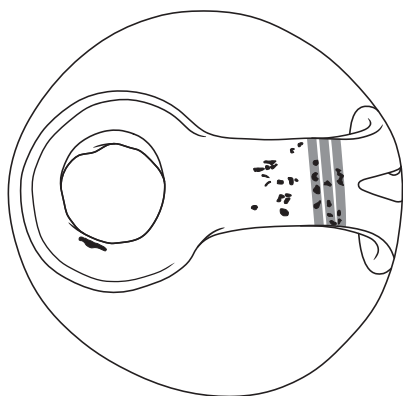
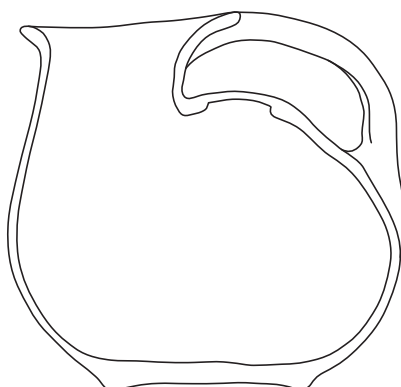
Grab Strada 18

1. Askos S18/1

2. Fibel S18/2, Anhänger und Kettenteile S18/3–6

- Feinkeramik
- Grobkeramik
- Knochen
- Bronze
- Eisen
- Boden des Grabes





S18/1



S18/2



S18/3



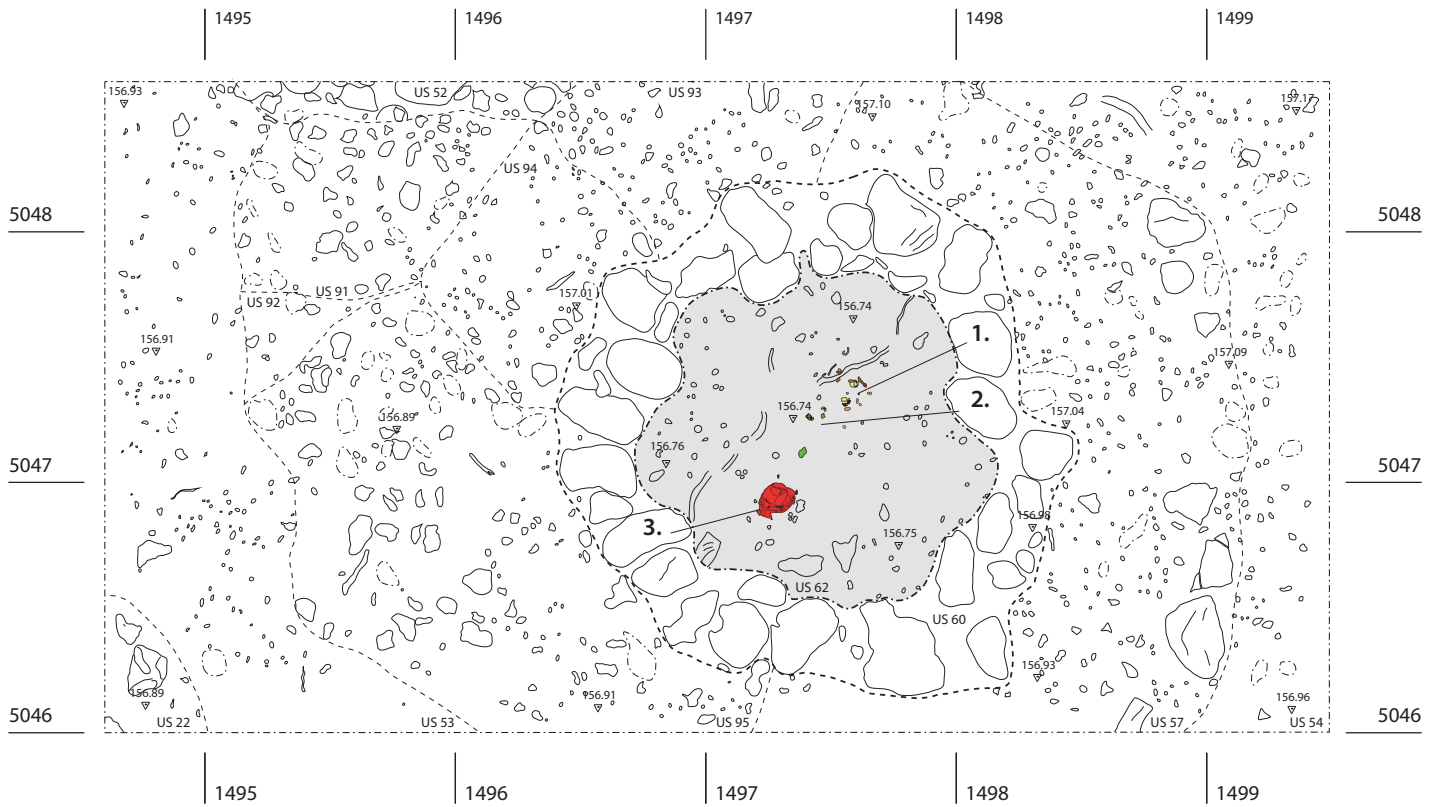
S18/4



S18/5

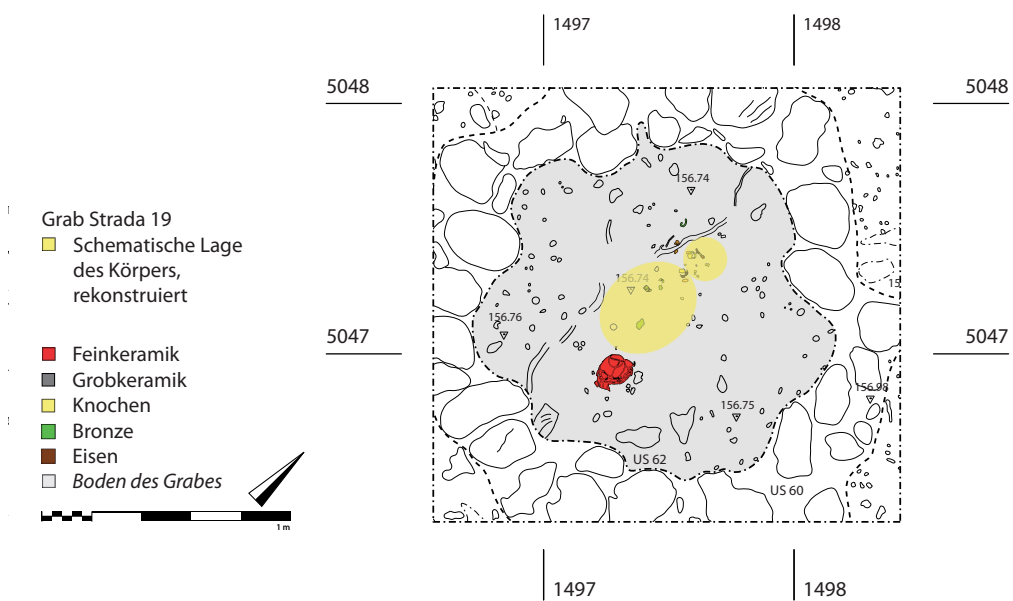


S18/6



Grab Strada 19

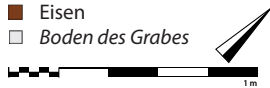
1. Reste des Schädels und Spiralen S19/2–3, Fibel S19/12
2. Spiralen S19/4–8, S19/13 und Arming S19/9
3. Askos S19/1

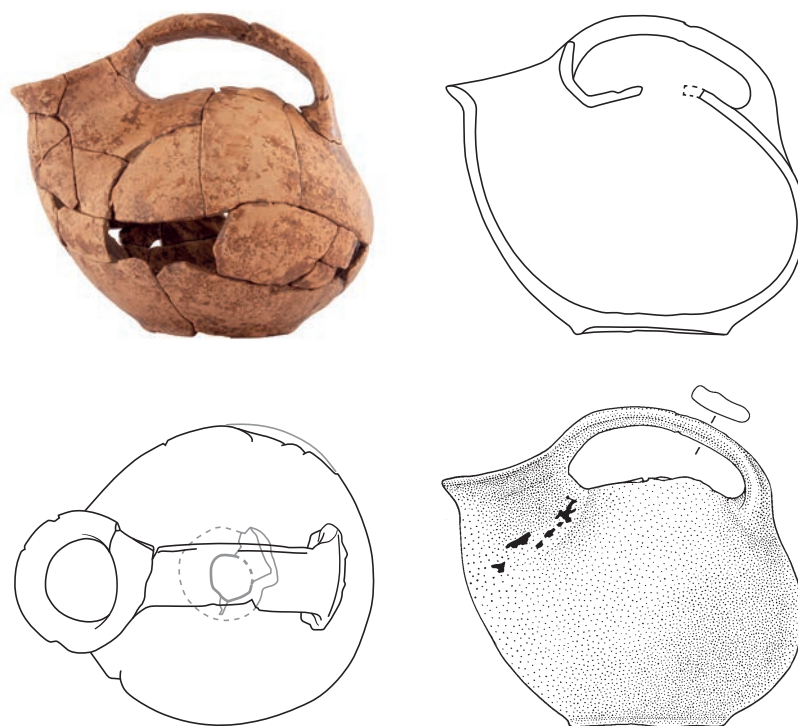


Grab Strada 19

■ Schematische Lage des Körpers, rekonstruiert

- Feinkeramik
- Grobkeramik
- Knochen
- Bronze
- Eisen
- Boden des Grabes





S19/1



S19/2



S19/3



S19/4



S19/5



S19/7



S19/8



S19/9



S19/13



S19/15



S19/16



S19/17



S19/18



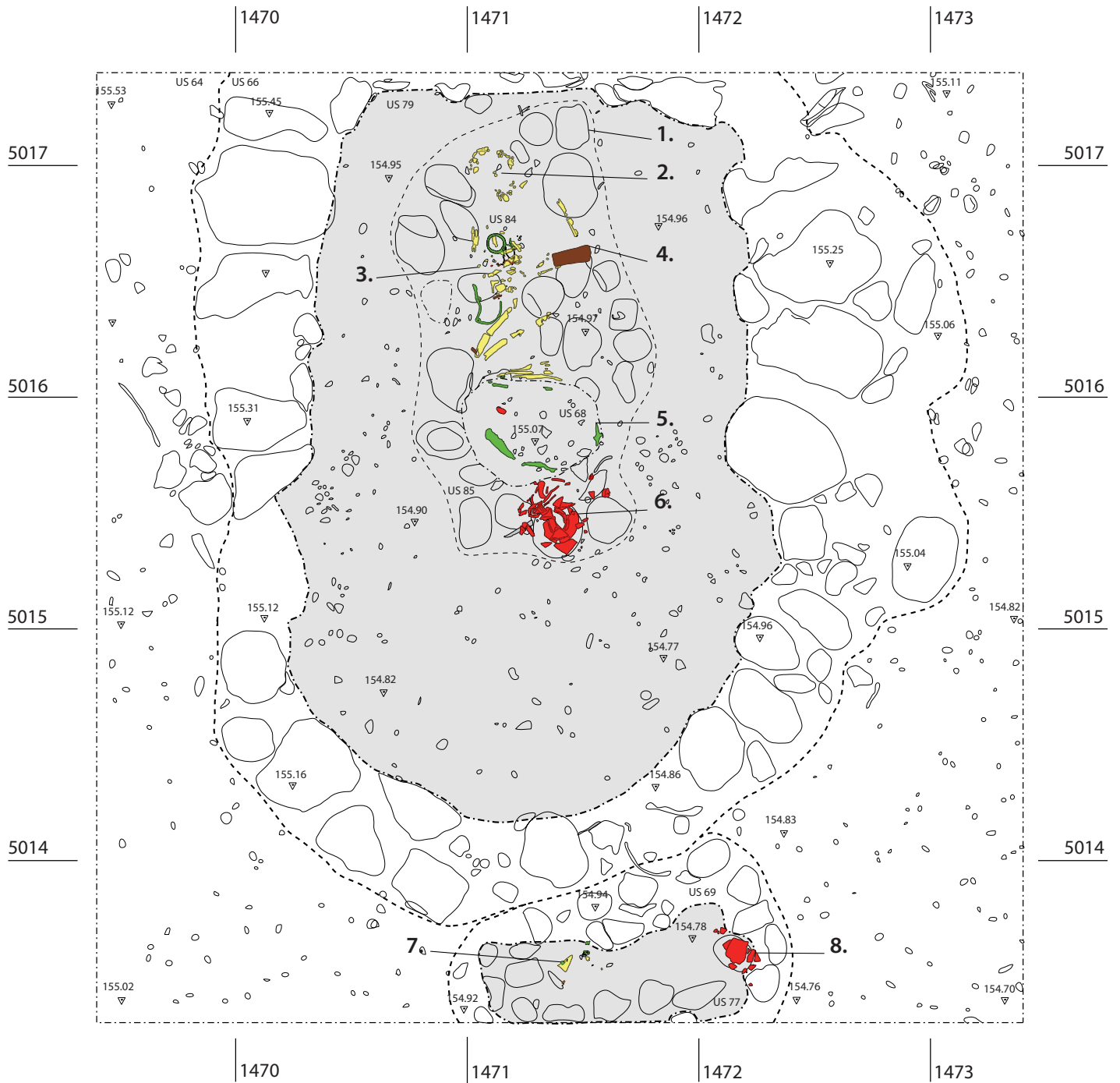
S19/19



S19/20



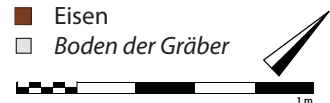
S19/21

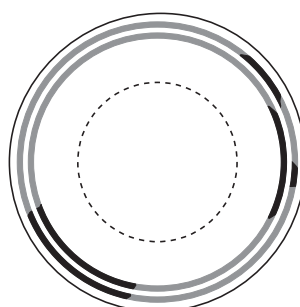
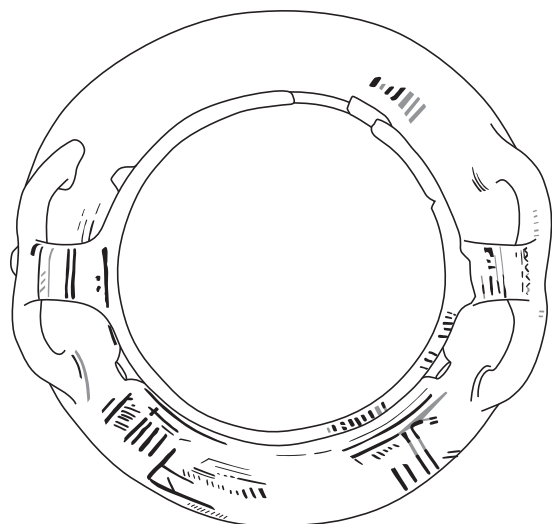
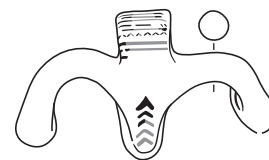
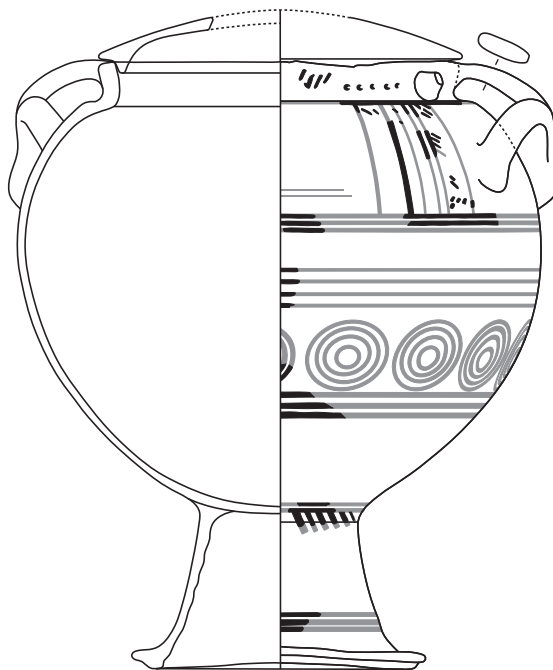


- Grab De Leo 1
1. Plattenboden
 2. Schädel
 3. Bereich des Oberkörpers mit Ring DL1/9 und Fibel DL1/6–8
 4. Armknochen und Schaftlochaxt DL1/12
 5. Bronzekessel DL1/4 und Bronzeschale DL1/5
 6. Krater DL1/1

- Grab De Leo 2
7. Schädelfragmente, Anhänger und Kettenteile DL2/2–10
 8. Askos DL2/1

- Feinkeramik
- Grobkeramik
- Knochen
- Bronze
- Eisen
- Boden der Gräber

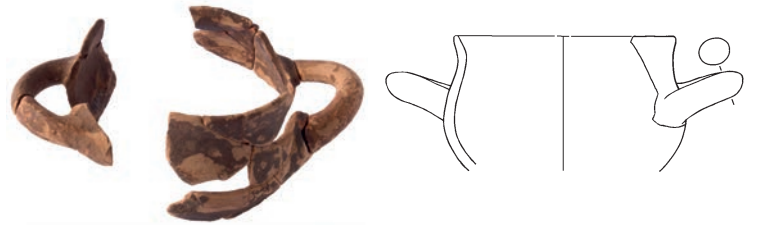




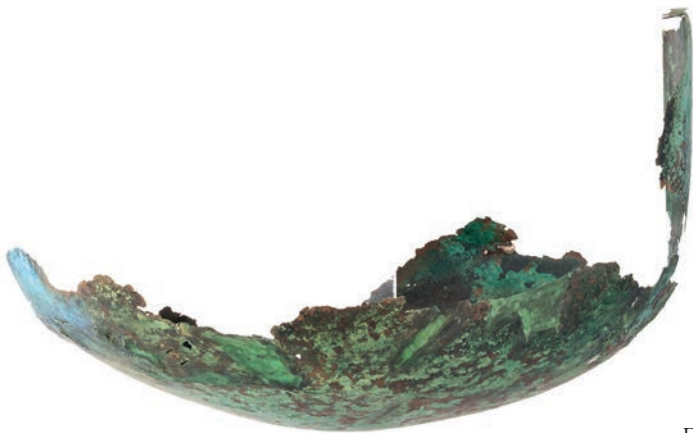
DL1/1



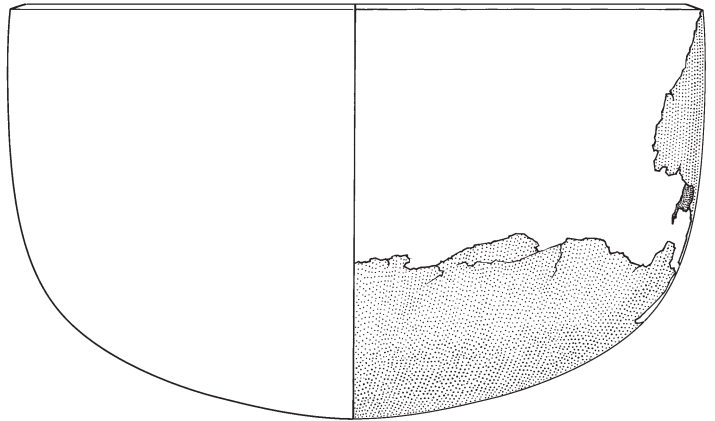
DL1/2



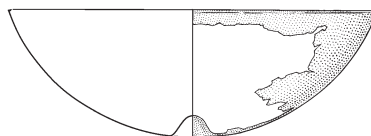
DL1/3



DL1/4

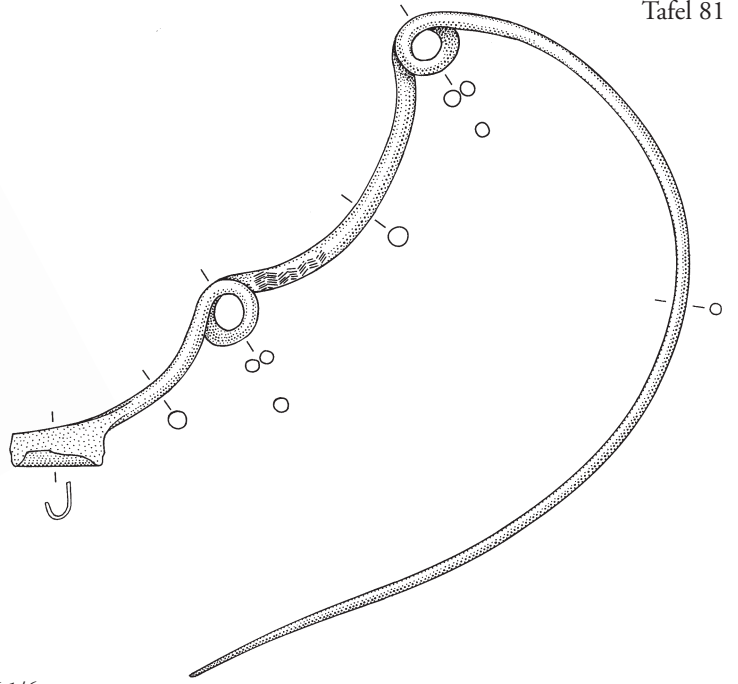


DL1/5

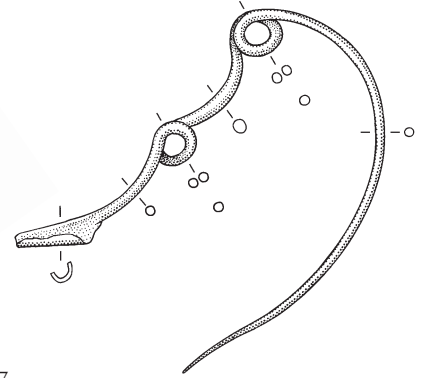




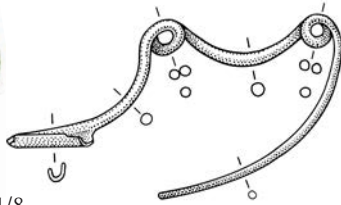
DL1/6



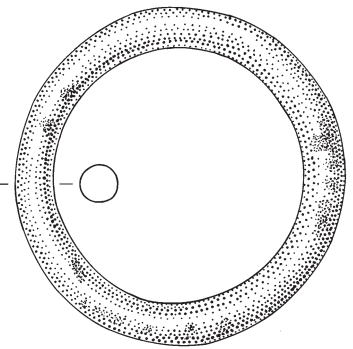
DL1/7



DL1/8



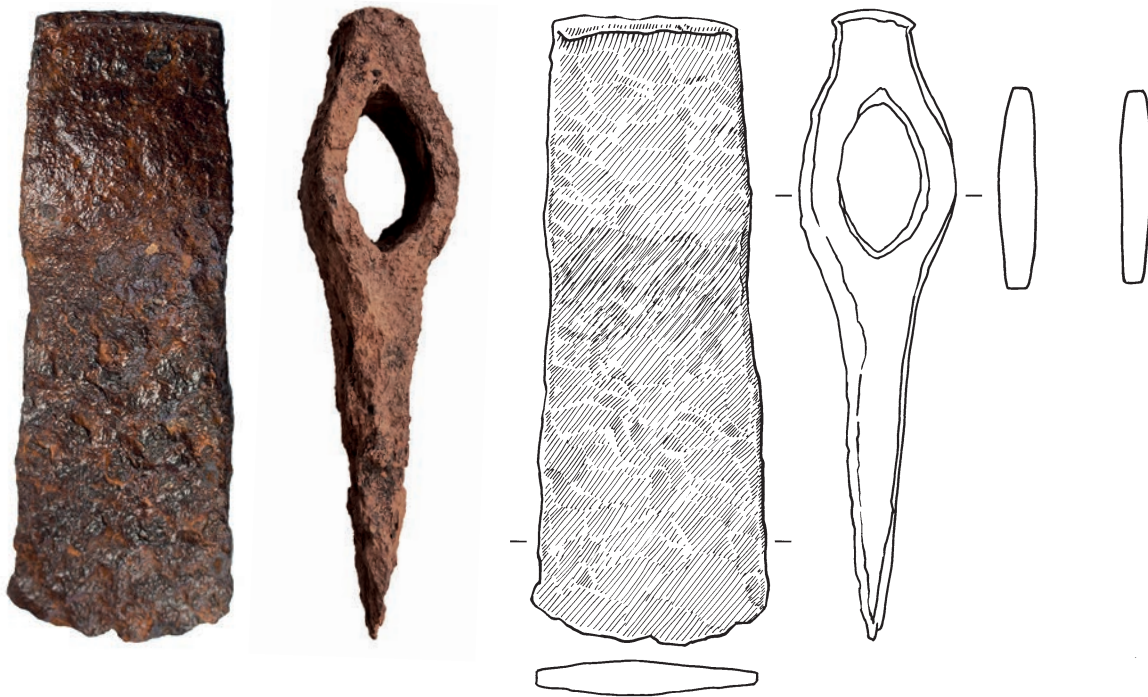
DL1/9



DL1/10



DL1/11



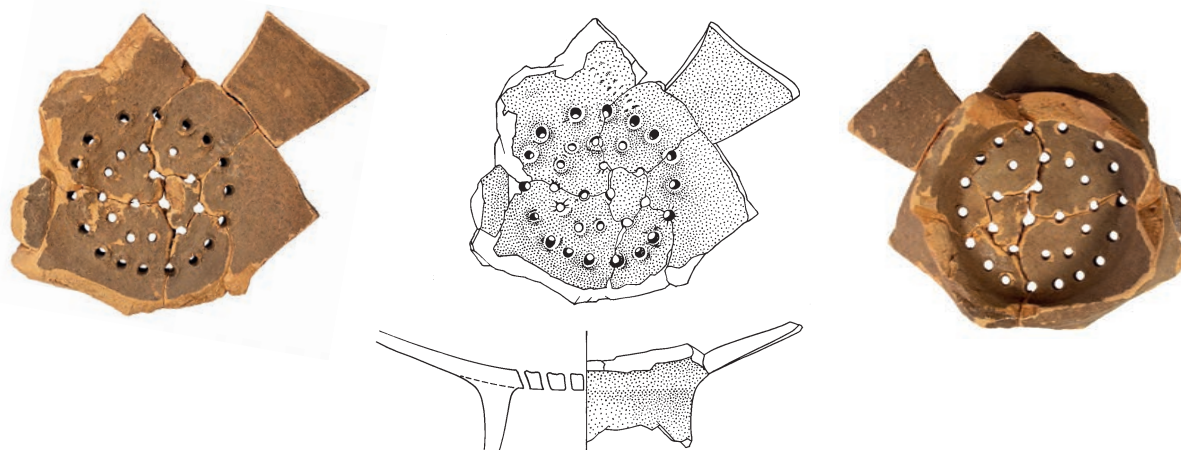
DL1/12



DL1/13



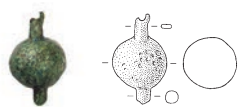
DL1/14



DL1/16



DL 2/1



DL 2/2



DL 2/3



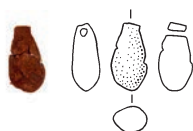
DL 2/4



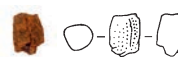
DL 2/5



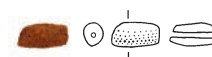
DL 2/6



DL 2/8



DL 2/9



DL 2/10

